

# THOMAS CALCULUS 2

ON BIRINCI BASKİ

George B. Thomas, Jr.  
Massachusetts Institute of Technology

Maurice D. Weir  
Naval Postgraduate School

Joel Hass  
University of California, Davis

Frank R. Giordano  
Naval Postgraduate School

Çeviren: Recep Korkmaz

**Beta**

Yayın No : 2346

Teknik Dizisi : 145

11. Baskıdan çeviri 1. Baskı - Aralık 2010 - İSTANBUL

**ISBN 978 - 605 - 377 - 369 - 6**

Authorized translation from the English language edition, entitled THOMAS' CALCULUS, 11th Edition by THOMAS, GEORGE B.; WEIR, MAURICE D.; HASS, JOEL; GIORDANO, FRANK R., published by Pearson Education, Inc, publishing as Addison-Wesley, Copyright © 2005

TURKISH language edition published by BETA BASIM YAYIM DAĞITIM A.Ş. Copyright © 2010

All rights reserved. No part of this book may be reproduced or transmitted in any form or by any means, electronic or mechanical, including photocopying, recording or by any information storage retrieval system, without permission from Pearson Education, Inc.

Copyright© 2010 Bu kitabın Türkiye'deki yayın hakları BETA Basım Yayım Dağıtım A.Ş.'ye aittir. Her hakkı saklıdır. Hiçbir bölümü ve paragrafi kısmen veya tamamen ya da özet halinde, fotokopi, faksimile, taranarak, internet ortamında elektronik posta ile herhangi bir şekilde çoğaltılamaz, dağıtılamaz. Normal ölçüyü aşan iktibaslar yapılamaz. Normal ve kanunî iktibaslarda kaynak gösterilmesi zorunludur.

Dizgi : Beta Basım A.Ş.

Sayfa Düzenleme : Gülgonca Çarpık

Baskı - Cilt : Kahraman Neşriyat Ofset San. Tic. Ltd. Şti. (Sertifika No: 12084)

Yüzyıl Mah. Matbaacılar Cad. Atahan No: 34 K: 4

Bağcılar/İstanbul (0-212) 629 00 01

Beta BASIM YAYIM DAĞITIM A.Ş.

Narlıbahçe Sok. Damga Binası No: 11

Çağaloğlu - İSTANBUL

Tel : (0-212) 511 54 32 - 519 01 77

Fax: (0-212) 511 36 50

[www.betayayincilik.com](http://www.betayayincilik.com)

# İÇİNDEKİLER

## Önsöz

ix

11

## Konik Kesitler ve Kutupsal Koordinatlar

746

11.1	Diziler	747
11.2	Sonsuz Seriler	761
11.3	Integral Testi	772
11.4	Karşılaştırma Testleri	777
11.5	Oran ve Kök Testleri	781
11.6	Alterne Seriler, Mutlak ve Koşullu Yakınsaklıklık	787
11.7	Kuvvet Serileri	794
11.8	Taylor ve Maclaurin Serileri	805
11.9	Taylor Serisinin Yakınsaklılığı; Hata Tahmini	811
11.10	Kuvvet Serilerinin Uygulamaları	822
11.11	Fourier Serileri	833
	TEKRAR SORULARI	839
	PROBLEMLER	840
	EK VE İLERİ ALIŞTIRMALAR	843

12

## Vektörler ve Uzayda Geometri

848

12.1	Üç Boyutlu Koordinat Sistemleri	848
12.2	Vektörler	853
12.3	Nokta Çarpımı (Skaler Çarpım)	862
12.4	Vektörel Çarpım	873
12.5	Uzayda Doğrular ve Düzlemler	880
12.6	Silindirler ve Kuadrik Yüzeyler	889
	TEKRAR SORULARI	899
	PROBLEMLER	900
	EK VE İLERİ ALIŞTIRMALAR	902

**13****Vektör-Değerli Fonksiyonlar ve Uzayda Hareket****906**

13.1	Vektör Fonksiyonlar	906
13.2	Atış Hareketini Modellemek	920
13.3	Yay Uzunluğu ve Birim Teğet Vektör <b>T</b>	931
13.4	Eğrilik ve Birim Normal Vektör <b>N</b>	936
13.5	Burulma ve Birim Binormal Vektör <b>B</b>	943
13.6	Gezegen Hareketi ve Uydular	950
	TEKRAR SORULARI	959
	PROBLEMLER	960
	EK VE İLERİ ALIŞTIRMALAR	962

**14****Kısmi Türevler****965**

14.1	Çok Değişkenli Fonksiyonlar	965
14.2	Yüksek Boyutlarda Limitler ve Süreklik	976
14.3	Kısmi Türevler	984
14.4	Zincir Kuralı	996
14.5	Doğrultu Türevleri ve Gradiyent Vektörler	1005
14.6	Teğet Düzlemler ve Diferansiyeller	1015
14.7	Ekstremum Değerler ve Eyer Noktaları	1027
14.8	Lagrange Çarpanları	1038
14.9	Kısıtlanmış Değişkenlerle Kısmi Türevler	1049
14.10	İki Değişken İçin Taylor Formülü	1054
	TEKRAR SORULARI	1059
	PROBLEMLER	1060
	EK VE İLERİ ALIŞTIRMALAR	1063

**15****Katlı İntegraller****1067**

15.1	İki Katlı İntegraller	1067
15.2	Alan, Momentler ve Kütle Merkezleri	1081
15.3	Kutupsal Formda İki Katlı İntegraller	1092
15.4	Kartezyen Koordinatlarda Üç Katlı İntegraller	1098
15.5	Üç Boyutta Kütle ve Momentler	1109
15.6	Silindirik ve Küresel Koordinatlarda Üç katlı İntegraller	1114
15.7	Çok Katlı İntegrallerde Değişken Dönüşümü	1128
	TEKRAR SORULARI	1137
	PROBLEMLER	1138
	EK VE İLERİ ALIŞTIRMALAR	1140

**16****Vektör Alanlarında İntegrasyon****1143**

16.1	Eğrisel İntegraler	1143
16.2	Vektör Alanları, İş, Dolaşım ve Aki	1149
16.3	Yoldan Bağımsızlık, Potansiyel Fonksiyonları ve Korunmalı Alanlar	1160
16.4	Düzlemde Green Teoremi	1169
16.5	Yüzey Alanı ve Yüzey İntegralleri	1182
16.6	Parametrize Yüzeyler	1192
16.7	Stokes Teoremi	1201
16.8	Diverjans Teoremi ve Bir Birleştirilmiş Teori	1211
TEKRAR SORULARI		1222
PROBLEMLER		1223
EK VE İLERİ ALIŞTIRMALAR		1226

**Ekler****EK-1**

A.1	Matematik İndüksiyon	EK-1
A.2	Limit Teoremlerinin İspatları	EK-4
A.3	Sık Karşılaşılan Limitler	EK-7
A.4	Reel Sayıların Teorisi	EK-9
A.5	Kompleks Sayılar	EK-12
A.6	Vektörel Çarpım İçin Dağılma Kuralları	EK-22
A.7	Karışık Türev Teoremi ve Artma Teoremi	EK-23
A.8	Bir Paralelkenarın Bir Düzlem Üzerine İzdüşümünün Alanı	EK-28
A.9	Temel Cebir, Geometri, ve Trigonometri Formülleri	EK-29

**Cevaplar****C-1****İndeks****I-1****Kısa Bir İntegral Tablosu****T-1**

## CALCULUS 1. KİTAP

1

### Önbilgiler

1

1.1	Reel Sayılar ve Reel Doğru	1
1.2	Doğrular, Çemberler ve Parabolller	9
1.3	Fonksiyonlar ve Grafikleri	19
1.4	Fonksiyonları Tanımlamak; Matematik Modeller	28
1.5	Fonksiyonları Birleştirmek; Grafikleri Kaydırma ve Ölçeklemek	38
1.6	Trigonometrik Fonksiyonlar	48
1.7	Hesap Makinesi ve Bilgisayarla Grafik Çizmek	59
	TEKRAR SORULARI	68
	PROBLEMLER	69
	EK VE İLERİ ALIŞTIRMALAR	71

2

### Limitler ve Sürekliklilik

73

2.1	Değişim Oranları ve Limitler	73
2.2	Limit Kurallarını Kullanarak Limitler Hesaplamak	84
2.3	Bir Limitin Kesin Tanımı	91
2.4	Tek Taraflı Limitler ve Sonsuzda Limitler	102
2.5	Sonsuz Limitler ve Dikey Asimptotlar	115
2.6	Sürekliklilik	124
2.7	Tegettler ve Türevler	134
	TEKRAR SORULARI	141
	PROBLEMLER	142
	EK VE İLERİ ALIŞTIRMALAR	144

3

### Türev

147

3.1	Bir Fonksiyon Olarak Türev	147
3.2	Türev Alma Kuralları	159
3.3	Bir Değişim Oranı Olarak Türev	171
3.4	Trigonometrik Fonksiyonların Türevleri	183
3.5	Zincir Kuralı ve Parametrik Denklemler	190
3.6	Kapalı Türetme	205
3.7	İlişkili Oranlar	213
3.8	Lineerizasyon ve Diferansiyeller	221
	TEKRAR SORULARI	235
	PROBLEMLER	235
	EK VE İLERİ ALIŞTIRMALAR	240

**4****Türev Uygulamaları****244**

- 4.1 Fonksiyonların Ekstremum Değerleri 244  
 4.2 Ortalama Değer Teoremi 255  
 4.3 Monotik Fonksiyonlar ve Birinci Türev Testi 262  
 4.4 Konkavlık ve Eğri Çizimi 267  
 4.5 Uygulamalı Optimizasyon Problemleri 278  
 4.6 Belirsiz Şekiller ve L'Hôpital Kuralı 292  
 4.7 Newton Yöntemi 299  
 4.8 Ters Türevler 307  
 TEKRAR SORULARI 318  
 PROBLEMLER 318  
 EK VE İLERİ ALIŞTIRMALAR 322

**5****İntegrasyon****325**

- 5.1 Sonlu Toplamlarla Tahminde Bulunmak 325  
 5.2 Toplam Notasyonu ve Sonlu Toplamların Limitleri 335  
 5.3 Belirli İntegral 343  
 5.4 Analizin Temel Teoremi 356  
 5.5 Belirsiz İntegraller ve Dönüşüm Kuralı 368  
 5.6 Değişken Dönüşümü ve Eğriler Arasındaki Alan 376  
 TEKRAR SORULARI 387  
 PROBLEMLER 388  
 EK VE İLERİ ALIŞTIRMALAR 391

**6****Belirli İntegrallerin Uygulamaları****396**

- 6.1 Dilimleyerek Hacim Bulmak ve Bir Eksen Etrafında Dönme 396  
 6.2 Silindirik Kabuklarla Hacim Bulmak 409  
 6.3 Düzlem Eğrilerin Uzunlukları 416  
 6.4 Momentler ve Kütle Merkezleri 424  
 6.5 Dönel Yüzey Alanları ve Pappus Teoremleri 436  
 6.6 İş 447  
 6.7 Açıksız Basınçları ve Kuvvetleri 456  
 TEKRAR SORULARI 461  
 PROBLEMLER 461  
 EK VE İLERİ ALIŞTIRMALAR 464

**7****Transansant Fonksiyonlar****466**

- 7.1 Ters Fonksiyonlar ve Türevleri 466  
 7.2 Doğal Logaritmlar 476  
 7.3 Üstel Fonksiyon 486  
 7.4  $a^x$  ve  $\log_a x$  495

7.5	Üstel Büyüme ve Bozunma	502
7.6	Bağıl Büyüme Oranları	511
7.7	Ters Trigonometrik Fonksiyonlar	517
7.8	Hiperbolik Fonksiyonlar	535
	TEKRAR SORULARI	546
	PROBLEMLER	547
	EK VE İLERİ ALIŞTIRMALAR	550

**8****İntegrasyon Teknikleri****553**

8.1	Temel İntegrasyon Formülleri	553
8.2	Kısmi İntegrasyon	561
8.3	Rasyonel Fonksiyonların Kısmi Kesirlerle İntegrasyonu	570
8.4	Trigonometrik İntegraler	581
8.5	Trigonometrik Dönüşümler	586
8.6	Integral Tabloları ve Bilgisayar Cebir Sistemleri	593
8.7	Sayısal İntegrasyon	603
8.8	Genelleştirilmiş İntegraler	619
	TEKRAR SORULARI	633
	PROBLEMLER	634
	EK VE İLERİ ALIŞTIRMALAR	638

**9****İntegrasyonun Diğer Uygulamaları****642**

9.1	Eğim Alanları ve Ayrılabilir Diferansiyel Denklemler	642
9.2	Birinci Mertebe Lineer Diferansiyel Denklemler	650
9.3	Euler Yöntemi	659
9.4	Otonom Diferansiyel Denklemlerin Grafik Çözümleri	665
9.5	Birinci Mertebe Diferansiyel Denklemlerin Uygulamaları	673
	TEKRAR SORULARI	682
	PROBLEMLER	682
	EK VE İLERİ ALIŞTIRMALAR	683

**10****Konik Kesitler ve Kutupsal Koordinatlar****685**

10.1	Konik Kesitler ve Kuadratik Denklemler	685
10.2	Konik Kesitleri Dışmerkezliklerine Göre Sınıflandırmak	697
10.3	Kuadratik Denklemler ve Dönmeler	702
10.4	Konikler ve Parametrik Denklemler; Sikloid	709
10.5	Kutupsal Koordinatlar	714
10.6	Kutupsal Koordinatlarda Grafik Çizmek	719
10.7	Kutupsal Koordinatlarda Alanlar ve Uzunluklar	725
10.8	Kutupsal Koordinatlarda Konik Kesitler	732
	TEKRAR SORULARI	739
	PROBLEMLER	739
	EK VE İLERİ ALIŞTIRMALAR	742

# Önsöz

**GİRİŞ** *Thomas Calculus*'un 11.basımının hazırlanmasında önceki basımların tarzını ve gücünü yakalamaya çalıştık. Amacımız, birçok kullanıcıımızı ve eleştirmenimizi dikkatlice dinleyerek *Thomas Calculus*'un klasik basımlarının en iyi özelliklerini tekrar ziyaret etmek oldu. Aklımızdaki bu yüksek standartlarla, alıştırmaları yeniden kurduk ve bazı zor konuları aydınlettik. George Thomas'ın sözleri ile "Kitabı, olabileceği kadar açık ve kesin olarak yazmaya çalıştık". Ek olarak, daha mantıklı ve standart müfredat programı ile aynı hızda olması için içeriği yeniden yapılandırdık. Geriye bakmakla, mühendisler ve bilim adamları için kullanışlı ve çekici bir calculus metni hazırlamakta bize yardımcı olacak çok şey öğrendik.

On birinci basında metin, öğrenciye sadece calculus'un yöntemlerini ve uygulamalarını değil ayrıca bir matematiksel düşünme yolu da tanır. Alıştırmalardan örnekler kavramları geliştiren ve teoriyi okunabilir bir lisanla açığa çkarın anlatma, bu kitap matematiksel fikirleri düşünme ve iletme hakkındadır. Calculus, matematiğin anahtar örneklerinden bir çوغunu içerir ve fiziksel ve matematiksel konular hakkında doğru ve mantıklı bir yolla nasıl düşünüleceğinin gerçek başlangıçlarını işaret eder

Materyale hakim olmaları ve gücünü kullanmak için gerekli matematiksel olgunluğa ulaşmaları için öğrencilere yardım etmeyi deniyoruz. Derin bir bilgiden gelen kavrayışlar gayrete değerdir. Bu kitabı tamamlayan öğrencilerin, bilimde ve mühendislikte bir çok uygulamaya calculus kavramlarını uygulamak için ihtiyaç duyulan, matematiksel lisan konusunda oldukça bilgi edinmiş olmaları gereklidir. Ayrıca, diferansiyel denklemler, lineer cebir ve ileri analiz derslerine iyi bir şekilde hazırlanmış olmaları gereklidir.

## Onbirinci Basımdaki Değişiklikler

**ALIŞTIRMALAR** Alıştırmalar ve örnekler calculus öğrenmede çok önemli bir rol oynarlar. *Thomas Calculus*'un önceki basımlarında yer alan ve o basımların muazzam gücünü oluşturan alıştırmalardan bir çوغunu bu yeni basıma dahil ettik. Her bölümde, hesaplamalı problemlerden uygulamalı ve teorik problemlere ilerleyen alıştırmaları konulara göre düzenledik ve grupladık. Bu düzenleme öğrencilere, calculus yöntemlerini kullanma becerilerini geliştirme ve değerlendirmelerini derinleştirmenin yanında calculus uygulamalarını ve mantıklı matematiksel yapılarını anlamaları fırsatını verir.

**ÖZEN** Özen seviyesi, önceki basımlarla karşılaştırıldığında baştan sona daha tutarlıdır. İkisi arasındaki farkı ortaya koymak için hem biçimsel ve hem de biçimsel olmayan tartışmaları verdik. Ayrıca, kesin tanımları ve öğrencilerin anlayabilecegi ispatları dahil ettik. Metin, materiyalin gayri resmi olarak anlaşılabilcegi şekilde düzenlenmiştir. Bu, öğret-

mene önemli derecede bir esneklik sağlar. Örneğin, kapalı ve sınırlı bir aralıkta sürekli olan bir fonksiyonun bu aralıkta bir maksimumunun bulunduğu ispat etmediğimiz halde bu teoremi çok dikkatli bir şekilde ifade ettik ve takip eden çeşitli sonuçları ispat etmek için bunu kullandık. Bundan başka, limitlerle ilgili bölüm, açıklığa ve kesinliğe karşı büyük bir dikkatle önemli ölçüde yeniden düzenlenmiştir. Önceki basımlarda olduğu gibi limit kavramı yine bir eğriye üzerindeki bir noktada teğet olan doğrunun eğimini elde etme fikri ile motive edilmektedir.

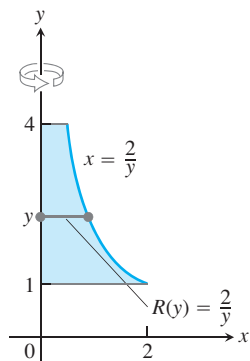
**İÇERİK** Bu basımın hazırlığı sırasında, *Thomas Calculus*'un önceki baskılarının kullanıcıları ve eleştirmenlerimizin önerilerine ve yorumlarına ölçüde dikkat sarf etti. Bu, bazı bölümlerde büyük revizyonlara ve değişikliklere yol açtı.

- **Önbilgiler** Bölüm 1'i, temel fonksiyonların kısa bir incelemesi olarak tekrar yazdık. Bir çok eğitimcinin bu bölümü atlamayı seçebilecek olmasına rağmen, bölüm öğrenceye kolay bir referans ve inceleme olağanı sunar, notasyon standart hale getirir ve altyapı materyali olarak nelerin kabul edildiğine işaret eder. Ayrıca birçok öğrencinin, bir hesap makinesine veya bilgisayara bir fonksiyonun grafiğini vermesi konusunda tam olarak güvenmedeki tuzaklar gibi, görmemiş olabileceği bazı yardımıcı materyal içerir.
- **Limitler** Bölüm 2'de içerenler, limitlerin epsilon-delta tanımları, birçok teoremin ispatı, sonsuzda limitler ve sonsuz limitlerdir (ve bunların bir grafiğin asimptotları ile ilişkileri).
- **Ters türevler** Türev ve önemli uygulamalarını, bütünlüğü sağlayan ters türev kavramı ile sonuçlanan Bölüm 3 ve Bölüm 4'te verdik.
- **İntegrasyon** Çeşitli sonlu toplam örneklerini tartıştıktan sonra Bölüm 5'te, eğrinin altındaki alan, geleneksel çerçevesi içinde belirli integrali tanıttık. Türevleri ve ters türevleri birbirine bağlayan Analizin Temel Teoremini işledikten sonra, integrasyon için Değişken Dönüşümü'nün yanında belirsiz integrali tanıttık. Bunları, belirli integralin uygulamaları hakkındaki alışılmış bölüm takip eder.
- **İntegrasyon Teknikleri** Integrasyonun, sayısal integrasyonu da içeren temel teknikleri Bölüm 8'de verilmektedir. Bunlar, bir integral olarak doğal logaitmayı ve onun tersi olarak üstel fonksiyonu tanımladığımız transendant fonksiyonların tanıtımını takip etmektedirler.
- **Diferansiyel denklemler** Temel diferansiyel denklemlerin çözümleri hakkında materiałyin önemli kısmı, şimdi tek bir bölümde, Bölüm 9'da düzenlenmiştir. Bu düzenleme, bu konuların kavranması açısından eğitimcilere önemli ölçüde esneklik sağlar.
- **Konikler** Birçok kullanıcının isteği üzerine, konik kesitler hakkında Bölüm 10 tamamen yenilendi. Bu bölüm ayrıca, parabolllerin, hiperbolllerin ve sicloidllerin parametrisasyonlarını vererek parametrik denklemler hakkında materyali tamamlar.
- **Seriler** Bölüm 11'de, dokuzuncu basında gözüken, serilerin yakınsaklık testlerinin daha bütün bir gelişimini yeniden düzenledik. Ayrıca, bölümün sonuna (atlanailecek olan) Fourier serilerini tanıtan kısa bir bölüm ekledik.
- **Vektörler** Temel cebirsel ve geometrik fikirlerin tekrarlarından kaçınmak için, iki ve üç boyutlu vektörlerin işlenmesini tek bir bölümde Bölüm 12'de birleştirdik. Bu tanımı, düzlemde ve uzaya vektör-değerli fonksiyonlar hakkında bir bölüm takip etti.
- **Reel sayılar** *Calculus*'a uyglanmasından dolayı Reel sayılar teorisi hakkında kısa ve yeni bir ek yazdık

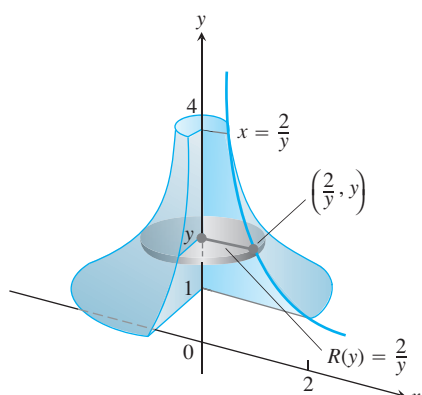
**SANAT** Şekillerin ve resimlerin calculus öğrenmede kritik bileşenler olduğunu fark ettiğimiz. Bu nedenle kitaptaki bütün şekillere yeni bir bakış ele aldık. Var olan şekilleri düzenlerken ve yenilerini oluştururken, şekillerin resmettiği, ilişkilendirildikleri kavramların berraklığını geliştirmeye çalıştık. Bu, özellikle derinliği, katmanları ve döndürmeleri daha iyi belirtmeyi başaramadığımız üç-boyutlu grafiklerde çok açıktır (aşağıdaki şekillere bakın). Ayrıca, renklerin tutarlı ve pedagojik bir kullanımını sağlamayı denedik ve tamamlanmış parçaların düzeltilmesine kendini adamış bir ekip bir araya getirdik.

**ŞEKİL 6.11, sayfa 402**

(a) bölgesinin  $y$ -ekseni etrafında döndürülmesi ile üretilen cismin hacminin bulunması



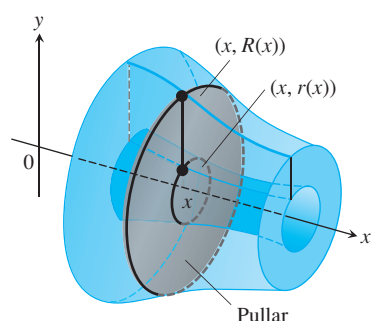
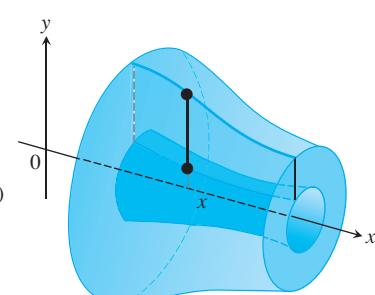
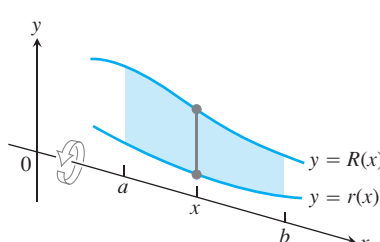
(a)

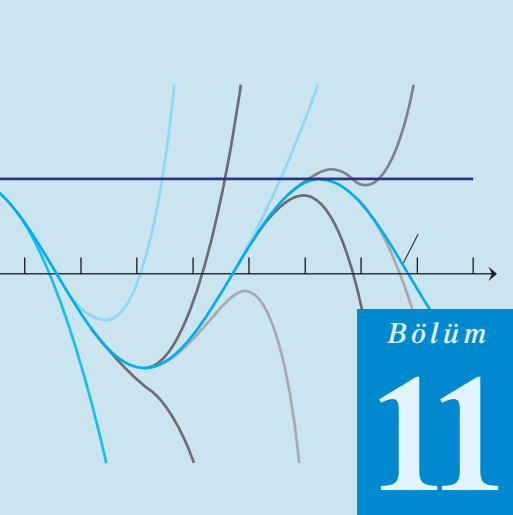


(b)

**ŞEKİL 6.13, sayfa 403**

Burada üretilen dönel cismin dik-kesiteri diskler değil pullardır.





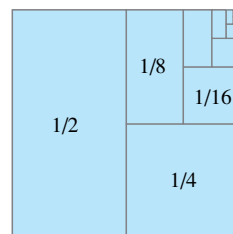
## BÖLÜM 11

# SONSUZ DİZİLER VE SERİLER

**GİRİŞ** İki hatta birkaç sayının nasıl toplanacağını herkes bildiği halde sonsuz tane sayının nasıl toplanacağı o kadar açık değildir. Bu bölümde sonsuz seriler teorisinin konusu olan bu gibi soruları çalışacağız. Sonsuz serilerin toplamları bazen

$$\frac{1}{2} + \frac{1}{4} + \frac{1}{8} + \frac{1}{16} + \dots = 1$$

toplamında olduğu gibi sonludur. Bu toplam geometrik olarak aşağıda gösterildiği gibi birim karenin daima ikiye bölünmesiyle elde edilen alanlarla temsil edilir. Küçük dikdörtgenlerin alanlarının toplamı içini doldurmuş oldukları birim karenin alanını verir. Toplanan terim sayısını arttırdıkça toplam alana daha çok yaklaşılır.



Bazı sonsuz serilerin toplamları ise

$$1 + 2 + 3 + 4 + 5 + \dots$$

toplamında olduğu gibi sonlu değildir. İlk birkaç terimin toplamı terim sayısı arttıkça giderek çoğalır. Yeteri kadar terim toplamakla önceden belirlenmiş herhangi bir sabit sayı aşılır.

Bazı serilerde ise,

$$1 + \frac{1}{2} + \frac{1}{3} + \frac{1}{4} + \frac{1}{5} + \frac{1}{6} + \dots$$

harmonik serisinde olduğu gibi toplamın sonlu olup olmadığı açık değildir. Toplanan terim sayısını arttırdıkça sonlu bir değere yaklaşılıp yaklaşılmadığı veya sınırsız olarak büyüyen bir toplam elde edilip edilmediği açık değildir.

Sonsuz diziler ve seriler teorisini geliştirirken, önemli bir uygulama türetilebilir bir  $f(x)$  fonksiyonunu  $x$ 'in kuvvetlerinin bir sonsuz toplamı olarak temsil etme metodu verir. Bu metotla polinomların nasıl hesaplandığı, türetildiği ve integre edildiği hakkındaki bilgilerimizi polinomlardan çok daha genel olan bir fonksiyonlar sınıfına genişletebiliriz. Ayrıca bir fonksiyonu sinüs ve cosinüs fonksiyonlarının sonsuz bir toplamı olarak temsil etmenin bir yöntemini inceleyeceğiz. Bu yöntem fonksiyonları incelemek için güçlü bir araç verecektir.

# 11.1

## Diziler

### TARİHSEL DENEME

#### Diziler ve Seriler

Bir dizi verilen bir sıra ile

$$a_1, a_2, a_3, \dots, a_n, \dots$$

gibi bir sayılar listesidir.  $a_1, a_2, a_3, \dots$  her biri bir sayıyı temsil eder. Bunlar dizinin **terimleri** dir. Örneğin,

$$2, 4, 6, 8, 10, 12, \dots, 2n, \dots$$

dizisinin ilk terimi  $a_1 = 2$ , ikinci terimi  $a_2 = 4$  ve  $n$ .terimi  $a_n = 2n$  dir.  $n$  tamsayısına  $a_n$ 'nin **indisi** denir ve  $a_n$ 'nin listenin neresinde bulunduğu gösterir. Genelde

$$a_1, a_2, a_3, \dots, a_n, \dots$$

dizisini 1'i  $a_1$ 'e, 2'yi  $a_2$ 'ye, 3'ü  $a_3$ 'e ve genel olarak pozitif  $n$  tamsayısını  $n$ .terim  $a_n$ 'ye gönderen bir fonksiyon olarak düşünebiliriz. Bu, bir dizinin aşağıdaki formel tanımına yol açar.

### TANIM Sonsuz Dizi

Bir **sonsuz sayı dizisi** tanım kümesi pozitif tamsayılar kümesi olan bir fonksiyondur.

Örneğin

$$2, 4, 6, 8, 10, 12, \dots, 2n, \dots$$

dizisi ile eşlenen fonksiyon 1'i  $a_1 = 2$ 'ye 2'yi  $a_2 = 4$ 'e vs. gönderir. Bu dizinin genel davranışını

$$a_n = 2n$$

formülü ile tanımlanır.

Tanım kümesini verilen bir  $n_0$  sayısından büyük tamsayılar olarak da alabilir ve bu tipte diziler de düşünebiliriz.

$$12, 14, 16, 18, 20, 22 \dots$$

dizisi  $a_n = 10 + 2n$  formülü ile tanımlanır. Bu dizi ayrıca  $n$  indisini 6 dan başlayıp artmak üzere daha basit olan  $b_n = 2n$  formülü ile de tanımlanabilir. Böyle basit formüller elde edebilmek için dizinin ilk indisini herhangi bir sayı olarak alabiliriz. Yukarıdaki  $\{a_n\}$  dizisi  $a_1$  ile başlarken  $\{b_n\}$  dizisi  $b_6$  ile başlamaktadır. Sıra önemlidir. Zira 1, 2, 3, 4... dizisi 1, 2, 3, 4 ... dizisi ile aynı değildir.

Diziler

$$a_n = \sqrt{n},$$

$$b_n = (-1)^{n+1} \frac{1}{n},$$

$$c_n = \frac{n-1}{n},$$

$$d_n = (-1)^{n+1}$$

gibi terimlerini belirten kuralları yazarak veya

$$\{a_n\} = \{\sqrt{1}, \sqrt{2}, \sqrt{3}, \dots, \sqrt{n}, \dots\}$$

$$\{b_n\} = \left\{1, -\frac{1}{2}, \frac{1}{3}, -\frac{1}{4}, \dots, (-1)^{n+1} \frac{1}{n}, \dots\right\}$$

$$\{c_n\} = \left\{0, \frac{1}{2}, \frac{2}{3}, \frac{3}{4}, \frac{4}{5}, \dots, \frac{n-1}{n}, \dots\right\}$$

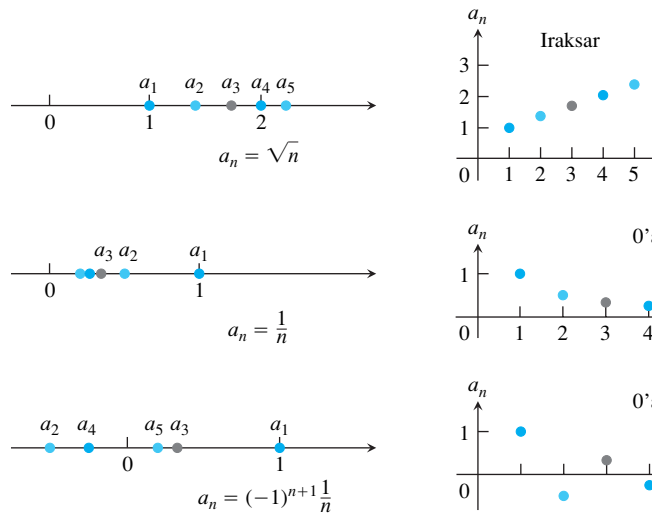
$$\{d_n\} = \{1, -1, 1, -1, 1, -1, \dots, (-1)^{n+1}, \dots\}$$

şeklinde listelenerek tanımlanabilirler. Bazen

$$\{a_n\} = \{\sqrt{n}\}_{n=1}^{\infty}$$

da yazarız.

Şekil 11.1, dizileri grafik olarak temsil etmenin iki yolunu göstermektedir. İlkeli,  $a_1, a_2, a_3, \dots, a_n, \dots$  terimlerinden ilk birkaçını real eksen üzerinde işaretler. İkinci yöntem diziyi tanımlayan fonksiyonun grafiğini gösterir. Fonksiyon sadece tamsayılarla tanımlıdır ve grafik  $xy$ -düzleminde,  $(1, a_1), (2, a_2), \dots, (n, a_n), \dots$  noktalarına işaretlenmiş bazı noktalardan oluşur.



**SEKİL 11.1** Diziler, real eksen üzerinde noktalar veya yatay  $n$ -eksenin terimin indis sayısı, dairesel  $a_n$  ekseninde terimin değeri olmak üzere  $xy$ -düzleminde noktalar olarak temsil edilebilirler.

### Yakınsaklık ve Iraksaklık

Bazen bir dizideki sayılar,  $n$  indisini arttıkça, tek bir değere yaklaşır.  $n$  arttıkça terimleri 0'a yaklaşan

$$\left\{1, \frac{1}{2}, \frac{1}{3}, \frac{1}{4}, \dots, \frac{1}{n}, \dots\right\}$$

dizisinde ve terimleri 1'e yaklaşan

$$\left\{0, \frac{1}{2}, \frac{2}{3}, \frac{3}{4}, \frac{4}{5}, \dots, 1 - \frac{1}{n}, \dots\right\}$$

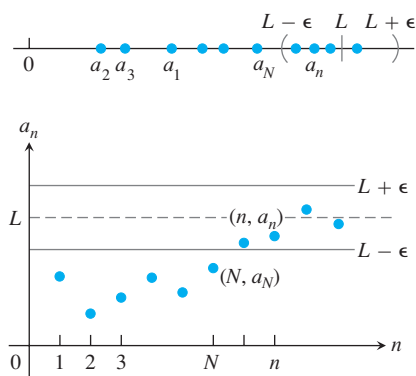
dizisinde durum böyledir. Diğer taraftan

$$\{\sqrt{1}, \sqrt{2}, \sqrt{3}, \dots, \sqrt{n}, \dots\}$$

gibi dizilerde  $n$  indisini arttıkça herhangi bir sayıdan daha büyük olan terimler vardır. Ayrıca

$$\{1, -1, 1, -1, 1, -1, \dots, (-1)^{n+1}, \dots\}$$

gibi diziler asla tek bir değere yaklaşmadan 1 ve -1 arasında ileri geri sıçrar. Aşağıdaki tanım bir dizinin bir limit değere yakınsamasının anlamını açıklamaktadır. Tanım şunu söylemektedir: bir dizide  $n$  indisini bir  $N$  sayısından büyük alarak dizinin terimleri üzerinde yeteri kadar ilerlersek  $a_n$  ile dizinin limiti arasındaki fark önceden belirlenmiş herhangi bir  $\epsilon > 0$  sayısından küçük kalır.



**ŞEKİL 11.2**  $y = L$ ,  $\{(n, a_n)\}$  noktaları dizisinin yatay asymptotu ise  $a_n \rightarrow L$  dir. Yukarıdaki şekilde  $a_N$ 'den sonraki bütün  $a_n$ 'ler  $L$ 'nin  $\epsilon$  civarındadır.

### TARİHSEL BİYOGRAFİ

Nicole Oresme  
(1320–1382 dolaylarında)

### TANIMLAR

### Yakınsaklık, Iraksaklık, Limit

Her pozitif  $\epsilon$  sayısına

$$n > N \quad \Rightarrow \quad |a_n - L| < \epsilon$$

$\{a_n\}$  dizisi  $L$  sayısına **yakınsar**. Böyle bir  $L$  sayısı mevcut değilse,  $\{a_n\}$  **iraksar** deriz.

$\{a_n\}$  dizisi  $L$ 'ye yakınsiyorsa,  $\lim_{n \rightarrow \infty} a_n = L$  veya kısaca  $a_n \rightarrow L$  yazar ve  $L$ 'ye dizinin **limiti** deriz (Şekil 11.2).

Tanım,  $x$  sonsuza giderken bir  $f(x)$  fonksiyonunun limiti tanımına çok benzerdir (Bölüm 2.4'te  $\lim_{x \rightarrow \infty} f(x)$ ). Dizilerin limitlerini hesaplamak için bu bağıntıyı kullanacağız.

### ÖRNEK 1 Tanımı Uygulamak

$$(a) \lim_{n \rightarrow \infty} \frac{1}{n} = 0 \quad (b) \lim_{n \rightarrow \infty} k = k \quad (k \text{ herhangi bir sabit})$$

olduğunu gösterin.

### Çözüm

(a)  $\epsilon > 0$  verilmiş olsun.

$$n > N \quad \Rightarrow \quad \left| \frac{1}{n} - 0 \right| < \epsilon$$

gerektilmesi sağlanacak şekilde bir  $N$  tamsayısının var olduğunu göstermemiz gereklidir. Yukarıdaki gerektirme,  $(1/n) < \epsilon$  veya  $n > 1/\epsilon$  ise geçerli olacaktır.  $N$ ,  $1/\epsilon$ 'dan daha büyük bir tamsayı ise gerektirme her  $n > N$  için geçerli olur. Bu,  $\lim_{n \rightarrow \infty} (1/n) = 0$  olduğunu ispatlar.

(b)  $\epsilon > 0$  verilmiş olsun.

$$n > N \quad \Rightarrow \quad |k - k| < \epsilon$$

gerektilmesi sağlanacak şekilde bir  $N$  tamsayısının var olduğunu göstermemiz gereklidir.  $k - k = 0$  olduğundan, herhangi bir pozitif  $N$  sayısı kullanırsak gerektirme geçerli olacaktır. Bu herhangi bir  $k$  sabiti için  $\lim_{n \rightarrow \infty} k = k$  olduğunu ispatlar. ■

### ÖRNEK 2 Iraksak Bir Dizi

$\{1, -1, 1, -1, 1, -1, \dots, (-1)^{n+1}, \dots\}$  dizisinin iraksadığını gösterin.

**Çözüm** Dizinin bir  $L$  sayısına yakınsadığını varsayıy়. Limit tanımında  $\epsilon = 1/2$  seçerek,  $n$  indisini bir  $N$  sayısından büyük olan bütün  $a_n$  dizi terimleri  $L$ 'nin  $\epsilon = 1/2$  civarında bulunmaları gereklidir. Dizinin diğer her terimi gibi 1 terimi tekrarlı olarak gözüktüğünden 1 sayısı  $L$ 'nin  $\epsilon = 1/2$  civarında bulunmalıdır. Bundan dolayı  $|L - 1| < 1/2$  veya buna denk olarak  $1/2 < L < 3/2$  olmalıdır. Benzer şekilde  $-1$  sayısı da keyfi büyük indislerle tekrarlı olarak dizide gözükmür. Dolayısıyla,  $|L - (-1)| < 1/2$  veya buna denk olarak  $-3/2 < L < -1/2$  eşitsizlikleri de ayrıca sağlanmalıdır. Fakat bu aralıklar örtüşmediklerinden  $L$  sayısı  $(1/2, 3/2)$  ve  $(-3/2, -1/2)$  ve aralıklarının ikisinde birden bulunamaz. Bu nedenle böyle bir  $L$  limiti yoktur ve dolayısıyla dizi iraksar.

Şuna dikkat edin aynı düşünce sadece  $1/2$  için değil 1'den küçük herhangi bir pozitif  $\epsilon$  sayısı için de geçerlidir. ■

$\{\sqrt{n}\}$  dizi de iraksar fakat nedeni farklıdır.  $n$  indisinin artmasıyla birlikte terimleri herhangi bir sabit sayıdan daha büyük olur. Bu dizinin davranışını

$$\lim_{n \rightarrow \infty} \sqrt{n} = \infty$$

yazarak tanımlarız. Bir dizinin limitini sonsuz olarak yazmakla,  $n$  arttıkça  $a_n$  ile  $\infty$  arasındaki farkın azaldığını söylemiyoruz. Dizinin yakınsadığı bir sonsuz sayısının var olduğunu da söylemiyoruz. Sadece  $n$  arttıkça,  $a_n$ 'nin sayısal olarak büyüdüğünü ve nihayetinde herhangi sabit bir sayıdan büyük kaldığını açıklayan bir notasyon kullanıyoruz.

### TANIM Sonsuza Iraksama

Her  $M$  sayısına karşılık,  $N$ 'den büyük her  $n$  için  $a_n > M$  olacak şekilde bir  $N$  tamsayısi varsa  $\{a_n\}$  dizi sonsuza iraksar deriz. Bu şart sağlanırsa

$$\lim_{n \rightarrow \infty} a_n = \infty \quad \text{veya} \quad a_n \rightarrow \infty$$

yazarız. Benzer şekilde, her  $m$  sayısına karşılık, her  $n > N$  için  $a_n < m$  olacak şekilde bir  $N$  tamsayısi varsa  $\{a_n\}$  dizi eksi sonsuza iraksar deriz ve

$$\lim_{n \rightarrow \infty} a_n = -\infty \quad \text{veya} \quad a_n \rightarrow -\infty$$

yazarız.

Bir dizi sonsuza veya eksi sonsuza iraksamadan da iraksak olabilir. Bunu Örnek 2'de gördük. Ayrıca  $\{1, -2, 3, -4, 5, -6, 7, -8, \dots\}$  ve  $\{1, 0, 2, 0, 3, 0, \dots\}$  dizileri de böyle dizilere örnektir.

### Dizilerin Limitlerini Hesaplamak

Daima dizi limitinin formel tanımını,  $\epsilon$ 'ları ve  $N$ 'leri hesaplayarak, kullanmak zorunda olduğumuz dizilerin limitlerini hesaplamak zahmetli bir iş olurdu. Neyse ki birkaç basit örnek geliştirebilir ve bunları birçok dizinin limitlerinin çabucak incelenmesinde kullanabiliriz. Dizilerin nasıl birleştirilebileceklerini ve nasıl karşılaştırılabilenlerini anlamamız gerekecektir. Diziler, tanım kümeleri pozitif tamsayılar kümesine kısıtlanmış fonksiyonlardır. Olduklarından Bölüm 2'de fonksiyon limitleri hakkındaki teoremlerin diziler için versiyonlarının olması çok şaşırtıcı değildir.

**TEOREM 1**

$\{a_n\}$  ve  $\{b_n\}$  reel sayı dizileri,  $A$  ve  $B$  reel sayılar olsun.  $\lim_{n \rightarrow \infty} a_n = A$  ve  $\lim_{n \rightarrow \infty} b_n = B$  ise aşağıdaki kurallar geçerlidir.

1. *Toplama Kuralı:*  $\lim_{n \rightarrow \infty} (a_n + b_n) = A + B$
2. *Fark Kuralı:*  $\lim_{n \rightarrow \infty} (a_n - b_n) = A - B$
3. *Çarpım Kuralı:*  $\lim_{n \rightarrow \infty} (a_n \cdot b_n) = A \cdot B$
4. *Sabitle Çarpım Kuralı:*  $\lim_{n \rightarrow \infty} (k \cdot b_n) = k \cdot B$  (Herhangi bir  $k$ )
5. *Bölüm Kuralı:*  $\lim_{n \rightarrow \infty} \frac{a_n}{b_n} = \frac{A}{B}$   $B \neq 0$  için

İspatı Bölüm 2.2'deki Teorem 1'in ispatına benzerdir ve atlanacaktır.

**ÖRNEK 3** Teorem 1'i Uygulamak

Teorem 1'i Örnek 1'deki limitleri birleştirirsek şunları buluruz:

- (a)  $\lim_{n \rightarrow \infty} \left( -\frac{1}{n} \right) = -1 \cdot \lim_{n \rightarrow \infty} \frac{1}{n} = -1 \cdot 0 = 0$  Sabitle Çarpım Kuralı ve Örnek 1a
- (b)  $\lim_{n \rightarrow \infty} \left( \frac{n-1}{n} \right) = \lim_{n \rightarrow \infty} \left( 1 - \frac{1}{n} \right) = \lim_{n \rightarrow \infty} 1 - \lim_{n \rightarrow \infty} \frac{1}{n} = 1 - 0 = 1$  Fark Kuralı ve Örnek 1a
- (c)  $\lim_{n \rightarrow \infty} \frac{5}{n^2} = 5 \cdot \lim_{n \rightarrow \infty} \frac{1}{n} \cdot \lim_{n \rightarrow \infty} \frac{1}{n} = 5 \cdot 0 \cdot 0 = 0$  Çarpım Kuralı
- (d)  $\lim_{n \rightarrow \infty} \frac{4 - 7n^6}{n^6 + 3} = \lim_{n \rightarrow \infty} \frac{(4/n^6) - 7}{1 + (3/n^6)} = \frac{0 - 7}{1 + 0} = -7.$  Toplama ve Bölüm Kuralı ■

Teorem 1'i uygularken dikkatli olun. Teorem, örneğin,  $\{a_n\}$  ve  $\{b_n\}$  dizilerinin  $\{a_n + b_n\}$  toplamlarının limiti varsa  $\{a_n\}$  ve  $\{b_n\}$  dizilerinin her birinin limitinin var olduğunu söylemiyor. Meselâ  $\{a_n\} = \{1, 2, 3, \dots\}$  ve  $\{b_n\} = \{-1, -2, -3, \dots\}$  dizilerinin ikisi de iraksaktır, fakat toplamları  $\{a_n + b_n\} = \{0, 0, 0, \dots\}$  açık olarak 0'a yakınsar.

Teorem 1'in bir sonucu şudur: iraksak bir dizinin sıfırdan farklı her katı iraksar. Terbine, bir  $c \neq 0$  için  $\{ca_n\}$  dizisinin yakınsadığını varsayıyın. Bu durumda Teorem 1'deki Sabitle Çarpım Kuralında  $k = 1/c$  alarak

$$\left\{ \frac{1}{c} \cdot ca_n \right\} = \{a_n\}$$

dizisinin yakınsadığını görürüz. Böylece,  $\{ca_n\}$  yakınsamadıkça  $\{a_n\}$  yakınsayamaz. Eğer  $\{a_n\}$  yakınsamazsa  $\{ca_n\}$  yakınsamaz.

Aşağıdaki teorem Bölüm 2.2'deki Sandviç Teoreminin dizi versiyonudur. Alıştırma 95'te teoremi ispatlamanız istenmektedir.

**TEOREM 2 Diziler İçin Sandviç Teoremi**

$\{a_n\}$ ,  $\{b_n\}$  ve  $\{c_n\}$  reel sayı dizileri olsunlar. Belirli bir  $N$  indisinden büyük her  $n$  için  $a_n \leq b_n \leq c_n$  geçerliyse ve  $\lim_{n \rightarrow \infty} a_n = \lim_{n \rightarrow \infty} c_n = L$  ise, bu durumda  $\lim_{n \rightarrow \infty} b_n = L$  olur.

Teorem 2'nin hemen görülen bir sonucu,  $|b_n| \leq c_n$  ve  $c_n \rightarrow 0$  ise,  $-c_n \leq b_n \leq c_n$  olduğundan  $b_n \rightarrow 0$  olmalıdır. Aşağıdaki örnekte bunu kullanıyoruz.

#### ÖRNEK 4 Sandviç Teoremini Uygulamak

$1/n \rightarrow 0$  olduğunda, aşağıdakileri biliyoruz.

$$(a) \frac{\cos n}{n} \rightarrow 0 \quad \text{çünkü } -\frac{1}{n} \leq \frac{\cos n}{n} \leq \frac{1}{n};$$

$$(b) \frac{1}{2^n} \rightarrow 0 \quad \text{çünkü } 0 \leq \frac{1}{2^n} \leq \frac{1}{n};$$

$$(c) (-1)^n \frac{1}{n} \rightarrow 0 \quad \text{çünkü } -\frac{1}{n} \leq (-1)^n \frac{1}{n} \leq \frac{1}{n}. \blacksquare$$

Teorem 1 ve 2'nin uygulanması yakınsak bir diziye sürekli bir fonksiyonun uygulanmasının yakınsak bir dizi oluşturacağını belirten bir teoremlle genişletilir. Teoremi ispatsız veriyoruz (Aşırtırma 96).

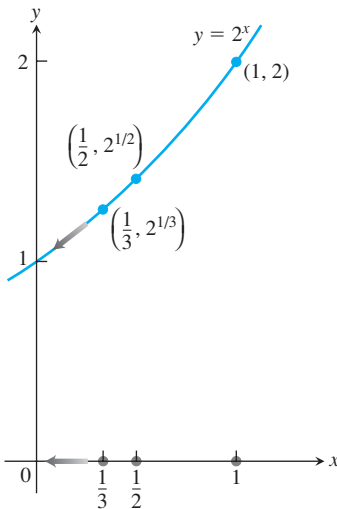


FIGURE 11.3  $n \rightarrow \infty$  iken,  $1/n \rightarrow 0$  ve  $2^{1/n} \rightarrow 2^0 = 1$  dir. (Örnek 6).

#### TEOREM 3 Diziler İçin Sürekli Fonksiyon Teoremi

$\{a_n\}$  bir reel sayı dizisi olsun.  $a_n \rightarrow L$  ve  $f$  fonksiyonu  $L$ 'de sürekli ve bütün  $a_n$ 'lerde tanımlı ise,  $f(a_n) \rightarrow f(L)$  olur.

#### ÖRNEK 5 Teorem 3'ü Uygulamak

$\sqrt{(n+1)/n} \rightarrow 1$  olduğunu gösterin.

**Cözüm**  $(n+1)/n \rightarrow 1$  olduğunu biliyoruz. Teorem 3'te  $f(x) = \sqrt{x}$  ve  $L = 1$  almak  $\sqrt{(n+1)/n} \rightarrow \sqrt{1} = 1$  verir. ■

#### ÖRNEK 6 $\{2^{1/n}\}$ Dizisi

$\{1/n\}$  dizisi 0'a yakınsar. Teorem 3'te  $a_n = 1/n$ ,  $f(x) = 2^x$  ve  $L = 0$  olarak,  $2^{1/n} = f(1/n) \rightarrow f(L) = 2^0 = 1$  olduğunu gördük.  $\{2^{1/n}\}$  dizisi 1'e yakınsar (Şekil 11.3). ■

#### l'Hôpital Kuralını Kullanmak

Aşağıdaki teorem bazı dizilerin limitini bulmada l'Hôpital kuralını kullanmamızı sağlar. Teorem,  $\lim_{n \rightarrow \infty} a_n$  ile  $\lim_{x \rightarrow \infty} f(x)$  arasındaki bağıntıyı sağlar.

#### TEOREM 4

$f(x)$ 'in her  $x \geq n_0$  için tanımlı bir fonksiyon olduğunu ve  $\{a_n\}$ 'nin her  $n \geq n_0$  için  $a_n = f(n)$  olacak şekilde bir reel sayı dizisi olduğunu varsayıncı. Bu durumda,

$$\lim_{x \rightarrow \infty} f(x) = L \quad \Rightarrow \quad \lim_{n \rightarrow \infty} a_n = L \quad \text{olur.}$$

**Ispat**  $\lim_{x \rightarrow \infty} f(x) = L$  olduğunu varsayıncı. Her pozitif  $\epsilon$  sayısına karşılık

$$x > M \quad \Rightarrow \quad |f(x) - L| < \epsilon$$

gerektilmesi gerçekleşecek şekilde bir  $M$  sayısı vardır.

$N$  tamsayısı  $M$ den büyük ve  $n_0$  dan büyük veya eşit olsun. Bu durumda

$$n > N \Rightarrow a_n = f(n) \quad \text{ve} \quad |a_n - L| = |f(n) - L| < \epsilon. \blacksquare$$

### ÖRNEK 7 L'Hôpital Kuralını Uygulamak

$$\lim_{n \rightarrow \infty} \frac{\ln n}{n} = 0 \quad \text{olduğunu gösterin.}$$

**Çözüm**  $(\ln x)/x$  fonksiyonu her  $x \geq 1$  için tanımlıdır ve pozitif tamsayılarda verilen diziyle uyuşur. Dolayısıyla, Teorem 4'e göre,  $\lim_{n \rightarrow \infty} (\ln n)/n$ , eğer varsa  $\lim_{n \rightarrow \infty} (\ln n)/n$ 'e eşit olacaktır. L'Hôpital kuralının bir kere uygulanışı

$$\lim_{x \rightarrow \infty} \frac{\ln x}{x} = \lim_{x \rightarrow \infty} \frac{1/x}{1} = \frac{0}{1} = 0$$

olduğunu gösterir. Buradan  $\lim_{n \rightarrow \infty} (\ln n)/n = 0$  sonucunu çıkarırız. ■

Bir dizinin limitini bulmak için L'Hôpital kuralını kullanırken, genellikle  $n$ 'ye sürekli bir reel değişken gibi davranır ve doğrudan  $n$ 'ye göre türev alırız. Bu bizi Örnek 7'de yaptığımız gibi  $a_n$  formülünü yeniden yazmaktan kurtarır.

### ÖRNEK 8 L'Hôpital Kuralını Uygulamak

$$\lim_{n \rightarrow \infty} \frac{2^n}{5n} \quad \text{'yi bulun.}$$

**Çözüm** l'Hôpital kuralına göre ( $n$ 'ye göre türev alarak)

$$\begin{aligned} \lim_{n \rightarrow \infty} \frac{2^n}{5n} &= \lim_{n \rightarrow \infty} \frac{2^n \cdot \ln 2}{5} \\ &= \infty \end{aligned}$$

buluruz. ■

### ÖRNEK 9 Yakınsaklığını Belirlemek İçin L'Hôpital Kuralını Uygulamak

$n$ . terimi

$$a_n = \left( \frac{n+1}{n-1} \right)^n$$

olan dizi yakınsar mı? Yakınsarsa,  $\lim_{n \rightarrow \infty} a_n$ 'yi bulun.

**Çözüm** Limit  $1^\infty$  belirsiz formuna götürür. Önce  $a_n$ 'nin doğal logaritmasını alarak formu  $\infty \cdot 0$  haline getirirsek, l'Hôpital kuralını uygulayabiliriz.

$$\begin{aligned} \ln a_n &= \ln \left( \frac{n+1}{n-1} \right)^n \\ &= n \ln \left( \frac{n+1}{n-1} \right). \end{aligned}$$

Bu durumda,

$$\begin{aligned}
 \lim_{n \rightarrow \infty} \ln a_n &= \lim_{n \rightarrow \infty} n \ln \left( \frac{n+1}{n-1} \right) && \infty \cdot 0 \\
 &= \lim_{n \rightarrow \infty} \frac{\ln \left( \frac{n+1}{n-1} \right)}{1/n} && \frac{0}{0} \\
 &= \lim_{n \rightarrow \infty} \frac{-2/(n^2 - 1)}{-1/n^2} && \text{l'Hôpital Kuralı} \\
 &= \lim_{n \rightarrow \infty} \frac{2n^2}{n^2 - 1} = 2.
 \end{aligned}$$

bulunur.  $\ln a_n \rightarrow 2$  ve  $f(x) = e^x$  sürekli olduğundan, Teorem 4

$$a_n = e^{\ln a_n} \rightarrow e^2$$

olduğunu söyler.  $\{a_n\}$  dizisi  $e^2$ 'ye yakınsar. ■

### Sık Karşılaşılan Limitler

Aşağıdaki teorem sık sık karşılaşılan bazı limitleri vermektedir.

#### TEOREM 5

Aşağıdaki altı dizi karşılarında gösterilen limitlere yakınsarlar.

1.  $\lim_{n \rightarrow \infty} \frac{\ln n}{n} = 0$
2.  $\lim_{n \rightarrow \infty} \sqrt[n]{n} = 1$
3.  $\lim_{n \rightarrow \infty} x^{1/n} = 1 \quad (x > 0)$
4.  $\lim_{n \rightarrow \infty} x^n = 0 \quad (|x| < 1)$
5.  $\lim_{n \rightarrow \infty} \left( 1 + \frac{x}{n} \right)^n = e^x \quad (\text{her } x \text{ için})$
6.  $\lim_{n \rightarrow \infty} \frac{x^n}{n!} = 0 \quad (\text{her } x \text{ için})$

(3)–(6) formüllerinde,  $n \rightarrow \infty$  iken  $x$  sabit kalır.

#### Faktöriyel Gösterim

$n!$  ("n faktöriyel") 1'den n'ye kadar olan tamsayıların  $1 \cdot 2 \cdot 3 \cdots n$  çarpımı anlamına gelir

$(n+1)! = (n+1) \cdot n!$  olduğuna dikkat edin. Yani

$$4! = 1 \cdot 2 \cdot 3 \cdot 4 = 24 \text{ ve}$$

$5! = 1 \cdot 2 \cdot 3 \cdot 4 \cdot 5 = 5 \cdot 4! = 120$  'dır.  $0!$ 'yi 1 olarak tanımlarız. Faktöriyeller, aşağıdaki tablonun gösterdiği gibi, eksponansiyellerden bile hızlı büyürler.

$n$	$e^n$ (yuvarlanmış)	$n!$
1	3	1
5	148	120
10	22,026	3,628,800
20	$4.9 \times 10^8$	$2.4 \times 10^{18}$

**İspat** Birinci limit Örnek 7 de hesaplanmıştır. Sonraki ikisi logaritma alarak ve Teorem 4'ü uygulayarak ispatlanabilir (Alıştırma 93 ve 94). Diğer ispatlar Ek 3'te verilmiştir. ■

#### ÖRNEK 10

Teorem 5'i Uygulamak

$$(a) \frac{\ln(n^2)}{n} = \frac{2 \ln n}{n} \rightarrow 2 \cdot 0 = 0 \quad \text{Formül 1}$$

$$(b) \sqrt[n]{n^2} = n^{2/n} = (n^{1/n})^2 \rightarrow (1)^2 = 1 \quad \text{Formül 2}$$

$$(c) \sqrt[n]{3n} = 3^{1/n}(n^{1/n}) \rightarrow 1 \cdot 1 = 1 \quad x = 3 \text{ ile Formül 3 ve Formül 2}$$

- (d)  $\left(-\frac{1}{2}\right)^n \rightarrow 0$   $x = -\frac{1}{2}$  ile Formül 4
- (e)  $\left(\frac{n-2}{n}\right)^n = \left(1 + \frac{-2}{n}\right)^n \rightarrow e^{-2}$   $x = -2$  ile Formül 5
- (f)  $\frac{100^n}{n!} \rightarrow 0$   $x = 100$  ile Formül 6

### Tekrarlamalı Tanımlar

Şimdiye kadar, her  $a_n$ 'yi doğrudan  $n$ 'nin değerinden hesapladık. Ama diziler genellikle

1. Başlangıç teriminin veya terimlerinin değer(ler)i ve
2. Sonraki terimleri kendilerinden önce gelen terimlerden hesaplamak için **tekrarlama formülü** adı verilen bir kural verilerek tanımlanır.

### ÖRNEK 11 Tekrarlamalı Olarak Tanımlanan Diziler

- (a)  $a_1 = 1$  ve  $a_n = a_{n-1} + 1$  ifadeleri pozitif tamsayılardan oluşan  $1, 2, 3, \dots, n, \dots$  dizisini tanımlar.  $a_1 = 1$  ile,  $a_2 = a_1 + 1 = 2$ ,  $a_3 = a_2 + 1 = 3$  vs. buluruz.
- (b)  $a_1 = 1$  ve  $a_n = n \cdot a_{n-1}$  ifadeleri faktöriyellerden oluşan  $1, 2, 6, 24, \dots, n!, \dots$  dizisini tanımlar.  $a_1 = 1$  ile,  $a_2 = 2 \cdot a_1 = 2$ ,  $a_3 = 3 \cdot a_2 = 6$ ,  $a_4 = 4 \cdot a_3 = 24$  vs. buluruz.
- (c)  $a_1 = 1$ ,  $a_2 = 1$  ve  $a_{n+1} = a_n + a_{n-1}$  ifadeleri **Fibonacci sayıları** denen  $1, 1, 2, 3, 5, \dots$  dizisini oluşturur.  $a_1 = 1$  ve  $a_2 = 1$  ile,  $a_3 = 1 + 1 = 2$ ,  $a_4 = 2 + 1 = 3$ ,  $a_5 = 3 + 2 = 5$  vs. elde ederiz.
- (d) Newton yöntemini uygulayarak görebileceğimiz gibi,  $x_0 = 1$  ve  $x_{n+1} = x_n - [(\sin x_n - x_n^2)/(\cos x_n - 2x_n)]$  ifadeleri,  $\sin x - x^2 = 0$  denkleminin bir çözümüne yakınsayan bir dizi tanımlarlar.

### Sınırlı Azalmayan Diziler

Genel bir dizinin terimleri, bazen büyütürek bazen de küçülerek, sıçramalar yapabilir. Dizilerin önemli özel bir çeşidi, her bir terimin en az kendisinden önceki kadar büyük olduğu dizilerdir.

#### TANIM

#### Azalmayan Diziler

Her  $n$  için  $a_n \leq a_{n+1}$  özelliğini taşıyan bir  $\{a_n\}$  dizisine **azalmayan dizi** denir.

### ÖRNEK 12 Azalmayan Diziler

- (a) Doğal sayılarından oluşan  $1, 2, 3, \dots, n, \dots$  dizisi.
- (b)  $\frac{1}{2}, \frac{2}{3}, \frac{3}{4}, \dots, \frac{n}{n+1}, \dots$  dizisi
- (c) Sabit  $\{3\}$  dizisi

İki tür azalmayan dizi vardır—terimleri herhangi sonlu bir sınırı aşan diziler ve aşmayanlar.

### TANIMLAR Sınırlı, Üst Sınır, En Küçük Üst Sınır

Her  $n$  için  $a_n \leq M$  olacak şekilde bir  $M$  sayısı varsa  $\{a_n\}$  dizisi üstten sınırlıdır.  $M$  sayısı  $\{a_n\}$  için bir üst sınırıdır.  $M$  sayısı  $\{a_n\}$ 'nin bir üst sınırı ise ve  $M$ 'den daha küçük bir sayı  $\{a_n\}$  için bir üst sınır olamıyorsa  $M$  sayısı  $\{a_n\}$ 'nin en küçük üst sınırıdır.

### ÖRNEK 13 Sınırlılık Tanımını Uygulamak

(a)  $1, 2, 3, \dots, n, \dots$  dizisinin bir üst sınırı yoktur.

(b)  $\frac{1}{2}, \frac{2}{3}, \frac{3}{4}, \dots, \frac{n}{n+1}, \dots$  dizisi üstten  $M = 1$  ile sınırlıdır.

$1$ 'den daha küçük bir sayı dizinin bir üst sınırı olamaz, dolayısıyla  $1$  en küçük üst sınırıdır (Alıştırma 113). ■

Üstten sınırlı azalmayan bir dizinin her zaman bir en küçük alt sınırı vardır. Bu reel sayıların, Ek 4'te incelenen, tamlık özelliğinin bir sonucudur.  $L$  en küçük üst sınırsa, dizinin  $L$ 'ye yakınsadığını ispatlayacağız.

( $1, a_1$ ), ( $2, a_2$ ),  $\dots$ , ( $n, a_n$ ),  $\dots$  noktalarını  $xy$ -düzleminde işaretlediğimizi varsayıñ.  $M$  dizinin bir üst sınırı ise bütün bu noktalar  $y = M$  doğrusu üzerinde veya aşağısında bulunacaktır (Şekil 11.4).  $y = L$  doğrusu bu tip doğruların en alta bulunanıdır. ( $n, a_n$ ) noktalarının hiçbirini  $y = L$ 'nın üzerinde bulunmaz, fakat bazıları,  $\epsilon$  pozitif bir sayı olmak üzere, daha alttaki bir  $y = L - \epsilon$  doğrusunun yukarısında bulunurlar. Dizi  $L$ 'ye yakınsar, çünkü

(a)  $n$ 'nin bütün değerleri için  $a_n \leq L$ 'dır ve

(b)  $\epsilon > 0$  ise,  $a_N > L - \epsilon$  olacak şekilde en azından bir  $N$  tam sayısı vardır.

$\{a_n\}$ 'nin azalmayan bir dizi olması bize ayrıca

$$\text{her } n \geq N \text{ için } a_n \geq a_N > L - \epsilon$$

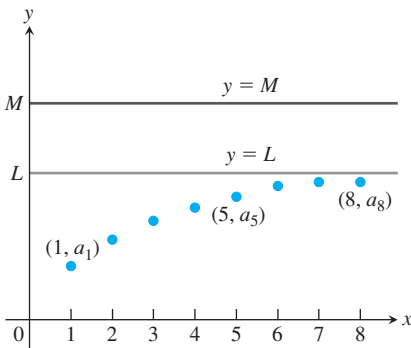
olduðunu söyler. Yani,  $N$ inci sayıdan büyük *bütün*  $a_n$  sayıları  $L$ 'nin  $\epsilon$  civarında bulunurlar. Bu da  $L$ 'nin  $\{a_n\}$  dizisinin limiti olma koşuludur.

Azalmayan dizilerin özellikleri aşağıdaki teoremdede özetlenmiştir. Artmayan diziler için de benzer bir sonuç geçerlidir (Alıştırma 107).

### TEOREM 6 Azalmayan Dizi Teoremi

Reel sayılarından oluşan azalmayan bir dizi, ancak ve yalnız üstten sınırlı ise yakınsar. Azalmayan bir dizi yakınsiyorsa, en küçük üst sınırına yakınsar.

Teorem 6, üstten sınırlı azalmayan bir dizinin yakınsak olmasını gerektirir. Dizi üstten sınırlı değilse sonsuza iraksar.



**SEKİL 11.4** Azalmayan bir dizinin terimlerinin bir  $M$  üst sınırı varsa, limitleri  $L \leq M$  olur.

## ALIŞTIRMALAR 11.1

### Bir Dizinin Terimlerini Bulmak

1–6 alıştırmalarının her birinde bir  $\{a_n\}$  dizisinin  $n$ . terimi  $a_n$ 'nin formülü verilmektedir.  $a_1, a_2, a_3$  ve  $a_4$ 'ün değerlerini bulun.

$$1. \ a_n = \frac{1-n}{n^2}$$

$$2. \ a_n = \frac{1}{n!}$$

$$3. \ a_n = \frac{(-1)^{n+1}}{2n-1}$$

$$4. \ a_n = 2 + (-1)^n$$

$$5. \ a_n = \frac{2^n}{2^{n+1}}$$

$$6. \ a_n = \frac{2^n - 1}{2^n}$$

7–12 alıştırmalarının her birinde dizinin ilk terimi veya ilk iki terimi ile birlikte bir tekrarlama formülü verilmektedir. Dizinin ilk on terimini yazın.

$$7. \ a_1 = 1, \ a_{n+1} = a_n + (1/2^n)$$

$$8. \ a_1 = 1, \ a_{n+1} = a_n/(n+1)$$

$$9. \ a_1 = 2, \ a_{n+1} = (-1)^{n+1}a_n/2$$

$$10. \ a_1 = -2, \ a_{n+1} = na_n/(n+1)$$

$$11. \ a_1 = a_2 = 1, \ a_{n+2} = a_{n+1} + a_n$$

$$12. \ a_1 = 2, \ a_2 = -1, \ a_{n+2} = a_{n+1}/a_n$$

### Bir Dizinin Formülünü Bulmak

13–22 alıştırmalarındaki dizilerin  $n$ . teriminin formülünü bulun.

$$13. \ 1, -1, 1, -1, 1, \dots$$

Değişen işaretli 1'ler

$$14. \ -1, 1, -1, 1, -1, \dots$$

Değişen işaretli 1'ler

$$15. \ 1, -4, 9, -16, 25, \dots$$

Pozitif tamsayıların kareleri, işaretleri değişiyor.

$$16. \ 1, -\frac{1}{4}, \frac{1}{9}, -\frac{1}{16}, \frac{1}{25}, \dots$$

Pozitif tamsayıların karelerinin tersleri, işaretleri değişiyor.

$$17. \ 0, 3, 8, 15, 24, \dots$$

Pozitif tamsayıların karelerinden 1 çıkartılmış

$$18. \ -3, -2, -1, 0, 1, \dots$$

-3'ten başlayan tamsayılar

$$19. \ 1, 5, 9, 13, 17, \dots$$

Her ikinci tek tamsayı

$$20. \ 2, 6, 10, 14, 18, \dots$$

Her ikinci çift tamsayı

$$21. \ 1, 0, 1, 0, 1, \dots$$

Sırayla değişen 1'ler ve 0'lar

$$22. \ 0, 1, 1, 2, 2, 3, 3, 4, \dots$$

Her tamsayıının tekrarlanması

### Limit Bulmak

23–81 alıştırmalarındaki  $\{a_n\}$  dizilerinden hangileri yakınsar, hangileri iraksar? Her yakınsak dizinin limitini bulun.

$$23. \ a_n = 2 + (0.1)^n$$

$$24. \ a_n = \frac{n + (-1)^n}{n}$$

$$25. \ a_n = \frac{1 - 2n}{1 + 2n}$$

$$26. \ a_n = \frac{2n + 1}{1 - 3\sqrt{n}}$$

$$27. \ a_n = \frac{1 - 5n^4}{n^4 + 8n^3}$$

$$28. \ a_n = \frac{n + 3}{n^2 + 5n + 6}$$

$$29. \ a_n = \frac{n^2 - 2n + 1}{n - 1}$$

$$30. \ a_n = \frac{1 - n^3}{70 - 4n^2}$$

$$31. \ a_n = 1 + (-1)^n$$

$$32. \ a_n = (-1)^n \left(1 - \frac{1}{n}\right)$$

$$33. \ a_n = \left(\frac{n+1}{2n}\right) \left(1 - \frac{1}{n}\right)$$

$$34. \ a_n = \left(2 - \frac{1}{2^n}\right) \left(3 + \frac{1}{2^n}\right)$$

$$35. \ a_n = \frac{(-1)^{n+1}}{2n-1}$$

$$36. \ a_n = \left(-\frac{1}{2}\right)^n$$

$$37. \ a_n = \sqrt{\frac{2n}{n+1}}$$

$$38. \ a_n = \frac{1}{(0.9)^n}$$

$$39. \ a_n = \sin\left(\frac{\pi}{2} + \frac{1}{n}\right)$$

$$40. \ a_n = n\pi \cos(n\pi)$$

$$41. \ a_n = \frac{\sin n}{n}$$

$$42. \ a_n = \frac{\sin^2 n}{2^n}$$

$$43. \ a_n = \frac{n}{2^n}$$

$$44. \ a_n = \frac{3^n}{n^3}$$

$$45. \ a_n = \frac{\ln(n+1)}{\sqrt{n}}$$

$$46. \ a_n = \frac{\ln n}{\ln 2n}$$

$$47. \ a_n = 8^{1/n}$$

$$48. \ a_n = (0.03)^{1/n}$$

$$49. \ a_n = \left(1 + \frac{7}{n}\right)^n$$

$$50. \ a_n = \left(1 - \frac{1}{n}\right)^n$$

$$51. \ a_n = \sqrt[3]{10n}$$

$$52. \ a_n = \sqrt[4]{n^2}$$

$$53. \ a_n = \left(\frac{3}{n}\right)^{1/n}$$

$$54. \ a_n = (n+4)^{1/(n+4)}$$

$$55. \ a_n = \frac{\ln n}{n^{1/n}}$$

$$56. \ a_n = \ln n - \ln(n+1)$$

$$57. \ a_n = \sqrt[n]{4^n n}$$

$$58. \ a_n = \sqrt[n]{3^{2n+1}}$$

$$59. \ a_n = \frac{n!}{n^n} \quad (\text{İpucu: } 1/n \text{ ile karşılaştırın.})$$

60.  $a_n = \frac{(-4)^n}{n!}$

62.  $a_n = \frac{n!}{2^n \cdot 3^n}$

64.  $a_n = \ln\left(1 + \frac{1}{n}\right)^n$

66.  $a_n = \left(\frac{n}{n+1}\right)^n$

68.  $a_n = \left(1 - \frac{1}{n^2}\right)^n$

70.  $a_n = \frac{(10/11)^n}{(9/10)^n + (11/12)^n}$

72.  $a_n = \sinh(\ln n)$

74.  $a_n = n\left(1 - \cos\frac{1}{n}\right)$

76.  $a_n = \frac{1}{\sqrt{n}} \tan^{-1} n$

78.  $a_n = \sqrt[n]{n^2 + n}$

80.  $a_n = \frac{(\ln n)^5}{\sqrt{n}}$

82.  $a_n = \frac{1}{\sqrt{n^2 - 1} - \sqrt{n^2 + n}}$

83.  $a_n = \frac{1}{n} \int_1^n \frac{1}{x} dx$

61.  $a_n = \frac{n!}{10^{6n}}$

63.  $a_n = \left(\frac{1}{n}\right)^{1/(\ln n)}$

65.  $a_n = \left(\frac{3n+1}{3n-1}\right)^n$

67.  $a_n = \left(\frac{x^n}{2n+1}\right)^{1/n}, \quad x > 0$

69.  $a_n = \frac{3^n \cdot 6^n}{2^{-n} \cdot n!}$

71.  $a_n = \tanh n$

73.  $a_n = \frac{n^2}{2n-1} \sin \frac{1}{n}$

75.  $a_n = \tan^{-1} n$

77.  $a_n = \left(\frac{1}{3}\right)^n + \frac{1}{\sqrt{2^n}}$

79.  $a_n = \frac{(\ln n)^{200}}{n}$

81.  $a_n = n - \sqrt{n^2 - n}$

- b.  $r_n = x_n/y_n$  kesirleri  $n$  arttıkça bir limite yaklaşırlar. Bu limit nedir? (İpucu:  $r_n^2 - 2 = \pm(1/y_n)^2$  olduğunu ve  $y_n$ 'nin  $n$ 'den küçük olmadığını göstermek için (a) şıklını kullanın.)

87. **Newton yöntemi** Aşağıdaki diziler Newton yönteminin

$$x_{n+1} = x_n - \frac{f(x_n)}{f'(x_n)}$$

tekrarlamalı formülünden gelirler. Diziler yakınsar mı? Yakınsarsa, hangi değere yakınsarlar? Her durumda, işe diziyi üreten  $f$  fonksiyonunu tanımlayarak başlayın.

a.  $x_0 = 1, \quad x_{n+1} = x_n - \frac{x_n^2 - 2}{2x_n} = \frac{x_n}{2} + \frac{1}{x_n}$

b.  $x_0 = 1, \quad x_{n+1} = x_n - \frac{\tan x_n - 1}{\sec^2 x_n}$

c.  $x_0 = 1, \quad x_{n+1} = x_n - 1$

88. a.  $f(x)$ 'in  $[0, 1]$  aralığındaki her  $x$  için türetilebildiğini ve  $f(0) = 0$  olduğunu varsayıñ.  $a_n = nf(1/n)$  kuralıyla  $\{a_n\}$  dizisini tanımlayın.  $\lim_{n \rightarrow \infty} a_n = f'(0)$  olduğunu gösterin.

- (a) şıklındaki sonucu kullanarak aşağıdaki  $\{a_n\}$  dizilerinin limitlerini bulun.

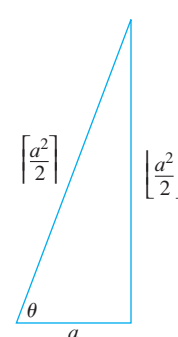
b.  $a_n = n \tan^{-1} \frac{1}{n}$  c.  $a_n = n(e^{1/n} - 1)$

d.  $a_n = n \ln\left(1 + \frac{2}{n}\right)$

89. **Pisagor üçlüleri**  $a^2 + b^2 = c^2$  ise, a, b ve c'den oluşan bir pozitif tamsayılar üçüsüne **Pisagor üçlüsü** denir. a bir tek tamsayı ve

$$b = \left\lfloor \frac{a^2}{2} \right\rfloor \quad \text{ve} \quad c = \left\lceil \frac{a^2}{2} \right\rceil$$

sırasıyla  $a^2/2$ 'nin tamsayı taban ve tavanları olsun.



- a.  $a^2 + b^2 = c^2$  olduğunu gösterin (İpucu:  $a = 2n + 1$  alın ve b ile c'yi n cinsinden ifade edin.)

## Teori ve Örnekler

85. Bir dizinin ilk terimi  $x_1 = 1$ 'dir. Birbirini izleyen her terim kendinden önce gelen terimlerin toplamıdır:

$$x_{n+1} = x_1 + x_2 + \cdots + x_n.$$

Dizi ilk terimlerinden yeteri kadarını yazarak,  $x_n$  için  $n \geq 2$  değerlerinde geçerli olacak genel bir formül yazın.

86. Bir rasyonel sayı dizisi aşağıdaki gibi tanımlanmaktadır:

$$\frac{1}{1}, \frac{3}{2}, \frac{7}{5}, \frac{17}{12}, \dots, \frac{a}{b}, \frac{a+2b}{a+b}, \dots$$

Burada paylar bir dizi, payalar ikinci bir dizi ve bunların oranları üçüncü bir dizi oluşturur.  $x_n$  ve  $y_n$  sırasıyla  $n$ . kesir  $r_n = x_n/y_n$ 'nin pay ve paydası olsun.

a.  $x_1^2 - 2y_1^2 = -1, x_2^2 - 2y_2^2 = +1$  ve daha genel olarak,  $a^2 - 2b^2 = -1$  veya  $+1$  ise sırasıyla

$$(a+2b)^2 - 2(a+b)^2 = +1 \text{ veya } -1,$$

olduğunu doğrulayın.

- b. Doğrudan hasaplayarak, veya şekele bakarak, aşağıdaki limiti bulun

$$\lim_{a \rightarrow \infty} \frac{\left\lfloor \frac{a^2}{2} \right\rfloor}{\left\lceil \frac{a^2}{2} \right\rceil}$$

### 90. $n!$ 'in $n$ . kökü

- a.  $\lim_{n \rightarrow \infty} (2n\pi)^{1/(2n)} = 1$  ve buradan Stirling yaklaşımını kullanarak (Bölüm 8, Ek Aşılıtmra 50a)

$n$ 'nin büyük değerleri için  $\sqrt[n]{n!} \approx \frac{n}{e}$  olduğunu gösterin.

- T** b. (a) şıklındaki yaklaşımı  $n = 40, 50, 60, \dots$ , hesap makineninizin izin verdiği kadar ilerleyerek hesaplayın.

91. a.  $c$  herhangi bir pozitif sabit olmak üzere,  $\lim_{n \rightarrow \infty} (1/n^c) = 0$  olduğunu varsayıyarak

$$\lim_{n \rightarrow \infty} \frac{\ln n}{n^c} = 0$$

olduğunu gösterin.

- b.  $c$  pozitif bir sabit ise,  $\lim_{n \rightarrow \infty} (1/n^c) = 0$  olduğunu ispatlayın. (İpucu:  $\epsilon = 0.001$  ve  $c = 0.04$  ise,  $n > N$  iken  $|1/n^c - 0| < \epsilon$  olmasını sağlamak için  $N$  ne kadar büyük olmalıdır?)

92. **Fermuar teoremi** Dizileri için “fermuar” teoremini ispatlayın:  $\{a_n\}$  ve  $\{b_n\}$  'nin ikisi de  $L$ 'ye yakınsıysa:

$$a_1, b_1, a_2, b_2, \dots, a_n, b_n, \dots$$

dizisi de  $L$ 'ye yakınsar.

93.  $\lim_{n \rightarrow \infty} \sqrt[n]{n} = 1$  olduğunu ispatlayın.

94.  $\lim_{n \rightarrow \infty} x^{1/n} = 1$ , ( $x > 0$ ) olduğunu ispatlayın.

95. Teorem 2'yi ispatlayın. 96. Teorem 3'ü ispatlayın.

97–100 alıştırmalarında, dizinin azalmayan olup olmadığını ve üstten sınırlı olup olmadığını belirleyin.

$$97. a_n = \frac{3n+1}{n+1}$$

$$98. a_n = \frac{(2n+3)!}{(n+1)!}$$

$$99. a_n = \frac{2^n 3^n}{n!}$$

$$100. a_n = 2 - \frac{2}{n} - \frac{1}{2^n}$$

101–106 alıştırmalarındaki dizilerden hangileri yakınsaktır, hangileri iraksaktır? Yanıtlarınızı açıklayın.

$$101. a_n = 1 - \frac{1}{n}$$

$$102. a_n = n - \frac{1}{n}$$

$$103. a_n = \frac{2^n - 1}{2^n}$$

$$104. a_n = \frac{2^n - 1}{3^n}$$

$$105. a_n = ((-1)^n + 1) \left( \frac{n+1}{n} \right)$$

106. Bir dizinin ilk terimi  $x_1 = \cos(1)$ 'dır. Bunu izleyen terimler,  $x_2 = x_1$  veya  $\cos(2)$ , hangisi daha büyükse, ve  $x_3 = x_2$  veya  $\cos(3)$ , hangisi daha büyükse, (sağa doğru bu şekilde devam eder) dir. Genel olarak,

$$x_{n+1} = \max \{x_n, \cos(n+1)\}$$

ile verilir.

- 107. Artmayan diziler** Her  $n$  için  $a_n \geq a_{n+1}$  olan bir  $\{a_n\}$  sayı dizisi **artmayan dizi** denir. Her  $n$  için  $M \leq a_n$  olacak şekilde bir  $M$  sayısı bulunabiliyorsa,  $\{a_n\}$  dizisi **alttan sınırlı**dır. Böyle bir  $M$  sayısına dizinin **alt sınırı** denir. Teorem 6'dan alttan sınırlı artmayan bir dizinin yakınsadığını ve alttan sınırlı olmayan artmayan bir dizinin iraksadığını çıkarın.

(Aşılıtmra 107'nin devamı) Aşılıtmra 107'nin sonucunu kullanarak, 108–112 alıştırmalarındaki dizilerin hangilerinin yakınsadığını, hangilerinin iraksadığını belirleyin.

$$108. a_n = \frac{n+1}{n}$$

$$109. a_n = \frac{1 + \sqrt{2n}}{\sqrt{n}}$$

$$110. a_n = \frac{1 - 4^n}{2^n}$$

$$111. a_n = \frac{4^{n+1} + 3^n}{4^n}$$

$$112. a_1 = 1, a_{n+1} = 2a_n - 3$$

- 113.  $\{n/(n+1)\}$  dizisinin en küçük üst sınırı 1'dir.**  $M$  1'den küçük bir sayısya,  $\{n/(n+1)\}$ 'in terimlerinin eninde sonunda  $M$ 'yi aşacağıni gösterin. Yani,  $M < 1$  ise, herhangi bir  $n > N$  için  $n/(n+1) > M$  olacak şekilde bir  $N$  tamsayısi vardır. Her  $n$  için,  $n/(n+1) < 1$  olduğundan, bu 1'in  $\{n/(n+1)\}$  için en küçük alt sınır olduğunu ispatlar.

- 114. En küçük üst sınırların tekliği**  $M_1$  ve  $M_2$   $\{a_n\}$  dizisinin en küçük üst sınırları ise,  $M_1 = M_2$  olduğunu gösterin. Yani, bir dizinin iki farklı en küçük üst sınırı olamaz.

- 115.** Pozitif sayılardan oluşan bir  $\{a_n\}$  dizisinin, üstten sınırlıysa, yakınsayacağı doğru mudur? Yanıtınızı açıklayın.

- 116.**  $\{a_n\}$  yakınsak bir diziyse, her pozitif  $\epsilon$  sayısına karşılık,

$$m > N \text{ ve } n > N \Rightarrow |a_m - a_n| < \epsilon$$

gerekirtmesi sağlanacak şekilde bir  $N$  tamsayısi bulunabileceğini gösterin.

- 117. Limitlerin tekliği** Dizilerin limitlerinin tek olduğunu ispatlayın. Yani,  $L_1$  ve  $L_2$ ,  $a_n \rightarrow L_1$  ve  $a_n \rightarrow L_2$  olacak şekilde iki sayı ise  $L_1 = L_2$  olduğunu gösterin.

- 118. Limitler ve alt diziler** Bir dizinin terimleri verilen sıralarıyla başka bir dizinin içinde yer alıysa, ilk diziye ikinci dizinin **alt dizisi** deriz. Bir  $\{a_n\}$  dizisinin iki alt dizisinin farklı  $L_1 \neq L_2$  limitleri varsa,  $\{a_n\}$ 'nin iraksadığını ispatlayın.

- 119.** Bir  $\{a_n\}$  dizisi için, çift indisli terimler  $a_{2k}$ , tek indisli terimler  $a_{2k+1}$  ile gösterilmektedir.  $a_{2k} \rightarrow L$  ve  $a_{2k+1} \rightarrow L$  ise,  $a_n \rightarrow L$  olduğunu ispatlayın.

- 120.** Bir  $\{a_n\}$  dizisi için ancak ve yalnız  $\{|a_n|\}$  mutlak değerler dizisi 0'a yakınsarsa, dizinin 0'a yakınsayacağını gösterin.

## T Limitlerin Hesap Makinesiyle Araştırılması

121–124 alıştırmalarında, eşitsizliğin her  $n > N$  için geçerli olmasını sağlayacak bir  $N$  değeri bulmak için hesap makinesiyle deneyeler yapın. Eşitsizliğin limitin formel tanımının bir ifadesi olduğunu varsayırsanız, her durumda hangi dizi ele alınmaktadır ve limiti nedir?

121.  $|\sqrt[n]{0.5} - 1| < 10^{-3}$       122.  $|\sqrt[n]{n} - 1| < 10^{-3}$

123.  $(0.9)^n < 10^{-3}$       124.  $2^n/n! < 10^{-7}$

**125. Newton yöntemiyle üretilen diziler** Türetilebilen bir  $f(x)$  fonksiyonuna uygulanan Newton yöntemi bir  $x_0$  başlangıç değeriyle başlar ve bundan uygun koşullarda  $f'$ nin bir sıfırına yakınsayan bir  $\{x_n\}$  dizisi üretir. Dizinin tekrarlama formülü şöyledir:

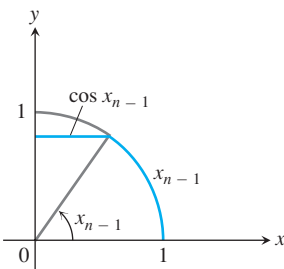
$$x_{n+1} = x_n - \frac{f(x_n)}{f'(x_n)}.$$

a.  $f(x) = x^2 - a$ ,  $a > 0$  için tekrarlama formülünün  $x_{n+1} = (x_n + a/x_n)/2$  olarak yazılabilceğini gösterin.

b.  $x_0 = 1$  ve  $a = 3$  ile başlayarak, sayılar tekrar etmeye başlayınca kadar dizinin birbirini izleyen terimlerini hesaplayın. Hangi sayıya yaklaşımaktadır. Açıklayın.

126. (Alıştırma 125'in devamı.) Alıştırma 125'in (b) şıklını  $a = 3$  yerine  $a = 2$  alarak tekrarlayın.

127.  $\pi/2$ 'nin tekrarlamalı bir tanımı  $x_1 = 1$  ile başlar ve  $\{x_n\}$ 'nin birbirini izleyen terimlerini  $x_n = x_{n-1} + \cos x_{n-1}$  kuralı ile tanımlarsanız, hızla  $\pi/2$ 'ye yakınsayan bir dizi üretirsiniz. a. Deneyin. b. Aşağıdaki şeği kullanarak yakınsamanın neden bu kadar hızlı olduğunu açıklayın.



128. *The Wall Street Journal*'ın 15 Aralık 1992 tarihli sayısının kapak makalesine göre, Ford Motor Şirketi, ortalama bir aracın kalıplarını hazırlamak için, 1980'deki tahmini 15 saatten düşük olarak  $7\frac{1}{4}$  saat harcamaktadır. Japonlar ise  $3\frac{1}{2}$  saatte bunu yapmaktadır.

Ford'un 1980'den beri gösterdiği ilerleme yılda ortalama %6'luk bir azalma gösterir. Bu oran sürekli olursa,  $n$  yıl sonra Ford ortalama bir aracın kalıpları için yaklaşık

$$S_n = 7.25(0.94)^n$$

saat harcayacaktır. Japonların araç başına  $3\frac{1}{2}$  saat harcamaya devam ettiklerini varsayırsak, Ford'un onlara yetişmesi kaç yıl sürer? Bunu iki yolla bulun:

a.  $\{S_n\}$  dizisinin 3.5'tan küçük veya ona eşit ilk terimini bulun.

T b.  $f(x) = 7.25(0.94)^x$ 'in grafiğini çizin ve Trace kullanarak grafiğin  $y = 3.5$  doğrusunu nerede kestiğini bulun.

### BİLGİSAYAR ARAŞTIRMALARI

129–140 alıştırmalarındaki dizilere aşağıdaki adımları uygularken bir BCS kullanın.

a. Dizinin ilk yirmibeş terimini hesaplayın ve işaretleyin. Dizinin alttan veya üstten bir sınırı var gibi gözükmeke midir? Size yakınsar gibi mi, yoksa iraksar gibi mi görünmektedir? Yakınsıyorsa,  $L$  limiti nedir?

b. Dizi yakınsıyorsa,  $n \geq N$  için  $|a_n - L| \leq 0.01$  olacak şekilde bir  $N$  tamsayısını bulun. Hangi adımdan sonra terimlerle  $L$  arasındaki uzaklık 0.0001'den küçük kalır?

129.  $a_n = \sqrt[n]{n}$

130.  $a_n = \left(1 + \frac{0.5}{n}\right)^n$

131.  $a_1 = 1$ ,  $a_{n+1} = a_n + \frac{1}{5^n}$

132.  $a_1 = 1$ ,  $a_{n+1} = a_n + (-2)^n$

133.  $a_n = \sin n$

134.  $a_n = n \sin \frac{1}{n}$

135.  $a_n = \frac{\sin n}{n}$

136.  $a_n = \frac{\ln n}{n}$

137.  $a_n = (0.9999)^n$

138.  $a_n = 123456^{1/n}$

139.  $a_n = \frac{8^n}{n!}$

140.  $a_n = \frac{n^{41}}{19^n}$

141. **Bileşik faizler, yatırma ve çekmeler**  $A_0$  miktarında parayı yılda  $m$  kere birleştirilen belirli bir yıllık  $r$  faiziyle yatırırsanız ve her birleştirme periyodunun sonunda hesaba sabit bir  $b$  miktarı eklenirse (veya  $b < 0$  ise çekilirse),  $n + 1$  katma periyodundan sonra elinize gelecek para

$$A_{n+1} = \left(1 + \frac{r}{m}\right)A_n + b \quad [1]$$

olacaktır.

a.  $A_0 = 1000$ ,  $r = 0.02015$ ,  $m = 12$  ve  $b = 50$  ise, ilk 100 ( $n, A_n$ ) noktasını hesaplayın ve çizin. 5 yıl sonra hesabınızda ne kadar para olur?  $\{A_n\}$  yakınsar mı?  $\{A_n\}$  sınırlı mıdır?

b. (a) şıklını  $A_0 = 5000$ ,  $r = 0.0589$ ,  $m = 12$  ve  $b = -50$  ile tekrarlayın.

c. Dört ayda bir birleştirilen ve yıllık %4.5 veren bir mevduat hesabına (MH) 5000 dolar yatırır ve MH'ye daha fazla katkıda bulunmazsanız, 20.000 dolarınız olana kadar yaklaşık kaç yıl geçer? Ya, MH yılda %6.25 veriyorsa?

d. Herhangi bir  $k \geq 0$  için, (1) denklemiyle tekrarlanarak tanımlanan dizinin

$$A_k = \left(1 + \frac{r}{m}\right)^k \left(A_0 + \frac{mb}{r}\right) - \frac{mb}{r} \quad [2]$$

bağıntısını sağladığı gösterilebilir.  $A_0$ ,  $r$ ,  $m$  ve  $b$  sabitlerinin (a) şıkkında verilen değerleri için, iki dizinin de ilk 50 teriminin değerlerini karşılaştırarak bunun doğruluğunu gösterin. Sonra, doğrudan yerine koyarak, (2) denklemindeki terimlerin, tekrarlama formülü (1)'i sağladığını gösterin.

#### 142. Lojistik fark denklemi

$$a_{n+1} = ra_n(1 - a_n)$$

tekrarlama bağıntısına *lojistik fark denklemi* denir ve başlangıç değeri  $a_0$  verildiğinde, denklem  $\{a_n\}$  *lojistik dizisini* tanımlar. Bu alıştırmada  $a_0$ 'ı  $0 < a_0 < 1$  aralığında, mesela  $a_0 = 0.3$ , seçeceğiz.

- a.  $r = 3/4$  alın. Dizideki ilk 100 term için  $(n, a_n)$  noktalarını hesaplayıp işaretleyin. Dizi yakınsıyor gibi midir? Sizce limit nedir? Limit  $a_0$  seçiminize bağlı mıdır?
- b.  $1 < r < 3$  aralığında birkaç  $r$  değeri seçerek, (a) şıkkındaki işlemleri tekrarlayın. Aralığın uç noktalarına yakın bazı noktalar seçtiğinizden emin olun. Çizimlerinizde gözlediğiniz dizilerin davranışını tanımlayın.
- c. Şimdi  $r$ 'nin  $3 < r < 3.45$  aralığının uç noktalarına yakın değerlerinde dizinin hareketini inceleyin.  $r = 3$  değerine **çatallanma değeri** denir ve dizinin aralıktaki davranışına **çekici 2'li-döngü** adı verilir. Bunun davranışını neden mantıklı olarak tanımladığını açıklayın.

- d. Sonra  $r$ 'nin  $3.45 < r < 3.54$  ve  $3.54 < r < 3.55$  aralıklarının her birinde üç noktalara yakın değerleri için davranışını araştırın. Dizinin ilk 200 terimini işaretleyin. Kendi kelimelerinizle, çizimlerinizde her aralık için gözlediğiniz davranışını tanımlayın. Dizi her aralıktı kaç değer arasında salınmaktadır?  $r = 3.45$  ve  $r = 3.54$  (2 ondalık basamağa yuvarlanmış) değerlerine de çatallanma değerleri denir, çünkü  $r$  bu değerleri aşarken dizinin davranışını değişim.
- e. Durum daha da ilginçleşir. Gerçekte, bir  $3 < 3.45 < 3.54 < \dots < c_n < c_{n+1} \dots$  çatallanma değerleri dizisi bulunur, öyle ki  $c_n < r < c_{n+1}$  için  $\{a_n\}$  lojistik dizisi **çekici 2"-döngüsü** adı verilen  $2^n$  değerleri arasında salınır. Dahası,  $\{c_n\}$  çatallanma dizisi yukarıdan 3.57 ile sınırlıdır (yani yakınsar). Bir  $r < 3.57$  değeri seçerseniz, bir çeşit  $2^n$ -döngüsü gözlarsınız.  $r = 3.5695$  seçin ve 300 nokta işaretleyin.
- f.  $r > 3.57$  olduğunda neler olacağına bakalım.  $r = 3.65$  seçin ve  $\{a_n\}$ 'nın ilk 300 terimini hesaplayıp, işaretleyin. Terimlerin nasıl tahmin edilemez, kaotik bir şekilde dolaştığına dikkat edin.  $a_{n+1}$ 'in değerini  $a_n$ 'nın değerinden bulamazsınız.
- g.  $r = 3.65$  için, birbirine yakın iki  $a_0$  başlangıç değeri seçin, örneğin  $a_0 = 0.3$  ve  $a_0 = 0.301$ . Her başlangıç değeriyle belirlenen dizilerin ilk 300 terimini hesaplayıp işaretleyin. Çizimlerinizde gözlediğiniz davranışları karşılaştırın. İki dizide de aynı indisli terimlerin birbirinden uzaklaşması için kaç terimleri gitmeniz gereklidir? Araştırmayı  $r = 3.75$  için tekrarlayın. Çizimlerinizin  $a_0$  seçiminize göre nasıl farklılık gösterdiklerini görebiliyor musunuz? Lojistik dizi *başlangıç koşulu  $a_0$ 'a duyarlıdır* deriz.

## 11.2

### Sonsuz Seriler

Bir sonsuz seri

$$a_1 + a_2 + a_3 + \dots + a_n + \dots$$

gibi bir sonsuz sayı dizisinin toplamıdır. Bu bölümün amacı böyle bir sonsuz toplamın anlamını kavramak ve bunu hesaplama yöntemleri geliştirmektir. Bir sonsuz seride toplanması gereken sonsuz tane terim bulunduğuundan ne elde edildiğini görmek için sadece toplamayı sürdürmekle kalamayız. Bunun yerine, dizinin ilk  $n$  terimini toplamak ve orada durmakla ne elde ettiğimize bakarız. İlk  $n$  terimin toplamı

$$s_n = a_1 + a_2 + a_3 + \dots + a_n$$

sıradan sonlu bir toplamdır ve normal toplama ile hesaplanabilir. Buna *n. kismi toplam* denir. Bölüm 11.1 de açıklanan, bir dizinin terimlerinin bir limite yaklaşması gibi, *n* büyükçe kısmi toplamların giderek bir limit değere yaklaşmasını bekleriz.

Örneğin,

$$1 + \frac{1}{2} + \frac{1}{4} + \frac{1}{8} + \frac{1}{16} + \dots$$

gibi bir ifadeye bir anlam yüklemek için başlangıçtan itibaren her defasında bir terim toplar ve bu kısmi toplamların nasıl büyüdüklerine ilişkin bir kalıp ararız.

Kısmi toplam	Kısmi toplam için önerilen ifade	Değer
Birinci: $s_1 = 1$	$2 - 1$	1
İkinci: $s_2 = 1 + \frac{1}{2}$	$2 - \frac{1}{2}$	$\frac{3}{2}$
Üçüncü: $s_3 = 1 + \frac{1}{2} + \frac{1}{4}$	$2 - \frac{1}{4}$	$\frac{7}{4}$
$\vdots$	$\vdots$	$\vdots$
<i>n.</i> : $s_n = 1 + \frac{1}{2} + \frac{1}{4} + \dots + \frac{1}{2^{n-1}}$	$2 - \frac{1}{2^{n-1}}$	$\frac{2^n - 1}{2^{n-1}}$

Gerçekten de bir kalıp vardır. Kısmi toplamlar *n*. terimi

$$s_n = 2 - \frac{1}{2^{n-1}}$$

olan bir dizi oluştururlar. Bu dizi 2'ye yakınsar, çünkü  $\lim_{n \rightarrow \infty} (1/2^n) = 0$ 'dır.

$$1 + \frac{1}{2} + \frac{1}{4} + \dots + \frac{1}{2^{n-1}} + \dots \text{ sonsuz serisinin toplamı } 2 \text{ dir}$$

deriz. Bu serinin içindeki herhangi bir sonlu toplam 2'ye eşit midir? Hayır. Sonsuz sayıda terimi gerçekten bir bir toplayabilir miyiz? Hayır. Ama yine de toplamlarını  $n \rightarrow \infty$  iken kısmi toplamlar dizisinin limiti olarak tanımlayabiliriz, bu durumda 2 (Şekil 11.5). Diziler ve limitler hakkındaki bilgilerimiz sonlu toplamlar çerçevesinden dışarıya çıkmamızı sağlar.



ŞEKİL 11.5  $1, \frac{1}{2}, \frac{1}{4}, \frac{1}{8}, \dots$  uzunlukları bir bir toplanırken, toplam 2'ye yaklaşır.

## TARİHSEL BİYOGRAFI

Blaise Pascal  
(1623–1662)

## TANIMLAR

## Sonsuz Seriler, n.inci Terim, Kısmı Toplam, Yakınsar, Toplam

Bir  $\{a_n\}$  sayı dizisi verilmiş olsun.

$$a_1 + a_2 + a_3 + \cdots + a_n + \cdots$$

şeklindeki bir ifadeye bir **sonsuz seri** denir.  $a_n$  sayısı serinin **n. terimidir**.

$$\begin{aligned} s_1 &= a_1 \\ s_2 &= a_1 + a_2 \\ &\vdots \\ s_n &= a_1 + a_2 + \cdots + a_n = \sum_{k=1}^n a_k \\ &\vdots \end{aligned}$$

ile tanımlanan  $\{s_n\}$  dizisine serinin **kısmı toplamlar dizisi** denir.  $s_n$  sayısı **n. kısmi toplam** dir. Kısmı toplamlar dizisi bir  $L$  limite yakınsiyorsa, seri **yakınsaktır** der ve **toplamanın L olduğunu söyleyiz**. Bu durumda, ayrıca

$$a_1 + a_2 + \cdots + a_n + \cdots = \sum_{n=1}^{\infty} a_n = L$$

yazarız. Serinin kısmi toplamlar dizisi yakınsamıyorsa, seri **ıraksaktır** deriz.

Verilen bir  $a_1 + a_2 + \cdots + a_n + \cdots$  serisini incelerken, yakınsadığını veya ıraksadığını bilmeyebiliriz. Her iki durumda da serileri

$$\sum_{n=1}^{\infty} a_n, \quad \sum_{k=1}^{\infty} a_k \quad \text{veya} \quad \sum a_n \quad \begin{array}{l} \text{1'den } \infty \text{'a kadar} \\ \text{toplam} \\ \text{anlaşıldığında} \\ \text{yararlı bir kısaltma} \end{array}$$

şeklinde yazmak için sigma gösterimini kullanmak uygundur.

## Geometrik Seriler

**Geometrik seriler**  $a$  ve  $r$  sabit reel sayılar ve  $a \neq 0$  olmak üzere,

$$a + ar + ar^2 + \cdots + ar^{n-1} + \cdots = \sum_{n=1}^{\infty} ar^{n-1}$$

şeklindeki serilerdir. **r oranı**,

$$1 + \frac{1}{2} + \frac{1}{4} + \cdots + \left(\frac{1}{2}\right)^{n-1} + \cdots$$

serisindeki gibi pozitif, veya

$$1 - \frac{1}{3} + \frac{1}{9} - \cdots + \left(-\frac{1}{3}\right)^{n-1} + \cdots$$

serisindeki gibi negatif olabilir.

$r = 1$  ise, (1) denklemindeki serinin  $n.$  kısmi toplamı

$$s_n = a + a(1) + a(1)^2 + \cdots + a(1)^{n-1} = na,$$

olur ve seri iraksar, çünkü,  $a$ 'nın işaretine bağlı olarak,  $\lim_{n \rightarrow \infty} s_n = \pm\infty$  olur.  $r = -1$  ise, seri iraksar, çünkü  $n$ . kısımı toplamları  $a$  ile 0 arasında değişip dururlar.  $|r| \neq 1$  ise, serinin yakınsaklığını veya iraksaklılığını aşağıdaki gibi inceleyebiliriz:

$$\begin{aligned} s_n &= a + ar + ar^2 + \cdots + ar^{n-1} \\ rs_n &= ar + ar^2 + \cdots + ar^{n-1} + ar^n \\ s_n - rs_n &= a - ar^n \\ s_n(1 - r) &= a(1 - r^n) \\ s_n &= \frac{a(1 - r^n)}{1 - r}, \quad (r \neq 1) \end{aligned}$$

$s_n$ 'yi  $r$  ile çarpin.  
 $s_n$ 'den  $rs_n$ 'yi çıkarın. Sağdaki terimlerin çoğu birbirini götürür.  
Çarpanlarına ayırin.  
 $r \neq 1$  ise,  $s_n$ 'yi çözebiliriz.

$|r| < 1$  ise,  $n \rightarrow \infty$  iken  $r^n \rightarrow 0$  (Bölüm 11.1'deki gibi) ve  $s_n \rightarrow a/(1 - r)$  bulunur.  $|r| > 1$  ise  $|r^n| \rightarrow \infty$  olur ve seri iraksar.

$|r| < 1$  ise,  $a + ar + ar^2 + \cdots + ar^{n-1} + \cdots$  geometrik serisi  $a/(1 - r)$ 'ye yakınsar.

$$\sum_{n=1}^{\infty} ar^{n-1} = \frac{a}{1 - r}, \quad |r| < 1$$

$|r| \geq 1$  ise, seri iraksar.

Bir geometrik serinin ne zaman yakınsadığını veya iraksadığını ve nereye yakınsadığını belirledik. Bundan sonraki birkaç bölümde göreceğimiz gibi çoğunlukla bir serinin nereye yakınsadığını bilmeksızın yakınsak olduğunu belirleyebiliriz. Bir geometrik serinin toplamını veren  $a/(1 - r)$  formülü *sadece*  $\sum_{n=1}^{\infty} ar^{n-1}$  ifadesindeki toplama indisi  $n = 1$  (veya seriyi  $\sum_{n=0}^{\infty} ar^n$  şeklinde yazarsak  $n = 0$ ) ile başladığında uygulanabilir.

### ÖRNEK 1 $n = 1$ ile Başlayan İndis

$a = 1/9$  ve  $r = 1/3$  ile oluşturulan geometrik seri

$$\frac{1}{9} + \frac{1}{27} + \frac{1}{81} + \cdots = \sum_{n=1}^{\infty} \frac{1}{9} \left(\frac{1}{3}\right)^{n-1} = \frac{1/9}{1 - (1/3)} = \frac{1}{6}$$

şeklindedir. ■

### ÖRNEK 2 $n = 0$ ile Başlayan İndis

$$\sum_{n=0}^{\infty} \frac{(-1)^n 5}{4^n} = 5 - \frac{5}{4} + \frac{5}{16} - \frac{5}{64} + \cdots$$

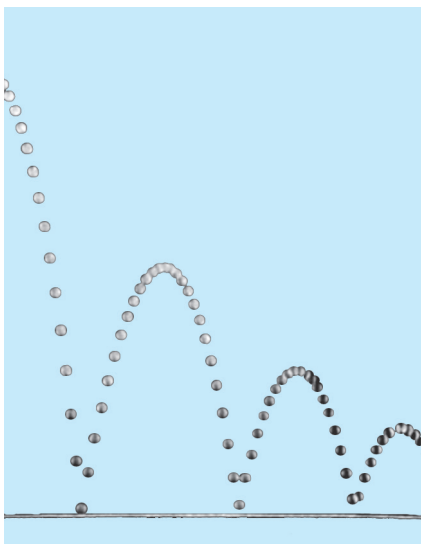
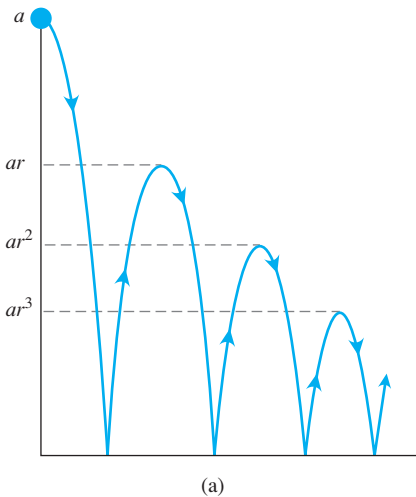
serisi,  $a = 5$  ve  $r = -1/4$  ile bir geometrik seridir. Bu seri

$$\frac{a}{1 - r} = \frac{5}{1 + (1/4)} = 4$$

değerine yakınsar. ■

### ÖRNEK 3 Ziplayan Bir Top

Bir topu  $a$  metre yüksekten düz bir yüzeye bırakıyorsunuz. Top bir  $h$  yüksekliğinden düşükten sonra her yüzeye çarptığında, bir  $rh$  yüksekliğine zıplıyor. Burada  $r$  pozitif, fakat 1'den küçüktür. Topun yukarı ve aşağı aldığı toplam yolu bulun (Şekil 11.6).



**FIGURE 11.6** (a) Örnek 3, her ziplamanın yüksekliği bir  $r$  çarpanı ile azalıyorsa, ziplayan bir topun aldığı toplam yol hesaplamak için bir geometrik serinin nasıl kullanılacağını göstermektedir. (b) Ziplayan bir topun stroboskopik bir fotoğrafı.

**Çözüm** Toplam mesafe

$$s = a + \underbrace{2ar + 2ar^2 + 2ar^3 + \cdots}_{\text{Bu toplam } 2ar/(1-r)} = a + \frac{2ar}{1-r} = a \frac{1+r}{1-r}$$

olarak bulunur. Örneğin,  $a = 6$  m ve  $r = 2/3$  ise, toplam mesafe

$$s = 6 \frac{1+(2/3)}{1-(2/3)} = 6 \left( \frac{5/3}{1/3} \right) = 30 \text{ m.}$$

olur.

#### ÖRNEK 4 Tekrarlanan Ondalık Basamaklar

Tekrarlanan  $5.232323\dots$  ondalık basamakları iki tamsayının oranı olarak ifade edin.

**Çözüm**

$$\begin{aligned} 5.232323\dots &= 5 + \frac{23}{100} + \frac{23}{(100)^2} + \frac{23}{(100)^3} + \dots \\ &= 5 + \frac{23}{100} \underbrace{\left( 1 + \frac{1}{100} + \left( \frac{1}{100} \right)^2 + \dots \right)}_{1/(1 - 0.01)} \\ &= 5 + \frac{23}{100} \left( \frac{1}{0.99} \right) = 5 + \frac{23}{99} = \frac{518}{99} \end{aligned}$$

Ne yazık ki, yakınsak bir geometrik serinin gibi formüller çok nadirdir ve çoğunlukla bir serinin toplamının bir tahminiyle yetinmek zorunda kalırız (bu konu daha sonra inceleneceler). Ancak, aşağıdaki örnek toplamı kesin olarak bulabildiğimiz başka bir durumdur.

#### ÖRNEK 5 Geometrik Olmayan Fakat Teleskopik Olan Seriler

$$\sum_{n=1}^{\infty} \frac{1}{n(n+1)}$$

serisinin toplamını bulun.

**Çözüm** Kısmi toplamlar dizisinde,  $s_k$  için bir formül verecek bir kalıp ararız. Anahtar,

$$\frac{1}{n(n+1)} = \frac{1}{n} - \frac{1}{n+1}$$

kısmı kesirler ayrışımındadır. Buradan,

$$\sum_{n=1}^k \frac{1}{n(n+1)} = \sum_{n=1}^k \left( \frac{1}{n} - \frac{1}{n+1} \right)$$

ve

$$s_k = \left( \frac{1}{1} - \frac{1}{2} \right) + \left( \frac{1}{2} - \frac{1}{3} \right) + \left( \frac{1}{3} - \frac{1}{4} \right) + \cdots + \left( \frac{1}{k} - \frac{1}{k+1} \right)$$

elde edilir. Parantezleri kaldırıp, zıt işaretli terimleri sadeleştirirsek,

$$s_k = 1 - \frac{1}{k+1}$$

buluruz.

Artık,  $k \rightarrow \infty$  iken,  $s_k \rightarrow 1$  olduğunu görüyoruz. Seri yakınsar ve toplamı 1'dir. :

$$\sum_{n=1}^{\infty} \frac{1}{n(n+1)} = 1$$

■

### Iraksak Seriler

Bir serinin yakınsak olmamasının bir nedeni terimlerinin giderek küçülmeyiştir.

#### ÖRNEK 6 Her Sayıyi Aşan Kısmı Toplamlar

(a)

$$\sum_{n=1}^{\infty} n^2 = 1 + 4 + 9 + \dots + n^2 + \dots$$

serisi iraksar, çünkü kısmi toplamlar her  $L$  sayısından daha büyütür.  $n = 1$ 'den sonra,  $s_n = 1 + 4 + 9 + \dots + n^2$  kısmi toplamı  $n^2$ 'den büyük olur.

(b)

$$\sum_{n=1}^{\infty} \frac{n+1}{n} = \frac{2}{1} + \frac{3}{2} + \frac{4}{3} + \dots + \frac{n+1}{n} + \dots$$

serisi iraksar, çünkü kısmi toplamlar önceden belirlenen her sayıyı aşar. Her terim 1'den büyütür, dolayısıyla,  $n$  terimin toplamı  $n$ 'den büyük olur.

■

### Iraksaklılık İçin $n$ . Terim Testi

$\sum_{n=1}^{\infty} a_n$  serisi yakınsaksa,  $\lim_{n \rightarrow \infty} a_n$ 'nin sıfırda eşit olması gerekligine dikkat edin. Ne denini anlamak için,  $S$  serinin toplamını temsil etsin ve  $s_n = a_1 + a_2 + \dots + a_n$  de  $n$ . kısmi toplam olsun.  $n$  büyükken, hem  $s_n$  hem de  $s_{n-1}$   $S$ 'ye yakındır, dolayısıyla farkları,  $a_n$  sıfırda yakındır. Daha düzgün olarak,

$$a_n = s_n - s_{n-1} \quad \rightarrow \quad S - S = 0$$

Diziler için  
Park Kuralı

yazılabilir.

Bunlar aşağıdaki teoremi getirir.

#### Dikkat

Teorem 7,  $a_n \rightarrow 0$  ise  $\sum_{n=1}^{\infty} a_n$ 'nin yakınsayacağını söylemez.  $a_n \rightarrow 0$  iken bir serinin iraksaması mümkün değildir.

#### TEOREM 7

$\sum_{n=1}^{\infty} a_n$  yakınsiyorsa,  $a_n \rightarrow 0$  olur.

Teorem 7, Örnek 6 da ortaya çıkan iraksaklılık çeşidini belirlemek için bir teste yol açar.

#### Iraksaklılık İçin $n$ . Terim Testi

$\lim_{n \rightarrow \infty} a_n$  yoksa veya sıfırdan farklıysa,  $\sum_{n=1}^{\infty} a_n$  iraksar.

**ÖRNEK 7**  $n.$  terim testini uygulayarak aşağıdakileri bulabiliriz:

- (a)  $\sum_{n=1}^{\infty} n^2$  iraksar, çünkü  $n^2 \rightarrow \infty$
- (b)  $\sum_{n=1}^{\infty} \frac{n+1}{n}$  iraksar, çünkü  $\frac{n+1}{n} \rightarrow 1$
- (c)  $\sum_{n=1}^{\infty} (-1)^{n+1}$  iraksar, çünkü  $\lim_{n \rightarrow \infty} (-1)^{n+1}$  yoktur
- (d)  $\sum_{n=1}^{\infty} \frac{-n}{2n+5}$  iraksar, çünkü  $\lim_{n \rightarrow \infty} \frac{-n}{2n+5} = -\frac{1}{2} \neq 0$  dır. ■

**ÖRNEK 8**  $a_n \rightarrow 0$ , Fakat Seri Iraksar.

Terimlerin toplamları 1 olan kümelere gruplandığından, dolayısıyla kısmi toplamlar sınırsız olarak büyüdüğünden

$$1 + \underbrace{\frac{1}{2} + \frac{1}{2}}_{2 \text{ terim}} + \underbrace{\frac{1}{4} + \frac{1}{4} + \frac{1}{4} + \frac{1}{4}}_{4 \text{ terim}} + \cdots + \underbrace{\frac{1}{2^n} + \frac{1}{2^n} + \cdots + \frac{1}{2^n}}_{2^n \text{ terim}} + \cdots$$

serisi iraksar. Halbuki serinin terimleri sıfıra yakınsayan bir dizi oluştururlar. Bölüm 11.3'teki Örnek 1, harmonik serinin de aynı biçimde davranışını gösterir. ■

### Serileri Birleştirmek

Elimizde iki yakınsak seri bulunuyorsa, bu serileri terim terim toplayabilir, terim terim çıkarabilir veya bunları sabitlerle çarparak yakınsak yeni seriler elde edebiliriz.

#### TEOREM 8

$\sum a_n = A$  ve  $\sum b_n = B$  yakınsak serilerse, aşağıdaki kurallar geçerlidir.

- |                                  |  |
|----------------------------------|--|
| 1. <i>Toplam Kuralı:</i>         | $\sum (a_n + b_n) = \sum a_n + \sum b_n = A + B$   |
| 2. <i>Fark Kuralı:</i>           | $\sum (a_n - b_n) = \sum a_n - \sum b_n = A - B$   |
| 3. <i>Sabitle Çarpım Kuralı:</i> | $\sum k a_n = k \sum a_n = kA$ (Herhangi bir $k$ ) |

**İspat** Seriler için bu üç kural, diziler için verilen Bölüm 11.1, Teorem 1'deki benzer kuralardan çıkar. Serilerin Toplam Kuralı'nı ispatlamak için,

$$A_n = a_1 + a_2 + \cdots + a_n, \quad B_n = b_1 + b_2 + \cdots + b_n.$$

olsun. Bu durumda,  $\sum (a_n + b_n)$ 'nin kısmi toplamları

$$\begin{aligned} s_n &= (a_1 + b_1) + (a_2 + b_2) + \cdots + (a_n + b_n) \\ &= (a_1 + \cdots + a_n) + (b_1 + \cdots + b_n) \\ &= A_n + B_n \end{aligned}$$

olur.

$A_n \rightarrow A$  ve  $B_n \rightarrow B$  olduğundan, dizilerin Toplam Kuralından  $s_n \rightarrow A + B$  elde ederiz. Fark Kuralı'nın ispatı da benzerdir.

Serilerin Sabitle Çarpım Kuralını ispatlamak için,  $\sum ka_n$ 'nin kısmi toplamlarının, dizilerin Sabitle Çarpım Kuralından  $kA$ 'ya yakınsayan

$$s_n = ka_1 + ka_2 + \cdots + ka_n = k(a_1 + a_2 + \cdots + a_n) = kA_n,$$

serisini oluşturduklarına dikkat edin. ■

Teorem 8'in sonuçları olarak şunları buluruz:

1. Iraksak bir serinin sıfırdan farklı sabit bir katı iraksar.
2.  $\sum a_n$  yakınsıyor ve  $\sum b_n$  iraksıyorsa, hem  $\sum(a_n + b_n)$  hem de  $\sum(a_n - b_n)$  iraksar.

İspatları atıyoruz.

**DİKKAT**  $\sum a_n$  ve  $\sum b_n$  serilerinin ikisi de iraksak iken  $\sum(a_n + b_n)$  serisinin yakınsayabildiğini hatırlayın. Örneğin,  $\sum a_n = 1 + 1 + 1 + \cdots$  ve  $\sum b_n = (-1) + (-1) + (-1) + \cdots$  iraksarlar oysa  $\sum(a_n + b_n) = 0 + 0 + 0 + \cdots$  sıfır yakınsar.

**ÖRNEK 9** Aşağıdaki serilerin toplamlarını bulun.

$$\begin{aligned} \text{(a)} \quad \sum_{n=1}^{\infty} \frac{3^{n-1} - 1}{6^{n-1}} &= \sum_{n=1}^{\infty} \left( \frac{1}{2^{n-1}} - \frac{1}{6^{n-1}} \right) \\ &= \sum_{n=1}^{\infty} \frac{1}{2^{n-1}} - \sum_{n=1}^{\infty} \frac{1}{6^{n-1}} \quad \text{Fark Kuralı} \\ &= \frac{1}{1 - (1/2)} - \frac{1}{1 - (1/6)} \quad a = 1 \text{ ve } r = 1/2, 1/6 \text{ ile geometrik seriler} \\ &= 2 - \frac{6}{5} \\ &= \frac{4}{5} \end{aligned}$$

$$\begin{aligned} \text{(b)} \quad \sum_{n=0}^{\infty} \frac{4}{2^n} &= 4 \sum_{n=0}^{\infty} \frac{1}{2^n} \quad \text{Sabitle Çarpım Kuralı} \\ &= 4 \left( \frac{1}{1 - (1/2)} \right) \quad a = 1 \text{ ve } r = 1/2 \text{ ile bir geometrik seri} \\ &= 8 \end{aligned}$$

### Terim eklemek veya çıkarmak

Bir seride her zaman, serinin yakınsaklığını veya iraksaklığını değiştirmeden, sonlu sayıda terim ekleyebilir veya sonlu sayıda terim çıkartabiliriz, ancak yakınsaklık durumunda bu genellikle toplamı değiştirir.  $\sum_{n=1}^{\infty} a_n$  yakınsiyorsa, herhangi bir  $k > 1$  için,  $\sum_{n=k}^{\infty} a_n$  de yakınsar ve

$$\sum_{n=1}^{\infty} a_n = a_1 + a_2 + \cdots + a_{k-1} + \sum_{n=k}^{\infty} a_n$$

yazılabilir. Tersten söylesek,  $\sum_{n=k}^{\infty} a_n$  herhangi bir  $k > 1$  için yakınsiyorsa,  $\sum_{n=1}^{\infty} a_n$  de yakınsar. Yani,

$$\sum_{n=1}^{\infty} \frac{1}{5^n} = \frac{1}{5} + \frac{1}{25} + \frac{1}{125} + \sum_{n=4}^{\infty} \frac{1}{5^n}$$

ve

$$\sum_{n=4}^{\infty} \frac{1}{5^n} = \left( \sum_{n=1}^{\infty} \frac{1}{5^n} \right) - \frac{1}{5} - \frac{1}{25} - \frac{1}{125}$$

olur.

### TARİHSEL BİYOGRAFİ

Richard Dedekind  
(1831–1916)

### Yeniden İndisleme

Terimlerinin sırasını korudukça, herhangi bir seriyi, yakınsaklığını değiştirmeden yeniden indisleyebiliriz. İndisin başlangıç değerini  $h$  birim yükseltmek için,  $a_n$ 'nin formülünde  $n$  yerine  $n-h$  yazın:

$$\sum_{n=1}^{\infty} a_n = \sum_{n=1+h}^{\infty} a_{n-h} = a_1 + a_2 + a_3 + \dots$$

İndisin başlangıç değerinin  $h$  birim azaltmak için,  $a_n$ 'nin formülünde  $n$  yerine  $n+h$  yazın:

$$\sum_{n=1}^{\infty} a_n = \sum_{n=1-h}^{\infty} a_{n+h} = a_1 + a_2 + a_3 + \dots$$

Bu yatay bir kayma gibi çalışır. Bunu, bir geometrik seride  $n=1$  indisini yerine  $n=0$  indisile başlamakta gördük, fakat herhangi başka bir başlangıç indisini de kullanabiliriz. Genellikle basit ifadeler veren indislemeleri tercih ederiz.

### ÖRNEK 10 Bir Geometrik Seri Yeniden İndislemek

$$\sum_{n=1}^{\infty} \frac{1}{2^{n-1}} = 1 + \frac{1}{2} + \frac{1}{4} + \dots$$

geometrik serisini

$$\sum_{n=0}^{\infty} \frac{1}{2^n}, \quad \sum_{n=5}^{\infty} \frac{1}{2^{n-5}}, \quad \text{veya hatta} \quad \sum_{n=-4}^{\infty} \frac{1}{2^{n+4}}.$$

şeklinde yazabilirmiz. Hangi indislemeyi seçersek seçelim kısmi toplamlar aynı kalır. ■

## ALIŞTIRMALAR 11.2

### *n. Kısmi Toplamları Bulmak*

1–6 alıştırmalarında, her serinin  $n$ .inci kısmi toplamı için bir formül bulun ve bunu, seri yakınsaka, serinin toplamını bulmak için kullanın.

$$1. 2 + \frac{2}{3} + \frac{2}{9} + \frac{2}{27} + \dots + \frac{2}{3^{n-1}} + \dots$$

$$2. \frac{9}{100} + \frac{9}{100^2} + \frac{9}{100^3} + \dots + \frac{9}{100^n} + \dots$$

$$3. 1 - \frac{1}{2} + \frac{1}{4} - \frac{1}{8} + \dots + (-1)^{n-1} \frac{1}{2^{n-1}} + \dots$$

$$4. 1 - 2 + 4 - 8 + \dots + (-1)^{n-1} 2^{n-1} + \dots$$

$$5. \frac{1}{2 \cdot 3} + \frac{1}{3 \cdot 4} + \frac{1}{4 \cdot 5} + \dots + \frac{1}{(n+1)(n+2)} + \dots$$

$$6. \frac{5}{1 \cdot 2} + \frac{5}{2 \cdot 3} + \frac{5}{3 \cdot 4} + \dots + \frac{5}{n(n+1)} + \dots$$

### Geometrik Terimli Seriler

7–14 alıştırmalarında, her serinin ilk birkaç terimini yazarak serilerin nasıl başladığını gösterin. Serinin toplamını bulun.

$$7. \sum_{n=0}^{\infty} \frac{(-1)^n}{4^n}$$

$$8. \sum_{n=2}^{\infty} \frac{1}{4^n}$$

9.  $\sum_{n=1}^{\infty} \frac{7}{4^n}$

11.  $\sum_{n=0}^{\infty} \left( \frac{5}{2^n} + \frac{1}{3^n} \right)$

13.  $\sum_{n=0}^{\infty} \left( \frac{1}{2^n} + \frac{(-1)^n}{5^n} \right)$

10.  $\sum_{n=0}^{\infty} (-1)^n \frac{5}{4^n}$

12.  $\sum_{n=0}^{\infty} \left( \frac{5}{2^n} - \frac{1}{3^n} \right)$

14.  $\sum_{n=0}^{\infty} \left( \frac{2^{n+1}}{5^n} \right)$

### Teleskopik Seriler

15–22 alıştırmalarındaki her serinin toplamını kısmi kesirler kullanarak bulun..

15.  $\sum_{n=1}^{\infty} \frac{4}{(4n-3)(4n+1)}$

16.  $\sum_{n=1}^{\infty} \frac{6}{(2n-1)(2n+1)}$

17.  $\sum_{n=1}^{\infty} \frac{40n}{(2n-1)^2(2n+1)^2}$

18.  $\sum_{n=1}^{\infty} \frac{2n+1}{n^2(n+1)^2}$

19.  $\sum_{n=1}^{\infty} \left( \frac{1}{\sqrt{n}} - \frac{1}{\sqrt{n+1}} \right)$

20.  $\sum_{n=1}^{\infty} \left( \frac{1}{2^{1/n}} - \frac{1}{2^{1/(n+1)}} \right)$

21.  $\sum_{n=1}^{\infty} \left( \frac{1}{\ln(n+2)} - \frac{1}{\ln(n+1)} \right)$

22.  $\sum_{n=1}^{\infty} (\tan^{-1}(n) - \tan^{-1}(n+1))$

### Yakınsaklık veya Iraksaklık

23–40 alıştırmalarındaki serilerin hangileri yakınsak hangileri iraksaktır? Yanılarınızı açıklayın. Yakınsak serilerin toplamını bulun.

23.  $\sum_{n=0}^{\infty} \left( \frac{1}{\sqrt{2}} \right)^n$

24.  $\sum_{n=0}^{\infty} (\sqrt{2})^n$

25.  $\sum_{n=1}^{\infty} (-1)^{n+1} \frac{3}{2^n}$

26.  $\sum_{n=1}^{\infty} (-1)^{n+1} n$

27.  $\sum_{n=0}^{\infty} \cos n\pi$

28.  $\sum_{n=0}^{\infty} \frac{\cos n\pi}{5^n}$

29.  $\sum_{n=0}^{\infty} e^{-2n}$

30.  $\sum_{n=1}^{\infty} \ln \frac{1}{n}$

31.  $\sum_{n=1}^{\infty} \frac{2}{10^n}$

32.  $\sum_{n=0}^{\infty} \frac{1}{x^n}, \quad |x| > 1$

33.  $\sum_{n=0}^{\infty} \frac{2^n - 1}{3^n}$

34.  $\sum_{n=1}^{\infty} \left( 1 - \frac{1}{n} \right)^n$

35.  $\sum_{n=0}^{\infty} \frac{n!}{1000^n}$

36.  $\sum_{n=1}^{\infty} \frac{n^n}{n!}$

37.  $\sum_{n=1}^{\infty} \ln \left( \frac{n}{n+1} \right)$

38.  $\sum_{n=1}^{\infty} \ln \left( \frac{n}{2n+1} \right)$

39.  $\sum_{n=0}^{\infty} \left( \frac{e}{\pi} \right)^n$

40.  $\sum_{n=0}^{\infty} \frac{e^{n\pi}}{\pi^{ne}}$

### Geometrik Seriler

41–44 alıştırmalarındaki serilerin her birinde,  $a$  ve  $r'$ yi bulmak için serinin ilk birkaç terimini yazın ve serinin toplamını bulun. Sonra

$|r| < 1$  eşitsizliğini  $x$  cinsinden ifade ederek eşitsizliğin sağlandığı ve serinin yakınsak olduğu  $x$  değerlerini bulun.

41.  $\sum_{n=0}^{\infty} (-1)^n x^n$

42.  $\sum_{n=0}^{\infty} (-1)^n x^{2n}$

43.  $\sum_{n=0}^{\infty} 3 \left( \frac{x-1}{2} \right)^n$

44.  $\sum_{n=0}^{\infty} \frac{(-1)^n}{2} \left( \frac{1}{3+\sin x} \right)^n$

45–50 alıştırmalarında, verilen geometrik serinin yakınsak olduğu  $x$  değerlerini bulun. Ayrıca,  $x$ 'in bu değerlerinde serilerin toplamını ( $x$ 'in bir fonksiyonu olarak) bulun.

45.  $\sum_{n=0}^{\infty} 2^n x^n$

46.  $\sum_{n=0}^{\infty} (-1)^n x^{-2n}$

47.  $\sum_{n=0}^{\infty} (-1)^n (x+1)^n$

48.  $\sum_{n=0}^{\infty} \left( -\frac{1}{2} \right)^n (x-3)^n$

49.  $\sum_{n=0}^{\infty} \sin^n x$

50.  $\sum_{n=0}^{\infty} (\ln x)^n$

### Tekrarlanan Ondalık Basamaklar

51–58 alıştırmalarındaki sayıların her birini iki tamsayının oranı olarak ifade edin.

51.  $0.\overline{23} = 0.23\ 23\ 23\dots$

52.  $0.\overline{234} = 0.234\ 234\ 234\dots$

53.  $0.\overline{7} = 0.7777\dots$

54.  $0.\overline{d} = 0.dddd\dots d$  bir basamaklıdır.

55.  $0.\overline{06} = 0.06666\dots$

56.  $1.\overline{414} = 1.414\ 414\ 414\dots$

57.  $1.2\overline{4123} = 1.24\ 123\ 123\ 123\dots$

58.  $3.\overline{142857} = 3.142857\ 142857\dots$

### Teori ve Örnekler

59. Örnek 5'teki seri

$$\sum_{n=1}^{\infty} \frac{1}{(n+1)(n+2)} \quad \text{ve} \quad \sum_{n=-1}^{\infty} \frac{1}{(n+3)(n+4)}$$

olarak da yazılabilir. Bu seriyi (a)  $n = -2$ , (b)  $n = 0$ , (c)  $n = 5$  ile başlayan birer seri olarak yazın.

60. Örnek 6'daki seri

$$\sum_{n=1}^{\infty} \frac{5}{n(n+1)} \quad \text{ve} \quad \sum_{n=0}^{\infty} \frac{5}{(n+1)(n+2)}.$$

olarak da yazılabilir. Bu seriyi (a)  $n = -1$ , (b)  $n = 3$ , (c)  $n = 20$  ile başlayan birer seri olarak yazın.

61. Sıfırdan farklı terimlerden oluşan ve toplamları

a. 1    b. -3    c. 0

olan sonsuz seriler kurun.

62. (Alıştırma 61'in devamı) İstediğiniz sayıya yakınsayan sıfırdan farklı terimli sonsuz bir seri kurabilirmisiniz? Açıklayın.

63. Örnekle,  $\sum a_n$  ve  $\sum b_n$  yakınsak olsa ve hiçbir  $b_n$  sıfır olmása bile,  $\sum (a_n/b_n)$ 'nin iraksayabileceğini gösterin.

64.  $\sum a_n b_n$ 'nin  $AB$ 'ye eşit olmadan yakınsayabileceğini gösterecek yakınsak  $A = \sum a_n$  ve  $B = \sum b_n$  geometrik serisi bulun.
65. Örnekle,  $A = \sum a_n$ ,  $B = \sum b_n \neq 0$  olsa ve hiçbir  $b_n$  sıfır olmasa bile,  $\sum (a_n/b_n)$ 'nin  $A/B$ 'den farklı bir sayıya yakınsayabileceğini gösterin.
66.  $\sum a_n$  yakınsıyorsa ve her  $n$  için  $a_n > 0$  ise,  $\sum (1/a_n)$  hakkında bir şey söylenebilir mi? Yanınızı açıklayın.
67. Iraksak bir seriye sonlu sayıda terim eklerseniz veya iraksak bir seriden sonlu sayıda terim çıkarırsanız ne olur? Yanınızı açıklayın.
68.  $\sum a_n$  yakınsak ve  $\sum b_n$  iraksaksa, terim-terim toplamları  $\sum (a_n + b_n)$  hakkında bir şey söylenebilir mi? Yanınızı açıklayın.
69. Aşağıdaki koşullarda, 5'ye yakınsayan bir  $\sum ar^{n-1}$  geometrik serisi kurun.
- a.  $a = 2$   
b.  $a = 13/2$ .

70.

$$1 + e^b + e^{2b} + e^{3b} + \dots = 9$$

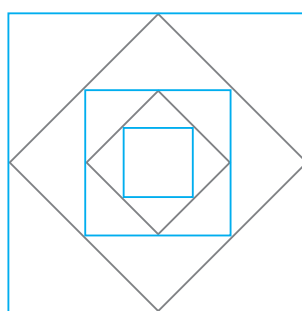
olmasını sağlayacak  $b$  değerini bulun.

71. Hangi  $r$  değerlerinde

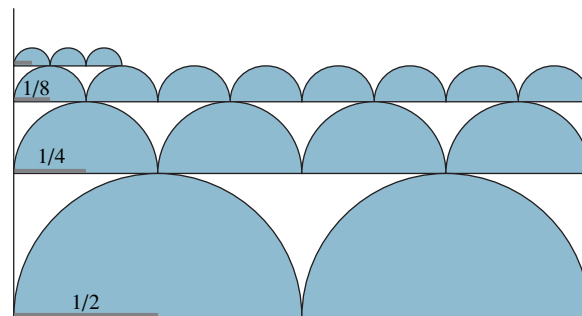
$$1 + 2r + r^2 + 2r^3 + r^4 + 2r^5 + r^6 + \dots$$

sonsuz serisi yakınsar? Yakınsak serinin toplamını bulun.

72. Yakınsak bir seri yerine  $s_n$  kısmi toplamlarından birini yazmanın vereceği ( $L - s_n$ ) hatasının  $ar^n/(1-r)$  olduğunu gösterin.
73. Bir top 4 m yükseklikten bırakılmaktadır.  $h$  metrelik yükseklikten kaldırıma her çarptığında 0.75 $h$  yüksekliğine sıçramaktadır. Topun aşağı ve yukarı aldığı toplam mesafeyi bulun.
74. (Alıştırma 73'ün devamı) Alıştırma 73'teki topun hareket ettiği toplam süreyi saniye olarak bulun. (İpucu:  $s = 4.9t^2$  formülü  $t = \sqrt{s}/4.9$  verir.)
75. Aşağıdaki şekil bir kareler dizisinin ilk beşini göstermektedir. En dıştaki karenin alanı  $4 \text{ m}^2$ 'dir. Diğer her kare kendinden önceki karelerin kenarlarının orta noktaları birleştirilerek oluşturulmuştur. Tüm karelerin alanlarının toplamını bulun.

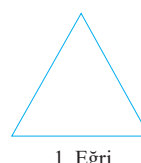


76. Aşağıdaki şekil yarıçapları  $1/2^n$  olan  $2^n$  yarıçaplı yarı çemberlerden oluşan bir dizinin ilk üç sırasını ve dördüncü sırasının bir bölümünü göstermektedir.  $n$ . sıradaki yarıçapları  $1/2^n$  olan  $2^n$  yarıçaplı yarı çember vardır. Tüm yarıçaplı yarı çemberlerin alanlarının toplamını bulun.

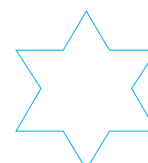


77. **Helga von Koch'un kar tanesi eğrisi** Helga von Koch'un kar tanesi eğrisi sonlu bir alanı sınırlayan sonsuz uzunluklu bir eğridir. Bunun neden böyle olduğunu anlamak için, eğrinin kenarları 1 uzunluğunda olan bir eşkenar üçgenle başlatıldığını varsayıyın.

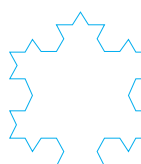
- a.  $n$ . eğri  $C_n$ 'nin uzunluğu  $L_n$ 'yi bulun ve  $\lim_{n \rightarrow \infty} L_n = \infty$  olduğunu gösterin.
- b.  $C_n$ 'nin çevrelediği  $A_n$  alanını bulun ve  $\lim_{n \rightarrow \infty} A_n$ 'yi hesaplayın.



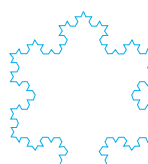
1. Eğri



2. Eğri

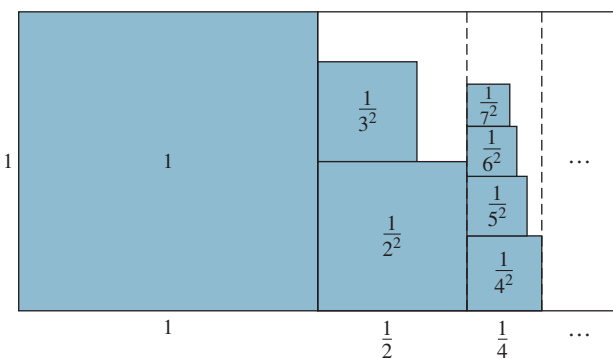


3. Eğri



4. Eğri

78. Aşağıdaki şekil  $\sum_{n=1}^{\infty} (1/n^2)$ 'nin 2'den küçük olduğunu formel olmayan bir ispatını verir. Ne olduğunu açıklayın. (Kaynak: "Convergence with Pictures", P.J. Rippon, *American Mathematical Monthly*, Vol. 93, No. 6, 1986, s. 476-478.)



## 11.3

## Integral Testi

Elimizde bir  $\sum a_n$  serisi varsa, iki soru sorarız:

1. Seri yakınsar mı?
2. Yakınsarsa, toplamı nedir?

Bu bölümün geri kalanının çoğu ilk soruya ayrılmıştır ve bu bölümde,  $\int_1^\infty f(x) dx$  genelleştirilmiş integralinin yakınsaklığına bir bağlantı kurarak, bu soruyu cevaplıyoruz. Fakat pratik bakımdan, ikinci soru da aynı derecede önemlidir ve buna daha sonra döneceğiz.

Bu ve bundan sonraki iki alt bölümde, negatif terimler içermeyen serileri inceleyeceğiz. Bu kısıtlamanın nedeni, bu serilerin kısmi toplamlarının azalmayan diziler oluşturmasının ve üstten sınırlı azalmayan dizilerin daima yakınsamasıdır. (Bölüm 11.1, Teorem 6). Terimleri negatif olmayan bir serinin yakınsadığını göstermek için, sadece kısmi toplamlarının üstten sınırlı olduğunu göstermemiz gereklidir.

Bu yaklaşımın söz konusu serinin toplamını bulmadan yakınsaklığını belirlemesi, ilk bakışta bir çekingenlik yaratabilir. Elbette, serilerin toplamlarını doğrudan kısmi toplamların formüllerinden hesaplamak daha iyidir. Fakat birçok durumda, bu tip formüller bulunamaz ve bunların yokluğunda, önce yakınsaklığını doğrulamak, sonra da toplama yaklaşım yapmakta oluşan iki adımlı işleme dönmemek zorunda kalırız.

### Azalmayan Kısmı Toplamlar

$\sum_{n=1}^\infty a_n$ 'nin, her  $n$  için  $a_n \geq 0$  olacak şekilde bir sonsuz seri olduğunu varsayıy়. Bu durumda, her kısmi toplam kendinden öncekine eşit veya ondan büyütür, çünkü  $s_{n+1} = s_n + a_n$ 'dır:

$$s_1 \leq s_2 \leq s_3 \leq \cdots \leq s_n \leq s_{n+1} \leq \cdots$$

Kısmi toplamlar azalmayan bir dizi oluşturduklarından dolayı, Azalmayan Dizi Teoremi (Bölüm 11.1, Teorem 6) serinin ancak ve yalnız kısmi toplamları üstten sınırlıya yakınsayacağını söyler.

#### Teorem 6'ın Sonucu

Negatif terimler içermeyen bir  $\sum_{n=1}^\infty a_n$  serisi ancak ve yalnız kısmi toplamları üstten sınırlıya yakınsar.

### ÖRNEK 1 Harmonik Seri

#### TARİHSEL BİYOGRAFI

Nicole Oresme  
(1320–1382)

$$\sum_{n=1}^\infty \frac{1}{n} = 1 + \frac{1}{2} + \frac{1}{3} + \cdots + \frac{1}{n} + \cdots$$

serisine **harmonik seri** denir. Harmonik seri iraksar, fakat  $n$ . Terim Testinden dolayı değildir.  $n$ .inci terim,  $1/n$ , sıfıra gider fakat seri yine de iraksaktır. Iraksamanın nedeni kısmi toplamlarının bir üst sınırının olmamasıdır. Nedenini anlamak için, serideki terimleri aşağıdaki şekilde grupperdir:

$$1 + \frac{1}{2} + \left( \frac{1}{3} + \frac{1}{4} \right) + \left( \frac{1}{5} + \frac{1}{6} + \frac{1}{7} + \frac{1}{8} \right) + \left( \frac{1}{9} + \frac{1}{10} + \cdots + \frac{1}{16} \right) + \cdots$$

$\underbrace{\quad}_{> \frac{2}{4} = \frac{1}{2}}$        $\underbrace{\quad}_{> \frac{4}{8} = \frac{1}{2}}$        $\underbrace{\quad}_{> \frac{8}{16} = \frac{1}{2}}$

İlk iki terimin toplamı 1.5'tir. Sonraki iki terimin toplamı ise,  $1/4 + 1/4 = 1/2$ 'den büyük olan  $1/3 + 1/4$ 'tür. Bundan sonraki dört terimin toplamı ise,  $1/5 + 1/6 + 1/7 + 1/8$ 'dir ki, bu da  $1/8 + 1/8 + 1/8 + 1/8 = 1/2$ 'den büyüktür. Sonraki sekiz terimin toplamı  $1/9 + 1/10 + 1/11 + 1/12 + 1/13 + 1/14 + 1/15 + 1/16$ 'dır ki, bu da  $8/16 = 1/2$ 'den büyüktür. Daha sonraki 16 terimin toplamı  $16/32 = 1/2$ 'den büyüktür ve toplam böyle devam eder. Genel olarak,  $1/2^{n+1}$  ile biten  $2^n$  terimin toplamı,  $2^n/2^{n+1} = 1/2$ 'den büyüktür. Kısmi toplamlar dizisi üstten sınırlı değildir:  $n = 2^k$  ise,  $s_n$  kısmi toplamı  $k/2$ 'den büyüktür. Harmonik seri iraksar.

### İntegral Testi

Integral Testini harmonik serile ilişkili, fakat  $n$ . terimi  $1/n$  yerine  $1/n^2$  olan bir serile tanıtacağız.

**ÖRNEK 2** Aşağıdaki seri yakınsar mı?

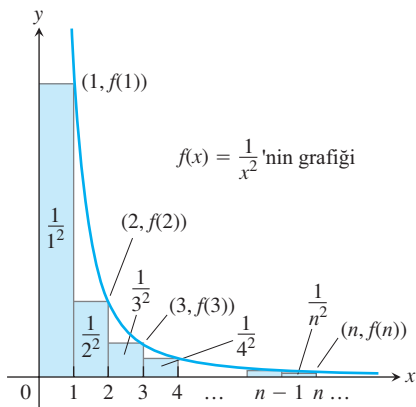
$$\sum_{n=1}^{\infty} \frac{1}{n^2} = 1 + \frac{1}{4} + \frac{1}{9} + \frac{1}{16} + \dots + \frac{1}{n^2} + \dots$$

**Çözüm**  $\sum_{n=1}^{\infty} (1/n^2)$ 'nin yakınsaklığını,  $\int_1^{\infty} (1/x^2) dx$  ile karşılaştırarak belirleriz. Karşılaştırmayı sürdürmek için, serinin terimlerini  $f(x) = 1/x^2$  fonksiyonunun değerleri olarak düşünür ve bu değerleri  $y = 1/x^2$  eğrisinin altındaki dikdörtgenlerin alanları olarak yorumlarız.

Şekil 11.7'den görüldüğü gibi,

$$\begin{aligned} s_n &= \frac{1}{1^2} + \frac{1}{2^2} + \frac{1}{3^2} + \dots + \frac{1}{n^2} \\ &= f(1) + f(2) + f(3) + \dots + f(n) \\ &< f(1) + \int_1^n \frac{1}{x^2} dx \\ &< 1 + \int_1^{\infty} \frac{1}{x^2} dx \\ &< 1 + 1 = 2. \end{aligned}$$

Bölüm 8.8, Örnek 3'te olduğu gibi,  $\int_1^{\infty} (1/x^2) dx = 1$  dir.



**ŞEKİL 11.7**  $f(x) = 1/x^2$ 'nin grafiği altındaki dikdörtgenlerin alanlarının toplamı grafiğin altındaki alandan küçüktür (Örnek 2).

#### Dikkat

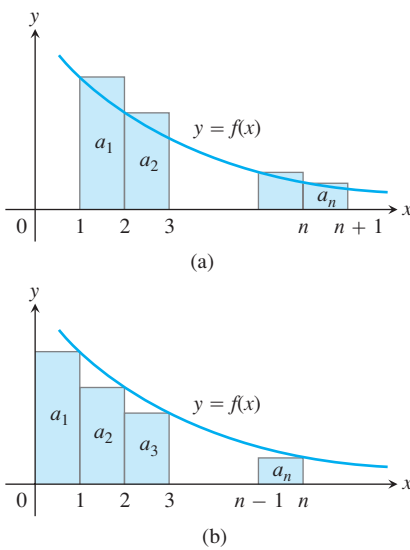
Yakınsaklılık durumunda serinin ve integralin değerlerinin aynı olması gerekmek. Örnek 2'de gördüğümüz gibi,  $\sum_{n=1}^{\infty} (1/n^2) = \pi^2/6$  iken  $\int_1^{\infty} (1/x^2) dx = 1$  'dir.

### TEOREM 9 İntegral Testi

$\{a_n\}$  pozitif terimli bir dizi olsun  $f$ , her  $x \geq N$  ( $N$  pozitif bir tamsayı) için  $x$ 'in sürekli, pozitif ve azalan bir fonksiyonu olmak üzere,  $a_n = f(n)$  olduğunu varsayıyın. Bu durumda,  $\sum_{n=N}^{\infty} a_n$  serisi ve  $\int_N^{\infty} f(x) dx$  integralinin ikisi de ya yakınsar, ya da iraksar.

**İspat** Testi  $N = 1$  için kullanacağımız. Genel  $N$  değerleri için ispat benzerdir.

$f$ 'nin, her  $n$  için  $f(n) = a_n$  olmak üzere, azalan bir fonksiyon olduğu varsayımyla işe başlıyoruz. Bu bizi, Şekil 11.8(a)'da, alanları  $a_1, a_2, \dots, a_n$  olan dikdörtgenlerin, birlikte,



$x = 1$ 'den  $x = n + 1$ 'e kadar  $y = f(x)$  eğrisinin altında kalan alandan daha fazla alan kapladıklarını gözlemeye götürür. Yani,

$$\int_1^{n+1} f(x) dx \leq a_1 + a_2 + \cdots + a_n.$$

Şekil 11.8(b)'de, dikdörtgenler sağa doğru değil, sola doğru yerleştirilmişlerdir. Bir  $a_1$  için ilk dikdörtgeni göz ardı edersek,

$$a_2 + a_3 + \cdots + a_n \leq \int_1^n f(x) dx$$

olduğunu görürüz.  $a_1$ 'i de eklersek,

$$a_1 + a_2 + \cdots + a_n \leq a_1 + \int_1^n f(x) dx$$

buluruz. Bu iki sonucu birleştirmek

$$\int_1^{n+1} f(x) dx \leq a_1 + a_2 + \cdots + a_n \leq a_1 + \int_1^n f(x) dx$$

verir. Bu eşitsizlikler her  $n$  için geçerlidir ve  $n \rightarrow \infty$  iken de geçerli kalırlar.

$\int_1^\infty f(x) dx$  sonlu ise sağ taraftaki eşitsizlik  $\sum a_n$ 'nin sonlu olduğunu gösterir.  $\int_1^\infty f(x) dx$  sonsuz ise sol taraftaki eşitsizlik  $\sum a_n$ 'nin sonsuz olduğunu gösterir.

Dolayısıyla, seri ve integralin ikisi de ya sonludur, ya da sonsuzdur. ■

### ÖRNEK 3 $p$ -Seri

$$\sum_{n=1}^{\infty} \frac{1}{n^p} = \frac{1}{1^p} + \frac{1}{2^p} + \frac{1}{3^p} + \cdots + \frac{1}{n^p} + \cdots$$

**$p$ -serisinin** ( $p$  reel bir sabit)  $p > 1$  ise yakınsayacağını,  $p \leq 1$  ise iraksayacağını gösterin.

**Çözüm**  $p > 1$  ise,  $f(x) = 1/x^p$ ,  $x$ 'in pozitif azalan bir fonksiyonu olur.

$$\begin{aligned} \int_1^\infty \frac{1}{x^p} dx &= \int_1^\infty x^{-p} dx = \lim_{b \rightarrow \infty} \left[ \frac{x^{-p+1}}{-p+1} \right]_1^b \\ &= \frac{1}{1-p} \lim_{b \rightarrow \infty} \left( \frac{1}{b^{p-1}} - 1 \right) \\ &= \frac{1}{1-p} (0 - 1) = \frac{1}{p-1}, \end{aligned}$$

$p-1 > 0$  olduğundan  
 $b \rightarrow \infty$  iken  $b^{p-1} \rightarrow \infty$

olduğundan, İntegral Testine göre seri yakınsaktır.  $p$ -Serisinin toplamının  $1/(p-1)$  olmadığını vurguluyoruz. Seri yakınsaktır fakat hangi değere yakınsadığını bilmiyoruz.

$p < 1$  ise,  $1-p > 0$  ve

$$\int_1^\infty \frac{1}{x^p} dx = \frac{1}{1-p} \lim_{b \rightarrow \infty} (b^{1-p} - 1) = \infty.$$

olur. İntegral Testi'ne göre seri iraksaktır.

$p = 1$  ise, (iraksak) harmonik seriyi buluruz:

$$1 + \frac{1}{2} + \frac{1}{3} + \cdots + \frac{1}{n} + \cdots$$

$p > 1$  için yakınsaklık vardır, fakat başka her  $p$  değeri için iraksaklık bulunur.

$p = 1$  ile  $p$ -serisi **harmonik seridir** (Örnek 1).  $p$ -Serisi Testi harmonik serinin ancak zorbeli iraksaklığını gösterir;  $p'$ yi örneğin 1.000000001'e yükseltirsek seri yakınsak olur!

Harmonik serinin kısmi toplamlarının sonsuza gitmesinin yavaşlığı etkileyicidir. Örneğin, harmonik serinin kısmi toplamlarının 20'yi aşması için yaklaşık 178,482,301 terim gerekir. Hesap makinenizle bu kadar çok terimi toplamak birkaç hafta sürerdi. (Ayrıca, Alıştırma 33b'ye bakın)

#### ÖRNEK 4 Yakınsak Bir Seri

$$\sum_{n=1}^{\infty} \frac{1}{n^2 + 1}$$

serisi, İntegral Testine göre yakınsar.  $f(x) = 1/(x^2 + 1)$  fonksiyonu  $x \geq 1$  için pozitif, sürekli ve azalandır, ve

$$\begin{aligned} \int_1^{\infty} \frac{1}{x^2 + 1} dx &= \lim_{b \rightarrow \infty} [\arctan x]_1^b \\ &= \lim_{b \rightarrow \infty} [\arctan b - \arctan 1] \\ &= \frac{\pi}{2} - \frac{\pi}{4} = \frac{\pi}{4} \end{aligned}$$

tür. Yine serinin toplamının  $\pi/4$  olmadığını vurguluyoruz. Seri yakınsaktır, fakat toplamının değerini bilmiyoruz.

Örnek 4'teki serinin yakınsaklığını,  $\sum 1/n^2$  serisiyle karşılaştırma ile de gerçeklenebilirdi. Karşılaştırma testleri bundan sonraki bölümde incelenmektedir.

## ALIŞTIRMALAR 11.3

### Yakınsaklık veya Iraksaklılığı Belirlemek

1–30 alıştırmalarındaki serilerin hangileri yakınsar, hangileri iraksar? Yanıtlarınızı açıklayın. (Bir yanıt kontrol ederken, bir serinin yakınsaklığını veya iraksaklılığını belirlemenin birden fazla yolu olduğunu hatırlayın)

1.  $\sum_{n=1}^{\infty} \frac{1}{10^n}$

4.  $\sum_{n=1}^{\infty} \frac{5}{n+1}$

7.  $\sum_{n=1}^{\infty} -\frac{1}{8^n}$

2.  $\sum_{n=1}^{\infty} e^{-n}$

5.  $\sum_{n=1}^{\infty} \frac{3}{\sqrt{n}}$

8.  $\sum_{n=1}^{\infty} -\frac{8}{n}$

3.  $\sum_{n=1}^{\infty} \frac{n}{n+1}$

6.  $\sum_{n=1}^{\infty} \frac{-2}{n\sqrt{n}}$

9.  $\sum_{n=2}^{\infty} \frac{\ln n}{n}$

- |   |  |  |
|---|--|--|
| 10. $\sum_{n=2}^{\infty} \frac{\ln n}{\sqrt{n}}$                  | 11. $\sum_{n=1}^{\infty} \frac{2^n}{3^n}$          | 12. $\sum_{n=1}^{\infty} \frac{5^n}{4^n + 3}$            |
| 13. $\sum_{n=0}^{\infty} \frac{-2}{n+1}$                          | 14. $\sum_{n=1}^{\infty} \frac{1}{2n-1}$           | 15. $\sum_{n=1}^{\infty} \frac{2^n}{n+1}$                |
| 16. $\sum_{n=1}^{\infty} \frac{1}{\sqrt{n}(\sqrt{n}+1)}$          | 17. $\sum_{n=2}^{\infty} \frac{\sqrt{n}}{\ln n}$   | 18. $\sum_{n=1}^{\infty} \left(1 + \frac{1}{n}\right)^n$ |
| 19. $\sum_{n=1}^{\infty} \frac{1}{(\ln 2)^n}$                     | 20. $\sum_{n=1}^{\infty} \frac{1}{(\ln 3)^n}$      |  |
| 21. $\sum_{n=3}^{\infty} \frac{(1/n)}{(\ln n)\sqrt{\ln^2 n - 1}}$ | 22. $\sum_{n=1}^{\infty} \frac{1}{n(1 + \ln^2 n)}$ |  |

23.  $\sum_{n=1}^{\infty} n \sin \frac{1}{n}$

25.  $\sum_{n=1}^{\infty} \frac{e^n}{1 + e^{2n}}$

27.  $\sum_{n=1}^{\infty} \frac{8 \tan^{-1} n}{1 + n^2}$

29.  $\sum_{n=1}^{\infty} \operatorname{sech} n$

24.  $\sum_{n=1}^{\infty} n \tan \frac{1}{n}$

26.  $\sum_{n=1}^{\infty} \frac{2}{1 + e^n}$

28.  $\sum_{n=1}^{\infty} \frac{n}{n^2 + 1}$

30.  $\sum_{n=1}^{\infty} \operatorname{sech}^2 n$

## Teori ve Örnekler

31 ve 32 alıştırmalarındaki seriler, yakınsıyorlarsa, hangi  $a$  değerleri için yakınsarlar?

31.  $\sum_{n=1}^{\infty} \left( \frac{a}{n+2} - \frac{1}{n+4} \right)$

32.  $\sum_{n=3}^{\infty} \left( \frac{1}{n-1} - \frac{2a}{n+1} \right)$

33. a. Şekil 11.7 ve 11.8'deki gibi şekillere çizerek, harmonik serinin kısmi toplamlarının aşağıdaki eşitsizlikleri sağladığını gösterin.

$$\ln(n+1) = \int_1^{n+1} \frac{1}{x} dx \leq 1 + \frac{1}{2} + \cdots + \frac{1}{n}$$

$$\leq 1 + \int_1^n \frac{1}{x} dx = 1 + \ln n.$$

- T** b. Iraksadığını bildiğimiz halde, harmonik serinin iraksaklılığını gözlemsel bir delili yoktur. Sadece kısmi toplamlar çok yavaş büyürler. Ne demek istedigimizi anlamak için, 13 milyar yıl önce, evrenin yaratıldığı gün  $s_1 = 1$  ile başladığınızı ve her *saniye* yeni bir terim eklediğinizi varsayıñ. Bir yılın 365-gün olduğunu kabul edersek, bugün  $s_n$  kısmi toplamı ne kadar olur?

34.  $\sum_{n=1}^{\infty} (1/(nx))$ 'nın yakınsak olduğu bir  $x$  değeri var mıdır? Yanıtınızı açıklayın.

35.  $\sum_{n=1}^{\infty} a_n$  pozitif sayılarından oluşan iraksak bir seriyse, her  $n$  için,  $b_n < a_n$  olacak şekilde bir  $\sum_{n=1}^{\infty} b_n$  pozitif sayı serisinin bulunuçtuğu doğru mudur? Pozitif sayıların bir "en küçük" iraksak serisi var mıdır? Yanıtınızı açıklayın.

36. (Alıştırma 35'in devamı) Pozitif sayıların bir "en büyük" yakınsak serisi var mıdır? Yanıtınızı açıklayın.

37. **Cauchy sıklaştırma testi.** Cauchy sıklaştırma testi şunu söyler:  $\{a_n\}$  0'a yakınsayan, pozitif terimli ve artmayan (her  $n$  için  $a_n \geq a_{n+1}$ ) bir dizi olsun. Bu durumda, ancak ve yalnız  $\sum 2^n a_{2^n}$  yakınsıysa,  $\sum a_n$  yakınsar. Mesela,  $\sum (1/n)$  iraksar, çünkü  $\sum 2^n \cdot (1/2^n) = \sum 1$  iraksar. Testin neden işe yaradığını açıklayın.

38. Alıştırma 37'deki Cauchy sıklaştırma testini kullanarak aşağıdakileri gösterin.

a.  $\sum_{n=2}^{\infty} \frac{1}{n \ln n}$  iraksar;

b.  $\sum_{n=1}^{\infty} \frac{1}{n^p}$ ,  $p > 1$  ise yakınsar ve  $p \leq 1$  ise iraksar.

## 39. Logaritmik $p$ -serisi

- a. Ancak ve yalnız  $p > 1$  ise

$$\int_2^{\infty} \frac{dx}{x(\ln x)^p} \quad (p \text{ pozitif bir sabit})$$

integralinin yakınsak olduğunu gösterin.

- b. (a) sıklıkındaki sonuç

$$\sum_{n=2}^{\infty} \frac{1}{n(\ln n)^p}$$

serisinin yakınsaklılığı hakkında ne söyler? Yanıtınızı açıklayın.

40. (Alıştırma 39'un devamı.) Alıştırma 39'un sonucunu kullanarak aşağıdaki serilerden hangilerinin yakınsak olduğunu ve hangilerinin iraksadık olduğunu belirleyin. Her durumda yanıtınızı des-tekleşin.

a.  $\sum_{n=2}^{\infty} \frac{1}{n(\ln n)}$

b.  $\sum_{n=2}^{\infty} \frac{1}{n(\ln n)^{1.01}}$

c.  $\sum_{n=2}^{\infty} \frac{1}{n \ln(n^3)}$

d.  $\sum_{n=2}^{\infty} \frac{1}{n(\ln n)^3}$

41. **Euler sabiti** Şekil 11.8'deki gibi grafikler  $n$  artarken

$$1 + \frac{1}{2} + \cdots + \frac{1}{n}$$

toplamları ile

$$\ln n = \int_1^n \frac{1}{x} dx$$

integrali arasındaki farkta fazla bir değişiklik olmayacağı belirtir. Bunu araştırmak için, aşağıdaki adımları izleyin.

- a. Teorem 9'un ispatında  $f(x) = 1/x$  alarak

$$\ln(n+1) \leq 1 + \frac{1}{2} + \cdots + \frac{1}{n} \leq 1 + \ln n$$

veya

$$0 < \ln(n+1) - \ln n \leq 1 + \frac{1}{2} + \cdots + \frac{1}{n} - \ln n \leq 1$$

olduğunu gösterin. Yani,

$$a_n = 1 + \frac{1}{2} + \cdots + \frac{1}{n} - \ln n$$

dizisi alttan ve üstten sınırlıdır.

- b.

$$\frac{1}{n+1} < \int_n^{n+1} \frac{1}{x} dx = \ln(n+1) - \ln n$$

olduğunu gösterin ve bu sonucu kullanarak (a) sıklıkındaki  $\{a_n\}$  dizisinin azaldığını gösterin.

Altın sınırlı azalan bir seri yakınsak olduğundan (Bölüm 11.1, Aşağıtarma 107), (a)'da tanımlanan  $a_n$  sayıları yakınsar:

$$1 + \frac{1}{2} + \cdots + \frac{1}{n} - \ln n \rightarrow \gamma.$$

Değeri  $0.5772\dots$ , olan  $\gamma$  sayısına *Euler sabiti* denir.  $\pi$  ve  $e$  gibi

diger özel sayıların aksine,  $\gamma$  için daha basit formülasyon kurallı bir ifade bulunamamıştır.

**42.** İntegral testini kullanarak

$$\sum_{n=0}^{\infty} e^{-n^2}$$

serisinin yakınsadığını gösterin.

## 11.4

### Karşılaştırma Testleri

Geometrik serinin,  $p$ -serisinin ve birkaç başka serinin yakınsaklıklarının nasıl belirleneceğini gördük. Daha birçok serinin yakınsaklığını, terimlerini yakınsaklı bilinen bir serinin terimleri ile karşılaştırarak test edebiliriz.

#### TEOREM 10 Karşılaştırma Testi

$\sum a_n$  negatif terim içermeyen bir seri olsun.

- (a)  $N$  herhangi bir tam sayı olmak üzere her  $n > N$  için,  $a_n \leq c_n$  olacak şekilde yakınsak bir  $\sum c_n$  serisi varsa  $\sum a_n$  serisi yakınsaktır.
- (b)  $N$  herhangi bir tam sayı olmak üzere her  $n > N$  için  $a_n \geq d_n$  olacak şekilde negatif terim içermeyen ıraksak bir  $\sum d_n$  serisi varsa,  $\sum a_n$  serisi ıraksaktır.

**İspat** (a) şıkkında,  $\sum a_n$ 'nin kısmi toplamları üstten

$$M = a_1 + a_2 + \cdots + a_N + \sum_{n=N+1}^{\infty} c_n$$

ile sınırlıdır. Dolayısıyla, bir  $L \leq M$  limiteyle azalmayan bir dizi oluştururlar.

(b) şıkkında,  $\sum a_n$ 'nin kısmi toplamları üstten sınırlı değildir. Sınırlı olsalardı,  $\sum d_n$ 'nin kısmi toplamları

$$M^* = d_1 + d_2 + \cdots + d_N + \sum_{n=N+1}^{\infty} a_n$$

ile sınırlı olurlardır ve  $\sum d_n$  ıraksamak yerine yakınsardı. ■

#### ÖRNEK 1 Karşılaştırma Testini Uygulamak

(a)

$$\sum_{n=1}^{\infty} \frac{5}{5n-1}$$

serisi ıraksaktır. Çünkü;  $n$ . terimi

$$\frac{5}{5n-1} = \frac{1}{n - \frac{1}{5}} > \frac{1}{n}$$

ıraksak olan harmonik serinin  $n$ .inci teriminden büyüktür.

(b)

$$\sum_{n=0}^{\infty} \frac{1}{n!} = 1 + \frac{1}{1!} + \frac{1}{2!} + \frac{1}{3!} + \dots$$

serisi yakınsaktır. Çünkü; bütün terimleri pozitiftir ve

$$1 + \sum_{n=0}^{\infty} \frac{1}{2^n} = 1 + 1 + \frac{1}{2} + \frac{1}{2^2} + \dots$$

serisinin karşı gelen terimlerinden küçük veya eşittir. Sol taraftaki geometrik seri yakınsaktır ve

$$1 + \sum_{n=0}^{\infty} \frac{1}{2^n} = 1 + \frac{1}{1 - (1/2)} = 3$$

tür. 3'ün,  $\sum_{n=0}^{\infty} (1/n!)$  serisinin kısmi toplamları için bir üst sınır olması serinin 3'e yakınsaması anlamına gelmez. Bölüm 11.9'da göreceğimiz gibi seri  $e$ 'ye yakınsar.

(c)

$$5 + \frac{2}{3} + \frac{1}{7} + 1 + \frac{1}{2 + \sqrt{1}} + \frac{1}{4 + \sqrt{2}} + \frac{1}{8 + \sqrt{3}} + \dots + \frac{1}{2^n + \sqrt{n}} + \dots$$

serisi yakınsaktır. Bunu görmek için ilk üç terimi ihmal ederiz ve kalan terimleri, yakınsak olan  $\sum_{n=0}^{\infty} (1/2^n)$  geometrik serisinin terimleri ile karşılaştırırız. Budanmış serinin  $1/(2^n + \sqrt{n})$  terimi, geometrik serinin karşı gelen  $1/2^n$  teriminden küçüktür. Terim terime

$$1 + \frac{1}{2 + \sqrt{1}} + \frac{1}{4 + \sqrt{2}} + \frac{1}{8 + \sqrt{3}} + \dots \leq 1 + \frac{1}{2} + \frac{1}{4} + \frac{1}{8} + \dots$$

karşılaştırmasını görürüz. Dolayısıyla, Karşılaştırma Testinin bir uygulamasına göre budanmış seri ve orijinal seri yakınsaktır. ■

### Limit Karşılaştırma Testi

Şimdi, özellikle  $a_n$  genel terimi  $n$ 'nin rasyonel fonksiyonu şeklinde olan seriler için kulanişlı bir karşılaştırma testi tanıtabağız.

#### TEOREM 11

#### Limit Karşılaştırma Testi

Her  $n \geq N$  ( $N$  bir tamsayı) için  $a_n > 0$  ve  $b_n > 0$  olduğunu varsayıyın.

1.  $\lim_{n \rightarrow \infty} \frac{a_n}{b_n} = c > 0$  ise,  $\sum a_n$  ve  $\sum b_n$ 'nin ikisi birden yakınsak veya iraksaktır.
2.  $\lim_{n \rightarrow \infty} \frac{a_n}{b_n} = 0$  ise ve  $\sum b_n$  yakınsak ise,  $\sum a_n$ 'de yakınsaktır.
3.  $\lim_{n \rightarrow \infty} \frac{a_n}{b_n} = \infty$  ise ve  $\sum b_n$  iraksak ise,  $\sum a_n$ 'de iraksaktır.

**İspat** (1) şıkkını ispatlayacağız. (2) ve (3) şıkkarı Alıştırma 37(a) ve (b)'ye bırakılmıştır.  
 $c/2 > 0$  olduğundan, her  $n$  için

$$n > N \Rightarrow \left| \frac{a_n}{b_n} - c \right| < \frac{c}{2}$$

$\epsilon = c/2, L = c$  ve  $a_n$  yerine  
 $a_n/b_n$  alınmış olarak limit  
tanımı

sağlanacak şekilde bir  $N$  tamsayısi vardır. Dolayısıyla  $n > N$  için,

$$-\frac{c}{2} < \frac{a_n}{b_n} - c < \frac{c}{2},$$

$$\frac{c}{2} < \frac{a_n}{b_n} < \frac{3c}{2},$$

$$\left(\frac{c}{2}\right)b_n < a_n < \left(\frac{3c}{2}\right)b_n$$

bulunur.  $\sum b_n$  yakınsak ise,  $\sum (3c/2)b_n$  de yakınsaktır ve Doğrudan Karşılaştırma Testine göre  $\sum a_n$  de yakınsaktır.  $\sum b_n$  iraksak ise,  $\sum (c/2)b_n$  de iraksaktır ve Doğrudan Karşılaştırma Testine göre  $\sum a_n$  de iraksak olur. ■

### ÖRNEK 2 Limit Karşılaştırma Testini Kullanmak

Aşağıdaki serilerin hangisi yakınsar, hangisi iraksar?

(a)  $\frac{3}{4} + \frac{5}{9} + \frac{7}{16} + \frac{9}{25} + \dots = \sum_{n=1}^{\infty} \frac{2n+1}{(n+1)^2} = \sum_{n=1}^{\infty} \frac{2n+1}{n^2 + 2n + 1}$

(b)  $\frac{1}{1} + \frac{1}{3} + \frac{1}{7} + \frac{1}{15} + \dots = \sum_{n=1}^{\infty} \frac{1}{2^n - 1}$

(c)  $\frac{1 + 2 \ln 2}{9} + \frac{1 + 3 \ln 3}{14} + \frac{1 + 4 \ln 4}{21} + \dots = \sum_{n=2}^{\infty} \frac{1 + n \ln n}{n^2 + 5}$

### Çözüm

(a)  $a_n = (2n+1)/(n^2 + 2n + 1)$  olsun. Büyük  $n$  değerleri için,  $a_n$ 'nin  $2n/n^2 = 2/n$  gibi davranışmasını bekleriz, dolayısıyla  $b_n = 1/n$  alırız.

$$\sum_{n=1}^{\infty} b_n = \sum_{n=1}^{\infty} \frac{1}{n}$$

iraksak olduğundan ve

$$\lim_{n \rightarrow \infty} \frac{a_n}{b_n} = \lim_{n \rightarrow \infty} \frac{2n^2 + n}{n^2 + 2n + 1} = 2$$

olduğundan, Limit Karşılaştırma Testinin 1. kısmına göre  $\sum a_n$  iraksaktır.  $b_n = 2/n$ 'yi de olabilirdik, fakat  $1/n$  daha basittir.

- (b)  $a_n = 1/(2^n - 1)$  olsun. Büyük  $n$  değerleri için,  $a_n$ 'nin  $1/2^n$  gibi davranmasını bekleriz, dolayısıyla  $b_n = 1/2^n$  alırız.

$$\sum_{n=1}^{\infty} b_n = \sum_{n=1}^{\infty} \frac{1}{2^n}$$

yakınsak olduğundan ve

$$\begin{aligned}\lim_{n \rightarrow \infty} \frac{a_n}{b_n} &= \lim_{n \rightarrow \infty} \frac{2^n}{2^n - 1} \\ &= \lim_{n \rightarrow \infty} \frac{1}{1 - (1/2^n)} \\ &= 1\end{aligned}$$

olduğundan, Limit Karşılaştırma Testinin 1. kısmına göre  $\sum a_n$  yakınsaktır.

- (c)  $a_n = (1 + n \ln n)/(n^2 + 5)$  olsun. Büyük  $n$  değerleri için,  $a_n$ 'nin  $(n \ln n)/n^2 = (\ln n)/n$  gibi davranmasını bekleriz, ki bu  $n \geq 3$  için  $1/n$ 'den büyüktür, dolayısıyla  $b_n = 1/n$  alırız.

$$\sum_{n=2}^{\infty} b_n = \sum_{n=2}^{\infty} \frac{1}{n}$$

ıraksak olduğundan ve

$$\begin{aligned}\lim_{n \rightarrow \infty} \frac{a_n}{b_n} &= \lim_{n \rightarrow \infty} \frac{n + n^2 \ln n}{n^2 + 5} \\ &= \infty\end{aligned}$$

olduğundan, Limit Karşılaştırma Testinin 3. kısmına göre  $\sum a_n$  ıraksaktır. ■

**ÖRNEK 3**  $\sum_{n=1}^{\infty} \frac{\ln n}{n^{3/2}}$  yakınsar mı?

**Cözüm**  $\ln n$  herhangi bir pozitif  $c$  sabiti için  $n^c$ 'den daha yavaş büyüdüğü için (Bölüm 11.1, Alıştırma 91), yeterince büyük  $n$  değerleri için

$$\frac{\ln n}{n^{3/2}} < \frac{n^{1/4}}{n^{3/2}} = \frac{1}{n^{5/4}}$$

olmasını bekleriz. Gerçekten de,  $a_n = (\ln n)/n^{3/2}$  ve  $b_n = 1/n^{5/4}$  alarak

$$\begin{aligned}\lim_{n \rightarrow \infty} \frac{a_n}{b_n} &= \lim_{n \rightarrow \infty} \frac{\ln n}{n^{1/4}} \\ &= \lim_{n \rightarrow \infty} \frac{1/n}{(1/4)n^{-3/4}} \quad \text{l'Hôpital Teorisi} \\ &= \lim_{n \rightarrow \infty} \frac{4}{n^{1/4}} = 0\end{aligned}$$

buluruz.  $\sum b_n = \sum (1/n^{5/4})$  ( $p > 1$  ile bir  $p$ -serisi) yakınsak olduğundan, Limit Karşılaştırma Testinin 2. kısmına göre,  $\sum a_n$  yakınsak olur.

## ALIŞTIRMALAR 11.4

### Yakınsaklık veya Iraksaklığı Belirlemek

1–36 alıştırmalarındaki serilerden hangileri yakınsar, hangileri iraksar? Yanıtlarınızı açıklayın.

1.  $\sum_{n=1}^{\infty} \frac{1}{2\sqrt{n} + \sqrt[3]{n}}$

2.  $\sum_{n=1}^{\infty} \frac{3}{n + \sqrt{n}}$

3.  $\sum_{n=1}^{\infty} \frac{\sin^2 n}{2^n}$

4.  $\sum_{n=1}^{\infty} \frac{1 + \cos n}{n^2}$

5.  $\sum_{n=1}^{\infty} \frac{2n}{3n - 1}$

6.  $\sum_{n=1}^{\infty} \frac{n + 1}{n^2 \sqrt{n}}$

7.  $\sum_{n=1}^{\infty} \left( \frac{n}{3n + 1} \right)^n$

8.  $\sum_{n=1}^{\infty} \frac{1}{\sqrt{n^3 + 2}}$

9.  $\sum_{n=3}^{\infty} \frac{1}{\ln(\ln n)}$

10.  $\sum_{n=2}^{\infty} \frac{1}{(\ln n)^2}$

11.  $\sum_{n=1}^{\infty} \frac{(\ln n)^2}{n^3}$

12.  $\sum_{n=1}^{\infty} \frac{(\ln n)^3}{n^3}$

13.  $\sum_{n=2}^{\infty} \frac{1}{\sqrt{n} \ln n}$

14.  $\sum_{n=1}^{\infty} \frac{(\ln n)^2}{n^{3/2}}$

15.  $\sum_{n=1}^{\infty} \frac{1}{1 + \ln n}$

16.  $\sum_{n=1}^{\infty} \frac{1}{(1 + \ln n)^2}$

17.  $\sum_{n=2}^{\infty} \frac{\ln(n + 1)}{n + 1}$

18.  $\sum_{n=1}^{\infty} \frac{1}{(1 + \ln^2 n)}$

19.  $\sum_{n=2}^{\infty} \frac{1}{n\sqrt{n^2 - 1}}$

20.  $\sum_{n=1}^{\infty} \frac{\sqrt{n}}{n^2 + 1}$

21.  $\sum_{n=1}^{\infty} \frac{1 - n}{n2^n}$

22.  $\sum_{n=1}^{\infty} \frac{n + 2^n}{n^2 2^n}$

23.  $\sum_{n=1}^{\infty} \frac{1}{3^{n-1} + 1}$

24.  $\sum_{n=1}^{\infty} \frac{3^{n-1} + 1}{3^n}$

25.  $\sum_{n=1}^{\infty} \sin \frac{1}{n}$

26.  $\sum_{n=1}^{\infty} \tan \frac{1}{n}$

27.  $\sum_{n=1}^{\infty} \frac{10n + 1}{n(n + 1)(n + 2)}$

28.  $\sum_{n=3}^{\infty} \frac{5n^3 - 3n}{n^2(n - 2)(n^2 + 5)}$

29.  $\sum_{n=1}^{\infty} \frac{\tan^{-1} n}{n^{1.1}}$

30.  $\sum_{n=1}^{\infty} \frac{\sec^{-1} n}{n^{1.3}}$

31.  $\sum_{n=1}^{\infty} \frac{\coth n}{n^2}$

32.  $\sum_{n=1}^{\infty} \frac{\tanh n}{n^2}$

33.  $\sum_{n=1}^{\infty} \frac{1}{n\sqrt[n]{n}}$

34.  $\sum_{n=1}^{\infty} \frac{\sqrt[n]{n}}{n^2}$

35.  $\sum_{n=1}^{\infty} \frac{1}{1 + 2 + 3 + \dots + n}$

36.  $\sum_{n=1}^{\infty} \frac{1}{1 + 2^2 + 3^2 + \dots + n^2}$

38.  $\sum_{n=1}^{\infty} a_n$  negatif olmayan sayılarından oluşan yakınsak bir seri ise,  $\sum_{n=1}^{\infty} (a_n/n)$  için ne söylenebilir? Açıklayın.

39.  $n \geq N$  ( $N$  bir tamsayı) için,  $a_n > 0$  ve  $b_n > 0$  olduğunu varsayıñ.  $\lim_{n \rightarrow \infty} (a_n/b_n) = \infty$  ve  $\sum a_n$  yakınsak ise,  $\sum b_n$  hakkında bir şey söylenebilir mi? Yanıtınızı açıklayın.

40.  $\sum a_n$  negatif olmayan sayılarından oluşan yakınsak bir seri ise,  $\sum a_n^2$ 'nin de yakınsak olduğunu ispatlayın.

### BİLGİSAYAR ARAŞTIRMALARI

41.

$$\sum_{n=1}^{\infty} \frac{1}{n^3 \sin^2 n}$$

serisi iraksak mı veya yakınsak mı hala bilinmemektedir. Bir BCS kullanarak, aşağıdaki adımları izleyip serinin davranışını araştırın.

a.

$$s_k = \sum_{n=1}^k \frac{1}{n^3 \sin^2 n}$$

kısımlı toplamlar dizisini tanımlayın.  $k \rightarrow \infty$  iken  $s_k$ 'nın limitini bulmaya kalkarsanız ne olur? BCS'niz bu limit için kapalı bir ifade verir mi?

- b. Kısımlı toplamlar dizisinin ilk 100 ( $k, s_k$ ) noktasını işaretleyin. Noktalar yakınsıyor gibi mi? Limitin ne olmasını beklersiniz?

- c. Sonra ilk 200 ( $k, s_k$ ) noktasını işaretleyin. Davranışı kendi kelimelerinizle tartışın.

- d. İlk 400 ( $k, s_k$ ) noktasını işaretleyin.  $k = 355$  iken ne olur?  $355/113$  sayısını hesaplayın. Hesabınızdan  $k = 355$ 'de ne olduğunu açıklayın.  $k$ 'nın hangi değerleri için bu davranışın tekrarlanmasını beklersiniz?

*Mazes for the Mind* by Clifford A. Pickover, St. Martin's Press, Inc., New York, 1992'de bu seri hakkında ilginç bir tartışma bulacaksınız.

## Teori ve Örnekler

37. Limit Karşılaştırma Testinin **(a)** 2. kısmını ve **(b)** 3. kısmını ispatlayın.

## 11.5

### Kök ve Oran Testleri

Oran Testi,  $a_{n+1}/a_n$  oranını inceleyerek, bir serinin büyümeye (veya azalma) oranını ölçer. Bir  $\sum ar^n$  geometrik serisi için, bu oran bir sabittir ( $((ar^{n+1})/(ar^n)) = r$ ), ve seri ancak ve yalnız oranı mutlak değerce 1'den küçükse yakınsaktır. Oran Testi bu sonucu genişleten kuvvetli bir kuraldır. Bunu bir sonraki sayfada Karşılaştırma Testini kullanarak ispat edeceğiz.

**TEOREM 12 Oran Testi**

$\sum a_n$  pozitif terimli bir seri olsun ve

$$\lim_{n \rightarrow \infty} \frac{a_{n+1}}{a_n} = \rho.$$

olduğunu varsayın. Bu durumda,

- (a)  $\rho < 1$  ise, seri yakınsar.
- (b)  $\rho > 1$  veya  $\rho$  sonsuz ise, seri iraksar.
- (c)  $\rho = 1$  ise, test sonuçsuzdur.

**İspat**

- (a)  $\rho < 1$ .  $r$ ,  $\rho$  ile 1 arasında bir sayı olsun. Bu durumda  $\epsilon = r - \rho$  sayısı pozitiftir.

$$\frac{a_{n+1}}{a_n} \rightarrow \rho$$

olduğundan,  $n$  yeterince büyükken, mesela her  $n \geq N$  için,  $a_{n+1}/a_n$  oranı  $\rho$ 'nın  $\epsilon$  civarında bulunmalıdır. Özel olarak

$$\frac{a_{n+1}}{a_n} < \rho + \epsilon = r, \quad n \geq N \text{ için}$$

olur. Yani,

$$\begin{aligned} a_{N+1} &< ra_N, \\ a_{N+2} &< ra_{N+1} < r^2 a_N, \\ a_{N+3} &< ra_{N+2} < r^3 a_N, \\ &\vdots \\ a_{N+m} &< ra_{N+m-1} < r^m a_N. \end{aligned}$$

Bu eşitsizlikler serimizin terimlerinin,  $N$ . terimden sonra  $r < 1$  oranıyla bir geometrik serinin terimlerinden daha hızlı sıfıra yaklaştığını gösterir. Daha kesin olarak,  $n = 1, 2, \dots, N$  için  $c_n = a_n$  ve  $c_{N+1} = ra_N$ ,  $c_{N+2} = r^2 a_N, \dots, c_{N+m} = r^m a_N, \dots$  olacak şekilde bir  $\sum c_n$  serisini düşünün. Her  $n$  için,  $a_n \leq c_n$ 'dır ve

$$\begin{aligned} \sum_{n=1}^{\infty} c_n &= a_1 + a_2 + \cdots + a_{N-1} + a_N + ra_N + r^2 a_N + \cdots \\ &= a_1 + a_2 + \cdots + a_{N-1} + a_N(1 + r + r^2 + \cdots) \end{aligned}$$

olur.  $1 + r + r^2 + \cdots$  geometrik serisi yakınsaktır, çünkü  $|r| < 1$  dir, dolayısıyla  $\sum c_n$  yakınsak olur.  $a_n \leq c_n$  olduğundan,  $\sum a_n$  de yakınsak olur.

- (b)  $1 < \rho \leq \infty$ . Bir  $M$  indisinden sonra,

$$\frac{a_{n+1}}{a_n} > 1 \quad \text{ve} \quad a_M < a_{M+1} < a_{M+2} < \cdots$$

olur. Serinin terimleri  $n$  sonsuz olurken sıfıra yaklaşmazlar ve seri  $n$ . Terim Testinden dolayı iraksar.

(c)  $\rho = 1$ .

$$\sum_{n=1}^{\infty} \frac{1}{n} \quad \text{ve} \quad \sum_{n=1}^{\infty} \frac{1}{n^2}$$

serileri,  $\rho = 1$  iken, başka yakınsaklık testlerinin kullanılması gerektiğini gösterir.

$$\sum_{n=1}^{\infty} \frac{1}{n} \text{ için: } \frac{a_{n+1}}{a_n} = \frac{1/(n+1)}{1/n} = \frac{n}{n+1} \rightarrow 1$$

$$\sum_{n=1}^{\infty} \frac{1}{n^2} \text{ için: } \frac{a_{n+1}}{a_n} = \frac{1/(n+1)^2}{1/n^2} = \left( \frac{n}{n+1} \right)^2 \rightarrow 1^2 = 1$$

İki durumda da,  $\rho = 1$ 'dir, ama yine de birinci seri iraksarken ikincisi yakınsar. ■

Oran Testi genellikle bir serinin terimleri  $n$ 'yi içeren ifadelerin faktoriyellerini veya  $n$ . kuvveti alınmış ifadeleri içерdiği zaman etkilidir.

### ÖRNEK 1 Oran Testini Uygulamak

Aşağıdaki serilerin yakınsaklığını araştırın.

$$(a) \sum_{n=0}^{\infty} \frac{2^n + 5}{3^n} \quad (b) \sum_{n=1}^{\infty} \frac{(2n)!}{n!n!} \quad (c) \sum_{n=1}^{\infty} \frac{4^n n! n!}{(2n)!}$$

#### Çözüm

(a)  $\sum_{n=0}^{\infty} (2^n + 5)/3^n$  serisi için,

$$\frac{a_{n+1}}{a_n} = \frac{(2^{n+1} + 5)/3^{n+1}}{(2^n + 5)/3^n} = \frac{1}{3} \cdot \frac{2^{n+1} + 5}{2^n + 5} = \frac{1}{3} \cdot \left( \frac{2 + 5 \cdot 2^{-n}}{1 + 5 \cdot 2^{-n}} \right) \rightarrow \frac{1}{3} \cdot \frac{2}{1} = \frac{2}{3}.$$

Seri yakınsar, çünkü  $\rho = 2/3 < 1$  den küçüktür. Bu serinin toplamının  $2/3$  olduğu anlamına gelmez. Gerçekten de,

$$\sum_{n=0}^{\infty} \frac{2^n + 5}{3^n} = \sum_{n=0}^{\infty} \left( \frac{2}{3} \right)^n + \sum_{n=0}^{\infty} \frac{5}{3^n} = \frac{1}{1 - (2/3)} + \frac{5}{1 - (1/3)} = \frac{21}{2}$$

bulunur.

(b)  $a_n = \frac{(2n)!}{n!n!}$  ise, o zaman  $a_{n+1} = \frac{(2n+2)!}{(n+1)!(n+1)!}$  olur ve

$$\begin{aligned} \frac{a_{n+1}}{a_n} &= \frac{n!n!(2n+2)(2n+1)(2n)!}{(n+1)!(n+1)!(2n)!} \\ &= \frac{(2n+2)(2n+1)}{(n+1)(n+1)} = \frac{4n+2}{n+1} \rightarrow 4 \end{aligned}$$

buluruz. Seri iraksar, çünkü  $\rho = 4 > 1$  den büyüktür.

(c)  $a_n = 4^n n! n! (2n)!$  ise,

$$\begin{aligned} \frac{a_{n+1}}{a_n} &= \frac{4^{n+1}(n+1)!(n+1)!}{(2n+2)(2n+1)(2n)!} \cdot \frac{(2n)!}{4^n n! n!} \\ &= \frac{4(n+1)(n+1)}{(2n+2)(2n+1)} = \frac{2(n+1)}{2n+1} \rightarrow 1 \end{aligned}$$

olur.

Limit  $\rho = 1$  olduğu için, Oran Testinden serinin yakınsak olup olmadığını anlayamayız. Ancak,  $a_{n+1}/a_n = (2n+2)/(2n+1)$  olduğunu fark ettiğimizde,  $a_{n+1}$ 'in her zaman  $a_n$ 'den büyük olduğu sonucunu çıkarırız, çünkü  $(2n+2)/(2n+1)$  her zaman 1'den büyüktür. Dolayısıyla bütün terimler  $a_1 = 2$ 'ye eşit veya ondan büyüktür ve  $n \rightarrow \infty$  iken,  $n$ . terim sıfıra gitmez. Seri iraksar. ■

### Kök Testi

$\sum a_n$  için şimdiden kadar gördüğümüz yakınsama testleri  $a_n$ 'nin formülü oldukça basitken işe yarar. Fakat aşağıdaki durumu düşünün.

**ÖRNEK 2**  $a_n = \begin{cases} n/2^n, & n \text{ tek} \\ 1/2^n, & n \text{ çift} \end{cases}$  olsun.  $\sum a_n$  yakınsar mı?

**Çözüm** Serinin birkaç terimini yazarız.

$$\begin{aligned} \sum_{n=1}^{\infty} a_n &= \frac{1}{2^1} + \frac{1}{2^2} + \frac{3}{2^3} + \frac{1}{2^4} + \frac{5}{2^5} + \frac{1}{2^6} + \frac{7}{2^7} + \dots \\ &= \frac{1}{2} + \frac{1}{4} + \frac{3}{8} + \frac{1}{16} + \frac{5}{32} + \frac{1}{64} + \frac{7}{128} + \dots \end{aligned}$$

Bu, kesin olarak bir geometrik seri değildir.  $n \rightarrow \infty$  iken,  $n$ . terim sıfıra yaklaşır, dolayısıyla serinin iraksayıp iraksamadığını bilmiyoruz. İntegral Testi pek umut verici görünmemektedir. Oran Testi

$$\frac{a_{n+1}}{a_n} = \begin{cases} \frac{1}{2n}, & n \text{ tek} \\ \frac{n+1}{2}, & n \text{ çift} \end{cases}$$

verir.  $n \rightarrow \infty$  iken, oran büyük ile küçük değerler arasında değişir ve bir limiti yoktur. Soğruya yanıt verecek (seri yakınsar) bir test Kök Testidir. ■

### TEOREM 13 Kök Testi

$\sum a_n$ ,  $n \geq N$  için,  $a_n \geq 0$  olacak şekilde bir seri olsun ve

$$\lim_{n \rightarrow \infty} \sqrt[n]{a_n} = \rho$$

olduğunu varsayıın. Bu durumda,

- (a)  $\rho < 1$  ise, seri *yakınsar*.
- (b)  $\rho > 1$  veya  $\rho$  sonsuz ise, seri *iraksar*.
- (c)  $\rho = 1$  ise, test *sonuçsuzdur*.

### İspat

(a)  $\rho < 1$ .  $\rho + \epsilon < 1$  olacak kadar küçük bir  $\epsilon > 0$  seçin.  $\sqrt[n]{a_n} \rightarrow \rho$ , olduğundan,  $\sqrt[n]{a_n}$  terimleri eninde sonunda  $\rho$ 'ya  $\epsilon$ 'dan daha yakın olurlar. Diğer bir deyişle,

$$n \geq M \text{ iken} \quad \sqrt[n]{a_n} < \rho + \epsilon$$

olacak şekilde bir  $M \geq N$  indisı bulunur.

$$n \geq M \text{ için } a_n < (\rho + \epsilon)^n$$

olduğu da doğrudur. Şimdi,  $\sum_{n=M}^{\infty} (\rho + \epsilon)^n$  oranı  $(\rho + \epsilon) < 1$  olan bir geometrik seri, yakınsar. Karşılaştırmayla,  $\sum_{n=M}^{\infty} a_n$  de yakınsar ve

$$\sum_{n=1}^{\infty} a_n = a_1 + \cdots + a_{M-1} + \sum_{n=M}^{\infty} a_n$$

yakınsar.

- (b)  $1 < \rho \leq \infty$ .** Bir  $M$  indisinden büyük olan bütün terimler için,  $\sqrt[n]{a_n} > 1$  buluruz, dolayısıyla  $n > M$  için  $a_n > 1$  olur. Serinin terimleri sıfıra yakınsamaz.  $n$ . Terim Testine göre seri iraksar.
- (c)  $\rho = 1$ .**  $\sum_{n=1}^{\infty} (1/n)$  ve  $\sum_{n=1}^{\infty} (1/n^2)$  serileri,  $\rho = 1$  iken, testin sonuçsuz olduğunu gösterir. İlk seri iraksar ve ikinci seri yakınsar, fakat iki durumda da  $\sqrt[n]{a_n} \rightarrow 1$  ’dir. ■

### ÖRNEK 3 Kök Testini Uygulamak

Aşağıdaki serilerin hangisi yakınsar, hangisi iraksar?

- (a)**  $\sum_{n=1}^{\infty} \frac{n^2}{2^n}$     **(b)**  $\sum_{n=1}^{\infty} \frac{2^n}{n^2}$     **(c)**  $\sum_{n=1}^{\infty} \left(\frac{1}{1+n}\right)^n$

#### Çözüm

**(a)**  $\sum_{n=1}^{\infty} \frac{n^2}{2^n}$  yakınsar, çünkü  $\sqrt[n]{\frac{n^2}{2^n}} = \frac{\sqrt[n]{n^2}}{\sqrt[n]{2^n}} = \frac{(\sqrt[n]{n})^2}{2} \rightarrow \frac{1}{2} < 1$ .

**(b)**  $\sum_{n=1}^{\infty} \frac{2^n}{n^2}$  iraksar çünkü  $\sqrt[n]{\frac{2^n}{n^2}} = \frac{2}{(\sqrt[n]{n})^2} \rightarrow \frac{2}{1} > 1$ .

**(c)**  $\sum_{n=1}^{\infty} \left(\frac{1}{1+n}\right)^n$  yakınsar, çünkü  $\sqrt[n]{\left(\frac{1}{1+n}\right)^n} = \frac{1}{1+n} \rightarrow 0 < 1$ . ■

### ÖRNEK 2 Devamı

$$a_n = \begin{cases} n/2^n, & n \text{ tek} \\ 1/2^n, & n \text{ çift} \end{cases} \quad \text{olsun. } \sum a_n \text{ yakınsar mı?}$$

#### Çözüm

Kök Testini uygulayarak  $\sqrt[n]{a_n} = \begin{cases} \sqrt[n]{n}/2, & n \text{ tek} \\ 1/2, & n \text{ çift} \end{cases}$

buluruz. Dolayısıyla,

$$\frac{1}{2} \leq \sqrt[n]{a_n} \leq \frac{\sqrt[n]{n}}{2}$$

olur.  $\sqrt[n]{n} \rightarrow 1$  olduğundan (Bölüm 11.1, Teorem 5), Sandviç Teoreminden  $\lim_{n \rightarrow \infty} \sqrt[n]{a_n} = 1/2$  buluruz. Limit 1’den küçüktür, dolayısıyla Kök Testine göre, seri yakınsar. ■

## ALIŞTIRMALAR 11.5

### Yakınsaklık veya Iraksaklığı Belirlemek

1–26 alıştırmalarındaki serilerin hangileri yakınsar, hangileri iraksar? Yanıtlarınızı açıklayın. (Yanıtlarınızı kontrol ederken, bir serinin yakınsaklık veya iraksaklığını belirlemek için birden fazla yol olabileceğini hatırlayın.)

1.  $\sum_{n=1}^{\infty} \frac{n\sqrt{2}}{2^n}$

2.  $\sum_{n=1}^{\infty} n^2 e^{-n}$

3.  $\sum_{n=1}^{\infty} n! e^{-n}$

4.  $\sum_{n=1}^{\infty} \frac{n!}{10^n}$

5.  $\sum_{n=1}^{\infty} \frac{n^{10}}{10^n}$

6.  $\sum_{n=1}^{\infty} \left(\frac{n-2}{n}\right)^n$

7.  $\sum_{n=1}^{\infty} \frac{2 + (-1)^n}{1.25^n}$

8.  $\sum_{n=1}^{\infty} \frac{(-2)^n}{3^n}$

9.  $\sum_{n=1}^{\infty} \left(1 - \frac{3}{n}\right)^n$

10.  $\sum_{n=1}^{\infty} \left(1 - \frac{1}{3n}\right)^n$

11.  $\sum_{n=1}^{\infty} \frac{\ln n}{n^3}$

12.  $\sum_{n=1}^{\infty} \frac{(\ln n)^n}{n^n}$

13.  $\sum_{n=1}^{\infty} \left(\frac{1}{n} - \frac{1}{n^2}\right)$

14.  $\sum_{n=1}^{\infty} \left(\frac{1}{n} - \frac{1}{n^2}\right)^n$

15.  $\sum_{n=1}^{\infty} \frac{\ln n}{n}$

16.  $\sum_{n=1}^{\infty} \frac{n \ln n}{2^n}$

17.  $\sum_{n=1}^{\infty} \frac{(n+1)(n+2)}{n!}$

18.  $\sum_{n=1}^{\infty} e^{-n}(n^3)$

19.  $\sum_{n=1}^{\infty} \frac{(n+3)!}{3!n!3^n}$

20.  $\sum_{n=1}^{\infty} \frac{n2^n(n+1)!}{3^n n!}$

21.  $\sum_{n=1}^{\infty} \frac{n!}{(2n+1)!}$

22.  $\sum_{n=1}^{\infty} \frac{n!}{n^n}$

23.  $\sum_{n=2}^{\infty} \frac{n}{(\ln n)^n}$

24.  $\sum_{n=2}^{\infty} \frac{n}{(\ln n)^{(n/2)}}$

25.  $\sum_{n=1}^{\infty} \frac{n! \ln n}{n(n+2)!}$

26.  $\sum_{n=1}^{\infty} \frac{3^n}{n^3 2^n}$

27–38 alıştırmalarındaki formüllerle verilen  $\sum_{n=1}^{\infty} a_n$  serilerinin hangileri yakınsar, hangileri iraksar? Yanıtlarınızı açıklayın.

27.  $a_1 = 2, \quad a_{n+1} = \frac{1 + \sin n}{n} a_n$

28.  $a_1 = 1, \quad a_{n+1} = \frac{1 + \tan^{-1} n}{n} a_n$

29.  $a_1 = \frac{1}{3}, \quad a_{n+1} = \frac{3n-1}{2n+5} a_n$

30.  $a_1 = 3, \quad a_{n+1} = \frac{n}{n+1} a_n$

31.  $a_1 = 2, \quad a_{n+1} = \frac{2}{n} a_n$

32.  $a_1 = 5, \quad a_{n+1} = \frac{\sqrt[n]{n}}{2} a_n$

33.  $a_1 = 1, \quad a_{n+1} = \frac{1 + \ln n}{n} a_n$

34.  $a_1 = \frac{1}{2}, \quad a_{n+1} = \frac{n + \ln n}{n + 10} a_n$

35.  $a_1 = \frac{1}{3}, \quad a_{n+1} = \sqrt[n]{a_n}$

36.  $a_1 = \frac{1}{2}, \quad a_{n+1} = (a_n)^{n+1}$

37.  $a_n = \frac{2^n n! n!}{(2n)!}$

38.  $a_n = \frac{(3n)!}{n!(n+1)!(n+2)!}$

39–44 alıştırmalarındaki serilerin hangileri yakınsar, hangileri iraksar? Yanıtlarınızı açıklayın.

39.  $\sum_{n=1}^{\infty} \frac{(n!)^n}{(n^n)^2}$

40.  $\sum_{n=1}^{\infty} \frac{(n!)^n}{n^{(n^2)}}$

41.  $\sum_{n=1}^{\infty} \frac{n^n}{2^{(n^2)}}$

42.  $\sum_{n=1}^{\infty} \frac{n^n}{(2^n)^2}$

43.  $\sum_{n=1}^{\infty} \frac{1 \cdot 3 \cdot \dots \cdot (2n-1)}{4^n 2^n n!}$

44.  $\sum_{n=1}^{\infty} \frac{1 \cdot 3 \cdot \dots \cdot (2n-1)}{[2 \cdot 4 \cdot \dots \cdot (2n)](3^n + 1)}$

### Teori ve Örnekler

45.  $p$ -serilerinde ne Oran ne de Kök Testleri yararlı olur. Bu testleri

$$\sum_{n=1}^{\infty} \frac{1}{n^p}$$

serisinde deneyin ve iki testin de yakınsaklık hakkında bilgi vermediğini gösterin.

46. Ne Oran Testinin ne de Kök Testinin aşağıdaki serinin yakınsaklığında bilgi vermediğini gösterin.

$$\sum_{n=2}^{\infty} \frac{1}{(\ln n)^p} \quad (p \text{ sabit})$$

47.  $a_n = \begin{cases} n/2^n, & n \text{ asal bir sayı ise} \\ 1/2^n, & \text{diğer} \end{cases}$  olsun.

$\sum a_n$  yakınsar mı? Yanıtlınızı açıklayın.

## 11.6

### Alterne Seriler, Mutlak ve Koşullu Yakınsaklıklık

Terimleri sırayla pozitif ve negatif olan serilere **alterne seriler** denir.

Aşağıda bunlara üç örnek vardır:

$$1 - \frac{1}{2} + \frac{1}{3} - \frac{1}{4} + \frac{1}{5} - \cdots + \frac{(-1)^{n+1}}{n} + \cdots \quad (1)$$

$$-2 + 1 - \frac{1}{2} + \frac{1}{4} - \frac{1}{8} + \cdots + \frac{(-1)^n 4}{2^n} + \cdots \quad (2)$$

$$1 - 2 + 3 - 4 + 5 - 6 + \cdots + (-1)^{n+1} n + \cdots \quad (3)$$

**Alterne harmonik seri** denilen (1) serisi, birazdan göreceğimiz gibi, yakınsaktır.  $r = -1/2$  oraniyla bir geometrik seri olan (2) serisi  $-2/[1 + (1/2)] = -4/3$ 'e yakınsar. (3) serisi iraksaktır çünkü;  $n$ . terim sıfıra yaklaşmaz.

Alterne harmonik serilerin yakınsaklığını Alterne Seri Testini uygulayarak göstereceğiz.

#### TEOREM 14 Alterne Seriler Testi (Leibniz Teoremi)

$$\sum_{n=1}^{\infty} (-1)^{n+1} u_n = u_1 - u_2 + u_3 - u_4 + \cdots$$

serisi aşağıdaki üç koşulu da sağlanması yakınsar:

1.  $u_n$ 'lerin hepsi pozitiftir.
2. Her  $n \geq N$  için  $u_n \geq u_{n+1}$ 'dir. ( $N$  bir tamsayı).
3.  $u_n \rightarrow 0$ .

**İspat**  $n$  bir çift tamsayı ise, mesela  $n = 2m$ , ilk  $n$  terimin toplamı

$$\begin{aligned} s_{2m} &= (u_1 - u_2) + (u_3 - u_4) + \cdots + (u_{2m-1} - u_{2m}) \\ &= u_1 - (u_2 - u_3) - (u_4 - u_5) - \cdots - (u_{2m-2} - u_{2m-1}) - u_{2m}. \end{aligned}$$

olur. İlk eşitlik  $s_{2m}$ 'nin negatif olmayan terimlerin toplamı olduğunu gösterir, çünkü parantez içindeki her terim pozitif veya sıfırdır. Dolayısıyla,  $s_{2m+2} \geq s_{2m}$ 'dır ve  $\{s_{2m}\}$  dizisi azalmayandır. İkinci eşitlik  $s_{2m} \leq u_1$  olduğunu gösterir.  $\{s_{2m}\}$  azalmayan ve üstten sınırlı olduğundan, bir limiti vardır, mesela

$$\lim_{m \rightarrow \infty} s_{2m} = L \quad (4)$$

$n$  bir tek tamsayı ise, örneğin  $n = 2m + 1$ , ilk  $n$  terimin toplamı  $s_{2m+1} = s_{2m} + u_{2m+1}$  olur.  $u_n \rightarrow 0$  olduğundan,

$$\lim_{m \rightarrow \infty} u_{2m+1} = 0$$

olur ve  $m \rightarrow \infty$  iken,

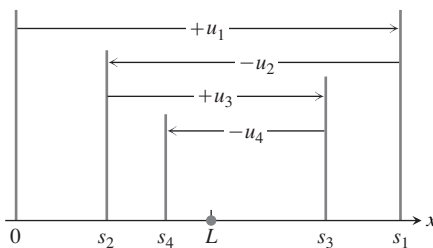
$$s_{2m+1} = s_{2m} + u_{2m+1} \rightarrow L + 0 = L \quad (5)$$

bulunur. (4) ve (5)'in sonuçlarını birleştirmek  $\lim_{n \rightarrow \infty} s_n = L$  verir (Bölüm 11.1, Alıştırma 119). ■

**ÖRNEK 1** Alterne harmonik seri

$$\sum_{n=1}^{\infty} (-1)^{n+1} \frac{1}{n} = 1 - \frac{1}{2} + \frac{1}{3} - \frac{1}{4} + \dots$$

$N = 1$  ile Teorem 14'ün üç koşulunu sağlar; dolayısıyla yakınsar. ■



**ŞEKİL 11.9**  $N = 1$  için Teorem 14'ün hipotezlerini sağlayan bir alterne serinin kısmi toplamları baştan itibaren limite iki taraftan yaklaşır.

Kısmi toplamların geometrik bir yorumu (Şekil 11.9),  $N = 1$  ile Teorem 14'ün üç koşulu sağlandığında bir alterne serinin  $L$  limitine nasıl yakınsadığını göstermektedir. (Alıştırma 63 sizden  $N > 1$  durumunu resmetmenizi isteyecektir.)  $x$ -ekseninin orijininden başlayarak,  $s_1 = u_1$  pozitif mesafesini belirtiriz.  $s_2 = u_1 - u_2$ 'e karşılık gelen noktayı bulmak için,  $u_2$ 'ye eşit bir mesafe geri gideriz.  $u_2 \leq u_1$  olduğundan, orijinden daha geriye gidemeyiz. Serideki işaretlere göre ileri veya geri giderek bu testere şecline devam ederiz. Fakat  $n \geq N$  için, her ileri veya geriye adım bir önceki adımdan daha kısadır (veya en fazla aynı boydadır), çünkü  $u_{n+1} \leq u_n$  dir. Ve  $n$ . terim  $n$  arttıkça sıfıra yaklaşığı için, ileri veya geri doğru attığımız adımlar giderek küçülür.  $L$  limitinin çevresinde salınırlar ve salınınımın genliği sıfıra yaklaşır.  $L$  limiti herhangi iki ardışık  $s_n$  ile  $s_{n+1}$  toplamı arasında bulunur ve dolayısıyla  $s_n$ 'den farkı  $u_{n+1}$ 'den daha küçük olur.

$$n \geq N \text{ için } |L - s_n| < u_{n+1}$$

olduğundan, yakınsak alterne serilerin toplamları hakkında yararlı tahminler yapabiliriz.

**TEOREM 15** **Alterne Seriler Tahmin Teoremi**

$\sum_{n=1}^{\infty} (-1)^{n+1} u_n$  alterne serisi Teorem 14'ün üç koşulunu sağlıyorsa,  
 $n \geq N$  için

$$s_n = u_1 - u_2 + \dots + (-1)^{n+1} u_n$$

kısmi toplamı  $L$ 'ye, mutlak değeri  $u_{n+1}$ 'den, ilk kullanılmayan terimin değerinden daha küçük bir hatayla yaklaşımada bulunur. Dahası,  $L - s_n$  kalanının işaretini, kullanılmayan ilk teriminkile aynıdır.

Kalanın işaretinin doğrulanmasını Alıştırma 53'e bırakıyoruz.

**ÖRNEK 2** Teorem 15'i toplamını bildiğimiz bir seride deneyelim:

$$\sum_{n=0}^{\infty} (-1)^n \frac{1}{2^n} = 1 - \frac{1}{2} + \frac{1}{4} - \frac{1}{8} + \frac{1}{16} - \frac{1}{32} + \frac{1}{64} - \frac{1}{128} + \frac{1}{256} - \dots$$

Teoreme göre, seriyi sekizinci terimde kesersek, pozitif ve  $1/256$ 'dan küçük olan bir miktarı atmış oluruz. İlk sekiz terimin toplamı 0.6640625'tir. Serinin toplamı

$$\frac{1}{1 - (-1/2)} = \frac{1}{3/2} = \frac{2}{3}$$

olarak bulunur. Fark,  $(2/3) - 0.6640625 = 0.0026041666\dots$  pozitiftir ve  $(1/256) = 0.00390625$ 'ten daha küçüktür. ■

## Mutlak ve Koşullu Yakınsaklıklık

### TANIM      Mutlak Yakınsaklıklık

$\sum |a_n|$  mutlak değerler serisi yakınsak ise  $\sum a_n$  serisi **mutlak olarak yakınsar** (veya **mutlak yakınsaktır**).

$$1 - \frac{1}{2} + \frac{1}{4} - \frac{1}{8} + \dots$$

geometrik serisi mutlak olarak yakınsar, çünkü kendisine karşılık gelen

$$1 + \frac{1}{2} + \frac{1}{4} + \frac{1}{8} + \dots$$

mutlak değerler serisi yakınsaktır. Alterne harmonik seri mutlak yakınsak değildir. Kendisine karşı gelen mutlak değerler serisi (ıraksak) harmonik seridir.

### TANIM      Koşullu Yakınsaklıklık

Yakınsak olan, fakat mutlak yakınsak olmayan bir seri **koşullu yakınsaktır**.

Alterne harmonik seri koşullu yakınsaktır.

Mutlak yakınsaklıklık iki nedenden dolayı önemlidir. İlk olarak, pozitif terimli serilerin yakınsaklılığı için iyi testlerimiz vardır. İkincisi, bir seri mutlak olarak yakınsak ise, yakınsaktır. Bu aşağıdaki teoremin temelidir.

### TEOREM 16      Mutlak Yakınsaklıklık Testi

$$\sum_{n=1}^{\infty} |a_n| \text{ yakınsak ise, } \sum_{n=1}^{\infty} a_n \text{ de yakınsaktır.}$$

**İspat** Her  $n$  için,

$$-|a_n| \leq a_n \leq |a_n| \text{ dir. Dolayısıyla } 0 \leq a_n + |a_n| \leq 2|a_n|$$

olur.  $\sum_{n=1}^{\infty} |a_n|$  yakınsak ise,  $\sum_{n=1}^{\infty} 2|a_n|$  de yakınsaktır ve Doğrudan Karşılaştırma Testine göre, negatif olmayan  $\sum_{n=1}^{\infty} (a_n + |a_n|)$  serisi de yakınsak olur. Artık  $a_n = (a_n + |a_n|) - |a_n|$ , eşitliği  $\sum_{n=1}^{\infty} a_n$  serisini iki yakınsak serinin farkı olarak ifade etmemize izin verir:

$$\sum_{n=1}^{\infty} a_n = \sum_{n=1}^{\infty} (a_n + |a_n| - |a_n|) = \sum_{n=1}^{\infty} (a_n + |a_n|) - \sum_{n=1}^{\infty} |a_n|.$$

Dolayısıyla,  $\sum_{n=1}^{\infty} a_n$  yakınsaktır. ■

**DİKKAT** Teorem 16'yi her *mutlak yakınsak serinin* yakınsadığını söyleyecek şekilde yeniden ifade edebiliriz. Ancak, bu ifadenin tersi doğru değildir: Çoğu yakınsak seri mutlak olarak yakınsamaz (Örnek 1'deki alterne harmonik seride olduğu gibi).

### ÖRNEK 3 Mutlak Yakınsaklık Testini Uygulamak

(a)  $\sum_{n=1}^{\infty} (-1)^{n+1} \frac{1}{n^2} = 1 - \frac{1}{4} + \frac{1}{9} - \frac{1}{16} + \dots$  'e karşılık gelen mutlak değerler serisi şöyledir:

$$\sum_{n=1}^{\infty} \frac{1}{n^2} = 1 + \frac{1}{4} + \frac{1}{9} + \frac{1}{16} + \dots$$

Asıl seri yakınsaktır, çünkü mutlak değerler serisi yakınsaktır.

(b)  $\sum_{n=1}^{\infty} \frac{\sin n}{n^2} = \frac{\sin 1}{1} + \frac{\sin 2}{4} + \frac{\sin 3}{9} + \dots$  serisine karşılık gelen  $\sum_{n=1}^{\infty} \left| \frac{\sin n}{n^2} \right| = \frac{|\sin 1|}{1} + \frac{|\sin 2|}{4} + \dots$ ,

mutlak değerler serisi,  $\sum_{n=1}^{\infty} (1/n^2)$  ile karşılaştırıldığında, yakınsar, çünkü her  $n$  için  $|\sin n| \leq 1$ 'dir. Asıl seri mutlak yakınsaktır; dolayısıyla yakınsaktır. ■

### ÖRNEK 4 Alterne $p$ -serileri

Pozitif bir  $p$ -sabiti için  $\{1/n^p\}$  dizisi, limiti sıfır olan azalan bir dizidir. Dolayısıyla

$$\sum_{n=1}^{\infty} \frac{(-1)^{n-1}}{n^p} = 1 - \frac{1}{2^p} + \frac{1}{3^p} - \frac{1}{4^p} + \dots, \quad p > 0$$

alterne  $p$ -serisi yakınsaktır.

$p > 1$  ise, seri mutlak yakınsaktır.  $0 < p \leq 1$  ise, seri koşullu yakınsak olur.

Koşullu yakınsaklık:  $1 - \frac{1}{\sqrt{2}} + \frac{1}{\sqrt{3}} - \frac{1}{\sqrt{4}} + \dots$

Mutlak yakınsaklık:  $1 - \frac{1}{2^{3/2}} + \frac{1}{3^{3/2}} - \frac{1}{4^{3/2}} + \dots$  ■

## Serileri Yeniden Düzenlemek

### TEOREM 17 Mutlak Yakınsak Seriler İçin Yeniden Düzenleme Teoremi

$\sum_{n=1}^{\infty} a_n$  mutlak yakınsak ise ve  $b_1, b_2, \dots, b_n, \dots$   $\{a_n\}$  dizisinin herhangi bir düzenlenişi ise,  $\sum b_n$  de mutlak yakınsaktır ve

$$\sum_{n=1}^{\infty} b_n = \sum_{n=1}^{\infty} a_n$$

dir.

(İspatın bir taslağı için Aşağıda 60'a bakın.)

### ÖRNEK 5 Yeniden Düzenleme Teoremini Uygulamak

Örnek 3'te gördüğümüz gibi

$$1 - \frac{1}{4} + \frac{1}{9} - \frac{1}{16} + \cdots + (-1)^{n-1} \frac{1}{n^2} + \cdots$$

serisi mutlak yakınsaktır. Serinin terimlerinin olası bir yeniden düzenlenişi pozitif bir terimle başlayabilir, sonra ilk negatif terim gelebilir, daha sonra üç pozitif terim, sonra dört negatif terim, vs: Aynı işaretli  $k$  terimden sonra, zit işaretli  $k+1$  terim alın. Böyle bir serinin ilk on terimi şöyledir:

$$1 - \frac{1}{4} - \frac{1}{16} + \frac{1}{9} + \frac{1}{25} + \frac{1}{49} - \frac{1}{36} - \frac{1}{64} - \frac{1}{100} - \frac{1}{144} + \cdots$$

Yeniden Düzenleme Teoremi iki serinin de aynı değere yakınsadığını söyler. Bu örnekte, başlangıçta elimizde ikinci seri olsaydı, ve yapabileceğimizi bilseydik, muhtemelen onu birinciyle değiştirmekten mutluluk duyardık. Daha iyisini de yapabiliz: İki serinin her birinin toplamı aynı zamanda

$$\sum_{n=1}^{\infty} \frac{1}{(2n-1)^2} - \sum_{n=1}^{\infty} \frac{1}{(2n)^2}$$

farkına eşittir. (Ağustos 61'e bakın.) ■

Koşullu yakınsak bir serinin sonsuz sayıda terimini yeniden düzenlersek, orijinal serininkinden çok farklı sonuçlar elde edebiliriz. Bir örnek aşağıdadır.

### ÖRNEK 6 Alterne Harmonik Seriyi Yeniden Düzenlemek

$$\frac{1}{1} - \frac{1}{2} + \frac{1}{3} - \frac{1}{4} + \frac{1}{5} - \frac{1}{6} + \frac{1}{7} - \frac{1}{8} + \frac{1}{9} - \frac{1}{10} + \frac{1}{11} - \cdots$$

Alterne harmonik serisi iraksayacak veya daha önceden belirlenmiş bir toplam verecek şekilde yeniden düzenlenenebilir.

- (a)  $\sum_{n=1}^{\infty} (-1)^{n+1}/n$ 'yi iraksayacak şekilde yeniden düzenlemek.  $\sum[1/(2n-1)]$  serisi  $+\infty$ 'a,  $\sum(-1/2n)$  serisi ise  $-\infty$ 'a iraksar. Tek sayılı terimler dizisinin neresinden başlarsak başlayalım, her zaman keyfi derecede büyük bir toplam elde edecek kadar çok pozitif terim toplayabiliriz. Benzer şekilde, negatif terimlerle de, nereden başlarsak başlayalım, her zaman mutlak değeri keyfi derecede büyük bir negatif toplam elde edecek kadar birbirini izleyen çift sayılı terim toplayabiliriz. Eğer istersen, örneğin  $+3$ 'ten daha büyük bir toplam elde edene kadar tek sayılı terimler toplayabilir ve yeni toplamı  $-4$ 'ten küçük yapacak şekilde yeterli sayıda birbirini izleyen negatif terimlerle devam edebiliriz. Sonra yeni toplamı  $+5$ 'ten daha büyük yapacak sayıda pozitif terim toplar ve birbirini izleyen kullanılmamış negatif terimler ekleyerek toplamı  $-6$ 'dan küçük yapabiliriz, vs. Bu şekilde, uzamaları iki tarafta da keyfi derecede büyük yapabiliriz.

- (b)  $\sum_{n=1}^{\infty} (-1)^{n+1}/n$  'yi 1'e yakınsayacak şekilde yeniden düzenlemek. Başka bir olasılık da belirli bir limitte odaklanmaktadır. 1'e yakınsayan toplamlar elde etmeye çalıştığımızı varsayıñ. Birinci terim,  $1/1$ 'le başlar ve bundan  $1/2$  çıkarız. Sonra  $1/3$  ve  $1/5$  eklezziz, ki bunların toplamı 1 veya 1'den büyük yapar. Sonra toplam 1'den az olana kadar birbirini izleyen negatif terimler ekleriz. Bu şekilde işleme devam ederiz: Toplam 1'den küçük ise, toplam 1 veya daha büyük olana kadar pozitif terimler ekleyin; sonra

toplam yeniden 1'den küçük olana kadar terim çıkarın (negatif terimler ekleyin). Bu işlem sonsuz olarak sürdürülebilir.  $n \rightarrow \infty$  iken, asıl serinin hem tek sayılı hem de çift sayılı terimleri sıfıra yaklaşığı için, kısmi toplamlarımızın 1'i aştığı veya 1'in altına düşüğü miktar sıfıra yakınsar. Yeniden düzenlenmiş seri şu şekilde başlar:

$$\begin{aligned} & \frac{1}{1} - \frac{1}{2} + \frac{1}{3} + \frac{1}{5} - \frac{1}{4} + \frac{1}{7} + \frac{1}{9} - \frac{1}{6} + \frac{1}{11} + \frac{1}{13} - \frac{1}{8} + \frac{1}{15} + \frac{1}{17} - \frac{1}{10} \\ & + \frac{1}{19} + \frac{1}{21} - \frac{1}{12} + \frac{1}{23} + \frac{1}{25} - \frac{1}{14} + \frac{1}{27} - \frac{1}{16} + \dots \end{aligned}$$

Örnek 6'da gösterilen davranış şekli herhangi bir koşullu yakınsak seride olabileceklerin bir örneğidir. Bu nedenle, koşullu yakınsak bir serinin terimlerini daima verilen sırada toplamalıyız.

Şu ana kadar serilerin yakınsaklığını ve iraksaklılığını için birkaç test geliştirdik. Özettir:

1. **n. Terim Testi:**  $a_n \rightarrow 0$  olmadıkça seri iraksar.
2. **Geometrik seri:**  $\sum ar^n$  serisi,  $|r| < 1$  için yakınsak; aksi halde iraksaktır.
3. **p-serisi:**  $\sum 1/n^p$  serisi  $p > 1$  için yakınsak; aksi halde iraksaktır.
4. **Terimleri negatif olmayan seriler:** İntegral Testini, Oran Testini veya Kök Testini deneyin. Karşılaştırma Testine göre, bilinen bir seri ile karşılaştırma-yı deneyin.
5. **Bazı terimleri negatif olan seriler:**  $\sum |a_n|$  yakınsak mıdır? Evet ise mutlak yakınsaklık yakınsaklılığı gerektirdiğinden  $\sum a_n$  de yakınsaktır.
6. **Alterne seriler:** Alterne Seriler Testinin koşullarını sağlarsa  $\sum a_n$  yakınsaktır.

## ALIŞTIRMALAR 11.6

### Yakınsaklık veya Iraksaklığı Belirlemek

1–10 alıştırmalarındaki serilerin hangileri yakınsak, hangileri iraksaktır? Yanıtlarınızı açıklayın.

1.  $\sum_{n=1}^{\infty} (-1)^{n+1} \frac{1}{n^2}$
2.  $\sum_{n=1}^{\infty} (-1)^{n+1} \frac{1}{n^{3/2}}$
3.  $\sum_{n=1}^{\infty} (-1)^{n+1} \left(\frac{n}{10}\right)^n$
4.  $\sum_{n=1}^{\infty} (-1)^{n+1} \frac{10^n}{n^{10}}$
5.  $\sum_{n=2}^{\infty} (-1)^{n+1} \frac{1}{\ln n}$
6.  $\sum_{n=1}^{\infty} (-1)^{n+1} \frac{\ln n}{n}$
7.  $\sum_{n=2}^{\infty} (-1)^{n+1} \frac{\ln n}{\ln n^2}$
8.  $\sum_{n=1}^{\infty} (-1)^n \ln\left(1 + \frac{1}{n}\right)$
9.  $\sum_{n=1}^{\infty} (-1)^{n+1} \frac{\sqrt[n]{n} + 1}{n + 1}$
10.  $\sum_{n=1}^{\infty} (-1)^{n+1} \frac{3\sqrt[n]{n} + 1}{\sqrt[n]{n} + 1}$

### Mutlak Yakınsaklık

11–44 alıştırmalarındaki serilerden hangileri mutlak yakınsak, hangileri iraksaktır? Yanıtlarınızı açıklayın.

11.  $\sum_{n=1}^{\infty} (-1)^{n+1} (0.1)^n$
12.  $\sum_{n=1}^{\infty} (-1)^{n+1} \frac{(0.1)^n}{n}$
13.  $\sum_{n=1}^{\infty} (-1)^n \frac{1}{\sqrt{n}}$
14.  $\sum_{n=1}^{\infty} \frac{(-1)^n}{1 + \sqrt{n}}$
15.  $\sum_{n=1}^{\infty} (-1)^{n+1} \frac{n}{n^3 + 1}$
16.  $\sum_{n=1}^{\infty} (-1)^{n+1} \frac{n!}{2^n}$
17.  $\sum_{n=1}^{\infty} (-1)^n \frac{1}{n + 3}$
18.  $\sum_{n=1}^{\infty} (-1)^n \frac{\sin n}{n^2}$
19.  $\sum_{n=1}^{\infty} (-1)^{n+1} \frac{3 + n}{5 + n}$
20.  $\sum_{n=2}^{\infty} (-1)^n \frac{1}{\ln(m^3)}$
21.  $\sum_{n=1}^{\infty} (-1)^{n+1} \frac{1 + n}{n^2}$
22.  $\sum_{n=1}^{\infty} \frac{(-2)^{n+1}}{n + 5^n}$
23.  $\sum_{n=1}^{\infty} (-1)^n n^2 (2/3)^n$
24.  $\sum_{n=1}^{\infty} (-1)^{n+1} \left(\sqrt[3]{10}\right)$
25.  $\sum_{n=1}^{\infty} (-1)^n \frac{\tan^{-1} n}{n^2 + 1}$
26.  $\sum_{n=2}^{\infty} (-1)^{n+1} \frac{1}{n \ln n}$

27.  $\sum_{n=1}^{\infty} (-1)^n \frac{n}{n+1}$

29.  $\sum_{n=1}^{\infty} \frac{(-100)^n}{n!}$

31.  $\sum_{n=1}^{\infty} \frac{(-1)^{n-1}}{n^2 + 2n + 1}$

33.  $\sum_{n=1}^{\infty} \frac{\cos n\pi}{n\sqrt{n}}$

35.  $\sum_{n=1}^{\infty} \frac{(-1)^n(n+1)^n}{(2n)^n}$

37.  $\sum_{n=1}^{\infty} (-1)^n \frac{(2n)!}{2^n n! n}$

39.  $\sum_{n=1}^{\infty} (-1)^n (\sqrt{n+1} - \sqrt{n})$  40.  $\sum_{n=1}^{\infty} (-1)^n (\sqrt{n^2+n} - n)$

41.  $\sum_{n=1}^{\infty} (-1)^n (\sqrt{n+\sqrt{n}} - \sqrt{n})$

42.  $\sum_{n=1}^{\infty} \frac{(-1)^n}{\sqrt{n} + \sqrt{n+1}}$

44.  $\sum_{n=1}^{\infty} (-1)^n \operatorname{csch} n$

28.  $\sum_{n=1}^{\infty} (-1)^n \frac{\ln n}{n - \ln n}$

30.  $\sum_{n=1}^{\infty} (-5)^{-n}$

32.  $\sum_{n=2}^{\infty} (-1)^n \left( \frac{\ln n}{\ln n^2} \right)^n$

34.  $\sum_{n=1}^{\infty} \frac{\cos n\pi}{n}$

36.  $\sum_{n=1}^{\infty} \frac{(-1)^{n+1}(n!)^2}{(2n)!}$

38.  $\sum_{n=1}^{\infty} (-1)^n \frac{(n!)^2 3^n}{(2n+1)!}$

- T** 52. Teorem 14'ün koşullarını sağlayan bir alterne serinin limiti,  $L$ , ardışık iki kısmı toplam arasında bulunur. Bu,  $L$ 'yi tahmin etmek için,

$$\frac{s_n + s_{n+1}}{2} = s_n + \frac{1}{2} (-1)^{n+2} a_{n+1}$$

ortalamasını kullanmayı önerir. Alterne harmonik serilerin toplamına bir yaklaşım olarak

$$s_{20} + \frac{1}{2} \cdot \frac{1}{21}$$

değerini hesaplayın. Kesin toplam  $\ln 2 = 0.6931\dots$  dir.

- 53. Teorem 14'ün koşullarını sağlayan bir alterne serinin kalanının işaretini** Teorem 15'te, Teorem 14'ün koşullarını sağlayan bir alterne seride kesişen toplamlarının birleyle yaklaşım yapıldığında, kalanın (kullanılmamış terimlerin toplamı) işaretinin ilk kullanılmayan teriminkile aynı olduğunu söyleyen ifadeyi ispatlayın. (İpucu: Kalanın terimlerini birbirini izleyen çiftler halinde gruplayın.)

54.

$$1 - \frac{1}{2} + \frac{1}{2} - \frac{1}{3} + \frac{1}{3} - \frac{1}{4} + \frac{1}{4} - \frac{1}{5} + \frac{1}{5} - \frac{1}{6} + \dots$$

serisinin ilk  $2n$  teriminin toplamının

$$\frac{1}{1 \cdot 2} + \frac{1}{2 \cdot 3} + \frac{1}{3 \cdot 4} + \frac{1}{4 \cdot 5} + \frac{1}{5 \cdot 6} + \dots$$

serisinin ilk  $n$  teriminin toplamıyla aynı olduğunu gösterin. Bu seriler yakınsar mı? İlk serinin ilk  $2n+1$  teriminin toplamı nedir? Seriler yakınsıyorlarsa, toplamları nedir?

55.  $\sum_{n=1}^{\infty} a_n$  iraksak ise,  $\sum_{n=1}^{\infty} |a_n|$ 'nin de iraksak olduğunu gösterin.

56.  $\sum_{n=1}^{\infty} a_n$  mutlak yakınsak ise,

$$\left| \sum_{n=1}^{\infty} a_n \right| \leq \sum_{n=1}^{\infty} |a_n|$$

olduğunu gösterin.

57. Hem  $\sum_{n=1}^{\infty} a_n$  hem de  $\sum_{n=1}^{\infty} b_n$  mutlak yakınsak ise, aşağıdaki kilerin de mutlak yakınsak olduğunu gösterin.

a.  $\sum_{n=1}^{\infty} (a_n + b_n)$

b.  $\sum_{n=1}^{\infty} (a_n - b_n)$

c.  $\sum_{n=1}^{\infty} k a_n$  ( $k$  herhangi bir sayı)

58. Hem  $\sum_{n=1}^{\infty} a_n$  hem de  $\sum_{n=1}^{\infty} b_n$  yakınsak olsalar bile,  $\sum_{n=1}^{\infty} a_n b_n$ 'nın iraksak olabileceğini örnekle gösterin.

- T** 59. Örnek 6'da, terimleri yeniden düzenleyerek  $-1/2$ 'ye yakınsayan yeni bir seri elde etmek istediğimizi varsayıyın. Yeni düzenlemeye ilk negatif terim,  $-1/2$ , ile başlayın. Elinizde ne zaman  $-1/2$ 'ye eşit veya bundan daha küçük bir toplam varsa, yeni toplam  $-1/2$ 'den büyük oluncaya kadar birbirini izleyen pozitif terimler

## Hata Tahmini

45–48 alıştırmalarında, bütün serinin toplamına yaklaşımında bulunmak için serinin ilk dört terimini kullanmanın vereceği hatanın büyüklüğünü bulun.

45.  $\sum_{n=1}^{\infty} (-1)^{n+1} \frac{1}{n}$

Toplamın  $\ln 2$  olduğu gösterilebilir.

46.  $\sum_{n=1}^{\infty} (-1)^{n+1} \frac{1}{10^n}$

47.  $\sum_{n=1}^{\infty} (-1)^{n+1} \frac{(0.01)^n}{n}$

Bölüm 11.7'de göreceğiniz gibi, toplan  $\ln(1.01)$ 'dır.

48.  $\frac{1}{1+t} = \sum_{n=0}^{\infty} (-1)^n t^n, \quad 0 < t < 1$

- T** 49 ve 50 Alıştırmalarındaki toplamlara büyülüğu  $5 \times 10^{-6}$ 'dan daha küçük bir hatayla yaklaşım yapın.

49.  $\sum_{n=0}^{\infty} (-1)^n \frac{1}{(2n)!}$

Bölüm 11.9'da göreceğiniz gibi, toplam  $\cos 1$ , yani 1 radyanın kosinusudur.

50.  $\sum_{n=0}^{\infty} (-1)^n \frac{1}{n!}$

Bölüm 11.9'da göreceğiniz gibi toplam  $e^{-1}$ 'dir.

## Teori ve Örnekler

51. a.

$$\frac{1}{3} - \frac{1}{2} + \frac{1}{9} - \frac{1}{4} + \frac{1}{27} - \frac{1}{8} + \dots + \frac{1}{3^n} - \frac{1}{2^n} + \dots$$

serisi Teorem 14'ün koşullarından birini sağlamaz. Hangisini?

- b. (a) şıklındaki serinin toplamını bulun.

eklemeye başlayın. Sonra yeni toplam  $-1/2$ ’den küçük veya ona eşit oluncaya kadar negatif terimler ekleyin. İşleme kısmi toplamlarınız hedefin en az üç kez üzerine çikana kadar devam edin ve işlemi hedefte veya hedefin altında bitirin.  $s_n$  yeni serinizin ilk  $n$  teriminin toplamıysa,  $(n, s_n)$  noktalarını işaretleyerek toplamların nasıl davranışlarını gösterin.

#### 60. Yeniden Düzenleme Teoreminin (Teorem 17) ispatının taslağı

- a.  $\epsilon$  pozitif bir sayı,  $L = \sum_{n=1}^{\infty} a_n$  ve  $s_k = \sum_{n=1}^k a_n$  olsun. Bir  $N_1$  indisini ve bir başka  $N_2 \geq N_1$  indisini için,

$$\sum_{n=N_1}^{\infty} |a_n| < \frac{\epsilon}{2} \quad \text{ve} \quad |s_{N_2} - L| < \frac{\epsilon}{2}$$

olduğunu gösterin. Bütün  $a_1, a_2, \dots, a_{N_2}$  terimleri  $\{b_n\}$ , dizisinin bir yerlerinde ortaya çıktıkları için,  $n \geq N_3$  ise  $(\sum_{k=1}^n b_k) - s_{N_2}$ ’nin en fazla  $m \geq N_1$  koşuluna uygun  $a_m$  terimlerinin toplamı olacak şekilde bir  $N_3 \geq N_2$  indisini vardır. Dolayısıyla,  $n \geq N_3$  ise,

$$\begin{aligned} \left| \sum_{k=1}^n b_k - L \right| &\leq \left| \sum_{k=1}^n b_k - s_{N_2} \right| + |s_{N_2} - L| \\ &\leq \sum_{k=N_1}^{\infty} |a_k| + |s_{N_2} - L| < \epsilon. \end{aligned}$$

olar.

- b. (a) şıklıkta söylenenler,  $\sum_{n=1}^{\infty} a_n$  mutlak yakınsak ise  $\sum_{n=1}^{\infty} b_n$ ’nin de yakınsak ve  $\sum_{n=1}^{\infty} b_n = \sum_{n=1}^{\infty} a_n$  olduğunu söyleyelim.  $\sum_{n=1}^{\infty} |a_n|$  yakınsak olduğundan,  $\sum_{n=1}^{\infty} |b_n|$ ’nin  $\sum_{n=1}^{\infty} |a_n|$ ’ye yakınsayacağını gösterin.

#### 61. Mutlak yakınsak serileri ayırmak

- a.  $\sum_{n=1}^{\infty} |a_n|$  yakınsak ise ve

$$b_n = \begin{cases} a_n, & a_n \geq 0 \text{ ise} \\ 0, & a_n < 0 \text{ ise} \end{cases}$$

$\sum_{n=1}^{\infty} b_n$ ’nin yakınsak olduğunu gösterin.

- b. (a) şıklıkta sonucu kullanarak, benzer şekilde,  $\sum_{n=1}^{\infty} |a_n|$  yakınsak ise ve

$$c_n = \begin{cases} 0, & a_n \geq 0 \text{ ise} \\ a_n, & a_n < 0 \text{ ise} \end{cases}$$

$\sum_{n=1}^{\infty} c_n$ ’nin yakınsak olduğunu gösterin.

Başa bir deyişle, bir seri mutlak yakınsak ise pozitif terimleri, ve benzer şekilde negatif terimleri, yakınsak bir seri oluşturur. Dahası,

$$\sum_{n=1}^{\infty} a_n = \sum_{n=1}^{\infty} b_n + \sum_{n=1}^{\infty} c_n$$

olur, çünkü  $b_n = (a_n + |a_n|)/2$  ve  $c_n = (a_n - |a_n|)/2$ ’dir.

62. Burada yanlış olan nedir?

$$S = 1 - \frac{1}{2} + \frac{1}{3} - \frac{1}{4} + \frac{1}{5} - \frac{1}{6} + \frac{1}{7} - \frac{1}{8} + \frac{1}{9} - \frac{1}{10} + \frac{1}{11} - \frac{1}{12} + \dots$$

alterne harmonik serisinin iki tarafını da 2 ile çarparak

$$2S = 2 - 1 + \underbrace{\frac{2}{3} - \frac{1}{2} + \frac{2}{5} - \frac{1}{3} + \frac{2}{7} - \frac{1}{4} + \frac{2}{9} - \frac{1}{5} + \frac{2}{11} - \frac{1}{6} + \dots}_{\text{2 ile çarpanlanmış serisini göstermek}}$$

elde edin. Okların gösterdiği gibi, paydaları aynı olan terimleri bir araya toplayarak

$$2S = 1 - \frac{1}{2} + \frac{1}{3} - \frac{1}{4} + \frac{1}{5} - \frac{1}{6} + \dots$$

serisini elde edin.

Bu denklemin sağ tarafındaki seri başladığımız seridir. Yani,  $2S = S$  olur ve 2 ile bölersek,  $2 = 1$  buluruz. (Kaynak: “Riemann’s Rearrangement Theorem,” Stewart Galanor, *Mathematics Teacher*, Vol.80, No.8, 1987, s. 675-681.)

63.  $N > 1$  iken, Teorem 14’teki serinin yakınsaklığını göstermek için Şekil 11.9’dakine benzer bir şekil çizin.

## 11.7

### Kuvvet Serileri

Sonsuz serilerin yakınsaklığını test edebildiğimize göre, bu bölümün başında söz edilen sonsuz polinomları inceleyebiliriz. Bu polinomlara kuvvet serileri deriz, çünkü bir değişkenin, bizim durumumuzda  $x$ , kuvvetlerinin sonsuz serileri olarak tanımlanabilirler. Polinomlar gibi, kuvvet serileri de toplanıp, çıkarılıp, çarpılıp, türevleri alınıp, integre edilip yeni kuvvet serileri elde edilebilir.

## Kuvvet Serileri ve Yakınsaklık

Formel tanımla işe başlıyoruz.

### TANIMLAR

### Kuvvet Serileri, Merkez, Katsayılar

**$x = 0$  civarında bir kuvvet serisi**

$$\sum_{n=0}^{\infty} c_n x^n = c_0 + c_1 x + c_2 x^2 + \cdots + c_n x^n + \cdots \quad [1]$$

şeklinde bir seridir.

**$x = a$  civarında bir kuvvet serisi**

$$\sum_{n=0}^{\infty} c_n (x - a)^n = c_0 + c_1 (x - a) + c_2 (x - a)^2 + \cdots + c_n (x - a)^n + \cdots \quad [2]$$

şeklinde bir seridir. Burada **merkez**  $a$  ve **katsayılar**  $c_0, c_1, c_2, \dots, c_n$  sabitlerdir.

(1) denklemi (2) denkleminde  $a = 0$  alınarak elde edilen özel bir durumdur.

### ÖRNEK 1 Bir Geometrik Seri

(1) denklemindeki bütün katsayıları 1 almak

$$\sum_{n=0}^{\infty} x^n = 1 + x + x^2 + \cdots + x^n + \cdots$$

geometrik kuvvet serisini verir. Bu, ilk terimi 1 ve oranı  $x$  olan geometrik seridir.  $|x| < 1$  için  $1/(1-x)$ 'e yakınsar. Bunu

$$\frac{1}{1-x} = 1 + x + x^2 + \cdots + x^n + \cdots, \quad -1 < x < 1. \quad [3]$$

yazarak ifade ederiz.

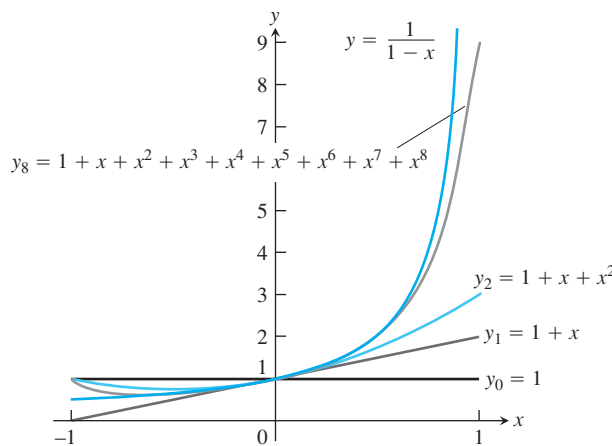
Şimdije kadar (3) denklemi sağ taraftaki serinin toplamının bir formülü olarak yazdık. Şimdi odağımızı değiştiriyoruz: Sağ taraftaki serinin kısmi toplamlarını soldaki fonksiyona yaklaşımda bulunan  $P_n(x)$  polinomları olarak düşünüyoruz. Sıfır civarındaki  $x$  değerlerinde, iyi yaklaşım için serinin sadece birkaç terimini almamız yeterlidir.  $x = 1$  veya  $-1$ 'e doğru ilerlerken, daha fazla terim almamız gereklidir. Şekil 11.10  $f(x) = 1/(1-x)$  fonksiyonunun ve  $n = 0, 1, 2$  ve 8 için  $y_n = P_n(x)$  yaklaşım polinomlarının grafiklerini göstermektedir.  $f(x) = 1/(1-x)$  fonksiyonu, dikey asimptotun bulunduğu  $x = 1$ 'i içeren aralıklarda sürekli değildir. Bu nedenle yaklaşımalar  $x \geq 1$  için uygulanamaz.

### ÖRNEK 2 Bir Geometrik Seri

$$1 - \frac{1}{2}(x - 2) + \frac{1}{4}(x - 2)^2 + \cdots + \left(-\frac{1}{2}\right)^n (x - 2)^n + \cdots \quad [4]$$

kuvvet serisi,  $a = 2$ ,  $c_0 = 1$ ,  $c_1 = -1/2$ ,  $c_2 = 1/4$ , ...,  $c_n = (-1/2)^n$  ile (2) denklemine uyar.

Bu, ilk terimi 1 ve oranı  $r = -\frac{x-2}{2}$  olan bir geometrik seridir. Bu seri



**ŞEKİL 11.10**  $f(x) = 1/(1-x)$  ve polinom yaklaşımlarından dördünün grafikleri (Örnek 1).

$$\left| \frac{x-2}{2} \right| < 1 \text{ veya } 0 < x < 4 \text{ için yakınsar. Toplami}$$

$$\frac{1}{1-r} = \frac{1}{1 + \frac{x-2}{2}} = \frac{2}{x}$$

olarak bulunur, dolayısıyla

$$\frac{2}{x} = 1 - \frac{(x-2)}{2} + \frac{(x-2)^2}{4} - \dots + \left(-\frac{1}{2}\right)^n (x-2)^n + \dots, \quad 0 < x < 4$$

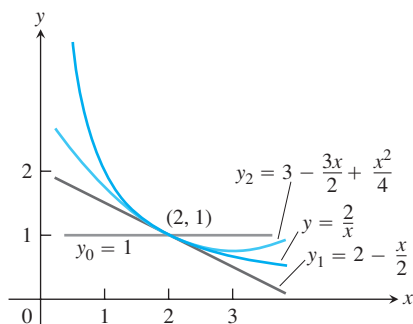
olur. (4) serisi 2 civarındaki  $x$  değerleri için  $f(x) = 2/x$ 'e kullanışlı polinom yaklaşımı üretir:

$$P_0(x) = 1$$

$$P_1(x) = 1 - \frac{1}{2}(x-2) = 2 - \frac{x}{2}$$

$$P_2(x) = 1 - \frac{1}{2}(x-2) + \frac{1}{4}(x-2)^2 = 3 - \frac{3x}{2} + \frac{x^2}{4}$$

gibi (Şekil 11.11). ■



**ŞEKİL 11.11**  $f(x) = 2/x$  ve ilk üç polinom yaklaşımının grafikleri (Örnek 2).

### ÖRNEK 3 Oran Testini Kullanarak Yakınsaklışı Test Etmek

Aşağıdaki kuvvet serileri hangi  $x$  değerleri için yakınsar?

(a)  $\sum_{n=1}^{\infty} (-1)^{n-1} \frac{x^n}{n} = x - \frac{x^2}{2} + \frac{x^3}{3} - \dots$

(b)  $\sum_{n=1}^{\infty} (-1)^{n-1} \frac{x^{2n-1}}{2n-1} = x - \frac{x^3}{3} + \frac{x^5}{5} - \dots$

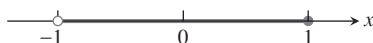
(c)  $\sum_{n=0}^{\infty} \frac{x^n}{n!} = 1 + x + \frac{x^2}{2!} + \frac{x^3}{3!} + \dots$

(d)  $\sum_{n=0}^{\infty} n! x^n = 1 + x + 2!x^2 + 3!x^3 + \dots$

**Cözüm**  $u_n$ , söz konusu serinin  $n.$  terimi olmak üzere  $\Sigma |u_n|$  serisine Oran Testini uygulayın.

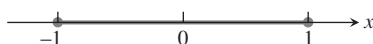
$$(a) \left| \frac{u_{n+1}}{u_n} \right| = \frac{n}{n+1} |x| \rightarrow |x|.$$

Seri,  $|x| < 1$  için mutlak yakınsaktır.  $|x| > 1$  ise ıraksaktır, çünkü  $n.$  terim sıfıra yakınsamaz.  $x = 1$ 'de, yakınsak olan alterne harmonik seriyi,  $1 - 1/2 + 1/3 - 1/4 + \dots$ , elde ederiz.  $x = -1$ 'de, harmonik serinin negatifini,  $-1 - 1/2 - 1/3 - 1/4 - \dots$ , buluruz, ki bu seri ıraksar. (a) serisi  $-1 < x \leq 1$  için yakınsaktır, başka yerlerde ise ıraksak olur.



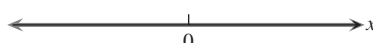
$$(b) \left| \frac{u_{n+1}}{u_n} \right| = \frac{2n-1}{2n+1} x^2 \rightarrow x^2.$$

Seri,  $x^2 < 1$  için mutlak yakınsaktır.  $x^2 > 1$  için ıraksaktır çünkü  $n.$  terim sıfıra yakınsamaz.  $x = 1$ 'de, Alterne Seri Teoremine göre yakınsak olan  $1 - 1/3 + 1/5 - 1/7 + \dots$  serisini elde ederiz. Seri  $x = -1$ 'de de yakınsar, çünkü yakınsaklık koşullarını sağlayan bir alterne seri verir.  $x = -1$ 'deki değer,  $x = 1$ 'deki değerin negatifidir. (b) serisi  $-1 \leq x \leq 1$  için yakınsak, başka yerlerde ıraksaktır.



$$(c) \left| \frac{u_{n+1}}{u_n} \right| = \left| \frac{x^{n+1}}{(n+1)!} \cdot \frac{n!}{x^n} \right| = \frac{|x|}{n+1} \rightarrow 0 \quad \text{her } x \text{ için.}$$

Seri, her  $x$  için mutlak yakınsaktır.



$$(d) \left| \frac{u_{n+1}}{u_n} \right| = \left| \frac{(n+1)!x^{n+1}}{n!x^n} \right| = (n+1)|x| \rightarrow \infty \quad x = 0 \text{ değilse.}$$

Seri,  $x = 0$  hariç her  $x$  değeri için ıraksaktır.



Örnek 3 genelde kuvvet serilerinin yakınsaklığını nasıl test ettiğimizi ve olası sonuçları göstermektedir.

### TEOREM 18

### Kuvvet Serileri İçin Yakınsaklık Teoremi

$$\sum_{n=0}^{\infty} a_n x^n = a_0 + a_1 x + a_2 x^2 + \dots$$

$x = c \neq 0$  için yakınsak ise, her  $|x| < |c|$  için mutlak yakınsaktır. Seri,  $x = d$  için ıraksak ise her  $|x| > |d|$  için ıraksaktır.

**Ispat**  $\sum_{n=0}^{\infty} a_n c^n$  serisinin yakınsadığını varsayıy়. Bu durumda,  $\lim_{n \rightarrow \infty} a_n c^n = 0$  olur. Dolayısıyla, her  $n \geq N$  için,  $|a_n c^n| < 1$  olmasını sağlayacak bir  $N$  tamsayısı vardır. Yani,

$$n \geq N \text{ için } |a_n| < \frac{1}{|c|^n} \quad (5)$$

olar. Şimdi  $|x| < |c|$  olacak şekilde bir  $x$  alın ve

$$|a_0| + |a_1 x| + \cdots + |a_{N-1} x^{N-1}| + |a_N x^N| + |a_{N+1} x^{N+1}| + \cdots$$

toplamını düşünün.  $|a_N x^N|$ ’den önce sonlu sayıda terim vardır ve toplamları da sonludur.  $|a_N x^N|$  ve bundan sonraki terimlerin toplamı, (5)’ten dolayı,

$$\left| \frac{x}{c} \right|^N + \left| \frac{x}{c} \right|^{N+1} + \left| \frac{x}{c} \right|^{N+2} + \cdots \quad (6)$$

toplamından küçüktür. Fakat (6) serisi,  $|x| < |c|$  olduğundan,  $r = |x/c|$  oranı 1’den küçük olan bir geometrik seridir. Bu yüzden, (6) serisi yakınsaktır ve dolayısıyla asıl seri mutlak yakınsaktır. Bu teoremin ilk yarısını ispatlar.

Teoremin ikinci yarısının ispatı birinci yarının ispatından çıkar. Seri,  $x = d$ ’de iraksak ise ve  $|x_0| > |d|$  olacak şekilde bir  $x_0$  değerinde yakınsak ise teoremin ilk kısmında  $c = x_0$  alabilir ve serinin  $x = d$ ’de mutlak yakınsak olduğu sonucunu çıkarabiliriz. Fakat seri aynı anda hem mutlak yakınsak, hem de iraksak olamaz. Dolayısıyla,  $d$ ’de iraksak ise, her  $|x| > |d|$  için iraksaktır. ■

Notasyonu basitleştirmek için, Teorem 18’de  $\sum a_r x^r$  formundaki serilerin yakınsaklıklarını göz önüne alındı.  $\sum a_n (x - a)^n$  formundaki seriler için  $x - a$ ’yı  $x'$  ile değiştirip sonuçları  $\sum a_n (x')^n$  serisine uygulayabiliriz.

### Bir Kuvvet Serisinin Yakınsaklık Yarıçapı

Ispatladığımız teorem ve incelediğimiz örnekler, bir  $\sum c_n (x - a)^n$  kuvvet serisinin aşağıdaki üç şekilde birine uygun davranışını sonucunu verir. Seri sadece  $x = a$  için yakınsak veya her yerde yakınsak olabilir ya da  $x = a$  merkezli  $R$  yarıçaplı bir aralık üzerinde yakınsak olabilir. Bunu, Teorem 18’in bir sonucu olarak ispat ediyoruz.

#### TEOREM 18’İN SONUCU

$\sum c_n (x - a)^n$  serisinin yakınsaklığını aşağıdaki üç durumdan biri ile açıklanır.

1. Serinin  $|x - a| > R$  koşulunu sağlayan  $x$ ’ler için iraksak, fakat  $|x - a| < R$  koşulunu sağlayan  $x$ ’ler için mutlak yakınsak olduğu pozitif bir  $R$  sayısı vardır. Seri,  $x = a - R$  ve  $x = a + R$  uç noktalarının her birinde yakınsak olabilir veya olmayıabilir.
2. Seri her  $x$  için mutlak yakınsaktır ( $R = \infty$ ).
3. Seri  $x = a$ ’da yakınsak ve başka her yerde iraksaktır ( $R = 0$ ).

**İspat** Önce,  $a = 0$  ve dolayısıyla kuvvet serisinin merkezinin 0 olduğunu kabul edelim. Seri her yerde yakınsak ise Durum 2 söz konusudur. Seri sadece  $x = 0$  da yakınsak ise Durum 3 söz konusudur. Bunlar dışında,  $\sum c_n d^n$  serisinin iraksak olduğu, sıfırdan farklı bir  $d$  sayısı vardır.  $\sum c_n x^n$  serisinin yakınsak olduğu  $x$  değerlerinin kümesi,  $S$ , boş küme değildir. Çünkü 0'ı ve bir  $p$  pozitif sayısını içerir. Teorem 18'e göre seri  $|x| > |d|$ , koşulunu sağlayan her  $x$  için iraksaktır ve bu nedenle her  $x \in S$  için  $|x| \leq |d|$  'dir ve dolayısıyla  $S$  sınırlı bir kümedir. Reel sayıların Tamlık Özelliğine göre (Ek 4'e bakın) boş olmayan sınırlı bir kümenin bir en küçük üst sınırı,  $R$ , vardır. (En küçük üst sınır,  $x \in S$  elemanları için  $x \leq R$  eşitsizliğinin sağlandığı en küçük sayıdır.)  $|x| > R \geq p$ , ise  $x \notin S$  dir ve dolayısıyla  $\sum c_n x^n$  serisi iraksaktır.  $|x| < R$  ise  $|x| \in S$  kümesi için bir üst sınır değildir (çünkü en küçük üst sınırın küçüğüdür) bu nedenle  $b > |x|$  olacak şekilde bir  $b \in S$  sayısı vardır.  $b \in S$  olduğundan  $\sum c_n b^n$  serisi yakınsaktır ve bundan dolayı Teorem 18'e göre,  $\sum c_n |x|^n$  serisi yakınsaktır. Bununla,  $a = 0$  merkezli kuvvet serileri için Sonuç ispatlanmış olur.

$a \neq 0$  merkezli bir kuvvet serisi için  $x' = (x - a)$  yazarız ve yukarıdakileri  $x'$  ile tekrar ederiz.  $x = a$  için  $x' = 0$  olduğundan,  $x' = 0$  merkezli  $\sum c_n (x')^n$  serisinin  $R$  yarıçaplı bir yakınsaklık aralığı ile  $x = a$  merkezli  $\sum c_n (x - a)^n$  serisinin  $R$  yarıçaplı yakınsaklık aralığı aynıdır. Bu, genel durum için Sonucu ispatlar. ■

$R$ 'ye kuvvet serisinin **yakınsaklık yarıçapı**,  $x = a$  merkezli ve  $R$  yarıçaplı aralığa **yakınsaklık aralığı** denir. Yakınsaklık aralığı seride bağlı olarak açık, kapalı veya yarı açık olabilir.  $|x - a| < R$  koşulunu sağlayan  $x$ 'ler için seri mutlak yakınsaktır. Seri her  $x$  değeri için yakınsak ise yakınsaklık yarıçapı sonsuzdur deriz. Seri sadece  $x = a$ da yakınsak ise yakınsaklık yarıçapı sıfırdır deriz.

#### Bir Kuvvet Serisinin Yakınsaklığını Test Etmek

1. Serinin mutlak yakınsak olduğu aralığı bulmak için Oran testini (veya  $n$ . Kök Testini) kullanın. Doğal olarak bu bir açık aralıktır,

$$|x - a| < R \quad \text{veya} \quad a - R < x < a + R.$$

2. Mutlak yakınsaklık aralığı sonlu ise her bir üç noktada yakınsaklıktır veya iraksaklıktır test edin, (Örnek 3a ve b'deki gibi). Bir Karşılaştırma Testi, İntegral Testi veya Alterne Seri Testi kullanın.
3. Mutlak yakınsaklık aralığı  $a - R < x < a + R$  ise  $|x - a| > R$  için seri iraksaktır (koşullu yakınsak bile değildir), çünkü  $x$ 'in bu değerleri için  $n$ .terim sıfıra yakınsamaz.

#### Terim-Terime Türetme

Ileri analizin bir teoremi bir kuvvet serisinin yakınsaklık aralığının her iç noktasında terim-terime türetilip olabileceğini söyler.

**TEOREM 19**      **Terim-Terime Türetme Teoremi**

$\sum c_n(x - a)^n$  serisi bir  $R > 0$  için,  $a - R < x < a + R$  aralığında yakınsak ise bir  $f$  fonksiyonu tanımlar:

$$f(x) = \sum_{n=0}^{\infty} c_n(x - a)^n, \quad a - R < x < a + R.$$

Böyle bir  $f$  fonksiyonunun yakınsaklık aralığı içinde her mertebeden türevi vardır. Türevleri, esas seriyi terim-terime türeterek elde edebiliriz:

$$\begin{aligned} f'(x) &= \sum_{n=1}^{\infty} n c_n (x - a)^{n-1} \\ f''(x) &= \sum_{n=2}^{\infty} n(n-1) c_n (x - a)^{n-2} \end{aligned}$$

vs. Türev alarak elde edilmiş her seri, esas serinin yakınsaklık aralığının her iç noktasında yakınsaktır.

**ÖRNEK 4**      Terim-Terime Türetmeyi Uygulamak

$$\begin{aligned} f(x) &= \frac{1}{1-x} = 1 + x + x^2 + x^3 + x^4 + \cdots + x^n + \cdots \\ &= \sum_{n=0}^{\infty} x^n, \quad -1 < x < 1 \end{aligned}$$

ise  $f'(x)$  ve  $f''(x)$  serilerini bulun.

**Çözüm**

$$\begin{aligned} f'(x) &= \frac{1}{(1-x)^2} = 1 + 2x + 3x^2 + 4x^3 + \cdots + nx^{n-1} + \cdots \\ &= \sum_{n=1}^{\infty} nx^{n-1}, \quad -1 < x < 1 \\ f''(x) &= \frac{2}{(1-x)^3} = 2 + 6x + 12x^2 + \cdots + n(n-1)x^{n-2} + \cdots \\ &= \sum_{n=2}^{\infty} n(n-1)x^{n-2}, \quad -1 < x < 1 \end{aligned}$$

■

**DİKKAT** Terim-terime türev alma başka tür seriler için işe yaramayabilir. Örneğin, trigonometrik

$$\sum_{n=1}^{\infty} \frac{\sin(n!x)}{n^2}$$

serisi her  $x$  için yakınsar. Fakat terim-terime türev alırsak, her  $x$  için iraksak olan

$$\sum_{n=1}^{\infty} \frac{n! \cos(n!x)}{n^2},$$

serisini buluruz. Bu,  $x$ 'in pozitif kuvvetlerinin bir toplamı olmadığından, bir kuvvet serisi değildir.

### Terim-Terime İntegrasyon

İleri analizin başka bir teoremi bir kuvvet serisinin yakınsaklık aralığı içinde terim-terime integre edilebileceğini söyler.

#### TEOREM 20

#### Terim-Terime İntegrasyon Teoremi

$$f(x) = \sum_{n=0}^{\infty} c_n (x - a)^n$$

fonksiyonunun  $a - R < x < a + R$  ( $R > 0$ ) aralığında yakınsak olduğunu varsayıñ. Bu durumda

$$\sum_{n=0}^{\infty} c_n \frac{(x - a)^{n+1}}{n + 1}$$

de  $a - R < x < a + R$  aralığında yakınsak olur ve  $a - R < x < a + R$  için

$$\int f(x) dx = \sum_{n=0}^{\infty} c_n \frac{(x - a)^{n+1}}{n + 1} + C$$

olur.

#### ÖRNEK 5 $\tan^{-1} x$ , $-1 \leq x \leq 1$ için bir seri

$$f(x) = x - \frac{x^3}{3} + \frac{x^5}{5} - \dots, \quad -1 \leq x \leq 1$$

fonksiyonunu tanımlayın.

**Çözüm** Orijinal seriyi terim-terime türeterek

$$f'(x) = 1 - x^2 + x^4 - x^6 + \dots, \quad -1 < x < 1$$

buluruz. Bu, birinci terimi 1 ve oranı  $-x^2$  olan bir geometrik seridir, o yüzden

$$f'(x) = \frac{1}{1 - (-x^2)} = \frac{1}{1 + x^2}$$

olur. Artık  $f'(x) = 1/(1 + x^2)$ 'yi integre ederek

$$\int f'(x) dx = \int \frac{dx}{1 + x^2} = \tan^{-1} x + C$$

bulabiliriz.  $x = 0$  iken,  $f(x)$  serisi sıfırdır, bu yüzden  $C = 0$  olur. Böylece

$$f(x) = x - \frac{x^3}{3} + \frac{x^5}{5} - \frac{x^7}{7} + \dots = \tan^{-1} x, \quad -1 < x < 1 \quad [7]$$

elde ederiz. Bölüm 11.10'da, serinin  $x = \pm 1$  de  $\tan^{-1} x$ 'e yakınsadığını göstereceğiz. ■

Şuna dikkat edin Örnek 5'teki orijinal seri yakınsaklık aralığının her iki uç noktasında da yakınsaktır, fakat Teorem 20 türevi alınmış serinin sadece aralığın iç noktalarındaki yakınsaklığını garanti eder.

**ÖRNEK 6**  $\ln(1+x)$ ,  $-1 < x \leq 1$  için bir seri

$$\frac{1}{1+t} = 1 - t + t^2 - t^3 + \dots$$

serisi  $-1 < t < 1$  açık aralığında yakınsaktır. Dolayısıyla,

$$\begin{aligned}\ln(1+x) &= \int_0^x \frac{1}{1+t} dt = t - \frac{t^2}{2} + \frac{t^3}{3} - \frac{t^4}{4} + \dots \Big|_0^x && \text{Teorem 20} \\ &= x - \frac{x^2}{2} + \frac{x^3}{3} - \frac{x^4}{4} + \dots, \quad -1 < x < 1\end{aligned}$$

bulunur. Ayrıca serinin  $x = 1$ 'de  $\ln 2$  sayısına yakınsadığı da gösterilebilir, fakat teorem bunu garantiyez. ■

### TEKNOLOJİ KULLANMAK Serilerin İncelenmesi

Seriler bir çok yönden integrallere benzer. Elemanter fonksiyonlar cinsinden açık ters türrevleri var olan fonksiyonların sayısının, integre edilebilir fonksiyonların sayısına oranla küçük olması gibi,  $x$ -aralıklarında açık elemanter fonksiyonlarla uyuşan  $x$ 'in kuvvet serilerinin sayısı da bir  $x$ -aralığında yakınsak olan kuvvet serilerinin sayısının yanında küçütür. Grafik çizme araçları böyle serilerin incelenmesinde, sayısal integrasyonun belirli integrallerin incelenmesinde yardımcı olduğu gibi, yardımcı olabilir.  $x$ 'in belirli değerlerinde kuvvet serilerini inceleme becerisi çoğu Bilgisayarlı Cebir Sistemi'nin içine yerleştirilmiştir.

Bir seri yeterince hızlı yakınsıyorsa, BCS araştırması bize toplam hakkında bir fikir verebilir. Örneğin,  $\sum_{k=1}^{\infty} [1/(2^{k-1})]$  serisinin ilk kısmi toplamlarını hesaplarken (Bölüm 11.4, Örnek 2b), Maple,  $31 \leq n \leq 200$  için  $S_n = 1.606695152$  verir. Bu, serinin toplamının 10 ondalık basamak hassaslıkla 1.606695152 olduğunu belirtir. Gerçekten de,

$$\sum_{k=201}^{\infty} \frac{1}{2^k - 1} = \sum_{k=201}^{\infty} \frac{1}{2^{k-1}(2 - (1/2^{k-1}))} < \sum_{k=201}^{\infty} \frac{1}{2^{k-1}} = \frac{1}{2^{199}} < 1.25 \times 10^{-60}.$$

bulunur. 200 terimden sonraki kalan ihmal edilebilir.

Ancak, BCS ve hesap makinesi araştırmaları, seriler çok yavaş yakınsıyor veya iraksıyor ise, bizim için fazla bir şey yapamazlar ve gerçekte fazlasıyla yanılıcı olabilirler. Örneğin,  $\sum_{k=1}^{\infty} [1/(10^{10}k)]$  serisinin kısmi toplamlarını hesaplamayı deneyin. Terimler bizim genellikle çalıştığımız sayılarla nazaran çok küçüktür ve kısmi toplamlar, yüzlerce terimden oluşsalar bile, çok küçüktürler. Serinin yakınsadığını düşünmek hatasına bile düşebiliriz. Aslında, seriyi  $(1/10^{10})\sum_{k=1}^{\infty} (1/k)$  şeklinde yazarak görebileceğimiz gibi, seri iraksaktır.

Bölüm 11.9'da hata tahminlerini öğrendikten sonra, sayısal sonuçları nasıl yorumlayacağımızı daha iyi anlayacağız.

### Kuvvet Serilerinin Çarpımı

Yine ileri analizin başka bir teoremi mutlak yakınsak kuvvet serilerinin polinomları çarptığımız gibi çarpılabileceğini söyler.

#### TEOREM 21 Kuvvet Serileri İçin Seri Çarpım Teoremi

$A(x) = \sum_{n=0}^{\infty} a_n x^n$  ve  $B(x) = \sum_{n=0}^{\infty} b_n x^n$  serileri  $|x| < R$  için mutlak yakınsak ise ve

$$c_n = a_0 b_n + a_1 b_{n-1} + a_2 b_{n-2} + \cdots + a_{n-1} b_1 + a_n b_0 = \sum_{k=0}^n a_k b_{n-k},$$

$\sum_{n=0}^{\infty} c_n x^n$  serisi  $|x| < R$  için mutlak yakınsaktır ve  $A(x)B(x)$ 'e yakınsar:

$$\left( \sum_{n=0}^{\infty} a_n x^n \right) \cdot \left( \sum_{n=0}^{\infty} b_n x^n \right) = \sum_{n=0}^{\infty} c_n x^n$$

#### ÖRNEK 7

$$\sum_{n=0}^{\infty} x^n = 1 + x + x^2 + \cdots + x^n + \cdots = \frac{1}{1-x}, \quad |x| < 1 \text{ için}$$

geometrik serisini kendisiyle çarparak,  $|x| < 1$  için,  $1/(1-x)^2$ 'nin kuvvet serisini bulun.

#### Çözüm

$$A(x) = \sum_{n=0}^{\infty} a_n x^n = 1 + x + x^2 + \cdots + x^n + \cdots = 1/(1-x)$$

$$B(x) = \sum_{n=0}^{\infty} b_n x^n = 1 + x + x^2 + \cdots + x^n + \cdots = 1/(1-x)$$

ve

$$\begin{aligned} c_n &= \underbrace{a_0 b_n + a_1 b_{n-1} + \cdots + a_k b_{n-k} + \cdots + a_n b_0}_{n+1 \text{ terim}} \\ &= \underbrace{1 + 1 + \cdots + 1}_{n+1 \text{ tane bir}} = n + 1 \end{aligned}$$

olsun. Bu durumda, Serilerin Çarpımı Teoremine göre,

$$\begin{aligned} A(x) \cdot B(x) &= \sum_{n=0}^{\infty} c_n x^n = \sum_{n=0}^{\infty} (n+1)x^n \\ &= 1 + 2x + 3x^2 + 4x^3 + \cdots + (n+1)x^n + \cdots \end{aligned}$$

$1/(1-x)^2$ 'nin serisidir. Seri  $|x| < 1$  için mutlak yakınsaktır.

Örnek 4'ün,

$$\frac{d}{dx} \left( \frac{1}{1-x} \right) = \frac{1}{(1-x)^2}$$

olduğu için, aynı sonucu verdiğine dikkat edin.

## ALIŞTIRMALAR 11.7

### Yakınsaklık Aralıkları

1–32 alıştırmalarında (a) serilerin yakınsaklık yarıçaplarını ve aralıklarını bulun. Seriler hangi  $x$  değerlerinde (b) mutlak ve (c) koşullu yakınsaktırlar?

1.  $\sum_{n=0}^{\infty} x^n$

3.  $\sum_{n=0}^{\infty} (-1)^n(4x + 1)^n$

5.  $\sum_{n=0}^{\infty} \frac{(x - 2)^n}{10^n}$

7.  $\sum_{n=0}^{\infty} \frac{nx^n}{n + 2}$

9.  $\sum_{n=1}^{\infty} \frac{x^n}{n\sqrt{n}3^n}$

11.  $\sum_{n=0}^{\infty} \frac{(-1)^n x^n}{n!}$

13.  $\sum_{n=0}^{\infty} \frac{x^{2n+1}}{n!}$

15.  $\sum_{n=0}^{\infty} \frac{x^n}{\sqrt{n^2 + 3}}$

17.  $\sum_{n=0}^{\infty} \frac{n(x + 3)^n}{5^n}$

19.  $\sum_{n=0}^{\infty} \frac{\sqrt{nx^n}}{3^n}$

21.  $\sum_{n=1}^{\infty} \left(1 + \frac{1}{n}\right)^n x^n$

23.  $\sum_{n=1}^{\infty} n^n x^n$

25.  $\sum_{n=1}^{\infty} \frac{(-1)^{n+1}(x + 2)^n}{n2^n}$

27.  $\sum_{n=2}^{\infty} \frac{x^n}{n(\ln n)^2}$

$\sum 1/(n(\ln n)^2)$  hakkında gerek duyduğunuz bütün bilgiyi Bölüm 11.3, Çalışma 39'dan elde edebilirsiniz.

28.  $\sum_{n=2}^{\infty} \frac{x^n}{n \ln n}$

$\sum 1/(n \ln n)$  hakkında gerek duyduğunuz bütün bilgiyi Bölüm 11.3, Çalışma 38'den elde edebilirsiniz.

29.  $\sum_{n=1}^{\infty} \frac{(4x - 5)^{2n+1}}{n^{3/2}}$

31.  $\sum_{n=1}^{\infty} \frac{(x + \pi)^n}{\sqrt{n}}$

2.  $\sum_{n=0}^{\infty} (x + 5)^n$

4.  $\sum_{n=1}^{\infty} \frac{(3x - 2)^n}{n}$

6.  $\sum_{n=0}^{\infty} (2x)^n$

8.  $\sum_{n=1}^{\infty} \frac{(-1)^n(x + 2)^n}{n}$

10.  $\sum_{n=1}^{\infty} \frac{(x - 1)^n}{\sqrt{n}}$

12.  $\sum_{n=0}^{\infty} \frac{3^n x^n}{n!}$

14.  $\sum_{n=0}^{\infty} \frac{(2x + 3)^{2n+1}}{n!}$

16.  $\sum_{n=0}^{\infty} \frac{(-1)^n x^n}{\sqrt{n^2 + 3}}$

18.  $\sum_{n=0}^{\infty} \frac{nx^n}{4^n(n^2 + 1)}$

20.  $\sum_{n=1}^{\infty} \sqrt[n]{n}(2x + 5)^n$

22.  $\sum_{n=1}^{\infty} (\ln n)x^n$

24.  $\sum_{n=0}^{\infty} n!(x - 4)^n$

26.  $\sum_{n=0}^{\infty} (-2)^n(n + 1)(x - 1)^n$

33–38 alıştırmalarında serilerin yakınsaklık aralıklarını ve bu aralıkta, serinin toplamını  $x$ 'in bir fonksiyonu olarak bulun.

33.  $\sum_{n=0}^{\infty} \frac{(x - 1)^{2n}}{4n}$

34.  $\sum_{n=0}^{\infty} \frac{(x + 1)^{2n}}{9^n}$

35.  $\sum_{n=0}^{\infty} \left(\frac{\sqrt{x}}{2} - 1\right)^n$

36.  $\sum_{n=0}^{\infty} (\ln x)^n$

37.  $\sum_{n=0}^{\infty} \left(\frac{x^2 + 1}{3}\right)^n$

38.  $\sum_{n=0}^{\infty} \left(\frac{x^2 - 1}{2}\right)^n$

### Teori ve Örnekler

39. Hangi  $x$  değerlerinde

$$1 - \frac{1}{2}(x - 3) + \frac{1}{4}(x - 3)^2 + \cdots + \left(-\frac{1}{2}\right)^n(x - 3)^n + \cdots$$

serisi yakınsaktır? Toplamı nedir? Verilen serinin terim-terime türünü alırsınız hangi seriyi bulursunuz? Yeni seri hangi  $x$  değerlerinde yakınsaktır? Toplamı nedir?

40. Alıştırma 39'daki seriyi terim-terime integre ederseniz hangi seriyi elde edersiniz? Yeni seri  $x$ 'in hangi değerleri için yakınsaktır ve toplamının bir başka adı nedir?

41.

$$\sin x = x - \frac{x^3}{3!} + \frac{x^5}{5!} - \frac{x^7}{7!} + \frac{x^9}{9!} - \frac{x^{11}}{11!} + \cdots$$

serisi her  $x$  için  $\sin x$ 'e yakınsar.

a.  $\cos x$  için, bir serinin ilk altı terimini bulun. Bu seri  $x$ 'in hangi değerleri için yakınsak olmalıdır?

b.  $\sin x$  serisinde  $x$  yerine  $2x$  alarak, her  $x$  için  $\sin 2x$ 'e yakınsayan bir seri bulun.

c. (a) şıklındaki sonucu ve seri çarpımını kullanarak,  $2 \sin x \cos x$  için, bir serisinin ilk altı terimini bulun. Yanınızı (b) şıklındaki yanıtla karşılaştırın.

42.

$$e^x = 1 + x + \frac{x^2}{2!} + \frac{x^3}{3!} + \frac{x^4}{4!} + \frac{x^5}{5!} + \cdots$$

serisi her  $x$  için  $e^x$ 'e yakınsar.

a.  $(d/dx)e^x$  için bir seri bulun.  $e^x$  serisini buluyor musunuz? Yanınızı açıklayın.

b.  $\int e^x dx$  için bir seri bulun.  $e^x$  serisini buluyor musunuz? Yanınızı açıklayın.

c.  $e^x$  serisinde  $x$  yerine  $-x$  alarak her  $x$  için  $e^{-x}$ 'e yakınsayan bir seri bulun. Sonra  $e^x$  ile  $e^{-x}$  serilerini çarparak  $e^{-x} \cdot e^x$ .

$$30. \sum_{n=1}^{\infty} \frac{(3x + 1)^{n+1}}{2n + 2}$$

$$32. \sum_{n=0}^{\infty} \frac{(x - \sqrt{2})^{2n+1}}{2^n}$$

43.

$$\tan x = x + \frac{x^3}{3} + \frac{2x^5}{15} + \frac{17x^7}{315} + \frac{62x^9}{2835} + \dots$$

serisi  $-\pi/2 < x < \pi/2$  için  $\tan x$ 'e yakınsar.

- a.  $|\sec x|$  serisinin ilk beş terimini bulun. Bu seri  $x$ 'in hangi değerleri için yakınsak olmalıdır?
- b.  $\sec^2 x$  serisinin ilk beş terimini bulun. Bu seri  $x$ 'in hangi değerleri için yakınsak olmalıdır?
- c. (b)'deki yanıtınızı  $\sec x$ 'in Alıştırma 44'te verilen serisinin karesini alarak kontrol edin.

44.

$$\sec x = 1 + \frac{x^2}{2} + \frac{5}{24}x^4 + \frac{61}{720}x^6 + \frac{277}{8064}x^8 + \dots$$

serisi  $-\pi/2 < x < \pi/2$  için  $\sec x$ 'e yakınsar.

- a.  $|\sec x + \tan x|$  fonksiyonunun kuvvet serisinin ilk beş terimi bulun. Bu seri  $x$ 'in hangi değerleri için yakınsak olmalıdır?
- b.  $\sec x \tan x$  için, bir serinin ilk dört terimini bulun. Bu seri hangi  $x$  değerleri için yakınsak olmalıdır?

- c. (b) şıkkındaki sonucunu  $\sec x$  serisini Alıştırma 43'te  $\tan x$  için verilen serile çarparak kontrol edin.

**45. Yakınsak kuvvet serilerinin tekligi**

- a.  $\sum_{n=0}^{\infty} a_n x^n$  ve  $\sum_{n=0}^{\infty} b_n x^n$  kuvvet serileri yakınsak iseler ve bir  $(-c, c)$  açık aralığındaki her  $x$  değeri için eşit iseler, her  $n$  için  $a_n = b_n$  olduğunu gösterin. (İpucu:

$f(x) = \sum_{n=0}^{\infty} a_n x^n = \sum_{n=0}^{\infty} b_n x^n$  olsun. Terim-terime türetin,  $a_n$  ve  $b_n$ 'nin ikisinin de  $f^{(n)}(0)/(n!)$ 'e eşit olduğunu gösterin.)

- b. Bir  $(-c, c)$  açık aralığındaki her  $x$  için  $\sum_{n=0}^{\infty} a_n x^n = 0$  ise, her  $n$  için  $a_n = 0$  olduğunu gösterin.

- 46.  $\sum_{n=0}^{\infty} (n^2/2^n)$  serisinin toplamı Serinin toplamını bulmak için,  $1/(1-x)$ 'i geometrik seri olarak ifade edin, ortaya çıkan denklemi iki tarafının da  $x$ 'e göre türevini alın, sonucun iki tarafını da  $x$  ile çarpin, yeniden türev alın ve tekrar  $x$  ile çarpin,  $x$  yerine  $1/2$  yazın. Ne bulyorsunuz? (Kaynak: David E. Dobbs'un editöre mektubu, *Illinois Mathematics Teacher*, Vol. 33, Sayı 4, 1982, sayfa 27.)

- 47. Uç noktalarda yakınsaklık Bir kuvvet serisinin yakınsaklıklığı aralığının üç noktalarındaki yakınsaklığının koşullu veya mutlak olabileceğini örneklerle gösterin.

- 48. Yakınsaklık aralığı aşağıda gibi olan bir kuvvet serisi kurun.

- a.  $(-3, 3)$       b.  $(-2, 0)$       c.  $(1, 5)$ .

## 11.8 Taylor ve Maclaurin Serileri

### Taylor ve Maclaurin Serileri

Bu bölüm, sonsuz defa türetilebilen fonksiyonların, Taylor serisi denilen kuvvet serilerini nasıl oluşturduklarını göstermektedir. Çoğu durumda, bu seriler üretici fonksiyonların kulanlılı polinom yaklaşımlarını sağlayabilir.

#### Seri Temsili

Theorem 19'dan, yakınsaklık aralığı içinde bir kuvvet serisinin toplamının her mertebeden türevi var olan sürekli bir fonksiyon olduğunu biliyoruz. Fakat ya tersi? Bir  $f(x)$  fonksiyonunun bir  $I$  aralığında her mertebeden türevi varsa,  $I$ 'da bir kuvvet serisi olarak ifade edilebilir mi? Ve edilebilirse, katsayıları ne olacaktır?

$f(x)$ 'in, yakınsaklık yarıçapı pozitif olan bir

$$\begin{aligned} f(x) &= \sum_{n=0}^{\infty} a_n(x-a)^n \\ &= a_0 + a_1(x-a) + a_2(x-a)^2 + \dots + a_n(x-a)^n + \dots \end{aligned}$$

kuvvet serisinin toplamı olduğunu varsayarsak, son soruya hemen cevap verebiliriz.  $I$  yakınsaklık aralığında art arda terim-terime türev alarak,

$$f'(x) = a_1 + 2a_2(x-a) + 3a_3(x-a)^2 + \dots + na_n(x-a)^{n-1} + \dots$$

$$f''(x) = 1 \cdot 2a_2 + 2 \cdot 3a_3(x-a) + 3 \cdot 4a_4(x-a)^2 + \dots$$

$$f'''(x) = 1 \cdot 2 \cdot 3a_3 + 2 \cdot 3 \cdot 4a_4(x-a) + 3 \cdot 4 \cdot 5a_5(x-a)^2 + \dots,$$

elde ederiz.

Burada,  $n$ . türev, her  $n$  için

$f^{(n)}(x) = n!a_n + (x - a)$  çarpanını içeren terimlerin bir toplamı ile verilir.

Bu denklemlerin hepsi  $x = a$ 'da sağlandılarından,

$$\begin{aligned} f'(a) &= a_1, \\ f''(a) &= 1 \cdot 2a_2, \\ f'''(a) &= 1 \cdot 2 \cdot 3a_3 \end{aligned}$$

ve genel olarak

$$f^{(n)}(a) = n!a_n$$

elde ederiz. Bu formüller,  $f$ 'nin  $I$  aralığındaki değerlerine yakınsayan (“ $f$ 'yi  $I$ 'da temsil eden” deriz) herhangi bir  $\sum_{n=0}^{\infty} a_n(x - a)^n$  kuvvet serisinin katsayılarında harika bir kalıp ortaya çıkarır. Böyle bir seri varsa (bu hala açık bir sorudur), sadece bir tane vardır ve  $n$ . katsayı

$$a_n = \frac{f^{(n)}(a)}{n!}$$

dir.  $f$ 'nin bir seri temsili varsa, bu

$$\begin{aligned} f(x) &= f(a) + f'(a)(x - a) + \frac{f''(a)}{2!}(x - a)^2 \\ &\quad + \cdots + \frac{f^{(n)}(a)}{n!}(x - a)^n + \cdots \end{aligned} \quad [1]$$

olmalıdır. Fakat, merkezi  $x = a$ 'da bulunan bir  $I$  aralığında sonsuz defa türetilen keyfi bir  $f$  fonksiyonuyla işe başlarsak ve bunu (1) denklemindeki seriyi üretmekte kullanırsak, seri  $I$ 'nın içindeki her  $x$  için  $f(x)$ 'e yakınsar mı? Yanıt belkidir—bazı fonksiyonlar için yakınsayacak, fakat göreceğimiz gibi, bazıları için yakınsamayacaktır.

## TARİHSEL BİYOGRAFI

Brook Taylor  
(1685–1731)

Colin Maclaurin  
(1698–1746)

## Taylor ve Maclaurin Serileri

### TANIMLAR

### Taylor Serileri , Maclaurin Serileri

$f$ ,  $a$ 'yı bir iç nokta olarak içeren bir aralıkta her mertebeden türevi olan bir fonksiyon olsun.  **$f$  tarafından  $x = a$ 'da üretilen Taylor serisi**

$$\begin{aligned} \sum_{k=0}^{\infty} \frac{f^{(k)}(a)}{k!}(x - a)^k &= f(a) + f'(a)(x - a) + \frac{f''(a)}{2!}(x - a)^2 \\ &\quad + \cdots + \frac{f^{(n)}(a)}{n!}(x - a)^n + \cdots \end{aligned}$$

olarak tanımlanır.  **$f$  tarafından üretilen Maclaurin serisi** ise

$$\sum_{k=0}^{\infty} \frac{f^{(k)}(0)}{k!} x^k = f(0) + f'(0)x + \frac{f''(0)}{2!}x^2 + \cdots + \frac{f^{(n)}(0)}{n!}x^n + \cdots$$

ile verilir, yani  $f$ 'nin  $x = 0$ 'da ürettiği Taylor serisidir.

$f$  tarafından üretilen Maclaurin serisine genelde  $f$ 'nin Taylor serisi denir.

### ÖRNEK 1 Bir Taylor Serisi Bulmak

$f(x) = 1/x$  fonksiyonunun  $a = 2$ 'de ürettiği Taylor serisini bulun. Eğer yakınsak ise seri nerede  $1/x$ 'e yakınsar?

**Cözüm**  $f(2), f'(2), f''(2), \dots$  katsayılarını bulmamız gereklidir. Türev alarak,

$$f(x) = x^{-1}, \quad f(2) = 2^{-1} = \frac{1}{2},$$

$$f'(x) = -x^{-2}, \quad f'(2) = -\frac{1}{2^2},$$

$$f''(x) = 2!x^{-3}, \quad \frac{f''(2)}{2!} = 2^{-3} = \frac{1}{2^3},$$

$$f'''(x) = -3!x^{-4}, \quad \frac{f'''(2)}{3!} = -\frac{1}{2^4},$$

$$\vdots \qquad \vdots$$

$$f^{(n)}(x) = (-1)^n n! x^{-(n+1)}, \quad \frac{f^{(n)}(2)}{n!} = \frac{(-1)^n}{2^{n+1}}.$$

elde ederiz. Taylor serisi

$$\begin{aligned} f(2) + f'(2)(x - 2) + \frac{f''(2)}{2!}(x - 2)^2 + \cdots + \frac{f^{(n)}(2)}{n!}(x - 2)^n + \cdots \\ = \frac{1}{2} - \frac{(x - 2)}{2^2} + \frac{(x - 2)^2}{2^3} - \cdots + (-1)^n \frac{(x - 2)^n}{2^{n+1}} + \cdots \end{aligned}$$

şeklindedir. Bu sabit terimi  $1/2$  ve oranı  $r = -(x - 2)/2$  olan bir geometrik seridir.  $|x - 2| < 2$  için mutlak yakınsaktır ve toplamı

$$\frac{1/2}{1 + (x - 2)/2} = \frac{1}{2 + (x - 2)} = \frac{1}{x}$$

olarak bulunur. Bu örnekte,  $f(x) = 1/x$ 'in  $a = 2$ 'de ürettiği Taylor serisi,  $|x - 2| < 2$  veya  $0 < x < 4$  için  $1/x$ 'e yakınsar. ■

### Taylor Polinomları

Türevlenebilir bir  $f$  fonksiyonunun  $a$  noktasındaki lineerizasyonu

$$P_1(x) = f(a) + f'(a)(x - a)$$

ile verilen polinomdur. Bölüm 3.8'de,  $a$ 'ya yakın  $x$  değerlerinde  $f(x)$ 'e yaklaşmak için bu lineerizasyonu kullandık.  $f$ 'nin  $a$ 'da daha yüksek mertebeden türevleri varsa, elde edilebilen her türev için,  $f$ 'nin daha yüksek mertebeden polinom yaklaşımıları da bulunur. Bu polinomlara  $f$ 'nin Taylor polinomları denir.

**TANIM*****n.* Mertebe Taylor Polinomu**

$f, a$ 'yı iç nokta olarak içeren bir aralıktaki  $k$ . mertebeden,  $k = 1, 2, \dots, N$ , türevleri var olan bir fonksiyon olsun. 0'dan  $N$ 'ye kadar olan herhangi bir  $n$  tam sayısı için  $f$ 'nin  $x = a$ 'da ürettiği ***n.* mertebe Taylor polinomu**

$$P_n(x) = f(a) + f'(a)(x - a) + \frac{f''(a)}{2!}(x - a)^2 + \dots + \frac{f^{(k)}(a)}{k!}(x - a)^k + \dots + \frac{f^{(n)}(a)}{n!}(x - a)^n$$

ile verilir.

Bir Taylor polinomundan bahsederken,  $n$ . dereceden yerine,  $n$ . mertebeden diyoruz, çünkü  $f^{(n)}(a)$  sıfır olabilir. Örneğin,  $f(x) = \cos x$ 'in  $x = 0$ 'daki ilk iki Taylor polinomu  $P_0(x) = 1$  ve  $P_1(x) = 1$ 'dir. Birinci mertebe polinomun derecesi 1 değil, sıfırdır.

$f$ 'nin  $x = a$ 'daki lineerizasyonunun,  $a$ 'nın bir komşuluğunda  $f$ 'nin en iyi lineerizasyonunu vermesi gibi, yüksek mertebe Taylor polinomları da kendi derecelerine göre en iyi polinom yaklaşımlarını verirler. (Ağustos 32'ye bakın.)

**ÖRNEK 2**  $e^x$  için Taylor polinomları Bulmak

$f(x) = e^x$ 'in  $x = 0$ 'da ürettiği Taylor serisini ve Taylor polinomlarını bulun.

**Çözüm**

$$f(x) = e^x, \quad f'(x) = e^x, \quad \dots, \quad f^{(n)}(x) = e^x, \quad \dots$$

olduğundan

$$f(0) = e^0 = 1, \quad f'(0) = 1, \quad \dots, \quad f^{(n)}(0) = 1, \quad \dots$$

buluruz.  $f$ 'nin  $x = 0$ 'da ürettiği Taylor serisi

$$\begin{aligned} f(0) + f'(0)x + \frac{f''(0)}{2!}x^2 + \dots + \frac{f^{(n)}(0)}{n!}x^n + \dots \\ = 1 + x + \frac{x^2}{2} + \dots + \frac{x^n}{n!} + \dots \\ = \sum_{k=0}^{\infty} \frac{x^k}{k!} \end{aligned}$$

olarak elde edilir. Bu aynı zamanda  $e^x$ 'in Maclaurin serisidir. Bölüm 11.9'da, serinin her  $x$  için  $e^x$ 'e yakınsadığını göreceğiz.

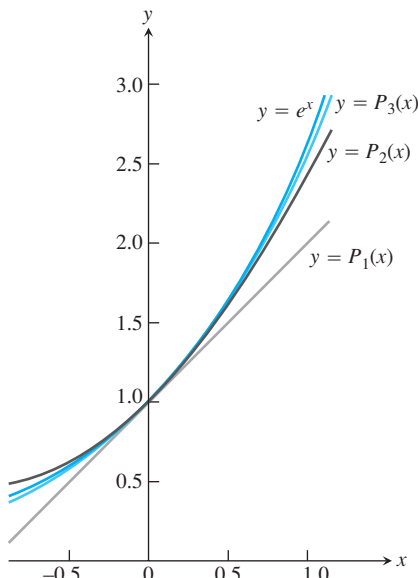
$x = 0$ 'daki  $n$ . mertebe Taylor polinomu

$$P_n(x) = 1 + x + \frac{x^2}{2} + \dots + \frac{x^n}{n!}$$

ile verilir. Şekil 11.12'ye bakın. ■

**ÖRNEK 3**  $\cos x$  için Taylor polinomları Bulmak

$f(x) = \cos x$ 'in  $x = 0$ 'da ürettiği Taylor serisi ve polinomlarını bulun.



**SEKİL 11.12**  $f(x) = e^x$  fonksiyonunun ve Taylor polinomlarının grafikleri.

$$P_1(x) = 1 + x$$

$$P_2(x) = 1 + x + (x^2/2!)$$

$$P_3(x) = 1 + x + (x^2/2!) + (x^3/3!)$$

Merkez,  $x = 0$  civarındaki yakın uyuma dikkat edin (Örnek 2).

**Çözüm** Kosinüs ve türevleri şöyledir:

$$\begin{aligned} f(x) &= \cos x, & f'(x) &= -\sin x, \\ f''(x) &= -\cos x, & f^{(3)}(x) &= \sin x, \\ &\vdots & &\vdots \\ f^{(2n)}(x) &= (-1)^n \cos x, & f^{(2n+1)}(x) &= (-1)^{n+1} \sin x. \end{aligned}$$

$x = 0$ 'da, kosinüsler 1 ve sinüsler 0, dolayısıyla

$$f^{(2n)}(0) = (-1)^n, \quad f^{(2n+1)}(0) = 0$$

olur.  $f$ 'nin  $x = 0$ 'da ürettiği Taylor serisi

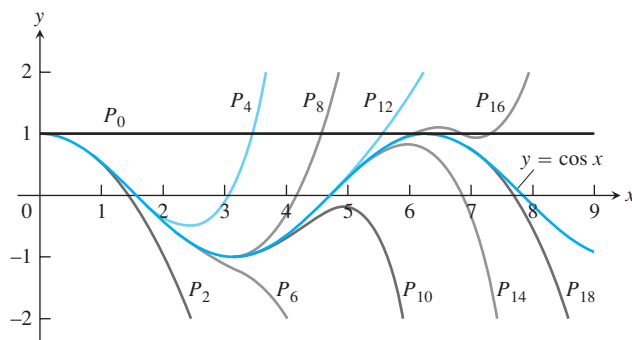
$$\begin{aligned} f(0) + f'(0)x + \frac{f''(0)}{2!}x^2 + \frac{f'''(0)}{3!}x^3 + \cdots + \frac{f^{(n)}(0)}{n!}x^n + \cdots \\ = 1 + 0 \cdot x - \frac{x^2}{2!} + 0 \cdot x^3 + \frac{x^4}{4!} + \cdots + (-1)^n \frac{x^{2n}}{(2n)!} + \cdots \\ = \sum_{k=0}^{\infty} \frac{(-1)^k x^{2k}}{(2k)!}. \end{aligned}$$

olarak bulunur. Bu aynı zamanda  $\cos x$ 'in Maclaurin serisidir. Bölüm 11.9'da, serinin her  $x$  için  $\cos x$ 'e yakınsayacağını göreceğiz.

$f^{(2n+1)}(0) = 0$  olduğundan mertebeleri  $2n$  ve  $2n + 1$  olan Taylor polinomları aynıdır:

$$P_{2n}(x) = P_{2n+1}(x) = 1 - \frac{x^2}{2!} + \frac{x^4}{4!} - \cdots + (-1)^n \frac{x^{2n}}{(2n)!}$$

$x = 0$  civarında polinomların  $f(x) = \cos x$ 'e ne kadar yaklaştıkları Şekil 11.13'te görülmektedir. Grafiklerin sadece sağ tarafları verilmiştir, çünkü grafikler  $y$ -eksenine göre simetiktir. ■



**ŞEKİL 11.13**  $n \rightarrow \infty$  iken

$$P_{2n}(x) = \sum_{k=0}^n \frac{(-1)^k x^{2k}}{(2k)!}$$

polinomları  $\cos x$ 'e yakınsar.  $\cos x$ 'in keyfi derecede uzaktaki davranışlarını kosinüsün ve türevlerinin  $x = 0$ 'daki değerlerini bilerek çıkarabiliriz (Örnek 3).

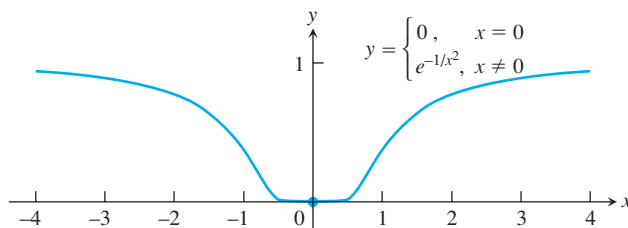
**ÖRNEK 4** Taylor serisi her  $x$  için yakınsayan, fakat sadece  $x = 0$ 'da  $f(x)$ 'e yakınsayan bir  $f$  fonksiyonu.

$$f(x) = \begin{cases} 0, & x = 0 \\ e^{-1/x^2}, & x \neq 0 \end{cases}$$

fonksiyonunun (Şekil 11.14)  $x = 0$ 'da her mertebeden türevinin var olduğu ve (kolay olmasa da) her  $n$  için  $f^{(n)}(0) = 0$  olduğu gösterilebilir. Bu,  $f$ 'nin  $x = 0$ 'da ürettiği Taylor serisinin

$$\begin{aligned} f(0) + f'(0)x + \frac{f''(0)}{2!}x^2 + \cdots + \frac{f^{(n)}(0)}{n!}x^n + \cdots \\ = 0 + 0 \cdot x + 0 \cdot x^2 + \cdots + 0 \cdot x^n + \cdots \\ \equiv 0 + 0 + \cdots + 0 + \cdots \end{aligned}$$

olduğunu gösterir. Seri her  $x$  için yakınsaktır (toplamı 0'dır), fakat sadece  $x = 0$ 'da  $f(x)$ 'e yakınsar.



**ŞEKİL 11.14**  $y = e^{-1/x^2}$  nin sürekli genişlemesinin grafiği orijinde o kadar düzdür ki oradaki bütün türevleri sıfırdır (Örnek 4).

Hala iki soru vardır.

1. Bir Taylor serisinin hangi  $x$  değerleri için üretici fonksiyonuna yakınsamasını bekleyebiliriz?
  2. Bir fonksiyonun Taylor polinomları verilen bir aralıkta fonksiyona ne gibi bir kesinlikle yaklaşımında bulunurlar?

Yanıtlar bir sonraki bölümde Taylor'un bir teoremiyle verilmektedir.

# ALISTIRMALAR 11.8

## Taylor Polinomları Bulmak

1-8 alıştırmalarında,  $f$ 'nin  $a$ da ürettiği 0, 1, 2 ve 3.üncü mertebeden Taylor polinomlarını bulun.

1.  $f(x) = \ln x, \quad a = 1$
  2.  $f(x) = \ln(1+x), \quad a = 0$
  3.  $f(x) = 1/x, \quad a = 2$
  4.  $f(x) = 1/(x+2), \quad a = 0$
  5.  $f(x) = \sin x, \quad a = \pi/4$
  6.  $f(x) = \cos x, \quad a = \pi/4$
  7.  $f(x) = \sqrt[4]{x}, \quad a = 4$
  8.  $f(x) = \sqrt[4]{x+4}, \quad a = 0$

## **$x = 0$ da Taylor Polinomları Bulmak (Maclaurin Serileri)**

9-20 alıştırmalarındaki fonksiyonların Maclaurin serilerini bulun.

9.  $e^{-x}$       10.  $e^{x/2}$   
 11.  $\frac{1}{1+x}$       12.  $\frac{1}{1-x}$   
 13.  $\sin 3x$       14.  $\sin \frac{x}{2}$

15.  $7 \cos(-x)$

17.  $\cosh x = \frac{e^x + e^{-x}}{2}$

19.  $x^4 - 2x^3 - 5x + 4$

16.  $5 \cos \pi x$

18.  $\sinh x = \frac{e^x - e^{-x}}{2}$

20.  $(x + 1)^2$

### Taylor Serilerini Bulmak

21–28 alıştırmalarında  $f$ 'nin  $x = a$ 'da ürettiği Taylor serisini bulun.

21.  $f(x) = x^3 - 2x + 4, a = 2$

22.  $f(x) = 2x^3 + x^2 + 3x - 8, a = 1$

23.  $f(x) = x^4 + x^2 + 1, a = -2$

24.  $f(x) = 3x^5 - x^4 + 2x^3 + x^2 - 2, a = -1$

25.  $f(x) = 1/x^2, a = 1$

26.  $f(x) = x/(1-x), a = 0$

27.  $f(x) = e^x, a = 2$

28.  $f(x) = 2^x, a = 1$

### Teori ve Alıştırmalar

29.

$$e^x = e^a \left[ 1 + (x - a) + \frac{(x - a)^2}{2!} + \dots \right].$$

olduğunu göstermek için.  $e^x$ 'in  $x = a$ 'da ürettiği Taylor serisini kullanın.

30. (Alıştırma 29'un devamı.)  $e^x$ 'in  $x = 1$ 'de ürettiği Taylor serisini bulun. Yanınızı Alıştırma 29'daki formülle karşılaştırın.

31.  $f(x)$ 'in  $x = a$ 'da  $n$  mertebesine kadar türevleri var olsun.  $n$ . mertebe Taylor polinomunun ve ilk  $n$  türevinin  $x = a$ 'daki değerlerinin,  $f$ 'nin ve ilk  $n$  türevinin  $x = a$ 'daki değerlerine eşit olduğunu gösterin.

32. **Mertebesi  $\leq n$  olan bütün polinolar arasında,  $n$ . mertebe Taylor polinomu en iyi yaklaşımı verir.**  $f(x)$ 'in  $x = a$ 'da merkezlenmiş bir aralıkta türetilebildiğini ve  $g(x) = b_0 + b_1(x - a) + \dots + b_n(x - a)^n$ 'in,  $b_0, \dots, b_n$  sabit katsayılar olmak üzere  $n$ . mertebeden bir polinom olduğunu varsayıñ.  $E(x) = f(x) - g(x)$  olsun.  $g$  üzerine

a.  $E(a) = 0$

 $x = a$ 'daki yaklaşım hatası sıfır.

b.  $\lim_{x \rightarrow a} \frac{E(x)}{(x - a)^n} = 0,$

Hata  $(x - a)^n$  ile karşılaşıldığında ihmali edilebilir.

koşullarını koyarsak,

$$\begin{aligned} g(x) &= f(a) + f'(a)(x - a) + \frac{f''(a)}{2!}(x - a)^2 + \dots \\ &\quad + \frac{f^{(n)}(a)}{n!}(x - a)^n \end{aligned}$$

olduğunu gösterin. Yani,  $P_n(x)$  Taylor polinomu,  $x = a$ 'da hem hatası sıfır olan, hem de  $(x - a)^n$  ile karşılaşıldığında ihmali edilebilir ve derecesi  $n$ 'ye eşit veya  $n$ 'den küçük olan tek polinomdur.

### Kuadratik Yaklaşımlar

$x = a$ 'da iki kere türetilebilen bir  $f(x)$  fonksiyonu tarafından üretilen ve mertebesi 2 olan Taylor polinomuna  $f$ 'nin  $x = a$ 'daki **kuadratik yaklaşımı** denir. 33–38 alıştırmalarında,  $f$ 'nin  $x = 0$ 'daki (a) lineerizasyonunu (mertebesi 1 olan Taylor polinomu) ve (b) kuadratik yaklaşımını bulun.

33.  $f(x) = \ln(\cos x)$

34.  $f(x) = e^{\sin x}$

35.  $f(x) = 1/\sqrt{1 - x^2}$

36.  $f(x) = \cosh x$

37.  $f(x) = \sin x$

38.  $f(x) = \tan x$

## 11.9

### Taylor Serisinin Yakınsaklılığı; Hata Tahmini

Bu bölüm Bölüm 11.8'de cevapsız bırakılan iki soruyu cevaplamaktadır:

1. Bir Taylor serisi ne zaman üretici fonksiyonuna yakınsar?
2. Bir fonksiyonun Taylor polinomları verilen bir aralıktı, fonksiyona ne kadar iyi bir yaklaşımında bulunurlar?

### Taylor Teoremi

Bu soruları aşağıdaki teoremle yanıtlayacağız.

**TEOREM 22 Taylor Teoremi**

$f$  fonksiyonu ve  $f', f'', \dots, f^{(n)}$  türevleri  $[a, b]$  veya  $[b, a]$  aralıklarında sürekli iseler ve  $f^{(n)}(a, b)$  veya  $(b, a)$  aralığında türetilmeliyorsa,  $a$  ile  $b$  arasında

$$\begin{aligned}f(b) &= f(a) + f'(a)(b - a) + \frac{f''(a)}{2!}(b - a)^2 + \dots \\&\quad + \frac{f^{(n)}(a)}{n!}(b - a)^n + \frac{f^{(n+1)}(c)}{(n+1)!}(b - a)^{n+1}\end{aligned}$$

eşitliği sağlanacak şekilde bir  $c$  sayısı vardır.

Taylor Teoremi Ortalama Değer Teoreminin bir genelleştirilmesidir (Alıştırma 39). Bu bölümün sonunda Taylor teoreminin bir ispatı vardır.

Taylor teoremini uygularken, genellikle  $a$ 'yı sabit tutup,  $b$ 'ye bağımsız bir değişken gibi bakmak isteriz. Bu gibi durumlarda,  $b$  yerine  $x$  yazarsak, Taylor teoremini uygulamak kolaylaşır. Bu değişiklikle teorem şu şekli alır:

**Taylor Formülü**

$a$ 'yı içeren bir  $I$  aralığında  $f$ 'nin her mertebeden türevi varsa, her pozitif  $n$  tamsayısı ve  $I$ daki her  $x$  için,

$$\begin{aligned}f(x) &= f(a) + f'(a)(x - a) + \frac{f''(a)}{2!}(x - a)^2 + \dots \\&\quad + \frac{f^{(n)}(a)}{n!}(x - a)^n + R_n(x),\end{aligned}\tag{1}$$

dir. Burada

$$R_n(x) = \frac{f^{(n+1)}(c)}{(n+1)!}(x - a)^{n+1} \quad (c, a \text{ ile } b \text{ arasında bir sayı})\tag{2}$$

dir.

Taylor teoremini bu şekilde ifade ettigimizde, teorem, her  $x \in I$  için

$$f(x) = P_n(x) + R_n(x)$$

olduğunu söyler.  $R_n(x)$  fonksiyonu  $(n+1)$ . türev olan  $f^{(n+1)}$ 'nin  $a$  ve  $x$ 'e bağlı olan ve bunların arasında bulunan bir  $c$  noktasındaki değeri ile tanımlanır. Denklem, istediğimiz herhangi bir  $n$  değeri için, hem  $f$ 'nin o mertebede bir polinom yaklaşımını, hem de  $I$  aralığı boyunca o yaklaşımı kullanmanın vereceği hata için bir formül verir.

(1) denklemine **Taylor formülü** denir.  $R_n(x)$  fonksiyonuna  $n$ . mertebeden kalan veya  $f$ 'nin  $I$  aralığındaki  $P_n(x)$  yaklaşımının **hata terimi** denir. Her  $x \in I$  için,  $n \rightarrow \infty$  iken,  $R_n(x) \rightarrow 0$  ise,  $f$ 'nin  $x = a$ 'da ürettiği Taylor serisinin  $I$  aralığı üzerinde  $f$ 'ye **yakınsadığı**nı söyler ve

$$f(x) = \sum_{k=0}^{\infty} \frac{f^{(k)}(a)}{k!}(x - a)^k$$

yazarız. Aşağıdaki örnekte gösterildiği gibi çoğunlukla  $c$ 'deki değerini bilmeksizin  $R_n$  kalanını tahmin edebiliriz.

**ÖRNEK 1**  $e^x$  için Taylor Serisi, Tekrar

$f(x) = e^x$ ’in  $x = 0$ ’da ürettiği Taylor serisinin her reel  $x$  değerinde  $f(x)$ ’e yakınsadığını gösterin.

**Cözüm** Fonksiyonun  $I = (-\infty, \infty)$  aralığında her mertebeden türevi vardır.  $f(x) = e^x$  ve  $a = 0$  ile (1) ve (2) denklemleri

$$e^x = 1 + x + \frac{x^2}{2!} + \cdots + \frac{x^n}{n!} + R_n(x)$$

Bölüm 11.8, Örnek 2’deki polinom

ve

$$R_n(x) = \frac{e^c}{(n+1)!} x^{n+1} \quad 0 \text{ ile } x \text{ arasında bir } c \text{ için}$$

verir.  $e^x$ ,  $x$ ’in artan bir fonksiyonu olduğundan,  $e^c$  değeri  $e^0 = 1$  ile  $e^x$  arasında bulunur.  $x$  negatifse,  $c$  de negatiftir, dolayısıyla  $e^c < 1$  olur.  $x$  sıfırken,  $e^x = 1$  ve  $R_n(x) = 0$  olur.  $x$  pozitifse,  $c$  de pozitiftir ve  $e^c < e^x$  olur. Yani,

$$|R_n(x)| \leq \frac{|x|^{n+1}}{(n+1)!} \quad x \leq 0 \text{ için}$$

ve

$$|R_n(x)| < e^x \frac{x^{n+1}}{(n+1)!} \quad x > 0 \text{ için}$$

olur. Son olarak,

$$\lim_{n \rightarrow \infty} \frac{x^{n+1}}{(n+1)!} = 0 \quad \text{her } x \text{ için} \quad \text{Bölüm 11.1}$$

olduğundan  $\lim_{n \rightarrow \infty} R_n(x) = 0$  olur ve seri her  $x$  için  $e^x$ ’e yakınsar. Böylece,

$$e^x = \sum_{k=0}^{\infty} \frac{x^k}{k!} = 1 + x + \frac{x^2}{2!} + \cdots + \frac{x^k}{k!} + \cdots \quad [3]$$

bulunur. ■

**Kalanı Tahmin Etmek**

Çoğunlukla, Örnek 1’de yaptığımız gibi  $R_n(x)$ ’i tahmin etmek mümkündür. Bu tahmin yöntemi o kadar uygundur ki, bunu, daha sonraki kullanımları için bir teorem olarak ifade edeceğiz.

**TEOREM 23****Kalanı Tahmin Teoremi**

$x$  ve  $a$  arasındaki her  $t$  için  $|f^{(n+1)}(t)| \leq M$  olacak şekilde pozitif bir  $M$  sabiti varsa, Taylor teoremindeki kalan terim  $R_n(x)$

$$|R_n(x)| \leq M \frac{|x - a|^{n+1}}{(n+1)!}$$

eşitsizliğini sağlar. Bu koşullar her  $n$  için geçerliyse ve  $f$  Taylor teoreminin diğer koşullarını sağlıyorsa, seri  $f(x)$ ’e yakınsar.

Artık, Kalan Tahmin Teoreminin ve Taylor Teoreminin, yakınsaklık sorularını yanıtlamak için nasıl kullanıldıklarını gösteren örnekler bakmaya hazırız. Göreceğiniz gibi, bunlar bir fonksiyona Taylor serilerinden biriyle yaklaşım yapılmasının hassaslığını belirlemekte de kullanılırlar.

**ÖRNEK 2**  $\sin x$ 'in  $x = 0$ 'daki Taylor Serisi

$\sin x$ 'in  $x = 0$ 'daki Taylor serisinin her  $x$  için  $x$ 'e yakınsadığını gösterin.

**Çözüm** Fonksiyon ve türevleri şöyledir:

$$\begin{aligned} f(x) &= \sin x, & f'(x) &= \cos x, \\ f''(x) &= -\sin x, & f'''(x) &= -\cos x, \\ &\vdots & &\vdots \\ f^{(2k)}(x) &= (-1)^k \sin x, & f^{(2k+1)}(x) &= (-1)^k \cos x \end{aligned}$$

Dolayısıyla,

$$f^{(2k)}(0) = 0 \quad \text{ve} \quad f^{(2k+1)}(0) = (-1)^k.$$

olur. Serinin sadece tek kuvvetli terimleri vardır ve  $n = 2k + 1$  için Taylor teoremi

$$\sin x = x - \frac{x^3}{3!} + \frac{x^5}{5!} - \cdots + \frac{(-1)^k x^{2k+1}}{(2k+1)!} + R_{2k+1}(x)$$

verir.  $\sin x$ 'in bütün türevlerinin mutlak değerleri 1'den küçük veya 1'e eşittir, dolayısıyla  $M = 1$  ile Kalan Tahmin Teoremini uygulayarak

$$|R_{2k+1}(x)| \leq 1 \cdot \frac{|x|^{2k+2}}{(2k+2)!}.$$

buluruz.  $k \rightarrow \infty$  iken,  $x$ 'in değeri ne olursa olsun,  $(|x|^{2k+2}/(2k+2)!) \rightarrow 0$  olduğundan,  $R_{2k+1}(x) \rightarrow 0$  olur ve  $\sin x$ 'in Maclaurin serisi her  $x$  için  $\sin x$ 'e yakınsar. Böylece,

$$\sin x = \sum_{k=0}^{\infty} \frac{(-1)^k x^{2k+1}}{(2k+1)!} = x - \frac{x^3}{3!} + \frac{x^5}{5!} - \frac{x^7}{7!} + \cdots \quad (4)$$

elde edilir. ■

**ÖRNEK 3**  $\cos x$ 'in  $x = 0$ 'daki Taylor Serisi, Tekrar

$\cos x$ 'in  $x = 0$ 'daki Taylor serisinin her  $x$  değerinde  $\cos x$ 'e yakınsadığını gösterin.

**Çözüm**  $\cos x$ 'in Taylor polinomuna (Bölüm 11.8, Örnek 3) kalan terimini ekleyerek  $n = 2k$  ile  $\cos x$ 'in Taylor formülünü elde ederiz:

$$\cos x = 1 - \frac{x^2}{2!} + \frac{x^4}{4!} - \cdots + (-1)^k \frac{x^{2k}}{(2k)!} + R_{2k}(x).$$

Kosinüsün türevlerinin hepsinin mutlak değerleri 1'den küçük veya 1'e eşit olduğundan,  $M = 1$  ile Kalan Tahmin Teoremi

$$|R_{2k}(x)| \leq 1 \cdot \frac{|x|^{2k+1}}{(2k+1)!}$$

verir.  $k \rightarrow \infty$  iken, her  $x$  değeri için,  $R_{2k} \rightarrow 0$  bulunur. Bu nedenle, seri her  $x$  için  $\cos x$ 'e yakınsar.

$$\cos x = \sum_{k=0}^{\infty} \frac{(-1)^k x^{2k}}{(2k)!} = 1 - \frac{x^2}{2!} + \frac{x^4}{4!} - \frac{x^6}{6!} + \dots \quad (5)$$

■

#### ÖRNEK 4 Değişken Dönüşümü ile bir Taylor Serisi Bulmak

$\cos 2x$ 'in  $x = 0$ 'daki Taylor serisini bulun.

**Çözüm**  $\cos 2x$ 'in Taylor serisini  $\cos x$ 'in Taylor serisinde  $x$  yerine  $2x$  yazarak bulabiliriz:

$$\begin{aligned} \cos 2x &= \sum_{k=0}^{\infty} \frac{(-1)^k (2x)^{2k}}{(2k)!} = 1 - \frac{(2x)^2}{2!} + \frac{(2x)^4}{4!} - \frac{(2x)^6}{6!} + \dots && \text{x yerine } 2x \text{ alınmış} \\ &= 1 - \frac{2^2 x^2}{2!} + \frac{2^4 x^4}{4!} - \frac{2^6 x^6}{6!} + \dots && \text{(5) denklemi} \\ &= \sum_{k=0}^{\infty} (-1)^k \frac{2^{2k} x^{2k}}{(2k)!} \end{aligned}$$

(5) denklemi  $-\infty < x < \infty$  için geçerlidir, bu da  $-\infty < 2x < \infty$  için de geçerli olduğunu gösterir, dolayısıyla yeni yaratılan seri her  $x$  için yakınsaktır. Aşağıda 45 serinin neden gerçekten de  $2x$ 'in Taylor serisi olduğunu açıklamaktadır. ■

#### ÖRNEK 5 Bir Taylor Serisini Çarpımla Bulmak

$x \sin x$ 'in  $x = 0$ 'daki Taylor serisini bulun.

**Çözüm**  $x \sin x$ 'in Taylor serisini  $\sin x$ 'in Taylor serisini (Denklem 4)  $x$  ile çarparak bulabiliriz.

$$\begin{aligned} x \sin x &= x \left( x - \frac{x^3}{3!} + \frac{x^5}{5!} - \frac{x^7}{7!} + \dots \right) \\ &= x^2 - \frac{x^4}{3!} + \frac{x^6}{5!} - \frac{x^8}{7!} + \dots \end{aligned}$$

$\sin x$  serisi her  $x$  için yakınsak olduğundan yeni seri her  $x$  için yakınsaktır. Aşağıda 45, serinin neden  $x \sin x$ 'in Taylor serisi olduğunu açıklamaktadır. ■

#### Kesme Hatası

$e^x$ 'in  $x = 0$ 'daki Taylor serisi her  $x$  için  $e^x$ 'e yakınsar. Fakat hala  $e^x$ 'e, verilen bir hassasiyette yaklaşımada bulunmak için kaç tane terim kullanacağımıza karar vermemiz gerekmektedir. Bu bilgiyi Kalan Tahmin Teoreminden elde ederiz.

**ÖRNEK 6**  $e$ 'yi  $10^{-6}$ 'dan daha küçük bir hatayla hesaplayın.

**Çözüm**  $x = 1$  alarak Örnek 1'in çözümünü kullanıp

$$e = 1 + 1 + \frac{1}{2!} + \cdots + \frac{1}{n!} + R_n(1)$$

yazabiliriz. Burada

$$R_n(1) = e^c \frac{1}{(n+1)!} \quad \text{0 ile 1 arasındaki bir } c \text{ için}$$

ile verilir. Bu örneğin amaçları için,  $e < 3$  olduğunu bildiğimizi varsayıyalım. Dolayısıyla,

$$\frac{1}{(n+1)!} < R_n(1) < \frac{3}{(n+1)!}$$

olduğundan eminiz, çünkü,  $0 < c < 1$  için,  $1 < e^c < 3$ 'dür.

Denemeyle,  $1/9! > 10^{-6}$  ve  $3/10! < 10^{-6}$  olduğunu buluruz. Yani  $(n+1)$ 'i en az 10 veya  $n$ 'yi en az 9 almamız gereklidir.  $10^{-6}$ 'dan küçük bir hatayla

$$e = 1 + 1 + \frac{1}{2} + \frac{1}{3!} + \cdots + \frac{1}{9!} \approx 2.718282$$

buluruz. ■

**ÖRNEK 7** Hangi  $x$  değerleri için  $\sin x$  yerine, büyülüğu  $3 \times 10^{-4}$ 'ten fazla olmayan bir hatayla  $x - (x^3/3!)$  yazabiliriz?

**Çözüm** Burada,  $\sin x$ 'in Taylor serisinin, sıfırdan farklı her  $x$  değeri için bir alterne seri olmasının avantajını kullanacağız. Alterne Seriler Tahmin Teoremine göre (Bölüm 11.6)

$$\sin x = x - \frac{x^3}{3!} + \frac{x^5}{5!} - \cdots$$

serisini  $(x^3/3!)$ 'den sonra kesmenin getireceği hata

$$\left| \frac{x^5}{5!} \right| = \frac{|x|^5}{120}$$

değerinden büyük olmayacağındır. Dolayısıyla,

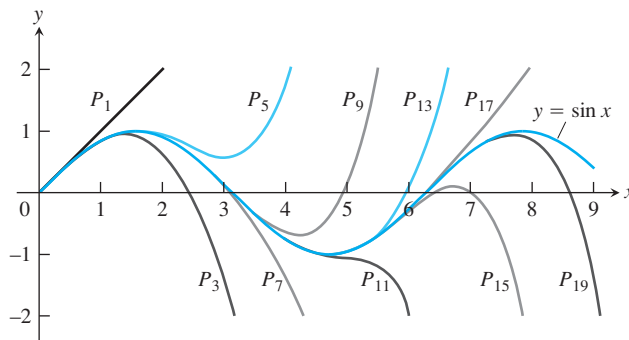
$$\frac{|x|^5}{120} < 3 \times 10^{-4} \quad \text{veya} \quad |x| < \sqrt[5]{360 \times 10^{-4}} \approx 0.514.$$

Güvenlik için,  
aşağı yuvarlanmış

ise, hata  $3 \times 10^{-4}$ 'e eşit veya bundan daha küçük olacaktır.

Alterne Seriler Tahmin Teoremi Kalan Tahmin Teoreminin söylemediği bir şeyi daha söyler: yani,  $\sin x$  için  $x - (x^3/3!)$  tahmini,  $x$  pozitif olduğunda gerçek değerden küçük olan bir tadmındır, çünkü  $x^5/120$  pozitiftir.

Şekil 11.15  $\sin x$  grafiğiyle birlikte birkaç Taylor polinomu yaklaşımını da göstermektedir.  $P_3(x) = x - (x^3/3!)$ 'in grafiği  $-1 \leq x \leq 1$  iken neredeyse sinüs eğrisinden ayırt edilememektedir.



ŞEKİL 11.15

$$P_{2n+1}(x) = \sum_{k=0}^n \frac{(-1)^k x^{2k+1}}{(2k+1)!}$$

polinomları  $n \rightarrow \infty$  iken  $\sin x$ 'e yakınsarlar.  $P_3(x)$ 'in  $x < 1$  için sinüs eğrisine ne kadar yakın olduğunu dikkat edin (Örnek 7)

Kalan Tahmin Teoreminin verdiği tahminin Alterne Serilen Tahmin Teoreminin verdiği tahminle ne zaman uyuşacağını merak edebilirsiniz.

$$\sin x = x - \frac{x^3}{3!} + R_3$$

yazarsak, Kalan Tahmin Teoremi, daha kötü bir sonuç olan

$$|R_3| \leq 1 \cdot \frac{|x|^4}{4!} = \frac{|x|^4}{24}$$

değerini verir. Fakat  $x - (x^3/3!) = 0 + x + 0x^2 - (x^3/3!) + 0x^4$ 'ün üçüncü mertebe olduğu kadar dördüncü mertebeden de bir Taylor polinomu olduğunu hatırlarsak,

$$\sin x = x - \frac{x^3}{3!} + 0 + R_4$$

olur ve  $M = 1$  ile Kalan Tahmin Teoremi

$$|R_4| \leq 1 \cdot \frac{|x|^5}{5!} = \frac{|x|^5}{120}$$

verir. Bu, Alterne Seriler Tahmin Teoremiyle bulduğumuz sonuçtır. ■

### Taylor Serilerini Birleştirme

Yakınsaklılık aralıklarının kesişimlerinde, Taylor serileri toplanabilir, çıkarılabilir, sabitlerle çarpılabilir ve sonuçlar yine Taylor serileri olur.  $f(x) + g(x)$ 'in Taylor serisi  $f(x)$  ve  $g(x)$ 'in Taylor serilerinin toplamıdır, çünkü  $f + g$ 'nin  $n$ . türevi  $f^{(n)} + g^{(n)}$ 'dir. Böylece  $(1 + \cos 2x)/2$ 'nin Taylor serisini  $\cos 2x$ 'in Taylor serisine 1 ekleyip, birleştirilmiş sonucu 2'ye bölgerek bulabiliyoruz.  $\sin x + \cos x$ 'in Taylor serisi  $\sin x$  ve  $\cos x$ 'in Taylor serilerinin terim-terim toplanmış halidir.

### Euler Özdeşliği

Hatırlayacağınız gibi, bir kompleks (karmaşık) sayı,  $a$  ve  $b$  reel sayılar ve  $i = \sqrt{-1}$  olmak üzere,  $a + bi$  şeklinde bir sayıdır.  $e^x$ 'in Taylor serisinde  $x = i\theta$  ( $\theta$  reel) alır ve sonucu basitleştirmek için,

$$i^2 = -1, \quad i^3 = i^2i = -i, \quad i^4 = i^2i^2 = 1, \quad i^5 = i^4i = i,$$

gibi bağıntıları kullanırsak

$$\begin{aligned} e^{i\theta} &= 1 + \frac{i\theta}{1!} + \frac{i^2\theta^2}{2!} + \frac{i^3\theta^3}{3!} + \frac{i^4\theta^4}{4!} + \frac{i^5\theta^5}{5!} + \frac{i^6\theta^6}{6!} + \dots \\ &= \left(1 - \frac{\theta^2}{2!} + \frac{\theta^4}{4!} - \frac{\theta^6}{6!} + \dots\right) + i\left(\theta - \frac{\theta^3}{3!} + \frac{\theta^5}{5!} - \dots\right) = \cos \theta + i \sin \theta. \end{aligned}$$

Bu,  $e^{i\theta} = \cos \theta + i \sin \theta$  olduğunu *ispatlamaz*, çünkü henüz  $e$ 'nin kompleks bir kuvvetini almanın ne anlama geldiğini tanımlamadık. Fakat  $e^{i\theta}$ 'nın bildiğimiz diğer şeyleler nasıl uyum sağladığını gösterir.

#### TANIM

Herhangi bir  $\theta$  reel sayısı için,  $e^{i\theta} = \cos \theta + i \sin \theta$ 'dır. [6]

**Euler özdeşliği** denilen (6) denklemi herhangi bir  $a + bi$  kompleks sayısı için  $e^{a+bi}$ ,  $y = e^a \cdot e^{bi}$  olarak yazmamızı sağlar. Özdeşliğin bir sonucu

$$e^{i\pi} = -1$$

denklemidir. Bu denklem  $e^{i\pi} + 1 = 0$  şeklinde yazıldığında matematikteki en önemli beş sabiti bir araya toplar.

### Taylor Teoreminin Bir İspatı

Taylor teoremini  $a < b$  olduğunu varsayıarak ispatlayacağız.  $a > b$  için ispat da aynıdır.

$$P_n(x) = f(a) + f'(a)(x - a) + \frac{f''(a)}{2!}(x - a)^2 + \dots + \frac{f^{(n)}(a)}{n!}(x - a)^n$$

Taylor polinomu ve bunun ilk  $n$  tane türevi,  $x = a$ 'da  $f$  fonksiyonuna ve onun ilk  $n$  türevine uyarlar.  $K$  bir sabit olmak üzere,  $K(x - a)^{n+1}$  gibi bir terim eklersek bu uyumu bozmayız, çünkü böyle bir terim ve bu terimin ilk  $n$  türevi  $x = a$ 'da sıfırdır. Yeni fonksiyon

$$\phi_n(x) = P_n(x) + K(x - a)^{n+1}$$

ve bunun ilk  $n$  türevi  $x = a$ 'da  $f'$ ye ve ilk  $n$  türevine uygacaktır.

Şimdi  $y = \phi_n(x)$  eğrisinin  $x = b$ 'de esas eğri  $y = f(x)$ 'e uymasını sağlayacak özel bir  $K$  değeri seçelim. Sembolik olarak,

$$f(b) = P_n(b) + K(b - a)^{n+1}, \quad \text{veya} \quad K = \frac{f(b) - P_n(b)}{(b - a)^{n+1}} \quad [7]$$

yazılır.

(7) denklemiyle belirlenmiş  $K$  ile

$$F(x) = f(x) - \phi_n(x)$$

fonksiyonu,  $[a, b]$  aralığında her  $x$  için, orijinal  $f$  fonksiyonu ile yaklaşım fonksiyonu  $\phi_n$  arasındaki farkı ölçer.

Şimdi Rolle teoremini kullanacağız (Bölüm 4.2). İlk olarak,  $F(a) = F(b) = 0$  olduğundan ve hem  $F$  hem de  $F'$  türevi  $[a, b]$ da sürekli olduklarından

$$(a, b)'deki bir  $c_1$  için  $F'(c_1) = 0$$$

olduğunu biliyoruz. Sonra,  $F'(a) = F'(c_1) = 0$  olduğundan ve hem  $F'$  hem de  $F''$  türevleri  $[a, c_1]$ 'de sürekli olduklarından

$$(a, c_1)'deki bir  $c_2$  için  $F''(c_2) = 0$$$

olduğunu biliyoruz. Rolle Teoremini  $F'', F''', \dots, F^{(n-1)}$ e art arda uygulamak

$$(a, c_2)'de \quad F'''(c_3) = 0 \quad \text{olacak şekilde bir } c_3$$

$$(a, c_3)'de \quad F^{(4)}(c_4) = 0 \quad \text{olacak şekilde bir } c_4$$

⋮

$$(a, c_{n-1})'de \quad F^{(n)}(c_n) = 0 \quad \text{olacak şekilde bir } c_n$$

bulunduğunu gösterir. Son olarak,  $F^{(n)}[a, c_n]$ 'de sürekli ve  $(a, c_n)$ 'de türetilebilir olduğundan ve  $F^{(n)}(a) = F^{(n)}(c_n) = 0$  olduğundan Rolle Teoremi,  $(a, c_n)$  aralığında

$$F^{(n+1)}(c_{n+1}) = 0 \quad [8]$$

olacak şekilde bir  $c_{n+1}$  sayısı bulunduğu söyler.  $F(x) = f(x) - P_n(x) - K(x-a)^{n+1}$ , in toplam  $n+1$  kere türevini alırsak,

$$F^{(n+1)}(x) = f^{(n+1)}(x) - 0 - (n+1)!K \quad [9]$$

buluruz. (8) ve (9) denklemleri birlikte

$$(a, b)'de bir  $c = c_{n+1}$  sayısı için \quad K = \frac{f^{(n+1)}(c)}{(n+1)!} \quad [10]$$

olduğunu gösterir. (7) ve (10) denklemleri ise

$$f(b) = P_n(b) + \frac{f^{(n+1)}(c)}{(n+1)!}(b-a)^{n+1}$$

olduğunu gösterir. Bu da ispatı tamamlar. ■

## ALIŞTIRMALAR 11.9

### Değişken Dönüşümü ile Taylor Serileri

1–6 alıştırmalarındaki fonksiyonların  $x = 0$ 'da Taylor serilerini bulmak için değişken dönüşümü kullanın (Örnek 4'teki gibi).

1.  $e^{-5x}$

2.  $e^{-x/2}$

3.  $5 \sin(-x)$

4.  $\sin\left(\frac{\pi x}{2}\right)$

5.  $\cos\sqrt{x+1}$

6.  $\cos(x^{3/2}/\sqrt{2})$

### Daha Fazla Taylor Serisi

7–18 alıştırmalarındaki fonksiyonların  $x = 0$ 'daki Taylor serilerini bulun.

7.  $xe^x$

8.  $x^2 \sin x$

9.  $\frac{x^2}{2} - 1 + \cos x$

10.  $\sin x - x + \frac{x^3}{3!}$

11.  $x \cos \pi x$

12.  $x^2 \cos(x^2)$

13.  $\cos^2 x$  (İpucu:  $\cos^2 x = (1 + \cos 2x)/2$ .)

14.  $\sin^2 x$

15.  $\frac{x^2}{1-2x}$

16.  $x \ln(1+2x)$

17.  $\frac{1}{(1-x)^2}$

18.  $\frac{2}{(1-x)^3}$

**Hata Tahmini**

19. Yaklaşık olarak hangi  $x$  değerlerinde  $\sin x$  yerine büyülü  $5 \times 10^{-4}$ ten fazla olmayan bir hatayla  $x - (x^3/6)$  yazabilirsiniz? Yanınızı açıklayın.

20.  $\cos x$  yerine  $1 - (x^2/2)$  yazılırsa ve  $|x| < 0.5$  ise, hata hakkında ne gibi bir tahmin yapılabılır?  $1 - (x^2/2)$  çok mu fazla, yoksa çok mu azdır? Yanınızı açıklayın.

21.  $|x| < 10^{-3}$  iken,  $\sin x = x$  yaklaşımı ne kadar yakındır? Hangi  $x$  değerlerinde  $x < \sin x$  olur?

22.  $x$  küçükken  $\sqrt{1+x} = 1 + (x/2)$  yaklaşımı kullanılır.  $|x| < 0.01$  iken hatayı tahmin edin.

23.  $x$  küçükken  $e^x = 1 + x + (x^2/2)$  yaklaşımı kullanılır.  $|x| < 0.1$  iken hatayı tahmin etmek için Kalan Tahmin Teoremini kullanın.

24. (Alıştırma 23'ün devamı.)  $x < 0$  iken,  $e^x$  serisi alterne bir seridir. Alterne Seri Teoremini kullanarak  $-0.1 < x < 0$  iken  $e^x$  yerine  $1 + x + (x^2/2)$  yazmanın vereceği hatayı tahmin edin. Tahmininizi Alıştırma 23'te bulduğunuzla karşılaştırın.

25.  $|x| < 0.5$  iken,  $\sinh x = x + (x^3/3!)$  yaklaşımının hatasını tahmin edin. (İpucu:  $R_3$  değil,  $R_4$  kullanın.)

26.  $0 \leq h \leq 0.01$  iken,  $e^h$  yerine büyülü  $h$ 'nin %0.6'sından büyük olmayan bir hatayla  $1 + h$  yazılabileceğini gösterin.  $e^{0.01} = 1.01$  alın.

27. Hangi pozitif  $x$  değerlerinde  $\ln(1+x)$  yerine,  $x$ 'in büyülüğünün en çok %1'i kadar bir hatayla,  $x$  yazabilirsiniz?

28.  $x = 1$ 'de  $\tan^{-1} x$ 'in Maclaurin serisini kullanarak  $\pi/4$ 'ü tahmin etmeyi planlıyorsunuz. Alterne Seriler Tahmin Teoremini kullanarak, tahmininizin 2 ondalık basamak doğrulukta olduğundan emin olmak için serinin kaç terimini almanız gerektiğini belleyin.

29. a.  $\sin x$ 'in Taylor serisini ve Alterne Seriler Tahmin Teoremini kullanarak

$$1 - \frac{x^2}{6} < \frac{\sin x}{x} < 1, \quad x \neq 0$$

olduğunu gösterin.

T b.  $-5 \leq x \leq 5$  için  $f(x) = (\sin x)/x$  ile  $y = 1 - (x^2/6)$  ve  $y = 1$  fonksiyonlarının grafiklerini birlikte çizin. Grafikler arasındaki ilişkisi yorumlayın.

30. a.  $\cos x$ 'in Taylor serisini ve Alterne Seriler Tahmin Teoremini kullanarak

$$\frac{1}{2} - \frac{x^2}{24} < \frac{1 - \cos x}{x^2} < \frac{1}{2}, \quad x \neq 0.$$

olduğunu gösterin. (Bu, Bölüm 2.2, Alıştırma 52'deki eşitsizliklerdir.)

- T b.  $-9 \leq x \leq 9$  için  $f(x) = (1 - \cos x)/x^2$  ile  $y = (1/2) - (x^2/24)$  ve  $y = (1/2)$  fonksiyonlarının grafiklerini birlikte çizin. Grafikler arasındaki ilişkisi yorumlayın.

**Maclaurin Serilerini Bulmak ve Tanımlamak**

$x = 0$ 'daki Taylor serisinin bir başka adının Maclaurin serisi olduğunu hatırlayın. 31–34 alıştırmalarındaki serilerden her biri bir  $f(x)$  fonksiyonunun bir noktadaki Maclaurin serisidir. Hangi fonksiyon ve hangi nokta? Serinin toplamı nedir?

31.  $(0.1) - \frac{(0.1)^3}{3!} + \frac{(0.1)^5}{5!} - \cdots + \frac{(-1)^k(0.1)^{2k+1}}{(2k+1)!} + \cdots$

32.  $1 - \frac{\pi^2}{4^2 \cdot 2!} + \frac{\pi^4}{4^4 \cdot 4!} - \cdots + \frac{(-1)^k(\pi)^{2k}}{4^{2k} \cdot (2k)!} + \cdots$

33.  $\frac{\pi}{3} - \frac{\pi^3}{3^3 \cdot 3} + \frac{\pi^5}{3^5 \cdot 5} - \cdots + \frac{(-1)^k \pi^{2k+1}}{3^{2k+1} (2k+1)} + \cdots$

34.  $\pi - \frac{\pi^2}{2} + \frac{\pi^3}{3} - \cdots + (-1)^{k-1} \frac{\pi^k}{k} + \cdots$

35.  $e^x$  ve  $\sin x$ 'in Maclaurin serilerini çarparak  $e^x \sin x$ 'in Maclaurin serisinin sıfırdan farklı ilk beş terimini bulun.

36.  $e^x$  ve  $\cos x$ 'in Maclaurin serilerini çarparak  $e^x \cos x$ 'in Maclaurin serisinin sıfırdan farklı ilk beş terimini bulun.

37.  $\sin^2 x = (1 - \cos 2x)/2$  bağıntısını kullanarak  $\sin^2 x$ 'in Maclaurin serisini bulun. Sonra bu serinin türevini alarak  $2 \sin x \cos x$ 'in Maclaurin serisini bulun. Bunun  $\sin 2x$  serisi olup olmadığını kontrol edin.

38. (Alıştırma 37'nin devamı.)  $\cos^2 x = \cos 2x + \sin^2 x$  bağıntısını kullanarak  $\cos^2 x$  için bir kuvvet serisi elde edin.

**Teori ve Örnekler**

39. **Taylor Teoremi ve Ortalama Değer Teoremi** Ortalama Değer Teoreminin (Bölüm 4.2, Teorem 4) nasıl Taylor Teoreminin özel bir durumu olduğunu açıklayın.

40. **Büküm noktalarında linearizasyon** İki kere türetilen bir  $f(x)$  fonksiyonunun grafiğinin  $x = a$ 'da bir büküm noktası varsa,  $f'$ 'nin  $x = a$ 'daki linearizasyonunun aynı zamanda  $f$ 'nin  $x = a$ 'daki kvadratik yaklaşımı olduğunu gösterin. Bu, teğetlerin büküm noktalarına neden o kadar iyi uyum sağladıklarını açıklar.

41. **(İkinci) ikinci türev testi** Aşağıdaki testi doğrulamak için

$$f(x) = f(a) + f'(a)(x-a) + \frac{f''(c_2)}{2}(x-a)^2$$

denklemini kullanın.

$f$ 'nin sürekli birinci ve ikinci türevlerinin var ve  $f'(a) = 0$  olduğunu varsayıy়.

a. İçi  $a$ 'yı kapsayan bir aralık boyunca  $f'' \leq 0$  ise,  $f$ 'nin  $a$ 'da bir yerel maksimumu vardır;

b. İçi  $a$ 'yı kapsayan bir aralık boyunca  $f'' \geq 0$  ise,  $f$ 'nin  $a$ 'da bir yerel minimumu vardır.

**42. Kübik bir yaklaşım**  $a = 0$  ve  $n = 3$  ile Taylor formülünü kullanarak  $f(x) = 1/(1-x)$ 'in  $x = 0$ 'daki kübik yaklaşımını bulun.  $|x| \leq 0.1$  iken yaklaşımındaki hatanın büyüklüğü için bir üst sınır bulun.

- 43.** a.  $n = 2$  ile Taylor formülünü kullanarak  $f(x) = (1+x)^k$ 'ye ( $k$  bir sabit)  $x = 0$ 'daki kuadratik yaklaşımı bulun.  
 b.  $k = 3$  ise,  $[0, 1]$  aralığında yaklaşık olarak hangi  $x$  değerlerinde, kuadratik yaklaşımındaki hata  $1/100$ 'den küçük olur?

#### 44. $\pi$ 'ye yaklaşımaları iyileştirmek

- a.  $P$ ,  $\pi$ 'ye  $n$  ondalık basamak kesinlikte bir yaklaşım olsun.  $P + \sin P$ 'nin  $3n$  ondalık basamak kesinlikte bir yaklaşım vereceğini gösterin. (İpucu:  $P = \pi + x$  alın.)

- T** b. Bunu bir hesap makinesiyle deneyin.

**45.  $f(x) = \sum_{n=0}^{\infty} a_n x^n$  tarafından üretilen Taylor serisi  $\sum_{n=0}^{\infty} a_n x^n$  serisidir.** Yakınsaklılık yarıçapı  $c > 0$  olan bir  $\sum_{n=0}^{\infty} a_n x^n$  kuvvet serisiyle tanımlanan bir fonksiyonun,  $(-c, c)$  aralığının her noktasında fonksiyona yakınsayan bir Taylor serisi vardır.  $f(x) = \sum_{n=0}^{\infty} a_n x^n$  tarafından üretilen Taylor serisinin  $\sum_{n=0}^{\infty} a_n x^n$  serisini kendisi olduğunu göstererek bunu gösterin.

Bunun hemen görülen bir sonucu, Yakınsak kuvvet serilerin türevlerinin alınması veya integrasyonuyla elde edilen serilerin, temsil ettiğleri fonksiyonların ürettiği Taylor serileri olmaları gibidir. Taylor serilerini  $x$ 'in kuvvetleri ile çarplamasından elde edilen

$$x \sin x = x^2 - \frac{x^4}{3!} + \frac{x^6}{5!} - \frac{x^8}{7!} + \dots$$

ve

$$x^2 e^x = x^2 + x^3 + \frac{x^4}{2!} + \frac{x^5}{3!} + \dots,$$

gibi serilerdir.

**46. Çift fonksiyonların ve tek fonksiyonların Taylor serileri** (Bölüm 11.7, Alıştırma 45'in devamı.)  $f(x) = \sum_{n=0}^{\infty} a_n x^n$  fonksiyonunun açık bir  $(-c, c)$  aralığında her  $x$  için yakınsadığını varsayıyın. Aşağıdakileri gösterin.

- a.  $f$  çiftse,  $a_1 = a_3 = a_5 = \dots = 0$ 'dır; yani  $f$ 'nin serisi sadece  $x$ 'in çift kuvvetlerini içerir.  
 b.  $a_0 = a_2 = a_4 = \dots = 0$ 'dır; yani  $f$ 'nin serisi sadece  $x$ 'in tek kuvvetlerini içerir.

#### 47. Periyodik fonksiyonların Taylor polinomları

- a. Her  $x$  için  $|f(x)| \leq M$  olacak şekilde pozitif bir  $M$  sabitinin var olduğunu göstererek, her sürekli periyodik  $f(x)$ ,  $-\infty < x < \infty$ , fonksiyonunun büyüklüğünün sınırlı olduğunu gösterin.  
 b.  $f(x) = \cos x$ 'in ürettiği pozitif dereceli her Taylor polinomunun grafiğinin  $|x|$  arttıkça  $\cos x$ 'in grafiğinden uzaklaşması gerektiğini gösterin. Bunu Şekil 11.13'te görebilirsiniz.  $\sin x$ 'in Taylor polinomları da benzer şekilde davranışır (Şekil 11.15).

- T** **48.** a.  $y = (1/3) - (x^2)/5$  ve  $y = (x - \tan^{-1}x)/x^3$  eğrilerinin grafiklerini  $y = 1/3$  eğrisiyle birlikte çizin.

- b. Gördüklerinizi bir Taylor serisiyle açıklayın.

$$\lim_{x \rightarrow 0} \frac{x - \tan^{-1}x}{x^3}$$

nedir?

#### Euler Özdeşliği

- 49.**  $e$ 'nin aşağıdaki kuvvetlerini  $a + bi$  şeklinde yazmak için (6) denklemini kullanın.

a.  $e^{-i\pi}$       b.  $e^{i\pi/4}$       c.  $e^{-i\pi/2}$

- 50.** (6) Denklemini kullanarak

$$\cos \theta = \frac{e^{i\theta} + e^{-i\theta}}{2} \quad \text{ve} \quad \sin \theta = \frac{e^{i\theta} - e^{-i\theta}}{2i}$$

olduğunu gösterin.

- 51.** Alıştırma 50'deki bağıntıları  $e^{i\theta}$  ve  $e^{-i\theta}$ 'nın Taylor serilerini birleştirerek doğrulayın.

- 52.** Aşağıdakileri gösterin.

a.  $\cosh i\theta = \cos \theta$ ,      b.  $\sinh i\theta = i \sin \theta$ .

- 53.**  $e^x$  ve sin  $x$ 'in Taylor serilerini çarparak,  $e^x$  sin  $x$ 'in Taylor serisinin  $x^5$ 'e kadar olan terimlerini bulun. Bu seri

$$e^x \cdot e^{ix} = e^{(1+i)x}$$

serisinin sanal (imajiner) kısmıdır. Bunu yanıtınızı kontrol etmektede kullanın. Hangi  $x$  değerleri için bu seri  $e^x$  sin  $x$ 'e yakınsamalıdır?

- 54.**  $a$  ve  $b$  reel olmak üzere,  $e^{(a+ib)x}$ ,

$$e^{(a+ib)x} = e^{ax} \cdot e^{ibx} = e^{ax}(\cos bx + i \sin bx)$$

denklemiyle tanımlarız. Bu denklemin sağ tarafının türevini alarak

$$\frac{d}{dx} e^{(a+ib)x} = (a + ib)e^{(a+ib)x}.$$

olduğunu gösterin. Yani bildiğimiz  $(d/dx)e^{kx} = ke^{kx}$  kuralı kompleks  $k$ 'ler için de geçerlidir.

- 55.**  $e^{i\theta}$ 'nın tanımını kullanarak reel  $\theta$ ,  $\theta_1$  ve  $\theta_2$  sayıları için aşağıdakileri gösterin.

a.  $e^{i\theta_1} e^{i\theta_2} = e^{i(\theta_1+\theta_2)}$ ,      b.  $e^{-i\theta} = 1/e^{i\theta}$ .

- 56.** Kompleks iki  $a + ib$  ve  $c + id$  sayısı ancak ve ancak  $a = c$  ve  $b = d$  ise eşittir. Bunu kullanarak,  $C = C_1 + iC_2$  kompleks bir integrasyon sabiti olmak üzere

$$\int e^{ax} \cos bx dx \quad \text{ve} \quad \int e^{ax} \sin bx dx$$

eşigidinden

$$\int e^{(a+ib)x} dx = \frac{a - ib}{a^2 + b^2} e^{(a+ib)x} + C$$

integrallerini hesaplayın.

**BİLGİSAYAR ARAŞTIRMALARI****Lineer, Kuadratik ve Kübik Yaklaşımalar**

$n = 1$  ve  $a = 0$  ile Taylor formülü bir fonksiyonun  $x = 0$ 'daki lineerizasyonunu verir.  $n = 2$  ve  $n = 3$  ile, standart kuadratik ve kübik yaklaşımalar elde ederiz. Bu alıştırmalarda, bu yaklaşımalarla ilgili hataları araştıracagız. İki sorunun yanıtını arıyoruz:

- Hangi  $x$  değerleri için fonksiyon yerine,  $10^{-2}$ 'den küçük bir hata ile, söz konusu yaklaşımalar yazılabilir?
- Belirlenen aralıkta fonksiyon yerine söz konusu yaklaşımaları almakla yapacağımız maksimum hata nedir?

Bir BCS kullanarak, 57–62 alıştırmalarında verilen fonksiyonlar ve aralıklar için (a) ve (b)'deki soruları yanıtlamak için aşağıdaki adımları gerçekleştirin.

*Adım 1:* Fonksiyonu belirtilen aralıkta çizin.

*Adım 2:*  $x = 0$ 'daki  $P_1(x)$ ,  $P_2(x)$  ve  $P_3(x)$  Taylor polinomlarını bulun.

*Step 3:* Her Taylor polinomunun kalaniyla ilişkili olan  $(n + 1)$ . türevi  $f^{(n+1)}(c)$ 'yi hesaplayın. Türevi, verilen aralıkta  $c$ 'nin bir fonksiyonu olarak çizin ve maksimum mutlak değeri  $M$ 'yi tahmin edin.

*Step 4:* Her polinomun  $R_n(x)$  kalanını hesaplayın.  $f^{(n+1)}(c)$  yerine Adım 3'teki  $M$  tahminini kullanarak,  $R_n(x)$ 'in grafiğini çizin. (a) sorusunu yanıtlayan  $x$  değerlerini bulun.

*Step 5:* Tahmin ettiğiniz hatayı gerçek hata

$E_n(x) = |f(x) - P_n(x)|$  ile,  $E_n(x)$ 'in grafiğini belirlenen aralıkta çizerek karşılaştırın. Bu (b) sorusunu yanıtlamaya yardımcı olacaktır.

*Step 6:* Fonksiyonun ve üç Taylor yaklaşımının grafiklerini birlikte çizin. Grafiklerin 4 ve 5 adımlarında bulduklarınızla ilişkisi tartısin.

57.  $f(x) = \frac{1}{\sqrt{1+x}}$ ,  $|x| \leq \frac{3}{4}$

58.  $f(x) = (1+x)^{3/2}$ ,  $-\frac{1}{2} \leq x \leq 2$

59.  $f(x) = \frac{x}{x^2 + 1}$ ,  $|x| \leq 2$

60.  $f(x) = (\cos x)(\sin 2x)$ ,  $|x| \leq 2$

61.  $f(x) = e^{-x} \cos 2x$ ,  $|x| \leq 1$

62.  $f(x) = e^{x/3} \sin 2x$ ,  $|x| \leq 2$

**11.10****Kuvvet Serilerinin Uygulamaları**

Bu bölüm kuvvet ve kök bulmada kullanılan binom serilerini tanıtmakta ve bazen serilerin, bir başlangıç değer problemine yaklaşımada bulunmakta, elemanter olmayan integralerin hesaplanması ve belirsiz formlara yol açan limitlerin hesaplanması, nasıl kullanıldığını göstermektedir.  $\tan^{-1} x$ 'in Taylor serisinin bir çıkarılışını verecek ve sık kullanılan seriler için bir referans tablosuyla bölümün bitireceğiz.

**Kuvvetler ve Kökler İçin Binom Serileri**

$m$  bir sabitken,  $f(x) = (1+x)^m$ 'nin ürettiği Taylor serisi

$$1 + mx + \frac{m(m-1)}{2!}x^2 + \frac{m(m-1)(m-2)}{3!}x^3 + \dots + \frac{m(m-1)(m-2)\cdots(m-k+1)}{k!}x^k + \dots \quad [1]$$

ile verilir. Binom serisi denilen bu seri  $|x| < 1$  için mutlak yakınsaktır. Seriyi türetmek

için, önce fonksiyonu ve türevlerini yazarız:

$$\begin{aligned} f(x) &= (1 + x)^m \\ f'(x) &= m(1 + x)^{m-1} \\ f''(x) &= m(m - 1)(1 + x)^{m-2} \\ f'''(x) &= m(m - 1)(m - 2)(1 + x)^{m-3} \\ &\vdots \\ f^{(k)}(x) &= m(m - 1)(m - 2) \cdots (m - k + 1)(1 + x)^{m-k}. \end{aligned}$$

Sonra bunları  $x = 0$ 'da hesaplar ve bu değerleri Taylor serisi formülüne koyarak (1) denklemini elde ederiz.

$m$  sıfır eşit veya sıfırdan büyük bir tamsayı ise, seri  $(m + 1)$  terimden sonra durur, çünkü  $k = m + 1$ 'den sonraki terimler sıfırdır.

$m$  pozitif bir tamsayı veya sıfır değilse, seri sonsuzdur ve  $|x| < 1$  için yakınsaktır. Nedenini anlamak için,  $u_k$ 'yı  $x^k$ 'yı içeren terim olarak alın. Sonra mutlak yakınsaklıktır Oran Testini uygulayarak

$$k \rightarrow \infty \quad \left| \frac{u_{k+1}}{u_k} \right| = \left| \frac{m - k}{k + 1} x \right| \rightarrow |x|$$

olduğunu görün.

Binom serilerini türetişimiz sadece bunun  $(1 + x)^m$  tarafından üretildiğini ve  $|x| < 1$  için yakınsadığını göstermektedir. Türetiş serinin  $(1 + x)^m$ 'ye yakınsadığını göstermez. Seri bu fonksiyona yakınsar, fakat bunu ispatsız kabul edeceğiz.

### Binom Serisi

$-1 < x < 1$  için

$$(1 + x)^m = 1 + \sum_{k=1}^{\infty} \binom{m}{k} x^k,$$

ve

$$\binom{m}{1} = m, \quad \binom{m}{2} = \frac{m(m - 1)}{2!},$$

olmak üzere

$$k \geq 3 \text{ için } \binom{m}{k} = \frac{m(m - 1)(m - 2) \cdots (m - k + 1)}{k!} \text{ dir.}$$

### ÖRNEK 1 Binom Serisini Kullanmak

$m = -1$  ise

$$\binom{-1}{1} = -1, \quad \binom{-1}{2} = \frac{-1(-2)}{2!} = 1,$$

ve

$$\binom{-1}{k} = \frac{-1(-2)(-3) \cdots (-1 - k + 1)}{k!} = (-1)^k \binom{k!}{k!} = (-1)^k \text{ olur.}$$

Bu katsayı değerleri ve  $x$  yerine  $-x$  ile binom formülü, bildiğimiz

$$(1 + x)^{-1} = 1 + \sum_{k=1}^{\infty} (-1)^k x^k = 1 - x + x^2 - x^3 + \cdots + (-1)^k x^k + \cdots. \blacksquare$$

geometrik serisini verir.

### ÖRNEK 2 Binom Serisini Kullanmak

Bölüm 3.8, Örnek 1'den küçük  $|x|$ 'ler için  $\sqrt{1+x} \approx 1 + (x/2)$  olduğunu biliyoruz.  $m = 1/2$  ile binom serisi, Alterne Seriler Tahmin Teoreminden gelen hata tahminleriyle birlikte, kuadratik ve daha yüksek mertebeden yaklaşımları da verir:

$$\begin{aligned} (1 + x)^{1/2} &= 1 + \frac{x}{2} + \frac{\left(\frac{1}{2}\right)\left(-\frac{1}{2}\right)}{2!} x^2 + \frac{\left(\frac{1}{2}\right)\left(-\frac{1}{2}\right)\left(-\frac{3}{2}\right)}{3!} x^3 \\ &\quad + \frac{\left(\frac{1}{2}\right)\left(-\frac{1}{2}\right)\left(-\frac{3}{2}\right)\left(-\frac{5}{2}\right)}{4!} x^4 + \cdots \\ &= 1 + \frac{x}{2} - \frac{x^2}{8} + \frac{x^3}{16} - \frac{5x^4}{128} + \cdots \end{aligned}$$

$x$ 'e değişken dönüşümü uygulamak başka yaklaşımları da verir. Örneğin,

$$\text{Küçük } |x|^2 \text{ için } \sqrt{1-x^2} \approx 1 - \frac{x^2}{2} - \frac{x^4}{8}$$

$$\text{Küçük } \frac{1}{x} \text{ yani büyük } |x| \text{ için } \sqrt{1-\frac{1}{x}} \approx 1 - \frac{1}{2x} - \frac{1}{8x^2} \blacksquare$$

bulunur.

### Diferansiyel Denklemlerin ve Başlangıç Değer Problemlerinin Kuvvet Serisi Çözümleri

Bir başlangıç değer problemi veya diferansiyel denklemin çözümü için basit bir ifade bulmazsa, çözüm hakkında başka yollardan bilgi alımıya çalışırız. Bunun bir yolu çözümün bir kuvvet serisi temsilini bulmaya çalışmaktadır. Eğer bulabilirsek, hemen çözümün polinom yaklaşımları için bir kaynak elimize geçer, bu da aradığımız tek şey olabilir. İlk örnek (Örnek 3), Bölüm 9.2'nin yöntemleriyle çözülebilecek bir birinci derece lineer diferansiyel denkleme ilgilenmektedir. Örnek, bundan haberimiz yokmuş gibi, denklemi bir kuvvet serisiyle nasıl çözüceğimizi gösterir. İkinci örnek (Örnek 4) daha önce gördüğümüz yöntemlerle çözülemeyen bir denkleme uğraşır.

### ÖRNEK 3 Bir Başlangıç Değer Probleminin Seri Çözümü

Aşağıdaki başlangıç değer problemini çözün.

$$y' - y = x, \quad y(0) = 1.$$

#### Çözüm

$$y = a_0 + a_1 x + a_2 x^2 + \cdots + a_{n-1} x^{n-1} + a_n x^n + \cdots \quad [2]$$

şeklinde bir çözüm olduğunu varsayarız.

Amacımız, hangi ak katsayıları için, serinin ve

$$y' = a_1 + 2a_2x + 3a_3x^2 + \cdots + na_nx^{n-1} + \cdots \quad [3]$$

birinci türevinin, verilen diferansiyel denklemi ve başlangıç koşulunu sağladığını bulmaktr.  $y' - y$  serisi (2) ve (3) denklemelerindeki serilerin farkıdır:

$$\begin{aligned} y' - y &= (a_1 - a_0) + (2a_2 - a_1)x + (3a_3 - a_2)x^2 + \cdots \\ &\quad + (na_n - a_{n-1})x^{n-1} + \cdots \end{aligned} \quad [4]$$

$y' - y = x$  denklemini sağlayacaksa, (4) Denklemindeki seri  $x$ 'e eşit olmalıdır. Bölüm 11.7, Alıştırma 45'te gördüğünüz gibi, kuvvet serisi temsilleri tek olduğu için, (4) Denklemdeki katsayılar aşağıdaki denklemeleri sağlamalıdır:

$$\begin{array}{ll} a_1 - a_0 = 0 & \text{Sabit terimler} \\ 2a_2 - a_1 = 1 & x\text{'in katsayıları} \\ 3a_3 - a_2 = 0 & x^2\text{'nin katsayıları} \\ \vdots & \vdots \\ na_n - a_{n-1} = 0 & x^{n-1}\text{'in katsayıları} \\ \vdots & \vdots \end{array}$$

Ayrıca, (2) Denkleminden  $x = 0$  iken,  $y = a_0$  olduğunu görebiliriz, yani  $a_0 = 1$ ' dir (bu başlangıç koşuludur). Hepsini bir araya koyarsak,

$$\begin{aligned} a_0 &= 1, & a_1 &= a_0 = 1, & a_2 &= \frac{1 + a_1}{2} = \frac{1 + 1}{2} = \frac{2}{2}, \\ a_3 &= \frac{a_2}{3} = \frac{2}{3 \cdot 2} = \frac{2}{3!}, \dots, & a_n &= \frac{a_{n-1}}{n} = \frac{2}{n!}, \dots \end{aligned}$$

buluruz. Bu katsayı değerlerini  $y$  denkleminde (2 Denklemi) yerine koymak

$$\begin{aligned} y &= 1 + x + 2 \cdot \frac{x^2}{2!} + 2 \cdot \frac{x^3}{3!} + \cdots + 2 \cdot \frac{x^n}{n!} + \cdots \\ &= 1 + x + 2 \underbrace{\left( \frac{x^2}{2!} + \frac{x^3}{3!} + \cdots + \frac{x^n}{n!} + \cdots \right)}_{e^x - 1 - x\text{'in Taylor serisi}} \\ &= 1 + x + 2(e^x - 1 - x) = 2e^x - 1 - x \end{aligned}$$

verir. Başlangıç değer probleminin çözümü  $y = 2e^x - 1 - x$ 'tir.

Kontrol için,

$$y(0) = 2e^0 - 1 - 0 = 2 - 1 = 1$$

ve

$$y' - y = (2e^x - 1) - (2e^x - 1 - x) = x$$

■

olduğunu görürüz.

#### ÖRNEK 4 Bir Diferansiyel Denklemi Çözmek

Aşağıdaki denklemenin bir kuvvet serisi çözümünü bulun:

$$y'' + x^2y = 0 \quad [5]$$

**Çözüm**

$$y = a_0 + a_1x + a_2x^2 + \cdots + a_nx^n + \cdots \quad [6]$$

şeklinde bir çözüm olduğunu varsayar ve hangi  $a_k$  katsayıları için, serinin ve

$$y'' = 2a_2 + 3 \cdot 2a_3x + \cdots + n(n-1)a_nx^{n-2} + \cdots \quad [7]$$

türevinin (5) denklemini sağladığını buluruz.  $x^2y$  serisi  $x^2$  kere (6) denkleminin sağ tarafıdır:

$$x^2y = a_0x^2 + a_1x^3 + a_2x^4 + \cdots + a_nx^{n+2} + \cdots \quad [8]$$

$y'' + x^2y$  (7) ve (8) denklemlerindeki serilerin toplamıdır:

$$\begin{aligned} y'' + x^2y &= 2a_2 + 6a_3x + (12a_4 + a_0)x^2 + (20a_5 + a_1)x^3 \\ &\quad + \cdots + (n(n-1)a_n + a_{n-4})x^{n-2} + \cdots \end{aligned} \quad [9]$$

(8) Denkleminde  $x^{n-2}$ 'nin katsayısının  $a_{n-4}$  olduğuna dikkat edin.  $y$  ve ikinci türevi  $y''$  (5) Denklemi sağlayacaklarsa, (9) Denklemi sağ tarafındaki  $x$ 'in kuvvetlerinin katsayılarının her biri sıfır olmalıdır:

$$2a_2 = 0, \quad 6a_3 = 0, \quad 12a_4 + a_0 = 0, \quad 20a_5 + a_1 = 0. \quad [10]$$

$n \geq 4$  için,

$$n(n-1)a_n + a_{n-4} = 0 \quad [11]$$

dir. (6) Denkleminden

$$a_0 = y(0) \quad a_1 = y'(0)$$

olduğunu görebiliriz. Diğer bir deyişle, serinin ilk iki katsayı  $y$  ve  $y''$ 'nın  $x = 0$ 'daki değerleridir. (10)'daki denklemler ve (11)'deki tekrarlama formülü bütün katsayıları  $a_0$  ve  $a_1$  cinsinden hesaplamamızı sağlar.

(10)'daki denklemlerden ilk ikisi

$$a_2 = 0, \quad a_3 = 0$$

verir. (11) Denklemi  $a_{n-4} = 0$  ise,  $a_n = 0$  olacağını gösterir, dolayısıyla

$$a_6 = 0, \quad a_7 = 0, \quad a_{10} = 0, \quad a_{11} = 0$$

ve her  $n = 4k + 2$  veya  $4k + 3$  olduğunda,  $a_n = 0$  olur. Diğer katsayılar için

$$a_n = \frac{-a_{n-4}}{n(n-1)}$$

buluruz, böylece

$$a_4 = \frac{-a_0}{4 \cdot 3}, \quad a_8 = \frac{-a_4}{8 \cdot 7} = \frac{a_0}{3 \cdot 4 \cdot 7 \cdot 8}$$

$$a_{12} = \frac{-a_8}{11 \cdot 12} = \frac{-a_0}{3 \cdot 4 \cdot 7 \cdot 8 \cdot 11 \cdot 12}$$

ve

$$a_5 = \frac{-a_1}{5 \cdot 4}, \quad a_9 = \frac{-a_5}{9 \cdot 8} = \frac{a_1}{4 \cdot 5 \cdot 8 \cdot 9}$$

$$a_{13} = \frac{-a_9}{12 \cdot 13} = \frac{-a_1}{4 \cdot 5 \cdot 8 \cdot 9 \cdot 12 \cdot 13}$$

olur.

Yani cevap en iyi olarak iki farklı serinin toplamı biçiminde ifade edilir—biri  $a_0$  ile, diğerisi  $a_1$  ile çarpılmış olarak.

$$\begin{aligned}y &= a_0 \left( 1 - \frac{x^4}{3 \cdot 4} + \frac{x^8}{3 \cdot 4 \cdot 7 \cdot 8} - \frac{x^{12}}{3 \cdot 4 \cdot 7 \cdot 8 \cdot 11 \cdot 12} + \dots \right) \\&\quad + a_1 \left( x - \frac{x^5}{4 \cdot 5} + \frac{x^9}{4 \cdot 5 \cdot 8 \cdot 9} - \frac{x^{13}}{4 \cdot 5 \cdot 8 \cdot 9 \cdot 12 \cdot 13} + \dots \right)\end{aligned}$$

İki seri de, oran testiyle görüleceği gibi, her  $x$  için mutlak yakınsaktır. ■

### Elemanter Olmayan İntegralleri Hesaplamak

Taylor serileri elemanter olmayan integralleri seriler cinsinden ifade etmekte kullanılabilir.  $\int \sin x^2 dx$  gibi integraller ışığın kırılması incelemelerinde ortaya çıkarlar.

**ÖRNEK 5**  $\int \sin x^2 dx$ 'i bir kuvvet serisi olarak ifade edin.

**Çözüm**  $\sin x$  serisinden

$$\sin x^2 = x^2 - \frac{x^6}{3!} + \frac{x^{10}}{5!} - \frac{x^{14}}{7!} + \frac{x^{18}}{9!} - \dots$$

elde ederiz. Dolayısıyla,

$$\int \sin x^2 dx = C + \frac{x^3}{3} - \frac{x^7}{7 \cdot 3!} + \frac{x^{11}}{11 \cdot 5!} - \frac{x^{15}}{15 \cdot 7!} + \frac{x^{19}}{19 \cdot 9!} - \dots$$

olur.

**ÖRNEK 6** Bir Belirli İntegrali Bulmak

$\int_0^1 \sin x^2 dx$ 'i 0.001'den küçük bir hatayla bulun.

**Çözüm** Örnek 5'teki belirsiz integralden

$$\int_0^1 \sin x^2 dx = \frac{1}{3} - \frac{1}{7 \cdot 3!} + \frac{1}{11 \cdot 5!} - \frac{1}{15 \cdot 7!} + \frac{1}{19 \cdot 9!} - \dots$$

bulunur. Seri alternedir. Deneyerek

$$\frac{1}{11 \cdot 5!} \approx 0.00076$$

teriminin sayısal olarak 0.001'den küçük olan ilk terim olduğunu buluruz. Bundan önce gelen iki terimin toplamı

$$\int_0^1 \sin x^2 dx \approx \frac{1}{3} - \frac{1}{42} \approx 0.310$$

verir. İki terim daha alırsak,  $10^{-6}$ 'dan daha küçük bir hataya

$$\int_0^1 \sin x^2 dx \approx 0.310268$$

tahmininde bulunabilirdik. Bundan sadece bir terim daha fazla alarak,  $1.08 \times 10^{-9}$  civarında bir hatayla

$$\int_0^1 \sin x^2 dx \approx \frac{1}{3} - \frac{1}{42} + \frac{1}{1320} - \frac{1}{75600} + \frac{1}{6894720} \approx 0.310268303.$$

buluruz. Yamuk kuralındaki hata formülüyle bu hassaslığı garantilemek 8.000 alt aralık gerektirirdi. ■

### Arktanjantlar

Bölüm 11.7, Örnek 5'te  $\tan^{-1} x$  serisini, türev alıp,

$$\frac{d}{dx} \tan^{-1} x = \frac{1}{1+x^2} = 1 - x^2 + x^4 - x^6 + \dots$$

bularak ve integre edip

$$\tan^{-1} x = x - \frac{x^3}{3} + \frac{x^5}{5} - \frac{x^7}{7} + \dots$$

elde ederek bulmuştuk. Ancak, bu sonucun dayandığı terim terime integrasyon teoremini ispatlamadık. Şimdi bu seriyi, yeniden,

$$\frac{1}{1+t^2} = 1 - t^2 + t^4 - t^6 + \dots + (-1)^n t^{2n} + \frac{(-1)^{n+1} t^{2n+2}}{1+t^2} \quad [12]$$

sonlu formülünün iki tarafını da integre ederek bulacağız. Burada son terim, kalan terimleri, ilk terimi  $a = (-1)^{n+1} t^{2n+2}$  ve oranı  $r = -t^2$  olan bir geometrik seri olarak toplamaktan gelir. (12) Denklemının iki tarafını da  $t = 0$ 'dan  $t = x$ 'e kadar integre etmek

$$\tan^{-1} x = x - \frac{x^3}{3} + \frac{x^5}{5} - \frac{x^7}{7} + \dots + (-1)^n \frac{x^{2n+1}}{2n+1} + R_n(x).$$

verir. Burada

$$R_n(x) = \int_0^x \frac{(-1)^{n+1} t^{2n+2}}{1+t^2} dt.$$

ile verilmektedir. İntegrandın paydası 1'e eşit veya 1'den daha büyütür; dolayısıyla

$$|R_n(x)| \leq \int_0^{|x|} t^{2n+2} dt = \frac{|x|^{2n+3}}{2n+3}$$

olur.  $|x| \leq 1$  ise,  $n \rightarrow \infty$  iken, bu eşitsizliğin sağ tarafı sıfıra yaklaşırlar. Dolayısıyla,  $|x| \leq 1$  ise,  $\lim_{n \rightarrow \infty} R_n(x) = 0$  olur ve

$$\begin{aligned} \tan^{-1} x &= \sum_{n=0}^{\infty} \frac{(-1)^n x^{2n+1}}{2n+1}, & |x| \leq 1. \\ \tan^{-1} x &= x - \frac{x^3}{3} + \frac{x^5}{5} - \frac{x^7}{7} + \dots, & |x| \leq 1 \end{aligned} \quad [13]$$

buluruz.  $\tan^{-1} x$ 'in yüksek mertebeden türevlerinin formülleri uygun şekilde düzenlenebilir olmadıklarından, doğrudan Taylor serisini bulmak yerine bu yolu takip ettik. (13) denkleminde  $x = 1$  alırsak, **Leibniz formülünü** elde ederiz:

$$\frac{\pi}{4} = 1 - \frac{1}{3} + \frac{1}{5} - \frac{1}{7} + \frac{1}{9} - \dots + \frac{(-1)^n}{2n+1} + \dots$$

Seri çok yavaş yakınsadığından fazla sayıda ondalık basamak hassasiyeti ile  $\pi$ 'ye yaklaşımında kullanılmamaktadır.  $x$ 'in sıfıra yakın değerlerinde  $\tan^{-1} x$ 'in serisi çok daha hızlı yakınsamaktadır. Bu nedenden dolayı,  $\pi$ 'yi hesaplamak için  $\tan^{-1} x$ 'in serisini kullananlar çeşitli trigonometrik özdeşlikler kullanırlar.

Örneğin,

$$\alpha = \tan^{-1} \frac{1}{2} \quad \text{and} \quad \beta = \tan^{-1} \frac{1}{3},$$

ise

$$\tan(\alpha + \beta) = \frac{\tan \alpha + \tan \beta}{1 - \tan \alpha \tan \beta} = \frac{\frac{1}{2} + \frac{1}{3}}{1 - \frac{1}{6}} = 1 = \tan \frac{\pi}{4}$$

ve

$$\frac{\pi}{4} = \alpha + \beta = \tan^{-1} \frac{1}{2} + \tan^{-1} \frac{1}{3}$$

olur. Şimdi, (13) Denklemi  $x = 1/2$  ile  $\tan^{-1}(1/2)$ 'yi ve  $x = 1/3$  ile  $\tan^{-1}(1/3)$ 'ü hesaplamakta kullanılabilir. Bu sonuçların toplamının 4 ile çarpımı  $\pi$ 'yi verir.

### Belirsiz Formları Hesaplamak

Bazen belirsiz formları, içeren fonksiyonları Taylor serisi olarak ifade ederek hesaplayabiliriz.

#### ÖRNEK 7 Kuvvet Serisi Kullanılan Limitler

$$\lim_{x \rightarrow 1} \frac{\ln x}{x - 1}$$

limitini hesaplayın.

**Cözüm**  $\ln x$ 'i  $(x - 1)$ 'in kuvvetleri cinsinden bir Taylor serisi ile temsil ederiz. Bu,  $\ln x$ 'in  $x = 1$ 'de ürettiği Taylor serisini doğrudan hesaplayarak veya Bölüm 11.7, Örnek 6'daki  $\ln x$  serisinde  $x$  yerine  $x - 1$  yazarak yapılabilir. Her iki yoldan da,

$$\ln x = (x - 1) - \frac{1}{2}(x - 1)^2 + \dots$$

elde ederiz ve buradan

$$\lim_{x \rightarrow 1} \frac{\ln x}{x - 1} = \lim_{x \rightarrow 1} \left( 1 - \frac{1}{2}(x - 1) + \dots \right) = 1$$

buluruz. ■

#### ÖRNEK 8 Kuvvet Serisi Kullanılan Limitler

$$\lim_{x \rightarrow 0} \frac{\sin x - \tan x}{x^3}$$

limitini hesaplayın.

**Çözüm**  $x^5$ 'li terime kadar  $\sin x$  ve  $\tan x$ 'in Taylor serileri

$$\sin x = x - \frac{x^3}{3!} + \frac{x^5}{5!} - \dots, \quad \tan x = x + \frac{x^3}{3} + \frac{2x^5}{15} + \dots$$

ile verilir. Buradan

$$\sin x - \tan x = -\frac{x^3}{2} - \frac{x^5}{8} - \dots = x^3 \left( -\frac{1}{2} - \frac{x^2}{8} - \dots \right)$$

ve

$$\begin{aligned} \lim_{x \rightarrow 0} \frac{\sin x - \tan x}{x^3} &= \lim_{x \rightarrow 0} \left( -\frac{1}{2} - \frac{x^2}{8} - \dots \right) \\ &= -\frac{1}{2} \end{aligned}$$

■

bulunur.

$\lim_{x \rightarrow 0} ((1/\sin x) - (1/x))$ 'i hesaplamak için seri kullanırsak, sadece limiti bulmakla kalmaz, aynı zamanda  $\csc x$  için bir yaklaşım formülü keşfederiz.

**ÖRNEK 9**  $\csc x$  için Yaklaşım Formülü

$$\lim_{x \rightarrow 0} \left( \frac{1}{\sin x} - \frac{1}{x} \right)$$

limitini hesaplayın.

**Çözüm**

$$\begin{aligned} \frac{1}{\sin x} - \frac{1}{x} &= \frac{x - \sin x}{x \sin x} = \frac{x - \left( x - \frac{x^3}{3!} + \frac{x^5}{5!} - \dots \right)}{x \cdot \left( x - \frac{x^3}{3!} + \frac{x^5}{5!} - \dots \right)} \\ &= \frac{x^3 \left( \frac{1}{3!} - \frac{x^2}{5!} + \dots \right)}{x^2 \left( 1 - \frac{x^2}{3!} + \dots \right)} = x \frac{\frac{1}{3!} - \frac{x^2}{5!} + \dots}{1 - \frac{x^2}{3!} + \dots} \end{aligned}$$

Dolayısıyla,

$$\lim_{x \rightarrow 0} \left( \frac{1}{\sin x} - \frac{1}{x} \right) = \lim_{x \rightarrow 0} \left( x \frac{\frac{1}{3!} - \frac{x^2}{5!} + \dots}{1 - \frac{x^2}{3!} + \dots} \right) = 0$$

olur. Sağdaki bölümden,  $|x|$  küçük ise,

$$\frac{1}{\sin x} - \frac{1}{x} \approx x \cdot \frac{1}{3!} = \frac{x}{6} \quad \text{veya} \quad \csc x \approx \frac{1}{x} + \frac{x}{6}$$

■

olacağımı görürüz.

**TABLO 11.1** Sık Kullanılan Taylor Serileri

$$\begin{aligned} \frac{1}{1-x} &= 1 + x + x^2 + \cdots + x^n + \cdots = \sum_{n=0}^{\infty} x^n, \quad |x| < 1 \\ \frac{1}{1+x} &= 1 - x + x^2 - \cdots + (-x)^n + \cdots = \sum_{n=0}^{\infty} (-1)^n x^n, \quad |x| < 1 \\ e^x &= 1 + x + \frac{x^2}{2!} + \cdots + \frac{x^n}{n!} + \cdots = \sum_{n=0}^{\infty} \frac{x^n}{n!}, \quad |x| < \infty \\ \sin x &= x - \frac{x^3}{3!} + \frac{x^5}{5!} - \cdots + (-1)^n \frac{x^{2n+1}}{(2n+1)!} + \cdots = \sum_{n=0}^{\infty} \frac{(-1)^n x^{2n+1}}{(2n+1)!}, \quad |x| < \infty \\ \cos x &= 1 - \frac{x^2}{2!} + \frac{x^4}{4!} - \cdots + (-1)^n \frac{x^{2n}}{(2n)!} + \cdots = \sum_{n=0}^{\infty} \frac{(-1)^n x^{2n}}{(2n)!}, \quad |x| < \infty \\ \ln(1+x) &= x - \frac{x^2}{2} + \frac{x^3}{3} - \cdots + (-1)^{n-1} \frac{x^n}{n} + \cdots = \sum_{n=1}^{\infty} \frac{(-1)^{n-1} x^n}{n}, \quad -1 < x \leq 1 \\ \ln \frac{1+x}{1-x} &= 2 \tanh^{-1} x = 2 \left( x + \frac{x^3}{3} + \frac{x^5}{5} + \cdots + \frac{x^{2n+1}}{2n+1} + \cdots \right) = 2 \sum_{n=0}^{\infty} \frac{x^{2n+1}}{2n+1}, \quad |x| < 1 \\ \tan^{-1} x &= x - \frac{x^3}{3} + \frac{x^5}{5} - \cdots + (-1)^n \frac{x^{2n+1}}{2n+1} + \cdots = \sum_{n=0}^{\infty} \frac{(-1)^n x^{2n+1}}{2n+1}, \quad |x| \leq 1 \end{aligned}$$

**Binom Serileri**

$$\begin{aligned} (1+x)^m &= 1 + mx + \frac{m(m-1)x^2}{2!} + \frac{m(m-1)(m-2)x^3}{3!} + \cdots + \frac{m(m-1)(m-2)\cdots(m-k+1)x^k}{k!} + \cdots \\ &= 1 + \sum_{k=1}^{\infty} \binom{m}{k} x^k, \quad |x| < 1 \end{aligned}$$

Burada

$$k \geq 3 \text{ için } \binom{m}{1} = m, \quad \binom{m}{2} = \frac{m(m-1)}{2!}, \quad \binom{m}{k} = \frac{m(m-1)\cdots(m-k+1)}{k!}$$

ile verilir.

**Not:** Binom serilerini kapalı olarak yazmak için,  $(1+x)^m = \sum_{k=0}^{\infty} \binom{m}{k} x^k$  verecek şekilde,  $\binom{m}{0}$  1 olarak tanımlamak ve  $x^0 = 1$  almak (genellikle dışlanan  $x = 0$  durumunda bile) alışkanlık haline gelmiştir.  $m$  pozitif bir tamsayıysa, seri  $x^m$ 'de kesilir ve sonuç her  $x$  için yakınsak olur.

**ALIŞTIRMALAR 11.10****Binom Serileri**

1–10 alıştırmalarındaki fonksiyonların Binom serilerinin ilk dört terimi bulun.

- |                   |                                      |                                      |
|-------------------|--------------------------------------|--------------------------------------|
| 1. $(1+x)^{1/2}$  | 2. $(1+x)^{1/3}$                     | 3. $(1-x)^{-1/2}$                    |
| 4. $(1-2x)^{1/2}$ | 5. $\left(1+\frac{x}{2}\right)^{-2}$ | 6. $\left(1-\frac{x}{2}\right)^{-2}$ |

- |                                       |  |
|---------------------------------------|--|
| 7. $(1+x^3)^{-1/2}$                   | 8. $(1+x^2)^{-1/3}$                    |
| 9. $\left(1+\frac{1}{x}\right)^{1/2}$ | 10. $\left(1-\frac{2}{x}\right)^{1/3}$ |

11–14 alıştırmalarındaki fonksiyonların Binom serilerini bulun.

- |               |                 |
|---------------|-----------------|
| 11. $(1+x)^4$ | 12. $(1+x^2)^3$ |
|---------------|-----------------|

13.  $(1 - 2x)^3$

14.  $\left(1 - \frac{x}{2}\right)^4$

**Başlangıç Değer Problemleri**

15–32 alıştırmalarındaki başlangıç değer problemlerinin seri çözümelerini bulun.

15.  $y' + y = 0, \quad y(0) = 1$

16.  $y' - 2y = 0, \quad y(0) = 1$

17.  $y' - y = 1, \quad y(0) = 0$

18.  $y' + y = 1, \quad y(0) = 2$

19.  $y' - y = x, \quad y(0) = 0$

20.  $y' + y = 2x, \quad y(0) = -1$

21.  $y' - xy = 0, \quad y(0) = 1$

22.  $y' - x^2y = 0, \quad y(0) = 1$

23.  $(1-x)y' - y = 0, \quad y(0) = 2$

24.  $(1+x^2)y' + 2xy = 0, \quad y(0) = 3$

25.  $y'' - y = 0, \quad y'(0) = 1$  ve  $y(0) = 0$

26.  $y'' + y = 0, \quad y'(0) = 0$  ve  $y(0) = 1$

27.  $y'' + y = x, \quad y'(0) = 1$  ve  $y(0) = 2$

28.  $y'' - y = x, \quad y'(0) = 2$  ve  $y(0) = -1$

29.  $y'' - y = -x, \quad y'(2) = -2$  ve  $y(2) = 0$

30.  $y'' - x^2y = 0, \quad y'(0) = b$  ve  $y(0) = a$

31.  $y'' + x^2y = x, \quad y'(0) = b$  ve  $y(0) = a$

32.  $y'' - 2y' + y = 0, \quad y'(0) = 1$  ve  $y(0) = 0$

**Yaklaşımalar ve Elemanter Olmayan İntegraler**

**T** 33–36 alıştırmalarında, integralin değerini büyülüklüğü  $10^{-3}$ 'ten küçük bir hatayla bulmak için seri kullanın. (Yanıt bölümü integrallerin değerlerini 5 ondalık basamağa yuvarlanmış olarak verir.)

33.  $\int_0^{0.2} \sin x^2 dx$

34.  $\int_0^{0.2} \frac{e^{-x} - 1}{x} dx$

35.  $\int_0^{0.1} \frac{1}{\sqrt{1+x^4}} dx$

36.  $\int_0^{0.25} \sqrt[3]{1+x^2} dx$

**T** 37–40 alıştırmalarında, integralin değerini büyülüklüğü  $10^{-8}$ 'den küçük bir hatayla bulmak için seri kullanın. (Yanıt bölümü integrallerin değerlerini 10 ondalık basamağa yuvarlanmış olarak verir.)

37.  $\int_0^{0.1} \frac{\sin x}{x} dx$

38.  $\int_0^{0.1} e^{-x^2} dx$

39.  $\int_0^{0.1} \sqrt{1+x^4} dx$

40.  $\int_0^1 \frac{1-\cos x}{x^2} dx$

41.  $\int_0^1 \cos t^2 dt$  integralinde  $\cos t^2$ 'ye  $1 - \frac{t^4}{2} + \frac{t^8}{4!}$  yaklaşımı kullanırsa, hatayı tahmin edin.

42.  $\int_0^1 \cos \sqrt{t} dt$  integralinde  $\cos \sqrt{t}$ 'ye  $1 - \frac{t}{2} + \frac{t^2}{4!} - \frac{t^3}{6!}$  yaklaşımı kullanırsa, hatayı tahmin edin.

43–46 alıştırmalarında, verilen aralıktaki büyülüklüğü  $10^{-3}$ 'ten küçük bir hatayla  $F(x)$ 'e yaklaşımada bulunan bir polinom bulun.

43.  $F(x) = \int_0^x \sin t^2 dt, \quad [0, 1]$

44.  $F(x) = \int_0^x t^2 e^{-t^2} dt, \quad [0, 1]$

45.  $F(x) = \int_0^x \tan^{-1} t dt, \quad \text{(a) } [0, 0.5] \quad \text{(b) } [0, 1]$

46.  $F(x) = \int_0^x \frac{\ln(1+t)}{t} dt, \quad \text{(a) } [0, 0.5] \quad \text{(b) } [0, 1]$

**Belirsiz Formlar**

47–56 alıştırmalarındaki limitleri serilerle hesaplayın.

47.  $\lim_{x \rightarrow 0} \frac{e^x - (1+x)}{x^2}$

48.  $\lim_{x \rightarrow 0} \frac{e^x - e^{-x}}{x}$

49.  $\lim_{t \rightarrow 0} \frac{1 - \cos t - (t^2/2)}{t^4}$

50.  $\lim_{\theta \rightarrow 0} \frac{\sin \theta - \theta + (\theta^3/6)}{\theta^5}$

51.  $\lim_{y \rightarrow 0} \frac{y - \tan^{-1} y}{y^3}$

52.  $\lim_{y \rightarrow 0} \frac{\tan^{-1} y - \sin y}{y^3 \cos y}$

53.  $\lim_{x \rightarrow \infty} x^2(e^{-1/x^2} - 1)$

54.  $\lim_{x \rightarrow \infty} (x+1) \sin \frac{1}{x+1}$

55.  $\lim_{x \rightarrow 0} \frac{\ln(1+x^2)}{1 - \cos x}$

56.  $\lim_{x \rightarrow 2} \frac{x^2 - 4}{\ln(x-1)}$

**Teori ve Örnekler**

57.  $\ln(1+x)$ 'in Taylor serisinde  $x$  yerine  $-x$  yazarak  $\ln(1-x)$  serisini bulun. Sonra bunu  $\ln(1+x)$ 'in Taylor serisinden çıkararak,  $|x| < 1$  için,

$$\ln \frac{1+x}{1-x} = 2 \left( x + \frac{x^3}{3} + \frac{x^5}{5} + \dots \right).$$

olduğunu gösterin.

58.  $\ln(1.1)$ 'i büyülüklüğü  $10^{-8}$ 'den küçük bir hatayla bulmak için  $\ln(1+x)$ 'in Taylor serisinde kaç terim almalısınız? Yanınızı açıklayın.

59. Alterne Seriler Tahmin Teoremine göre,  $\pi/4$ 'ü büyülüklüğü  $10^{-3}$ 'ten küçük bir hatayla bulduğundan emin olmak için  $\tan^{-1} 1$ 'in Taylor serisinin kaç terimini almanız gereklidir? Yanınızı açıklayın.

60.  $f(x) = \tan^{-1} x$ 'in Taylor serisinin  $|x| > 1$  için iraksadığını gösterin.

**T 61. Pi'yi hesaplamak**

$$\pi = 48 \tan^{-1} \frac{1}{18} + 32 \tan^{-1} \frac{1}{57} - 20 \tan^{-1} \frac{1}{239}$$

denkleminin sağ tarafındaki her terimi büyülüklüğü  $10^{-6}$ 'dan küçük bir hatayla hesaplamak için  $\tan^{-1} x$ 'in Taylor serisinin kaç terimini almanız gereklidir? Bunun tersine,  $\sum_{n=1}^{\infty} (1/n^2) \pi^2/6$ 'ya o kadar yavaş yakınsar ki, 50 terim bile iki ondalık basmak hassaslık vermez.

62.  $\tan t$ 'nin Taylor serisinin sıfırdan farklı ilk üç terimini 0'dan  $x$ 'e kadar integre ederek,  $\ln \sec x$ 'in Taylor serisinin ilk üç terimini elde edin.

63. a.  $\sin^{-1} x$ 'in Taylor serisinin sıfırdan farklı ilk dört terimini üretmek için Binom serisi ve

$$\frac{d}{dx} \sin^{-1} x = (1 - x^2)^{-1/2}$$

eşitliğini kullanın. Yakınsaklık yarıçapı nedir?

- b.  **$\cos^{-1} x$  için bir seri** (a) şıklındaki sonucu kullanarak  $\cos^{-1} x$ 'in Taylor serisinin sıfırdan farklı ilk beş terimini bulun.

64. a.  **$\sinh^{-1} x$  için bir seri**

$$\sinh^{-1} x = \int_0^x \frac{dt}{\sqrt{1 + t^2}}.$$

fonksiyonunun Taylor serisinin sıfırdan farklı ilk dört terimini bulun.

- T b. (a) şıklındaki serinin ilk üç terimini kullanarak  $\sinh^{-1} 0.25$ 'i hesaplayın. Hesaplama hatasının büyüklüğünün bir üst sınırını bulun.  
 65.  $-1/(1+x)$  serisinden  $1/(1+x)^2$ 'in Taylor serisini elde edin.  
 66.  $2x/(1+x^2)^2$  için bir seri bulmak üzere  $1/(1+x)^2$ 'nin Taylor serisini kullanın.

- T 67.  **$\pi$ 'yi hesaplamak** İngiliz matematikçi Wallis

$$\frac{\pi}{4} = \frac{2 \cdot 4 \cdot 4 \cdot 6 \cdot 6 \cdot 8 \cdots}{3 \cdot 3 \cdot 5 \cdot 5 \cdot 7 \cdot 7 \cdots}$$

formülünü keşfetti. Bu formülle  $\pi$ 'yi 2 ondalık basamak hassaslıkla bulun.

- T 68. Alıştırma 57'deki formülü kullanarak  $n = 1, 2, 3, \dots, 10$  için bir doğal logaritma,  $\ln n$ , tablosu oluşturun fakat,  $\ln 4 = 2 \ln 2$ ,  $\ln 6 = \ln 2 + \ln 3$ ,  $\ln 8 = 3 \ln 2$ ,  $\ln 9 = 2 \ln 3$  ve  $\ln 10 = \ln 2 + \ln 5$  bağıntılarından yararlanarak işi çok az logaritmanın serisini hesaplamaya indirgeyin. Alıştırma 57'de aşağıdaki değerleri yerine koymak işe başlayın:

$$\frac{1}{3}, \quad \frac{1}{5}, \quad \frac{1}{9}, \quad \frac{1}{13}$$

69.  **$\sin^{-1} x$  için bir seri**  $(1 - x^2)^{-1/2}$ 'nin binom serisini integre ederek,  $|x| < 1$  için aşağıdaki eşitliği gösterin.

$$\sin^{-1} x = x + \sum_{n=1}^{\infty} \frac{1 \cdot 3 \cdot 5 \cdots (2n-1)}{2 \cdot 4 \cdot 6 \cdots (2n)} \frac{x^{2n+1}}{2n+1}$$

70.  $|x| > 1$  için  $\tan^{-1} x$  serisi.

$$\tan^{-1} x = \frac{\pi}{2} - \frac{1}{x} + \frac{1}{3x^3} - \frac{1}{5x^5} + \cdots, \quad x > 1$$

$$\tan^{-1} x = -\frac{\pi}{2} - \frac{1}{x} + \frac{1}{3x^3} - \frac{1}{5x^5} + \cdots, \quad x < -1$$

serilerini

$$\frac{1}{1+t^2} = \frac{1}{t^2} \cdot \frac{1}{1+(1/t^2)} = \frac{1}{t^2} - \frac{1}{t^4} + \frac{1}{t^6} - \frac{1}{t^8} + \cdots$$

serisini birinci durumda  $x$ 'ten  $\infty$ 'a, ikincisindeyse  $-\infty$ 'dan  $x$ 'e kadar integre ederek bulun.

71.  $\sum_{n=1}^{\infty} \tan^{-1}(2/n^2)$ 'nın değeri

- a. İki açının farkının tanjantını kullanarak

$$\tan(\tan^{-1}(n+1) - \tan^{-1}(n-1)) = \frac{2}{n^2}$$

olduğunu gösterin.

b.

$$\sum_{n=1}^N \tan^{-1} \frac{2}{n^2} = \tan^{-1}(N+1) + \tan^{-1} N - \frac{\pi}{4}$$

olduğunu gösterin.

- c.  $\sum_{n=1}^{\infty} \tan^{-1} \frac{2}{n^2}$  değerini bulun.

## 11.11

### Fourier Serileri

#### TARİHSEL BİYOGRAFİ

Jean-Baptiste Joseph Fourier  
(1766–1830)

Taylor serilerinin bir  $f$  fonksiyonuna polinomlarla yaklaşmak için nasıl kullanılabileceğini gördük. Taylor polinomları özel bir  $x = a$  noktası yakınlarında  $f$  fonksiyonuna uyan bir elbise verir, fakat uzak noktalarda yaklaşımındaki hata büyük olabilir. Geniş aralıklar üzerinde çoğu kez iyi yaklaşımlar veren ve Taylor polinomlarının işe yaramadığı sürekli fonksiyonlarda çoğu kez işe yaranan başka bir yöntem vardır. Joseph Fourier tarafından tanıtılan bu yöntem sinüs ve kosinüs fonksiyonları toplamları ile fonksiyonlara yaklaşır. Yöntem, radyo sinyalleri ve alternatif akım gibi periyodik fonksiyonları incelemek, ıslı iletimi problemlerini çözmek ve bilimde ve mühendislikteki birçok başka problemi çözmek için çok etverişlidir.

Bir  $f$  fonksiyonuna  $[0, 2\pi]$  aralığı üzerinde sinüs ve kosinüs fonksiyonlarının bir toplamı ile yaklaşmak istediğimizi varsayıyın,

$$\begin{aligned} f_n(x) &= a_0 + (a_1 \cos x + b_1 \sin x) + (a_2 \cos 2x + b_2 \sin 2x) + \cdots \\ &\quad + (a_n \cos nx + b_n \sin nx) \end{aligned}$$

veya toplam notasyonu ile

$$f_n(x) = a_0 + \sum_{k=1}^n (a_k \cos kx + b_k \sin kx) \quad [1]$$

$a_0, a_1, a_2, \dots, a_n$  ve  $b_1, b_2, \dots, b_n$  sabitleri için,  $f_n(x)$ 'i  $f(x)$ 'e "muhtemel en iyi" yaklaşım yapacak, değerler seçmek isteyebiliriz. "Muhtemel en iyi" kavramı aşağıdaki şekilde tanımlanır:

1.  $f_n(x)$  ve  $f(x)$ , 0'dan  $2\pi$ 'ye integre edildiklerinde aynı değeri verirler.
2.  $f_n(x) \cos kx$  ve  $f(x) \cos kx$ , ( $k = 1, \dots, n$ ) 0'dan  $2\pi$ 'ye integre edildiklerinde aynı değeri verirler.
3.  $f_n(x) \sin kx$  ve  $f(x) \sin kx$ , ( $k = 1, \dots, n$ ) 0'dan  $2\pi$ 'ye integre edildiklerinde aynı değeri verirler.

$f_n$  üzerine toplam  $2n+1$  koşul koyuyoruz:

$$\begin{aligned} \int_0^{2\pi} f_n(x) dx &= \int_0^{2\pi} f(x) dx, \\ \int_0^{2\pi} f_n(x) \cos kx dx &= \int_0^{2\pi} f(x) \cos kx dx, \quad k = 1, \dots, n, \\ \int_0^{2\pi} f_n(x) \sin kx dx &= \int_0^{2\pi} f(x) \sin kx dx, \quad k = 1, \dots, n. \end{aligned}$$

Aşağıdaki şekilde devam ederek  $a_0, a_1, a_2, \dots, a_n$  ve  $b_1, b_2, \dots, b_n$  katsayıları bütün bu koşullar sağlanacak şekilde seçilebilir.  $\cos kx$  ve  $\sin kx$ 'in  $[0, 2\pi]$  üzerindeki integralleri  $k \geq 1$  için sıfır olduğundan (1) Denkleminin iki tarafını 0'dan  $2\pi$ 'ye integre etmek

$$\int_0^{2\pi} f_n(x) dx = 2\pi a_0$$

verir. Sadece  $a_0$  sabit terimi  $f_n$ 'nin  $[0, 2\pi]$  üzerindeki integraline katkıda bulunur. Benzer bir hesaplama bütün diğer terimler için uygulanır. (1) Denkleminin iki tarafını  $\cos x$  ile çarpar ve 0'dan  $2\pi$ 'ye integre edersek

$$\int_0^{2\pi} f_n(x) \cos x dx = \pi a_1$$

elde ederiz. Bu,

$$\int_0^{2\pi} \cos px \cos qx dx = \pi$$

ile birlikte  $p, q$  ve  $m$  tamsayılar ve  $p \neq q$  iken

$$\int_0^{2\pi} \cos px \cos qx dx = \int_0^{2\pi} \cos px \sin mx dx = \int_0^{2\pi} \sin px \sin qx dx = 0$$

olmasından elde edilir (9–13 alıştırmaları). (1) Denkleminin iki tarafını  $\sin x$  ile çarpar ve 0'dan  $2\pi$ 'ye integre edersek

$$\int_0^{2\pi} f_n(x) \sin x \, dx = \pi b_1$$

elde ederiz.

$$\cos 2x, \sin 2x, \dots, \cos nx, \sin nx$$

ile benzer tarzda devam ederek her defasında sıfırdan farklı sadece bir terim, sinüs kare ile veya kosinüs kare ile bir terim, elde ederiz. Özet olarak,

$$\int_0^{2\pi} f_n(x) \, dx = 2\pi a_0$$

$$\int_0^{2\pi} f_n(x) \cos kx \, dx = \pi a_k, \quad k = 1, \dots, n$$

$$\int_0^{2\pi} f_n(x) \sin kx \, dx = \pi b_k, \quad k = 1, \dots, n$$

$f_n$  yerine  $f$  yazıldığında soldaki integraller aynı kalacak şekilde  $f_n$ 'yi seçeriz. Dolayısıyla bu eşitlikleri,  $f$ 'den  $a_0, a_1, a_2, \dots, a_n$  ve  $b_1, b_2, \dots, b_n$  katsayılarını bulmak için kullanabiliriz:

$$a_0 = \frac{1}{2\pi} \int_0^{2\pi} f(x) \, dx \quad [2]$$

$$a_k = \frac{1}{\pi} \int_0^{2\pi} f(x) \cos kx \, dx, \quad k = 1, \dots, n \quad [3]$$

$$b_k = \frac{1}{\pi} \int_0^{2\pi} f(x) \sin kx \, dx, \quad k = 1, \dots, n \quad [4]$$

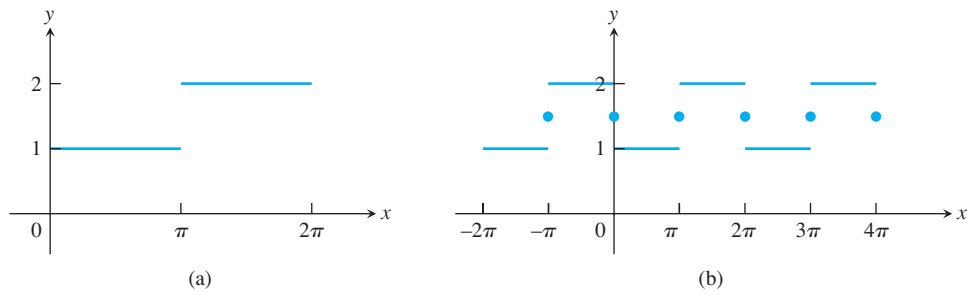
Bu katsayıları bulmak için gerekli tek koşul yukarıdaki integrallerin var olmasıdır.  $n$ 'yi sonsuza götürür ( $n \rightarrow \infty$ ) ve bu kuralları bir sonsuz serinin katsayılarını elde etmek için kullanırsak sonuçta elde edilen toplama  $f(x)$ 'in **Fourier serisi** denir

$$a_0 + \sum_{k=1}^{\infty} (a_k \cos kx + b_k \sin kx) \quad [5]$$

### ÖRNEK 1 Bir Fourier Serisi Açılımı Bulmak

Fourier serileri, Taylor serileri ile temsil edilemeyen bazı serileri temsil etmek için kullanılabilir. Örneğin Şekil 11.16a'da gösterilen  $f$  adım fonksiyonu

$$f(x) = \begin{cases} 1, & 0 \leq x \leq \pi \text{ ise} \\ 2, & \pi < x \leq 2\pi \text{ ise} \end{cases}$$



**ŞEKİL 11.16** (a)

$$f(x) = \begin{cases} 1, & 0 \leq x \leq \pi \\ 2, & \pi < x \leq 2\pi \end{cases}$$

adım fonksiyonu

(b)  $f'$ nin Fourier serisinin grafiği periyodiktir ve her süreksizlik noktasındaki değeri  $3/2$  dir (Örnek 1).

$f'$ nin Fourier serisinin katsayıları (2), (3) ve (4) Denklemleri kullanılarak hesaplanır.

$$a_0 = \frac{1}{2\pi} \int_0^{2\pi} f(x) dx$$

$$\equiv \frac{1}{\pi} \left( \int^{\pi}_0 1 dx + \int^{2\pi}_{\pi} 2 dx \right) \equiv \frac{3}{\pi}$$

$$\begin{aligned} a_k &= \frac{1}{\pi} \int_0^{2\pi} f(x) \cos kx \, dx \\ &= \frac{1}{\pi} \left( \int_0^{\pi} \cos kx \, dx + \int_{\pi}^{2\pi} 2 \cos kx \, dx \right) \\ &= \frac{1}{\pi} \left( \left[ \frac{\sin kx}{k} \right]_0^{\pi} + \left[ \frac{2 \sin kx}{k} \right]_{\pi}^{2\pi} \right) = 0, \quad k \geq 1 \end{aligned}$$

$$\begin{aligned} b_k &= \frac{1}{\pi} \int_0^{2\pi} f(x) \sin kx \, dx \\ &= \frac{1}{\pi} \left( \int_0^{\pi} \sin kx \, dx + \int_{\pi}^{2\pi} 2 \sin kx \, dx \right) \\ &= \frac{1}{\pi} \left( \left[ -\frac{\cos kx}{k} \right]_0^{\pi} + \left[ -\frac{2 \cos kx}{k} \right]_{\pi}^{2\pi} \right) \\ &= \frac{\cos k\pi - 1}{k\pi} = \frac{(-1)^k - 1}{k\pi}. \end{aligned}$$

Dolayısıyla,

$$a_0 = \frac{3}{2}, \quad a_1 = a_2 = \cdots = 0,$$

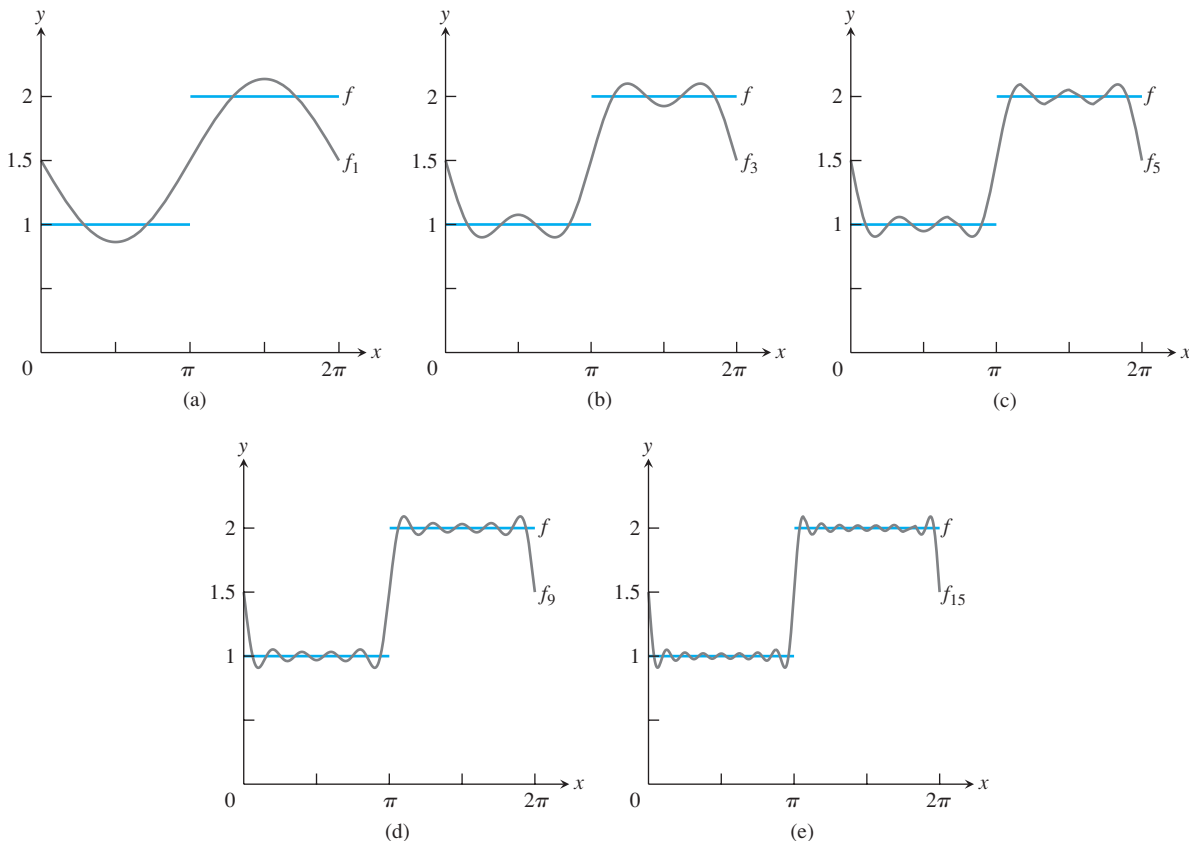
ve

$$b_1 = -\frac{2}{\pi}, \quad b_2 = 0, \quad b_3 = -\frac{2}{3\pi}, \quad b_4 = 0, \quad b_5 = -\frac{2}{5\pi}, \quad b_6 = 0, \dots$$

bulunur. Fourier serisi

$$\frac{3}{2} - \frac{2}{\pi} \left( \sin x + \frac{\sin 3x}{3} + \frac{\sin 5x}{5} + \dots \right).$$

dir. Şuna dikkat edin;  $f(x)$  fonksiyonunun 1'den 2'ye sıçradığı  $x = \pi$ 'de bütün sinüs terimleri ortadan kalkar ve serinin değeri olarak  $3/2$  kalır. Bu,  $f(\pi) = 1$  olduğundan  $f$ 'nin  $\pi$ 'deki değeri değildir. Fourier serisi ayrıca  $x = 0$ 'da ve  $x = 2\pi$ 'de de  $3/2$  değerini alır. Aslında, Fourier serisindeki bütün terimler periyodiktir,  $2\pi$  periyotlu, ve serinin  $x + 2\pi$ 'deki değeri  $x$ 'teki değeri ile aynıdır. Elde etmiş olduğumuz seri, tanım kümesi bütün reel sayılar olan ve  $2\pi$  uzunlığundaki her aralıkta tekrarlanan bir kalıpla Şekil 11.16b'de grafiği çizilen periyodik fonksiyonu temsil etmektedir. Fonksiyon,  $x = n\pi$ ,  $n = 0, \pm 1, \pm 2, \dots$  de sıçrama yapar ve bu noktalardaki değeri, her iki taraftan tek taraflı limitlerin ortalama değeri olan  $3/2$ dir.  $f$  fonksiyonunun Fourier serisinin yakınsaklılığı Şekil 11.17'de gösterilmiştir. ■



**ŞEKİL 11.17** Örnek 1'deki  $f(x) = \begin{cases} 1, & 0 \leq x \leq \pi \\ 2, & \pi < x \leq 2\pi \end{cases}$  fonksiyonunun  $f_1, f_3, f_5, f_9$  ve  $f_{15}$  Fourier yaklaşım fonksiyonları.

### Fourier Serilerinin Yakınsaklılığı

Taylor serileri bir fonksiyon ve türevlerinin tek bir  $x = a$  noktasındaki değerlerinden hesaplanır ve Örnek 1'deki  $f$  gibi sürekli fonksiyonların davranışlarını yansıtamazlar. Bir Fourier serisinin böyle fonksiyonları temsile etmekte kullanılabilmesinin nedeni, bir fonksiyonun Fourier serisinin bazı *integrallerin varlığına* dayanmasıdır. Oysa Taylor serisi bir fonksiyonun tek bir nokta civarındaki türevlerine dayanmaktadır. Bir fonksiyon sürekli olsa bile integrali var olabilir.

Fourier serilerini oluşturmak için kullanılan katsayılar tam olarak,  $f'$ ye  $f_n$  ile yaklaşımındaki hatanın karesinin integralini minimize edecek şekilde seçilmesi gerekenlerdir. Yani,  $a_0, a_1, a_2, \dots, a_n$  ve  $b_1, b_2, \dots, b_n$  katsayılarını söyleğimiz gibi seçmekle

$$\int_0^{2\pi} [f(x) - f_n(x)]^2 dx$$

integrali minimize edilir. Taylor serileri bir nokta civarında bir fonksiyona ve türevlerine yaklaşmak için kullanışlı iken, Fourier serileri bir aralık üzerine dağılmış bir hatayı minimize ederler.

Fourier serilerinin yakınsaklılığı ile ilgili bir sonucu ispatsız ifade ediyoruz. Bir fonksiyonun bir  $I$  aralığı üzerinde sonlu sayıda sürekli noktası varsa ve bu noktalarda her iki taraftan tek-yanlı limitler mevcut ise fonksiyon  $I$  aralığı üzerinde **parçalı sürekli** dir. (Bölüm 5, Ek-Alıştırmalar 11–18'e bakın.)

**TEOREM 24**  $f(x)$ , aralığında  $f$  ve  $f''$ 'nın parçalı sürekli olduğu bir fonksiyon olsun. Bu durumda  $f$ , sürekli olduğu bütün noktalarda kendi Fourier serisine eşittir.  $f$ 'nin sürekli olduğu bir noktasında Fourier serisi

$$\frac{f(c^+) + f(c^-)}{2}$$

değerine yakınsar. Burada  $f(c^+)$  ve  $f(c^-)$  değerleri  $c$ 'deki tek yanlı limitlerdir.

## ALIŞTIRMALAR 11.11

### Fourier Serileri Bulmak

1–8 alıştırmalarında, verilen fonksiyonun Fourier serisini bulun. Her bir fonksiyon çizin.

1.  $f(x) = 1 \quad 0 \leq x \leq 2\pi.$

2.  $f(x) = \begin{cases} 1, & 0 \leq x \leq \pi \\ -1, & \pi < x \leq 2\pi \end{cases}$

3.  $f(x) = \begin{cases} x, & 0 \leq x \leq \pi \\ x - 2\pi, & \pi < x \leq 2\pi \end{cases}$

4.  $f(x) = \begin{cases} x^2, & 0 \leq x \leq \pi \\ 0, & \pi < x \leq 2\pi \end{cases}$

5.  $f(x) = e^x \quad 0 \leq x \leq 2\pi.$

6.  $f(x) = \begin{cases} e^x, & 0 \leq x \leq \pi \\ 0, & \pi < x \leq 2\pi \end{cases}$

7.  $f(x) = \begin{cases} \cos x, & 0 \leq x \leq \pi \\ 0, & \pi < x \leq 2\pi \end{cases}$

8.  $f(x) = \begin{cases} 2, & 0 \leq x \leq \pi \\ -x, & \pi < x \leq 2\pi \end{cases}$

### Teori and Örnekler

9–13 alıştırmalarındaki sonuçları gerçekleyin.  $p$  ve  $q$  pozitif tam-sayılardır.

9.  $\int_0^{2\pi} \cos px dx = 0$  her  $p$  için

10.  $\int_0^{2\pi} \sin px dx = 0$  her  $p$  için
11.  $\int_0^{2\pi} \cos px \cos qx dx = \begin{cases} 0, & p \neq q \text{ ise} \\ \pi, & p = q \text{ ise} \end{cases}$
- (İpucu:  $\cos A \cos B = (1/2) [\cos(A+B) + \cos(A-B)]$ .)
12.  $\int_0^{2\pi} \sin px \sin qx dx = \begin{cases} 0, & p \neq q \text{ ise} \\ \pi, & p = q \text{ ise} \end{cases}$
- (İpucu:  $\sin A \sin B = (1/2) [\cos(A-B) - \cos(A+B)]$ .)
13.  $\int_0^{2\pi} \sin px \cos qx dx = 0$  her  $p$  ve  $q$  için
- (İpucu:  $\sin A \cos B = (1/2) [\sin(A+B) + \sin(A-B)]$ .)

14. Fonksiyonların toplamlarının Fourier Serileri  $f$  ve  $g$  Teorem 24'ün koşullarını sağlayan iki fonksiyon ise  $f + g$ 'nin  $[0, 2\pi]$ 'deki Fourier serisi  $f'$ 'nin Fourier serisi ile  $g'$ 'nin Fourier serisinin toplamı mıdır? Cevabınızı açıklayın.
15. Terim-terime türetme
- Örnek 3'teki  $f(x)$ 'in Fourier serisinin  $0 < x < 2\pi$  iken  $f(x)$ 'e yakınsadığını göstermek için Teorem 24'ü kullanın.
  - $f'(x) = 1$  olmasına rağmen, (a)'daki Fourier serisinin terim-terime türetilmesi ile elde edilen serinin iraksak olduğunu gösterin.
16. Örnek 4'te tanımlanan Fourier serisinin Değerini bulmak için Teorem 24'ü kullanın ve  $\frac{\pi^2}{6} = \sum_{n=1}^{\infty} \frac{1}{n^2}$  olduğunu gösterin.
17. Sonsuz bir dizi nedir? Böyle bir dizinin yakınsaması veya iraksaması ne anlama gelir? Örnekler verin.
18. Azalmayan bir dizi nedir? Hangi koşullar altında böyle bir dizinin limiti vardır? Örnekler verin.
19. Dizilerin limitlerini hesaplamak için hangi teoremler vardır? Örnekler verin.
20. Hangi teorem bazen bir dizinin limitini hesaplamak için l'Hôpital kuralını kullanmamızı sağlar? Bir örnek verin.
21. Diziler ve serilerle çalışırken, hangi altı dizi limiti karşımıza çıkabilir?
22. Sonsuz bir seri nedir? Böyle bir serinin yakınsaması veya iraksaması ne anlama gelir? Örnekler verin.
23. Bir geometrik seri nedir? Böyle bir seri ne zaman yakınsar veya iraksar? Yakınsadığında, toplamı nedir? Örnekler verin.
24. Geometrik serilerin dışında, hangi yakınsak ve iraksak serileri biliyorsunuz?
25. Iraksaklılık için  $n$ . Terim Testi nedir? Testin altında hangi fikir yatar?
26. Yakınsak serilerin terim-terime toplamları ve farkları ile iraksak ve yakınsak serilerin bir sabitle çarpımı hakkında ne söylenebilir?
27. Bir yakınsak seriye sayıda terim eklersiniz ne olur? Peki ya iraksak bir seriye? Yakınsak veya iraksak bir seriden sonlu sayıda terim çıkarırsanz ne olur?
28. Bir seriyi nasıl yeniden indislersiniz? Bunu neden yapmak isteyebilirsiniz?
29. Hangi koşullar altında terimleri negatif olmayan sonsuz bir seri yakınsar veya iraksar? Neden terimleri negatif olmayan serilerle çalışıyoruz?
30. İntegral Testi nedir? Arkasındaki neden nedir? Kullanımına bir örnek verin.
31.  $p$ -serileri ne zaman yakınsar veya iraksar? Nereden biliyorsunuz? Yakınsak ve iraksak  $p$ -serilerine örnekler verin.
32. Doğrudan Karşılaştırma Testi ve Limit Karşılaştırma Testi nedir? Bu testlerin altında yatan neden nedir? Kullanımlarına örnekler verin.
33. Oran ve Kök Testleri nedir? Her zaman yakınsaklılığı veya iraksaklılığı belirleyecek bilgiyi verirler mi? Örnekler verin.
34. Alterne seri nedir? Böyle bir serinin yakınsaklığını belirlemek için hangi teorem vardır?
35. Bir alterne serinin toplamını bulurken yapılan hatayı serinin kısmi toplamlarından biriyle nasıl belirlersiniz? Belirlemenin altında yatan neden nedir?
36. Mutlak yakınsaklık ve koşullu yakınsaklık nedir? İki arasındaki ilişki nedir?
37. Mutlak yakınsak veya koşullu yakınsak bir serinin terimlerini yediden düzenlemeye hakkında ne biliyorsunuz? Örnek verin.
38. Bir kuvvet serisi nedir? Bir kuvvet serisinin yakınsaklığını nasıl test edersiniz? Olası sonuçlar nedir?
39. Aşağıdakiler hakkındaki temel bilgiler nedir?
- Kuvvet serilerinin terim-terime türevinin alınması?
  - Kuvvet serilerinin terim-terim integrasyonu?
  - Kuvvet serilerinin çarpımı?
- örnekler verin.
40. Bir  $f(x)$  fonksiyonunun  $x = a$ 'da ürettiği Taylor serisi nedir? Seriyi inşa etmek için  $f$  hakkında ne bilmeniz gereklidir? Bir örnek verin.
41. Maclaurin serisi nedir?
42. Bir Taylor serisi her zaman üretildiği fonksiyona yakınsar mı? Açıklayın.
43. Taylor polinomları nedir? Yararları nedir?

## Bölüm 11

### Bölüm Tekrar Soruları

28. Taylor formülü nedir? Fonksiyonlara yaklaşım yapmak için Taylor polinomlarını kullanmaktan gelen hata hakkında ne söyler? Özel olarak, Taylor formülü bir lineerizasyon ve bir kuadratik yaklaşımındaki hata için ne söyler?
29. Binom serisi nedir? Hangi aralıkta yakınsar? Nasıl kullanılır?
30. Bazen kuvvet serilerini başlangıç değer problemlerini çözmek için nasıl kullanırsınız?
31. Bazen, elemanter olmayan integrallerin değerlerini tahmin etmek için kuvvet serilerini nasıl kullanırsınız?

32.  $1/(1-x)$ ,  $1/(1+x)$ ,  $e^x$ ,  $\sin x$ ,  $\cos x$ ,  $\ln(1+x)$ ,  $\ln[(1+x)/(1-x)]$  ve  $\tan^{-1}x$ 'in Taylor serileri nedir? Bu seriler yerine kısmi toplamlarını yazmanın getireceği hatayı nasıl tahmin edersiniz?
33. Fourier serisi nedir?  $[0, 2\pi]$  aralığında tanımlı bir  $f(x)$  fonksiyonu için  $a_0, a_1, a_2, \dots$  ve  $b_1, b_2, \dots$  Fourier katsayılarını nasıl hesaplaysınız?
34.  $f$  ve  $f'$   $[0, 2\pi]$  üzerinde parçalı sürekli iken  $f(x)$ 'in Fourier serisinin yakınsaklığilarındaki teoremi ifade edin.

## Bölüm 11

### Problemler

#### Yakınsak veya Iraksak Diziler

1–18 problemlerinde  $n$ .inci terimleri görülen dizilerin hangileri yakınsar, hangileri iraksaktır? Yakınsak her dizinin limitini bulun.

$$1. a_n = 1 + \frac{(-1)^n}{n}$$

$$2. a_n = \frac{1 - (-1)^n}{\sqrt{n}}$$

$$3. a_n = \frac{1 - 2^n}{2^n}$$

$$4. a_n = 1 + (0.9)^n$$

$$5. a_n = \sin \frac{n\pi}{2}$$

$$6. a_n = \sin n\pi$$

$$7. a_n = \frac{\ln(n^2)}{n}$$

$$8. a_n = \frac{\ln(2n+1)}{n}$$

$$9. a_n = \frac{n + \ln n}{n}$$

$$10. a_n = \frac{\ln(2n^3+1)}{n}$$

$$11. a_n = \left(\frac{n-5}{n}\right)^n$$

$$12. a_n = \left(1 + \frac{1}{n}\right)^{-n}$$

$$13. a_n = \sqrt[n]{\frac{3^n}{n}}$$

$$14. a_n = \left(\frac{3}{n}\right)^{1/n}$$

$$15. a_n = n(2^{1/n} - 1)$$

$$16. a_n = \sqrt[n]{2n+1}$$

$$17. a_n = \frac{(n+1)!}{n!}$$

$$18. a_n = \frac{(-4)^n}{n!}$$

#### Yakınsak Seriler

19–24 problemlerindeki serilerin toplamlarını bulun.

$$19. \sum_{n=3}^{\infty} \frac{1}{(2n-3)(2n-1)}$$

$$20. \sum_{n=2}^{\infty} \frac{-2}{n(n+1)}$$

$$21. \sum_{n=1}^{\infty} \frac{9}{(3n-1)(3n+2)}$$

$$22. \sum_{n=3}^{\infty} \frac{-8}{(4n-3)(4n+1)}$$

$$23. \sum_{n=0}^{\infty} e^{-n}$$

$$24. \sum_{n=1}^{\infty} (-1)^n \frac{3}{4^n}$$

#### Yakınsak veya Iraksak Seriler

25–40 problemlerindeki serilerin hangileri mutlak yakınsak, hangileri koşullu yakınsak ve hangileri iraksaktır? Yanıtlarınızı açıklayın.

$$25. \sum_{n=1}^{\infty} \frac{1}{\sqrt{n}}$$

$$26. \sum_{n=1}^{\infty} \frac{-5}{n}$$

$$27. \sum_{n=1}^{\infty} \frac{(-1)^n}{\sqrt{n}}$$

$$28. \sum_{n=1}^{\infty} \frac{1}{2n^3}$$

$$29. \sum_{n=1}^{\infty} \frac{(-1)^n}{\ln(n+1)}$$

$$30. \sum_{n=2}^{\infty} \frac{1}{n(\ln n)^2}$$

$$31. \sum_{n=1}^{\infty} \frac{\ln n}{n^3}$$

$$32. \sum_{n=3}^{\infty} \frac{\ln n}{\ln(\ln n)}$$

$$33. \sum_{n=1}^{\infty} \frac{(-1)^n}{n\sqrt{n^2+1}}$$

$$34. \sum_{n=1}^{\infty} \frac{(-1)^n 3n^2}{n^3+1}$$

$$35. \sum_{n=1}^{\infty} \frac{n+1}{n!}$$

$$36. \sum_{n=1}^{\infty} \frac{(-1)^n (n^2+1)}{2n^2+n-1}$$

$$37. \sum_{n=1}^{\infty} \frac{(-3)^n}{n!}$$

$$38. \sum_{n=1}^{\infty} \frac{2^n 3^n}{n^n}$$

$$39. \sum_{n=1}^{\infty} \frac{1}{\sqrt{n(n+1)(n+2)}}$$

$$40. \sum_{n=2}^{\infty} \frac{1}{n\sqrt{n^2-1}}$$

#### Kuvvet Serileri

41–50 problemlerinde, (a) serinin yakınsaklık yarıçapı ve aralığını bulun. Sonra serinin (b) mutlak yakınsak ve (c) koşullu yakınsak olduğu  $x$  değerlerini belirleyin.

$$41. \sum_{n=1}^{\infty} \frac{(x+4)^n}{n3^n}$$

$$42. \sum_{n=1}^{\infty} \frac{(x-1)^{2n-2}}{(2n-1)!}$$

$$43. \sum_{n=1}^{\infty} \frac{(-1)^{n-1}(3x-1)^n}{n^2}$$

$$44. \sum_{n=0}^{\infty} \frac{(n+1)(2x+1)^n}{(2n+1)2^n}$$

$$45. \sum_{n=1}^{\infty} \frac{x^n}{n^n}$$

$$46. \sum_{n=1}^{\infty} \frac{x^n}{\sqrt{n}}$$

47.  $\sum_{n=0}^{\infty} \frac{(n+1)x^{2n-1}}{3^n}$

48.  $\sum_{n=0}^{\infty} \frac{(-1)^n(x-1)^{2n+1}}{2n+1}$

49.  $\sum_{n=1}^{\infty} (\operatorname{csch} n)x^n$

50.  $\sum_{n=1}^{\infty} (\coth n)x^n$

### Maclaurin Serisi

51–56 problemlerindeki serilerin her biri bir  $f(x)$  fonksiyonunun  $x = 0$  noktasındaki Taylor serisinin belirli bir noktadaki değeridir. Hangi fonksiyon ve hangi nokta? Serinin toplamı nedir?

51.  $1 - \frac{1}{4} + \frac{1}{16} - \cdots + (-1)^n \frac{1}{4^n} + \cdots$

52.  $\frac{2}{3} - \frac{4}{18} + \frac{8}{81} - \cdots + (-1)^{n-1} \frac{2^n}{n3^n} + \cdots$

53.  $\pi - \frac{\pi^3}{3!} + \frac{\pi^5}{5!} - \cdots + (-1)^n \frac{\pi^{2n+1}}{(2n+1)!} + \cdots$

54.  $1 - \frac{\pi^2}{9 \cdot 2!} + \frac{\pi^4}{81 \cdot 4!} - \cdots + (-1)^n \frac{\pi^{2n}}{3^{2n}(2n)!} + \cdots$

55.  $1 + \ln 2 + \frac{(\ln 2)^2}{2!} + \cdots + \frac{(\ln 2)^n}{n!} + \cdots$

56.  $\frac{1}{\sqrt{3}} - \frac{1}{9\sqrt{3}} + \frac{1}{45\sqrt{3}} - \cdots$   
 $+ (-1)^{n-1} \frac{1}{(2n-1)(\sqrt{3})^{2n-1}} + \cdots$

57–64 problemlerindeki fonksiyonların  $x = 0$ 'daki Taylor serilerini bulun.

57.  $\frac{1}{1-2x}$

58.  $\frac{1}{1+x^3}$

59.  $\sin \pi x$

60.  $\sin \frac{2x}{3}$

61.  $\cos(x^{5/2})$

62.  $\cos \sqrt{5}x$

63.  $e^{(\pi x)/2}$

64.  $e^{-x^2}$

### Taylor Serileri

65–68 problemlerinde,  $f$ 'nin  $x = a$ 'da ürettiği Taylor serisinin sıfırдан farklı ilk dört terimini bulun.

65.  $f(x) = \sqrt{3+x^2} \quad x = -1$

66.  $f(x) = 1/(1-x) \quad x = 2$

67.  $f(x) = 1/(x+1) \quad x = 3$

68.  $f(x) = 1/x \quad x = a > 0$

### Başlangıç Değer Problemleri

69–76 Problemlerindeki başlangıç değer problemlerini çözmek için kuvvet serileri kullanın.

69.  $y' + y = 0, \quad y(0) = -1 \quad 70. \quad y' - y = 0, \quad y(0) = -3$

71.  $y' + 2y = 0, \quad y(0) = 3 \quad 72. \quad y' + y = 1, \quad y(0) = 0$

73.  $y' - y = 3x, \quad y(0) = -1 \quad 74. \quad y' + y = x, \quad y(0) = 0$

75.  $y' - y = x, \quad y(0) = 1 \quad 76. \quad y' - y = -x, \quad y(0) = 2$

### Elemanter Olmayan İntegraler

77–80 Problemlerde, integrallerin değerine büyülüklüğü  $10^{-8}$ 'den küçük bir hataya yaklaşım yapmak için seri kullanın. (Yanıt bölümü integrallerin değerlerini 10 ondalık basamağa yuvarlanmış olarak verir.)

77.  $\int_0^{1/2} e^{-x^3} dx$

78.  $\int_0^1 x \sin(x^3) dx$

79.  $\int_0^{1/2} \frac{\tan^{-1} x}{x} dx$

80.  $\int_0^{1/64} \frac{\tan^{-1} x}{\sqrt{x}} dx$

### Belirsiz Formlar

81–86 problemlerde:



a. Limiti hesaplamak için kuvvet serisi kullanın.

b. Hesabınızı desteklemek için bir grafik çizici kullanın.

81.  $\lim_{x \rightarrow 0} \frac{7 \sin x}{e^{2x} - 1}$

82.  $\lim_{\theta \rightarrow 0} \frac{e^\theta - e^{-\theta} - 2\theta}{\theta - \sin \theta}$

83.  $\lim_{t \rightarrow 0} \left( \frac{1}{2 - 2 \cos t} - \frac{1}{t^2} \right)$

84.  $\lim_{h \rightarrow 0} \frac{(\sin h)/h - \cos h}{h^2}$

85.  $\lim_{z \rightarrow 0} \frac{1 - \cos^2 z}{\ln(1-z) + \sin z}$

86.  $\lim_{y \rightarrow 0} \frac{y^2}{\cos y - \cosh y}$

87.  $\sin 3x$ 'in bir seri temsilini kullanarak,

$$\lim_{x \rightarrow 0} \left( \frac{\sin 3x}{x^3} + \frac{r}{x^2} + s \right) = 0.$$

olmasını sağlayacak  $r$  ve  $s$  değerlerini bulun.

88. a. Bölüm 11.10, Örnek 9'daki  $\csc x \approx 1/x + x/6$  yaklaşımının  $\sin x \approx 6x/(6+x^2)$  yaklaşımına yol açtığını gösterin.

b.  $f(x) = \sin x - x$  ve  $g(x) = \sin x - (6x/(6+x^2))$  fonksiyonlarının grafiklerini karşılaştırarak  $\sin x \approx x$  ve  $\sin x \approx 6x/(6+x^2)$  yaklaşımlarının hassaslıklarını karşılaştırın. Bulduklarınızı tanımlayın.

### Teori ve Örnekler

89. a.

$$\sum_{n=1}^{\infty} \left( \sin \frac{1}{2n} - \sin \frac{1}{2n+1} \right)$$

serisinin yakınsadığını gösterin.

b. Serinin toplamına yaklaşım yapmak için sinüslerin  $n = 20$ 'ye kadar toplamının kullanılmasının getireceği hatanın büyülüğünü bulun. Yaklaşım çok mu büyük, çok mu küçütür? Yanıtınızı açıklayın.

90. a.  $\sum_{n=1}^{\infty} \left( \tan \frac{1}{2n} - \tan \frac{1}{2n+1} \right)$  serisinin yakınsadığını gösterin.

b. Serinin toplamına yaklaşım yapmak için tanjantların  $-\tan(1/41)$ 'e kadar toplamının kullanılmasının getireceği hatanın büyülüğünü bulun. Yaklaşım çok mu büyük, çok mu küçütür? Yanıtınızı açıklayın.

91. Aşağıdaki serinin yakınsaklık yarıçapını bulun.

$$\sum_{n=1}^{\infty} \frac{2 \cdot 5 \cdot 8 \cdot \dots \cdot (3n-1)}{2 \cdot 4 \cdot 6 \cdot \dots \cdot (2n)} x^n.$$

92. Aşağıdaki serinin yakınsaklık yarıçapını bulun.

$$\sum_{n=1}^{\infty} \frac{3 \cdot 5 \cdot 7 \cdot \dots \cdot (2n+1)}{4 \cdot 9 \cdot 14 \cdot \dots \cdot (5n-1)} (x-1)^n$$

93.  $\sum_{n=2}^{\infty} \ln(1 - (1/n^2))$  serisinin  $n$ . kısmi toplamının bir kapalı-form formülünü bulun ve bunu kullanarak serinin yakınsaklığını veya iraksaklılığını belirleyin.

94. Serinin  $n$ . kısmi toplamının  $n \rightarrow \infty$  iken limitini bularak  $\sum_{k=2}^{\infty} (1/(k^2 - 1))$  toplamını hesaplayın.

95. a. Aşağıdaki serinin yakınsaklık aralığını bulun.

$$\begin{aligned} y = 1 + \frac{1}{6}x^3 + \frac{1}{180}x^6 + \dots \\ + \frac{1 \cdot 4 \cdot 7 \cdots (3n-2)}{(3n)!} x^{3n} + \dots \end{aligned}$$

- b. Serinin tanımladığı fonksiyonun

$$\frac{d^2y}{dx^2} = x^a y + b$$

şeklinde bir diferansiyel denklemi sağladığını gösterin ve  $a$  ile  $b$  sabitlerini bulun.

96. a.  $x^2/(1+x)$  fonksiyonunun Maclaurin serisini bulun.

- b. Seri  $x = 1$ 'de yakınsar mı? Açıklayın.

97.  $\sum_{n=1}^{\infty} a_n$  ve  $\sum_{n=1}^{\infty} b_n$  negatif olmayan sayıların yakınsak serileriyse,  $\sum_{n=1}^{\infty} a_n b_n$  hakkında bir şey söylenebilir mi? Yanınızı açıklayın.

98.  $\sum_{n=1}^{\infty} a_n$  ve  $\sum_{n=1}^{\infty} b_n$  negatif olmayan sayıların iraksak serileriyse,  $\sum_{n=1}^{\infty} a_n b_n$  hakkında bir şey söylenebilir mi? Yanınızı açıklayın.

99.  $\{x_n\}$  dizisinin ve  $\sum_{k=1}^{\infty} (x_{k+1} - x_k)$  serisinin ikisinin de yakınsayacağını veya ikisinin de iraksayacağını ispatlayın.

100.  $\sum_{n=1}^{\infty} a_n$  yakınsak ise ve her  $n$  için  $a_n > 0$  ise  $\sum_{n=1}^{\infty} (a_n/(1+a_n))$  serisinin de yakınsayacağını gösterin.

101. (Bölüm 4.7, Alıştırma 27'nin devamı) Bölüm 4.7'deki Alıştırma 27'yi yaptıysanız, pratikte Newton yönteminin  $f(x) = (x-1)^{40}$ , in kökünden,  $x = 1$ , yararlı bir tahminini veremeyecek kadar uzakta durduğunu görmüşsunuzdur. Yine de  $x_0 \neq 1$  olan herhangi bir başlama değeri için, Newton yönteminin ürettiği yaklaşımaların  $x_0, x_1, x_2, \dots, x_n, \dots$  dizisinin gerçekten 1'e yakınsadığını gösterin.

102.  $a_1, a_2, a_3, \dots, a_n$ 'nin aşağıdaki koşulları sağlayan pozitif sayılar olduğunu varsayıñ.

- i.  $a_1 \geq a_2 \geq a_3 \geq \dots$ ;

- ii.  $a_2 + a_4 + a_8 + a_{16} + \dots$  serisi iraksar.

- Aşağıdaki serinin iraksadığını gösterin.

$$\frac{a_1}{1} + \frac{a_2}{2} + \frac{a_3}{3} + \dots$$

103. Problem 102'deki sonucu kullanarak

$$1 + \sum_{n=2}^{\infty} \frac{1}{n \ln n}$$

serisinin iraksadığını gösterin.

104.  $\int_0^1 x^2 e^x dx$  'in değerini çabuk bir şekilde tahmin etmek istediğiniz varsayıñ. Bunu yapmanın birkaç yolu vardır.

- a.  $\int_0^1 x^2 e^x dx$  'i tahmin etmek için  $n = 2$  ile yamuk kuralını kullanın.

- b.  $x^2 e^x$  'in Taylor serisinin sıfırdan farklı ilk üç terimini yazarak,  $x^2 e^x$  'in dördüncü Taylor polinomu  $P(x)$  'i elde edin.  $\int_0^1 P(x) dx$  için başka bir tahmin elde etmek üzere  $\int_0^1 x^2 e^x dx$  'i kullanın.

- c.  $f(x) = x^2 e^x$  'in ikinci türevi her  $x > 0$  için pozitiftir. Bunun, (a) şıklıkla elde edilen yamuk kuralı tahmininin neden çok büyük olduğu sonucuna varmanızı sağladığını açıklayın. (İpucu: İkinci türev size bir fonksiyonun grafiği hakkında ne söyler? Bununla, bu grafiğin altında kalan alana yapılan yamuk yaklaşımının ilişkisi nedir?

- d.  $f(x) = x^2 e^x$  'in bütün türevleri  $x > 0$  için pozitiftir. Bunun neden  $f(x)$  'e  $[0, 1]$  aralığında yapılan bütün Maclaurin polinom yaklaşımlarının çok küçük olduğu sonucuna varmanızı sağladığını açıklayın. (İpucu:  $f(x) = P_n(x) + R_n(x)$ ).

- e.  $\int_0^1 x^2 e^x dx$  'i kısmi integrasyonla hesaplayın.

## Fourier Serileri

105–108 problemlerindeki fonksiyonların Fourier serilerini bulun. Her fonksiyonu çizin.

105.  $f(x) = \begin{cases} 0, & 0 \leq x \leq \pi \\ 1, & \pi < x \leq 2\pi \end{cases}$

106.  $f(x) = \begin{cases} x, & 0 \leq x \leq \pi \\ 1, & \pi < x \leq 2\pi \end{cases}$

107.  $f(x) = \begin{cases} \pi - x, & 0 \leq x \leq \pi \\ x - 2\pi, & \pi < x \leq 2\pi \end{cases}$

108.  $f(x) = |\sin x|, \quad 0 \leq x \leq 2\pi$

**Bölüm 11****Ek ve İleri Alıştırmalar****Yakınsaklık veya Iraksaklık**

1–4 alıştırmalarındaki formüllerle tanımlanan  $\sum_{n=1}^{\infty} a_n$  serilerinin hangileri yakınsak, hangileri iraksaktır? Yanıtınızı açıklayın.

1.  $\sum_{n=1}^{\infty} \frac{1}{(3n-2)^{n+(1/2)}}$

2.  $\sum_{n=1}^{\infty} \frac{(\tan^{-1} n)^2}{n^2 + 1}$

3.  $\sum_{n=1}^{\infty} (-1)^n \tanh n$

4.  $\sum_{n=2}^{\infty} \frac{\log_n(n!)}{n^3}$

5–8 alıştırmalarındaki formüllerle tanımlanan  $\sum_{n=1}^{\infty} a_n$  serilerinin hangileri yakınsak, hangileri iraksaktır? Yanıtınızı açıklayın.

5.  $a_1 = 1, a_{n+1} = \frac{n(n+1)}{(n+2)(n+3)} a_n$

(İpucu: Birkaç terim yazarak, hangi çarpanların sadeleştiğini görün ve genelleştirin.)

6.  $a_1 = a_2 = 7, a_{n+1} = \frac{n}{(n-1)(n+1)} a_n \quad n \geq 2$  ise

7.  $a_1 = a_2 = 1, a_{n+1} = \frac{1}{1+a_n} \quad n \geq 2$  ise

8.  $a_n = 1/3^n \quad n$  tek ise,  $a_n = n/3^n \quad n$  çift ise

**Taylor Serilerinin Merkezlerini Seçmek**

$$\begin{aligned} f(x) &= f(a) + f'(a)(x-a) + \frac{f''(a)}{2!}(x-a)^2 + \dots \\ &\quad + \frac{f^{(n)}(a)}{n!}(x-a)^n + \frac{f^{(n+1)}(c)}{(n+1)!}(x-a)^{n+1} \end{aligned}$$

Taylor formülü  $f$ 'nin  $x$ 'teki değerini  $f$ 'nin ve türevlerinin  $x = a$ 'daki değerleri cinsinden ifade eder. Bundan dolayı, sayısal hesaplamalarda noktasının,  $f$ 'nin ve türevlerinin değerlerini bildiğimiz bir nokta olması gereklidir. Ayrıca,  $a$ 'nın da  $f$ 'nin ilgilendiğimiz değerlerine,  $(x-a)^{n+1}$ 'in kalansız olabileceğimiz kadar küçük olmasını sağlayacak şekilde yakın olmasını isteriz.

9–14 alıştırmalarında, fonksiyonu verilen nokta civarında temsil etmesi için hangi Taylor serisini seçersiniz? (Birden fazla yanıt olabilir.) Seçtiğiniz serinin sıfırdan farklı ilk dört terimini yazın.

9.  $\cos x \quad x = 1$  civarında      10.  $\sin x \quad x = 6.3$  civarında

11.  $e^x \quad x = 0.4$  civarında      12.  $\ln x \quad x = 1.3$  civarında

13.  $\cos x \quad x = 69$  civarında      14.  $\tan^{-1} x \quad x = 2$  civarında

**Teori ve Örnekler**

15.  $a$  ve  $b$ ,  $0 < a < b$  olmak üzere sabitler olsun.  $\{(a^n + b^n)^{1/n}\}$  dizisi yakınsar mı? Yakınsarsa, limiti nedir?

16. Aşağıdaki sonsuz serinin limitini bulun.

$$\begin{aligned} 1 + \frac{2}{10} + \frac{3}{10^2} + \frac{7}{10^3} + \frac{2}{10^4} + \frac{3}{10^5} + \frac{7}{10^6} + \frac{2}{10^7} \\ + \frac{3}{10^8} + \frac{7}{10^9} + \dots \end{aligned}$$

17. Aşağıdaki seriyi hesaplayın.

$$\sum_{n=0}^{\infty} \int_n^{n+1} \frac{1}{1+x^2} dx.$$

18.

$$\sum_{n=1}^{\infty} \frac{nx^n}{(n+1)(2x+1)^n}$$

serisinin mutlak yakınsak olduğu bütün  $x$  değerlerini bulun.

19. Euler sabitini genelleştirmek Şekil, ikinci türevi  $(0, \infty)$  aralığında pozitif olan iki kere türetilen, azalan bir pozitif  $f$  fonksiyonunun grafiğini göstermektedir. Her  $n$  için  $A_n$  sayısı, eğri ile  $(n, f(n))$  ve  $(n+1, f(n+1))$  noktalarını birleştiren aya benzer bölgemin alanıdır.

a. Şekli kullanarak  $\sum_{n=1}^{\infty} A_n < (1/2)(f(1) - f(2))$  olduğunu gösterin.

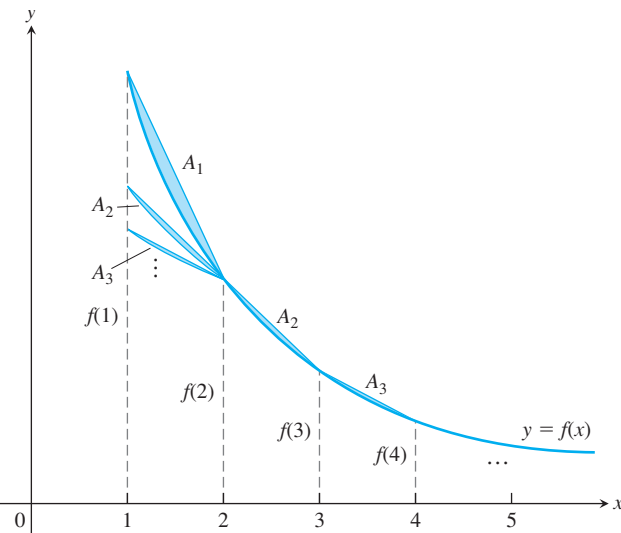
b. Aşağıdaki limitin varlığını gösterin.

$$\lim_{n \rightarrow \infty} \left[ \sum_{k=1}^n f(k) - \frac{1}{2}(f(1) + f(n)) - \int_1^n f(x) dx \right].$$

c. Sonra aşağıdaki limitin varlığını gösterin.

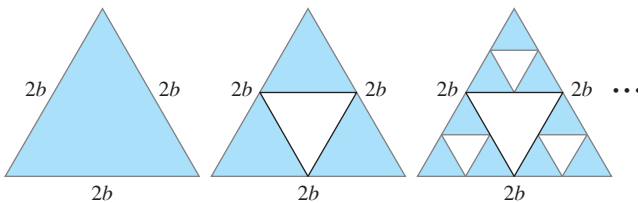
$$\lim_{n \rightarrow \infty} \left[ \sum_{k=1}^n f(k) - \int_1^n f(x) dx \right].$$

$f(x) = 1/x$  ise, (c) şıkkındaki limit Euler sabitidir (Bölüm 11.3, Alıştırma 41). (Kaynak: "Convergence with Pictures", P.J. Rippon, *American Mathematical Monthly*, Vol. 93, No. 6, 1986, sayfa 476-78.)



20. Bu alıştırma alt kenarları  $2b$  olan “yukarı doğru” eşkenar üçgenle ilgilidir. Şeklin devamının gösterdiği gibi esas üçgenden “aşağı doğru” eşkenar üçgenler çıkarılmaktadır. Esas üçgenden çıkarılan üçgenlerin alanlarının toplamı sonsuz bir seri oluşturur.

- Bu sonsuz seriyi bulun.
- Bu sonsuz serinin toplamını ve dolayısıyla esas üçgenden çıkarılan toplam alanı bulun.
- Esas üçgendeki her nokta çıkarılır mı? Neden çıktığını veya çıkmadığını açıklayın.



**T** 21.a.  $a$  bir sabit olmak üzere

$$\lim_{n \rightarrow \infty} \left(1 - \frac{\cos(a/n)}{n}\right)^n$$

limiti  $a$ 'nın değerine bağlı mıdır? Bağlıysa, nasıl?

- $a$  ve  $b$  birer sabit ve  $b \neq 0$  olmak üzere

$$\lim_{n \rightarrow \infty} \left(1 - \frac{\cos(a/n)}{bn}\right)^n$$

limiti  $b$ 'nın değerine bağlı mıdır? Bağlıysa, nasıl?

- (a) ve (b)'de bulduklarınızı analizle doğrulayın.

22.  $\sum_{n=1}^{\infty} a_n$  yakınsak ise

$$\sum_{n=1}^{\infty} \left(\frac{1 + \sin(a_n)}{2}\right)^n$$

serisinin de yakınsak olacağını gösterin.

23.

$$\sum_{n=2}^{\infty} \frac{b^n x^n}{\ln n}$$

kuvvet serisinin yakınsaklık yarıçapını  $5$  yapacak  $b$  değerini bulun.

24.  $\sin x$ ,  $\ln x$  ve  $e^x$ 'in polinom olmadığını nereden biliyorsunuz? Yanınızı açıklayın.

25.

$$\lim_{x \rightarrow 0} \frac{\sin(ax) - \sin x - x}{x^3}$$

limitinin sonlu olduğu bir  $a$  değeri bulun ve limiti hesaplayın.

26.

$$\lim_{x \rightarrow 0} \frac{\cos(ax) - b}{2x^2} = -1$$

olacak şekilde  $a$  ve  $b$  değerlerini bulun.

27. **Raabe (veya Gauss) testi** İspat vermeden göstereceğimiz aşağıdakiler test Oran Testi'nin genişletilmişiidir.

*Raabe testi:*  $\sum_{n=1}^{\infty} u_n$  pozitif sabitlerden oluşan bir seri ise ve her  $n \geq N$  için  $|f(n)| < K$  olmak üzere

$$\frac{u_n}{u_{n+1}} = 1 + \frac{C}{n} + \frac{f(n)}{n^2} \quad [1]$$

olmasını sağlayacak  $C$ ,  $K$  ve  $N$  sabitleri varsa,  $\sum_{n=1}^{\infty} u_n$  serisi,  $C > 1$  ise yakınsak ve  $C \leq 1$  ise iraksaktır.

Raabe testinin sonuçlarının  $\sum_{n=1}^{\infty} (1/n^2)$  ve  $\sum_{n=1}^{\infty} (1/n)$  serileri hakkında bildiklerinizle uyumu gösterin.

28. (Alıştırma 27'nin devamı.)  $\sum_{n=1}^{\infty} u_n$  serisinin terimlerinin

$$u_1 = 1, \quad u_{n+1} = \frac{(2n-1)^2}{(2n)(2n+1)} u_n$$

tekrarlama formülüyle verildiğini varsayıñ. Serinin yakınsak olup olmadığını belirlemek için Raabe testini kullanın.

29.  $\sum_{n=1}^{\infty} a_n$  yakınsak ise her  $n$  için  $a_n \neq 1$  ve  $a_n > 0$  ise

- $\sum_{n=1}^{\infty} a_n^2$  serisinin yakınsak olduğunu gösterin.
- $\sum_{n=1}^{\infty} a_n/(1-a_n)$  yakınsak mıdır? Açıklayın.

30. (Alıştırma 29'un devamı)  $\sum_{n=1}^{\infty} a_n$  yakınsak ise ve her  $n$  için  $1 > a_n > 0$  ise,  $\sum_{n=1}^{\infty} \ln(1-a_n)$ 'in yakınsak olduğunu gösterin. (İpucu:  $|\ln(1-a_n)| \leq a_n/(1-a_n)$  olduğunu gösterin.)

31. **Nicole Oresme'nin Teoremi** Nicole Oresme'nin

$$1 + \frac{1}{2} \cdot 2 + \frac{1}{4} \cdot 3 + \cdots + \frac{n}{2^{n-1}} + \cdots = 4$$

olduğunu söyleyen teoremini ispatlayın.

(İpucu:  $1/(1-x) = 1 + \sum_{n=1}^{\infty} x^n$  denkleminin iki tarafının da türevini alın.)

32. a.  $|x| > 1$  için,

$$\sum_{n=1}^{\infty} \frac{n(n+1)}{x^n} = \frac{2x^2}{(x-1)^3}$$

bağıntısının iki kere türevin alıp, sonucu  $x$  ile çarpıp,  $x$  yerine  $1/x$  yazarak aşağıdaki eşitliği gösterin.

$$\sum_{n=1}^{\infty} x^{n+1} = \frac{x^2}{1-x}$$

- b. (a) şikkini kullanarak

$$x = \sum_{n=1}^{\infty} \frac{n(n+1)}{x^n}.$$

denkleminin 1'den büyük gerçek çözümünü bulun.

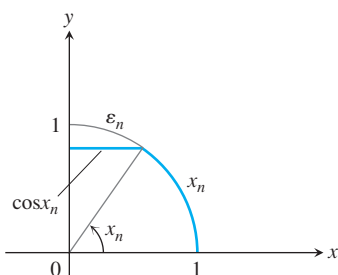
33.  **$\pi/2$ 'nin hızlı bir tahmini.** Bölüm 11.1'deki Alıştırma 127'yi yaptıysanız,  $x_0 = 1$  ile başlayan ve  $x_{n+1} = x_n + \cos x_n$  tekrarlama formülüyle üretilen dizinin hızla  $\pi/2$ 'ye yakınsadığını görmüşsunuzdur. Yakınsaklığın süratini açıklamak için,  $\epsilon_n = (\pi/2) - x_n$  olsun. (Aşağıdaki şekle bakın.) Bu durumda

$$\begin{aligned}\epsilon_{n+1} &= \frac{\pi}{2} - x_n - \cos x_n \\ &= \epsilon_n - \cos\left(\frac{\pi}{2} - \epsilon_n\right) \\ &= \epsilon_n - \sin \epsilon_n \\ &= \frac{1}{3!} (\epsilon_n)^3 - \frac{1}{5!} (\epsilon_n)^5 + \dots\end{aligned}$$

olur. Bu eşitliği kullanarak,

$$0 < \epsilon_{n+1} < \frac{1}{6} (\epsilon_n)^3$$

olduğunu gösterin.



34.  $\sum_{n=1}^{\infty} a_n$  pozitif sayılarından oluşan yakınsak bir seriyse,  $\sum_{n=1}^{\infty} \ln(1 + a_n)$  'in yakınsaklıği hakkında bir şey söyleyebilir mi? Yanınızı açıklayın.

### 35. Kalite kontrolü.

- a.  $1/(1-x)^2$  için bir seri elde etmek üzere

$$\frac{1}{1-x} = 1 + x + x^2 + \dots + x^n + \dots$$

serisinin türevini alın.

- b. İki zar atıldığında, 7 gelme olasılığı  $p = 1/6$ 'dır. Zarları sürekli olarak atarsanız, ilk olarak  $n$ .inci atışta 7 gelme olasılığı  $q = 1 - p = 5/6$  olmak üzere  $q^{n-1} p$ 'dır. İlk olarak bir 7 gelene kadar atış sayısının beklenen değeri  $\sum_{n=1}^{\infty} n q^{n-1} p$  'dır. Bu serinin toplamını bulun.

- c. Endüstriyel bir operasyona istatistik kontrol uygulayan bir mühendis olarak, oynar kayıştan rastgele alınan parçaları inceleyorsunuz. Örneklemlen her parçayı "iyi" veya "kötü" olarak sınıflayırsınız. Bir parçanın iyi olma olasılığı  $p$  ve kötü olma olasılığı  $q = 1 - p$  ise, bulunan ilk kötü parçanın incelenen  $n$ .inci parça olma olasılığı  $p^{n-1} q$ 'dır. İlk kötü parçaya kadar (kötü parçayı da içerecek şekilde) incelenen ortalama parça sayısı  $\sum_{n=1}^{\infty} n p^{n-1} q$  'dur.  $0 < p < 1$  olduğunu varsayıarak bu toplamı hesaplayın.

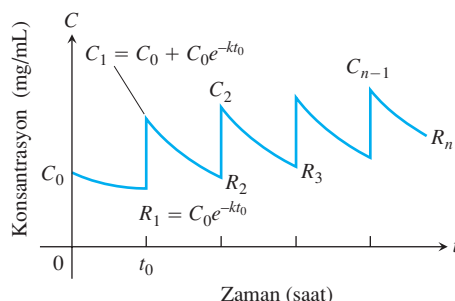
36. **Beklenen değeri** Rastgele bir  $X$  değişkeninin 1, 2, 3,... değerlerini  $p_1, p_2, p_3, \dots$  olasılıklarıyla aldığına varsayıyın. Burada  $p_k X$ 'in  $k$ 'ye eşit olma olasılığıdır ( $k = 1, 2, 3, \dots$ ). Ayrıca  $p_k \geq 0$  ve  $\sum_{k=1}^{\infty} p_k = 1$  olduğunu da varsayıyın.  $E(X)$  ile gösterilen  $X$ 'in **beklenen değeri**, serinin yakınsaması koşuluyla,  $\sum_{k=1}^{\infty} k p_k$ , sayısıdır. Aşağıdaki her durum için,  $\sum_{k=1}^{\infty} p_k = 1$  olduğunu gösterin ve varsa  $E(X)$ 'i hesaplayın (İpucu: Alıştırma 35'e bakın).

- a.  $p_k = 2^{-k}$       b.  $p_k = \frac{5^{k-1}}{6^k}$   
c.  $p_k = \frac{1}{k(k+1)} = \frac{1}{k} - \frac{1}{k+1}$

- T 37. Güvenli ve etkili dozaj** Tek bir ilaç dozundan dolayı kandaki konsantrasyon, zamanla ilaç vucuttan atıldıktan, normalde azalır. Dolayısıyla, konsantrasyonun belirli bir seviyenin altına düşmemesi için, dozların periyodik olarak tekrarlanması gerekebilir. Tekrarlanan dozların etkisi için bir model  $(n+1)$  dozdan hemen önce kalan konsantrasyonu

$$R_n = C_0 e^{-kt_0} + C_0 e^{-2kt_0} + \dots + C_0 e^{-nkt_0},$$

olarak verir. Burada  $C_0$  tek bir dozun sağladığı konsantrasyon (mg/mL),  $k$  azalma sabiti (saat $^{-1}$ ) ve  $t_0$  da dozlar arasındaki zaman (saat). Şekle bakın.



- a.  $R_n$ 'yi kapalı formda tek bir kesir olarak yazın ve  $R = \lim_{n \rightarrow \infty} R_n$  limitini bulun.

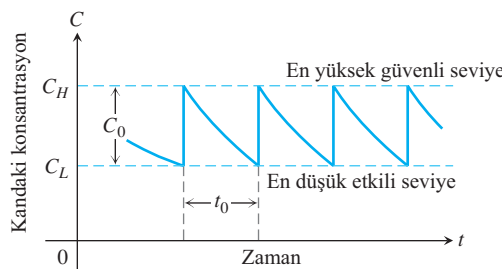
- b.  $C_0 = 1$  mg/mL,  $k = 0.1$  saat $^{-1}$  ve  $t_0 = 10$  saat için  $R_1$  ve  $R_{10}$ 'u hesaplayın.  $R_{10}$   $R$ 'nin ne kadar iyi bir tahminidir?

- c.  $k = 0.01 \text{ sa}^{-1}$  ve  $t_0 = 10 \text{ sa}$  ise,  $R_n > (1/2) R$  olmasını sağlayacak en küçük  $n$  değerini bulun.

(*Kaynak: Prescribing Safe and Effective Dosage*, B. Horelick ve S. Koont, COMAP, Inc., Lexington MA.)

- 38. İki doz arasındaki zaman** (*Alıştırma 37'nin devamı*) Eğer bir ilaçın bir  $C_L$  konsantrasyonunun altında etkisiz, daha yüksek bir  $C_H$  konsantrasyonun üstünde ise zararlı olduğu biliniyorsa, güvenli ( $C_H$ 'nin üstünde değil), ama etkili ( $C_L$ 'nin altında değil) bir konsantrasyon sağlayacak  $C_0$  ve  $t_0$  değerlerinin bulunması gereklidir. Şekle bakın. Dolayısıyla

$$R = C_L \text{ ve } C_0 + R = C_H$$



Yani,  $C_0 = C_H - C_L$  olur. Bu değerler Alıştırma 37'nin (a) şıklından elde edilen R denklemine koymakla, ortaya çıkan denklem

$$t_0 = \frac{1}{k} \ln \frac{C_H}{C_L}$$

şeklinde sadeleşir. Etkili bir seviyeye hızlı bir şekilde ulaşmak için,  $C_H \text{ mg/mL}'lik bir konsantrasyon üretecek bir "yükleme" dozu verilebilir. Bundan sonra her  $t_0$  saatte bir konsantrasyonu  $C_0 = C_H - C_L \text{ mg/mL}$  miktarında artıracak bir dozla devam edilebilir.$

- a.  $t_0$  için yukarıda verilen denklemi doğrulayın.  
 b.  $k = 0.05 \text{ sa}^{-1}$  ve en yüksek güvenli konsantrasyon e kere en düşük etkili konsantrasyon ise, dozlar arasındaki güvenli ve etkili konsantrasyonu garantileyebilecek zaman uzunluğunu bulun.  
 c.  $C_H = 2 \text{ mg/mL}$ ,  $C_L = 0.5 \text{ mg/mL}$  ve  $k = 0.02 \text{ sa}^{-1}$  ise, ilaç vermek için bir program belirleyin.  
 d.  $k = 0.2 \text{ sa}^{-1}$  olduğunu ve en küçük etkili konsantrasyonun  $0.03 \text{ mg/mL}'oldugunu varsayılmı. 0.1 \text{ mg/mL}'lik konsantrasyon sağlayan tek bir doz veriliyor. İlaç yaklaşık ne kadar süre etkili kalacaktır?$

### 39. Sonsuz bir çarpım

$$\prod_{n=1}^{\infty} (1 + a_n) = (1 + a_1)(1 + a_2)(1 + a_3) \cdots$$

sonsuz çarpımının, çarpımın doğal logaritması alınarak elde edilen

$$\sum_{n=1}^{\infty} \ln(1 + a_n)$$

serisi yakınsaksa, yakınsayacağı söylenebilir. Her  $n$  için,  $a_n > -1$  ise ve  $\sum_{n=1}^{\infty} |a_n|$  yakınsak ise çarpının yakınsak olduğunu gösterin. (İpucu:  $|a_n| < 1/2$  ise

$$|\ln(1 + a_n)| \leq \frac{|a_n|}{1 - |a_n|} \leq 2|a_n|$$

olduğunu gösterin.)

40.  $p$  bir sabit,

$$1 + \sum_{n=3}^{\infty} \frac{1}{n \cdot \ln n \cdot [\ln(\ln n)]^p}$$

- a.  $p > 1$  ise yakınsayacağını, b.  $p \leq 1$  ise iraksayacağını gösterin. Genelde,  $f_1(x) = x$ ,  $f_{n+1}(x) = \ln(f_n(x))$  ise ve  $n = 1, 2, 3, \dots$  değerlerini alıysa,  $f_2(x) = \ln x$ ,  $f_3(x) = \ln(\ln x)$ , ... buluruz.  $f_n(a) > 1$  ise,

$$\int_a^{\infty} \frac{dx}{f_1(x)f_2(x) \cdots f_n(x)(f_{n+1}(x))^p}$$

$p > 1$  ise yakınsar,  $p \leq 1$  ise iraksar.

41. a. Şu teoremi ispatlayın:  $\{c_n\}$ , her  $t_n = \sum_{k=1}^n c_k$  toplamının sınırlı olmasını sağlayacak şekilde sayılarından oluşan bir diziyse,  $\sum_{n=1}^{\infty} c_n/n$  serisi yakınsar ve değeri  $\sum_{n=1}^{\infty} t_n/(n(n+1))$  'e eşittir.

*İspatın taslağı:*  $c_1$  yerine  $t_1$  ve  $n \geq 2$  için  $c_n$  yerine  $t_n - t_{n-1}$  yazın.  $s_{2n+1} = \sum_{k=1}^{2n+1} c_k/k$  ise

$$\begin{aligned} s_{2n+1} &= t_1 \left(1 - \frac{1}{2}\right) + t_2 \left(\frac{1}{2} - \frac{1}{3}\right) \\ &\quad + \cdots + t_{2n} \left(\frac{1}{2n} - \frac{1}{2n+1}\right) + \frac{t_{2n+1}}{2n+1} \\ &= \sum_{k=1}^{2n} \frac{t_k}{k(k+1)} + \frac{t_{2n+1}}{2n+1} \end{aligned}$$

olduğunu gösterin. Bir  $M$  sabiti için,  $|t_k| < M$  olduğundan,

$$\sum_{k=1}^{\infty} \frac{t_k}{k(k+1)}$$

serisi mutlak yakınsaktır ve  $n \rightarrow \infty$  iken  $s_{2n+1}$ 'in bir limiti vardır.  $s_{2n} = \sum_{k=1}^{2n} c_k/k$  ise,  $n \rightarrow \infty$  iken,  $s_{2n+1} - s_{2n} = c_{2n+1}/(2n+1)$  sıfıra yaklaşır, çünkü  $|c_{2n+1}| = |t_{2n+1} - t_{2n}| < 2M$  dir. Dolayısıyla  $\sum c_k/k$  serisi yakınsar ve limit  $\sum_{k=1}^{\infty} t_k/(k(k+1))$  olur.

- b. Bahsedilen teoremin aşağıdaki alterne harmonik serisi nasıl uygulanacağını gösterin.

$$1 - \frac{1}{2} + \frac{1}{3} - \frac{1}{4} + \frac{1}{5} - \frac{1}{6} + \cdots$$

c.

$$1 - \frac{1}{2} - \frac{1}{3} + \frac{1}{4} + \frac{1}{5} - \frac{1}{6} - \frac{1}{7} + \dots$$

serisinin yakınsadığını gösterin (ilk terimden sonra, işaretleri iki negatif, iki pozitif, iki negatif, iki pozitif şeklinde gider).

42.  $-1 < x \leq 1$  için  $\sum_{n=1}^{\infty} [(-1)^{n-1}x^n]/n$  'nin  $\ln(1+x)$ 'e yakınsaklılığı

a. Uzun bölme veya başka bir yolla

$$\frac{1}{1+t} = 1 - t + t^2 - t^3 + \dots + (-1)^n t^n + \frac{(-1)^{n+1} t^{n+1}}{1+t}$$

olduğunu gösterin.

b. (a) şıkkındaki denklemi 0'dan  $x$ 'e kadar  $t$ 'ye göre integre ederek

$$\begin{aligned}\ln(1+x) &= x - \frac{x^2}{2} + \frac{x^3}{3} - \frac{x^4}{4} + \dots \\ &\quad + (-1)^n \frac{x^{n+1}}{n+1} + R_{n+1}\end{aligned}$$

olmak üzere,

$$R_{n+1} = (-1)^{n+1} \int_0^x \frac{t^{n+1}}{1+t} dt.$$

olduğunu gösterin.

c.  $x \geq 0$  ise,

$$|R_{n+1}| \leq \int_0^x t^{n+1} dt = \frac{x^{n+2}}{n+2}$$

olduğunu gösterin.

(İpucu:  $t$ , 0'dan  $x$ 'e değişirken,

$$1+t \geq 1 \quad \text{ve} \quad t^{n+1}/(1+t) \leq t^{n+1}$$

ve

$$\left| \int_0^x f(t) dt \right| \leq \int_0^x |f(t)| dt \text{ olur.}\right)$$

d.  $-1 < x < 0$  ise

$$|R_{n+1}| \leq \left| \int_0^x \frac{t^{n+1}}{1-|x|} dt \right| = \frac{|x|^{n+2}}{(n+2)(1-|x|)}$$

olduğunu gösterin.

(İpucu:  $x < t \leq 0$  ise,  $|1+t| \geq 1-|x|$  ve

$$\left| \frac{t^{n+1}}{1+t} \right| \leq \frac{|t|^{n+1}}{1-|x|} \text{ olur.}\right)$$

e. Yapılan tartışmaları kullanarak,

$$x - \frac{x^2}{2} + \frac{x^3}{3} - \frac{x^4}{4} + \dots + \frac{(-1)^n x^{n+1}}{n+1} + \dots$$

serisinin  $-1 < x \leq 1$  için,  $\ln(1+x)$ 'e yakınsadığını gösterin.)

## Bölüm 11

### Teknoloji Uygulama Projeleri

#### Mathematica/Maple Modülü

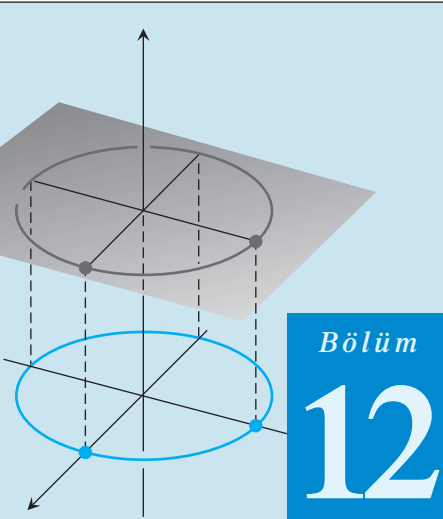
##### Zıplayan Top

Model, zıplayan bir topun yüksekliğini ve zıplaması sona erene kadar geçen zamanı tahmin eder.

#### Mathematica/Maple Modülü

##### Bir Fonksiyonun Taylor Polinomları Yaklaşımları

Bir grafik animasyon, Taylor polinomlarının, tanım kümeleri içindeki bir aralık üzerinde her mertebeden türevleri var olan fonksiyonlara yakınsadıklarını göstermektedir.

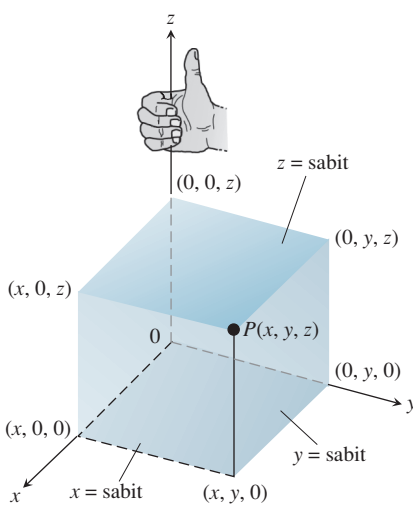


## VEKTÖRLER VE UZAYDA GEOMETRİ

**GİRİŞ** Birçok gerçek-dünya probleminde ve yüksek matematikte calculus uygulayabilmek için üç boyutlu uzayın matematiksel bir tanımına gereksinim duyuyoruz. Bu bölümde üç-boyutlu koordinat sistemini ve vektörleri tanııyoruz.  $xy$ -düzleminde koordinatlar hakkında bildiklerimize dayanarak, uzaydaki koordinatları,  $xy$ -düzleminin üstündeki ve altındaki mesafeyi ölçen üçüncü bir eksen ekleyerek kurarız. Vektörler, uzaya doğruları, düzlemleri, yüzeyleri ve eğrileri tanımlamada basit yollar verdiklerinden, uzayın analitik geometrisini incelemek için kullanılır. Kitabın geri kalanında bu geometrik kavramları, uzaya hareketi ve çok değişkenli fonksiyonları ve bunların bilimdeki, mühendislikteki, ekonomideki ve yüksek matematikteki çok önemli uygulamalarını incelemek için kullanıyoruz.

### 12.1

### Üç Boyutlu Koordinat Sistemleri



**ŞEKİL 12.1** Kartezyen koordinat sistemi sağ el kuralına göre dir.

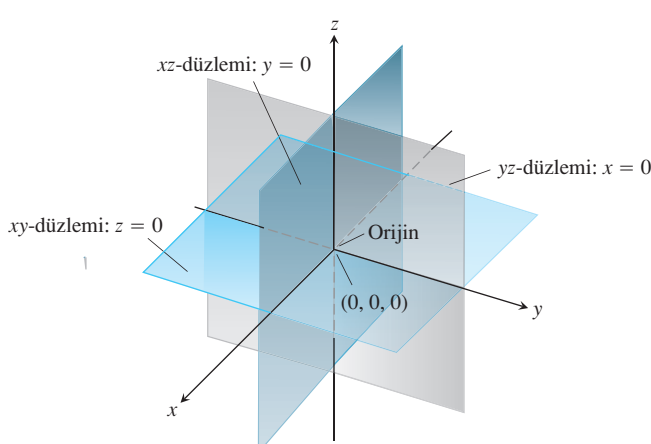
Uzayda noktaların yerlerini belirlemek için, Şekil 12.1'deki gibi düzenlenmiş ikişer aralarında dik üç tane koordinat eksenini kullanırız. Şekilde gösterilen  $Ox$ ,  $Oy$  ve  $Oz$  eksenleri sağ - el kuralı ile belirlenmiş bir koordinat sistemi oluştururlar. Sağ elimizi parmaklarınız pozitif  $x$ -ekseninden pozitif  $y$ -eksenine doğru kıvrılacak şekilde tutarsanız, başparmağınız  $z$ -eksenini gösterir. Böylece,  $z$ -ekseninin pozitif yönünden aşağıya,  $xy$ -düzlemeine baktığınızda, düzlemdeki pozitif açılar, pozitif  $z$ -ekseni çevresinde pozitif  $x$ -ekseninden saat yönünün tersine doğru ölçülürler. (Sol-el kuralı ile belirlenmiş bir koordinat sisteminde Şekil 12.1'deki  $z$ -ekseni aşağıyı gösterecekti ve düzlemdeki açılar, pozitif  $x$ -ekseninden saat yönünde ölçüldüklerinde pozitif olacaktı. Bu,  $xy$ -düzlemindeki açıları ölçmek için kullandığımız anlaşıma değildir. Sağ-el ve sol-el kuralına göre belirlenmiş koordinat sistemleri özdeş değildirler.)

Uzaydaki bir  $P$  noktasının  $(x, y, z)$  Kartezyen koordinatları,  $P$ 'den geçen ve eksenlere dik olan düzlemlerin eksenleri kestikleri noktalardır. Uzayın Kartezyen koordinatlarına, bunları tanımlayan eksenler dik açılarla kesistiklerinden, **dikdörtgen koordinatlar** da denir.  $x$ -eksenindeki noktaların  $y$ - ve  $z$ -koordinatları sıfıra eşittir. Yani koordinatları  $(x, 0, 0)$  şeklinde dir. Benzer şekilde,  $y$ -eksenindeki noktaların koordinatları  $(0, y, 0)$  şeklinde ve  $z$ -eksenindeki noktaların koordinatları da  $(0, 0, z)$  şeklinde dir.

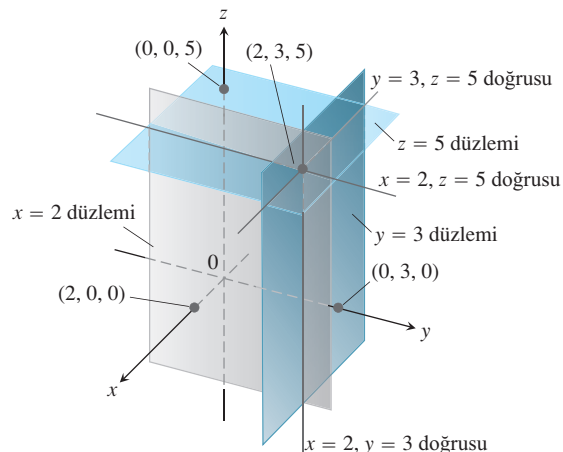
Koordinat eksenleri tarafından belirlenen düzlemler, standart denklemi  $z = 0$  olan  **$xy$ -düzlemi**; standart denklemi  $x = 0$  olan  **$yz$ -düzlemi** ve standart denklemi  $y = 0$  olan  **$xz$ -düzlemi** dir. Bunlar **orijin**  $(0, 0, 0)$  da kesirler (Şekil 12.2). Orjin ayrıca basit olarak sadece 0 ile ve bazen  $O$  harfi ile tanımlanır.

**Üç koordinat düzlemi**  $x = 0$ ,  $y = 0$  ve  $z = 0$  uzayı **sekizde bir bölge** adı verilen sekiz hücreye böllerler. Nokta koordinatlarının hepsinin pozitif olduğu sekizde bir bölgeye **birinci sekizde bir bölge** denir, diğer yedi bölge için belirli bir sayılama yoktur.

$x$ -eksenine dik bir düzlemden noktaları hepsinin  $x$ -koordinatı, düzlemin  $x$ -eksenini kestiği sayı olan aynı  $x$ -koordinatıdır.  $y$ - ve  $z$ - koordinatları herhangi sayılar olabilir. Benzer şekilde,  $y$ -eksenine dik bir düzlemden noktaların ortak bir  $y$ -koordinatı,  $z$ -eksenine dik bir düzlemden noktaların da ortak bir  $z$ -koordinatı vardır. Bu düzlemlerin denklemlerini yazmak için, ortak koordinatıyla isimlendiririz.  $x = 2$  düzlemi  $x$ -eksenine  $x = 2$ 'de dik olan düzlemdir.  $y = 3$  düzlemi  $y$ -eksenine  $y = 3$ 'te dik olan düzlemdir.  $z = 5$  düzlemi  $z$ -eksenine  $z = 5$ 'te dik olan düzlemdir. Şekil 12.3  $x = 2$ ,  $y = 3$  ve  $z = 5$  düzlemlerini, kesim noktaları  $(2, 3, 5)$  ile birlikte göstermektedir.



**ŞEKİL 12.2**  $x = 0$ ,  $y = 0$  ve  $z = 0$  düzlemleri uzayı sekiz tane sekizde bir bölgeye bölerler.



**ŞEKİL 12.3**  $x = 2$ ,  $y = 3$  ve  $z = 5$  düzlemleri  $(2, 3, 5)$  noktasından geçen üç doğru belirlerler.

Şekil 12.3'teki  $x = 2$  ve  $y = 3$  düzlemleri  $z$ -eksenine paralel bir doğruda kesirler. Bu doğru  $x = 2$ ,  $y = 3$  denklem çiftiyle tanımlanır. Bir  $(x, y, z)$  noktası ancak ve ancak  $x = 2$  ve  $y = 3$  ise bu doğru üzerindedir. Aynı şekilde,  $y = 3$  ve  $z = 5$  düzlemlerinin kesim doğrusu  $y = 3$ ,  $z = 5$  denklem çiftiyle tanımlanır. Bu doğru  $x$  eksenine paraleldir.  $x = 2$  ve  $z = 5$  düzlemlerinin  $y$ -eksenine paralel olan kesim doğrusu  $x = 2$ ,  $z = 5$  denklem çiftiyle tanımlanır.

Aşağıdaki örneklerde, koordinat denklemlerini ve eşitsizliklerini tanımladıkları nokta kümeleri ile eşliyoruz.

### ÖRNEK 1 Denklem ve Eşitsizlikleri Geometrik Olarak Yorumlamak

(a)  $z \geq 0$

$xy$ -düzleminin üzerinde ve yukarıındaki noktalardan oluşan yarı uzay.

(b)  $x = -3$

$x$ -eksenine  $x = -3$ 'te dik olan düzlemdir. Düzlemin  $yz$ -düzleminin 3 birim gerisinde ve ona paraleldir.

(c)  $z = 0$ ,  $x \leq 0$ ,  $y \geq 0$

$xy$ -düzleminin ikinci dörte bir bölgesi.

(d)  $x \geq 0$ ,  $y \geq 0$ ,  $z \geq 0$

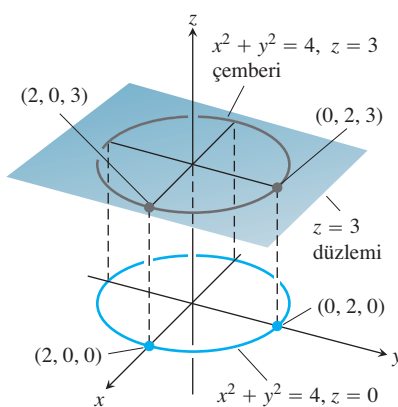
Birinci sekizde bir bölge.

(e)  $-1 \leq y \leq 1$

$y = -1$  ve  $y = 1$  düzlemleri arasındaki dilim (düzlemler dahil).

(f)  $y = -2$ ,  $z = 2$

$y = -2$  ve  $z = 2$  düzlemlerinin kesistikleri doğru. Başka bir deyişle,  $(0, -2, 2)$  noktasından geçen  $x$ -eksenine paralel doğru.



**SEKİL 12.4**  $z = 3$  düzlemindeki  $x^2 + y^2 = 4$ ,  $z = 3$  çemberi (Örnek 2)

### ÖRNEK 2 Denklemleri Çizmek

Hangi  $P(x, y, z)$  noktaları aşağıdaki denklemleri sağlar?

$$x^2 + y^2 = 4 \quad \text{ve} \quad z = 3$$

**Çözüm** Noktalar yatay  $z = 3$  düzleminde bulunurlar ve bu düzlemede  $x^2 + y^2 = 4$  çemberini oluştururlar. Bu nokta kümesine “ $z = 3$  düzlemindeki  $x^2 + y^2 = 4$  çemberi” veya daha da basit olarak “ $x^2 + y^2 = 4$ ,  $z = 3$  çemberi” deriz (Şekil 12.4). ■

### Uzayda Uzaklık ve Küreler

$xy$ -düzleminde iki nokta arasındaki uzaklık formülü uzaydaki noktalara genişletilir.

#### $P_1(x_1, y_1, z_1)$ ve $P_2(x_2, y_2, z_2)$ Arasındaki Uzaklık

$$|P_1 P_2| = \sqrt{(x_2 - x_1)^2 + (y_2 - y_1)^2 + (z_2 - z_1)^2}$$

**İspat** Yüzleri koordinat düzlemlerine paralel,  $P_1$  ve  $P_2$  noktaları karşı köşelerde olan bir dikdörtgensel kutu kurarız (Şekil 12.5). Kutunun şekilde gösterilen köşeleri  $A(x_2, y_1, z_1)$  ve  $B(x_2, y_2, z_1)$  ise kutunun üç kenarı,  $P_1 A$ ,  $AB$  ve  $B P_2$ 'nin uzunlukları

$$|P_1 A| = |x_2 - x_1|, \quad |AB| = |y_2 - y_1|, \quad |B P_2| = |z_2 - z_1|$$

dir.

$P_1 B P_2$  ve  $P_1 A B$  üçgenlerinin her ikisi de dik açılı olduğundan Pisagor teoremini iki defa uygulamak

$$|P_1 P_2|^2 = |P_1 B|^2 + |B P_2|^2 \quad \text{ve} \quad |P_1 B|^2 = |P_1 A|^2 + |AB|^2$$

verir (Şekil 12.5'e bakın).

Dolayısıyla

$$\begin{aligned} |P_1 P_2|^2 &= |P_1 B|^2 + |B P_2|^2 \\ &= |P_1 A|^2 + |AB|^2 + |B P_2|^2 \quad |P_1 B|^2 = |P_1 A|^2 + |AB|^2 \\ &= |x_2 - x_1|^2 + |y_2 - y_1|^2 + |z_2 - z_1|^2 \\ &= (x_2 - x_1)^2 + (y_2 - y_1)^2 + (z_2 - z_1)^2 \end{aligned}$$

Bu yüzden

$$|P_1 P_2| = \sqrt{(x_2 - x_1)^2 + (y_2 - y_1)^2 + (z_2 - z_1)^2}$$

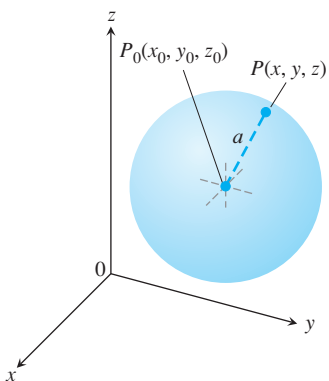
dir. ■

### ÖRNEK 3 İki Nokta Arasındaki Uzaklığı Bulmak

$P_1(2, 1, 5)$  ve  $P_2(-2, 3, 0)$  arasındaki uzaklık

$$\begin{aligned} |P_1 P_2| &= \sqrt{(-2 - 2)^2 + (3 - 1)^2 + (0 - 5)^2} \\ &= \sqrt{16 + 4 + 25} \\ &= \sqrt{45} \approx 6.708 \end{aligned}$$

olarak bulunur. ■



**ŞEKİL 12.6**  $(x_0, y_0, z_0)$  merkezli ve  $a$  yarıçaplı kürenin standart denklemi şöyledir:

$$(x - x_0)^2 + (y - y_0)^2 + (z - z_0)^2 = a^2.$$

Uzaklık formülünü uzayda küre denklemleri yazmak için kullanabiliriz (Şekil 12.6). Bir  $P(x, y, z)$  noktası, sadece  $|P_0P| = a$  veya

$$(x - x_0)^2 + (y - y_0)^2 + (z - z_0)^2 = a^2.$$

olduğunda,  $P_0(x_0, y_0, z_0)$  merkezli,  $a$  yarıçaplı bir kürenin üzerindedir.

**Yarıçapı  $a$  ve Merkezi  $(x_0, y_0, z_0)$  Olan Kürenin Standart Denklemi**

$$(x - x_0)^2 + (y - y_0)^2 + (z - z_0)^2 = a^2$$

**ÖRNEK 4** Bir Kürenin Merkezini ve Yarıçapını Bulmak

Aşağıdaki kürenin merkezini ve yarıçapını bulun.

$$x^2 + y^2 + z^2 + 3x - 4z + 1 = 0.$$

**Çözüm** Bir kürenin merkezini ve yarıçapını bir çemberin merkezini ve yarıçapını bulduğumuz gibi buluruz.  $x$ -,  $y$ - ve  $z$ -terimlerini gerekli olduğu şekilde kareye tamamlarız ve her kuadratlığı karesi alınmış lineer bir ifade olarak yazarız. Sonra, standart şekildeki denklemden, merkez ve yarıçapı okuruz. Elimizdeki küre için

$$x^2 + y^2 + z^2 + 3x - 4z + 1 = 0$$

$$(x^2 + 3x) + y^2 + (z^2 - 4z) = -1$$

$$\left(x^2 + 3x + \left(\frac{3}{2}\right)^2\right) + y^2 + \left(z^2 - 4z + \left(\frac{-4}{2}\right)^2\right) = -1 + \left(\frac{3}{2}\right)^2 + \left(\frac{-4}{2}\right)^2$$

$$\left(x + \frac{3}{2}\right)^2 + y^2 + (z - 2)^2 = -1 + \frac{9}{4} + 4 = \frac{21}{4}.$$

buluruz. Bu standart formdan  $x_0 = -3/2$ ,  $y_0 = 0$ ,  $z_0 = 2$ , ve  $a = \sqrt{21}/2$ 'i okuruz. Merkez  $(-3/2, 0, 2)$  ve yarıçap  $\sqrt{21}/2$ 'dir. ■

**ÖRNEK 5** Denklemleri ve Eşitsizlikleri Yorumlamak

- |  |   |
|--|---|
| <b>(a)</b> $x^2 + y^2 + z^2 < 4$           | $x^2 + y^2 + z^2 = 4$ küresinin içi.  |
| <b>(b)</b> $x^2 + y^2 + z^2 \leq 4$        | $x^2 + y^2 + z^2 = 4$ külesiyle sınırlanan katı top. Başka bir deyişle, içiyle birlikte $x^2 + y^2 + z^2 = 4$ küresi. |
| <b>(c)</b> $x^2 + y^2 + z^2 > 4$           | $x^2 + y^2 + z^2 = 4$ küresinin dışı.   |
| <b>(d)</b> $x^2 + y^2 + z^2 = 4, z \leq 0$ | $x^2 + y^2 + z^2 = 4$ küresinden $xy$ -düzlemiyle ( $z = 0$ düzlemi) kesilmiş alt yarımküre.                          |

Kutupsal koordinatların,  $xy$ -düzleminde noktaları yerleştirmek için başka bir yol vermesi gibi (Bölüm 10.5), üç boyutlu uzay için de, burada geliştirilen Kartezyen Koordinat sisteminden farklı alternatif koordinat sistemleri vardır. Bu koordinat sistemlerinden ikisini Bölüm 15.6'da inceleyeceğiz.

## ALIŞTIRMALAR 12.1

## Kümeler, Denklemler ve Eşitsizlikler

1-12 alıştırmalarında koordinatları, verilen denklem çiftlerini sağlayan, uzaydaki nokta kümelerinin geometrik tanımını verin.

- $x = 2, \quad y = 3$
  - $x = -1, \quad z = 0$
  - $y = 0, \quad z = 0$
  - $x = 1, \quad y = 0$
  - $x^2 + y^2 = 4, \quad z = 0$
  - $x^2 + y^2 = 4, \quad z = -2$
  - $x^2 + z^2 = 4, \quad y = 0$
  - $y^2 + z^2 = 1, \quad x = 0$
  - $x^2 + y^2 + z^2 = 1, \quad x = 0$
  - $x^2 + y^2 + z^2 = 25, \quad y = -4$
  - $x^2 + y^2 + (z + 3)^2 = 25, \quad z = 0$
  - $x^2 + (y - 1)^2 + z^2 = 4, \quad y = 0$

13-18 alıştırmalarında, koordinatları verilen eşitsizlikleri veya denklem ve eşitsizlik kombinasyonlarını sağlayan uzaydaki nokta kümelemini tanımlayın.



19-28 alıştırmalarında, verilen kümeyi tek bir denklem veya bir denklem çiftiley tanımlayın.

19. Aşağıdaki verilenlere dik düzlem

  - a.  $(3, 0, 0)$ 'da  $x$ -eksenine dik      b.  $(0, -1, 0)$ 'da  $y$ -eksenine dik
  - c.  $(0, 0, -2)$ 'de  $z$ -eksenine dik

20. 20.  $(3, -1, 2)$ 'den geçen ve aşağıdakilere dik düzlem

  - a.  $x$ -eksenİ      b.  $y$ -eksenİ      c.  $z$ -eksenİ

21. 21.  $(3, -1, 1)$ 'den geçen ve aşağıdakilere paralel düzlem

  - a.  $xy$ -düzlemİ      b.  $yz$ -düzlemİ      c.  $xz$ -düzlemİ

22. 22.  $(0, 0, 0)$  merkezli, 2 yarıçaplı şu düzlemlerdeki çember

  - a.  $xy$ -düzlemİ      b.  $yz$ -düzlemİ      c.  $xz$ -düzlemİ

23. 23.  $(0, 2, 0)$  merkezli, 2 yarıçaplı şu düzlemlerdeki çember

  - a.  $xy$ -düzlemİ      b.  $yz$ -düzlemİ      c.  $y = 2$  düzlemİ

24. 24.  $(-3, 4, 1)$  merkezli, 1 yarıçaplı ve şu düzlemlere paralel çem  
ber

  - a.  $xy$ -düzlemİ      b.  $yz$ -düzlemİ      c.  $xz$ -düzlemİ

25.  $(1, 3, -1)$ 'den geçen ve aşağıdakilere paralel doğru  
a.  $x$ -ekseni    b.  $y$ -ekseni    c.  $z$ -ekseni

26. Uzayda orijinden ve  $(0, 2, 0)$  noktasından eşit uzaklıklı noktalar kümesi.

27.  $(1, 1, 3)$  noktasından geçen ve  $z$ -eksenine dik düzleme, merkezi orijinde olan 5 yarıçaplı kürenin kesiştiği çember.

28. Uzayda  $(0, 0, 1)$  noktasından 2 birim ve, aynı zamanda,  $(0, 0, -1)$  noktasından 2 birim uzakta bulunan noktalar kümesi.

29–34 alıştırmalarındaki kümeleri tanımlayacak eşitsizlikleri yazın.

29.  $z = 0$  ve  $z = 1$  düzlemleriyle sınırlı dilim (düzlemler dahil).

30. Birinci sekizde bir bölgede, koordinat düzlemleri ve  $x = 2$ ,  $y = 2$  ve  $z = 2$  düzlemleriyle sınırlı katı küp.

31.  $xy$ -düzleminde ve altında bulunan noktalardan oluşan yarım uzay.

32. Merkezi orijinde olan 1 yarıçaplı kürenin üst yarıküresi.

33. Merkezi  $(1, 1, 1)$ 'de olan 1 yarıçaplı kürenin (a) içi ve (b) dışı.

34. Merkezleri orijinde olan 1 ve 2 yarıçaplı kürelerle sınırlı kapalı bölge. (Kapalı kürelerin de dahil edilmesi gerektiği anlamına gelir. Küreleri dışında bırakmak isteseydik, kürelerle sınırlı açık bölgeyi isterdik. Bu açık ve kapalı aralıkları tanımlamamıza benzer: kapalı uç noktalar dahil, açık uç noktalar dışında bırakılmış anlamına gelir. Kapalı kümeler sınırları içerir, açık kümeler bunları dışında bırakır.)

Uzaklık

35–40 alıştırmalarında,  $P_1$  ve  $P_2$  noktaları arasındaki uzaklığı bulun.

- 35.**  $P_1(1, 1, 1)$ ,  $P_2(3, 3, 0)$   
**36.**  $P_1(-1, 1, 5)$ ,  $P_2(2, 5, 0)$   
**37.**  $P_1(1, 4, 5)$ ,  $P_2(4, -2, 7)$   
**38.**  $P_1(3, 4, 5)$ ,  $P_2(2, 3, 4)$   
**39.**  $P_1(0, 0, 0)$ ,  $P_2(2, -2, -2)$   
**40.**  $P_1(5, 3, -2)$ ,  $P_2(0, 0, 0)$

Küreler

41-44 alıştırmalarındaki kürelerin merkezlerini ve yarıçaplarını bulun.

- 41.**  $(x + 2)^2 + y^2 + (z - 2)^2 = 8$

**42.**  $\left(x + \frac{1}{2}\right)^2 + \left(y + \frac{1}{2}\right)^2 + \left(z + \frac{1}{2}\right)^2 = \frac{21}{4}$

**43.**  $(x - \sqrt{2})^2 + (y - \sqrt{2})^2 + (z + \sqrt{2})^2 = 2$

**44.**  $x^2 + \left(y + \frac{1}{3}\right)^2 + \left(z - \frac{1}{3}\right)^2 = \frac{29}{9}$

45–48 alıştırmalarında merkez ve yarıçapları verilmiş olan kürelerin denklemlerini bulun.

Merkez	Yarıçap
45. $(1, 2, 3)$	$\sqrt{14}$
46. $(0, -1, 5)$	2
47. $(-2, 0, 0)$	$\sqrt{3}$
48. $(0, -7, 0)$	7

49–52 alıştırmalarındaki kürelerin merkez ve yarıçaplarını bulun.

49.  $x^2 + y^2 + z^2 + 4x - 4z = 0$

50.  $x^2 + y^2 + z^2 - 6y + 8z = 0$

51.  $2x^2 + 2y^2 + 2z^2 + x + y + z = 9$

52.  $3x^2 + 3y^2 + 3z^2 + 2y - 2z = 9$

### Teori ve Örnekler

53.  $P(x, y, z)$  noktasından aşağıdakilere olan uzaklığın formülünü bulun.

- a.  $x$ -ekseni    b.  $y$ -ekseni    c.  $z$ -ekseni

54.  $P(x, y, z)$  noktasından aşağıdakilere olan uzaklığın formülünü bulun.

- a.  $xy$ -düzlemi    b.  $yz$ -düzlemi    c.  $xz$ -düzlemi

55. Köşeleri,  $A(-1, 2, 1)$ ,  $B(1, -1, 3)$  ve  $C(3, 4, 5)$  olan üçgenin çevresini bulun.

56.  $P(3, 1, 2)$  noktasının  $A(2, -1, 3)$  ve  $B(4, 3, 1)$  noktalarına eşit uzaklıktta olduğunu gösterin.

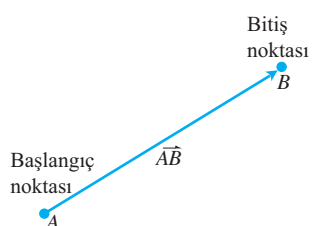
## 12.2

### Vektörler

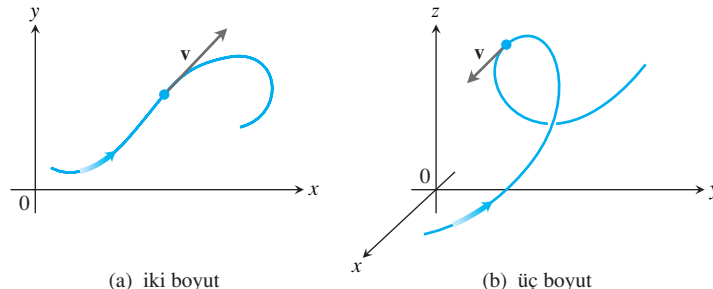
Ölçüduğumuz şeylerin bazıları büyüklükleriyle belirlenirler. Örneğin, kütle, uzunluk veya zamanı kaydetmek için, sadece bir sayı yazmamız ve uygun bir ölçüm birimi adlandırmamız gereklidir. Fakat bir kuvveti, yer değiştirmeyi veya hızı tanımlamak için daha fazla bilgiye ihtiyacımız var. Bir kuvveti tanımlamak için, ne kadar büyük olduğunun yanı sıra, hangi yönde etkidiğini de kaydetmemiz gereklidir. Bir cismin yer değiştirmesini tanımlamak için, ne kadar uzağa gittiğinin yanı sıra, hangi yönde yer değiştirdiğini de bilmemiz gereklidir. Bir cismin hızını tanımlamak için, ne kadar süratli gittiğinin yanı sıra, ne tarafa gittiğini de bilmemiz gereklidir.

### Bileşen Formu

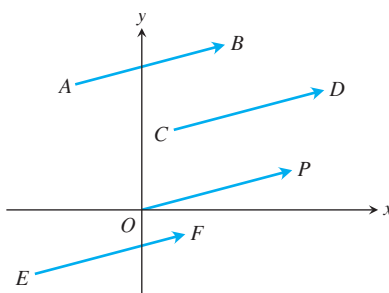
Kuvvet, yer değiştirmeye veya hız gibi bir nicelik *vektör* olarak adlandırılır ve bir **yönlü doğru parçası** ile temsil edilir (Şekil 12.7). Ok hareketin yönünü işaret eder. Uzunluğu da uygun şekilde seçilmiş bir birimle hareketin büyüklüğünü verir. Örneğin, bir kuvvet vektörü kuvvetin etkidiği yönü gösterir; uzunluğu da kuvvetin gücünün bir ölçüsüdür; bir hız vektörü hareketin yönünü gösterir, uzunluğu da hareket eden cismin süratidir. Şekil 12.8, düzlemede veya uzayda bir yol boyunca hareket eden bir parçacığın belirli bir noktadaki hız vektörünü  $\mathbf{v}$ 'yi göstermektedir. (Vektörlerin bu uygulaması Bölüm 13'te incelenmektedir.)



ŞEKİL 12.7  $\overrightarrow{AB}$  yönlü doğru parçası



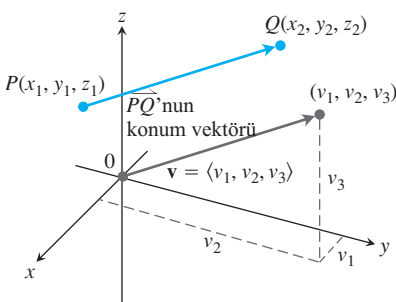
ŞEKİL 12.8 (a) düzlemede (b) uzayda bir yol boyunca hareket eden bir parçacığın hız vektörleri. Yol içindeki ok parçacığın hareketinin yönünü göstermektedir.



**SEKİL 12.9** Burada gösterilen düzlemdeki dört ok (yönlü doğru parçaları) aynı uzunlukta ve yönedir. Dolayısıyla aynı vektörü temsil ederler ve

$$\vec{AB} = \vec{CD} = \vec{OP} = \vec{EF}$$

yazarız.



**SEKİL 12.10** Standart konumda bir  $\vec{PQ}$  vektörünün başlangıç noktası orijindedir.  $\vec{PQ}$  yönlü doğru parçası ve  $\mathbf{v}$  paralel ve aynı yönedirler.

### TANIMLAR Vektör, Başlangıç ve Bitiş Noktası, Uzunluk

Düzlemede bir **vektör** yönlü bir doğru parçasıdır.  $\vec{AB}$  yönlü doğru parçasının **başlangıç noktası**  $A$  ve **bitiş noktası**  $B$  dir; uzunluğu  $|\vec{AB}|$  ile gösterilir. İki vektörün yönleri ve büyüklükleri aynıysa, bu vektörler **eşittir**.

Vektörleri çizerken kullandığımız okların uzunlukları aynıysa, paralelseler ve aynı yönü gösteriyorlarsa, başlangıç noktalarına bakılmaksızın, aynı vektörü temsil etmekleri anlaşıılır (Şekil 12.9).

Ders kitaplarda, vektörler genellikle küçük, koyu harflerle yazılırlar. Örneğin,  $\mathbf{u}$ ,  $\mathbf{v}$  ve  $\mathbf{w}$  gibi. Bazen, bir kuvvet vektörünü belirtmek için  $\mathbf{F}$  gibi büyük, koyu harfler kullanırız. El yazısında, harflerin üzerine küçük oklar çizmek gelenek olmuştur. Örneğin,  $\vec{u}$ ,  $\vec{v}$ ,  $\vec{w}$ , ve  $\vec{F}$  gibi.

Bir vektörün yönü konusunda daha emin olabilmek için, vektörleri cebirsel olarak temsil etmenin bir yoluna gereksinim duyarız.

$\mathbf{v} = \vec{PQ}$  olsun.  $\vec{PQ}$ 'ya eşit ve başlangıç noktası orijinde olan yalnız bir doğru parçası vardır (Şekil 12.10). Bu doğru parçası,  $\mathbf{v}$ 'nin **standart konumdaki** temsilcisi ve normalde  $\mathbf{v}$  vektörünü temsil etmek için kullanacağımız vektördür. Standart konumda olduğunda  $\mathbf{v}$ 'yi bitiş noktasının  $(v_1, v_2, v_3)$  koordinatlarını yazarak belirtebiliriz. Düzlemede bir  $\mathbf{v}$  vektörünün  $(v_1, v_2)$  bitiş noktasının iki koordinatı vardır.

### TANIMLAR Bileşen Formu

$\mathbf{v}$  vektörü düzlemede, başlangıç noktası orijinde ve bitiş noktası  $(v_1, v_2)$  de olan vektöre eşit, **iki-boyutlu** bir vektör ise  $\mathbf{v}$ 'nin **bileşen formu**

$$\mathbf{v} = \langle v_1, v_2 \rangle$$

dir.  $\mathbf{v}$  vektörü, başlangıç noktası orijinde ve bitiş noktası  $(v_1, v_2, v_3)$  de olan vektöre eşit, **üç-boyutlu** bir vektör ise  $\mathbf{v}$ 'nin **bileşen formu**

$$\mathbf{v} = \langle v_1, v_2, v_3 \rangle$$

dir.

Dolayısıyla, iki boyutlu bir vektör bir  $\mathbf{v} = \langle v_1, v_2 \rangle$  reel sayı ikilisi, üç boyutlu bir vektör bir  $\mathbf{v} = \langle v_1, v_2, v_3 \rangle$  reel sayı üçlüsüdür.  $v_1$ ,  $v_2$  ve  $v_3$  sayılarına  $\mathbf{v}$ 'nin bileşenleri denir.

Şunu gözleyin,  $\mathbf{v} = \langle v_1, v_2, v_3 \rangle$  vektörü, başlangıç noktası  $P(x_1, y_1, z_1)$  ve bitiş noktası olan  $Q(x_2, y_2, z_2)$  yönlü doğru parçası ile temsil edilirse  $x_1 + v_1 = x_2$ ,  $y_1 + v_2 = y_2$  ve  $z_1 + v_3 = z_2$  dir (Şekil 12.10'a bakın). Böylece,  $\vec{PQ}$ 'nın bileşenleri  $v_1 = x_2 - x_1$ ,  $v_2 = y_2 - y_1$  ve  $v_3 = z_2 - z_1$  dir.

Özet olarak,  $P(x_1, y_1, z_1)$  ve  $Q(x_2, y_2, z_2)$ , noktaları verildiğinde  $\vec{PQ}$  ya eşit standart konumdaki vektör

$$\mathbf{v} = \langle x_2 - x_1, y_2 - y_1, z_2 - z_1 \rangle$$

dir. Düzlemede  $P(x_1, y_1)$  ve  $Q(x_2, y_2)$  noktaları ile iki boyutlu bir  $\mathbf{v}$  vektörü için  $\mathbf{v} = \langle x_2 - x_1, y_2 - y_1 \rangle$  dir. Düzlemsel vektörlerin üçüncü bileşenleri yoktur. Bu anlayış ile vektör cebrini üç boyutlu vektörler için geliştireceğiz ve iki boyutlu vektörler (düzlemsel bir vektör) için basitçe üçüncü bileşeni sileceğiz.

İki vektör ancak ve yalnız standart konum vektörleri özdeş ise eşittir. Böylece,  $\langle u_1, u_2, u_3 \rangle$  ve  $\langle v_1, v_2, v_3 \rangle$  ancak ve yalnız  $u_1 = v_1, u_2 = v_2$  ve  $u_3 = v_3$  ise eşittir.

$\vec{PQ}$  vektörünün **büyüklüğü** veya **uzunluğu**, kendisini temsil eden herhangi bir yönlü doğru parçasının uzunluğudur. Özel olarak,  $\vec{PQ}$  vektörünün standart konum vektörü  $\mathbf{v} = \langle x_2 - x_1, y_2 - y_1, z_2 - z_1 \rangle$  ise uzaklık formülü  $\mathbf{v}$ 'nin,  $|\mathbf{v}|$  veya  $\|\mathbf{v}\|$  ile gösterilen, büyülüğünü veya uzunluğunu verir.

$\mathbf{v} = \vec{PQ}$  vektörünün **büyüklüğü** veya **uzunluğu** negatif olmayan  
 $|\mathbf{v}| = \sqrt{v_1^2 + v_2^2 + v_3^2} = \sqrt{(x_2 - x_1)^2 + (y_2 - y_1)^2 + (z_2 - z_1)^2}$   
 reel sayısıdır. (Şekil 12.10'a bakın.)

Uzunluğu sıfır olan tek vektör sıfır vektör  $\mathbf{0} = \langle 0, 0 \rangle$  veya  $\mathbf{0} = \langle 0, 0, 0 \rangle$  dır. Bu vektör aynı zamanda belirli bir yönü olmayan tek vektördür.

### ÖRNEK 1 Bir Vektörün Bileşen Formu ve Uzunluğu

Başlangıç noktası  $P(-3, 4, 1)$  ve  $Q(-5, 2, 2)$  bitiş noktası olan vektörün **(a)** bileşen formunu ve **(b)** uzunluğunu bulunuz.

#### Çözüm

**(a)**  $\vec{PQ}$ 'yu temsil eden  $\mathbf{v}$  standart konum vektörünün bileşenleri

$$v_1 = x_2 - x_1 = -5 - (-3) = -2, \quad v_2 = y_2 - y_1 = 2 - 4 = -2$$

ve

$$v_3 = z_2 - z_1 = 2 - 1 = 1$$

dir.  $\vec{PQ}$ 'nın bileşen formu

$$\mathbf{v} = \langle -2, -2, 1 \rangle$$

dir.

**(b)**  $\mathbf{v} = \vec{PQ}$ 'nın büyülüklük veya uzunluğu

$$|\mathbf{v}| = \sqrt{(-2)^2 + (-2)^2 + (1)^2} = \sqrt{9} = 3$$

dir. ■

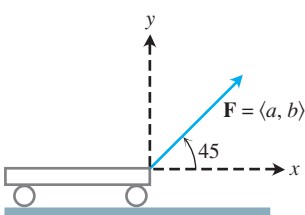
### ÖRNEK 2 Bir Arabayı Hareket Ettiren Kuvvet

Küçük bir araba, düzgün yatay bir zemin üzerinde zeminle  $45^\circ$ lik açı yapan  $20 \text{ lb}'\text{luk}$  bir  $\mathbf{F}$  kuvvetiyle çekiliyor (Şekil 12.11). Arabayı ileri doğru çeken etkin kuvvet nedir?

**Çözüm** Etkin kuvvet,  $\mathbf{F} = \langle a, b \rangle$ 'nin

$$a = |\mathbf{F}| \cos 45^\circ = (20) \left( \frac{\sqrt{2}}{2} \right) \approx 14.14 \text{ lb.}$$

ile verilen yatay bileşenidir.  $\mathbf{F}$ 'nin iki boyutlu bir vektör olduğuna dikkat edin. ■



**ŞEKİL 12.11** Arabayı öne doğru çeken kuvvet yatayla (pozitif x-ekseni)  $45^\circ$ lik açı yapan  $20 \text{ lb}'\text{luk}$  bir  $\mathbf{F}$  vektörü ile temsil edilmektedir ( Örnek 2).

### Vektör Cebri İşlemleri

Vektörleri içeren iki temel işlem *vektör toplamı* ve *skaler çarpımı* dir. Bir **skaler** basit olarak bir reel sayıdır. Vektörlerden farkını vurgulamak istediğimizde bu şekilde adlandırılır. Skalerler pozitif, negatif veya sıfır olabilirler.

#### TANIMLAR

#### Vektör Toplamı ve bir Vektörün bir Skalerle çarpımı

$\mathbf{u} = \langle u_1, u_2, u_3 \rangle$  ve  $\mathbf{v} = \langle v_1, v_2, v_3 \rangle$  vektörler,  $k$  bir skaler olsun.

**Toplama:**

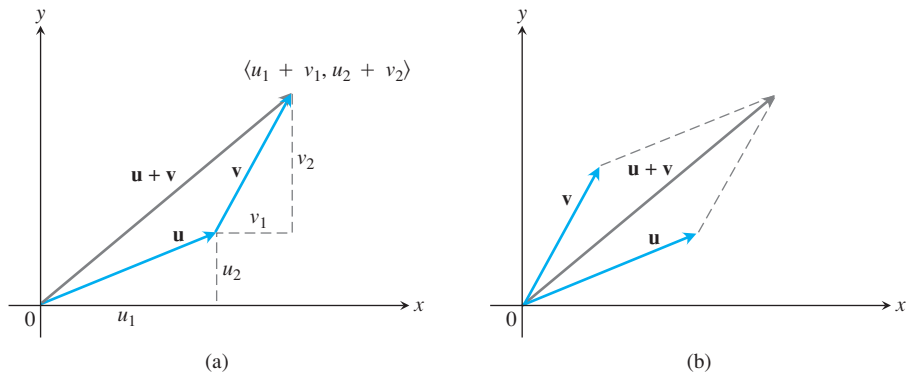
$$\mathbf{u} + \mathbf{v} = \langle u_1 + v_1, u_2 + v_2, u_3 + v_3 \rangle$$

**Skalerle Çarpım:**

$$k\mathbf{u} = \langle ku_1, ku_2, ku_3 \rangle$$

Vektörleri, karşılıklı bileşenlerini toplayarak toplayız. Bir vektörü bir skalerle çarpmak için vektörün her bileşenini bu skalerle çarparız. Tanımlar düzlemsel vektörlere de uygulanır. Fark sadece iki bileşenin olmasıdır;  $\langle u_1, u_2 \rangle$  ve  $\langle v_1, v_2 \rangle$ .

Vektör toplama tanımı Şekil 12.12a'da geometrik olarak gösterilmiştir. Burada bir vektörün başlangıç noktası diğerinin bitiş noktasına yerleştirilmiştir. Başka bir yorum Şekil 12.12b'de gösterilmiştir (toplamanın **paralelkenar kuralı**). Toplam vektöre **sonuç vektör** denir ve paralelkenarın köşegenidir. Fizikte kuvvetler, hızlar, ivmeler v.s. vektörel olarak toplanırlar. Böylece, elektrik ve yer çekiminden dolayı bir parçacığa etki eden kuvvet bu iki kuvvet vektörünü toplayarak elde edilir.

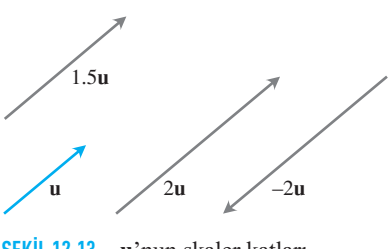


**ŞEKİL 12.12** (a) Vektör toplamının geometrik yorumu (b) Vektör toplamının paralelkenar kuralı.

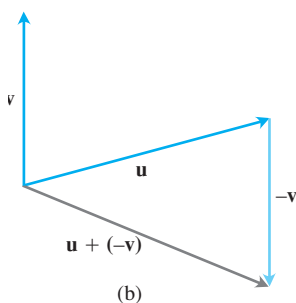
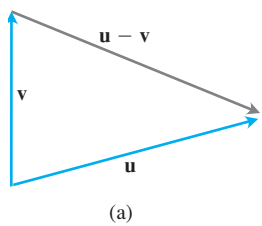
Şekil 12.13  $\mathbf{u}$  vektörünün ve  $k$  skalerinin  $k\mathbf{u}$  çarpımının bir geometrik yorumunu göstermektedir.  $k > 0$  ise  $k\mathbf{u}$ 'nın yönü  $\mathbf{u}$ 'nın yönü ile aynıdır;  $k < 0$  ise  $k\mathbf{u}$ 'nın yönü  $\mathbf{u}$ 'nın yönü ile terstir.  $\mathbf{u}$  ile  $k\mathbf{u}$ 'nın uzunluklarını karşılaştırdığımızda

$$\begin{aligned} |k\mathbf{u}| &= \sqrt{(ku_1)^2 + (ku_2)^2 + (ku_3)^2} = \sqrt{k^2(u_1^2 + u_2^2 + u_3^2)} \\ &= \sqrt{k^2}\sqrt{u_1^2 + u_2^2 + u_3^2} = |k| |\mathbf{u}| \end{aligned}$$

olduğunu görürüz.  $k\mathbf{u}$ 'nın uzunluğu  $k$  skalerinin mutlak değeri defa  $\mathbf{u}$  vektörünün uzunluğudur.  $(-1)\mathbf{u} = -\mathbf{u}$  vektörünün uzunluğu  $\mathbf{u}$  vektörünün uzunluğu ile aynı fakat yönü  $\mathbf{u}$ 'nın yönü ile terstir.



**ŞEKİL 12.13**  $\mathbf{u}$ 'nın skaler katları.



**ŞEKİL 12.14** (a)  $\mathbf{u} - \mathbf{v}$  vektörü,  $\mathbf{v}$ 'ye eklendiğinde  $\mathbf{u}$ 'yu verir.  
(b)  $\mathbf{u} - \mathbf{v} = \mathbf{u} + (-\mathbf{v})$

İki vektörün  $\mathbf{u} - \mathbf{v}$  farkı ile

$$\mathbf{u} - \mathbf{v} = \mathbf{u} + (-\mathbf{v})$$

ifadesini kastediyoruz.  $\mathbf{u} = \langle u_1, u_2, u_3 \rangle$  ve  $\mathbf{v} = \langle v_1, v_2, v_3 \rangle$  ise

$$\mathbf{u} - \mathbf{v} = \langle u_1 - v_1, u_2 - v_2, u_3 - v_3 \rangle$$

dir.  $(\mathbf{u} - \mathbf{v}) + \mathbf{v} = \mathbf{u}$  olduğuna ve dolayısıyla  $\mathbf{v}$  vektörüne  $(\mathbf{u} - \mathbf{v})$  vektörünü eklemenin  $\mathbf{u}$  vektörünü verdigine dikkat edin (Şekil 12.14a).

Şekil 12.14b,  $\mathbf{u} - \mathbf{v}$  farkını  $\mathbf{u} + (-\mathbf{v})$  toplamı olarak göstermektedir.

### ÖRNEK 3 Vektörler Üzerinde İşlemler

$\mathbf{u} = \langle -1, 3, 1 \rangle$  ve  $\mathbf{v} = \langle 4, 7, 0 \rangle$  verilsin.

- (a)  $2\mathbf{u} + 3\mathbf{v}$       (b)  $\mathbf{u} - \mathbf{v}$       (c)  $\left| \frac{1}{2}\mathbf{u} \right|$

vektörlerini bulunuz.

#### Cözüm

(a)  $2\mathbf{u} + 3\mathbf{v} = 2\langle -1, 3, 1 \rangle + 3\langle 4, 7, 0 \rangle = \langle -2, 6, 2 \rangle + \langle 12, 21, 0 \rangle = \langle 10, 27, 2 \rangle$

(b)  $\mathbf{u} - \mathbf{v} = \langle -1, 3, 1 \rangle - \langle 4, 7, 0 \rangle = \langle -1 - 4, 3 - 7, 1 - 0 \rangle = \langle -5, -4, 1 \rangle$

(c)  $\left| \frac{1}{2}\mathbf{u} \right| = \left| \left\langle -\frac{1}{2}, \frac{3}{2}, \frac{1}{2} \right\rangle \right| = \sqrt{\left( -\frac{1}{2} \right)^2 + \left( \frac{3}{2} \right)^2 + \left( \frac{1}{2} \right)^2} = \frac{1}{2}\sqrt{11}.$  ■

Sıradan aritmetiğin bir çok özelliği vektör işlemleri için de geçerlidir. Bu özellikler vektör toplamı ve bir skalerle çarpım tanımları kullanılarak kolayca gerçekleştirilebilir.

### Vektör İşlemlerinin Özellikleri

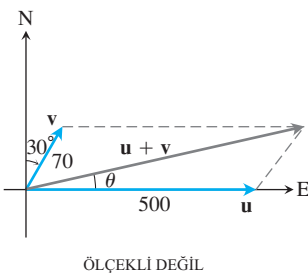
$\mathbf{u}, \mathbf{v}, \mathbf{w}$  vektörler ve  $a, b$  skalerler olsun.

- |  |  |
|--|--|
| 1. $\mathbf{u} + \mathbf{v} = \mathbf{v} + \mathbf{u}$ | 2. $(\mathbf{u} + \mathbf{v}) + \mathbf{w} = \mathbf{u} + (\mathbf{v} + \mathbf{w})$ |
| 3. $\mathbf{u} + \mathbf{0} = \mathbf{u}$              | 4. $\mathbf{u} + (-\mathbf{u}) = \mathbf{0}$   |
| 5. $0\mathbf{u} = \mathbf{0}$                          | 6. $1\mathbf{u} = \mathbf{u}$  |
| 7. $a(b\mathbf{u}) = (ab)\mathbf{u}$                   | 8. $a(\mathbf{u} + \mathbf{v}) = a\mathbf{u} + a\mathbf{v}$                          |
| 9. $(a + b)\mathbf{u} = a\mathbf{u} + b\mathbf{u}$     |  |

Vektör işlemlerinin önemli bir uygulaması havacılıkta ortaya çıkar.

### ÖRNEK 4 Yere Göre Sürat ve Yön Bulmak

Durgun havada doğuya doğru 500-mil/sa ile uçmakta olan bir Boeing® 767® uçağı, doğunun  $60^\circ$  kuzeyi yönünde 70-mil/sa ile esen bir kuyruk rüzgarı ile karşılaşıyor. Uçak pusulasını doğuyu gösterir şekilde tutuyor, fakat rüzgardan dolayı yeni bir sürat ve yön kazanıyor. Bunlar nelerdir?



**SEKİL 12.15** Örnek 4'te uçağın  $\mathbf{u}$  ve rüzgarın  $\mathbf{v}$  hızlarını temsil eden vektörler.

**Cözüm**  $\mathbf{u}$  = uçağın hızı ve  $\mathbf{v}$  = kuyruk rüzgarının hızı ise,  $|\mathbf{u}| = 500$  ve  $|\mathbf{v}| = 70$  tir (Şekil 12.15). Uçağın yere göre hızı,  $\mathbf{u} + \mathbf{v}$  sonuç vektörünün büyüklüğü ve yönü ile verilmiştir. Pozitif  $x$ -ekseni ile doğuya ve pozitif  $y$ -ekseni ile kuzeyi temsil edersek,  $\mathbf{u}$  ve  $\mathbf{v}$ 'nin bileşen formları

$$\mathbf{u} = \langle 500, 0 \rangle \quad \text{ve} \quad \mathbf{v} = \langle 70 \cos 60^\circ, 70 \sin 60^\circ \rangle = \langle 35, 35\sqrt{3} \rangle$$

olur. Bu nedenle

$$\mathbf{u} + \mathbf{v} = \langle 535, 35\sqrt{3} \rangle$$

$$|\mathbf{u} + \mathbf{v}| = \sqrt{535^2 + (35\sqrt{3})^2} \approx 538.4$$

ve

$$\theta = \tan^{-1} \frac{35\sqrt{3}}{535} \approx 6.5^\circ \quad \text{Şekil 12.15}$$

olur. Uçağın yere göre yeni süratini yaklaşık olarak 538.4 mil/sa ve yeni yönü  $6.5^\circ$  kuzey doğu dur. ■

### Birim Vektörler

Uzunluğu 1 olan bir  $\mathbf{v}$  vektörüne **birim vektör** denir. Standart birim vektörler

$$\mathbf{i} = \langle 1, 0, 0 \rangle, \quad \mathbf{j} = \langle 0, 1, 0 \rangle, \quad \text{ve} \quad \mathbf{k} = \langle 0, 0, 1 \rangle$$

dir. Herhangi bir  $\mathbf{v} = \langle v_1, v_2, v_3 \rangle$  vektörü, standart birim vektörlerin bir *lineer birleşimi* olarak aşağıdaki şekilde yazılabilir:

$$\begin{aligned} \mathbf{v} &= \langle v_1, v_2, v_3 \rangle = \langle v_1, 0, 0 \rangle + \langle 0, v_2, 0 \rangle + \langle 0, 0, v_3 \rangle \\ &= v_1 \langle 1, 0, 0 \rangle + v_2 \langle 0, 1, 0 \rangle + v_3 \langle 0, 0, 1 \rangle \\ &= v_1 \mathbf{i} + v_2 \mathbf{j} + v_3 \mathbf{k}. \end{aligned}$$

$v_1$  skalerine (veya sayısına)  $\mathbf{v}$  vektörünün **i-bileşeni**,  $v_2$ 'ye **j-bileşeni** ve  $v_3$ 'e **k-bileşeni** deriz. Bileşen formunda  $P_1(x_1, y_1, z_1)$ 'den  $P_2(x_2, y_2, z_2)$ 'ye vektörü

$$\overrightarrow{P_1 P_2} = (x_2 - x_1)\mathbf{i} + (y_2 - y_1)\mathbf{j} + (z_2 - z_1)\mathbf{k}$$

dir (Şekil 12.16).

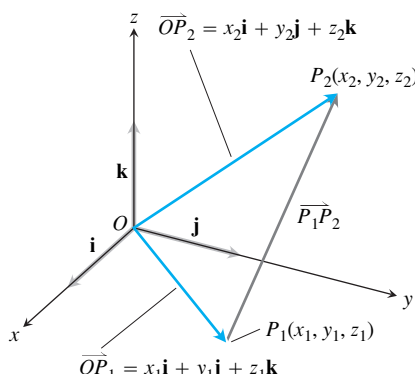
$\mathbf{v} \neq \mathbf{0}$  ise, uzunluğu  $|\mathbf{v}|$  sıfır değildir ve

$$\left| \frac{1}{|\mathbf{v}|} \mathbf{v} \right| = \frac{1}{|\mathbf{v}|} |\mathbf{v}| = 1$$

olur. Yani,  $\mathbf{v}/|\mathbf{v}|$  vektörü  $\mathbf{v}$  yönünde bir birim vektördür. Bu vektöre sıfırdan farklı  $\mathbf{v}$  vektörünün **yönü** denir.

### ÖRNEK 5 Bir Vektörün Yönünü Bulmak

$P_1(1, 0, 1)$ 'den  $P_2(3, 2, 0)$ 'a giden vektör yönünde bir  $\mathbf{u}$  birim vektörü bulun.



**SEKİL 12.16**  $P_1$ 'den  $P_2$ 'ye vektörü  $\overrightarrow{P_1 P_2} = (x_2 - x_1)\mathbf{i} + (y_2 - y_1)\mathbf{j} + (z_2 - z_1)\mathbf{k}$  dir.

**Çözüm**  $\overrightarrow{P_1P_2}$ 'yi uzunluğuyla böleriz:

$$\overrightarrow{P_1P_2} = (3 - 1)\mathbf{i} + (2 - 0)\mathbf{j} + (0 - 1)\mathbf{k} = 2\mathbf{i} + 2\mathbf{j} - \mathbf{k}$$

$$|\overrightarrow{P_1P_2}| = \sqrt{(2)^2 + (2)^2 + (-1)^2} = \sqrt{4 + 4 + 1} = \sqrt{9} = 3$$

$$\mathbf{u} = \frac{\overrightarrow{P_1P_2}}{|\overrightarrow{P_1P_2}|} = \frac{2\mathbf{i} + 2\mathbf{j} - \mathbf{k}}{3} = \frac{2}{3}\mathbf{i} + \frac{2}{3}\mathbf{j} - \frac{1}{3}\mathbf{k}$$

$\mathbf{u}$  birim vektörü  $\overrightarrow{P_1P_2}$ 'nin yönüdür.

**ÖRNEK 6** Hızı Süratin ve Yönü Çarpımı Olarak İfade Etmek

$\mathbf{v} = 3\mathbf{i} - 4\mathbf{j}$  bir hız vektörü ise,  $\mathbf{v}$ 'yi uzunluğunun ve hareket yönündeki bir birim vektörü çarpımı olarak ifade edin.

**Çözüm** Sürat,  $\mathbf{v}$ 'nin büyüklüğü (uzunluğu) dur:

$$|\mathbf{v}| = \sqrt{(3)^2 + (-4)^2} = \sqrt{9 + 16} = 5$$

$\mathbf{v}/|\mathbf{v}|$  birim vektörü  $\mathbf{v}$  ile aynı yöndedir:

$$\frac{\mathbf{v}}{|\mathbf{v}|} = \frac{3\mathbf{i} - 4\mathbf{j}}{5} = \frac{3}{5}\mathbf{i} - \frac{4}{5}\mathbf{j}.$$

Dolayısıyla,

$$\mathbf{v} = 3\mathbf{i} - 4\mathbf{j} = 5 \left( \underbrace{\frac{3}{5}\mathbf{i} - \frac{4}{5}\mathbf{j}}_{\substack{\text{Uzunluk} \\ (\text{Sürat})}} \right) \underbrace{\quad}_{\substack{\text{Hareketin yönü}}} \quad \blacksquare$$

Özet olarak,  $\mathbf{v} = |\mathbf{v}| \frac{\mathbf{v}}{|\mathbf{v}|}$  yazarak sıfırdan farklı herhangi bir  $\mathbf{v}$  vektörünü, iki önemli özelliği, uzunluk ve yönü cinsinden ifade edebiliriz.

$\mathbf{v} \neq \mathbf{0}$  ise,

1.  $\frac{\mathbf{v}}{|\mathbf{v}|} \mathbf{v}$ , yönünde bir birim vektördür;
2.  $\mathbf{v} = |\mathbf{v}| \frac{\mathbf{v}}{|\mathbf{v}|}$  vektörü  $\mathbf{v}$ 'yi uzunluğu ve yönü cinsinden ifade eder.

**ÖRNEK 7** Bir Kuvvet Vektörü

6 Newton'luk bir kuvvet  $\mathbf{v} = 2\mathbf{i} + 2\mathbf{j} - \mathbf{k}$  vektörü yönünde uygulanıyor.  $\mathbf{F}$  kuvvetini büyüklüğünün ve yönünün bir çarpımı olarak ifade edin.

**Çözüm** Kuvvet vektörünün büyüklüğü 6 ve yönü  $\frac{\mathbf{v}}{|\mathbf{v}|}$  dir. Dolayısıyla,

$$\begin{aligned} \mathbf{F} &= 6 \frac{\mathbf{v}}{|\mathbf{v}|} = 6 \frac{2\mathbf{i} + 2\mathbf{j} - \mathbf{k}}{\sqrt{2^2 + 2^2 + (-1)^2}} = 6 \frac{2\mathbf{i} + 2\mathbf{j} - \mathbf{k}}{3} \\ &= 6 \left( \frac{2}{3}\mathbf{i} + \frac{2}{3}\mathbf{j} - \frac{1}{3}\mathbf{k} \right) \end{aligned}$$

dir. ■

### Bir Doğru Parçasının Orta Noktası

Vektörler çoğunlukla geometride faydalıdır. Örneğin, bir doğru parçasının orta noktasının koordinatları ortalama almakla bulunur.

$P_1(x_1, y_1, z_1)$  ve  $P_2(x_2, y_2, z_2)$  noktalarını birleştiren doğru parçasının orta noktası  $M$

$$\left( \frac{x_1 + x_2}{2}, \frac{y_1 + y_2}{2}, \frac{z_1 + z_2}{2} \right)$$

noktasıdır.

Nedenini anlamak için,

$$\begin{aligned}\overrightarrow{OM} &= \overrightarrow{OP}_1 + \frac{1}{2}(\overrightarrow{P}_1\overrightarrow{P}_2) = \overrightarrow{OP}_1 + \frac{1}{2}(\overrightarrow{OP}_2 - \overrightarrow{OP}_1) \\ &= \frac{1}{2}(\overrightarrow{OP}_1 + \overrightarrow{OP}_2) \\ &= \frac{x_1 + x_2}{2}\mathbf{i} + \frac{y_1 + y_2}{2}\mathbf{j} + \frac{z_1 + z_2}{2}\mathbf{k}\end{aligned}$$

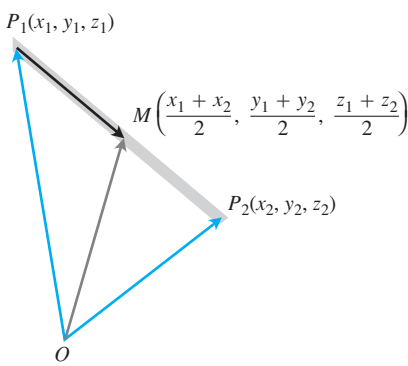
olduğunu gözleyin (Şekil 12.17)

### ÖRNEK 8      Orta Noktaları Bulmak

$P_1(3, -2, 0)$  ve  $P_2(7, 4, 4)$  noktalarını birleştiren doğru parçasının orta noktası

$$\left( \frac{3+7}{2}, \frac{-2+4}{2}, \frac{0+4}{2} \right) = (5, 1, 2)$$

noktasıdır.



**ŞEKİL 12.17** Orta noktasının koordinatları,  $P_1$  ve  $P_2$  koordinatlarının ortalamasıdır.

## ALIŞTIRMALAR 12.2

### Düzlemede Vektörler

1–8 alıştırmalarında  $\mathbf{u} = \langle 3, -2 \rangle$  ve  $\mathbf{v} = \langle -2, 5 \rangle$  olsun. Vektörün **(a)** bileşen formunu ve **(b)** büyüklüğünü (uzunluğunu) bulun.

- |  |  |
|--|--|
| 1. $3\mathbf{u}$                                   | 2. $-2\mathbf{v}$                                      |
| 3. $\mathbf{u} + \mathbf{v}$                       | 4. $\mathbf{u} - \mathbf{v}$                           |
| 5. $2\mathbf{u} - 3\mathbf{v}$                     | 6. $-2\mathbf{u} + 5\mathbf{v}$                        |
| 7. $\frac{3}{5}\mathbf{u} + \frac{4}{5}\mathbf{v}$ | 8. $-\frac{5}{13}\mathbf{u} + \frac{12}{13}\mathbf{v}$ |

9–16 alıştırmalarında vektörün bileşen formunu bulun.

9.  $P = (1, 3)$  ve  $Q = (2, -1)$  olmak üzere  $\overrightarrow{PQ}$ , vektörü
10.  $O$  orijin ve  $P, R = (2, -1)$  ve  $S = (-4, 3)$  noktalarını birleştiren  $RS$  doğru parçasının orta noktası olmak üzere,  $\overrightarrow{OP}$  vektörü
11.  $A = (2, 3)$  noktasından orijine olan vektör
12.  $A = (1, -1), B = (2, 0), C = (-1, 3)$  ve  $D = (-2, 2)$  olmak üzere  $\overrightarrow{AB}$  ve  $\overrightarrow{CD}$  'nin toplamı

13. Pozitif  $x$ -ekseni ile  $\theta = 2\pi/3$  açısını yapan birim vektör
14. Pozitif  $x$ -ekseni ile  $\theta = -3\pi/4$  açısını yapan birim vektör
15.  $\langle 0, 1 \rangle$  vektörünü orijin etrafında saat yönünün tersine  $120^\circ$  çevirmekle elde edilen birim vektör
16.  $\langle 1, 0 \rangle$  vektörünü orijin etrafında saat yönünün tersine  $135^\circ$  çevirmekle elde edilen birim vektör

### Uzayda Vektörler

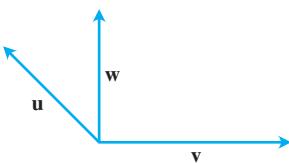
17–22 alıştırmalarında her vektörü  $\mathbf{v} = v_1\mathbf{i} + v_2\mathbf{j} + v_3\mathbf{k}$  formunda ifade edin.

17.  $P_1 = (5, 7, -1)$  noktası ve  $P_2 = (2, 9, -2)$  noktası ise  $\overrightarrow{P_1P_2}$
18.  $P_1 = (1, 2, 0)$  noktası ve  $P_2 = (-3, 0, 5)$  noktası ise  $\overrightarrow{P_1P_2}$
19.  $A = (-7, -8, 1)$  noktası ve  $B = (-10, 8, 1)$  noktası ise  $\overrightarrow{AB}$
20.  $A = (1, 0, 3)$  noktası ve  $B = (-1, 4, 5)$  noktası ise  $\overrightarrow{AB}$
21.  $\mathbf{u} = \langle 1, 1, -1 \rangle$  ve  $\mathbf{v} = \langle 2, 0, 3 \rangle$  ise  $5\mathbf{u} - \mathbf{v}$
22.  $\mathbf{u} = \langle -1, 0, 2 \rangle$  ve  $\mathbf{v} = \langle 1, 1, 1 \rangle$  ise  $-2\mathbf{u} + 3\mathbf{v}$

### Geometri ve Hesaplama

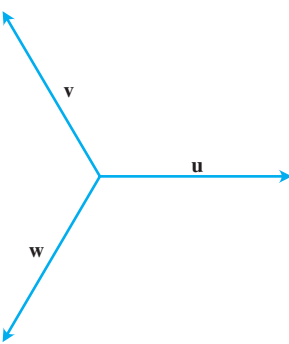
23–24 alıştırmalarında belirtilen vektörü çizmek için vektörleri gerektiği şekilde uça ekleyin.

23.



- a.  $\mathbf{u} + \mathbf{v}$   
b.  $\mathbf{u} + \mathbf{v} + \mathbf{w}$   
c.  $\mathbf{u} - \mathbf{v}$   
d.  $\mathbf{u} - \mathbf{w}$

24.



- a.  $\mathbf{u} - \mathbf{v}$   
b.  $\mathbf{u} - \mathbf{v} + \mathbf{w}$   
c.  $2\mathbf{u} - \mathbf{v}$   
d.  $\mathbf{u} + \mathbf{v} + \mathbf{w}$

### Uzunluk ve Yön

25–30 alıştırmalarında her vektörü uzunluğunun ve yönünün bir çarpımı olarak ifade edin.

25.  $2\mathbf{i} + \mathbf{j} - 2\mathbf{k}$

26.  $9\mathbf{i} - 2\mathbf{j} + 6\mathbf{k}$

27.  $5\mathbf{k}$

28.  $\frac{3}{5}\mathbf{i} + \frac{4}{5}\mathbf{k}$

29.  $\frac{1}{\sqrt{6}}\mathbf{i} - \frac{1}{\sqrt{6}}\mathbf{j} - \frac{1}{\sqrt{6}}\mathbf{k}$

30.  $\frac{\mathbf{i}}{\sqrt{3}} + \frac{\mathbf{j}}{\sqrt{3}} + \frac{\mathbf{k}}{\sqrt{3}}$

31. Uzunluğu ve yönü verilen vektörleri bulun. Hesaplamayı, yazmadan yapmayı deneyin.

Uzunluk	Yön
a. 2	$\mathbf{i}$
b. $\sqrt{3}$	$-\mathbf{k}$
c. $\frac{1}{2}$	$\frac{3}{5}\mathbf{j} + \frac{4}{5}\mathbf{k}$
d. 7	$\frac{6}{7}\mathbf{i} - \frac{2}{7}\mathbf{j} + \frac{3}{7}\mathbf{k}$

32. Uzunluğu ve yönü verilen vektörleri bulun. Hesaplamayı, yazmadan yapmayı deneyin.

Uzunluk	Yön
a. 7	$-\mathbf{j}$
b. $\sqrt{2}$	$-\frac{3}{5}\mathbf{i} - \frac{4}{5}\mathbf{k}$
c. $\frac{13}{12}$	$\frac{3}{13}\mathbf{i} - \frac{4}{13}\mathbf{j} - \frac{12}{13}\mathbf{k}$
d. $a > 0$	$\frac{1}{\sqrt{2}}\mathbf{i} + \frac{1}{\sqrt{3}}\mathbf{j} - \frac{1}{\sqrt{6}}\mathbf{k}$

33.  $\mathbf{v} = 12\mathbf{i} - 5\mathbf{k}$  yönünde, büyüklüğü 7 olan bir vektör bulun.

34.  $\mathbf{v} = (1/2)\mathbf{i} - (1/2)\mathbf{j} - (1/2)\mathbf{k}$ 'nın ters yönünde, büyüklüğü 3 olan bir vektör bulun.

### Noktalarla Belirlenen Vektörler; Orta Noktalar

35–38 alıştırmalarında

- a.  $\overrightarrow{P_1P_2}$ 'nin yönünü ve  
b.  $P_1P_2$  doğru parçasının orta noktasını bulun.

35.  $P_1(-1, 1, 5)$      $P_2(2, 5, 0)$

36.  $P_1(1, 4, 5)$      $P_2(4, -2, 7)$

37.  $P_1(3, 4, 5)$      $P_2(2, 3, 4)$

38.  $P_1(0, 0, 0)$      $P_2(2, -2, -2)$

39.  $\overrightarrow{AB} = \mathbf{i} + 4\mathbf{j} - 2\mathbf{k}$  ve  $B = (5, 1, 3)$  ise  $A$ 'yı bulun.

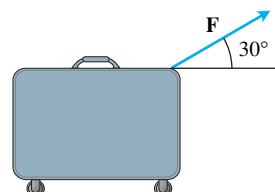
40.  $\overrightarrow{AB} = -7\mathbf{i} + 3\mathbf{j} + 8\mathbf{k}$  ve  $A = (-2, -3, 6)$  ise  $B$ 'yı bulun.

### Teori ve Uygulamalar

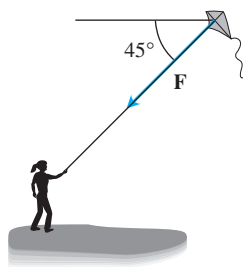
41. **Lineer Birleşim**  $\mathbf{u} = 2\mathbf{i} + \mathbf{j}$ ,  $\mathbf{v} = \mathbf{i} + \mathbf{j}$  ve  $\mathbf{w} = \mathbf{i} - \mathbf{j}$  olsun.  $\mathbf{u} = a\mathbf{v} + b\mathbf{w}$  olacak şekilde a ve b skalerleri bulun.

42. **Lineer Birleşim**  $\mathbf{u} = \mathbf{i} - 2\mathbf{j}$ ,  $\mathbf{v} = 2\mathbf{i} + 3\mathbf{j}$  ve  $\mathbf{w} = \mathbf{i} + \mathbf{j}$  olsun  $\mathbf{u}_1$  vektörü  $\mathbf{v}$ 'ye paralel  $\mathbf{u}_2$  vektörü  $\mathbf{w}$ 'ya paralel olmak üzere  $\mathbf{u} = \mathbf{u}_1 + \mathbf{u}_2$  olarak yazın (Alıştırma 41'e bakın).

43. **Kuvvet vektörü** Bir bavulu (aşağıda çizili) büyüklüğü  $|\mathbf{F}| = 10$  lb olan bir kuvvetle çekiyorsunuz.  $\mathbf{F}$ 'nin  $\mathbf{i}$ - ve  $\mathbf{j}$ - bileşenlerini bulun.

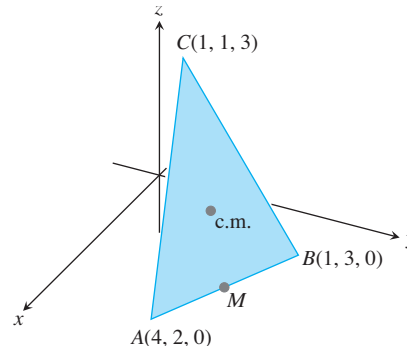


44. **Kuvvet vektörü** Bir uçak ipi, uçurtmaya yatayla  $45^\circ$ lik bir açı yapan 12 lb'luk ( $|\mathbf{F}| = 12$ ) bir kuvvet uygulamaktadır.  $\mathbf{F}$ 'nin yatay ve dikey bileşenlerini bulun.



- 45. Hız** Bir uçak kuzeyin  $25^\circ$  batısı yönünde  $800 \text{ km/sa}$  ile uçuyor. Pozitif  $x$ -ekseninin doğuya ve pozitif  $y$ -ekseninin kuzeyi gösterdiğini kabul ederek uçağın hızının bileşen formunu bulun.
- 46. Hız** Bir uçak güneyin  $10^\circ$  doğusu yönünde  $600 \text{ km/sa}$  ile uçuyor. Pozitif  $x$ -ekseninin doğuya ve pozitif  $y$ -ekseninin kuzeyi gösterdiğini kabul ederek uçağın hızının bileşen formunu bulun.
- 47. Konum** Bir kuş yuvasından doğunun  $60^\circ$  kuzeyi yönünde  $5 \text{ km}$  uçuyor ve buradaki bir ağaçta durup dinleniyor. Sonra  $10 \text{ km}$  güneydoğuya uçarak bir telefon direğinde duruyor. Orijini kuş yuvası olan,  $x$ -ekseninin doğuya,  $y$ -ekseninin kuzeyi gösterdiği bir  $xy$ -koordinat sistemi çizin.
- Ağaç hangi noktadadır?
  - Telefon direğii hangi noktadadır?
- 48.**  $P_1(x_1, y_1, z_1)$  noktasından  $P_2(x_2, y_2, z_2)$  noktasına olan doğru parçasını  $p/q = r$  oranı ile iki uzunluğa bölen  $Q$  noktasının koordinatlarını bulmak için benzer üçgenler kullanın.
- 49. Bir üçgenin kenarortayları**  $A$ ,  $B$  ve  $C$ 'nin aşağıda gösterilen sabit yoğunluklu ince üçgen plakanın köşe noktaları olduğunu varsayıyın.
- $C$ 'den  $AB$  kenarının orta noktası  $M$ 'ye giden vektörü bulun.
  - $C$ 'den,  $CM$  kenarortayında  $C$ 'den  $M$ 'ye olan uzaklığın üçte ikisinde bulunan noktaya giden vektörü bulun.

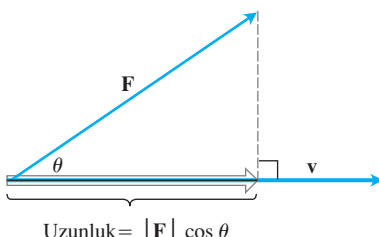
- c.**  $\Delta ABC$ 'nin kenarortalarının kesitleri noktanın koordinatlarını bulun. Bölüm 6.4, Alıştırma 29'a göre, bu nokta plakanın kütleye merkezidir.



- 50. Orijinden, köşeleri**  $A(1, -1, 2)$ ,  $B(2, 1, 3)$  ve  $C(-1, 2, -1)$  olan üçgenin kenarortalarının kesitleri noktaya giden vektörü bulun.
- 51.**  $ABCD$  uzayda genel, düzlemsel olması gerekmeyen bir dört kenarlı olsun.  $ABCD$ 'nin karşılıklı kenarlarının orta noktalarını birleştiren iki doğrunun birbirlerini kestiğini gösterin. (İpucu: Doğru parçalarının orta noktalarının aynı olduğunu gösterin.)
- 52.** Düzlemede, düzgün bir  $n$ -kenarlı çokgenin merkezinden çokgenin köşelerine vektörler çiziliyor. Vektörlerin toplamının sıfır olduğunu gösterin. (İpucu: Çokgeni, merkezi etrafında döndürdüğünüzde toplam ne olur?)
- 53.**  $A$ ,  $B$  ve  $C$ 'nin bir üçgenin köşeleri olduğunu ve  $a$ ,  $b$  ve  $c$ 'nin, sırasıyla bunların karşısındaki kenarların orta noktaları olduğunu varsayıyın.  $\overrightarrow{Aa} + \overrightarrow{Bb} + \overrightarrow{Cc} = 0$  olduğunu gösterin.
- 54. Düzlemede birim vektörler** Düzlemede bir birim vektörün,  $\mathbf{i}$  vektörünü saat yönünün tersine  $\theta$  açısı kadar çevirmekle elde edilen  $\mathbf{u} = (\cos \theta)\mathbf{i} + (\sin \theta)\mathbf{j}$  vektörü olarak yazılabilceğini gösterin.

## 12.3

### Nokta Çarpımı (Skaler Çarpım)

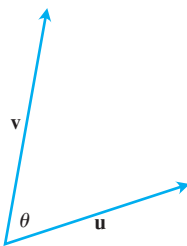


$$\text{Uzunluk} = |\mathbf{F}| \cos \theta$$

**SEKİL 12.18**  $\mathbf{F}$  kuvvetinin  $\mathbf{v}$  vektörü yönündeki büyüklüğü,  $\mathbf{F}'$  nin  $\mathbf{v}$  vektörü üzerine izdüşümünün  $|\mathbf{F}| \cos \theta$  uzunluguudur.

Bir yol boyunca hareket eden bir parçacığa bir  $\mathbf{F}$  kuvveti uygulandığında, çoğunlukla kuvvetin hareket yönündeki büyülüğünü bilmek ihtiyacını duyuyor.  $\mathbf{v}$  vektörü  $\mathbf{F}$ 'nin uygulandığı noktada yol'un teğet doğrusuna paralel ise  $\mathbf{F}$ 'nin  $\mathbf{v}$  yönündeki büyülüğünü isteriz. Şekil 12.18 aradığımız skalerin,  $\mathbf{F}$  ile  $\mathbf{v}$  vektörleri arasındaki açı  $\theta$  olmak üzere,  $|\mathbf{F}| \cos \theta$ , uzunluğu olduğunu göstermektedir.

Bu bölümde, iki vektör arasındaki açının, bileşenlerinden doğrudan nasıl kolayca hesaplanabileceğini göstereceğiz. Hesaplamanın anahtar parçası, *nokta çarpımı* denen bir ifadedir. Nokta çarpımlarına ayrıca, çarpımın sonucunun vektör değil skaler olmasından dolayı, *skaler çarpımlar* da denir. Nokta çarpımını inceledikten sonra, bunu bir vektörün başka bir vektör üzerine izdüşümünü (Şekil 12.18'de gösterildiği gibi) bulmak için ve bir yer değiştirme boyunca etki eden sabit bir kuvvetin yaptığı işi bulmak için kullanacağız.



**ŞEKİL 12.19**  $\mathbf{u}$  ve  $\mathbf{v}$  vektörleri arasındaki açı.

### Vektörler Arasındaki Açı

Sıfırdan farklı iki  $\mathbf{u}$  ve  $\mathbf{v}$  vektörü başlangıç noktaları çakışacak şekilde yerleştirildiğinde,  $0 \leq \theta \leq \pi$  ölçülü bir  $\theta$  açısı oluştururlar (Şekil 12.19). Vektörler aynı doğru üzerinde değil ise  $\theta$  açısı her iki vektörü de içeren düzlem içinde ölçülür. Aynı doğru üzerinde iseler ve aynı yönü gösteriyorlarsa aralarındaki açı 0, ters yönü gösteriyorlarsa aralarındaki açı  $\pi$ 'dir.  $\theta$  açısı  $\mathbf{u}$  ile  $\mathbf{v}$  arasındaki açıdır. Teorem 1 bu açıyı belirlemek için bir formül verir.

### TEOREM 1 İki Vektör Arasındaki Açı

Sıfırdan farklı  $\mathbf{u} = \langle u_1, u_2, u_3 \rangle$  ve  $\mathbf{v} = \langle v_1, v_2, v_3 \rangle$  vektörleri arasındaki  $\theta$  açısı

$$\theta = \cos^{-1} \left( \frac{u_1 v_1 + u_2 v_2 + u_3 v_3}{|\mathbf{u}| |\mathbf{v}|} \right)$$

ile verilir.

Teorem 1'i ispat etmeden önce (Kosinüs Teoreminin bir sonucudur) dikkatimizi  $u_1 v_1 + u_2 v_2 + u_3 v_3$ 'nın hesaplanmasıındaki  $\theta$  ifadesine odaklayalım.

### TANIM

### Nokta Çarpımı

$\mathbf{u} = \langle u_1, u_2, u_3 \rangle$  ve  $\mathbf{v} = \langle v_1, v_2, v_3 \rangle$  vektörlerinin  $\mathbf{u} \cdot \mathbf{v}$  (" $\mathbf{u}$  nokta  $\mathbf{v}$ ") nokta çarpımı

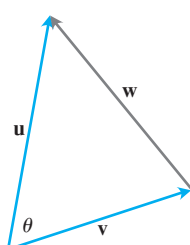
$$\mathbf{u} \cdot \mathbf{v} = u_1 v_1 + u_2 v_2 + u_3 v_3$$

dir.

### ÖRNEK 1 Nokta Çarpımını Bulmak

$$\begin{aligned} \mathbf{(a)} \quad \langle 1, -2, -1 \rangle \cdot \langle -6, 2, -3 \rangle &= (1)(-6) + (-2)(2) + (-1)(-3) \\ &= -6 - 4 + 3 = -7 \end{aligned}$$

$$\mathbf{(b)} \quad \left( \frac{1}{2} \mathbf{i} + 3\mathbf{j} + \mathbf{k} \right) \cdot (4\mathbf{i} - \mathbf{j} + 2\mathbf{k}) = \left( \frac{1}{2} \right)(4) + (3)(-1) + (1)(2) = 1$$



**ŞEKİL 12.20** Vektörlerin toplamı için paralelkenar kuralı  $\mathbf{w} = \mathbf{u} - \mathbf{v}$  verir.

**Teorem 1'in ispatı** Şekil 12.20'deki üçgene Kosinüs Teoremini (Bölüm 1.6, Denklem (6)) uygulayarak

$$|\mathbf{w}|^2 = |\mathbf{u}|^2 + |\mathbf{v}|^2 - 2|\mathbf{u}||\mathbf{v}| \cos \theta \quad \text{Kosinüs Teoremi}$$

$$2|\mathbf{u}||\mathbf{v}| \cos \theta = |\mathbf{u}|^2 + |\mathbf{v}|^2 - |\mathbf{w}|^2$$

buluruz.

$\mathbf{w} = \mathbf{u} - \mathbf{v}$  olduğundan  $\mathbf{w}$ 'nun bileşen formu  $\langle u_1 - v_1, u_2 - v_2, u_3 - v_3 \rangle$  tür. Dolayısıyla,

$$\begin{aligned} |\mathbf{u}|^2 &= (\sqrt{u_1^2 + u_2^2 + u_3^2})^2 = u_1^2 + u_2^2 + u_3^2 \\ |\mathbf{v}|^2 &= (\sqrt{v_1^2 + v_2^2 + v_3^2})^2 = v_1^2 + v_2^2 + v_3^2 \\ |\mathbf{w}|^2 &= (\sqrt{(u_1 - v_1)^2 + (u_2 - v_2)^2 + (u_3 - v_3)^2})^2 \\ &= (u_1 - v_1)^2 + (u_2 - v_2)^2 + (u_3 - v_3)^2 \\ &= u_1^2 - 2u_1v_1 + v_1^2 + u_2^2 - 2u_2v_2 + v_2^2 + u_3^2 - 2u_3v_3 + v_3^2 \end{aligned}$$

ve

$$|\mathbf{u}|^2 + |\mathbf{v}|^2 - |\mathbf{w}|^2 = 2(u_1v_1 + u_2v_2 + u_3v_3)$$

bulunur. Bu nedenle,

$$\begin{aligned} 2|\mathbf{u}||\mathbf{v}|\cos\theta &= |\mathbf{u}|^2 + |\mathbf{v}|^2 - |\mathbf{w}|^2 = 2(u_1v_1 + u_2v_2 + u_3v_3) \\ |\mathbf{u}||\mathbf{v}|\cos\theta &= u_1v_1 + u_2v_2 + u_3v_3 \\ \cos\theta &= \frac{u_1v_1 + u_2v_2 + u_3v_3}{|\mathbf{u}||\mathbf{v}|} \end{aligned}$$

Dolayısıyla

$$\theta = \cos^{-1}\left(\frac{u_1v_1 + u_2v_2 + u_3v_3}{|\mathbf{u}||\mathbf{v}|}\right)$$

bulunur. ■

Nokta çarpımı notasyonu ile  $\mathbf{u}$  ve  $\mathbf{v}$  vektörleri arasındaki açı

$$\theta = \cos^{-1}\left(\frac{\mathbf{u} \cdot \mathbf{v}}{|\mathbf{u}||\mathbf{v}|}\right)$$

olarak yazılabilir.

**ÖRNEK 2** Uzaydaki İki Vektör Arasındaki Açıyı Bulmak

$\mathbf{u} = \mathbf{i} - 2\mathbf{j} - 2\mathbf{k}$  ile  $\mathbf{v} = 6\mathbf{i} + 3\mathbf{j} + 2\mathbf{k}$  arasındaki açıyı bulun.

**Çözüm** Yukarıdaki formülü kullanırız:

$$\mathbf{u} \cdot \mathbf{v} = (1)(6) + (-2)(3) + (-2)(2) = 6 - 6 - 4 = -4$$

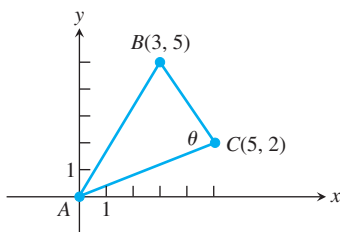
$$|\mathbf{u}| = \sqrt{(1)^2 + (-2)^2 + (-2)^2} = \sqrt{9} = 3$$

$$|\mathbf{v}| = \sqrt{(6)^2 + (3)^2 + (2)^2} = \sqrt{49} = 7$$

$$\theta = \cos^{-1}\left(\frac{\mathbf{u} \cdot \mathbf{v}}{|\mathbf{u}||\mathbf{v}|}\right)$$

$$= \cos^{-1}\left(\frac{-4}{(3)(7)}\right) \approx 1.76 \text{ radyan}$$

Açı formülü iki boyutlu vektörlere de uygulanabilir. ■



**ŞEKİL 12.21** Örnek 3'teki üçgen.

### ÖRNEK 3 Bir Üçgenin Bir Açısını Bulmak

$A = (0, 0)$ ,  $B = (3, 5)$  ve  $C = (5, 2)$  noktaları ile belirlenen  $ABC$  üçgenindeki (Şekil 12.21)  $\theta$  açısını bulun.

**Çözüm**  $\theta$  açısı,  $\vec{CA}$  ve  $\vec{CB}$  vektörleri arasındaki açıdır. Bu iki vektörün bileşen formları

$$\vec{CA} = \langle -5, -2 \rangle \quad \text{ve} \quad \vec{CB} = \langle -2, 3 \rangle$$

tür. Önce bu iki vektörün nokta çarpımını ve büyüklüklerini hesaplarız.

$$\vec{CA} \cdot \vec{CB} = (-5)(-2) + (-2)(3) = 4$$

$$|\vec{CA}| = \sqrt{(-5)^2 + (-2)^2} = \sqrt{29}$$

$$|\vec{CB}| = \sqrt{(-2)^2 + (3)^2} = \sqrt{13}$$

Sonra, açı formülünü uygulayarak

$$\begin{aligned}\theta &= \cos^{-1} \left( \frac{\vec{CA} \cdot \vec{CB}}{|\vec{CA}| |\vec{CB}|} \right) \\ &= \cos^{-1} \left( \frac{4}{(\sqrt{29})(\sqrt{13})} \right) \\ &\approx 78.1^\circ \quad \text{veya} \quad 1.36 \text{ radyan}\end{aligned}$$

buluruz. ■

### Dik (Orthogonal) Vektörler

Sıfırdan farklı  $\mathbf{u}$  ve  $\mathbf{v}$  vektörleri, aralarındaki açı  $\pi/2$  ise dik veya **ortogonal**dirler. Bu tip vektörler için, otomatik olarak  $\mathbf{u} \cdot \mathbf{v} = 0$  olur, çünkü  $\cos(\pi/2) = 0$ 'dır. Tersi de doğrudur.  $\mathbf{u}$  ve  $\mathbf{v}$ ,  $\mathbf{u} \cdot \mathbf{v} = |\mathbf{u}| |\mathbf{v}| \cos \theta = 0$  ile sıfırdan farklı vektörlerse,  $\cos \theta = 0$  ve  $\theta = \cos^{-1} 0 = \pi/2$  olur.

#### TANIM

#### Orthogonal Vektörler

$\mathbf{u}$  ve  $\mathbf{v}$  vektörleri ancak ve yalnız  $\mathbf{u} \cdot \mathbf{v} = 0$  ise **orthogonal**dirler (veya diktirler).

### ÖRNEK 4 Diklik Tanımını Uygulamak

- (a)  $\mathbf{u} \cdot \mathbf{v} = (3)(4) + (-2)(6) = 0$  olduğundan  $\mathbf{u} = \langle 3, -2 \rangle$  ve  $\mathbf{v} = \langle 4, 6 \rangle$  vektörleri **orthogonal**dir.
- (b)  $\mathbf{u} \cdot \mathbf{v} = (3)(0) + (-2)(2) + (1)(4) = 0$  olduğundan  $\mathbf{u} = 3\mathbf{i} - 2\mathbf{j} + \mathbf{k}$  ve  $\mathbf{v} = 2\mathbf{j} + 4\mathbf{k}$  vektörleri **orthogonal**dir.
- (c)  $\mathbf{0}$  vektörü her  $\mathbf{u}$  vektörüne **orthogonal**dir:

$$\begin{aligned}\mathbf{0} \cdot \mathbf{u} &= \langle 0, 0, 0 \rangle \cdot \langle u_1, u_2, u_3 \rangle \\ &= (0)(u_1) + (0)(u_2) + (0)(u_3) \\ &= 0\end{aligned}$$

### Nokta Çarpım Özellikleri ve İzdüşüm Vektörleri

Nokta çarpımı, reel sayıların (skalerlerin) sıradan çarpma kuralları için sağlanan bir çok kurala uyar.

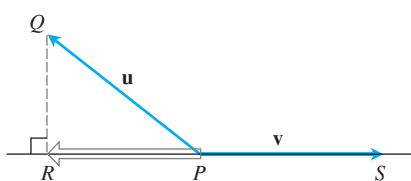
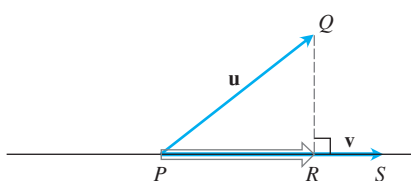
#### Nokta Çarpımının Özellikleri

$\mathbf{u}$ ,  $\mathbf{v}$  ve  $\mathbf{w}$  herhangi vektörler ve  $c$  bir skaler ise

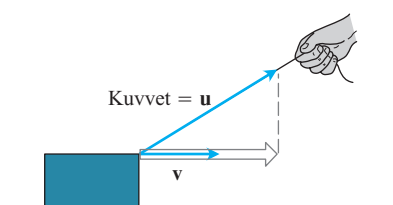
1.  $\mathbf{u} \cdot \mathbf{v} = \mathbf{v} \cdot \mathbf{u}$
2.  $(c\mathbf{u}) \cdot \mathbf{v} = \mathbf{u} \cdot (c\mathbf{v}) = c(\mathbf{u} \cdot \mathbf{v})$
3.  $\mathbf{u} \cdot (\mathbf{v} + \mathbf{w}) = \mathbf{u} \cdot \mathbf{v} + \mathbf{u} \cdot \mathbf{w}$
4.  $\mathbf{u} \cdot \mathbf{u} = |\mathbf{u}|^2$
5.  $\mathbf{0} \cdot \mathbf{u} = 0$ .

#### TARİHSEL BİYOGRAFİ

Carl Friedrich Gauss  
(1777–1855)



**SEKİL 12.22**  $\mathbf{u}$ 'nın  $\mathbf{v}$  üzerine iz düşüm vektörü.



**SEKİL 12.23** Kutuya  $\mathbf{u}$  kuvveti ile çekersek, kutuyu  $\mathbf{v}$  yönünde hareket ettiren etkili kuvvet  $\mathbf{u}$ 'nın  $\mathbf{v}$  üzerine izdüşüm vektörüdür.

**1 ve 3 Özelliklerinin İspatları** Tanımı kullanarak özellikleri ispatlamak kolaydır. Örneğin, 1 ve 3 Özelliklerinin ispatları aşağıdadır.

1.  $\mathbf{u} \cdot \mathbf{v} = u_1 v_1 + u_2 v_2 + u_3 v_3 = v_1 u_1 + v_2 u_2 + v_3 u_3 = \mathbf{v} \cdot \mathbf{u}$
3.  $\mathbf{u} \cdot (\mathbf{v} + \mathbf{w}) = \langle u_1, u_2, u_3 \rangle \cdot \langle v_1 + w_1, v_2 + w_2, v_3 + w_3 \rangle$ 

$$= u_1(v_1 + w_1) + u_2(v_2 + w_2) + u_3(v_3 + w_3)$$

$$= u_1 v_1 + u_1 w_1 + u_2 v_2 + u_2 w_2 + u_3 v_3 + u_3 w_3$$

$$= (u_1 v_1 + u_2 v_2 + u_3 v_3) + (u_1 w_1 + u_2 w_2 + u_3 w_3)$$

$$= \mathbf{u} \cdot \mathbf{v} + \mathbf{u} \cdot \mathbf{w}$$
■

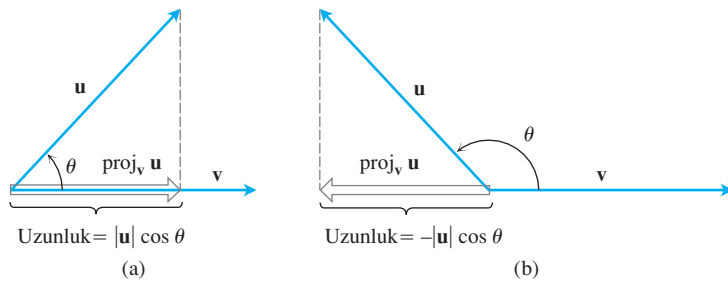
Simdi, bu bölümün başında sözü edilen, bir vektörün bir diğerine iz düşürülmesi problemine dönüyoruz.  $\mathbf{u} = \overrightarrow{PQ}$ 'nun sıfırdan farklı  $\mathbf{v} = \overrightarrow{PS}$  vektörü üzerine **iz düşüm vektörü** (Şekil 12.22),  $Q$ 'dan  $PS$  doğrusuna çizilen dik doğru ile belirlenen  $\overrightarrow{PR}$  vektördür. Bu vektör için notasyon

$\text{proj}_{\mathbf{v}} \mathbf{u}$  (" $\mathbf{u}$ 'nın  $\mathbf{v}$  üzerine iz düşüm vektörü")

$\mathbf{u}$  vektörü bir kuvveti temsil ediyorsa  $\text{proj}_{\mathbf{v}} \mathbf{u}$  vektörü  $\mathbf{v}$  yönündeki etkili kuvveti temsil eder (Şekil 12.23).

$\mathbf{u}$  ve  $\mathbf{v}$  arasındaki  $\theta$  açısı dar açı ise  $\text{proj}_{\mathbf{v}} \mathbf{u}$ 'nın uzunluğu  $|\mathbf{u}| \cos \theta$  ve yönü  $\mathbf{v}/|\mathbf{v}|$  dir (Şekil 12.24).  $\theta$  açısı geniş açı ise,  $\cos \theta < 0$  ve  $\text{proj}_{\mathbf{v}} \mathbf{u}$ 'nın uzunluğu  $-|\mathbf{u}| \cos \theta$  yönü  $-\mathbf{v}/|\mathbf{v}|$  dir. Her iki durumda

$$\begin{aligned} \text{proj}_{\mathbf{v}} \mathbf{u} &= (|\mathbf{u}| \cos \theta) \frac{\mathbf{v}}{|\mathbf{v}|} \\ &= \left( \frac{\mathbf{u} \cdot \mathbf{v}}{|\mathbf{v}|} \right) \frac{\mathbf{v}}{|\mathbf{v}|} \quad |\mathbf{u}| \cos \theta = \frac{|\mathbf{u}| |\mathbf{v}| \cos \theta}{|\mathbf{v}|} = \frac{\mathbf{u} \cdot \mathbf{v}}{|\mathbf{v}|} \\ &= \left( \frac{\mathbf{u} \cdot \mathbf{v}}{|\mathbf{v}|^2} \right) \mathbf{v}. \end{aligned}$$



**ŞEKİL 12.24**  $\text{proj}_v \mathbf{u}$ 'nın uzunluğu (a)  $\cos \theta \geq 0$  ise  $|\mathbf{u}| \cos \theta$  ve  
 (b)  $\cos \theta < 0$  ise  $-|\mathbf{u}| \cos \theta$  dir.

$|\mathbf{u}| \cos \theta$  sayısına  $\mathbf{u}$ 'nın  $\mathbf{v}$  yönündeki skaler bileşeni denir. Özet olarak,

**u**'nın **v** üzerine izdüşüm vektörü:

$$\text{proj}_{\mathbf{v}} \mathbf{u} = \left( \frac{\mathbf{u} \cdot \mathbf{v}}{|\mathbf{v}|^2} \right) \mathbf{v} \quad [1]$$

**u**'nun **v** yönündeki skaler bileşeni:

$$|\mathbf{u}| \cos \theta = \frac{\mathbf{u} \cdot \mathbf{v}}{|\mathbf{v}|} = \mathbf{u} \cdot \frac{\mathbf{v}}{|\mathbf{v}|} \quad [2]$$

**u**'nun **v** üzerine iz düşüm vektörünün ve **u**'nun **v** yönündeki skaler bileşeninin ikisinin de sadece **v**'nin yönüne bağlı olduğuna uzunluğuna bağlı olmadığını dikkat edin (çünkü **u**'yu **v**'nin yönü olan **v**/|**v**| ile çarpıyoruz).

### **ÖRNEK 5** İz Düsüm Vektörü Bulmak

**u** = 6**i** + 3**j** + 2**k**'nin **v** = **i** - 2**j** - 2**k** üzerine izdüşüm vektörünü ve **u**'nun **v** yönündeki skaler bileşenini bulun.

**Cözüm**  $\mathbf{proj}_v \mathbf{u}'$ yu (1) denkleminden buluruz

$$\begin{aligned}\text{proj}_{\mathbf{v}} \mathbf{u} &= \frac{\mathbf{u} \cdot \mathbf{v}}{\mathbf{v} \cdot \mathbf{v}} \mathbf{v} = \frac{6 - 6 - 4}{1 + 4 + 4} (\mathbf{i} - 2\mathbf{j} - 2\mathbf{k}) \\ &= -\frac{4}{9}(\mathbf{i} - 2\mathbf{j} - 2\mathbf{k}) = -\frac{4}{9}\mathbf{i} + \frac{8}{9}\mathbf{j} + \frac{8}{9}\mathbf{k}\end{aligned}$$

$\mathbf{u}$ 'nın  $v$  yönündeki skaler bileşenini (2) denkleminden buluruz:

$$|\mathbf{u}| \cos \theta = \mathbf{u} \cdot \frac{\mathbf{v}}{|\mathbf{v}|} = (6\mathbf{i} + 3\mathbf{j} + 2\mathbf{k}) \cdot \left( \frac{1}{3}\mathbf{i} - \frac{2}{3}\mathbf{j} - \frac{2}{3}\mathbf{k} \right)$$

$$= 2 - 2 - \frac{4}{3} = -\frac{4}{3}$$

(1) ve (2) denklemleri iki boyutlu vektörlere de uygulanır.

### ÖRNEK 6 Iz Düşüm Vektörü ve Skaler Bileşeni Bulmak

Bir  $\mathbf{F} = 5\mathbf{i} + 2\mathbf{j}$  kuvvetinin  $\mathbf{v} = \mathbf{i} - 3\mathbf{j}$  üzerine iz düşüm vektörünü ve  $\mathbf{F}$ 'nin  $\mathbf{v}$  yönündeki skaler bileşenini bulun.

**Çözüm** Iz düşüm vektörü

$$\begin{aligned}\text{proj}_{\mathbf{v}} \mathbf{F} &= \left( \frac{\mathbf{F} \cdot \mathbf{v}}{|\mathbf{v}|^2} \right) \mathbf{v} \\ &= \frac{5 - 6}{1 + 9} (\mathbf{i} - 3\mathbf{j}) = -\frac{1}{10} (\mathbf{i} - 3\mathbf{j}) \\ &= -\frac{1}{10} \mathbf{i} + \frac{3}{10} \mathbf{j}.\end{aligned}$$

dir.  $\mathbf{F}$ 'nin  $\mathbf{v}$  yönündeki skaler bileşeni

$$|\mathbf{F}| \cos \theta = \frac{\mathbf{F} \cdot \mathbf{v}}{|\mathbf{v}|} = \frac{5 - 6}{\sqrt{1 + 9}} = -\frac{1}{\sqrt{10}}$$

dir. ■

### İş

Bölüm 6'da, büyüklüğü  $F$  olan sabit bir kuvvetin bir cismi bir  $d$  mesafesi boyunca hareket ettirirken yaptığı iş  $W = Fd$  olarak hesapladık. Bu formül sadece kuvvet hareket doğrultusunda yönlenmişse geçerlidir. Bir cismi bir  $\mathbf{D} = \overrightarrow{PQ}$  yer değiştirmesi boyunca hareket ettiren bir  $\mathbf{F}$  kuvvetinin başka bir yöne varsa, iş  $\mathbf{F}$ 'nin  $\mathbf{D}$  yönündeki bileşeni tarafından yapılır.  $\theta$ ,  $\mathbf{F}$  ile  $\mathbf{D}$  arasındaki açıysa (Şekil 12.25),

$$\begin{aligned}\text{İş} &= \left( \begin{array}{l} \mathbf{F}'\text{nin } \mathbf{D} \text{ yönündeki} \\ \text{skaler bileşeni} \end{array} \right) (\mathbf{D}'\text{nin uzunluğu}) \\ &= (|\mathbf{F}| \cos \theta) |\mathbf{D}| \\ &= \mathbf{F} \cdot \mathbf{D}\end{aligned}$$

olur.

#### TANIM

#### Sabit Kuvvetin Yaptığı İş

Bir  $\mathbf{D} = \overrightarrow{PQ}$  yer değiştirmesi boyunca etkiyen sabit bir  $\mathbf{F}$  kuvvetinin yaptığı iş,  $\theta$   $\mathbf{F}$  ile  $\mathbf{D}$  arasındaki açı olmak üzere

$$W = \mathbf{F} \cdot \mathbf{D} = |\mathbf{F}| |\mathbf{D}| \cos \theta,$$

olarak bulunur.

### ÖRNEK 7 İş Tanımını Uygulamak

$|\mathbf{F}| = 40 \text{ N}$  (newton),  $|\mathbf{D}| = 3 \text{ m}$  ve  $\theta = 60^\circ$  ise,  $P$ 'den  $Q$ 'ya kadar etkiyen  $\mathbf{F}$ 'nin yaptığı iş

$$\begin{aligned}\text{İş} &= |\mathbf{F}| |\mathbf{D}| \cos \theta && \text{Tanım} \\ &= (40)(3) \cos 60^\circ && \text{Verilen değerler} \\ &= (120)(1/2) \\ &= 60 \text{ J (Jul)}\end{aligned}$$

olarak bulunur. ■

Bölüm 16'da, değişken bir kuvvetin uzaydaki bir yol boyunca yaptığı işi bulmayı öğrenirken daha zor bir probleme karşılaşıyoruz.

### Bir Vektörü Ortogonal Vektörlerin Bir Toplamı Olarak Yazmak

Bir  $\mathbf{u} = \langle u_1, u_2 \rangle$  veya  $\mathbf{u} = \langle u_1, u_2, u_3 \rangle$  vektörünü iki ortogonal vektörün bir toplamı olarak yazmak için bir yol biliyoruz.:

$$\mathbf{u} = u_1 \mathbf{i} + u_2 \mathbf{j} \quad \text{veya} \quad \mathbf{u} = u_1 \mathbf{i} + (u_2 \mathbf{j} + u_3 \mathbf{k})$$

( $\mathbf{i} \cdot \mathbf{j} = \mathbf{i} \cdot \mathbf{k} = \mathbf{j} \cdot \mathbf{k} = 0$  olduğundan).

Halbuki, bazen  $\mathbf{u}$ 'yu farklı bir toplam olarak yazmak daha bilgilendircidir. Örneğin, mekanikte, çoğunlukla bir  $\mathbf{u}$  vektörünü verilen bir  $\mathbf{v}$  vektörüne paralel ve  $\mathbf{v}$  vektörüne dik iki vektörün toplamı olarak yazma gereksinimi duyuyoruz. Bir örnek olarak, düzlemede (veya uzayda) bir yol üzerinde hareket eden bir parçacığın hareketinin incelenmesinde, ivme vektörünün yolun (bir noktada) teğeti yönündeki ve yolun normali yönündeki bileşenlerinin bilinmesi arzu edilen bir şeydir (İşmenin bu *teğetsel* ve *normal* bileşenleri Bölüm 13.4'te incelenmektedir). Bu durumda ivme vektörü teğetsel ve normal (vektör) bileşenleri cinsinden ifade edilebilir (bu ifade yolun özellikleri hakkında, burulma gibi, önemli geometrik özelliklerini *yansıtır*). Hız ve ivme vektörleri sonraki bölümde incelenmektedir.

Genel olarak,  $\mathbf{u}$  ve  $\mathbf{v}$  vektörleri için

$$\mathbf{u} - \text{proj}_{\mathbf{v}} \mathbf{u}$$

vektörünün ( $\mathbf{v}$  ile aynı yönde olan)  $\text{proj}_{\mathbf{v}} \mathbf{u}$  iz düşüm vektörüne ortogonal olduğu Şekil 12.26'dan kolayca görülebilir. Aşağıdaki hesaplama bu gözlemi doğrulamaktadır:

$$\begin{aligned}
 (\mathbf{u} - \text{proj}_{\mathbf{v}} \mathbf{u}) \cdot \text{proj}_{\mathbf{v}} \mathbf{u} &= \left( \mathbf{u} - \left( \frac{\mathbf{u} \cdot \mathbf{v}}{|\mathbf{v}|^2} \right) \mathbf{v} \right) \cdot \left( \frac{\mathbf{u} \cdot \mathbf{v}}{|\mathbf{v}|^2} \mathbf{v} \right) && \text{Denklem (1)} \\
 &= \left( \frac{\mathbf{u} \cdot \mathbf{v}}{|\mathbf{v}|^2} \right) (\mathbf{u} \cdot \mathbf{v}) - \left( \frac{\mathbf{u} \cdot \mathbf{v}}{|\mathbf{v}|^2} \right)^2 (\mathbf{v} \cdot \mathbf{v}) && \text{Skaler çarpım} \\
 &= \frac{(\mathbf{u} \cdot \mathbf{v})^2}{|\mathbf{v}|^2} - \frac{(\mathbf{u} \cdot \mathbf{v})^2}{|\mathbf{v}|^2} && \text{özellikleri 2 ve 3} \\
 &= 0 && \mathbf{v} \cdot \mathbf{v} = |\mathbf{v}|^2 \text{ kısalır}
 \end{aligned}$$

Dolayısıyla,

$$\mathbf{u} = \text{proj}_{\mathbf{v}} \mathbf{u} + (\mathbf{u} - \text{proj}_{\mathbf{v}} \mathbf{u})$$

denklemi  $\mathbf{u}$  vektörünü ortogonal vektörlerin bir toplamı olarak ifade eder.

### $\mathbf{u}$ 'yu $\mathbf{v}$ 'ye Paralel Bir Vektör Artı $\mathbf{v}$ 'ye Ortogonal Bir Vektör Olarak Yazmak

$$\mathbf{u} = \text{proj}_{\mathbf{v}} \mathbf{u} + (\mathbf{u} - \text{proj}_{\mathbf{v}} \mathbf{u})$$

$$= \underbrace{\left( \frac{\mathbf{u} \cdot \mathbf{v}}{|\mathbf{v}|^2} \mathbf{v} \right)}_{\mathbf{v}'\text{ye paralel}} + \underbrace{\left( \mathbf{u} - \left( \frac{\mathbf{u} \cdot \mathbf{v}}{|\mathbf{v}|^2} \mathbf{v} \right) \right)}_{\mathbf{v}'\text{ye ortogonal}}$$

### ÖRNEK 8 Bir Uzay Aracına Etkiyen Kuvvet

Hız vektörü  $\mathbf{v} = 3\mathbf{i} - \mathbf{j}$  olan bir uzay aracına bir  $\mathbf{F} = 2\mathbf{i} + \mathbf{j} - 3\mathbf{k}$  kuvveti etkimektedir.  $\mathbf{F}$ 'yi  $\mathbf{v}$ 'ye paralel bir vektör ve  $\mathbf{v}$ 'ye ortogonal bir vektörün toplamı olarak yazın.

#### Çözüm

$$\begin{aligned}\mathbf{F} &= \text{proj}_{\mathbf{v}} \mathbf{F} + (\mathbf{F} - \text{proj}_{\mathbf{v}} \mathbf{F}) \\ &= \frac{\mathbf{F} \cdot \mathbf{v}}{\mathbf{v} \cdot \mathbf{v}} \mathbf{v} + \left( \mathbf{F} - \frac{\mathbf{F} \cdot \mathbf{v}}{\mathbf{v} \cdot \mathbf{v}} \mathbf{v} \right) \\ &= \left( \frac{6}{9+1} \right) \mathbf{v} + \left( \mathbf{F} - \left( \frac{6}{9+1} \right) \mathbf{v} \right) \\ &= \frac{5}{10} (3\mathbf{i} - \mathbf{j}) + \left( 2\mathbf{i} + \mathbf{j} - 3\mathbf{k} - \frac{5}{10} (3\mathbf{i} - \mathbf{j}) \right) \\ &= \left( \frac{3}{2} \mathbf{i} - \frac{1}{2} \mathbf{j} \right) + \left( \frac{1}{2} \mathbf{i} + \frac{3}{2} \mathbf{j} - 3\mathbf{k} \right).\end{aligned}$$

$(3/2)\mathbf{i} - (1/2)\mathbf{j}$  kuvveti,  $\mathbf{v}$  hızına paralel olan etkin kuvvettir.  $(1/2)\mathbf{i} + (3/2)\mathbf{j} - 3\mathbf{k}$  kuvveti  $\mathbf{v}$ 'ye ortogonalıdır. Bu vektörün  $\mathbf{v}$ 'ye ortogonal olduğunu kontrol etmek için skaler çarpımı buluruz:

$$\left( \frac{1}{2} \mathbf{i} + \frac{3}{2} \mathbf{j} - 3\mathbf{k} \right) \cdot (3\mathbf{i} - \mathbf{j}) = \frac{3}{2} - \frac{3}{2} = 0.$$

■

## ALIŞTIRMALAR 12.3

### Skaler Çarpım ve İz Düşümler

1–8 alıştırmalarında, aşağıda istenenleri bulun.

- a.  $\mathbf{v} \cdot \mathbf{u}$ ,  $|\mathbf{v}|$ ,  $|\mathbf{u}|$
- b.  $\mathbf{v}$  ile  $\mathbf{u}$  arasındaki açının kosinüsü,
- c.  $\mathbf{u}$ 'nın  $\mathbf{v}$  yönündeki skaler bileşeni
- d.  $\text{proj}_{\mathbf{v}} \mathbf{u}$  vektörü.

1.  $\mathbf{v} = 2\mathbf{i} - 4\mathbf{j} + \sqrt{5}\mathbf{k}$ ,  $\mathbf{u} = -2\mathbf{i} + 4\mathbf{j} - \sqrt{5}\mathbf{k}$

2.  $\mathbf{v} = (3/5)\mathbf{i} + (4/5)\mathbf{k}$ ,  $\mathbf{u} = 5\mathbf{i} + 12\mathbf{j}$

3.  $\mathbf{v} = 10\mathbf{i} + 11\mathbf{j} - 2\mathbf{k}$ ,  $\mathbf{u} = 3\mathbf{j} + 4\mathbf{k}$

4.  $\mathbf{v} = 2\mathbf{i} + 10\mathbf{j} - 11\mathbf{k}$ ,  $\mathbf{u} = 2\mathbf{i} + 2\mathbf{j} + \mathbf{k}$

5.  $\mathbf{v} = 5\mathbf{j} - 3\mathbf{k}$ ,  $\mathbf{u} = \mathbf{i} + \mathbf{j} + \mathbf{k}$

6.  $\mathbf{v} = -\mathbf{i} + \mathbf{j}$ ,  $\mathbf{u} = \sqrt{2}\mathbf{i} + \sqrt{3}\mathbf{j} + 2\mathbf{k}$

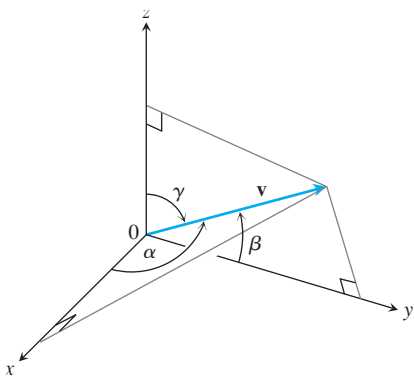
7.  $\mathbf{v} = 5\mathbf{i} + \mathbf{j}$ ,  $\mathbf{u} = 2\mathbf{i} + \sqrt{17}\mathbf{j}$

8.  $\mathbf{v} = \left\langle \frac{1}{\sqrt{2}}, \frac{1}{\sqrt{3}} \right\rangle$ ,  $\mathbf{u} = \left\langle \frac{1}{\sqrt{2}}, -\frac{1}{\sqrt{3}} \right\rangle$

### I Vektörler Arasındaki Açılar

9–12 alıştırmalarındaki vektörlerin arasındaki açıları bir radyanın yüzde biri hassaslıkla bulun.

9.  $\mathbf{u} = 2\mathbf{i} + \mathbf{j}$ ,  $\mathbf{v} = \mathbf{i} + 2\mathbf{j} - \mathbf{k}$
10.  $\mathbf{u} = 2\mathbf{i} - 2\mathbf{j} + \mathbf{k}$ ,  $\mathbf{v} = 3\mathbf{i} + 4\mathbf{k}$
11.  $\mathbf{u} = \sqrt{3}\mathbf{i} - 7\mathbf{j}$ ,  $\mathbf{v} = \sqrt{3}\mathbf{i} + \mathbf{j} - 2\mathbf{k}$
12.  $\mathbf{u} = \mathbf{i} + \sqrt{2}\mathbf{j} - \sqrt{2}\mathbf{k}$ ,  $\mathbf{v} = -\mathbf{i} + \mathbf{j} + \mathbf{k}$
13. Üçgen Köşeleri  $A = (-1, 0)$ ,  $B = (2, 1)$  ve  $C = (1, -2)$  olan üçgenin iç açılarının ölçülerini bulun.
14. Dikdörtgen Köşeleri  $A = (1, 0)$ ,  $B = (0, 3)$ ,  $C = (3, 4)$  ve  $D = (4, 1)$  olan dikdörtgenin köşegenleri arasındaki açılarının ölçülerini bulun.
15. **Doğrultu açıları ve doğrultu kosinüsleri** Bir  $\mathbf{v} = a\mathbf{i} + b\mathbf{j} + c\mathbf{k}$  vektörünün doğrultu açıları  $\alpha$ ,  $\beta$  ve  $\gamma$  aşağıdaki gibi tanımlanmaktadır.  
 $\alpha$ ,  $\mathbf{v}$  ile pozitif  $x$ -ekseni arasındaki açıdır ( $0 \leq \alpha \leq \pi$ ),  
 $\beta$ ,  $\mathbf{v}$  ile pozitif  $y$ -ekseni arasındaki açıdır ( $0 \leq \beta \leq \pi$ ),  
 $\gamma$ ,  $\mathbf{v}$  ile pozitif  $z$ -ekseni arasındaki açıdır ( $0 \leq \gamma \leq \pi$ ),



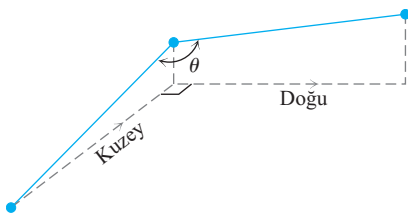
a.

$$\cos \alpha = \frac{a}{|\mathbf{v}|}, \quad \cos \beta = \frac{b}{|\mathbf{v}|}, \quad \cos \gamma = \frac{c}{|\mathbf{v}|}$$

ve  $\cos^2 \alpha + \cos^2 \beta + \cos^2 \gamma = 1$  olduğunu gösterin. Bu kosinüslere  $\mathbf{v}$ 'nin **doğrultu kosinüsleri** denir.

- b. **Birim vektörler doğrultu kosinüslerinden oluşurlar**  
 $\mathbf{v} = ai + bj + ck$  bir birim vektörse  $a, b$  ve  $c$ 'nin  $\mathbf{v}$ 'nin doğrultu kosinüsleri olduğunu gösterin.

16. **Su borusu inşası** Bir su borusu kuzey yönünde %20'lik, doğu yönünde de %10'luk bir eğimle kurulacaktır. Su borusunun kuzeyden doğuya dönmesi için gerekli  $\theta$  açısını bulun.



### Vektörleri Ayırtmak

17–19 alıştırmalarında,  $\mathbf{u}$ 'yu  $\mathbf{v}$ 'ye paralel bir vektör ve  $\mathbf{v}$ 'ye ortogonal bir vektörün toplamı olarak yazın.

17.  $\mathbf{u} = 3\mathbf{j} + 4\mathbf{k}$ ,  $\mathbf{v} = \mathbf{i} + \mathbf{j}$

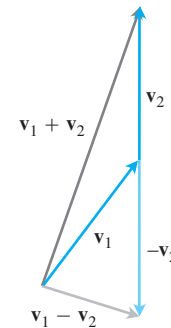
18.  $\mathbf{u} = \mathbf{j} + \mathbf{k}$ ,  $\mathbf{v} = \mathbf{i} + \mathbf{j}$

19.  $\mathbf{u} = 8\mathbf{i} + 4\mathbf{j} - 12\mathbf{k}$ ,  $\mathbf{v} = \mathbf{i} + 2\mathbf{j} - \mathbf{k}$

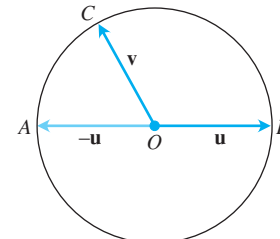
20. **Vektör toplamı**  $\mathbf{u} = \mathbf{i} + (\mathbf{j} + \mathbf{k})$  vektörü zaten  $\mathbf{i}$ 'ye paralel bir vektörelle  $\mathbf{i}$ 'ye ortogonal bir vektörün toplamıdır.  $\mathbf{u} = \text{proj}_{\mathbf{i}} \mathbf{u} + (\mathbf{u} - \text{proj}_{\mathbf{i}} \mathbf{u})$  ayrışımında  $\mathbf{v} = \mathbf{i}$  kullanırsanız  $\text{proj}_{\mathbf{i}} \mathbf{u} = \mathbf{i}$  ve  $(\mathbf{u} - \text{proj}_{\mathbf{i}} \mathbf{u}) = \mathbf{j} + \mathbf{k}$  bulurmusunuz? Deneyin ve bulun.

### Geometri ve Örnekler

21. **Toplam ve farklar** Şekilde, sanki  $\mathbf{v}_1 + \mathbf{v}_2$  ile  $\mathbf{v}_1 - \mathbf{v}_2$  ortogonal gibi görülmektedir? Bu sadece bir tesadüf müdür, yoksa iki vektörün toplamının farklarına ortogonal olmalarını bekleyebileceğimiz durumlar mı vardır? Yanıtınızı açıklayın.



22. **Bir çember üzerinde ortogonalilik**  $AB$ 'nin, merkezi  $O$ 'da olan bir çemberin çapı ve  $C$ 'nin de  $A$  ve  $B$ 'yi birleştiren iki yaydan birinin üzerindeki bir nokta olduğunu varsayıyın.  $\overrightarrow{CA}$  ve  $\overrightarrow{CB}$ 'nin ortogonal olduğunu gösterin.

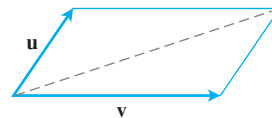


23. **Bir eşkenar dörtgenin köşegenleri** Bir eşkenar dörtgenin (kenarları eşit uzunluklu paralelkenar) köşegenlerinin dik olduğunu gösterin.

24. **Dik köşegenler** Sadece karelerin dik köşegenli dikdörtgenler olduğunu gösterin.

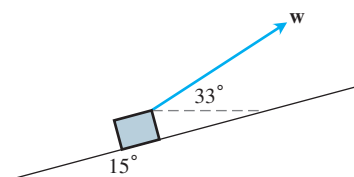
25. **Paralelkenarlar ne zaman dikdörtgendirler** Bir paralelkenarın ancak ve yalnız köşegenlerinin uzunlukları eşit ise bir dikdörtgen olduğunu ispatlayın (Bu gerceği marangozlar sıkça kullanır).

26. **Paralelkenarın köşegeni**  $\mathbf{u}$  ve  $\mathbf{v}$  vektörleriyle belirlenen paralelkenarın belirtilen köşegeninin  $|\mathbf{u}| = |\mathbf{v}|$  ise  $\mathbf{u}$  ile  $\mathbf{v}$  arasındaki açıyı ikiye böleceğini gösterin.



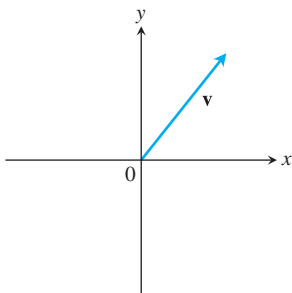
27. **Mermi hareketi** Çıkış hızı 1200 ft/s olan bir silah yataydan  $8^\circ$  yukarıya atılıyor. Hız'ın yatay ve düşey bileşenlerini bulun.

28. **Eğik düzlem** Bir kutunun, şekilde gösterildiği gibi, eğik bir düzleme yukarıya çekildiğini varsayıyın. Eğik düzleme paralel bileşeninin 2,5 lb olması için gereken  $\mathbf{w}$  kuvvetini bulun.



## Teori ve Örnekler

- 29. a. Cauchy-Schwartz eşitsizliği**  $\mathbf{u} \cdot \mathbf{v} = |\mathbf{u}| |\mathbf{v}| \cos \theta$  eşitliğini kullanarak herhangi  $\mathbf{u}$  ve  $\mathbf{v}$  vektörleri için  $|\mathbf{u} \cdot \mathbf{v}| \leq |\mathbf{u}| |\mathbf{v}|$  eşitsizliğinin sağlandığını gösterin.
- b.** Hangi koşullar altında, varsa,  $|\mathbf{u} \cdot \mathbf{v}| |\mathbf{u}| \cdot |\mathbf{v}|$  dir? cevabınızı açıklayın.
- 30.** Aşağıda gösterilen eksenleri ve vektörü kopyalayın.  $(x\mathbf{i} + y\mathbf{j}) \cdot \mathbf{v} \leq 0$  olmasını sağlayan  $(x, y)$  noktalarını renklendirin. Yanıtınızı savunun.



- 31. Ortogonal birim vektörler**  $\mathbf{u}_1$  ve  $\mathbf{u}_2$  ortogonal birim vektörlerse ve  $\mathbf{v} = a\mathbf{u}_1 + b\mathbf{u}_2$  ise  $\mathbf{v} \cdot \mathbf{u}_1$ 'i bulun.
- 32. Nokta çarpımlarda sadeleştirme** Reel sayı çarpımında,  $uv_1 = uv_2$  ve  $u \neq 0$  ise,  $u$ 'ları sadeleştirir ve  $\mathbf{v}_1 = \mathbf{v}_2$  olduğu sonucuna varırız. Aynı kural vektör çarpımı için de geçerli midir: Şayet  $\mathbf{u} \cdot \mathbf{v}_1 = \mathbf{u} \cdot \mathbf{v}_2$  ve  $\mathbf{u} \neq \mathbf{0}$  ise  $\mathbf{v}_1 = \mathbf{v}_2$  olduğu sonucuna varabilir miyiz? Yanıtınızı açıklayın.

## Düzlemdeki Doğruların Denklemleri

- 33. Bir vektöre dik doğru**  $\mathbf{v} = a\mathbf{i} + b\mathbf{j}$  vektörünün  $ax + by = c$  doğrusuna dik olduğunu,  $\mathbf{v}$ 'nin eğiminin, verilen doğrunun eğiminin çarpımıya göre tersinin negatif olduğunu ispatlayarak gösterin.
- 34. Bir vektöre paralel doğru**  $\mathbf{v} = a\mathbf{i} + b\mathbf{j}$  vektörünün  $bx - ay = c$  doğrusuna paralel olduğunu,  $\mathbf{v}$ 'yi temsil eden doğru parçasının eğiminin verilen doğrunun eğimiyle aynı olduğunu ispatlayarak gösterin.

35–38 alıştırmalarında, Alıştırma 33'ün sonucunu kullanarak  $P$ 'den geçen ve  $\mathbf{v}$ 'ye dik olan doğrunun denklemini bulun. Sonra doğruya çizin. Çiziminize  $\mathbf{v}$ 'yi orijinden başlayan bir vektör olarak ekleyin.

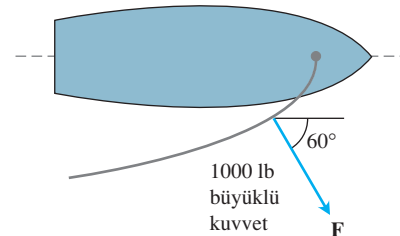
35.  $P(2, 1)$ ,  $\mathbf{v} = \mathbf{i} + 2\mathbf{j}$   
 36.  $P(-1, 2)$ ,  $\mathbf{v} = -2\mathbf{i} - \mathbf{j}$   
 37.  $P(-2, -7)$ ,  $\mathbf{v} = -2\mathbf{i} + \mathbf{j}$   
 38.  $P(11, 10)$ ,  $\mathbf{v} = 2\mathbf{i} - 3\mathbf{j}$

39–42 Alıştırmalarında, Alıştırma 34'ün sonucunu kullanarak  $P$ 'den geçen ve  $\mathbf{v}$ 'ye paralel olan doğrunun denklemini bulun. Sonra doğruya çizin. Çiziminize  $\mathbf{v}$ 'yi orijinden başlayan bir vektör olarak ekleyin.

39.  $P(-2, 1)$ ,  $\mathbf{v} = \mathbf{i} - \mathbf{j}$       40.  $P(0, -2)$ ,  $\mathbf{v} = 2\mathbf{i} + 3\mathbf{j}$   
 41.  $P(1, 2)$ ,  $\mathbf{v} = -\mathbf{i} - 2\mathbf{j}$       42.  $P(1, 3)$ ,  $\mathbf{v} = 3\mathbf{i} - 2\mathbf{j}$

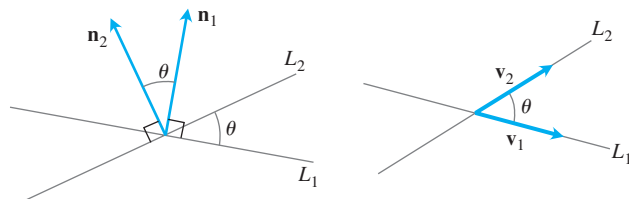
## İş

- 43. Bir doğru boyunca iş** Bir cismi orijinden  $(1, 1)$  noktasına giden doğru üzerinde hareket ettiren bir  $\mathbf{F} = 5\mathbf{i}$  (büyüklüğü 5 N) kuvvetinin yaptığı işi bulun (mesafe birimi metre).
- 44. Lokomotif** Union Pacific'in *Big Boy* lokomotifi 602.148 N'luk (135.375 lb) çekici bir kuvvetle (çekme) 6000 tonluk trenleri çekerilmektedir. Bu kuvvet seviyesinde, *Big Boy* San Francisco'dan Los Angeles'a yaptığı (yaklaşık olarak düz) 605 km'lik seyahatte yaklaşık ne kadar iş yapmıştır?
- 45. Eğik düzlem** Bir yükleme limanı boyunca bir sandığı yatayla  $30^\circ$  açı yapan 200 N'luk bir kuvvetle çekerek 20 m kaydırınmak için ne kadar iş yapılmıştır?
- 46. Yelkenli** Bir tekneden yelkeninden geçen rüzgar aşağıda gösterildiği gibi 1000 lb'luk bir  $\mathbf{F}$  kuvveti uygulamıştır. Rüzgar tekneyi 1 mil ilerletmek için ne kadar iş yapmıştır? Yanıtınızı ayak-pound olarak verin.



## Düzlemdeki Doğrular Arasındaki Açılar

Birbirini dik açılarla kesmeyen doğruların arasındaki dar açı doğrulara normal veya paralel olan vektörlerin belirlediği açılarla aynıdır.



Bunu ve Alıştırma 33 veya 34'ün sonuçlarını kullanarak, 47–52 alıştırmalarındaki doğruların arasındaki açıları bulun.

47.  $3x + y = 5$ ,  $2x - y = 4$   
 48.  $y = \sqrt{3}x - 1$ ,  $y = -\sqrt{3}x + 2$   
 49.  $\sqrt{3}x - y = -2$ ,  $x - \sqrt{3}y = 1$   
 50.  $x + \sqrt{3}y = 1$ ,  $(1 - \sqrt{3})x + (1 + \sqrt{3})y = 8$   
 51.  $3x - 4y = 3$ ,  $x - y = 7$   
 52.  $12x + 5y = 1$ ,  $2x - 2y = 3$

## Türetilebilir Eğriler Arasındaki Açılar

Bir kesim noktasında türetilebilen eğriler arasındaki açılar eğrileri-

nin bu noktalardaki teğetlerinin arasındaki açılarıdır. 53-56 alıştırmalarındaki eğrilerin arasındaki açıları bulun.  $\mathbf{v} = a\mathbf{i} + b\mathbf{j}$  düzlemede bir vektör ise bu vektörün eğiminin,  $a \neq 0$  olması koşulu ile  $b/a$  olduğunu dikkat edin.

53.  $y = (3/2) - x^2$ ,  $y = x^2$  (iki kesişim noktası)

54.  $x = (3/4) - y^2$ ,  $x = y^2 - (3/4)$ , (iki kesişim noktası)

55.  $y = x^3$ ,  $x = y^2$ , (iki kesişim noktası)

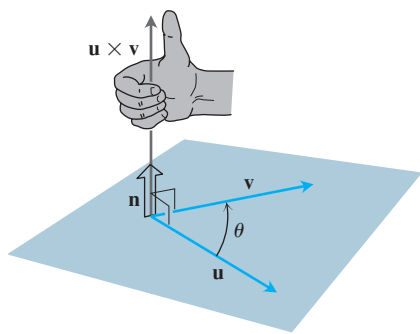
56.  $y = -x^2$ ,  $y = \sqrt{x}$  (iki kesişim noktası)

## 12.4

### Vektörel Çarpım

Düzlemdeki doğruları incelerken, bir doğrunun nasıl eğildiğini tanımlamak zorunda kalmıştık ve bunu eğim ve eğim açısı kavramlarıyla gerçekleştirmiştik. Uzayda, bir *düzlem*'in nasıl eğildiğini tanımlayabilmemiz gereklidir. Bunu düzlemdeki iki vektörü çarpıp düzleme dik üçüncü bir vektör elde ederek yaparız. Bu üçüncü vektörün yönü bize düzlemin “eğilimini” söyler. Vektörleri çarpmak için kullandığımız yöntem, analizde çalıştığımız iki vektör çarpımından ikincisi olan *vektörel çarpım*ıdır.

Vektörel çarpımlar elektrik, manyetizma, akışkan akışları ve yörunge mekaniğinde kuvvetlerin etkilerini tanımlamakta yaygın olarak kullanılırlar. Bu bölüm vektörel çarpımının bu alanlarda kullanımını sağlayan matematiksel özelliklerini sunmaktadır.



ŞEKİL 12.27  $\mathbf{u} \times \mathbf{v}$ 'nin oluşturulması.

#### Uzaydaki İki Vektörün Vektörel Çarpımı

Uzayda, sıfırdan farklı iki  $\mathbf{u}$  ve  $\mathbf{v}$  vektöryle işe başlarız.  $\mathbf{u}$  ve  $\mathbf{v}$  paralel değilse, bir düzlemler belirlerler. **Sağ-el kuralıyla** düzleme dik bir  $\mathbf{n}$  birim vektörü seçeriz. Bu,  $\mathbf{n}$ 'yi parmaklarınız  $\mathbf{u}$ 'dan  $\mathbf{v}$ 'ye giden  $\theta$  açısı yönünde kıvrıldığını gösterdiği yönde birim (normal) vektör olarak seçtiğimiz anlamına gelir (Şekil 12.27). Artık  $\mathbf{u} \times \mathbf{v}$  **vektörel çarpımını** (“ $\mathbf{u}$  çarpı  $\mathbf{v}$ ”) aşağıda verilen vektör olarak tanımlarız.

#### TANIM Vektörel Çarpım

$$\mathbf{u} \times \mathbf{v} = (|\mathbf{u}| |\mathbf{v}| \sin \theta) \mathbf{n}$$

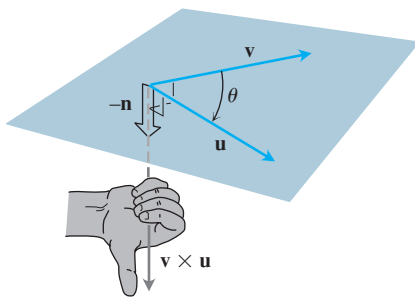
Skaler çarpımın aksine, vektörel çarpım bir vektördür. Bu nedenle aynı zamanda  $\mathbf{u}$  ve  $\mathbf{v}$ 'nin vektör çarpımı da denir ve *sadece* uzaydaki vektörler uygulanır.  $\mathbf{u} \times \mathbf{v}$  vektörü hem  $\mathbf{u}$ 'ya hem de  $\mathbf{v}$ 'ye diktir, çünkü  $\mathbf{n}$ 'nin bir skaler katıdır.

Hem  $0$ 'ın ve hem de  $\pi$ 'nın sinüsleri sıfır olduğundan, sıfırdan farklı iki paralel vektörün vektörel çarpımını  $\mathbf{0}$  olarak tanımlamak mantıklıdır.  $\mathbf{u}$  ve  $\mathbf{v}$ 'nin biri veya ikisi de sıfırsa,  $\mathbf{u} \times \mathbf{v}$ 'yi yine sıfır olarak tanımlarız. Böylece,  $\mathbf{u}$  ve  $\mathbf{v}$  gibi iki vektörün vektörel çarpımı ancak ve yalnız  $\mathbf{u}$  ve  $\mathbf{v}$  paralelse, veya biri ya da ikisi birden sıfırsa, sıfır olur.

#### Paralel Vektörler

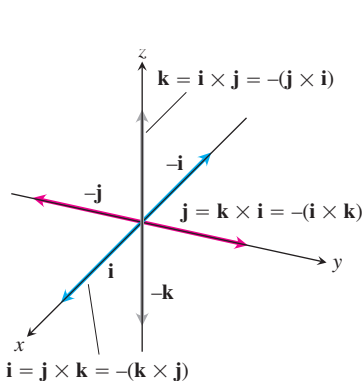
Sıfırdan farklı  $\mathbf{u}$  ve  $\mathbf{v}$  vektörleri ancak ve yalnız  $\mathbf{u} \times \mathbf{v} = 0$  ise paraleldir.

Vektörel çarpım aşağıdaki özellikleri sağlar.

ŞEKİL 12.28  $v \times u$ 'nun oluşturulması**Vektörel Çarpım Özellikleri**

$\mathbf{u}$ ,  $\mathbf{v}$  ve  $\mathbf{w}$  herhangi vektörler ve  $r$ ,  $s$  skalerler ise

1.  $(r\mathbf{u}) \times (s\mathbf{v}) = (rs)(\mathbf{u} \times \mathbf{v})$
2.  $\mathbf{u} \times (\mathbf{v} + \mathbf{w}) = \mathbf{u} \times \mathbf{v} + \mathbf{u} \times \mathbf{w}$
3.  $(\mathbf{v} + \mathbf{w}) \times \mathbf{u} = \mathbf{v} \times \mathbf{u} + \mathbf{w} \times \mathbf{u}$
4.  $\mathbf{v} \times \mathbf{u} = -(\mathbf{u} \times \mathbf{v})$
5.  $\mathbf{0} \times \mathbf{u} = \mathbf{0}$

ŞEKİL 12.29  $i$ ,  $j$ , ve  $k$ 'nin ikişer ikişer vektörel çarpımları.

Örneğin, Özellik 4'ü gözünüzde canlandırmak için, parmaklarınız  $v$ 'den  $u$ 'ya giden  $\theta$  açısı yönünde kıvrılırken başparmağınız ters yönü gösterdiğine ve  $v \times u$ 'yu oluştururken seçtiğiniz birim vektörün  $u \times v$ 'yi oluştururken seçtiğinizin negatifine olduğuna dikkat edin (Şekil 12.28).

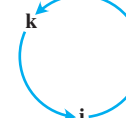
Özellik 1, eşitliğin her iki tarafına vektörel çarpım tanımını uygulamak ve sonuçları karşılaştırmakla gerçeklenebilir. Özellik 2, Ek 6 da ispatlanmıştır. Özellik 3, Özellik 2'deki eşitliğin her iki yanımı  $-1$  ile çarpmak ve Özellik 4'ü kullanarak çarpımların sırasını değiştirmekle elde edilir. Özellik 5 bir tanımdır. Bir kural olarak vektörel çarpım *bileşme* özelliğini sağlamaz. Dolayısıyla,  $(\mathbf{u} \times \mathbf{v}) \times \mathbf{w}$  genel olarak  $\mathbf{u} \times (\mathbf{v} \times \mathbf{w})$ 'ye eşit değildir. (Ek Aşıtmalar 15'e bakın.)

Tanımı  $i$ ,  $j$  ve  $k$ 'nın ikişer ikişer vektörel çarpımlarını bulmak için kullandığımızda (Şekil 12.29)

$$\mathbf{i} \times \mathbf{j} = -(\mathbf{j} \times \mathbf{i}) = \mathbf{k}$$

$$\mathbf{j} \times \mathbf{k} = -(\mathbf{k} \times \mathbf{j}) = \mathbf{i}$$

$$\mathbf{k} \times \mathbf{i} = -(\mathbf{i} \times \mathbf{k}) = \mathbf{j}$$



Bu çarpımları hatırlamak için diyagram

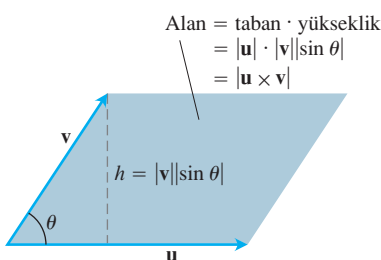
ve

$$\mathbf{i} \times \mathbf{i} = \mathbf{j} \times \mathbf{j} = \mathbf{k} \times \mathbf{k} = \mathbf{0}$$

buluruz.

 **$|\mathbf{u} \times \mathbf{v}|$  Bir Paralelkenarın Alanıdır**

$n$  bir birim vektör olduğundan,  $\mathbf{u} \times \mathbf{v}$ 'nin büyüklüğü

ŞEKİL 12.30  $u$  ve  $v$ 'nin belirlediği paralelkenar.

$$|\mathbf{u} \times \mathbf{v}| = |\mathbf{u}| |\mathbf{v}| |\sin \theta| |\mathbf{n}| = |\mathbf{u}| |\mathbf{v}| \sin \theta$$

olar. Bu,  $|\mathbf{u}|$  paralelkenarın tabanı ve  $|\mathbf{v}| \sin \theta|$  da yüksekliği olmak üzere  $\mathbf{u}$  ve  $\mathbf{v}$  tarafından belirlenen paralelkenardır (Şekil 12.30).

 **$\mathbf{u} \times \mathbf{v}$  İçin Determinant Formülü**

Bir sonraki amacımız  $\mathbf{u} \times \mathbf{v}$ 'yi bir Kartezyen koordinat sistemine göre  $\mathbf{u}$  ile  $\mathbf{v}$ 'nin bileşenlerinden hesaplamaktır.

### Determinantlar

$2 \times 2$  ve  $3 \times 3$  determinantlar aşağıdaki şekilde hesaplanır.

$$\begin{vmatrix} a & b \\ c & d \end{vmatrix} = ad - bc$$

### ÖRNEK

$$\begin{vmatrix} 2 & 1 \\ -4 & 3 \end{vmatrix} = (2)(3) - (1)(-4) \\ = 6 + 4 = 10$$

$$\begin{vmatrix} a_1 & a_2 & a_3 \\ b_1 & b_2 & b_3 \\ c_1 & c_2 & c_3 \end{vmatrix} = a_1 \begin{vmatrix} b_2 & b_3 \\ c_2 & c_3 \end{vmatrix} \\ - a_2 \begin{vmatrix} b_1 & b_3 \\ c_1 & c_3 \end{vmatrix} + a_3 \begin{vmatrix} b_1 & b_2 \\ c_1 & c_2 \end{vmatrix}$$

### ÖRNEK

$$\begin{vmatrix} -5 & 3 & 1 \\ 2 & 1 & 1 \\ -4 & 3 & 1 \end{vmatrix} = (-5) \begin{vmatrix} 1 & 1 \\ 3 & 1 \end{vmatrix} \\ - (3) \begin{vmatrix} 2 & 1 \\ -4 & 1 \end{vmatrix} + (1) \begin{vmatrix} 2 & 1 \\ -4 & 3 \end{vmatrix} \\ = -5(1 - 3) - 3(2 + 4) \\ + 1(6 + 4) \\ = 10 - 18 + 10 = 2$$

(Daha fazla bilgi için  
[www.aw-bc.com/thomas](http://www.aw-bc.com/thomas) web sayfasına bakın.)

$$\mathbf{u} = u_1\mathbf{i} + u_2\mathbf{j} + u_3\mathbf{k}, \quad \mathbf{v} = v_1\mathbf{i} + v_2\mathbf{j} + v_3\mathbf{k}.$$

olduğunu varsayıñ. Bu durumda dağılma ve  $\mathbf{i}$ ,  $\mathbf{j}$  ve  $\mathbf{k}$ 'nın çarpım kuralları bize aşağıdakileri söyler:

$$\begin{aligned} \mathbf{u} \times \mathbf{v} &= (u_1\mathbf{i} + u_2\mathbf{j} + u_3\mathbf{k}) \times (v_1\mathbf{i} + v_2\mathbf{j} + v_3\mathbf{k}) \\ &= u_1v_1\mathbf{i} \times \mathbf{i} + u_1v_2\mathbf{i} \times \mathbf{j} + u_1v_3\mathbf{i} \times \mathbf{k} \\ &\quad + u_2v_1\mathbf{j} \times \mathbf{i} + u_2v_2\mathbf{j} \times \mathbf{j} + u_2v_3\mathbf{j} \times \mathbf{k} \\ &\quad + u_3v_1\mathbf{k} \times \mathbf{i} + u_3v_2\mathbf{k} \times \mathbf{j} + u_3v_3\mathbf{k} \times \mathbf{k} \\ &= (u_2v_3 - u_3v_2)\mathbf{i} - (u_1v_3 - u_3v_1)\mathbf{j} + (u_1v_2 - u_2v_1)\mathbf{k} \end{aligned}$$

Son satırdaki terimler

$$\begin{vmatrix} \mathbf{i} & \mathbf{j} & \mathbf{k} \\ u_1 & u_2 & u_3 \\ v_1 & v_2 & v_3 \end{vmatrix}$$

symbolik determinantının açılımındaki terimlerle aynıdır. Dolayısıyla aşağıdaki kuralı elde ederiz.

### Determinantları Kullanarak Vektörel Çarpım Hesaplamak

$\mathbf{u} = u_1\mathbf{i} + u_2\mathbf{j} + u_3\mathbf{k}$  ve  $\mathbf{v} = v_1\mathbf{i} + v_2\mathbf{j} + v_3\mathbf{k}$ , ise

$$\mathbf{u} \times \mathbf{v} = \begin{vmatrix} \mathbf{i} & \mathbf{j} & \mathbf{k} \\ u_1 & u_2 & u_3 \\ v_1 & v_2 & v_3 \end{vmatrix}$$

olur.

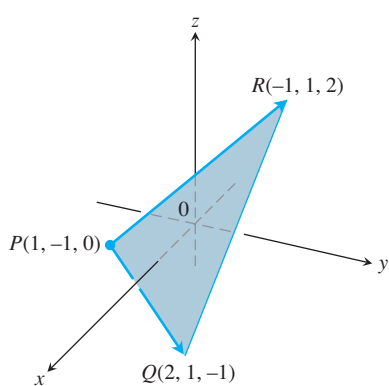
### ÖRNEK 1 Determinantlarla Vektörel Çarpım Hesaplamak

$\mathbf{u} = 2\mathbf{i} + \mathbf{j} + \mathbf{k}$  ve  $\mathbf{v} = -4\mathbf{i} + 3\mathbf{j} + \mathbf{k}$  ise  $\mathbf{u} \times \mathbf{v}$  ve  $\mathbf{v} \times \mathbf{u}$ 'yu bulun.

#### Çözüm

$$\begin{aligned} \mathbf{u} \times \mathbf{v} &= \begin{vmatrix} \mathbf{i} & \mathbf{j} & \mathbf{k} \\ 2 & 1 & 1 \\ -4 & 3 & 1 \end{vmatrix} = \begin{vmatrix} 1 & 1 \\ 3 & 1 \end{vmatrix}\mathbf{i} - \begin{vmatrix} 2 & 1 \\ -4 & 1 \end{vmatrix}\mathbf{j} + \begin{vmatrix} 2 & 1 \\ -4 & 3 \end{vmatrix}\mathbf{k} \\ &= -2\mathbf{i} - 6\mathbf{j} + 10\mathbf{k} \end{aligned}$$

$$\mathbf{v} \times \mathbf{u} = -(\mathbf{u} \times \mathbf{v}) = 2\mathbf{i} + 6\mathbf{j} - 10\mathbf{k}$$



**ŞEKİL 12.31**  $PQR$  üçgeninin alanı  $|\overrightarrow{PQ} \times \overrightarrow{PR}|$ 'nin yarısıdır (Örnek 2).

### ÖRNEK 2 Bir Düzleme Dik Vektörler Bulmak

$P(1, -1, 0)$ ,  $Q(2, 1, -1)$  ve  $R(-1, 1, 2)$ 'nin düzlemine dik bir vektör bulun (Şekil 12.31)

**Çözüm**  $\overrightarrow{PQ} \times \overrightarrow{PR}$  vektörü düzleme diktir, çünkü iki vektöre de diktir. Bileşenler cinsinden

$$\overrightarrow{PQ} = (2 - 1)\mathbf{i} + (1 + 1)\mathbf{j} + (-1 - 0)\mathbf{k} = \mathbf{i} + 2\mathbf{j} - \mathbf{k}$$

$$\overrightarrow{PR} = (-1 - 1)\mathbf{i} + (1 + 1)\mathbf{j} + (2 - 0)\mathbf{k} = -2\mathbf{i} + 2\mathbf{j} + 2\mathbf{k}$$

$$\begin{aligned}\overrightarrow{PQ} \times \overrightarrow{PR} &= \begin{vmatrix} \mathbf{i} & \mathbf{j} & \mathbf{k} \\ 1 & 2 & -1 \\ -2 & 2 & 2 \end{vmatrix} = \begin{vmatrix} 2 & -1 \\ 2 & 2 \end{vmatrix} \mathbf{i} - \begin{vmatrix} 1 & -1 \\ -2 & 2 \end{vmatrix} \mathbf{j} + \begin{vmatrix} 1 & 2 \\ -2 & 2 \end{vmatrix} \mathbf{k} \\ &= 6\mathbf{i} + 6\mathbf{k}\end{aligned}$$

olarak bulunur. ■

### ÖRNEK 3 Bir Üçgenin Alanını Bulmak

Köşeleri  $P(1, -1, 0)$ ,  $Q(2, 1, -1)$  ve  $R(-1, 1, 2)$  olan üçgenin alanını bulun (Şekil 12.31).

**Çözüm**  $P$ ,  $Q$  ve  $R$  tarafından belirlenen paralelkenarın alanı

$$\begin{aligned}|\overrightarrow{PQ} \times \overrightarrow{PR}| &= |6\mathbf{i} + 6\mathbf{k}| \\ &= \sqrt{(6)^2 + (6)^2} = \sqrt{2 \cdot 36} = 6\sqrt{2}\end{aligned}$$

Örnek 2'teki değerler

olarak bulunur. Üçgenin alanı bunun yarısı veya  $3\sqrt{2}$ 'dir. ■

### ÖRNEK 4 Bir Düzleme Birim Normal Bulmak

$P(1, -1, 0)$ ,  $Q(2, 1, -1)$  ve  $R(-1, 1, 2)$ 'nin düzlemine dik bir birim vektör bulun.

**Çözüm**  $\overrightarrow{PQ} \times \overrightarrow{PR}$  düzleme dik olduğundan yönü,  $\mathbf{n}$ , düzleme dik bir birim vektördür. Örnek 2 ve 3'teki değerleri kullanarak

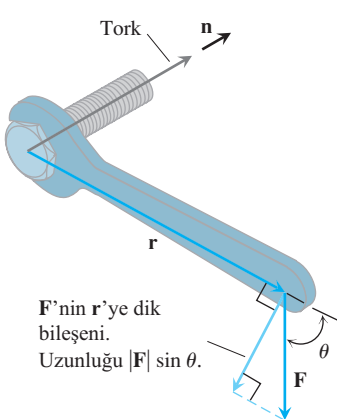
$$\mathbf{n} = \frac{\overrightarrow{PQ} \times \overrightarrow{PR}}{|\overrightarrow{PQ} \times \overrightarrow{PR}|} = \frac{6\mathbf{i} + 6\mathbf{k}}{6\sqrt{2}} = \frac{1}{\sqrt{2}}\mathbf{i} + \frac{1}{\sqrt{2}}\mathbf{k}$$

bulturuz. ■

Vektörel çarpımı determinantlarla hesaplamada kolaylık için vektörleri genellikle  $\mathbf{v} = \langle v_1, v_2, v_3 \rangle$  gibi üçlüler olarak yazmak yerine  $\mathbf{v} = v_1\mathbf{i} + v_2\mathbf{j} + v_3\mathbf{k}$  olarak yazırız.

### Tork

Bir ingiliz anahtarına bir  $\mathbf{F}$  kuvveti uygulayarak bir civatayı döndürürsek (Şekil 12.32), ürettiğimiz tork civatanın eksenin boyunca civatayı ileri itecek şekilde etkir. Torkun büyüklüğü kuvvetin anahtar üzerinde ne kadar ileriye uygulandığına ve uygulama noktasında kuvvetin ne kadarının dik olduğuna bağlıdır. Torkun büyülüüğünü ölçmek için kullandığımız sayı kol uzunluğu  $\mathbf{r}$  ile  $\mathbf{F}$ 'nin  $\mathbf{r}$ 'ye dik skaler bileşeninin çarpımıdır. Şekil 12.32'nin gösteriminde,



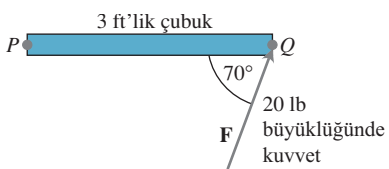
**ŞEKİL 12.32** Tork vektörü  $\mathbf{F}$  kuvvetinin civatayı ileri itme eğilimini gösterir.

$$\text{Tork vektörünün büyülüüğü} = |\mathbf{r}| |\mathbf{F}| \sin \theta$$

veya  $|\mathbf{r} \times \mathbf{F}|$  olur.  $\mathbf{n}$ 'yi torkun yönünde civatann ekseni boyunca olan birim vektör olarak alırsak, tork vektörünün tam bir tanımı  $\mathbf{r} \times \mathbf{F}$  veya

$$\text{Tork vektörü} = (|\mathbf{r}| |\mathbf{F}| \sin \theta) \mathbf{n}$$

olarak.  $\mathbf{u}$  ve  $\mathbf{v}$  paralelken  $\mathbf{u} \times \mathbf{v}$ 'yi  $\mathbf{0}$  olarak tanımladığımızı hatırlayın. Bu tork yorumuyla da uyuşmaktadır. Şekil 12.32'deki  $\mathbf{F}$  kuvveti anahtarla paralelse, yani civatayı anahtarın kolu nun doğrusu boyunca iterek veya çekerek çevirmeye çalışıyorsak, üretilen tork sıfırdır.



**ŞEKİL 12.33**  $P$  de  $\mathbf{F}$  tarafından uygulanan torkun büyüklüğü 56.4 ft-lb civarındadır (Örnek 5).

### ÖRNEK 5 Bir Torkun Büyüklüğünü Bulmak

Şekil 12.33'teki mil noktası  $P$  çevresinde uygulanan  $\mathbf{F}$  kuvvetinin yarattığı tork

$$\begin{aligned} |\overrightarrow{PQ} \times \mathbf{F}| &= |\overrightarrow{PQ}| |\mathbf{F}| \sin 70^\circ \\ &\approx (3)(20)(0.94) \\ &\approx 56.4 \text{ ft-lb} \end{aligned}$$

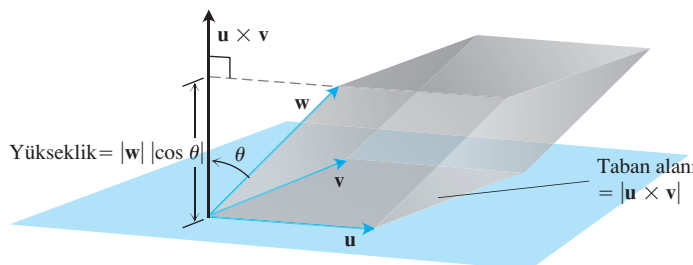
olarak bulunur. ■

### Üçlü Skaler veya Kutu Çarpımı

$(\mathbf{u} \times \mathbf{v}) \cdot \mathbf{w}$  çarpımına  $\mathbf{u}$ ,  $\mathbf{v}$  ve  $\mathbf{w}$ 'nun (bu sırada) **üçlü skaler çarpımı** denir.

$$|(\mathbf{u} \times \mathbf{v}) \cdot \mathbf{w}| = |\mathbf{u} \times \mathbf{v}| |\mathbf{w}| |\cos \theta|$$

formülünden de görülebileceği gibi, çarpımın mutlak değeri  $\mathbf{u}$ ,  $\mathbf{v}$  ve  $\mathbf{w}$  tarafından belirlenen paralelyüzlünün (yüzleri paralelkenar olan kutu) hacmidir (Şekil 12.34).  $|\mathbf{u} \times \mathbf{v}|$  sayısı tabanındaki paralelkenarın alanıdır.  $|\mathbf{w}| |\cos \theta|$  sayısı ise paralelyüzlünün yüksekliğidir. Bu geometri yüzünden,  $(\mathbf{u} \times \mathbf{v}) \cdot \mathbf{w}$ 'ya ayrıca  $\mathbf{u}$ ,  $\mathbf{v}$  ve  $\mathbf{w}$ 'nun **kutu çarpımı** da denir.



$$\begin{aligned} \text{Hacim} &= \text{taban alanı} \cdot \text{yükseklik} \\ &= |\mathbf{u} \times \mathbf{v}| |\mathbf{w}| |\cos \theta| \\ &= |(\mathbf{u} \times \mathbf{v}) \cdot \mathbf{w}| \end{aligned}$$

**ŞEKİL 12.34**  $|(\mathbf{u} \times \mathbf{v}) \cdot \mathbf{w}|$  sayısı bir paralelyüzlünün hacmidir.

Bir üçlü skaler çarpımında, değeri değiştirilmeden nokta ve vektörel çarpımların yeri değiştirilebilir.

$\mathbf{v}$  ile  $\mathbf{w}$ 'nun ve  $\mathbf{w}$  ile  $\mathbf{u}$ 'nun düzlemlerini,  $\mathbf{u}$ ,  $\mathbf{v}$  ve  $\mathbf{w}$  tarafından belirlenen paralelyüzlü nün taban düzlemleri olarak alırsak,

$$(\mathbf{u} \times \mathbf{v}) \cdot \mathbf{w} = (\mathbf{v} \times \mathbf{w}) \cdot \mathbf{u} = (\mathbf{w} \times \mathbf{u}) \cdot \mathbf{v}$$

olduğunu görürüz. Skaler çarpımı komütatif olduğundan, ayrıca

$$(\mathbf{u} \times \mathbf{v}) \cdot \mathbf{w} = \mathbf{u} \cdot (\mathbf{v} \times \mathbf{w})$$

elde ederiz.

Üçlü çarpım bir determinant olarak hesaplanabilir:

$$\begin{aligned}
 (\mathbf{u} \times \mathbf{v}) \cdot \mathbf{w} &= \left[ \begin{vmatrix} u_2 & u_3 \\ v_2 & v_3 \end{vmatrix} \mathbf{i} - \begin{vmatrix} u_1 & u_3 \\ v_1 & v_3 \end{vmatrix} \mathbf{j} + \begin{vmatrix} u_1 & u_2 \\ v_1 & v_2 \end{vmatrix} \mathbf{k} \right] \cdot \mathbf{w} \\
 &= w_1 \begin{vmatrix} u_2 & u_3 \\ v_2 & v_3 \end{vmatrix} - w_2 \begin{vmatrix} u_1 & u_3 \\ v_1 & v_3 \end{vmatrix} + w_3 \begin{vmatrix} u_1 & u_2 \\ v_1 & v_2 \end{vmatrix} \\
 &= \begin{vmatrix} u_1 & u_2 & u_3 \\ v_1 & v_2 & v_3 \\ w_1 & w_2 & w_3 \end{vmatrix}.
 \end{aligned}$$

### Üçlü Skaler Çarpımın Hesaplanması

$$(\mathbf{u} \times \mathbf{v}) \cdot \mathbf{w} = \begin{vmatrix} u_1 & u_2 & u_3 \\ v_1 & v_2 & v_3 \\ w_1 & w_2 & w_3 \end{vmatrix}$$

#### ÖRNEK 6 Bir Paralelyüzlünün Hacmini Bulmak

$\mathbf{u} = \mathbf{i} + 2\mathbf{j} - \mathbf{k}$ ,  $\mathbf{v} = -2\mathbf{i} + 3\mathbf{k}$  ve  $\mathbf{w} = 7\mathbf{j} - 4\mathbf{k}$  tarafından belirlenen kutunun (paralelyüzlü) hacmini bulun.

#### Çözüm

$$(\mathbf{u} \times \mathbf{v}) \cdot \mathbf{w} = \begin{vmatrix} 1 & 2 & -1 \\ -2 & 0 & 3 \\ 0 & 7 & -4 \end{vmatrix} = -23$$

Hacim  $|(\mathbf{u} \times \mathbf{v}) \cdot \mathbf{w}| = 23$  birim küptür. ■

## ALIŞTIRMALAR 12.4

### Vektörel Çarpım Hesaplanmaları

1–8 alıştırmalarında,  $\mathbf{u} \times \mathbf{v}$  ve  $\mathbf{v} \times \mathbf{u}$ 'nın uzunluk ve yönünü (tanımlı olduğunda) bulun.

1.  $\mathbf{u} = 2\mathbf{i} - 2\mathbf{j} - \mathbf{k}$ ,  $\mathbf{v} = \mathbf{i} - \mathbf{k}$
2.  $\mathbf{u} = 2\mathbf{i} + 3\mathbf{j}$ ,  $\mathbf{v} = -\mathbf{i} + \mathbf{j}$
3.  $\mathbf{u} = 2\mathbf{i} - 2\mathbf{j} + 4\mathbf{k}$ ,  $\mathbf{v} = -\mathbf{i} + \mathbf{j} - 2\mathbf{k}$
4.  $\mathbf{u} = \mathbf{i} + \mathbf{j} - \mathbf{k}$ ,  $\mathbf{v} = \mathbf{0}$
5.  $\mathbf{u} = 2\mathbf{i}$ ,  $\mathbf{v} = -3\mathbf{j}$
6.  $\mathbf{u} = \mathbf{i} \times \mathbf{j}$ ,  $\mathbf{v} = \mathbf{j} \times \mathbf{k}$
7.  $\mathbf{u} = -8\mathbf{i} - 2\mathbf{j} - 4\mathbf{k}$ ,  $\mathbf{v} = 2\mathbf{i} + 2\mathbf{j} + \mathbf{k}$
8.  $\mathbf{u} = \frac{3}{2}\mathbf{i} - \frac{1}{2}\mathbf{j} + \mathbf{k}$ ,  $\mathbf{v} = \mathbf{i} + \mathbf{j} + 2\mathbf{k}$

9–14 alıştırmalarında, koordinat eksenlerini çizin ve çiziminize orijinden başlayan vektörler olarak  $\mathbf{u}$ ,  $\mathbf{v}$  ve  $\mathbf{u} \times \mathbf{v}$ 'yi de ekleyin.

9.  $\mathbf{u} = \mathbf{i}$ ,  $\mathbf{v} = \mathbf{j}$
10.  $\mathbf{u} = \mathbf{i} - \mathbf{k}$ ,  $\mathbf{v} = \mathbf{j}$
11.  $\mathbf{u} = \mathbf{i} - \mathbf{k}$ ,  $\mathbf{v} = \mathbf{j} + \mathbf{k}$
12.  $\mathbf{u} = 2\mathbf{i} - \mathbf{j}$ ,  $\mathbf{v} = \mathbf{i} + 2\mathbf{j}$
13.  $\mathbf{u} = \mathbf{i} + \mathbf{j}$ ,  $\mathbf{v} = \mathbf{i} - \mathbf{j}$
14.  $\mathbf{u} = \mathbf{j} + 2\mathbf{k}$ ,  $\mathbf{v} = \mathbf{i}$

### Uzayda Üçgenler

15–18 alıştırmalarında:

- a.  $P$ ,  $Q$  ve  $R$  noktaları tarafından belirlenen üçgenin alanını bulun.
- b.  $PQR$  düzlemine dik bir birim vektör bulun.

15.  $P(1, -1, 2)$ ,  $Q(2, 0, -1)$ ,  $R(0, 2, 1)$   
 16.  $P(1, 1, 1)$ ,  $Q(2, 1, 3)$ ,  $R(3, -1, 1)$   
 17.  $P(2, -2, 1)$ ,  $Q(3, -1, 2)$ ,  $R(3, -1, 1)$   
 18.  $P(-2, 2, 0)$ ,  $Q(0, 1, -1)$ ,  $R(-1, 2, -2)$

### Üçlü Skaler Çarpımlar

19-22 alıştırmalarında,  $(\mathbf{u} \times \mathbf{v}) \cdot \mathbf{w} = (\mathbf{v} \times \mathbf{w}) \cdot \mathbf{u} = (\mathbf{w} \times \mathbf{u}) \cdot \mathbf{v}$  olduğunu doğrulayın ve  $\mathbf{u}$ ,  $\mathbf{v}$  ve  $\mathbf{w}$  tarafından belirlenen paralelyüzlünün (kutunun) hacmini bulun.

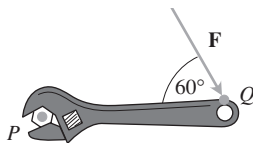
$\mathbf{u}$	$\mathbf{v}$	$\mathbf{w}$
19. $2\mathbf{i}$	$2\mathbf{j}$	$2\mathbf{k}$
20. $\mathbf{i} - \mathbf{j} + \mathbf{k}$	$2\mathbf{i} + \mathbf{j} - 2\mathbf{k}$	$-\mathbf{i} + 2\mathbf{j} - \mathbf{k}$
21. $2\mathbf{i} + \mathbf{j}$	$2\mathbf{i} - \mathbf{j} + \mathbf{k}$	$\mathbf{i} + 2\mathbf{k}$
22. $\mathbf{i} + \mathbf{j} - 2\mathbf{k}$	$-\mathbf{i} - \mathbf{k}$	$2\mathbf{i} + 4\mathbf{j} - 2\mathbf{k}$

### Teori ve Örnekler

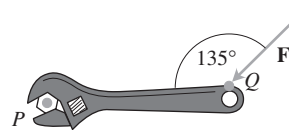
23. **Paralel ve dik vektörler**  $\mathbf{u} = 5\mathbf{i} - \mathbf{j} + \mathbf{k}$ ,  $\mathbf{v} = \mathbf{j} - 5\mathbf{k}$ ,  $\mathbf{w} = -15\mathbf{i} + 3\mathbf{j} - 3\mathbf{k}$  olsun. Varsa, hangi vektörler (a) dik, (b) paraleldir? Yanıtlarınızı açıklayın.  
 24. **Paralel ve dik vektörler**  $\mathbf{u} = \mathbf{i} + 2\mathbf{j} - \mathbf{k}$ ,  $\mathbf{v} = -\mathbf{i} + \mathbf{j} + \mathbf{k}$ ,  $\mathbf{w} = \mathbf{i} + \mathbf{k}$ ,  $\mathbf{r} = -(\pi/2)\mathbf{i} - \pi\mathbf{j} + (\pi/2)\mathbf{k}$  olsun. Varsa, hangi vektörler (a) dik, (b) paraleldir? Yanıtlarınızı açıklayın.

39 ve 40 alıştırmalarında,  $|\overrightarrow{PQ}| = 8$  inç ve  $|F| = 30$  lb ise,  $\mathbf{F}$  kuvveti tarafından  $P$ 'deki civataya uygulanan torkun büyüklüğünü bulun. Ayak-pound olarak yanıtlayın.

25.



26.



27. Aşağıdakilerin hangileri *her zaman doğru* ve hangileri *her zaman doğru değildir*? Yanıtlarınızı açıklayın.
- a.  $|\mathbf{u}| = \sqrt{\mathbf{u} \cdot \mathbf{u}}$
  - b.  $\mathbf{u} \cdot \mathbf{u} = |\mathbf{u}|$
  - c.  $\mathbf{u} \times \mathbf{0} = \mathbf{0} \times \mathbf{u} = \mathbf{0}$
  - d.  $\mathbf{u} \times (-\mathbf{u}) = \mathbf{0}$
  - e.  $\mathbf{u} \times \mathbf{v} = \mathbf{v} \times \mathbf{u}$
  - f.  $\mathbf{u} \times (\mathbf{v} + \mathbf{w}) = \mathbf{u} \times \mathbf{v} + \mathbf{u} \times \mathbf{w}$
  - g.  $(\mathbf{u} \times \mathbf{v}) \cdot \mathbf{v} = 0$
  - h.  $(\mathbf{u} \times \mathbf{v}) \cdot \mathbf{w} = \mathbf{u} \cdot (\mathbf{v} \times \mathbf{w})$

28. Aşağıdakilerden hangileri *her zaman doğru* ve hangileri *her zaman doğru değildir*? Yanıtlarınızı açıklayın.
- a.  $\mathbf{u} \cdot \mathbf{v} = \mathbf{v} \cdot \mathbf{u}$
  - b.  $\mathbf{u} \times \mathbf{v} = -(\mathbf{v} \times \mathbf{u})$
  - c.  $(-\mathbf{u}) \times \mathbf{v} = -(\mathbf{u} \times \mathbf{v})$

- d.  $(c\mathbf{u}) \cdot \mathbf{v} = \mathbf{u} \cdot (c\mathbf{v}) = c(\mathbf{u} \cdot \mathbf{v})$  (her  $c$  sayısı için)  
 e.  $c(\mathbf{u} \times \mathbf{v}) = (c\mathbf{u}) \times \mathbf{v} = \mathbf{u} \times (c\mathbf{v})$  (her  $c$  sayısı için)  
 f.  $\mathbf{u} \cdot \mathbf{u} = |\mathbf{u}|^2$  g.  $(\mathbf{u} \times \mathbf{u}) \cdot \mathbf{u} = 0$   
 h.  $(\mathbf{u} \times \mathbf{v}) \cdot \mathbf{u} = \mathbf{v} \cdot (\mathbf{u} \times \mathbf{v})$

29. Sıfırdan farklı  $\mathbf{u}$ ,  $\mathbf{v}$  ve  $\mathbf{w}$  vektörleri verilmişse, aşağıdakileri tanımlamak için, nokta veya vektörel çarpım gösterimini, hangisi uygunsa, kullanın.

- a.  $\mathbf{u}$ 'nın  $\mathbf{v}$  üzerinde izdüşüm vektörü
- b.  $\mathbf{u}$  ve  $\mathbf{v}$ 'ye ortogonal bir vektör
- c.  $\mathbf{u} \times \mathbf{v}$  ve  $\mathbf{w}$ 'ya dik bir vektör
- d.  $\mathbf{u}$ ,  $\mathbf{v}$  ve  $\mathbf{w}$  tarafından tanımlanan paralelyüzlünün hacmi

30. Sıfırdan farklı  $\mathbf{u}$ ,  $\mathbf{v}$  ve  $\mathbf{w}$  vektörleri verilmişse, aşağıdakileri tanımlamak için, nokta veya vektörel çarpım gösterimini kullanın.

- a.  $\mathbf{u} \times \mathbf{v}$  ve  $\mathbf{u} \times \mathbf{w}$ 'ya ortogonal bir vektör
- b.  $\mathbf{u} + \mathbf{v}$  ve  $\mathbf{u} - \mathbf{v}$ 'ye ortogonal bir vektör.
- c.  $\mathbf{v}$  yönünde  $|\mathbf{u}|$  uzunluğunda bir vektör
- d.  $\mathbf{u}$  ve  $\mathbf{w}$  tarafından tanımlanan paralelkenenin alanı.

31.  $\mathbf{u}$ ,  $\mathbf{v}$  ve  $\mathbf{w}$  vektör olsunlar. Aşağıdakilerden hangileri anlamlı, hangileri anlamsızdır? Yanıtlarınızı açıklayın

- a.  $(\mathbf{u} \times \mathbf{v}) \cdot \mathbf{w}$
- b.  $\mathbf{u} \times (\mathbf{v} \cdot \mathbf{w})$
- c.  $\mathbf{u} \times (\mathbf{v} \times \mathbf{w})$
- d.  $\mathbf{u} \cdot (\mathbf{v} \cdot \mathbf{w})$

32. **Üç vektörün vektörel çarpımı** Dejenere durumlar dışında,  $(\mathbf{u} \times \mathbf{v}) \times \mathbf{w}$   $\mathbf{u}$  ile  $\mathbf{v}$ 'nın düzleminde bulunurken,  $\mathbf{u} \times (\mathbf{v} \times \mathbf{w})$ 'nin  $\mathbf{v}$  ile  $\mathbf{w}$ 'nın düzleminde bulunduğu gösterin. Dejenere durumlar nedir?

33. **Vektörel çarpımlarda sadeleştirme**  $\mathbf{u} \times \mathbf{v} = \mathbf{u} \times \mathbf{w}$  ve  $\mathbf{u} \neq 0$  ise,  $\mathbf{v} = \mathbf{w}$  mudur? Yanıtlarınızı açıklayın.

34. **Çifte sadeleştirme**  $\mathbf{u} \neq 0$ ,  $\mathbf{u} \times \mathbf{v} = \mathbf{u} \times \mathbf{w}$  ve  $\mathbf{u} \cdot \mathbf{v} = \mathbf{u} \cdot \mathbf{w}$  ise,  $\mathbf{v} = \mathbf{w}$  mudur? Yanıtlarınızı açıklayın.

### Düzlemede Alan

35–38 alıştırmalarında köşeleri verilen paralelkenarların alanlarını bulun.

35.  $A(1, 0)$ ,  $B(0, 1)$ ,  $C(-1, 0)$ ,  $D(0, -1)$

36.  $A(0, 0)$ ,  $B(7, 3)$ ,  $C(9, 8)$ ,  $D(2, 5)$

37.  $A(-1, 2)$ ,  $B(2, 0)$ ,  $C(7, 1)$ ,  $D(4, 3)$

38.  $A(-6, 0)$ ,  $B(1, -4)$ ,  $C(3, 1)$ ,  $D(-4, 5)$

39–42 alıştırmalarında köşeleri verilen üçgenlerin alanlarını bulun.

39.  $A(0, 0)$ ,  $B(-2, 3)$ ,  $C(3, 1)$

40.  $A(-1, -1)$ ,  $B(3, 3)$ ,  $C(2, 1)$

41.  $A(-5, 3)$ ,  $B(1, -2)$ ,  $C(6, -2)$

42.  $A(-6, 0)$ ,  $B(10, -5)$ ,  $C(-2, 4)$

43. **Üçgen alanı**  $xy$ -düzleminde, köşeleri  $(0, 0)$ ,  $(a_1, a_2)$  ve  $(b_1, b_2)$ 'de olan üçgenin alanı için bir formül bulun. Yaptıklarınızı açıklayın.

44. **Üçgen alanı** Köşeleri  $(a_1, a_2)$ ,  $(b_1, b_2)$  ve  $(c_1, c_2)$ 'de bulunan üçgenin alanı için kısa bir formül bulun.

## 12.5

### Uzayda Doğrular ve Düzlemler

Tek değişkenli fonksiyonların analizinde, düzlemdeki eğrileri incelemek için doğrular hakkında bilgilerimizi kullandık. Tegetleri inceledik ve yüksek derecede büyütüldüklerinde diferansiyellenebilir eğrilerin etkin olarak lineer olduğunu gördük.

Bir sonraki bölümde, çok değişkenli fonksiyonların analizini çalışmak için düzlemler ve düzlemler hakkında bilgilerimizin, uzayda fonksiyonların grafikleri olan yüzeyleri incelemek üzere, nasıl kullanılacağı ile başlıyoruz.

Bu bölüm, uzaydaki doğrular, doğru parçaları ve düzlemlerin formüllerinin yazılması için skaler ve vektörel çarpımların nasıl kullanılacağını göstermektedir.

#### Uzayda Doğrular ve Doğru Parçaları

Düzlemden, bir doğru, bir nokta ve doğrunun eğimini veren bir sayı ile belirlenir. Uzayda ise bir doğru, bir nokta ve doğrunun *yönünü* veren bir vektör ile belirlenir.

$L$ 'nin uzayda bir  $P_0(x_0, y_0, z_0)$  noktasından geçen ve bir  $\mathbf{v} = v_1\mathbf{i} + v_2\mathbf{j} + v_3\mathbf{k}$  vektörüne平行 olan bir doğru olduğunu varsayıyorsak. Bu durumda  $L$ ,  $\overrightarrow{P_0P}$ 'nin  $\mathbf{v}$ 'ye平行 olmasını sağlayacak bütün  $P(x, y, z)$  noktalarının kümesidir (Şekil 12.35). Böylece, bir skaler  $t$  parametresi için  $\overrightarrow{P_0P} = t\mathbf{v}$  dir.  $t$ 'nin değeri  $P$  noktasının doğru üzerindeki konumuna bağlıdır ve  $t$ 'nin tanım kümesi  $(-\infty, \infty)$  dur.  $\overrightarrow{P_0P} = t\mathbf{v}$  denkleminin açılmış hali

$$(x - x_0)\mathbf{i} + (y - y_0)\mathbf{j} + (z - z_0)\mathbf{k} = t(v_1\mathbf{i} + v_2\mathbf{j} + v_3\mathbf{k})$$

dir ve bu eşitlik

$$x\mathbf{i} + y\mathbf{j} + z\mathbf{k} + x_0\mathbf{i} + y_0\mathbf{j} + z_0\mathbf{k} + t(v_1\mathbf{i} + v_2\mathbf{j} + v_3\mathbf{k}) \quad [1]$$

olarak yeniden yazılabilir.

$\mathbf{r}(t)$  doğru üzerindeki bir  $P(x, y, z)$  noktasının konum vektörü ve  $\mathbf{r}_0 P_0(x_0, y_0, z_0)$  noktasının konum vektörü ise Denklem (1), uzaydaki bir doğrunun denklemi için aşağıdaki vektör formunu verir:

#### Bir Doğrunun Vektörel Denklemi

$P_0(x_0, y_0, z_0)$ 'dan Geçen ve  $\mathbf{v}$ 'ye Parallel Olan  $L$  Doğrusunun Vektörel Denklemi

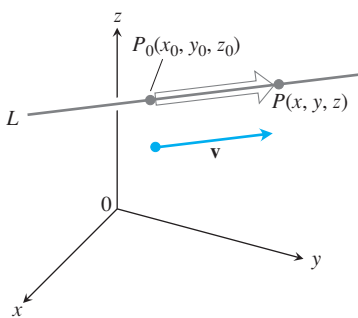
$$\mathbf{r}(t) = \mathbf{r}_0 + t\mathbf{v}, \quad -\infty < t < \infty \quad [2]$$

dir. Burada  $\mathbf{r}$   $L$  üzerindeki bir  $P(x, y, z)$  noktasının konum vektörü,  $\mathbf{r}_0$  da  $P_0(x_0, y_0, z_0)$  noktasının konum vektöridür.

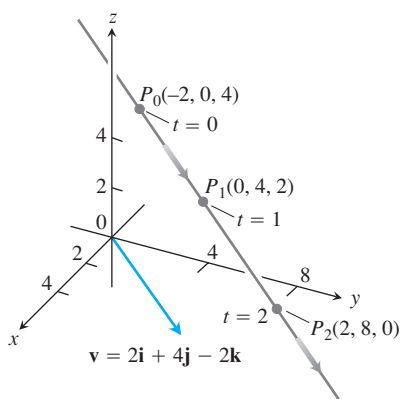
Denklem (1)'in iki tarafının karşılıklı bileşenlerini eşitlemek,  $t$  parametresini içeren üç skaler denklem verir:

$$x = x_0 + tv_1, \quad y = y_0 + tv_2, \quad z = z_0 + tv_3$$

Bu denklemler,  $-\infty < t < \infty$  parametre aralığı için doğrunun standart parametrizasyonunu verir.



**SEKİL 12.35** Bir  $P$  noktası ancak ve yalnız,  $\overrightarrow{P_0P}$  vektörü  $\mathbf{v}$ 'nin bir skaler katısı,  $P_0$ 'dan geçen ve  $\mathbf{v}$ 'ye平行 olan doğrunun üzerindedir.



**ŞEKİL 12.36**  $x = -2 + 2t, y = 4t, z = 4 - 2t$  doğrusunun üzerindeki seçilmiş noktalar ve parametre değerleri. Oklar artan  $t$  yönünü göstermektedir (Örnek 1).

### Bir Doğrunun Parametrik Denklemleri

$P_0(x_0, y_0, z_0)$ 'dan Geçen ve  $\mathbf{v} = v_1\mathbf{i} + v_2\mathbf{j} + v_3\mathbf{k}$ 'ye paralel olan doğrunun standart parametrizasyonu

$$x = x_0 + tv_1, \quad y = y_0 + tv_2, \quad z = z_0 + tv_3, \quad -\infty < t < \infty \quad [3]$$

dur.

### ÖRNEK 1 Bir Noktadan Geçen ve Bir Vektöre Paralel Olan Doğruya Parametrelemek

$(-2, 0, 4)$ 'ten geçen ve  $\mathbf{v} = 2\mathbf{i} + 4\mathbf{j} - 2\mathbf{k}$ 'ye paralel doğrunun parametrik denklemlerini bulun (Şekil 12.36).

**Çözüm**  $P_0(x_0, y_0, z_0) = (-2, 0, 4)$  ve  $v_1\mathbf{i} + v_2\mathbf{j} + v_3\mathbf{k} = 2\mathbf{i} + 4\mathbf{j} - 2\mathbf{k}$  olmak üzere, (3) denklemleri

$$x = -2 + 2t, \quad y = 4t, \quad z = 4 - 2t$$

### ÖRNEK 2 İki Noktadan Geçen Bir Doğruya Parametrelemek

$P(-3, 2, -3)$  ve  $Q(1, -1, 4)$ 'ten geçen doğrunun parametrik denklemlerini bulun.

#### Cözüm

$$\begin{aligned}\overrightarrow{PQ} &= (1 - (-3))\mathbf{i} + (-1 - 2)\mathbf{j} + (4 - (-3))\mathbf{k} \\ &= 4\mathbf{i} - 3\mathbf{j} + 7\mathbf{k}\end{aligned}$$

vektörü doğraya paraleldir ve  $(x_0, y_0, z_0) = (-3, 2, -3)$  ile (3) Denklemleri

$$x = -3 + 4t, \quad y = 2 - 3t, \quad z = -3 + 7t$$

verirler.  $Q(1, -1, 4)$ 'ü "taban noktası" olarak seçip

$$x = 1 + 4t, \quad y = -1 - 3t, \quad z = 4 + 7t$$

yazabilirdik. Bu denklemler de birinciler kadar iyi iş görürler; sadece sizi verilmiş bir  $t$  değerinde farklı bir yere götürürler.

Parametrizasyonların tek olmadığını dikkat edin. Sadece "taban noktası" değil parametre de değişimdir.  $x = -3 + 4t^3, y = 2 - 3t^3$  ve  $z = -3 + 7t^3$  denklemleri de Örnek 2'deki doğruya parametreler.

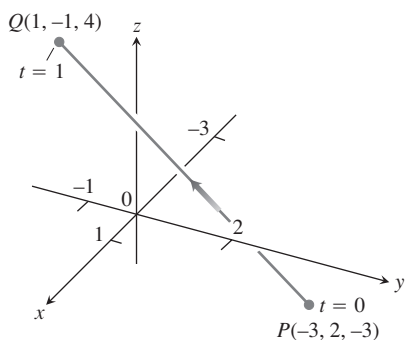
İki noktayı birleştiren bir doğru parçasını parametrize etmek için, önce noktalardan geçen doğruya parametrize ederiz. Sonra üç noktalar için  $t$ -değerlerini bulur ve  $t$ 'yi bu değerlerle sınırlanmış kapalı aralığa kısıtlarız. Bu ek kısıtlamayla birlikte doğru denklemleri doğru parçasını parametrize ederler.

### ÖRNEK 3 Bir Doğru Parçasını Parametrelemek

$P(-3, 2, -3)$  ve  $Q(1, -1, 4)$  noktalarını birleştiren doğrularının parametreleyin (Şekil 12.37)

**Çözüm** İşe, bu seferlik Örnek 2'den aldığımız,  $P$  ve  $Q$ 'dan geçen doğrunun denklemleriyle başlayız:

$$x = -3 + 4t, \quad y = 2 - 3t, \quad z = -3 + 7t$$



**ŞEKİL 12.37** Örnek 3,  $PQ$  doğrularının bir parametrizasyonunu türetir. Ok artan  $t$  yönünü göstermektedir.

$$(x, y, z) = (-3 + 4t, 2 - 3t, -3 + 7t)$$

noktasının  $t = 0$ 'da  $P(-3, 2, -3)$ 'ten ve  $t = 1$ 'de  $Q(1, -1, 4)$ 'ten geçtiğini gözlemleriz. Doğru parçasını parametrelemek için  $0 \leq t \leq 1$  kısıtlamasını ekleriz:

$$x = -3 + 4t, \quad y = 2 - 3t, \quad z = -3 + 7t, \quad 0 \leq t \leq 1$$

■

Uzaydaki bir doğruya,  $P_0(x_0, y_0, z_0)$  konumundan başlayıp  $\mathbf{v}$  vektörü yönünde hareket eden bir parçacığın yolu olarak düşünürsek, vektör formu (Denklem (2)) daha açıklayıcıdır. Denklem (2)'yi yeniden yazarak

$$\begin{aligned} \mathbf{r}(t) &= \mathbf{r}_0 + t\mathbf{v} \\ &= \mathbf{r}_0 + t|\mathbf{v}| \frac{\mathbf{v}}{|\mathbf{v}|}. \end{aligned} \quad [4]$$

Başlangıç Zaman Hız Yön  
 konumu

Başa bir deyişle, parçacığın  $t$  anındaki konumu, başlangıç konumu artı doğru üzerindeki hareketinde  $\mathbf{v}/|\mathbf{v}|$  yönünde kat ettiği mesafe ( $\text{sürat} \times \text{zaman}$ ) dir.

#### ÖRNEK 4 Bir Helikopterin Uçuşu

Bir helikopter orijindeki pistten  $(1, 1, 1)$  noktası yönünde  $60 \text{ ft/s}$  süratle doğrudan uçacaktır. Helikopterin 10 saniye sonraki konumu nedir?

**Çözüm** Orijini helikopterin başlangıç konumuna (piste) yerleştiririz. Bu durumda

$$\mathbf{u} = \frac{1}{\sqrt{3}}\mathbf{i} + \frac{1}{\sqrt{3}}\mathbf{j} + \frac{1}{\sqrt{3}}\mathbf{k}$$

birim vektörü helikopterin uçuş yönünü verir. Denklem (4)'ten helikopterin herhangi bir  $t$  anındaki konumu

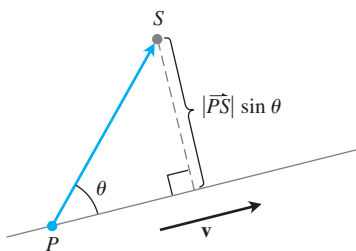
$$\begin{aligned} \mathbf{r}(t) &= \mathbf{r}_0 + t(\text{sürat}) \mathbf{u} \\ &= \mathbf{0} + t(60) \left( \frac{1}{\sqrt{3}}\mathbf{i} + \frac{1}{\sqrt{3}}\mathbf{j} + \frac{1}{\sqrt{3}}\mathbf{k} \right) \\ &= 20\sqrt{3}t(\mathbf{i} + \mathbf{j} + \mathbf{k}) \end{aligned}$$

olur.  $t = 10$  s iken

$$\mathbf{r}(10) = 200\sqrt{3}(\mathbf{i} + \mathbf{j} + \mathbf{k})$$

$$= \langle 200\sqrt{3}, 200\sqrt{3}, 200\sqrt{3} \rangle$$

bulunur. Orijinden  $(1, 1, 1)$  noktasına doğru uçuştan 10 saniye sonra helikopter uzayda  $(200\sqrt{3}, 200\sqrt{3}, 200\sqrt{3})$  noktasındadır. Ki bu  $\mathbf{r}(10)$  vektörünün uzunluğuudur.  $(60 \text{ ft/s})(10 \text{ s}) = 600 \text{ ft}$  mesafe kat etmiştir. ■



**ŞEKİL 12.38**  $S$ 'den,  $P$ 'ye geçen ve  $v$ 'ye paralel olan doğruya uzaklığı,  $\theta$   $\overrightarrow{PS}$  ve  $v$  arasındaki açı olmak üzere  $|\overrightarrow{PS}| \sin \theta$ 'dır.

### Uzayda Bir Noktadan Bir Doğruya Olan Uzaklık

Bir  $S$  noktasından, bir  $P$  noktasından geçen ve bir  $v$  vektörüne paralel olan doğruya uzaklığını bulmak için,  $\overrightarrow{PS}$ 'nin doğruya normal olan bir vektör doğrultusundaki skaler bileşeninin mutlak değerini buluruz (Şekil 12.38). Şeklin gösterimiyle, skaler bileşenin mutlak değeri,  $\frac{|\overrightarrow{PS} \times v|}{|v|}$  olan  $|\overrightarrow{PS}| \sin \theta$ , dır.

### Bir $S$ Noktasından, $P$ 'den Geçen ve $v$ 'ye Paralel Olan Doğruya Uzaklık

$$d = \frac{|\overrightarrow{PS} \times v|}{|v|} \quad [5]$$

### ÖRNEK 5 Bir Noktadan Bir Doğruya Olan Uzaklığını Bulmak

$S(1, 1, 5)$  noktasından

$$L: \quad x = 1 + t, \quad y = 3 - t, \quad z = 2t$$

doğrusuna olan uzaklığını bulun.

**Çözüm**  $L$ 'nin denklemlerinden  $L$ 'nin  $v = \mathbf{i} - \mathbf{j} + 2\mathbf{k}$ 'ye paralel olarak  $P(1, 3, 0)$ 'dan geçtiğini görüyoruz.

$$\overrightarrow{PS} = (1 - 1)\mathbf{i} + (1 - 3)\mathbf{j} + (5 - 0)\mathbf{k} = -2\mathbf{j} + 5\mathbf{k}$$

ve

$$\overrightarrow{PS} \times v = \begin{vmatrix} \mathbf{i} & \mathbf{j} & \mathbf{k} \\ 0 & -2 & 5 \\ 1 & -1 & 2 \end{vmatrix} = \mathbf{i} + 5\mathbf{j} + 2\mathbf{k}$$

ile, (5) denklemi

$$d = \frac{|\overrightarrow{PS} \times v|}{|v|} = \frac{\sqrt{1 + 25 + 4}}{\sqrt{1 + 1 + 4}} = \frac{\sqrt{30}}{\sqrt{6}} = \sqrt{5}$$

verir. ■

### Uzaydaki Bir Düzlem İçin Bir Denklem

Uzayda bir düzlemin, üzerinde bulunan bir noktanın bilinmesi ve “eğikliği” veya yönlendirilmesinin bilinmesi ile belirlenir. “Eğiklik”, düzleme dik veya normal olan bir vektör belirlenerek tanımlanır.

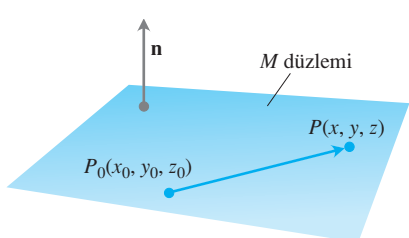
$M$  düzleminin bir  $P_0(x_0, y_0, z_0)$  noktasından geçtiğini ve sıfırdan farklı  $\mathbf{n} = A\mathbf{i} + B\mathbf{j} + C\mathbf{k}$  vektörüne normal olduğunu varsayıy়. Bu durumda  $M$ ,  $\overrightarrow{P_0P}$ 'nin  $\mathbf{n}$ 'ye ortogonal olmasını sağlayacak bütün  $P(x, y, z)$  noktalarının kümeleridir (Şekil 12.39). Böylece  $\mathbf{n} \cdot \overrightarrow{P_0P} = 0$  olur. Bu denklem

$$(A\mathbf{i} + B\mathbf{j} + C\mathbf{k}) \cdot [(x - x_0)\mathbf{i} + (y - y_0)\mathbf{j} + (z - z_0)\mathbf{k}] = 0$$

veya

$$A(x - x_0) + B(y - y_0) + C(z - z_0) = 0$$

denklemlerine denktir.



**ŞEKİL 12.39** Uzayda bir düzlemin standart denklemi, düzleme normal bir vektör cinsinden tanımlanır: Bir  $P$  noktası ancak ve yalnız  $\mathbf{n} \cdot \overrightarrow{P_0P} = 0$  ise  $\mathbf{n}$ 'ye normal olan ve  $P_0$ 'dan geçen düzlemler üzerindedir.

**Düzlem Denklemi**

$P_0(x_0, y_0, z_0)$  'dan geçen ve  $\mathbf{n} = A\mathbf{i} + B\mathbf{j} + C\mathbf{k}$ 'ye normal olan düzlemin

$$\text{Vektörel denklemi: } \mathbf{n} \cdot \overrightarrow{P_0P} = 0.$$

$$\text{Bileşen denklemi: } A(x - x_0) + B(y - y_0) + C(z - z_0) = 0$$

$$\text{Sadeleştirilmiş bileşen denklemi: } D = Ax_0 + By_0 + Cz_0 \text{ olmak üzere}$$

$$Ax + By + Cz = D$$

**ÖRNEK 6** Bir Düzlem İçin Bir Denklem Bulmak

$P_0(-3, 0, 7)$  'den geçen ve  $\mathbf{n} = 5\mathbf{i} + 2\mathbf{j} - \mathbf{k}$  'ye dik olan düzlemin denklemini bulun.

**Çözüm** Bileşen denklemi

$$5(x - (-3)) + 2(y - 0) + (-1)(z - 7) = 0.$$

dir. Sadeleştirerek

$$5x + 15 + 2y - z + 7 = 0$$

$$5x + 2y - z = -22$$

elde ederiz. ■

Örnek 6'da  $\mathbf{n} = 5\mathbf{i} + 2\mathbf{j} - \mathbf{k}$  'nin bileşenlerinin  $5x + 2y - z = -22$  denkleminde nasıl  $x, y$  ve  $z$  'nin katsayıları haline geldiğine dikkat edin.  $\mathbf{n} = A\mathbf{i} + B\mathbf{j} + C\mathbf{k}$  vektörü  $Ax + By + Cz = D$  düzleme normaldir.

**ÖRNEK 7** Üç Noktadan Geçen Bir Düzlem İçin Bir Denklem

$A(0, 0, 1)$ ,  $B(2, 0, 0)$  ve  $C(0, 3, 0)$  'dan geçen düzlemi bulun.

**Çözüm** Düzleme normal bir vektör bulur ve bunu noktalardan biriyle (hangisi olduğu fark etmez) kullanarak düzlem için bir denklem buluruz.

$$\overrightarrow{AB} \times \overrightarrow{AC} = \begin{vmatrix} \mathbf{i} & \mathbf{j} & \mathbf{k} \\ 2 & 0 & -1 \\ 0 & 3 & -1 \end{vmatrix} = 3\mathbf{i} + 2\mathbf{j} + 6\mathbf{k}$$

vektörü çarpımı düzleme normaldir. Bu vektörün bileşenlerini ve  $A(0, 0, 1)$  noktasının koordinatlarını denklemin bileşen formuna yerleştirerek

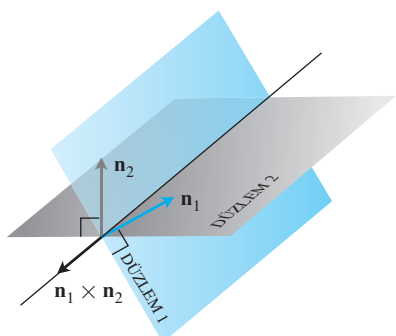
$$3(x - 0) + 2(y - 0) + 6(z - 1) = 0$$

$$3x + 2y + 6z = 6$$

elde ederiz. ■

**Kesişim Doğruları**

Nasıl ki doğrular ancak ve yalnız yönleri aynı ise **paraleldirler**, iki düzlem de ancak ve yalnız normal vektörleri paralel veya bir k skaleri için  $\mathbf{n}_1 = k\mathbf{n}_2$  ise **paraleldir**. Paralel olmayan iki düzlem bir doğru boyunca **kesişir**.



**ŞEKİL 12.40** İki düzlemin arakesit doğrusunun, düzlemlerin normal vektörleri ile nasıl ilişkili olduğu (Örnek 8 )

### ÖRNEK 8 İki Düzlemin Kesişim Doğrusuna Paralel Bir Vektör Bulmak

$3x - 6y - 2z = 15$  ve  $2x + y - 2z = 5$  düzlemlerinin kesişim doğrusuna paralel bir vektör bulun.

**Çözüm** İki düzlemin kesişim doğrusu düzlemlerin normal vektörleri  $\mathbf{n}_1$  ile  $\mathbf{n}_2$ 'ye diktir (Şekil 12.40) ve dolayısıyla  $\mathbf{n}_1 \times \mathbf{n}_2$ 'ye paraleldir. Bunu tersine çevirirsek,  $\mathbf{n}_1 \times \mathbf{n}_2$  düzlemlerin kesişim doğrusuna paralel olan bir vektördür. Bizim durumumuzda

$$\mathbf{n}_1 \times \mathbf{n}_2 = \begin{vmatrix} \mathbf{i} & \mathbf{j} & \mathbf{k} \\ 3 & -6 & -2 \\ 2 & 1 & -2 \end{vmatrix} = 14\mathbf{i} + 2\mathbf{j} + 15\mathbf{k}.$$

olur.  $\mathbf{n}_1 \times \mathbf{n}_2$ 'nin sıfırdan farklı herhangi bir skaler katı da iş görür. ■

### ÖRNEK 9 İki Düzlemin Kesişim Doğrusunu Parametrelemek

$3x - 6y - 2z = 15$  ve  $2x + y - 2z = 5$  düzlemlerinin kesişikleri doğrunun parametrik denklemlerini bulun.

**Çözüm** Doğruya paralel bir vektör ve doğru üzerinde bir nokta bularak (3) denklemlerini kullanırız:

Örnek 8  $\mathbf{v} = 14\mathbf{i} + 2\mathbf{j} + 15\mathbf{k}$ 'yi doğruya paralel bir vektör olarak tanımlar. Doğru üzerinde bir nokta bulmak için, iki düzleme de ait herhangi bir noktayı alabiliriz. Düzlem denklemlerinde  $z = 0$  koymak ve  $x$  ve  $y$ 'yi birlikte çözmek bu noktalardan birini  $(3, -1, 0)$  olarak belirler. Doğru

$$x = 3 + 14t, \quad y = -1 + 2t, \quad z = 15t.$$

olarak bulunur.  $z = 0$  seçimi keyfidir ve ayrıca  $z = 1$  veya  $z = -1$  de seçebilirdik. Veya  $x = 0$  alır ve  $y$  ve  $z$ 'yi çözebilirdik. Farklı seçimler basitçe, aynı doğrunun farklı parametrizasyonlarını verecektir. ■

Bazen bir doğru ve bir düzlemin nerede kesişiklerini bilmek isteriz. Örneğin, düz bir plakaya ve plakadan geçen bir doğuya bakıyorsak, doğrunun ne kadarlık bir kısmının görülmüşsinin plaka tarafından engellendiğini bilmek bizi ilgilendirebilir. Bu uygulama bilgisayar grafiklerinde kullanılır (Alıştırma 74).

### ÖRNEK 10 Bir Doğru ile Bir Düzlemin Kesişimini Bulmak

$$x = \frac{8}{3} + 2t, \quad y = -2t, \quad z = 1 + t$$

doğrusunun  $3x + 2y + 6z = 6$  düzlemiyle kesiştiği noktayı bulun.

#### Çözüm

$$\left( \frac{8}{3} + 2t, -2t, 1 + t \right)$$

noktası, koordinatları doğrunun denklemini sağlarsa, yani

$$3\left(\frac{8}{3} + 2t\right) + 2(-2t) + 6(1 + t) = 6$$

$$8 + 6t - 4t + 6 + 6t = 6$$

$$8t = -8$$

$$t = -1$$

ise, düzlemin üzerindedir. Kesişim noktası

$$(x, y, z)|_{t=-1} = \left(\frac{8}{3} - 2, 2, 1 - 1\right) = \left(\frac{2}{3}, 2, 0\right)$$

noktasıdır. ■

### Bir Noktadan Bir Düzleme Olan Uzaklık

$P$  noktası normali  $\mathbf{n}$  olan bir düzlem üzerinde ise herhangi bir  $S$  noktasından düzleme olan uzaklık,  $\overrightarrow{PS}$  vektörünün  $\mathbf{n}$  üzerine iz düşüm vektörünün uzunluğudur. Yani,  $S$ 'den düzleme olan uzaklık

$$d = \left| \overrightarrow{PS} \cdot \frac{\mathbf{n}}{|\mathbf{n}|} \right| \quad (6)$$

dir. Burada  $\mathbf{n} = A\mathbf{i} + B\mathbf{j} + C\mathbf{k}$  düzlemin normalidir.

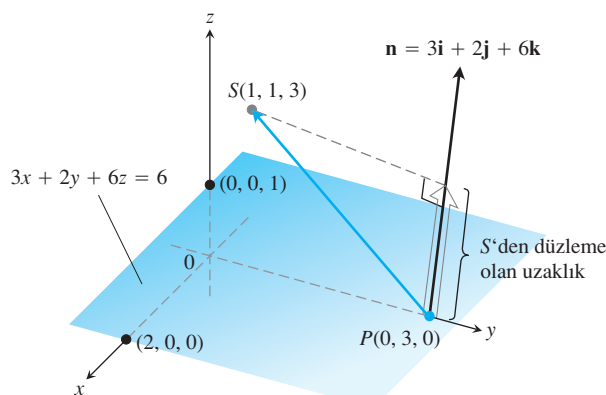
#### ÖRNEK 11 Bir Noktadan Bir Düzleme Uzaklılığı Bulmak

$S(1, 1, 3)$ 'ten  $3x + 2y + 6z = 6$  düzleme olan uzaklıği bulun.

**Cözüm** Düzlem üzerinde bir  $P$  noktası bulur ve  $\overrightarrow{PS}$ 'nin düzleme normal bir  $\mathbf{n}$  vektörü üzerine iz düşüm vektörünün uzunluğunu hesaplarız (Şekil 12.41).  $3x + 2y + 6z = 6$  denklemindeki katsayılar

$$\mathbf{n} = 3\mathbf{i} + 2\mathbf{j} + 6\mathbf{k}$$

verir.



**ŞEKİL 12.41**  $S$ 'den düzleme olan uzaklık  $\overrightarrow{PS}$ 'nin  $\mathbf{n}$  üzerine iz düşüm vektörünün uzunluğudur (Örnek 11).

Düzlem üzerinde düzlemin denkleminden bulunması en kolay olan noktalar kesim noktalarıdır.  $P$ 'yi  $y$ -kesim noktası  $(0, 3, 0)$  olarak alırsak,

$$\overrightarrow{PS} = (1 - 0)\mathbf{i} + (1 - 3)\mathbf{j} + (3 - 0)\mathbf{k}$$

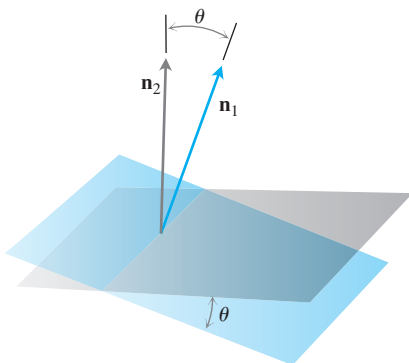
$$= \mathbf{i} - 2\mathbf{j} + 3\mathbf{k},$$

$$|\mathbf{n}| = \sqrt{(3)^2 + (2)^2 + (6)^2} = \sqrt{49} = 7$$

olur.  $S$ 'den düzleme olan uzaklık

$$\begin{aligned} d &= \left| \overrightarrow{PS} \cdot \frac{\mathbf{n}}{|\mathbf{n}|} \right| && \text{proj}_{\mathbf{n}} \overrightarrow{PS} \text{'nin uzunluğu} \\ &= \left| (\mathbf{i} - 2\mathbf{j} + 3\mathbf{k}) \cdot \left( \frac{3}{7}\mathbf{i} + \frac{2}{7}\mathbf{j} + \frac{6}{7}\mathbf{k} \right) \right| \\ &= \left| \frac{3}{7} - \frac{4}{7} + \frac{18}{7} \right| = \frac{17}{7} \end{aligned}$$

olarak bulunur. ■



**ŞEKİL 12.42** İki düzlem arasındaki açı normal vektörleri arasındaki açıdan elde edilir.

### Düzlemler Arasındaki Açılar

Kesişen iki düzlemin arasındaki açı normal vektörleriyle belirlenen (dar) açı olarak tanımlanır (Şekil 12.42).

**ÖRNEK 12**  $3x - 6y - 2z = 15$  ve  $2x + y - 2z = 5$  düzlemleri arasındaki açıyı bulun.

#### Çözüm

$$\mathbf{n}_1 = 3\mathbf{i} - 6\mathbf{j} - 2\mathbf{k}, \quad \mathbf{n}_2 = 2\mathbf{i} + \mathbf{j} - 2\mathbf{k}$$

vektörleri düzlemlerin normalleridir. Aralarındaki açı

$$\begin{aligned} \theta &= \cos^{-1} \left( \frac{\mathbf{n}_1 \cdot \mathbf{n}_2}{|\mathbf{n}_1| |\mathbf{n}_2|} \right) \\ &= \cos^{-1} \left( \frac{4}{21} \right) \\ &\approx 1.38 \text{ rad.} \quad 79^\circ \text{ civarında} \end{aligned}$$

olarak bulunur. ■

## ALIŞTIRMALAR 12.5

### Doğrular ve Doğru Parçaları

1–12 alıştırmalarındaki doğruların parametrik denklemelerini bulun.

1.  $P(3, -4, -1)$ 'den geçen  $\mathbf{i} + \mathbf{j} + \mathbf{k}$  vektörüne paralel olan doğru.
2.  $P(1, 2, -1)$  ve  $Q(-1, 0, 1)$ 'den geçen doğru.
3.  $P(-2, 0, 3)$  ve  $Q(3, 5, -2)$ 'den geçen doğru.
4.  $P(1, 2, 0)$  ve  $Q(1, 1, -1)$ 'den geçen doğru.

5. Orijinden geçen ve  $2\mathbf{j} + \mathbf{k}$  vektörüne paralel olan doğru.
6.  $(3, -2, 1)$  noktasından geçen ve  $x = 1 + 2t, y = 2 - t, z = 3t$  doğrusuna paralel olan doğru.
7.  $(1, 1, 1)$ 'den geçen ve  $z$ -eksenine paralel olan doğru.
8.  $(2, 4, 5)$ 'ten geçen ve  $3x + 7y - 5z = 21$  düzlemine dik olan doğru.
9.  $(0, -7, 0)$ 'dan geçen ve  $x + 2y + 2z = 13$  düzlemine dik olan doğru.

- 10.**  $(2, 3, 0)$ 'dan geçen ve  $\mathbf{u} = \mathbf{i} + 2\mathbf{j} + 3\mathbf{k}$  ile  $\mathbf{v} = 3\mathbf{i} + 4\mathbf{j} + 5\mathbf{k}$  vektörlerine dik doğru.

**11.**  $x$ -eksenini

**12.**  $z$ -eksenini

13–20 alıştırmalarındaki noktaları birleştiren doğru parçaları için parametrizasyonlar bulun. Koordinat eksenlerini çizin ve her doğru parçasını, parametrizasyonunuz için artan  $t$  yönünü de belirterek çizin.

**13.**  $(0, 0, 0), (1, 1, 3/2)$

**14.**  $(0, 0, 0), (1, 0, 0)$

**15.**  $(1, 0, 0), (1, 1, 0)$

**16.**  $(1, 1, 0), (1, 1, 1)$

**17.**  $(0, 1, 1), (0, -1, 1)$

**18.**  $(0, 2, 0), (3, 0, 0)$

**19.**  $(2, 0, 2), (0, 2, 0)$

**20.**  $(1, 0, -1), (0, 3, 0)$

## Düzlemler

21–26 alıştırmalarındaki düzlemlerin denklemlerini bulun.

**21.**  $P_0(0, 2, -1)$ 'den geçen,  $\mathbf{n} = 3\mathbf{i} - 2\mathbf{j} - \mathbf{k}$ 'ye normal düzlem

**22.**  $(1, -1, 3)$ 'ten geçen,  $3x + y + z = 7$  düzlemine paralel düzlem

**23.**  $(1, 1, -1), (2, 0, 2)$  ve  $(0, -2, 1)$ 'den geçen düzlem

**24.**  $(2, 4, 5), (1, 5, 7)$  ve  $(-1, 6, 8)$ 'den geçen düzlem

**25.**  $P_0(2, 4, 5)$ 'ten geçen ve

$$x = 5 + t, \quad y = 1 + 3t, \quad z = 4t$$

doğrusuna dik düzlem.

**26.**  $A(1, -2, 1)$ 'den geçen ve orijinden  $A$ 'ya giden vektöre dik düzlem.

**27.**  $x = 2t + 1, y = 3t + 2, z = 4t + 3$  ile  $x = s + 2, y = 2s + 4, z = -4s - 1$  doğrularının kesişim noktasını ve bu doğruların belirlediği düzlemini bulun.

**28.**  $x = t, y = -t + 2, z = t + 1$  ile  $x = 2s + 2, y = s + 3, z = 5s + 6$  doğrularının kesişim noktasını ve bu doğruların belirlediği düzlemini bulun.

29–30 alıştırmalarında kesişen doğruların belirledikleri düzlemleri bulun.

**29.** L1:  $x = -1 + t, y = 2 + t, z = 1 - t; -\infty < t < \infty$   
L2:  $x = 1 - 4s, y = 1 + 2s, z = 2 - 2s; -\infty < s < \infty$

**30.** L1:  $x = t, y = 3 - 3t, z = -2 - t; -\infty < t < \infty$   
L2:  $x = 1 + s, y = 4 + s, z = -1 + s; -\infty < s < \infty$

**31.**  $P_0(2, 1, -1)$ 'den geçen ve  $2x + y - z = 3$  ile  $x + 2y + z = 2$  düzlemlerinin kesişim doğrusuna dik bir düzlem bulun.

**32.**  $P_1(1, 2, 3), P_2(3, 2, 1)$  noktalarından geçen ve  $4x - y + 2z = 7$  düzleme dik bir düzlem bulun.

## Uzaklıklar

33–38 alıştırmalarında noktadan doğuya olan uzaklığı bulun.

**33.**  $(0, 0, 12); x = 4t, y = -2t, z = 2t$

**34.**  $(0, 0, 0); x = 5 + 3t, y = 5 + 4t, z = -3 - 5t$

**35.**  $(2, 1, 3); x = 2 + 2t, y = 1 + 6t, z = 3$

**36.**  $(2, 1, -1); x = 2t, y = 1 + 2t, z = 2t$

**37.**  $(3, -1, 4); x = 4 - t, y = 3 + 2t, z = -5 + 3t$

**38.**  $(-1, 4, 3); x = 10 + 4t, y = -3, z = 4t$

39–44 alıştırmalarında noktadan düzleme olan uzaklığını bulun.

**39.**  $(2, -3, 4), x + 2y + 2z = 13$

**40.**  $(0, 0, 0), 3x + 2y + 6z = 6$

**41.**  $(0, 1, 1), 4y + 3z = -12$

**42.**  $(2, 2, 3), 2x + y + 2z = 4$

**43.**  $(0, -1, 0), 2x + y + 2z = 4$

**44.**  $(1, 0, -1), -4x + y + z = 4$

**45.**  $x + 2y + 6z = 1$  düzleminde  $x + 2y + 6z = 10$  düzleme olan uzaklığını bulun.

**46.**  $x = 2 + t, y = 1 + t, z = -(1/2) - (1/2)t$  doğrusundan  $x + 2y + 6z = 10$  düzleme olan uzaklığını bulun.

## Açılar

47 ve 48 alıştırmalarındaki düzlemlerin arasındaki açıları bulun

**47.**  $x + y = 1, 2x + y - 2z = 2$

**48.**  $5x + y - z = 10, x - 2y + 3z = -1$

**T** 49–52 alıştırmalarında düzlemlerin arasındaki dar açıları bir radyanın yüzde biri hassaslıkla bulmak için bir hesap makinesi kullanın.

**49.**  $2x + 2y + 2z = 3, 2x - 2y - z = 5$

**50.**  $x + y + z = 1, z = 0$  (xy-düzlemi)

**51.**  $2x + 2y - z = 3, x + 2y + z = 2$

**52.**  $4y + 3z = -12, 3x + 2y + 6z = 6$

## Kesişen Doğrular ve Düzlemler

53–56 alıştırmalarında doğrunun düzlemi kestiği noktayı bulun.

**53.**  $x = 1 - t, y = 3t, z = 1 + t; 2x - y + 3z = 6$

**54.**  $x = 2, y = 3 + 2t, z = -2 - 2t; 6x + 3y - 4z = -12$

**55.**  $x = 1 + 2t, y = 1 + 5t, z = 3t; x + y + z = 2$

**56.**  $x = -1 + 3t, y = -2, z = 5t; 2x - 3z = 7$

57–60 alıştırmalarında düzlemlerin kesişim doğrularının parametrisizasyonlarını bulun.

**57.**  $x + y + z = 1, x + y = 2$

**58.**  $3x - 6y - 2z = 3, 2x + y - 2z = 2$

**59.**  $x - 2y + 4z = 2, x + y - 2z = 5$

**60.**  $5x - 2y = 11, 4y - 5z = -17$

Uzaya iki doğru verilmişse, ya paraleldirler, ya kesişirler ya da paralel değildirler (örneğin, gökyüzündeki iki uçağın uçuş rotalarını düşünün). 61 ve 62 alıştırmaları üç doğru vermektedir. Her defa ikisine bakmak kaydıyla, eğrilerin paralel mi, kesişen mi yoksa paralel olmayan mı olduklarını belirleyin. Kesişiyorlarsa, kesişim noktalarını bulun.

61.  $L_1: x = 3 + 2t, y = -1 + 4t, z = 2 - t; -\infty < t < \infty$   
 $L_2: x = 1 + 4s, y = 1 + 2s, z = -3 + 4s; -\infty < s < \infty$   
 $L_3: x = 3 + 2r, y = 2 + r, z = -2 + 2r; -\infty < r < \infty$
62.  $L_1: x = 1 + 2t, y = -1 - t, z = 3t; -\infty < t < \infty$   
 $L_2: x = 2 - s, y = 3s, z = 1 + s; -\infty < s < \infty$   
 $L_3: x = 5 + 2r, y = 1 - r, z = 8 + 3r; -\infty < r < \infty$

### Teori ve Örnekler

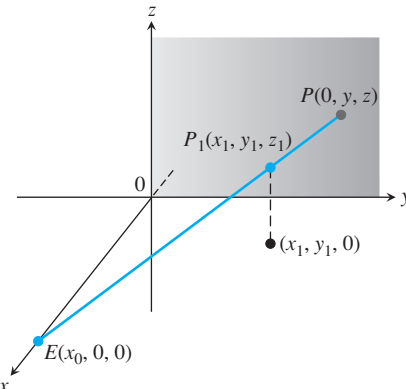
63. (3) denklemelerini kullanarak,  $P_1(2, -4, 7)$ 'den geçen ve  $\mathbf{v}_1 = 2\mathbf{i} - \mathbf{j} + 3\mathbf{k}$ 'ye paralel doğrunun bir parametrizasyonunu bulun. Sonra  $P_2(-2, -2, 1)$  noktasını ve  $\mathbf{v}^* = -\mathbf{i} + (1/2)\mathbf{j} - (3/2)\mathbf{k}$  vektörünü kullanarak doğrunun başka bir parametrizasyonunu üretin.
64. Bileşen formunu kullanarak,  $P_1(4, 1, 5)$ 'den geçen ve  $\mathbf{n}_1 = \mathbf{i} - 2\mathbf{j} + \mathbf{k}$ 'ye normal düzlemin bir denklemi üretin. Sonra aynı düzleme için  $P_2(3, -2, 0)$  noktasını ve  $\mathbf{n}_2 = -\sqrt{2}\mathbf{i} + 2\sqrt{2}\mathbf{j} - \sqrt{2}\mathbf{k}$  normal vektörünü kullanarak başka bir denklem üretin.
65.  $x = 1 + 2t, y = -1 - t, z = 3t$  doğrusunun koordinat düzlemlerini kestiği noktaları bulun. Yanıtınızı açıklayın.
66.  $z = 3$  düzleminde  $\mathbf{i}$  ile  $\pi/6$  radyanlık ve  $\mathbf{j}$  ile  $\pi/3$  radyanlık bir açı yapan doğrunun denklemelerini bulun. Yanıtınızın ardından mantığı anlatın.
67.  $x = 1 - 2t, y = 2 + 5t, z = -3t$  doğrusu  $2x + y - z = 8$  düzlemine paralel midir? Yanıtınızı açıklayın.
68.  $A_1x + B_1y + C_1z = D_1$  ve  $A_2x + B_2y + C_2z = D_2$  gibi iki düzlemin ne zaman paralel ve ne zaman dik olduklarını nasıl söyleyebilirsiniz? Yanıtınızı açıklayın.
69. Kesişimleri  $x = 1 + t, y = 2 - t, z = 3 + 2t$  doğrusu olan iki farklı düzlemler bulun. Her düzlemin denklemini  $Ax + By + Cz = D$  şeklinde yazın.
70. Orijinden geçen ve  $M: 2x + 3y + z = 12$  düzlemini dik açıyla kesen bir düzlemler bulun. Düzleminizin  $M'$ ye dik olduğunu nereden biliyorsunuz?
71. Sıfırdan farklı herhangi  $a, b$  ve  $c$  sayıları için,  $(x/a) + (y/b) + (z/c) = 1$ 'in grafiği bir düzlemdir. Hangi düzlemlerin bu şekilde bir denklemi vardır?

72.  $L_1$  ve  $L_2$ 'yi ayrik (kesişmeyen), paralel olmayan doğrular olarak varsayıñ. Sıfırdan farklı bir vektörün hem  $L_1$ 'e hem  $L_2$ 'ye dik olması mümkün mü? Yanıtınızı açıklayın.

### Bilgisayar Grafikleri

73. **Bilgisayar grafiklerinde perspektif** Bilgisayar grafikleri ve perspektif çizimlerde, uzaya gözle görülen cisimleri iki boyutlu bir düzlemdeki görüntüler olarak temsil etmemiz gereklidir. Gözün, aşağıda gösterildiği gibi,  $E(x_0, 0, 0)$ 'da bulunduğu ve bir  $P_1(x_1, y_1, z_1)$  noktasını  $yz$ -düzleminde bir nokta olarak temsil etmek istediğimizi varsayıñ. Bunu,  $E$ 'den gelen bir ışınla  $P_1$ 'in düzleme ızdüşümünü düşüreerek yaparız.  $P_1$  noktası  $P(0, y, z)$  noktası olarak görülecektir. Grafik tasarımcıları olarak sorunumuz  $E$  ve  $P_1$  verildiğinde,  $y$  ve  $z$ 'yi bulmaktır.

- a.  $\overrightarrow{EP}$  ve  $\overrightarrow{EP_1}$  ve arasında geçerli olan bir vektör denklemi yazın. Denklemi kullanarak  $y$  ve  $z$ 'yi  $x_0, x_1, y_1$  ve  $z_1$  cinsinden ifade edin.
- b. (a) şekildeki  $y$  ve  $z$  için bulunan formüller,  $x_1 = 0$  ve  $x_1 = x_0$  daki davranışlarını araştırarak ve  $x_0 \rightarrow \infty$  iken neler olduğunu görerek kontrol edin. Ne buluyorsunuz?



74. **Saklı doğrular** Burada bilgisayar grafiklerinin başka bir tipik problemi verilmektedir. Gözünüz  $(4, 0, 0)$ 'dadır. Köşeleri  $(1, 0, 1)$ ,  $(1, 1, 0)$  ve  $(-2, 2, 2)$ 'de olan üçgen bir plakaya bakıyorsunuz.  $(1, 0, 0)$ 'dan  $(0, 2, 2)$ 'ye giden doğru parçası plakadan geçmektedir. Plaka doğru parçasının hangi kısmını görmenizi engellemektedir? (Bu, doğrularla düzlemlerin kesişmesiyle ilgili bir problemdir.)

## 12.6

### Silindirler ve Kuadrik Yüzeyler

Şu ana kadar yüzeylerin iki özel tipini inceledik: küreler ve düzlemler. Bu bölümde envanterimizi çeşitli silindirleri ve kuadrik yüzeyleri içerecek şekilde genişletiyoruz. Kuadrik yüzeyler  $x, y$  ve  $z$ 'nin ikinci-derece denklemeleri ile tanımlanan yüzeylerdir. Küreler kuadrik yüzeylerdir fakat aynı derecede ilginç başkaları da vardır.

#### Silindirler

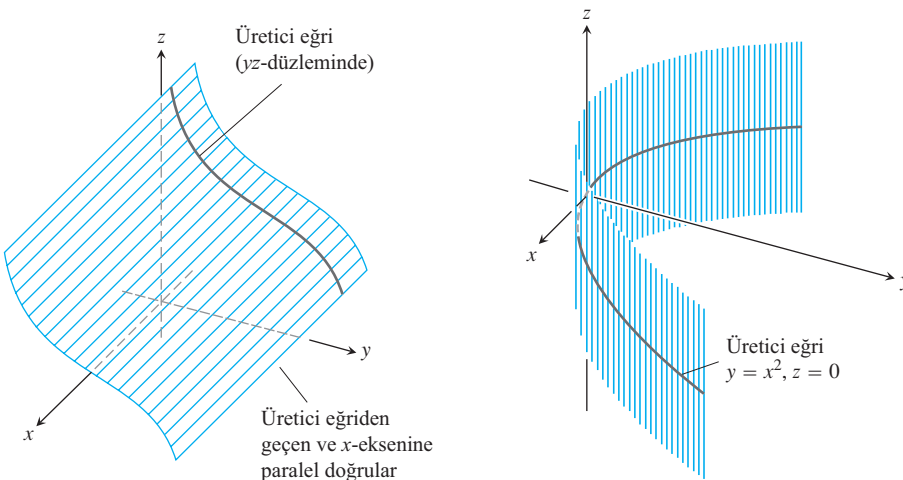
Bir **silindir** bir doğruya verilen sabit bir doğruya paralel tutarak, verilen düzlemsel bir eğri boyunca hareket ettirmekle üretilen bir yüzeydir. Eğri, silindirin **ürütici eğrisidir** (Şekil

12.43). Silindirin dairesel silindir anlamına geldiği katı geometrisinde, üretici eğriler çemberlerdir, fakat artık her türlü üretici eğriye izin veriyoruz. İlk örneğimizdeki silindir bir parabol tarafından üretilmiştir.

Bir silindir veya başka bir yüzeyi elle çizerken veya bilgisayarla üretilen bir tanesini incelerken, yüzeyin koordinat düzlemlerine paralel düzlemlerle kesişmesiyle oluşan eğrilere bakmak yardımcı olur. Bu eğrilere **kesit** veya **iz** denir.

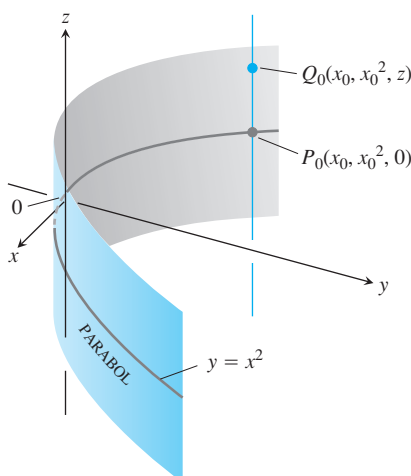
### ÖRNEK 1 $y = x^2$ Parabolik Silindiri

$z$ -eksenine paralel olan ve  $y = x^2$ ,  $z = 0$  parabolünden geçen doğruların ürettiği silindirin denklemi bulun (Şekil 12.44).



ŞEKİL 12.43 Bir silindir ve üretici eğrisi

ŞEKİL 12.44  $xy$ -düzlemindeki  $y = x^2$  parabolünden  $z$ -eksenine paralel olarak geçen eğrilerin silindiri (Örnek 1)



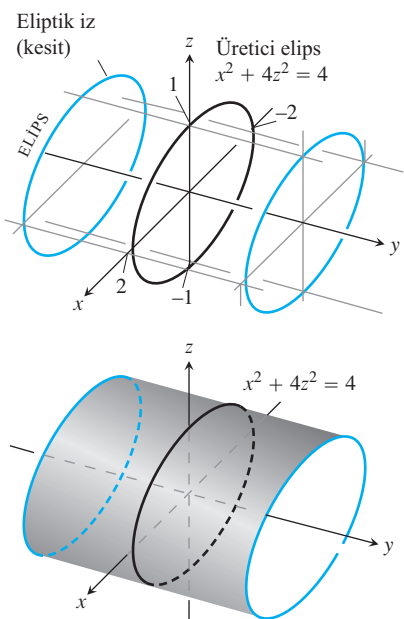
ŞEKİL 12.45 Şekil 12.44'teki silindirin her noktasının koordinatları  $(x_0, x_0^2, z)$  şeklidindedir. Silindire " $y = x^2$  silindiri" deriz.

**Cözüm**  $P_0(x_0, x_0^2, 0)$  noktasının  $xy$ -düzlemindeki  $y = x^2$  parabolünde bulunduğu varsayılmış. Bu durumda,  $z$ 'nin herhangi bir değeri için,  $Q(x_0, x_0^2, z)$  noktası silindir üzerinde bulunacaktır, çünkü  $P_0$ 'dan geçen ve  $z$ -eksenine paralel olan  $x = x_0$ ,  $y = x_0^2$  doğrusu üzerinde olacaktır. Tersine,  $y$ -koordinatı  $x$ -koordinatının karesine eşit olan her  $Q(x_0, x_0^2, z)$  noktası silindir üzerindedir. Çünkü  $P_0$ 'dan geçen ve  $z$  eksenine paralel olan  $x = x_0$ ,  $y = x_0^2$  doğrusu üzerinde bulunmaktadır (Şekil 12.45).

Dolayısıyla,  $z$ 'nin değeri ne olursa olsun, yüzey üzerindeki noktalar koordinatları  $y = x^2$  denklemi sağlayan noktalardır. Bu,  $y = x^2$ 'yi silindirin denklemi yapar. Bu nedenle silindire " $y = x^2$  silindiri" deriz. ■

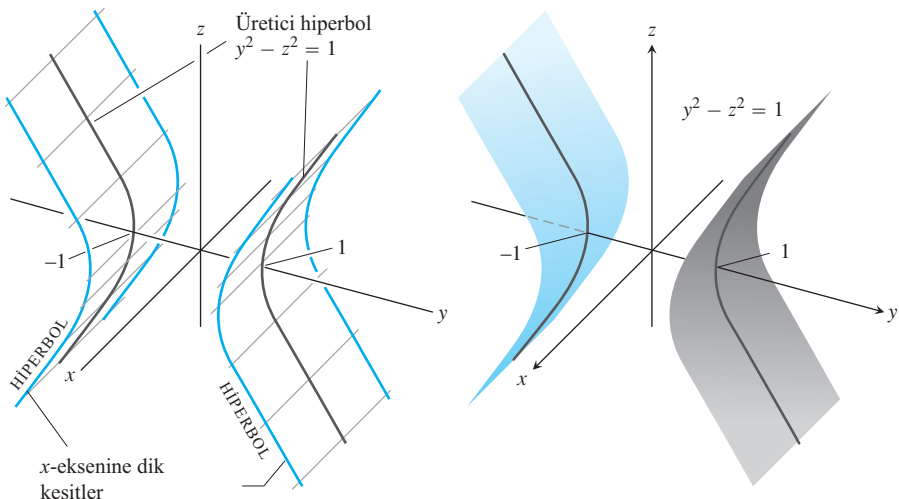
Örnek 1'in önerdiği gibi,  $xy$ -düzlemindeki herhangi bir  $f(x, y) = c$  eğrisi, denklemi yine  $f(x, y)$  olan  $z$ -eksenine paralel bir silindir tanımlar.  $x^2 + y^2 = 1$  denklemi  $z$ -eksenine paralel doğrularla yapılmış,  $xy$ -düzlemindeki  $x^2 + y^2 = 1$  çemberinden geçen bir silindir tanımlar.  $x^2 + 4y^2 = 9$  denklemi  $z$ -eksenine paralel ve  $xy$ -düzlemindeki  $x^2 + 4y^2 = 9$  elipsinden geçen doğrularla yapılmış elliptik silindiri tanımlar.

Benzer şekilde,  $xz$ -düzlemindeki herhangi bir  $g(x, z) = c$  eğrisi  $y$ -eksenine paralel ve uzay denklemi yine  $g(x, z) = c$  olan bir silindir tanımlar (Şekil 12.46). Herhangi bir



**ŞEKİL 12.46**  $x^2 + 4z^2 = 4$  elliptik silindiri  $y$ -eksenine paralel olan ve  $x^2 + 4z^2 = 4$  elipsinden geçen doğrulardan yapılmıştır. Silindirin  $y$ -eksenine paralel düzlemlerdeki kesitleri veya “izleri” üretici elipse benzer elipslerdir. Silindir  $y$ -eksenin boyunca uzanır.

$h(y, z) = c$  denklemi  $x$ -eksenine paralel ve uzay denklemi yine  $h(y, z) = c$  olan bir silindir tanımlar (Şekil 12.47). Bununla birlikte, bir silindirin eksenin bir koordinat eksenine paralel olmak zorunda değildir.



**ŞEKİL 12.47**  $y^2 - z^2 = 1$  hiperbolik silindiri  $x$ -eksenine paralel ve  $yz$ -düzlemindeki  $y^2 - z^2 = 1$  hiperbolünden geçen doğrularla yapılmıştır. Silindirin  $x$ -eksenine dik düzlemlerdeki kesitleri üretici hiperbole benzer hiperbollerdir.

### Kuadrik Yüzeyler

Şimdi inceleyeceğimiz yüzey tipi bir *kuadrik* yüzeydir. Bu yüzeyler elipslerin, parabolерin ve hiperbollerin üç boyutlu benzerleridir.

Bir kuadrik yüzey  $x, y$  ve  $z$ 'nin ikinci dereceden bir denkleminin uzaydaki grafiğidir.  $A, B, C$  vs. sabitler olamak üzere, en genel şekli

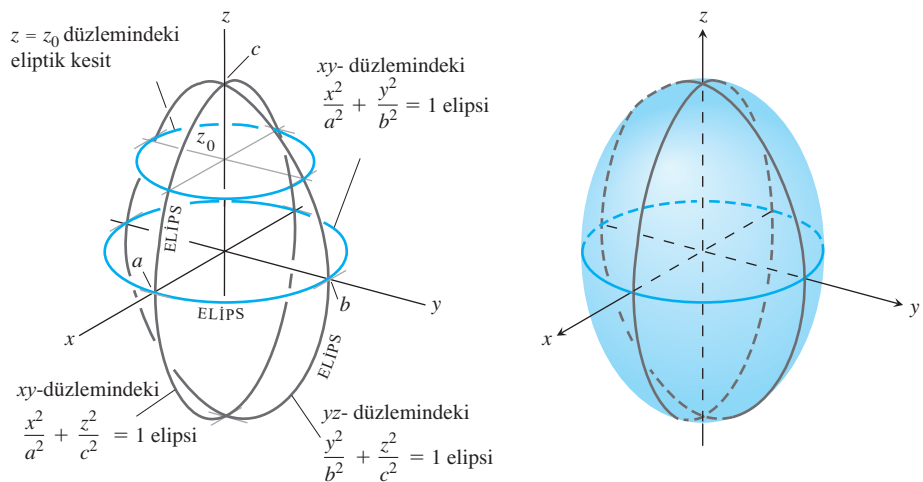
$$Ax^2 + By^2 + Cz^2 + Dxy + Eyz + Fxz + Gx + Hy + Jz + K = 0$$

denklemi gibidir, fakat bu denklem, iki boyutlu halde olduğu gibi, öteleme ve döndürme ile basitleştirilebilir. Sadece basit denklemleri inceleyeceğiz. Farklı tanımlandıkları halde, Şekil 12.45 – 12.47'deki silindirler de kuadrik yüzeylerin örnekleri idi. Temel kuadrik yüzeyler **elipsoidler**, **paraboloidler**, **elliptik koniler** ve **hiperboloidler**dir (Küreleri özel elipsoidler olarak düşünüyoruz). Şimdi her tipte örnekler gösteriyoruz.

### ÖRNEK 2 Elipsoidler

$$\frac{x^2}{a^2} + \frac{y^2}{b^2} + \frac{z^2}{c^2} = 1 \quad (1)$$

elipsoidi (Şekil 12.48) koordinat eksenlerini  $(\pm a, 0, 0), (0, \pm b, 0)$  ve  $(0, 0, \pm c)$ 'de keser.  $|x| \leq a$ ,  $|y| \leq b$  ve  $|z| \leq c$  eşitsizleriyle tanımlanan dikdörtgen kutunun içinde bulunur. Yüzey koordinat eksenlerinin her birine göre simetriktir, çünkü tanımlayııcı denklemdeki değişkenlerin kareleri alınmıştır.



ŞEKİL 12.48 Örnek 2'deki

$$\frac{x^2}{a^2} + \frac{y^2}{b^2} + \frac{z^2}{c^2} = 1$$

elipsoidinin üç koordinat düzleme ile de kesitleri elipslerdir.

Üç koordinat düzleminin yüzeyi kestikleri eğriler elipstir. Örneğin,

$$z = 0 \text{ iken } \frac{x^2}{a^2} + \frac{y^2}{b^2} = 1$$

olur.  $z = z_0$ ,  $|z_0| < c$ , düzleminin yüzeyden kestiği kesit

$$\frac{x^2}{a^2(1 - (z_0/c)^2)} + \frac{y^2}{b^2(1 - (z_0/c)^2)} = 1$$

elipsoididir.  $a$ ,  $b$  ve  $c$  yarı eksenlerinden ikisi aynıysa, yüzey bir **dönel elipsoid**dir. Üçü de eşitse, yüzey bir küredir. ■

### ÖRNEK 3 Paraboloidler

$$\frac{x^2}{a^2} + \frac{y^2}{b^2} = \frac{z}{c} \quad [2]$$

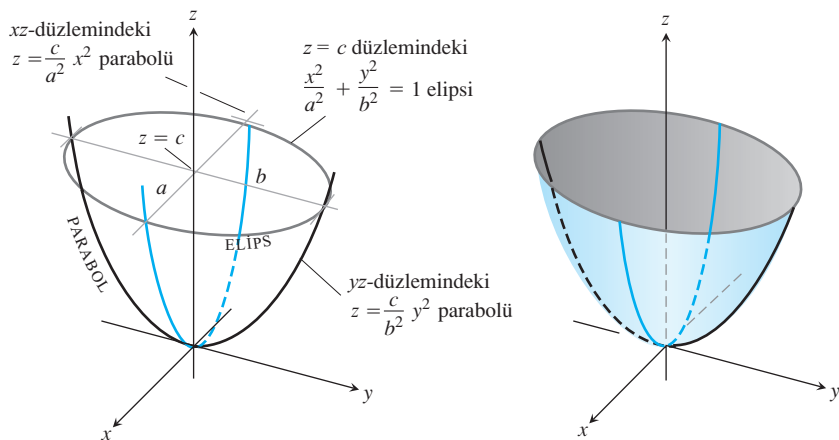
**eliptik paraboloidi**  $x = 0$  ve  $y = 0$  düzlemlerine göre simetriktir (Şekil 12.49). Eksenlerdeki tek kesim noktası orijindir. Bu nokta dışında, yüzey,  $c$ 'nin işaretine bağlı olarak, tamamen  $xy$ -düzleminin altında  $c < 0$  ise veya üstünde  $c > 0$  ise bulunur. Koordinat düzlemlerinin kestikleri kesitler

$$x = 0: \quad z = \frac{c}{b^2} y^2 \quad \text{parabolü}$$

$$y = 0: \quad z = \frac{c}{a^2} x^2 \quad \text{parabolü}$$

$$z = 0: \quad (0, 0, 0) \quad \text{noktası}$$

olarak bulunur.



**ŞEKİL 12.49** Örnek 3'te  $c > 0$  için gösterilmiş  $(x^2/a^2) + (y^2/b^2) = z/c$  elliptik paraboloidi.  $xy$ -düzleminin üst tarafında  $z$ -eksenine dik kesitler elipstir.  $z$ -eksenini içeren düzlemlerdeki kesitler parboldür.

$xy$ -düzleminin üst tarafındaki her  $z = z_0$  düzlemi yüzeyi

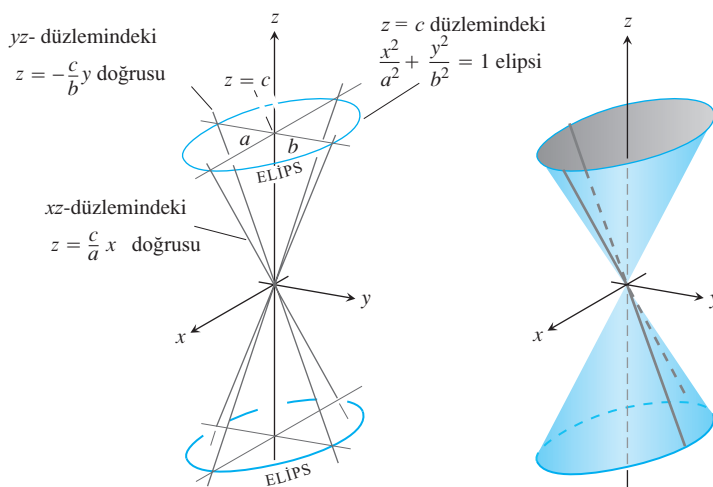
$$\frac{x^2}{a^2} + \frac{y^2}{b^2} = \frac{z_0}{c}$$

elipsi boyunca keser.

#### ÖRNEK 4 Koniler

$$\frac{x^2}{a^2} + \frac{y^2}{b^2} = \frac{z^2}{c^2} \quad [3]$$

elliptik konisi üç koordinat eksenine göre de simetriktir (Şekil 12.50). Koordinat düzlemleri



**ŞEKİL 12.50** Örnek 5'teki  $(x^2/a^2) + (y^2/b^2) - (x^2/a^2) + (y^2/b^2) = 1$  hiperboloidi.  $z$ -eksenine dik düzlemler hiperboloidi elipslerle keserler.  $z$ -eksenini içeren dikey düzlemlerin hiperboloid ile kesişimleri hiperbollerdir.

lerinin kestiği kesitler

$$x = 0: \quad z = \pm \frac{c}{b} y \text{ doğruları}$$

$$y = 0: \quad z = \pm \frac{c}{a} x \text{ doğruları}$$

$$z = 0: \quad (0, 0, 0) \text{ noktasında}$$

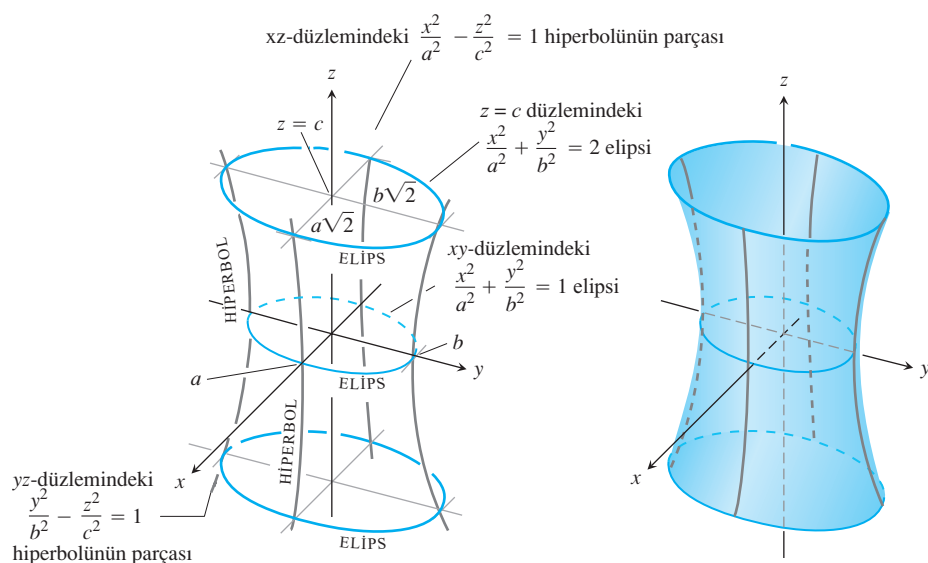
olarak bulunur.  $z = z_0$  düzlemlerinin  $xy$ -ekseninin altında ve üstünde kestikleri kesitler merkezleri  $z$ -ekseninde olan ve tepe noktaları yukarıda verilen doğrular üzerinde bulunan elipslerdir.

$a = b$  ise, koni dik dairesel bir konidir. ■

### ÖRNEK 5 Hiperboloidler

$$\frac{x^2}{a^2} + \frac{y^2}{b^2} - \frac{z^2}{c^2} = 1 \quad [4]$$

tek katmanlı hiperboloidi üç koordinat eksenine göre de simetriktir (Şekil 12.51).



**ŞEKİL 12.51** Örnek 5'teki  $(x^2/a^2) + (y^2/b^2) - (z^2/c^2) = 1$  hiperboloidi.  $z$ -eksenine dik düzlemler hiperboloidi elipslerle keserler.  $z$ -eksenini içeren dikey düzlemlerin hiperboloid ile kesişimleri hiperbollerdir.

Koordinat düzlemlerinin kestiği kesitler

$$x = 0: \quad \frac{y^2}{b^2} - \frac{z^2}{c^2} = 1 \text{ hiperbolü}$$

$$y = 0: \quad \frac{x^2}{a^2} - \frac{z^2}{c^2} = 1 \text{ hiperbolü}$$

$$z = 0: \quad \frac{x^2}{a^2} + \frac{y^2}{b^2} = 1 \text{ elpsi}$$

olarak bulunur.

$z = z_0$  düzlemi yüzeyi, merkezleri  $z$ -ekseninde ve tepe noktaları yukarıdaki hiperbolik kesitlerden biri üzerinde bulunan bir elipsle keser.

Yüzey bağıntılıdır, yani üzerindeki bir noktadan diğerine yüzeyi terk etmeden gitmek mümkün değildir. Bu nedenle, iki tane katmanı olan *bir* sonraki örnekteki hiperbolün aksine, bir tane katmanı vardır denir.

$a = b$  ise, hiperboloid bir dönel yüzeydir. ■

### ÖRNEK 6 Hiperboloidler

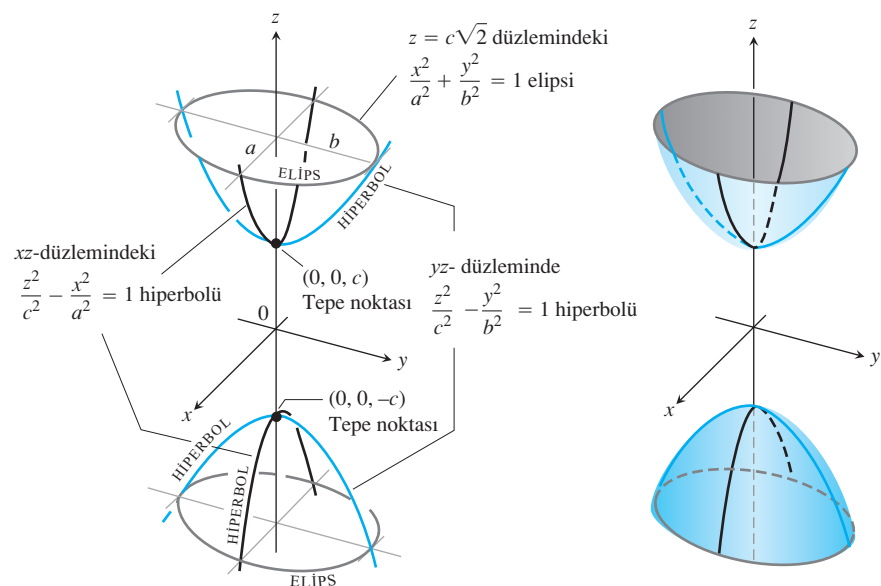
$$\frac{z^2}{c^2} - \frac{x^2}{a^2} - \frac{y^2}{b^2} = 1 \quad [5]$$

iki katmanlı hiperboloidi üç koordinat düzlemine göre de simetiktir (Şekil 12.52).  $z = 0$  düzlemi yüzeyi kesmez; aslında yatay bir düzlemin yüzeyi kesebilmesi için,  $|z| \geq c$  olmalıdır.

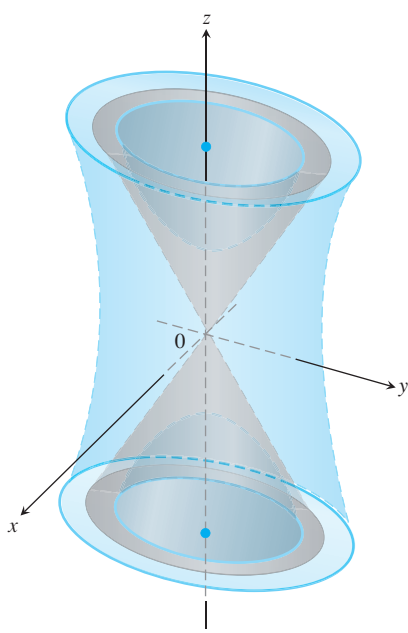
$$x = 0: \frac{z^2}{c^2} - \frac{y^2}{b^2} = 1$$

$$y = 0: \frac{z^2}{c^2} - \frac{x^2}{a^2} = 1$$

hiperbolik kesitlerinin tepe noktaları ve odakları  $z$ -eksenindedir. Yüzey iki kısma ayrılmıştır, biri  $z = c$  düzleminin üst tarafında, diğeri  $z = -c$  düzleminin altındadır. Bu ismini açıklar.



**ŞEKİL 12.52** Örnek 6'daki  $(z^2/c^2) - (x^2/a^2) - (y^2/b^2) = 1$  hiperboloidi. Tepe noktalarının üst ve alt tarafında,  $z$ -eksenine dik düzlemler hiperboloidi elipslerle keserler.  $z$ -eksenini içeren dikey düzlemlerin hiperboloidle kesişimleri hiperbollerdir.



**SEKİL 12.53** İki hiperboloid de koniye asimptottur (Örnek 6).

(4) ve (5) denklemlerinde farklı sayıda negatif terim vardır. Her durumda sayı hiperboloidin katman sayısıyla aynıdır. (4) veya (5) denklemının sağ tarafındaki 1 yerine 0 yazarsak, bir eliptik koni için verilen (( Denklem 3)

$$\frac{x^2}{a^2} + \frac{y^2}{b^2} = \frac{z^2}{c^2}$$

denklemini buluruz. Hiperboloidler bu koniye (Şekil 12.53),

$$\frac{x^2}{a^2} - \frac{y^2}{b^2} = \pm 1$$

hiperbollerinin,  $xy$ -düzlemindeki

$$\frac{x^2}{a^2} - \frac{y^2}{b^2} = 0$$

doğrularına asimptot oldukları gibi, asimptotturlar.

■

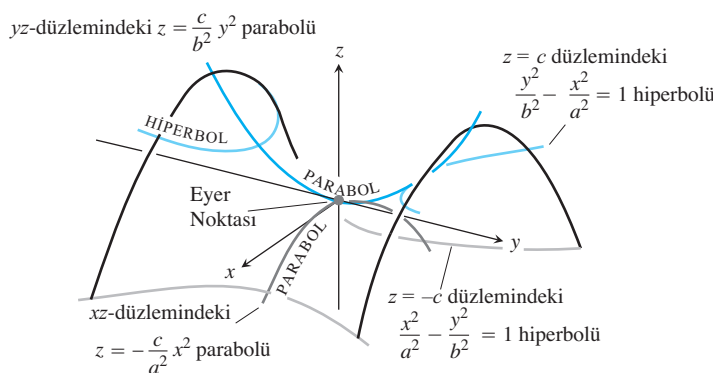
### ÖRNEK 7 Bir Eyer Noktası

$$\frac{y^2}{b^2} - \frac{x^2}{a^2} = \frac{z}{c}, \quad c > 0 \quad [6]$$

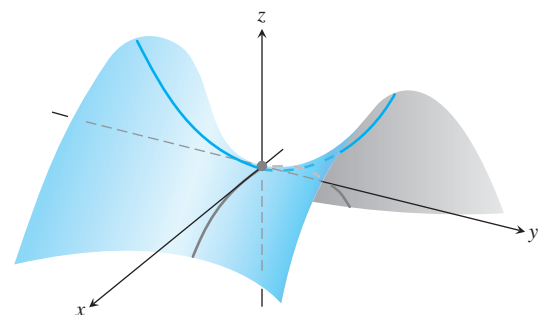
**hiperbolik paraboloidi**  $x = 0$  ve  $y = 0$  düzlemlerine göre simetiktir (Şekil 12.54). Bu düzlemlerdeki kesitler şöyledir:

$$x = 0: \quad z = \frac{c}{b^2} y^2 \text{ parabolü} \quad [7]$$

$$y = 0: \quad z = \frac{c}{a^2} x^2 \text{ parabolü} \quad [8]$$



**SEKİL 12.54**  $(y^2/b^2) - (x^2/a^2) = z/c, c > 0$  hiperbolik paraboloidi.  $xy$ -düzleminin üst ve alt tarafında  $z$ -eksenine dik kesitler hiperbollerdir. Diğer eksenlere dik kesitler parollerdir.



$x = 0$  düzleminde, parabol orijinden yukarı açılır.  $y = 0$  düzlemindeki parabol aşağı açılır.

Yüzeyi bir  $z = z_0 > 0$  düzlemiyle kesersek, kesit odak ekseni  $y$ -eksenine paralel ve tepe noktaları (7) denklemindeki parabol üzerinde bulunan bir hiperboldür:

$$\frac{y^2}{b^2} - \frac{x^2}{a^2} = \frac{z_0}{c},$$

$z_0$  negatifse, odak ekseni  $x$ -eksenine paraleldir ve tepe noktaları (8) denklemindeki parabol üzerindedir.

Orijin yakınında, yüzey bir eyer veya bir dağ geçidi biçimindedir.  $yz$ -düzleminde yüzey boyunca dolaşan bir kişiye göre, orijin bir minimum gibi görünür.  $xz$ -düzleminde dolaşan bir kişiye göre ise, orijin bir maksimuma benzer. Böyle bir noktaya yüzeyin bir **eyer noktası** denir. ■

### TEKNOLOJİ KULLANMAK Uzayda Görüntüleme

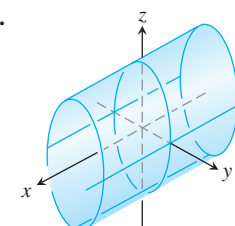
Bir Bilgisayarlı Cebir Sistemi (BCS) veya diğer bir grafik çizim programı uzayda yüzeyleri görüntülememize yardım edebilir. Coğu insanın gösterebileceğiinden daha fazla sabırla farklı düzlemlerdeki izleri çizebilir. Coğu bilgisayar grafik çizici sistemi şekli elinizde döndürebileceğiniz bir fiziksel kalıp gibi görebileceğiniz şekilde döndürebilir. Saklı-doğru algoritmaları (Bölüm 12.5, Alıştırma 74'e bakın) yüzeyin baktığınız yerden göremeyeceğiniz kısımlarını saklamakta kullanılır. Genellikle bir BCS yüzeylerin, Bölüm 16.6'da tartışılan parametrik şekilde girilmesini isteyecektir (ayrıca Bölüm 14.1'deki 57-60 BCS araştırmalarına bakın). Bazın bir yüzeyin tümünü görebilmek için, lassis yönlendirmeniz gerekebilir.

## ALIŞTIRMALAR 12.6

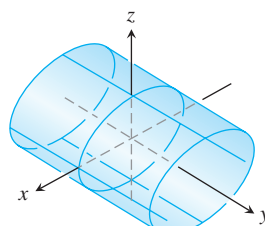
### Denklemleri Yüzeylerle Eşleştirmek

1–12 alıştırmalarında denklemi, tanımladığı yüzeye eşleştirin. Ayrıca, her yüzeyi tipi (paraboloid, elipsoid, vb.) ile belirleyin. Yüzeyler (a)–(l) olarak numaralanmıştır.

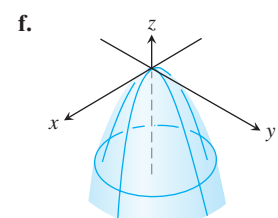
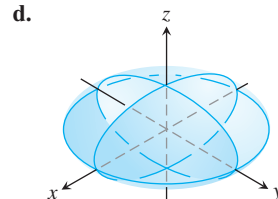
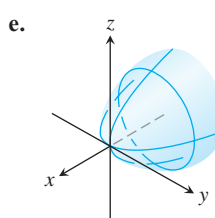
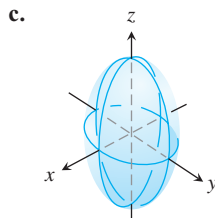
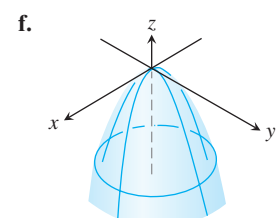
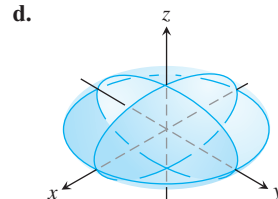
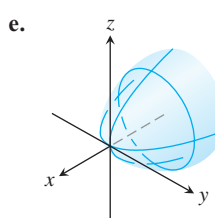
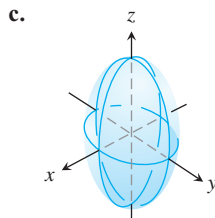
- |                            |                               |
|----------------------------|-------------------------------|
| 1. $x^2 + y^2 + 4z^2 = 10$ | 2. $z^2 + 4y^2 - 4x^2 = 4$    |
| 3. $9y^2 + z^2 = 16$       | 4. $y^2 + z^2 = x^2$          |
| 5. $x = y^2 - z^2$         | 6. $x = -y^2 - z^2$           |
| 7. $x^2 + 2z^2 = 8$        | 8. $z^2 + x^2 - y^2 = 1$      |
| 9. $x = z^2 - y^2$         | 10. $z = -4x^2 - y^2$         |
| 11. $x^2 + 4z^2 = y^2$     | 12. $9x^2 + 4y^2 + 2z^2 = 36$ |

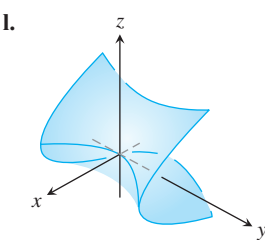
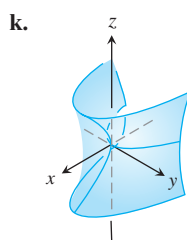
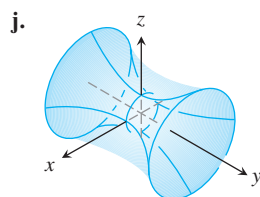
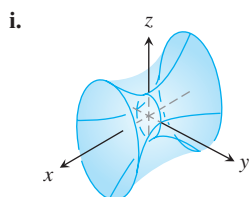
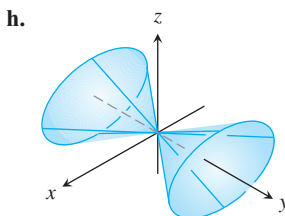
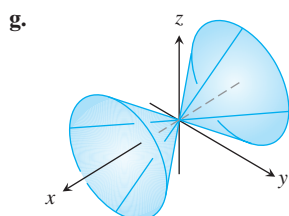


a.



b.





### Çizim

13–76 alıştırmalarındaki yüzeyleri çizin.

#### SİLİNDİRLER

13.  $x^2 + y^2 = 4$

14.  $x^2 + z^2 = 4$

15.  $z = y^2 - 1$

16.  $x = y^2$

17.  $x^2 + 4z^2 = 16$

18.  $4x^2 + y^2 = 36$

19.  $z^2 - y^2 = 1$

20.  $yz = 1$

#### ELİPSÖİDLER

21.  $9x^2 + y^2 + z^2 = 9$

22.  $4x^2 + 4y^2 + z^2 = 16$

23.  $4x^2 + 9y^2 + 4z^2 = 36$

24.  $9x^2 + 4y^2 + 36z^2 = 36$

#### PARABOLOİDLER

25.  $z = x^2 + 4y^2$

26.  $z = x^2 + 9y^2$

27.  $z = 8 - x^2 - y^2$

28.  $z = 18 - x^2 - 9y^2$

29.  $x = 4 - 4y^2 - z^2$

30.  $y = 1 - x^2 - z^2$

#### KONİLER

31.  $x^2 + y^2 = z^2$

32.  $y^2 + z^2 = x^2$

33.  $4x^2 + 9z^2 = 9y^2$

34.  $9x^2 + 4y^2 = 36z^2$

#### HİPERBOLOİDLER

35.  $x^2 + y^2 - z^2 = 1$

36.  $y^2 + z^2 - x^2 = 1$

37.  $(y^2/4) + (z^2/9) - (x^2/4) = 1$

38.  $(x^2/4) + (y^2/4) - (z^2/9) = 1$

39.  $z^2 - x^2 - y^2 = 1$

40.  $(y^2/4) - (x^2/4) - z^2 = 1$

41.  $x^2 - y^2 - (z^2/4) = 1$

42.  $(x^2/4) - y^2 - (z^2/4) = 1$

### HİPERBOLİK PARABOLOİDLER

43.  $y^2 - x^2 = z$

44.  $x^2 - y^2 = z$

### KARIŞIK

45.  $x^2 + y^2 + z^2 = 4$

46.  $4x^2 + 4y^2 = z^2$

47.  $z = 1 + y^2 - x^2$

48.  $y^2 - z^2 = 4$

49.  $y = -(x^2 + z^2)$

50.  $z^2 - 4x^2 - 4y^2 = 4$

51.  $16x^2 + 4y^2 = 1$

52.  $z = x^2 + y^2 + 1$

53.  $x^2 + y^2 - z^2 = 4$

54.  $x = 4 - y^2$

55.  $x^2 + z^2 = y$

56.  $z^2 - (x^2/4) - y^2 = 1$

57.  $x^2 + z^2 = 1$

58.  $4x^2 + 4y^2 + z^2 = 4$

59.  $16y^2 + 9z^2 = 4x^2$

60.  $z = x^2 - y^2 - 1$

61.  $9x^2 + 4y^2 + z^2 = 36$

62.  $4x^2 + 9z^2 = y^2$

63.  $x^2 + y^2 - 16z^2 = 16$

64.  $z^2 + 4y^2 = 9$

65.  $z = -(x^2 + y^2)$

66.  $y^2 - x^2 - z^2 = 1$

67.  $x^2 - 4y^2 = 1$

68.  $z = 4x^2 + y^2 - 4$

69.  $4y^2 + z^2 - 4x^2 = 4$

70.  $z = 1 - x^2$

71.  $x^2 + y^2 = z$

72.  $(x^2/4) + y^2 - z^2 = 1$

73.  $yz = 1$

74.  $36x^2 + 9y^2 + 4z^2 = 36$

75.  $9x^2 + 16y^2 = 4z^2$

76.  $4z^2 - x^2 - y^2 = 4$

### Teori ve Örnekler

77. a.  $z = c$  düzlemi tarafından

$$x^2 + \frac{y^2}{4} + \frac{z^2}{9} = 1$$

elipsoidinden kesilen kesitin alam  $A$ 'yı  $c$ 'nin bir fonksiyonu olarak ifade edin. (Yarı eksenleri  $a$  ve  $b$  olan bir elipsin alanı  $\pi ab$ 'dır.)

b.  $z$ -eksenine paralel dilimler kullanarak (a) şıkkındaki elipsoidin hacmini bulun.

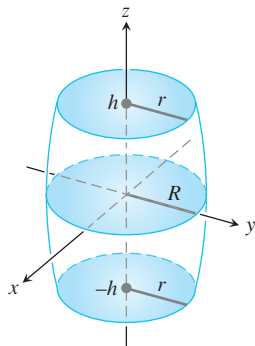
c. Şimdi

$$\frac{x^2}{a^2} + \frac{y^2}{b^2} + \frac{z^2}{c^2} = 1$$

elipsoidinin hacmini bulun.  $a = b = c$  ise, formülünüz a yarıçaplı bir kürenin hacmini verir mi?

78. Yan sayfada gösterilen varil uçlarından  $z$ -eksenine paralel eşit parçalar kesilmiş bir elipsoide benzemektedir.  $z$ -eksenine dik

kesitler daireseldir. Orta noktasında yarıçapı  $R$ 'dir ve iki ucunda da yarıçap  $r$ 'dır. Varilin hacmi için bir formül bulun. Sonra iki şeysi kontrol edin. Birincisi, varilin kenarlarının, varili  $2h$  yükseklikli ve  $R$  yarıçaplı bir silindire döndürecek şekilde düzleştirildiğini varsayıñ. Formülünüz silindirin hacmini veriyor mu? İkinci olarak,  $r = 0$  ve  $h = R$  olduğunu, yani varilin bir küre olduğunu varsayıñ. Formülünüz kürenin hacmini verir mi?



79.  $z = h$  düzlemi ile

$$\frac{x^2}{a^2} + \frac{y^2}{b^2} = \frac{z}{c}$$

paraboloidinden kesilen parçanın hacminin, parçanın tabanı kere yüksekliğinin yarısını olduğunu gösterin (Şekil 12.49  $h = c$  özel durum için parçayı göstermektedir).

80. a.  $z = 0$  ve  $z = h$ ,  $h > 0$  düzlemleri ve

$$\frac{x^2}{a^2} + \frac{y^2}{b^2} - \frac{z^2}{c^2} = 1$$

hiperboloidi ile sınırlanan cismin hacmini bulun.

- b. (a)'daki yanınızı,  $z = 0$  ve  $z = h$  düzlemleriyle hiperboloidden kesilen parçaların alanları olan  $A_0$  ve  $A_h$  cinsinden ifade edin.  
c. (a) sıkkindaki hacmin, aynı zamanda,  $A_m$  hiperboloidin  $z = h/2$  düzleminden kestiği alanın hacmi olmak üzere,

$$V = \frac{h}{6}(A_0 + 4A_m + A_h),$$

formülüyle de vereceğini gösterin.

81.  $(y^2/b^2) - (x^2/a^2) = z/c$  hiperbolik paraboloidi  $y = y_1$  düzlemi ile kesilirse, ortaya çıkan eğri bir paraboldür. Tepe noktasını ve odağını bulun.

82.  $xy$ -düzleminde bir eğri elde edecek şekilde

$$Ax^2 + By^2 + Cz^2 + Dxy + Eyz + Fxz + Gx + Hy + Jz + K = 0$$

denkleminde  $z = 0$  koyduğunuzu varsayıñ. Eğri neye benzer? Yanıtınızı açıklayın.

83. Koordinat eksenlerine paralel bir düzlemede ne zaman bir kuadrik yüzeyin denklemini bulduysak, bu hep bir konik kesit olmuştur. Bu sadece basit bir tesadüf müdür? Böyle olması gereklidir mi? Yanıtınızı açıklayın.

84. Bir kuadrik yüzeyi koordinat eksenlerine paralel *olmayan* bir yüzeye kestiğinizi varsayıñ. Düzlemdeki iz neye benzeyecektir? Yanıtınızı açıklayın.

### T Bilgisayar Grafik Araştırmaları

85–88 alıştırmalarındaki yüzeyleri belirtilen tanım bölgelerinde çizin. Yapabiliyorsanız, yüzeyi değişik görünümler için döndürün.

85.  $z = y^2$ ,  $-2 \leq x \leq 2$ ,  $-0.5 \leq y \leq 2$

86.  $z = 1 - y^2$ ,  $-2 \leq x \leq 2$ ,  $-2 \leq y \leq 2$

87.  $z = x^2 + y^2$ ,  $-3 \leq x \leq 3$ ,  $-3 \leq y \leq 3$

88.  $z = x^2 + 2y^2$

a.  $-3 \leq x \leq 3$ ,  $-3 \leq y \leq 3$

b.  $-1 \leq x \leq 1$ ,  $-2 \leq y \leq 3$

c.  $-2 \leq x \leq 2$ ,  $-2 \leq y \leq 2$

d.  $-2 \leq x \leq 2$ ,  $-1 \leq y \leq 1$

### BİLGİSAYAR ARAŞTIRMALARI

#### Yüzey Çizimleri

89–84 alıştırmalarındaki yüzeyleri çizmek için bir BCS kullanın. Kuadrik yüzeyin tipini grafiğinizden tanımlayın.

89.  $\frac{x^2}{9} + \frac{y^2}{36} = 1 - \frac{z^2}{25}$       90.  $\frac{x^2}{9} - \frac{z^2}{9} = 1 - \frac{y^2}{16}$

91.  $5x^2 = z^2 - 3y^2$       92.  $\frac{y^2}{16} = 1 - \frac{x^2}{9} + z$

93.  $\frac{x^2}{9} - 1 = \frac{y^2}{16} + \frac{z^2}{2}$       94.  $y - \sqrt{4 - z^2} = 0$

## Bölüm 12

### Bölüm Tekrar Soruları

- Yönlü doğru parçaları ne zaman aynı vektörü temsil ederler?
- Vektörler geometrik ve cebirsel olarak nasıl toplanır ve çarپılır?
- Bir vektörün yönünü ve büyüklüğünü nasıl bulursunuz?
- Bir vektör pozitif bir skalerle çarpılırsa, sonuç orijinal vektörle nasıl ilişkilidir? Ya skaler sıfır veya negatifse?

5. İki vektörün *nokta çarpımını* (*skaler çarpum*) tanımlayın. Nokta çarpımları hangi cebirsel kuralları (komütatif, birleşme, dağılma, sadeleşme) sağlarlar ve, varsa, hangilerini sağlamazlar? Örnek verin. İki vektörün nokta çarpımı ne zaman sıfırdır?
6. Nokta çarpımlarının ne gibi geometrik veya fiziksel yorumları vardır? Örnek verin.
7. Bir u vektörünün bir v vektörü üzerine iz düşüm vektörü nedir?  $\mathbf{u}'yu$  v'ye paralel bir vektör ile v'ye ortogonal bir vektörün toplamı olarak nasıl yazarsınız?
8. İki vektörün *vektörel çarpımını* tanımlayın. Vektörel çarpımlar hangi cebirsel kuralları (komütatif, birleşme, dağılma, sadeleşme) sağlarlar ve, varsa, hangilerini sağlamazlar? Örnek verin. İki vektörün vektörel çarpımı ne zaman sıfırdır?
9. Vektörel çarpımların ne gibi geometrik ve fiziksel yorumları vardır? Örnekler verin.
10. Kartezyen  $\mathbf{i}$ ,  $\mathbf{j}$ ,  $\mathbf{k}$  koordinat sistemine göre iki vektörün vektörel çarpımını hesaplamak için determinant formülü nedir? Bir örnekte kullanın.

11. Uzaydaki doğrular, doğru parçaları ve düzlemlerin denklemlerini nasıl bulursunuz? Örnekler verin. Uzayda bir doğru veya düzleme tek bir denklemle ifade edebilir misiniz?
12. Uzayda bir noktadan bir doğuya olan uzaklıği nasıl bulursunuz? Ya bir noktadan bir düzleme? Örnekler verin.
13. Kutu çarpımları nedir? Özellikleri nelerdir? Nasıl hesaplanırlar? Örnek verin.
14. Uzayda kürelerin denklemi nasıl bulunur? Örnekler verin.
15. Uzayda iki doğrunun kesimini nasıl bulursunuz? Ya bir doğru ile bir düzlemin veya iki düzlemin? Örnekler verin.
16. Bir silindir nedir? Kartezyen koordinatlarda silindirleri tanımlayan denklemlere örnekler verin.
17. Kuadrik yüzeyler nelerdir? Farklı elipsoidlere, paraboloidlere, konilere ve hiperboloidlere örnekler verin (denklemleri ve çizimleri).

## Bölüm 12

### Problemler

#### İki Boyutta Vektör Hesaplamaları

1–4 alıştırmalarında  $\mathbf{u} = \langle -3, 4 \rangle$  ve  $\mathbf{v} = \langle 2, -5 \rangle$  olsun. (a) vektörün bileşen formunu ve (b) büyüklüğünü bulun

1.  $3\mathbf{u} - 4\mathbf{v}$

2.  $\mathbf{u} + \mathbf{v}$

3.  $-2\mathbf{u}$

4.  $5\mathbf{v}$

5–8 alıştırmalarında vektörün bileşen formunu bulun

5.  $\langle 0, 1 \rangle$ 'i  $2\pi/3$  radyanlık bir açıyla döndürerek elde edilen vektör.

6. Pozitif x-ekseni ile  $\pi/6$  radyanlık açı yapan birim vektör.

7.  $4\mathbf{i} - \mathbf{j}$  yönünde 2 birim uzunluktaki vektör.

8.  $(3/5)\mathbf{i} + (4/5)\mathbf{j}$  vektörünün ters yönünde ve 5 birim uzunluktaki vektör.

9–12 alıştırmalarındaki vektörleri uzunlukları ve yönleri cinsinden ifade edin.

9.  $\sqrt{2}\mathbf{i} + \sqrt{2}\mathbf{j}$

10.  $-\mathbf{i} - \mathbf{j}$

11.  $t = \pi/2$  iken  $\mathbf{v} = (-2 \sin t)\mathbf{i} + (2 \cos t)\mathbf{j}$  hız vektörü.

12.  $t = \ln 2$  iken  $\mathbf{v} = (e^t \cos t - e^t \sin t)\mathbf{i} + (e^t \sin t + e^t \cos t)\mathbf{j}$  hız vektörü.

#### Üç Boyutta Vektör Hesaplamaları

13 ve 14 alıştırmalarındaki vektörleri uzunlukları ve yönleri cinsinden ifade edin.

13.  $2\mathbf{i} - 3\mathbf{j} + 6\mathbf{k}$

14.  $\mathbf{i} + 2\mathbf{j} - \mathbf{k}$

15.  $\mathbf{v} = 4\mathbf{i} - \mathbf{j} + 4\mathbf{k}$  yönünde 2 birim uzunlukta bir vektör bulun.

16.  $\mathbf{v} = (3/5)\mathbf{i} + (4/5)\mathbf{k}$  vektörünün ters yönünde ve 5 birim uzunlukta bir vektör bulun.

17 ve 18 alıştırmalarında,  $|\mathbf{v}|$ ,  $|\mathbf{u}|$ ,  $\mathbf{v} \cdot \mathbf{u}$ ,  $\mathbf{u} \cdot \mathbf{v}$ ,  $\mathbf{v} \times \mathbf{u}$ ,  $\mathbf{u} \times \mathbf{v}$ ,  $|\mathbf{v} \times \mathbf{u}|$ ,  $\mathbf{v}$  ile  $\mathbf{u}$  arasındaki açısı,  $\mathbf{u}$ 'nın  $\mathbf{v}$  yönündeki skaler bileşenini ve  $\mathbf{u}$ 'nın  $\mathbf{v}$  üzerine iz düşüm vektörünü bulun.

17.  $\mathbf{v} = \mathbf{i} + \mathbf{j}$

$\mathbf{u} = 2\mathbf{i} + \mathbf{j} - 2\mathbf{k}$

18.  $\mathbf{v} = \mathbf{i} + \mathbf{j} + 2\mathbf{k}$

$\mathbf{u} = -\mathbf{i} - \mathbf{k}$

19 ve 20 alıştırmalarında,  $\mathbf{u}'yu$  v'ye paralel bir vektör ile v'ye ortogonal bir vektörün toplamı olarak yazın.

19.  $\mathbf{v} = 2\mathbf{i} + \mathbf{j} - \mathbf{k}$

$\mathbf{u} = \mathbf{i} + \mathbf{j} - 5\mathbf{k}$

20.  $\mathbf{u} = \mathbf{i} - 2\mathbf{j}$

$\mathbf{v} = \mathbf{i} + \mathbf{j} + \mathbf{k}$

21 ve 22 alıştırmalarında, koordinat eksenleri çizin ve sonra  $\mathbf{u}$ ,  $\mathbf{v}$  ve  $|\mathbf{u} \times \mathbf{v}|$  vektörlerini orijinden başlayan vektörler olarak çizin

21.  $\mathbf{u} = \mathbf{i}$ ,  $\mathbf{v} = \mathbf{i} + \mathbf{j}$

22.  $\mathbf{u} = \mathbf{i} - \mathbf{j}$ ,  $\mathbf{v} = \mathbf{i} + \mathbf{j}$

23.  $|\mathbf{v}| = 2$ ,  $|\mathbf{w}| = 3$  ve  $\mathbf{v}$  ile  $\mathbf{w}$  arasındaki açı  $\pi/3$  ise,  $|\mathbf{v} - 2\mathbf{w}|$ 'yu bulun.

24. Hangi a değeri veya değerleri için  $\mathbf{u} = 2\mathbf{i} + 4\mathbf{j} - 5\mathbf{k}$  ve  $\mathbf{v} = -4\mathbf{i} - 8\mathbf{j} + a\mathbf{k}$  vektörleri paralel olur?

25 ve 26 alıştırmalarında, (a)  $\mathbf{u}$  ve  $\mathbf{v}$  vektörlerinin tanımladıkları paralelkenarın alanını (b)  $\mathbf{u}$ ,  $\mathbf{v}$  ve  $\mathbf{w}$  vektörlerinin tanımladığı paralelyüzlünün hacmini bulun.

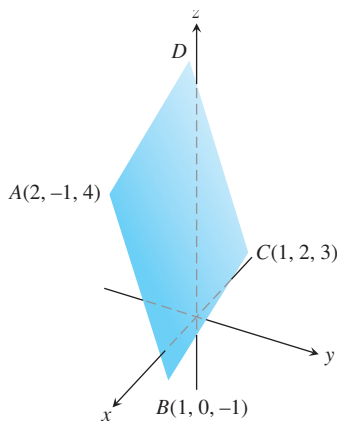
25.  $\mathbf{u} = \mathbf{i} + \mathbf{j} - \mathbf{k}$ ,  $\mathbf{v} = 2\mathbf{i} + \mathbf{j} + \mathbf{k}$ ,  $\mathbf{w} = -\mathbf{i} - 2\mathbf{j} + 3\mathbf{k}$

26.  $\mathbf{u} = \mathbf{i} + \mathbf{j}$ ,  $\mathbf{v} = \mathbf{j}$ ,  $\mathbf{w} = \mathbf{i} + \mathbf{j} + \mathbf{k}$

## Doğrular, Düzlemler ve Uzaklıklar

27.  $\mathbf{n}$ 'nin bir düzleme normal ve  $\mathbf{v}$ 'nin aynı düzleme paralel olduğunu varsayıñ. Hem  $\mathbf{v}$ 'ye dik, hem de düzleme paralel bir  $\mathbf{u}$  vektörünü nasıl bulacaðınızı tanımlayın.
28. Düzlemede  $ax + by = c$  doğrusuna paralel bir vektör bulun.
- 29 ve 30 alıştırmalarında, noktadan doğruya olan uzaklıðı bulun.
29.  $(2, 2, 0)$ ;  $x = -t$ ,  $y = t$ ,  $z = -1 + t$
30.  $(0, 4, 1)$ ;  $x = 2 + t$ ,  $y = 2 + t$ ,  $z = t$
31.  $(1, 2, 3)$  noktasından geçen ve  $\mathbf{v} = -3\mathbf{i} + 7\mathbf{k}$  vektörüne paralel doğruya parametrize edin.
32.  $P(1, 2, 0)$  ve  $Q(1, 3, -1)$  noktalarını birleþtiren doğru parçasını parametrize edin.
- 33 ve 34 alıştırmalarında noktadan düzleme olan uzaklıðı bulun.
33.  $(6, 0, -6)$ ,  $x - y = 4$
34.  $(3, 0, 10)$ ,  $2x + 3y + z = 2$
35.  $(3, -2, 1)$  noktasından geçen ve  $\mathbf{n} = 2\mathbf{i} + \mathbf{j} + \mathbf{k}$  vektörüne normal olan düzlemin denklemi bulun.
36.  $(-1, 6, 0)$  noktasından geçen ve  $x = -1 + t$ ,  $y = 6 - 2t$ ,  $z = 3t$  doğrusuna dik olan düzlemin denklemi bulun.
- 37 ve 38 alıştırmalarında,  $P$ ,  $Q$  ve  $R$  noktalarından geçen düzlemin denklemi bulun.
37.  $P(1, -1, 2)$ ,  $Q(2, 1, 3)$ ,  $R(-1, 2, -1)$
38.  $P(1, 0, 0)$ ,  $Q(0, 1, 0)$ ,  $R(0, 0, 1)$
39.  $x = 1 + 2t$ ,  $y = -1 - t$ ,  $z = 3t$  doğrusunun üç koordinat ekseniñ kesiði noktaları bulun.
40. Orijinden geçen ve  $2x - y - z = 4$  düzleminde dik doğrunun  $3x - 5y + 2z = 6$  düzlemini kesiði noktayı bulun.
41.  $x = 7$  ile  $x + y + \sqrt{2}z = -3$  düzlemleri arasındaki dar açıyı bulun.
42.  $x + y = 1$  ile  $y + z = 1$  düzlemleri arasındaki dar açıyı bulun.
43.  $x + 2y + z = 1$  ile  $x - y + 2z = -8$  düzlemlerinin kesiðim doğrusunu parametrik denklemelerini bulun.
- 44.
- $$x + 2y - 2z = 5 \quad \text{ve} \quad 5x - 2y - z = 0$$
- düzlemlerinin kesiðim doğrusunu
- $$x = -3 + 2t, \quad y = 3t, \quad z = 1 + 4t$$
- doğrusuna paralel olduğunu gösterin.
45.  $3x + 6z = 1$  ve  $2x + 2y - z = 3$  düzlemleri bir doğruda kesiðir.
- Düzlemlerin ortogonal olduklarını gösterin.
  - Kesiðim doğrusunun denklemelerini bulun.
46.  $(1, 2, 3)$  noktasından geçen ve  $\mathbf{u} = 2\mathbf{i} + 3\mathbf{j} + \mathbf{k}$  ve  $\mathbf{v} = \mathbf{i} - \mathbf{j} + 2\mathbf{k}$ 'ye paralel olan düzlemin denklemi bulun.
47.  $\mathbf{v} = 2\mathbf{i} - 4\mathbf{j} + \mathbf{k}$ 'nın  $2x + y = 5$  düzlemiyle özel bir ilişkisi var mıdır? Cevabınızı açıklayın.

48.  $\mathbf{n} \cdot \overrightarrow{P_0P} = 0$  denklemi  $P_0$ 'dan geçen ve  $\mathbf{n}$ 'ye normal olan düzlemi temsil eder.  $\mathbf{n} \cdot \overrightarrow{P_0P} > 0$  eşitsizliği hangi kümeyi temsil eder?
49.  $P(1, 4, 0)$  noktasının  $A(0, 0, 0)$ ,  $B(2, 0, -1)$  ve  $C(2, -1, 0)$ 'dan geçen düzleme uzaklıðını bulun.
50.  $(2, 2, 3)$  noktasının  $2x + 3y + 5z = 0$  düzlemine uzaklıðı bulun.
51.  $2x - y - z = 4$  düzlemine paralel ve  $\mathbf{i} + \mathbf{j} + \mathbf{k}$ 'ye ortogonal olan bir vektör bulun.
52.  $\mathbf{A} = 2\mathbf{i} - \mathbf{j} + \mathbf{k}$ ,  $\mathbf{B} = \mathbf{i} + 2\mathbf{j} + \mathbf{k}$  ve  $\mathbf{C} = \mathbf{i} + \mathbf{j} - 2\mathbf{k}$  ise,  $\mathbf{B}$  ve  $\mathbf{C}$ 'nin düzleminde  $\mathbf{A}$ 'ya ortogonal olan bir birim vektör bulun.
53.  $x + 2y + z - 1 = 0$  ve  $x - y + 2z + 7 = 0$  düzlemlerinin kesiðim doğrusuna paralel ve büyülüðü 2 olan bir vektör bulun.
54. Orijinden geçen ve  $2x - y - z = 4$  düzlemine dik olan doğrunun  $3x - 5y + 2z = 6$  düzlemeyle kesiðiği noktayı bulun.
55.  $P(3, 2, 1)$  noktasından geçen ve  $2x - y + 2z = -2$  düzlemine dik olan doğrunun düzleme kesiðiği noktayı bulun.
56.  $2x + y - z = 0$  ve  $x + y + 2z = 0$  düzlemlerinin kesiðim doğrusu orjinle hangi açıyı yapar?
- 57.
- $$L: \quad x = 3 + 2t, \quad y = 2t, \quad z = t$$
- doğrusu  $x + 3y - z = -4$  düzlemini bir  $P$  noktasında keser.  $P$ 'nin koordinatları ile  $P$ 'den geçen ve  $L$ 'ye dik olan doğrunun denklemelerini bulun.
58. Her reel  $k$  sayısı için,
- $$x - 2y + z + 3 + k(2x - y - z + 1) = 0$$
- düzleminin
- $$x - 2y + z + 3 = 0 \quad \text{ve} \quad 2x - y - z + 1 = 0$$
- düzlemlerinin kesiðim doğrusunu içerdigini gösterin.
59.  $A(-2, 0, -3)$  ve  $B(1, -2, 1)$ 'den geçen ve  $C(-2, -13/5, 26/5)$  ve  $D(16/5, -13/5, 0)$  noktalarından geçen doğruya paralel düzlemin denklemi bulun.
60.  $x = 1 + 2t$ ,  $y = -2 + 3t$ ,  $z = -5t$  doğrusunun herhangi bir şekilde  $-4x - 6y + 10z = 9$  düzlemeyle bir ilişkisi var mıdır? Yanıtınızı açıklayın.
61. Aşağıdakilerin hangileri  $P(1, 1, -1)$ ,  $Q(3, 0, 2)$  ve  $R(-2, 1, 0)$  noktalarından geçen düzlemin denklemeleridir?
- $(2\mathbf{i} - 3\mathbf{j} + 3\mathbf{k}) \cdot ((x+2)\mathbf{i} + (y-1)\mathbf{j} + z\mathbf{k}) = 0$
  - $x = 3 - t$ ,  $y = -11t$ ,  $z = 2 - 3t$
  - $(x+2) + 11(y-1) = 3z$
  - $(2\mathbf{i} - 3\mathbf{j} + 3\mathbf{k}) \times ((x+2)\mathbf{i} + (y-1)\mathbf{j} + z\mathbf{k}) = 0$
  - $(2\mathbf{i} - \mathbf{j} + 3\mathbf{k}) \times (-3\mathbf{i} + \mathbf{k}) \cdot ((x+2)\mathbf{i} + (y-1)\mathbf{j} + z\mathbf{k}) = 0$
62. Sayfa 902'de görülen paralelkenarın köşeleri  $A(2, -1, 4)$ ,  $B(1, 0, -1)$ ,  $C(1, 2, 3)$  ve  $D'$ dedir. İstenenleri istenenleri bulun.



- a.  $D$ 'nin koordinatlarını,
- b.  $B$ 'deki iç açının kosinüsünü,
- c.  $\overrightarrow{BA}$ 'nın  $\overrightarrow{BC}$  üzerine iz düşüm vektörünü,
- d. Paralelkenarın alanını,
- e. Paralelkenarın düzleminin denklemini,

f. Paralelkenarın üç koordinat düzlemi üzerine dik izdüşümlerinin alanlarını bulun.

- 63. Doğrular arasındaki uzaklık**  $A(1, 0, -1)$  ve  $B(-1, 1, 0)$ 'dan geçen  $L_1$  ve  $C(3, 1, -1)$  ile  $D(4, 5, -2)$ 'den geçen  $L_2$  doğruları arasındaki uzaklıği bulun. Uzaklık iki doğuya da dik doğru üzerinde ölçülmelidir. Önce iki doğuya da dik olan bir  $\mathbf{n}$  vektörü bulun. Sonra  $\overrightarrow{AC}$ 'nin  $\mathbf{n}$  üzerindeki izdüşümünü bulun.
- 64. (Problem 63'in devamı)**  $A(4, 0, 2)$  ve  $B(2, 4, 1)$ 'den geçen doğru ile  $C(1, 3, 2)$  ve  $D(2, 2, 4)$ 'ten geçen doğrunun arasındaki uzaklığını bulun.

### Kuadrik Yüzeyler

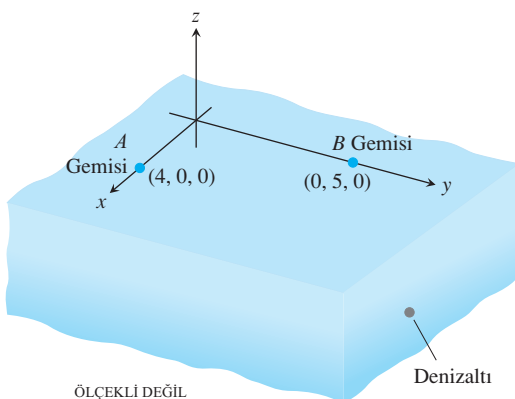
65–76 alıştırmalarında yüzeyleri tanımlayın ve çizin.

- |                             |                                 |
|-----------------------------|---------------------------------|
| 65. $x^2 + y^2 + z^2 = 4$   | 66. $x^2 + (y - 1)^2 + z^2 = 1$ |
| 67. $4x^2 + 4y^2 + z^2 = 4$ | 68. $36x^2 + 9y^2 + 4z^2 = 36$  |
| 69. $z = -(x^2 + y^2)$      | 70. $y = -(x^2 + z^2)$          |
| 71. $x^2 + y^2 = z^2$       | 72. $x^2 + z^2 = y^2$           |
| 73. $x^2 + y^2 - z^2 = 4$   | 74. $4y^2 + z^2 - 4x^2 = 4$     |
| 75. $y^2 - x^2 - z^2 = 1$   | 76. $z^2 - x^2 - y^2 = 1$       |

## Bölüm 12

### Ek ve İleri Alıştırmalar

- 1. Denizaltı avi** Manevra yapan yüzeydeki iki gemi, bir uçak karşılamak için, bir denizaltının rotasını ve hızını belirlemeye çalışıyorlar. Aşağıda görüldüğü gibi,  $A$  gemisi  $(4, 0, 0)$ 'da iken  $B$  gemisi  $(0, 5, 0)$ 'dadır. Bütün koordinatlar bin fit olarak verilmektedir.  $A$  gemisi denizaltıyı  $2\mathbf{i} + 3\mathbf{j} - (1/3)\mathbf{k}$  vekktörü yönünde belirlerken,  $B$  gemisi  $18\mathbf{i} - 6\mathbf{j} - \mathbf{k}$  vekktörü yönünde bulmaktadır. Dört dakika önce, denizaltı  $(2, -1, -1/3)$  noktasındaydı. Uçak 20 dakika sonra gelecektir. Denizaltının sabit hızla bir doğru üzerinde ilerlediği varsayılsa, yüzeydeki gemiler uçağı hangi konuma yönlendirmelidirler?

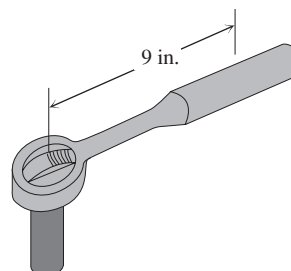


- 2. Bir helikopter kurtarıcı** İki helikopter,  $H_1$  ve  $H_2$ , birlikte dolaşıyorlar.  $t = 0$  saat anında, ayrılıyor ve, bütün uzunluklar mil olmak üzere,

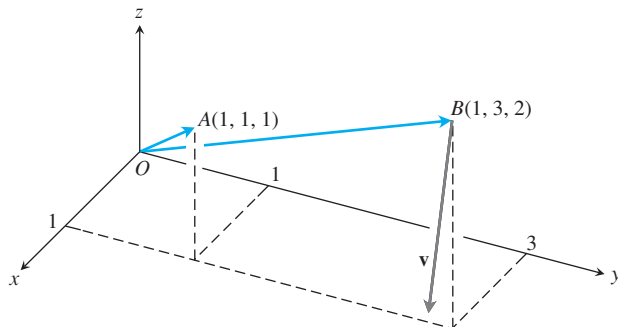
$$\begin{aligned} H_1: & x = 6 + 40t, & y = -3 + 10t, & z = -3 + 2t \\ H_2: & x = 6 + 110t, & y = -3 + 4t, & z = -3 + t \end{aligned}$$

ile verilen faklı doğrularla ilerlemeye başlıyorlar. Sistem arızalarından dolayı,  $H_2(446, 13, 1)$ 'de uçuşunu durduruyor ve ihmali edilebilir bir zaman sonra  $(446, 13, 0)$ 'a konuyor. İki saat sonra,  $H_1$ 'e durum bildiriliyor ve  $H_2$ 'ye doğru 150 mil/sa hızla yola çıkarıyor.  $H_1$ 'in  $H_2$ 'ye varması ne kadar sürecektir?

- 3. Tork** Toro® 21 inçlik çim biçme makinesinin çalışma kılavuzu “Kıvılcım tipasını 15 ft-lb'ye (20.4 N · m) sıkıştırın” demektedir. Tipayı, elinizin merkezinin kıvılcım tipasının ekseninden 9 inç uzağa yerlestiren 10.5 inçlik bir somun anahtarıyla kuruyorsanız, yaklaşık ne kadar kuvvet vermelisiniz? Pound olarak yanıtlayın.



- 4. Cisim döndürmek** Orijinden ve  $A(1, 1, 1)$  noktasından geçen doğru  $3/2$  rad/s'lik sabit bir açısal hızla dönmekte olan bir dik cismin dönme ekseni dir.  $A$ 'dan orijine baktığımızda dönme saat yönünde gözükmektedir. Cismin  $B(1, 3, 2)$  konumundaki noktasının v süratini bulun.



### 5. Determinantlar ve düzlemler

a.

$$\begin{vmatrix} x_1 - x & y_1 - y & z_1 - z \\ x_2 - x & y_2 - y & z_2 - z \\ x_3 - x & y_3 - y & z_3 - z \end{vmatrix} = 0$$

denkleminin aynı doğru üzerinde olmayan üç  $P_1(x_1, y_1, z_1)$ ,  $P_2(x_2, y_2, z_2)$  ve  $P_3(x_3, y_3, z_3)$  noktasından geçen düzlemin denklemi olduğunu gösterin.

b.

$$\begin{vmatrix} x & y & z & 1 \\ x_1 & y_1 & z_1 & 1 \\ x_2 & y_2 & z_2 & 1 \\ x_3 & y_3 & z_3 & 1 \end{vmatrix} = 0$$

denklemi uzaydaki hangi noktaları tanımlar?

### 6. Determinantlar ve doğrular

$x = a_1s + b_1$ ,  $y = a_2s + b_2$ ,  $z = a_3s + b_3$ ,  $-\infty < s < \infty$  ve

$x = c_1t + d_1$ ,  $y = c_2t + d_2$ ,  $z = c_3t + d_3$ ,  $-\infty < t < \infty$  doğrularının ancak ve yalnız

$$\begin{vmatrix} a_1 & c_1 & b_1 - d_1 \\ a_2 & c_2 & b_2 - d_2 \\ a_3 & c_3 & b_3 - d_3 \end{vmatrix} = 0$$

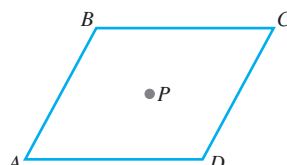
ise kesişceklerini veya paralel olacaklarını gösterin.

- 7. Paralelkenar** Aşağıdaki şekilde  $ABCD$  paralelkenarı ve  $BD$  köşegeninin orta noktası  $P$  görülmektedir.

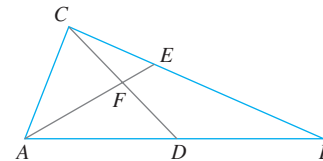
a.  $\overrightarrow{BD}$ 'yi  $\overrightarrow{AB}$  ve  $\overrightarrow{AD}$  cinsinden ifade edin.

b.  $\overrightarrow{AP}$ 'yi  $\overrightarrow{AB}$  ve  $\overrightarrow{AD}$  cinsinden ifade edin.

c.  $P$ 'nin aynı zamanda  $AC$  köşegeninin de orta noktası olduğunu ispatlayın.



- 8.** Aşağıdaki şekilde,  $D, ABC$  üçgeninin  $AB$  kenarının orta noktası  $E$  de  $C$  ile  $B$  arasındaki uzaklığın üçte birindedir.  $F$ 'nin  $CD$  doğru parçasının orta noktası olduğunu göstermek için vektör kullanın.



9.  $P_1(x_1, y_1)$ 'den  $ax + by = c$  doğrusuna olan uzaklığın

$$d = \frac{|ax_1 + by_1 - c|}{\sqrt{a^2 + b^2}}$$

olduğunu vektör kullanarak gösterin.

10. a.  $P_1(x_1, y_1, z_1)$ 'in  $Ax + By + Cz = D$  düzlemine uzaklığının

$$d = \frac{|Ax_1 + By_1 + Cz_1 - D|}{\sqrt{A^2 + B^2 + C^2}}$$

olduğunu göstermek için vektör kullanın.

- b.  $x + y + z = 3$  ve  $x + y = 9$  düzlemlerine teğet olan ve merkezi  $2x - y = 0$  ile  $3x - z = 0$  düzlemleri üzerinde olan küre için bir denklem bulun.

11. a.  $Ax + By + Cz = D_1$  ve  $Ax + By + Cz = D_2$  paralel düzlemleri arasındaki uzaklığın

$$d = \frac{|D_1 - D_2|}{|A\mathbf{i} + B\mathbf{j} + C\mathbf{k}|}$$

olduğunu gösterin.

- b.  $2x + 3y - z = 6$  ile  $2x + 3y - z = 12$  düzlemleri arasındaki uzaklığını bulun.

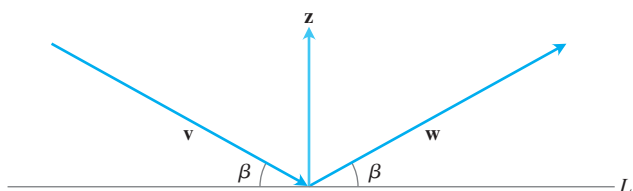
- c.  $(3, 2, -1)$  noktası iki düzlemden de eşit uzaklıktaysa,  $2x - y + 2z = -4$  düzleme paralel düzlemin denklemini bulun.

- d.  $x - 2y + z = 3$  düzleme paralel olan ve 5 birim uzakta bulunan düzlemlerin denklemelerini yazın.

12.  $A, B, C$  ve  $D$ 'nin ancak ve yalnız  $\overrightarrow{AD} \cdot (\overrightarrow{AB} \times \overrightarrow{BC}) = 0$  ise, aynı düzlemede bulunacaklarını gösterin.

- 13. Bir vektörün bir düzlem üzerine izdüşümü.**  $P$  uzayda bir düzlemleri ve  $v$  bir vektör olsun.  $v$ 'nın  $P$  düzlemi üzerine izdüşümü,  $\text{proj}_{Pv}$ , gayri formel bir şekilde aşağıdaki gibi tanımlanabilir. Güneş ışınlarının  $P$  düzlemine normal olacak şekilde geldiğini varsayıyın. Bu durumda,  $\text{proj}_{Pv} v$ ,  $v$ 'nin  $P$  üzerindeki "gölgesidir".  $P$  düzlemini  $x + 2y + 6z = 6$  ise ve  $v = \mathbf{i} + \mathbf{j} + \mathbf{k}$  ise,  $\text{proj}_{Pv} v$ 'yı bulun.

14. Aşağıdaki şekilde  $z$  vektörü  $L$  doğrusuna ortogonal,  $v, w$  ve  $z$  vektörleri  $L$  doğrusu ile eşit bir  $\beta$  açısı yapmaktadır (vektörler sıfır vektörden farklıdır).  $|v| = |w|$  olduğunu varsayıarak,  $w$ 'yi  $v$  ve  $z$  cinsinden bulun.



- 15. Üçlü vektör çarpımları** Üçlü vektör çarpımları  $(\mathbf{u} \times \mathbf{v}) \times \mathbf{w}$  ve  $\mathbf{u} \times (\mathbf{v} \times \mathbf{w})$  genellikle, bunları bileşenlerinden hesaplama formülleri benzer olduğu halde, eşit değildir:

$$(\mathbf{u} \times \mathbf{v}) \times \mathbf{w} = (\mathbf{u} \cdot \mathbf{w})\mathbf{v} - (\mathbf{v} \cdot \mathbf{w})\mathbf{u}$$

$$\mathbf{u} \times (\mathbf{v} \times \mathbf{w}) = (\mathbf{u} \cdot \mathbf{w})\mathbf{v} - (\mathbf{u} \cdot \mathbf{v})\mathbf{w}$$

Her formülün iki tarafını hesaplayıp sonuçları karşılaştırarak, denklemleri aşağıdaki vektörler için doğrulayın.

<b>u</b>	<b>v</b>	<b>w</b>
a. $2\mathbf{i}$	$2\mathbf{j}$	$2\mathbf{k}$
b. $\mathbf{i} - \mathbf{j} + \mathbf{k}$	$2\mathbf{i} + \mathbf{j} - 2\mathbf{k}$	$-\mathbf{i} + 2\mathbf{j} - \mathbf{k}$
c. $2\mathbf{i} + \mathbf{j}$	$2\mathbf{i} - \mathbf{j} + \mathbf{k}$	$\mathbf{i} + 2\mathbf{k}$
d. $\mathbf{i} + \mathbf{j} - 2\mathbf{k}$	$-\mathbf{i} - \mathbf{k}$	$2\mathbf{i} + 4\mathbf{j} - 2\mathbf{k}$

- 16. Vektörel ve skaler çarpımlar**  $\mathbf{u}, \mathbf{v}, \mathbf{w}$  ve  $\mathbf{r}$  herhangi vektörlerse, aşağıdakileri gösterin.

a.  $\mathbf{u} \times (\mathbf{v} \times \mathbf{w}) + \mathbf{v} \times (\mathbf{w} \times \mathbf{u}) + \mathbf{w} \times (\mathbf{u} \times \mathbf{v}) = \mathbf{0}$

b.  $\mathbf{u} \times \mathbf{v} = (\mathbf{u} \cdot \mathbf{v} \times \mathbf{i})\mathbf{i} + (\mathbf{u} \cdot \mathbf{v} \times \mathbf{j})\mathbf{j} + (\mathbf{u} \cdot \mathbf{v} \times \mathbf{k})\mathbf{k}$

c.  $(\mathbf{u} \times \mathbf{v}) \cdot (\mathbf{w} \times \mathbf{r}) = \begin{vmatrix} \mathbf{u} \cdot \mathbf{w} & \mathbf{v} \cdot \mathbf{w} \\ \mathbf{u} \cdot \mathbf{r} & \mathbf{v} \cdot \mathbf{r} \end{vmatrix}$

- 17. Vektörel ve skaler çarpımlar** Aşağıdaki formülü ispatlayın veya doğru olmadığını gösterin.

$$\mathbf{u} \times (\mathbf{u} \times (\mathbf{u} \times \mathbf{v})) \cdot \mathbf{w} = -|\mathbf{u}|^2 \mathbf{u} \cdot \mathbf{v} \times \mathbf{w}$$

- 18. Uygun iki vektörün vektörel çarpımını oluşturarak, aşağıdaki trigonometrik bağıntıyı elde edin.**

$$\sin(A - B) = \sin A \cos B - \cos A \sin B$$

- 19. Herhangi  $a, b, c$  ve  $d$  sayıları için**

$$(a^2 + b^2)(c^2 + d^2) \geq (ac + bd)^2$$

olduğunu göstermek için vektör kullanın (*İpucu:  $\mathbf{u} = a\mathbf{i} + b\mathbf{j}$  ve  $\mathbf{v} = c\mathbf{i} + d\mathbf{j}$  alın.*)

- 20.  $\mathbf{u}$  ve  $\mathbf{v}$  vektörlerinin paralel olmadıklarını ve  $\mathbf{w}$  vektörü  $\mathbf{v}'$ ye paralel ve  $\mathbf{r}$  vektörü  $\mathbf{v}'$ ye ortogonal olmak üzere,  $\mathbf{u} = \mathbf{w} + \mathbf{r}$  olduğunu varsayıncı,  $\mathbf{w}$  ve  $\mathbf{r}'$ yi  $\mathbf{u}$  ve  $\mathbf{v}$  cinsinden ifade edin.**

- 21. Herhangi  $\mathbf{u}$  ve  $\mathbf{v}$  vektörleri için,  $|\mathbf{u} + \mathbf{v}| \leq |\mathbf{u}| + |\mathbf{v}|$  olduğunu gösterin.**

- 22.  $\mathbf{w} = |\mathbf{v}|\mathbf{u} + |\mathbf{u}|\mathbf{v}$ 'nin  $\mathbf{u}$  ile  $\mathbf{v}$  arasındaki açının açıortayını olduğunu gösterin.**

- 23.  $|\mathbf{v}|\mathbf{u} + |\mathbf{u}|\mathbf{v}$  ve  $|\mathbf{v}|\mathbf{u} - |\mathbf{u}|\mathbf{v}$ 'nin ortogonal olduğunu gösterin.**

- 24. Nokta çarpımı pozitif definit'tir.** Vektörlerin nokta çarpımının *pozitif definit* olduğunu gösterin; yani her  $\mathbf{u}$  vektörü için,  $\mathbf{u} \cdot \mathbf{u} \geq 0$  olduğunu ve ancak ve yalnız  $\mathbf{u} = 0$  ise  $\mathbf{u} \cdot \mathbf{u} = 0$  olduğunu gösterin.

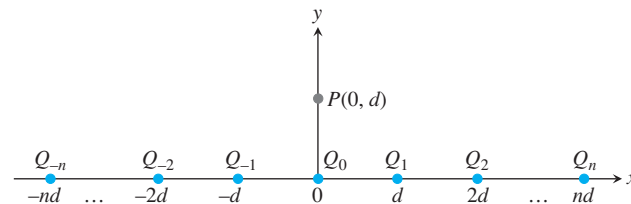
- 25. Nokta kütleler ve gravitasyon**  $P$  ve  $Q$ , kütleleri sırasıyla  $M$  ve  $m$  olan (nokta) kütleler,  $\mathbf{r}$  vektörü  $P$ 'den  $Q$ 'ya giden vektör ve  $G$  evrensel gravitasyon sabiti olmak üzere, Fizikteki gravitasyon yasası,  $P$ 'nin

$$\mathbf{F} = \frac{GMmr}{|\mathbf{r}|^3}$$

kuvvetiyle  $Q$ 'ya çekildiğini söyler. Dahası,  $Q_1, \dots, Q_k$ , kütleleri  $m_1, \dots, m_k$  olan (nokta) kütlelerse, bütün  $Q_i$ 'lerden dolayı  $P$ 'ye etkiyen kuvvet,  $\mathbf{r}_i$  vektörü  $P$ 'den  $Q_i$ 'ye giden vektör olmak üzere,

$$\mathbf{F} = \sum_{i=1}^k \frac{GMm_i}{|\mathbf{r}_i|^3} \mathbf{r}_i$$

dir.



- a.  $M$  kütleli  $P$  noktası koordinat düzleminde,  $(0, d)$ ,  $d > 0$  noktasında bulunsun.  $i = -n, -n+1, \dots, -1, 0, 1, \dots, n$  için,  $Q_i(id, 0)$  noktasında bulunsun ve külesi mi olsun.  $P$  üzerindeki bütün  $Q_i$ 'lerden doğan gravitasyonel kuvvetin büyüklüğünü bulun.

- b.  $n \rightarrow \infty$  iken  $P$ 'nin üzerindeki kuvvetin büyüklüğünün limiti sonlu mudur? Neden veya neden değildir?

- 26. Rölativistik toplamlar** Einstein'in özel görelilik teorisi, kabaca, bir referans çerçevesine (koordinat sistemi) göre, maddesel hiçbir nesnenin ışık hızı  $c$ 'den daha hızlı gitmeyeceğini söyler. Dolayısıyla,  $\vec{x}$  ve  $\vec{y}$  olmak üzere iki hız ise,  $|\vec{x}| < c$  ve  $|\vec{y}| < c$  'nin **rölativistik toplamı**  $\vec{x} \oplus \vec{y}$ 'nın uzunluğu  $c$ 'den küçük olmalıdır. Einstein'in özel görelilik teorisi

$$\vec{x} \oplus \vec{y} = \frac{\vec{x} + \vec{y}}{1 + \frac{\vec{x} \cdot \vec{y}}{c^2}} + \frac{1}{c^2} \cdot \frac{\gamma_x}{\gamma_x + 1} \cdot \frac{\vec{x} \times (\vec{x} \times \vec{y})}{1 + \frac{\vec{x} \cdot \vec{y}}{c^2}}$$

olmak üzere

$$\gamma_x = \frac{1}{\sqrt{1 - \frac{\vec{x} \cdot \vec{x}}{c^2}}}$$

olduğunu söyler.  $|\vec{x}| < c$  ve  $|\vec{y}| < c$  ise,  $|\vec{x} \oplus \vec{y}| < c$  olduğu gösterilebilir. Bu alıştırma iki özel durumla ilgilenir.

- a.  $\vec{x}$  ve  $\vec{y}$  ortogonal ve  $|\vec{x}| < c$ ,  $|\vec{y}| < c$  ise,  $|\vec{x} \oplus \vec{y}| < c$  olduğunu ispatlayın.

- b.  $\vec{x}$  ve  $\vec{y}$  paralel ve  $|\vec{x}| < c$ ,  $|\vec{y}| < c$  ise,  $|\vec{x} \oplus \vec{y}| < c$  olduğunu ispatlayın.

- c.  $\lim_{c \rightarrow \infty} \vec{x} \oplus \vec{y}$  'yi hesaplayın.

## Bölüm 12

### Teknoloji Uygulama Projeleri

#### **Mathematica /Maple Module**

##### ***Vektörleri, Doğruları Temsil Etmek ve Uzaklıklar Bulmak İçin Kullanmak***

**Bölüm I ve II:** Doğruları vektörler olarak yorumlamadan avantajlarını öğrenin.

**Bölüm III:** Bir noktadan bir doğuya uzaklık bulmak için vektörler kullanın.

#### **Mathematica /Maple Module**

##### ***Üç Boyuttaki Bir Sahneyi İki Boyutlu Bir Tuval Üzerine Yerleştirmek***

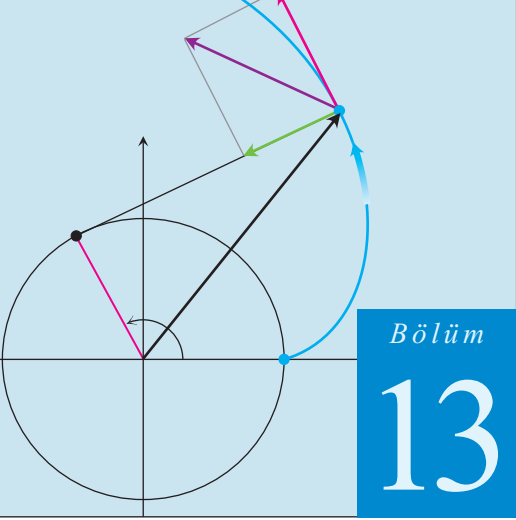
İki boyutlu bir görüntü elde etmek için uzayda düzlemler kavramını kullanın.

#### **Mathematica /Maple Module**

##### ***Üç Boyutta Çizime Başlamak***

**Bölüm I :** Grafikler ve denklemler üretmek için doğruların ve düzlemlerin vektör tanımlarını kullanın ve tek bir doğrunun denklemlerinin farklı formlarını karşılaştırın.

**Bölüm II:** Kapalı olarak tanımlı fonksiyonları



# Bölüm 13

## VEKTÖR-DEĞERLİ FONKSİYONLAR VE UZAYDA HAREKET

**GİRİŞ** Bir cisim uzayda ilerlerken, cismin koordinatlarını zamanın fonksiyonları olarak veren  $x = f(t)$ ,  $y = g(t)$  ve  $z = h(t)$  denklemleri cismin hareketinin ve izlediği yolu parametrik denklemleri olarak görev görürler. Vektör gösterimiyle, bunları cismin konumunu zamanın bir vektör fonksiyonu olarak veren tek bir  $\mathbf{r}(t) = f(t)\mathbf{i} + g(t)\mathbf{j} + h(t)\mathbf{k}$  denklemine toplayabiliriz.  $xy$ -düzleminde hareket eden bir cisim için  $h(t)$  bileşeni her zaman için sıfır (yani, özdeş olarak sıfır).

Bu bölümde, hareket eden cisimlerin izlediği yolları, hızlarını ve ivmelerini incelemek için analizi kullanacağız. İllerlerken, çalışmalarımızın mermilerin, gezegenlerin ve uyduların izlediği yollar ve hareketleri hakkındaki standart soruları nasıl yanıtladığını göreceğiz. Son bölümde, yeni vektör analizini Newton'un hareket ve gravitasyon yasalarından Kepler'in gezegen hareketi yasalarını türetmeye çalışacağız.

### 13.1

### Vektör Fonksiyonlar

Bir parçacık bir  $I$  zaman aralığında uzayda ilerliyorsa, parçacığın koordinatlarını  $I$ da tanımlanmış fonksiyonlar olarak düşünürüz:

$$x = f(t), \quad y = g(t), \quad z = h(t), \quad t \in I \quad [1]$$

$(x, y, z) = (f(t), g(t), h(t))$ ,  $t \in I$  noktaları, uzayda parçacığın **yolu** dediğimiz **eğriyi** oluştururlar. (1) Denklemindeki fonksiyonlar ve aralık eğriyi **parametrize** eder. Uzaydaki bir eğri de vektör formunda temsil edilebilir. Orijinden parçacığın  $t$  anındaki **konumu** olan  $P(f(t), g(t), h(t))$ 'ye giden

$$\mathbf{r}(t) = \overrightarrow{OP} = f(t)\mathbf{i} + g(t)\mathbf{j} + h(t)\mathbf{k} \quad [2]$$

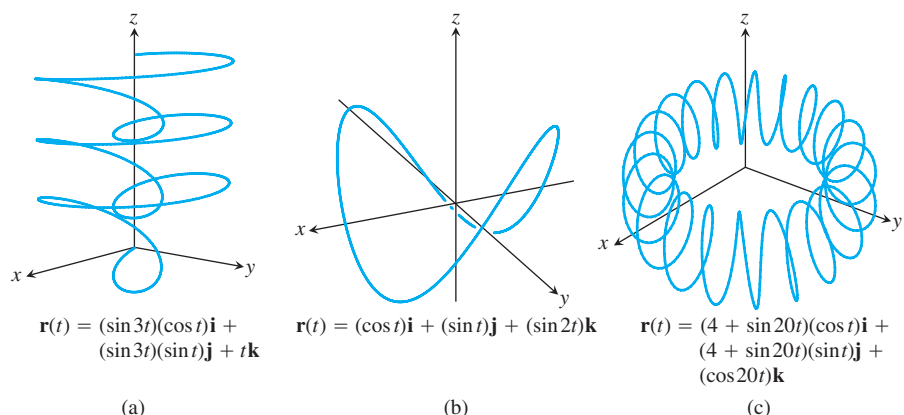
vektörü parçacığın **konum vektörüdür** (Şekil 13.1).  $f$ ,  $g$  ve  $h$  fonksiyonları konum vektörünün **bileşen fonksiyonları (bileşenleri)**dir. Parçacığın yolunu  $I$  zaman aralığı boyunca  $\mathbf{r}$ 'nin izlediği eğri olarak düşünürüz. Şekil 13.2 bir bilgisayar grafik programı tarafından üretilmiş birkaç uzay eğrisi göstermektedir. Bu grafikleri el ile çizmek kolay olmayacağı.

(2) denklemi  $\mathbf{r}$ 'yi  $I$  aralığındaki reel  $t$  değişkeninin bir vektör fonksiyonu olarak tanımlar. Daha genel olarak, bir  $D$  tanım kümesi üzerinde bir **vektör fonksiyon** veya **vektör değerli fonksiyon**  $D$ 'deki her elemana uzayda bir vektör karşı getiren bir kuraldır.

**ŞEKİL 13.1** Uzayda hareket eden bir parçacığın konum vektörü  $\mathbf{r} = \overrightarrow{OP}$  zamanın bir fonksiyonudur.

Şimdilik, tanım kümeleri, bir uzay eğrisi üreten reel sayı aralıkları olacaktır. Sonra, Bölüm 16'da, tanım kümeleri düzlemede bölgeler olacaktır.

Bu durumda, vektör fonksiyonları uzayda yüzeyler temsil edecektir. Düzlemede veya uzayda bir tanım bölgesi üzerindeki vektör fonksiyonları, bir akışkanın akışını, gravitasyon alanlarını ve elektromanyetik olayları incelemede önemli rol oynayan “vektör alanları” kavramına yol açar. Vektör alanlarını ve uygulamalarını Bölüm 16'da inceliyoruz.



**ŞEKİL 13.2** Bilgisayarla üretilmiş uzay eğrileri  $\mathbf{r}(t)$  konum vektörleri ile tanımlanmıştır

Vektör fonksiyonlardan ayırmak için, reel değerli fonksiyonlara **skaler fonksiyonlar** diyeceğiz.  $\mathbf{r}$ 'nin bileşenleri  $t$ 'nin skaler fonksiyonlarıdır. Bileşen fonksiyonlarını vererek bir vektör değerli fonksiyonu tanımladığımızda, vektör fonksiyonun tanım kümesinin bileşenlerin ortak tanım kümesi olduğunu varsayacağız.

### ÖRNEK 1 Bir Helisi Çizmek

$$\mathbf{r}(t) = (\cos t)\mathbf{i} + (\sin t)\mathbf{j} + t\mathbf{k}$$

vektör fonksiyonunu çizin.

### Çözüm

$$\mathbf{r}(t) = (\cos t)\mathbf{i} + (\sin t)\mathbf{j} + t\mathbf{k}$$

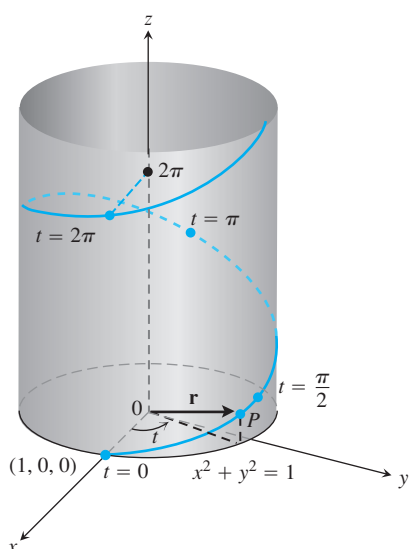
vektör fonksiyonu her reel  $t$  değerleri için tanımlıdır.  $\mathbf{r}$ 'nin izlediği eğri,  $x^2 + y^2 = 1$  dairesel silindirinin çevresine sarılan bir helistir (“spiral” anlamına gelen eski Yunanca bir kelimeinden gelir) (Şekil 13.3). Eğri silindir üzerinde bulunur, çünkü  $\mathbf{r}$ 'nin  $\mathbf{i}$  ve  $\mathbf{j}$  bileşenleri,  $\mathbf{r}$ 'nin ucunun  $x$  ve  $y$ -koordinatları olarak, silindir denklemini sağlarlar:

$$x^2 + y^2 = (\cos t)^2 + (\sin t)^2 = 1$$

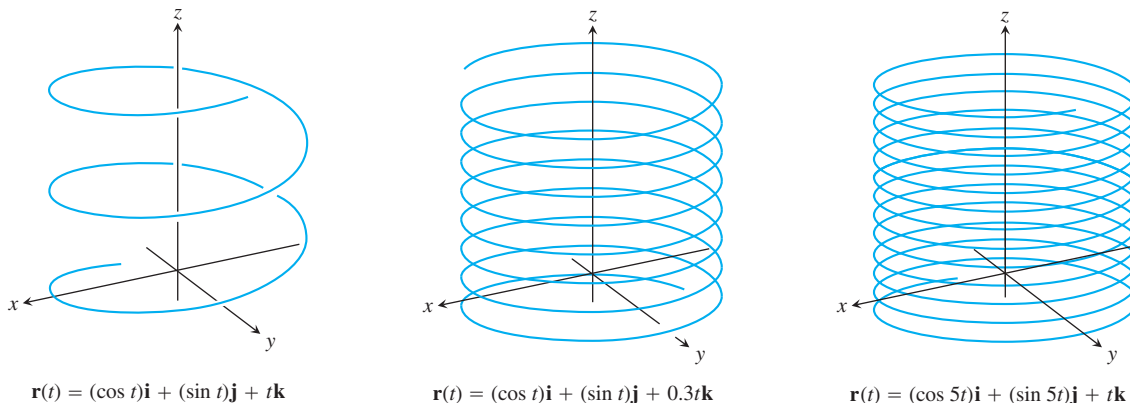
$\mathbf{k}$ -bileşeni  $z = t$  arttıkça, eğri yükselir.  $t$ 'nin  $2\pi$  kadar arttığı her sefer, eğri silindir üzerinde bir dönüşü tamamlar.

$$x = \cos t, \quad y = \sin t, \quad z = t$$

denklemleri,  $-\infty < t < \infty$  aralığı anlaşılmak üzere, helisi parametrize ederler. Şekil 13.4'te daha başka helisler bulacaksınız. ■



**ŞEKİL 13.3**  $\mathbf{r}(t) = (\cos t)\mathbf{i} + (\sin t)\mathbf{j} + t\mathbf{k}$  helisinin üst kısmı (Örnek 1).



**ŞEKİL 13.4** Bilgisayarla çizilmiş helisler.

### Limitler ve Sürekliklik

Vektör değerli fonksiyonların limitlerini reel değerli fonksiyonların limitlerini tanımladığımız gibi tanımlarız.

#### TANIM Vektör Fonksiyonların Lümiti

$\mathbf{r}(t) = f(t)\mathbf{i} + g(t)\mathbf{j} + h(t)\mathbf{k}$  bir vektör fonksiyon ve  $\mathbf{L}$  de bir vektör olsun. Her  $\epsilon > 0$  sayısı için,

$$\lim_{t \rightarrow t_0} \mathbf{r}(t) = \mathbf{L}$$

olacak şekilde bir  $\delta > 0$  sayısı bulunabilirse,  $t \rightarrow t_0$  için  $\mathbf{r}'$ nin **limitinin  $\mathbf{L}$**  olduğunu söyleyelim

$$0 < |t - t_0| < \delta \quad \Rightarrow \quad |\mathbf{r}(t) - \mathbf{L}| < \epsilon$$

yazarız.

$\mathbf{L} = L_1\mathbf{i} + L_2\mathbf{j} + L_3\mathbf{k}$  ise, tam olarak

$$\lim_{t \rightarrow t_0} f(t) = L_1, \quad \lim_{t \rightarrow t_0} g(t) = L_2, \quad \text{ve} \quad \lim_{t \rightarrow t_0} h(t) = L_3$$

iken,  $\lim_{t \rightarrow t_0} \mathbf{r}(t) = \mathbf{L}$  olur.

$$\lim_{t \rightarrow t_0} \mathbf{r}(t) = \left( \lim_{t \rightarrow t_0} f(t) \right) \mathbf{i} + \left( \lim_{t \rightarrow t_0} g(t) \right) \mathbf{j} + \left( \lim_{t \rightarrow t_0} h(t) \right) \mathbf{k} \quad [3]$$

denklemi vektör fonksiyonların limitini hesaplamak için pratik bir yol sağlar.

#### ÖRNEK 2 Vektör Fonksiyonların Limitlerini Bulmak

$\mathbf{r}(t) = (\cos t)\mathbf{i} + (\sin t)\mathbf{j} + t\mathbf{k}$  ise,

$$\begin{aligned} \lim_{t \rightarrow \pi/4} \mathbf{r}(t) &= \left( \lim_{t \rightarrow \pi/4} \cos t \right) \mathbf{i} + \left( \lim_{t \rightarrow \pi/4} \sin t \right) \mathbf{j} + \left( \lim_{t \rightarrow \pi/4} t \right) \mathbf{k} \\ &= \frac{\sqrt{2}}{2} \mathbf{i} + \frac{\sqrt{2}}{2} \mathbf{j} + \frac{\pi}{4} \mathbf{k} \end{aligned}$$

olarak bulunur. ■

Vektör fonksiyonlarının sürekliliğini skaler fonksiyonların sürekliliğini tanımladığımız gibi tanımlarız.

**TANIM Bir Noktada Süreklik**

Bir  $\mathbf{r}(t)$  vektör fonksiyonu,  $\lim_{t \rightarrow t_0} \mathbf{r}(t) = \mathbf{r}(t_0)$  ise, tanım aralığının **bir  $t = t_0$  noktasında sürekli**dir. Tanım aralığının her noktasında sürekli ise, fonksiyon **süreklidir**.

(3) Denkleminden, ancak ve yalnız her bileşen fonksiyonu  $t = t_0$  'da sürekli ise  $\mathbf{r}(t)$  fonksiyonunun da aynı noktada sürekli olduğunu görürüz.

**ÖRNEK 3** Uzay Eğrilerinin Süreklliliği

- (a) Şekil 13.2 ve 13.4'te gösterilen bütün uzay eğrileri süreklidir çünkü bileşen fonksiyonları  $t$ 'nin  $(-\infty, \infty)$  'daki her değeri için sürekli dirler.  
 (b) En büyük tamsayı fonksiyonu  $\lfloor t \rfloor$  süreksiz olduğundan

$$\mathbf{g}(t) = (\cos t)\mathbf{i} + (\sin t)\mathbf{j} + \lfloor t \rfloor \mathbf{k}$$

fonksiyonu her tamsayida süreksizdir. ■

**Türevler ve Hareket**

$\mathbf{r}(t) = f(t)\mathbf{i} + g(t)\mathbf{j} + h(t)\mathbf{k}$  'nın uzayda bir eğri boyunca ilerleyen bir parçacığın konum vektörü olduğunu,  $f$ ,  $g$  ve  $h$ 'nin de  $t$ 'nin türetilen fonksiyonları olduğunu varsayıyın. Bu durumda, parçacığın  $t$  ve  $t + \Delta t$  zamanlarındaki konumları arasındaki fark

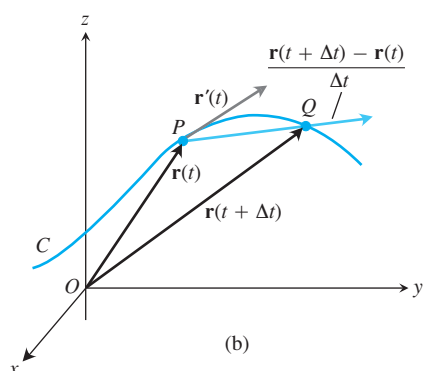
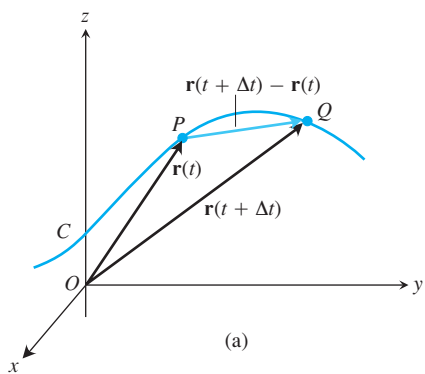
$$\Delta \mathbf{r} = \mathbf{r}(t + \Delta t) - \mathbf{r}(t)$$

olur (Şekil 13.5a). Bileşenler cinsinden,

$$\begin{aligned} \Delta \mathbf{r} &= \mathbf{r}(t + \Delta t) - \mathbf{r}(t) \\ &= [f(t + \Delta t)\mathbf{i} + g(t + \Delta t)\mathbf{j} + h(t + \Delta t)\mathbf{k}] \\ &\quad - [f(t)\mathbf{i} + g(t)\mathbf{j} + h(t)\mathbf{k}] \\ &= [f(t + \Delta t) - f(t)]\mathbf{i} + [g(t + \Delta t) - g(t)]\mathbf{j} + [h(t + \Delta t) - h(t)]\mathbf{k} \end{aligned}$$

olur.  $\Delta t$  sıfıra yaklaşırken, aynı anda üç şey olmaktadır. Birincisi,  $Q$  eğri üzerinde  $P$ 'te yaklaşır. İkincisi,  $PQ$  kirişî eğriye  $P$ 'de teğet bir limit durumuna yaklaşır gibidir. Üçüncü olarak,  $\Delta \mathbf{r}/\Delta t$  bölümü (Şekil 13.5b)

$$\begin{aligned} \lim_{\Delta t \rightarrow 0} \frac{\Delta \mathbf{r}}{\Delta t} &= \left[ \lim_{\Delta t \rightarrow 0} \frac{f(t + \Delta t) - f(t)}{\Delta t} \right] \mathbf{i} + \left[ \lim_{\Delta t \rightarrow 0} \frac{g(t + \Delta t) - g(t)}{\Delta t} \right] \mathbf{j} \\ &\quad + \left[ \lim_{\Delta t \rightarrow 0} \frac{h(t + \Delta t) - h(t)}{\Delta t} \right] \mathbf{k} \\ &= \left[ \frac{df}{dt} \right] \mathbf{i} + \left[ \frac{dg}{dt} \right] \mathbf{j} + \left[ \frac{dh}{dt} \right] \mathbf{k} \end{aligned}$$



**ŞEKİL 13.5**  $\Delta t \rightarrow 0$  iken  $Q$  noktası  $C$  eğrisi boyunca  $P$  noktasına yaklaşır. Limitte,  $\overrightarrow{PQ}/\Delta t$  vektörü  $\mathbf{r}'(t)$  teğet vektörü haline gelir.

limitine yaklaşır. Dolayısıyla, eski deneyimlerimize dayanarak, aşağıdaki tanımı yapabiliriz.

**TANIM Türev**

$f, g$  ve  $h$ 'nin  $t$ 'de türevleri varsa  $\mathbf{r}(t) = f(t)\mathbf{i} + g(t)\mathbf{j} + h(t)\mathbf{k}$  vektör fonksiyonunun da  $t$ 'de **türevi** vardır (türetilebilirdir). Türev,

$$\mathbf{r}'(t) = \frac{d\mathbf{r}}{dt} = \lim_{\Delta t \rightarrow 0} \frac{\mathbf{r}(t + \Delta t) - \mathbf{r}(t)}{\Delta t} = \frac{df}{dt}\mathbf{i} + \frac{dg}{dt}\mathbf{j} + \frac{dh}{dt}\mathbf{k}$$

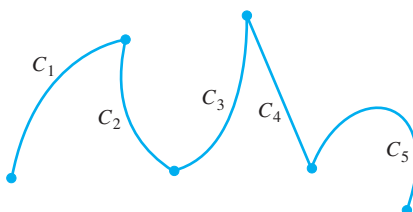
vektör fonksiyonudur.

Tanım aralığının her noktasında türetilebilir olan bir  $\mathbf{r}$  vektör fonksiyonuna **türetilebilir vektör fonksiyonu** denir.  $d\mathbf{r}/dt$  sürekli ise ve asla 0 olmuyorsa, yani  $f, g$  ve  $h$ 'nin aynı anda 0 olmayan sürekli birinci türevleri varsa,  $\mathbf{r}$ 'nin izlediği eğriye **düzgün eğri** denir.

Türev tanımının geometrik önemi Şekil 13.5'te gösterilmiştir.  $P$  ve  $Q$  noktalarının konum vektörleri  $\mathbf{r}(t)$  ve  $\mathbf{r}(t + \Delta t)$ dir, ve vektörü  $\overrightarrow{PQ}$  ile temsil edilmiştir.  $\Delta t > 0$  için  $\mathbf{r}(t + \Delta t) - \mathbf{r}(t)$  vektörü  $\overrightarrow{PQ}$  vektörü ile aynı yönü gösterir.  $\Delta t \rightarrow 0$  iken bu vektör eğriye  $P$ 'de teğet olan bir vektöre yaklaşır.  $\mathbf{r}'(t)$  vektörü, 0'dan farklı olduğunda, eğriye  $P$ 'de **teğet** olan vektör olarak tanımlanır. Eğrinin bir  $(f(t_0), g(t_0), h(t_0))$  noktasındaki **teğet doğrusu**, bu noktadan geçen ve  $\mathbf{r}'(t_0)$ 'a paralel olan doğru olarak tanımlanır. Düzgün bir eğride, eğrinin her noktasında sürekli olarak dönen bir teğetinin varlığını garantilemek için  $d\mathbf{r}/dt \neq \mathbf{0}$  olmasını isteriz. Düzgün bir eğide keskin köşeler ve sıvı uçlar bulunmaz.

Sonlu sayıda düzgün eğrinin sürekli bir şekilde birleştirilmesiyle oluşturulmuş bir eğriye **parçalı olarak düzgün** denir (Şekil 13.6).

Bir kere daha Şekil 13.5'e bakın. Şekli pozitif  $\Delta t$  için çizdiğimiz, dolayısıyla  $\Delta\mathbf{r}$  ileriyi, hareketin yönünü gösterir.  $\Delta\mathbf{r}$  ile aynı yönde olan  $\Delta\mathbf{r}/\Delta t$  vektörü de ileriyi işaret eder.  $\Delta t$  negatif olsaydı,  $\Delta\mathbf{r}$  geriye, hareket yönünün tersini gösterecekti. Ancak,  $\Delta t$ 'nin negatif bir skaler katı olan  $\Delta\mathbf{r}/\Delta t$  bölümü yine ileriyi gösterecekti.  $\Delta\mathbf{r}$  nereye gösterirse gösterisin,  $\Delta\mathbf{r}/\Delta t$  ileriyi gösterir ve  $d\mathbf{r}/dt = \lim_{\Delta t \rightarrow 0} \Delta\mathbf{r}/\Delta t$  vektörünün de, 0'dan farklı olduğunda, ayını yapmasını bekleriz. Bu,  $d\mathbf{r}/dt$  türevini tam da bir parçacığın hızını tanımlamak için istediğimiz şey olduğunu gösterir. Hareket yönünü işaret eder ve konumun zamana göre değişim oranını verir. Düzgün bir eğri için, hız asla sıfır olmaz; parçacık durmaz veya yön değiştirmez.



**SEKİL 13.6** Sürekli bir şekilde üç uca birleştirilmiş beş düzgün eğriden oluşan parçalı olarak düzgün bir eğri.

**TANIMLAR Hız, Yön, Sürat, İvme**

$\mathbf{r}$ , uzaya düzgün bir eğri boyunca ilerleyen bir parçacığın konum vektörүүse,

$$\mathbf{v}(t) = \frac{d\mathbf{r}}{dt}$$

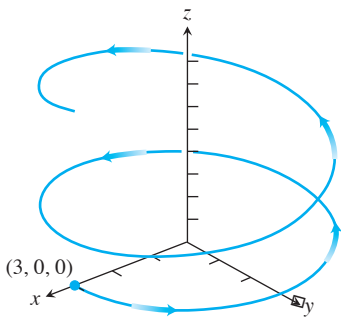
parçacığın, eğriye teğet olan **hız vektörü**dür. Herhangi bir  $t$  anında,  $\mathbf{v}$ 'nin yönü **hareketin yönü**,  $\mathbf{v}$ 'nin büyüklüğü parçacığın **süratı** ve  $\mathbf{a} = d\mathbf{v}/dt$  vektörü, varsa, parçacığın **ivme vektörü**dür. Kısaca,

1. Hız, konumun türevidir:  $\mathbf{v} = \frac{d\mathbf{r}}{dt}$ .
2. Sürat hızın büyüklüğüdür: Sürat =  $|\mathbf{v}|$ .
3. İvme hızın türevidir:  $\mathbf{a} = \frac{d\mathbf{v}}{dt} = \frac{d^2\mathbf{r}}{dt^2}$ .
4.  $\mathbf{v}/|\mathbf{v}|$  vektörü hareketin  $t$  anındaki yönüdür.

Hareket eden bir parçacığın hızını süratinin ve yönünün bir çarpımı olarak ifade edebiliriz:

$$\text{Hız} = |\mathbf{v}| \left( \frac{\mathbf{v}}{|\mathbf{v}|} \right) = (\text{sürat})(\text{yön})$$

Bölüm 12.5, Örnek 4'te hız'ın bu ifadesinin konumlandırmada, örneğin, uzayda bir doğru boyunca hareket eden bir helikopterin konumu, kullanışlı olduğunu gördük. Şimdi, (doğrusal olmayan) bir uzay eğrisi üzerinde hareket eden bir cisim örneğine bakalım.



**ŞEKİL 13.7** Konum vektörü  $\mathbf{r}(t) = (3 \cos t)\mathbf{i} + (3 \sin t)\mathbf{j} + t^2\mathbf{k}$  olan asılı planörün yolu (Örnek 4).

#### ÖRNEK 4 Asılı Bir Planörün Uçuşu

Asılı bir planördeki bir kişi, konum vektörü  $\mathbf{r}(t) = (3 \cos t)\mathbf{i} + (3 \sin t)\mathbf{j} + t^2\mathbf{k}$  olan bir yol üzerinde, hızla yükselen hava nedeniyle helezon çizerek yükselmektedir. Yol (Bölüm 13.4'te göreceğiniz gibi bir helis *olmasa da*) bir helise benzemektedir ve Şekil 13.7'de  $0 \leq t \leq 4\pi$  için gösterilmiştir. Aşağıda istenenleri bulun.

- (a) hız ve ivme vektörleri
- (b) planörün herhangi bir  $t$  anındaki süratı
- (c) varsa, cismin ivmesinin hızına ortogonal olduğu zamanlar.

#### Çözüm

(a)  $\mathbf{r} = (3 \cos t)\mathbf{i} + (3 \sin t)\mathbf{j} + t^2\mathbf{k}$

$$\mathbf{v} = \frac{d\mathbf{r}}{dt} = -(3 \sin t)\mathbf{i} + (3 \cos t)\mathbf{j} + 2t\mathbf{k}$$

$$\mathbf{a} = \frac{d^2\mathbf{r}}{dt^2} = -(3 \cos t)\mathbf{i} - (3 \sin t)\mathbf{j} + 2\mathbf{k}$$

- (b) sürat  $\mathbf{v}$ 'nin büyüklüğüdür:

$$\begin{aligned} |\mathbf{v}(t)| &= \sqrt{(-3 \sin t)^2 + (3 \cos t)^2 + (2t)^2} \\ &= \sqrt{9 \sin^2 t + 9 \cos^2 t + 4t^2} \\ &= \sqrt{9 + 4t^2} \end{aligned}$$

planör yolu üzerinde yükseldikçe daha hızlı hareket eder.

- (c)  $\mathbf{v}$  ve  $\mathbf{a}$ 'nın ortogonal olduğu zamanları bulmak için

$$\mathbf{v} \cdot \mathbf{a} = 9 \sin t \cos t - 9 \cos t \sin t + 4t = 4t = 0$$

olmasını sağlayan  $t$  değerlerini ararız.

Böylece, ivme vektörünün  $\mathbf{v}$ 'ye dik olduğu tek an  $t = 0$ 'dır. Bir yol boyunca haraketin ivmesini daha detaylı olarak Bölüm 13.5'te inceleyeceğiz. Orada, ivme vektörünün, yolun doğal eğilimini ve hız vektörünü içeren belirli bir düzlemden dışarı kıvrılma eğilimini nasıl gösterdiğini keşfedeceğiz. ■

#### Türev Alma Kuralları

Vektör fonksiyonlarının türevleri bileşen bileşen alınabileceğinden, vektör fonksiyonlarının türev kuralları skaler fonksiyonların türev alma konularıyla aynı formdadır.

### Vektör Fonksiyonlar İçin Türev Alma Kuralları

$\mathbf{u}$  ve  $\mathbf{v}$   $t$ 'nin türetilebilir vektör fonksiyonları,  $C$  bir sabit vektör,  $c$  herhangi bir sabit ve  $f$  türetilebilir herhangi bir skaler fonksiyon olsun.

$$1. \text{ Sabit Fonksiyon Kuralı: } \frac{d}{dt} \mathbf{C} = \mathbf{0}$$

$$2. \text{ Skalerle Çarpım Kuralı: } \frac{d}{dt} [c\mathbf{u}(t)] = c\mathbf{u}'(t)$$

$$\frac{d}{dt} [f(t)\mathbf{u}(t)] = f'(t)\mathbf{u}(t) + f(t)\mathbf{u}'(t)$$

$$3. \text{ Toplam Kuralı: } \frac{d}{dt} [\mathbf{u}(t) + \mathbf{v}(t)] = \mathbf{u}'(t) + \mathbf{v}'(t)$$

$$4. \text{ Fark Kuralı: } \frac{d}{dt} [\mathbf{u}(t) - \mathbf{v}(t)] = \mathbf{u}'(t) - \mathbf{v}'(t)$$

$$5. \text{ Nokta Çarpım Kuralı: } \frac{d}{dt} [\mathbf{u}(t) \cdot \mathbf{v}(t)] = \mathbf{u}'(t) \cdot \mathbf{v}(t) + \mathbf{u}(t) \cdot \mathbf{v}'(t)$$

$$6. \text{ Vektörel Çarpım Kuralı: } \frac{d}{dt} [\mathbf{u}(t) \times \mathbf{v}(t)] = \mathbf{u}'(t) \times \mathbf{v}(t) + \mathbf{u}(t) \times \mathbf{v}'(t)$$

$$7. \text{ Zincir Kuralı: } \frac{d}{dt} [\mathbf{u}(f(t))] = f'(t)\mathbf{u}'(f(t))$$

Vektörel Çarpım Kuralını kullanırken, çarpanların sırasını korumayı unutmayın. Eğer  $\mathbf{u}$  denklemin sol tarafında başta bulunuyorsa, sağda da başta olmalıdır, yoksa işaretler yanlış olur.

Çarpım kurallarını ve Zincir kurallarını ispatlayacağız, fakat sabitler, skaler katlar, toplamlar ve farklarla ilgili kuralları alıştırmalara bırakacağız.

#### Nokta Çarpım Kuralının İspatı

$$\mathbf{u} = u_1(t)\mathbf{i} + u_2(t)\mathbf{j} + u_3(t)\mathbf{k}$$

ve

$$\mathbf{v} = v_1(t)\mathbf{i} + v_2(t)\mathbf{j} + v_3(t)\mathbf{k}$$

olduğunu varsayıñ. Bu durumda,

$$\begin{aligned} \frac{d}{dt} (\mathbf{u} \cdot \mathbf{v}) &= \frac{d}{dt} (u_1 v_1 + u_2 v_2 + u_3 v_3) \\ &= \underbrace{u'_1 v_1 + u'_2 v_2 + u'_3 v_3}_{\mathbf{u}' \cdot \mathbf{v}} + \underbrace{u_1 v'_1 + u_2 v'_2 + u_3 v'_3}_{\mathbf{u} \cdot \mathbf{v}'} \end{aligned}$$

olur. ■

**Vektörel Çarpım Kuralının ispatı** İspatı, sakler fonksiyonların çarpım kuralı üzerine modeliz. Türev tanımına göre,

$$\frac{d}{dt} (\mathbf{u} \times \mathbf{v}) = \lim_{h \rightarrow 0} \frac{\mathbf{u}(t+h) \times \mathbf{v}(t+h) - \mathbf{u}(t) \times \mathbf{v}(t)}{h}$$

olur.

Bu kesri  $\mathbf{u}$  ile  $\mathbf{v}$ 'nin türevlerinin farklar bölümünü içeren eşdeğer bir kesre çevirmek için, paya  $\mathbf{u}(t) \times \mathbf{v}(t+h)$  ekler ve çıkarırız. Bu durumda,

$$\begin{aligned} \frac{d}{dt}(\mathbf{u} \times \mathbf{v}) &= \lim_{h \rightarrow 0} \frac{\mathbf{u}(t+h) \times \mathbf{v}(t+h) - \mathbf{u}(t) \times \mathbf{v}(t+h) + \mathbf{u}(t) \times \mathbf{v}(t+h) - \mathbf{u}(t) \times \mathbf{v}(t)}{h} \\ &= \lim_{h \rightarrow 0} \left[ \frac{\mathbf{u}(t+h) - \mathbf{u}(t)}{h} \times \mathbf{v}(t+h) + \mathbf{u}(t) \times \frac{\mathbf{v}(t+h) - \mathbf{v}(t)}{h} \right] \\ &= \lim_{h \rightarrow 0} \frac{\mathbf{u}(t+h) - \mathbf{u}(t)}{h} \times \lim_{h \rightarrow 0} \mathbf{v}(t+h) + \lim_{h \rightarrow 0} \mathbf{u}(t) \times \lim_{h \rightarrow 0} \frac{\mathbf{v}(t+h) - \mathbf{v}(t)}{h}. \end{aligned}$$

bulunur. Bu denklemlerin sonucusu gerçekleşir, çünkü iki vektör fonksiyonun vektörel çarpımının limiti, varsa, limitlerinin vektörel çarpımıdır (Alıştırma 52).  $h$  sıfıra yaklaşırken,  $\mathbf{v}(t+h) \mathbf{v}(t)$ 'ye yaklaşır, çünkü  $\mathbf{v}$ ,  $t$ 'de türevlenebildiği için,  $t$ 'de sürekli dir (Alıştırma 53). İki kesir de  $d\mathbf{u}/dt$  ve  $d\mathbf{v}/dt$ 'nin  $t$ 'deki değerlerine yaklaşırlar. Kısaca,

$$\frac{d}{dt}(\mathbf{u} \times \mathbf{v}) = \frac{d\mathbf{u}}{dt} \times \mathbf{v} + \mathbf{u} \times \frac{d\mathbf{v}}{dt}$$

olarur. ■

**Zincir Kuralının ispatı**  $\mathbf{u}(s) = a(s)\mathbf{i} + b(s)\mathbf{j} + c(s)\mathbf{k}$ 'nin  $s$ 'nin türetilebilir bir vektör fonksiyonu olduğunu ve  $s = f(t)$ 'nın de başka bir  $t$  değişkeninin türetilebilir bir fonksiyonu olduğunu varsayıy়. Bu durumda,  $a$ ,  $b$  ve  $c$  de  $t$ 'nin türetilebilir fonksiyonlardır ve türetilebilir reel fonksiyonlar için Zincir kuralı

$$\begin{aligned} \frac{d}{dt}[\mathbf{u}(s)] &= \frac{da}{dt}\mathbf{i} + \frac{db}{dt}\mathbf{j} + \frac{dc}{dt}\mathbf{k} \\ &= \frac{da}{ds}\frac{ds}{dt}\mathbf{i} + \frac{db}{ds}\frac{ds}{dt}\mathbf{j} + \frac{dc}{ds}\frac{ds}{dt}\mathbf{k} \\ &= \frac{ds}{dt} \left( \frac{da}{ds}\mathbf{i} + \frac{db}{ds}\mathbf{j} + \frac{dc}{ds}\mathbf{k} \right) \\ &= \frac{ds}{dt} \frac{d\mathbf{u}}{ds} \\ &= f'(t)\mathbf{u}'(f(t)) \end{aligned} \quad s = f(t) \quad ■$$

verir.

### Sabit Uzunluklu Vektör Fonksiyonlar

Merkezi orijinde olan bir küre üzerinde hareket eden bir parçacığı izlerken (Şekil 13.8), konum vektörünün, kürenin yarıçapına eşit olan sabit bir uzunlukta olduğunu görürüz. Hareket yoluna teğet olan  $d\mathbf{r}/dt$  hız vektörü küreye tegettir ve dolayısıyla  $\mathbf{r}$ 'ye dik olur. Bu durum sabit uzunluklu her türetilebilir vektör fonksiyonu için geçerlidir: Vektör ve birinci türevi ortogonaldır. Uzunluk sabitken, fonksiyondaki değişiklik sadece yönde meydana gelen bir değişikliktir ve yön değişiklikleri dik açılarla meydana gelir. Bu sonucu doğrudan hesaplama ile de elde edebiliriz:

$$\mathbf{r}(t) \cdot \mathbf{r}(t) = c^2 \quad |\mathbf{r}(t)| = c \text{ sabittir}$$

$$\frac{d}{dt}[\mathbf{r}(t) \cdot \mathbf{r}(t)] = 0 \quad \text{İki tarafı türetin}$$

$$\mathbf{r}'(t) \cdot \mathbf{r}(t) + \mathbf{r}(t) \cdot \mathbf{r}'(t) = 0 \quad \mathbf{r}(t) = \mathbf{u}(t) = \mathbf{v}(t) \text{ ile 5 Kuralı}$$

$$2\mathbf{r}'(t) \cdot \mathbf{r}(t) = 0$$

elde ederiz. ■

Cebirsel bir uygunluk olarak, bazen bir  $c$

skaleri ile bir  $\mathbf{v}$  vektörünün çarpımını  $c\mathbf{v}$

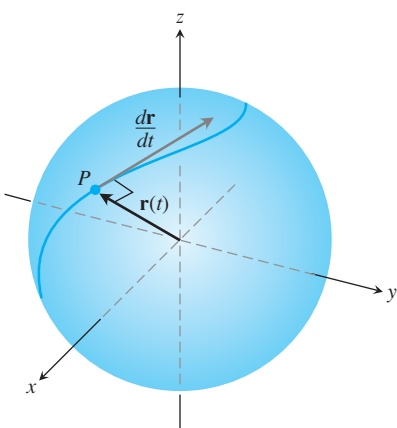
yerine  $vc$  olarak yazarız. Bu, örneğin,

$s = f(t)$  olmak üzere, Zincir kuralını

tanıdığımız bir şekilde yazmamıza izin

verir:

$$\frac{d\mathbf{u}}{dt} = \frac{d\mathbf{u}}{ds} \frac{ds}{dt}$$



**ŞEKİL 13.8** Bir parçacık,  $\mathbf{r}$  konum vektörü zamanın türetilebilir bir fonksiyonu olacak şekilde bir küre üzerinde dolaşıyorsa,  $\mathbf{r} \cdot (d\mathbf{r}/dt) = 0$  olur.

$\mathbf{r}'(t)$  ve  $\mathbf{r}(t)$  vektörleri ortogonaldır çünkü skaler çarpımları 0 dir. Özet olarak,

$\mathbf{r}, t$ 'nin sabit uzunluklu türetilebilir bir vektör fonksiyonu ise,

$$\mathbf{r} \cdot \frac{d\mathbf{r}}{dt} = 0 \quad (4)$$

dir.

Bu gözlemi Bölüm 13.4'te sıkça kullanacağız.

#### ÖRNEK 5 Denklem (4)'ü Desteklemek

$\mathbf{r}(t) = (\sin t)\mathbf{i} + (\cos t)\mathbf{j} + \sqrt{3}\mathbf{k}$  vektörünün uzunluğunun sabit olduğunu ve türevine ortogonal olduğunu gösterin.

#### Çözüm

$$\begin{aligned} \mathbf{r}(t) &= (\sin t)\mathbf{i} + (\cos t)\mathbf{j} + \sqrt{3}\mathbf{k} \\ |\mathbf{r}(t)| &= \sqrt{(\sin t)^2 + (\cos t)^2 + (\sqrt{3})^2} = \sqrt{1+3} = 2 \\ \frac{d\mathbf{r}}{dt} &= (\cos t)\mathbf{i} - (\sin t)\mathbf{j} \\ \mathbf{r} \cdot \frac{d\mathbf{r}}{dt} &= \sin t \cos t - \sin t \cos t = 0 \end{aligned}$$

■

### Vektör Fonksiyonların İntegralleri

Bir  $I$  aralığının her noktasında  $d\mathbf{R}/dt = \mathbf{r}$  türetilebilir  $\mathbf{R}(t)$  vektör fonksiyonu,  $I$  aralığında bir  $\mathbf{r}(t)$  vektör fonksiyonunun **ters türevi**dir.  $\mathbf{R}$ ,  $I$  aralığında  $\mathbf{r}$ 'nin bir ters türeviyse, her seferinde bir bileşenle çalışarak,  $\mathbf{r}$ 'nin  $I$  aralığındaki her ters türevinin, sabır bit  $\mathbf{C}$  vektörü için  $\mathbf{R} + \mathbf{C}$  şeklinde olduğu gösterilebilir (Alıştırma 56).  $\mathbf{r}$ 'nin  $I$ daki bütün ters türevlerinin kümesi  $\mathbf{r}$ 'nin  $I$ daki **belirsiz integralidir**.

#### TANIM Belirsiz İntegral

$\mathbf{r}$ 'nin  $t$ 'ye göre **belirsiz integrali**,  $\mathbf{r}$ 'nin bütün ters türevlerinin kümesidir ve  $\int \mathbf{r}(t) dt$  ile gösterilir.  $\mathbf{R}$ ,  $\mathbf{r}$ 'nin herhangi bir ters türeviyse,

$$\int \mathbf{r}(t) dt = \mathbf{R}(t) + \mathbf{C}.$$

olur.

Belirsiz integraller için bildiğimiz aritmetik kuralları geçerlidir.

#### ÖRNEK 6 Belirsiz İntegralleri Bulmak

$$\begin{aligned} \int ((\cos t)\mathbf{i} + \mathbf{j} - 2t\mathbf{k}) dt &= \left( \int \cos t dt \right) \mathbf{i} + \left( \int dt \right) \mathbf{j} - \left( \int 2t dt \right) \mathbf{k} \\ &= (\sin t + C_1)\mathbf{i} + (t + C_2)\mathbf{j} - (t^2 + C_3)\mathbf{k} \\ &= (\sin t)\mathbf{i} + t\mathbf{j} - t^2\mathbf{k} + \mathbf{C} \quad \mathbf{C} = C_1\mathbf{i} + C_2\mathbf{j} - C_3\mathbf{k} \end{aligned} \quad (5)$$

■

Skaler fonksiyonların integrasyonunda olduğu gibi, (5) ve (6) denklemlerindeki adımları atlamanızı ve hemen son şecline gitmenizi öneririz. Her bileşenin bir ters türevini bulun ve sona bir sabit vektör ekleyin.

Vektör fonksiyonlarının belirli integralleri bileşenleri cinsinden tanımlanır.

### TANIM Belirli İntegral

$\mathbf{r}(t) = f(t)\mathbf{i} + g(t)\mathbf{j} + h(t)\mathbf{k}$ 'nin bileşenleri  $[a, b]$ 'de integre edilebiliyorsa,  $\mathbf{r}$  de integre edilebilir ve  $\mathbf{r}$ 'nin  $a$ 'dan  $b$ 'ye **belirli integrali** şu şekildedir:

$$\int_a^b \mathbf{r}(t) dt = \left( \int_a^b f(t) dt \right) \mathbf{i} + \left( \int_a^b g(t) dt \right) \mathbf{j} + \left( \int_a^b h(t) dt \right) \mathbf{k}.$$

### ÖRNEK 7 Belirli İntegralleri Hesaplamak

$$\begin{aligned} \int_0^\pi ((\cos t)\mathbf{i} + \mathbf{j} - 2t\mathbf{k}) dt &= \left( \int_0^\pi \cos t dt \right) \mathbf{i} + \left( \int_0^\pi dt \right) \mathbf{j} - \left( \int_0^\pi 2t dt \right) \mathbf{k} \\ &= [\sin t]_0^\pi \mathbf{i} + [t]_0^\pi \mathbf{j} - [t^2]_0^\pi \mathbf{k} \\ &= [0 - 0]\mathbf{i} + [\pi - 0]\mathbf{j} - [\pi^2 - 0^2]\mathbf{k} \\ &= \pi\mathbf{j} - \pi^2\mathbf{k} \end{aligned}$$

Analizin Temel Teoremi, sürekli vektör fonksiyonları için

$$\int_a^b \mathbf{r}(t) dt = \mathbf{R}(t)]_a^b = \mathbf{R}(b) - \mathbf{R}(a)$$

olduğunu söyler. Burada  $\mathbf{R}$  vektör fonksiyonu  $\mathbf{R}'(t) = \mathbf{r}(t)$  (Alıştırma 57) olacak şekilde  $\mathbf{r}$ 'nin herhangi bir ters türevidir.

### ÖRNEK 8 Bir Planörün Uçuşu, Tekrar

Örnek 4'teki planörün yolunu bilmediğimizi, sadece  $\mathbf{a}(t) = -(3 \cos t)\mathbf{i} - (3 \sin t)\mathbf{j} + 2\mathbf{k}$  ivme vektörünü bildiğimizi varsayıyalım. Ayrıca, başlangıçta ( $t = 0$ 'da) planörün  $(3, 0, 0)$  noktasından  $\mathbf{v}(0) = 3\mathbf{j}$  hızı ile harekete başladığını biliyoruz. Planörün konumunu  $t$ 'nin bir fonksiyonu olarak bulun

**Çözüm** Amacımız,

$$\begin{aligned} \mathbf{a} &= \frac{d^2\mathbf{r}}{dt^2} = -(3 \cos t)\mathbf{i} - (3 \sin t)\mathbf{j} + 2\mathbf{k} \quad \text{Diferansiyel denklemi ve} \\ &\mathbf{v}(0) = 3\mathbf{j} \quad \text{ve} \quad \mathbf{r}(0) = 3\mathbf{i} + 0\mathbf{j} + 0\mathbf{k} \quad \text{başlangıç koşulları} \end{aligned}$$

bilindiğine göre,  $\mathbf{r}(t)$ 'yi bulmaktır. Diferansiyel denklemi her iki tarafının  $t$ 'ye göre integralini alarak

$$\mathbf{v}(t) = -(3 \cos t)\mathbf{i} - (3 \sin t)\mathbf{j} + 2t\mathbf{k} + \mathbf{C}_1$$

buluruz.  $\mathbf{v}(0) = 3\mathbf{j}$ 'i bulmak için  $\mathbf{C}_1$ 'yi kullanırız:

$$3\mathbf{j} = -(3 \sin 0)\mathbf{i} + (3 \cos 0)\mathbf{j} + (0)\mathbf{k} + \mathbf{C}_1$$

$$\begin{aligned} 3\mathbf{j} &= 3\mathbf{j} + \mathbf{C}_1 \\ \mathbf{C}_1 &= \mathbf{0}. \end{aligned}$$

Zamanın bir fonksiyonu olarak, planörün hızı

$$\frac{d\mathbf{r}}{dt} = \mathbf{v}(t) = -(3 \sin t)\mathbf{i} + (3 \cos t)\mathbf{j} + 2t\mathbf{k}$$

dir. Bu son diferansiyel denklemin her iki tarafının integralini alınarak

$$\mathbf{r}(t) = (3 \cos t)\mathbf{i} + (3 \sin t)\mathbf{j} + t^2\mathbf{k} + \mathbf{C}_2$$

bulunur. Şimdi,  $\mathbf{C}_2$ 'yi bulmak için  $\mathbf{r}(0) = 3\mathbf{i}$  başlangıç koşulunu kullanız:

$$3\mathbf{i} = (3 \cos 0)\mathbf{i} + (3 \sin 0)\mathbf{j} + (0^2)\mathbf{k} + \mathbf{C}_2$$

$$3\mathbf{i} = 3\mathbf{i} + (0)\mathbf{j} + (0)\mathbf{k} + \mathbf{C}_2$$

$$\mathbf{C}_2 = \mathbf{0}.$$

Zamanın bir fonksiyonu olarak, planörün konumu

$$\mathbf{r}(t) = (3 \cos t)\mathbf{i} + (3 \sin t)\mathbf{j} + t^2\mathbf{k}$$

dir. Bu, planörün Örnek 4'ten bildiğimiz ve Şekil 13.7'de gösterilen yoludur.

*Not:* Bu örnekte  $\mathbf{C}_1$  ve  $\mathbf{C}_2$  integrasyon sabit vektörlerinin ikisinin de 0 olması özel bir durumdur. Aşağıda 31 ve 32, bu sabitler için farklı sonuçlar vermektedir. ■

## ALIŞTIRMALAR 13.1

### xy-Düzleminde Hareket

1–4 alıştırmalarında,  $\mathbf{r}(t)$  xy-düzlemindeki bir parçacığın  $t$  anındaki konumudur. Grafiği parçacığın yolu olan,  $x$  ve  $y$  cinsinden bir denklem bulun. Sonra, verilen  $t$  değerlerinde parçacığın hız ve ivme vektörlerini bulun.

1.  $\mathbf{r}(t) = (t+1)\mathbf{i} + (t^2 - 1)\mathbf{j}, \quad t = 1$

2.  $\mathbf{r}(t) = (t^2 + 1)\mathbf{i} + (2t - 1)\mathbf{j}, \quad t = 1/2$

3.  $\mathbf{r}(t) = e^t\mathbf{i} + \frac{2}{9}e^{2t}\mathbf{j}, \quad t = \ln 3$

4.  $\mathbf{r}(t) = (\cos 2t)\mathbf{i} + (3 \sin 2t)\mathbf{j}, \quad t = 0$

5–8 alıştırmaları xy-düzleminde değişik eğrilerde ilerleyen parçacıkların konum vektörlerini bulun. Her durumda, belirtilen zamanlarda parçacığın hız ve ivme vektörlerini bulun ve bunları eğrinin üzerindeki vektörler olarak çizin.

5.  $x^2 + y^2 = 1$  çemberi üzerinde hareket

$$\mathbf{r}(t) = (\sin t)\mathbf{i} + (\cos t)\mathbf{j}; \quad t = \pi/4 \text{ ve } \pi/2$$

6.  $x^2 + y^2 = 16$  çemberi üzerinde hareket

$$\mathbf{r}(t) = \left(4 \cos \frac{t}{2}\right)\mathbf{i} + \left(4 \sin \frac{t}{2}\right)\mathbf{j}; \quad t = \pi \text{ ve } 3\pi/2$$

7.  $x = t - \sin t, \quad y = 1 - \cos t$  sikloidi üzerinde hareket

$$\mathbf{r}(t) = (t - \sin t)\mathbf{i} + (1 - \cos t)\mathbf{j}; \quad t = \pi \text{ ve } 3\pi/2$$

8.  $y = x^2 + 1$  parabolü üzerinde hareket

$$\mathbf{r}(t) = t\mathbf{i} + (t^2 + 1)\mathbf{j}; \quad t = -1, 0, \text{ ve } 1$$

### Uzayda Hız ve Hareket

9–14 alıştırmalarında,  $\mathbf{r}(t)$  uzaydaki bir parçacığın  $t$  anındaki konumudur. Parçacığın hız ve ivme vektörlerini bulun. Sonra verilen  $t$  anında parçacığın süratini ve yönünü bulun. Parçacığın o andaki hızını süratinin ve yönünün bir çarpımı olarak yazın.

9.  $\mathbf{r}(t) = (t+1)\mathbf{i} + (t^2 - 1)\mathbf{j} + 2t\mathbf{k}, \quad t = 1$

10.  $\mathbf{r}(t) = (1+t)\mathbf{i} + \frac{t^2}{\sqrt{2}}\mathbf{j} + \frac{t^3}{3}\mathbf{k}, \quad t = 1$

11.  $\mathbf{r}(t) = (2 \cos t)\mathbf{i} + (3 \sin t)\mathbf{j} + 4t\mathbf{k}, \quad t = \pi/2$

12.  $\mathbf{r}(t) = (\sec t)\mathbf{i} + (\tan t)\mathbf{j} + \frac{4}{3}t\mathbf{k}, \quad t = \pi/6$

13.  $\mathbf{r}(t) = (2 \ln(t+1))\mathbf{i} + t^2\mathbf{j} + \frac{t^2}{2}\mathbf{k}, \quad t = 1$

14.  $\mathbf{r}(t) = (e^{-t})\mathbf{i} + (2 \cos 3t)\mathbf{j} + (2 \sin 3t)\mathbf{k}, \quad t = 0$

15–18 alıştırmalarında,  $\mathbf{r}(t)$  uzaydaki bir parçacığın  $t$  anındaki konumudur.  $t = 0$  anında parçacığın hız ve ivme vektörleri arasındaki açıyi bulun.

15.  $\mathbf{r}(t) = (3t + 1)\mathbf{i} + \sqrt{3t}\mathbf{j} + t^2\mathbf{k}$

16.  $\mathbf{r}(t) = \left(\frac{\sqrt{2}}{2}t\right)\mathbf{i} + \left(\frac{\sqrt{2}}{2}t - 16t^2\right)\mathbf{j}$

17.  $\mathbf{r}(t) = (\ln(t^2 + 1))\mathbf{i} + (\tan^{-1}t)\mathbf{j} + \sqrt{t^2 + 1}\mathbf{k}$

18.  $\mathbf{r}(t) = \frac{4}{9}(1+t)^{3/2}\mathbf{i} + \frac{4}{9}(1-t)^{3/2}\mathbf{j} + \frac{1}{3}t\mathbf{k}$

19 ve 20 alıştırmalarında,  $\mathbf{r}(t)$  uzaydaki bir parçacığın  $t$  anındaki konumudur. Verilen zaman aralığında hız ve ivmenin ortogonal olduğu zaman veya zamanları bulun.

19.  $\mathbf{r}(t) = (t - \sin t)\mathbf{i} + (1 - \cos t)\mathbf{j}, \quad 0 \leq t \leq 2\pi$

20.  $\mathbf{r}(t) = (\sin t)\mathbf{i} + t\mathbf{j} + (\cos t)\mathbf{k}, \quad t \geq 0$

### Vektör Değerli Fonksiyonları İntegre Etmek

21–26 alıştırmalarındaki integralleri hesaplayın.

21.  $\int_0^1 [t^3\mathbf{i} + 7\mathbf{j} + (t+1)\mathbf{k}] dt$

22.  $\int_1^2 \left[ (6 - 6t)\mathbf{i} + 3\sqrt{t}\mathbf{j} + \left(\frac{4}{t^2}\right)\mathbf{k} \right] dt$

23.  $\int_{-\pi/4}^{\pi/4} [(\sin t)\mathbf{i} + (1 + \cos t)\mathbf{j} + (\sec^2 t)\mathbf{k}] dt$

24.  $\int_0^{\pi/3} [(\sec t \tan t)\mathbf{i} + (\tan t)\mathbf{j} + (2 \sin t \cos t)\mathbf{k}] dt$

25.  $\int_1^4 \left[ \frac{1}{t}\mathbf{i} + \frac{1}{5-t}\mathbf{j} + \frac{1}{2t}\mathbf{k} \right] dt$

26.  $\int_0^1 \left[ \frac{2}{\sqrt{1-t^2}}\mathbf{i} + \frac{\sqrt{3}}{1+t^2}\mathbf{k} \right] dt$

### Vektör Değerli Fonksiyonlar İçin Başlangıç Değer Problemleri

27–32 alıştırmalarındaki başlangıç değer problemlerinden  $\mathbf{r}'$ yi  $t$ 'nin bir vektör fonksiyonu olarak çözün.

27. Diferansiyel denklem :  $\frac{d\mathbf{r}}{dt} = -t\mathbf{i} - t\mathbf{j} - t\mathbf{k}$

Başlangıç koşulu :  $\mathbf{r}(0) = \mathbf{i} + 2\mathbf{j} + 3\mathbf{k}$

28. Diferansiyel denklem :  $\frac{d\mathbf{r}}{dt} = (180t)\mathbf{i} + (180t - 16t^2)\mathbf{j}$

Başlangıç koşulu :  $\mathbf{r}(0) = 100\mathbf{j}$

29. Diferansiyel denklem :  $\frac{d\mathbf{r}}{dt} = \frac{3}{2}(t+1)^{1/2}\mathbf{i} + e^{-t}\mathbf{j} + \frac{1}{t+1}\mathbf{k}$

Başlangıç koşulu :  $\mathbf{r}(0) = \mathbf{k}$

30. Diferansiyel denklem :  $\frac{d\mathbf{r}}{dt} = (t^3 + 4t)\mathbf{i} + t\mathbf{j} + 2t^2\mathbf{k}$

Başlangıç koşulu :  $\mathbf{r}(0) = \mathbf{i} + \mathbf{j}$

31. Diferansiyel denklem :  $\frac{d^2\mathbf{r}}{dt^2} = -32\mathbf{k}$

Başlangıç koşulu :

$\mathbf{r}(0) = 100\mathbf{k}$  ve

$\left.\frac{d\mathbf{r}}{dt}\right|_{t=0} = 8\mathbf{i} + 8\mathbf{j}$

32. Diferansiyel denklem :  $\frac{d^2\mathbf{r}}{dt^2} = -(\mathbf{i} + \mathbf{j} + \mathbf{k})$

Başlangıç koşulu :

$\mathbf{r}(0) = 10\mathbf{i} + 10\mathbf{j} + 10\mathbf{k}$  ve

$\left.\frac{d\mathbf{r}}{dt}\right|_{t=0} = \mathbf{0}$

### Düzgün Eğrilerin Teğetleri

Konuda bahsedildiği gibi, düzgün bir  $\mathbf{r}(t) = f(t)\mathbf{i} + g(t)\mathbf{j} + h(t)\mathbf{k}$  eğrisinin  $t = t_0$ 'daki teğeti, eğrinin  $t_0$  anındaki hız vektörü  $\mathbf{v}(t_0)$ 'a平行 olan ve  $(f(t_0), g(t_0), h(t_0))$  noktasından geçen doğrudur. 33–36 alıştırmalarında, verilen  $t = t_0$  parametre değerde eğriye teğet olan doğrunun parametrik denklemlerini bulun.

33.  $\mathbf{r}(t) = (\sin t)\mathbf{i} + (t^2 - \cos t)\mathbf{j} + e^t\mathbf{k}, \quad t_0 = 0$

34.  $\mathbf{r}(t) = (2 \sin t)\mathbf{i} + (2 \cos t)\mathbf{j} + 5t\mathbf{k}, \quad t_0 = 4\pi$

35.  $\mathbf{r}(t) = (a \sin t)\mathbf{i} + (a \cos t)\mathbf{j} + bt\mathbf{k}, \quad t_0 = 2\pi$

36.  $\mathbf{r}(t) = (\cos t)\mathbf{i} + (\sin t)\mathbf{j} + (\sin 2t)\mathbf{k}, \quad t_0 = \frac{\pi}{2}$

### Dairesel Yollarda Hareket

37. Aşağıdaki (a)–(e) denklemlerinin her biri, yolu aynı, yani  $x^2 + y^2 = 1$  çemberi, olan bir parçacığın hareketini tanımlar. (a)–(e)'deki her parçacığın yolunun aynı olmasına rağmen, her parçacığın davranışı veya "dinamiği" farklıdır. Her parçacık için aşağıdaki soruları yanıtlayın.

i. Parçacığın süratini sabit midir? Sabitse, bu sabit sürat nedir?

ii. Parçacığın ivme vektörü her zaman hız vektörüne ortogonal midir?

iii. Parçacık çember etrafında, saat yönünde mi, saat yönünün tersine mi hareket eder?

iv. Parçacık harekete  $(1, 0)$ 'dan mı başlar?

a.  $\mathbf{r}(t) = (\cos t)\mathbf{i} + (\sin t)\mathbf{j}, \quad t \geq 0$

b.  $\mathbf{r}(t) = \cos(2t)\mathbf{i} + \sin(2t)\mathbf{j}, \quad t \geq 0$

c.  $\mathbf{r}(t) = \cos(t - \pi/2)\mathbf{i} + \sin(t - \pi/2)\mathbf{j}, \quad t \geq 0$

d.  $\mathbf{r}(t) = (\cos t)\mathbf{i} - (\sin t)\mathbf{j}, \quad t \geq 0$

e.  $\mathbf{r}(t) = \cos(t^2)\mathbf{i} + \sin(t^2)\mathbf{j}, \quad t \geq 0$

38. Vektör değerleri

$\mathbf{r}(t) = (2\mathbf{i} + 2\mathbf{j} + \mathbf{k})$

$+ \cos t \left( \frac{1}{\sqrt{2}}\mathbf{i} - \frac{1}{\sqrt{2}}\mathbf{j} \right) + \sin t \left( \frac{1}{\sqrt{3}}\mathbf{i} + \frac{1}{\sqrt{3}}\mathbf{j} + \frac{1}{\sqrt{3}}\mathbf{k} \right)$

fonksiyonunun, merkezi  $(2, 2, 1)$  noktasında olan ve  $x + y - 2z = 2$  düzlemi üzerinde bulunan 1 yarıçaplı çember üzerinde hareket eden bir parçacığın hareketini tanımladığını gösterin.

## Bir Doğru Üzerinde Hareket

39.  $t = 0$  anında, bir parçacık  $(1, 2, 3)$  noktasındadır. Düz bir doğru üzerinde  $(4, 1, 4)$  noktasına gider,  $(1, 2, 3)$ 'te sürat 2 ve sabit ivmesi  $3\mathbf{i} - \mathbf{j} + \mathbf{k}$ 'dir. Parçacığın  $t$  anındaki  $\mathbf{r}(t)$  konum vektörünün denklemini bulun.
40. Düz bir doğru üzerinde ilerleyen bir parçacık  $(1, -1, 2)$  noktasında gözlenmiştir ve  $t = 0$  anına sürat 2'dir. Parçacık  $(3, 0, 3)$  noktasına sabit  $2\mathbf{i} + \mathbf{j} + \mathbf{k}$  ivmesiyle ilerler.  $\mathbf{r}$  anındaki  $\mathbf{r}(t)$  konum vektörünü bulun.

## Teori ve Örnekler

41. **Bir parabol boyunca hareket** Bir parçacık  $y^2 = 2x$  parabolünün üzerinde soldan sağa doğru saniyede 5 birim sabit süratle ilerlemektedir. Parçacığın  $(2, 2)$  noktasından geçenkenki hızını bulun.
42. **Bir sikloid boyunca hareket** Bir parçacık  $xy$ -düzlemindeki bir sikloid üzerinde  $t$  anındaki konumu

$$\mathbf{r}(t) = (t - \sin t)\mathbf{i} + (1 - \cos t)\mathbf{j}$$

olacak şekilde ilerlemektedir.

- T** a.  $\mathbf{r}(t)$ 'yi çizin. Sonuç eğri bir sikloiddir

b.  $|\mathbf{v}|$  ve  $|\mathbf{a}|$ 'nın maksimum ve minimum değerlerini bulun. (İpucu: Önce  $|\mathbf{v}|^2$  ile  $|\mathbf{a}|^2$ 'nin ekstremum değerlerini bulun, sonra karekök alın.)

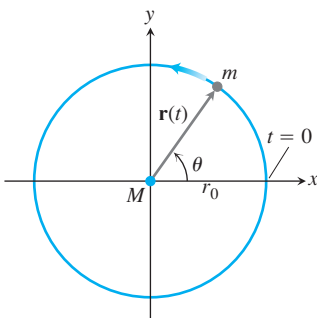
43. **Bir elips boyunca hareket** Bir parçacık  $yz$ -düzlemindeki  $(y/3)^2 + (z/2)^2 = 1$  elipsinin üzerinde,  $t$  anındaki konumu

$$\mathbf{r}(t) = (3 \cos t)\mathbf{j} + (2 \sin t)\mathbf{k}$$

olacak şekilde ilerlemektedir.  $|\mathbf{v}|$  ve  $|\mathbf{a}|$ 'nın maksimum ve minimum değerlerini bulun. (İpucu: Önce  $|\mathbf{v}|^2$  ile  $|\mathbf{a}|^2$ 'nin ekstremum değerlerini bulun, sonra karekök alın.)

44. **Dairesel bir yörüngedeki bir uydurma**  $m$  küteli bir uydurma, sabit  $\mathbf{v}$  süratıyla yarıçaplı (cismin kütle merkezinden itibaren ölçülmüş)  $M$  küteli bir cismin (örneğin Dünya) çevresinde dairesel bir yörengede dönmektedir. Uydunun yörüngesel periyodu  $T$ 'yi (bir tam yöringe çizmek için gereken süre) aşağıdaki şekilde bulun.

a. Yöringe düzlemine, aşağıdaki şekilde görüldüğü gibi, cismin kütle merkezi orijinde, uydurma  $t = 0$  anında  $x$ -ekseninde olacak ve saat yönünün tersine hareket edecek şekilde bir koordinat sistemi yerleştirin.



$\mathbf{r}(t)$  uydunun  $t$  anındaki konum vektörü olsun.  $\theta = vt/r_0$  olduğunu ve aşağıdaki ifadeyi gösterin.

$$\mathbf{r}(t) = \left( r_0 \cos \frac{vt}{r_0} \right) \mathbf{i} + \left( r_0 \sin \frac{vt}{r_0} \right) \mathbf{j}$$

- b. Uydunun ivmesini bulun.  
c. Newton'un Gravitasyon yasasına göre, uyduya etkiyen kuvvet  $M$  yönündedir ve  $G$  evrensel yerçekimi sabiti olmak üzere

$$\mathbf{F} = \left( -\frac{GM}{r_0^2} \right) \mathbf{r}$$

ile verilir. Newton'un ikinci yasasını,  $\mathbf{F} = m\mathbf{a}$ 'yı kullanarak,  $v^2 = GM/r_0$  olduğunu gösterin.

- d. Yörüngesel periyot  $T$  nin  $vT = 2\pi r_0$ 'ı sağladığını gösterin.  
e. (c) ve (d) şıklarından

$$T^2 = \frac{4\pi^2}{GM} r_0^3$$

olduğunu çıkarın. Yani, dairesel bir yörüngedeki bir uydunun periyodunun karesi, yöringe merkezinden olan uzaklığın kübyle orantılıdır.

45.  $\mathbf{v}$ ,  $t$ 'nin türetilebilir bir vektör fonksiyonu olsun. Her  $t$  için,  $\mathbf{v} \cdot (\mathbf{dv}/dt) = 0$  ise,  $|\mathbf{v}|$ 'nin sabit olduğunu gösterin.

### Üçlü skaler çarpımların türevleri

- a.  $\mathbf{u}$ ,  $\mathbf{v}$  ve  $\mathbf{w}$   $t$ 'nin türetilebilir vektör fonksiyonlarısa, aşağıdaki denklemi doğrulayın.

$$\frac{d}{dt} (\mathbf{u} \cdot \mathbf{v} \times \mathbf{w}) = \frac{d\mathbf{u}}{dt} \cdot \mathbf{v} \times \mathbf{w} + \mathbf{u} \cdot \frac{d\mathbf{v}}{dt} \times \mathbf{w} + \mathbf{u} \cdot \mathbf{v} \times \frac{d\mathbf{w}}{dt} \quad [7]$$

- b. (7)'nin aşağıdaki denkleme denk olduğunu gösterin.

$$\frac{d}{dt} \begin{vmatrix} u_1 & u_2 & u_3 \\ v_1 & v_2 & v_3 \\ w_1 & w_2 & w_3 \end{vmatrix} = \begin{vmatrix} \frac{du_1}{dt} & \frac{du_2}{dt} & \frac{du_3}{dt} \\ v_1 & v_2 & v_3 \\ w_1 & w_2 & w_3 \end{vmatrix}$$

$$+ \begin{vmatrix} u_1 & u_2 & u_3 \\ \frac{dv_1}{dt} & \frac{dv_2}{dt} & \frac{dv_3}{dt} \\ w_1 & w_2 & w_3 \end{vmatrix} + \begin{vmatrix} u_1 & u_2 & u_3 \\ v_1 & v_2 & v_3 \\ \frac{dw_1}{dt} & \frac{dw_2}{dt} & \frac{dw_3}{dt} \end{vmatrix} \quad [8]$$

(8) denklemi, türetilebilir fonksiyonların  $3 \times 3$ 'luk bir determinanının türevinin, her defasında orijinal determinantın bir satırı türetilerek elde edilen üç determinantın toplamı olduğunu söyley. Sonuç her dereceden determinant için geçerlidir.

47. (Alıştırma 46'nın devamı.)  $\mathbf{r}(t) = f(t)\mathbf{i} + g(t)\mathbf{j} + h(t)\mathbf{k}$  olduğunu ve  $f, g$  ve  $h$ 'nin üçüncü mertebede kadar türevlerinin bulunduğuunu varsayıñ. (7) veya (8) denklemi kullanarak

$$\frac{d}{dt} \left( \mathbf{r} \cdot \frac{d\mathbf{r}}{dt} \times \frac{d^2\mathbf{r}}{dt^2} \right) = \mathbf{r} \cdot \left( \frac{d\mathbf{r}}{dt} \times \frac{d^3\mathbf{r}}{dt^3} \right) \quad (9)$$

olduñunu gösterin. (İpucu: Sol tarafın türevini alın ve çarpımları sıfır olan vektörleri bulun.)

48. **Sabit Fonksiyon Kuralı**  $\mathbf{u}$  değeri  $\mathbf{C}$  olan sabit bir vektör fonksiyonsa,  $d\mathbf{u}/dt = \mathbf{0}$  olacaðını gösterin.

#### 49. Skalerle Çarpım Kuralları

- a.  $\mathbf{u}$   $t$ 'nin türetilebilir bir fonksiyonu ve  $c$  herhangi bir reel sayı ise,

$$\frac{d(c\mathbf{u})}{dt} = c \frac{d\mathbf{u}}{dt}$$

olduñunu gösterin.

- b.  $\mathbf{u}$   $t$ 'nin türetilebilir bir fonksiyonu ve  $f$   $t$ 'nin türetilebilir skaler bir fonksiyon ise,

$$\frac{d}{dt}(f\mathbf{u}) = \frac{df}{dt}\mathbf{u} + f \frac{d\mathbf{u}}{dt}$$

olduñunu gösterin.

50. **Toplam ve Fark Kuralları**  $\mathbf{u}$  ve  $\mathbf{v}$   $t$ 'nin türetilebilir fonksiyonlarıysa,

$$\frac{d}{dt}(\mathbf{u} + \mathbf{v}) = \frac{d\mathbf{u}}{dt} + \frac{d\mathbf{v}}{dt}$$

ve

$$\frac{d}{dt}(\mathbf{u} - \mathbf{v}) = \frac{d\mathbf{u}}{dt} - \frac{d\mathbf{v}}{dt}$$

olduñunu gösterin.

51. **Bir Noktada Sürekliklilik İçin Bileşen Testi**  $\mathbf{r}(t) = f(t)\mathbf{i} + g(t)\mathbf{j} + h(t)\mathbf{k}$  ile tanımlanan  $\mathbf{r}$  vektör fonksiyonunun ancak ve yalnız  $f, g$  ve  $h$  fonksiyonları  $t_0$ 'da sürekli iseler,  $t = t_0$ 'da sürekli olduğunu gösterin.

52. **Vektör fonksiyonların vektörel çarpımlarının limiti**  $\mathbf{r}_1(t) = f_1(t)\mathbf{i} + f_2(t)\mathbf{j} + f_3(t)\mathbf{k}$ ,  $\mathbf{r}_2(t) = g_1(t)\mathbf{i} + g_2(t)\mathbf{j} + g_3(t)\mathbf{k}$ ,  $\lim_{t \rightarrow t_0} \mathbf{r}_1(t) = \mathbf{A}$  ve  $\lim_{t \rightarrow t_0} \mathbf{r}_2(t) = \mathbf{B}$  olduğunu varsayıñ. Vektörel çarpımlar için determinant formülünü ve skaler fonksiyonlar için Limit Çarpımı Kuralını kullanarak

$$\lim_{t \rightarrow t_0} (\mathbf{r}_1(t) \times \mathbf{r}_2(t)) = \mathbf{A} \times \mathbf{B}$$

olduñunu gösterin.

53. **Türetilebilir vektör fonksiyonlar sürekliidir**  $\mathbf{r}(t) = f(t)\mathbf{i} + g(t)\mathbf{j} + h(t)\mathbf{k}$   $t = t_0$ 'da türetilebiliyorsa,  $t_0$ 'da sürekli de olacaðını gösterin.

54. İntegre edilebilir vektör fonksiyonların aşağıdaki özelliklerini doğrulayın.

- a. **Sabit Skalerle Çarpım Kuralı:**

$$\int_a^b k\mathbf{r}(t) dt = k \int_a^b \mathbf{r}(t) dt \quad (\text{herhangi bir } k \text{ skaler})$$

*Negatifler Kuralı,*

$$\int_a^b (-\mathbf{r}(t)) dt = - \int_a^b \mathbf{r}(t) dt$$

$k = -1$  alınarak elde edilir.

- b. **Toplam ve Fark Kuralları:**

$$\int_a^b (\mathbf{r}_1(t) \pm \mathbf{r}_2(t)) dt = \int_a^b \mathbf{r}_1(t) dt \pm \int_a^b \mathbf{r}_2(t) dt$$

- c. **Sabit Vektörler Çarpım Kuralları:**

$$\int_a^b \mathbf{C} \cdot \mathbf{r}(t) dt = \mathbf{C} \cdot \int_a^b \mathbf{r}(t) dt \quad (\text{herhangi bir sabit } \mathbf{C} \text{ vektörü})$$

ve

$$\int_a^b \mathbf{C} \times \mathbf{r}(t) dt = \mathbf{C} \times \int_a^b \mathbf{r}(t) dt \quad (\text{herhangi bir sabit } \mathbf{C} \text{ vektörü})$$

55. **Skaler ve vektör fonksiyonların çarpımı**  $u(t)$  Skaler fonksiyon ile  $\mathbf{r}(t)$  vektör fonksiyonunun ikisinin de  $a \leq t \leq b$  için tanımlı olduklarını varsayıñ.

- a.  $u$  ve  $\mathbf{r}$   $[a, b]$ 'de sürekliyseler,  $u\mathbf{r}$ 'nın de  $[a, b]$ 'de sürekli olduğunu gösterin.

- b.  $u$  ve  $\mathbf{r}$   $[a, b]$ 'de türetilebiliyorlarsa,  $u\mathbf{r}$ 'nın de  $[a, b]$ de türetilebildiğini ve

$$\frac{d}{dt}(u\mathbf{r}) = u \frac{d\mathbf{r}}{dt} + \mathbf{r} \frac{du}{dt}$$

olduñunu gösterin.

#### 56. Vektör fonksiyonlarının ters türevleri

- a. Skaler fonksiyonlar için Ortalama Değer Teoreminin 2. Sonucunu kullanarak iki  $\mathbf{R}_1(t)$  ve  $\mathbf{R}_2(t)$  vektör fonksiyonunun bir  $I$  aralığında türevleri aynıysa,  $I$  boyunca fonksiyonların arasında sadece bir sabit farkı olduğunu gösterin.

- b. (a)'daki sonucu kullanarak,  $\mathbf{R}(t)$   $\mathbf{r}(t)$ 'nın  $I$  aralığındaki ters türeviyse,  $\mathbf{r}'$ 'nin  $I$ 'daki bütün diğer ters türevlerinin sabit bir  $\mathbf{C}$  vektörü için  $\mathbf{R}(t) + \mathbf{C}$  olduğunu gösterin.

57. **Analizin Temel Teoremi** Real değişkenli skaler fonksiyonlar için Analizin Temel Teoremi real değişkenli bir vektör fonksiyon için de geçerlidir. Bunu ispatlamak için, skaler fonksiyonların teoremini kullanarak önce eğer bir  $\mathbf{r}(t)$  vektör fonksiyonu  $a \leq t \leq b$  için sürekliysese,  $[a, b]$ 'nin her  $t$  noktasında

$$\frac{d}{dt} \int_a^t \mathbf{r}(\tau) d\tau = \mathbf{r}(t)$$

olduñunu gösterin. Sonra Alıştırma 56'nın (b) şıklığının sonucunu kullanarak  $\mathbf{R}$ ,  $[a, b]$ 'de  $\mathbf{r}'$ 'nin bir ters türeviyse,

$$\int_a^b \mathbf{r}(t) dt = \mathbf{R}(b) - \mathbf{R}(a)$$

olduñunu gösterin.

**BİLGİSAYAR ARAŞTIRMALARI****Uzay Eğrilerine Teğeter Çizmek**

58–61 alıştırmalarındaki adımları gerçekleştirmek için bir BCS kullanın.

- a.  $\mathbf{r}$  konum vektörünün izlediği uzaydaki eğriyi çizin.
  - b.  $d\mathbf{r}/dt$  hız vektörünün bileşenlerini bulun.
  - c.  $d\mathbf{r}/dt$ 'yi verilen  $t_0$  noktasında hesaplayın ve eğriye  $\mathbf{r}(t_0)$ 'da teğet olan doğrunun denklemini belirleyin.
  - d. Verilen aralıkta eğriyle birlikte teğeti de çizin.
58.  $\mathbf{r}(t) = (\sin t - t \cos t)\mathbf{i} + (\cos t + t \sin t)\mathbf{j} + t^2\mathbf{k}$ ,  
 $0 \leq t \leq 6\pi$ ,  $t_0 = 3\pi/2$
59.  $\mathbf{r}(t) = \sqrt{2t}\mathbf{i} + e^t\mathbf{j} + e^{-t}\mathbf{k}$ ,  $-2 \leq t \leq 3$ ,  $t_0 = 1$
60.  $\mathbf{r}(t) = (\sin 2t)\mathbf{i} + (\ln(1+t))\mathbf{j} + t\mathbf{k}$ ,  $0 \leq t \leq 4\pi$ ,  
 $t_0 = \pi/4$
61.  $\mathbf{r}(t) = (\ln(t^2 + 2))\mathbf{i} + (\tan^{-1} 3t)\mathbf{j} + \sqrt{t^2 + 1}\mathbf{k}$ ,  
 $-3 \leq t \leq 5$ ,  $t_0 = 3$

62 ve 63 alıştırmalarında,  $a$  ve  $b$  sabitlerinin değerlerini değiştirirken,

$$\mathbf{r}(t) = (\cos at)\mathbf{i} + (\sin at)\mathbf{j} + bt\mathbf{k}$$

helinin davranışını grafik olarak araştıracaksınız. Her alıştırmadaki adımları gerçekleştirmek için bir BCS kullanın.

62.  $b = 1$  alın.  $\mathbf{r}(t)$  helisini  $a = 1, 2, 4$  ve  $6$  için  $0 \leq t \leq 4\pi$  aralığında  $t = 3\pi/2$ 'deki teğetiyle birlikte çizin.  $a$  bu pozitif değerlerle artarken, helisin grafiğine ve teğetin konumuna ne olduğunu kendi sözcüklerinizle anlatın.
63.  $a = 1$  alın.  $\mathbf{r}(t)$  helisini  $b = 1/4, 1/2, 2$  ve  $4$  için  $0 \leq t \leq 4\pi$  aralığında  $t = 3\pi/2$ 'deki teğetiyle birlikte çizin.  $b$  bu pozitif değerlerle artarken, helisin grafiğine ve teğetin konumuna ne olduğunu kendi sözcüklerinizle anlatın.

**13.2****Atış Hareketini Modellemek**

Havaya bir mermi fırlattığımızda, genellikle önceden ne kadar ilerleyeceğini (hedefe varacak mı?), ne kadar yükseleceğini (tepeyi aşacak mı?) ve ne zaman yere ineceğini (sonuçları ne zaman alacağız?) bilmek isteriz. Bu bilgiyi, Newton'un İlkinci Hareket Yasasını kullanarak, merminin ilk hız vektörünün yön ve büyüklüğünden buluruz.

**İdeal Atış Hareketi İçin Vektörel ve Parametrik Denklemler**

Atış hareketinin denklemlerini türetmek için, merminin düşey bir koordinat düzleminde hareket eden bir parçacık gibi davranışını ve uçuşu sırasında mermiye etkileyen tek kuvvetin her zaman aşağıyı gösteren sabit yerçekimi kuvveti olduğunu varsayarız. Pratikte, bu varsayımların hiçbirisini doğru değildir. Dünya döndükçe yer merminin altında ilerler, hava merminin sürat ve yüksekliğiyle değişen bir sürtünme kuvveti yaratır ve yerçekimi kuvveti mermi ilerledikçe değişir. Türetmek üzere olduğumuz *ideal* denklemlerin tahminlerine düzeltmeler yapılırken bunlar da hesaba katılmalıdır. Ancak, düzeltmeler bu bölümün konusu değildir.

Mermimizin  $t = 0$  anında orijinden birinci dörtte bir bölgeye bir  $\mathbf{v}_0$  ilk hızıyla atıldığına varsayıyoruz (Şekil 13.9).  $\mathbf{v}_0$  yatayla  $\alpha$  açısı yapıyorsa,

$$\mathbf{v}_0 = (|\mathbf{v}_0| \cos \alpha)\mathbf{i} + (|\mathbf{v}_0| \sin \alpha)\mathbf{j}$$

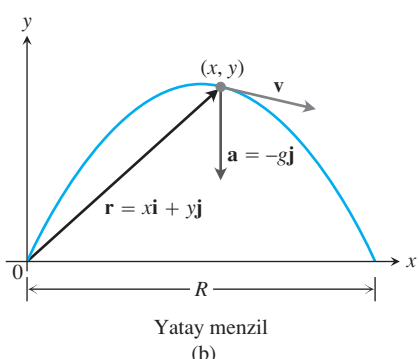
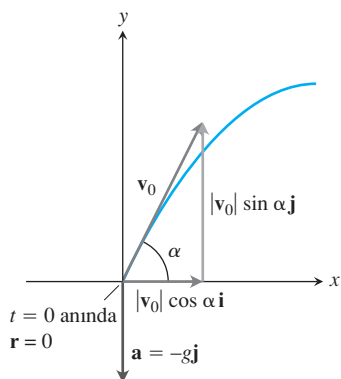
olur. Başlangıç süratı  $|\mathbf{v}_0|$  için daha basit bir gösterim olan  $\mathbf{v}_0$ 'yı kullanırsak,

$$\mathbf{v}_0 = (\mathbf{v}_0 \cos \alpha)\mathbf{i} + (\mathbf{v}_0 \sin \alpha)\mathbf{j} \quad [1]$$

buluruz. Merminin başlangıç konumu

$$\mathbf{r}_0 = 0\mathbf{i} + 0\mathbf{j} = \mathbf{0} \quad [2]$$

olarak verilmektedir.



**ŞEKİL 13.9** (a)  $t = 0$  anında konum, hız, ivme ve atış açısı. (b) Daha sonraki bir  $t$  anında konum, hız ve ivme.

Newton'un İkinci Hareket Yasası mermi üzerine etkiyen kuvvetin, kütlesi  $m$  kere hızı, veya  $\mathbf{r}$  merminin konum vektörü ve  $t$  zaman ise,  $m(d^2\mathbf{r}/dt^2)$  olduğunu söyler. Kuvvet sadece yerçekimi kuvveti  $-mg\mathbf{j}$  ise,

$$m \frac{d^2\mathbf{r}}{dt^2} = -mg\mathbf{j} \quad \text{ve} \quad \frac{d^2\mathbf{r}}{dt^2} = -g\mathbf{j}$$

bulunur. Aşağıdaki başlangıç değer problemini çözerek  $\mathbf{r}$ 'yi  $t$ 'nin bir fonksiyonu olarak buluruz:

Diferansiyel denklem:  $\frac{d^2\mathbf{r}}{dt^2} = -g\mathbf{j}$

Başlangıç koşulları:  $t = 0$  iken  $\mathbf{r} = \mathbf{r}_0$  ve  $\frac{d\mathbf{r}}{dt} = \mathbf{v}_0$

Birinci integrasyon

$$\frac{d\mathbf{r}}{dt} = -(gt)\mathbf{j} + \mathbf{v}_0$$

verir. İkinci kere integre edilirse,

$$\mathbf{r} = -\frac{1}{2}gt^2\mathbf{j} + \mathbf{v}_0t + \mathbf{r}_0$$

bulunur. (1) ve (2) denklemelerinden  $\mathbf{v}_0$  ve  $\mathbf{r}_0$ 'ın değerlerini yerine koymak

$$\mathbf{r} = -\frac{1}{2}gt^2\mathbf{j} + \underbrace{(v_0 \cos \alpha)t\mathbf{i} + (v_0 \sin \alpha)t\mathbf{j}}_{\mathbf{v}_0t} + \mathbf{r}_0$$

verir. Terimleri birleştirerek

### İdeal Mermi Hareketi Denklemi

$$\mathbf{r} = (v_0 \cos \alpha)t\mathbf{i} + \left( (v_0 \sin \alpha)t - \frac{1}{2}gt^2 \right)\mathbf{j} \quad [3]$$

elde ederiz.

(3) denklemi ideal mermi hareketi için *vektör denklemidir*.  $\alpha$  açısı merminin **atış açısı (ateşleme açısı, yükselme açısı)** ve  $v_0$ , daha önce de söyledığımız gibi, merminin **başlangıç süratidir**.  $\mathbf{r}$ 'nin bileşenleri

$$x = (v_0 \cos \alpha)t \quad \text{ve} \quad y = (v_0 \sin \alpha)t - \frac{1}{2}gt^2 \quad [4]$$

parametrik denklemelerini verir. Burada  $x$  merminin  $t \geq 0$  anındaki yatay uzaklığı ve  $y$ 'de yüksekliğidir.

### ÖRNEK 1 İdeal Bir Mermi Bulmak

Bir mermi yatay tabandan 500 m/s'lik bir ilk hız ve  $60^\circ$ 'lık bir atış açısıyla fırlatılmıştır. Ateşlemeden 10 s sonra mermi nerededir?

**Cözüm**  $v_0 = 500$ ,  $\alpha = 60^\circ$ ,  $g = 9.8 \text{ m/s}^2$  ve  $t = 10$  ile (3) denklemini kullanarak, ateşlemeden 10 s sonra mermi koordinatlarını metre olarak buluruz:

$$\begin{aligned}\mathbf{r} &= (v_0 \cos \alpha)t\mathbf{i} + \left( (v_0 \sin \alpha)t - \frac{1}{2}gt^2 \right)\mathbf{j} \\ &= (500)\left(\frac{1}{2}\right)(10)\mathbf{i} + \left( (500)\left(\frac{\sqrt{3}}{2}\right)10 - \left(\frac{1}{2}\right)(9.8)(100) \right)\mathbf{j} \\ &\approx 2500\mathbf{i} + 3840\mathbf{j}.\end{aligned}$$

Ateşlemeden on saniye sonra, mermi 3840 m havada ve yerde 2500 m ilerdedir. ■

### Yükseklik, Uçuş Zamanı ve Menzil

(3) denklemi orijinden fırlatılan ideal bir mermi hakkında sorulan çoğu soruyu yanıtلامamızı sağlar.

Mermi, en yüksek konumuna dikey hız bileşeni sıfır, yani

$$\frac{dy}{dt} = v_0 \sin \alpha - gt = 0, \quad \text{veya} \quad t = \frac{v_0 \sin \alpha}{g}$$

iken ulaşır. Bu  $t$  değeri için,  $y$ 'nin değeri

$$y_{\max} = (v_0 \sin \alpha)\left(\frac{v_0 \sin \alpha}{g}\right) - \frac{1}{2}g\left(\frac{v_0 \sin \alpha}{g}\right)^2 = \frac{(v_0 \sin \alpha)^2}{2g}$$

olur.

Merminin ne zaman yere indiğini bulmak için, yatay tabandan fırlatılmışsa, (3) denkleminde  $y$ 'yi sıfıra eşitler ve  $t$ 'yi çözeriz:

$$(v_0 \sin \alpha)t - \frac{1}{2}gt^2 = 0$$

$$t\left(v_0 \sin \alpha - \frac{1}{2}gt\right) = 0$$

$$t = 0, \quad t = \frac{2v_0 \sin \alpha}{g}$$

0, merminin fırlatıldığı zaman olduğundan,  $(2v_0 \sin \alpha)/g$  merminin yere çarptığı zaman olmalıdır.

Yatay tabanda, orijinden çarpma noktasına kadarki mesafe olan, merminin **menzili**  $R$ 'yi bulmak için,  $t = (2v_0 \sin \alpha)/g$  iken  $x$ 'in değerini buluruz:

$$x = (v_0 \cos \alpha)t$$

$$R = (v_0 \cos \alpha)\left(\frac{2v_0 \sin \alpha}{g}\right) = \frac{v_0^2}{g}(2 \sin \alpha \cos \alpha) = \frac{v_0^2}{g} \sin 2\alpha$$

$\sin 2\alpha = 1$  veya  $\alpha = 45^\circ$  iken menzil en büyktür.

### İdeal Mermi Hareketi İçin Yükseklik, Uçuş Zamanı ve Menzil

Yatay bir düzlem üzerindeki orijinden  $v_0$  ilk hızı ve  $\alpha$  atış açısı ile atılan ideal mermi hareketi için:

$$\text{Maksimum yükseklik: } y_{\max} = \frac{(v_0 \sin \alpha)^2}{2g}$$

$$\text{Uçuş zamanı: } t = \frac{2v_0 \sin \alpha}{g}$$

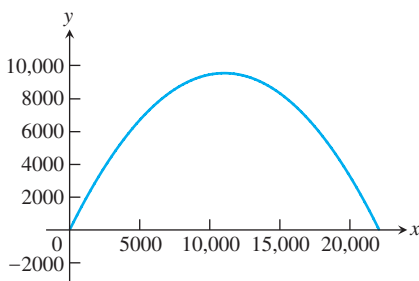
$$\text{Menzil: } R = \frac{v_0^2}{g} \sin 2\alpha.$$

#### ÖRNEK 2 İdeal Mermi Hareketini İncelemek

Yatay tabandaki orijinden 500 m/s'lik ilk süratle ve  $60^\circ$ 'lık bir atış açısıyla fırlatılan bir merminin (Örnek 1'deki merminin aynı) maksimum yüksekliğini, uçuş zamanını ve menzilini bulun.

#### Çözüm

$$\begin{aligned} \text{Maksimum yükseklik: } y_{\max} &= \frac{(v_0 \sin \alpha)^2}{2g} \\ &= \frac{(500 \sin 60^\circ)^2}{2(9.8)} \approx 9566 \text{ m} \\ \text{Uçuş zamanı: } t &= \frac{2v_0 \sin \alpha}{g} \\ &= \frac{2(500) \sin 60^\circ}{9.8} \approx 88.4 \text{ s} \\ \text{Menzil: } R &= \frac{v_0^2}{g} \sin 2\alpha \\ &= \frac{(500)^2 \sin 120^\circ}{9.8} \approx 22,092 \text{ m} \end{aligned}$$



**ŞEKİL 13.10** Örnek 2'de tarif edilen mermi yolumun grafiği

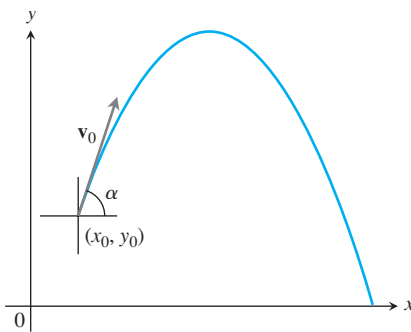
(3) denkleminden, merminin konum vektörü

$$\begin{aligned} \mathbf{r} &= (v_0 \cos \alpha)t \mathbf{i} + \left( (v_0 \sin \alpha)t - \frac{1}{2}gt^2 \right) \mathbf{j} \\ &= (500 \cos 60^\circ)t \mathbf{i} + \left( (500 \sin 60^\circ)t - \frac{1}{2}(9.8)t^2 \right) \mathbf{j} \\ &= 250t \mathbf{i} + \left( (250\sqrt{3})t - 4.9t^2 \right) \mathbf{j} \end{aligned}$$

olarak bulunur. Mermi yolunun bir grafiği Şekil 13.10'da gösterilmektedir. ■

#### İdeal Yörüneler Paraboliktir

Bir hortumdan akan suyun havada bir parabol çizdiği sıkılıkla iddia edilir, fakat yeterince yakından bakan birisi bunun böyle olmadığını görecektir. Hava suyu yavaşlatır ve ileri doğru ilerlemesi en sonda düşüğü orana uymayacak kadar yavaştır.



**SEKİL 13.11**  $(x_0, y_0)$ 'dan bir  $v_0$  ilk hızı ve yatayla bir  $\alpha$  açısı yapacak şekilde atılan bir merminin yolu.

Aslında iddia edilen şey ideal mermilerin parabolerde hareket ettiğidir ve bunu (4) denklemlerinden görebiliriz. İkinci denkleme, birinci denklemden gelen  $t = x/(v_0 \cos \alpha)$  değerini yerleştirirsek,

$$y = -\left(\frac{g}{2v_0^2 \cos^2 \alpha}\right)x^2 + (\tan \alpha)x$$

Kartezyen-koordinat denklemini elde ederiz. Bu denklem  $y = ax^2 + bx$  şeklindedir, dolayısıyla grafiği bir paraboldür.

### ( $x_0, y_0$ )'dan Fırlatma

Ideal mermimizi orijin yerine Şekil (13.11)  $(x_0, y_0)$  noktasından fırlatırsak, hareket yolu için konum vektörü, Alıştırma 19'da göstermeniz istenen

$$\mathbf{r} = (x_0 + (v_0 \cos \alpha)t)\mathbf{i} + \left(y_0 + (v_0 \sin \alpha)t - \frac{1}{2}gt^2\right)\mathbf{j} \quad [5]$$

şeklindedir.

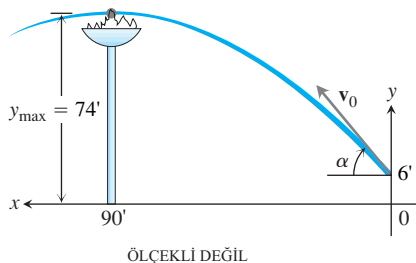
### ÖRNEK 3 Yanan Bir Ok Atmak

1992 Barselona Yaz Olimpiyatlarını açmak için, bronz madalyalı okçu Antonio Rebollo Olimpiyat meşalesini yanmış bir okla yakmıştır (Şekil 13.12). Rebello'nun oku, 70 ft yükseklikteki meşaleye yer seviyesinde 90 ft uzaklıktan ve 6 ft yükseklikten attığını ve okun maksimum yüksekliğine meşalenin merkezinden 4 ft yukarıda ulaşmasını istediğini varsayılmış (Şekil 13.12).



**SEKİL 13.12** İspanyol okçu Antonio Rebollo Barselona'da Olimpiyat meşalesini yanmış bir okla yakar.

- (a)  $y_{\max}$  değerini başlangıç hızı  $v_0$  ve atış açısı  $\alpha$  cinsinden ifade edin.
- (b)  $v_0 \sin \alpha$  değerini bulmak için  $y_{\max} = 74$  ft (Şekil 13.13) ve (a) şıklının sonucunu kullanın.
- (c)  $v_0 \cos \alpha$  değerini bulun.
- (d) Okun ilk atış açısını bulun.



**ŞEKİL 13.13** Olimpiyat meşalesini yakan okun ideal yolu (Örnek 3).

### Çözüm

- (a)  $x$ -ekseni yerde sola doğru ilerleyen (Şekil 13.12'deki fotoğrafla uyuşacak şekilde) ve  $t = 0$ 'da  $x_0 = 0$  ve  $y_0 = 6$  olacak şekilde bir koordinat sistemi kullanırız (Şekil 13.13). Elimizde

$$y = y_0 + (v_0 \sin \alpha)t - \frac{1}{2}gt^2 \quad \text{Denklem (5), j-bileşeni}$$

$$= 6 + (v_0 \sin \alpha)t - \frac{1}{2}gt^2 \quad y_0 = 6$$

vardır. Okun en yüksek noktaya ulaşığı zamanı,  $dy/dt = 0$  alıp buradan  $t$ 'yi çözerek buluruz:

$$t = \frac{v_0 \sin \alpha}{g}$$

Bu  $t$  değeri için,  $y$ 'nin değeri

$$\begin{aligned} y_{\max} &= 6 + (v_0 \sin \alpha) \left( \frac{v_0 \sin \alpha}{g} \right) - \frac{1}{2}g \left( \frac{v_0 \sin \alpha}{g} \right)^2 \\ &= 6 + \frac{(v_0 \sin \alpha)^2}{2g} \end{aligned}$$

olur.

- (b)  $y_{\max} = 74$  ve  $g = 32$  kullanarak,

$$74 = 6 + \frac{(v_0 \sin \alpha)^2}{2(32)}$$

veya

$$v_0 \sin \alpha = \sqrt{(68)(64)}$$

buluruz.

- (c) Ok  $y_{\max}$  değerine ulaştığında, meşalenin merkezine kadar kat edilen yatay mesafe  $x = 90$  ft dir. (a) şıklındaki  $y_{\max}$ 'a ulaşma zamanını ve yatay uzaklık  $x = 90$  ft'i (5) denkleminin **i**-bileşeninde yerine yazarak,

$$x = x_0 + (v_0 \cos \alpha)t \quad \text{Denklem (5), i-bileşeni}$$

$$90 = 0 + (v_0 \cos \alpha)t \quad x = 90, x_0 = 0$$

$$= (v_0 \cos \alpha) \left( \frac{v_0 \sin \alpha}{g} \right) \quad t = (v_0 \sin \alpha)/g$$

elde ederiz. Bu denklemden  $v_0 \cos \alpha$ 'yı çözüp  $g = 32$  ve (b) şıklındaki sonucu kullanarak

$$v_0 \cos \alpha = \frac{90g}{v_0 \sin \alpha} = \frac{(90)(32)}{\sqrt{(68)(64)}}$$

buluruz.

- (d) (b) ve (c) şıkları birlikte

$$\tan \alpha = \frac{v_0 \sin \alpha}{v_0 \cos \alpha} = \frac{(\sqrt{(68)(64)})^2}{(90)(32)} = \frac{68}{45}$$

veya

$$\alpha = \tan^{-1} \left( \frac{68}{45} \right) \approx 56.5^\circ$$

verir. Bu Rebello'nun atış açısıdır. ■

### Rüzgar İle Mermi Hareketi

Şimdiki örnek mermiye etki eden başka bir kuvvetin nasıl hesaplanacağını göstermektedir. Ayrıca, Örnek 4'teki basketbol topunun yolumun düşey bir düzlemdede bulunduğunu varsayıyoruz.

#### ÖRNEK 4 Bir Beyzbol Topuna Vurmak

Bir beyzbol topuna yerden 3 ft yükseklikte iken vuruluyor. Sopayı, yatayla  $20^\circ$ 'lik açı yapan 152 ft/s'lik bir ilk hızla terk ediyor. Topa vurulduğu anda anı bir rüzgar, topun yatayda ilerlediği yönün tam ters yönünde, topun ilk hızına  $-8.8\mathbf{i}$  (ft/s) bileşenini ekleyecek şekilde esmeye başlıyor ( $8.8 \text{ ft/s} = 6 \text{ milsa}$ ).

- (a) Beyzbol topunun yolu için bir vektörel (konum vektörü) denklem bulun.
- (b) Beyzbol topu ne kadar yükselir ve maksimum yüksekliğine ne zaman ulaşır?
- (c) Topun yakalanmadığını varsayıarak, menzilini ve uçuş süresini bulun.

#### Çözüm

- (a) Rüzgarın hesaba katılması ile (1) denklemi kullanılarak topun ilk hızı

$$\begin{aligned}\mathbf{v}_0 &= (v_0 \cos \alpha)\mathbf{i} + (v_0 \sin \alpha)\mathbf{j} - 8.8\mathbf{i} \\ &= (152 \cos 20^\circ)\mathbf{i} + (152 \sin 20^\circ)\mathbf{j} - (8.8)\mathbf{i} \\ &= (152 \cos 20^\circ - 8.8)\mathbf{i} + (152 \sin 20^\circ)\mathbf{j}\end{aligned}$$

olarak bulunur. Başlangıç konumu  $\mathbf{r}_0 = 0\mathbf{i} + 3\mathbf{j}$ 'dir.  $d^2\mathbf{r}/dt^2 = -g\mathbf{j}$ 'nin integrali

$$\frac{d\mathbf{r}}{dt} = -(gt)\mathbf{j} + \mathbf{v}_0$$

verir. İkinci bir integrasyon

$$\mathbf{r} = -\frac{1}{2}gt^2\mathbf{j} + \mathbf{v}_0 t + \mathbf{r}_0$$

verir. Son denklemde  $\mathbf{v}_0$ 'nın ve  $\mathbf{r}_0$ 'nın değerlerini yerine yazmak topun konum vektörünü verir:

$$\begin{aligned}\mathbf{r} &= -\frac{1}{2}gt^2\mathbf{j} + \mathbf{v}_0 t + \mathbf{r}_0 \\ &= -16t^2\mathbf{j} + (152 \cos 20^\circ - 8.8)t\mathbf{i} + (152 \sin 20^\circ)t\mathbf{j} + 3\mathbf{j} \\ &= (152 \cos 20^\circ - 8.8)t\mathbf{i} + (3 + (152 \sin 20^\circ)t - 16t^2)\mathbf{j}.\end{aligned}$$

- (b)** Beyzbol topu, hızının düşey bileşeni sıfır iken veya

$$\frac{dy}{dt} = 152 \sin 20^\circ - 32t = 0$$

iken en yüksek noktasına ulaşır.  $t$ 'yi çözerek

$$t = \frac{152 \sin 20^\circ}{32} \approx 1.62 \text{ s}$$

buluruz. Bu değeri  $\mathbf{r}$ 'nin düşey bileşeninde yerine yazmak maksimum yüksekliği verir:

$$\begin{aligned} y_{\max} &= 3 + (152 \sin 20^\circ)(1.62) - 16(1.62)^2 \\ &\approx 45.2 \text{ ft} \end{aligned}$$

Yani, topun maksimum yüksekliği, sopayı terk etmesinden yaklaşık 1.6 s sonra ulaştığı, yaklaşık 45.2 ft'dır.

- (c)** Topun ne zaman yere düştüğünü bulmak için  $\mathbf{r}$ 'nin düşey bileşenini 0'eaşitleyip  $t$ 'yi çözerez:

$$\begin{aligned} 3 + (152 \sin 20^\circ)t - 16t^2 &= 0 \\ 3 + (51.99)t - 16t^2 &= 0 \end{aligned}$$

Çözüm değerleri yaklaşık olarak  $t = 3.3$  s ve  $t = -0.06$  s'dir. Pozitif değeri  $\mathbf{r}$ 'nin yatay bileşeninde yerine yazarak menzili buluruz:

$$\begin{aligned} R &= (152 \cos 20^\circ - 8.8)(3.3) \\ &\approx 442 \text{ ft} \end{aligned}$$

Böylece, yatay menzil yaklaşık olarak 442 ft ve uçuş zamanı yaklaşık olarak 3.3 s dir. ■

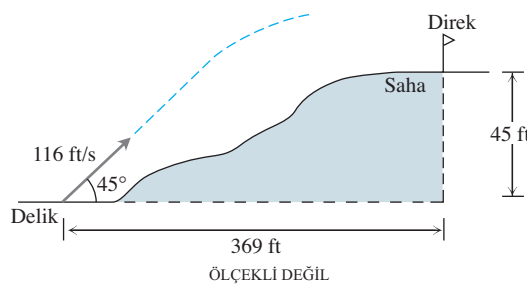
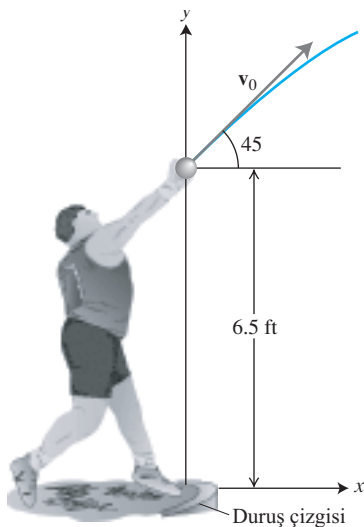
29–31 alıştırmalarında, uçuşu yavaşlatan hava direnci altında, mermi hareketini ele alıyoruz.

## ALIŞTIRMALAR 13.2

Aşağıdaki alıştırmalarda, atılan cisimlerin davranışları aksi belirtmedikçe ideal olarak kabul edilecektir. Bütün atış açılarının yataydan ölçüldüğü varsayılmaktadır. Başka bir şey belirtilmediği sürece, bütün cisimlerin yatay tabandaki orijinden atıldığı varsayılmaktadır.

- 1. Uçuş süresi** Bir mermi 840 m/s süratle ve  $60^\circ$ 'lık bir açıyla atılmıştır. Yatayda 21 km ilerlemesi ne kadar sürecek?
  - 2. Çıkış süratini bulmak** Maksimum menzili 24.5 km olan bir tabancanın atış süratini bulun.
  - 3. Uçuş süresi ve yükseklik** Bir mermi 500 m/s'lik ilk süratle ve  $45^\circ$ 'lık bir açıyla atılmaktadır.
- a.** Mermi ne zaman ve ne kadar uzakta yere çarpar?

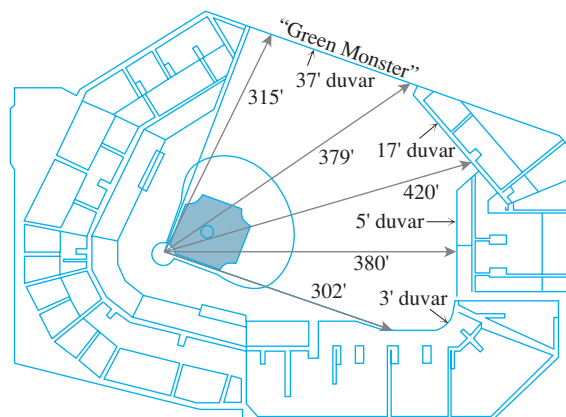
- b.** Mermi yatayda 5 km ilerlemişken, ne kadar yüksektedir?
- c.** Merminin ulaşığı en büyük yükseklik nedir?
- 4. Bir beyzbol topunu atmak** Bir beyzbol topu sahadan 32 ft yukarıdaki tribünden yatayla  $30^\circ$  yapan bir açıyla atılmıştır. Başlangıç süratü 32 ft/s ise, top yere ne zaman ve ne kadar uzakta çarpar?
- 5. Gülle atmak** Bir atlet 16 lb'luk bir gülleyi yatayla  $45^\circ$ 'lık bir açıyla yerden 6.5 ft yukarıdan 44 ft/s ilk süratle fırlatmıştır. Gülle, atıştan ne kadar sonra ve duruş çizgisinin iç tarafından ne kadar uzakta yere iner?



6. (Örnek 5'in devamı.) Başlangıçtaki yükseklikten dolayı, Alıştırma 5'teki gülle  $40^\circ$ 'lik bir açıyla atılmış olsaydı, daha ileri giderdi. Ne kadar ileri gidebilirdi? İnç olarak yanıtlayın.
7. **Golf topları ateşlemek** Yer seviyesindeki bir yaylı tüfek bir golf topunu  $45^\circ$ 'lik açıyla ateşlemektedir. Top 10 m ileride yere iner.
- Topun ilk süratini neydi?
  - Aynı ilk hız için, menzili 6 m yapan iki ateşleme açısını bulun.
8. **Elektron işması** Bir TV tüpündeki bir elektron yatay olarak  $40\text{ cm}$  uzaktaki tüpün yüzeyine  $5 \times 10^6 \text{ m/s}$  hızla gönderilirmektedir. Elektron çarpmadan önce ne kadar mesafe düşecektir?
9. **Golf topu hızını bulmak** Farklı sertlikteki golf toplarına bir iticiyle vurulduğunda ne kadar ileri gidecekleri konusundaki laboratuvar testleri 100-sıklıklı,  $9^\circ$ 'lik açıyla 100 mil/sa hızla gelen bir sopa başıyla vurulan bir topun 248.8 yard ilerlediğini göstermiştir. Topun havalandırma süratini nedir? ( $100 \text{ mil/sa}$ 'ten fazladır. Sopa başının ileri hareket ettiği anda, sıkıştırılmış top, topun ileri doğru süratini artıracak şekilde, sopa yüzeyinden uzaklaşmaktadır.)
10. Bir insan topu  $v_0 = 80\sqrt{10}/3 \text{ ft/s}$  ilk süratile fırlatılacaktır. Sirk göstericisi (doğru kalibrede, elbette) 200 ft ilerideki özel bir yastığa düşmeye ummaktadır. Sirk 75 ft yüksekliğinde düz bir tavanı olan büyük bir odada kurulmuştur. Gösterici tavana çarpmadan yastığa fırlatılabilir mi? Fırlatılabilirse, topun fırlatma açısı ne olmalıdır?
11. Bir golf topu yerden  $30^\circ$ 'lik bir açı ve  $90 \text{ ft/s}$  hızıyla ayrılmaktadır. 135 ft ötedeki 30 ft yüksekliğindeki bir ağacın üzerinden aşabilir mi? Açıklayın.
12. **Yükseltilmiş saha** Bir golf topu delikten 45 ft yukarıdaki çimenlikte  $116 \text{ ft/s}$  ilk hızıyla ve  $45^\circ$ 'lik fırlatma açısıyla atılmaktadır. 369 ft ileride olan direk yoluna çıkmıyorsa, top direğe göre nerede yere düşecektir?

13. **Green Monster** Bir Boston Red Sox oyuncusu tarafından yerin 3 ft yukarısından  $20^\circ$ 'lik bir açıyla atılan bir beyzbol topu, "Green Monster'i, Fenway Parkı'nın sol taraftaki duvarını ancak aşmıştır. Bu duvar 37 ft yüksekliğinde ve başlangıç yerinden 315 ft uzaktadır (Şekle bakın).

- Topun başlangıç süratini neydi?
- Topun duvara varması ne kadar sürmüştür?



14. **Eşit – menzilli atış açıları**  $\alpha$ ,  $0 < \alpha < 90$ , açısıyla atılan bir merminin menzilinin aynı hızla ( $90 - \alpha$ ) açısıyla atılan bir merminin aynı olduğunu gösterin (Hava direncini hesaba katan modellerde, bu simetri kaybolur).
15. **Eşit – menzilli atış açıları** Merminin başlangıç süratini  $400 \text{ m/s}$  ise, hangi iki atış açısı bir merminin 16 km uzakta tabancayı aynı seviyeye gelmesini sağlayacaktır?
16. **Sürate karşın menzil ve yükseklik**
- Bir merminin verilen bir atış açısındanki başlangıç hızını iki katına çıkarmanın menzili 4 katına çıkartacağını gösterin.
  - Yükseklik ve menzili iki katına çıkartmak için, başlangıç süratini yüzde kaç artırmalızı?
17. **Gülle fırlatma** 1987'de Moskova'da, Natalya Lisouskaya 8 lb, 13 onsluk bir gülleyi 73 ft 10 inç fırlatarak bir dünya rekoru kırdı. Gülleyi yerin 6.5 ft yukarısından yatayla  $40^\circ$ 'lik bir açıyla attığı varsayırlırsa, gülleinin başlangıç süratini nedir?
18. **Zamana karşın yükseklik** Bir merminin maksimum yüksekliğine ulaşması için gerekli zamanın yarısı kadar sürede maksimum yüksekliğinin dörtte üçüncüne ulaştığını gösterin.

**19.  $(x_0, y_0)$ 'dan atış**

$$x = x_0 + (v_0 \cos \alpha)t,$$

$$y = y_0 + (v_0 \sin \alpha)t - \frac{1}{2}gt^2$$

denklemlerini, (metindeki (5) denklemine bakın) aşağıdaki başlangıç değer problemini düzlemedeki bir  $\mathbf{r}$  vektörü için çözerek elde edin.

Diferansiyel denklem:  $\frac{d^2\mathbf{r}}{dt^2} = -g\mathbf{j}$

Başlangıç koşulları:  $\mathbf{r}(0) = x_0\mathbf{i} + y_0\mathbf{j}$

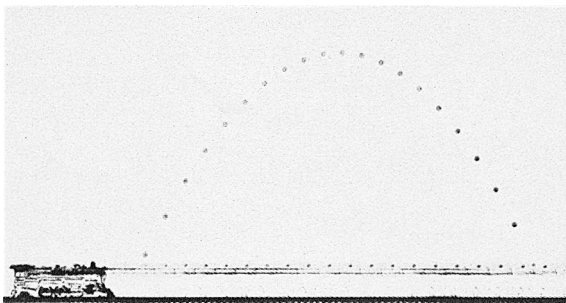
$$\frac{d\mathbf{r}}{dt}(0) = (v_0 \cos \alpha)\mathbf{i} + (v_0 \sin \alpha)\mathbf{j}$$

**20. Yanan ok** Örnek 3'te bulunan ateşleme açısını kullanarak, yanın okun Rebello'nun yayından hangi süratle çıktıığını bulun. Şekil 13.13'e bakın.

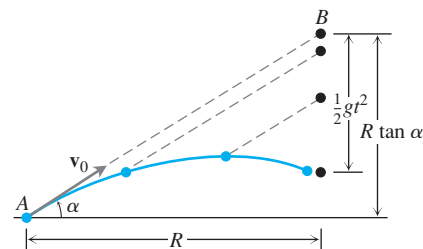
**21. Yanan ok** Örnek 3'teki meşalenin çapı 12 ft'tir. (5) denklemimi ve Örnek 3(c)'yi kullanarak, yanın okun meşalenin kenarına olan yatay mesafeyi ne kadar zamanda kat ettiğini bulun. Bu anda ok ne kadar yükseldi?

**22.**  $\alpha = 90^\circ$  için (4) denklemeleri ile verilen mermi yolunu tanımlayın.

**23. Model tren** Aşağıda gösterilen çok anlı fotoğraf, düz bir rayda sabit hızla ilerleyen bir model tren lokomotifini göstermektedir. Lokomotif ilerlerken, lokomotifin bacasından bir bilye havaya fırlatmaktadır. Lokomotif aynı yatay hızla ilerlemeye devam eden bilye fırlatıldıktan 1 s sonra yine lokomotife dönmektedir. Bilyenin yolunun yatayla yaptığı açıyı ölçün ve bu bilgiyi kullanarak bilyenin ne kadar yükseldiğini ve lokomotifin ne süratle hareket ettiğini bulun.

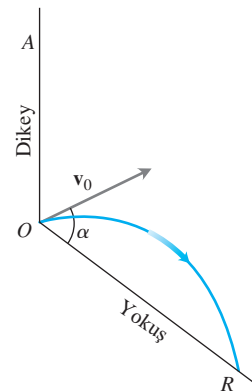


**24. Çarpışan bilyeler** Şekil, iki bilyeyle yapılan bir deneyi göstermektedir.  $A$  bilyesi  $B$  bilyesine doğru bir  $\alpha$  açısı ve  $v_0$  başlangıç hızıyla atılmaktadır. Aynı anda  $B$  mermisi,  $A$ 'dan yer seviyesinde  $R$  birim uzaktakı bir noktadan  $R \tan \alpha$  birim yükseklikte duran konumundan düşmeye bırakılmaktadır. Bilyelerin  $v_0$ 'dan başımsız olarak çarpışıkları gözlemlenmiştir. Bu sadece bir tesadüf müdür, yoksa olması gereken bu mudur? Yanıtınızı açıklayın.



**25. Yokuş aşağı atış** İdeali bir mermi, Şekilde gösterildiği gibi, aşağı doğru eğik bir düzleme fırlatılmaktadır.

- Aşağı doğru en uzun mesafenin, başlangıç hızı vektörü  $AOR$  açısının açıortayı iken alındığını gösterin.
- Mermi aşağı değil de yukarı doğru fırlatılsaydı, hangi açı menzili maksimize ederdi? Yanıtınızı açıklayın.



**26. Rüzgar altında beyzbol topuna vurmak** Bir beyzbol topuna yerden 2.5 ft yükseklikte iken vuruluyor. Top, sopalı  $145 \text{ ft/s}$ 'lik bir ilk hız ve  $23^\circ$ 'lik bir atış açısı ile terk ediyor. Topa vurulduğu anda, ani bir rüzgar, topun ilk hızına  $-14 \text{ ft/s}$  bileşenini ekleyecek şekilde topa karşı esmeye başlıyor. Uçuş yolu üzerinde, başlangıç levhasından 300 ft ileride, 15 ft yüksekliğinde bir duvar bulunmaktadır.

- Beyzbol topunun yolu için bir vektörel denklem bulun.
- Top ne kadar yükselir ve maksimum yüksekliğine ne zaman ulaşır?
- Topun yakalanmadığını varsayıarak, menzilini ve uçuş süresini bulun.
- Top, ne zaman 20 ft yükseklidir? Bu yükseklikteken başlangıç levhasından ne kadar uzaktadır (yatay uzaklık)?
- Vuruşcu, sayı vuruşu yapmış mıdır? Açıklayın.

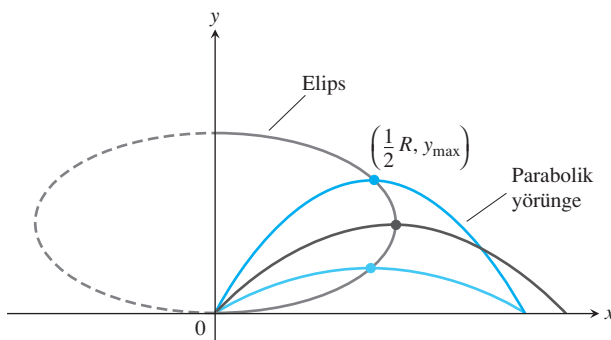
**27. Voleybol** Bir voleybol topuna yerden 4 ft yükseklikte ve 6 ft yüksekliğindeki bir fileden 12 ft uzaklıktı iken vuruluyor. Darbe noktasının  $35 \text{ ft/s}$ 'lik bir ilk hızla ve  $27^\circ$ 'lik bir açıyla terk ederek rakip takım oyuncuları arasından dokunulmadan geçiyor.

- Voleybol topunun yolu için bir vektörel denklem bulun.
- Top ne kadar yükselir ve maksimum yüksekliğine ne zaman ulaşır?

- c. Menzilini ve uçuş süresini bulun.
- d. Top, ne zaman 7 ft yüksekliktedir? Bu yükseklikteken düşeceğinden ne kadar uzaktadır (yatay uzaklık)?
- e. Filenin 8 ft'e yükseltildiğini varsayıñ. Bu, bazı şeyleri değiştir mi? Açıklayın.
- 28. Yörunge zirveleri** Yerden  $\alpha$  açısı ve  $v_0$  ilk hızıyla atılan bir mermi için,  $\alpha$ 'yı bir değişken ve  $v_0$ 'ı da belirli bir sabit olarak kabul edin. Her  $\alpha$  için,  $0 < \alpha < \pi/2$ , Şekilde gösterildiği gibi parabolik bir yörunge elde ederiz. Düzlemede bu parabolik yörungelerin zirvelerinin hepsinin,  $x \geq 0$  olmak üzere,

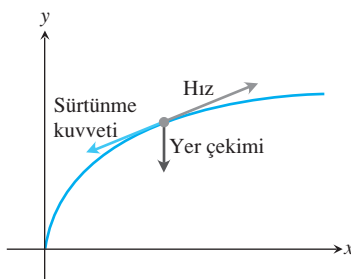
$$x^2 + 4\left(y - \frac{v_0^2}{4g}\right)^2 = \frac{v_0^4}{4g^2}$$

elipsinin üzerinde bulunduğu gösterin.



### Lineer Bir Sürtünme İle Mermi Hareketi

Bir mermi hareketine, yer çekimi ivmesi dışında, etkiyen temel kuvvet hava direncidir. Bu yavaşlatıcı kuvvet **sürtünme kuvveti** dir ve merminin hızına ters yönde etki eder (şekle bakın). Ancak, hava içinde nispeten küçük hızlarda hareket eden mermiler için sürtünme kuvveti, sürat (birinci kuvvet) ile (neredeyse) orantılıdır ve **lineer** olarak adlandırılır.



### 29. Lineer sürtünme

$$x = \frac{v_0}{k}(1 - e^{-kt}) \cos \alpha$$

$$y = \frac{v_0}{k}(1 - e^{-kt})(\sin \alpha) + \frac{g}{k^2}(1 - kt - e^{-kt})$$

denklemlerini, aşağıdaki başlangıç değer problemini düzlemedeki bir  $\mathbf{r}$  vektörü için çözerek elde edin.

Diferansiyel denklem:  $\frac{d^2\mathbf{r}}{dt^2} = -g\mathbf{j} - k\mathbf{v} = -g\mathbf{j} - k \frac{d\mathbf{r}}{dt}$

Başlangıç koşulları:  $\mathbf{r}(0) = \mathbf{0}$

$$\left. \frac{d\mathbf{r}}{dt} \right|_{t=0} = \mathbf{v}_0 = (v_0 \cos \alpha)\mathbf{i} + (v_0 \sin \alpha)\mathbf{j}$$

**$k$  sürtünme katsayısı**, hava direncini temsil eden pozitif bir sabittir.  $v_0$  ve  $\alpha$  merminin ilk hızı ve atış açısı,  $g$ 'de yerçekimi ivmesidir.

- 30. Lineer sürtünme ile bir beyzbol topuna vurma** Örnek 4'teki beyzbol topu problemini lineer sürtünme ile göz önüne alın (Alıştırma 29'a bakın). Rüzgar olmadığını ve  $k = 0.12$  sürtünme katsayısını kabul edin.

- Alıştırma 29'dan, beyzbol topunun yolu için bir vektör formu bulun.
- Top ne kadar yükselir? Maksimum yüksekliğine ne zaman ulaşır?
- Beyzbol topunun menzilini ve uçuş süresini bulun.
- Top, ne zaman 30 ft yüksekliktedir? Bu yükseklikteken başlangıç levhasından ne kadar uzaktadır (yatay uzaklık)?
- Uçuş yolu üzerinde, başlangıç levhasından 340 ft ileride, 10 ft yüksekliğinde bir duvar bulunmaktadır. Bir savunmacı, sırayarak yerden 11 ft yüksekliğe kadar herhangi bir topu yakalayıp duvarı aşmasını engelleyebilmektedir. Vurucu, sayı vuruşu yapmış mıdır?

- 31. Lineer sürtünme ile rüzgar altındaki bir beyzbol topuna vurma** Yine Örnek 4'teki beyzbol topu problemini ele alın. Bu defa 0.08'lik bir sürtünme katsayısını ve topa vurulduğu anda, topun ilk hızına  $-17.6\mathbf{i}$  (ft/s) bileşenini ekleyen anı bir rüzgarı göz önüne alın.

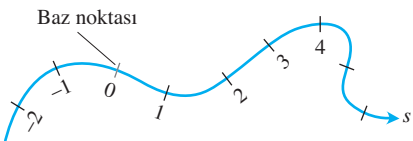
- Beyzbol topunun yolu için bir vektörel denklem bulun.
- Top ne kadar yükselir? Maksimum yüksekliğine ne zaman ulaşır?
- Beyzbol topunun menzilini ve uçuş süresini bulun.
- Top, ne zaman 32 ft yüksekliktedir? Bu yükseklikteken başlangıç levhasından ne kadar uzaktadır (yatay uzaklık)?
- Uçuş yolu üzerinde, başlangıç levhasından 380 ft ileride, 20 ft yüksekliğinde bir duvar bulunmaktadır. Vurucu, sayı vuruşu yapmış mıdır? "Evet" ise, topun ilk hızının yatay bileşenindeki hangi değişiklik topu saha içinde tutacaktır? "Hayır" ise, hangi değişiklik sayı vuruşu olmasını sağlayacaktır?

## 13.3

## Yay Uzunluğu ve Birim Teğet Vektör T

Hava içinde veya uzayda, tecrübe sahibi olabileceğiniz gibi, bir yol boyunca yüksek hızlarla yol alan hareketleri hayal edin. Özellikle, solunuza veya sağınıza döndüren hareketleri ve koltuğundan kaldırılmaya veya bastırmaya yönelik yukarı – aşağı hareketleri hayal edin. Atmosferde uçan pilotlar, akrobatic uçuşlardaki dönmelerde ve burulmalarda şüphesiz ki bu tecrübeyi yaşırlar. Çok dar olan dönüşler, çok dik olan inişler veya tırmanışlar veya bunların yüksek ve artan bir hızla birleştirilmesi, bir hava aracının kontrolden çıkışmasına hatta, muhtemelen havada dağılmasına ve yere düşmesine neden olabilir.

Bu ve bundan sonraki iki bölümde, dönüşlerinin keskinliğini ve ileri doğru olan hareketine dik burulmalarını matematiksel olarak tanımlayan, bir eğrinin şeklärini özelliklerini inceleyeceğiz.



**ŞEKİL 13.14** Düzgün eğriler, her noktanın koordinatı daha önce seçilmiş bir baz noktasından itibaren mesafe olmak üzere, sayı doğruları gibi ölçeklendirilebilir.

### Bir Uzay Eğrisi Boyunca Yay Uzunluğu

Düzenin uzay eğrilerinin özelliklerinden biri, ölçülebilir bir uzunlıklarının olmasıdır. Bu, koordinat eksenlerindeki noktaları orijinden olan yönlü uzaklıklarıyla tanımlayabildiğimiz gibi, eğri üzerindeki noktaları verilen bir **baz noktası**'ndan itibaren olan yönlü  $s$  uzaklıklarıyla tanımlayabilmemizi sağlar (Şekil 13.14). Hareket eden bir cismin hızını ve ivmesini tanımlamak için doğal parametre zamandır, fakat bir eğrinin şeklärini incelemek için doğal parametre  $s$ 'dir. Uzay uçuşu analizlerinde iki parametre de karımıza çıkar.

Uzaydaki düzgün bir eğri üzerinde uzaklık ölçmek için, düzlemdeki eğriler için kullandığımız formüle bir  $z$ -terimi ekleriz.

#### TANIM Düzgün Bir Eğrinin Uzunluğu

$t = a$ dan  $t = b$ ye doğru artarken sadece bir kere çizilen düzgün bir  $\mathbf{r}(t) = x(t)\mathbf{i} + y(t)\mathbf{j} + z(t)\mathbf{k}$ ,  $a \leq t \leq b$ , eğrisinin uzunluğu şöyledir:

$$L = \int_a^b \sqrt{\left(\frac{dx}{dt}\right)^2 + \left(\frac{dy}{dt}\right)^2 + \left(\frac{dz}{dt}\right)^2} dt. \quad [1]$$

Düzlemdeki eğriler için olduğu gibi, uzaydaki bir eğrinin uzunluğunu da belirtilen koşulu sağlayan uygun parametrizasyondan buluruz. Yine, ispatı atlayacağız.

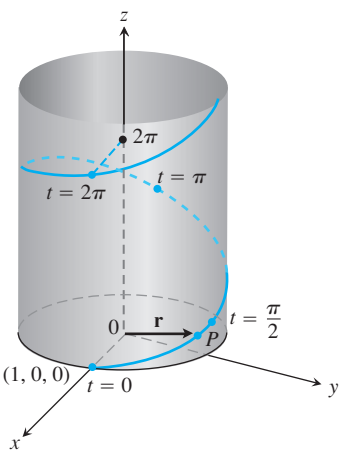
(1) denklemindeki kök hız vektörü  $d\mathbf{r}/dt$ 'nin uzunluğu  $|\mathbf{v}|$ 'dır. Bu, uzunluk formülünü kısa bir şekilde yazmamızı sağlar.

#### Yay Uzunluğu Formülü

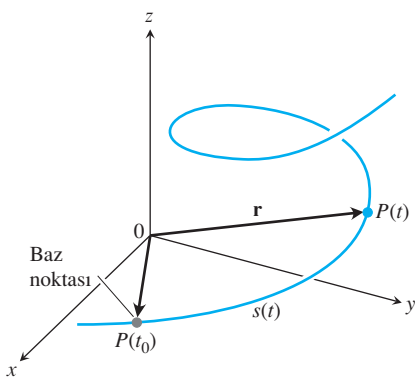
$$L = \int_a^b |\mathbf{v}| dt \quad [2]$$

#### ÖRNEK 1 Bir Planörün Aldığı Yol

Bir planör  $\mathbf{r}(t) = (\cos t)\mathbf{i} + (\sin t)\mathbf{j} + t \mathbf{k}$  helisi yukarı doğru uçmaktadır. Planör, yolu boyunca  $t = 0$ dan  $t = 2\pi \approx 6.28$  s'ye kadar ne kadar mesafe kat eder?



**ŞEKİL 13.15** Örnek 1'deki  $\mathbf{r}(t) = (\cos t)\mathbf{i} + (\sin t)\mathbf{j} + t\mathbf{k}$  helisi.



**ŞEKİL 13.16** Eğri üzerindeki  $P(t_0)$ 'dan herhangi bir  $P(t)$  noktasına olan yönlü uzaklık şöyledir:

$$s(t) = \int_{t_0}^t |\mathbf{v}(\tau)| d\tau.$$

**Cözüm** Bu zaman süresince gidilen yol parçası, helisin tam bir dönüşüne karşı gelir. (Şekil 13.15). Eğrinin bu kısmının uzunluğu

$$\begin{aligned} L &= \int_a^b |\mathbf{v}| dt = \int_0^{2\pi} \sqrt{(-\sin t)^2 + (\cos t)^2 + (1)^2} dt \\ &= \int_0^{2\pi} \sqrt{2} dt = 2\pi\sqrt{2} \text{ birim uzunluk} \end{aligned}$$

olarak bulunur. Bu, helisin üzerinde bulunduğu,  $xy$ -düzlemindeki çemberin uzunluğunun  $\sqrt{2}$  katıdır. ■

$t$  ile parametrize edilen düzgün bir  $C$  eğrisinin üzerinde bir  $P(t_0)$  baz noktası seçersek, her  $t$  değeri  $C$  üzerinde bir  $P(t) = (x(t), y(t), z(t))$  noktası ve  $C$  üzerinde baz noktasından itibaren ölçülen bir “yönlü uzaklık”

$$s(t) = \int_{t_0}^t |\mathbf{v}(\tau)| d\tau,$$

tanımlar (Şekil 13.16).  $t > t_0$  ise,  $s(t)$   $P(t_0)$ 'dan  $P(t)$ 'ye olan uzaklıktır.  $t < t_0$  ise,  $s(t)$  uzaklığın negatifidir. Her  $s$  değeri  $C$  üzerinde bir nokta belirler ve bu da  $C$ 'yi  $s$ 'e göre parametrize eder.  $s$ 'ye eğrinin **yay uzunluğu parametresi** deriz. Parametrenin değeri artan  $t$  yönünde artar. Yay uzunluğu parametresi, bir uzay eğrisinin dönüşlerinde ve burulmalarında özel olarak etkilidir.

$t$  harfi üst sınır olarak kullanıldığından, integrasyon değişkeni olarak  $\tau$  (“tau”) Yunan harfini kullanırız.

### **P( $t_0$ ) Baz Noktası ile Yay Uzunluğu Parametresi**

$$s(t) = \int_{t_0}^t \sqrt{[x'(\tau)]^2 + [y'(\tau)]^2 + [z'(\tau)]^2} d\tau = \int_{t_0}^t |\mathbf{v}(\tau)| d\tau \quad [3]$$

Bir  $\mathbf{r}(t)$  eğrisi bir  $t$  parametresi cinsinden verilmişse ve  $s(t)$ , (3) denklemi ile verilen yay uzunluğu fonksiyonu ise,  $t'$ yi  $s$ 'nin bir fonksiyonu olarak çözübiliriz,  $t = t(s)$ . Bu durumda  $t$  yerine değerini yazarak,  $\mathbf{r} = \mathbf{r}(t(s))$ , eğriyi  $s$  cinsinden parametrize edebiliriz.

### **ÖRNEK 2** Bir Yay Uzunluğu Parametrisasyonu Bulmak

$t_0 = 0$  ise,  $t_0$ 'dan  $t'$ ye kadar

$$\mathbf{r}(t) = (\cos t)\mathbf{i} + (\sin t)\mathbf{j} + t\mathbf{k}$$

helisi boyunca yay uzunluğu parametresi

$$\begin{aligned} s(t) &= \int_{t_0}^t |\mathbf{v}(\tau)| d\tau \quad (3) \text{ Denklemi} \\ &= \int_0^t \sqrt{2} d\tau \quad \text{Örnek 1'deki değer} \\ &= \sqrt{2} t \end{aligned}$$

olur.

Bu eşitlikten  $t$ 'yi çözersek  $t = s/\sqrt{2}$  buluruz. Bu değeri  $\mathbf{r}$ 'nin konum vektöründe yerine yazarsak helis için aşağıdaki yay uzunluğu parametrizasyonunu elde ederiz:

$$\mathbf{r}(t(s)) = \left( \cos \frac{s}{\sqrt{2}} \right) \mathbf{i} + \left( \sin \frac{s}{\sqrt{2}} \right) \mathbf{j} + \frac{s}{\sqrt{2}} \mathbf{k}$$

Örnek 2'nin aksine, başka bir  $t$  parametresi cinsinden verilmiş bir eğri için yay uzunluğu parametrizasyonunu analitik olarak bulmak genellikle zordur. Neyse ki,  $s(t)$  veya tersi  $t(s)$  için tam bir formüle ender olarak ihtiyaç duyuyor.

### ÖRNEK 3 Bir Doğru Boyunca Uzaklık

$\mathbf{u} = u_1 \mathbf{i} + u_2 \mathbf{j} + u_3 \mathbf{k}$  bir birim vektörse,

$$\mathbf{r}(t) = (x_0 + tu_1) \mathbf{i} + (y_0 + tu_2) \mathbf{j} + (z_0 + tu_3) \mathbf{k}$$

doğrusu üzerinde,  $t = 0$  olan  $P_0(x_0, y_0, z_0)$  noktasından olan yönlü uzaklığın  $t$ 'nin kendisi olduğunu gösterin.

#### Çözüm

$$\mathbf{v} = \frac{d}{dt} (x_0 + tu_1) \mathbf{i} + \frac{d}{dt} (y_0 + tu_2) \mathbf{j} + \frac{d}{dt} (z_0 + tu_3) \mathbf{k} = u_1 \mathbf{i} + u_2 \mathbf{j} + u_3 \mathbf{k} = \mathbf{u}$$

olur, dolayısıyla

$$s(t) = \int_0^t |\mathbf{v}| d\tau = \int_0^t |\mathbf{u}| d\tau = \int_0^t 1 d\tau = t$$

bulunur.

#### TARİHSEL BİYOGRAFİ

Josiah Willard Gibbs  
(1839–1903)

#### Düzgün Bir Eğri Üzerinde Sürat

(3) denklemindeki kökün altındaki türevler sürekli olduğu için (eğri düzgündür), Analizin Temel Teoremi  $s$ 'nin  $t$ 'nin türetilebilir bir fonksiyonu olduğunu ve türevinin

$$\frac{ds}{dt} = |\mathbf{v}(t)| \quad (4)$$

olduğunu söyler. Beklediğimiz gibi, parçacığın yolu üzerinde ilerlediği sürat  $\mathbf{v}$ 'nin büyük-lüğüdür.

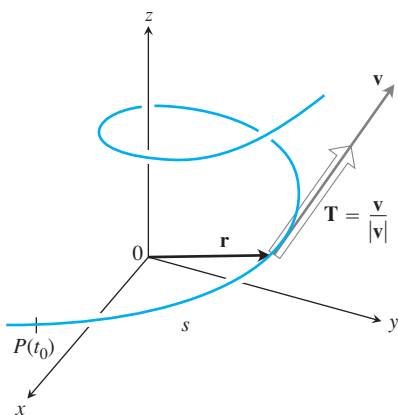
Baz noktası  $P(t_0)$  (3) denkleminde  $s$ 'yi tanımlayıcı bir rol oynarken, (4) denkleminde bir rol oynamadığını dikkat edin. Hareket eden bir parçacığın yolu üzerinde bir mesafe kat ettiği oranın baz noktasının ne kadar uzakta olduğunu bir ilişkisi yoktur.

Ayrıca  $ds/dt > 0$  olduğuna da dikkat edin, çünkü, tanım gereği,  $|\mathbf{v}|$  düzgün bir eğri için asla sıfır olmaz. Bir kere daha  $s$ 'nin  $t$ 'nin artan bir fonksiyonu olduğunu görürüz.

#### Birim Teğet Vektör T

$\mathbf{v} = d\mathbf{r}/dt$  hız vektörünün eğriye teğet olduğunu ve bu nedenle

$$\mathbf{T} = \frac{\mathbf{v}}{|\mathbf{v}|}$$



**ŞEKİL 13.17** Birim teğet vektör  $\mathbf{T}$ 'yi,  $\mathbf{v}$ 'yi  $|\mathbf{v}|$  ile bölgerek buluruz.

vektörünün (düzgün) eğriye teğet olan bir birim vektör olduğunu zaten biliyoruz. Dikkate alduğumuz eğriler için  $ds/dt > 0$  olduğundan,  $s$  bire-birdir ve  $t$ 'yi  $s$ 'nin türetilebilir bir fonksiyonu olarak veren bir tersi vardır (Bölüm 7.1). Tersin türevi

$$\frac{dt}{ds} = \frac{1}{ds/dt} = \frac{1}{|\mathbf{v}|}$$

olarak. Bu da  $\mathbf{r}'$ yi  $s$ 'nin türetilebilir bir fonksiyonu haline sokar. Türevi Zincir Kuralı ile

$$\frac{d\mathbf{r}}{ds} = \frac{d\mathbf{r}}{dt} \frac{dt}{ds} = \mathbf{v} \frac{1}{|\mathbf{v}|} = \frac{\mathbf{v}}{|\mathbf{v}|} = \mathbf{T}$$

olarak hesaplanır. Bu denklem,  $d\mathbf{r}/ds$ 'nin  $\mathbf{v}$  hız vektörü yönünde birim teğet vektör olduğunu söyler (Şekil 13.17).

#### TANIM Birim Teğet Vektör

Düzgün bir  $\mathbf{r}(t)$  eğrisinin **birim teğet vektörü**

$$\mathbf{T} = \frac{d\mathbf{r}}{ds} = \frac{d\mathbf{r}/dt}{ds/dt} = \frac{\mathbf{v}}{|\mathbf{v}|} \quad [5]$$

dir.

$\mathbf{v}$   $t$ 'nin türetilebilir bir fonksiyonu olduğu sürece, birim teğet vektör  $\mathbf{T}$  de  $t$ 'nin türetilebilir bir fonksiyonudur. Bölüm 13.5'te göreceğimiz gibi,  $\mathbf{T}$  uzay araçlarının ve üç boyutta hareket eden diğer cisimlerin hareketini tanımlamakta kullanılan bir referans çerçevesinin üç birim vektöründen biridir.

#### ÖRNEK 4 Birim Teğet Vektör $\mathbf{T}$ yi Bulmak

Bölüm 13.1, Örnek 4'teki planörün yolunu temsil eden

$$\mathbf{r}(t) = (3 \cos t)\mathbf{i} + (3 \sin t)\mathbf{j} + t^2\mathbf{k}$$

eğrisinin birim teğet vektörünü bulun.

**Çözüm** O örnekte

$$\mathbf{v} = \frac{d\mathbf{r}}{dt} = -(3 \sin t)\mathbf{i} + (3 \cos t)\mathbf{j} + 2t\mathbf{k}$$

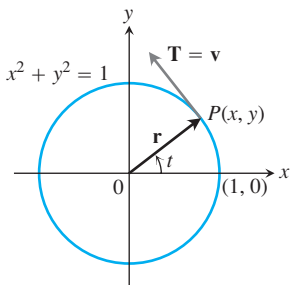
ve

$$|\mathbf{v}| = \sqrt{9 + 4t^2}$$

bulduk. Böylece,

$$\mathbf{T} = \frac{\mathbf{v}}{|\mathbf{v}|} = -\frac{3 \sin t}{\sqrt{9 + 4t^2}}\mathbf{i} + \frac{3 \cos t}{\sqrt{9 + 4t^2}}\mathbf{j} + \frac{2t}{\sqrt{9 + 4t^2}}\mathbf{k}$$

bulunur. ■



**SEKİL 13.18**  $\mathbf{r}(t) = (\cos t)\mathbf{i} + (\sin t)\mathbf{j}$  hareketi (Örnek 5).

### ÖRNEK 5 Birim Çember Üzerinde Hareket

Birim çember etrafında, saat yönünün tersine

$$\mathbf{r}(t) = (\cos t)\mathbf{i} + (\sin t)\mathbf{j}$$

hareketi için

$$\mathbf{v} = (-\sin t)\mathbf{i} + (\cos t)\mathbf{j}$$

zaten bir birim vektördür, dolayısıyla  $\mathbf{T} = \mathbf{v}$  olur (Şekil 13.18). ■

## ALIŞTIRMALAR 13.3

### Birim Teğet Vektörleri ve Eğri

#### Uzunlukları Bulmak

1–8 alıştırmalarında, eğrinin birim teğet vektörünü bulun. Ayrıca, eğrinin belirtilen parçasının uzunluğunu da bulun.

1.  $\mathbf{r}(t) = (2 \cos t)\mathbf{i} + (2 \sin t)\mathbf{j} + \sqrt{5t}\mathbf{k}, \quad 0 \leq t \leq \pi$
2.  $\mathbf{r}(t) = (6 \sin 2t)\mathbf{i} + (6 \cos 2t)\mathbf{j} + 5t\mathbf{k}, \quad 0 \leq t \leq \pi$
3.  $\mathbf{r}(t) = t\mathbf{i} + (2/3)t^{3/2}\mathbf{k}, \quad 0 \leq t \leq 8$
4.  $\mathbf{r}(t) = (2 + t)\mathbf{i} - (t + 1)\mathbf{j} + t\mathbf{k}, \quad 0 \leq t \leq 3$
5.  $\mathbf{r}(t) = (\cos^3 t)\mathbf{j} + (\sin^3 t)\mathbf{k}, \quad 0 \leq t \leq \pi/2$
6.  $\mathbf{r}(t) = 6t^3\mathbf{i} - 2t^3\mathbf{j} - 3t^3\mathbf{k}, \quad 1 \leq t \leq 2$
7.  $\mathbf{r}(t) = (t \cos t)\mathbf{i} + (t \sin t)\mathbf{j} + (2\sqrt{2}/3)t^{3/2}\mathbf{k}, \quad 0 \leq t \leq \pi$
8.  $\mathbf{r}(t) = (t \sin t + \cos t)\mathbf{i} + (t \cos t - \sin t)\mathbf{j}, \quad \sqrt{2} \leq t \leq 2$
9.  $\mathbf{r}(t) = (5 \sin t)\mathbf{i} + (5 \cos t)\mathbf{j} + 12t\mathbf{k}$

eğrisi üzerinde, artan yay uzunluğu yönünde orijinden  $26\pi$  birim uzaklıktaki noktayı bulun.

10.

$$\mathbf{r}(t) = (12 \sin t)\mathbf{i} - (12 \cos t)\mathbf{j} + 5t\mathbf{k}$$

eğrisi üzerinde, artan yay uzunluğu yönünün tersine orijinden  $13\pi$  birim uzaklıktaki noktayı bulun.

### Yay Uzunluğu Parametresi

11–14 alıştırmalarında, (3) denklemindeki

$$s = \int_0^t |\mathbf{v}(\tau)| d\tau$$

integralini  $t = 0$  olan noktadan itibaren hesaplayarak, eğri boyunca yay uzunluğu parametresini bulun. Sonra eğrinin belirtilen kısmının uzunluğunu bulun.

11.  $\mathbf{r}(t) = (4 \cos t)\mathbf{i} + (4 \sin t)\mathbf{j} + 3t\mathbf{k}, \quad 0 \leq t \leq \pi/2$

12.  $\mathbf{r}(t) = (\cos t + t \sin t)\mathbf{i} + (\sin t - t \cos t)\mathbf{j}, \quad \pi/2 \leq t \leq \pi$

13.  $\mathbf{r}(t) = (e^t \cos t)\mathbf{i} + (e^t \sin t)\mathbf{j} + e^t\mathbf{k}, \quad -\ln 4 \leq t \leq 0$

14.  $\mathbf{r}(t) = (1 + 2t)\mathbf{i} + (1 + 3t)\mathbf{j} + (6 - 6t)\mathbf{k}, \quad -1 \leq t \leq 0$

### Teori ve Örnekler

#### 15. Yay uzunluğu

$$\mathbf{r}(t) = (\sqrt{2}t)\mathbf{i} + (\sqrt{2}t)\mathbf{j} + (1 - t^2)\mathbf{k}$$

eğrisinin  $(0, 0, 1)$ ’den  $(\sqrt{2}, \sqrt{2}, 0)$  ’a kadar uzunluğunu bulun

16. **Helisin Uzunluğu** Örnek 1’deki helisin bir dönüşünün uzunluğu  $2\pi\sqrt{2}$ , ayrıca bir kenarı  $2\pi$  olan bir karenin köşegeninin uzunluğuudur. Helisin etrafına sarıldığı silindirin bir kısmını kesip düzleştirek bu karenin nasıl elde edileceğini gösterin.

#### 17. Elips

a. Bir dik silindir ile bir düzlemin kesimi eğrisi olduğunu göstererek  $\mathbf{r}(t) = (\cos t)\mathbf{i} + (\sin t)\mathbf{j} + (1 - \cos t)\mathbf{k}, 0 \leq t \leq 2\pi$ , eğrisinin bir elips olduğunu gösterin. Silindir ve düzlemin denklemlerini bulun.

b. Silindir üzerinde elipsi çizin. Çiziminize  $t = 0, \pi/2, \pi$  ve  $3\pi/2$ ’deki birim teğet vektörleri de ekleyin.

c. İvme vektörünün her zaman düzleme paralel (düzleme normal bir vektöre ortogonal) olacağını gösterin. Yani, ivmeyi elipse eklenmiş bir vektör olarak çizerseniz, elipsin düzleminde olacaktır. Çiziminize  $t = 0, \pi/2$  ve  $3\pi/2$ ’deki ivme vektörlerini ekleyin.

d. Elipsin uzunluğu için bir integral yazın. İntegrali hesaplamaya çalışmayın; elementer değildir.

e. **Sayısal integral hesaplayıcı** Elipsin uzunluğunu iki ondalık basamak hassasılıkla hesaplayın.

18. **Uzunluk parametrizasyondan bağımsızdır** Uzaydaki düzgün bir eğrinin uzunluğunun, hesaplamak için kullandığımız

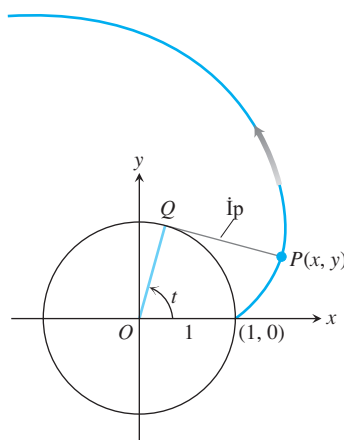
parametrizasyondan bağımsız olduğunu göstermek için, Örnek 1'deki helisin bir dönüşünün uzunluğunu aşağıdaki parametrizasyonlarla hesaplayın.

- $\mathbf{r}(t) = (\cos 4t)\mathbf{i} + (\sin 4t)\mathbf{j} + 4t\mathbf{k}$ ,  $0 \leq t \leq \pi/2$
- $\mathbf{r}(t) = [\cos(t/2)]\mathbf{i} + [\sin(t/2)]\mathbf{j} + (t/2)\mathbf{k}$ ,  $0 \leq t \leq 4\pi$
- $\mathbf{r}(t) = (\cos t)\mathbf{i} - (\sin t)\mathbf{j} - t\mathbf{k}$ ,  $-2\pi \leq t \leq 0$

- 19. Bir çemberin involutu** Bir çemberde dolanmış bir ip, çember düzleminde gergin tutularak çözülürse, ipin ucu,  $P$ , çemberin bir involutunu çizer. Şekle göre, sorudaki çember  $x^2 + y^2 = 1$  birim çemberidir ve çizim noktası  $(1, 0)$ 'dan başlar. İpin çözülmüş kısmı  $Q$  noktasında çembere tegettir ve pozitif  $x$ -ekseninden  $OQ$  doğru parçasına olan açının radyan ölçüsü  $t$  dir. İnvolut için  $P(x, y)$  noktasının

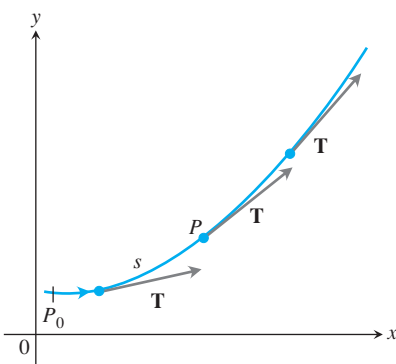
$$x = \cos t + t \sin t, \quad y = \sin t - t \cos t, \quad t > 0$$

parametrik denklemlerini elde edin.



- 20. (Alıştırma 19'un devamı)** Çemberin involutunun  $P(x, y)$  noktasındaki birim teget vektörünü bulun.

## 13.4 Eğrilik ve Birim Normal Vektör N



**ŞEKİL 13.19**  $P$  artan yay uzunluğu yönünde eğri boyunca ilerlerken, birim teget vektör döner.  $d\mathbf{T}/ds$ 'nin  $P$ 'deki değerine eğrinin  $P$ 'deki eğriligi denir.

Bu bölümde bir eğrinin nasıl döndüğünü ve eğildiğini inceleyeceğiz. Önce koordinat düzlemlerindeki eğrilere, sonra uzaydaki eğrilere bakacağımız.

### Düzlemsel Bir Eğrinin Eğriligi

Bir parçacık düzgün bir düzlemsel eğri boyunca ilerlerken, eğri eğildikçe  $\mathbf{T} = d\mathbf{r}/ds$  döner.  $\mathbf{T}$  bir birim vektör olduğundan, parçacık eğri boyunca ilerlerken, uzunluğu sabit kalır ve sadece yönü değişir.  $\mathbf{T}$ 'nin eğri boyunca birim uzunluktaki dönüş oranına eğrilik denir (Şekil 13.19). Eğrilik fonksiyonunun alışılmış sembolü Yunan harfi  $\kappa$  ("kappa")dır.

#### TANIM Eğrilik

$\mathbf{T}$ , düzgün bir eğrinin birim teget vektörüse, eğrinin **eğrilik** fonksiyonu

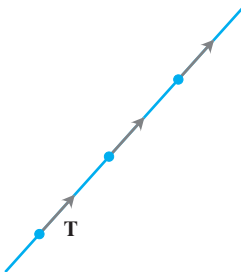
$$\kappa = \left| \frac{d\mathbf{T}}{ds} \right|$$

olur.

$|d\mathbf{T}/ds|$  büyükse, parçacık  $P$ 'den geçerken  $\mathbf{T}$  keskin bir şekilde döner ve  $P$ 'deki eğrilik büyütür.  $|d\mathbf{T}/ds|$  sıfır yakınsa,  $\mathbf{T}$  daha yavaş döner ve  $P$ 'deki eğrilik daha küçüktür.

Düzgün bir  $\mathbf{r}(t)$  eğrisi,  $s$  yay uzunluğu parametresinden farklı bir  $t$  parametresi cinsinden verilmişse, eğriligi aşağıdaki gibi hesaplayabiliriz.

$$\begin{aligned} \kappa &= \left| \frac{d\mathbf{T}}{ds} \right| = \left| \frac{d\mathbf{T}}{dt} \frac{dt}{ds} \right| && \text{Zincir Kuralı} \\ &= \frac{1}{|ds/dt|} \left| \frac{d\mathbf{T}}{dt} \right| \\ &= \frac{1}{|\mathbf{v}|} \left| \frac{d\mathbf{T}}{dt} \right|. && \frac{ds}{dt} = |\mathbf{v}| \end{aligned}$$



**ŞEKİL 13.20** Bir doğru boyunca,  $\mathbf{T}$  daima aynı yönü gösterir. Eğrilik,  $|d\mathbf{T}/ds|$ , sıfırdır (Örnek 1).

### Eğriliği Hesaplama Formülü

$\mathbf{r}(t)$  düzgün bir eğri ise,  $\mathbf{T} = \mathbf{v}/|\mathbf{v}|$  teğet bitim vektör olmak üzere, eğrilik

$$\kappa = \frac{1}{|\mathbf{v}|} \left| \frac{d\mathbf{T}}{dt} \right| \quad (1)$$

olur.

Tanımı test ederken, Örnek 1 ve 2'de, doğrular ve çemberler için eğriliğin sabit olduğunu görürüz.

**ÖRNEK 1** Bir doğrunun eğriliği sıfırdır

Bir doğru üzerinde, birim teğet vektör  $\mathbf{T}$  her zaman aynı yönü gösterir, dolayısıyla bileşenleri sabittir. Buradan,  $|d\mathbf{T}/ds| = |\mathbf{0}| = 0$  olur (Şekil 13.20). ■

**ÖRNEK 2** Yarıçapı  $a$  Olan Bir Çemberin Eğriliği  $1/a$ 'dır

Nedenini anlamak için,  $a$  yarıçaplı bir çemberin

$$\mathbf{r}(t) = (a \cos t)\mathbf{i} + (a \sin t)\mathbf{j}$$

parametrisasyonu ile başlayız. Sonra,

$$\mathbf{v} = \frac{d\mathbf{r}}{dt} = -(a \sin t)\mathbf{i} + (a \cos t)\mathbf{j}$$

$$|\mathbf{v}| = \sqrt{(-a \sin t)^2 + (a \cos t)^2} = \sqrt{a^2} = |a| = a$$

$a > 0$  olduğundan  
 $|a| = a$ .

buluruz. Buradan,

$$\mathbf{T} = \frac{\mathbf{v}}{|\mathbf{v}|} = -(\sin t)\mathbf{i} + (\cos t)\mathbf{j}$$

$$\frac{d\mathbf{T}}{dt} = -(\cos t)\mathbf{i} - (\sin t)\mathbf{j}$$

$$\left| \frac{d\mathbf{T}}{dt} \right| = \sqrt{\cos^2 t + \sin^2 t} = 1$$

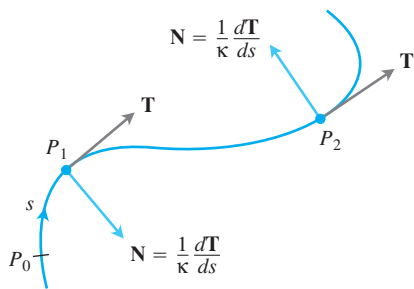
bulunur. Dolayısıyla,  $t$  parametresinin herhangi bir değeri için,

$$\kappa = \frac{1}{|\mathbf{v}|} \left| \frac{d\mathbf{T}}{dt} \right| = \frac{1}{a} (1) = \frac{1}{a}$$

elde ederiz. ■

(1) denklemindeki,  $\kappa$ 'yı hesaplama formülü uzay eğrileri için de geçerli olmasına rağmen, gelecek bölümde, uygulaması genellikle daha uygun olan bir hesaplama formülü bulacağız.

Birim teğet vektör  $\mathbf{T}$ 'ye ortogonal vektörler arasında bir tanesinin özel bir önemi vardır çünkü eğrinin döndüğü yönü gösterir.  $\mathbf{T}$ 'nin uzunluğu sabit (değeri 1) olduğundan  $d\mathbf{T}/ds$  türevi  $\mathbf{T}$ 'ye ortogonalıdır (Bölüm 13.1). Bu nedenle,  $d\mathbf{T}/ds$ 'yi kendi uzunluğu olan  $\kappa$ 'ya bölersek,  $\mathbf{T}$ 'ye ortogonal bir  $\mathbf{N}$  birim vektörü elde ederiz (Şekil 13.21).



**SEKİL 13.21** Eğriye normal olan  $d\mathbf{T}/ds$  vektörü daima  $\mathbf{T}$ 'nin döndüğü yönü işaret eder.  $\mathbf{N}$  birim normal vektörü  $d\mathbf{T}/ds$ 'nın yönündür.

### TANIM Asal Birim Normal

$\kappa \neq 0$  olan bir noktada, düzlemsel bir eğrinin **asal birim normal** vektörü şu şekilde verilir:

$$\mathbf{N} = \frac{1}{\kappa} \frac{d\mathbf{T}}{ds}.$$

$d\mathbf{T}/ds$  vektörü, eğri büküldükçe  $\mathbf{T}$ 'nin döndüğü yönü işaret eder. Dolayısıyla, artan yay uzunluğu yönüne bakarsak,  $d\mathbf{T}/ds$  vektörü,  $\mathbf{T}$  saat yönünde dönüyorrsa sağa, saat yönünün tersine dönüyorsa sola işaret eder. Başka bir deyişle, asal birim normal vektör  $\mathbf{N}$  eğrinin konkav tarafını işaret edecektir (Şekil 13.21).

Düzgün bir  $\mathbf{r}(t)$  eğrisi,  $s$  yay uzunluğu parametresinden farklı bir  $t$  parametresi cinsinden verilmişse,  $\mathbf{N}$ 'yi doğrudan hesaplamak için Zincir Kuralını kullanabiliriz:

$$\begin{aligned}\mathbf{N} &= \frac{d\mathbf{T}/ds}{|d\mathbf{T}/ds|} \\ &= \frac{(d\mathbf{T}/dt)(dt/ds)}{|d\mathbf{T}/dt||dt/ds|} \\ &= \frac{d\mathbf{T}/dt}{|d\mathbf{T}/dt|}. \quad \frac{dt}{ds} = \frac{1}{ds/dt} > 0 \text{ sadeler}\end{aligned}$$

Bu formül önce  $\kappa$  ve  $s$ 'yi bulmak zorunda kalmadan  $\mathbf{N}$ 'yi bulmamızı sağlar.

### N'yi Hesaplama Formülü

$\mathbf{r}(t)$  düzgün bir eğri ise,  $\mathbf{T} = \mathbf{v}/|\mathbf{v}|$  teget birim vektör olmak üzere, asal birim normal

$$\mathbf{N} = \frac{d\mathbf{T}/dt}{|d\mathbf{T}/dt|}, \quad [2]$$

olur.

### ÖRNEK 3 $\mathbf{T}$ ve $\mathbf{N}$ Bulmak

Aşağıdaki dairesel hareket için  $\mathbf{T}$  ve  $\mathbf{N}$ 'yi bulun.

$$\mathbf{r}(t) = (\cos 2t)\mathbf{i} + (\sin 2t)\mathbf{j}.$$

**Çözüm** Önce  $\mathbf{T}$ 'yi buluruz.

$$\mathbf{v} = -(2 \sin 2t)\mathbf{i} + (2 \cos 2t)\mathbf{j}$$

$$|\mathbf{v}| = \sqrt{4 \sin^2 2t + 4 \cos^2 2t} = 2$$

$$\mathbf{T} = \frac{\mathbf{v}}{|\mathbf{v}|} = -(\sin 2t)\mathbf{i} + (\cos 2t)\mathbf{j}.$$

Bundan,

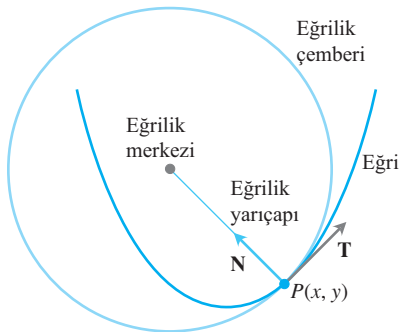
$$\frac{d\mathbf{T}}{dt} = -(2 \cos 2t)\mathbf{i} - (2 \sin 2t)\mathbf{j}$$

$$\left| \frac{d\mathbf{T}}{dt} \right| = \sqrt{4 \cos^2 2t + 4 \sin^2 2t} = 2$$

ve

$$\begin{aligned}\mathbf{N} &= \frac{d\mathbf{T}/dt}{|d\mathbf{T}/dt|} \\ &= -(\cos 2t)\mathbf{i} - (\sin 2t)\mathbf{j} \quad (2) \text{ denklemi}\end{aligned}$$

buluruz.  $\mathbf{T} \cdot \mathbf{N} = 0$ 'a dikkat edin. Bu,  $\mathbf{N}$ 'nin  $\mathbf{T}$ 'ye ortogonal olduğunu gerçekler. Ayrıca, buradaki dairesel hareket için,  $\mathbf{N}$ 'nin  $\mathbf{r}(t)$ 'den çemberin orijindeki merkezini işaret ettiğine de dikkat edin. ■



**ŞEKİL 13.22**  $P(x, y)$ 'de eğriye degen çember eğrinin iç tarafında bulunur.

### Düzlemler İçin Eğrilik Çemberi

Düzlemsel bir eğri üzerinde,  $\kappa \neq 0$  olan bir  $P$  noktasındaki **eğrilik çemberi** veya **değen çember** eğrinin düzleminde bulunan ve aşağıdaki koşulları sağlayan çemberdir:

1. Eğriye  $P$ 'de tegettir (teğeti eğrininkiyle aynıdır);
2.  $P$ 'deki eğriligi eğrininkiyle aynıdır; ve
3. Eğrinin konkav veya iç tarafında bulunur (Şekil 13.22).

Eğrinin  $P$ 'deki **eğrilik yarıçapı** eğrilik çemberinin yarıçapıdır ve Örnek 2'ye göre

$$\text{Eğrinin yarıçapı} = \rho = \frac{1}{\kappa}$$

ile verilir.  $\rho$ 'yu bulmak için,  $\kappa$ 'yı bulur ve çarpmağa göre tersini alırız. Eğrinin  $P$ 'deki **eğrilik merkezi** eğrilik çemberinin merkezidir.

#### ÖRNEK 4 Bir Parabolün Eğrilik Çemberini Bulmak

$y = x^2$  parabolünün orijindeki eğrilik çemberini bulun ve çizin.

**Cözüm** Parabolü,  $t = x$  parametresi ile parametreleriz (Bölüm 10.4, Örnek 1):

$$\mathbf{r}(t) = t\mathbf{i} + t^2\mathbf{j}.$$

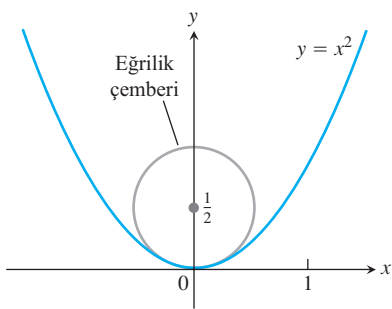
Önce, (1) denklemi kullanarak, parabolün orijindeki eğriliğini buluruz:

$$\mathbf{v} = \frac{d\mathbf{r}}{dt} = \mathbf{i} + 2t\mathbf{j}$$

$$|\mathbf{v}| = \sqrt{1 + 4t^2}$$

ve dolayısıyla

$$\mathbf{T} = \frac{\mathbf{v}}{|\mathbf{v}|} = (1 + 4t^2)^{-1/2}\mathbf{i} + 2t(1 + 4t^2)^{-1/2}\mathbf{j}.$$



**SEKİL 13.23**  $y = x^2$  parabolünün orijindeki eğrilik çemberi (Örnek 4).

Buradan,

$$\frac{d\mathbf{T}}{dt} = -4t(1 + 4t^2)^{-3/2}\mathbf{i} + [2(1 + 4t^2)^{-1/2} - 8t^2(1 + 4t^2)^{-3/2}]\mathbf{j}$$

buluruz. Orijinde  $t = 0$  dır, dolayısıyla eğrilik

$$\begin{aligned}\kappa(0) &= \frac{1}{|\mathbf{v}(0)|} \left| \frac{d\mathbf{T}}{dt}(0) \right| && \text{(1) Denklemi} \\ &= \frac{1}{\sqrt{1}} |0\mathbf{i} + 2\mathbf{j}| \\ &= (1)\sqrt{0^2 + 2^2} = 2\end{aligned}$$

olur. Bundan dolayı eğrilik yarıçapı  $1/\kappa = 1/2$  ve çemberin merkezi  $(0, 1/2)$  dir (Şekil 13.23'e bakın). Eğrilik çemberinin denklemi

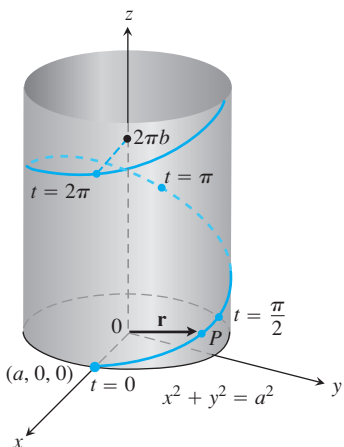
$$(x - 0)^2 + \left(y - \frac{1}{2}\right)^2 = \left(\frac{1}{2}\right)^2$$

veya

$$x^2 + \left(y - \frac{1}{2}\right)^2 = \frac{1}{4}$$

tür.

Şekil 13.23'ten, eğrilik çemberinin, parabolün orijindeki  $y = 0$  teğet yaklaşımından daha iyi bir yaklaşımı olduğunu görebilirsiniz. ■



**SEKİL 13.24**

$a$  ve  $b$  pozitif ve  $t \geq 0$  için çizilmiş

$\mathbf{r}(t) = (a \cos t)\mathbf{i} + (a \sin t)\mathbf{j} + bt\mathbf{k}$  helisi (Örnek 5).

### Uzay Eğrileri İçin Eğrilik ve Normal Vektörler

Uzayda bir düzgün eğri, bir  $t$  parametresinin fonksiyonu olarak  $\mathbf{r}(t)$  konum vektörü ile belirlenmişse ve  $s$  eğrinin yay uzunluğu parametresi ise  $\mathbf{T}$  birim teğet vektörü  $d\mathbf{r}/ds = \mathbf{v}/|\mathbf{v}|$  dir. Bu durumda uzaydaki eğrilik, düzlem eğriler için olduğu gibi

$$\kappa = \left| \frac{d\mathbf{T}}{ds} \right| = \frac{1}{|\mathbf{v}|} \left| \frac{d\mathbf{T}}{dt} \right| \quad (3)$$

ile tanımlanır.  $d\mathbf{T}/ds$  vektörü  $\mathbf{T}'$ ye ortogonaldır ve

$$\mathbf{N} = \frac{1}{\kappa} \frac{d\mathbf{T}}{ds} = \frac{d\mathbf{T}/dt}{|d\mathbf{T}/dt|} \quad (4)$$

vektörünü **asal birim normal** olarak tanımlarız.

### ÖRNEK 5 Eğrilik Bulmak

Aşağıdaki helisin (Şekil 13.24) eğrilğini bulun.

$$\mathbf{r}(t) = (a \cos t)\mathbf{i} + (a \sin t)\mathbf{j} + bt\mathbf{k}, \quad a, b \geq 0, \quad a^2 + b^2 \neq 0$$

**Çözüm** Hız vektörü  $\mathbf{v}$ 'den  $\mathbf{T}$ 'yi hesaplarız:

$$\mathbf{v} = -(a \sin t)\mathbf{i} + (a \cos t)\mathbf{j} + b\mathbf{k}$$

$$|\mathbf{v}| = \sqrt{a^2 \sin^2 t + a^2 \cos^2 t + b^2} = \sqrt{a^2 + b^2}$$

$$\mathbf{T} = \frac{\mathbf{v}}{|\mathbf{v}|} = \frac{1}{\sqrt{a^2 + b^2}} [-(a \sin t)\mathbf{i} + (a \cos t)\mathbf{j} + b\mathbf{k}].$$

Sonra (3) denklemini kullanarak

$$\begin{aligned}\kappa &= \frac{1}{|\mathbf{v}|} \left| \frac{d\mathbf{T}}{dt} \right| \\ &= \frac{1}{\sqrt{a^2 + b^2}} \left| \frac{1}{\sqrt{a^2 + b^2}} [-(a \cos t)\mathbf{i} - (a \sin t)\mathbf{j}] \right| \\ &= \frac{a}{a^2 + b^2} |-(\cos t)\mathbf{i} - (\sin t)\mathbf{j}| \\ &= \frac{a}{a^2 + b^2} \sqrt{(\cos t)^2 + (\sin t)^2} = \frac{a}{a^2 + b^2}\end{aligned}$$

buluruz. Bu eşitlikten, sabit bir  $a$  değeri için  $b$ 'yi artırmadan eğriliği azaltacağını görürüz. Sabit bir  $b$  değeri için  $a$ 'yı artırmak da eğriliği azaltır. Bir yayı germek onu düzleştirir.

$b = 0$  ise, helis  $a$  yarıçaplı bir çembere ve eğriliği de, olması gerektiği gibi,  $1/a$ 'ya indirgenir.  $a = 0$  ise, helis  $z$ -ekseni haline gelir ve eğriliği de, yine olması gerektiği gibi, 0 olur. ■

### ÖRNEK 6 Asal Birim Normal Vektör $\mathbf{N}$ 'yi Bulmak

Örnek 5'teki helis için  $\mathbf{N}$ 'yi bulun.

**Çözüm**

$$\frac{d\mathbf{T}}{dt} = -\frac{1}{\sqrt{a^2 + b^2}} [(a \cos t)\mathbf{i} + (a \sin t)\mathbf{j}]$$

Örnek 5

$$\left| \frac{d\mathbf{T}}{dt} \right| = \frac{1}{\sqrt{a^2 + b^2}} \sqrt{a^2 \cos^2 t + a^2 \sin^2 t} = \frac{a}{\sqrt{a^2 + b^2}}$$

$$\mathbf{N} = \frac{d\mathbf{T}/dt}{|d\mathbf{T}/dt|}$$

(4) Denklemi

$$= -\frac{\sqrt{a^2 + b^2}}{a} \cdot \frac{1}{\sqrt{a^2 + b^2}} [(a \cos t)\mathbf{i} + (a \sin t)\mathbf{j}]$$

$$= -(\cos t)\mathbf{i} - (\sin t)\mathbf{j}$$

buluruz. ■

## ALIŞTIRMALAR 13.4

### Düzlem Eğriler

1–4 alıştırmalarındaki düzlem eğrileri için  $\mathbf{T}$ ,  $\mathbf{N}$  ve  $\kappa$ 'yı bulun.

1.  $\mathbf{r}(t) = t\mathbf{i} + (\ln \cos t)\mathbf{j}, -\pi/2 < t < \pi/2$
2.  $\mathbf{r}(t) = (\ln \sec t)\mathbf{i} + t\mathbf{j}, -\pi/2 < t < \pi/2$
3.  $\mathbf{r}(t) = (2t + 3)\mathbf{i} + (5 - t^2)\mathbf{j}$
4.  $\mathbf{r}(t) = (\cos t + t \sin t)\mathbf{i} + (\sin t - t \cos t)\mathbf{j}, t > 0$

#### 5. Bir fonksiyonun $xy$ -düzlemindeki grafiğinin eğriliği için bir formül.

- a.  $xy$ -düzlemindeki  $y = f(x)$  grafiğinin,  $x = x$ ,  $y = f(x)$  parametrik formasyonu ve  $\mathbf{r}(x) = x\mathbf{i} + f(x)\mathbf{j}$  vektör formülü otomatik olarak vardır. Bu formülü,  $x$ 'in iki kere türetilebilir bir  $f$  fonksiyonu için

$$\kappa(x) = \frac{|f''(x)|}{[1 + (f'(x))^2]^{3/2}}.$$

olduğunu göstermekte kullanın.

- b. (a) şıkkında  $k$  için bulunan formülü kullanarak,  $y = \ln(\cos x)$ ,  $-\pi/2 < t < \pi/2$ , fonksiyonu eğriliğini bulun. Yanınızı Örnek 1'deki yanıtlı karşılaştırın.  
c. Bir büküm noktasında eğriliğin sıfır olduğunu gösterin.

#### 6. Parametrize bir düzlem eğri için eğrilik formülü.

- a. İki kere türetilebilir  $x = f(t)$  ve  $y = g(t)$  fonksiyonlarıyla tanımlanan düzgün bir  $\mathbf{r}(t) = f(t)\mathbf{i} + g(t)\mathbf{j}$  eğrisinin eğriliğinin

$$\kappa = \frac{|\dot{x}\ddot{y} - \dot{y}\ddot{x}|}{(\dot{x}^2 + \dot{y}^2)^{3/2}}.$$

formülüyle verildiğini gösterin.

Formülü aşağıdaki eğrilerin eğriliklerini bulmakta kullanın.

- b.  $\mathbf{r}(t) = t\mathbf{i} + (\ln \sin t)\mathbf{j}, 0 < t < \pi$   
c.  $\mathbf{r}(t) = [\tan^{-1}(\sinh t)]\mathbf{i} + (\ln \cosh t)\mathbf{j}$ .

#### 7. Düzlem eğrilerin normaleri

- a.  $\mathbf{n}(t) = -g'(t)\mathbf{i} + f'(t)\mathbf{j}$  ve  $-\mathbf{n}(t) = g'(t)\mathbf{i} - f'(t)\mathbf{j}$ 'nin ikisinin de  $\mathbf{r}(t) = f(t)\mathbf{i} + g(t)\mathbf{j}$  eğrisine  $(f(t), g(t))$  noktasında normal olduklarını gösterin.

Düzlemdeki belirli bir eğri için  $\mathbf{N}$ 'yi elde etmek amacıyla, (a) şıkkındaki eğrinin konkav tarafını gösteren  $\mathbf{n}$  veya  $-\mathbf{n}$ ' den birini seçip, bunu bir birim vektör yapabiliriz (Şekil 13.21'e bakın). Bu yöntemi,  $\mathbf{N}$ 'yi bulmak için aşağıdaki eğrilere uygulayın.

- b.  $\mathbf{r}(t) = t\mathbf{i} + e^{2t}\mathbf{j}$   
c.  $\mathbf{r}(t) = \sqrt{4 - t^2}\mathbf{i} + t\mathbf{j}, -2 \leq t \leq 2$

#### 8. (Örnek 7'nin devamı.)

- a.  $\mathbf{r}(t) = t\mathbf{i} + (1/3)t^3\mathbf{j}$  eğrisi için  $t < 0$  ve  $t > 0$  iken  $\mathbf{N}$ 'yi bulmak üzere, Örnek 7'deki yöntemi kullanın.

- b. (a) şıkkındaki eğri için

$$\mathbf{N} = \frac{d\mathbf{T}/dt}{|d\mathbf{T}/dt|}, \quad t \neq 0,$$

değerini hesaplayın.  $t = 0$ 'da,  $\mathbf{N}$  bulunabilir mi? Eğriyi çizin ve  $t$  negatiften pozitif değerlere geçerken  $\mathbf{N}'ye$  ne olduğunu açıklayın.

### Uzay Eğrileri

9–16 alıştırmalarındaki eğriler için  $\mathbf{T}$ ,  $\mathbf{N}$  ve  $\kappa$ 'yı bulun.

9.  $\mathbf{r}(t) = (3 \sin t)\mathbf{i} + (3 \cos t)\mathbf{j} + 4t\mathbf{k}$
10.  $\mathbf{r}(t) = (\cos t + t \sin t)\mathbf{i} + (\sin t - t \cos t)\mathbf{j} + 3\mathbf{k}$
11.  $\mathbf{r}(t) = (e^t \cos t)\mathbf{i} + (e^t \sin t)\mathbf{j} + 2\mathbf{k}$
12.  $\mathbf{r}(t) = (6 \sin 2t)\mathbf{i} + (6 \cos 2t)\mathbf{j} + 5t\mathbf{k}$
13.  $\mathbf{r}(t) = (t^3/3)\mathbf{i} + (t^2/2)\mathbf{j}, t > 0$
14.  $\mathbf{r}(t) = (\cos^3 t)\mathbf{i} + (\sin^3 t)\mathbf{j}, 0 < t < \pi/2$
15.  $\mathbf{r}(t) = t\mathbf{i} + (a \cosh(t/a))\mathbf{j}, a > 0$
16.  $\mathbf{r}(t) = (\cosh t)\mathbf{i} - (\sinh t)\mathbf{j} + t\mathbf{k}$

### Eğrilik Üzerine Başka Alıştırmalar

17.  $y = ax^2$ ,  $a \neq 0$ , parabolünün en büyük eğriliğe tepe noktasında sahip olduğunu ve minimum eğriliğinin bulunmadığını gösterin. (Not: Bir eğri ötelendiğinde veya döndürüldüğünde eğriliği aynı kaldığı için, bu sonuç her parabol için geçerlidir.)

18.  $x = a \cos t$ ,  $y = b \sin t$ ,  $a > b > 0$ , elipsinin en büyük eğriliğe büyük ekseni üzerinde, en küçük eğriliğe küçük ekseni üzerinde sahip olduğunu gösterin (Alıştırma 17'de olduğu gibi, aynısı her elips için geçerlidir).

19. Bir helisin eğriliğini maksimize etmek Örnek 5'te,  $\mathbf{r}(t) = (a \cos t)\mathbf{i} + (a \sin t)\mathbf{j} + bt\mathbf{k}$ ,  $(a, b \geq 0)$  helisinin eğriliğini  $\kappa = a/(a^2 + b^2)$  olarak bulmuştur. Verilen bir  $b$  değeri için  $\kappa$ 'nın en büyük değeri nedir? Yanınızı açıklayın.

20. Toplam eğrilik Düzgün bir eğrinin  $s = s_0$ 'dan  $s = s_1 > s_0$ 'a kadar olan kısmının toplam eğriliğini  $\kappa$ 'yı  $s_0$ 'dan  $s_1$ 'e kadar integre ederek buluruz. Eğrinin başka bir parametresi varsa, örneğin  $t$ , toplam eğrilik,  $t_0$  ve  $t_1$  sırası ile  $s_0$  ve  $s_1$ 'e karşılık gelmek üzere,

$$K = \int_{s_0}^{s_1} \kappa \, ds = \int_{t_0}^{t_1} \kappa \frac{ds}{dt} dt = \int_{t_0}^{t_1} \kappa |\mathbf{v}| dt$$

olarak bulunur.

- a.  $\mathbf{r}(t) = (3 \cos t)\mathbf{i} + (3 \sin t)\mathbf{j} + t\mathbf{k}$  helisinin  $0 \leq t \leq \pi/4$  arasındaki kısmının  
b.  $y = x^2$ ,  $-\infty < x < \infty$  parabolünün  
21.  $\mathbf{r}(t) = t\mathbf{i} + (\sin t)\mathbf{j}$  eğrisinin  $(\pi/2, 1)$  noktasındaki eğrilik çemberinin denklemini bulun. (Eğri  $xy$ -düzlemindeki  $y = \sin x$  grafiğini parametrize eder.)

22.  $\mathbf{r}(t) = (2 \ln t)\mathbf{i} - [t + (1/t)]\mathbf{j}$ ,  $e^{-2} \leq t \leq e^2$ , eğrisinin  $t = 1$  için  $(0, -2)$  noktasındaki eğrilik çemberinin denklemi bulun.

### Grafik Araştırmaları

Örnek 5'te türetilen

$$\kappa(x) = \frac{|f''(x)|}{[1 + (f'(x))^2]^{3/2}}$$

Formülü, iki kere türetilen bir  $y = f(x)$  düzlem eğrisinin  $\kappa(x)$  eğrilliğini  $x$ 'in bir fonksiyonu olarak ifade eder. 23–26 alıştırmalarındaki eğrilerin her birinin eğrilik fonksiyonunu bulun. Sonra verilen aralıkta  $f(x)$ 'in grafiğini  $\kappa(x)$ 'in grafiğiyle birlikte çizin. Bazı sürprizlerle karşılaşacaksınız.

23.  $y = x^2$ ,  $-2 \leq x \leq 2$       24.  $y = x^4/4$ ,  $-2 \leq x \leq 2$   
 25.  $y = \sin x$ ,  $0 \leq x \leq 2\pi$     26.  $y = e^x$ ,  $-1 \leq x \leq 2$

### BİLGİSAYAR ARAŞTıRMALARI

#### Eğrilik Çemberleri

27–34 Alıştırmalarında, bir düzlem eğrinin üzerinde  $\kappa \neq 0$  olan bir  $P$  noktasına degen çemberi incelemek için bir BCS kullanacaksınız. Aşağıdaki adımları gerçekleştirmek için bir BCS kullanın.

- a. Eğriyi belirtilen aralıkta verilen parametrik veya fonksiyon formunda çizerek neye benzediğini görün.  
 b. Örnek 5 veya 6'daki formüllerden uygun olanını kullanarak eğrinin verilen  $t_0$  noktasındaki  $\kappa$  eğrilğini bulun. Eğer  $y = f(x)$  fonksiyonu şekilde verilmişse,  $x = t$  ve  $y = f(t)$  parametrizasyonunu kullanın.

- c.  $t_0$ 'daki birim normal vektör  $\mathbf{N}$ 'yi bulun.  $\mathbf{N}$ 'nin bileşenlerinin işaretlerinin, birim teget vektör  $\mathbf{T}$ 'nin  $t = t_0$ 'da saat yönüne mi, yoksa saat yönünün tersine mi döndüğüne bağlı olduğuna dikkat edin. (Alıştırma 7'ye bakın.)

- d. Orijinden, eğrilik çemberinin merkezi  $(a, b)$ 'ye giden vektör  $\mathbf{C} = a\mathbf{i} + b\mathbf{j}$  ise, merkez  $\mathbf{C}$ 'yi

$$\mathbf{C} = \mathbf{r}(t_0) + \frac{1}{\kappa(t_0)} \mathbf{N}(t_0)$$

vektör denkleminden bulun. Eğri üzerindeki  $P(x_0, y_0)$  noktası konum vektörü  $\mathbf{r}(t_0)$  ile verilir.

- e. Değen çemberin denklemi  $(x - a)^2 + (y - b)^2 = 1/\kappa^2$ yi kapalı olarak çizin. Sonra eğrinin grafiğini ve degen çemberi birlikte çizin. Görüntüleme çerçeveyinizin boyutlarını değiştirmek zorunda kalabilirsiniz, ama kare olmasına dikkat edin.

27.  $\mathbf{r}(t) = (3 \cos t)\mathbf{i} + (5 \sin t)\mathbf{j}$ ,  $0 \leq t \leq 2\pi$ ,  $t_0 = \pi/4$

28.  $\mathbf{r}(t) = (\cos^3 t)\mathbf{i} + (\sin^3 t)\mathbf{j}$ ,  $0 \leq t \leq 2\pi$ ,  $t_0 = \pi/4$

29.  $\mathbf{r}(t) = t^2\mathbf{i} + (t^3 - 3t)\mathbf{j}$ ,  $-4 \leq t \leq 4$ ,  $t_0 = 3/5$

30.  $\mathbf{r}(t) = (t^3 - 2t^2 - t)\mathbf{i} + \frac{3t}{\sqrt{1 + t^2}}\mathbf{j}$ ,  $-2 \leq t \leq 5$ ,  $t_0 = 1$

31.  $\mathbf{r}(t) = (2t - \sin t)\mathbf{i} + (2 - 2 \cos t)\mathbf{j}$ ,  $0 \leq t \leq 3\pi$ ,  $t_0 = 3\pi/2$

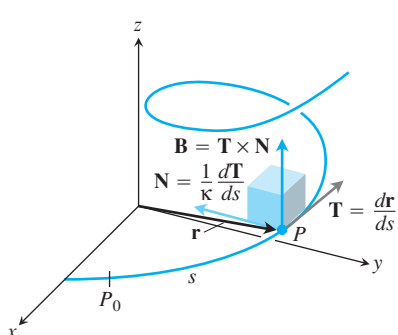
32.  $\mathbf{r}(t) = (e^{-t} \cos t)\mathbf{i} + (e^{-t} \sin t)\mathbf{j}$ ,  $0 \leq t \leq 6\pi$ ,  $t_0 = \pi/4$

33.  $y = x^2 - x$ ,  $-2 \leq x \leq 5$ ,  $x_0 = 1$

34.  $y = x(1 - x)^{2/5}$ ,  $-1 \leq x \leq 2$ ,  $x_0 = 1/2$

## 13.5

### Burulma ve Birim Binormal Vektör B

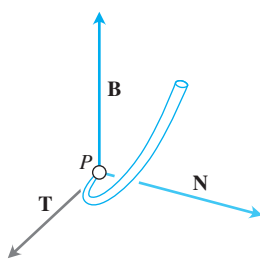


**ŞEKİL 13.25** Uzayda bir eğri boyunca ilerleyen, ikişer ikişer ortogonal birim vektörlerin **TNB** çerçevesi.

Bir uzay eğrisi boyunca ilerliyorsanız, Kartezyen  $\mathbf{i}$ ,  $\mathbf{j}$  ve  $\mathbf{k}$  koordinat sistemi, hareketinizi tanımlayan vektörleri ifade etmek için size karşı cömert değildir. Bunların yerine anlamlı olan vektörler, ileriye doğru hareketinizi (birim teget vektör  $\mathbf{T}$ ), yolunuzun döndüğü yönü (birim normal vektör  $\mathbf{N}$ ) ve bu vektörlerce belirlenen düzlemden bu düzleme dik doğrultuda dışarıya doğru “burulma” eğilimini ( $\mathbf{B} = \mathbf{T} \times \mathbf{N}$  ile tanımlanan **birim binormal vektör**) temsil eden vektörlerdir. İvme vektörünü eğri boyunca, hareket ile birlikte ilerleyen ve ikişer ikişer ortogonal birim vektörlerden oluşan bu **TNB** çerçevesinin (Şekil 13.25) bir lineer kombinasyonu olarak ifade etmek, yolun doğası ve yol boyunca hareket hakkında özel olarak açıklayıcıdır.

#### Torsyon

Uzaydaki bir eğrinin **binormal vektörü**  $\mathbf{B} = \mathbf{T} \times \mathbf{N}$ , hem  $\mathbf{T}$ 'ye hem de  $\mathbf{N}$ 'ye ortogonal bir birim vektördür (Şekil 13.26).  $\mathbf{T}$ ,  $\mathbf{N}$  ve  $\mathbf{B}$  birlikte, uzayda hareket eden parçacıkların uçuş yörüngelerinin hesaplanması sırasında önemli bir rol oynayan, hareketli ve sağ el kuralına uyan bir vektör çerçevesi tanımlarlar.



**ŞEKİL 13.26**  $T$ ,  $N$  ve  $B$  vektörleri (bu sırayla) uzaya ikişer ikişer aralarında ortogonal birim vektörlerden oluşan ve sağ el kuralına uyan bir çerçeve oluştururlar.

Bu çerçeveye **Frenet** (“fre-nay”) çerçevesi (Jean-Frédérix Frenet’nin anısına, 1816-1900) veya **TNB çerçevesi** denir.

$d\mathbf{B}/ds$  vektörü  $\mathbf{T}$ ,  $\mathbf{N}$  ve  $\mathbf{B}$ ’ye göre nasıl davranış? Vektörel çarpımın türev alma kuralından

$$\frac{d\mathbf{B}}{ds} = \frac{d\mathbf{T}}{ds} \times \mathbf{N} + \mathbf{T} \times \frac{d\mathbf{N}}{ds}$$

buluruz.  $\mathbf{N}$ ,  $d\mathbf{T}/ds$ ’nin yönü olduğundan,  $(d\mathbf{T}/ds) \times \mathbf{N} = \mathbf{0}$  olur ve

$$\frac{d\mathbf{B}}{ds} = \mathbf{0} + \mathbf{T} \times \frac{d\mathbf{N}}{ds} = \mathbf{T} \times \frac{d\mathbf{N}}{ds}$$

elde ederiz. Buradan, vektörel bir çarpım çarpanlarına dik olduğu için,  $d\mathbf{B}/ds$ ’nin  $\mathbf{T}$ ’ye ortogonal olduğunu görürüz.

$d\mathbf{B}/ds$  ayrıca  $\mathbf{B}$ ’ye (uzunluğu sabittir) de dik olduğundan,  $d\mathbf{B}/ds$ ’nin  $\mathbf{B}$  ile  $\mathbf{T}$ ’nin düzleme ortogonal olduğu anlaşılır. Başka bir deyişle,  $d\mathbf{B}/ds$   $\mathbf{N}$ ’ye paraleldir, dolayısıyla  $d\mathbf{B}/ds$  vektörü  $\mathbf{N}$ ’nin bir skaler katıdır. Sembolik olarak,

$$\frac{d\mathbf{B}}{ds} = -\tau \mathbf{N}.$$

Bu denklemdeki eksi işaretü gelenekseldir.  $\tau$  skalerine eğri boyunca *burulma* denir.

$$\frac{d\mathbf{B}}{ds} \cdot \mathbf{N} = -\tau \mathbf{N} \cdot \mathbf{N} = -\tau(1) = -\tau$$

ve dolayısıyla

$$\tau = -\frac{d\mathbf{B}}{ds} \cdot \mathbf{N}$$

olduğuna dikkat edin.

#### TANIM Torsyon (Burulma)

$\mathbf{B} = \mathbf{T} \times \mathbf{N}$  olsun. Düzgün bir eğrinin **burulma** fonksiyonu

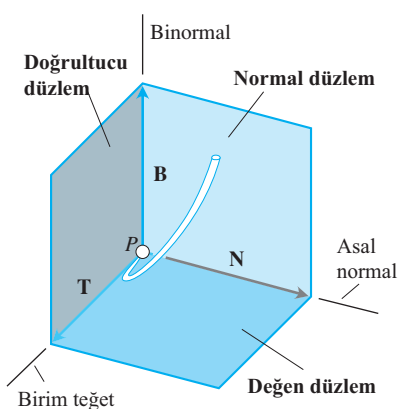
$$\tau = -\frac{d\mathbf{B}}{ds} \cdot \mathbf{N} \quad (1)$$

ile verilir.

Asla negatif olmayan eğrilik  $\kappa$ ’nın aksine, burulma  $\tau$  pozitif, negatif veya sıfır olabilir.

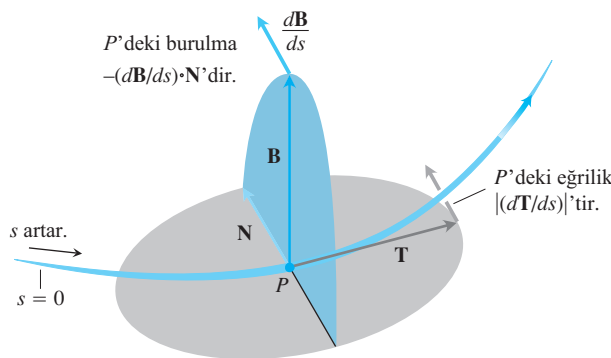
$\mathbf{T}$ ,  $\mathbf{N}$  ve  $\mathbf{B}$  tarafından belirlenen düzlemler Şekil 13.27’de isimlendirilmiş ve gösterilmiştir. Eğrilik  $\kappa = |d\mathbf{T}/ds|$ ,  $P$  noktası eğri boyunca ilerlerken, normal düzlemin dönme oranı olarak düşünülebilir. Benzer şekilde, burulma  $\tau = -(d\mathbf{B}/ds) \cdot \mathbf{N}$  de,  $P$  eğri boyunca ilerlerken, degen düzlemin  $\mathbf{T}$  etrafında dönme oranı olarak düşünülebilir. Burulma, eğrinin nasıl büküldüğünü ölçer.

Eğriyi hareket eden bir cisim yolunu olarak düşünürsek,  $|d\mathbf{T}/ds|$ , cisim eğri boyunca ilerlerken, yolun sola veya sağa ne kadar döndüğünü söyler;  $|d\mathbf{T}/ds|’ye$  cisimin yolunun *eğriligi* denir.  $-(d\mathbf{B}/ds) \cdot \mathbf{N}$  sayısı bir cisim bir yol boyunca ilerlerken yolun



**ŞEKİL 13.27**  $T$ ,  $N$  ve  $B$ ’nin belirlediği üç düzlemin isimleri.

hareket düzleminin dışına ne kadar döndüğünü veya kıvrıldığını söyler; buna da cisim yolunun *burulması* denir. Şekil 13.28'e bakın.  $P$  eğri bir ray üzerinde ilerleyen bir trense, birim mesafede farların bir yandan diğer yana dönüş oranı rayın eğriliğidir. Lokomotifin  $T$  ile  $N$ 'nin oluşturduğu düzlemden dışarı çıkma eğilimi gösterdiği oransız burulmadır.



**ŞEKİL 13.28** Hareket eden her cisim hareket ettiği yolu karakterize eden bir TNB çerçevesi ile ilerler.

### İvmenin Teğet ve Normal Bileşenleri

Bir cisim yerçekimi, frenler, roket motorlarının bir birleşimi veya başka bir şey tarafından ivmelendirilirse, genellikle ivmenin ne kadarının hareket doğrultusunda, yani teğet  $T$  doğrultusunda etkidiğini bilmek isteriz. Bunu, Zincir Kuralını kullanarak  $v$ 'yi

$$\mathbf{v} = \frac{d\mathbf{r}}{dt} = \frac{d\mathbf{r}}{ds} \frac{ds}{dt} = \mathbf{T} \frac{ds}{dt}$$

şeklinde yazıp, bu eşitlikler zincirinin iki tarafının da türevini alarak hesaplayabiliriz:

$$\begin{aligned} \mathbf{a} &= \frac{d\mathbf{v}}{dt} = \frac{d}{dt} \left( \mathbf{T} \frac{ds}{dt} \right) = \frac{d^2s}{dt^2} \mathbf{T} + \frac{ds}{dt} \frac{d\mathbf{T}}{dt} \\ &= \frac{d^2s}{dt^2} \mathbf{T} + \frac{ds}{dt} \left( \frac{d\mathbf{T}}{ds} \frac{ds}{dt} \right) = \frac{d^2s}{dt^2} \mathbf{T} + \frac{ds}{dt} \left( \kappa \mathbf{N} \frac{ds}{dt} \right) \quad \frac{d\mathbf{T}}{ds} = \kappa \mathbf{N} \\ &= \frac{d^2s}{dt^2} \mathbf{T} + \kappa \left( \frac{ds}{dt} \right)^2 \mathbf{N}. \end{aligned}$$

### TANIM İVMENİN TEĞET VE NORMAL BİLEŞENLERİ

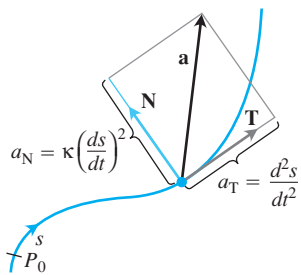
İvme

$$\mathbf{a} = a_T \mathbf{T} + a_N \mathbf{N} \quad [2]$$

şeklinde yazılabılır. Burada

$$a_T = \frac{d^2s}{dt^2} = \frac{d}{dt} |\mathbf{v}| \quad \text{ve} \quad a_N = \kappa \left( \frac{ds}{dt} \right)^2 = \kappa |\mathbf{v}|^2 \quad [3]$$

ivmenin **teğet** ve **normal** skaler bileşenleridir.



**SEKİL 13.29** İvmenin teğet ve normal bileşenleri.  $\mathbf{a}$  ivmesi her zaman  $\mathbf{B}$ 'ye ortogonal olan  $\mathbf{T}$  ile  $\mathbf{N}$ 'nin düzleminde bulunur.

(2) denklemi içinde  $\mathbf{B}$  binormal vektörünün yer almadığını dikkat edin. İzlediğimiz hareketli cismin yolu uzay içinde ne şekilde bükülür ve dönerse dönsün,  $\mathbf{a}$  ivmesi her zaman  $\mathbf{B}$ 'ye dik olan  $\mathbf{T}$  ve  $\mathbf{N}$ 'nin düzleminde bulunur. Denklem ayrıca ivmenin ne kadarının harekete teğet ( $d^2s/dt^2$ ) ve ne kadarının harekete normal [ $\kappa(ds/dt)^2$ ] olduğunu söyler (Şekil 13.29).

(3) denklemelerinden hangi bilgileri edinebiliriz? Tanım olarak,  $\mathbf{a}$  ivmesi  $\mathbf{v}$  hızının değişim oranıdır ve genelde bir parçacık, yolu üzerinde ilerlerken,  $\mathbf{v}$ 'nin hem uzunluğu hem de yönü değişir. İvmenin teğet bileşeni  $a_T$ ,  $\mathbf{v}$ 'nin uzunluğunun değişim oranını (yani, hızdaki değişikliği) ölçer. İvmenin normal bileşeni  $a_N$ ,  $\mathbf{v}$ 'nin yönünün değişim oranını ölçer.

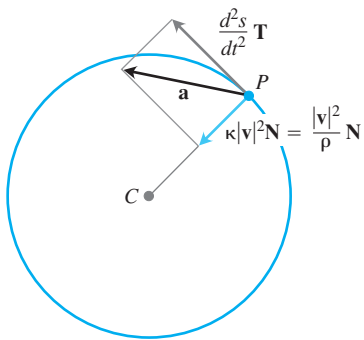
İvmenin normal skaler bileşeninin, eğrilik kere hızın *karesi* olduğuna dikkat edin. Bu, arabanız keskin ( $\kappa$  büyük), yüksek hızlı ( $\|\mathbf{v}\|$  büyük) bir dönüş yaptığında neden tutunmanız gerektiğini açıklar. Arabanızın hızını iki katına çıkarırsanız, aynı eğrilik için ivmenin normal skaler bileşeninin dört katını hissedersiniz.

Eğer bir cisim bir çember üzerinde sabit hızla ilerlerse,  $d^2s/dt^2$  sıfır olur ve ivme'nin tamamı  $\mathbf{N}$  doğrultusunda çemberin merkezini gösterir. Cisim hızlanıyor veya yavaşlıyorsa,  $\mathbf{a}$ 'nın sıfırdan farklı bir teğet bileşeni vardır (Şekil 13.30).

$a_N$ 'yi hesaplamak için, genellikle  $|\mathbf{a}|^2 = \mathbf{a} \cdot \mathbf{a} = a_T^2 + a_N^2$  denkleminden  $a_N$  çözülderek elde edilen  $a_N = \sqrt{|\mathbf{a}|^2 - a_T^2}$ , formülü kullanılır. Bu formülle,  $a_N$ 'yi önce  $\kappa$ 'yı hesaplamak zorunda kalmadan bulabiliyoruz.

### İvmenin Normal Bileşenini Hesaplama Formülü

$$a_N = \sqrt{|\mathbf{a}|^2 - a_T^2} \quad (4)$$



**SEKİL 13.30**  $\rho$  yarıçaplı bir çemberin üzerinde saat yönünün tersine hareket ederken hızlanan bir cismin ivmesinin teğet ve normal bileşenleri.

**ÖRNEK 1** İvmenin  $a_T$  ve  $a_N$  Skaler bileşenlerini Bulmak

T ve N'yi bulmadan,

$$\mathbf{r}(t) = (\cos t + t \sin t)\mathbf{i} + (\sin t - t \cos t)\mathbf{j}, \quad t > 0$$

hareketinin ivmesini  $\mathbf{a} = a_T\mathbf{T} + a_N\mathbf{N}$  şeklinde yazın. (Hareketin izlediği yol, Şekil 13.31'deki çemberin involutudur.)

**Çözüm** (3) denklemelerini kullanarak  $a_T$ 'yi buluyoruz:

$$\mathbf{v} = \frac{d\mathbf{r}}{dt} = (-\sin t + \sin t + t \cos t)\mathbf{i} + (\cos t - \cos t + t \sin t)\mathbf{j}$$

$$= (t \cos t)\mathbf{i} + (t \sin t)\mathbf{j}$$

$$|\mathbf{v}| = \sqrt{t^2 \cos^2 t + t^2 \sin^2 t} = \sqrt{t^2} = |t| = t \quad t > 0$$

$$a_T = \frac{d}{dt} |\mathbf{v}| = \frac{d}{dt} (t) = 1 \quad (3) \text{ Denklemi}$$

$a_T$ 'yi bildiğimize göre, (4) denklemi kullanarak  $a_N$ 'yi bulabiliyoruz:

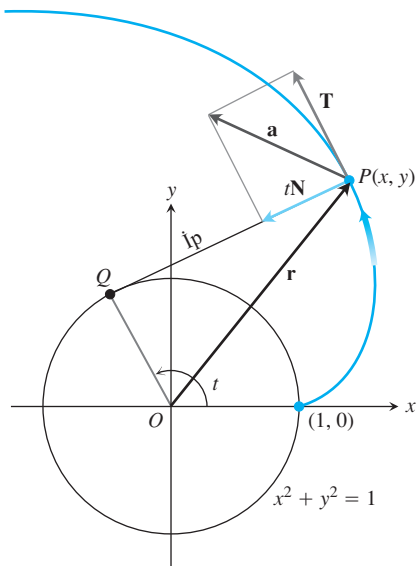
$$\mathbf{a} = (\cos t - t \sin t)\mathbf{i} + (\sin t + t \cos t)\mathbf{j}$$

$$|\mathbf{a}|^2 = t^2 + 1$$

Biraz işlemden sonra

$$a_N = \sqrt{|\mathbf{a}|^2 - a_T^2}$$

$$= \sqrt{(t^2 + 1) - (1)} = \sqrt{t^2} = t$$



**ŞEKİL 13.31**  $\mathbf{r}(t) = (\cos t + t \sin t)\mathbf{i} + (\sin t - t \cos t)\mathbf{j}$  hareketinin ivmesinin  $t > 0$  için teğet ve normal bileşenleri. Sabit bir çemberin etrafına sarılmış bir ip, çemberin düzlemi içinde gergin tutularak çözülürse ip'in  $P$  ucu çemberin bir involutunu çizer (Örnek 1).

Sonra (2) denklemini kullanarak  $\mathbf{a}'$ yi buluruz:

$$\mathbf{a} = a_T \mathbf{T} + a_N \mathbf{N} = (1)\mathbf{T} + (t)\mathbf{N} = \mathbf{T} + t\mathbf{N}$$

### Eğrilik ve Burulmayı Hesaplamak İçin Formüller

Şimdi düzgün bir eğrinin eğriliğini ve burulmasını hesaplamak için kullanımı kolay formüller vereceğiz. (2) denkleminden,

$$\begin{aligned} \mathbf{v} \times \mathbf{a} &= \left( \frac{ds}{dt} \mathbf{T} \right) \times \left[ \frac{d^2 s}{dt^2} \mathbf{T} + \kappa \left( \frac{ds}{dt} \right)^2 \mathbf{N} \right] & \mathbf{v} = \frac{d\mathbf{r}}{dt} = \left( \frac{ds}{dt} \right) \mathbf{T} \\ &= \left( \frac{ds}{dt} \frac{d^2 s}{dt^2} \right) (\mathbf{T} \times \mathbf{T}) + \kappa \left( \frac{ds}{dt} \right)^3 (\mathbf{T} \times \mathbf{N}) \\ &= \kappa \left( \frac{ds}{dt} \right)^3 \mathbf{B}. & \mathbf{T} \times \mathbf{T} = \mathbf{0} \quad \text{ve} \\ & & \mathbf{T} \times \mathbf{N} = \mathbf{B} \end{aligned}$$

buluruz. Buradan

$$|\mathbf{v} \times \mathbf{a}| = \kappa \left| \frac{ds}{dt} \right|^3 |\mathbf{B}| = \kappa |\mathbf{v}|^3 \quad \frac{ds}{dt} = |\mathbf{v}| \quad \text{ve} \quad |\mathbf{B}| = 1$$

olduğu ortaya çıkar. Buradan  $\kappa$ 'yı çözmek aşağıdaki formülü verir.

### Eğrilik İçin Vektör Formülü

$$\kappa = \frac{|\mathbf{v} \times \mathbf{a}|}{|\mathbf{v}|^3} \quad [5]$$

#### Newton'un türevler için nokta gösterimi

(6) denklemindeki noktalar  $t$ 'ye göre türev almayı göstermektedir, her türev için bir nokta vardır. Yani,  $\dot{x}$  ("x nokta")  $dx/dt$ ,  $\ddot{x}$  ("x iki nokta")  $d^2x/dt^2$  ve  $\dddot{x}$  ("x üç nokta")  $d^3x/dt^3$  anlamına gelir. Benzer şekilde,  $\dot{y} = dy/dt$ , vs.

(5) denklemi eğrinin geometrik bir özelliği olan eğriliği,  $|\mathbf{v}|$ 'nin sıfırdan farklı olması koşulu ile eğrinin herhangi bir vektör temsilinin hızından ve ivmesinden hesaplar. Bir an durup, bunun aslında ne kadar önemli olduğunu düşünün: Bir eğri boyunca herhangi bir hareket formülünden eğrinin, hareket ne kadar değişken olursa olsun ( $\mathbf{v}$  sıfır olmadığı sürece), eğrinin nasıl bir yol çizdiği ile hiç ilgisi yokmuş gibi görünen, fiziksel bir özelliğini hesaplayabiliyoruz.

Burulma için genelde kullanılan ve daha ileri kitaplarda türetilen formül şöyledir:

$$\tau = \frac{\begin{vmatrix} \dot{x} & \dot{y} & \dot{z} \\ \ddot{x} & \ddot{y} & \ddot{z} \\ \dddot{x} & \dddot{y} & \dddot{z} \end{vmatrix}}{|\mathbf{v} \times \mathbf{a}|^2} \quad (\mathbf{v} \times \mathbf{a} \neq \mathbf{0} \text{ ise}) \quad [6]$$

Bu formül burulmayı doğrudan,  $\mathbf{r}'$ 'yi oluşturan  $x = f(t)$ ,  $y = g(t)$ ,  $z = h(t)$  bileşen fonksiyonlarının türevlerinden hesaplar. Determinantın birinci satırı  $\mathbf{v}'$ den, ikinci satırı  $\mathbf{a}$ 'dan ve üçüncü satırı da  $\dot{\mathbf{a}} = d\mathbf{a}/dt$ 'den gelir.

### ÖRNEK 2 Eğrilik ve Burulma Bulmak

(5) ve (6) denklemlerini kullanarak,

$$\mathbf{r}(t) = (a \cos t)\mathbf{i} + (a \sin t)\mathbf{j} + bt\mathbf{k}, \quad a, b \geq 0, \quad a^2 + b^2 \neq 0$$

helisi için  $\kappa$  ve  $t'$ yu hesaplayın.

**Çözüm** Eğriliği (50) denkleminden hesaplarız:

$$\mathbf{v} = -(a \sin t)\mathbf{i} + (a \cos t)\mathbf{j} + b\mathbf{k}$$

$$\mathbf{a} = -(a \cos t)\mathbf{i} - (a \sin t)\mathbf{j}$$

$$\mathbf{v} \times \mathbf{a} = \begin{vmatrix} \mathbf{i} & \mathbf{j} & \mathbf{k} \\ -a \sin t & a \cos t & b \\ -a \cos t & -a \sin t & 0 \end{vmatrix}$$

$$= (ab \sin t)\mathbf{i} - (ab \cos t)\mathbf{j} + a^2\mathbf{k}$$

$$\kappa = \frac{|\mathbf{v} \times \mathbf{a}|}{|\mathbf{v}|^3} = \frac{\sqrt{a^2b^2 + a^4}}{(a^2 + b^2)^{3/2}} = \frac{a\sqrt{a^2 + b^2}}{(a^2 + b^2)^{3/2}} = \frac{a}{a^2 + b^2} \quad [7]$$

(7) denkleminin, eğriliği doğrudan tanımından hesapladığımız Bölüm 13.4, Örnek 5'teki sonuçla uyumuğuna dikkat edin.

Burulma için (6) denklemini hesaplarken, determinantın elemanlarını  $\mathbf{r}'$  nin  $t'$ ye göre türevini alarak buluruz. Elimizde zaten  $\mathbf{v}$  ile  $\mathbf{a}$  vardır ve

$$\dot{\mathbf{a}} = \frac{d\mathbf{a}}{dt} = (a \sin t)\mathbf{i} - (a \cos t)\mathbf{j}$$

olarak bulunur. Böylece,

$$\begin{aligned} \tau &= \frac{\begin{vmatrix} \dot{x} & \dot{y} & \dot{z} \\ \ddot{x} & \ddot{y} & \ddot{z} \\ \ddot{x} & \ddot{y} & \ddot{z} \end{vmatrix}}{|\mathbf{v} \times \mathbf{a}|^2} = \frac{\begin{vmatrix} -a \sin t & a \cos t & b \\ -a \cos t & -a \sin t & 0 \\ a \sin t & -a \cos t & 0 \end{vmatrix}}{(a\sqrt{a^2 + b^2})^2} && \text{(7) Denkleminden} \\ &= \frac{b(a^2 \cos^2 t + a^2 \sin^2 t)}{a^2(a^2 + b^2)} && |\mathbf{v} \times \mathbf{a}|'nn \text{ değeri} \\ &= \frac{b}{a^2 + b^2} \end{aligned}$$

elde ederiz.

Bu son denklemden, dik bir silindir etrafındaki bir helisin burulmasının sabit olduğunu görürüz. Aslında, sabit eğrilik ve sabit burulma uzaydaki bütün eğriler arasında helisle ri karakterize eder. ■

### Uzaydaki Eğriler İçin Formüller

Birim teğet vektör:

$$\mathbf{T} = \frac{\mathbf{v}}{|\mathbf{v}|}$$

Asal birim normal vektör:

$$\mathbf{N} = \frac{d\mathbf{T}/dt}{|d\mathbf{T}/dt|}$$

Binormal vektör:

$$\mathbf{B} = \mathbf{T} \times \mathbf{N}$$

Eğrilik:

$$\kappa = \left| \frac{d\mathbf{T}}{ds} \right| = \frac{|\mathbf{v} \times \mathbf{a}|}{|\mathbf{v}|^3}$$

Burulma:

$$\tau = -\frac{d\mathbf{B}}{ds} \cdot \mathbf{N} = \frac{\begin{vmatrix} \dot{x} & \dot{y} & \dot{z} \\ \ddot{x} & \ddot{y} & \ddot{z} \\ \ddot{x} & \ddot{y} & \ddot{z} \end{vmatrix}}{|\mathbf{v} \times \mathbf{a}|^2}$$

İvmenin teğet ve normal skaler bileşenleri:

$$\mathbf{a} = a_T \mathbf{T} + a_N \mathbf{N}$$

$$a_T = \frac{d}{dt} |\mathbf{v}|$$

$$a_N = \kappa |\mathbf{v}|^2 = \sqrt{|\mathbf{a}|^2 - a_T^2}$$

## ALIŞTIRMALAR 13.5

### Burulma ve Binormal Vektör Bulmak

1-8 alıştırmalarındaki eğriler için Bölüm 13.4'te (9-16 alıştırmaları)  $\mathbf{T}$ ,  $\mathbf{N}$  ve  $\kappa$ 'yı buldunuz. Şimdi bu uzay eğrileri için  $\mathbf{B}$  ve  $\tau$ 'yu bulun.

1.  $\mathbf{r}(t) = (3 \sin t)\mathbf{i} + (3 \cos t)\mathbf{j} + 4t\mathbf{k}$

2.  $\mathbf{r}(t) = (\cos t + t \sin t)\mathbf{i} + (\sin t - t \cos t)\mathbf{j} + 3\mathbf{k}$

3.  $\mathbf{r}(t) = (e^t \cos t)\mathbf{i} + (e^t \sin t)\mathbf{j} + 2\mathbf{k}$

4.  $\mathbf{r}(t) = (6 \sin 2t)\mathbf{i} + (6 \cos 2t)\mathbf{j} + 5t\mathbf{k}$

5.  $\mathbf{r}(t) = (t^3/3)\mathbf{i} + (t^2/2)\mathbf{j}, \quad t > 0$

6.  $\mathbf{r}(t) = (\cos^3 t)\mathbf{i} + (\sin^3 t)\mathbf{j}, \quad 0 < t < \pi/2$

7.  $\mathbf{r}(t) = t\mathbf{i} + (a \cosh(t/a))\mathbf{j}, \quad a > 0$

8.  $\mathbf{r}(t) = (\cosh t)\mathbf{i} - (\sinh t)\mathbf{j} + t\mathbf{k}$

### İvmenin Teğet ve Normal Bileşenleri

9 ve 10 alıştırmalarında  $\mathbf{T}$  ve  $\mathbf{N}$ 'yı bulmadan,  $\mathbf{a}$ 'yı  $a_T \mathbf{T} + a_N \mathbf{N}$  şeklinde yazın.

9.  $\mathbf{r}(t) = (a \cos t)\mathbf{i} + (a \sin t)\mathbf{j} + bt\mathbf{k}$

10.  $\mathbf{r}(t) = (1 + 3t)\mathbf{i} + (t - 2)\mathbf{j} - 3t\mathbf{k}$

11-14 alıştırmalarında  $\mathbf{T}$  ve  $\mathbf{N}$ 'yı bulmadan, verilen  $t$  değerinde  $\mathbf{a}$ 'yı  $a_T \mathbf{T} + a_N \mathbf{N}$  formunda yazın.

11.  $\mathbf{r}(t) = (t + 1)\mathbf{i} + 2t\mathbf{j} + t^2\mathbf{k}, \quad t = 1$

12.  $\mathbf{r}(t) = (t \cos t)\mathbf{i} + (t \sin t)\mathbf{j} + t^2\mathbf{k}, \quad t = 0$

13.  $\mathbf{r}(t) = t^2\mathbf{i} + (t + (1/3)t^3)\mathbf{j} + (t - (1/3)t^3)\mathbf{k}, \quad t = 0$

14.  $\mathbf{r}(t) = (e^t \cos t)\mathbf{i} + (e^t \sin t)\mathbf{j} + \sqrt{2}e^t\mathbf{k}, \quad t = 0$

15 ve 16 alıştırmalarında, verilen  $t$  değerinde  $\mathbf{r}$ ,  $\mathbf{T}$ ,  $\mathbf{N}$  ve  $\mathbf{B}$ 'yı bulun. Sonra,  $t$ 'nin bu değerindeki değen, normal ve doğrultucu düzlemlerin denklemlerini bulun.

15.  $\mathbf{r}(t) = (\cos t)\mathbf{i} + (\sin t)\mathbf{j} - \mathbf{k}, \quad t = \pi/4$

16.  $\mathbf{r}(t) = (\cos t)\mathbf{i} + (\sin t)\mathbf{j} + t\mathbf{k}, \quad t = 0$

### Fiziksel Uygulamalar

17. Arabanızdaki sürat göstergesi sürekli 35 mil/sa göstermektedir. İvmeleniyor olabilir misiniz? Açıklayın.

18. Sabit bir süratle ilerleyen bir parçacığın ivmesi hakkında bir şey söylenebilir mi? Yanınızı açıklayın.

19. İvmesi her zaman hızına dik olan bir parçacığın süratini hakkında bir şey söylenebilir mi? Yanınızı açıklayın.

20.  $m$  kütleli bir cisim 10 birim/ $s^2$ lik sabit süratle  $y = x^2$  parabolü üzerinde ilerlemektedir.  $(0, 0)$  ve  $(2^{1/2}, 2)$ 'de ivmesinden dolayı parçacığın üzerine etkiyen kuvvet nedir? Yanınızı  $\mathbf{i}$  ve  $\mathbf{j}$  cinsinden yazın (Newton yasası,  $\mathbf{F} = m\mathbf{a}$ 'yı hatırlayın).

21. Aşağıda, *The American Monthly*'de yayınlanmış olan, Robert Osserman tarafından yazılmış "Seksenlerde Eğrilik" isimli (Ekim 1990, sayfa 731) makaleden bir alıntı vardır:

Eğrilik fizikte de önemli bir rol oynar. Bir cismi eğri bir yol boyunca sabit süratle hareket ettirmek için gereken kuvvetin büyülüğu, Newton yasalarına göre, yörüngelerin eğriliğinin sabit bir katıdır.

Alıntıının ikinci cümlesinin matematiksel olarak neden doğru olduğunu açıklayın.

22. Hareket eden bir parçacığın ivmesinin normal bileşeni sıfırsa, parçacığın bir doğru üzerinde ilerlediğini gösterin.

23. **Eğrilik için arada bir kullanılabilecek bir kestirme**  $|a_N|$  ve  $|\mathbf{v}'|$ 'yi biliyorsanız,  $a_N = \kappa|\mathbf{v}|^2$  formülü eğriliği bulmak için uygun bir yol sağlar. Bunu kullanarak

$$\mathbf{r}(t) = (\cos t + t \sin t)\mathbf{i} + (\sin t - t \cos t)\mathbf{j}, \quad t > 0$$

eğrisinin eğriliğini ve eğilik yarıçapını bulun ( $a_N$  ve  $|\mathbf{v}'|$ 'yi Örnek 1'den alın).

24.  $\kappa$  ve  $\tau$ 'nın ikisinin de

$$\mathbf{r}(t) = (x_0 + At)\mathbf{i} + (y_0 + Bt)\mathbf{j} + (z_0 + Ct)\mathbf{k}$$

eğrisi için sıfır olduğunu gösterin.

## Teori ve Örnekler

25. Düzlemdeki (yeteri kadar türetiliblir) bir  $\mathbf{r}(t) = f(t)\mathbf{i} + g(t)\mathbf{j}$  eğrisinin burulması için ne söylenebilir? Yanınızı açıklayın.

26. **Bir helisin burulması** Örnek 2'de,

$$\mathbf{r}(t) = (a \cos t)\mathbf{i} + (a \sin t)\mathbf{j} + bt\mathbf{k}, \quad a, b \geq 0$$

helinin burulmasını  $\tau = b/(a^2 + b^2)$  olarak bulduk. Verilen bir  $t$  değerinde  $\tau$ 'nın en büyük değeri nedir? Yanınızı açıklayın.

- 27. Burulması sıfır olan eğriler bir düzlemede bulunurlar** Burulması sıfır olan yeterince türetiliblir eğrilerin bir düzlemede bulunması, hızı bir  $\mathbf{C}$  sabit vektöre dik kalan bir parçacığın  $\mathbf{C}$ 'ye dik bir düzlemede hareket etmesinin özel bir durumudur. Bu, yine, aşağıdaki analiz probleminin çözümü olarak görülebilir.

$\mathbf{r}(t) = f(t)\mathbf{i} + g(t)\mathbf{j} + h(t)\mathbf{k}$ 'nin  $[a, b]$  aralığındaki her  $t$  için iki kere türetilibildiğini,  $t = a$  iken  $\mathbf{r} = 0$  ve  $[a, b]$  deki her  $t$  için  $\mathbf{v} \cdot \mathbf{k} = 0$  varsayı. Bu durumda  $[a, b]$  deki her  $t$  için  $h(t) = 0$  dir. Bu problemi çözüm (*İpucu:  $\mathbf{a} = d^2\mathbf{r}/dt^2$  ile başlayın ve başlangıç koşullarını ters sırada uygulayın.*)

28.  **$\tau$ 'yu  $\mathbf{B}$  ve  $\mathbf{v}'$ den hesaplayan bir formül**  $\tau = -(d\mathbf{B}/ds) \cdot \mathbf{N}$  tanımı ile başlayıp Zincir Kuralını uygulayarak  $d\mathbf{B}/ds$ 'yi

$$\frac{d\mathbf{B}}{ds} = \frac{d\mathbf{B}}{dt} \frac{dt}{ds} = \frac{d\mathbf{B}}{dt} \frac{1}{|\mathbf{v}|}$$

şeklinde yazarsak,

$$\tau = -\frac{1}{|\mathbf{v}|} \left( \frac{d\mathbf{B}}{dt} \cdot \mathbf{N} \right)$$

formülünü buluruz. Bu formülün (6) denklemine göre avantajı türevinin alınmasının ve ifade edilmesinin daha kolay olmasıdır. Dezavantaj ise bir bilgisayar kullanmadan hesaplanması çok uğraştırıcı olmasıdır. Yeni formülü kullanarak Örnek 2'deki helisin burulmasını bulun.

## BİLGİSAYAR ARAŞTIRMALARI

### Eğrilik, Burulma ve TNB Çerçevesi

Yanıtları dört ondalık basamağa yuvarlayarak, 29–32 alıştırmalarındaki eğriler için, verilen  $t$  değerlerinde,  $\mathbf{v}$ ,  $\mathbf{a}$ , sürat,  $\mathbf{T}$ ,  $\mathbf{N}$ ,  $\mathbf{B}$ ,  $\kappa$ ,  $\tau$  ve ivmenin teğet ve normal bileşenlerini bulmak için bir BCS kullanın.

29.  $\mathbf{r}(t) = (t \cos t)\mathbf{i} + (t \sin t)\mathbf{j} + t\mathbf{k}, \quad t = \sqrt{3}$

30.  $\mathbf{r}(t) = (e^t \cos t)\mathbf{i} + (e^t \sin t)\mathbf{j} + e^t\mathbf{k}, \quad t = \ln 2$

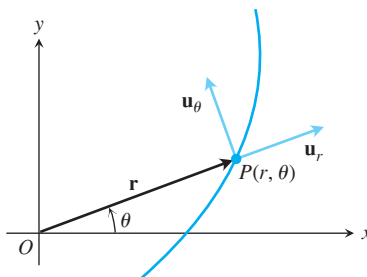
31.  $\mathbf{r}(t) = (t - \sin t)\mathbf{i} + (1 - \cos t)\mathbf{j} + \sqrt{-t}\mathbf{k}, \quad t = -3\pi$

32.  $\mathbf{r}(t) = (3t - t^2)\mathbf{i} + (3t^2)\mathbf{j} + (3t + t^3)\mathbf{k}, \quad t = 1$

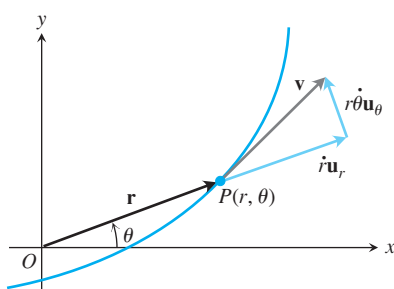
## 13.6

### Gezegen Hareketi ve Uydular

Bu bölümde, Newton'un hareket yasalarından Kepler'in gezegen hareketi yasalarını türetecik ve Dünya çevresindeki uyduların yörüngelerini tartışacağız. Kepler yasalarının Newton yasalarından türetilmesi analizin zaferlerinden biridir. Neredeyse, uzayda vektörlerin cebri ve geometrisi, vektör fonksiyonlarının analizi, diferansiyel denklem çözümleri ve başlangıç değer problemleri ile konik kesitlerin kutupsal koordinatlardaki tanımları da dahil olmak üzere, şimdide kadar islediğimiz her konuyu kullanır.



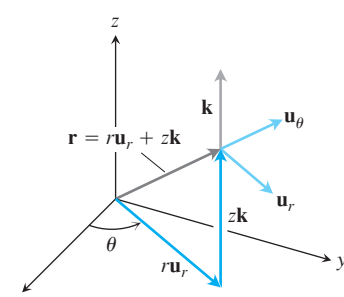
**ŞEKİL 13.32**  $r$ 'nin uzunluğu  $P$  noktasının pozitif kutupsal koordinatı  $r$ dir. Yani,  $r/|r|$  olan  $\mathbf{u}_r$  aynı zamanda  $\mathbf{r}/r$ 'dır. (1) denklemleri  $\mathbf{u}_r$  ve  $\mathbf{u}_\theta$ 'yı  $\mathbf{i}$  ve  $\mathbf{j}$  cinsinden ifade eder.



**ŞEKİL 13.33** Kutupsal koordinatlarda, hız vektörü şöyledir:

$$\mathbf{v} = \dot{r} \mathbf{u}_r + r \dot{\theta} \mathbf{u}_\theta$$

$z \neq 0$  ise  $|\mathbf{r}| \neq r$  olduğuna dikkat edin.



**ŞEKİL 13.34** Silindirik koordinatlarda konum vektörü ve temel birim vektörler.

### Kutupsal ve Silindirik Koordinatlarda Hareket

Bir parçacık kutupsal koordinat düzleminde bir eğri boyunca ilerlerken, konum, hız ve ivmesini Şekil 13.32'de gösterilen, hareketli

$$\mathbf{u}_r = (\cos \theta) \mathbf{i} + (\sin \theta) \mathbf{j}, \quad \mathbf{u}_\theta = -(\sin \theta) \mathbf{i} + (\cos \theta) \mathbf{j}$$

birim vektörleriyle ifade ederiz.  $\mathbf{u}_r$  vektörü  $\overrightarrow{OP}$ , konum vektörü yönünü gösterir, dolayısıyla  $\mathbf{r} = r \mathbf{u}_r$  olur.  $\mathbf{u}_r$  ye ortogonal olan  $\mathbf{u}_\theta$  vektörü artan  $\theta$  yönünü gösterir.

(1) denklemlerinden aşağıdakileri elde ederiz:

$$\begin{aligned} \frac{d\mathbf{u}_r}{d\theta} &= -(\sin \theta) \mathbf{i} + (\cos \theta) \mathbf{j} = \mathbf{u}_\theta \\ \frac{d\mathbf{u}_\theta}{d\theta} &= -(\cos \theta) \mathbf{i} - (\sin \theta) \mathbf{j} = -\mathbf{u}_r \end{aligned} \quad [2]$$

$\mathbf{u}_r$  ve  $\mathbf{u}_\theta$ 'nın zamana göre nasıl değişiklerini görmek için,  $t$ 'ye göre türevlerini alırsak, Zincir Kuralı

$$\dot{\mathbf{u}}_r = \frac{d\mathbf{u}_r}{d\theta} \dot{\theta} = \dot{\theta} \mathbf{u}_\theta, \quad \dot{\mathbf{u}}_\theta = \frac{d\mathbf{u}_\theta}{d\theta} \dot{\theta} = -\dot{\theta} \mathbf{u}_r. \quad [3]$$

verir. Buradan

$$\mathbf{v} = \dot{\mathbf{r}} = \frac{d}{dt} \left( r \mathbf{u}_r \right) = \dot{r} \mathbf{u}_r + r \dot{\mathbf{u}}_r = \dot{r} \mathbf{u}_r + r \dot{\theta} \mathbf{u}_\theta \quad [4]$$

elde edilir. Şekil 13.33'e bakın. Önceki bölümdeki gibi, formülleri olabildiğince basit tutmak üzere zamana göre türevler için Newton'un nokta notasyonunu kullanıyoruz:  $\dot{\mathbf{u}}_r$ 'nın anlamı  $d\mathbf{u}_r/dt$ ,  $\dot{\theta}$ 'nın anlamı  $d\theta/dt$  vs. dir.

Ivme

$$\mathbf{a} = \ddot{\mathbf{v}} = (\dot{r} \mathbf{u}_r + \dot{r} \dot{\theta} \mathbf{u}_\theta) + (\dot{r} \dot{\theta} \mathbf{u}_\theta + r \ddot{\theta} \mathbf{u}_\theta + r \dot{\theta} \dot{\theta} \mathbf{u}_r) \quad [5]$$

olarak bulunur.  $\dot{\mathbf{u}}_r$  ve  $\dot{\mathbf{u}}_\theta$ 'yı hesaplamak için (3) denklemleri kullanılır ve bileşenler ayrılsa, ivme denklemi şu hali alır:

$$\mathbf{a} = (\ddot{r} - r \dot{\theta}^2) \mathbf{u}_r + (r \ddot{\theta} + 2 \dot{r} \dot{\theta}) \mathbf{u}_\theta \quad [6]$$

Bu hareket denklemlerini uzaya genişletmek için,  $\mathbf{r} = r \mathbf{u}_r$  denklemi sağ tarafına  $z \mathbf{k}$  ekleriz. Bu durumda, *silindirik koordinatlarda*,

$$\begin{aligned} \mathbf{r} &= r \mathbf{u}_r + z \mathbf{k} \\ \mathbf{v} &= \dot{r} \mathbf{u}_r + r \dot{\theta} \mathbf{u}_\theta + z \dot{k} \\ \mathbf{a} &= (\ddot{r} - r \dot{\theta}^2) \mathbf{u}_r + (r \ddot{\theta} + 2 \dot{r} \dot{\theta}) \mathbf{u}_\theta + z \ddot{k} \end{aligned} \quad [7]$$

elde edilir.

$\mathbf{u}_r$ ,  $\mathbf{u}_\theta$  ve  $\mathbf{k}$  vektörleri,

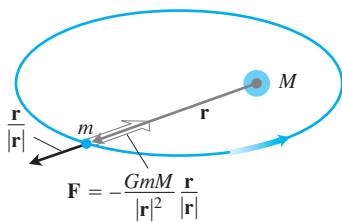
$$\mathbf{u}_r \times \mathbf{u}_\theta = \mathbf{k}, \quad \mathbf{u}_\theta \times \mathbf{k} = \mathbf{u}_r, \quad \mathbf{k} \times \mathbf{u}_r = \mathbf{u}_\theta. \quad [8]$$

olmak üzere, sağ el kuralına uygun bir çerçeve oluştururlar.

### Gezegenler Düzlemin Üzerinde Hareket Ederler

Newton'un Yerçekimi Yasası,  $\mathbf{r}$ ,  $M$  kütleli bir güneşin merkezinden  $m$  kütleli bir gezegenin merkezine giden yarıçap vektörü ise, gezegen ile güneş arasındaki çekim kuvveti  $\mathbf{F}'$ 'nın

$$\mathbf{F} = -\frac{GmM}{|\mathbf{r}|^2} \frac{\mathbf{r}}{|\mathbf{r}|} \quad [9]$$



**SEKİL 13.35** Yerçekimi kuvveti kütle merkezlerini birleştiren doğru boyunca etkiler.

olduğunu söyler (Şekil 13.35).  $G$  sayısı **evrensel çekim sabitidir**. Kütleyi kilogram, kuvveti newton ve uzaklıği metre olarak ölçersek,  $G$  yaklaşık olarak  $6.6726 \times 10^{-11} \text{ Nm}^2 \text{ kg}^{-2}$  civarında bulunur.

Gezegenin etkiyen kuvveti bulmak için (9) denklemlerini Newton'un ikinci yasası,  $\mathbf{F} = m\ddot{\mathbf{r}}$  ile birleştirmek

$$m\ddot{\mathbf{r}} = -\frac{GmM}{|\mathbf{r}|^2} \frac{\mathbf{r}}{|\mathbf{r}|},$$

$$\ddot{\mathbf{r}} = -\frac{GM}{|\mathbf{r}|^2} \frac{\mathbf{r}}{|\mathbf{r}|} \quad (10)$$

verir. Gezegen sürekli olarak güneşin merkezine doğru çekilmektedir.

(10) denklemi  $\ddot{\mathbf{r}}$  'nın  $\mathbf{r}$ 'nin skaler bir katı olduğunu söyler, dolayısıyla

$$\mathbf{r} \times \ddot{\mathbf{r}} = 0 \quad (11)$$

olur. Kolay bir işlem  $\mathbf{r} \times \ddot{\mathbf{r}}$  'nın  $\mathbf{r} \times \ddot{\mathbf{r}}$  'nın türevi olduğunu gösterir:

$$\frac{d}{dt}(\mathbf{r} \times \ddot{\mathbf{r}}) = \underbrace{\dot{\mathbf{r}} \times \dot{\mathbf{r}}}_{\mathbf{0}} + \mathbf{r} \times \ddot{\mathbf{r}} = \mathbf{r} \times \ddot{\mathbf{r}}. \quad (12)$$

Yani (11) denklemi

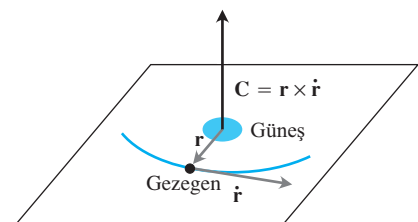
$$\frac{d}{dt}(\mathbf{r} \times \ddot{\mathbf{r}}) = \mathbf{0}, \quad (13)$$

denklemine eşdeğerdir ve denklem integre edilirse,  $\mathbf{C}$  bir sabit vektör olmak üzere,

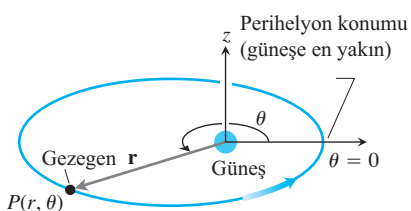
$$\mathbf{r} \times \ddot{\mathbf{r}} = \mathbf{C} \quad (14)$$

bulunur.

(14) denklemi,  $\mathbf{r}$  ve  $\ddot{\mathbf{r}}$  'nın  $\mathbf{C}$  ye dik bir düzleme bulunduğunu söyler. Dolayısıyla, gezegen güneşin merkezinden geçen sabit bir düzlemede hareket eder (Şekil 13.36).



**SEKİL 13.36** Newton'un çekim ve hareket yasalarına uygun bir gezegen güneşin merkezinden geçen ve  $\mathbf{C} = \mathbf{r} \times \dot{\mathbf{r}}$  ya dik olan düzlemede dolaşır.



**SEKİL 13.37** Gezegenin hareketinin koordinat sistemi. Burada görüldüğü gibi, üstten bakılırsa ve  $\dot{\theta} > 0$  ise, hareket saat yönünün tersindedir.

### Koordinatlar ve Başlangıç Koşulları

Şimdi silindirik koordinatları, orijini güneşin kütle merkezine yerleştirilen ve gezegenin hareket düzlemini kutupsal koordinat düzleme yapan bir şekilde tanıyalayacağız. Bu  $\mathbf{r}$ 'yi gezegenin kutupsal koordinatlardaki konum vektörü yapar ve  $|\mathbf{r}|'yi r'$ ye,  $\mathbf{r}/|\mathbf{r}|'yi de \mathbf{u}_r$ 'ye eşitler. Ayrıca,  $z$ -eksenini,  $\mathbf{k}$  vektörü  $\mathbf{C}$  yönünde olacak şekilde yerleştiririz. Böylece,  $\mathbf{k}$  ile  $\mathbf{r} \times \dot{\mathbf{r}}$  arasındaki ilişki,  $\mathbf{r} \times \dot{\mathbf{r}}$  ile  $\mathbf{C}$  arasında var olan aynı sağ el kuralına uyar ve pozitif  $z$ -ekseninden bakıldığına hareket saat yönünün tersinedir. Bu  $\theta$ 'nın  $t$  ile artmasına neden olur, böylece her  $t$  için  $\dot{\theta} > 0$ 'dır. Son olarak, kutupsal koordinat düzlemini, gerekirse,  $z$ -ekseni etrafında döndürerek, başlangıç işinini, gezegenin güneşe en yakın konumundaki  $\mathbf{r}$  yönüyle çakışmasını sağlarız. Bu, işini gezegenin **perihelyon** konumundan geçirir (Şekil 13.37).

Zamanı, perihelyonda  $t = 0$  olacak şekilde ölçersek, gezegenin hareketi için aşağıdaki başlangıç koşullarını buluruz.

1.  $t = 0$  iken,  $r = r_0$ , yani minimum yarıçap olur,
2.  $t = 0$  iken  $\dot{r} = 0$ 'dır (çünkü o anda  $r$ 'nin bir minimum değeri vardır),
3.  $t = 0$  iken  $\theta = 0$ 'dır.
4.  $t = 0$  iken  $|\mathbf{v}| = v_0$  olur.

$$\begin{aligned}
 v_0 &= |\mathbf{v}|_{t=0} \\
 &= |\dot{r}\mathbf{u}_r + r\dot{\theta}\mathbf{u}_\theta|_{t=0} \quad (4) \text{ Denklemi} \\
 &= |r\dot{\theta}\mathbf{u}_\theta|_{t=0} \quad t = 0 \text{ iken } \dot{r} = 0 \\
 &= (|r\dot{\theta}| |\mathbf{u}_\theta|)_{t=0} \\
 &= |r\dot{\theta}|_{t=0} \quad |\mathbf{u}_\theta| = 1 \\
 &= (r\dot{\theta})_{t=0}, \quad \text{Hem } r \text{ hem } \dot{\theta} \text{ pozitiftir.}
 \end{aligned}$$

olduğundan, ayrıca

5.  $t = 0$  iken  $r\dot{\theta} = v_0$  olur.

### Kepler'in Birinci Kanunu (Konik Kesit Yasası)

#### TARİHSEL BİYOGRAFİ

Johannes Kepler  
(1571–1630)

*Kepler'in birinci yasası*, bir gezegenin izlediği yol, bir odağında güneş bulunan bir konik kesittir der. Koniğin dışmerkezliği

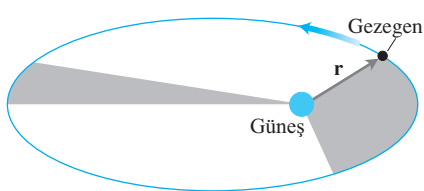
$$e = \frac{r_0 v_0^2}{GM} - 1 \quad (15)$$

ve kutupsal denklemi

$$r = \frac{(1 + e)r_0}{1 + e \cos \theta} \quad (16)$$

Formülün türetilmesi Kepler'in ikinci kanunun kullanılmasını gerektirir, o nedenle birinci kanunu ispatlamadan önce ikinci kanunun ifadesini verecek ve onu ispatlayacağız.

### Kepler'in İkinci Kanunu (Eşit Alanlar Yasası)



**ŞEKİL 13.38** Bir gezegeni güneşe bağlayan doğru eşit zamanlarda eşit alanlar tarar.

*Kepler'in ikinci kanunu* bir güneşten bir gezegene giden yarıçap vektörünün (bizim modelimizdeki  $\mathbf{r}$  vektörü) eşit zamanlarda eşit alanlar taradığını söyler (Şekil 13.38). Yasayı türetmek için, (14) denklemindeki  $\mathbf{C} = \mathbf{r} \times \dot{\mathbf{r}}$  vektörel çarpımını hesaplamak üzere (4) denklemi kullanırız:

$$\begin{aligned}
 \mathbf{C} &= \mathbf{r} \times \dot{\mathbf{r}} = \mathbf{r} \times \mathbf{v} \\
 &= r\mathbf{u}_r \times (\dot{r}\mathbf{u}_r + r\dot{\theta}\mathbf{u}_\theta) \quad (4) \text{ Denklemi} \\
 &= r\dot{r}(\mathbf{u}_r \times \mathbf{u}_r) + r(r\dot{\theta})(\mathbf{u}_r \times \mathbf{u}_\theta) \\
 &= r(r\dot{\theta})\mathbf{k}.
 \end{aligned} \quad (17)$$

$t'$ yi sıfıra eşitlemek

$$\mathbf{C} = [r(r\dot{\theta})]_{t=0} \mathbf{k} = r_0 v_0 \mathbf{k} \quad (18)$$

olduğunu gösterir. (17) denklemine bu  $\mathbf{C}$  değerini yerleştirmek,

$$r_0 v_0 \mathbf{k} = r^2 \dot{\theta} \mathbf{k}, \quad \text{veya} \quad r^2 \dot{\theta} = r_0 v_0. \quad (19)$$

verir. İşte alan burada işin içine girmektedir. Kutupsal koordinatlardaki alan diferansiyeli

$$dA = \frac{1}{2} r^2 d\theta$$

ile verilir (Bölüm 10.7). Buna göre,  $dA/dt$ 'nin değeri Kepler'in ikinci yasası olan

$$\frac{dA}{dt} = \frac{1}{2} r^2 \dot{\theta} = \frac{1}{2} r_0 v_0. \quad [20]$$

sabitidir.

Dünya için,  $r_0$  150.000.000.000 km civarında,  $v_0$  30 km/s civarında ve  $dA/dt$  de 2.250.000.000 km<sup>2</sup>/s civarındadır. Kalbiniz her çarptığında, Dünya yörüngesi boyunca 30 km kadar kat eder ve Dünya'yı güneşe bağlayan yarıçap 2.250.000.000 km<sup>2</sup>'lik bir alan tarar.

### Kepler'in Birinci Yasasının İspatı

Bir gezegenin, odaklarından birinde güneşin bulunduğu bir konik kesit üzerinde hareket ettiğini ispatlamak için, gezegenin yarıçapı  $r$ 'yi  $\theta$ 'nın bir fonksiyonu olarak ifade etmemiz gereklidir. Bu uzun bir işlem dizisi ve bazıları açık olmayan değişken dönüşümleri gerektirir.

(6) ve (10) denklemlerindeki  $\mathbf{u}_r = \mathbf{r}/|\mathbf{r}|$ 'nın katsayılarını eşitlemekle işe başlarsınız:

$$\dot{r} - r\dot{\theta}^2 = -\frac{GM}{r^2} \quad [21]$$

$\dot{\theta}$ 'yı geçici olarak, yerine (19) denklemindeki  $r_0 v_0 / r_2$  değerini yazarak ortadan kaldırırız ve ortaya çıkan denklemi düzenleyerek

$$\dot{r} = \frac{r_0^2 v_0^2}{r^3} - \frac{GM}{r^2} \quad [22]$$

elde ederiz. Bunu bir değişken dönüşümüyle birinci derece bir diferansiyel denklem dönüştürürüz.

$$p = \frac{dr}{dt}, \quad \frac{d^2r}{dt^2} = \frac{dp}{dt} = \frac{dp}{dr} \frac{dr}{dt} = p \frac{dp}{dr} \quad \text{Zincir Kuralı}$$

ile, (22) denklemi

$$p \frac{dp}{dr} = \frac{r_0^2 v_0^2}{r^3} - \frac{GM}{r^2} \quad [23]$$

halini alır. 2 ile çarpıp,  $r$ 'ye göre integre etmek

$$p^2 = (\dot{r})^2 = -\frac{r_0^2 v_0^2}{r^2} + \frac{2GM}{r} + C_1 \quad [24]$$

verir.  $t = 0$  iken,  $r = r_0$  ve  $\dot{r} = 0$  başlangıç koşulları  $C_1$ 'in değerini

$$C_1 = v_0^2 - \frac{2GM}{r_0}$$

olarak belirlerler. Buna göre, (24) denklemi, uygun bir düzenlemeden sonra,

$$\dot{r}^2 = v_0^2 \left(1 - \frac{r_0^2}{r^2}\right) + 2GM \left(\frac{1}{r} - \frac{1}{r_0}\right) \quad [25]$$

halini alır.

(21) denkleminden (25) denklemine geçişin etkisi,  $r$ 'nin ikinci derece bir diferansiyel denklemi yerine birinci derece bir diferansiyel denklemi gelmesi olmuştur. Amacımız hala  $r$ 'yi  $\theta$  cinsinden yazmaktır, o nedenle  $\theta$ 'yı yeniden işin içine sokmamız gereklidir. Bunu gerçekleştirmek için, (25) denklemi iki tarafını da  $r^2 \dot{\theta} = r_0 v_0$  (19 denklemi)

denkleminin bunlara karşılık gelen taraflarının karesiyle böler ve  
 $\dot{r}/\dot{\theta} = (dr/dt)/(d\theta/dt) = dr/d\theta$  olduğunu kullanarak

$$\begin{aligned}\frac{1}{r^4} \left( \frac{dr}{d\theta} \right)^2 &= \frac{1}{r_0^2} - \frac{1}{r^2} + \frac{2GM}{r_0^2 v_0^2} \left( \frac{1}{r} - \frac{1}{r_0} \right) \\ &= \frac{1}{r_0^2} - \frac{1}{r^2} + 2h \left( \frac{1}{r} - \frac{1}{r_0} \right) \quad h = \frac{GM}{r_0^2 v_0^2}\end{aligned}\quad (26)$$

elde ederiz. Sonucu daha da basitleştirmek için, denklemde

$$u = \frac{1}{r}, \quad u_0 = \frac{1}{r_0}, \quad \frac{du}{d\theta} = -\frac{1}{r^2} \frac{dr}{d\theta}, \quad \left( \frac{du}{d\theta} \right)^2 = \frac{1}{r^4} \left( \frac{dr}{d\theta} \right)^2$$

yazarak,

$$\left( \frac{du}{d\theta} \right)^2 = u_0^2 - u^2 + 2hu - 2hu_0 = (u_0 - h)^2 - (u - h)^2, \quad (27)$$

$$\frac{du}{d\theta} = \pm \sqrt{(u_0 - h)^2 - (u - h)^2} \quad (28)$$

elde ederiz.

Hangi işaretin almamız gereklidir?  $\dot{\theta} = r_0 v_0 / r^2$ 'nin pozitif olduğunu biliyoruz. Ayrıca,  $r$  de  $t = 0$ 'da bir minimum değerden başlamaktadır, o nedenle hemen azalamaz ve en azından  $r$ 'nin küçük pozitif değerleri için  $\dot{r} \geq 0$ 'dır. Dolayısıyla,

$$\frac{dr}{d\theta} = \frac{\dot{r}}{\dot{\theta}} \geq 0 \quad \text{ve} \quad \frac{du}{d\theta} = -\frac{1}{r^2} \frac{dr}{d\theta} \leq 0$$

bulunur. (28) denklemi için doğru işaret negatif işaretdir. Bunu belirledikten sonra, (28) denklemini düzenler ve iki tarafı da  $\theta$ 'ya göre integre ederiz:

$$\begin{aligned}\frac{-1}{\sqrt{(u_0 - h)^2 - (u - h)^2}} \frac{du}{d\theta} &= 1 \\ \cos^{-1} \left( \frac{u - h}{u_0 - h} \right) &= \theta + C_2\end{aligned}\quad (29)$$

$C_2$  sabiti sıfırdır, çünkü  $\theta = 0$  iken  $u = u_0$  ve  $\cos^{-1}(1) = 0$ 'dır. Dolayısıyla,

$$\frac{u - h}{u_0 - h} = \cos \theta$$

ve

$$\frac{1}{r} = u = h + (u_0 - h) \cos \theta \quad (30)$$

elde edilir. Birkaç cebirsel manevra denklemin son halini verir:

$$r = \frac{(1 + e)r_0}{1 + e \cos \theta} \quad (31)$$

Burada

$$e = \frac{1}{r_0 h} - 1 = \frac{r_0 v_0^2}{GM} - 1 \quad (32)$$

olarak verilir.

(31) ve (32) denklemeleri birlikte, bir gezegenin yörüngesinin bir odağında güneş bulunan ve dışmerkezliği ( $r_0 v_0^2/GM - 1$ ) olan bir konik kesit olduğunu söyler. Bu Kepler'in ilk yasasının modern formülasyonudur.

### Kepler'in Üçüncü Kanunu (Zaman-Uzaklık Kanunu)

Bir gezegenin, güneş etrafında bir kere dönmesi için gereken  $T$  zamanı gezegenin **yörüngesel periyodu**dur. *Kepler'in üçüncü kanunu*  $T$ 'nin ve yörüngenin yarı büyük eksen  $a$ 'nın

$$\frac{T^2}{a^3} = \frac{4\pi^2}{GM} \quad [33]$$

denklemiyle birbirine bağlı olduğunu söyler. Belirlenen bir güneş sisteminde bu denkemin sağ tarafı sabit olduğu için,  $T^2$ 'nin  $a^3$ 'e oranı *sistemdeki her gezegen için aynıdır*.

Kepler'in üçüncü kanunu, güneş sistemimizin büyüklüğünü hesaplamanın çıkış noktasıdır. Her gezegenin yörüngesinin yarı büyük ekseni, astronomik birimlerle ifade edilmesini sağlar. Dünyanın yarı büyük ekseni bir birimdir. Herhangi bir anda iki gezegen arasındaki mesafe astronomik birimlerle tahmin edilebilir ve geriye kalan bu mesafeleri kilometreye çevirmektedir. Bu, örneğin, Venüs'ten radar dalgaları yansitarak yapılabilir. Astronomik birimin, böyle bir seri ölçümden sonra, 149.597.870 km olduğu bilinmektedir.

Kepler'in üçüncü yasasını gezegenin eliptik yörüngesinin kapladığı alanın iki formülünü birleştirerek türetiriz:

Formül 1: Alan =  $\pi ab$

$a$ 'nın yarı büyük eksen,  $b$ 'nin de yarı küçük eksen olduğu geometrik formül

$$\begin{aligned} \text{Formül 2: } \text{Alan} &= \int_0^T dA \\ &= \int_0^T \frac{1}{2} r_0 v_0 dt \quad (20) \text{ Denklemi} \\ &= \frac{1}{2} T r_0 v_0. \end{aligned}$$

Bunları eşitlemek

$$T = \frac{2\pi ab}{r_0 v_0} = \frac{2\pi a^2}{r_0 v_0} \sqrt{1 - e^2} \quad \begin{array}{l} \text{Herhangi bir elips için,} \\ b = a\sqrt{1 - e^2} \end{array} \quad [34]$$

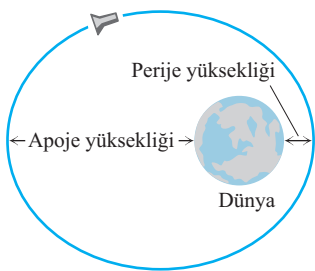
verir. Artık geriye sadece  $a$  ve  $e$ 'yi  $r_0$ ,  $v_0$ ,  $G$  ve  $M$  cinsinden ifade etmek kalır. (32) denklemi  $e$ 'yi bu şekilde verir.  $a$  için, (31) denkleminde  $\theta$ 'yı  $\pi$ 'ye eşitlemenin

$$r_{\max} = r_0 \frac{1 + e}{1 - e}$$

verdiğini gözleriz. Dolayısıyla,

$$2a = r_0 + r_{\max} = \frac{2r_0}{1 - e} = \frac{2r_0 GM}{2GM - r_0 v_0^2} \quad [35]$$

bulunur. (34) denkleminin iki tarafının da karesini alıp, (32) ve (35) denklemelerinin sonuçlarını koymak Kepler'in üçüncü kanunu verir (Alıştırma 15).



**ŞEKİL 13.39** Dünya çevresindeki bir uydunun hareketi:  $2a = \text{dünyanın çapı} + \text{perije yüksekliği} + \text{apoje yüksekliği}$ .

### Yörünge Verileri

Kepler, yasalarını gözlemlsel olarak bulmasına ve onları sadece o zaman bilinen altı gezegen için söylemesine rağmen, Kepler'in yasalarının modern türetilişi, bunların, (9) denklemi gibi bir ters kare yasasına uygun bir kuvvetin etkisindeki her cisim için geçerli olduğunu göstermiştir. Halley kuyruklu yıldızı ve Icarus asteroidi için de geçerlidirler. Ayın dünya çevresindeki yörünge sine uygulanabilirler ve *Apollo 8* uzay aracının ay çevresindeki yörünge sine uygulanmışlardır.

13.1-13.3 Tabloları, gezegen yörüngeleri ve Dünya'nın yedi tane yapay uydusunun yörüngeleri (Şekil 13.39) hakkında ek bilgi verir. *Vanguard I* Dünya'daki okyanusların seviyelerindeki farkları ortaya koyan veriler göndermiş ve issız Pasifik adalarının bazılarının kesin yerlerinin ilk defa belirlenmesini sağlamıştır. Veriler ayrıca güneşin ve ayın çekimlerinin Dünya'nın uydularının yörüngelerini etkileyebileceğini ve güneş radyasyonunun bir yörüngeyi bozabilecek kadar basınç uygulayabileceğini doğrulamıştır.

**TABLO 13.1** Büyük gezegenler için  $a$ ,  $e$  ve  $T$  değerleri

Gezegen	Yarı büyük eksen $a^*$	Dışmerkezlik $e$	Periyod $T$
Merkür	57.95	0.2056	87.967 gün
Venüs	108.11	0.0068	224.701 gün
Dünya	149.57	0.0167	365.256 gün
Mars	227.84	0.0934	1.8808 yıl
Jüpiter	778.14	0.0484	11.8613 yıl
Satürn	1427.0	0.0543	29.4568 yıl
Uranüs	2870.3	0.0460	84.0081 yıl
Neptün	4499.9	0.0082	164.784 yıl
Plüto	5909	0.2481	248.35 yıl

\* Milyon kilometre

**TABLO 13.2** Dünya uyduları hakkında bilgi

İsim	Atılış tarihi	Kaldığı veya beklenen kalış süresi	Atılıştaki kütle (kg)	Periyod (min)	Perije yüksekliği (km)	Apoje yüksekliği (km)	Yarı büyük eksen $a$ (km)	Dışmerkezlik
<i>Sputnik 1</i>	Ekim 1957	57.6 gün	83.6	96.2	215	939	6955	0.052
<i>Vanguard 1</i>	Mart 1958	300 yıl	1.47	138.5	649	4340	8872	0.208
<i>Syncom 3</i>	Ağus. 1964	$>10^6$ yıl	39	1436.2	35,718	35,903	42,189	0.002
<i>Skylab 4</i>	Kasım 1973	84.06 gün	13,980	93.11	422	437	6808	0.001
<i>Tiros II</i>	Ekim 1978	500 yıl	734	102.12	850	866	7236	0.001
<i>GOES 4</i>	Eylül 1980	$>10^6$ yıl	627	1436.2	35,776	35,800	42,166	0.0003
<i>Intelsat 5</i>	Aralık 1980	$>10^6$ yıl	1928	1417.67	35,143	35,707	41,803	0.007

TABLO 13.3 Sayısal veriler

Evransel Çekim sabiti:	$G = 6.6726 \times 10^{-11} \text{ Nm}^2 \text{ kg}^{-2}$
Güneşin kütlesi:	$1.99 \times 10^{30} \text{ kg}$
Dünyanın kütlesi:	$5.975 \times 10^{24} \text{ kg}$
Dünyanın ekvator daki yarıçapı:	6378.533 km
Dünyanın kutupsal yarıçapı:	6356.912 km
Dünyanın dönme periyodu:	1436.1 min
Dünyanın yörüngesel periyodu:	1 yıl = 365.256 gün

*Syncom 3* Amerikan Savunma Bakanlığı'nın haberleşme uydularından biridir. *Tiros 11* ("Televizyon kızılötesi gözlem uydusu"nın kısaltılması) bir hava tahmin uyduları serisinden biridir. *GOES 4* ("geostationary operational environmental satellite"- "jeostasyoner operasyonel çevresel uydusu" kısaltması) dünyanın atmosferi hakkında bilgi toplamak için tasarlanmış bir uydular serisinden bir uydudur. Yörünge periyodu, 1436.2 dak, neredeyse dünyanın dönme periyoduyla (1436.1 dak) aynıdır ve yörüngesi neredeyse daireseldir ( $e = 0.0003$ ). *Intelsat 5* yüksek kapasiyeli bir ticari telekomünikasyon uydusudur.

## ALIŞTIRMALAR 13.6

**Hatırlatma:** Bir hesaplama çekim sabiti  $G$ 'yi içeriyorsa, kuvveti newton, uzaklığı metre, kütleyi kilogram, zamanı da saniye olarak ifade edin.

- Skylab 4'ün periyodu** *Skylab 4*'ün yörüngesinin yarı büyük eksenini  $a = 6808 \text{ km}$  olduğundan,  $M$  dünyanın kütlesine eşit olmak üzere Kepler'in üçüncü yasasının periyodu vermesi gereklidir. Bunu hesaplayın. Sonucunuza Tablo 13.2'deki değerle karşılaştırın.
- Dünyanın perihelyondaki hızı** Dünyanın perihelyonda güneşten uzaklığını yaklaşık olarak  $149.577.000 \text{ km}$  ve dünyanın güneş çevresindeki yörüngesinin dışmerkezliği  $0.0167$ dir. Dünya perihelyondayken, hızı  $v_0$ 'yı bulun (15 denklemini kullanın).
- Proton I'ın yarı büyük ekseni** Temmuz 1965'te, SSCB ağırlığı  $12.200 \text{ kg}$  (kalkışta), periye yüksekliği  $183 \text{ km}$ , apoje yüksekliği  $589 \text{ km}$  ve periyodu  $92.25$  dakika olan *Proton I*'i fırlattı. Dünyanın kütlesinin ve çekim sabiti  $G$ 'nin verilen değerlerini kullanarak, (3) denkleminden yörügenin yarı büyük ekseni  $a'$ yı bulun. Yanınızı periye ile apoje yüksekliklerini dünyanın çapına ekleyerek bulduğunuz sayıyla karşılaştırın.
- Viking I'ın yarı büyük ekseni** Ağustos 1975'ten Haziran 1976'ya kadar Mars'ı araştıran *Viking 1* uydusunun periyodu  $1639$  dakikaydı. Bunu ve Mars'ın kütlesinin  $6.418 \times 10^{23} \text{ kg}$  olduğunu kullanarak, *Viking 1*'in yörüngesinin yarı büyük eksenini bulun.

- Mars'ın ortalama çapı** (*Alıştırma 4*'ün devamı) *Viking I* uydusu Mars'tan en yakın noktada  $1499 \text{ km}$ , en uzak noktada ise  $35.800 \text{ km}$  uzaktaydı. Bu bilgileri ve (a) şekilde bulduğunuz değeri kullanarak, Mars'ın ortalama çapını hesaplayın.
- Viking 2'nin periyodu** Eylül 1975'ten Ağustos 1976'ya kadar Mars'ı inceleyen *Viking 2* uydusu, yarı büyük ekseni  $22.030 \text{ km}$  olan bir elips üzerinde ilerliyordu. Yörungesel periyodu neydi? (Yanınızı dakika olarak verin.)
- Jeosenkronize yörüngeler** Dünyanın ekvator düzlemindeki birkaç uydunun, periyotları dünyanın dönme periyoduyla aynı olan, daireselle yakın yörüngeleri vardır. Böyle yörüngelere *jeosenkronize* veya *jeostasyoner* denir, çünkü uydusu Dünya yüzeyi üzerinde aynı noktada tutarlar.
  - Bir jeosenkronize yörüğenin yarı büyük ekseni yaklaşık olarak nedir? Yanınızı açıklayın.
  - Bir jeosenkronize yörünge dünyadan yaklaşık ne kadar yüksektedir?
  - Tablo 13.2'deki uyduların hangilerinin (neredeyse) jeosenkronize yörüngeleri vardır?
- Mars'ın kütlesi  $6.418 \times 10^{23} \text{ kg}$ 'dır. Mars çevresinde dönen bir uyu stasyoner (1477.4 dak olan Mars'ın dönme periyoduyla aynı

periyotlu ) bir yörunge izleyecekse, yörungesinin yarı büyük eksenin ne olmalıdır? Yanınızı açıklayın.

- 9. Dünya'dan Ay'a uzaklık** Ayın dünya çevresindeki dönüşünün periyodu  $2.36055 \times 10^6$  saniyedir. Ay ne kadar uzaktadır?
- 10. Uydu hızı bulmak** Bir uydu Dünya çevresinde dairesel bir yörunge üzerinde ilerler. Uydunun süratini yörunge yarıçapının fonksiyonu olarak ifade edin.
- 11. Yörunge peryotları**  $T$  saniye ve  $a$  metre olarak ölçülürse, güneş sistemimizdeki gezegenler, dünya çevresindeki uydular ve ay çevresindeki uydular için  $T^2/a^3$ 'ün değeri nedir? (Ayın kütlesi  $7.354 \times 10^{22}$  kg'dır.)
- 12. Yörunge tipi** (15) denklemindeki hangi  $v_0$  değerleri için (16) denklemindeki yörunge bir çember, bir elips, bir parabol veya bir hiperboldür?
- 13. Dairesel yörüngeler** Yörungesi dairesel olan bir gezegenin sabit süratle ilerlediğini gösterin (*İpucu:* Kepler'in yasalarından birinin sonucudur).
- 14.  $\mathbf{r}'$ nin düzlemdeki bir eğri üzerinde ilerleyen bir parçasının konum vektörü,  $dA/dt$ 'nin de vektörün alan tarama oranı olduğunu varsayıñ. Koordinatları tanımlamadan ve gerekli türevlerin var olduğunu varsayıyarak,**

$$\frac{dA}{dt} = \frac{1}{2} |\mathbf{r} \times \dot{\mathbf{r}}|$$

denkleminin geçerliğini artırm ve limitlerle veren geometrik bir yorum yapın.

- 15. Keplerin üçüncü kanunu** Kepler'in üçüncü kanununun türetilisini tamamlayın (34 denklemi izleyen kısım).

16 ve 17 alıştırmalarında iki gezegen, gezegen  $A$  ve gezegen  $B$ , güneş çevresinde,  $A$  içteki ve  $B$  de dıştaki gezegen olmak üzere, dairesel yörüngelerde dönüyorlar.  $A$  ve  $B$ 'nin  $t$  anındaki konumlarının sırasıyla

$$\mathbf{r}_A(t) = 2 \cos(2\pi t)\mathbf{i} + 2 \sin(2\pi t)\mathbf{j}$$

ve

$$\mathbf{r}_B(t) = 3 \cos(\pi t)\mathbf{i} + 3 \sin(\pi t)\mathbf{j},$$

olduğunu varsayıñ. Burada güneşin merkezde bulunduğu varsayılmakta ve uzaklık astronomik birimlerle ölçülmektedir (Gezegen  $A$ 'nın gezegen  $B$ 'den hızlı hareket ettiğine dikkat edin).

Gezegen  $A$ 'daki insanlar güneşe değil, gezegenlerine güneş sistemlerinin merkezi olarak bilmektedirler.

- 16. Gezegen  $A$ 'yı** yeni koordinat sisteminin merkezi olarak kullanarak, gezegen  $B$ 'nin  $t$  anındaki konumunun parametrik denklemlerini bulun. Yanınızı  $\cos(\pi t)$  ve  $\sin(\pi t)$  cinsinden ifade edin.
- 17. Gezegen  $A$ 'yı** merkez olarak kullanarak, gezegen  $B$ 'nin izlediği yolun bir grafiğini çizin.

Bu alıştırma Kepler'in zamanından önceki, akıllarında dünya merkezli (gezegen  $A$ ) bir güneş sistemi olan, insanların gezegenlerin hareketlerini anlamada çektilerini zorlukları örnekler (mesela, gezegen  $B =$  Mars). The *American Mathematical Monthly*, Vol. 97, Şubat 1990, s. 105-119'daki D.G. Saari'nın makalesine bakın.

- 18. Kepler, dünyanın güneş etrafındaki yörungesinin odaklarından biri** güneş olan bir elips olduğunu keşfetti.  $\mathbf{r}(t)$ ,  $t$  anında güneşin merkezinden dünyanın merkezine giden konum vektörü olsun.  $\mathbf{w}$  da dünyanın Güney Kutbundan Kuzey Kutbuna giden vektör olsun.  $\mathbf{w}$ 'nın sabit olduğu ve elips düzlemine dik olmadığı (dünyanın eksenin eğiktir) bilinmektedir.  $\mathbf{r}(t)$  ve  $\mathbf{w}$  cinsinden, (i) perihelyonun, (ii) aphelyonun, (iii) ekinoksun, (iv) yaz gündönümü ve (v) kış gündönümünün matematiksel anlamını açıklayın.

## Bölüm 13

### Bölüm Tekrar Soruları

- Vektör fonksiyonların türevlerini ve integrallerini alma kurallarını ifade edin. Örnekler verin.
- Uzaya, yeterince türetilibilecek bir eğri üzerinde hareket eden bir cismin hızını, süratini, hareket yönünü ve ivmesini nasıl tanımlar ve hesaplarsınız? Örnek verin.
- Sabit uzunluklu vektör fonksiyonların türevlerinin ne gibi bir özelliği vardır? Bir örnek verin.
- İdeal mermi hareketinin vektörel ve parametrik denklemeleri nedir? Bir merminin maksimum yüksekliğini, uçuş zamanını ve menzilini nasıl bulursunuz? Örnekler verin.
- Uzaydaki düzgün bir eğrinin bir parçasının uzunluğunu nasıl tanımlar ve hesaplarsınız? Bir örnek verin. Tanımda hangi matematisel varsayımlar kullanılır?
- Uzaydaki düzgün bir eğrinin bir eğrilik, eğrilik çemberi (değin çember), eğrilik merkezi ve eğrilik yarıçaplarını tanımlayın. Örnekler verin. Hangi eğrilerin eğrilikleri sıfır veya sabittir?
- Düzlemdeki iki kere türetilibilecek eğrilerin eğrilik, eğrilik çemberi (değin çember), eğrilik merkezi ve eğrilik yarıçaplarını tanımlayın. Örnekler verin. Hangi eğrilerin eğrilikleri sıfır veya sabittir?
- Düzlemdeki bir eğrinin asal normal vektörü nedir? Ne zaman tanımlıdır? Nereye işaret eder? Örnek verin.
- Uzaydaki eğriler için  $N$  ve  $\kappa$ 'yı nasıl tanımlarsınız? Bu büyüklükler arasındaki ilişki nedir? Örnekler verin.

11. Bir eğrinin binormal vektörü nedir? Bir örnek verin. Bu vektörle eğrinin burulması arasındaki ilişki nedir? Örnek verin.
12. Hareket eden bir cismin ivmesini, teget ve normal bileşenlerinin toplamı olarak yazabilmek için hangi formüller vardır? Örnek ve-

rin. Neden ivmeyi bu şekilde yazmak isteyelim? Ya cisim sabit süratle hareket ediyorsa? Ya sabit bir süratle bir çember üzerinde hareket ediyorsa?

13. Kepler'in yasalarını söyleyin. Neye uygulanırlar?

## Bölüm 13

### Problemler

#### Kartezyen Düzlemede Hareket

1 ve 2 problemlerinde, verilen  $t$  değerlerinde eğrilerin grafiklerini, hız ve ivme vektörlerini çizin. Sonra,  $\mathbf{T}$  ve  $\mathbf{N}$ 'yi bulmadan,  $\mathbf{a}$ 'yı  $\mathbf{a} = a_T \mathbf{T} + a_N \mathbf{N}$  şeklinde yazın ve verilen  $t$  değerlerinde  $\kappa$ 'nın değerini bulun.

1.  $\mathbf{r}(t) = (4 \cos t)\mathbf{i} + (\sqrt{2} \sin t)\mathbf{j}, \quad t = 0 \text{ ve } \pi/4$

2.  $\mathbf{r}(t) = (\sqrt{3} \sec t)\mathbf{i} + (\sqrt{3} \tan t)\mathbf{j}, \quad t = 0$

3. Düzlemdeki bir parçacığın  $t$  anındaki konumu

$$\mathbf{r} = \frac{1}{\sqrt{1+t^2}}\mathbf{i} + \frac{t}{\sqrt{1+t^2}}\mathbf{j}.$$

dir. Parçacığın en yüksek süratini bulun.

4.  $\mathbf{r}(t) = (e^t \cos t)\mathbf{i} + (e^t \sin t)\mathbf{j}$  olsun.  $\mathbf{r}$  ile  $\mathbf{a}$  arasındaki açının hiç değişmediğini gösterin. Açı nedir?

5. **Eğrilik bulmak**  $P$  noktasında, düzlemede ilerleyen bir parçacığın hız ve ivmesi  $\mathbf{v} = 3\mathbf{i} + 4\mathbf{j}$  ve  $\mathbf{a} = 5\mathbf{i} + 15\mathbf{j}$ 'dır. Parçacığın izlediği yolun  $P$ 'deki eğriliğini bulun.

6.  $y = e^x$  eğrisi üzerinde, eğriliğin en büyük olduğu noktayı bulun.

7. Bir parçacık  $xy$ -düzlemindeki bir birim çemberin üzerinde ilerlemektedir.  $t$  anındaki konumu,  $x$  ve  $y$  'nın türetiliblir fonksiyonları olmak üzere,  $\mathbf{r} = x\mathbf{i} + y\mathbf{j}$  ile verilmektedir.  $\mathbf{v} \cdot \mathbf{i} = y$  ise,  $dy/dt$ 'yi bulun. Hareket saat yönüne mi, yoksa saat yönünün tersine midir?

8.  $9y = x^3$  eğrisini izleyen pnömatik bir tüp içinde bir mesaj yolluyorsunuz (uzaklıklar metredir). (3, 3) noktasında  $\mathbf{v} \cdot \mathbf{i} = 4$  ve  $\mathbf{a} \cdot \mathbf{i} = -2$ 'dir.  $\mathbf{v} \cdot \mathbf{j}$  ve  $\mathbf{a} \cdot \mathbf{j}$ 'nin (3, 3)'teki değerlerini bulun.

9. **Dairesel hareketi tanımlamak** Bir parçacık bir düzlemede hız ve konum vektörleri hep dik olacak şekilde ilerlemektedir. Parçacığın merkezi orijinde olan bir çember üzerinde ilerlediğini gösterin.

10. **Bir sikloid boyunca sürat** Yarıçapı 1 ft ve merkezi  $C$  olan bir tekerlek  $x$ -eksenin boyunca saniyede yarınlı tur atarak sağa doğru yuvarlanmaktadır (Aşağıdaki şeke bakın).  $t$ . saniyede, tekerleinin çevresi üzerindeki  $P$  noktasının konum vektörü

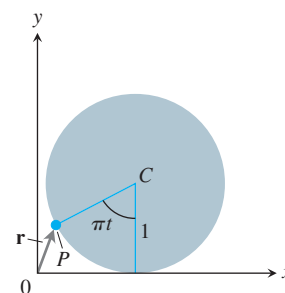
$$\mathbf{r} = (\pi t - \sin \pi t)\mathbf{i} + (1 - \cos \pi t)\mathbf{j}$$

ile verilir.

a.  $0 \leq t \leq 3$  aralığında  $P$ 'nin izlediği eğriyi çizin.

b.  $t = 0, 1, 2$  ve  $3$ 'te  $\mathbf{v}$  ve  $\mathbf{a}$ 'yı bulun ve bu vektörleri çiziminize ekleyin.

c. Herhangi bir zamanda, tekerlein en tepedeki noktasının ve  $C$ 'nin ileri doğru süratini nedir?



#### Mermi Hareketi ve Bir Düzlemede Hareket

11. **Gülle atışı** Bir gülle atıcının, yerden  $6.5$  ft yüksekteki elinden  $45^\circ$ lik açıyla  $44$  ft/s süratle çıkıyor. 3 saniye sonra nerededir?

12. **Cirit** Bir cirit atıcının, yerden  $7$  ft yüksekteki elinden  $45^\circ$ lik açıyla  $80$  ft/s sürttle çıkıyor. Ne kadar yükselir?

13. Bir golf topuna, yatayla  $\phi$  açısı yapan düzgün yüzeyli bir tepenin yamacından yatayla  $\alpha$  açısı yapacak şekilde  $v_0$  başlangıç süratiley vurulmaktadır. Burada

$$0 < \phi < \alpha < \frac{\pi}{2}$$

olarak verilmektedir. Topun tepenin üzerinden ölçülen

$$\frac{2v_0^2 \cos \alpha}{g \cos^2 \phi} \sin(\alpha - \phi)$$

uzaklığında yere düşeceğini gösterin. Buradan, verilen bir  $v_0$  için en büyük menzilin  $\alpha = (\phi/2) + (\pi/4)$  iken, yani başlangıç hızı vektörünün dikey ile tepe arasındaki açının açıortayı olduğu zaman, ortaya çıkacağını gösterin.

- T 14. Diktatör** Sivil Savaş havan topu Diktatör o kadar ağırdı (17.120 lb) ki, bir trene yüklenmesi gerekiyordu. Ağzı 13 inçti ve 200 lb'lik bir top fırlatmak için 20 lb barut harcıyordu. Havan, Pittsburg, Pensilvanya'daki işliğinde Bay Charles Knapp tarafından yapılmış ve 1864'te Petersburg, Virginia, kuşatmasında Kuzey ordusu tarafından kullanılmıştı. Ne kadar uzağa ateş edebiliyordu? Burada bir görüş ayrılığı vardır. Kullanım kitabı 4325 yd olduğunu iddia ederken, saha subayları 4752 yd olduğunu iddia ediyorlardı. 45°lik bir atışeme açısı varsayıarak, burada hangi hızlar söz konusudur?

**T 15. Bir şampanya mantarı patlama dünya rekoru**

- 1988'e kadar, bir şampanya mantarı patlatma rekoru İngiliz Kralliyet Ordusu Topçu Yüzbaşı (elbette ki) Michael Hill tarafından kırılan 109 ft 6 inçti. Yüzbaşı Hill'in şiseti yerle 45° yapacak şekilde tuttuğunu ve mantarın ideal bir mermi gibi davranışını varsayıarak, mantarın şişeden ayrılma hızını bulun.
- 117 ft 9 inçlik yeni rekor 5 Haziran 1988'de Rensselaer Politeknik Enstitüsü'nden Prof. Emeritus Heinrich tarafından Woodbury Bağları Şaraphanesi, New York'ta yerden 4 ft yükselen atılarak kırılmıştır. Ideal bir yörunge varsayırsanız, mantarın ilk hızı nedir?

- T 16. Cirit** 1988'de Potsdam'da, (o zamanki) Doğu Alman Petra Felke bir ciriti 262 ft 5 inç fırlatarak kadınlar dünya rekorunu kırdı.

- Felke'nin ciriti yatayla 40°lik bir açı yapacak şekilde yerden 6.5 ft yukarıdan attığını varsayırsak, ciritin ilk hızı neydi?
- Cirit ne kadar yükseğe çıktı?

**17. Senkronize eğriler** İdeal mermi denklemleri olan

$$x = (v_0 \cos \alpha)t, \quad y = (v_0 \sin \alpha)t - \frac{1}{2}gt^2,$$

denklemlerinden  $\alpha$ 'yı yok ederek,  $x^2 + (y + gt^2/2)^2 = v_0^2 t^2$  olduğunu gösterin. Bu orijinden aynı başlangıç süratiley aynı anda fırlatılan mermilerin, herhangi bir anda, atış açılarına bakılmaksızın, merkezi  $(0, -gt^2/2)$ 'de olan  $v_0 t$  yarıçaplı çember üzerinde bulunduklarını gösterir. Bu çemberler atışın *senkronize eğrileridir*.

- 18. Eğrilik yarıçapı** İki kere türetilen bir  $\mathbf{r}(t) = f(t)\mathbf{i} + g(t)\mathbf{j}$  düzlem eğrisinin eğrilik yarıçapının

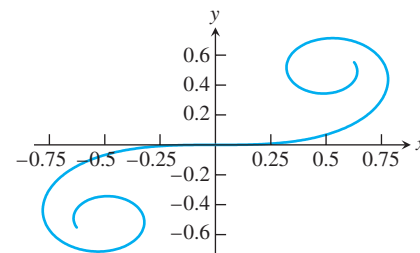
$$\ddot{s} = \frac{d}{dt} \sqrt{\dot{x}^2 + \dot{y}^2} \text{ olmak üzere } \rho = \frac{\dot{x}^2 + \dot{y}^2}{\sqrt{\dot{x}^2 + \dot{y}^2 - \ddot{s}^2}}$$

olduğunu gösterin.

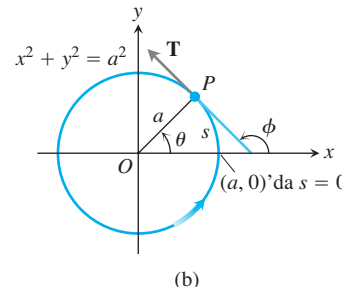
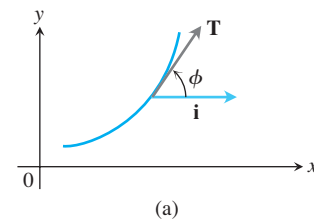
**19. Eğrilik**

$$\mathbf{r}(t) = \left( \int_0^t \cos \left( \frac{1}{2} \pi \theta^2 \right) d\theta \right) \mathbf{i} + \left( \int_0^t \sin \left( \frac{1}{2} \pi \theta^2 \right) d\theta \right) \mathbf{j}$$

Eğrisinin eğrilğini eğri boyunca orijinden ölçülen yönlü  $s$  mesafesinin fonksiyonu olarak ifade edin. (Şekle bakın.)



- 20. Düzlemede eğriliğin alternatif bir tanımı** Alternatif bir tanım düzlemede yeterince türetilen bir eğrinin eğriliğini,  $\mathbf{T}$  ile  $\mathbf{i}$  arasındaki açı  $\phi$  olmak üzere,  $|d\phi/ds|$  olarak verir (Şekil 13.40a). Şekil 13.40b,  $x^2 + y^2 = a^2$  çemberi üzerinde  $(a, 0)$  noktasından bir  $P$  noktasına kadar saat yönünün tersine ölçülen  $s$  mesafesini,  $P$ 'deki açısıyla birlikte göstermektedir. Alternatif tanımı kullanarak çemberin eğriliğini hesaplayın (İpucu:  $\phi = \theta + \pi/2$ ).



**ŞEKİL 13.40** Alıştırma 20'nin şekilleri

**Uzaya Hareket**

21 ve 22 problemlerindeki eğrilerin uzunluklarını bulun.

- $\mathbf{r}(t) = (2 \cos t)\mathbf{i} + (2 \sin t)\mathbf{j} + t^2\mathbf{k}$ ,  $0 \leq t \leq \pi/4$
- $\mathbf{r}(t) = (3 \cos t)\mathbf{i} + (3 \sin t)\mathbf{j} + 2t^{3/2}\mathbf{k}$ ,  $0 \leq t \leq 3$

23–26 problemlerinde verilen  $t$  değerinde  $\mathbf{T}$ ,  $\mathbf{N}$ ,  $\mathbf{B}$ ,  $\kappa$  ve  $\tau$ 'yu bulun.

- $\mathbf{r}(t) = \frac{4}{9}(1+t)^{3/2}\mathbf{i} + \frac{4}{9}(1-t)^{3/2}\mathbf{j} + \frac{1}{3}t\mathbf{k}$ ,  $t = 0$

24.  $\mathbf{r}(t) = (e' \sin 2t)\mathbf{i} + (e' \cos 2t)\mathbf{j} + 2e'\mathbf{k}, \quad t = 0$

25.  $\mathbf{r}(t) = t\mathbf{i} + \frac{1}{2}e^{2t}\mathbf{j}, \quad t = \ln 2$

26.  $\mathbf{r}(t) = (3 \cosh 2t)\mathbf{i} + (3 \sinh 2t)\mathbf{j} + 6t\mathbf{k}, \quad t = \ln 2$

27 ve 28 problemlerinde,  $\mathbf{T}$  ve  $\mathbf{N}$ 'yi bulmadan,  $t = 0$ 'da  $\mathbf{a}$ 'yı  $\mathbf{a} = a_T \mathbf{T} + a_N \mathbf{N}$  şeklinde yazın.

27.  $\mathbf{r}(t) = (2 + 3t + 3t^2)\mathbf{i} + (4t + 4t^2)\mathbf{j} - (6 \cos t)\mathbf{k}$

28.  $\mathbf{r}(t) = (2 + t)\mathbf{i} + (t + 2t^2)\mathbf{j} + (1 + t^2)\mathbf{k}$

29.  $\mathbf{r}(t) = (\sin t)\mathbf{i} + (\sqrt{2} \cos t)\mathbf{j} + (\sin t)\mathbf{k}$  ise,  $\mathbf{T}$ ,  $\mathbf{N}$ ,  $\mathbf{B}$ ,  $\kappa$  ve  $\tau'$  yu  $t$ 'nin fonksiyonları olarak bulun.

30.  $0 \leq t \leq \pi$  aralığının hangi zamanlarında  $\mathbf{r}(t) = \mathbf{i} + (5 \cos t)\mathbf{j} + (3 \sin t)\mathbf{k}$  hareketinin hız ve ivme vektörleri ortogonaldır?

31.  $t \geq 0$  zamanında uzayda ilerleyen bir parçacığın konumu

$$\mathbf{r}(t) = 2\mathbf{i} + \left(4 \sin \frac{t}{2}\right)\mathbf{j} + \left(3 - \frac{t}{\pi}\right)\mathbf{k}$$

olarak verilmektedir.  $\mathbf{r}$ 'nin  $\mathbf{i} - \mathbf{j}$  vektörüne ilk olarak ne zaman ortogonal olduğunu bulun.

32.  $\mathbf{r}(t) = t\mathbf{i} + t^2\mathbf{j} + t^3\mathbf{k}$  eğrisinin degen, normal ve doğrultucu düzlemlerin denklemlerini bulun.

33.  $\mathbf{r}(t) = e'\mathbf{i} + (\sin t)\mathbf{j} + \ln(1-t)\mathbf{k}$  eğrisine  $t = 0$ 'da teğet olan doğrunun parametrik denklemlerini bulun.

34.  $\mathbf{r}(t) = (\sqrt{2} \cos t)\mathbf{i} + (\sqrt{2} \sin t)\mathbf{j} + t\mathbf{k}$  helisine  $t = \pi/4$ 'te teğet olan doğrunun parametrik denklemlerini bulun.

35. **Skylab 4'ten bir manzara** *Skylab 4* apoje yüksekliğinde, yani yer yüzünden 437 km yüksekteyse, astronotlar Dünya yüzeyinin yüzde kaçını görebilirler? Bunu bulmak için, görünebilir yüzeyi aşağıda görülen GT yayın y-ekseni etrafında döndürülmesiyle üretilen yüzey olarak modelleyin. Sonra aşağıdaki adımları gerçekleştirin:

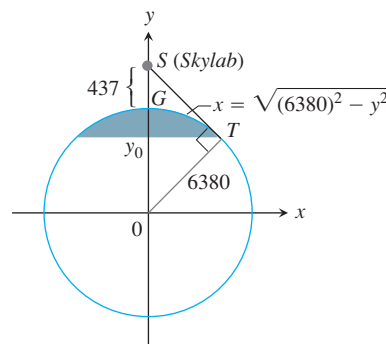
1. Şekildeki benzer üçgenleri kullanarak,  $y_0/6380 = 6380/(6380 + 437)$  olduğunu gösterin.  $y_0$ 'yı çözün.

2. Dört basamak hassaslıkla, görünebilir yüzey

$$VA = \int_{y_0}^{6380} 2\pi x \sqrt{1 + \left(\frac{dx}{dy}\right)^2} dy$$

olarak hesaplayın.

3. Sonucu Dünya'nın yüzey alanının bir yüzdesi olarak ifade edin.



## Bölüm 13

### Ek ve İleri Alıştırmalar

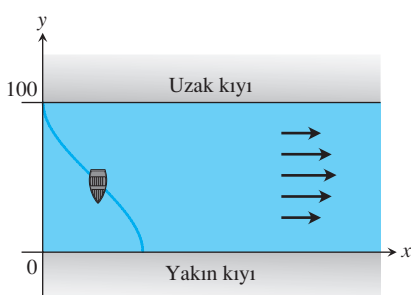
#### Uygulamalar

1. Düz bir nehir 100 m genişliğindedir. Bir sandal uzaktaki kıyıdan  $t = 0$  anında ayrılmaktadır. Sandaldaki kişi sürekli yakın kıyıya doğru 20 m/dak süratle kürek çekmektedir. Nehrin  $(x, y)$ 'deki hızı

$$\mathbf{v} = \left(-\frac{1}{250}(y - 50)^2 + 10\right)\mathbf{i} \text{ m/min}, \quad 0 < y < 100$$

m/dak ile verilmektedir.

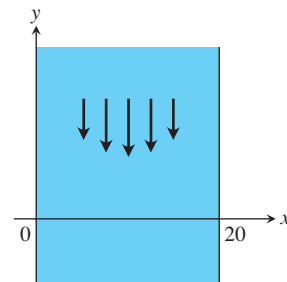
- a.  $\mathbf{r}(0) = 0\mathbf{i} + 100\mathbf{j}$  ise,  $t$  anında kayığın konumu nedir?  
b. Sandal yakın kıyıya başladığı yerden ne kadar uzakta varacaktır?



2. Düz bir nehir 20 m genişliğindedir. Nehrin  $(x, y)$ 'deki hızı

$$\mathbf{v} = -\frac{3x(20-x)}{100}\mathbf{j} \text{ m/min}, \quad 0 \leq x \leq 20$$

ile verilmektedir. Bir sandal kıyıdaki  $(0, 0)$  noktasından ayrılr ve suda sabit bir hızla gider. Karşı kıyıya  $(20, 0)$ 'da varır. Kayığın süratü hep  $\sqrt{20}$  m/dak'dır.



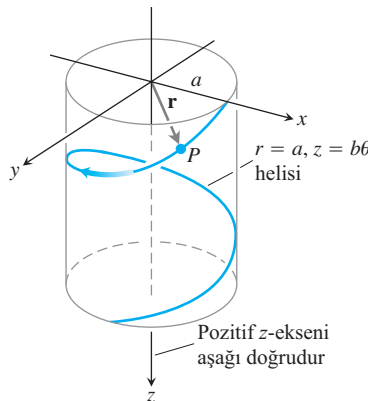
- a. Sandalın hızını bulun.  
b.  $t$  anında sandalın konumunu bulun.  
c. Sandalın izlediği yolu çizin.

3.  $t = 0$  anında  $(a, 0, 0)$  noktasından durgun durumdan harekete başlayan sürtünmesiz  $P$  parçası aşağıdaki şekilde görüldüğü gibi yerçekiminin etkisiyle

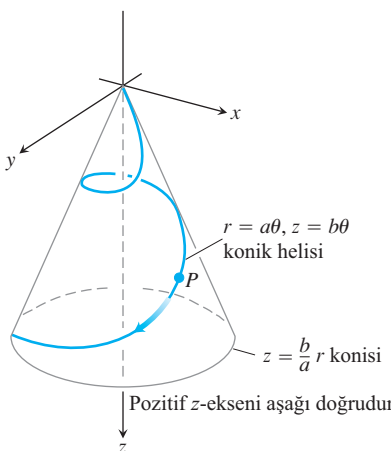
$$\mathbf{r}(\theta) = (a \cos \theta)\mathbf{i} + (a \sin \theta)\mathbf{j} + b\theta\mathbf{k} \quad (a, b > 0)$$

helisinden aşağı kaymaktadır. Bu denklemdeki  $\theta$  silindirik koordinat  $\theta$ 'dır ve helis, silindirik koordinatlarda,  $r = a$ ,  $z = b\theta$ ,  $\theta \geq 0$  eğrisidir. Hareket boyunca  $\theta$ 'nın  $t$ 'nin türetilebilir bir fonksiyon olduğunu varsayıyoruz. Enerji korunumu yasası  $z$  mesafesi kadar düştükten sonra parçacığın süratinin,  $g$  sabit yerçekimi ivmesi olmak üzere,  $\sqrt{2gz}$ , olduğunu söyler.

- a.  $\theta = 2\pi$  iken, açısal hız  $d\theta/dt$ 'yi bulun.
- b. Parçacığın  $\theta$ - ve  $z$ -koordinatlarını  $t$ 'nin fonksiyonları olarak ifade edin.
- c.  $d\mathbf{r}/dt$  hızı ve  $d^2\mathbf{r}/dt^2$  ivmesinin teget ve normal bileşenlerini  $t$ 'nin fonksiyonları olarak ifade edin. İvmenin binormal  $\mathbf{B}$  vektörü yönünde sıfırdan farklı bir bileşeni var mıdır?



4. Alıştırma 3'teki eğri yerine, aşağıdaki şekilde görülen  $r = a\theta$ ,  $z = b\theta$  konik helisinin konulduğunu varsayıyın.
- a. Açısal hız  $d\theta/dt$ 'yi  $\theta$ 'nın bir fonksiyonu olarak ifade edin.
  - b. Parçacığın helis üzerinde gittiği yolu  $\theta$ 'nın bir fonksiyonu olarak ifade edin



## Kutupsal Koordinat Sistemi ve Uzayda Hareket

5.

$$r = \frac{(1+e)r_0}{1+e \cos \theta}$$

yörunge denkleminden bir gezegenin  $\theta = 0$  iken güneşe en yakın durumda olduğunu çıkarın ve o anda  $r = r_0$  olduğunu gösterin.

- T 6. Bir Kepler denklemi** Verilen bir zaman ve tarihte bir gezegenin yörüngesi üzerinde nerede olduğunu belirleme problemi

$$f(x) = x - 1 - \frac{1}{2} \sin x = 0$$

şeklinde "Kepler" denklemelerini çözmeyi gerektirir.

- a. Bu özel denklem  $x = 0$  ile  $x = 2$  arasında bir çözümünün olduğunu gösterin.
- b. Radyan modundaki bilgisayarınız veya hesap makinenizle, Newton yöntemini kullanarak yapabildiğiniz basamağa kadar çözümü bulun.

7. Bölüm 13.6'da, düzlemden ilerleyen bir parçacığın hızını

$$\mathbf{v} = \dot{x}\mathbf{i} + \dot{y}\mathbf{j} = \dot{r}\mathbf{u}_r + r\dot{\theta}\mathbf{u}_\theta$$

olarak bulduk.

- a.  $\mathbf{v} \cdot \mathbf{i}$  ve  $\mathbf{v} \cdot \mathbf{j}$  skaler çarpımlarını hesaplayarak,  $\dot{x}$  ve  $\dot{y}$ 'yı  $\dot{r}$  ve  $r\dot{\theta}$  cinsinden ifade edin.
- b.  $\mathbf{v} \cdot \mathbf{u}_r$  ve  $\mathbf{v} \cdot \mathbf{u}_\theta$  skaler çarpımlarını hesaplayarak,  $\dot{r}$  ve  $r\dot{\theta}$ 'yı  $\dot{x}$  ve  $\dot{y}$  cinsinden ifade edin.

8. Kutupsal düzlemede iki kere türetilebilir bir  $r = f(\theta)$  eğrisinin eğriliğini  $f$  ve türevleri cinsinden ifade edin.

9. Kutupsal koordinat düzleminin orijininden geçen ince bir çubuk orijin etrafında 3 rad/dak hızla dönmektedir (düzlemin içinde).  $(2, 0)$  noktasından harekete başlayan bir böcek çubuk üzerinde orijine doğru 1 inç/dak hızla ilerler.

- a. Orijinden yarı yol (1 inç) uzaktayken, böceğin ivmesini ve hızını kutupsal formda bulun.
- b. Bir inçin onda biri hassasılıkla, orijine ulaştığında böceğin izlemiş olduğu yolu uzunluğu ne olacaktır?

10. **Açısal momentum korunumu**  $\mathbf{r}(t)$  uzaya hareket eden bir cisimin  $t$  anındaki konumunu göstersin. Cisme  $t$  anında etkiyen kuvvetin,  $c$  bir sabit olmak üzere,

$$\mathbf{F}(t) = -\frac{c}{|\mathbf{r}(t)|^3} \mathbf{r}(t).$$

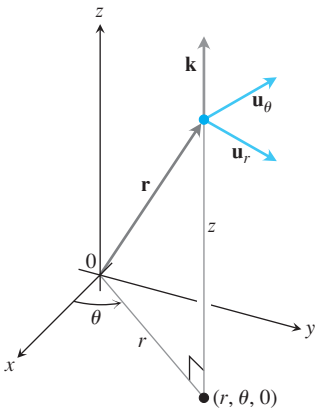
olduğunu varsayıyın. Fizikte, bir cismin  $t$  anındaki **açısal momentumu**,  $m$  cismin kütlesi ve  $\mathbf{v}(t)$  de hızı olmak üzere,  $\mathbf{L}(t) = \mathbf{r}(t) \times m\mathbf{v}(t)$  şeklinde tanımlanır. Açısal momentumun korunan bir büyülüklük olduğunu ispatlayın; yani,  $\mathbf{L}(t)$ 'nin zamanдан bağımsız, sabit bir vektör olduğunu ispatlayın. Newton yasası  $\mathbf{F} = ma$ 'yı hatırlayın (Bu bir fizik değil, bir analiz problemidir).

### Silindirik Koordinat Sistemi

- 11. Silindirik koordinatlarda konum ve hareket için birim vektörler** Uzayda hareket eden bir parçacığın konumu silindirik koordinatlarda verildiğinde, konumunu ve hareketini tanımlamada kullandığımız birim vektörler

$$\mathbf{u}_r = (\cos \theta) \mathbf{i} + (\sin \theta) \mathbf{j}, \quad \mathbf{u}_\theta = -(\sin \theta) \mathbf{i} + (\cos \theta) \mathbf{j},$$

ve  $\mathbf{k}$ 'dır (şekle bakın). Bu durumda parçacığın konum vektörü,  $\mathbf{r}$  parçacığın konumunun pozitif kutupsal uzunluğu olmak üzere,  $\mathbf{r} = r \mathbf{u}_r + z \mathbf{k}$  olur.



- a.  $\mathbf{u}_r$ ,  $\mathbf{u}_\theta$  ve  $\mathbf{k}$ 'nin, bu sırayla, sağ el kuralına uygun bir çerçeveye oluşturduklarını gösterin.

b.

$$\frac{d\mathbf{u}_r}{d\theta} = \mathbf{u}_\theta \quad \text{ve} \quad \frac{d\mathbf{u}_\theta}{d\theta} = -\mathbf{u}_r$$

olduğunu gösterin.

- c.  $t'$ ye göre gerekli türevlerin var olduğunu varsayıarak,  $\mathbf{v} = \dot{\mathbf{r}}$   $\mathbf{v} = \dot{\mathbf{r}}' \mathbf{y}_1 \mathbf{u}_r$ ,  $\mathbf{u}_\theta$ ,  $\mathbf{k}$ ,  $\dot{\mathbf{r}}$  ve  $\dot{\theta}$  cinsinden ifade edin (Noktalar  $t'$ ye göre türevi belirtirler,  $\dot{\mathbf{r}} d\mathbf{r}/dt$ ,  $\dot{\mathbf{r}}^2 d^2\mathbf{r}/dt^2$  anlamına gelir vs.). Bölüm 13.6 bu formülleri türetir ve burada söz edilen vektörlerin gezegen hareketini tanımlamada nasıl kullanıldıklarını gösterir.

### 12. Silindirik koordinatlarda yay uzunluğu

- a.  $ds^2 = dx^2 + dy^2 + dz^2$ 'yi silindirik koordinatlarda ifade ettiğinizde,  $ds^2 = dr^2 + r^2 d\theta^2 + dz^2$  elde edeceğinizi gösterin.
- b. Bu sonucu bir kutunun köşeleri ve bir köşegeni cinsinden geometrik olarak yorumlayın. Kutuyu çizin.
- c. (a) şıklındaki sonucu kullanarak  $r = e^\theta$ ,  $z = e^\theta$ ,  $0 \leq \theta \leq \theta \ln 8$ , eğrisinin uzunluğunu bulun.

## Bölüm 13

### Teknoloji Uygulama Projeleri

#### Mathematica/Maple Module

##### Hareketli Bir Cismin Radar Takibi

Hareketi analiz etmek için konum, hız ve ivme vektörlerini canlandırın.

#### Mathematica/Maple Module

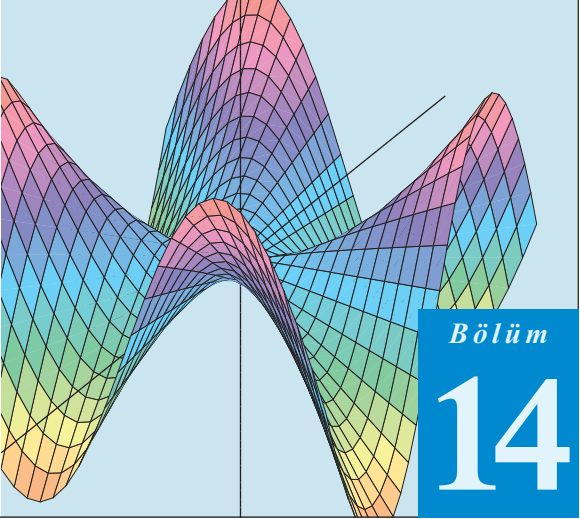
##### Bir Şekil çizici ile Parametrik ve Kutupsal Denklemler

Hareketi analiz etmek için konum, hız ve ivme vektörlerini canlandırın.

#### Mathematica/Maple Module

##### Üç Boyutta Hareket

Bir uzay eğrisi boyunca hareket için kat edilen mesafe, hız, eğrilik ve burulma hesaplayın. Bir uzay eğrisi boyunca harekete karşı gelen teğet, normal ve binormal vektörleri canlandırın ve hesaplayın.



Bölüm

# 14

## KİSMİ TÜREVLER

**GİRİŞ** Bir gerçek-dünya olayının araştırılmasında incelenen çokluk genelde iki veya daha çok bağımsız değişkene bağlıdır. Dolayısıyla, tek değişkenli fonksiyonların analizindeki temel fikirleri çok değişkenli fonksiyonlara genişletmeliyiz. Aslında kurallar aynı kalsada analizleri daha zengindir. Değişkenlerin etkileşim yollarının farklılığı nedeniyle çok değişkenli fonksiyonların türevleri daha çeşitli ve daha ilginçtir. İntegrallerinin çok daha geniş uygulama alanları vardır. Birkaçından bahsetmek gerekirde, olasılık, istatistik, akışkanlar dinamigi ve elektik araştırmalarının hepsi doğal bir şekilde birden fazla değişkenli fonksiyonlara yol açarlar.

### 14.1

#### Çok Değişkenli Fonksiyonlar

Çoğu fonksiyon birden fazla bağımsız değişkene bağlıdır.  $V = \pi r^2 h$  fonksiyonu, yarıçapı ve yüksekliğinden dik bir silindirin hacmini hesaplar.  $f(x, y) = x^2 + y^2$  fonksiyonu  $z = x^2 + y^2$  paraboloidinin  $P(x, y)$  noktasının üzerindeki yüksekliğini  $P$ 'nin iki koordinatından hesaplar. Dünya yüzeyindeki bir noktanın sıcaklığı  $T$ , enlemi  $x$  ve boylamı  $y$ 'ye bağlıdır ve  $T(x, y)$  yazarak ifade edilir. Bu bölümde, birden fazla bağımsız değişkenli fonksiyonları tanımlayacak ve grafiklerinin nasıl çizileceğini tartışacağız.

Çok değişkenli reel değerli fonksiyonlar tek değişkenli durumda kine benzer şekilde tanımlanırlar. Tanım kümeleri reel sayı ikililerinden (üçlülerinden, dörtlülerinden,  $n$ -lilerinden) oluşan kümeler, değer kümeleri ise şimdije kadar çalışmış olduğumuz reel sayı kümeleridir.

#### TANIMLAR

#### $n$ Bağımsız Değişkenli Fonksiyonlar

$D$ 'nin reel sayılarından oluşan  $(x_1, x_2, \dots, x_n)$   $n$ -lilerinin bir kümesi olduğunu varsayıñ.  $D$  üzerinde **reel değerli** bir  $f$  **fonksiyonu**,  $D$ 'deki her elemana bir

$$w = (x_1, x_2, \dots, x_n)$$

reel sayısı atayan bir kuraldır.  $D$  kümesi fonksiyonun **tanım kumesidir**.  $f$ 'nin aldığı  $w$  değerlerinin kümesi fonksiyonun **değer kumesidir**.  $w$  simbolü  $f$ 'nin bağımlı değişkenidir ve  $f$ 'ye  $x_1$ den  $x_n$ 'e kadar olan  $n$  **bağımsız değişkenin** bir fonksiyonu denir. Ayrıca  $x$ 'lere fonksiyonun **girdi değişkenleri**,  $w$ 'ye de fonksiyonun **çıktı değişkeni** deriz.

$f$  iki bağımsız değişkenli bir fonksiyon ise, genellikle bağımsız değişkenleri  $x$  ve  $y$  olarak adlandırır ve  $f$ 'nin tanım kümesini  $xy$ -düzleminde bir bölge olarak gözümüzde canlandıırız. Üç bağımsız değişkenli bir fonksiyon için de değişkenlere  $x$ ,  $y$  ve  $z$  der ve tanım kümesini uzayda bir bölge olarak düşünürüz.

Uygulamalarda, değişkenlerin neyi temsil ettiğini bize hatırlatan harfler kullanmayı tercih ederiz. Bir dik silindirin hacminin, silindirin yarıçapının ve yüksekliğinin bir fonksiyonu olduğunu söylemek için,  $V = f(r; h)$  yazabiliriz. Daha açık olmak gerekirse,  $f(r; h)$  gösterimi yerine  $V$ 'yi  $r$  ve  $h$ 'nin değerlerinden hesaplayan bir formül koyabilir ve  $V = \pi r^2 h$  yazabiliriz. Her iki durumda da,  $r$  ve  $h$  fonksiyonun bağımsız değişkenlerini,  $V$  de bağımlı değişkeni simgeleyecektir.

Her zamanki gibi, formüllerle tanımlanan fonksiyonları, bağımsız değişkenlerin değerlerini formülde yerine yazıp karşı gelen bağlı değişkenin değerini bularak hesaplarız.

### ÖRNEK 1 Bir Fonksiyonu Hesaplamak

$$f(x, y, z) = \sqrt{x^2 + y^2 + z^2}$$
 nin  $(3, 0, 4)$  noktasındaki değeri  

$$f(3, 0, 4) = \sqrt{(3)^2 + (0)^2 + (4)^2} = \sqrt{25} = 5.$$

olarak bulunur. Bölüm 12.1'den  $f$ 'yi Kartezyen uzay koordinatlarında orijinden  $(x, y, z)$  noktasına uzaklık fonksiyonu olarak hatırlıyoruz. ■

### Tanım Kümeleri

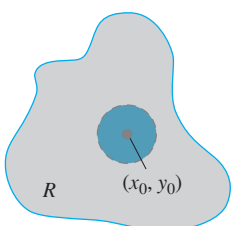
Birden fazla değişkenli fonksiyonları tanımlarken, her zamanki gibi kompleks sayılar ve ya sıfırla bölmeye yol açan girdiler koymamaya çalışırız.  $f(x, y) = \sqrt{y - x^2}$  ise,  $y$  değeri  $x^2$ 'den küçük olamaz.  $f(x, y) = 1/(xy)$  ise,  $xy$  çarpımı sıfır olamaz. Bunların dışında, fonksiyonların tanım kümeleri tanımlayıcı kuralların reel sayı üretikleri en büyük kümelerdir.

### ÖRNEK 2(a) İki Değişkenli Fonksiyonlar

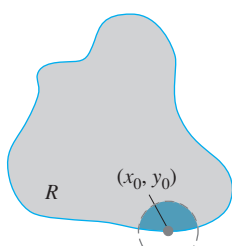
Fonksiyon	Tanım kümesi	Değer Kümesi
$w = \sqrt{y - x^2}$	$y \geq x^2$	$[0, \infty)$
$w = \frac{1}{xy}$	$xy \neq 0$	$(-\infty, 0) \cup (0, \infty)$
$w = \sin xy$	Tüm düzlem	$[-1, 1]$

### (b) Üç Değişkenli Fonksiyonlar

Fonksiyon	Tanım kümesi	Değer Kümesi
$w = \sqrt{x^2 + y^2 + z^2}$	Tüm düzlem	$[0, \infty)$
$w = \frac{1}{x^2 + y^2 + z^2}$	$(x, y, z) \neq (0, 0, 0)$	$(0, \infty)$
$w = xy \ln z$	$z > 0$ yarım uzayı	$(-\infty, \infty)$



(a) İç nokta



(b) Sınır noktası

**ŞEKİL 14.1** Düzlemdeki bir  $R$  bölgesinin iç noktaları ve sınır noktaları. Bir iç noktanın  $R$ 'nin bir noktası olması gereklidir.  $R$ 'nin bir sınır noktasının  $R$ 'ye ait olması gerekmeyez.

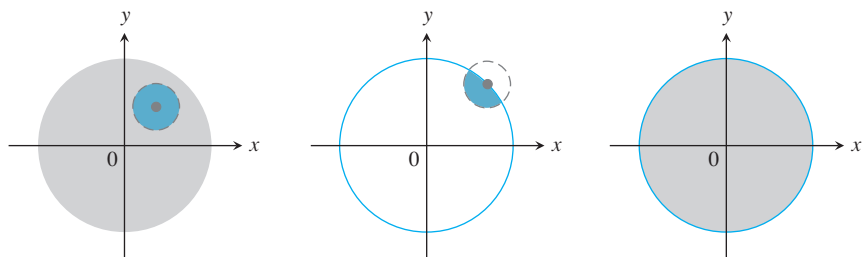
## İki Değişkenli Fonksiyonlar

Tıpkı reel doğrudaki aralıklarda olduğu gibi düzlemdeki bölgelerin de iç noktaları ve sınır noktaları var olabilir.  $[a, b]$  kapalı aralıkları sınır noktalarını içerirler,  $(a, b)$  açık aralıkları sınır noktalarını içermezler,  $[a, b)$  gibi aralıklar da ne açık ne de kapalıdır.

### TANIMLAR İç ve Sınır Noktalar, Açık, Kapalı

$xy$ -düzleminde bir  $R$  bölgesindeki (kümesindeki) bir  $(x_0, y_0)$  noktası, bütünüyle  $R$ 'nin içinde bulunan pozitif yarıçaplı bir dairenin merkezi ise  $R$ 'nin bir **İç noktası**dır (Şekil 14.1). Merkezi  $(x_0, y_0)$ 'da olan her daire  $R$ 'nin içinden noktaların yanı sıra  $R$ 'nin dışından da noktalar içeriyorsa,  $R$ 'nin bir **sınır noktası**dır. (Sınır noktasının  $R$ 'ye ait olması gerekmeyez.)

Bir bölgenin iç noktaları, bir küme olarak, bölgenin **İçini** oluştururlar. Bölgenin sınır noktaları bölgenin **Sınırını** oluştururlar. Bir bölge sadece iç noktalarından oluşuyorsa **Açıktır**. Bir bölge bütün sınır noktalarını içeriyorsa **Kapalıdır** (Şekil 14.2).



$$\{(x, y) | x^2 + y^2 < 1\}$$

Açık birim daire.  
Her nokta bir iç  
noktadır.

$$\{(x, y) | x^2 + y^2 = 1\}$$

Birim dairenin sınırı  
(Birim çember).

$$\{(x, y) | x^2 + y^2 \leq 1\}$$

Kapalı birim daire.  
Bütün sınır noktalarını  
icerir.

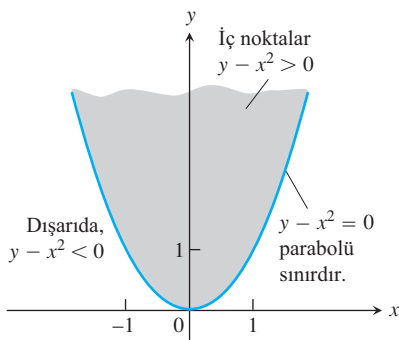
**ŞEKİL 14.2** Düzlemede birim dairenin iç noktaları ve sınır noktaları.

Reel sayı aralıklarında olduğu gibi, düzlemdeki bazı bölgeler ne açık ne de kapalıdır. Şekil 14.2'deki açık daire ile işe başlar ve ona sınır noktalarının hepsi değil de bazılarını eklerseniz, ortaya çıkan küme ne açık ne de kapalıdır. Orada bulunan sınır noktaları kümeyi açık olmasını engeller. Kalan sınır noktalarının bulunmayışı ise kümeyi kapalı olmasını engeller.

### TANIMLAR Düzlemede Sınırı ve Sınırı Olmayan Bölgeler

Düzlemdeki bir bölge sabit yarıçaplı bir dairenin içindeyse **sınırlıdır**. Aksi taktirde bölge, **sınırı olmayan (sınırsız)** bir bölgedir.

Düzlemede *sınırlı* kümelere örnekler doğru parçaları, üçgenler, üçgenlerin içleri, dikdörtgenler, çemberler ve dairelerdir. *Sınırı olmayan* kümelere örnekler de doğrular, koordinat eksenleri, sonsuz aralıklarda tanımlı fonksiyonların grafikleri, dörtte bir bölgeler, yarı düzlemler ve düzlemin kendisidir.



**ŞEKİL 14.3**  $f(x, y) = \sqrt{y - x^2}$ ,nin tanım kümesi renkli bölge ve sınırlayıcı parabol  $y = x^2$ den oluşur (Örnek 3).

### ÖRNEK 3 İki Değişkenli Bir Fonksiyonun Tanım Kümesini Belirlemek

$f(x, y) = \sqrt{y - x^2}$  fonksiyonunun tanım kümesini belirleyin.

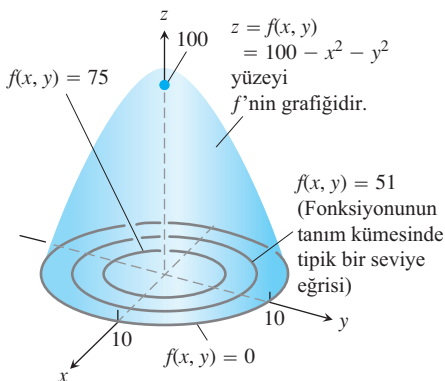
**Çözüm**  $f$  fonksiyonu sadece  $y - x^2 \geq 0$  olduğu yerlerde tanımlı olduğundan, tanım kümesi Şekil 14.3'te gösterilen kapalı, sınırlı olmayan bölgedir.  $y - x^2$  parabolü tanım kümesinin sınıridir. Parabolün üst tarafındaki noktalar tanım kümesinin içini oluşturur. ■

### İki Değişkenli Fonksiyonların Grafikler, Seviye Eğrileri ve Kontur Çizgileri

Bir  $f(x, y)$  fonksiyonunun değerlerini resimlemenin iki standart yolu vardır. Biri, tanım kümesinde  $f$ 'nin sabit bir değer aldığı eğrileri çizip isimlendirmektir. Diğer ise, uzayda  $z = f(x, y)$  yüzeyini çizmektir.

#### TANIMLAR Seviye Eğrisi, Grafik, Yüzey

Düzlemede, bir  $f(x, y)$  fonksiyonunun  $f(x, y) = c$  gibi sabit bir değer aldığı noktalar kümesine  $f$ 'nin bir **seviye eğrisi** denir.  $(x, y)$  noktası  $f$ 'nin tanım aralığında olmak üzere, bütün  $(x, y, f(x, y))$  noktalarının kümesine  $f$ 'nin **grafiği** denir.  $f$ 'nin grafiğine ayrıca  $z = f(x, y)$  **yüzeyi** de denir.



**ŞEKİL 14.4**  $f(x, y) = 100 - x^2 - y^2$  fonksiyonunun grafiği ve seçilmiş seviye eğrileri (Örnek 4).

### ÖRNEK 4 İki Değişkenli Bir Fonksiyonu Çizmek

$f(x, y) = 100 - x^2 - y^2$ 'nin grafiğini çizin ve  $f$ 'nin düzlemedeki tanım kümesinde  $f(x, y) = 0$ ,  $f(x, y) = 51$  ve  $f(x, y) = 75$  seviye eğrilerini işaretleyin.

**Çözüm**  $f$ 'nin tanım kümesi bütün  $xy$ -düzlemdir ve  $f$ 'nin değer kümesi 100'e eşit veya 100'den küçük reel sayıların kümesidir. Grafiği, Şekil 14.4'te bir kısmı gösterilen  $z = 100 - x^2 - y^2$  paraboloidi dir.

$f(x, y) = 0$  seviye eğrisi,  $xy$ -düzleminde

$$f(x, y) = 100 - x^2 - y^2 = 0 \quad \text{veya} \quad x^2 + y^2 = 100$$

koşulunu sağlayan noktalar kümesidir ki, o da merkezi orijinde olan 10 yarıçaplı çemberdir. Benzer şekilde,  $f(x, y) = 51$  ve  $f(x, y) = 75$  seviye eğrileri (Şekil 14.4)

$$f(x, y) = 100 - x^2 - y^2 = 51 \quad \text{veya} \quad x^2 + y^2 = 49$$

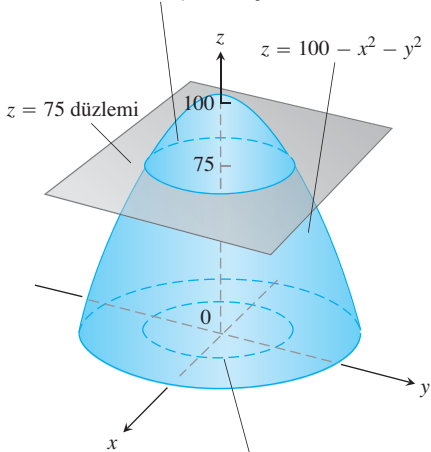
$$f(x, y) = 100 - x^2 - y^2 = 75 \quad \text{veya} \quad x^2 + y^2 = 25$$

çemberleridir.  $f(x, y) = 100$  seviye eğrisi sadece orijinden oluşur (Yine de bir seviye eğridir). ■

Uzayda  $z = c$  düzleminin bir  $z = f(x, y)$  yüzeyini kestiği eğri,  $f(x, y) = c$  fonksiyon değerini temsil eden noktalardan oluşur. Buna,  $f$ 'nin tanım kümesindeki  $f(x, y) = c$  seviye eğrisinden ayırt etmek için,  $f(x, y) = c$  kontur eğrisi denir. Şekil 14.5,  $z = 100 - x^2 - y^2$  yüzeyi üzerinde  $f(x, y) = 100 - x^2 - y^2$  fonksiyonuyla tanımlanan  $f(x, y) = 75$  kontur çizgisini göstermektedir. Kontur eğrisi, fonksiyonun tanım kümesindeki  $f(x, y) = 75$  seviye eğrisi olan  $x^2 + y^2 = 25$  çemberinin yukarısında bulunmaktadır.

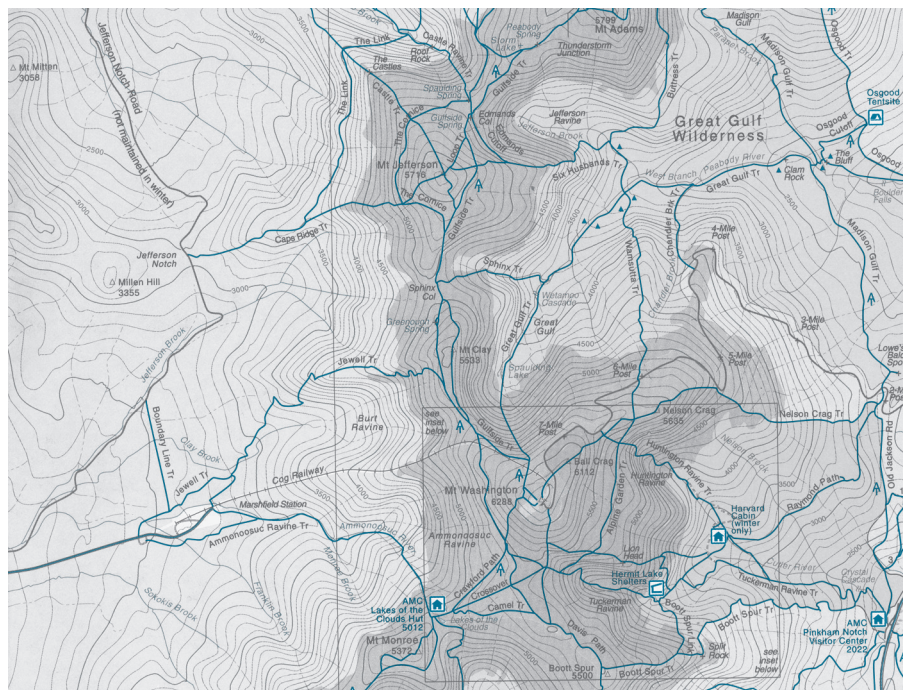
Ancak herkes bu ayrimı yapmaz ve iki eğriyi de aynı isimle adlandırmak isteyebilir ve aklinizda hangisinin bulunduğu bilgiğinize güvenebilirsiniz. Örneğin, çoğu haritalarda, sabit yükseklikleri (deniz seviyesinden yükseklik) temsil eden eğrilere seviye eğrileri değil, kontur denir (Şekil 14.6).

$f(x, y) = 100 - x^2 - y^2 = 75$  kontur eğrisi  $z = 75$  düzlemindeki  $x^2 + y^2 = 25$  çemberidir.



$f(x, y) = 100 - x^2 - y^2 = 75$  seviye eğrisi  $xy$ -düzlemindeki  $x^2 + y^2 = 25$  çemberidir.

**ŞEKİL 14.5**  $xy$ -düzlemine paralel ve  $z = f(x, y)$  yüzeyini kesen bir  $z = c$  düzlemi bir kontur çizgisi üretir.



**ŞEKİL 14.6** New Hampshire'deki Mt. Washington'un konturları (Appalachian Mountain Club'in izniyle yeniden üretilmiştir).

### Üç Değişkenli Fonksiyonlar

Düzlemdede, iki bağımsız değişkenli bir fonksiyonun sabit bir  $f(x, y) = c$  değerine sahip olduğu noktalar fonksiyonun tanım kümesinde bir eğri oluşturur. Uzayda, üç bağımsız değişkenli bir fonksiyonun sabit bir  $f(x, y, z) = c$  değerine sahip olduğu noktalar fonksiyonun tanım kümesinde bir yüzey oluşturur.

#### TANIM Seviye Yüzeyi

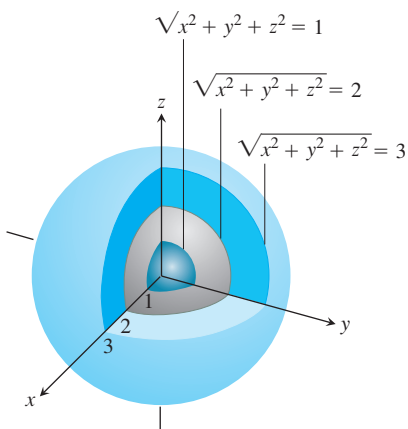
Uzayda, üç bağımsız değişkenli bir fonksiyonun sabit bir  $f(x, y, z) = c$  değerine sahip olduğu  $(x, y, z)$  noktaları  $f$ 'nin bir **seviye yüzeyini** oluştururlar.

Üç değişkenli bir fonksiyonların grafikleri, dört boyutlu bir uzayda bulunan  $(x, y, z, f(x, y, z))$  noktalarındanoluğu için, bunları üç-boyutlu referans çerçevehimizde etkili olarak çizemeyiz. Ancak, üç-boyutlu seviye yüzeylerine bakarak, fonksiyonun nasıl davranışını görebiliriz.

#### ÖRNEK 5 Üç Değişkenli Bir Fonksiyonun Seviye Yüzeylerini Belirlemek

Aşağıdaki fonksiyonun seviye yüzeylerini tanımlayın:

$$f(x, y, z) = \sqrt{x^2 + y^2 + z^2}.$$

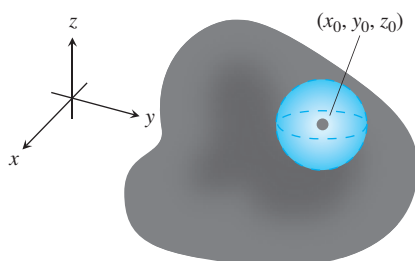


**ŞEKİL 14.7**  $f(x, y, z) = \sqrt{x^2 + y^2 + z^2}$  nin seviye yüzeyleri eşmerkezli kürelerdir (Örnek 5 ).

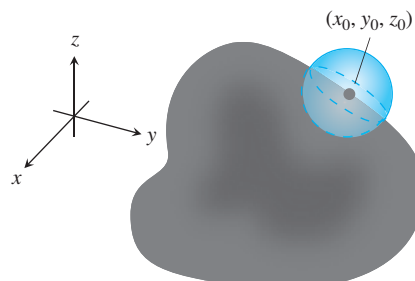
**Cözüm**  $f$ 'nin değeri, orijinden  $(x, y, z)$  noktasına olan uzaklığıdır. Her  $\sqrt{x^2 + y^2 + z^2} = c, c > 0$ , seviye yüzeyi, merkezi orijinde olan  $c$  yarıçaplı bir küredir. Şekil 14.7 bu kürelerden üçünün görünüşünü sunmaktadır.  $\sqrt{x^2 + y^2 + z^2} = 0$  seviye yüzeyi sadece orijinden oluşmaktadır.

Burada fonksiyonun grafiğini çizmiyoruz; fonksiyonun tanım kümesindeki seviye yüzeylerine bakıyoruz. Fonksiyonun seviye yüzeyleri tanım kümesinde ilerlerken, fonksiyonun değerlerinin nasıl değiştiğini gösterir. Merkezi orijinde olan  $c$  yarıçaplı bir kürenin üzerinde kalırsak, fonksiyon sabit bir değer, yani  $c$  değerini alır. Bir küreden diğerine geçersek fonksiyonun değeri değişir. Orijinden uzaklaşarsak bu değer artar, orijine yaklaşarsak bu değer azalır. Fonksiyonun değerlerinin değişimi izlediğimiz yöne bağlıdır. Değişikliğin yöne bağımlılığı önemlidir. Buna Bölüm 14.5'te geri döneceğiz.

Uzaydaki bölgeler için iç, sınır, açık, kapalı, sınırlı ve sınırlı olmama tanımları düzlemdeki tanımların benzeridir. Ekstra boyutu işin içine katmak için, daireler yerine katı toplar kullanırız.



(a) İç noktaları



(b) Sınır noktaları

**ŞEKİL 14.8** Uzaydaki bir bölgenin iç noktaları ve sınır noktaları.

### TANIMLAR Uzay Bölgeleri İçin İç ve Sınır Noktaları

Uzaydaki bir  $R$  bölgesinde bir  $(x_0, y_0, z_0)$  noktası, bütünüyle  $R$ 'nin içinde bulunan bir katı topun merkeziyse  $R$ 'nin bir **İç noktası**dır (Şekil 14.8a). Merkezi  $(x_0, y_0, z_0)$  'da olan her küre  $R$ 'nin içinden noktaların yanı sıra  $R$ 'nın dışından da noktalar içeriyorsa  $(x_0, y_0, z_0)$  noktası  $R$ 'nin bir **Sınır noktası**dır.  $R$ 'nin iç noktaları, bir küme olarak,  $R$ 'nin **İçini** oluştururlar.  $R$ 'nin sınır noktalarının kümesi  $R$ 'nin **sınırı**dır.

Bir  $R$  bölgesi sadece iç noktalardan oluşuyorsa **açiktır**. Bir bölge bütün sınır noktalarını içeriyorsa **kapalıdır**.

Uzayda açık kümelere örnekler; bir kürenin içi,  $z > 0$  açık yarı düzlemi, birinci sekizde bir bölge ( $x, y$  ve  $z$  her biri pozitif) ve uzayın kendisidir.

Uzayda kapalı kümelere örnekler; doğrular, düzlemler,  $z \geq 0$  kapalı yarı-düzlemi, sınırlayıcı düzlemleriyle birlikte birinci sekizde bir bölge ve uzayın kendisi (sınır noktası var olmadığından) dir.

Sınırlayıcı küresinin bir kısmı kaldırılmış katı bir küre veya bir yüzü, kenarı veya köşe noktası olmayan katı bir küp *ne açık ne de kapalı* olacaktır.

Üçten daha fazla bağımsız değişkenli fonksiyonlar da önemlidir. Örneğin, uzayda bir yüzeyin üzerindeki sıcaklık sadece yüzeyin üzerindeki  $P(x, y, z)$  noktasının konumuna değil aynı zamanda  $t$  zamanına da bağlı olabilir dolayısıyla böyle bir durumda  $f(x, y, z, t)$  yazacağız.

### Bilgisayarla Grafik Çizme

Bilgisayarların üç-boyutlu grafik çizim programları iki değişkenli fonksiyonların grafiklerini sadece birkaç tuşa basarak çizmeyi olası kılmıştır. Genellikle, bir formülinden öğrendiğimizi, bir grafikten daha çabuk öğreniriz.

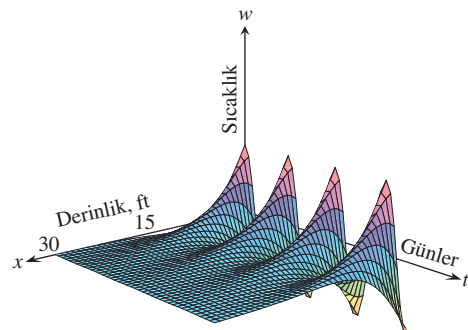
### ÖRNEK 6 Yeryüzünün Altındaki Sıcaklığı Modellemek

Yeryüzünün altındaki sıcaklık, yeryüzü altındaki  $x$  derinliğinin ve yılın  $t$  zamanının bir fonksiyonudur.  $x$ 'i feet olarak  $t$ 'yi de yeryüzünde yüzey sıcaklığının en yüksek olmasının beklentiği günden itibaren geçen gün olarak alırsak, sıcaklığındaki değişimi

$$w = \cos(1.7 \times 10^{-2}t - 0.2x)e^{-0.2x}$$

fonksiyonu ile modelleyebiliriz. (0 ft'teki sıcaklık +1 ile -1 arasında değişecek şekilde ölçülenmiştir. Öyle ki  $x$  feet'teki değişim yüzeydeki değişimin bir kesri olarak yorumlanabilir.)

Şekil 14.9, fonksiyonun bilgisayarla üretilmiş bir grafiğini göstermektedir. 15 ft derinlikteki değişim (şekilde dikey genlikteki değişim) yüzeydeki değişimin yaklaşık %5'idir. 30 ft derinlikte yıl boyunca neredeyse hiç değişim yoktur.



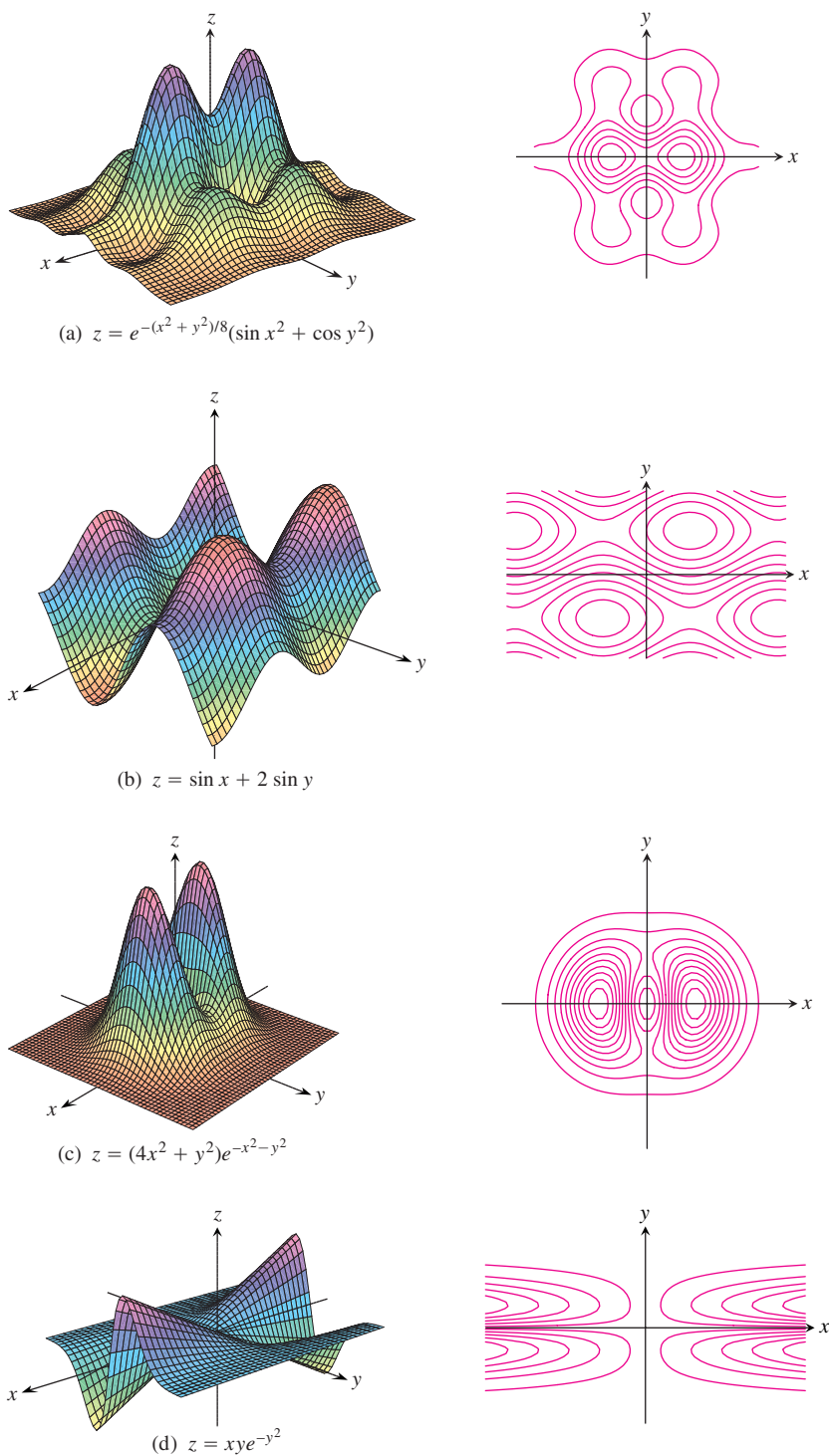
**SEKİL 14.9**

$$w = \cos(1.7 \times 10^{-2}t - 0.2x)e^{-0.2x}$$

fonksiyonunun bilgisayarla üretilmiş bu grafiği yer altı sıcaklığının mevsimslik değişimini yüzey sıcaklığının bir kesri olarak göstermektedir.  $x = 15$  ft'te, değişim yüzeydeki değişim sadece %5'idir.  $x = 30$  ft'te değişim yüzeydeki değişimin %0.25'inden azdır (Örnek 6). (Norton Starr'ın hazırladığı çizimden alınmıştır.)

Grafik ayrıca, yüzeyin 15 ft altındaki sıcaklıkla yüzey sıcaklığı arasında neredeyse yarınlık bir faz farkı olduğunu göstermektedir. Yüzeye sıcaklık en düşükken (örneğin, Şubat'ta), 15 ft aşağıda en yüksektir. Yerin 15 ft altında, mevsimlerin sırası değişmiştir.

Şekil 14.10 iki değişkenli birkaç fonksiyonun bilgisayarla üretilmiş grafiklerini seviye eğrileri ile birlikte göstermektedir.



**ŞEKİL 14.10** İki değişkenli tipik fonksiyonların bilgisayarla üretilmiş grafikleri ve seviye eğrileri.

## ALIŞTIRMALAR 14.1

### Tanım ve Değer Kümeleri, Seviye Eğrileri

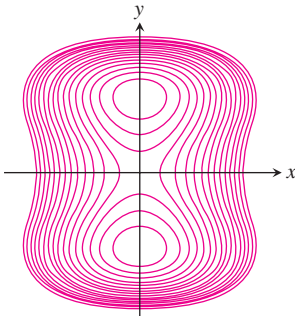
1–12 alıştırmalarında, (a) fonksiyonun tanım kümesini bulun, (b) fonksiyonun değer kümesini bulun, (c) fonksiyonun seviye eğrilerini tanımlayın, (d) fonksiyonun tanım kümesinin sınırlarını bulun, (e) tanım kümesinin kapalı mı, açık mı, yoksa ikisi de olmayan bir bölge mi olduğunu belirleyin ve (f) tanım kümesinin sınırlı mı yoksa sınırlı olmayan mı olduğunu belirleyin.

1.  $f(x, y) = y - x$
2.  $f(x, y) = \sqrt{y - x}$
3.  $f(x, y) = 4x^2 + 9y^2$
4.  $f(x, y) = x^2 - y^2$
5.  $f(x, y) = xy$
6.  $f(x, y) = y/x^2$
7.  $f(x, y) = \frac{1}{\sqrt{16 - x^2 - y^2}}$
8.  $f(x, y) = \sqrt{9 - x^2 - y^2}$
9.  $f(x, y) = \ln(x^2 + y^2)$
10.  $f(x, y) = e^{-(x^2+y^2)}$
11.  $f(x, y) = \sin^{-1}(y - x)$
12.  $f(x, y) = \tan^{-1}\left(\frac{y}{x}\right)$

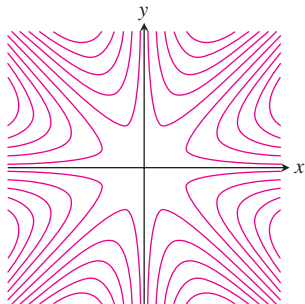
### Yüzeyleri ve Seviye Eğrilerini Belirlemek

13–18 alıştırmaları (a)–(f)’de grafikleri verilen fonksiyonların seviye eğrilerini göstermektedir. Her eğri kümesini uygun fonksiyonla eşleştirin.

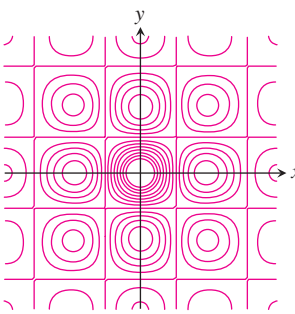
13.



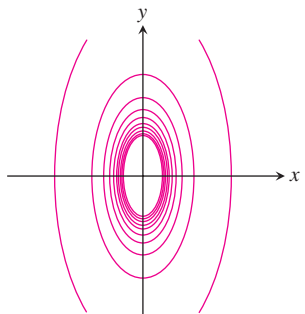
14.



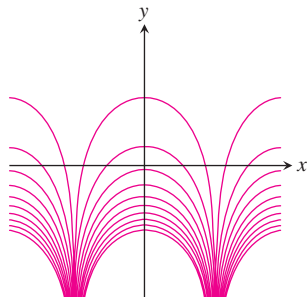
15.



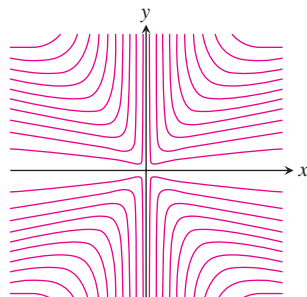
16.



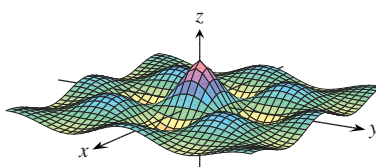
17.



18.

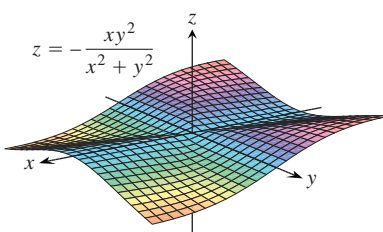


a.



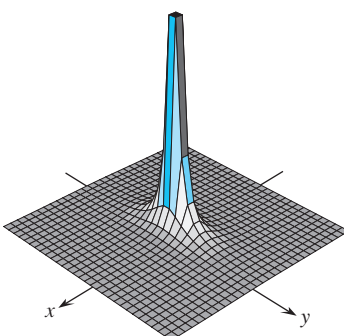
$$z = (\cos x)(\cos y) e^{-\sqrt{x^2+y^2}/4}$$

b.



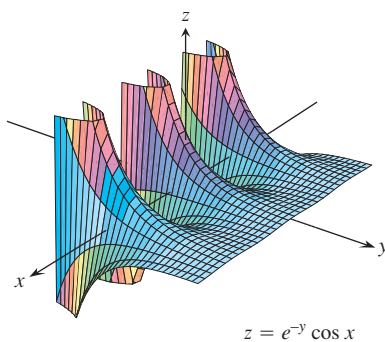
$$z = -\frac{xy^2}{x^2 + y^2}$$

c.

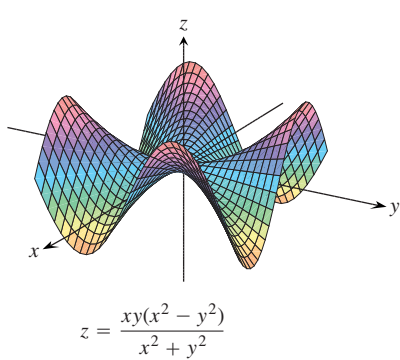


$$z = \frac{1}{4x^2 + y^2}$$

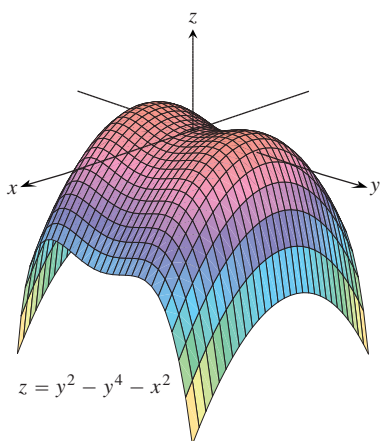
d.



e.



f.



### İki Değişkenli Fonksiyonları Tanımlama

19–28 alıştırmalarındaki fonksiyonların değerlerini iki şekilde gösterin: **(a)**  $z = f(x, y)$  yüzeyini çizerek ve **(b)** fonksiyonun tanım kümesindeki seviye eğrilerinden birkaçını çizerek. Her eğriyi fonksiyon değeriyle isimlendirin.

19.  $f(x, y) = y^2$

20.  $f(x, y) = 4 - y^2$

21.  $f(x, y) = x^2 + y^2$

22.  $f(x, y) = \sqrt{x^2 + y^2}$

23.  $f(x, y) = -(x^2 + y^2)$

24.  $f(x, y) = 4 - x^2 - y^2$

25.  $f(x, y) = 4x^2 + y^2$

26.  $f(x, y) = 4x^2 + y^2 + 1$

27.  $f(x, y) = 1 - |y|$

28.  $f(x, y) = 1 - |x| - |y|$

### Bir Seviye Eğrisini Bulmak

29–32 alıştırmalarında,  $f(x, y)$  fonksiyonun verilen noktadan geçen seviye eğrisinin denklemini bulun.

29.  $f(x, y) = 16 - x^2 - y^2, (2\sqrt{2}, \sqrt{2})$

30.  $f(x, y) = \sqrt{x^2 - 1}, (1, 0)$

31.  $f(x, y) = \int_x^y \frac{dt}{1+t^2}, (-\sqrt{2}, \sqrt{2})$

32.  $f(x, y) = \sum_{n=0}^{\infty} \left(\frac{x}{y}\right)^n, (1, 2)$

### Seviye Yüzeyleri Çizmek

33–40 alıştırmalarında, fonksiyonun tipik bir seviye yüzeyini çizin.

33.  $f(x, y, z) = x^2 + y^2 + z^2$

34.  $f(x, y, z) = \ln(x^2 + y^2 + z^2)$

35.  $f(x, y, z) = x + z$

36.  $f(x, y, z) = z$

37.  $f(x, y, z) = x^2 + y^2$

38.  $f(x, y, z) = y^2 + z^2$

39.  $f(x, y, z) = z - x^2 - y^2$

40.  $f(x, y, z) = (x^2/25) + (y^2/16) + (z^2/9)$

### Bir Seviye Yüzeyi Bulmak

41–44 alıştırmalarında,  $f(x, y)$  fonksiyonunun verilen noktadan geçen seviye yüzeyinin denklemini bulun.

41.  $f(x, y, z) = \sqrt{x - y} - \ln z, (3, -1, 1)$

42.  $f(x, y, z) = \ln(x^2 + y + z^2), (-1, 2, 1)$

43.  $g(x, y, z) = \sum_{n=0}^{\infty} \frac{(x+y)^n}{n!z^n}, (\ln 2, \ln 4, 3)$

44.  $g(x, y, z) = \int_x^y \frac{d\theta}{\sqrt{1-\theta^2}} + \int_{\sqrt{2}}^z \frac{dt}{t\sqrt{t^2-1}}, (0, 1/2, 2)$

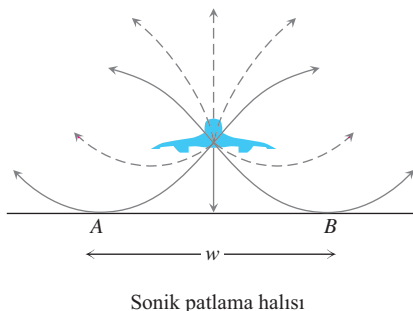
### Teori ve Örnekler

45. Bir fonksiyonun, bir uzay doğrusu üzerindeki maksimum değeri  $f(x, y, z) = xyz$  fonksiyonunun  $x = 20 - t, y = t, z = 20$  doğrusu üzerinde bir maksimum değeri var mıdır? Varsa, nedir? Yanınızı açıklayın (*İpucu:* Doğru boyunca,  $w = f(x, y, z)$  fonksiyonu  $t$ 'nin türetilebilir bir fonksiyonudur.)

46. Bir fonksiyonun, bir uzay doğrusu üzerindeki maksimum değeri  $f(x, y, z) = xy - z$  fonksiyonunun  $x = t - 1, y = t - 2, z = t + 7$  doğrusu üzerinde bir maksimum değeri var mıdır? Varsa, nedir? Yanınızı açıklayın (*İpucu:* Doğru boyunca,  $w = f(x, y, z)$  fonksiyonu  $t$ 'nin türetilebilir bir fonksiyonudur.)

47. **Concorde'un sonik patlamaları** Concorde'dan gelen ses dalgaları, uçağın uçuşu yüksekliğin üstünde ve altında sıcaklık değişikçe, eğilir. Sonik patlama halisi yer yüzeyinde şok dalgalarını

atmosferden yansıtılmış veya yerden kırılmış bir şekilde değil de doğrudan uçaktan alan bölgelerdir. Hali, uçağın altındaki noktadan doğrudan yere çarpan siyirci dalgalarla belirlenmiştir. (Şekle bakın.)



Yerde bulunan insanların *Concorde*'un sonik patlamasını atmosferdeki bir katmandan yansıyarak değil de doğrudan duydukları bölgenin genişliği  $w$ ,

$T$  = yer seviyesindeki hava sıcaklığı (Kelvin derece),

$h$  = *Concorde*'un yüksekliği (km),

$d$  = dikey sıcaklık gradyanı (km başına Kelvin derece sıcaklık düşüşü)

değişkenlerinin bir fonksiyonudur.

$w$ 'nın formülü

$$w = 4 \left( \frac{Th}{d} \right)^{1/2}.$$

olarak verilir.

Washington'a gitmekte olan *Concorde* uçağı Avrupa'dan Birleşik Devletlere Nantucket adasının kuzeyinde 16.8 km yükseklikte geçirecek bir rota izlemektedir. Yüzey sıcaklığı 290 K ve dikey sıcaklık gradyanı 5 K/km ise, uçağın sonik patlama halisini adadan uzak tutmak için uçak Nantucket'ın kaç kilometre güneyinden uçurulmalıdır? (N.K. Balachandra, W.L. Donn ve D.H. Rind tarafından *Science*, July 1, 1977, Vol. 197, sayfa 47-49'da yayınlanan "Concorde Sonic Booms as an Atmospheric Probe" dan.)

48. Bildiğiniz gibi, tek reel değişkenli, reel değerli bir fonksiyonun grafiği iki koordinatlı bir uzayda bir kümedir. İki bağımsız reel değişkenli, reel değerli bir fonksiyonun grafiği üç koordinatlı bir uzayda bir kümedir. Üç bağımsız reel değişkenli, reel değerli bir fonksiyonun grafiği dört koordinatlı bir uzayda bir kümedir. Dört bağımsız reel değişkenli, reel değerli bir  $f(x_1, x_2, x_3, x_4)$  fonksiyonunun grafiğini nasıl tanımlarsınız?  $n$  bağımsız reel değişkenli, reel değerli bir  $f(x_1, x_2, x_3, \dots, x_n)$  fonksiyonunun grafiğini nasıl tanımlarsınız?

## BİLGİSAYAR ARAŞTIRMALARI

### Açıkça Verilen Yüzeyler

49–52 alıştırmalarındaki fonksiyonların her biri için aşağıdaki adımları gerçekleştirmek üzere bir BCS kullanın.

- a. Verilen dikdörtgen üzerinde yüzeyi çizin.
  - b. Dikdörtgendeki birkaç seviye eğrisini çizin.
  - c.  $f$ 'nin verilen noktadaki seviye eğrisini çizin.
49.  $f(x, y) = x \sin \frac{y}{2} + y \sin 2x, \quad 0 \leq x \leq 5\pi \quad 0 \leq y \leq 5\pi,$   
 $P(3\pi, 3\pi)$
50.  $f(x, y) = (\sin x)(\cos y)e^{\sqrt{x^2+y^2}/8}, \quad 0 \leq x \leq 5\pi, \quad 0 \leq y \leq 5\pi, \quad P(4\pi, 4\pi)$
51.  $f(x, y) = \sin(x + 2 \cos y), \quad -2\pi \leq x \leq 2\pi, \quad -2\pi \leq y \leq 2\pi, \quad P(\pi, \pi)$
52.  $f(x, y) = e^{(x^0-y)} \sin(x^2 + y^2), \quad 0 \leq x \leq 2\pi, \quad -2\pi \leq y \leq \pi, \quad P(\pi, -\pi)$

### Kapalı Olarak Verilen Yüzeyler

53–56 alıştırmalarındaki seviye yüzeylerini çizmek için bir BCS kullanın.

53.  $4 \ln(x^2 + y^2 + z^2) = 1 \quad 54. x^2 + z^2 = 1$
55.  $x + y^2 - 3z^2 = 1$
56.  $\sin\left(\frac{x}{2}\right) - (\cos y)\sqrt{x^2 + z^2} = 2$

### Parametrize Yüzeyler

Düzlemdeki eğrileri, bir  $I$  parametre aralığında tanımlanmış bir  $x = f(t), y = g(t)$  denklem çiftiyle tanımladığınız gibi, bazen uzaydaki yüzeyleri de bir  $a \leq u \leq b, c \leq v \leq d$  parametre dikdörtgeninde tanımlanmış bir  $x = f(u, v), y = g(u, v), z = h(u, v)$  denklem üçlüsüyle tanımlayabilirsiniz. Çoğu bilgisayarlı cebir sistemi böyle yüzeyleri parametre modunda çizer (Parametrize yüzeyler Bölüm 16.6'da daha detaylı olarak incelemektedir). 57–60 alıştırmalarındaki yüzeyleri çizmek için bir BCS kullanın. Ayrıca  $xy$ -düzlemindeki birkaç seviye eğrisini çizin.

57.  $x = u \cos v, \quad y = u \sin v, \quad z = u, \quad 0 \leq u \leq 2, \quad 0 \leq v \leq 2\pi$
58.  $x = u \cos v, \quad y = u \sin v, \quad z = v, \quad 0 \leq u \leq 2, \quad 0 \leq v \leq 2\pi$
59.  $x = (2 + \cos u) \cos v, \quad y = (2 + \cos u) \sin v, \quad z = \sin u, \quad 0 \leq u \leq 2\pi, \quad 0 \leq v \leq 2\pi$
60.  $x = 2 \cos u \cos v, \quad y = 2 \cos u \sin v, \quad z = 2 \sin u, \quad 0 \leq u \leq 2\pi, \quad 0 \leq v \leq \pi$

## 14.2

## Yüksek Boyutlarda Limitler ve Süreklik

Bu bölüm çok değişkenli fonksiyonların limit ve sürekliliğini ele almaktadır. İki veya üç değişkenli bir fonksiyonun limitinin tanımı tek değişkenli bir fonksiyonun limitinin tanımına benzerdir fakat şimdî görceğimiz gibi önemli bir fark vardır.

### Limitler

Bir  $(x_0, y_0)$  noktasına yeterince yakın bütün  $(x, y)$  noktaları için  $f(x, y)$ 'nin değerleri belirli bir  $L$  reel sayısına keyfi derecede yakın ise,  $(x, y)$  noktası  $(x_0, y_0)$ 'a yaklaşırken  $f$  fonksiyonu  $L$  limitine yaklaşır deriz. Bu, tek değişkenli bir fonksiyonun formel olmayan tanımına benzerdir. Ancak,  $(x_0, y_0)$  noktası  $f$ 'nin tanım kümesinin içinde bulunuyorsa,  $(x, y)$ 'nin  $(x_0, y_0)$ 'a herhangi bir yönden yaklaşabileceğine dikkat edin. Yaklaşımın yönü, aşağıdaki bazı örneklerde olduğu gibi, bir sorun yaratabilir.

### TANIMLAR İki Değişkenli Bir Fonksiyonun Limiti

Her  $\epsilon > 0$  sayısına karşılık,  $f$ 'nin tanım kümesine ait  $(x, y)$  noktaları için,

$$0 > 2 \sqrt{(x - x_0)^2 + (y - y_0)^2} < \delta \quad \text{iken} \quad |f(x, y) - L| < \epsilon$$

olacak şekilde bir  $\delta > 0$  sayısı karşılık getirilebiliyorsa,  $(x, y)$  noktası  $(x_0, y_0)$ 'a yaklaşırken  $f$  fonksiyonu  $L$  **limitine** yaklaşır der ve şu şekilde yazarız.

$$\lim_{(x, y) \rightarrow (x_0, y_0)} f(x, y) = L$$

Limit tanımı,  $(x, y)$ 'den  $(x_0, y_0)$ 'a uzaklık yeterince küçük (fakat 0 değil) bırakıldığında,  $f(x, y)$  ile  $L$  arasındaki uzaklığın keyfi derecede küçüldüğünü söyler.

Limit tanımı  $f$ 'nin tanım kümesinin iç noktalarıyla birlikte  $(x_0, y_0)$  sınır noktaları için de geçerlidir. Tek koşul  $(x, y)$  noktasının her zaman tanım kümesinin içinde kalmasıdır. Tek değişkenli fonksiyonlarda olduğu gibi,

$$\lim_{(x, y) \rightarrow (x_0, y_0)} x = x_0$$

$$\lim_{(x, y) \rightarrow (x_0, y_0)} y = y_0$$

$$\lim_{(x, y) \rightarrow (x_0, y_0)} k = k \quad (\text{Herhangi bir } k)$$

olduğu gösterilebilir. Örneğin, yukarıdaki ilk limit ifadesinde  $f(x, y) = x$  ve  $L = x_0$ 'dır. Limit tanımını kullanarak,  $\epsilon > 0$  sayısının seçildiğini varsayıy়. Eğer  $\delta$ 'yı bu  $\epsilon$ 'a eşit olarak alırsak

$$0 < \sqrt{(x - x_0)^2 + (y - y_0)^2} < \delta = \epsilon$$

eşitsizliğinin

$$0 < \sqrt{(x - x_0)^2} < \epsilon$$

$$|x - x_0| < \epsilon \quad \sqrt{a^2} = |a|$$

$$|f(x, y) - x_0| < \epsilon \quad x = f(x, y)$$

sonucunu gerektirdiğini görürüz:

Yani,

her ne zaman  $0 > 2 \sqrt{(x-x_0)^2 + (y-y_0)^2} < \delta$  ise  $|f(x, y) - x_0| < \epsilon$  olur. Dolayısıyla,

$$\lim_{(x, y) \rightarrow (x_0, y_0)} f(x, y) = \lim_{(x, y) \rightarrow (x_0, y_0)} x = x_0$$

dir. Ayrıca, iki fonksiyonun toplamının limitinin limitlerinin toplamı olduğu da gösterilebilir (ikisi de varsa) ve farkların, çarpımların, sabitlerle çarpımların, bölgelerin ve kuvvetlerin limitleri için de benzer sonuçlar elde edilir.

### TEOREM 1 İki Değişkenli Fonksiyonların Limitlerinin Özellikleri

$L, M$  ve  $k$  reel sayılar ve

$$\lim_{(x, y) \rightarrow (x_0, y_0)} f(x, y) = L \quad \text{ve} \quad \lim_{(x, y) \rightarrow (x_0, y_0)} g(x, y) = M.$$

1. *Toplam Kuralı:*  $\lim_{(x, y) \rightarrow (x_0, y_0)} (f(x, y) + g(x, y)) = L + M$
2. *Fark Kuralı:*  $\lim_{(x, y) \rightarrow (x_0, y_0)} (f(x, y) - g(x, y)) = L - M$
3. *Çarpım Kuralı:*  $\lim_{(x, y) \rightarrow (x_0, y_0)} (f(x, y) \cdot g(x, y)) = L \cdot M$
4. *Sabitle Çarpı Kuralı:*  $\lim_{(x, y) \rightarrow (x_0, y_0)} (kf(x, y)) = kL \quad (\text{Herhangi bir } k)$
5. *Bölüm Kuralı:*  $\lim_{(x, y) \rightarrow (x_0, y_0)} \frac{f(x, y)}{g(x, y)} = \frac{L}{M} \quad M \neq 0$
6. *Kuvvet Kuralı:*  $r$  ve  $s$  tamsayılar ve  $s \neq 0$ ,  $L^{r/s}$  bir reel sayı ise,

$$\lim_{(x, y) \rightarrow (x_0, y_0)} (f(x, y))^{r/s} = L^{r/s}$$

( $s$  çift ise  $L > 0$ 'ın pozitif olduğunu varsayıyoruz)

Teorem 1'i burada ispatlamamakla birlikte, neden doğru olduğuna dair formel olmayan bir düşünce veriyoruz.  $(x, y)$  noktası  $(x_0, y_0)$  noktasına yeterince yakın ise  $f(x, y)$  değeri  $L$ 'ye ve  $g(x, y)$  değeri de  $M$ 'ye yakındır (limitlerin formel olmayan açıklamasından). Şu halde  $f(x, y) + g(x, y)$  değerinin  $L + M$ 'ye yakın olması;  $f(x, y) - g(x, y)$ 'nin  $L - M$ 'ye yakın olması;  $f(x, y)g(x, y)$ 'nin  $LM$ 'ye yakın olması;  $kf(x, y)$ 'nin  $kL$ 'ye yakın olması; ve  $M \neq 0$  ise  $f(x, y)/g(x, y)$ 'nin  $L/M$ 'ye yakın olması anlamlıdır.

Teorem 1'i polinomlara ve rasyonel fonksiyonla uyguladığımızda, bu fonksiyonların  $(x, y) \rightarrow (x_0, y_0)$  iken limitlerinin, fonksiyonları  $(x_0, y_0)$ 'da hesaplayarak bulabileceğini söyleyen yararlı sonucu elde ederiz. Tek koşul rasyonel fonksiyonların  $(x_0, y_0)$ 'da tanımlı olmalıdır.

### ÖRNEK 1 Limitleri Hesaplamak

$$(a) \lim_{(x, y) \rightarrow (0, 1)} \frac{x - xy + 3}{x^2y + 5xy - y^3} = \frac{0 - (0)(1) + 3}{(0)^2(1) + 5(0)(1) - (1)^3} = -3$$

$$(b) \lim_{(x, y) \rightarrow (3, -4)} \sqrt{x^2 + y^2} = \sqrt{(3)^2 + (-4)^2} = \sqrt{25} = 5$$

### ÖRNEK 2 Limitleri Hesaplamak

$$\lim_{(x,y) \rightarrow (0,0)} \frac{x^2 - xy}{\sqrt{x} - \sqrt{y}}$$

limitini bulun.

**Çözüm**  $(x, y) \rightarrow (0, 0)$  iken, payda  $\sqrt{x} - \sqrt{y}$  farkı 0'a yaklaşığından, Teorem 1'deki Bölüm Kuralını kullanamayız. Ama, pay ve paydayı  $\sqrt{x} + \sqrt{y}$  ile çarparsak, limitini bulabileceğimiz eşdeğer bir kesir elde ederiz:

$$\lim_{(x,y) \rightarrow (0,0)} \frac{x^2 - xy}{\sqrt{x} - \sqrt{y}} = \lim_{(x,y) \rightarrow (0,0)} \frac{(x^2 - xy)(\sqrt{x} + \sqrt{y})}{(\sqrt{x} - \sqrt{y})(\sqrt{x} + \sqrt{y})}$$

$$= \lim_{(x,y) \rightarrow (0,0)} \frac{x(x-y)(\sqrt{x} + \sqrt{y})}{x - y}$$

Cebir

$$= \lim_{(x,y) \rightarrow (0,0)} x(\sqrt{x} + \sqrt{y})$$

Sıfırdan farklı  
( $x - y$ ) çarpanını  
kısaltın

$$= 0(\sqrt{0} + \sqrt{0}) = 0$$

$y = x$  yolu (üzerinde  $x - y = 0$  dır.)

$$\frac{x^2 - xy}{\sqrt{x} - \sqrt{y}}.$$

fonksiyonunun tanım kümesinde *bulunmadığından* ( $x - y$ ) çarpanını kısaltabiliriz. ■

### ÖRNEK 3 Limit Tanımını Uygulamak

Varsa  $\lim_{(x,y) \rightarrow (0,0)} \frac{4xy^2}{x^2 + y^2}$ 'yi bulun.

**Çözüm** Önce,  $x = 0$  doğrusu boyunca  $y \neq 0$  iken fonksiyonun daima 0 değerini aldığıını gözlemleriz. Benzer şekilde doğrusu boyunca,  $x \neq 0$  olması koşulu ile fonksiyonun değeri yine 0 dır. Dolayısıyla,  $(x, y)$  noktası  $(0, 0)$  noktasına yaklaşıırken limit varsa bu limit değeri 0 olmalıdır. Bunun doğru olup olmadığını görmek için limit tanımını uygularız.

Bir  $\epsilon > 0$  değeri keyfi olarak verilmiş olsun. Bir  $\delta > 0$  değeri bulmak istiyoruz. Öyle ki,

$$\text{her ne zaman } 0 < \sqrt{x^2 + y^2} < \delta \text{ iken } \left| \frac{4xy^2}{x^2 + y^2} - 0 \right| < \epsilon$$

veya

$$\text{her ne zaman } 0 < \sqrt{x^2 + y^2} < \delta \text{ iken } \frac{4|x|y^2}{x^2 + y^2} < \epsilon$$

olsun.  $y^2 \leq x^2 + y^2$  olduğundan

$$\frac{4|x|y^2}{x^2 + y^2} \leq 4|x| = 4\sqrt{x^2} \leq 4\sqrt{x^2 + y^2}$$

elde ederiz.

Şu halde  $\delta = \epsilon/4$  seçer ve  $0 < \sqrt{x^2 + y^2} < \delta$ , alırsak

$$\left| \frac{4xy^2}{x^2 + y^2} - 0 \right| \leq 4\sqrt{x^2 + y^2} < 4\delta = 4\left(\frac{\epsilon}{4}\right) = \epsilon$$

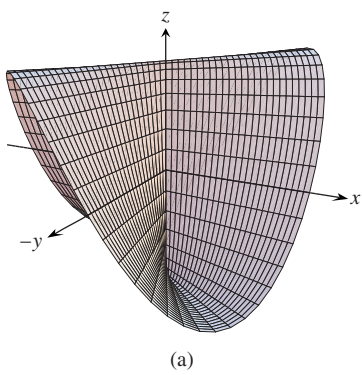
elde ederiz. Tanımdan

$$\lim_{(x, y) \rightarrow (0, 0)} \frac{4xy^2}{x^2 + y^2} = 0.$$

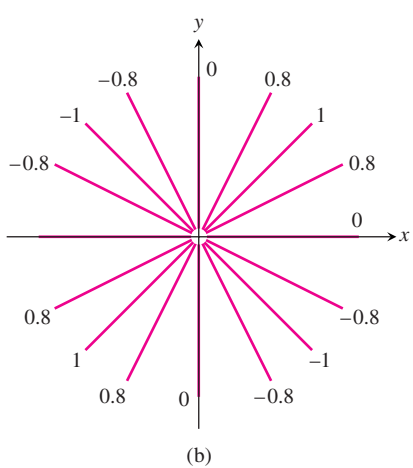
sonucu elde edilir. ■

### Süreklik

Tek değişkenli fonksiyonlardaki gibi, sürekli limit cinsinden ifade edilir.



(a)



ŞEKİL 14.11 (a)

$$f(x, y) = \begin{cases} \frac{2xy}{x^2 + y^2}, & (x, y) \neq (0, 0) \\ 0, & (x, y) = (0, 0) \end{cases}$$

$f$  fonksiyonunun grafiği. Fonksiyon, orijin hariç her yerde süreklidir. (b)  $f$ 'nin seviye eğrileri (Örnek 4).

### TANIM İki Değişkenli Sürekli Fonksiyonlar

Aşağıdaki koşullar sağlanırsa, bir  $f(x, y)$  fonksiyonu  $(x_0, y_0)$  noktasında sürekliidir:

1.  $f(x_0, y_0)$ ’da tanımlıdır,
2.  $\lim_{(x, y) \rightarrow (x_0, y_0)} f(x, y)$  vardır,
3.  $\lim_{(x, y) \rightarrow (x_0, y_0)} f(x, y) = f(x_0, y_0)$ .

Tanım kümesinin her noktasında sürekli olan fonksiyona **sürekli fonksiyon** denir.

Limit tanımında olduğu gibi, süreklilik tanımı da  $f$ ’nin tanım kümesinin iç noktaları kadar sınır noktalarında da geçerlidir. Tek koşul  $(x, y)$  noktasının her zaman tanım kümesi içinde olmasıdır.

Tahmin edebileceğiniz gibi, Teorem 1’in sonuçlarından biri sürekli fonksiyonların cebirsel kombinasyonlarının, söz konusu fonksiyonların tanımlı oldukları her noktada sürekli olduklarıdır. Bu, sürekli fonksiyonların toplam, fark, çarpım, sabitle çarpım, bölüm ve kuvvetlerinin tanımlı oldukları yerlerde sürekli oldukları anlamına gelir. Özel olarak, iki değişkenli polinomlar ve rasyonel fonksiyonlar tanımlandıkları her noktada sürekli dirler.

### ÖRNEK 4 Tek Süreksizlik Noktası Olan Bir Fonksiyon

$$f(x, y) = \begin{cases} \frac{2xy}{x^2 + y^2}, & (x, y) \neq (0, 0) \\ 0, & (x, y) = (0, 0) \end{cases}$$

fonksiyonunun orijin hariç her yerde sürekli olduğunu gösterin (Şekil 14.11).

**Çözüm**  $f$  fonksiyonu  $(x, y) \neq (0, 0)$  olan her noktada sürekliir çünkü değerleri  $x$  ve  $y$ ’nın rasyonel bir fonksiyonuyla

$(0, 0)$ ’da  $f$ ’nin değeri tanımlıdır, ama  $(x, y) \rightarrow (0, 0)$  iken  $f$ ’nin limitinin olmadığını iddia ediyoruz. Bunun nedeni orijine farklı yollardan yaklaşmanın, şimdi göreceğimiz gibi farklı sonuçlar vermesidir.

Her  $m$  değeri için,  $f$  fonksiyonunun “delinmiş”  $y = mx$ ,  $x \neq 0$ , doğrusu üzerinde sabit bir değeri vardır, çünkü

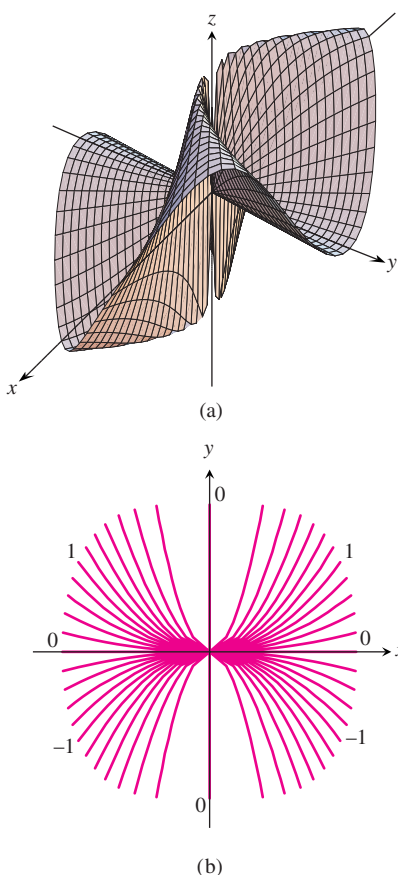
$$f(x, y) \Big|_{v=mx} = \frac{2xy}{x^2 + y^2} \Big|_{v=mx} = \frac{2x(mx)}{x^2 + (mx)^2} = \frac{2mx^2}{x^2 + m^2x^2} = \frac{2m}{1 + m^2}.$$

bulunur. Dolayısıyla,  $(x, y)$  doğru boyunca  $(0, 0)$ 'a yaklaşırken  $f$ 'nin değeri bu sayıdır:

$$\lim_{\substack{(x,y) \rightarrow (0,0) \\ y = mx \text{ bowiąc}}} f(x,y) = \lim_{(x,y) \rightarrow (0,0)} \left[ f(x,y) \Big|_{y=mx} \right] = \frac{2m}{1+m^2}.$$

Bu limit  $m$  ile değişir. Dolayısıyla,  $(x, y)$  orijine yaklaşırken  $f$ 'nin limiti diyeceği-  
miz tek bir sayı yoktur. Limit bulunmaz ve fonksiyon sürekli değildir.

Örnek 4 iki (veya daha fazla değişkenli) fonksiyonların limitleri hakkında önemli bir noktayı ortaya koyar. Bir noktada bir limitin var olması için, limit her yaklaşım yolu için aynı olmalıdır. Bu sonuç, tek-değişken durumunda soldan ve sağdan limitlerin her ikisinin de aynı değere eşit olması gerekliliği ile benzerdir. Bu yüzden, iki veya daha fazla değişkenli fonksiyonlar için, farklı limitli yollar bulursak, yaklaştıkları noktada fonksiyonun limitinin olmadığını anlarız.



### Bir Limitin Var Olmaması İçin İki-Yol Testi

$(x, y)$  noktası  $(x_0, y_0)$ 'a yaklaşırken bir  $f(x, y)$  fonksiyonunun iki farklı yol boyunca farklı limitleri varsa,  $\lim_{(x, y) \rightarrow (x_0, y_0)} f(x, y)$  yoktur.

### **ÖRNEK 5** İki-Yol Testini Uygulamak

$(x, y)$  noktası  $(0, 0)$ 'a yaklaşırken

$$f(x, y) = \frac{2x^2y}{x^4 + y^2}$$

fonksiyonunun (Şekil 14.12) limitinin olmadığını gösterin.

**Çözüm** Doğrudan yerine yazmakla limiti bulamayız.  $0/0$  belirsiz formu ortaya çıkar.  $f'$ nin değerlerini  $(0, 0)$ 'da sona eren yollar boyunca inceleriz.  $y = kx^2$ ,  $x \neq 0$  eğrisi boyunca, fonksiyonun değeri sabittir:

$$f(x, y) \Big|_{v=kx^2} = \frac{2x^2y}{x^4 + y^2} \Big|_{v=kx^2} = \frac{2x^2(kx^2)}{x^4 + (kx^2)^2} = \frac{2kx^4}{x^4 + k^2x^4} = \frac{2k}{1 + k^2}.$$

Dolayısıyla,

$$\lim_{\substack{(x,y) \rightarrow (0,0) \\ y = kx^2 \text{ bovunca}}} f(x,y) = \lim_{(x,y) \rightarrow (0,0)} \left[ f(x,y) \Big|_{y=kx^2} \right] = \frac{2k}{1+k^2}.$$

olur. Bu limit yola göre değişir. Örneğin,  $(x, y)$  noktası  $(0, 0)$ 'a  $y = x^2$  parabolü üzerinden yaklaşırsa,  $k = 1$  olur ve limit 1'dir.  $(x, y)$  noktası  $(0, 0)$ 'a  $x$ -ekseni üzerinden yaklaşırsa,  $k = 0$ 'dır ve limit 0 olur. İki yol testine göre,  $(x, y)$  noktası  $(0, 0)$ 'a yaklaşırken  $f'$ nin limiti yoktur.

Buradaki ifade çelişkili gözükebilir. " $(x, y)$  orijine yaklaşırken  $f$ 'nin limiti yoktur demekle neyi kastediyorsunuz—bir sürü limiti var" söylebilirsiniz. Ama sorun da budur.

Yoldan bağımsız tek bir limit yoktur ve dolayısıyla, tanıma göre,  $\lim_{(x,y) \rightarrow (0,0)} f(x, y)$  yoktur.

Sürekli fonksiyonların bileşkeleri de süreklidir. İspati, burada ihmali edilmişdir, tek değişkenli fonksiyonlardakine benzerdir (Bölüm 2.6, Teorem 10)

### Bileşkelerin Süreklliliği

$f$  fonksiyonu  $(x_0, y_0)$  noktasında sürekli ise ve  $g$  fonksiyonu da  $f(x_0, y_0)$ 'da sürekli tek-değişkenli bir fonksiyon ise  $h(x, y) = g(f(x, y))$  ile tanımlı  $h = g \circ f$  bileşke fonksiyonu  $(x_0, y_0)$ 'da süreklidir.

Örneğin,

$$e^{x-y}, \quad \cos \frac{xy}{x^2 + 1}, \quad \ln(1 + x^2 y^2)$$

fonksiyonları her  $(x, y)$  noktasında sürekli dirler.

Tek değişkenli fonksiyonlarda olduğu gibi, genel kural sürekli fonksiyonların bileşkelerinin sürekli olduğunu doğrudur. Tek koşul her fonksiyonun uygulandığı yerde sürekli olmasıdır.

### İkiden Fazla Değişkenli Fonksiyonlar

İki değişkenli fonksiyonların limit ve sürekli kavramları ile toplam, fark, çarpım, sabitle çarpım, bölüm ve kuvvetlerin limitleri ve sürekli kavramları ile ilgili sonuçlar üç veya daha fazla değişkenli fonksiyonlar için de geçerlidir.

$$\ln(x + y + z) \quad \text{ve} \quad \frac{y \sin z}{x - 1}$$

gibi fonksiyonlar tanım kümelerinde sürekli dirler ve  $P, (x, y, z)$  noktasını belirtmek üzere

$$\lim_{P \rightarrow (1,0,-1)} \frac{e^{x+z}}{z^2 + \cos \sqrt{xy}} = \frac{e^{1-1}}{(-1)^2 + \cos 0} = \frac{1}{2},$$

gibi limitler doğrudan yerine koymaya bulunabilir.

### Sürekli Fonksiyonların Kapalı ve Sınırlı Bölgelerde Ekstremum Değerleri

Kapalı ve sınırlı bir  $[a, b]$  aralığında sürekli olan tek değişkenli bir fonksiyonun,  $[a, b]$  içinde en az bir defa bir mutlak maksimum değer ve bir mutlak minimum değer aldığınoticed. Aynı zamanda, düzlemin kapalı ve sınırlı bir  $R$  bölgesinde ( bir doğru parçası, bir disk veya içi dolu bir üçgen gibi ) sürekli olan bir  $z = f(x, y)$  fonksiyonu için doğrudur. Fonksiyon,  $R$ 'nin bir noktasında bir mutlak maksimum değer ve  $R$ 'nin bir noktasında da bir mutlak minimum değer alır.

Bunlara ve bu bölümdeki diğer teoremlere benzer teoremler üç veya daha fazla değişkenli fonksiyonlar için de geçerlidir. Örneğin, bir  $w = f(x, y, z)$  sürekli fonksiyonu tanımlı olduğu herhangi bir kapalı ve sınırlı küme üzerinde ( katı top veya küp, silindirik kabuk, dikdörtgensel bir katı cisim ) mutlak maksimum ve mutlak minimum değerlerini alması gereklidir.

Bu ekstremum değerleri nasıl bulacağımızı Bölüm 14.7'de öğreneceğiz, fakat önce yüksek boyutlarda türevleri çalışmalıyız. Bu, sıradaki bölümün konusudur.

## ALIŞTIRMALAR 14.2

### İki Değişkenli Limitler

1–12 alıştırmalarındaki limitleri bulun.

1.  $\lim_{(x,y) \rightarrow (0,0)} \frac{3x^2 - y^2 + 5}{x^2 + y^2 + 2}$

2.  $\lim_{(x,y) \rightarrow (0,4)} \frac{x}{\sqrt{y}}$

3.  $\lim_{(x,y) \rightarrow (3,4)} \sqrt{x^2 + y^2 - 1}$

4.  $\lim_{(x,y) \rightarrow (2,-3)} \left(\frac{1}{x} + \frac{1}{y}\right)^2$

5.  $\lim_{(x,y) \rightarrow (0,\pi/4)} \sec x \tan y$

6.  $\lim_{(x,y) \rightarrow (0,0)} \cos \frac{x^2 + y^3}{x + y + 1}$

7.  $\lim_{(x,y) \rightarrow (0,\ln 2)} e^{x-y}$

8.  $\lim_{(x,y) \rightarrow (1,1)} \ln |1 + x^2 y^2|$

9.  $\lim_{(x,y) \rightarrow (0,0)} \frac{e^y \sin x}{x}$

10.  $\lim_{(x,y) \rightarrow (1,1)} \cos^3 \sqrt{|xy|} - 1$

11.  $\lim_{(x,y) \rightarrow (1,0)} \frac{x \sin y}{x^2 + 1}$

12.  $\lim_{(x,y) \rightarrow (\pi/2,0)} \frac{\cos y + 1}{y - \sin x}$

### Bölümlerin Limiti

13–20 alıştırmalarındaki limitleri, önce kesirleri yeniden yazarak bulun.

13.  $\lim_{\substack{(x,y) \rightarrow (1,1) \\ x \neq y}} \frac{x^2 - 2xy + y^2}{x - y}$

14.  $\lim_{\substack{(x,y) \rightarrow (1,1) \\ x \neq y}} \frac{x^2 - y^2}{x - y}$

15.  $\lim_{\substack{(x,y) \rightarrow (1,1) \\ x \neq 1}} \frac{xy - y - 2x + 2}{x - 1}$

16.  $\lim_{\substack{(x,y) \rightarrow (2,-4) \\ y \neq -4, x \neq x^2}} \frac{y + 4}{x^2 y - xy + 4x^2 - 4x}$

17.  $\lim_{\substack{(x,y) \rightarrow (0,0) \\ x \neq y}} \frac{x - y + 2\sqrt{x} - 2\sqrt{y}}{\sqrt{x} - \sqrt{y}}$

18.  $\lim_{\substack{(x,y) \rightarrow (2,2) \\ x+y \neq 4}} \frac{x + y - 4}{\sqrt{x + y} - 2}$

19.  $\lim_{\substack{(x,y) \rightarrow (2,0) \\ 2x-y \neq 4}} \frac{\sqrt{2x - y} - 2}{2x - y - 4}$

20.  $\lim_{\substack{(x,y) \rightarrow (4,3) \\ x \neq y+1}} \frac{\sqrt{x} - \sqrt{y+1}}{x - y - 1}$

### Üç Değişkenli Limitler

21–26 alıştırmalarındaki limitleri bulun.

21.  $\lim_{P \rightarrow (1,3,4)} \left( \frac{1}{x} + \frac{1}{y} + \frac{1}{z} \right)$

22.  $\lim_{P \rightarrow (1,-1,-1)} \frac{2xy + yz}{x^2 + z^2}$

23.  $\lim_{P \rightarrow (3,3,0)} (\sin^2 x + \cos^2 y + \sec^2 z)$

24.  $\lim_{P \rightarrow (-1/4, \pi/2, 2)} \tan^{-1} xyz$

25.  $\lim_{P \rightarrow (\pi, 0, 3)} ze^{-2y} \cos 2x$

26.  $\lim_{P \rightarrow (0, -2, 0)} \ln \sqrt{x^2 + y^2 + z^2}$

### Düzlemede Süreklik

27–30 alıştırmalarındaki fonksiyonlar düzlemin hangi  $(x, y)$  noktalarda sürekliidir?

27. a.  $f(x, y) = \sin(x + y)$

b.  $f(x, y) = \ln(x^2 + y^2)$

28. a.  $f(x, y) = \frac{x + y}{x - y}$

b.  $f(x, y) = \frac{y}{x^2 + 1}$

29. a.  $g(x, y) = \sin \frac{1}{xy}$

b.  $g(x, y) = \frac{x + y}{2 + \cos x}$

30. a.  $g(x, y) = \frac{x^2 + y^2}{x^2 - 3x + 2}$

b.  $g(x, y) = \frac{1}{x^2 - y}$

### Uzayda Süreklik

31–34 alıştırmalarındaki fonksiyonlar uzayın hangi  $(x, y, z)$  noktalarda sürekliidir?

31. a.  $f(x, y, z) = x^2 + y^2 - 2z^2$

b.  $f(x, y, z) = \sqrt{x^2 + y^2 - 1}$

32. a.  $f(x, y, z) = \ln xyz$

b.  $f(x, y, z) = e^{x+y} \cos z$

33. a.  $h(x, y, z) = xy \sin \frac{1}{z}$

b.  $h(x, y, z) = \frac{1}{x^2 + z^2 - 1}$

34. a.  $h(x, y, z) = \frac{1}{|y| + |z|}$

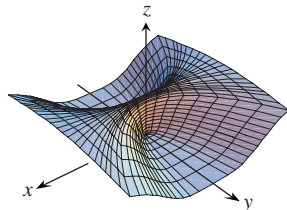
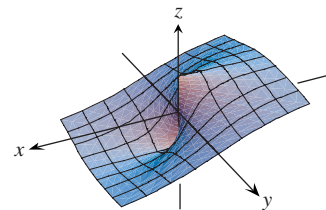
b.  $h(x, y, z) = \frac{1}{|xy| + |z|}$

### Bir Noktada Limit Bulunmaması

Farklı yaklaşma yolları ele alarak,  $(x, y) \rightarrow (0, 0)$  iken 35–42 alıştırmalarındaki fonksiyonların limitlerinin olmadığını gösterin.

35.  $f(x, y) = -\frac{x}{\sqrt{x^2 + y^2}}$

36.  $f(x, y) = \frac{x^4}{x^4 + y^2}$



37.  $f(x, y) = \frac{x^4 - y^2}{x^4 + y^2}$

38.  $f(x, y) = \frac{xy}{|xy|}$

39.  $g(x, y) = \frac{x - y}{x + y}$

40.  $g(x, y) = \frac{x + y}{x - y}$

41.  $h(x, y) = \frac{x^2 + y}{y}$

42.  $h(x, y) = \frac{x^2}{x^2 - y}$

## Teori ve Örnekler

43.  $\lim_{(x,y) \rightarrow (x_0, y_0)} f(x, y) = L$  ise,  $f$ 'nin  $(x_0, y_0)$ 'da tanımlı olması gerekir mi? Yanıtınızı açıklayın.
44.  $f(x_0, y_0) = 3$  ise

$$\lim_{(x,y) \rightarrow (x_0, y_0)} f(x, y)$$

icin,  $f$  fonksiyonu  $(x_0, y_0)$ 'da sürekli ise? ve  $f(x_0, y_0)$ 'da sürekli değilse ne söyleyebilirsiniz? Yanıtınızı açıklayın.

İki değişkenli fonksiyonlar için Sandviç Teoremi, merkezi  $(x_0, y_0)$ 'da olan bir dairenin içindeki her  $(x, y) \leq (x_0, y_0)$  için  $g(x, y) \leq f(x, y) \leq h(x, y)$  ise ve  $(x, y) \rightarrow (x_0, y_0)$  iken  $g$  ile  $h$ 'nin limitleri sonlu ve aynı  $L$  sayısı ise

$$\lim_{(x,y) \rightarrow (x_0, y_0)} f(x, y) = L$$

olduğunu söyler. Bu sonucu kullanarak 45–48 alıştırmalarındaki soruları yanıtlayın.

45.

$$1 - \frac{x^2 y^2}{3} < \frac{\tan^{-1} xy}{xy} < 1$$

olduğunu bilmek, size

$$\lim_{(x,y) \rightarrow (0,0)} \frac{\tan^{-1} xy}{xy}$$

hakkında bir şey söyler mi? Yanıtınızı açıklayın.

46.

$$2|xy| - \frac{x^2 y^2}{6} < 4 - 4 \cos \sqrt{|xy|} < 2|xy|$$

olduğunu bilmek, size

$$\lim_{(x,y) \rightarrow (0,0)} \frac{4 - 4 \cos \sqrt{|xy|}}{|xy|}$$

hakkında bir şey söyler mi? Yanıtınızı açıklayın.

47.  $|\sin(1/x)| \leq 1$  olduğunu bilmek size

$$\lim_{(x,y) \rightarrow (0,0)} y \sin \frac{1}{x}$$

hakkında bir şey söyler mi? Yanıtınızı açıklayın.

48.  $|\cos(1/y)| \leq 1$  olduğunu bilmek size

$$\lim_{(x,y) \rightarrow (0,0)} x \cos \frac{1}{y}$$

hakkında bir şey söyler mi? Yanıtınızı açıklayın.

49. (Örnek 4'ün devamı)

a. Örnek 4'ü yeniden okuyun. Sonra

$$f(x, y) \Big|_{y=mx} = \frac{2m}{1 + m^2}$$

formülüne  $m = \tan \theta$  koyun ve sonucu sadeleştirerek,  $f$ 'nin değerlerinin doğrunun eğim açısıyla nasıl değiştiğini gösterin.

- b. (a) şekilde elde ettiğiniz sonucu kullanarak  $y = mx$  doğrusu boyunca  $(x, y) \rightarrow (0, 0)$  iken  $f$ 'nin limitinin yaklaşma açısına bağlı olarak  $-1$ 'den  $1$ 'e değiştiğini gösterin.

50. Sürekli genişleme  $f(0, 0)'ı$

$$f(x, y) = xy \frac{x^2 - y^2}{x^2 + y^2}$$

fonksiyonu orijinde sürekli olacak şekilde tanımlayın.

## Kutupsal Koordinatlara Dönüşüm

$\lim_{(x,y) \rightarrow (x_0, y_0)} f(x, y)$  ile ilerleme kaydedemeyorsanız, kutupsal koordinatlara geçmemi deneyin.  $x = r \cos \theta$ ,  $y = r \sin \theta$  yazın ve ortaya çıkan ifadenin  $r \rightarrow 0$  iken limitini araştırın. Başka bir deyişle, aşağıdaki kriteri sağlayan bir  $L$  sayısı olup olmadığına karar vermeye çalışın:

$\epsilon > 0$  sayısına karşılık, her  $r$  ve  $\theta$  için

$$|r| < \delta \Rightarrow |f(r, \theta) - L| < \epsilon. \quad (1)$$

olacak şekilde bir  $\delta > 0$  sayısı vardır. Böyle bir  $L$  varsa,

$$\lim_{(x,y) \rightarrow (0,0)} f(x, y) = \lim_{r \rightarrow 0} f(r, \theta) = L$$

olur. Örneğin,

$$\lim_{(x,y) \rightarrow (0,0)} \frac{x^3}{x^2 + y^2} = \lim_{r \rightarrow 0} \frac{r^3 \cos^3 \theta}{r^2} = \lim_{r \rightarrow 0} r \cos^3 \theta = 0.$$

Bu eşitliklerin sonucusunu doğrulamak için,  $f(r, \theta) = r \cos^3 \theta$  ve  $L = 0$ 'ın (1) denklemini sağladığını göstermemiz gereklidir. Yani, bir  $\epsilon > 0$  sayısına karşılık, her  $r$  ve  $\theta$  için,

$$|r| < \delta \Rightarrow |r \cos^3 \theta - 0| < \epsilon$$

olacak şekilde bir  $\delta > 0$  sayısının var olduğunu göstermemiz gereklidir.

$$|r \cos^3 \theta| = |r||\cos^3 \theta| \leq |r| \cdot 1 = |r|$$

olduğu için,  $\delta = \epsilon$  alırsak, söylenenler doğru olur.

Tam tersine

$$\frac{x^2}{x^2 + y^2} = \frac{r^2 \cos^2 \theta}{r^2} = \cos^2 \theta$$

$|r|$ 'nın küçüklüğünden bağımsız olarak  $0$ 'dan  $1$ 'e kadar bütün değerleri alır, bu nedenle  $\lim_{(x,y) \rightarrow (0,0)} x^2/(x^2 + y^2)$  yoktur.

Bu örneklerin her birinde,  $r \rightarrow 0$  iken limitin varlığı veya yokluğu oldukça açıkta. Ama kutupsal koordinatlara geçmek her zaman yararlı olmayabilir ve bizi yanlış sonuçlara götürebilir. Örneğin, limit her  $\theta =$  sabit doğrusu (veya ısmarı) üzerinde bulunabilir, ama daha geniş anlamda bulunmayı bilir. Örnek 4 bu noktayı belirtmektedir. Kutupsal koordinatlarda,  $f(x, y) = (2x^2y)/(x^4 + y^2)$  fonksiyonu,  $r \neq 0$  için

$$f(r \cos \theta, r \sin \theta) = \frac{r \cos \theta \sin 2\theta}{r^2 \cos^4 \theta + \sin^2 \theta}$$

halini alır.  $\theta$ 'yı sabit tutar ve  $r \rightarrow 0$  alırsak, limit 0'dır. Ancak  $y = x^2$  yolu üzerinde,  $r \sin \theta = r^2 \cos^2 \theta$  olur ve

$$\begin{aligned} f(r \cos \theta, r \sin \theta) &= \frac{r \cos \theta \sin 2\theta}{r^2 \cos^4 \theta + (r \cos^2 \theta)^2} \\ &= \frac{2r \cos^2 \theta \sin \theta}{2r^2 \cos^4 \theta} = \frac{r \sin \theta}{r^2 \cos^2 \theta} = 1. \end{aligned}$$

bulunur.

51–56 alıştırmalarında,  $(x, y) \rightarrow (0, 0)$  iken  $f$ 'nin limitini bulun veya limitin bulunmadığını gösterin.

51.  $f(x, y) = \frac{x^3 - xy^2}{x^2 + y^2}$

52.  $f(x, y) = \cos \left( \frac{x^3 - y^3}{x^2 + y^2} \right)$

53.  $f(x, y) = \frac{y^2}{x^2 + y^2}$

54.  $f(x, y) = \frac{2x}{x^2 + x + y^2}$

55.  $f(x, y) = \tan^{-1} \left( \frac{|x| + |y|}{x^2 + y^2} \right)$

56.  $f(x, y) = \frac{x^2 - y^2}{x^2 + y^2}$

57 ve 58 alıştırmalarında,  $f(0, 0)$ 'ı,  $f$  fonksiyonu orijinde sürekli olacak şekilde tanımlayın.

57.  $f(x, y) = \ln \left( \frac{3x^2 - x^2y^2 + 3y^2}{x^2 + y^2} \right)$

58.  $f(x, y) = \frac{3x^2y}{x^2 + y^2}$

### $\delta$ - $\epsilon$ Tanımlarını Kullanmak

59–62 alıştırmalarının her biri bir  $f(x, y)$  fonksiyonu ve pozitif bir  $\epsilon$  sayısı vermektedir. Her alıştırmada,

$$\sqrt{x^2 - y^2} < d$$

eşitsizliğini sağlayan her  $(x, y)$  için

$$|f(x, y) - f(0, 0)| < \epsilon$$

olacak şekilde bir  $\delta > 0$  sayısının var olduğunu gösterin.

59.  $f(x, y) = x^2 + y^2, \quad \epsilon = 0.01$

60.  $f(x, y) = y/(x^2 + 1), \quad \epsilon = 0.05$

61.  $f(x, y) = (x + y)/(x^2 + 1), \quad \epsilon = 0.01$

62.  $f(x, y) = (x + y)/(2 + \cos x), \quad \epsilon = 0.02$

63–66 alıştırmalarının her biri bir  $f(x, y, z)$  fonksiyonu ve pozitif bir  $\epsilon$  sayısı vermektedir. Her alıştırmada,

$$\sqrt{x^2 + y^2 + z^2} < d$$

eşitsizliğini sağlayan her  $(x, y)$  için

$$|f(x, y, z) - f(0, 0, 0)| < \epsilon$$

olacak şekilde bir  $\delta > 0$  sayısının var olduğunu gösterin.

63.  $f(x, y, z) = x^2 + y^2 + z^2, \quad \epsilon = 0.015$

64.  $f(x, y, z) = xyz, \quad \epsilon = 0.008$

65.  $f(x, y, z) = \frac{x + y + z}{x^2 + y^2 + z^2 + 1}, \quad \epsilon = 0.015$

66.  $f(x, y, z) = \tan^2 x + \tan^2 y + \tan^2 z, \quad \epsilon = 0.03$

67.  $f(x, y, z) = x + y - z$  fonksiyonunun her  $(x_0, y_0, z_0)$  noktasında sürekli olduğunu gösterin.

68.  $f(x, y, z) = x^2 + y^2 + z^2$  nin orijinde sürekli olduğunu gösterin.

## 14.3

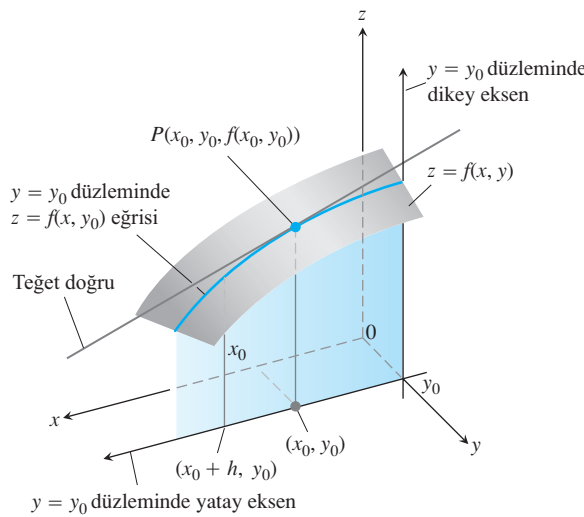
### Kısmi Türevler

Cok değişkenli analiz, temelde tek değişkenli analizin her defasında bir değişkene uygulanmasıdır. Bir fonksiyonun bağımsız değişkenlerinden biri dışında hepsini sabit tutar ve o tek değişkene göre türev alırsak, bir "kısmi" türev elde ederiz. Bu bölüm kısmi türevlerin nasıl ortaya çıktılarını, geometrik olarak nasıl yorumlandıklarını ve tek değişkenli bir fonksiyonun türev kurallarından bir kısmi türevin nasıl hesaplanacağını gösterir.

### İki Değişkenli Bir Fonksiyonun Kısmi Türevleri

$(x_0, y_0)$ , bir  $f(x, y)$  fonksiyonunun tanım kümesinde bir noktaya, dikey  $y = y_0$  düzleme  $z = f(x, y)$  yüzeyini  $z = f(x, y_0)$  eğrisinde kesecektir (Şekil 14.13). Bu eğri  $y = y_0$  düzlemindeki  $z = f(x, y_0)$  fonksiyonunun grafiğidir. Bu düzlemdeki yatay koordinat  $x$ ; dikey koordinat  $z$ 'dir.  $y$ -değeri  $y_0$ 'da sabit tutulmaktadır dolayısıyla  $y$  bir değişken değildir.

$f$ 'nin  $(x_0, y_0)$  noktasında,  $x$ 'e göre kısmi türevini  $f(x, y_0)$ 'nın  $x = x_0$  noktasında  $x$ 'e göre normal türevi olarak tanımlarız. Kısmi türevleri normal türevlerden ayırt etmek için önceden kullandığımız  $d$  yerine  $\partial$  sembolünü kullanırız.



**ŞEKİL 14.13**  $xy$ -düzleminin birinci dörtte bir bölgesinin üst tarafından bakıldığından,  $y = y_0$  düzleminin  $z = f(x, y)$  yüzeyi ile kesişimi.

#### TANIM $x$ 'e Göre Kısımlı Türev

$f(x, y)$ 'nin  $(x_0, y_0)$  noktasında  $x$ 'e göre kısımlı türevi, limitin var olması şartıyla

$$\left. \frac{\partial f}{\partial x} \right|_{(x_0, y_0)} = \lim_{h \rightarrow 0} \frac{f(x_0 + h, y_0) - f(x_0, y_0)}{h}$$

olarak tanımlanır.

Kısımlı türev için eşdeğer bir gösterim

$$\left. \frac{d}{dx} f(x, y_0) \right|_{x=x_0}$$

dir.

$z = f(x, y_0)$  eğrisinin  $y = y_0$  düzleminde  $P(x_0, y_0, f(x_0, y_0))$  noktasındaki eğimi  $f'$  nin  $(x_0, y_0)$ 'da  $x$ 'e göre kısımlı türevinin değeridir. Eğrinin  $P$ 'deki teğeti ise  $y = y_0$  düzleminde  $P$ 'den bu eğimle geçen doğrudur.  $(x_0, y_0)$ 'daki  $\partial f / \partial x$  kısımlı türevi,  $y$  değişkeni  $y_0$  değerinde sabit tutulurken  $f'$  nin  $x$ 'e göre değişim oranıdır. Bu  $(x_0, y_0)$ 'da  $f'$  nin  $i$  yönündeki değişim oranıdır.

Bir kısımlı türevin gösterimi neyi vurgulamak istediğimize bağlıdır:

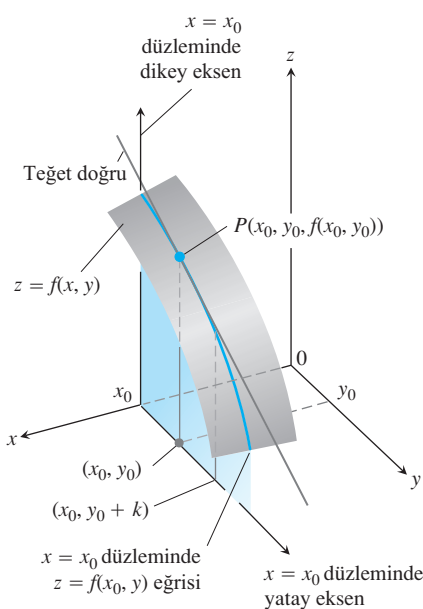
$\frac{\partial f}{\partial x}(x_0, y_0)$  veya  $f_x(x_0, y_0)$  “ $f$ 'nin  $(x_0, y_0)$ 'da  $x$ 'e göre türevi” veya “ $(x_0, y_0)$  da  $f$  altı  $x$ .”  $(x_0, y_0)$  noktasını vurgulamak için uygundur.

$$\left. \frac{\partial z}{\partial x} \right|_{(x_0, y_0)}$$

“ $z$ 'nin  $(x_0, y_0)$ 'da  $x$ 'e göre kısımlı türevi.” Bilim ve mühendislikte değişkenlerle uğraşmak ve fonksiyonu açık olarak belirtmemek için yaygın olarak kullanılır.

$$f_x, \frac{\partial f}{\partial x}, z_x, \text{ veya } \left. \frac{\partial z}{\partial x} \right|_{(x_0, y_0)}$$

“ $f$ 'nin (veya  $z$ 'nin)  $x$ 'e göre kısımlı türevi.” Kısımlı türeve kendisi de bir fonksiyonmuş gibi bakıyorsanız uygundur.



**ŞEKİL 14.14**  $x = x_0$  düzlemininin  $z = f(x, y)$  yüzeyi ile kesişiminin,  $xy$ -düzleminin birinci dörtte bir bölgesindeki görünüşü.

$f(x, y)$ 'nin bir  $(x_0, y_0)$  noktasında  $y$ 'ye göre kısmi türevinin tanımı  $f$ 'nin  $x$ 'e göre kısmi türevinin tanımına benzerdir.  $x$ 'i bir  $x_0$  noktasında sabit tutar ve  $f(x_0, y)$ 'nin  $y_0$ 'da  $y$ 'ye göre normal türevini alırız.

### TANIM $y$ 'ye Göre Kısmi Türev

$f(x, y)$ 'nin  $(x_0, y_0)$  noktasında  $y$ 'ye göre kısmi türevi, limitin var olması şartıyla

$$\frac{\partial f}{\partial y} \Big|_{(x_0, y_0)} = \frac{d}{dy} f(x_0, y) \Big|_{y=y_0} = \lim_{h \rightarrow 0} \frac{f(x_0, y_0 + h) - f(x_0, y_0)}{h},$$

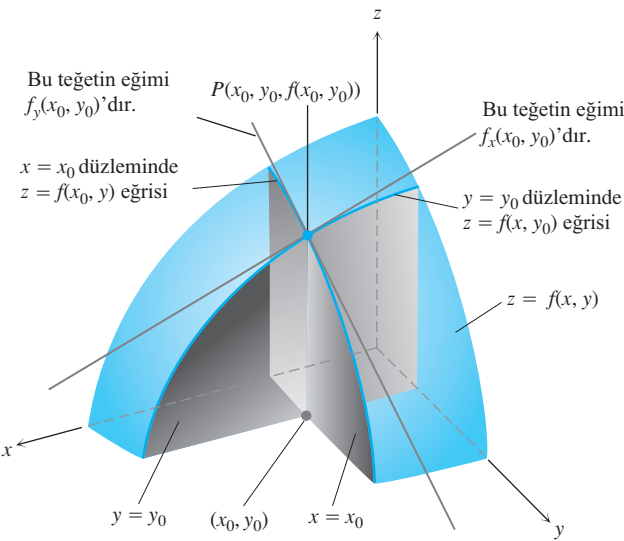
olarak tanımlanır.

$z = f(x_0, y)$  eğrisinin dikey  $x = x_0$  düzleminde  $P(x_0, y_0, f(x_0, y_0))$  noktasındaki (Şekil 14.14) eğimi,  $f$ 'nin  $(x_0, y_0)$ 'da  $y$ 'ye göre kısmi türevidir. Eğrinin  $P$ 'deki teğeti ise  $x = x_0$  düzleminde  $P$ 'den bu eğimle geçen doğrudur. Kısmi türev,  $x$ -değişkeni  $x_0$  değerinde sabit tutulurken  $f$ 'nin  $(x_0, y_0)$ 'da  $y$ 'e göre değişim oranıdır. Bu,  $(x_0, y_0)$ 'da  $f$ 'nin  $\mathbf{j}$  yönündeki değişim oranıdır.

$y$ 'ye göre kısmi türev,  $x$ 'e göre kısmi türevle aynı şekilde gösterilir:

$$\frac{\partial f}{\partial y}(x_0, y_0), \quad f_y(x_0, y_0), \quad \frac{\partial f}{\partial y}, \quad f_y.$$

Elimizde,  $P(x_0, y_0, f(x_0, y_0))$  noktasında  $z = f(x, y)$  düzlemiyle ilgili iki tane teğet bulunduğuna dikkat edin (Şekil 14.15). Bunların belirledikleri düzlem yüzeye  $P$ 'de teğet midir? Öyle olduğunu göreceğiz, ama neden böyle olduğunu bulmadan önce kısmi türevler hakkında daha fazla şey öğrenmemiz gereklidir.



**ŞEKİL 14.15** Şekil 14.13 ve 14.14'ün birleşmiş hali  $(x_0, y_0, f(x_0, y_0))$  noktasındaki teğetler, en azından bu resimde, yüzeye teğet olan bir düzlem belirlemektedir.

### Hesaplamalar

$\partial f/\partial x$  ve  $\partial f/\partial y$ 'nin tanımları  $f$ 'nin bir noktada türetilmesi için iki farklı yol verir:  $y$ 'ye bir sabit gibi davranışarak  $x$ 'e göre her zamanki gibi türev ve  $x$ 'e bir sabit gibi davranışarak  $y$ 'ye göre her zamanki gibi türev. Aşağıdaki örneklerin gösterdikleri gibi bu kısımlı türevlerin değerleri verilen bir  $(x_0, y_0)$  noktasında genellikle farklıdır.

#### ÖRNEK 1 Bir Noktada Kısımlı Türevlerin Bulunması

ise  $(4, -5)$  noktasında  $\partial f/\partial x$  ve  $\partial f/\partial y$  değerlerini bulun:

$$f(x, y) = x^2 + 3xy + y - 1.$$

**Çözüm**  $\partial f/\partial x$ 'i bulmak için,  $y$ 'ye bir sabit olarak bakar ve  $x$ 'e göre türev alırız:

$$\frac{\partial f}{\partial x} = \frac{\partial}{\partial x}(x^2 + 3xy + y - 1) = 2x + 3 \cdot 1 \cdot y + 0 - 0 = 2x + 3y$$

$\partial f/\partial x$ 'in  $(4, -5)$ 'teki değeri  $2(4) + 3(-5) = -7$ 'dir.

$\partial f/\partial y$ 'yi bulmak için,  $x$ 'e bir sabit olarak bakar ve  $y$ 'ye göre türev alırız:

$$\frac{\partial f}{\partial y} = \frac{\partial}{\partial y}(x^2 + 3xy + y - 1) = 0 + 3 \cdot x \cdot 1 + 1 - 0 = 3x + 1$$

$\partial f/\partial y$ 'nin  $(4, -5)$ 'teki değeri  $3(4) + 1 = 13$ 'tür. ■

#### ÖRNEK 2 Bir Kısımlı Türevi Bir Fonksiyon Olarak Bulmak

$f(x, y) = y \sin xy$  ise  $\partial f/\partial y$ 'yi bulun.

**Çözüm**  $x$ 'e bir sabit,  $f$ 'ye de  $y$  ve  $\sin xy$ 'nin bir çarpımı olarak bakarız:

$$\begin{aligned} \frac{\partial f}{\partial y} &= \frac{\partial}{\partial y}(y \sin xy) = y \frac{\partial}{\partial y} \sin xy + (\sin xy) \frac{\partial}{\partial y}(y) \\ &= (y \cos xy) \frac{\partial}{\partial y}(xy) + \sin xy = xy \cos xy + \sin xy. \end{aligned}$$

#### TEKNOLOJİ KULLANMAK Kısımlı Türev Alma

Basit bir grafik çizicisi hesaplamalarınızı çok boyutta bile destekleyebilir. Bir tek değişken dışındaki bütün değişkenlerin değerlerini belirlerseniz, grafik çiziciniz kısmalı türevleri hesaplayıp, kalan değişkene göre izleri çizebilir. Tipik olarak bir Bilgisayarlı Cebir Sistemi kısmalı türevleri sembolik ve sayısal olarak basit türevler kadar kolaylıkla hesaplayabilir. Çoğu sistem değişken sayısına bakmaksızın, bir fonksiyonun türevini almak için aynı komutu kullanır (Sadece hangi değişkene göre türev almak istedığınızı belirtin).

#### ÖRNEK 3 Kısımlı Türevler Farklı Fonksiyonlar Olabilirler

$$f(x, y) = \frac{2y}{y + \cos x}$$

ise  $f_x$  ve  $f_y$ 'yi bulun.

**Çözüm**  $f'$ ye bir bölüm olarak bakarız.  $y$ 'yi bir sabit olarak alırsak,

$$\begin{aligned} f_x &= \frac{\partial}{\partial x} \left( \frac{2y}{y + \cos x} \right) = \frac{(y + \cos x) \frac{\partial}{\partial x}(2y) - 2y \frac{\partial}{\partial x}(y + \cos x)}{(y + \cos x)^2} \\ &= \frac{(y + \cos x)(0) - 2y(-\sin x)}{(y + \cos x)^2} = \frac{2y \sin x}{(y + \cos x)^2}. \end{aligned}$$

buluruz.  $x$ 'e bir sabit olarak bakmakla

$$\begin{aligned} f_y &= \frac{\partial}{\partial y} \left( \frac{2y}{y + \cos x} \right) = \frac{(y + \cos x) \frac{\partial}{\partial y}(2y) - 2y \frac{\partial}{\partial y}(y + \cos x)}{(y + \cos x)^2} \\ &= \frac{(y + \cos x)(2) - 2y(1)}{(y + \cos x)^2} = \frac{2 \cos x}{(y + \cos x)^2}. \end{aligned}$$

Kapalı türev alma, sıradaki örnekte görüleceği gibi, kısmi türev alma için de normal türev almada olduğu gibidir.

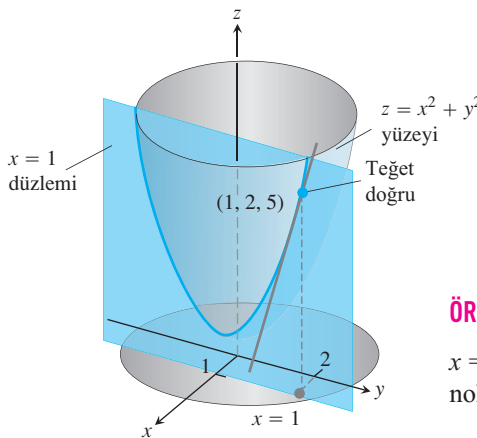
#### ÖRNEK 4 Kapalı Türev Alma

$$yz - \ln z = x + y$$

denklemi  $z$ 'yi  $x$  ve  $y$ 'nin iki bağımsız değişkenli bir fonksiyonu olarak tanımlıyor, ve kısmi türev varsa,  $\partial z / \partial x$ 'i bulun.

**Çözüm**  $y$ 'yi sabit olarak tutup,  $z$ 'ye  $x$ 'in türetilen bir fonksiyonu gibi bakarak, denklemin iki tarafının da  $x$ 'e göre türevini alıriz:

$$\begin{aligned} \frac{\partial}{\partial x}(yz) - \frac{\partial}{\partial x}\ln z &= \frac{\partial x}{\partial x} + \frac{\partial y}{\partial x} \\ y \frac{\partial z}{\partial x} - \frac{1}{z} \frac{\partial z}{\partial x} &= 1 + 0 && \text{y-sabitken,} \\ \left(y - \frac{1}{z}\right) \frac{\partial z}{\partial x} &= 1 && \frac{\partial}{\partial x}(yz) = y \frac{\partial z}{\partial x}. \\ \frac{\partial z}{\partial x} &= \frac{z}{yz - 1}. \end{aligned}$$



**ŞEKİL 14.16**  $x = 1$  düzlemini ile  $z = x^2 + y^2$  yüzeyinin kesişim eğrisinin  $(1, 2, 5)$  noktasındaki teğeti (Örnek 5).

#### ÖRNEK 5 Bir Yüzeyin $y$ -Yönündeki Eğimini Bulmak

$x = 1$  düzlemini  $z = x^2 + y^2$  paraboloidiyle bir parabol üzerinde keser. Parabolün  $(1, 2, 5)$  noktasındaki teğetinin eğimini bulun (Şekil 14.16).

**Çözüm** Eğim,  $\partial z / \partial y$  kısmi türevinin  $(1, 2)$ 'deki değeridir:

$$\frac{\partial z}{\partial y} \Big|_{(1,2)} = \frac{\partial}{\partial y}(x^2 + y^2) \Big|_{(1,2)} = 2y \Big|_{(1,2)} = 2(2) = 4.$$

Kontrol için, parabole  $x = 1$  düzlemindeki tek-değişkenli  $z = (1)^2 + y^2 = 1 + y^2$  fonksiyonu olarak bakabilir ve  $y = 2$ 'deki eğimi sorabiliriz. Şimdi normal bir türev olarak hesaplanan eğim

$$\frac{dz}{dy} \Big|_{y=2} = \frac{d}{dy}(1 + y^2) \Big|_{y=2} = 2y \Big|_{y=2} = 4$$

olarak bulunur. ■

### İkiden Fazla Değişkenli Fonksiyonlar

İkiden fazla değişkenli fonksiyonların kısmi türevlerinin tanımları iki değişkenli fonksiyonların kısmi türevlerinin tanımına benzer. Diğer bağımsız değişkenler sabit tutularak, bir bağımsız değişkene göre alınan normal türevlerdir.

#### ÖRNEK 6 Üç Değişkenli Bir Fonksiyon

$x, y$  ve  $z$  bağımsız değişkenler ve

$$f(x, y, z) = x \sin(y + 3z)$$

ise,

$$\begin{aligned}\frac{\partial f}{\partial z} &= \frac{\partial}{\partial z}[x \sin(y + 3z)] = x \frac{\partial}{\partial z} \sin(y + 3z) \\ &= x \cos(y + 3z) \frac{\partial}{\partial z}(y + 3z) = 3x \cos(y + 3z)\end{aligned}$$

bulunur. ■

#### ÖRNEK 7 Paralel Bağlı Elektrik Dirençleri

$R_1, R_2$  ve  $R_3$  dirençleri  $R$  ohmlu bir direnç oluşturacak şekilde paralel olarak bağlanırlarsa,  $R$ 'nin değeri

$$\frac{1}{R} = \frac{1}{R_1} + \frac{1}{R_2} + \frac{1}{R_3}$$

denkleminden bulunabilir (Şekil 14.17).  $R_1 = 30$ ,  $R_2 = 45$  ve  $R_3 = 90$  ohm iken,  $\partial R / \partial R_2$ 'nın değerini bulun.

**Cözüm**  $\partial R / \partial R_2$ 'yi bulmak için,  $R_1$  ve  $R_3$ 'e sabit olarak bakar ve kapalı türetmeyi kullanarak denklemının iki tarafının da  $R_2$ 'ye göre türevini alırız:

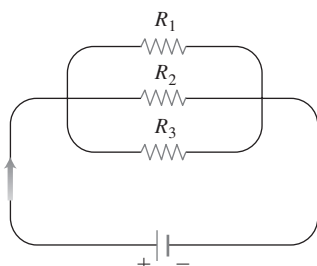
$$\frac{\partial}{\partial R_2} \left( \frac{1}{R} \right) = \frac{\partial}{\partial R_2} \left( \frac{1}{R_1} + \frac{1}{R_2} + \frac{1}{R_3} \right)$$

$$-\frac{1}{R^2} \frac{\partial R}{\partial R_2} = 0 - \frac{1}{R_2^2} + 0$$

$$\frac{\partial R}{\partial R_2} = \frac{R^2}{R_2^2} = \left( \frac{R}{R_2} \right)^2$$

$R_1 = 30$ ,  $R_2 = 45$  ve  $R_3 = 90$  iken,

$$\frac{1}{R} = \frac{1}{30} + \frac{1}{45} + \frac{1}{90} = \frac{3 + 2 + 1}{90} = \frac{6}{90} = \frac{1}{15}$$



**ŞEKİL 14.17** Bu şekilde düzenlenen dirençlere paralel bağlı denir (Örnek 7). Her direnç akımın bir kısmını geçirir. Toplam direnç  $R$

$$\frac{1}{R} = \frac{1}{R_1} + \frac{1}{R_2} + \frac{1}{R_3}$$

formülüyle hesaplanır.

ve dolayısıyla  $R = 15$  bulunur. Buradan

$$\frac{\partial R}{\partial R_2} = \left(\frac{15}{45}\right)^2 = \left(\frac{1}{3}\right)^2 = \frac{1}{9}$$

elde edilir. ■

### Kısmi Türevler ve Süreklik

Bir  $f(x, y)$  fonksiyonunun bir noktada, orada sürekli olması gerekmenden, hem  $x$  hem de  $y$ 'ye göre kısmi türevleri var olabilir. Bu, bir türevin varlığının süreklilığı gerektirdiği tek değişkenli fonksiyonlardan farklıdır. Ancak,  $f(x, y)$ 'nin kısmi türevleri varsa ve merkezi  $(x_0, y_0)$ 'da bulunan bir daire içinde sürekli iseler, bir sonraki bölümde göreceğimiz gibi,  $f$  fonksiyonu  $(x_0, y_0)$ 'da süreklidir.

#### ÖRNEK 8 Kısmi Türevler Var, Fakat $f$ Süreksiz

$$f(x, y) = \begin{cases} 0, & xy \neq 0 \\ 1, & xy = 0 \end{cases}$$

olsun (Şekil 14.18).

- (a)  $(x, y)$  noktası  $y = x$  doğrusu üzerinden  $(0, 0)$ 'a yaklaşıırken  $f$ 'nin limitini bulun.
- (b)  $f$ 'nin orijinde sürekli olmadığını gösterin.
- (c) Orijinde,  $\partial f / \partial x$  ve  $\partial f / \partial y$  kısmi türevlerinin ikisinin de var olduğunu gösterin.

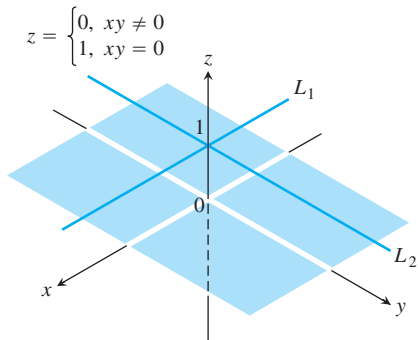
#### Çözüm

- (a)  $f(x, y)$ ,  $y = x$  doğrusu boyunca (orijin hariç) sabit olarak sıfır olduğundan

$$\lim_{(x, y) \rightarrow (0, 0)} f(x, y) \Big|_{y=x} = \lim_{(x, y) \rightarrow (0, 0)} 0 = 0$$

dır.

- (b)  $f(0, 0) = 1$  olduğundan (a)'daki limit fonksiyonun  $(0, 0)$ 'da sürekli olmadığını gösterir.
- (c)  $(0, 0)$ 'da  $\partial f / \partial x$ 'i bulmak için  $y$ 'yi  $y = 0$ 'da sabit olarak tutarız. Bu durumda, her  $x$  için  $f(x, 0) = 1$  dir ve  $f$ 'nin grafiği Şekil 14.18'deki  $L_1$  doğrusudur. Bu doğrunun herhangi bir  $x$  noktasındaki eğimi  $\partial f / \partial x = 0$  dir. Özel olarak,  $(0, 0)$ 'da  $\partial f / \partial x = 0$  dir. Benzer şekilde, herhangi bir  $y$  noktasında  $L_2$  doğrusunun eğimi  $\partial f / \partial y$  dir. Dolayısıyla,  $(0, 0)$ 'da  $\partial f / \partial y = 0$  dir. ■



ŞEKİL 14.18

$$f(x, y) = \begin{cases} 0, & xy \neq 0 \\ 1, & xy = 0 \end{cases}$$

fonksiyonunun grafiği  $L_1$  ve  $L_2$  doğruları ile  $xy$ -düzleminin dört tane açık dörtte bir bölgesinden oluşur. Fonksiyonun orijinde kısmi türevleri vardır, ama orada sürekli değildir (Örnek 8).

Örnek 8'e rağmen, bir noktadaki *diferansiyellenebilmenin sürekliliği* gerektirmesi, yüksek boyutlarda hala geçerlidir. Örnek 8, yüksek boyutlarda diferansiyellenebilme için kısmi türevlerin varlığından ziyade daha güçlü bir koşulun gerektiğini gösterir. İki değişkenli fonksiyonların diferansiyellenebilmesini bu bölümün sonunda tanımlıyor ve süreklilikle olan bağlantısını tekrar ele alıyoruz.

### İkinci Mertebe Kısmi Türevler

Bir  $f(x, y)$  fonksiyonun iki kere türevini aldığımızda, ikinci mertebeden türevlerini elde ederiz. Bu türevler genellikle aşağıdaki gibi gösterilir:

$$\frac{\partial^2 f}{\partial x^2} \quad \text{"d kare } f dx \text{ kare"} \quad \text{veya} \quad f_{xx} \quad \text{"f altı } xx\text{"}$$

$$\frac{\partial^2 f}{\partial y^2} \quad \text{"d kare } f dy \text{ kare"} \quad \text{veya} \quad f_{yy} \quad \text{"f altı } yy\text{"}$$

$$\frac{\partial^2 f}{\partial x \partial y} \quad "d \text{ kare } f dx dy" \quad \text{veya} \quad f_{yx} \quad "f \text{ altı } yx"$$

$$\frac{\partial^2 f}{\partial y \partial x} \quad "d \text{ kare } f dy dx" \quad \text{veya} \quad f_{xy} \quad "f \text{ altı } xy"$$

Bunları tanımlayan denklemler

$$\frac{\partial^2 f}{\partial x^2} = \frac{\partial}{\partial x} \left( \frac{\partial f}{\partial x} \right), \quad \frac{\partial^2 f}{\partial x \partial y} = \frac{\partial}{\partial x} \left( \frac{\partial f}{\partial y} \right)$$

şeklindedir. Türevlerin alındığı sıraya dikkat edin:

$$\frac{\partial^2 f}{\partial x \partial y} \quad \text{Önce } y \text{'ye göre, sonra } x \text{'e göre türev alın.}$$

$$f_{yx} = (f_y)_x \quad \text{Aynı anlama gelir.}$$

### TARİHSEL BİYOGRAFİ

Pierre-Simon Laplace  
(1749–1827)

### ÖRNEK 9 İkinci Mertebeden Kısımlı Türevleri Bulmak

$f(x, y) = x \cos y + ye^x$  ise,

$$\frac{\partial^2 f}{\partial x^2}, \quad \frac{\partial^2 f}{\partial y \partial x}, \quad \frac{\partial^2 f}{\partial y^2}, \quad \text{ve} \quad \frac{\partial^2 f}{\partial x \partial y}$$

türevlerini bulun.

#### Çözüm

$$\begin{aligned} \frac{\partial f}{\partial x} &= \frac{\partial}{\partial x} (x \cos y + ye^x) \\ &= \cos y + ye^x \end{aligned}$$

Buradan

$$\begin{aligned} \frac{\partial^2 f}{\partial y \partial x} &= \frac{\partial}{\partial y} \left( \frac{\partial f}{\partial x} \right) = -\sin y + e^x \\ \frac{\partial^2 f}{\partial x^2} &= \frac{\partial}{\partial x} \left( \frac{\partial f}{\partial x} \right) = ye^x \end{aligned}$$

bulunur.

$$\begin{aligned} \frac{\partial f}{\partial y} &= \frac{\partial}{\partial y} (x \cos y + ye^x) \\ &= -x \sin y + e^x \end{aligned}$$

Buradan

$$\begin{aligned} \frac{\partial^2 f}{\partial x \partial y} &= \frac{\partial}{\partial x} \left( \frac{\partial f}{\partial y} \right) = -\sin y + e^x \\ \frac{\partial^2 f}{\partial y^2} &= \frac{\partial}{\partial y} \left( \frac{\partial f}{\partial y} \right) = -x \cos y \end{aligned}$$

### Karışık Türev Teoremi

Örnek 9'daki

$$\frac{\partial^2 f}{\partial y \partial x} \quad \text{ve} \quad \frac{\partial^2 f}{\partial x \partial y}$$

ikinci-mertebe “karışık” türevlerinin eşit olduğunu fark etmiş olabilirsiniz. Bu bir rastlantı değildi. Her ne zaman  $f, f_x, f_y, f_{xy}$  ve  $f_{yx}$  sürekli ise, bunlar eşit olmalıdır.

### TEOREM 2 Karışık Türev Teoremi

$f(x, y)$  ve  $f_x, f_y, f_{xy}$  ve  $f_{yx}$  kısımlı türevleri bir  $(a, b)$  noktasını içeren açık bir bölge üzerinde tanımlıysalar ve hepsi  $(a, b)$ 'de sürekli ise,

$$f_{xy}(a, b) = f_{yx}(a, b)$$

olur.

## TARIHSEL BİYOGRAFI

Alexis Clairaut  
(1713–1765)

Teorem 2, onu ortaya atan Fransız matematikçi Alexis Clairaut'un adına Clairaut Teoremi olarak da bilinmektedir. Bir ispatı Ek 7'de verilmiştir. Teorem 2, ikinci-mertebeden karışık bir türev hesaplamak için, süreklilik koşullarının sağlanması şartıyla, türevi her iki sıradır da alabileceğimizi söyler. Bu yararımıza olabilir.

## ÖRNEK 10 Türev Alma Sırasını Seçmek

$$w = xy + \frac{e^y}{y^2 + 1}$$

ise,  $\partial^2 w / \partial x \partial y$ 'yi bulun.

**Çözüm**  $\partial^2 w / \partial x \partial y$  simbolü bize önce  $y$ 'ye, sonra da  $x$ 'e göre türev almamızı söyler. Ancak,  $y$ 'ye göre türev almayı erteler ve önce  $x$ 'e göre türev alırsak, yanıtı daha kolay bulabiliriz. İki adımda,

$$\frac{\partial w}{\partial x} = y \quad \text{ve} \quad \frac{\partial^2 w}{\partial y \partial x} = 1$$

buluruz. İlk önce  $y$ 'ye göre türev alırsak yine  $\partial^2 w / \partial x \partial y = 1$  buluruz. ■

## Daha da Yüksek Mertebeli Türevler

Çoğunlukla, uygulamalarda daha sık ortaya çıktıkları için, birinci ve ikinci mertebeden türevlerle uğraşacağımız halde, söz konusu türevler var oldukları sürece, bir fonksiyonun kaç kere türevini alabileceğimiz hakkında teorik bir sınır yoktur. Üçüncü ve dördüncü mertebe türevler aşağıdaki gibi sembollerle gösterilir:

$$\frac{\partial^3 f}{\partial x \partial y^2} = f_{yyx}$$

$$\frac{\partial^4 f}{\partial x^2 \partial y^2} = f_{yyxx},$$

vs...

İkinci mertebeden türevlerde olduğu gibi, söz konusu mertebeye kadar olan bütün türevler sürekli oldukları sürece, türev almanın sırası önemli değildir.

## ÖRNEK 11 Dördüncü Mertebeden Bir Kısmi Türev Hesaplamak

$f(x, y, z) = 1 - 2xy^2z + x^2y$  ise  $f_{yxz}$  türevini bulun.

**Çözüm** Önce  $y$  değişkenine, sonra  $x$ , sonra tekrar  $y$  ve son olarak  $z$ 'ye göre türev alırsız:

$$f_y = -4xyz + x^2$$

$$f_{yx} = -4yz + 2x$$

$$f_{yxy} = -4z$$

$$f_{yxz} = -4$$

■

### Diferansiyellenebilme

Diferansiyellenebilmenin başlangıç noktası Fermat'ın farklar oranı değil, daha çok artım fikridir. Bölüm 3.8'deki tek değişkenli fonksiyonlarla çalışmalarımızdan,  $y = f(x)$  fonksiyonu  $x = x_0$ 'da diferansiyellenebilirse,  $x$ 'i  $x_0$ 'dan  $x_0 + \Delta x$ 'e değiştirmekten kaynaklanan  $f$ 'nin değerindeki değişikliğin,  $\Delta x \rightarrow 0$  iken  $\epsilon \rightarrow 0$  olmak üzere,

$$\Delta y = f'(x_0)\Delta x + \epsilon\Delta x$$

şeklinde bir denklemle verildiğini hatırlayacaksınız. İki değişkenli fonksiyonlar için, benzer özellik diferansiyellenebilmenin tanımı halini alır. Artım Teoremi (ileri analizden) bu özelliğin geçerli olmasını ne zaman beklememiz gerektiğini söyler.

#### TEOREM 3 İki Değişkenli Fonksiyonlar İçin Artım Teoremi

$f(x, y)$ 'nin birinci kısmi türevlerinin,  $(x_0, y_0)$  noktasını içeren açık bir  $R$  bölgesinde tanımlı olduklarını ve  $f_x$  ve  $f_y$ 'nın  $(x_0, y_0)$ 'da sürekli olduklarını varsayıñ. Bu durumda,  $(x_0, y_0)$ 'dan  $R$ 'deki başka bir  $(x_0 + \Delta x, y_0 + \Delta y)$  noktasına ilerlemekten dolayı  $f$ 'de oluşacak

$$\Delta z = f(x_0 + \Delta x, y_0 + \Delta y) - f(x_0, y_0)$$

değişikliği,  $\Delta x, \Delta y \rightarrow 0$  iken,  $\epsilon_1, \epsilon_2 \rightarrow 0$  olmak üzere,

$$\Delta z = f_x(x_0, y_0)\Delta x + f_y(x_0, y_0)\Delta y + \epsilon_1\Delta x + \epsilon_2\Delta y$$

şeklinde bir denklemi sağlar.

Ek 7'deki ispatta, epsilonların nereden geldiğini görebilirsiniz. Ayrıca, ikiden fazla değişkenli fonksiyonlar için de benzer sonuçların geçerli olduğunu göreceksiniz.

#### TANIM Diferansiyel Fonksiyon

Bir  $z = f(x, y)$  fonksiyonu için  $f_x(x_0, y_0)$  ve  $f_y(x_0, y_0)$  varsa ve  $\Delta z$ ,

$$\Delta z = f_x(x_0, y_0)\Delta x + f_y(x_0, y_0)\Delta y + \epsilon_1\Delta x + \epsilon_2\Delta y,$$

şeklindeki bir denklemi  $\Delta x, \Delta y \rightarrow 0$  iken  $\epsilon_1, \epsilon_2 \rightarrow 0$  olmak üzere sağlarsa,  $z = f(x, y)$  fonksiyonu  $(x_0, y_0)$ 'da **diferansiyellenebilirdir**. Tanım kümesinin her noktasında diferansiyellenebilirse,  $f'$ ye **diferansiyellenebilir** deriz.

Bu tanım ışığında, Teorem 3'ten, birinci türevleri *sürekli* ise,  $f$ 'nin diferansiyellenebilir olduğu sonucunu hemen çıkarabiliriz.

#### TEOREM 3'ün SONUCU Kısımlı Türevlerin Süreklliliği

Bir  $f(x, y)$  fonksiyonunun  $f_x$  ve  $f_y$  kısmi türevleri açık bir  $R$  bölgesinde sürekli iseler,  $f$  fonksiyonu  $R$ 'nin her noktasında diferansiyellenebilirdir.

$z = f(x, y)$  fonksiyonu diferansiyellenebilir ise diferansiyellenebilme tanımı,  $\Delta x$  ve  $\Delta y$  0'a yaklaşırken,

$$\Delta z = f(x_0 + \Delta x, y_0 + \Delta y) - f(x_0, y_0)$$

değerinin sıfıra gitmesini garantiler. Bu bize bir  $f(x, y)$  fonksiyonunun diferansiyellenebildiği her noktada sürekli olduğunu söyler.

#### TEOREM 4 Diferansiyellenebilirlik Sürekliği Gerektirir

Bir  $f(x, y)$  fonksiyonu  $(x_0, y_0)$ 'da diferansiyellenebilir ise  $f$  fonksiyonu  $(x_0, y_0)$ 'da süreklidir.

Teorem 3 ve 4'ten görebileceğimiz gibi,  $f_x$  ve  $f_y$  kısmi türevleri  $(x_0, y_0)$ 'ı içeren açık bir bölgede sürekliyseler,  $f(x, y)$  fonksiyonu  $(x_0, y_0)$  noktasında sürekli olmak zorundadır. Ama, Örnek 8'de gördüğümüz gibi, iki değişkenli bir fonksiyon için birinci-mertebeden kısmi türevlerin var olduğu bir noktada, fonksiyonun süreksiz olabileceğini hatırlayın. Varlık tek başına yeterli değildir.

## ALIŞTIRMALAR 14.3

### Birinci-Mertebe Kısmi Türevleri Hesaplama

1–22 alıştırmalarında,  $\partial f / \partial x$  ve  $\partial f / \partial y$ 'yi hesaplayın.

1.  $f(x, y) = 2x^2 - 3y - 4$
2.  $f(x, y) = x^2 - xy + y^2$
3.  $f(x, y) = (x^2 - 1)(y + 2)$
4.  $f(x, y) = 5xy - 7x^2 - y^2 + 3x - 6y + 2$
5.  $f(x, y) = (xy - 1)^2$
6.  $f(x, y) = (2x - 3y)^3$
7.  $f(x, y) = \sqrt{x^2 + y^2}$
8.  $f(x, y) = (x^3 + (y/2))^{2/3}$
9.  $f(x, y) = 1/(x + y)$
10.  $f(x, y) = x/(x^2 + y^2)$
11.  $f(x, y) = (x + y)/(xy - 1)$
12.  $f(x, y) = \tan^{-1}(y/x)$
13.  $f(x, y) = e^{(x+y+1)}$
14.  $f(x, y) = e^{-x} \sin(x + y)$
15.  $f(x, y) = \ln(x + y)$
16.  $f(x, y) = e^{xy} \ln y$
17.  $f(x, y) = \sin^2(x - 3y)$
18.  $f(x, y) = \cos^2(3x - y^2)$
19.  $f(x, y) = x^y$
20.  $f(x, y) = \log_y x$
21.  $f(x, y) = \int_x^y g(t) dt$  ( $g$ , her  $t$  değerinde sürekli)
22.  $f(x, y) = \sum_{n=0}^{\infty} (xy)^n$  ( $|xy| < 1$ )

23–34 alıştırmalarında,  $f_x$ ,  $f_y$  ve  $f_z$ 'yi bulun.

23.  $f(x, y, z) = 1 + xy^2 - 2z^2$
24.  $f(x, y, z) = xy + yz + xz$
25.  $f(x, y, z) = x - \sqrt{y^2 + z^2}$
26.  $f(x, y, z) = (x^2 + y^2 + z^2)^{-1/2}$

$$27. f(x, y, z) = \sin^{-1}(xyz) \quad 28. f(x, y, z) = \sec^{-1}(x + yz)$$

$$29. f(x, y, z) = \ln(x + 2y + 3z)$$

$$30. f(x, y, z) = yz \ln(xy) \quad 31. f(x, y, z) = e^{-(x^2+y^2+z^2)}$$

$$32. f(x, y, z) = e^{-xyz}$$

$$33. f(x, y, z) = \tanh(x + 2y + 3z)$$

$$34. f(x, y, z) = \sinh(xy - z^2)$$

35–40 alıştırmalarında, fonksiyonun her değişkene göre kısmi türevini bulun.

$$35. f(t, \alpha) = \cos(2\pi t - \alpha) \quad 36. g(u, v) = v^2 e^{(2u/v)}$$

$$37. h(\rho, \phi, \theta) = \rho \sin \phi \cos \theta \quad 38. g(r, \theta, z) = r(1 - \cos \theta) - z$$

39. Kalbin yaptığı iş (Bölüm 3.8, Alıştırma 51)

$$W(P, V, \delta, v, g) = PV + \frac{V\delta v^2}{2g}$$

40. Wilson miktar formülü (Bölüm 4.5, Alıştırma 45)

$$A(c, h, k, m, q) = \frac{km}{q} + cm + \frac{hq}{2}$$

### İkinci-Mertebeden Kısmi Türevleri Hesaplamak

41–46 alıştırmalarındaki fonksiyonların bütün ikinci mertebe kısmi türevlerini bulun.

$$41. f(x, y) = x + y + xy \quad 42. f(x, y) = \sin xy$$

43.  $g(x, y) = x^2y + \cos y + y \sin x$   
 44.  $h(x, y) = xe^y + y + 1$       45.  $r(x, y) = \ln(x + y)$   
 46.  $s(x, y) = \tan^{-1}(y/x)$

### Karışık Kısımlı Türevler

47–50 alıştırmalarında,  $w_{xy} = w_{yx}$  olduğunu doğrulayın.

47.  $w = \ln(2x + 3y)$       48.  $w = e^x + x \ln y + y \ln x$   
 49.  $w = xy^2 + x^2y^3 + x^3y^4$       50.  $w = x \sin y + y \sin x + xy$

51. Hangi türev alma sırasında  $f_{xy}$ 'yi daha hızlı hesaplar: önce  $x$  mi, yoksa önce  $y$  mi? Yazmadan yanıtlamaya çalışın.

- a.  $f(x, y) = x \sin y + e^y$   
 b.  $f(x, y) = 1/x$   
 c.  $f(x, y) = y + (x/y)$   
 d.  $f(x, y) = y + x^2y + 4y^3 - \ln(y^2 + 1)$   
 e.  $f(x, y) = x^2 + 5xy + \sin x + 7e^x$   
 f.  $f(x, y) = x \ln xy$

52. Aşağıdaki fonksiyonların her biri için beşinci-mertebe kısımlı türev  $\partial^5 f / \partial x^2 \partial y^3$  sıfırdır. Bunu en kısa yoldan göstermek için, önce hangi değişkenin göre türev alırsınız:  $x$ 'e mi,  $y$ 'ye mi? Yazmadan yanıtlamaya çalışın.

- a.  $f(x, y) = y^2x^4e^x + 2$   
 b.  $f(x, y) = y^2 + y(\sin x - x^4)$   
 c.  $f(x, y) = x^2 + 5xy + \sin x + 7e^x$   
 d.  $f(x, y) = xe^{y^2/2}$

### Kısımlı Türev Tanımını Kullanmak

53 ve 54 alıştırmalarında, fonksiyonların belirlenen noktalardaki kısımlı türevlerini hesaplamak için kısımlı türevin limit tanımını kullanın.

53.  $f(x, y) = 1 - x + y - 3x^2y$ ,  $(1, 2)$ 'de  $\frac{\partial f}{\partial x}$  ve  $\frac{\partial f}{\partial y}$   
 54.  $f(x, y) = 4 + 2x - 3y - xy^2$ ,  $(-2, 1)$ 'de  $\frac{\partial f}{\partial x}$  ve  $\frac{\partial f}{\partial y}$

55. **Üç Değişken**  $w = f(x, y, z)$  üç bağımsız değişkenli bir fonksiyon olsun.  $(x_0, y_0, z_0)$  noktasında  $\frac{\partial f}{\partial z}$  kısımlı türevinin formel tanımını yazın. Bu tanımı kullanarak  $f(x, y, z) = x^2yz^2$  için  $(1, 2, 3)$ 'te  $\frac{\partial f}{\partial z}$ 'yi bulun.

56. **Üç Değişken**  $w = f(x, y, z)$  üç bağımsız değişkenli bir fonksiyon olsun.  $(x_0, y_0, z_0)$  noktasında  $\frac{\partial f}{\partial y}$  kısımlı türevinin formel tanımını yazın. Bu tanımı kullanarak  $f(x, y, z) = -2xy^2 + yz^2$  için  $(-1, 0, 3)$ 'te  $\frac{\partial f}{\partial y}$ 'yi bulun.

### Kapalı Türev Alma

57.  $xy + z^3x - 2yz = 0$

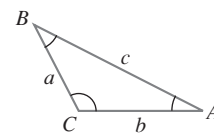
denklemi  $z$ 'yi iki bağımsız  $x$  ve  $y$  değişkeninin bir fonksiyonu

olarak tanımlıyorsa ve kısmi türev varsa,  $(1, 1, 1)$ 'de  $\frac{\partial z}{\partial x}$ 'in değerini bulun.

58.  $xz + y \ln x - x^2 + 4 = 0$

denklemi  $x$ 'i iki bağımsız  $y$  ve  $z$  değişkeninin bir fonksiyonu olarak tanımlıyorsa ve kısmi türev varsa,  $(1, -1, -3)$ 'te  $\frac{\partial x}{\partial z}$ 'nin değerini bulun.

59 ve 60 alıştırmaları aşağıdaki üçgenle ilgilidir.



59.  $A$ 'yı kapalı olarak  $a$ ,  $b$  ve  $c$ 'nin bir fonksiyonu olarak tanımlayın ve  $\frac{\partial A}{\partial a}$  ve  $\frac{\partial A}{\partial b}$ 'yi hesaplayın.

60.  $a$ 'yı kapalı olarak  $A$ ,  $b$  ve  $B$ 'nin bir fonksiyonu olarak tanımlayın ve  $\frac{\partial a}{\partial A}$  ve  $\frac{\partial a}{\partial B}$ 'yi hesaplayın.

61. **İki Bağlı Değişken**  $x = v \ln u$  ve  $y = u \ln v$  denklemleri,  $u$  ve  $v$ 'yi iki bağımsız değişken  $x$  ve  $y$ 'nın fonksiyonları olarak tanımlıyorsa ve  $v_x$  varsa,  $v_x$ 'i  $u$  ve  $v$  cinsinden ifade edin. (İpucu: İki denklemde de  $x$ 'e göre türevlerini alın ve  $u_x$ 'i elevererek  $v_x$ 'i çözün.)

62. **İki Bağlı Değişken**  $u = x^2 - y^2$  ve  $v = x^2 - y$  denklemleri  $x$  ve  $y$ 'yi iki bağımsız değişken  $u$  ve  $v$ 'nın fonksiyonu olarak tanımlıyorsa ve kısmi türevler varsa,  $\frac{\partial x}{\partial u}$  ve  $\frac{\partial y}{\partial u}$ 'yu bulun (Alıştırma 61'deki ipucuna bakın). Sonra  $s = x^2 + y^2$  alın ve  $\frac{\partial s}{\partial u}$ 'yu bulun.

### Laplace Denklemleri

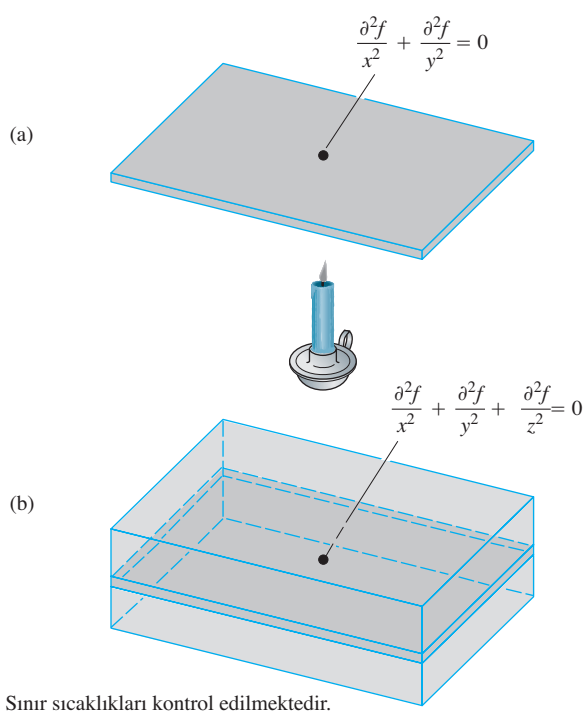
#### Üç boyutlu Laplace denklemi

$$\frac{\partial^2 f}{\partial x^2} + \frac{\partial^2 f}{\partial y^2} + \frac{\partial^2 f}{\partial z^2} = 0$$

uzayda durağan-durum sıcaklık dağılımları  $T = f(x, y, z)$ , gravitasyonel potansiyeller ve elektrostatik potansiyeller tarafından sağlanır. Bu denklemdeki  $\frac{\partial^2 f}{\partial z^2}$  terimi atılarak elde edilen **iki-boyutlu Laplace denklemi**

$$\frac{\partial^2 f}{\partial x^2} + \frac{\partial^2 f}{\partial y^2} = 0$$

bir düzlemdeki potansiyelleri ve durağan durum dağılımlarını tanımlar (Şekle bakın). (a)'daki düzleme (b)'deki katı cismin  $z$ -eksenine dik olan ince bir dilimi olarak bakılabilir.



63–68 alıştırmalarındaki her fonksiyonun bir Laplace denklemini sağladığını gösterin.

63.  $f(x, y, z) = x^2 + y^2 - 2z^2$

64.  $f(x, y, z) = 2z^3 - 3(x^2 + y^2)z$

65.  $f(x, y) = e^{-2y} \cos 2x$

66.  $f(x, y) = \ln \sqrt{x^2 + y^2}$

67.  $f(x, y, z) = (x^2 + y^2 + z^2)^{-1/2}$

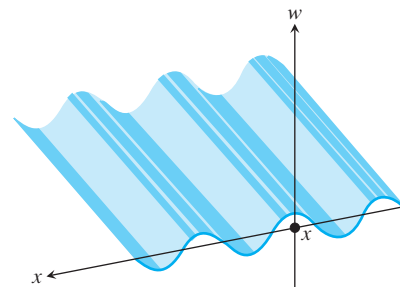
68.  $f(x, y, z) = e^{3x+4y} \cos 5z$

### Dalga Denklemi

Bir okyanus kıyısında durur ve dalgaların bir resmini çekersek, resim bir zaman anında düzgün bir tepe ve vadi şekli gösterir. Uzaya, mesafeye göre, periyodik bir dikey hareket görürüz. Suda durursak, dalgalar geçerken, suyun yükseliş alçamasını hissedebiliriz. Zaman

içinde periyodik dikey bir hareket görürüz. Fizikte, bu güzel simetri,  $w$  dalga yüksekliği,  $x$  uzaklık değişkeni,  $t$  zaman değişkeni ve  $c$  de dalgaların ilerleme hızı olmak üzere **bir boyutlu dalga denklemiyle** ifade edilir:

$$\frac{\partial^2 w}{\partial t^2} = c^2 \frac{\partial^2 w}{\partial x^2}$$



Örneğimizde,  $x$  okyanusun yüzeyi boyunca olan uzaklıktır, ama başka uygulamalarda,  $x$  titreşen bir ipteki uzaklık, havadaki uzaklık (ses dalgaları) veya uzaydaki uzaklık (ışık dalgaları) olabilir.  $c$  sayısı ortama ve dalga cinsine göre değişir.

69–75 alıştırmalarındaki fonksiyonların hepsinin dalga denklemi çözümleri olduğunu gösterin.

69.  $w = \sin(x + ct)$

70.  $w = \cos(2x + 2ct)$

71.  $w = \sin(x + ct) + \cos(2x + 2ct)$

72.  $w = \ln(2x + 2ct)$

73.  $w = \tan(2x - 2ct)$

74.  $w = 5 \cos(3x + 3ct) + e^{x+ct}$

75.  $w = f(u)$ , burada  $f$ ,  $u$ 'nın diferansiyellenebilir bir fonksiyonu ve  $a$  bir sabit olmak üzere  $u = a(x + ct)$  dir.

### Sürekli Kısmi Türevler

76. Açık bir  $R$  bölgesinde birinci kısmi türevleri sürekli olan bir  $f(x, y)$  fonksiyonunun  $R'$  de sürekli olması gereklidir mi? Yanınızı açıklayın.

77. Bir  $f(x, y)$  fonksiyonunun ikinci mertebe kısmi türevleri açık bir  $R$  bölgesinde sürekli ise,  $f$ 'nin birinci mertebe kısmi türevlerinin  $R'$  de sürekli olmaları gereklidir mi? Yanınızı açıklayın.

## 14.4

### Zincir Kuralı

Bölüm 3.5'te, tek değişkenli fonksiyonlar için incelemiş olduğumuz Zincir Kuralı,  $w = f(x)$   $x$ 'in türetilebilen bir fonksiyonu ve  $x = g(t)$  de  $t$ 'nin türetilebilen bir fonksiyonu olduğunda,  $w$ 'nın  $t$ 'nin türetilebilen bir fonksiyonu haline geldiğini ve  $dw/dt$ 'nin

$$\frac{dw}{dt} = \frac{dw}{dx} \frac{dx}{dt}$$

formülüyle hesaplanabileceğini söylemiştir.

İki veya daha fazla değişkenli fonksiyonlar için Zincir Kuralının birkaç formu vardır. Form, kaç değişkenin söz konusu olduğuna bağlıdır. Fakat, ilave değişkenlerin varlığını idrak ettiğimizde Bölüm 3.5'teki Zincir Kuralı gibi çalışır.

### İki Değişkenli Fonksiyonlar

$x = x(t)$  ve  $y = y(t)$   $t$ 'nin türetilebilir fonksiyonları iken  $w = f(x, y)$  fonksiyonu için Zincir Kuralı aşağıdaki teoremdede verilmektedir.

#### TEOREM 5 İKİ BAĞIMSIZ DEĞİŞKENLİ FONKSİYONLAR İÇİN ZINCİR KURALI

$w = f(x, y)$  fonksiyonunun  $f_x$  ve  $f_y$  kısmi türevleri sürekli ise ve  $x = x(t)$ ,  $y = y(t)$   $t$ 'nin türetilebilir fonksiyonları ise  $w = f(x(t), y(t))$  bileşkesi  $t$ 'nin türetilebilir bir fonksiyonudur ve

$$\frac{df}{dt} = f_x(x(t), y(t)) \cdot x'(t) + f_y(x(t), y(t)) \cdot y'(t)$$

veya

$$\frac{dw}{dt} = \frac{\partial f}{\partial x} \frac{dx}{dt} + \frac{\partial f}{\partial y} \frac{dy}{dt}$$

olur.

**İspat**  $x$  ve  $y$   $t = t_0$ 'da türetilebiliyorlarsa,  $w$ 'nun da  $t_0$ 'da türetilebildiğini ve  $P_0 = (x(t_0), y(t_0))$  olmak üzere

$$\left( \frac{dw}{dt} \right)_{t_0} = \left( \frac{\partial w}{\partial x} \right)_{P_0} \left( \frac{dx}{dt} \right)_{t_0} + \left( \frac{\partial w}{\partial y} \right)_{P_0} \left( \frac{dy}{dt} \right)_{t_0}$$

olduğunu göstermekten ibarettir.

$\Delta x$ ,  $\Delta y$  ve  $\Delta w$ ,  $t'$ yi  $t_0$ 'dan  $t_0 + \Delta t$ 'ye değiştirmekten kaynaklanan artımlar olsun.  $f$  diferansiyellenebilir olduğundan (Bölüm 14.3'teki tanıma bakın),  $\Delta x, \Delta y \rightarrow 0$  iken  $\epsilon_1, \epsilon_2 \rightarrow 0$  olmak üzere,

$$\Delta w = \left( \frac{\partial w}{\partial x} \right)_{P_0} \Delta x + \left( \frac{\partial w}{\partial y} \right)_{P_0} \Delta y + \epsilon_1 \Delta x + \epsilon_2 \Delta y$$

olur.  $dw/dt$ 'yi bulmak için bu denklemi  $\Delta t$  ile böler ve  $\Delta t$ 'yi sıfıra götürürüz. Bölüm

$$\frac{\Delta w}{\Delta t} = \left( \frac{\partial w}{\partial x} \right)_{P_0} \frac{\Delta x}{\Delta t} + \left( \frac{\partial w}{\partial y} \right)_{P_0} \frac{\Delta y}{\Delta t} + \epsilon_1 \frac{\Delta x}{\Delta t} + \epsilon_2 \frac{\Delta y}{\Delta t}$$

ve  $\Delta t$ 'yi sıfıra getirmek

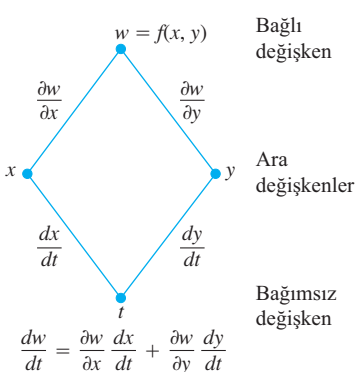
$$\begin{aligned} \left( \frac{dw}{dt} \right)_{t_0} &= \lim_{\Delta t \rightarrow 0} \frac{\Delta w}{\Delta t} \\ &= \left( \frac{\partial w}{\partial x} \right)_{P_0} \left( \frac{dx}{dt} \right)_{t_0} + \left( \frac{\partial w}{\partial y} \right)_{P_0} \left( \frac{dy}{dt} \right)_{t_0} + 0 \cdot \left( \frac{dx}{dt} \right)_{t_0} + 0 \cdot \left( \frac{dy}{dt} \right)_{t_0} \end{aligned}$$

verir. ■

Yandaki **ağaç diyagramı** Zincir Kuralını hatırlamak için uygun bir yol sunar. Diyagramdan  $t = t_0$  iken,  $dx/dt$  ve  $dy/dt$  türevlerinin  $t_0$ 'da hesaplandıklarını görüyorsunuz.

Zincir Kuralını hatırlamanın yolu aşağıdaki diyagramı çizmektir.  $dw/dt$ 'yi bulmak için,  $w$ 'dan başlayın ve  $t$ 'ye giden her yolu, yoldaki türevleri çarparak, okuyun. Sonra çarpımları toplayın.

#### Zincir Kuralı



Bu durumda  $t_0$ 'ın değeri türetilebilir  $x$  fonksiyonu için  $x_0$  değerini ve türetilebilir  $y$  fonksiyonu için  $y_0$  değerini belirler.  $\partial w/\partial x$  ve  $\partial w/\partial y$  kısmi türevleri (ki kendileri de  $x$  ve  $y$  nin fonksiyonlarıdır)  $t_0$ 'a karşılık gelen  $P_0(x_0, y_0)$  noktasında hesaplanır.  $x$  ve  $y$  ( $t$  tarafından kontrol edilen) *ara değişkenler* ve  $w$  da bağlı değişkenken, “gerçek” bağımsız değişken  $t$ dir.

Zincir Kuralının daha kesin bir gösterimi Teorem 5'teki çeşitli türevlerin nasıl hesaplandığını gösterir:

$$\frac{dw}{dt}(t_0) = \frac{\partial f}{\partial x}(x_0, y_0) \cdot \frac{dx}{dt}(t_0) + \frac{\partial f}{\partial y}(x_0, y_0) \cdot \frac{dy}{dt}(t_0)$$

### ÖRNEK 1 Zincir Kuralını Uygulamak

$x = \cos t$ ,  $y = \sin t$  yolu boyunca

$$w = xy$$

fonksiyonunun türevini bulmak için Zincir Kuralını kullanın.  $t = \pi/2$ de türevin değeri nedir?

**Çözüm**  $dw/dt$ 'yi bulmak için Zincir Kuralını aşağıdaki gibi uygularız:

$$\begin{aligned} \frac{dw}{dt} &= \frac{\partial w}{\partial x} \frac{dx}{dt} + \frac{\partial w}{\partial y} \frac{dy}{dt} \\ &= \frac{\partial(xy)}{\partial x} \cdot \frac{d}{dt}(\cos t) + \frac{\partial(xy)}{\partial y} \cdot \frac{d}{dt}(\sin t) \\ &= (y)(-\sin t) + (x)(\cos t) \\ &= (\sin t)(-\sin t) + (\cos t)(\cos t) \\ &= -\sin^2 t + \cos^2 t \\ &= \cos 2t. \end{aligned}$$

Bu örnekte sonucu daha doğrudan bir hesaplamayla doğrulayabiliriz.  $t$ 'nin bir fonksiyonu olarak

$$w = xy = \cos t \sin t = \frac{1}{2} \sin 2t$$

şeklinde ifade edilebilir, böylece

$$\frac{dw}{dt} = \frac{d}{dt} \left( \frac{1}{2} \sin 2t \right) = \frac{1}{2} \cdot 2 \cos 2t = \cos 2t$$

buluruz. Her iki durumda da  $t$ 'nin verilen değerinde

$$\left( \frac{dw}{dt} \right)_{t=\pi/2} = \cos \left( 2 \cdot \frac{\pi}{2} \right) = \cos \pi = -1$$

elde edilir. ■

### Üç Değişkenli Fonksiyonlar İçin Zincir Kuralı

Üç değişkenli fonksiyonlar için Zincir Kuralını muhtemelen tahmin edebilirsiniz. Sadece iki-değişkenli formüle beklenen üçüncü terimi eklemekten ibarettir.

### TEOREM 6 Üç Bağımsız Değişkenli Fonksiyonlar İçin Zincir Kuralı

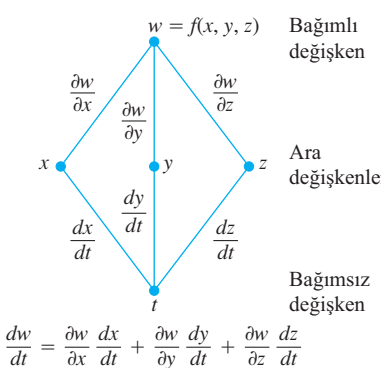
$w = f(x, y, z)$  türetilebiliyorsa ve  $x, y, z$  de  $t$ 'nin türetilebilir fonksiyonlarıysa,  $w$  da  $t$ 'nin türetilebilir bir fonksiyonudur ve

$$\frac{dw}{dt} = \frac{\partial w}{\partial x} \frac{dx}{dt} + \frac{\partial w}{\partial y} \frac{dy}{dt} + \frac{\partial w}{\partial z} \frac{dz}{dt}$$

olur.

Burada  $w$ 'den  $t$ 'ye giden iki yerine üç yol vardır. Ama  $dw/dt$ 'yi bulma yolu hala aynıdır. Yolda türevleri çarparak her yolu okuyun; sonra toplayın.

#### Zincir Kuralı



### ÖRNEK 2 Bir Helis Boyunca Bir Fonksiyonun Değerlerindeki Değişim

$$w = xy + z, \quad x = \cos t, \quad y = \sin t, \quad z = t$$

ise,  $dw/dt$ 'yi bulun. Bu örnekte  $w$ 'nun değerleri bir helis yolu boyunca değişir (Bölüm 13.1). Türevin  $t = 0$ 'daki değeri nedir?

#### Çözüm

$$\begin{aligned} \frac{dw}{dt} &= \frac{\partial w}{\partial x} \frac{dx}{dt} + \frac{\partial w}{\partial y} \frac{dy}{dt} + \frac{\partial w}{\partial z} \frac{dz}{dt} \\ &= (y)(-\sin t) + (x)(\cos t) + (1)(1) \\ &= (\sin t)(-\sin t) + (\cos t)(\cos t) + 1 \\ &= -\sin^2 t + \cos^2 t + 1 = 1 + \cos 2t. \\ \left( \frac{dw}{dt} \right)_{t=0} &= 1 + \cos(0) = 2. \end{aligned}$$

Ara değişkenlerin yerine değerlerini yazın.

Bir eğri boyunca değişimin bir fiziksel yorumu: Parametrik denklemleri  $x = x(t)$ ,  $y = y(t)$  ve  $z = z(t)$  olan bir  $C$  eğrisi boyunca her  $(x, y, z)$  noktasındaki sıcaklık  $w = T(x, y, z)$  ise  $w = T(x(t), y(t), z(t))$  bileşkesi, eğri boyunca, sıcaklığı  $t$  cinsinden ifade eder.  $dw/dt$  türevi, Teorem 6'da hesaplandığı gibi, eğri boyunca sıcaklıktaki anlık değişim oranıdır.

### Yüzeyler Üzerinde Tanımlanan Fonksiyonlar

Uzayda bir küre üzerindeki  $(x, y, z)$  noktalarında  $w = f(x, y, z)$  sıcaklığıyla ilgileniyorsak,  $x, y$  ve  $z$ 'yi noktaların enlem ve boylamlarını belirten  $r$  ve  $s$  değişkenlerinin fonksiyonları olarak düşünmeyi yeğleriz.  $x = g(r, s)$ ,  $y = h(r, s)$  ve  $z = k(r, s)$  ise, sıcaklığı  $r$  ve  $s$ 'nin fonksiyonu olarak

$$w = f(g(r, s), h(r, s), k(r, s))$$

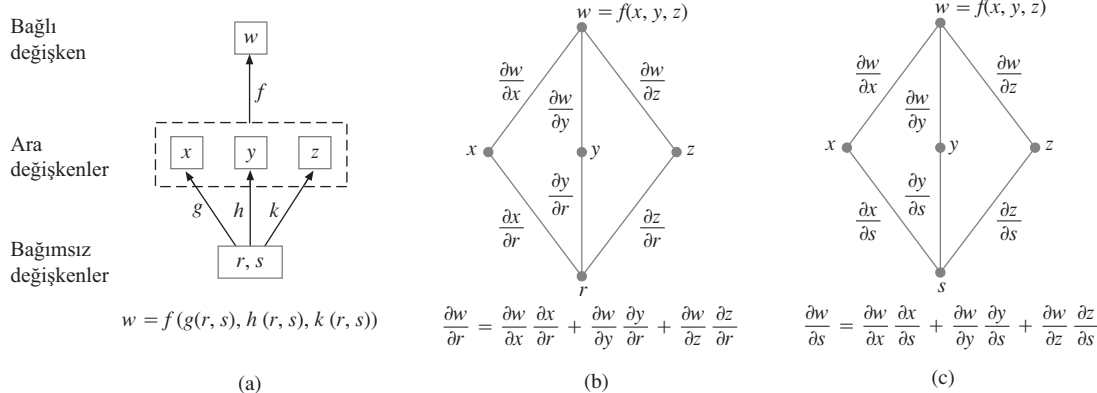
bileşke fonksiyonuyla  $r$  ve  $s$ 'nin fonksiyonu olarak ifade edebiliriz. Doğru koşullar altında, hem  $r$  hem de  $s$ 'ye göre kısmi türevler aşağıdaki gibi hesaplanabilir.

### TEOREM 7 İki Bağımsız Değişken ve Üç Ara Değişken İçin Zincir Kuralı

$w = f(x, y, z)$ ,  $x = g(r, s)$ ,  $y = h(r, s)$  ve  $z = k(r, s)$  olduğunu varsayıñ. Dört fonksiyon da türetileniyorsa,  $w$ 'nun  $r$  ve  $s$ 'ye göre kısmi türevleri vardır ve bunlar aşağıdaki formüllerle verilir:

$$\begin{aligned}\frac{\partial w}{\partial r} &= \frac{\partial w}{\partial x} \frac{\partial x}{\partial r} + \frac{\partial w}{\partial y} \frac{\partial y}{\partial r} + \frac{\partial w}{\partial z} \frac{\partial z}{\partial r} \\ \frac{\partial w}{\partial s} &= \frac{\partial w}{\partial x} \frac{\partial x}{\partial s} + \frac{\partial w}{\partial y} \frac{\partial y}{\partial s} + \frac{\partial w}{\partial z} \frac{\partial z}{\partial s}.\end{aligned}$$

Bu denklemlerden birincisi,  $s$ 'yi sabit tutup,  $r$ 'ye  $t$  gözüyle bakarak Teorem 6'daki Zincir Kuralından elde edilebilir. İkincisi de  $r$ 'yi sabit tutup,  $s$ 'ye  $t$  gözüyle bakarak aynı yolla elde edilebilir. Her iki denklem için ağaç diyagramları Şekil 14.19'da gösterilmektedir.



**ŞEKİL 14.19** Teorem 7 için bileşke fonksiyonlar ve ağaç diyagramları.

### ÖRNEK 3 Teorem 7'yi Kullanarak Kısmi Türevler

$$w = x + 2y + z^2, \quad x = \frac{r}{s}, \quad y = r^2 + \ln s, \quad z = 2r$$

ise,  $\partial w / \partial r$  ve  $\partial w / \partial s$ 'yi  $r$  ve  $s$  cinsinden bulun.

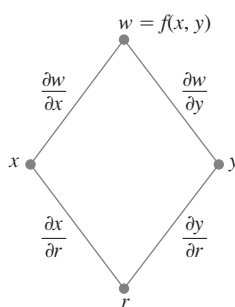
#### Çözüm

$$\begin{aligned}\frac{\partial w}{\partial r} &= \frac{\partial w}{\partial x} \frac{\partial x}{\partial r} + \frac{\partial w}{\partial y} \frac{\partial y}{\partial r} + \frac{\partial w}{\partial z} \frac{\partial z}{\partial r} \\ &= (1)\left(\frac{1}{s}\right) + (2)(2r) + (2z)(2) \\ &= \frac{1}{s} + 4r + (4r)(2) = \frac{1}{s} + 12r\end{aligned}$$

*Ara değişken  $z$ 'nin  
değerini koyun.*

$$\begin{aligned}\frac{\partial w}{\partial s} &= \frac{\partial w}{\partial x} \frac{\partial x}{\partial s} + \frac{\partial w}{\partial y} \frac{\partial y}{\partial s} + \frac{\partial w}{\partial z} \frac{\partial z}{\partial s} \\ &= (1)\left(-\frac{r}{s^2}\right) + (2)\left(\frac{1}{s}\right) + (2z)(0) = \frac{2}{s} - \frac{r}{s^2}\end{aligned}$$

■

**Zincir Kuralı**

$$\frac{\partial w}{\partial r} = \frac{\partial w}{\partial x} \frac{\partial x}{\partial r} + \frac{\partial w}{\partial y} \frac{\partial y}{\partial r}$$

**ŞEKİL 14.20**

$$\frac{\partial w}{\partial r} = \frac{\partial w}{\partial x} \frac{\partial x}{\partial r} + \frac{\partial w}{\partial y} \frac{\partial y}{\partial r}$$

denklemiin ağaç diyagramı.

Üç yerine iki değişkenli bir  $f$  fonksiyonu için Teorem 7'deki her denklem uygun bir şekilde bir terim kısaltır.

$w = f(x, y)$ ,  $x = g(r; s)$  ve  $y = h(r; s)$  ise,

$$\frac{\partial w}{\partial r} = \frac{\partial w}{\partial x} \frac{\partial x}{\partial r} + \frac{\partial w}{\partial y} \frac{\partial y}{\partial r} \quad \text{ve} \quad \frac{\partial w}{\partial s} = \frac{\partial w}{\partial x} \frac{\partial x}{\partial s} + \frac{\partial w}{\partial y} \frac{\partial y}{\partial s}$$

olur.

Şekil 14.20, bu denklemlerin ilkinin ağaç diyagramını göstermektedir. İkinci denklemiin diyagramı benzerdir; sadece  $r$  yerine  $s$  yazın.

**ÖRNEK 4** Daha Fazla Kısmi Türev

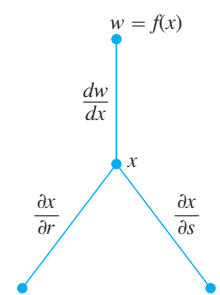
$$w = x^2 + y^2, \quad x = r - s, \quad y = r + s$$

ise,  $\partial w/\partial r$  ve  $\partial w/\partial s$ 'yi  $r$  ve  $s$  cinsinden ifade edin.**Cözüm**

$$\begin{aligned} \frac{\partial w}{\partial r} &= \frac{\partial w}{\partial x} \frac{\partial x}{\partial r} + \frac{\partial w}{\partial y} \frac{\partial y}{\partial r} & \frac{\partial w}{\partial s} &= \frac{\partial w}{\partial x} \frac{\partial x}{\partial s} + \frac{\partial w}{\partial y} \frac{\partial y}{\partial s} \\ &= (2x)(1) + (2y)(1) & &= (2x)(-1) + (2y)(1) \\ &= 2(r - s) + 2(r + s) & &= -2(r - s) + 2(r + s) \\ &= 4r & &= 4s \end{aligned}$$

Ara  
değişkenlerin  
değerlerini  
yazın.

$f$  sadece  $x$ 'in fonksiyonuya denklemlerimiz daha da basitleştir.

**Zincir Kuralı**

$$\frac{\partial w}{\partial r} = \frac{dw}{dx} \frac{\partial x}{\partial r}$$

$$\frac{\partial w}{\partial s} = \frac{dw}{dx} \frac{\partial x}{\partial s}$$

**ŞEKİL 14.21** Bir ara değişkenle bir bileşke olarak  $r$  ve  $s$ 'nin fonksiyonu olan  $f$ 'nin türetilmesi ağaç diyagramı.

$w = f(x)$  ve  $x = g(r; s)$  ise,

$$\frac{\partial w}{\partial r} = \frac{dw}{dx} \frac{\partial x}{\partial r} \quad \text{ve} \quad \frac{\partial w}{\partial s} = \frac{dw}{dx} \frac{\partial x}{\partial s}.$$

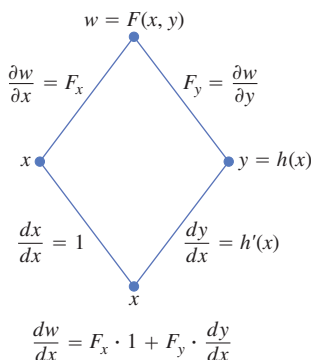
olur.

Burada,  $dw/dx$  normal (tek değişkenli) türevi kullanabiliriz. Ağaç diyagramı Şekil 14.21'de gösterilmektedir.

**Kapalı Türev Alma (Devam)**

Teorem 5'teki iki-değişkenli Zincir Kuralı, kapalı türev alma işinin çoğunu üstlenen bir formüle yol açar. Aşağıdakileri varsayı:

1.  $F(x, y)$  fonksiyonu türetilebilir ve
2.  $F(x, y) = 0$  denklemi  $y$ 'yi kapalı olarak  $x$ 'in türetilebilir bir fonksiyonu, mesela  $y = h(x)$  olarak tanımlar.



**SEKİL 14.22**  $w = F(x, y)$ 'ı  $x$ 'e göre türetmek için ağaç diyagramı.  $dw/dx = 0$  yazmak kapalı türetme için basit bir hesaplama formülüne yol açar (Teorem 8).

$w = F(x, y) = 0$  olduğundan  $dw/dx$  türevi sıfır olmalıdır. Türevleri Zincir Kuralıyla hesaplayarak (Şekil 14.22'deki ağaç diyagramına bakın),

$$\begin{aligned}0 &= \frac{dw}{dx} = F_x \frac{dx}{dx} + F_y \frac{dy}{dx} \quad t = x \text{ ve } f = F \text{ ile} \\ &= F_x \cdot 1 + F_y \cdot \frac{dy}{dx} \quad \text{Teorem 5}\end{aligned}$$

buluruz.  $F_y = \partial w / \partial y \neq 0$  ise bu denklemden  $dy/dx$ 'i çözerek,

$$\frac{dy}{dx} = -\frac{F_x}{F_y}$$

buluruz.

Bu bağıntı, kapalı olarak tanımlı fonksiyonların türevlerini bulmak için şaşırtıcı bir şekilde basit olan bir kısa yol verir. Burada bir teorem olarak ifade ediyoruz.

#### TEOREM 8 Kapalı Türetme İçin Bir Formül

$F(x, y)$ 'nın türetilebilir olduğunu ve  $F(x, y) = 0$  denkleminin  $y$ 'yi  $x$ 'in bir fonksiyonu olarak tanımladığını varsayıñ.  $F_y \neq 0$  olan her noktada

$$\frac{dy}{dx} = -\frac{F_x}{F_y}$$

bulunur.

#### ÖRNEK 5 Kapalı Türetme

$y^2 - x^2 - \sin xy = 0$  ise  $dy/dx$ 'i bulmak için Teorem 8'i kullanın.

**Çözüm**  $F(x, y) = y^2 - x^2 - \sin xy$  alın. Bu durumda,

$$\begin{aligned}\frac{dy}{dx} &= -\frac{F_x}{F_y} = -\frac{-2x - y \cos xy}{2y - x \cos xy} \\ &= \frac{2x + y \cos xy}{2y - x \cos xy}\end{aligned}$$

bulunur. Bu hesaplama Bölüm 3.6, Örnek 3'te  $dy/dx$ 'i bulmak için kullandığımız tek değişkenli hesaplamadan belirgin şekilde daha kısalıdır. ■

#### Çok Değişkenli Fonksiyonlar

Bu bölümde zincir kuralının birkaç farklı biçimini gördük. Fakat bunları aynı genel formülün özel halleri olarak görebilirseniz, hepsini ezberlemek zorunda kalmazsınız. Özel problemler çözerken bağlı değişkeni en üstte, ara değişkenleri ortaya ve seçilen bağımsız değişkeni alta yerleştirerek uygun bir ağaç diyagramı çizmek faydalı olabilir. Bağlı değişkenin seçilen bağımsız değişkene göre türevini bulmak için, bağlı değişkenden başlayarak ağacın her dalını doğru okurken, dal boyunca türevleri hesaplayıp çarpın. Sonra farklı dallar için bulduğunuz çarpımları toplayın.

Genel olarak,  $w = f(x, y, \dots, v)$ 'nin  $x, y, \dots, v$  değişkenlerinin (sonlu bir küme) türetilebilir bir fonksiyonu olduğunu ve  $x, y, \dots, v$ 'nin de  $p, q, \dots, t$ 'nin (başka bir sonlu küme) türetilebilir fonksiyonları olduğunu varsayıyorum. Bu durumda  $w$ ,  $p$ 'den  $t$ 'ye kadar olan değişkenlerin türetilebilir bir fonksiyonudur ve  $w$ 'nin bu değişkenlere göre kısmi türevleri

$$\frac{\partial w}{\partial p} = \frac{\partial w}{\partial x} \frac{\partial x}{\partial p} + \frac{\partial w}{\partial y} \frac{\partial y}{\partial p} + \dots + \frac{\partial w}{\partial v} \frac{\partial v}{\partial p}$$

şeklindeki denklemlerle verilir. Diğer denklemler  $p$  yerine sırasıyla,  $q, \dots, t$  yazarak elde edilir

Bu denklemi hatırlamanın bir yolu eşitliğin sağ tarafının, bileşenleri

$$\underbrace{\left( \frac{\partial w}{\partial x}, \frac{\partial w}{\partial y}, \dots, \frac{\partial w}{\partial v} \right)}_{w \text{ nin ara değişkenlere göre türevleri}} \quad \text{ve} \quad \underbrace{\left( \frac{\partial x}{\partial p}, \frac{\partial y}{\partial p}, \dots, \frac{\partial v}{\partial p} \right)}_{\text{Aradeğişkenlerin seçilen bağımsız değişkene göre türevleri}}$$

olan iki vektörün skaler çarpımı olduğunu düşünmektedir.

## ALIŞTIRMALAR 14.4

### Zincir Kuralı: Tek Bağımsız Değişken

1–6 alıştırmalarında, (a)  $dw/dt$ 'yi hem Zincir Kuralını kullanarak, hem de  $w$ 'yi  $t$  cinsinden ifade edip, doğrudan  $t$ 'ye göre türev alarak hesaplayın. Sonra (b)  $dw/dt$ 'yi  $t$ 'nin verilen değerinde hesaplayın.

1.  $w = x^2 + y^2$ ,  $x = \cos t$ ,  $y = \sin t$ ;  $t = \pi$
2.  $w = x^2 + y^2$ ,  $x = \cos t + \sin t$ ,  $y = \cos t - \sin t$ ;  $t = 0$
3.  $w = \frac{x}{z} + \frac{y}{z}$ ,  $x = \cos^2 t$ ,  $y = \sin^2 t$ ,  $z = 1/t$ ;  $t = 3$
4.  $w = \ln(x^2 + y^2 + z^2)$ ,  $x = \cos t$ ,  $y = \sin t$ ,  $z = 4\sqrt{t}$ ;  $t = 3$
5.  $w = 2ye^x - \ln z$ ,  $x = \ln(t^2 + 1)$ ,  $y = \tan^{-1} t$ ,  $z = e^t$ ;  $t = 1$
6.  $w = z - \sin xy$ ,  $x = t$ ,  $y = \ln t$ ,  $z = e^{t-1}$ ;  $t = 1$

### Zincir Kuralı: İki ve Üç Bağımsız Değişken

7 ve 8 alıştırmalarında, (a)  $\partial z/\partial u$  ve  $\partial z/\partial v$ 'yi  $u$  ve  $v$  cinsinden hem Zincir Kuralını kullanarak, hem de türev almadan önce  $z$ 'yi  $u$  ve  $v$  cinsinden ifade ederek bulun. Sonra (b)  $\partial z/\partial u$  ve  $\partial z/\partial v$ 'yi verilen  $(u, v)$  noktasında hesaplayın.

7.  $z = 4e^x \ln y$ ,  $x = \ln(u \cos v)$ ,  $y = u \sin v$ ;  $(u, v) = (2, \pi/4)$
8.  $z = \tan^{-1}(x/y)$ ,  $x = u \cos v$ ,  $y = u \sin v$ ;  $(u, v) = (1.3, \pi/6)$

9 ve 10 alıştırmalarında, (a)  $\partial w/\partial u$  ve  $\partial w/\partial v$ 'yi  $u$  ve  $v$  cinsinden hem Zincir Kuralını kullanarak, hem de türev almadan önce  $z$ 'yi  $u$  ve

$v$  cinsinden ifade ederek bulun. Sonra (b)  $\partial w/\partial u$  ve  $\partial w/\partial v$ 'yi verilen  $(u, v)$  noktasında hesaplayın.

9.  $w = xy + yz + xz$ ,  $x = u + v$ ,  $y = u - v$ ,  $z = uv$ ;  $(u, v) = (1/2, 1)$
10.  $w = \ln(x^2 + y^2 + z^2)$ ,  $x = ue^v \sin u$ ,  $y = ue^v \cos u$ ,  $z = ue^v$ ;  $(u, v) = (-2, 0)$

11 ve 12 alıştırmalarında, (a)  $\partial u/\partial x$ ,  $\partial u/\partial y$  ve  $\partial u/\partial z$ 'yi  $x$ ,  $y$  ve  $z$ 'nin fonksiyonları olarak hem zincir kuralına göre, hem de türev almadan önce  $u$ 'yu  $x$ ,  $y$  ve  $z$  cinsinden ifade ederek bulun. Sonra (b)  $\partial u/\partial x$ ,  $\partial u/\partial y$  ve  $\partial u/\partial z$ 'yi verilen  $(x, y, z)$  noktasında hesaplayın.

11.  $u = \frac{p - q}{q - r}$ ,  $p = x + y + z$ ,  $q = x - y + z$ ,  $r = x + y - z$ ;  $(x, y, z) = (\sqrt{3}, 2, 1)$
12.  $u = e^{qr} \sin^{-1} p$ ,  $p = \sin x$ ,  $q = z^2 \ln y$ ,  $r = 1/z$ ;  $(x, y, z) = (\pi/4, 1/2, -1/2)$

### Bir Ağaç Diyagramı Kullanmak

13–24 alıştırmalarında, her türev için bir ağaç diyagramı çizin ve bir Zincir Kuralı formülü yazın.

13.  $\frac{dz}{dt}$ ;  $z = f(x, y)$ ,  $x = g(t)$ ,  $y = h(t)$  için
14.  $\frac{dz}{dt}$ ;  $z = f(u, v, w)$ ,  $u = g(t)$ ,  $v = h(t)$ ,  $w = k(t)$  için
15.  $\frac{\partial w}{\partial u}$  ve  $\frac{\partial w}{\partial v}$ ;  $w = h(x, y, z)$ ,  $x = f(u, v)$ ,  $y = g(u, v)$ ,  $z = k(u, v)$  için

16.  $\frac{\partial w}{\partial x}$  ve  $\frac{\partial w}{\partial y}$ ;  $w = f(r, s, t)$ ,  $r = g(x, y)$ ,  $s = h(x, y)$ ,  
 $t = k(x, y)$  için
17.  $\frac{\partial w}{\partial u}$  ve  $\frac{\partial w}{\partial v}$ ;  $w = g(x, y)$ ,  $x = h(u, v)$ ,  $y = k(u, v)$  için
18.  $\frac{\partial w}{\partial x}$  ve  $\frac{\partial w}{\partial y}$ ;  $w = g(u, v)$ ,  $u = h(x, y)$ ,  $v = k(x, y)$  için
19.  $\frac{\partial z}{\partial t}$  ve  $\frac{\partial z}{\partial s}$ ;  $z = f(x, y)$ ,  $x = g(t, s)$ ,  $y = h(t, s)$  için
20.  $\frac{\partial y}{\partial r}$ ;  $y = f(u)$ ,  $u = g(r, s)$  için
21.  $\frac{\partial w}{\partial s}$  ve  $\frac{\partial w}{\partial t}$ ;  $w = g(u)$ ,  $u = h(s, t)$  için
22.  $\frac{\partial w}{\partial p}$ ;  $w = f(x, y, z, v)$ ,  $x = g(p, q)$ ,  $y = h(p, q)$ ,  
 $z = j(p, q)$ ,  $v = k(p, q)$  için
23.  $\frac{\partial w}{\partial r}$  ve  $\frac{\partial w}{\partial s}$ ;  $w = f(x, y)$ ,  $x = g(r)$ ,  $y = h(s)$  için
24.  $\frac{\partial w}{\partial s}$ ;  $w = g(x, y)$ ,  $x = h(r, s, t)$ ,  $y = k(r, s, t)$  için

### Kapalı Türev Alma

25–28 alıştırmalarındaki denklemlerin  $y$ 'yi  $x$ 'in türetilen bir fonksiyonu olarak tanımladıklarını varsayıp, verilen noktada  $dy/dx$ 'in türevini bulmak için Teorem 8'i kullanın.)

25.  $x^3 - 2y^2 + xy = 0$ , (1, 1)
26.  $xy + y^2 - 3x - 3 = 0$ , (-1, 1)
27.  $x^2 + xy + y^2 - 7 = 0$ , (1, 2)
28.  $xe^y + \sin xy + y - \ln 2 = 0$ , (0, ln 2)

### Üç-Değişkenli Kapalı Türetme

Teorem 8, üç, hatta daha fazla değişkenli fonksiyonlara genelleştirilebilir. Üç-değişkenli şekli aşağıdaki gibidir:  $F(x, y, z) = 0$  denklemi  $z$ 'yi  $x$  ve  $y$ 'nin türetilen bir fonksiyonu olarak tanımlıyor,  $F_z \neq 0$  olan noktalarda,

$$\frac{\partial z}{\partial x} = -\frac{F_x}{F_z} \quad \text{ve} \quad \frac{\partial z}{\partial y} = -\frac{F_y}{F_z}$$

olur.

Bu denklemleri kullanarak, 29–32 alıştırmalarındaki noktalarda  $\frac{\partial z}{\partial x}$  ve  $\frac{\partial z}{\partial y}$ 'nın değerlerini bulun.

29.  $z^3 - xy + yz + y^3 - 2 = 0$ , (1, 1, 1)
30.  $\frac{1}{x} + \frac{1}{y} + \frac{1}{z} - 1 = 0$ , (2, 3, 6)
31.  $\sin(x + y) + \sin(y + z) + \sin(x + z) = 0$ , ( $\pi, \pi, \pi$ )
32.  $xe^y + ye^z + 2 \ln x - 2 - 3 \ln 2 = 0$ , (1, ln 2, ln 3)

### Belirlenmiş Kısmi Türevleri Bulmak

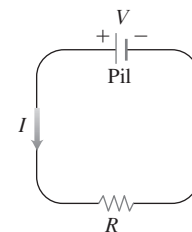
33.  $w = (x + y + z)^2$ ,  $x = r - s$ ,  $y = \cos(r + s)$  ve  $z = \sin(r + s)$  ise,  $r = 1$  ve  $s = -1$  iken  $\frac{\partial w}{\partial r}$ 'yi bulun.
34.  $w = xy + \ln z$ ,  $x = v^2/u$ ,  $y = u + v$  ve  $z = \cos u$  ise,  $u = -1$  ve  $v = 2$  iken  $\frac{\partial w}{\partial v}$ 'yi bulun.
35.  $w = x^2 + (y/x)$ ,  $x = u - 2v + 1$  ve  $y = 2u + v - 2$  ise,  $u = 0$  ve  $v = 0$  iken  $\frac{\partial w}{\partial v}$ 'yi bulun.
36.  $z = \sin xy + x \sin y$ ,  $x = u^2 + v^2$  ve  $y = uv$  ise,  $u = 0$  ve  $v = 1$  iken  $\frac{\partial z}{\partial u}$ 'yu bulun.
37.  $z = 5 \tan^{-1} x$  ve  $x = e^u + \ln v$  ise,  $u = \ln 2$ ,  $v = 1$  iken  $\frac{\partial z}{\partial u}$  ve  $\frac{\partial z}{\partial v}$ 'yi bulun.
38.  $z = \ln q$  ve  $q = \sqrt{v + 3} \tan^{-1} u$  ise,  $u = 1$  ve  $v = -2$  iken  $\frac{\partial z}{\partial u}$  ve  $\frac{\partial z}{\partial v}$ 'yi bulun.

### Teori ve Örnekler

39. Bir devredeki gerilimi değiştirmek  $V = IR$  yasasına uygun bir devredeki  $V$  gerilimi, pil biterken yavaşça düşmektedir. Aynı zamanda,  $R$  direnci, direnç ıslındıkça artmaktadır.

$$\frac{dV}{dt} = \frac{\partial V}{\partial I} \frac{dI}{dt} + \frac{\partial V}{\partial R} \frac{dR}{dt}$$

formülüünü kullanarak,  $R = 600$  ohm,  $I = 0.04$  amp,  $dR/dt = 0.5$  ohm/sn ve  $dV/dt = -0.01$  volt/sn iken akımın nasıl değiştigini bulun.



40. Bir kutunun boyutlarını değiştirmek Dikdörtgen şeklinde bir kutunun kenar uzunlukları  $a$ ,  $b$  ve  $c$  zamanla değişmektedir. Söz konusu anda,  $a = 1$  m,  $b = 2$  m ve  $c = 3$  m,  $da/dt = db/dt = 1$  m/sn ve  $dc/dt = -3$  m/sn'dir. Bu anda, kutunun hacmi  $A$  ve yüzey alanı  $S$  nasıl değişmektedir? Kutunun iç köşegenlerinin uzunlukları artmakta mı, azalmakta mıdır?

41.  $f(u, v, w)$  türetilen ise ve  $u = x - y$ ,  $v = y - z$  ve  $w = z - x$  ise,

$$\frac{\partial f}{\partial x} + \frac{\partial f}{\partial y} + \frac{\partial f}{\partial z} = 0$$

olduğunu gösterin.

42. **Kutupsal Koordinatlar** Türetilen bir  $w = f(x, y)$  fonksiyonunda,  $x = r \cos \theta$  ve  $y = r \sin \theta$  kutupsal koordinatlarını yerleştirirsek,

a.  $\frac{\partial w}{\partial r} = f_x \cos \theta + f_y \sin \theta$

ve

$$\frac{1}{r} \frac{\partial w}{\partial \theta} = -f_x \sin \theta + f_y \cos \theta$$

olduğunu gösterin.

- b. (a) şikkindaki denklemleri çözerek,  $f_x$  ve  $f_y$ 'yi  $\partial w / \partial r$  ve  $\partial w / \partial \theta$  cinsinden ifade edin.

c.  $(f_x)^2 + (f_y)^2 = \left(\frac{\partial w}{\partial r}\right)^2 + \frac{1}{r^2} \left(\frac{\partial w}{\partial \theta}\right)^2$

olduğunu gösterin.

43. **Laplace denklemleri**  $w = f(u, v)$  fonksiyonu  $f_{uu} + f_{vv} = 0$  Laplace denklemini sağlıyorsa ve  $u = (x^2 - y^2)/2$  ve  $v = xy$  ise,  $w$ 'nin  $w_{xx} + w_{yy} = 0$  Laplace denklemini de sağlayacağını gösterin.

44. **Laplace denklemleri**  $u = x + iy$ ,  $v = x - iy$  ve  $i = \sqrt{-1}$  olmak üzere,  $w = f(u) + g(v)$  olsun. Gerekli bütün fonksiyonlar türetilebiliyorsa  $w$ 'nin  $w_{xx} + w_{yy} = 0$  Laplace denklemini sağladığını gösterin.

### Eğriler Boyunca Fonksiyonları Değiştirmek

45. **Bir helis üzerinde ekstremumlar** Bir  $f(x, y, z)$  fonksiyonunun  $x = \cos t$ ,  $y = \sin t$ ,  $z = t$  helisi üzerindeki kısmi türevlerinin

$$f_x = \cos t, \quad f_y = \sin t, \quad f_z = t^2 + t - 2$$

olduğunu varsayıñ. Varsa, eğri üzerindeki hangi noktalarda  $f$ 'nin ekstremum değerleri vardır?

46. **Bir uzay eğrisi**  $w = x^2 e^{2y} \cos 3z$  olsun.  $x = \cos t$ ,  $y = \ln(t+2)$ ,  $z = t$  eğrisi üzerinde  $(1, \ln 2, 0)$  noktasında  $dw/dt$ 'nin değerini bulun.

47. **Bir çember üzerinde sıcaklık**  $x = \cos t$ ,  $y = \sin t$ ,  $0 \leq t \leq 2\pi$  eğrisi üzerinde,  $(x, y)$  noktasındaki sıcaklık  $T = f(x, y)$  olsun. Ayrıca,

$$\frac{\partial T}{\partial x} = 8x - 4y, \quad \frac{\partial T}{\partial y} = 8y - 4x$$

olduğunu varsayıñ.

- a.  $dT/dt$  ve  $d^2T/dt^2$  türevlerini inceleyerek, çember üzerinde maksimum ve minimum sıcaklıkların nerede olduğunu bulun.

- b.  $T = 4x^2 - 4xy + 4y^2$  olduğunu varsayıñ.  $T$ 'nin çember üzerinde maksimum ve minimum değerlerini bulun.

### 48. Bir elips üzerinde sıcaklık

$$x = 2\sqrt{2} \cos t, \quad y = \sqrt{2} \sin t, \quad 0 \leq t \leq 2\pi$$

elipsi üzerindeki  $(x, y)$  noktasının sıcaklığı  $T = g(x, y)$  olsun.

Ayrıca,

$$\frac{\partial T}{\partial x} = y, \quad \frac{\partial T}{\partial y} = x$$

olduğunu varsayıñ.

- a.  $dT/dt$  ve  $d^2T/dt^2$  türevlerini inceleyerek, maksimum ve minimum sıcaklıklar elips üzerinde yerleştirin.

- b.  $T = xy - 2$  olduğunu varsayıñ.  $T$ 'nin elips üzerinde maksimum ve minimum değerlerini bulun.

### İntegrallerin Türevlerini Almak

Yumuşak süreklilik koşulları atında,

$$F(x) = \int_a^b g(t, x) dt$$

ise  $F'(x) = \int_a^b g_x(t, x) dt$  dir. Bunu ve Zincir Kuralını kullanarak,

$$F(x) = \int_a^{f(x)} g(t, x) dt$$

fonksiyonun türevini,  $u = f(x)$  olmak üzere,

$$G(u, x) = \int_a^u g(t, x) dt$$

kabul ederek bulabiliriz. 49 ve 50 alıştırmalarındaki fonksiyonların türevlerini bulun.

49.  $F(x) = \int_0^{x^2} \sqrt{t^4 + x^3} dt$

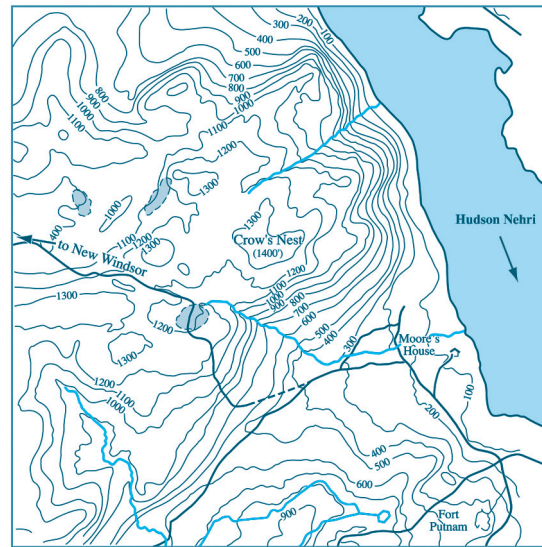
50.  $F(x) = \int_{x^2}^1 \sqrt{t^3 + x^2} dt$

## 14.5

### Doğrultu Türevleri ve Gradiyent Vektörler

New York'ta Hudson Nehri boyunca Batı Noktası Bölgesinde kontur'ları gösteren haritaya bakarsanız (Şekil 14.23), akarsuların kotur'lara dik olarak aktığını fark edersiniz. Akarsular Hudson'a olabildiğince çabuk ulaşmak için, en dik iniş yollarını takip ederler. Bu ne-

denle, deniz seviyesi üzerindeki bir akarsuyun yüksekliğindeki anlık değişimin özel bir yönü vardır. Bu bölümde, “Yokuş aşağı” yön denen bu yönün neden konturlara dik olduğunu göreceksiniz.



**ŞEKİL 14.23** New York’ta Batı Noktası Bölgesinde konturlar, en dik inis yollarını, konturlara dik olarak, takip eden akarsuları göstermektedir.

### Düzlemdede Doğrultu Türevleri

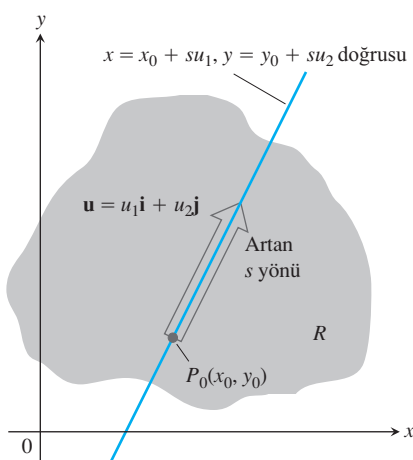
Bölüm 14.’ten,  $f(x, y)$  diferansiyellenebilir ise diferansiyellenebilir bir  $x = g(t)$ ,  $y = h(t)$  eğrisi üzerinde  $f$ ’nin  $t$ ’ye göre değişim oranının

$$\frac{df}{dt} = \frac{\partial f}{\partial x} \frac{dx}{dt} + \frac{\partial f}{\partial y} \frac{dy}{dt}$$

olduğunu biliyoruz. Herhangi bir  $P_0(x_0, y_0) = P_0(g(t_0), h(t_0))$  noktasında, bu denklem  $f$ ’nin artan  $t$ ’ye göre değişim oranını verir ve dolayısıyla, diğer şeylerin yanı sıra, eğri boyunca hareket yönüne bağlıdır. Eğri, bir doğruya ve  $t$  de doğru boyunca verilen bir  $\mathbf{u}$  birim vektörü yönünde  $P_0$ ’dan ölçülen yay uzunluğu parametresiye  $df/dt$ , tanım kümesi içinde  $\mathbf{u}$  yönünde uzaklığa göre  $f$ ’nin değişim oranı olur.  $\mathbf{u}$ ’yu değiştirerek,  $P_0$ ’dan farklı yönlerde geçerken  $f$ ’nin uzaklığa göre değiştiği oranları bulabiliriz. Şimdi bu fikri daha kesin olarak tanımlıyoruz.

$f(x, y)$  fonksiyonunun  $xy$ -düzlemindeki bir  $R$  bölgesinde tanımlı olduğunu,  $P_0(x_0, y_0)$ ’ın  $R$ ’de bir nokta olduğunu ve  $\mathbf{u} = u_1\mathbf{i} + u_2\mathbf{j}$ ’nin bir birim vektör olduğunu varsayıy়. Bu durumda,

$$x = x_0 + su_1, \quad y = y_0 + su_2$$



**ŞEKİL 14.24**  $f$ ’nin bir  $P_0$  noktasında  $\mathbf{u}$  yönündeki değişim oranı,  $f$ ’nin bu doğru boyunca  $P_0$ ’da değiştiği orandır.

denklemleri  $P_0$ ’dan  $\mathbf{u}$ ’ya paralel olarak geçen doğruya parametrize ederler.  $s$  parametresi  $P_0$ ’dan  $\mathbf{u}$  yönündeki yay uzunluğunu ölçuyorsa  $f$ ’nin  $P_0$ ’da  $\mathbf{u}$  yönündeki değişim oranını  $df/ds$ ’yi  $P_0$ ’da hesaplayarak buluruz (Şekil 14.24).

**TANIM****Doğrultu Türevi**

$f$ 'nin  $P_0$ 'da,  $\mathbf{u} = u_1\mathbf{i} + u_2\mathbf{j}$  birim vektörü yönündeki doğrultu türevi, limitin var olması koşuluyla,

$$\left(\frac{df}{ds}\right)_{\mathbf{u}, P_0} = \lim_{s \rightarrow 0} \frac{f(x_0 + su_1, y_0 + su_2) - f(x_0, y_0)}{s} \quad (1)$$

sayısıdır.

Doğrultu türevi ayrıca

$$(D_{\mathbf{u}}f)_{P_0} \quad \text{"}f\text{'nin } P_0\text{'da } \mathbf{u} \text{ yönündeki doğrultu türevi."}$$

olarak da gösterilir.

**ÖRNEK 1** Tanımı Kullanarak Bir Doğrultu Türevi Bulmak

$P_0(1, 2)$ 'de

$$f(x, y) = x^2 + xy$$

fonksiyonunun  $\mathbf{u} = (1/\sqrt{2})\mathbf{i} + (1/\sqrt{2})\mathbf{j}$  birim vektörü yönündeki doğrultu türevini bulun.

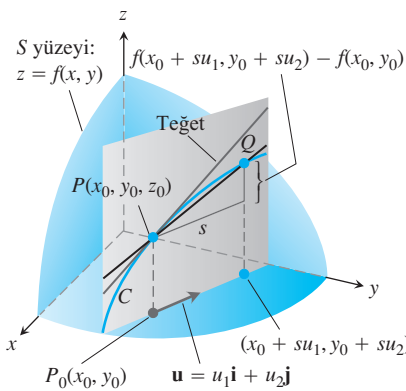
**Çözüm**

$$\begin{aligned} \left(\frac{df}{ds}\right)_{\mathbf{u}, P_0} &= \lim_{s \rightarrow 0} \frac{f(x_0 + su_1, y_0 + su_2) - f(x_0, y_0)}{s} && \text{Denklem (1)} \\ &= \lim_{s \rightarrow 0} \frac{f\left(1 + s \cdot \frac{1}{\sqrt{2}}, 2 + s \cdot \frac{1}{\sqrt{2}}\right) - f(1, 2)}{s} \\ &= \lim_{s \rightarrow 0} \frac{\left(1 + \frac{s}{\sqrt{2}}\right)^2 + \left(1 + \frac{s}{\sqrt{2}}\right)\left(2 + \frac{s}{\sqrt{2}}\right) - (1^2 + 1 \cdot 2)}{s} \\ &= \lim_{s \rightarrow 0} \frac{\left(1 + \frac{2s}{\sqrt{2}} + \frac{s^2}{2}\right) + \left(2 + \frac{3s}{\sqrt{2}} + \frac{s^2}{2}\right) - 3}{s} \\ &= \lim_{s \rightarrow 0} \frac{\frac{5s}{\sqrt{2}} + s^2}{s} = \lim_{s \rightarrow 0} \left(\frac{5}{\sqrt{2}} + s\right) = \left(\frac{5}{\sqrt{2}} + 0\right) = \frac{5}{\sqrt{2}} \end{aligned}$$

$f(x, y) = x^2 + xy$ 'nin  $P_0(1, 2)$ 'de  $\mathbf{u} = (1/\sqrt{2})\mathbf{i} + (1/\sqrt{2})\mathbf{j}$  birim vektörü yönündeki değişim oranı  $5/\sqrt{2}$  'dir. ■

**Doğrultu Türevlerinin Yorumu**

$z = f(x, y)$  denklemi uzayda bir  $S$  yüzeyini temsil eder.  $z_0 = f(x_0, y_0)$  ise,  $P(x_0, y_0, z_0)$  noktası  $S$ 'de bulunur.  $P$ 'den ve  $P_0(x_0, y_0)$ 'dan  $\mathbf{u}$ 'ya paralel olarak geçen dikey düzlem  $S'$ yi bir  $C$



**ŞEKİL 14.25**  $C$  eğrisinin  $P_0$ 'daki eğimi  $\lim_{Q \rightarrow P}$  eğim ( $PQ$ ) dur; bu

$$\left( \frac{df}{ds} \right)_{\mathbf{u}, P_0} = (D_{\mathbf{u}} f)_{P_0}$$

doğrultu türevidir.

eğrisinde keser (Şekil 14.25).  $f$ 'nin  $\mathbf{u}$  yönündeki değişim oranı  $C$ 'nin  $P$ 'deki teğetinin eğimidir.

$\mathbf{u} = \mathbf{i}$  iken,  $P_0$ 'daki doğrultu türevinin  $(x_0, y_0)$ 'da hesaplanan  $\partial f / \partial x$  olduğuna dikkat edin.  $\mathbf{u} = \mathbf{j}$  iken,  $P_0$ 'daki doğrultu türevi  $(x_0, y_0)$ 'da hesaplanan  $\partial f / \partial y$ 'dır. Doğrultu türevi iki kısmi türevi genelleştirir. Artık  $f$ 'nin sadece  $\mathbf{i}$  ve  $\mathbf{j}$  değil, herhangi bir  $\mathbf{u}$  doğrultusundaki değişim oranını sorgulayabiliriz.

Doğrultu türevinin fiziksel bir yorumu: Düzlemden bir bölgedeki her  $(x, y)$  noktasında sıcaklığın  $T = f(x, y)$  olduğunu varsayıyorsak. Bu durumda  $f(x_0, y_0)$ ,  $P_0(x_0, y_0)$  noktasındaki sıcaklık ve  $(D_{\mathbf{u}} f)_{P_0}$ ,  $P_0$  noktasında  $\mathbf{u}$  yönünde ilerlerken sıcaklığındaki anlık değişim oranıdır.

### Hesaplama ve Gradiyentler

Şimdi, diferansiyellenebilir bir  $f$  fonksiyonun doğrultu türevini hesaplamak için daha etkin bir formülü geliştirmeye çalışalım.  $P_0(x_0, y_0)$ 'dan geçen ve  $\mathbf{u} = u_1\mathbf{i} + u_2\mathbf{j}$  birim vektörü yönünde artan yay uzunluğu parametresi  $s$  ile parametrize edilen

$$x = x_0 + su_1, \quad y = y_0 + su_2, \quad [2]$$

doğrusuyla işe başlıyoruz. Bu durumda,

$$\begin{aligned} \left( \frac{df}{ds} \right)_{\mathbf{u}, P_0} &= \left( \frac{\partial f}{\partial x} \right)_{P_0} \frac{dx}{ds} + \left( \frac{\partial f}{\partial y} \right)_{P_0} \frac{dy}{ds} && \text{Diferansiyellenebilir } f \text{ için Zincir Kuralı} \\ &= \left( \frac{\partial f}{\partial x} \right)_{P_0} \cdot u_1 + \left( \frac{\partial f}{\partial y} \right)_{P_0} \cdot u_2 && (2) \text{ denklemlerinden } dx/ds = u_1 \text{ ve} \\ &= \underbrace{\left[ \left( \frac{\partial f}{\partial x} \right)_{P_0} \mathbf{i} + \left( \frac{\partial f}{\partial y} \right)_{P_0} \mathbf{j} \right]}_{f \text{ nin } P_0 \text{ daki gradiyenti}} \cdot \underbrace{\left[ u_1 \mathbf{i} + u_2 \mathbf{j} \right]}_{\mathbf{u} \text{ yönü}}. && [3] \end{aligned}$$

### TANIM Gradiyent Vektör

$f(x, y)$ 'nin bir  $P_0(x_0, y_0)$  noktasındaki **gradiyent vektörü (eğim)**,  $f$ 'nin kısmi türevlerinin  $P_0$  noktasında hesaplanmasıyla elde edilen

$$\nabla f = \frac{\partial f}{\partial x} \mathbf{i} + \frac{\partial f}{\partial y} \mathbf{j}$$

vektöridür.

$\nabla f$  gösterimi “ $f$ 'nin gradiyenti” ve “ $\operatorname{del} f$ ” gibi “ $\operatorname{grad} f$ ” olarak da okunur.  $\nabla$  sembolünün kendisi “ $\operatorname{del}$ ” olarak okunur. Gradientin başka bir gösterimi, yazıldığı gibi okunan  $\operatorname{grad} f$ 'dır.

(3) denklemi,  $f$ 'nin  $P_0$ 'da  $\mathbf{u}$  yönündeki doğrultu türevinin,  $f$ 'nin  $P_0$ 'daki gradiyenti ile  $\mathbf{u}$ 'nın skaler çarpımı olduğunu söyler.

**TEOREM 9** **Doğrultu Türevi Bir Skaler Çarpımdır**

$f(x, y)$ ,  $P_0(x_0, y_0)$ 'ı içeren bir açık bölgede diferansiyellenebilir ise

$$\left( \frac{df}{ds} \right)_{\mathbf{u}, P_0} = (\nabla f)_{P_0} \cdot \mathbf{u}, \quad (4)$$

yani,  $f$ 'nin  $P_0$ 'daki gradienti ile  $\mathbf{u}$ 'nın skaler çarpımı olur.

**ÖRNEK 2** Gradiyent Kullanarak Doğrultu Türevi Bulmak

$f(x, y) = xe^y + \cos(xy)$ 'nin  $(2, 0)$  noktasında,  $\mathbf{v} = 3\mathbf{i} - 4\mathbf{j}$  yönündeki doğrultu türevini bulun.

**Çözüm**  $\mathbf{v}$ 'nin yönü,  $\mathbf{v}$ 'yi uzunluğuna bölgerek bulunur:

$$\mathbf{u} = \frac{\mathbf{v}}{|\mathbf{v}|} = \frac{\mathbf{v}}{5} = \frac{3}{5}\mathbf{i} - \frac{4}{5}\mathbf{j}.$$

$f$ 'nin  $(2, 0)$ 'daki kısmi türevleri şöyledir:

$$f_x(2, 0) = (e^y - y \sin(xy))_{(2,0)} = e^0 - 0 = 1$$

$$f_y(2, 0) = (xe^y - x \sin(xy))_{(2,0)} = 2e^0 - 2 \cdot 0 = 2.$$

$f$ 'nin  $(2, 0)$ 'daki gradiyenti

$$\nabla f|_{(2,0)} = f_x(2, 0)\mathbf{i} + f_y(2, 0)\mathbf{j} = \mathbf{i} + 2\mathbf{j}$$

olur (Şekil 14.26). Bundan dolayı  $f$ 'nin  $(2, 0)$ da  $\mathbf{v}$  yönündeki doğrultu türevi

$$(D_{\mathbf{u}}f)|_{(2,0)} = \nabla f|_{(2,0)} \cdot \mathbf{u} \quad (4) \text{ Denklemi}$$

$$= (\mathbf{i} + 2\mathbf{j}) \cdot \left( \frac{3}{5}\mathbf{i} - \frac{4}{5}\mathbf{j} \right) = \frac{3}{5} - \frac{8}{5} = -1$$

■

bulunur.

$\mathbf{u}$  ve  $\nabla f$  vektörleri arasındaki açı  $\theta$  olmak üzere

$$D_{\mathbf{u}}f = \nabla f \cdot \mathbf{u} = |\nabla f| |\mathbf{u}| \cos \theta = |\nabla f| \cos \theta,$$

formülündeki skaler çarpımı hesaplamak aşağıdaki özellikler ortaya çıkarır.

 **$D_{\mathbf{u}}f = \nabla f \cdot \mathbf{u} = |\nabla f| \cos \theta$  Doğrultu Türevinin Özellikleri**

1.  $f$  fonksiyonu en fazla  $\cos \theta = 1$  iken veya  $\mathbf{u}$   $\nabla f$ 'nin yönünde iken artar. Yan, tanım kümesindeki her  $P$  noktasında,  $f$   $P$ 'deki  $\nabla f$  gradiyent vektörünün yönünde en hızlı şekilde artar. Bu yöndeği türev

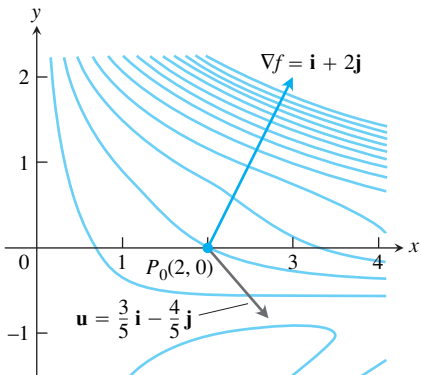
$$D_{\mathbf{u}}f = |\nabla f| \cos(0) = |\nabla f|$$

ile verilir.

2. Aynı şekilde,  $f$  en hızlı  $-\nabla f$  yönünde azalır. Bu yöndeği türev  $D_{\mathbf{u}}f = |\nabla f| \cos(\pi) = -|\nabla f|$  dir.
3.  $\nabla f \neq 0$  Gradiyentine ortogonal herhangi bir  $\mathbf{u}$  yönü  $f$ 'de sıfır değişim yönüdür, çünkü bu durumda  $\theta = \pi/2$  olur ve

$$D_{\mathbf{u}}f = |\nabla f| \cos(\pi/2) = |\nabla f| \cdot 0 = 0.$$

bulunur.



**ŞEKİL 14.26**  $\nabla f$ 'yi  $f$ 'nin tanım kümesinde bir vektör olarak resimleyin.

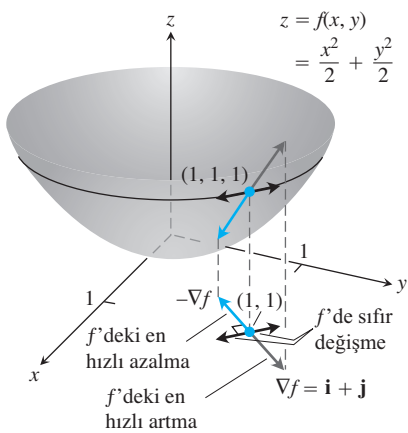
$f(x, y) = xe^y + \cos(xy)$  durumunda, tanım kümesi bütün düzlemdir.  $f$ 'nin  $(2, 0)$ 'da  $\mathbf{u} = (3/5)\mathbf{i} - (4/5)\mathbf{j}$  yönünde değiştiği oran  $\nabla f \cdot \mathbf{u} = -1$ 'dir (Örnek 2).

Daha sonra tartışacağımız gibi, bu özellikler iki boyutta olduğu gibi, üç boyutta da geçerlidir.

### ÖRNEK 3 Maksimal, Minimal ve Sıfır Değişim Yönlerini Bulmak

$f(x, y) = (x^2/2) + (y^2/2)$ 'nin

- (a)  $(1, 1)$  noktasında en hızlı arttığı,
- (b)  $(1, 1)$  noktasında en hızlı azaldığı yönleri bulun.
- (c)  $(1, 1)$ 'de  $f$ 'nin sıfır değişim yönleri nelerdir?



**SEKİL 14.27**  $f(x, y) = (x^2/2) + (y^2/2)$ 'nin  $(1, 1)$ 'de en hızlı arttığı yön  $\nabla f|_{(1,1)} = \mathbf{i} + \mathbf{j}$  yönündür. Bu yön yüzey üzerinde  $(1, 1, 1)$  de en dik yükselme yönüdür (Örnek 3).

### Çözüm

(a) Fonksiyon  $(1, 1)$ 'de en hızlı olarak  $\nabla f$  yönünde artar. Gradiyent

$$(\nabla f)_{(1,1)} = (xi + yj)_{(1,1)} = \mathbf{i} + \mathbf{j}$$

olarak bulunur. Yönü ise,

$$\mathbf{u} = \frac{\mathbf{i} + \mathbf{j}}{|\mathbf{i} + \mathbf{j}|} = \frac{\mathbf{i} + \mathbf{j}}{\sqrt{(1)^2 + (1)^2}} = \frac{1}{\sqrt{2}} \mathbf{i} + \frac{1}{\sqrt{2}} \mathbf{j}$$

yönüdedir.

(b) Fonksiyon  $(1, 1)$ 'de en hızlı olarak  $-\nabla f$  yönünde azalır:

$$-\mathbf{u} = -\frac{1}{\sqrt{2}} \mathbf{i} - \frac{1}{\sqrt{2}} \mathbf{j}$$

(c)  $(1, 1)$ 'de sıfır değişim yönleri  $\nabla f$  ye ortogonal yönlerdir:

$$\mathbf{n} = -\frac{1}{\sqrt{2}} \mathbf{i} + \frac{1}{\sqrt{2}} \mathbf{j} \quad \text{ve} \quad -\mathbf{n} = \frac{1}{\sqrt{2}} \mathbf{i} - \frac{1}{\sqrt{2}} \mathbf{j}$$

Şekil 14.27'ye bakın. ■

### Seviye Eğrilerinin Gradiyentleri ve Teğetleri

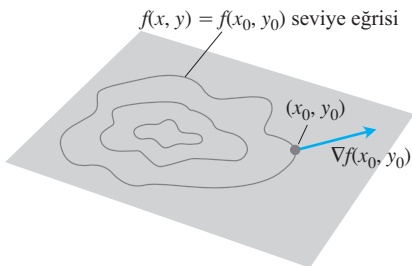
Diferansiyellenebilir bir  $f(x, y)$  fonksiyonunun düzgün bir  $\mathbf{r} = g(t)\mathbf{i} + h(t)\mathbf{j}$  eğrisi üzerinde sabit bir  $c$  değeri varsa (böylece eğri  $f$ 'nin bir seviye eğrisi olur),  $f(g(t), h(t)) = c$  olur. Bu denklemin iki tarafının da  $t$ 'ye göre türevini almak

$$\frac{d}{dt} f(g(t), h(t)) = \frac{d}{dt}(c)$$

$$\frac{\partial f}{\partial x} \frac{dg}{dt} + \frac{\partial f}{\partial y} \frac{dh}{dt} = 0 \quad \text{Zincir Kuralı}$$

$$\underbrace{\left( \frac{\partial f}{\partial x} \mathbf{i} + \frac{\partial f}{\partial y} \mathbf{j} \right)}_{\nabla f} \cdot \underbrace{\left( \frac{dg}{dt} \mathbf{i} + \frac{dh}{dt} \mathbf{j} \right)}_{\frac{d\mathbf{r}}{dt}} = 0. \quad [5]$$

denklemlerine yol açar. (5) denklemi,  $\nabla f$ 'nin teğet vektör  $d\mathbf{r}/dt$ 'ye normal olduğunu söyleyerek, dolayısıyla eğriye normaldir.



**ŞEKİL 14.28** İki değişkenli diferansiyellenebilir bir fonksiyonun bir noktadaki gradiyenti her zaman fonksiyonun o noktadan geçen seviye eğrisine normaldir.

Diferansiyellenebilir bir  $f(x, y)$  fonksiyonunun tanım kümesindeki her  $(x_0, y_0)$  noktasında  $f'$  nin gradiyenti,  $(x_0, y_0)$  noktasından geçen seviye eğrisine normaldir (Şekil 14.28).

(5) Denklemi topografik haritalarda akarsuların konturlara dik olarak aktığı gözlemimizi doğrular (Şekil 14.23'e bakın). Aşağıda doğru akan akarsular varış yerine en çabuk yoldan ulaşacağına göre, doğrultu türevleri için Özellik 2'den, negatif gradiyent vektörü doğrultusunda akmalıdır. (s) Denklemi bize bu yönlerin seviye eğrilerine dik olduklarını söyler.

Bu gözlem ayrıca, seviye eğrilerinin teğetlerinin denklemelerini bulmamızı sağlar. Bunlar gradiyentlere normal olan doğrulardır. Bir  $P_0(x_0, y_0)$  noktasından geçen ve bir  $\mathbf{N} = A\mathbf{i} + B\mathbf{j}$  vektörüne normal olan doğrunun denklemi

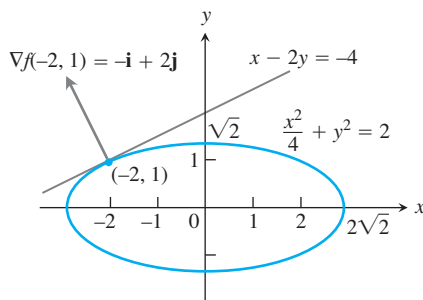
$$A(x - x_0) + B(y - y_0) = 0$$

olarak bulunur (Alıştırma 35).  $\mathbf{N}$  vektörü  $(\nabla f)_{(x_0, y_0)} = f_x(x_0, y_0)\mathbf{i} + f_y(x_0, y_0)\mathbf{j}$  gradiyenti ise denklem

$$f_x(x_0, y_0)(x - x_0) + f_y(x_0, y_0)(y - y_0) = 0 \quad (6)$$

olarak verilir.

#### ÖRNEK 4 Bir Elipse Teğet Doğru Bulmak



**ŞEKİL 14.29**  $(x^2/4) + y^2 = 2$  elipsinin teğetini, elipse  $f(x, y) = (x^2/4) + y^2$  fonksiyonunun bir seviye eğrisi gibi bakarak bulabiliriz (Örnek 4).

elipsinin  $(-2, 1)$  noktasındaki teğetinin denklemi bulun (Şekil 14.29).

**Çözüm** Elips,

$$f(x, y) = \frac{x^2}{4} + y^2$$

fonksiyonunun bir seviye eğrisidir.  $f'$  nin  $(-2, 1)$ 'deki gradiyenti

$$\nabla f|_{(-2,1)} = \left( \frac{x}{2}\mathbf{i} + 2y\mathbf{j} \right)_{(-2,1)} = -\mathbf{i} + 2\mathbf{j}.$$

olarak bulunur. Teğet ise,

$$(-1)(x + 2) + (2)(y - 1) = 0 \quad \text{Denklem (6)}$$

$$x - 2y = -4. \quad \blacksquare$$

doğrusudur.

İki  $f$  ve  $g$  fonksiyonunun gradiyentlerini biliyoruz, otomatik olarak sabitlerle çarpımlarının, toplamlarının, farklarının, çarpımlarının ve bölgülerinin de gradiyentlerini biliyoruz demektir. Alıştırma 36'da aşağıdaki kuralları gerçeklemeniz istenmektedir. Bu kuralların, tek değişkenli fonksiyonların türevleri için karşı gelen kurallarla aynı formda olduklarına dikkat edin.

### Gradyentlerin Cebir Kuralları

1. *Sabitle Çarpım Kuralı:*  $\nabla(kf) = k\nabla f$  ( $k$  herhangi bir sayı)
2. *Toplam Kuralı:*  $\nabla(f + g) = \nabla f + \nabla g$
3. *Fark Kuralı:*  $\nabla(f - g) = \nabla f - \nabla g$
4. *Çarpım Kuralı:*  $\nabla(fg) = f\nabla g + g\nabla f$
5. *Bölüm Kuralı:*  $\nabla\left(\frac{f}{g}\right) = \frac{g\nabla f - f\nabla g}{g^2}$

### ÖRNEK 5 Gradiyent Kurallarını Resimlemek

Kuralları

$$\begin{aligned} f(x, y) &= x - y & g(x, y) &= 3y \\ \nabla f &= \mathbf{i} - \mathbf{j} & \nabla g &= 3\mathbf{j} \end{aligned}$$

ile göstereceğiz.

1.  $\nabla(2f) = \nabla(2x - 2y) = 2\mathbf{i} - 2\mathbf{j} = 2\nabla f$
2.  $\nabla(f + g) = \nabla(x + 2y) = \mathbf{i} + 2\mathbf{j} = \nabla f + \nabla g$
3.  $\nabla(f - g) = \nabla(x - 4y) = \mathbf{i} - 4\mathbf{j} = \nabla f - \nabla g$
4. 
$$\begin{aligned} \nabla(fg) &= \nabla(3xy - 3y^2) = 3y\mathbf{i} + (3x - 6y)\mathbf{j} \\ &= 3y(\mathbf{i} - \mathbf{j}) + 3y\mathbf{j} + (3x - 6y)\mathbf{j} \\ &= 3y(\mathbf{i} - \mathbf{j}) + (3x - 3y)\mathbf{j} \\ &= 3y(\mathbf{i} - \mathbf{j}) + (x - y)3\mathbf{j} = g\nabla f + f\nabla g \end{aligned}$$
5. 
$$\begin{aligned} \nabla\left(\frac{f}{g}\right) &= \nabla\left(\frac{x - y}{3y}\right) = \nabla\left(\frac{x}{3y} - \frac{1}{3}\right) \\ &= \frac{1}{3y}\mathbf{i} - \frac{x}{3y^2}\mathbf{j} \\ &= \frac{3y\mathbf{i} - 3x\mathbf{j}}{9y^2} = \frac{3y(\mathbf{i} - \mathbf{j}) - (3x - 3y)\mathbf{j}}{9y^2} \\ &= \frac{3y(\mathbf{i} - \mathbf{j}) - (x - y)3\mathbf{j}}{9y^2} = \frac{g\nabla f - f\nabla g}{g^2} \end{aligned}$$
 ■

### Üç Değişkenli Fonksiyonlar

Diferansiyellenebilir bir  $f(x, y, z)$  fonksiyonu ve uzayda bir  $\mathbf{u} = u_1\mathbf{i} + u_2\mathbf{j} + u_3\mathbf{k}$  birim vektörü için,

$$\nabla f = \frac{\partial f}{\partial x}\mathbf{i} + \frac{\partial f}{\partial y}\mathbf{j} + \frac{\partial f}{\partial z}\mathbf{k}$$

ve

$$D_{\mathbf{u}}f = \nabla f \cdot \mathbf{u} = \frac{\partial f}{\partial x}u_1 + \frac{\partial f}{\partial y}u_2 + \frac{\partial f}{\partial z}u_3$$

buluruz.

Doğrultu türevi yine

$$D_{\mathbf{u}} f = \nabla f \cdot \mathbf{u} = |\nabla f| |u| \cos \theta = |\nabla f| \cos \theta.$$

şeklinde yazılabilir, dolayısıyla daha önce iki değişkenli fonksiyonlar için verilen özellikler hala geçerlidir. Verilen herhangi bir noktada,  $f$  en hızlı  $\nabla f$  doğrultusunda artar ve en hızlı  $-\nabla f$  doğrultusunda azalır.  $\nabla f$ 'ye ortogonal olarak verilen herhangi bir yönde, türev sıfırdır.

### ÖRNEK 6 Maksimal, Minimal ve Sıfır Değişim Yönlerini Bulmak

- (a)  $f(x, y, z) = x^3 - xy^2 - z$ 'nin  $P_0(1, 1, 0)$ 'da,  $\mathbf{v} = 2\mathbf{i} - 3\mathbf{j} + 6\mathbf{k}$  yönündeki doğrultu türevini bulun.
- (b)  $f$ ,  $P_0$ 'da hangi yönlerde en hızlı değişir ve bu yönlerdeki değişim oranları nedir?

#### Çözüm

- (a)  $\mathbf{v}$ 'nin yönü,  $\mathbf{v}$ 'yi uzunluğuna bölgerek bulunur:

$$|\mathbf{v}| = \sqrt{(2)^2 + (-3)^2 + (6)^2} = \sqrt{49} = 7$$

$$\mathbf{u} = \frac{\mathbf{v}}{|\mathbf{v}|} = \frac{2}{7}\mathbf{i} - \frac{3}{7}\mathbf{j} + \frac{6}{7}\mathbf{k}$$

$f$ 'nin  $P_0$ 'daki kısmi türevleri

$$f_x = (3x^2 - y^2)|_{(1,1,0)} = 2, \quad f_y = -2xy|_{(1,1,0)} = -2, \quad f_z = -1|_{(1,1,0)} = -1$$

olarak bulunur.  $f$ 'nin  $P_0$ 'daki gradiyani ise

$$\nabla f|_{(1,1,0)} = 2\mathbf{i} - 2\mathbf{j} - \mathbf{k}.$$

olur. Dolayısıyla,  $f$ 'nin  $P_0$ 'da  $\mathbf{v}$  yönündeki doğrultu türevi

$$\begin{aligned} (D_{\mathbf{u}} f)|_{(1,1,0)} &= \nabla f|_{(1,1,0)} \cdot \mathbf{u} = (2\mathbf{i} - 2\mathbf{j} - \mathbf{k}) \cdot \left(\frac{2}{7}\mathbf{i} - \frac{3}{7}\mathbf{j} + \frac{6}{7}\mathbf{k}\right) \\ &= \frac{4}{7} + \frac{6}{7} - \frac{6}{7} = \frac{4}{7} \end{aligned}$$

olur.

- (b) Fonksiyon en hızlı  $\nabla f = 2\mathbf{i} - 2\mathbf{j} - \mathbf{k}$  yönünde artar ve en hızlı  $-\nabla f$  yönünde azalır. Bu yönlerdeki değişim oranları, sırasıyla,

$$|\nabla f| = \sqrt{(2)^2 + (-2)^2 + (-1)^2} = \sqrt{9} = 3 \quad \text{ve} \quad -|\nabla f| = -3 \quad \blacksquare$$

olarak bulunur.

## ALIŞTIRMALAR 14.5

### Noktalarda Gradyan Hesaplamak

1–4 alıştırmalarında, verilen noktada fonksiyonun gradiyentini hesaplayın. Sonra gradiyentin grafiğini o noktadan geçen seviye eğrisiyle birlikte çizin.

1.  $f(x, y) = y - x$ ,  $(2, 1)$     2.  $f(x, y) = \ln(x^2 + y^2)$ ,  $(1, 1)$

3.  $g(x, y) = y - x^2$ ,  $(-1, 0)$     4.  $g(x, y) = \frac{x^2}{2} - \frac{y^2}{2}$ ,  $(\sqrt{2}, 1)$

5–8 alıştırmalarında, verilen noktada  $\nabla f$ 'yi bulun.

5.  $f(x, y, z) = x^2 + y^2 - 2z^2 + z \ln x$ ,  $(1, 1, 1)$

6.  $f(x, y, z) = 2z^3 - 3(x^2 + y^2)z + \tan^{-1} xz$ ,  $(1, 1, 1)$

7.  $f(x, y, z) = (x^2 + y^2 + z^2)^{-1/2} + \ln(xyz)$ ,  $(-1, 2, -2)$   
 8.  $f(x, y, z) = e^{x+y} \cos z + (y+1) \sin^{-1} x$ ,  $(0, 0, \pi/6)$

### Doğrultu Türevlerini Bulmak

9–16 alıştırmalarında, fonksiyonun  $P_0$ 'da **A** yönündeki doğrultu türevini bulun.

9.  $f(x, y) = 2xy - 3y^2$ ,  $P_0(5, 5)$ ,  $\mathbf{A} = 4\mathbf{i} + 3\mathbf{j}$   
 10.  $f(x, y) = 2x^2 + y^2$ ,  $P_0(-1, 1)$ ,  $\mathbf{A} = 3\mathbf{i} - 4\mathbf{j}$   
 11.  $g(x, y) = x - (y^2/x) + \sqrt{3} \sec^{-1}(2xy)$ ,  $P_0(1, 1)$ ,  
 $\mathbf{A} = 12\mathbf{i} + 5\mathbf{j}$   
 12.  $h(x, y) = \tan^{-1}(y/x) + \sqrt{3} \sin^{-1}(xy/2)$ ,  $P_0(1, 1)$ ,  
 $\mathbf{A} = 3\mathbf{i} - 2\mathbf{j}$   
 13.  $f(x, y, z) = xy + yz + zx$ ,  $P_0(1, -1, 2)$ ,  $\mathbf{A} = 3\mathbf{i} + 6\mathbf{j} - 2\mathbf{k}$   
 14.  $f(x, y, z) = x^2 + 2y^2 - 3z^2$ ,  $P_0(1, 1, 1)$ ,  $\mathbf{A} = \mathbf{i} + \mathbf{j} + \mathbf{k}$   
 15.  $g(x, y, z) = 3e^x \cos yz$ ,  $P_0(0, 0, 0)$ ,  $\mathbf{A} = 2\mathbf{i} + \mathbf{j} - 2\mathbf{k}$   
 16.  $h(x, y, z) = \cos xy + e^{yz} + \ln zx$ ,  $P_0(1, 0, 1/2)$ ,  
 $\mathbf{A} = \mathbf{i} + 2\mathbf{j} + 2\mathbf{k}$

### En Hızlı Artış ve Azalış Yönleri

17–22 alıştırmalarında, fonksiyonların  $P_0$ 'da en hızlı artıkları ve azaldıkları yönleri bulun. Sonra fonksiyonların bu yönlerdeki doğrultu türevlerini bulun.

17.  $f(x, y) = x^2 + xy + y^2$ ,  $P_0(-1, 1)$   
 18.  $f(x, y) = x^2y + e^{xy} \sin y$ ,  $P_0(1, 0)$   
 19.  $f(x, y, z) = (x/y) - yz$ ,  $P_0(4, 1, 1)$   
 20.  $g(x, y, z) = xe^y + z^2$ ,  $P_0(1, \ln 2, 1/2)$   
 21.  $f(x, y, z) = \ln xy + \ln yz + \ln xz$ ,  $P_0(1, 1, 1)$   
 22.  $h(x, y, z) = \ln(x^2 + y^2 - 1) + y + 6z$ ,  $P_0(1, 1, 0)$

### Eğrilerin Teğetleri

23–26 alıştırmalarında,  $f(x, y) = c$  eğrisini verilen noktada  $\nabla f$  ve tegetiyle birlikte çizin. Sonra teğeten denklemini yazın.

23.  $x^2 + y^2 = 4$ ,  $(\sqrt{2}, \sqrt{2})$  24.  $x^2 - y = 1$ ,  $(\sqrt{2}, 1)$   
 25.  $xy = -4$ ,  $(2, -2)$  26.  $x^2 - xy + y^2 = 7$ ,  $(-1, 2)$

### Teori ve Örnekler

27. **Sıfır doğrultu türevi** Hangi yönde  $f(x, y) = xy + y^2$ 'nin  $P(3, 2)$ 'deki doğrultu türevi sıfıra eşittir?  
 28. **Sıfır doğrultu türevi** Hangi yönde,  $f(x, y) = (x^2 - y^2)/(x^2 + y^2)$ 'nin  $P(1, 1)$ 'deki doğrultu türevi sıfıra eşittir?  
 29.  $f(x, y) = x^2 - 3xy + 4y^2$ 'nin  $P(1, 2)$ 'deki türevinin 14'e eşit olduğu bir **u** yönü var mıdır? Yanıtınızı açıklayın.

30. **Bir çember boyunca sıcaklık değişimi**  $T(x, y, z) = 2xy - yz$  sıcaklık fonksiyonunun (sıcaklık santigrad, uzunluk fit olarak)  $P(1, -1, 1)$ 'deki değişim oranının  $-3^\circ\text{C}/\text{ft}$  olduğu bir **u** yönü var mıdır? Yanıtınızı açıklayın.

31.  $f(x, y)$ 'nin  $P_0(1, 2)$ 'de **i** + **j** yönündeki doğrultu türevi  $2\sqrt{2}$  ve **-2j** yönündeki doğrultu türevi  $-3$ 'tür.  $f$ 'nin **-i** - **2j** yönündeki doğrultu türevi nedir? Yanıtınızı açıklayın.

32.  $f(x, y, z)$ 'nin bir  $P$  noktasındaki doğrultu türevi **v** = **i** + **j** - **k** yönünde en büyüktür. Bu yöndeki doğrultu türevinin değeri  $2\sqrt{3}$  'tür.

a.  $P$ 'de  $\nabla f$  nedir? Yanıtınızı açıklayın.

b.  $f$ 'nin  $P$ 'de **i** + **j** yönündeki doğrultu türevi nedir?

33. **Doğrultu türevleri ve skaler bileşenler** Diferansiyellenebilir bir  $f(x, y, z)$  fonksiyonunun bir  $P_0$  noktasında **u** birim vektörü yönündeki doğrultu türevinin  $(\nabla f)_{P_0}$ 'ın **u** yönündeki skaler bileşeniyle ilişkisi nedir? Yanıtınızı açıklayın.

34. **Doğrultu türevleri ve kısmi türevler**  $f(x, y, z)$ 'nin gerekli türevlerinin bulunduğu varsayırsak,  $D_i f$ ,  $D_j f$  ve  $D_k f$  ile  $f_x$ ,  $f_y$  ve  $f_z$  arasındaki ilişki nedir? Yanıtınızı açıklayın.

35. **xy-düzleminde doğrular**  $A(x - x_0) + B(y - y_0) = 0$ 'ın  $xy$ -düzlemindeki  $(x_0, y_0)$  noktasından geçen ve  $\mathbf{N} = A\mathbf{i} + B\mathbf{j}$  vektörüne normal doğrunun denklemi olduğunu gösterin.

36. **Gradiyentlerin cebir kuralları** Bir  $k$  skaleri ile

$$\nabla f = \frac{\partial f}{\partial x} \mathbf{i} + \frac{\partial f}{\partial y} \mathbf{j} + \frac{\partial f}{\partial z} \mathbf{k}$$

ve

$$\nabla g = \frac{\partial g}{\partial x} \mathbf{i} + \frac{\partial g}{\partial y} \mathbf{j} + \frac{\partial g}{\partial z} \mathbf{k},$$

gradiyentleri verilmişse,

$$\frac{\partial}{\partial x}(kf) = k \frac{\partial f}{\partial x}, \quad \frac{\partial}{\partial x}(f \pm g) = \frac{\partial f}{\partial x} \pm \frac{\partial g}{\partial x},$$

$$\frac{\partial}{\partial x}(fg) = f \frac{\partial g}{\partial x} + g \frac{\partial f}{\partial x}, \quad \frac{\partial}{\partial x}\left(\frac{f}{g}\right) = \frac{g \frac{\partial f}{\partial x} - f \frac{\partial g}{\partial x}}{g^2},$$

ve diğer skaler denklemleri kullanarak, aşağıdaki kuralları doğrudayın.

- a.  $\nabla(kf) = k\nabla f$   
 b.  $\nabla(f + g) = \nabla f + \nabla g$   
 c.  $\nabla(f - g) = \nabla f - \nabla g$   
 d.  $\nabla(fg) = f\nabla g + g\nabla f$   
 e.  $\nabla\left(\frac{f}{g}\right) = \frac{g\nabla f - f\nabla g}{g^2}$

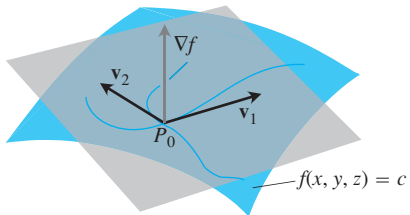
## 14.6

## Teğet Düzlemler ve Diferansiyeller

Bu bölümde, uzayda düzgün bir yüzey üzerindeki bir noktadan geçen teğet düzlemi tanımlıyoruz. Teğet düzleminin denklemi yüzeyi tanımlayan fonksiyonun kısmi türevlerinden buluyoruz. Bu fikir, tek-değişkenli fonksiyonlar için koordinat düzleminde bir eğri üzerinde bir noktadaki teğet doğru tanımına benzerdir (Bölüm 2.7). Bu durumda çok değişkenli fonksiyonların toplam diferansiyellerini ve lineerizasyonlarını inceleyeceğiz.

### Teğet Düzlemler ve Normal Doğrular

$\mathbf{r} = g(t)\mathbf{i} + h(t)\mathbf{j} + k(t)\mathbf{k}$ , diferansiyellenebilir bir  $f$  fonksiyonunun  $f(x, y, z) = c$  seviye yüzeyi üzerinde düzgün bir eğriyse,  $f(g(t), h(t), k(t)) = c$  olur. Bu denklemin iki tarafının da  $t$ 'ye göre türevini almak



**ŞEKİL 14.30**  $\nabla f$ ,  $P_0$ 'dan geçen yüzeydeki her düzgün eğrinin hız vektörüne ortogonaldır. Dolayısıyla  $P_0$ 'daki hız vektörleri,  $P_0$ 'daki teğet düzlem dediğimiz ortak bir düzlemede bulunurlar.

$$\frac{d}{dt} f(g(t), h(t), k(t)) = \frac{d}{dt} (c)$$

$$\frac{\partial f}{\partial x} \frac{dg}{dt} + \frac{\partial f}{\partial y} \frac{dh}{dt} + \frac{\partial f}{\partial z} \frac{dk}{dt} = 0 \quad \text{Zincir Kuralı}$$

$$\underbrace{\left( \frac{\partial f}{\partial x} \mathbf{i} + \frac{\partial f}{\partial y} \mathbf{j} + \frac{\partial f}{\partial z} \mathbf{k} \right)}_{\nabla f} \cdot \underbrace{\left( \frac{dg}{dt} \mathbf{i} + \frac{dh}{dt} \mathbf{j} + \frac{dk}{dt} \mathbf{k} \right)}_{d\mathbf{r}/dt} = 0 \quad [1]$$

verir. Eğri boyunca her noktada,  $\nabla f$  eğrinin hız vektörüne ortogonaldır.

Şimdi dikkatimizi  $P_0$ 'dan geçen eğrilerle sınırlayalım (Şekil 14.30).  $P_0$ 'daki bütün hız vektörleri  $P_0$ 'da  $\nabla f$ 'ye ortogonaldır, dolayısıyla eğrinin teğetleri  $P_0$ 'dan geçen ve  $\nabla f$ 'ye normal olan düzlemede bulunurlar. Bu düzleme yüzeyin  $P_0$ 'daki teğet düzlemi deriz.  $P_0$ 'dan geçen ve düzleme dik olan doğru yüzeyin  $P_0$ 'daki normalidir.

#### TANIMLAR Teğet Düzlem, Normal Doğru

$f(x, y, z) = c$  seviye yüzeyi üzerinde,  $P_0(x_0, y_0, z_0)$  noktasındaki **teğet düzlem**  $P_0$ 'dan geçen ve  $\nabla f|_{P_0}$ 'a normal olan düzlemdir. Yüzeyin  $P_0$ 'daki normali,  $P_0$ 'dan geçen ve  $\nabla f|_{P_0}$ 'a paralel olan doğrudur.

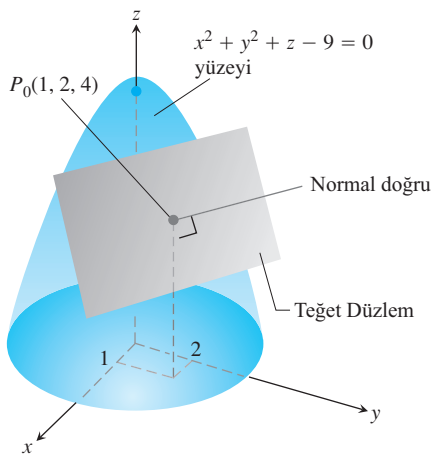
Böylece, Bölüm 12.5'ten teğet düzlemin ve normalin denklemleri sırasıyla, aşağıdaki gibidir:

$$f(x, y, z) = c \text{ ye } P_0(x_0, y_0, z_0) \text{'da Teğet Düzlem}$$

$$f_x(P_0)(x - x_0) + f_y(P_0)(y - y_0) + f_z(P_0)(z - z_0) = 0 \quad [2]$$

$$f(x, y, z) = c \text{ ye } P_0(x_0, y_0, z_0) \text{'da Normal Doğru}$$

$$x = x_0 + f_x(P_0)t, \quad y = y_0 + f_y(P_0)t, \quad z = z_0 + f_z(P_0)t \quad [3]$$



**ŞEKİL 14.31**  $x^2 + y^2 + z - 9 = 0$  yüzeyinin  $P_0(1, 2, 4)$ 'teki teğet düzlemi ve normal doğrusu (Örnek 1).

### ÖRNEK 1 Teğet Düzlem ve Normal Doğru Bulmak

$P_0(1, 2, 4)$  noktasında

$$f(x, y, z) = x^2 + y^2 + z - 9 = 0$$

Dairesel bir paraboloid

yüzeyinin teğet düzlemini ve normalini bulun.

**Çözüm** Yüzey Şekil 14.31'de gösterilmektedir.

Teğet düzlem  $P_0$ 'dan geçen ve  $f$ 'nin  $P_0$ 'daki gradiyentine dik düzlemdir. Gradiyent

$$\nabla f|_{P_0} = (2x\mathbf{i} + 2y\mathbf{j} + \mathbf{k})_{(1,2,4)} = 2\mathbf{i} + 4\mathbf{j} + \mathbf{k}$$

olarak bulunur. Dolayısıyla, düzlemler

$$2(x - 1) + 4(y - 2) + (z - 4) = 0 \quad \text{veya} \quad 2x + 4y + z = 14$$

düzlemdir. Yüzeyin  $P_0$ 'daki normali

$$x = 1 + 2t, \quad y = 2 + 4t, \quad z = 4 + t$$

olar.

Bir  $z = f(x, y)$  düzgün yüzeyinin,  $z_0 = f(x_0, y_0)$  olmak üzere, bir  $P_0(x_0, y_0, z_0)$  noktasında teğet düzleminin denklemi bulmak için, önce  $z = f(x, y)$  denkleminin  $f(x, y) - z = 0$ 'a denk olduğunu gözlemleriz. Dolayısıyla,  $z = f(x, y)$  yüzeyi  $F(x, y, z) = f(x, y) - z$  fonksiyonunun sıfır seviye yüzeyidir.  $F$ 'nin kısmi türevleri

$$F_x = \frac{\partial}{\partial x}(f(x, y) - z) = f_x - 0 = f_x$$

$$F_y = \frac{\partial}{\partial y}(f(x, y) - z) = f_y - 0 = f_y$$

$$F_z = \frac{\partial}{\partial z}(f(x, y) - z) = 0 - 1 = -1$$

olarak bulunur. Bundan dolayı,

$$F_x(P_0)(x - x_0) + F_y(P_0)(y - y_0) + F_z(P_0)(z - z_0) = 0$$

yani  $P_0$ 'da seviye yüzeyine teğet düzlemin formülü

$$f_x(x_0, y_0)(x - x_0) + f_y(x_0, y_0)(y - y_0) - (z - z_0) = 0$$

haline indirgenir.

### Bir $z = f(x, y)$ yüzeyine $(x_0, y_0, f(x_0, y_0))$ 'da Teğet Düzlem

Diferansiyellenebilir bir  $f$  fonksiyonunun  $z = f(x, y)$  yüzeyine,  $P_0(x_0, y_0, z_0) = (x_0, y_0, f(x_0, y_0))$  noktasında teğet olan düzlemin denklemi aşağıdaki gibidir:

$$f_x(x_0, y_0)(x - x_0) + f_y(x_0, y_0)(y - y_0) - (z - z_0) = 0. \quad (4)$$

### ÖRNEK 2 Bir $z = f(x, y)$ Yüzeyine Teğet Bir Düzlem Bulmak

$z = x \cos y - ye^x$ 'in  $(0, 0, 0)$ 'daki teğet düzlemini bulun.

**Çözüm**  $f(x, y) = x \cos y - ye^x$ in kısmi türevlerini hesaplar ve (4) denklemini kullanırız:

$$f_x(0, 0) = (\cos y - ye^x)_{(0,0)} = 1 - 0 \cdot 1 = 1$$

$$f_y(0, 0) = (-x \sin y - e^x)_{(0,0)} = 0 - 1 = -1$$

Dolayısıyla teğet düzlem

$$1 \cdot (x - 0) - 1 \cdot (y - 0) - (z - 0) = 0 \quad \text{Denklem (4)}$$

veya

$$x - y - z = 0$$

olur.

### ÖRNEK 3 İki Yüzeyin Kesişim Eğrisine Teğet Doğru

$$f(x, y, z) = x^2 + y^2 - 2 = 0 \quad \text{Bir silindir}$$

ve

$$g(x, y, z) = x + z - 4 = 0 \quad \text{Bir düzlemler}$$

yüzeyleri bir  $E$  elipsinde kesişir (Şekil 14.32).  $P_0(1, 1, 3)$  noktasında  $E$ 'nin teğetinin parametrik denklemlerini bulun.

**Çözüm** Teğet doğru,  $P_0$ 'da hem  $\nabla f$ 'ye hem de  $\nabla g$ 'ye ortogonaldır ve dolayısıyla  $\mathbf{v} = \nabla f \times \nabla g$ 'ye paraleldir.  $\mathbf{v}$ 'nin bileşenleri ve  $P_0$ 'ın koordinatları doğrunun denklemlerini verir. Buradan,

$$\nabla f|_{(1,1,3)} = (2xi + 2yj)_{(1,1,3)} = 2i + 2j$$

$$\nabla g|_{(1,1,3)} = (i + k)_{(1,1,3)} = i + k$$

$$\mathbf{v} = (2i + 2j) \times (i + k) = \begin{vmatrix} i & j & k \\ 2 & 2 & 0 \\ 1 & 0 & 1 \end{vmatrix} = 2i - 2j - 2k$$

buluruz. Doğru aşağıdaki gibidir:

$$x = 1 + 2t, \quad y = 1 - 2t, \quad z = 3 - 2t$$

### Belirli Bir Yöndeği Değişimi Öngörmek

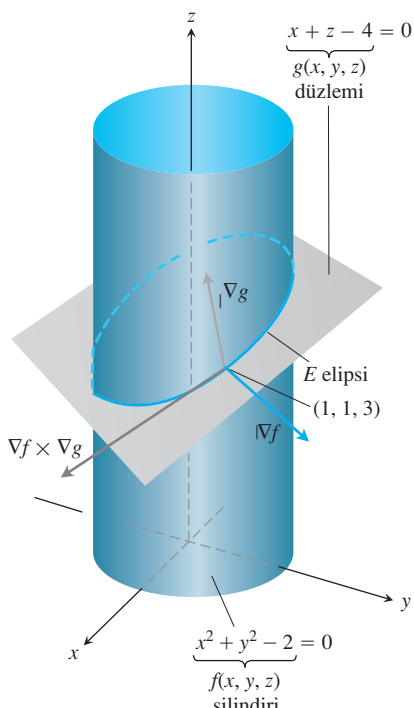
Bir  $P_0$  noktasından küçük bir  $ds$  mesafesiyle yakındaki başka bir noktaya ilerlediğimizde, bir  $f$  fonksiyonunun ne kadar değiştigini öngörmek istersek, doğrultu türevi normal bir türev rolü oynar.  $f$  tek değişkenli bir fonksiyon olsaydı,

$$df = f'(P_0) ds \quad \text{Normal türev} \times \text{artım}$$

bulurduk. İki veya daha fazla değişkenli fonksiyonlar için,  $P_0$ 'dan uzaklaşan hareketin yönü  $\mathbf{u}$  olmak üzere,

$$df = (\nabla f|_{P_0} \cdot \mathbf{u}) ds \quad \text{Doğrultu türev} \times \text{artım}$$

formülü kullanırız.



**ŞEKİL 14.32**  $f(x, y, z) = x^2 + y^2 - 2 = 0$  silindiri ve  $g(x, y, z) = x + z - 4 = 0$  düzleminin kesişimini bir  $E$  elipsidir (Örnek 3).

### Bir $\mathbf{u}$ Yönde $f$ 'deki Değişimi Öngörmek

Bir  $P_0$  noktasından belirli bir  $\mathbf{u}$  yönünde küçük bir  $ds$  mesafesi kadar ilerlediğimizde,  $f$ 'deki değişimi öngörmek için

$$df = \underbrace{(\nabla f|_{P_0} \cdot \mathbf{u})}_{\text{Doğrultu türevi}} \cdot \underbrace{ds}_{\text{Artım miktarı}}$$

formülüünü kullanırız.

#### ÖRNEK 4 $f(x, y, z)$ 'nin Değerindeki Değişimi Öngörmek

$P(x, y, z)$  noktası  $P_0(0, 1, 0)$  noktasından  $P_1(2, 2, -2)$  noktasına doğru 0.1 birim ilerlerse,

$$f(x, y, z) = y \sin x + 2yz$$

fonksiyonunun değerinin nasıl değişeceğini tahmin edin.

**Cözüm** Önce  $f$ 'nin  $P_0$ 'da  $\overrightarrow{P_0P_1} = 2\mathbf{i} + \mathbf{j} - 2\mathbf{k}$  yönündeki doğrultu türevini buluruz. Bu vektörün yönü

$$\mathbf{u} = \frac{\overrightarrow{P_0P_1}}{|\overrightarrow{P_0P_1}|} = \frac{\overrightarrow{P_0P_1}}{3} = \frac{2}{3}\mathbf{i} + \frac{1}{3}\mathbf{j} - \frac{2}{3}\mathbf{k}$$

dir.  $f$ 'nin  $P_0$ 'daki gradiyenti de

$$\nabla f|_{(0,1,0)} = ((y \cos x)\mathbf{i} + (\sin x + 2z)\mathbf{j} + 2y\mathbf{k})|_{(0,1,0)} = \mathbf{i} + 2\mathbf{k}$$

dir. Bu nedenle,

$$\nabla f|_{P_0} \cdot \mathbf{u} = (\mathbf{i} + 2\mathbf{k}) \cdot \left( \frac{2}{3}\mathbf{i} + \frac{1}{3}\mathbf{j} - \frac{2}{3}\mathbf{k} \right) = \frac{2}{3} - \frac{4}{3} = -\frac{2}{3}$$

olur.  $P_0$ 'dan  $\mathbf{u}$  yönünde  $ds = 0.1$  birim ilerlemeden dolayı  $f$ 'de olacak değişim yaklaşık olarak

$$df = (\nabla f|_{P_0} \cdot \mathbf{u})(ds) = \left(-\frac{2}{3}\right)(0.1) \approx -0.067 \text{ birim}$$

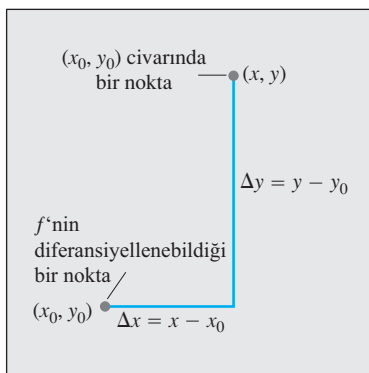
olur. ■

### İki Değişkenli Bir Fonksiyonu Lineerize Etmek

İki değişkenli fonksiyonlar karmaşık olabilirler ve bazen onların yerine belirli uygulamalar için gereken hassaslığı veren ve çalışması o kadar zor olmayan daha basit fonksiyonlar kullanmak zorunda kalabiliz. Bunu, tek değişkenli bir fonksiyon için lineer fonksiyonlar bulmamiza (Bölüm 3.8) benzer şekilde yaparız.

Değiştirmek istediğimiz fonksiyonun  $z = f(x, y)$  olduğunu ve değişimin,  $f$ ,  $f_x$  ile  $f_y$ 'nin değerlerini bildiğimiz ve  $f$ 'nin sürekli olduğu bir  $(x_0, y_0)$  noktası civarında etkili olmasını istedigimizi varsayıñ.  $(x_0, y_0)$ 'dan herhangi bir  $(x, y)$  noktasına  $\Delta x = x - x_0$  ve  $\Delta y = y - y_0$  artımlarıyla ilerlersek diferansiyellenebilmenin Bölüm 14.3'teki tanımından,

$$f(x, y) - f(x_0, y_0) = f_x(x_0, y_0)\Delta x + f_y(x_0, y_0)\Delta y + \epsilon_1\Delta x + \epsilon_2\Delta y,$$



**ŞEKİL 14.33** Şayet  $f(x_0, y_0)$  noktasında diferansiyellenebilir ise, bu civardaki bir  $(x, y)$  noktasında  $f$ 'nin değeri yaklaşık olarak  $f(x_0, y_0) + f_x(x_0, y_0)\Delta x + f_y(x_0, y_0)\Delta y$ 'dır.

değişimi elde edilir.  $\Delta x$  ve  $\Delta y$  artımları küçükse,  $\epsilon_1\Delta x$  ve  $\epsilon_2\Delta y$  çarpımları daha da küçük olur ve

$$f(x, y) \approx f(x_0, y_0) + f_x(x_0, y_0)(x - x_0) + f_y(x_0, y_0)(y - y_0)$$

$$\underline{L(x, y)}$$

elde ederiz. Başka bir deyişle,  $\Delta x$  ve  $\Delta y$  küçük oldukları sürece,  $f$ 'nin değeri yaklaşık olarak lineer  $L$  fonksiyonuyla aynı olacaktır.  $f$ 'nin kullanımı zorsa ve işimiz ortaya çıkacak hatayı kaldırabilecekse,  $f$  yerine rahatlıkla  $L$ 'yi kullanabiliriz (Şekil 14.33).

### TANIMLAR Lineerizasyon, Standart Lineer Yaklaşım

Bir  $f(x, y)$  fonksiyonunun,  $f$ 'nin diferansiyellenebildiği bir  $(x_0, y_0)$  noktasındaki **lineerizasyonu**

$$L(x, y) = f(x_0, y_0) + f_x(x_0, y_0)(x - x_0) + f_y(x_0, y_0)(y - y_0) \quad [5]$$

fonksiyonudur.

$$f(x, y) \approx L(x, y)$$

yaklaşımı  $f$ 'nin  $(x_0, y_0)$ 'daki **standart lineer yaklaşımıdır**.

(4) Denkleminden  $z = L(x, y)$  düzleminin  $(x_0, y_0)$  noktasında  $z = f(x, y)$  yüzeyine teget olduğunu görürüz. Yani, iki değişkenli bir fonksiyonun lineerizasyonu, tek değişkenli bir fonksiyonun lineerizasyonun bir teget-doğru yaklaşımı olması gibi, bir teget-düzlemler yaklaşımıdır.

### ÖRNEK 5 Bir Lineerizasyon Bulmak

$(3, 2)$  noktasında

$$f(x, y) = x^2 - xy + \frac{1}{2}y^2 + 3$$

fonksiyonunun lineerizasyonunu bulun.

**Çözüm** Önce,  $(x_0, y_0) = (3, 2)$  noktasında  $f$ ,  $f_x$  ve  $f_y$ 'yi hesaplarız:

$$f(3, 2) = \left( x^2 - xy + \frac{1}{2}y^2 + 3 \right)_{(3,2)} = 8$$

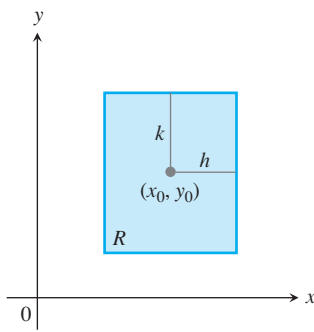
$$f_x(3, 2) = \frac{\partial}{\partial x} \left( x^2 - xy + \frac{1}{2}y^2 + 3 \right)_{(3,2)} = (2x - y)_{(3,2)} = 4$$

$$f_y(3, 2) = \frac{\partial}{\partial y} \left( x^2 - xy + \frac{1}{2}y^2 + 3 \right)_{(3,2)} = (-x + y)_{(3,2)} = -1$$

Buradan,

$$\begin{aligned} L(x, y) &= f(x_0, y_0) + f_x(x_0, y_0)(x - x_0) + f_y(x_0, y_0)(y - y_0) \\ &= 8 + (4)(x - 3) + (-1)(y - 2) = 4x - y - 2. \end{aligned}$$

elde ederiz.  $f$ 'nin  $(3, 2)$  noktasındaki lineerizasyonu  $L(x, y) = 4x - y - 2$ 'dir.



**SEKİL 14.34**  $xy$ -düzlemindeki dikdörtgen  
R:  $|x - x_0| \leq h, |y - y_0| \leq k$  bölgesi.

Bir  $f(x, y)$  fonksiyonuna  $(x_0, y_0)$  noktasındaki  $L(x, y)$  linearizasyonu ile yaklaşımada bulduğumuzda önemli bir soru yaklaşımın ne kadar doğru olabileceğidir.

Merkezi  $(x_0, y_0)$ 'da olan bir  $R$  dikdörtgeninde (Şekil 14.34)  $|f_{xx}|, |f_{yy}|$ , ve  $|f_{xy}|$  için ortak bir  $M$  üst sınırı bulabilirsek,  $R$  üzerindeki  $E$  hatasını basit bir formül kullanarak (Bölüm 14.10 da elde edilen) sınırlayabiliriz. **Hata**,  $E(x, y) = f(x, y) - L(x, y)$  ile tanımlanır.

### Standart Lineer Yaklaşımındaki Hata

$f$ 'nin, merkezi  $(x_0, y_0)$ 'da olan kapalı bir  $R$  dikdörtgenini içeren bir açık kümede sürekli birinci ve ikinci mertebe türevleri varsa ve  $M$ ,  $|f_{xx}|, |f_{yy}|$ , ve  $|f_{xy}|$ 'nin değerlerinin  $R$  üzerindeki herhangi bir üst sınırı ise,  $R$  üzerinde  $f(x, y)$  yerine

$$L(x, y) = f(x_0, y_0) + f_x(x_0, y_0)(x - x_0) + f_y(x_0, y_0)(y - y_0)$$

linearizasyonunu yazmanın getireceği  $E(x, y)$  hatası

$$|E(x, y)| \leq \frac{1}{2} M(|x - x_0| + |y - y_0|)^2$$

eşitsizliğini sağlar.

Verilen bir  $M$  için  $|E(x, y)|$ 'yi küçük kılmak için, sadece  $|x - x_0|$  ve  $|y - y_0|$ 'yı küçük tutmak yeterlidir.

### ÖRNEK 6 Örnek 5'teki Hatayı Sınırlamak

Örnek 5'te  $f(x, y) \approx L(x, y)$  yaklaşımındaki hatanın üst sınırını

$$R: |x - 3| \leq 0.1, \quad |y - 2| \leq 0.1$$

dikdörtgeni için bulun. Üst sınırı,  $f$ 'nin dikdörtgenin merkezindeki değeri olan  $f(3, 2)$ 'nin bir yüzdesi olarak ifade edin.

### Çözüm

$$|E(x, y)| \leq \frac{1}{2} M(|x - x_0| + |y - y_0|)^2$$

eşitsizliğini kullanırız.  $M$ 'nin uygun bir değerini bulmak için, rutin bir türev alma işleminden sonra,  $f_{xx}$ ,  $f_{xy}$  ve  $f_{yy}$ 'yi hesaplar ve bu türevlerin, değerleri

$$|f_{xx}| = |2| = 2, \quad |f_{xy}| = |-1| = 1, \quad |f_{yy}| = |1| = 1$$

olan sabitler olduklarını görürüz. Bunlardan en büyüğü 2'dir, dolayısıyla rahatlıkla  $M$ 'yi 2 olarak alabiliriz.  $(x_0, y_0) = (3, 2)$  ile, artık  $R$  üzerinde

$$|E(x, y)| \leq \frac{1}{2} (2)(|x - 3| + |y - 2|)^2 = (|x - 3| + |y - 2|)^2$$

olduğunu biliriz.

Son olarak,  $R$  üzerinde  $|x - 3| \leq 0.1$  ve  $|y - 2| \leq 0.1$  olduğundan

$$|E(x, y)| \leq (0.1 + 0.1)^2 = 0.04$$

buluruz.  $f(3, 2) = 8$ 'in bir yüzdesi olarak, hata

$$\frac{0.04}{8} \times 100 = 0.5\%$$

değerinden fazla olamaz. ■

### Diferansiyeller

Bölüm 3.8'den, tek değişkenli bir  $y = f(x)$  fonksiyonu için  $x, a$ 'dan  $a + \Delta x$ 'e değiştiğinde  $f$ 'deki değişimini

$$\Delta f = f(a + \Delta x) - f(a)$$

ile ve  $f$ 'nin diferansiyelini

$$df = f'(a)\Delta x$$

olarak tanımladığımızı hatırlayın.

Şimdi iki değişkenli bir fonksiyonu ele alıyoruz.

Diferansiyellenebilir bir  $f(x, y)$  fonksiyonunun ve kısmi türevlerinin bir  $(x_0, y_0)$  noktasında var olduğunu kabul edin. Yakınlıkta bir  $(x_0 + \Delta x, y_0 + \Delta y)$  noktasına geçersek,  $f$ 'deki değişim

$$\Delta f = f(x_0 + \Delta x, y_0 + \Delta y) - f(x_0, y_0)$$

olur.

$L(x, y)$ 'nin tanımından,  $x - x_0 = \Delta x$  ve  $y - y_0 = \Delta y$  gösterimini kullanarak yapılan doğrudan bir hesaplama,  $L$ 'de buna karşılık gelen değişikliğin

$$\begin{aligned}\Delta L &= L(x_0 + \Delta x, y_0 + \Delta y) - L(x_0, y_0) \\ &= f_x(x_0, y_0)\Delta x + f_y(x_0, y_0)\Delta y\end{aligned}$$

olduğunu gösterir.

$dx$  ve  $dy$  **diferansiyelleri** bağımsız değişkenlerdir. Dolayısıyla bunlara herhangi değerler verilebilir. Çoğunlukla,  $dx = \Delta x = x - x_0$  ve  $dy = \Delta y = y - y_0$  alırız. Buradan,  $f$ 'nin diferansiyeli veya toplam diferansiyeli için aşağıdaki tanımı verebiliriz.

#### TANIM Toplam Diferansiyel

$(x_0, y_0)$ 'dan yakınlıkta bir  $(x_0 + dx, y_0 + dy)$  noktasına ilerlersek,  $f$ 'nin lineerizasyonunda bundan kaynaklanan

$$df = f_x(x_0, y_0) dx + f_y(x_0, y_0) dy$$

değişimine  **$f$ 'nin toplam diferansiyeli** denir.

#### ÖRNEK 7 Hacimdeki Değişimi Kestirmek

Silindirik bir kutunun 1 inç çapında ve 5 inç yüksekliğinde olacak şekilde tasarlandığını fakat çapının  $dr = +0.03$  ve yüksekliğinin  $dh = -0.1$  kadar hatalı olduğunu varsayıyın. Kutunun hacminde bu hatalardan kaynaklanan mutlak değişimini öngörün.

**Cözüm**  $V = \pi r^2 h$ 'deki değişimini öngörmek için,

$$\Delta V \approx dV = V_r(r_0, h_0) dr + V_h(r_0, h_0) dh$$

formülüünü kullanırız.  $V_r = 2\pi rh$  ve  $V_h = \pi r^2$  ile

$$\begin{aligned}dV &= 2\pi r_0 h_0 dr + \pi r_0^2 dh = 2\pi(1)(5)(0.03) + \pi(1)^2(-0.1) \\ &= 0.3\pi - 0.1\pi = 0.2\pi \approx 0.63 \text{ inç}^3\end{aligned}$$

buluruz. ■

Bir  $f(x, y)$  fonksiyonunun değerindeki mutlak değişim yerine *bağlı değişim* veya *yüzde değişim* sırasıyla

$$\frac{df}{f(x_0, y_0)} \quad \text{ve} \quad \frac{df}{f(x_0, y_0)} \times 100,$$

ile öngörebiliriz. Örnek 7'de bağlı değişim

$$\frac{dV}{V(r_0, h_0)} = \frac{0.2\pi}{\pi r_0^2 h_0} = \frac{0.2\pi}{\pi(1)^2(5)} = 0.04,$$

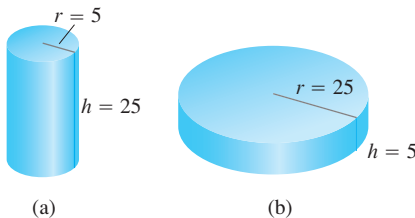
ile öngörülür. Bu da yüzde değişim %4 olarak verir.

### ÖRNEK 8 Değişime Duyarlılık

Şirketiniz 25 ft yüksekliğinde ve 5 ft yarıçapında silindir şeklinde şurup depolama tankları üretmektedir. Tankların hacmi yükseklik ve yarıçaptaki küçük değişimlere ne kadar duyarlıdır?

**Çözüm**  $V = \pi r^2 h$  ile hacimde oluşacak değişim için

$$\begin{aligned} dV &= V_r(5, 25) dr + V_h(5, 25) dh \\ &= (2\pi rh)_{(5,25)} dr + (\pi r^2)_{(5,25)} dh \\ &= 250\pi dr + 25\pi dh \end{aligned}$$



**SEKİL 14.35** (a) silindirinin hacmi  $r$ 'deki küçük bir değişikliğe  $h$ 'deki aynı oranda küçük bir değişikliğe olduğundan daha duyarlıdır. (b) silindirinin hacmi ise  $h$ 'deki küçük bir değişikliğe  $r$ 'deki aynı oranda küçük bir değişikliğe olduğundan daha duyarlıdır (Örnek 8).

yaklaşımını buluruz. Yani,  $r$ 'deki 1 birimlik bir değişim  $V$ 'yi  $250\pi$  birim kadar değiştirecektir.  $h$ 'deki 1 birimlik değişiklik ise  $V$ 'yi  $25\pi$  birim değiştirir. Tankın hacmi  $r$ 'deki küçük değişikliklere  $h$ 'de aynı oranda küçük değişikliklere olduğundan 10 kat daha duyarlıdır. Tankların doğru hacimde olmasını sağlamak sorumlu kalite kontrol mühendisi olarak, yarıçaplarına özel bir dikkat göstermelisiniz.

Bunun tersi olarak,  $r$  ve  $h$ 'nin değerleri  $r = 25$  ve  $h = 5$  olacak şekilde değiştirilirse,  $V$ 'nin toplam diferansiyeli

$$dV = (2\pi rh)_{(25,5)} dr + (\pi r^2)_{(25,5)} dh = 250\pi dr + 625\pi dh$$

olar. Şimdi hacim  $h$ 'deki değişimlere  $r$ 'deki değişimlerden daha duyarlıdır (Şekil 14.35).

Genel kural şudur, fonksiyonlar en büyük kısmı türevi üreten değişkenlerdeki küçük değişimlere daha duyarlıdırlar. ■

### ÖRNEK 9 Yüzde Hata Öngörmek

Dik bir silindirin  $V = \pi r^2 h$  hacmi,  $r$  ve  $h$ 'nin ölçülen değerlerinden hesaplanacaktır.  $r$ 'nin %2'den büyük olmayan bir hatayla ve  $h$ 'nin de %0.5'ten büyük olmayan bir hatayla ölçüldüğünü varsayıñ.  $V$ 'nin hesaplanması sırasında bundan kaynaklanacak olası yüzde hatayı bulun.

**Çözüm** Bize söylenen

$$\left| \frac{dr}{r} \times 100 \right| \leq 2 \quad \text{ve} \quad \left| \frac{dh}{h} \times 100 \right| \leq 0.5$$

olduğudur.

$$\frac{dV}{V} = \frac{2\pi rh dr + \pi r^2 dh}{\pi r^2 h} = \frac{2 dr}{r} + \frac{dh}{h}$$

olduğu için,

$$\begin{aligned} \left| \frac{dV}{V} \right| &= \left| 2 \frac{dr}{r} + \frac{dh}{h} \right| \\ &\leq \left| 2 \frac{dr}{r} \right| + \left| \frac{dh}{h} \right| \\ &\leq 2(0.02) + 0.005 = 0.045 \end{aligned}$$

buluruz. Hacim hesabındaki hata en fazla % 4.5 olacaktır.

### İkiden Fazla Değişkenli Fonksiyonlar

İkiden fazla değişkenli fonksiyonlar için de benzer sonuçlar geçerlidir.

- $f(x, y, z)$ 'nin bir  $P_0(x_0, y_0, z_0)$  noktasındaki **lineerizasyonu**

$$L(x, y, z) = f(P_0) + f_x(P_0)(x - x_0) + f_y(P_0)(y - y_0) + f_z(P_0)(z - z_0)$$

ile verilir.

- $R$ 'nin, merkezi  $P_0$ 'da olan ve  $f$ 'nin ikinci kismi türevlerinin sürekli olduğu bir açık bölgede bulunan kapalı dikdörtgen şeklinde bir cisim olduğunu varsayıñ. Ayrıca,  $|f_{xx}|, |f_{yy}|, |f_{zz}|, |f_{xy}|, |f_{xz}|$ , ve  $|f_{yz}|$ 'nin  $R$  üzerinde  $M$ 'den küçük veya eşit olduklarını da varsayıñ. Bu durumda  $R$  üzerinde  $f$ 'ye  $L$  ile yaklaşım yapılmasındaki  $E(x, y, z) = f(x, y, z) - L(x, y, z)$  **hata'sı**

$$|E| \leq \frac{1}{2} M(|x - x_0| + |y - y_0| + |z - z_0|)^2$$

eşitsizliğiyle sınırlıdır.

- $f$ 'nin ikinci mertebeden kismi türevleri sürekli ise ve  $x, y$  ve  $z$   $x_0, y_0, z_0$ 'dan  $dx, dy$  ve  $dz$  oranında değişiyorsa,

$$df = f_x(P_0) dx + f_y(P_0) dy + f_z(P_0) dz$$

**toplam diferansiyeli**, bunlardan dolayı  $f$ 'de olacak değişimin iyi bir yaklaşımıdır.

### ÖRNEK 10 3-Boyutlu Uzayda Bir Lineer Yaklaşım Bulmak

$(x_0, y_0, z_0) = (2, 1, 0)$  noktasında

$$f(x, y, z) = x^2 - xy + 3 \sin z$$

fonksiyonunun  $L(x, y, z)$  lineerizasyonunu bulun.

$$R: |x - 2| \leq 0.01, \quad |y - 1| \leq 0.02, \quad |z| \leq 0.01$$

dikdörtgeni üzerinde  $f$  yerine  $L$  yazmanın getireceği hatanın üst sınırını bulun.

**Çözüm** Rutin bir hesaplama

$$f(2, 1, 0) = 2, \quad f_x(2, 1, 0) = 3, \quad f_y(2, 1, 0) = -2, \quad f_z(2, 1, 0) = 3.$$

verir. Böylece,

$$L(x, y, z) = 2 + 3(x - 2) + (-2)(y - 1) + 3(z - 0) = 3x - 2y + 3z - 2$$

olur.

$$\begin{aligned} f_{xx} &= 2, & f_{yy} &= 0, & f_{zz} &= -3 \sin z, \\ f_{xy} &= -1, & f_{xz} &= 0, & f_{yz} &= 0, \end{aligned}$$

olduğu için,  $M$ 'yi rahatlıkla  $\max | -3 \sin z | = 3$  olarak alabiliriz. Buradan

$$|E| \leq \frac{1}{2} (3)(0.01 + 0.02 + 0.01)^2 = 0.0024$$

buluruz. Hata 0.0024'ten büyük olmayacağından.



## ALIŞTIRMALAR 14.6

### Yüzeylerin Teget Düzlemleri ve Normal Doğruları

1–8 alıştırmalarında, verilen yüzeyin  $P_0$ 'daki

- (a) teget düzleminin ve (b) normalinin denklemini bulun.

1.  $x^2 + y^2 + z^2 = 3$ ,  $P_0(1, 1, 2)$
2.  $x^2 + y^2 - z^2 = 18$ ,  $P_0(3, 5, -4)$
3.  $2z - x^2 = 0$ ,  $P_0(2, 0, 2)$
4.  $x^2 + 2xy - y^2 + z^2 = 7$ ,  $P_0(1, -1, 3)$
5.  $\cos \pi x - x^2y + e^{xz} + yz = 4$ ,  $P_0(0, 1, 2)$
6.  $x^2 - xy - y^2 - z = 0$ ,  $P_0(1, 1, -1)$
7.  $x + y + z = 1$ ,  $P_0(0, 1, 0)$
8.  $x^2 + y^2 - 2xy - x + 3y - z = -4$ ,  $P_0(2, -3, 18)$

9–12 alıştırmalarında, verilen yüzeye verilen noktada teget olan düzlemin denklemini bulun.

9.  $z = \ln(x^2 + y^2)$ ,  $(1, 0, 0)$
10.  $z = e^{-(x^2+y^2)}$ ,  $(0, 0, 1)$
11.  $z = \sqrt{y-x}$ ,  $(1, 2, 1)$
12.  $z = 4x^2 + y^2$ ,  $(1, 1, 5)$

### Eğrilerin Teğetleri

13–18 alıştırmalarında, yüzeylerin kesişim eğrilerine verilen noktada teget olan doğrunun parametrik denklemlerini bulun.

13. Yüzeyler:  $x + y^2 + 2z = 4$ ,  $x = 1$   
Nokta:  $(1, 1, 1)$
14. Yüzeyler:  $xyz = 1$ ,  $x^2 + 2y^2 + 3z^2 = 6$   
Nokta:  $(1, 1, 1)$
15. Yüzeyler:  $x^2 + 2y + 2z = 4$ ,  $y = 1$   
Nokta:  $(1, 1, 1/2)$
16. Yüzeyler:  $x + y^2 + z = 2$ ,  $y = 1$   
Nokta:  $(1/2, 1, 1/2)$
17. Yüzeyler:  $x^3 + 3x^2y^2 + y^3 + 4xy - z^2 = 0$ ,  $x^2 + y^2 + z^2 = 11$   
Nokta:  $(1, 1, 3)$
18. Yüzeyler:  $x^2 + y^2 = 4$ ,  $x^2 + y^2 - z = 0$   
Nokta:  $(\sqrt{2}, \sqrt{2}, 4)$

### Değişimi Öngörmek

19.  $P(x, y, z)$  noktası  $P_0(3, 4, 12)$ 'den  $3\mathbf{i} + 6\mathbf{j} - 2\mathbf{k}$  yönünde  $ds = 0.1$  birim ilerlerse,

$$f(x, y, z) = \ln \sqrt{x^2 + y^2 + z^2}$$

fonksiyonu ne kadar değişir?

20.  $P(x, y, z)$  noktası orijinden  $2\mathbf{i} + 2\mathbf{j} - 2\mathbf{k}$  yönünde  $ds = 0.1$  birim ilerlerse,

$$f(x, y, z) = e^x \cos yz$$

fonksiyonu ne kadar değişecektir?

21.  $P(x, y, z)$  noktası  $P_0(2, -1, 0)$ 'dan  $P_1(0, 1, 2)$  noktasına doğru  $ds = 0.2$  birim ilerlerse,

$$g(x, y, z) = x + x \cos z - y \sin z + y$$

fonksiyonu ne kadar değişecektir?

22.  $P(x, y, z)$  noktası  $P_0(-1, -1, -1)$ 'den orijine doğru  $ds = 0.1$  birim ilerlerse,

$$h(x, y, z) = \cos(\pi xy) + xz^2$$

fonksiyonu ne kadar değişecektir?

23. **Bir çember boyunca sıcaklık değişimi**  $xy$ -düzleminde bir  $(x, y)$  noktasındaki santigrad sıcaklığın  $T(x, y) = x \sin 2y$  olduğunu ve  $xy$ -düzleminde uzaklığın metre olarak ölçüldüğünü varsayılmak istenmektedir. Bir parçacık saat yönünde, merkezi orijinde olan 1 m yarıçaplı bir çember üzerinde 2 m/sn hızla ilerlemektedir.

- a. Parçacığa etkiyen sıcaklık  $P(1/2, \sqrt{3}/2)$  noktasında  $^{\circ}\text{C}/\text{m}$  olarak ne hızla değişmektedir?
- b. Parçacığa etkiyen sıcaklık  $P$ 'de  $^{\circ}\text{C}/\text{m}$  olarak ne hızla değişmektedir?

24. **Bir uzay eğrisi boyunca sıcaklık değişimi** Uzayda bir bölgedeki santigrad sıcaklık  $T(x, y, z) = 2x^2 - xyz$  ile verilmektedir. Bir parçacık bu bölgede ilerlemekte ve  $t$  anındaki konumu, zaman saniye ve uzaklık metre cinsinden ölçülmek üzere,  $x = 2t^2$ ,  $y = 3t$  ve  $z = -t^2$  ile verilmektedir.

- a. Parçacık  $P(8, 6, -4)$  noktasındayken, parçacığa etkiyen sıcaklık  $^{\circ}\text{C}/\text{m}$  olarak ne hızla değişmektedir?
- b. Parçacığa etkiyen sıcaklık  $P$ 'de  $^{\circ}\text{C}/\text{m}$  olarak ne hızla değişmektedir?

### Lineerizasyonlar Bulmak

25–30 alıştırmalarında, verilen her noktada fonksiyonun  $L(x, y)$  lineerizasyonunu bulun.

25.  $f(x, y) = x^2 + y^2 + 1$  at      a.  $(0, 0)$ ,      b.  $(1, 1)$   
 26.  $f(x, y) = (x + y + 2)^2$  at      a.  $(0, 0)$ ,      b.  $(1, 2)$   
 27.  $f(x, y) = 3x - 4y + 5$  at      a.  $(0, 0)$ ,      b.  $(1, 1)$   
 28.  $f(x, y) = x^3y^4$  at      a.  $(1, 1)$ ,      b.  $(0, 0)$   
 29.  $f(x, y) = e^x \cos y$  at      a.  $(0, 0)$ ,      b.  $(0, \pi/2)$   
 30.  $f(x, y) = e^{2y-x}$  at      a.  $(0, 0)$ ,      b.  $(1, 2)$

### Lineer Yaklaşımında Hataların Üst Sınırı

31–36 alıştırmalarında,  $f(x, y)$  fonksiyonunun  $P_0$ 'da  $L(x, y)$  lineerizasyonunu bulun. Sonra,  $f(x, y) \approx L(x, y)$  yaklaşımının  $R$  dikdörtgeni üzerindeki hatasının büyülüklüğü  $|E|$  için bir üst sınır bulun.

31.  $f(x, y) = x^2 - 3xy + 5$ ,  $P_0(2, 1)$ ,  
 $R$ :  $|x - 2| \leq 0.1$ ,  $|y - 1| \leq 0.1$   
 32.  $f(x, y) = (1/2)x^2 + xy + (1/4)y^2 + 3x - 3y + 4$ ,  $P_0(2, 2)$ ,  
 $R$ :  $|x - 2| \leq 0.1$ ,  $|y - 2| \leq 0.1$   
 33.  $f(x, y) = 1 + y + x \cos y$ ,  $P_0(0, 0)$ ,  
 $R$ :  $|x| \leq 0.2$ ,  $|y| \leq 0.2$   
 $(E'yi hesaplarken, |\cos y| \leq 1 \text{ ve } |\sin y| \leq 1 \text{ kullanın.})$   
 34.  $f(x, y) = xy^2 + y \cos(x - 1)$ ,  $P_0(1, 2)$ ,  
 $R$ :  $|x - 1| \leq 0.1$ ,  $|y - 2| \leq 0.1$   
 35.  $f(x, y) = e^x \cos y$ ,  $P_0(0, 0)$ ,  
 $R$ :  $|x| \leq 0.1$ ,  $|y| \leq 0.1$   
 $(E'yi hesaplarken,  $e^x \leq 1.11$  ve  $|\cos y| \leq 1$  kullanın.)$   
 36.  $f(x, y) = \ln x + \ln y$ ,  $P_0(1, 1)$ ,  
 $R$ :  $|x - 1| \leq 0.2$ ,  $|y - 1| \leq 0.2$

### Üç Değişkenli Fonksiyonlar

37–42 alıştırmalarındaki fonksiyonların verilen noktalardaki  $L(x, y, z)$  lineerizasyonlarını bulun.

37.  $f(x, y, z) = xy + yz + xz$   
 a.  $(1, 1, 1)$       b.  $(1, 0, 0)$       c.  $(0, 0, 0)$   
 38.  $f(x, y, z) = x^2 + y^2 + z^2$   
 a.  $(1, 1, 1)$       b.  $(0, 1, 0)$       c.  $(1, 0, 0)$   
 39.  $f(x, y, z) = \sqrt{x^2 + y^2 + z^2}$   
 a.  $(1, 0, 0)$       b.  $(1, 1, 0)$       c.  $(1, 2, 2)$

40.  $f(x, y, z) = (\sin xy)/z$   
 a.  $(\pi/2, 1, 1)$       b.  $(2, 0, 1)$   
 41.  $f(x, y, z) = e^x + \cos(y + z)$   
 a.  $(0, 0, 0)$       b.  $\left(0, \frac{\pi}{2}, 0\right)$       c.  $\left(0, \frac{\pi}{4}, \frac{\pi}{4}\right)$

42.  $f(x, y, z) = \tan^{-1}(xyz)$   
 a.  $(1, 0, 0)$       b.  $(1, 1, 0)$       c.  $(1, 1, 1)$   
 43–46 alıştırmalarında,  $f(x, y, z)$  fonksiyonunun  $P_0$ 'daki lineerizasyonu  $L(x, y, z)$ 'yi bulun. Sonra,  $R$  bölgesinde üzerinde  $f(x, y, z) \approx L(x, y, z)$  yaklaşımının getirdiği  $E$  hatasına bir üst sınır bulun.  
 43.  $f(x, y, z) = xz - 3yz + 2$  at  $P_0(1, 1, 2)$   
 $R$ :  $|x - 1| \leq 0.01$ ,  $|y - 1| \leq 0.01$ ,  $|z - 2| \leq 0.02$   
 44.  $f(x, y, z) = x^2 + xy + yz + (1/4)z^2$  at  $P_0(1, 1, 2)$   
 $R$ :  $|x - 1| \leq 0.01$ ,  $|y - 1| \leq 0.01$ ,  $|z - 2| \leq 0.08$   
 45.  $f(x, y, z) = xy + 2yz - 3xz$  at  $P_0(1, 1, 0)$   
 $R$ :  $|x - 1| \leq 0.01$ ,  $|y - 1| \leq 0.01$ ,  $|z| \leq 0.01$   
 46.  $f(x, y, z) = \sqrt{2} \cos x \sin(y + z)$  at  $P_0(0, 0, \pi/4)$   
 $R$ :  $|x| \leq 0.01$ ,  $|y| \leq 0.01$ ,  $|z - \pi/4| \leq 0.01$

### Hata Öngörmek; Değişime Duyarlılık

47. **Maksimum hatayı öngörmek**  $T$ 'nin,  $x$  ve  $y$ ,  $|dx| = 0.1$  ve  $|dy| = 0.02$  olası en büyük hatalarıyla, 2 ve  $\ln 2$  olarak verilmek üzere,  $T = x(e^y + e^{-y})$  formülünden bulunacağını varsayıñ.  $T$ 'nin hesaplanan değerindeki olası en büyük hatayı bulun.  
 48. **Bir silindirin hacmini öngörmek**  $\%1$  hatayla ölçülen  $r$  ve  $h$  değerleriyle,  $V = \pi r^2 h$  ne kadar doğru olarak hesaplanabilir?  
 49. **Maksimum yüzde hata** milimetreye yuvarlama ile  $r = 5.0 \text{ cm}$  ve  $h = 12.0 \text{ cm}$  ise,  $V = \pi r^2 h$ 'yi hesaplarken, maksimum yüzde hatanın ne olmasını bekleyebiliriz?  
 50. **Elektriksel dirençte değişim**  $R_1$  ve  $R_2$  dirençlerini paralel bağlayarak üretilen  $R$  direnci (Şekle bakın)

$$\frac{1}{R} = \frac{1}{R_1} + \frac{1}{R_2}$$

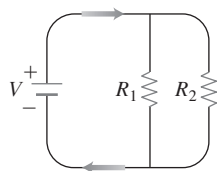
formülüyle hesaplanabilir.

a.

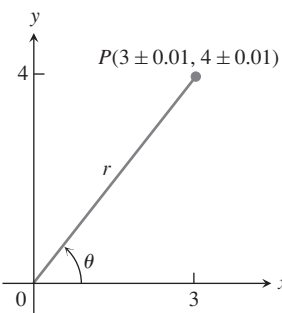
$$dR = \left(\frac{R}{R_1}\right)^2 dR_1 + \left(\frac{R}{R_2}\right)^2 dR_2$$

olduğunu gösterin.

- b. Bir sonraki sayfada gösterildiği gibi, iki dirençli bir devreyi  $R_1 = 100 \text{ ohm}$  ve  $R_2 = 400 \text{ ohm}$  olacak şekilde tasarlardınız, ama üretimde her zaman değişiklikler olur ve firmanızın satın aldığı dirençler muhtemelen tam olarak bu değerlere sahip olmayacağındır.  $R$ 'nın değeri  $R_1$ 'deki değişimlere mi,  $R_2$ 'deki değişimlere mi daha duyarlı olacaktır? Yanınızı açıklayın.



- c. Şekildeki gibi, bir başka devrede  $R_1$ 'i 20'den 20.1 ohm'a,  $R_2$ 'yi de 25 ten 24.9 ohm'a değiştirmeyi planlıyorsunuz. Bu değişiklikten dolayı  $R$ 'de meydana gelen değişim yaklaşık olarak yüzde kaçtır?
51. Uzunluk ve genişlik ölçümlerinden uzun ince bir dikdörtgenin alanını hesaplamayı planlıyorsunuz. Hangi boyutu daha dikkatli ölçmelisiniz? Yanıtınızı açıklayın.
52. a.  $(1, 0)$  noktası civarında,  $f(x, y) = x^2(y + 1)$  fonksiyonu  $x$ 'teki değişimlere mi, yoksa  $y$ 'deki değişimlere mi daha duyarlıdır? Yanıtınızı açıklayın.
- b.  $dx$ 'in  $dy$ 'ye hangi oranı  $df$ 'yi  $(1, 0)$ 'da sıfır yapar?
53. Koordinat dönüşümlerinde hata taşınması



- a. Aşağıda gösterildiği gibi,  $x = 3 \pm 0.01$  ve  $y = 4 \pm 0.01$  ise,  $r^2 = x^2 + y^2$  ve  $\theta = \tan^{-1}(y/x)$  formüllerinden  $P(x, y)$  noktasının  $r$  ve  $\theta$  kutupsal koordinatlarını yaklaşık ne kadar hassaslıkla hesaplayabilirsiniz? Tahminlerinizi  $r$  ve  $\theta$ 'nın  $(x_0, y_0) = (3, 4)$  noktasındaki değerlerinin bir yüzdesi olarak tanımlayın.
- b.  $(x_0, y_0) = (3, 4)$  noktasında,  $r$  ve  $\theta$ 'nın değerleri  $x$ 'teki değişimlere mi,  $y$ 'deki değişimlere mi daha duyarlıdır? Yanıtınızı açıklayın.
54. Bir soda kutusu tasarlama Standart bir 12 onsluk gazoz kutusu esasında  $r = 1$  inç yarıçaplı ve  $h = 5$  inç yüksekliğinde bir silindirdir.
- a. Bu boyutlarda, kutunun hacminin yükseklikteki küçük bir değişimle karşılık yarıçaptaki küçük bir değişimle duyarlılığı nedir?
- b. Daha fazla soda içeriyormuş gibi *görünen*, ama aslında tam 12 ons içeren bir gazoz kutusu tasarlayabilir misiniz? Boyutları ne olur? (Birden fazla doğru yanıt vardır.)

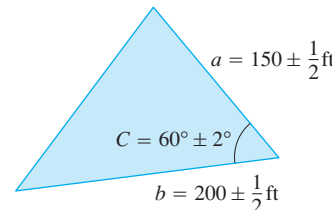
55.  **$2 \times 2$  determinantın değeri**  $|a|$  değeri  $|b|, |c|$  ve  $|d|$ 'den çok daha büyükse,

$$f(a, b, c, d) = \begin{vmatrix} a & b \\ c & d \end{vmatrix}$$

determinantının değeri  $a, b, c$  ve  $d$ 'den hangisine daha duyarlıdır? Yanıtınızı açıklayın.

56. **Maksimum hata öngörmek**  $u = xe^y + y \sin z$  olduğunu ve  $x, y$  ve  $z$ 'nin en büyük olası hatalarının sırasıyla  $\pm 0.2, \pm 0.6$  ve  $\pm \pi/180$  olduğunu varsayıñ.  $u$ 'yu ölçülen  $x = 2, y = \ln 3, z = \pi/2$  değerlerinden hesaplamada ortaya çıkacak en büyük olası hatayı öngörün.
57. **Wilson miktar** Ekonomideki Wilson miktar formülü, bir depo için ismarlanacak en ekonomik miktar  $Q$ 'nun (radyo, ayakkabı, süpürge gibi),  $K$  siparişi vermenin masrafı,  $M$  hafta başına satılan mal sayısı ve  $h$  her malın haftalık depolama masrafı (yer, bakım, güvenlik, vb masrafı) olmak üzere,  $Q = \sqrt{2KM/h}$ , olduğunu söyler.  $(K_0, M_0, h_0) = (2, 20, 0.05)$  noktası civarında  $Q$  değeri  $K, M$  ve  $h$  değişkenlerinin hangisine daha duyarlıdır? Yanıtınızı açıklayın.

58. **Üçgensel bir alanın incelenmesi** Bir üçgenin alanı,  $a$  ve  $b$  üçgenin iki kenarının uzunluğu ve  $C$  de bu ikisinin arasındaki açı olmak üzere,  $(1/2)ab \sin C$  ile verilmektedir. Üçgen bir bölgeyi incelerken,  $a, b$  ve  $C$ 'yi sırayla 150 ft, 200 ft ve  $60^\circ$  olarak ölçuyorsunuz.  $a$  ve  $b$  değerleriniz yarınl fit fazla ve  $C$ 'yi ölçümünüz  $2^\circ$  fazlaysa, alan hesaplamınız ne kadar hatalı olabilir? Şekle bakın. Radyan kullanmayı hatırlayın.



### Teori ve Alıştırmalar

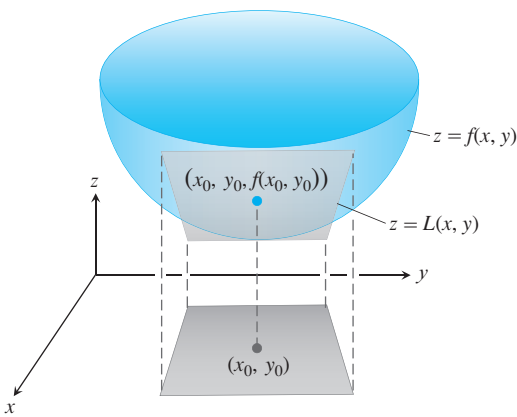
59.  **$f(x, y)$ 'nin lineerizasyonu bir teğet düzlem yaklaşımıdır** Diferansiyellenebilir bir  $f$  fonksiyonuya tanımlanan  $z = f(x, y)$  yüzeyi üzerinde bir  $P_0(x_0, y_0)$ ,  $f(x_0, y_0)$  noktasındaki teğet düzlemin

$$f_x(x_0, y_0)(x - x_0) + f_y(x_0, y_0)(y - y_0) - (z - f(x_0, y_0)) = 0$$

veya

$$z = f(x_0, y_0) + f_x(x_0, y_0)(x - x_0) + f_y(x_0, y_0)(y - y_0)$$

düzlemi olduğunu gösterin. Yani  $P_0$ 'daki teğet düzlem,  $f$ 'nin  $P_0$ 'daki lineerizasyonunun grafiğidir (Şekle bakın).



- 60. Bir çemberin involutu boyunca değişim**  $f(x, y) = x^2 + y^2$ , nin

$$\mathbf{r}(t) = (\cos t + t \sin t)\mathbf{i} + (\sin t - t \cos t)\mathbf{j}, \quad t > 0$$

eğrisinin birim teget vektörü yönündeki doğrultu türevini bulun.

- 61. Bir helis boyunca değişim**  $f(x, y, z) = x^2 + y^2 + z^2$ , nin  $t = -\pi/4, 0$  ve  $\pi/4$  olduğu noktalarda

$$\mathbf{r}(t) = (\cos t)\mathbf{i} + (\sin t)\mathbf{j} + t\mathbf{k}$$

helisinin birim teget vektörü yönündeki türevini bulun.  $f$  fonksiyonu helis üzerindeki bir  $P(x, y, z)$  noktasından orijine olan uzaklığın karesini verir. Burada hesaplanan türevler,  $P$ 'nin  $t = -\pi/4, 0$  ve  $\pi/4$  olduğu noktalardan geçtiği sırada, uzaklığın karesinin  $t$ 'ye göre değişim oranlarını verir.

- 62. Normal eğriler** Bir kesim noktasında, bir düzgün eğrinin hız vektörü aynı noktadaki  $\nabla f$ 'nin skaler bir katı ise, eğri  $f(x, y, z) = c$  yüzeyine *normal*dir.

$t = 1$  iken

$$\mathbf{r}(t) = \sqrt{t}\mathbf{i} + \sqrt{t}\mathbf{j} - \frac{1}{4}(t+3)\mathbf{k}$$

eğrisinin,  $x^2 + y^2 - z = 3$  yüzeyine normal olduğunu gösterin.

- 63. Teget eğriler** Bir kesim noktasında, eğrinin hız vektörü o noktadaki  $\nabla f$ 'ye ortogonalse, eğri yüzeye *tegettir*.

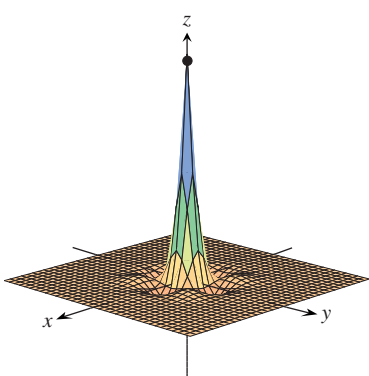
$t = 1$  iken

$$\mathbf{r}(t) = \sqrt{t}\mathbf{i} + \sqrt{t}\mathbf{j} + (2t-1)\mathbf{k}$$

eğrisinin,  $x^2 + y^2 - z = 1$  yüzeyine teget olduğunu gösterin.

## 14.7

### Ekstremum Değerler ve Eyer Noktaları

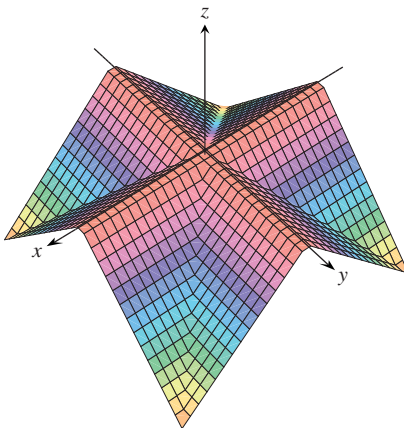


**ŞEKİL 14.36**  $z = (\cos x)(\cos y)e^{-\sqrt{x^2+y^2}}$  fonksiyonunun kare şeklindeki bir  $|x| \leq 3\pi/2, |y| \leq 3\pi/2$  bölgesinde degeri 1 olan bir maksimumu ve degeri yaklaşık  $-0.067$  olan bir minimumu vardır.

İki değişkenli sürekli fonksiyonlar, kapalı ve sınırlı tanım kümelerinde mutlak maksimum ve minimum değerlerini alırlar (Bkz. Şekil 14.36 ve 14.37). Bu bölümde, fonksiyonların birinci mertebeden kısmi türevlerini inceleyerek, ekstremum değerleri arama işini daraltabileceğimizi göreceğiz. İki değişkenli bir fonksiyonun ekstremum değerleri, ancak tanım kumesinin sınır noktalarında veya birinci mertebeden kısmi türevlerin sıfır olduğu veya birinci mertebeden kısmi türevlerden birinin yada ikisinin birden bulunmadığı iç noktalarda bulunabilir. Bununla birlikte, bir  $(a, b)$  iç noktasında türevlerin bulunmaması veya sıfır olması her zaman bir ekstremum değerin varlığını işaret etmez. Fonksiyonun grafiği olan yüzey,  $(a, b)$  noktasının üst tarafında bir eyer şeklinde olabilir ve burada teget düzlemini kesebilir.

#### Yerel Ekstremum Değerler İçin Türev Testleri

Tek değişkenli bir fonksiyonun yerel ekstremum değerlerini bulmak için, grafiğin yatay bir tegetinin bulunduğu noktaları ararız. Sonra böyle noktalarda yerel maksimumları, yerel minimumları ve büküm noktalarını ararız. İki değişkenli bir  $f(x, y)$  fonksiyonu için,  $z = f(x, y)$  yüzeyinin yatay bir teget düzleminin bulunduğu noktaları ararız. Böyle noktalarda yerel maksimumları, yerel minimumları ve eyer noktalarını (eyer noktaları hakkında birazdan daha fazla bilgi verelecektir) ararız.



**ŞEKİL 14.37** (10, 15, 20) noktasından görülen

$$z = \frac{1}{2}(|x| - |y|) - |x| - |y|$$

“çatı yüzeyi”. Tanımlayıcı fonksiyonun  $|x| \leq a, |y| \leq a$  kare bölgesinde değeri 0 olan bir maksimumu ve değeri  $-a$  olan bir minimumu vardır.

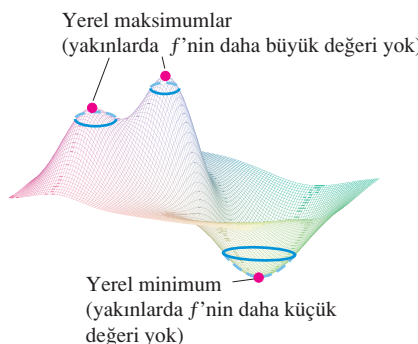
### TANIMLAR Yerel Maksimum, Yerel Minimum

$f(x, y)$  fonksiyonu  $(a, b)$  noktasını içeren bir  $R$  bölgesinde tanımlanmış olsun.

- Merkezi  $(a, b)$ 'de olan bir açık daire içindeki bütün  $(x, y)$  tanım kümesi noktaları için  $f(a, b) \geq f(x, y)$  ise,  $f(a, b)$   $f$ 'nin bir **yerel maksimumudur**.
- Merkezi  $(a, b)$ 'de olan bir açık daire içindeki bütün  $(x, y)$  tanım kümesi noktaları için  $f(a, b) \leq f(x, y)$  ise,  $f(a, b)$   $f$ 'nin bir **yerel minimumudur**.

Yerel maksimumlar  $z = f(x, y)$  yüzeyi üzerindeki dağ tepelerine, yerel minimumlar ise ova diperlerine karşılık gelirler (Şekil 14.38). Böyle noktalarda, varsa, teğet düzlemler yataydır. Yerel ekstremumlara ayrıca **bağılı ekstremumlar** da denir.

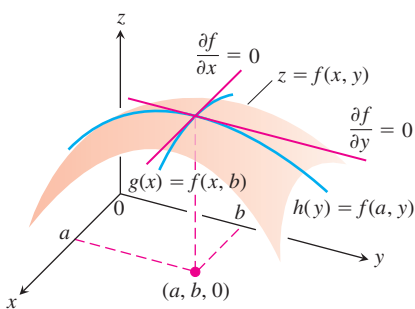
Tek değişkenli fonksiyonlarda olduğu gibi, yerel ekstremumları tanımlamanın anahtar birinci türev testidir.



**ŞEKİL 14.38** Bir yerel maksimum bir dağ tepesi, bir yerel minimum ise bir ova dibidir.

### TEOREM 10 Yerel Ekstremum Değerler İçin Birinci Türev Testi

$f(x, y)$ 'nin, tanım kümesinin bir  $(a, b)$  iç noktasında bir yerel maksimum veya minimum değeri varsa ve o noktada birinci mertebe kısmi türevleri de varsa,  $f_x(a, b) = 0$  ve  $f_y(a, b) = 0$  olur.



**ŞEKİL 14.39**  $f$ 'nin  $x = a, y = b$  noktasında bir yerel maksimum değeri varsa  $f_x(a, b)$  ve  $f_y(a, b)$  birinci mertebe kısmi türevlerinin ikisi de sıfırdır.

**İspat**  $(a, b)$  noktasında  $f$ 'nin bir yerel ekstremum değeri varsa  $g(x) = f(x, b)$  fonksiyonunun  $x = a$  noktasında bir yerel ekstremum değeri vardır (Şekil 14.39). Bu nedenle  $g'(a) = 0$  dir (Bölüm 4, Teorem 2). Şimdi,  $g'(a) = f_x(a, b)$  olduğundan  $f_x(a, b) = 0$  olur. Benzer düşünceyle,  $h(y) = f(a, y)$  fonksiyonu  $f_y(a, b) = 0$  olduğunu gösterir. ■

$f_x(a, b) = 0$  ve  $f_y(a, b) = 0$  değerlerini,  $z = f(x, y)$  yüzeyinin  $(a, b)$ 'deki teğet düzlemini

$$f_x(a, b)(x - a) + f_y(a, b)(y - b) - (z - f(a, b)) = 0$$

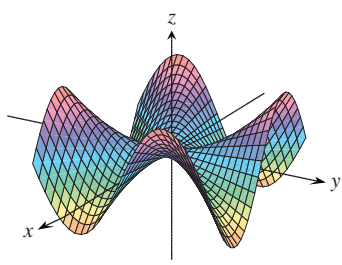
denkleminde yerine koyarsak, denklem

$$0 \cdot (x - a) + 0 \cdot (y - b) - z + f(a, b) = 0$$

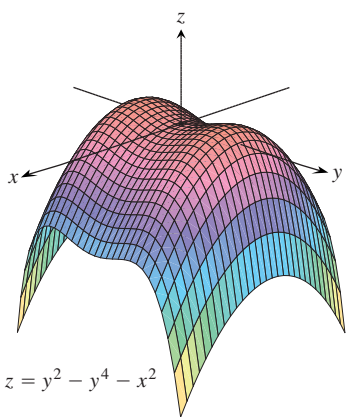
veya

$$z = f(a, b)$$

haline indirgenir.



$$z = \frac{xy(x^2 - y^2)}{x^2 + y^2}$$



**ŞEKİL 14.40** Orijinde eyer noktaları.

Yani, Teorem 10, yüzeyin bir yerel ekstremum değerinde, orada bir teget düzlem bulunuşluğu koşuluyla, gerçekten de yatay bir teget düzlemini olduğunu söylemektedir.

#### TANIM Kritik Nokta

Bir  $f(x, y)$  fonksiyonunun tanım kümesinin bir iç noktasında hem  $f_x$  hem de  $f_y$  sıfır ise veya  $f_x$  ve  $f_y$ 'den biri veya ikisi de yoksa bu nokta  $f$ 'nın bir **kritik noktası**dır.

Teorem 10'a göre bir  $f(x, y)$  fonksiyonunun ekstremum değerler alabileceği yegane noktalar kritik noktalar ve sınır noktalarıdır. Tek değişkenli diferansiyellenebilir fonksiyonlarda olduğu gibi, her kritik nokta bir yerel ekstremuma neden olmaz. Tek değişkenli diferansiyellenebilir bir fonksiyonun bir büküm noktası olabilir. İki değişkenli diferansiyellenebilir bir fonksiyonun bir *eyer noktası* olabilir.

#### TANIM Eyer Noktası

Diferansiyellenebilir bir  $f(x, y)$  fonksiyonunun bir kritik noktası  $(a, b)$  olsun. Merkezi  $(a, b)$ 'de olan her açık dairede hem  $f(x, y) > f(a, b)$  olacak şekilde  $(x, y)$  tanım kümesi noktaları ve hem de  $f(x, y) < f(a, b)$  olacak şekilde  $(x, y)$  tanım kümesi noktaları varsa  $(a, b)$  kritik noktası bir **eyer noktası**dır.  $z = f(x, y)$  yüzeyinde buna karşılık gelen  $(a, b, f(a, b))$  noktasına yüzeyin bir eyer noktası denir (Şekil 14.40).

#### ÖRNEK 1 Yerel Ekstremum Değerleri Bulmak

$f(x, y) = x^2 + y^2$ 'nin yerel ekstremum değerlerini bulun.

**Cözüm**  $f$ 'nin tanım kümesi bütün düzlemdir (yani sınır noktası yoktur) ve  $f_x = 2x$  ile  $f_y = 2y$  kısmi türevleri her yerde tanımlıdır. Dolayısıyla, yerel ekstremum değerler sadece

$$f_x = 2x = 0 \quad \text{ve} \quad f_y = 2y = 0$$

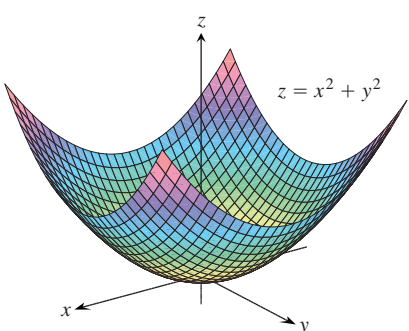
olan yerlerde bulunabilir. Tek olasılık  $f$ 'nin değerinin sıfır olduğu orijindir.  $f$  asla negatif olmadığı için, orijinin bir yerel minimum verdigini görürüz (Şekil 14.41). ■

#### ÖRNEK 2 Bir Eyer Noktası Belirlemek

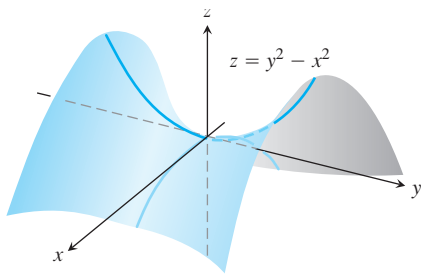
$f(x, y) = y^2 - x^2$  ekstremum değerlerini (varsıa) bulun.

**Cözüm**  $f$ 'nin tanım kümesi bütün düzlemdir (yani sınır noktası yoktur) ve  $f_x = -2x$  ile  $f_y = 2y$  kısmi türevleri her yerde tanımlıdır. Dolayısıyla, yerel ekstremum değerler sadece orijinde,  $(0, 0)$ 'da bulunabilir. Ancak, pozitif  $x$ -ekseni boyunca  $f$ 'nin değeri  $f(x, 0) = -x^2 < 0$ 'dır; pozitif  $y$ -ekseni boyunca  $f$ 'nin değeri  $f(0, y) = 2y > 0$ 'dır. Dolayısıyla  $xy$ -düzleminde merkezi  $(0, 0)$ 'da olan her açık daire, hem fonksiyonun pozitif olduğu noktalar ve hem de fonksiyonun negatif olduğu noktalar içerir. Fonksiyonun orijinde bir yerel ekstremum değeri yerine bir eyer noktası vardır (Şekil 14.42). Fonksiyonun hiç yerel ekstremum değerin olmadığı sonucuna varız. ■

$R$ 'nin bir  $(a, b)$  iç noktasında  $f_x = f_y = 0$  olması  $f$ 'nin orada bir yerel ekstremum değerinin olup olmadığını söylemeye yeterli değildir. Ancak,  $f$  ile  $f$ 'nin birinci ve ikinci mertebe kısmi türevleri  $R$ 'de sürekli ise, Bölüm 14.10'da ispatlanacak olan aşağıdaki teoremden daha fazlasını öğrenebiliriz.



**ŞEKİL 14.41**  $f(x, y) = x^2 + y^2$  fonksiyonunun grafiği  $z = x^2 + y^2$  paraboloididir. Fonksiyonun orijinde, değeri 0 olan bir yerel minimumu vardır (Örnek 1).



**ŞEKİL 14.42** Orijin,  $f(x, y) = y^2 - x^2$  fonksiyonunun bir eyer noktasıdır. Yerel ekstremum değerleri yoktur (Örnek 2).

### TEOREM 11 Yerel Ekstrem Değerler İçin İkinci Türev Testi

$(a, b)$  merkezli bir dairede  $f(x, y)$  ile birinci ve ikinci mertebeden kısmi türevlerinin sürekli olduğunu ve  $f_x(a, b) = f_y(a, b) = 0$  olduğunu varsayıyın. Bu durumda

- $(a, b)$ 'de  $f_{xx} < 0$  ve  $f_{xx}f_{yy} - f_{xy}^2 > 0$  ise,  $f$ 'nin  $(a, b)$ 'de bir **yerel maksimumu** vardır.
- $(a, b)$ 'de  $f_{xx} > 0$  ve  $f_{xx}f_{yy} - f_{xy}^2 > 0$  ise,  $f$ 'nin  $(a, b)$ 'de bir **yerel minimumu** vardır.
- $(a, b)$ 'de  $f_{xx}f_{yy} - f_{xy}^2 < 0$  ise,  $f$ 'nin  $(a, b)$ 'de bir **eyer noktası** vardır.
- $(a, b)$ 'de  $f_{xx}f_{yy} - f_{xy}^2 = 0$  ise, **test sonuçsuzdur**. Bu durumda,  $f$ 'nin  $(a, b)$ 'deki davranışını belirlemek için başka bir yol bulmak gereklidir.

$f_{xx}f_{yy} - f_{xy}^2$  ifadesine  $f$ 'nin **diskriminantı** denir. Bazen determinant şéklini hatırlamak daha kolaydır:

$$f_{xx}f_{yy} - f_{xy}^2 = \begin{vmatrix} f_{xx} & f_{xy} \\ f_{xy} & f_{yy} \end{vmatrix}$$

Teorem 11, diskriminant  $(a, b)$  noktasında pozitif ise, yüzeyin her yönde aynı şekilde eğrildiğini söyler:  $f_{xx} < 0$  ise, bir yerel maksimum oluşturarak aşağı;  $f_{xx} > 0$  ise bir yerel minimum oluşturarak yukarı. Diğer yandan, diskriminant  $(a, b)$ 'de negatifse, yüzey bazı yönlerde yukarı, bazlarında ise aşağı kıvrılır, dolayısıyla bir eyer noktası elde edilir.

### ÖRNEK 3 Yerel Ekstremum Değerler Bulmak

Aşağıdaki fonksiyonun yerel ekstremum değerlerini bulun.

$$f(x, y) = xy - x^2 - y^2 - 2x - 2y + 4$$

**Cözüm** Fonksiyon her  $x$  ve  $y$  için tanımlı ve türetilibildir ve tanım kümesinin sınır noktası yoktur. Dolayısıyla fonksiyonun sadece  $f_x$  ile  $f_y$ 'nin aynı anda sıfır oldukları yerde ekstremum değerleri vardır. Bu

$$f_x = y - 2x - 2 = 0, \quad f_y = x - 2y - 2 = 0$$

veya

$$x = y = -2$$

verir. Dolayısıyla,  $(-2, -2)$  noktası  $f$ 'nin bir ekstremum değer alabileceği tek noktadır. Bir ekstremum değerinin var olup olmadığını anlamak için,

$$f_{xx} = -2, \quad f_{yy} = -2, \quad f_{xy} = 1$$

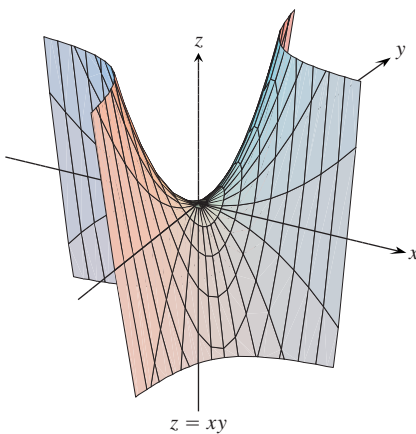
kısmi türevlerini hesaplarız.  $f$ 'nin  $(a, b) = (-2, -2)$ 'deki diskriminantını

$$f_{xx}f_{yy} - f_{xy}^2 = (-2)(-2) - (1)^2 = 4 - 1 = 3$$

olarak buluruz.

$$f_{xx} < 0 \quad \text{ve} \quad f_{xx}f_{yy} - f_{xy}^2 > 0$$

birleşimi bize  $f$ 'nin  $(-2, -2)$ 'de bir yerel maksimum değerinin var olduğunu söyler.  $f$ 'nin bu noktadaki değeri  $f(-2, -2) = 8$ 'dır. ■



**ŞEKİL 14.43**  $z = xy$  yüzeyinin orijinde bir eyer noktası vardır (Örnek 4).

#### ÖRNEK 4 Yerel Eksremum Değerler Aramak

$f(x, y) = xy$ 'nin yerel ekstrem değerlerini bulun.

**ÇÖZÜM**  $f$  her yerde türetilebilir olduğundan (Şekil 14.43), ekstremum değerleri sadece

$$f_x = y = 0 \quad \text{ve} \quad f_y = x = 0$$

olan noktalarda olabilir. Yani, orijin  $f$ 'nin bir ekstrem değerinin olabileceği tek noktadır. Burada ne olduğunu görmek için,

$$f_{xx} = 0, \quad f_{yy} = 0, \quad f_{xy} = 1$$

kısımlı türevlerini hesaplarız.

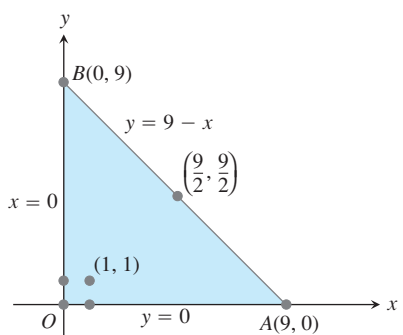
$$f_{xx}f_{yy} - f_{xy}^2 = -1$$

negatiftir. Dolayısıyla,  $(0, 0)$ 'da fonksiyonun bir eyer noktası vardır.  $f(x, y) = xy$ 'nin yerel ekstrem değerleri bulunmadığı sonucuna varız. ■

#### Kapalı Sınırlı Bölgelerde Mutlak Maksimum ve Minimumlar

Kapalı ve sınırlı bir  $R$  bölgesinde sürekli bir  $f(x, y)$  fonksiyonunun mutlak ekstremumlarını aramayı üç adımda düzenleriz.

1.  $R$ 'de,  $f$ 'nin yerel maksimum veya minimumlarının bulunabileceği iç noktaları listeleyin ve bu noktalarda  $f$ 'yi hesaplayın. Bunlar  $f$ 'nin kritik noktalarıdır.
2.  $R$ 'de,  $f$ 'nin yerel maksimum veya minimumlarının bulunduğu sınır noktalarını listeleyin ve bu noktalarda  $f$ 'yi hesaplayın. Bunun nasıl yapılacağını kısaca göstereceğiz.
3. Listelerden  $f$ 'nin maksimum ve minimum değerlerini bulun. Bunlar  $f$ 'nin  $R$  üzerindeki mutlak maksimum ve minimum değerleridir. Mutlak maksimum ve minimumlar aynı zamanda yerel maksimum ve minimumlar olduğu için,  $f$ 'nin mutlak minimum ve maksimum değerleri Adım 1 ve 2'de yapılan listelerde bulunmalıdır.



**ŞEKİL 14.44** Bu üçgensel bölge Örnek 5'teki fonksiyonun tanım kümesidir.

#### ÖRNEK 5 Mutlak Ekstremumlar Bulmak

Birinci dörte bir bölgede,  $x = 0$ ,  $y = 0$ ,  $y = 9 - x$  doğrularıyla çevrili üçgensel bölgede

$$f(x, y) = 2 + 2x + 2y - x^2 - y^2$$

fonksiyonunun mutlak maksimum ve minimum değerlerini bulun.

**Çözüm**  $f$  diferansiyellenebilir olduğundan,  $f$ 'nin bu değerleri alabileceği yegane yerler üçgenin (Şekil 14.44) içinde  $f_x = f_y = 0$  olan noktalar ve sınır üzerindeki noktalardır.

**(a) İç noktalar.** Bunlar için,

$$f_x = 2 - 2x = 0, \quad f_y = 2 - 2y = 0$$

buluruz ve bu da  $(x, y) = (1, 1)$  noktasını verir.  $f$ 'nin oradaki değeri

$$f(1, 1) = 4$$

olur.

**(b) Sınır noktaları.** Her seferinde üçgenin bir kenarını ele alırız:

(i) OA doğru parçası üzerinde,  $y = 0$ 'dır.

$$f(x, y) = f(x, 0) = 2 + 2x - x^2$$

fonksiyonuna artık  $x$ 'in  $0 \leq x \leq 9$  kapalı aralığında tanımlı bir fonksiyon olarak bakabiliyoruz. Ekstremum değerleri (Bölüm 4'ten biliyoruz)

$$f(0, 0) = 2 \quad \text{olan } x = 0$$

$$f(9, 0) = 2 + 18 - 81 = -61 \quad \text{olan } x = 9$$

uç noktalarında ve  $f'(x, 0) = 2 - 2x = 0$  olan iç noktalarda olabilir.  $f'(x, 0) = 0$  olan tek nokta  $x = 1$ 'dir ve burada

$$f(x, 0) = f(1, 0) = 3$$

bulunur.

(ii) OB doğru parçası üzerinde,  $x = 0$ 'dır ve

$$f(x, y) = f(0, y) = 2 + 2y - y^2$$

olur.  $f$ 'nin  $x$  ve  $y$ 'ye göre simetrisinden ve demin yaptığımız analizden bu doğru parçasındaki adayların

$$f(0, 0) = 2, \quad f(0, 9) = -61, \quad f(0, 1) = 3$$

olduğunu biliyoruz.

(iii)  $AB$ 'nin uç noktalarında  $f$ 'nin değerlerini zaten bulduk, dolayısıyla sadece  $AB$ 'nin iç noktalarına baktamız yeterlidir.  $y = 9 - x$  ile,

$$f(x, y) = 2 + 2x + 2(9 - x) - x^2 - (9 - x)^2 = -61 + 18x - 2x^2$$

elde ederiz.  $f'(x, 9 - x) = 18 - 4x = 0$  almak,

$$x = \frac{18}{4} = \frac{9}{2}$$

verir. Bu  $x$  değerinde,

$$y = 9 - \frac{9}{2} = \frac{9}{2} \quad \text{ve} \quad f(x, y) = f\left(\frac{9}{2}, \frac{9}{2}\right) = -\frac{41}{2}$$

olur.

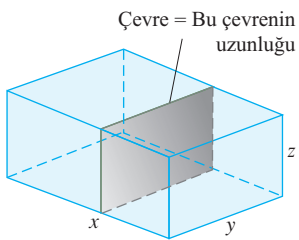
**Özet** Bütün adayları sıralarız:  $4, 2, -61, 3, -(41/2)$ . Maksimum,  $f$ 'nin  $(1, 1)$ 'de aldığı 4 değeridir. Minimum,  $f$ 'nin  $(0, 9)$  ve  $(9, 0)$ 'da aldığı  $-61$  değeridir. ■

Değişkenleri üzerinde cebirsel kısıtlamalar bulunan ekstremum değer problemlerini çözmek genellikle bir sonraki bölümde ele alınan Lagrange Çarpanları yöntemini gerektirir. Fakat, bazen bu gibi problemleri sıradaki örnekte olduğu gibi doğrudan çözebiliriz.

### ÖRNEK 6 Bir Hacim Problemini Bir Kısıt İle Çözmek

Bir kargo şirketi, sadece uzunluğunun ve çevresinin (bir dik-kesitinin çevresi) toplamı 108 inç'i geçmeyen, dikdörtgensel kutuları kabul etmektedir. En büyük hacimli, kabul edilebilir kutunun boyutlarını bulun.

**Çözüm**  $x, y$  ve  $z$  dikdörtgensel kutunun sırasıyla uzunluğunu, genişliğini ve yüksekliğini göstersin. Çevre  $2y + 2z$ 'dir. Kutunun (Şekil 14.45)  $V = xyz$  hacmini  $x + 2y + 2z = 108$



**ŞEKİL 14.45** Örnek 6'daki kutu

(kargo şirketinin kabul ettiği en büyük kutu) bağıntısı ile maksimize etmek istiyoruz. Böylece, kutunun hacmini iki değişkenli bir fonksiyon olarak yazabiliriz.

$$\begin{aligned} V(y, z) &= (108 - 2y - 2z)yz \quad V = xyz \text{ ve} \\ &= 108yz - 2y^2z - 2yz^2 \quad x = 108 - 2y - 2z \end{aligned}$$

Birinci mertebeden kısmi türevleri sıfır eşitlemek,

$$V_y(y, z) = 108z - 4yz - 2z^2 = (108 - 4y - 2z)z = 0$$

$$V_z(y, z) = 108y - 2y^2 - 4yz = (108 - 2y - 4z)y = 0,$$

$(0, 0), (0, 54), (54, 0)$  ve  $(18, 18)$  kritik noktalarını verir.  $(0, 0), (0, 54)$  ve  $(54, 0)$  da hacim sıfırdır ve maksimum değildir.  $(18, 18)$  noktasında İkinci Türev Testini (Teorem 11) uygularız:

$$V_{yy} = -4z, \quad V_{zz} = -4y, \quad V_{yz} = 108 - 4y - 4z$$

Buradan,

$$V_{yy}V_{zz} - V_{yz}^2 = 16yz - 16(27 - y - z)^2$$

buluruz. Böylece

$$V_{yy}(18, 18) = -4(18) < 0$$

ve

$$[V_{yy}V_{zz} - V_{yz}^2]_{(18,18)} = 16(18)(18) - 16(-9)^2 > 0$$

olması  $(18, 18)$ 'ın maksimum değeri vermesini gerektirir. Paketin boyutları,  $x = 108 - 2(18) - 2(18) = 36$  inç,  $y = 18$  inç ve  $z = 18$  inç. Maksimum hacim  $V = (36)(18)(18) = 11,664$  inç<sup>3</sup> veya 6.75 ft<sup>3</sup>'dir. ■

Teorem 10'un gücüne rağmen, sınırlarını hatırlamanızı istiyoruz. Teorem, fonksiyonun türevlerinin sıfırdan farklı olduğu fakat ekstremum değerlerin bulunabileceği sınır noktalarına uygulanamaz. Ayrıca  $f_x$ 'in veya  $f_y$ 'nin bulunmadığı noktalara da uygulanamaz.

### Max-Min Testlerinin Özeti

$f(x, y)$ 'nin ekstremum değerleri sadece

- i.  $f$ 'nin tanım kümesinin sınır noktalarında,
- ii. kritik noktalarda ( $f_x = f_y = 0$  olan iç noktalarda veya  $f_x$  ile  $f_y$ 'den birinin veya ikisinin bulunmadığı noktalarda) bulunabilir.

Merkezi bir  $(a, b)$  noktasında olan bir daire üzerinde  $f$ 'nin birinci ve ikinci mertebe kısmi türevleri sürekliysa ve  $f_x(a, b) = f_y(a, b) = 0$  ise,  $f(a, b)$ 'nin karakteristiği **İkinci Türev Testi** ile belirlenebilir.

- i.  $(a, b)$ 'de  $f_{xx} < 0$  ve  $f_{xx}f_{yy} - f_{xy}^2 > 0 \Rightarrow$  yerel maksimum
- ii.  $(a, b)$ 'de  $f_{xx} > 0$  ve  $f_{xx}f_{yy} - f_{xy}^2 > 0 \Rightarrow$  yerel minimum
- iii.  $(a, b)$ 'de  $f_{xx}f_{yy} - f_{xy}^2 < 0 \Rightarrow$  eyer noktası
- iv.  $(a, b)$ 'de  $f_{xx}f_{yy} - f_{xy}^2 = 0 \Rightarrow$  test sonuçsuz

## ALIŞTIRMALAR 14.7

### Yerel Ekstremleri Bulmak

1–30 alıştırmalarındaki fonksiyonların bütün yerel maksimum, yerel minimum ve eyer noktalarını bulun.

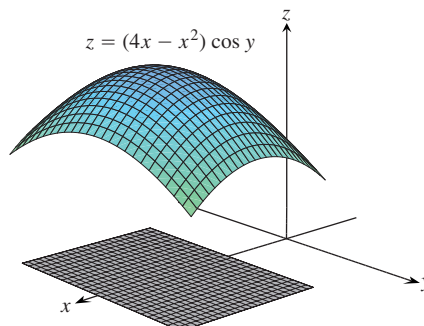
1.  $f(x, y) = x^2 + xy + y^2 + 3x - 3y + 4$
2.  $f(x, y) = x^2 + 3xy + 3y^2 - 6x + 3y - 6$
3.  $f(x, y) = 2xy - 5x^2 - 2y^2 + 4x + 4y - 4$
4.  $f(x, y) = 2xy - 5x^2 - 2y^2 + 4x - 4$
5.  $f(x, y) = x^2 + xy + 3x + 2y + 5$
6.  $f(x, y) = y^2 + xy - 2x - 2y + 2$
7.  $f(x, y) = 5xy - 7x^2 + 3x - 6y + 2$
8.  $f(x, y) = 2xy - x^2 - 2y^2 + 3x + 4$
9.  $f(x, y) = x^2 - 4xy + y^2 + 6y + 2$
10.  $f(x, y) = 3x^2 + 6xy + 7y^2 - 2x + 4y$
11.  $f(x, y) = 2x^2 + 3xy + 4y^2 - 5x + 2y$
12.  $f(x, y) = 4x^2 - 6xy + 5y^2 - 20x + 26y$
13.  $f(x, y) = x^2 - y^2 - 2x + 4y + 6$
14.  $f(x, y) = x^2 - 2xy + 2y^2 - 2x + 2y + 1$
15.  $f(x, y) = x^2 + 2xy$
16.  $f(x, y) = 3 + 2x + 2y - 2x^2 - 2xy - y^2$
17.  $f(x, y) = x^3 - y^3 - 2xy + 6$
18.  $f(x, y) = x^3 + 3xy + y^3$
19.  $f(x, y) = 6x^2 - 2x^3 + 3y^2 + 6xy$
20.  $f(x, y) = 3y^2 - 2y^3 - 3x^2 + 6xy$
21.  $f(x, y) = 9x^3 + y^3/3 - 4xy$
22.  $f(x, y) = 8x^3 + y^3 + 6xy$
23.  $f(x, y) = x^3 + y^3 + 3x^2 - 3y^2 - 8$
24.  $f(x, y) = 2x^3 + 2y^3 - 9x^2 + 3y^2 - 12y$
25.  $f(x, y) = 4xy - x^4 - y^4$
26.  $f(x, y) = x^4 + y^4 + 4xy$
27.  $f(x, y) = \frac{1}{x^2 + y^2 - 1}$
28.  $f(x, y) = \frac{1}{x} + xy + \frac{1}{y}$
29.  $f(x, y) = y \sin x$
30.  $f(x, y) = e^{2x} \cos y$

### Mutlak Ekstremleri Bulmak

31–38 alıştırmalarında, fonksiyonların verilen tanım aralıklarında mutlak maksimum ve minimumlarını bulun.

31. Birinci dörtte bir bölgede,  $x = 0, y = 2, y = 2x$  ile sınırlı kapalı üçgen plakada  $f(x, y) = 2x^2 - 4x + y^2 - 4y + 1$
32. Birinci dörtte bir bölgede,  $x = 0, y = 4, y = x$  ile sınırlı kapalı üçgensel plakada  $D(x, y) = x^2 - xy + y^2 + 1$

33. Birinci dörtte bir bölgede,  $x = 0, y = 0, y + 2x = 2$  ile sınırlı kapalı üçgensel plakada  $f(x, y) = x^2 + y^2$
34.  $0 \leq x \leq 5, -3 \leq y \leq 3$  dikdörtgensel plakasında,  $T(x, y) = x^2 + xy + y^2 - 6x$
35.  $0 \leq x \leq 5, -3 \leq y \leq 0$  dikdörtgensel plakasında,  $T(x, y) = x^2 + xy + y^2 - 6x + 2$
36.  $0 \leq x \leq 1, 0 \leq y \leq 1$  dikdörtgensel plakasında,  $f(x, y) = 48xy - 32x^3 - 24y^2$
37.  $1 \leq x \leq 3, -\pi/4 \leq y \leq \pi/4$  dikdörtgensel plakasında  $f(x, y) = (4x - x^2) \cos y$  (Şekle bakın).



38. Birinci dörtte bir bölgede,  $x = 0, y = 0, x + y = 1$  ile sınırlı kapalı üçgensel plakada  $f(x, y) = 4x - 8xy + 2y + 1$
39.  $a \leq b$  olmak üzere öyle iki  $a$  ve  $b$  sayısı bulun ki

$$\int_a^b (6 - x - x^2) dx$$

en büyük değere sahip olsun.

40.  $a \leq b$  olmak üzere öyle iki  $a$  ve  $b$  sayısı bulun ki

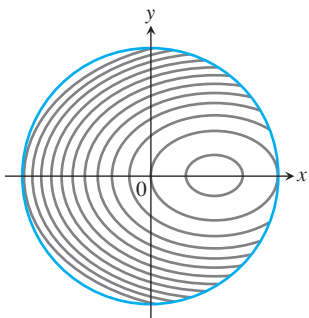
$$\int_a^b (24 - 2x - x^2)^{1/3} dx$$

en büyük değere sahip olsun.

41. **Sıcaklıklar** Şekil 14.46'daki düz dairesel plaka  $x^2 + y^2 \leq 1$  bölgesi şeklindedir.  $x^2 + y^2 = 1$  olan sınır da dahil olmak üzere plaka,  $(x, y)$  noktasındaki sıcaklık

$$T(x, y) = x^2 + 2y^2 - x$$

olacak şekilde ıstırılıyor. Plaka üzerindeki en sıcak ve en soğuk noktalardaki sıcaklıklarını bulun.

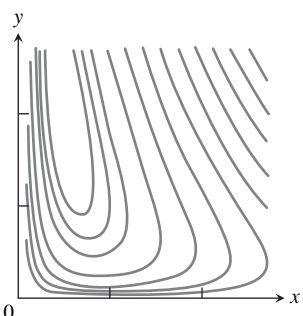


**ŞEKİL 14.46** Sabit sıcaklıklı eğrilerle izoterm denir. Şekil,  $xy$ -düzleminde  $x^2 + y^2 \leq 1$  dairesi üzerindeki  $T(x, y) = x^2 + 2y^2 - x$  sıcaklık fonksiyonunu göstermektedir. Alıştırma 41 sizden ekstremum sıcaklıklarını bulmanızı istemektedir.

42. Açık birinci dörte bir bölgede ( $x > 0, y > 0$ )

$$f(x, y) = xy + 2x - \ln x^2 y$$

fonksiyonunun kritik noktasını bulun ve o noktada  $f$ 'nin bir minimum değerinin var olduğunu gösterin (Şekil 14.47).



**ŞEKİL 14.47**  $f(x, y) = xy + 2x - \ln x^2 y$  fonksiyonu (burada seçilmiş bazı seviye eğrileri görülmektedir) açık birinci dörte bir bölge,  $x > 0, y > 0$ 'da bir minimum değer almaktadır (Alıştırma 42).

## Teori ve Örnekler

43. Aşağıdaki durumlarda  $f(x, y)$ 'nin maksimum, minimum ve eyer noktalarını bulun.

- a.  $f_x = 2x - 4y$  ve  $f_y = 2y - 4x$
- b.  $f_x = 2x - 2$  ve  $f_y = 2y - 4$
- c.  $f_x = 9x^2 - 9$  ve  $f_y = 2y + 4$

Her durumda mantık yürütmenizi açıklayın.

44. Aşağıdaki fonksiyonların her biri için,  $f_{xx}f_{yy} - f_{xy}^2$  discriminantı orijinde sıfırdır, bu yüzden ikinci türev testi işe yaramaz.  $z = f(x, y)$  fonksiyonunun neye benzediğini hayal ederek, fonksiyonun orijinde bir maksimum mu, minimumu mu olduğunu, veya ikisinin de bulunmadığını belirleyin. Her durumda mantık yürütmenizi açıklayın.

- a.  $f(x, y) = x^2y^2$
- b.  $f(x, y) = 1 - x^2y^2$
- c.  $f(x, y) = xy^2$
- d.  $f(x, y) = x^3y^2$
- e.  $f(x, y) = x^3y^3$
- f.  $f(x, y) = x^4y^4$

45.  $k$  sabiti ne olursa olsun,  $f(x, y) = x^2 + kxy + y^2$  fonksiyonunun bir kritik noktasının  $(0, 0)$  olduğunu gösterin (İpucu: İki durum düşünün:  $k = 0$  ve  $k \neq 0$ ).

46. İkinci Türev Testi,  $k$  sabitinin hangi değerleri için  $f(x, y) = x^2 + kxy + y^2$ 'nin  $(0, 0)$ 'da bir eyer noktasının bulunmasını garantiyor? Hangi  $k$  değerlerinde İkinci Türev Testi sonuçsuzdur? Yanılarınızı açıklayın.

47.  $f_x(a, b) = f_y(a, b) = 0$  ise,  $f$ 'nin  $(a, b)$ 'de bir maksimum değerinin veya bir minimum değerinin bulunması gerekmeli? Yanıınızı açıklayın.

48.  $f$  ile birinci ve ikinci mertebe kısmi türevleri, merkezi  $(a, b)$ 'de olan bir daire üzerinde sürekli ve  $f_{xx}(a, b)$  ile  $f_{yy}(a, b)$ 'nın işaretleri farklı ise  $f(a, b)$  hakkında bir sonuca varabilir misiniz? Yanıınızı açıklayın.

49.  $x + 2y + 3z = 0$  düzleminin üst tarafında ve  $z = 10 - x^2 - y^2$  fonksiyonunun grafiği üzerindeki bütün noktalar arasından, düzleme en uzakta olan noktayı bulun.

50.  $z = x^2 + y^2 + 10$  fonksiyonunun grafiğinin,  $x + 2y - z = 0$  düzleme en yakın noktasını bulun.

51.  $f(x, y) = x + y$  fonksiyonunun,  $x \geq 0$  ve  $y \geq 0$  kapalı birinci dörte bir bölgesinde bir mutlak maksimum değeri yoktur. Bu konu içinde verilen mutlak ekstremumları bulma tartışmasıyla çelişir mi? Yanıınızı açıklayın.

52.  $0 \leq x \leq 1$  ve  $0 \leq y \leq 1$  karesi içinde  $f(x, y) = x^2 + y^2 + 2xy - x - y + 1$  fonksiyonunu ele alın.

- a.  $f$ 'nin bu kare içinde,  $2x + 2y = 1$  doğru parçası boyunca bir mutlak minimum olduğunu gösterin. Mutlak minimum değeri nedir?
- b.  $f$ 'nin kare üzerindeki mutlak maksimum değerini bulun.

## Parametrize Eğriler Üzerinde Ekstremum Değerler

Bir  $x = x(t)$ ,  $y = y(t)$  eğrisi üzerinde bir  $f(x, y)$  fonksiyonunun ekstremum değerlerini bulmak için,  $f$ 'ye  $t$  değişkeninin bir fonksiyonu

nu olarak bakar ve  $df/dt$ 'nin nerede sıfır olduğunu bulmak için Zincir Kuralını kullanırız. Diğer her tek değişkenli durumda olduğu gibi,  $f$ 'nın ekstremum değerleri

- kritik noktalardaki ( $df/dt$ 'nin sıfır olduğu veya bulunmadığı noktalar) değerler ve
- parametre tanım kümelerinin üç noktalarındaki değerler arasında bulunur. Aşağıdaki fonksiyonların verilen eğriler üzerindeki mutlak maksimum ve mutlak minimum değerlerini bulun.

#### 53. Fonksiyonlar:

- $f(x, y) = x + y$
- $g(x, y) = xy$
- $h(x, y) = 2x^2 + y^2$

Eğriler:

- $x^2 + y^2 = 4$ ,  $y \geq 0$  yarı çemberi
- $x^2 + y^2 = 4$ ,  $x \geq 0$ ,  $y \geq 0$  çeyrek çemberi

$x = 2 \cos t$ ,  $y = 2 \sin t$  parametrik denklemelerini kullanın.

#### 54. Fonksiyonlar:

- $f(x, y) = 2x + 3y$
- $g(x, y) = xy$
- $h(x, y) = x^2 + 3y^2$

Eğriler:

- $(x^2/9) + (y^2/4) = 1$ ,  $y \geq 0$  yarı elipsi
- $(x^2/9) + (y^2/4) = 1$ ,  $x \geq 0$ ,  $y \geq 0$  çeyrek elipsi

$x = 3 \cos t$ ,  $y = 2 \sin t$  parametrik denklemelerini kullanın.

#### 55. Fonksiyon: $f(x, y) = xy$

Eğriler:

- $x = 2t$ ,  $y = t + 1$  doğrusu
- $x = 2t$ ,  $y = t + 1$ ,  $-1 \leq t \leq 0$  doğru parçası
- $x = 2t$ ,  $y = t + 1$ ,  $0 \leq t \leq 1$  doğru parçası

#### 56. Fonksiyonlar:

- $f(x, y) = x^2 + y^2$
- $g(x, y) = 1/(x^2 + y^2)$

Eğriler:

- $x = t$ ,  $y = 2 - 2t$  doğrusu
- $x = t$ ,  $y = 2 - 2t$ ,  $0 \leq t \leq 1$  doğru parçası.

### En Küçük Kareler ve Regresyon Doğruları

Bir  $y = mx + b$  doğrusunu bir sayısal veri noktaları kümesi  $(x_1, y_1)$ ,  $(x_2, y_2)$ , ...,  $(x_n, y_n)$ 'e uydurmayı denedigimizde (Şekil 14.48), genellikle noktalardan doğuya olan dik uzaklıkların karelerinin toplamını minimize eden doğruya seçeriz. Teorik olarak, bu

$$w = (mx_1 + b - y_1)^2 + \dots + (mx_n + b - y_n)^2 \quad [1]$$

fonksiyonunu minimize eden  $m$  ve  $b$  değerlerini bulmak anlamına gelir. Bunu sağlayan  $m$  ve  $b$  değerleri Birinci ve İkinci Türev Testleriyle, bütün toplamlar  $k = 1$ 'den  $k = n$ 'ye kadar olmak üzere

$$m = \frac{\left( \sum x_k \right) \left( \sum y_k \right) - n \sum x_k y_k}{\left( \sum x_k \right)^2 - n \sum x_k^2} \quad [2]$$

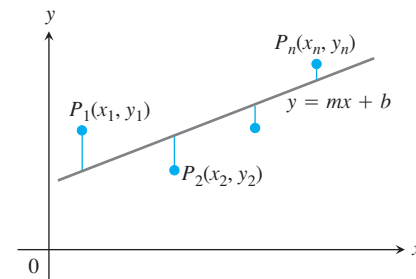
$$b = \frac{1}{n} \left( \sum y_k - m \sum x_k \right) \quad [3]$$

şeklinde bulunur. Çoğu bilimsel hesap makinesinin içinde, verileri girdikten sonra  $m$  ve  $b$ 'yi sadece birkaç tuşa basarak bulmanızı sağlayacak şekilde bu fonksiyonlar bulunur.

Bu  $m$  ve  $b$  değerleriyle belirlenen  $y = mx + b$  doğrusuna, üzerinde çalışılan verilerin **en küçük kareler doğrusu**, **regresyon doğrusu** veya **eğitim doğrusu** denir. Bir en küçük kareler doğrusu bulmak

- veriyi basit bir ifadeyle özetlemenizi,
- deneysel olarak denenmemiş başka  $x$ 'ler için  $y$  değerlerini tahmin etmenizi,
- verileri analitik olarak incelemenizi

sağlar.



**ŞEKİL 14.48** Doğrusal olmayan noktalara bir doğru uydurmak için sapmaların kareleri toplamını minimize eden doğruya seçeriz.

**ÖRNEK**  $(0, 1), (1, 3), (2, 2), (3, 4), (4, 5)$  noktalarının en küçük kareler doğrusunu bulun.

**Çözüm** Hesaplamları bir tabloda özetleriz:

<b><math>k</math></b>	<b><math>x_k</math></b>	<b><math>y_k</math></b>	<b><math>x_k^2</math></b>	<b><math>x_k y_k</math></b>
1	0	1	0	0
2	1	3	1	3
3	2	2	4	4
4	3	4	9	12
5	4	5	16	20
$\Sigma$	10	15	30	39

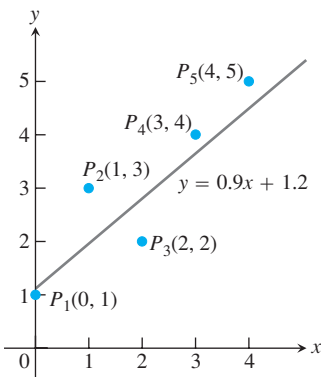
Sonra,

$$m = \frac{(10)(15) - 5(39)}{(10)^2 - 5(30)} = 0.9 \quad n = 5 \text{ ve tablodaki verilerle (2) Denklemi}$$

bulur ve  $m$  değerini kullanarak

$$b = \frac{1}{5} (15 - (0.9)(10)) = 1.2 \quad n = 5, m = 0.9 \text{ ile (3) Denklemi}$$

buluruz. En küçük kareler doğrusu  $y = 0.9x + 1.2$ 'dir (Şekil 14.49). ■



**ŞEKİL 14.49** Örnekteki veri kümesinin en küçük kareler doğrusu.

57–60 alıştırmalarında, (2) ve (3) denklemelerini kullanarak, her veri noktaları kümesi için en küçük kareler doğrusunu bulun. Sonra elde ettiğiniz lineer denklemi kullanarak  $x = 4$ 'e karşılık gelen  $y$  değerini tahmin edin.

57.  $(-1, 2)$ ,  $(0, 1)$ ,  $(3, -4)$     58.  $(-2, 0)$ ,  $(0, 2)$ ,  $(2, 3)$

59.  $(0, 0)$ ,  $(1, 2)$ ,  $(2, 3)$     60.  $(0, 1)$ ,  $(2, 2)$ ,  $(3, 2)$

- T** 61. Tablo 14.1'deki verilere (California Üniversitesi Deney İstasyonu, *Bulletin*, No. 450, sayfa 8'den alınmıştır) bir en küçük kareler doğrusu uydurarak, sulamanın yonca üretimi üzerindeki etkisi için bir lineer denklem yazın. Verileri işaretleyin ve doğruya çizin.

**TABLO 14.1** Yonca Üretimi

$x$ (uygulanan toplam mevsimlik su derinliği, inç.)	$y$ (ortalama yonca, üretimi, ton/ar)
12	5.27
18	5.68
24	6.25
30	7.21
36	8.20
42	8.71

- T** 62. **Mars'ın kraterleri** Bir krater oluşumu teorisi, büyük kraterlerin sıklığının, çaplarının kareleriyle seyrelmesi gerektiğini söyler (Marcus, *Science*, June 21, 1968, sayfa 1334). *Mariner IV*'ten gelen resimler Tablo 14.2'de sıralanan verileri göstermektedir. Verilere  $F = m(1/D^2) + b$  şeklinde bir doğru uydurun. Verileri işaretleyin ve doğruya çizin.

**TABLO 14.2** Mars'taki krater büyüklükleri

km olarak çap, $D$	$1/D^2$ (smf aralığının sol değeri için)	Frekans, $F$
32–45	0.001	51
45–64	0.0005	22
64–90	0.00024	14
90–128	0.000123	4

- T** 63. **Köchel sayıları** 1862'de Alman müzikologu Ludwig von Köchel, Wolfgang Amadeus Mozart'in müzik eserlerinin kronolojik bir listesini yapmıştır. Bu liste, Mozart'in eserlerinin başlıklarını izleyen (örneğin, Mi-minör Senfoni Konçertosu, K.364) Köchel sayıları veya "K sayıları"nın kaynağıdır. Tablo 14.3 Mozart'in on eserinin Köchel sayılarını ve bestelenme tarihlerini ( $y$ ) vermektedir.

- a.  $y$ 'nin  $K$ 'nin lineer bir fonksiyonu olmaya çok yakın olduğunu göstermek için  $y$ - $K$  grafiğini çizin.
- b. Veriler için bir  $y = mK + b$  en küçük kareler doğrusu bulun ve bunu (a)'daki çiziminize ekleyin.
- c. K.364, 1779'da bestelenmiştir. En küçük kareler doğrusu hangi tarihi öngörmektedir?

**TABLO 14.3** Mozart'in besteleri

Köchel sayısı, $K$	Bestelendiği yıl, $y$
1	1761
75	1771
155	1772
219	1775
271	1777
351	1780
425	1783
503	1786
575	1789
626	1791

- T** 64. **Denizaltı batmaları** Tablo 14.4'teki veriler İkinci Dünya Savaşı'nda birbirini izleyen 16 ay boyunca Amerikan Donanması'nın batırıldığı Alman denizaltıları üzerine tarihsel bir araştırmayı sonuçlarını göstermektedir. Her ay için verilen veriler bildirilen batmalar ve gerçek batmaların sayısıdır. Batırılan denizaltıların sayısı Donanma'nın bildirdiklerinden biraz daha fazlaydı. Bildirilen batma sayılarından gerçek sayıları bulmak için bir en küçük kareler doğrusu bulun.

**TABLO 14.4** II. Dünya Savaşında 16 ay boyunca Amerikan Donanması'nın batırıldığı Alman Denizaltları

Ay	Amerika tahmini (bildirilen batma)	Gerçek sayı
	x	y
1	3	3
2	2	2
3	4	6
4	2	3
5	5	4
6	5	3
7	9	11
8	12	9
9	8	10
10	13	16
11	14	13
12	3	5
13	4	6
14	13	19
15	10	15
16	16	15
	123	140

### BİLGİSAYAR ARAŞTIRMALARI

#### Kritik Noktalardaki Yerel Ekstremumları Araştırmak

65–70 alıştırmalarında, yerel ekstremumları tanımlamak için fonksiyonları inceleyeceksiniz. Aşağıdaki adımları gerçekleştirmek için bir BCS kullanın.

- Fonksiyonu verilen dikdörtgende çizin.
  - Dikdörtgende bazı seviye eğrilerini çizin.
  - Fonksiyonun birinci mertebe kısmi türevlerini hesaplayın ve BCS denklem çözümünü kullanarak kritik noktaları bulun. Kritik noktalarda (b)’de çizilen seviye eğrileri arasındaki ilişki nedir? Hangi kritik noktalar, varsa, bir eyer noktası verir gibidir? Yanınızı açıklayın.
  - Fonksiyonun ikinci kısmi türevlerini hesaplayın ve  $f_{xx}f_{yy} - f_{xy}^2$  diskriminantını bulun.
  - Maks-min testlerini kullanarak, (c)’de bulduğunuz kritik noktaları sınıflandırın. Bulduklarınız (c)’de söylenenlerle uyumlu mu?
65.  $f(x, y) = x^2 + y^3 - 3xy, \quad -5 \leq x \leq 5, \quad -5 \leq y \leq 5$
66.  $f(x, y) = x^3 - 3xy^2 + y^2, \quad -2 \leq x \leq 2, \quad -2 \leq y \leq 2$
67.  $f(x, y) = x^4 + y^2 - 8x^2 - 6y + 16, \quad -3 \leq x \leq 3,$   
 $-6 \leq y \leq 6$
68.  $f(x, y) = 2x^4 + y^4 - 2x^2 - 2y^2 + 3, \quad -3/2 \leq x \leq 3/2,$   
 $-3/2 \leq y \leq 3/2$
69.  $f(x, y) = 5x^6 + 18x^5 - 30x^4 + 30xy^2 - 120x^3,$   
 $-4 \leq x \leq 3, \quad -2 \leq y \leq 2$
70.  $f(x, y) = \begin{cases} x^5 \ln(x^2 + y^2), & (x, y) \neq (0, 0), \\ 0, & (x, y) = (0, 0), \end{cases}$   
 $-2 \leq x \leq 2, \quad -2 \leq y \leq 2$

## 14.8

### Lagrange Çarpanları

#### TARİHSEL BİYOGRAFİ

Joseph Louis Lagrange  
(1736–1813)

Bazen tanım kümesi, düzlemin belirli bir alt kümesine — örneğin, bir daireye, kapalı üçgensel bir bölgeye veya bir eğri üzerine — kısıtlanmış bir fonksiyonun ekstremum değerlerini bulmamız gerekebilir. Bu bölümde, kısıtlanmış fonksiyonların ekstremum değerlerini bulmak için güçlü bir yöntem araştıracağız: *Lagrange çarpanları* yöntemi.

#### Kısıtlanmış Maksimum ve Minimumlar

##### ÖRNEK 1 Bir Kısıtlama İle Minimum Bulmak

$2x + y - z - 5 = 0$  düzlemin üzerinde, orijine en yakın olan  $P(x, y, z)$  noktasını bulun.

**Çözüm** Problem bizden,

$$2x + y - z - 5 = 0$$

kısıtlaması ile

$$\begin{aligned} |\overrightarrow{OP}| &= \sqrt{(x - 0)^2 + (y - 0)^2 + (z - 0)^2} \\ &= \sqrt{x^2 + y^2 + z^2} \end{aligned}$$

fonksiyonunun minimum değerini istemektedir.

$$f(x, y, z) = x^2 + y^2 + z^2$$

fonksiyonunun bir minimum değerinin bulunduğu her noktada,  $|\overrightarrow{OP}|$ 'nin de bir minimum değeri bulunacağından, problemi,  $2x + y - z - 5 = 0$  kısıtlaması ile  $f(x, y, z)$ 'nin minimum değerini bularak çözebiliriz.  $x$  ve  $y$ 'ye bu denklemdeki bağımsız değişkenler gibi bakar ve  $z$ 'yi

$$z = 2x + y - 5$$

olarak yazarsak, problemimiz

$$h(x, y) = f(x, y, 2x + y - 5) = x^2 + y^2 + (2x + y - 5)^2$$

fonksiyonunun minimum değer veya değerlerini bulma problemine indirgenir.  $h$ 'nin tanım kümesi bütün  $xy$ -düzlemi olduğundan, Bölüm 14.7'deki Birinci Türev Testi  $h$ 'nin minimumlarını

$$h_x = 2x + 2(2x + y - 5)(2) = 0, \quad h_y = 2y + 2(2x + y - 5)(2) = 0$$

denklemlerini sağlayan noktalarda görülebileceğini söyler. Bu,

$$10x + 4y = 20, \quad 4x + 4y = 10$$

denklemlerini ve

$$x = \frac{5}{3}, \quad y = \frac{5}{6}$$

çözümünü verir. Bu değerlerin  $h$ 'yi minimize ettiğini göstermek için, İkinci Türev Testiyle beraber geometrik bir yorum kullanabiliriz.  $z = 2x + y - 5$  düzlemi üzerinde buna karşılık gelen noktanın  $z$ -koordinatı

$$z = 2\left(\frac{5}{3}\right) + \frac{5}{6} - 5 = -\frac{5}{6}$$

olarak bulunur. Dolayısıyla aradığımız nokta

$$\text{En yakın noktası: } P\left(\frac{5}{3}, \frac{5}{6}, -\frac{5}{6}\right)$$

noktasıdır.  $P$ 'den orijine olan uzaklık  $\sqrt{5^2 + 5^2 + (-5/6)^2} \approx 2.04$  'tür.

Değişken değişimi olarak adlandırabileceğimiz, Örnek 1'deki yöntemle kısıtlanmış bir minimum veya maksimum problemini çözme çabaları her zaman işe yaramaz. Bu bölümdeki yeni yöntemi öğrenmenin nedenlerinden biri budur.

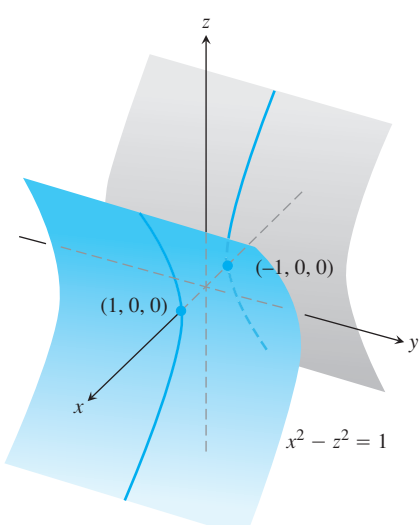
### ÖRNEK 2 Bir Kısıtlama İle Minimum Bulmak

$x^2 - z^2 - 1 = 0$  hiperbolik silindiri üzerinde orijine en yakın olan noktayı bulun.

**Cözüm 1** Silindir Şekil 14.50'de görülmektedir. Silindir üzerinde orijine en yakın olan noktaları arayacağız. Bunlar koordinatları,  $x^2 - z^2 - 1 = 0$  kısıtlaması ile

$$f(x, y, z) = x^2 + y^2 + z^2 \quad \text{Uzaklığın karesi}$$

fonksiyonunun değerini minimize eden noktalardır.  $x$  ve  $y$ 'ye kısıtlama denklemindeki bağımsız değişkenler olarak bakarsak,



**ŞEKİL 14.50** Örnek 2'deki  $x^2 - z^2 - 1 = 0$  hiperbolik silindiri.

$$z^2 = x^2 - 1$$

olur ve silindirin üzerinde  $f(x, y, z) = x^2 + y^2 + z^2$ 'nin değerleri

$$h(x, y) = x^2 + y^2 + (x^2 - 1) = 2x^2 + y^2 - 1$$

fonksiyonuyla verilir. Silindir üzerinde koordinatları  $f$ 'yi minimize eden noktaları bulmak için,  $xy$ -düzleminde koordinatları  $h$ 'yi minimize eden noktaları ararız.  $h$ 'nin tek ekstreum değeri

$$h_x = 4x = 0 \quad \text{ve} \quad h_y = 2y = 0$$

denklemlerini sağlayan noktada, yani  $(0, 0)$  noktasındadır. Fakat, silindirin üzerinde hem  $x$  hem de  $y$ 'nın sıfır olduğu bir nokta yoktur. Yanlış giden nedir?

Olan şey, birinci türev testinin (olması gerektiği gibi)  $h$ 'nin tanım kümesinde  $h$ 'nin bir minimum değerinin olduğu noktası bulmasıdır. Öte yandan, biz silindir üzerinde  $h$ 'nin bir minimum değerinin bulunduğu noktaları arıyoruz.  $h$ 'nin tanım kümesi bütün  $xy$ -düzlemyken, silindir üzerindeki  $(x, y, z)$  noktalarının ilk iki koordinatını seçebileceğimiz tanım kümesi  $xy$ -düzleminde silindirin “gölgesi” ile sınırlıdır;  $x = -1$  ile  $x = 1$  doğruları arasındaki bandı içermez (Şekil 14.51).

$y$  ve  $z$ 'yi ( $x$  ve  $y$  yerine) bağımsız değişkenler olarak alır ve  $x$ 'i  $y$  ve  $z$  cinsinden

$$x^2 = z^2 + 1$$

olarak ifade edersek, bu sorundan kurtulabiliriz. Bu değişken dönüşümüyle,  $f(x, y, z) = x^2 + y^2 + z^2$  fonksiyonu

$$k(y, z) = (z^2 + 1) + y^2 + z^2 = 1 + y^2 + 2z^2$$

haline gelir ve biz  $k$ 'nin en küçük değerini aldığı noktaları ararız.  $k$ 'nin  $yz$ -düzlemindeki tanım kümesi artık silindir üzerinde  $(x, y, z)$  noktalarının  $y$  ve  $z$  koordinatlarını seçeceğimiz tanım kümesiyle çakışmaktadır. Yani, düzlemede  $k$ 'yi minimize eden noktalara silindir üzerinde karşılık gelen noktalar vardır.  $k$ 'nin en küçük değeri

$$k_y = 2y = 0 \quad \text{ve} \quad k_z = 4z = 0$$

veya  $y = z = 0$  olan yerde bulunur. Bu

$$x^2 = z^2 + 1 = 1, \quad x = \pm 1$$

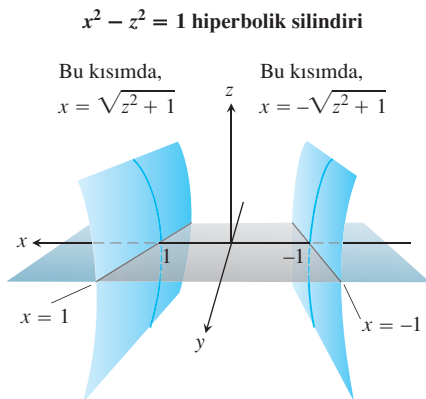
verir. Bu noktaya silindir üzerinde karşılık gelen noktalar  $(\pm 1, 0, 0)$ 'dır.

$$k(y, z) = 1 + y^2 + 2z^2 \geq 1$$

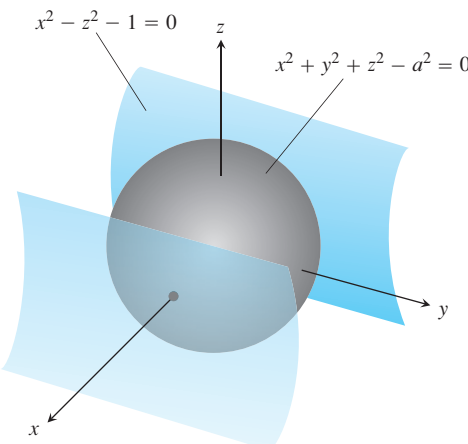
eşitsizliğinden  $(\pm 1, 0, 0)$  noktalarının  $k$ 'nin bir minimum değerini verdigini görürüz. Ayrıca orijinden silindir üzerindeki bir noktaya minimum uzaklığın 1 birim olduğunu da görürüz.

**Çözüm 2** Silindir üzerinde orijine en yakın noktaları bulmanın başka bir yolu, silindire dokununcaya kadar bir sabun köpüğü gibi genişleyen ve merkezi orijinde olan bir küre hayal etmektir (Şekil 14.52). Her dokunma noktasında, silindir ve kürenin teğet düzleimi ve normali aynıdır. Dolayısıyla, küre ve silindir,

$$f(x, y, z) = x^2 + y^2 + z^2 - a^2 \quad \text{ve} \quad g(x, y, z) = x^2 - z^2 - 1$$



**ŞEKİL 14.51**  $xy$ -düzleminde,  $x^2 - z^2 = 1$  hiperbolik silindirinin üzerindeki  $(x, y, z)$  noktasının ilk iki koordinatının seçildiği bölge  $xy$ -düzlemindeki  $-1 < x < 1$  bandını dışlar (Örnek 2).



**ŞEKİL 14.52** Merkezi orijinde olan ve  $x^2 - z^2 - 1 = 0$  hiperbolik silindirine dokunana kadar bir sabun küpüğü gibi genleşen bir küre. Örnek 2'nin ikinci çözümüne bakın.

fonksiyonlarının 0'a eşitlenmesiyle elde edilen seviye yüzeyleri olarak ifade edilirlerse,  $\nabla f$  ve  $\nabla g$  gradiyentleri yüzeylerin dokundukları yerlerde paralel olacaklardır. Bu yüzden, herhangi bir dokunma noktasında

$$\nabla f = \lambda \nabla g$$

veya

$$2x\mathbf{i} + 2y\mathbf{j} + 2z\mathbf{k} = \lambda(2x\mathbf{i} - 2z\mathbf{k})$$

olacak şekilde bir  $\lambda$  skaleri bulabilmemiz gereklidir. Yani, herhangi bir teğetlik noktasının  $x$ ,  $y$  ve  $z$  koordinatları

$$2x = 2\lambda x, \quad 2y = 0, \quad 2z = -2\lambda z$$

skaler denklemlerini sağlamak zorundadır.

Hangi  $\lambda$  değerleri için, koordinatları bu skaler denklemleri sağlayan bir  $(x, y, z)$  noktası aynı zamanda  $x^2 - z^2 - 1 = 0$  yüzeyi üzerinde bulunur? Bu soruya yanıt vermek için, yüzey üzerinde  $x$ -koordinatı sıfır olan bir nokta bulunmadığı bilgimizi kullanarak  $x \neq 0$  olduğu sonucuna varırız. Böylece, ancak

$$2 = 2\lambda \quad \text{veya} \quad \lambda = 1$$

ise,  $2x = 2\lambda x$  olacağına gelir.  $\lambda = 1$  için,  $2z = -2\lambda z$ ,  $2z = -2z$  olur. Bu denklem de sağlanacaksız,  $z$  sıfır olmalıdır.  $y = 0$  olduğu için ( $2y = 0$  denkleminden),

$$(x, 0, 0)$$

şeklinde koordinatları olan noktalar aradığımız sonucuna varırız.  $x^2 - z^2 = 1$  yüzeyinde hangi noktaların koordinatları bu şekildedir?

$$x^2 - (0)^2 = 1, \quad x^2 = 1 \quad \text{veya} \quad x = \pm 1$$

olan noktalar. Silindir üzerinde orijine en yakın olan noktalar  $(\pm 1, 0, 0)$  noktalarıdır. ■

### Lagrange Çarpanları Yöntemi

Örnek 2'nin ikinci çözümünde, problemi **Lagrange çarpanları yöntemi** ile çözduk. Genel olarak yöntem, değişkenleri  $g(x, y, z) = 0$  kısıtlamasına maruz bir  $f(x, y, z)$  fonksiyonun ekstremum değerlerinin,  $g = 0$  yüzeyi üzerinde, bir  $\lambda$  skaleri (**Lagrange çarpanı** olarak adlandırılır) için

$$\nabla f = \lambda \nabla g$$

denklemi sağlayan noktalarda bulunacağını söyler.

Yöntemi daha fazla incelemek ve neden işe yaradığını anlamak için, ilk önce, bir teorem olarak ifade ettiğimiz, aşağıdaki gözlemi yaparız.

#### TEOREM 12 Ortogonal Gradiyent Teoremi

$f(x, y, z)$ 'nin, düzgün bir

$$C: \mathbf{r}(t) = g(t)\mathbf{i} + h(t)\mathbf{j} + k(t)\mathbf{k}$$

eğrisini içeren bir bölgede diferansiyellenebilir olduğunu varsayıñ.  $f$ 'nin  $C$  üzerinde,  $C$ 'deki değerlerine göre bir yerel minimumu veya maksimumunun bulunduğu nokta  $P_0$  ise  $\nabla f$ ,  $P_0$ 'da  $C$ 'ye ortogonaldır.

**İspat**  $\nabla f$ 'nin  $P_0$ 'da eğrinin hız vektörüne ortogonal olduğunu gösterecegiz.  $f$ 'nin  $C$ 'deki değerleri  $f(g(t), h(t), k(t))$  bileşkesiyle verilir ve bu bileşkenin  $t$ 'ye göre türevi

$$\frac{df}{dt} = \frac{\partial f}{\partial x} \frac{dg}{dt} + \frac{\partial f}{\partial y} \frac{dh}{dt} + \frac{\partial f}{\partial z} \frac{dk}{dt} = \nabla f \cdot \mathbf{v}$$

şeklinde elde edilir.  $f$ 'nin eğri üzerindeki değerlerine göre bir yerel maksimum veya minimumun bulunduğu noktalarda,  $df/dt = 0$ 'dır, dolayısıyla

$$\nabla f \cdot \mathbf{v} = 0$$

■

olur.

Teorem 12'deki  $z$ 'li terimleri atarsak, iki değişkenli fonksiyonlar için de benzer bir sonuç elde edilir.

#### TEOREM 12'NIN SONUCU

Diferansiyellenebilir bir  $f(x, y)$  fonksiyonunun düzgün bir  $\mathbf{r}(t) = g(t)\mathbf{i} + h(t)\mathbf{j}$  eğrisi üzerinde, eğri üzerindeki değerlerine göre, yerel maksimum ve minimumlarının bulunduğu noktalarda,  $\mathbf{v} = d\mathbf{r}/dt$  olmak üzere  $\nabla f \cdot \mathbf{v} = 0$  olur.

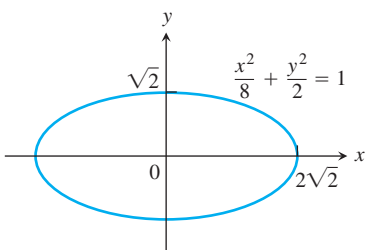
Teorem 12, Lagrange çarpanları yönteminin anahtarıdır.  $f(x, y, z)$  ile  $g(x, y, z)$ 'nin diferansiyellenebilir olduğunu ve  $P_0$ 'ın  $g(x, y, z) = 0$  yüzeyi üzerinde,  $f$ 'nin yüzey üzerindeki değerlerine göre bir yerel minimum veya maksimum değerinin bulunduğu bir nokta olduğunu varsayıñ. Bu durumda,  $f$ 'nin  $g(x, y, z) = 0$  yüzeyi üzerinde  $P_0$ 'dan geçen her düzgün eğri üzerindeki değerlerine göre bir yerel minimum veya maksimum değeri olacaktır. Dolayısıyla,  $\nabla f$ ,  $P_0$ 'dan geçen bu çeşit her düzgün eğrinin hız vektörüne ortogonaldır. Ama  $\nabla g$  de öyledir (Bölüm 14.5'te gördüğümüz gibi,  $\nabla g, g = 0$  seviye yüzeyine ortogonal olduğu için). Bu nedenle,  $P_0$ 'da,  $\nabla f$ ,  $\nabla g$ 'nin skaler bir  $\lambda$  katıdır.

### Lagrange Çarpanları Yöntemi

$f(x, y, z)$  ve  $g(x, y, z)$ 'nin diferansiyellenebilir olduğunu ve  $g(x, y, z) = 0$  iken  $\nabla g \neq 0$  olduğunu varsayıñ.  $g(x, y, z) = 0$  kısıtlamasına maruz olan  $f$ 'nin maksimum ve minimum değerlerini bulmak için,

$$\nabla f = \lambda \nabla g \quad \text{ve} \quad g(x, y, z) = 0 \quad (1)$$

denklemelerini aynı anda sağlayan  $x, y, z$  ve  $\lambda$  değerlerini bulun. İki değişkenli fonksiyonlar için,  $z$  değişkeni dışında koşullar benzerdir.



**ŞEKİL 14.53** Örnek 3 bu elips üzerinde  $xy$  çarpımının en büyük ve en küçük değerlerinin nasıl bulunacağını gösterir.

### ÖRNEK 3 Lagrange Çarpanları Yöntemini Kullanmak

$$f(x, y) = xy$$

fonksiyonunun

$$\frac{x^2}{8} + \frac{y^2}{2} = 1$$

elipsi üzerindeki en büyük ve en küçük değerlerini bulun (Şekil 14.53).

#### Çözüm

$$g(x, y) = \frac{x^2}{8} + \frac{y^2}{2} - 1 = 0$$

kısıtlamasına maruz olan  $f(x, y) = xy$ 'nin ekstremum değerlerini istiyoruz. Bunu yapmak için, önce

$$\nabla f = \lambda \nabla g \quad \text{ve} \quad g(x, y) = 0$$

denklemelerini sağlayan  $x, y$  ve  $\lambda$  değerlerini buluruz. (1) Denklemelerindeki gradiyent denklemi

$$y\mathbf{i} + x\mathbf{j} = \frac{\lambda}{4}x\mathbf{i} + \lambda y\mathbf{j}$$

verir ve buradan

$$y = \frac{\lambda}{4}x, \quad x = \lambda y, \quad \text{ve} \quad y = \frac{\lambda}{4}(\lambda y) = \frac{\lambda^2}{4}y$$

buluruz. Bu da  $y = 0$  veya  $\lambda = \pm 2$  verir. Şimdi bu iki duruma bakalım.

**Durum 1:**  $y = 0$  ise,  $x = y = 0$  olur. Fakat  $(0, 0)$  elips üzerinde değildir. Dolayısıyla,  $y \neq 0$ 'dır.

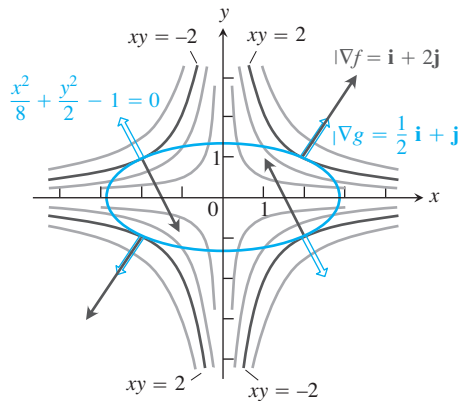
**Durum 2:**  $y \neq 0$  ise,  $\lambda = \pm 2$  ve  $x = \pm 2y$ 'dir. Bunu  $g(x, y) = 0$  denkleminden yerine koymak

$$\frac{(\pm 2y)^2}{8} + \frac{y^2}{2} = 1, \quad 4y^2 + 4y^2 = 8 \quad \text{ve} \quad y = \pm 1$$

verir. Bu yüzden,  $f(x, y) = xy$  fonksiyonu elips üzerinde dört noktada,  $(\pm 2, 1)$  ve  $(\pm 2, -1)$  noktalarında ekstremum değerler alır. Ekstremum değerler  $xy = 2$  ve  $xy = -2$ 'dir.

#### Çözümün Geometrisi

$f(x, y)$  fonksiyonunun seviye eğrileri  $xy = c$  hiperbolleridir (Şekil 14.54). Hiperboller ori-



**ŞEKİL 14.54**  $f(x, y) = xy$  fonksiyonu,  $g(x, y) = x^2/8 + y^2/2 - 1 = 0$  kısıtlamasına maruz kaldığında, dört noktada,  $(\pm 2, \pm 1)$ 'de ekstremum değerler alır. Bunlar, elips üzerinde  $\nabla f$  (kırmızı)  $\nabla g$ 'nin (mavi) skaler bir katı olduğu noktalardır (Örnek 3).

jinden ne kadar uzakta ise,  $f$ 'nin mutlak değeri o kadar büyük olur.  $(x, y)$  noktası  $x^2 + 4y^2 = 8$  elipsi üzerinde iken,  $f$ 'nin ekstremum değerlerini bulmak istiyoruz. Elipsi kesen hiperbollerden hangisi orijinden en uzaktadır? Elipsi sıyran hiperboller, bunlar yalnızca elipse teğet hiperbollerdir. Bu noktalarda, hiperbole normal olan herhangi bir vektör elipse de normaldir, dolayısıyla  $\nabla f = yi + xj$  gradiyenti  $\nabla g = (x/4)i + yj$ 'nin bir katıdır ( $\lambda = \pm 2$ ). Örneğin  $(2, 1)$  noktasında

$$\nabla f = i + 2j, \quad \nabla g = \frac{1}{2}i + j, \quad \text{ve} \quad \nabla f = 2\nabla g$$

olur.  $(-2, 1)$  noktasında ise,

$$\nabla f = i - 2j, \quad \nabla g = -\frac{1}{2}i + j, \quad \text{ve} \quad \nabla f = -2\nabla g \quad \blacksquare$$

bulunur.

#### ÖRNEK 4 Bir Çember Üzerinde Ekstremum Değerler Bulmak

$f(x, y) = 3x + 4y$  fonksiyonunun  $x^2 + y^2 = 1$  çemberi üzerindeki maksimum ve minimum değerlerini bulun.

**Çözüm** Bunu

$$f(x, y) = 3x + 4y, \quad g(x, y) = x^2 + y^2 - 1$$

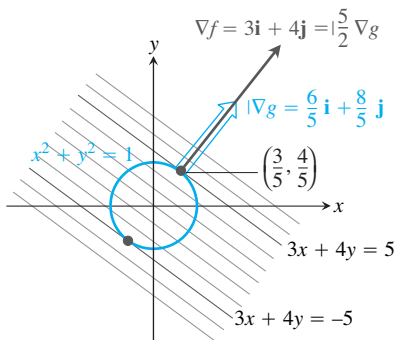
ile bir Lagrange çarpanı problemi olarak modeller ve

$$\nabla f = \lambda \nabla g: \quad 3i + 4j = 2x\lambda i + 2y\lambda j$$

$$g(x, y) = 0: \quad x^2 + y^2 - 1 = 0$$

denklemlerini sağlayan  $x, y$  ve  $\lambda$  değerlerini ararız. (1) Denklemlerindeki gradiyent denklemi  $\lambda \neq 0$  olduğunu belirtir ve

$$x = \frac{3}{2\lambda}, \quad y = \frac{2}{\lambda}$$



**ŞEKİL 14.55**  $f(x, y) = 3x + 4y$  fonksiyonu  $g(x, y) = x^2 + y^2 - 1 = 0$  birim çemberi üzerinde en büyük değerini  $(3/5, 4/5)$  noktasında ve en küçük değerini  $(-3/5, -4/5)$  noktasında alır (Örnek 4). Bu noktalardan her birinde,  $\nabla f$ ,  $\nabla g$ 'nin bir skaler katıdır. Şekil ilk noktadaki gradiyentleri gösterir, ama ikinci dekileri göstermez.

denklemlerini verir. Bu denklemler bize, başka şeylerin yanısıra,  $x$  ve  $y$ 'nin işaretlerinin aynı olduğunu söyler. Bu  $x$  ve  $y$  değerleri ile,  $g(x, y) = 0$  denklemi

$$\left(\frac{3}{2\lambda}\right)^2 + \left(\frac{2}{\lambda}\right)^2 - 1 = 0$$

verir, böylece

$$\frac{9}{4\lambda^2} + \frac{4}{\lambda^2} = 1, \quad 9 + 16 = 4\lambda^2, \quad 4\lambda^2 = 25, \quad \text{ve} \quad \lambda = \pm\frac{5}{2}$$

bulunur. Yani,

$$x = \frac{3}{2\lambda} = \pm\frac{3}{5}, \quad y = \frac{2}{\lambda} = \pm\frac{4}{5}$$

olur ve  $f(x, y) = 3x + 4y$ 'nin ekstremum değerleri  $(x, y) = \pm(3/5, 4/5)$ 'tedir.

$3x + 4y$ 'nin değerlerini  $\pm(3/5, 4/5)$ 'te hesaplayarak, fonksiyonun  $x^2 + y^2 = 1$  çemberi üzerindeki maskimum ve minimum değerlerinin

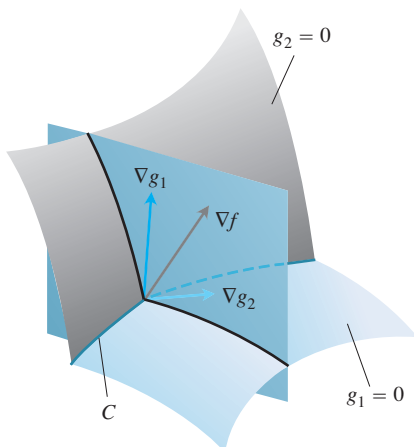
$$3\left(\frac{3}{5}\right) + 4\left(\frac{4}{5}\right) = \frac{25}{5} = 5 \quad \text{ve} \quad 3\left(-\frac{3}{5}\right) + 4\left(-\frac{4}{5}\right) = -\frac{25}{5} = -5$$

olduğunu görürüz.

### Çözümün geometrisi

$f(x, y) = 3x + 4y$ 'nın seviye eğrileri  $3x + 4y = c$  doğrularıdır (Şekil 14.55). Doğrular orijinden ne kadar uzaksa,  $f$ 'nin mutlak değeri o kadar büyktür.  $(x, y)$  noktası  $x^2 + y^2 = 1$  çemberi üzerinde iken,  $f$ 'nin ekstremum değerlerini bulmak istiyoruz. Çemberi kesen doğrulardan hangisi orijinden en uzaktadır? Çemberde teget olan doğrular. Tegetlik noktalarında doğruya normal olan bir vektör çemberde normaldir, böylece  $\nabla f = 3i + 4j$  gradiyenti  $\nabla g = 2xi + 2yj$  gradiyentinin bir katıdır ( $\lambda = \pm(5/2)$ ). Örneğin,  $(3/5, 4/5)$  noktasında şunu buluruz:

$$\nabla f = 3i + 4j, \quad \nabla g = \frac{6}{5}i + \frac{8}{5}j, \quad \text{ve} \quad \nabla f = \frac{5}{2}\nabla g.$$



**ŞEKİL 14.56**  $\nabla g_1$  ve  $\nabla g_2$  vektörleri  $C$  eğrisine dik bir düzlemdede bulunurlar, çünkü  $\nabla g_1$ ,  $g_1 = 0$  yüzeyine normaldir ve  $\nabla g_2$ ,  $g_2 = 0$  yüzeyine normaldir.

### İki Kısıtlamayla Lagrange Çarpanları

Çoğu problem değişkenleri iki kısıtlamaya maruz kalan diferansiyellenebilir bir  $f(x, y, z)$  fonksiyonunun ekstremum değerlerini bulmamızı gerektirir. Kısıtlamalar

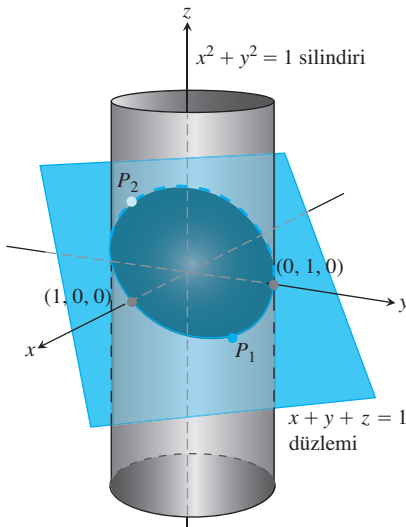
$$g_1(x, y, z) = 0 \quad \text{ve} \quad g_2(x, y, z) = 0$$

ise ve  $g_1$  ile  $g_2$ ,  $\nabla g_1$ ,  $\nabla g_2$ 'ye paralel olmamak üzere, diferansiyellenebilir ise,  $f$ 'nin kısıtlanmış yerel maksimum ve minimumlarını iki Lagrange çarpanı,  $\lambda$  ve  $\mu$  (mü olarak okunur) belirleyerek buluruz. Yani,  $f$ 'nin kısıtlanmış ekstremum değerlerini aldığı  $P(x, y, z)$  noktalarını

$$\nabla f = \lambda \nabla g_1 + \mu \nabla g_2, \quad g_1(x, y, z) = 0, \quad g_2(x, y, z) = 0 \quad [2]$$

denklemlerini sağlayan  $x, y, z, \lambda$  ve  $\mu$  değerlerini bularak belirleriz. (2) Denklemlerinin hoş bir geometrik yorumu vardır.  $g_1 = 0$  ve  $g_2 = 0$  yüzeyleri (genellikle) düzgün bir eğri, mesela  $C$ 'de kesisirler (Şekil 14.56). Bu eğri boyunca  $f$ 'nin bu eğri üzerindeki değerlerine

göre yerel minimum ve maksimumlarının bulunduğu noktaları ararız. Bunlar, Teorem 12'de gördüğümüz gibi,  $\nabla f$ 'nin  $C$ 'ye normal olduğu noktalardır. Fakat bu noktalarda  $\nabla g_1$  ve  $\nabla g_2$  de  $C$ 'ye normaldir, çünkü  $C$ ,  $g_1 = 0$  ve  $g_2 = 0$  yüzeyleri üzerindedir. Dolayısıyla,  $\nabla f$ ,  $\nabla g_1$  ve  $\nabla g_2$  ile belirlenen düzlem üzerindedir; bu da belirli  $\lambda$  ve  $\mu$  değerleri için  $\nabla f = \lambda \nabla g_1 + \mu \nabla g_2$  olduğu anlamına gelir. Aradığımız noktalar iki yüzeyin de üzerinde oldukları için, koordinatları, (2)'deki diğer denklemler olan  $g_1(x, y, z) = 0$  ve  $g_2(x, y, z) = 0$  denklemlerini sağlamalıdır.



**SEKİL 14.57** Düzlemin ve silindirin kesişikleri elips üzerinde, hangi noktalar orijine en yakın ve en uzaktır? (Örnek 5)

### ÖRNEK 5 Bir Elips Üzerinde Uzaklıkların Maksimumunu Bulmak

$x + y + z = 1$  düzlemi  $x^2 + y^2 = 1$  silindirini bir elips boyunca keser (Şekil 14.57). Elips üzerinde orijine en yakın ve en uzak noktaları bulun.

#### Çözüm

$$f(x, y, z) = x^2 + y^2 + z^2$$

kısıtlamalarına maruz olan

$$g_1(x, y, z) = x^2 + y^2 - 1 = 0 \quad (3)$$

$$g_2(x, y, z) = x + y + z - 1 = 0 \quad (4)$$

fonksiyonunun  $((x, y, z)$  den orijine olan uzaklığın karesi) ekstremum değerlerini bulacağız. (2) Denklemlerindeki gradiyent denklemi

$$\nabla f = \lambda \nabla g_1 + \mu \nabla g_2$$

$$2x\mathbf{i} + 2y\mathbf{j} + 2z\mathbf{k} = \lambda(2x\mathbf{i} + 2y\mathbf{j}) + \mu(\mathbf{i} + \mathbf{j} + \mathbf{k})$$

$$2x\mathbf{i} + 2y\mathbf{j} + 2z\mathbf{k} = (2\lambda x + \mu)\mathbf{i} + (2\lambda y + \mu)\mathbf{j} + \mu\mathbf{k}$$

veya

$$2x = 2\lambda x + \mu, \quad 2y = 2\lambda y + \mu, \quad 2z = \mu \quad (5)$$

verir.

(5)'teki skaler denklemler

$$2x = 2\lambda x + 2z \Rightarrow (1 - \lambda)x = z$$

$$2y = 2\lambda y + 2z \Rightarrow (1 - \lambda)y = z$$

(6)

verir.  $\lambda = 1$  ve  $z = 0$  ise, veya  $\lambda \neq 1$  ve  $x = y = z/(1 - \lambda)$  ise, (6) denklemleri aynı anda sağlanır.

$z = 0$  ise, elips üzerindeki noktaları bulmak için (3) ve (4) denklemlerini birlikte çözmek  $(1, 0, 0)$  ve  $(0, 1, 0)$  noktalarını verir. Şekil 14.57'ya bakarsanız bu anlamlıdır.

$x = y$  ise, (3) ve (4) denklemleri

$$x^2 + x^2 - 1 = 0 \quad x + x + z - 1 = 0$$

$$2x^2 = 1 \quad z = 1 - 2x$$

$$x = \pm \frac{\sqrt{2}}{2} \quad z = 1 \mp \sqrt{2}$$

verir. Elips üzerinde bunlara karşılık gelen noktalar

$$P_1 = \left( \frac{\sqrt{2}}{2}, \frac{\sqrt{2}}{2}, 1 - \sqrt{2} \right) \quad \text{ve} \quad P_2 = \left( -\frac{\sqrt{2}}{2}, -\frac{\sqrt{2}}{2}, 1 + \sqrt{2} \right)$$

noktalarıdır. Ancak burada dikkatli olmamız gereklidir.  $P_1$  ve  $P_2$ 'nin ikisi de  $f$ 'nin elips üzerindeki ekstrem değerlerini verirlerken,  $P_2$  orijine  $P_1$ 'den daha uzaktır.

Elips üzerinde orijine en yakın noktalar  $(1, 0, 0)$  ve  $(0, 1, 0)$  noktalarıdır. Elips üzerinde orijinden en uzak nokta  $P_2$  noktasıdır. ■

## ALIŞTIRMALAR 14.8

### Tek Kısıtlamayla İki Bağımsız Değişken

- Bir elips üzerinde ekstremumlar**  $x^2 + 2y^2 = 1$  elipsi üzerinde  $f(x, y) = xy$ 'nin ekstremum değerlerinin bulunduğu noktaları bulun.
- Bir çember üzerinde ekstremumlar**  $f(x, y) = xy$ 'nin  $g(x, y) = x^2 + y^2 - 10 = 0$  kısıtlaması altındaki ekstremum değerlerini bulun.
- Bir doğru üzerinde maksimum**  $x + 3y = 10$  doğrusu üzerinde  $f(x, y) = 49 - x^2 - y^2$ 'nin maksimum değerini bulun.
- Bir doğru üzerinde ekstremumlar**  $x + y = 3$  doğrusu üzerinde  $f(x, y) = x^2y$ 'nin yerel ekstremum değerlerini bulun.
- Kısıtlanmış minimum**  $xy^2 = 54$  eğrisi üzerinde orijine en yakın noktaları bulun.
- Kısıtlanmış minimum**  $x^2y = 2$  eğrisi üzerinde orijine en yakın noktaları bulun.
- Lagrange çarpanları yöntemini kullanarak aşağıdakileri bulun:
  - Bir hiperbol üzerinde minimum**  $xy = 16$ ,  $x > 0$ ,  $y > 0$  kısıtlamaları altında  $x + y$ 'nın minimum değeri;
  - Bir doğru üzerinde maksimum**  $x + y = 16$  kısıtlaması altında  $xy$ 'nın maksimum değeri.
 Her çözümün geometrisini yorumlayın.
- Bir eğri üzerinde ekstremumlar**  $xy$ -düzleminde  $x^2 + xy + y^2 = 1$  eğrisinin orijine en yakın ve en uzak noktalarını bulun.
- Sabit hacim ile minimum yüzey alanı** Hacmi  $16\pi \text{ cm}^3$  olan en küçük yüzey alanlı kapalı silindirin boyutlarını bulun.
- Bir küre içinde bir silindir**  $a$  yarıçaplı bir kürenin içine yerleştirilebilecek en büyük yüzey alanlı açık silindirin yarıçap ve yüksekliğini bulun. En büyük yüzey alanı nedir?
- Bir elips içinde en büyük alanlı dikdörtgen** Lagrange çarpanları yöntemini kullanarak, kenarları koordinat eksenlerine paralel olan ve  $x^2/16 + y^2/9 = 1$  elipsinin içine yerleştirilebilecek en büyük alanlı dikdörtgenin boyutlarını bulun.
- Bir elips içinde en büyük çevrelî dikdörtgen** Kenarları koordinat eksenlerine paralel olan ve  $x^2/a^2 + y^2/b^2 = 1$  elipsinin içine yerleştirilebilecek en büyük çevrelî dikdörtgenin boyutlarını bulun. En büyük çevre nedir?
- Bir çember üzerinde ekstremumlar**  $x^2 - 2x + y^2 - 4y = 0$  kısıtlaması altında,  $x^2 + y^2$ 'nin maksimum ve minimum değerlerini bulun.
- Bir çember üzerinde ekstremumlar**  $x^2 + y^2 = 4$  kısıtlaması altında  $3x - y + 6$ 'nın maksimum ve minimum değerlerini bulun.

- Metal bir plaka üzerinde bir karınca** Metal bir plakanın üzerinde bir  $(x, y)$  noktasındaki sıcaklık  $T(x, y) = 4x^2 - 4xy + y^2$ 'dir. Bir karınca plakada merkezi orijinde olan 5 yarıçaplı bir çember üzerinde yürümektedir. Karınca'nın karşılaşacağı en yüksek ve en düşük sıcaklıklar nedir?

- En ucuz depolama tankı** Firmanızdan LPG için bir depolama tankı tasarlanması istenmiştir. Müşterinin belirtikleri, uçları yarım küre olan silindirik bir tank gerektirmektedir ve tank  $8000 \text{ m}^3$  gaz içerecektir. Müşteri ayrıca tankın yapımında olası en az malzemeyi kullanmak istemektedir. Tankın silindirik kısmı için hangi yarıçap ve yüksekliği önerirsiniz?

### Kısıtlamayla Üç Bağımsız Değişken

- Bir noktaya minimum uzaklık**  $x + 2y + 3z = 13$  düzlemi üzerinde  $(1, 1, 1)$  noktasına en yakın noktayı bulun.
- Bir noktaya maksimum uzaklık**  $x^2 + y^2 + z^2 = 4$  küresi üzerinde  $(1, -1, 1)$  noktasından en uzak noktayı bulun.
- Orijine minimum uzaklık**  $x^2 - y^2 - z^2 = 1$  yüzeyinden orijine olan minimum uzaklığını bulun.
- Orijine minimum uzaklık**  $z = xy + 1$  yüzeyinde orijine en yakın noktayı bulun.
- Orijine minimum uzaklık**  $z^2 = xy + 4$  yüzeyinde orijine en yakın noktayı bulun.
- Orijine minimum uzaklık**  $xyz = 1$  yüzeyinde orijine en yakın nokta(ları) bulun.
- Bir küre üzerinde ekstremumlar**  $x^2 + y^2 + z^2 = 30$  küresi üzerinde

$$f(x, y, z) = x - 2y + 5z$$

fonksiyonunun maksimum ve minimum değerini bulun.

- Bir küre üzerinde ekstremumlar**  $x^2 + y^2 + z^2 = 25$  küresi üzerinde  $f(x, y, z) = x + 2y + 3z$ 'nın maksimum ve minimum değerlerini aldığı noktaları bulun.
- Bir kareler toplamını minimize etmek** Toplamları 9 ve karelerinin toplamı mümkün olduğunda küçük olan üç sayı bulun.
- Bir çarpımı maksimize etmek**  $x + y + z^2 = 16$  ise, pozitif  $x, y$  ve  $z$  sayılarının çarpımlarının en büyük değerini bulun.
- Bir küre içinde en büyük hacimli dikdörtgensel kutu** Birim küre içine konulabilecek maksimum hacimli kapalı dikdörtgensel kutunun boyutlarını bulun.

- 28. Kölesi bir düzlem üzerinde olan kutu** Birinci sekizde bir bölgede, yüzlerinden üçü koordinat düzlemlerinde ve köşelerinden biri  $a > 0$ ,  $b > 0$  ve  $c > 0$  olmak üzere,  $x/a + y/b + z/c = 1$  düzleminde olan en büyük kapalı dikdörtgensel kutunun hacmini bulun.

**29. Bir uzay sondası üzerindeki en sıcak nokta**

$$4x^2 + y^2 + 4z^2 = 16$$

elipsoidinin şeklinde olan bir uzay sondası dünya atmosferine girer ve yüzeyi ısınmaya başlar. Bir saat sonra, sondañın yüzeyindeki  $(x, y, z)$  noktasının sıcaklığı

$$T(x, y, z) = 8x^2 + 4yz - 16z + 600$$

olarak bulunur. Sondañın yüzeyindeki en sıcak noktayı bulun.

- 30. Bir küre üzerinde ekstremum sıcaklıklar**  $x^2 + y^2 + z^2 = 1$  küresindeki  $(x, y, z)$  noktasının santigrad cinsinden sıcaklığı  $T = 400xyz^2$ 'dir. Küredeki en yüksek ve en düşük sıcaklıkların yerini bulun.

- 31. Bir fayda fonksiyonunu maksimize etmek: Ekonomiden bir örnek** Ekonomide,  $G_1$  ve  $G_2$  gibi iki sermaye malının  $x$  ve  $y$  miktarlarının yararlılığı veya *faydası* bazen bir  $U(x, y)$  fonksiyonuya ölçülür. Örneğin,  $G_1$  ve  $G_2$  bir ilaç firmasının elinde bulundurması gereken iki kimyasal ve  $U(x, y)$  de sentezi kullanılan işleme bağlı olarak farklı miktarda kimyasal kullanarak bir ürün üretmenin kazancı olabilir.  $G_1$ 'in kilogramı  $a$  dolar,  $G_2$ 'nin kilogramı  $b$  dolar ve  $G_1$  ile  $G_2$ 'nin birlikte alımı için ayrılan miktar  $c$  dolar ise, şirket yöneticileri  $ax + by = c$  olacak şekilde  $U(x, y)$ 'yi maksimize etmek istemektedir. Yani, tipik bir Lagrange çarpanı problemi çözümleri gereklidir.

$$U(x, y) = xy + 2x$$

olduğunu ve  $ax + by = c$  denkleminin

$$2x + y = 30$$

olarak sadeleştiğini varsayıñ.  $U$ 'nun bu son kısıtlama ile maksimum değerini ve  $x$  ve  $y$  değerlerini bulun.

- 32. Bir Radyo teleskopunu yerleştirmek** Yeni keşfedilmiş bir gezegenin bir radyo teleskop kurmaktan sorumlusunuz. Girişimi önlemek için, teleskopu gezegenin manyetik alanının en düşük olduğu yere koymak istiyorsunuz. Gezegen yarıçapı 6 birim olan bir küredir. Orijini gezegenin merkezinde olan bir koordinat sisteminde, manyetik alanın kuvveti  $M(x, y, z) = 6x - y^2 + xz + 60$ 'dır. Radyo teleskopu nereye yerleştirilmelisiniz?

### İki Kısıtlamayla Lagrange Çarpanları

- 33.**  $2x - y = 0$  ve  $y + z = 0$  kısıtlamaları ile  $f(x, y, z) = x^2 + 2y - z^2$  fonksiyonunu maksimize edin.
- 34.**  $x + 2y + 3z = 6$  ve  $x + 3y + 9z = 9$  kısıtlamaları ile  $f(x, y, z) = x^2 + y^2 + z^2$  fonksiyonunu minimize edin.
- 35. Orijine minimum uzaklık**  $y + 2z = 12$  ve  $x + y = 6$  düzlemlerinin kesişim doğrusu üzerinde orijine en yakın noktayı bulun.

- 36. Kesişim doğrusu üzerinde maksimum değer**  $2x - y = 0$  ve  $y + z = 0$  düzlemlerinin kesişim doğrusu üzerinde  $f(x, y, z) = x^2 + 2y - z^2$ 'nin alabilecegi maksimum değeri bulun.

- 37. Kesişim eğrisi üzerinde ekstremumlar**  $z = 1$  düzlemi ile  $x^2 + y^2 + z^2 = 10$  küresinin kesişim eğrisi üzerinde  $f(x, y, z) = x^2yz + 1$ 'in ekstremum değerlerini bulun.

- 38. a. Kesişim doğrusu üzerinde maksimum**  $x + y + z = 40$  ve  $x + y - z = 0$  düzlemlerinin kesişim doğrusu üzerinde  $w = xyz$ 'nin maksimum değerini bulun.

- b.**  $w$ 'nun bir minimumunu değil de bir maksimumunu bulduğumuzu desteklemek için geometrik bir yorum yapın.

- 39. Kesişim çemberi üzerinde ekstremumlar**  $y - x = 0$  düzleminin  $x^2 + y^2 + z^2 = 4$  küresini kestiği çember üzerinde  $f(x, y, z) = xy + z^2$ 'nin ekstremum değerlerini bulun.

- 40. Orijine minimum uzaklık**  $2y + 4z = 5$  düzlemi ve  $z^2 = 4x^2 + 4y^2$  konisinin kesişim eğrisi üzerinde orijine en yakın noktayı bulun.

### Teori ve Örnekler

- 41.  $\nabla f = \lambda \nabla g$  koşulu yeterli değildir**  $g(x, y) = 0$  kısıtlaması ile  $f(x, y)$ 'nın bir ekstremum değerinin var olması için  $\nabla f = \lambda \nabla g$  gerekli bir koşulken, bu değerin bulunduğu garantiyez. Örnek olarak,  $xy = 16$  kısıtlaması ile  $f(x, y) = x + y$ 'nın maksimum değerini bulmak için Lagrange çarpanları yöntemini kullanmayı deneyin. Yöntem, yerel ekstremumların yerlerine aday olarak  $(4, 4)$  ve  $(-4, -4)$  noktalarını tanımlayacaktır. Ama  $(x + y)$  toplamının  $xy = 16$  hiperbolü üzerinde bir maksimum değeri yoktur. Birinci dörtbir bir bölgede, bu hiperbol üzerinde ne kadar ilerlerseniz,  $f(x, y) = x + y$  o kadar büyür.

- 42. Bir en küçük kareler düzlemi**  $z = Ax + By + C$  düzlemi aşağıdaki  $(x_k, y_k, z_k)$  noktalarına "uydurulacaktır":

$$(0, 0, 0), \quad (0, 1, 1), \quad (1, 1, 1), \quad (1, 0, -1)$$

Sapmaların karelerinin toplamı olan

$$\sum_{k=1}^4 (Ax_k + By_k + C - z_k)^2$$

toplamını minimize eden  $A$ ,  $B$  ve  $C$  değerlerini bulun.

- 43. a. Bir küre üzerinde maksimum** Merkezi, Kartezyen bir  $abc$ -koordinat sisteminin orijininde olan  $r$  yarıçaplı bir küre üzerinde  $a^2b^2c^2$ 'nin maksimum değerinin  $(r^2/3)^3$  olduğunu gösterin.

- b. Geometrik ve aritmetik ortalamalar** (a) şikkini kullanarak, negatif olmayan  $a$ ,  $b$  ve  $c$  sayıları için,

$$(abc)^{1/3} \leq \frac{a + b + c}{3}$$

olduğunu gösterin. Yani, üç sayının *geometrik ortalaması*, *aritmetik ortalamasına* eşit veya ondan küçüktür.

- 44. Çarpımlar toplamı**  $a_1, a_2, \dots, a_n$  tane pozitif sayı olsun.  $\sum_{i=1}^n x_i^2 = 1$  kısıtlaması ile  $\sum_{i=1}^n a_i x_i$ 'nın maksimumunu bulun.

**BİLGİSAYAR ARAŞTIRMALARI**

### Lagrange Çarpanları Yöntemini Uygulamak

45–50 alıştırmalarında, kısıtlanmış bir ekstremumu bulmak için Lagrange çarpanları yöntemini yerine getiren adımları gerçekleştirmek için bir BCS kullanın.

- $f'$ nin,  $g_1 = 0$  ve  $g_2 = 0$  kısıtlamaları altında optimize edilecek fonksiyon olmak üzere,  $h = f - \lambda_1 g_1 - \lambda_2 g_2$  fonksiyonunu oluşturun.
- $\lambda_1$  ve  $\lambda_2$ 'ye göre olanlar da dahil olmak üzere,  $h$ 'nin birinci mertebeden kısmi türevlerini bulun ve onları 0'a eşitleyin.
- (b)'de bulunan denklem sistemlerinden  $\lambda_1$  ve  $\lambda_2$  de dahil olmak üzere bütün bilinmeyenleri çözün.
- $f$ 'yi (c)'de bulunan çözüm noktalarının her birinde hesaplayın ve alıştırmada verilen kısıtlamaları sağlayan ekstrem değeri bulun.

45.  $x^2 + y^2 - 2 = 0$  ve  $x^2 + z^2 - 2 = 0$  kısıtlamaları altında  $f(x, y, z) = xy + yz$ 'yi minimize edin.
46.  $x^2 + y^2 - 1 = 0$  ve  $x - z = 0$  kısıtlamaları altında  $f(x, y, z) = xyz$ 'yi minimize edin.
47.  $2y + 4z - 5 = 0$  ve  $4x^2 + 4y^2 - z^2 = 0$  kısıtlamaları altında  $f(x, y, z) = x^2 + y^2 + z^2$ 'yi maksimize edin.
48.  $x^2 - xy + y^2 - z^2 - 1 = 0$  ve  $x^2 + y^2 - 1 = 0$  kısıtlamaları altında  $f(x, y, z) = x^2 + y^2 + z^2$ 'yi minimize edin.
49.  $2x - y + z - w - 1 = 0$  ve  $x + y - z + w - 1 = 0$  kısıtlamaları altında  $f(x, y, z, w) = x^2 + y^2 + z^2 + w^2$ 'yi minimize edin.
50.  $y = x + 1$  doğrusundan  $y^2 = x$  parabolüne olan uzaklıği bulun (*İpucu:*  $(x, y)$  doğru üzerinde bir nokta ve  $(w, z)$  de parabol üzerinde bir nokta olsun  $(x - w)^2 + (y - z)^2$ 'yi minimize etmek istiyorsunuz).

**14.9****Kısıtlanmış Değişkenlerle Kısmı Türevler**

$w = f(x, y)$  gibi fonksiyonların kısmi türevlerini bulurken,  $x$  ve  $y$ 'nin bağımsız olduğunu varsayıdık. Ama çoğu uygulamada durum böyle değildir. Örneğin, bir gazın iç enerjisi  $U$ , gazın basıncı, hacmi ve sıcaklığı sırasıyla  $P, V$  ve  $T$  olmak üzere  $U = f(P, V, T)$  fonksiyonu olarak ifade edilebilir. Ancak gazın molekülleri birbirleriyle etkileşmeyorsa,  $P, V$  ve  $T$

$$PV = nRT \quad (n \text{ ve } R \text{ birer sabit})$$

ideal gaz yasasına uyarlar (ve kısıtlıdır) ve bağımsız değildirler. Bu bölümde, ekonomi, mühendislik veya fizikte karşılaşabileceğimiz bu gibi durumlarda kısmi türevlerin nasıl bulunacaklarını öğreneceğiz. †

### Değişkenlerin Hangilerinin Bağımlı, Hangilerinin Bağımsız Olduğuuna Karar Vermek

Bir  $w = f(x, y, z)$  fonksiyonunun değişkenleri,  $x, y$  ve  $z$  üzerine  $z = x^2 + y^2$  denklemiyle konulmuşa benzer bir bağıntıyla kısıtlanmışsa,  $f$ 'nin kısmi türevlerinin geometrik anlamları ve sayısal değerleri, değişkenlerin hangilerinin bağımlı, hangilerinin bağımsız olarak seçileceğine bağlı olacaktır. Bu seçimin, sonucu nasıl etkileyeceğini görmek için  $w = x^2 + y^2 + z^2$  ve  $z = x^2 + y^2$  iken  $\partial w / \partial x$ 'in hesaplanması ele alacağız.

#### ÖRNEK 1 Kısıtlanmış Bağımsız Değişkenlerle Bir Kısmı Türev Bulmak

$w = x^2 + y^2 + z^2$  ve  $z = x^2 + y^2$  ise,  $\partial w / \partial x$ 'i bulun.

†Bu bölüm Arthur P. Mattuck tarafından MIT için yazılan notlara dayanmaktadır.

**Cözüm**  $x, y, z$  ve  $w$  gibi dört değişkenli iki denklem verilmiştir. Çoğu sistem gibi, bundan da bilinmeyenlerin ikisi (bağlı değişkenler) diğerleri cinsinden (bağımsız değişkenler) çözülebilir.  $\partial w/\partial x$  sorulduğuna göre,  $w$ 'nin bağımlı bir değişken,  $x$ 'in de bağımsız bir değişken olduğu söylenmektedir. Diğer değişkenler için olası seçimler

Bağımlı	Bağımsız
$w, z$	$x, y$
$w, y$	$x, z$

olur. Her durumda,  $w$ 'yi açık olarak, seçilen bağımsız değişkenler cinsinden ifade edebiliyoruz. Bunu, birinci denklemdeki diğer bağlı değişkeni ortadan kaldırınmak için ikinci denklem  $z = x^2 + y^2$ yi kullanarak yaparız.

Birinci durumda, diğer bağlı değişken  $z$ dir. Bunu birinci denklemde  $z$  yerine  $x^2 + y^2$  yazarak ortadan kaldırırız. Ortaya çıkan  $w$  ifadesi

$$\begin{aligned} w &= x^2 + y^2 + z^2 = x^2 + y^2 + (x^2 + y^2)^2 \\ &= x^2 + y^2 + x^4 + 2x^2y^2 + y^4 \end{aligned}$$

olur ve

$$\frac{\partial w}{\partial x} = 2x + 4x^3 + 4xy^2 \quad [1]$$

bulunur.  $x$  ve  $y$  bağımsız değişkenler olduklarında,  $\partial w/\partial x$ 'in formülü budur.

Bağımsız değişkenlerin  $x$  ve  $z$ , ikinci bağlı değişkenin  $y$  olduğu ikinci durumda,  $w$  ifadesindeki bağlı değişken  $y$ 'yi  $y^2$  yerine  $z - x^2$  yazarak ortadan kaldırırız. Bu

$$w = x^2 + y^2 + z^2 = x^2 + (z - x^2) + z^2 = z + z^2$$

verir ve

$$\frac{\partial w}{\partial x} = 0 \quad [2]$$

bulunur.  $x$  ve  $z$  bağımsız değişkenler olduklarında,  $\partial w/\partial x$ 'in formülü budur.

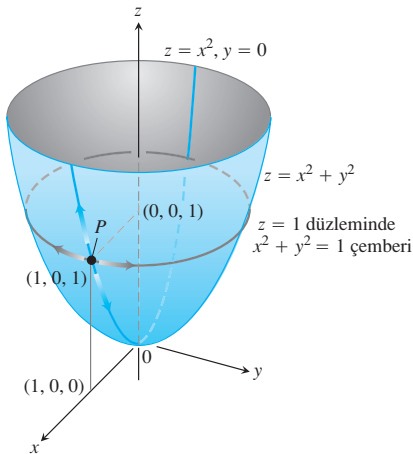
(1) ve (2) Denklemlerindeki  $\partial w/\partial x$  formülleri gerçekten farklıdır. Bir formülden diğerine  $z = x^2 + y^2$  bağıntısını kullanarak geçemeyiz. Tek bir değil iki tane  $\partial w/\partial x$  vardır ve  $\partial w/\partial x$ 'i bulmak için verilen talimatların yeterli olmadığını görüyoruz. *Hangi  $\partial w/\partial x$ ?* diye sorarız.

(1) ve (2) Denklemlerinin geometrik yorumları denklemelerin neden değişik olduğunu açıklamaya yardımcı olur.  $w = x^2 + y^2 + z^2$  fonksiyonu  $(x, y, z)$  noktasından orijine olan uzaklığın karesini ölçer.  $z = x^2 + y^2$  koşulu  $(x, y, z)$  noktasının Şekil 14.58'de görülen dönel paraboloid üzerinde olduğunu söyler. Sadece bu yüzey üzerinde hareket edebilen bir  $P(x, y, z)$  noktasında  $\partial w/\partial x$ 'i hesaplamak ne demektir?  $P$ 'nin değerleri, örneğin,  $(1, 0, 1)$  iken  $\partial w/\partial x$ 'in değeri nedir?

$x$  ve  $y$ 'yi bağımsız olarak alırsak,  $\partial w/\partial x$ 'i  $y$ 'yi sabit tutup (bu durumda  $y = 0$ ) ve  $x$ 'i değiştirerek bulabiliriz. Bu,  $P$ 'nin  $xz$ -düzlemi içindeki  $z = x^2$  parabolü üzerinde hareket ettiği anlamına gelir.  $P$  bu parabol üzerinde hareket ederken,  $P$ 'den orijine uzaklığın karesi olan  $w$  değişir. Bu durumda  $\partial w/\partial x$ 'i

$$\frac{\partial w}{\partial x} = 2x + 4x^3 + 4xy^2$$

olarak buluruz (yukarıdaki ilk çözümümüz).  $(1, 0, 1)$  noktasında, bu türevin değeri



**ŞEKİL 14.58**  $P$  noktası  $z = x^2 + y^2$  paraboloid üzerinde bulunacak şekilde kısıtlanmışsa,  $w = x^2 + y^2 + z^2$ 'nin  $P$ 'de  $x$ 'e göre kısmi türevi hareket doğrultusuna bağlıdır (Örnek 1). (1)  $x$  değişkeni  $y = 0$  ile değişirken,  $P$  noktası  $xz$ -düzlemi içindeki  $z = x^2$  parabolü üzerinde, yüzeyin yukarısına veya aşağısına  $\partial w/\partial x = 2x + 4x^3$  ile hareket eder. (2)  $x, z = 1$  ile değişirken,  $P, x^2 + y^2 = 1, z = 1$  çemberi üzerinde hareket eder ve  $\partial w/\partial x = 0$  olur.

$$\frac{\partial w}{\partial x} = 2 + 4 + 0 = 6$$

olur.

$x$  ve  $z$ 'yi bağımsız olarak alırsak,  $\partial w / \partial x$ 'i  $x$  değişirken  $z$ 'yi sabit tutarak buluruz.  $P$ 'nin  $z$ -koordinatı 1 olduğu için,  $x$ 'i değiştirmek  $P$ 'yi  $z = 1$  düzleminde bir çember üzerinde hareket ettirir.  $P$  bu çember üzerinde ilerlerken, orijinden uzaklığını sabit kalır ve bu uzaklığın karesi olan  $w$  değişmez. Yani, ikinci çözümümüzde bulduğumuz gibi,

$$\frac{\partial w}{\partial x} = 0$$

olur. ■

### $w = f(x, y, z)$ 'nin Değişkenleri Başka Bir Denklemle

#### Kısıtlanmışken $\partial w / \partial x$ Nasıl Bulunur?

Örnek 1'de gördüğümüz gibi,  $w = f(x, y, z)$  fonksiyonundaki değişkenler başka bir değişkenle kısıtlanmışken,  $\partial w / \partial x$ 'in değerini bulmanın üç adımı vardır. Bu adımlar  $\partial w / \partial y$  ile  $\partial w / \partial z$ 'yı bulmakta da kullanılır.

- Hangi değişkenleri bağımsız, hangilerinin bağımlı olacağına karar verin (Pratikte, karar çalışmamızın fiziksel veya teorik konusuna bağlıdır. Bu bölümün sonundaki alıştırmalarda, değişkenlerin hangilerinin hangisi olduğunu söyleyeceğiz).
- $w$  ifadesindeki diğer bağımlı değişken(ler)i ortadan kaldırın.
- Her zamanki gibi türev alın.

Değişkenlerin hangilerinin bağlı olacağına karar verdikten sonra, 2. adımı gerçekleştiremese, denklemlerin türevlerini oldukları gibi alır ve  $\partial w / \partial x$ 'i daha sonra çözeriz. Aşağıdaki örnek bunun nasıl yapıldığını göstermektedir.

#### ÖRNEK 2 Belirlenmiş Kısıtlı Bağımsız Değişkenlerle Bir Kısmı Türev Bulmak

$w = x^2 + y^2 + z^2$   $z^3 - xy + yz + y^3 = 1$   
denklemlerinde  $x$  ve  $y$  bağımsız değişkenler ise,  $(x, y, z) = (2, -1, 1)$  noktasında  $\partial w / \partial x$ 'in değerini bulun.

**Cözüm**  $w$  denleminden  $z$ 'yi yok etmek uygun değildir. Dolayısıyla,  $x$  ile  $y$ 'ye bağımsız,  $w$  ile  $z$ 'ye bağımlı değişkenler gibi bakarak, iki denklemin de iki tarafının  $x$ 'e göre kapalı olarak türevini alırız. Bu

$$\frac{\partial w}{\partial x} = 2x + 2z \frac{\partial z}{\partial x} \quad (3)$$

ve

$$3z^2 \frac{\partial z}{\partial x} - y + y \frac{\partial z}{\partial x} + 0 = 0. \quad [4]$$

verir. Artık bu denklemler birleştirilerek  $\partial w/\partial x$  kısmi türevi  $x$ ,  $y$  ve  $z$  cinsinden ifade edilebilir. (4) denkleminden  $\partial z/\partial x$ 'i çözerek,

$$\frac{\partial z}{\partial x} = \frac{y}{y + 3z^2}$$

elde eder ve bunu (3) denklemine yerleştirerek,

$$\frac{\partial w}{\partial x} = 2x + \frac{2yz}{y + 3z^2}$$

buluruz. Bu türevin  $(x, y, z) = (2, -1, 1)$ 'deki değeri

$$\left( \frac{\partial w}{\partial x} \right)_{(2,-1,1)} = 2(2) + \frac{2(-1)(1)}{-1 + 3(1)^2} = 4 + \frac{-2}{2} = 3$$

bulunur. ■

## TARİHSEL BİYOGRAFI

Sonya Kovalevsky  
(1850–1891)

### Notasyon

Bir türevi hesaplarken hangi değişkenlerin bağımsız olarak varsayıldıklarını göstermek için, aşağıdaki gösterimi kullanabiliriz:

$$\left( \frac{\partial w}{\partial x} \right)_y \quad x \text{ ve } y \text{ bağımsız olmak üzere } \partial w / \partial x$$

$$\left( \frac{\partial f}{\partial y} \right)_{x, t} \quad y, x \text{ ve } t \text{ bağımsız olmak üzere } \partial f / \partial y.$$

### ÖRNEK 3 Notasyon İle Belirlenmiş Kısıtlı Bağımsız Değişkenlerle Bir Kısmi Türev Bulmak

$w = x^2 + y - z + \sin t$  ve  $x + y = t$  ise  $(\partial w/\partial x)_{y, z}$ 'yi bulun.

**Çözüm**  $x, y, z$  bağımsız olmak üzere,

$$\begin{aligned} t &= x + y, \quad w = x^2 + y - z + \sin(x + y) \\ \left( \frac{\partial w}{\partial x} \right)_{y, z} &= 2x + 0 - 0 + \cos(x + y) \frac{\partial}{\partial x}(x + y) \\ &= 2x + \cos(x + y) \end{aligned}$$

bulunur. ■

### Ok Diyagramları

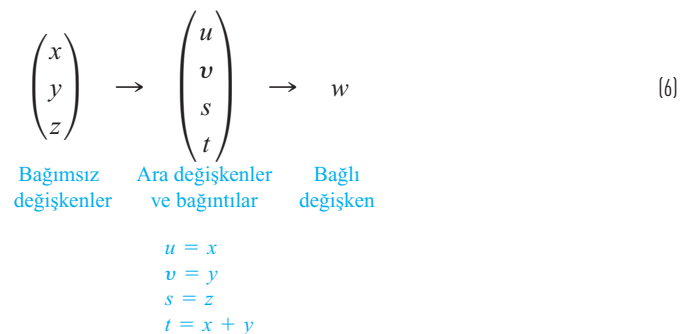
Örnek 3'tekine benzer problemleri çözmek için, değişkenlerle fonksiyonların arasındaki ilişkiye belirten bir ok diyagramıyla işe başlamak genellikle yararlı olur.

$$w = x^2 + y - z + \sin t \quad \text{ve} \quad x + y = t$$

ise ve bizden  $x$ ,  $y$  ve  $z$  bağımsızken  $\partial w / \partial x$ 'i bulmamız isteniyorsa, uygun diyagram şunun gibidir:



Diyagramda aynı sembolik isimli bağımsız ve ara değişkenlerde bir karışıklıkta kaçınmak için ara değişkenlerin isimlerini değiştirmek faydalıdır (bağımsız değişkenlerin *fonksiyonları* olarak görünürler). Böylece,  $u = x$ ,  $v = y$  ve  $s = z$  değiştirilmiş ara değişkenleri göstersin. Bu notasyonla yukarıdaki ok diyagramı



Diyagram solda bağımsız değişkenleri, ortada ara değişkenleri ve onların bağımsız değişkenlerle ilişkilerini ve sağda bağlı değişkeni gösterir. Şimdi fonksiyon,

$$w = u^2 + v - s + \sin t$$

olmak üzere

$$u = x, \quad v = y, \quad s = z \quad \text{ve} \quad t = x + y$$

şeklindedir.

$\partial w / \partial x$ 'i bulmak için, (6) denklemindeki ok diyagramının rehberliğinde,  $w$ 'ye Zincir Kuralının dört değişkenli şeklini uygularız:

$$\begin{aligned} \frac{\partial w}{\partial x} &= \frac{\partial w}{\partial u} \frac{\partial u}{\partial x} + \frac{\partial w}{\partial v} \frac{\partial v}{\partial x} + \frac{\partial w}{\partial s} \frac{\partial s}{\partial x} + \frac{\partial w}{\partial t} \frac{\partial t}{\partial x} \\ &= (2u)(1) + (1)(0) + (-1)(0) + (\cos t)(1) \\ &= 2u + \cos t \\ &= 2x + \cos(x + y). \end{aligned}$$

$u = x$  ve  $t = x + y$  orijinal  
değişkenlerini yerine yazarak

## ALIŞTIRMALAR 14.9

### Kısıtlanmış Değişkenlerle Kısmı Türevleri Bulmak

1–3 alıştırmalarında, işe değişkenler arasındaki bağıntıları gösteren bir diyagram çizerek başlayın.

1.  $w = x^2 + y^2 + z^2$  ve  $z = x^2 + y^2$  ise aşağıdakileri bulun.

- a.  $\left(\frac{\partial w}{\partial y}\right)_z$       b.  $\left(\frac{\partial w}{\partial z}\right)_x$       c.  $\left(\frac{\partial w}{\partial z}\right)_y$ .

2.  $w = x^2 + y - z + \sin t$  ve  $x + y = t$  ise aşağıdakileri bulun.

- a.  $\left(\frac{\partial w}{\partial y}\right)_{x,z}$       b.  $\left(\frac{\partial w}{\partial y}\right)_{z,t}$       c.  $\left(\frac{\partial w}{\partial z}\right)_{x,y}$   
 d.  $\left(\frac{\partial w}{\partial z}\right)_{y,t}$       e.  $\left(\frac{\partial w}{\partial t}\right)_{x,z}$       f.  $\left(\frac{\partial w}{\partial t}\right)_{y,z}$ .

3.  $PV = nRT$  ( $n$  ve  $R$  sabit) ideal gaz yasasına uyan bir gazın iç enerjisi  $U = f(P, V, T)$  olsun. Aşağıdakileri bulun.

a.  $\left(\frac{\partial U}{\partial P}\right)_V$       b.  $\left(\frac{\partial U}{\partial T}\right)_V$

4.

a.  $\left(\frac{\partial w}{\partial x}\right)_y$       b.  $\left(\frac{\partial w}{\partial z}\right)_y$

ise,  $(x, y, z) = (0, 1, \pi)$  noktasında aşağıdakileri bulun.

$$w = x^2 + y^2 + z^2 \quad \text{ve} \quad y \sin z + z \sin x = 0$$

5.

a.  $\left(\frac{\partial w}{\partial y}\right)_x$       b.  $\left(\frac{\partial w}{\partial y}\right)_z$

ise,  $(w, x, y, z) = (4, 2, 1, -1)$ 'de aşağıdakileri bulun.

$$w = x^2 y^2 + yz - z^3 \quad \text{ve} \quad x^2 + y^2 + z^2 = 6$$

6.  $x = u^2 + v^2$  ve  $y = uv$  ise,  $(u, v) = (\sqrt{2}, 1)$  noktasında  $(\partial u / \partial y)_x$  bulun.

7. Kutupsal koordinatlarda olduğu gibi,  $x^2 + y^2 = r^2$  ve  $x = r \cos \theta$  olduğunu varsayıñ. Aşağıdakileri bulun.

$$\left(\frac{\partial x}{\partial r}\right)_\theta \quad \text{ve} \quad \left(\frac{\partial r}{\partial x}\right)_y$$

8.  $w = x^2 - y^2 = 4z + t$  ve  $x + 2z + t = 25$  olduğunu varsayıñ.

$$\frac{\partial w}{\partial x} = 2x - 1 \quad \text{ve} \quad \frac{\partial w}{\partial x} = 2x - 2$$

denklemelerinin ikisinin de, değişkenlerin hangilerinin bağımlı ve hangilerinin bağımsız seçileceğine bağlı olarak,  $\partial w / \partial x$ 'i verdiklerini gösterin. Her durumda bağımsız değişkenleri tanımlayın.

olduğunu gösterin (*İpucu:* Bütün türevleri normal  $\partial f / \partial x$ ,  $\partial f / \partial y$  ve  $\partial f / \partial z$  cinsinden ifade edin).

10.  $u = xy$  olmak üzere,  $z = x + f(u)$  ise,

$$x \frac{\partial z}{\partial x} - y \frac{\partial z}{\partial y} = x$$

olduğunu gösterin.

11.  $g(x, y, z) = 0$  denkeminin  $z$ 'yi  $x$  ve  $y$  bağımsız değişkenlerinin türeviden bir fonksiyon olarak tanımladığını ve  $g_z \neq 0$  olduğunu varsayıñ. Aşağıdaki ifadeyi gösterin.

$$\left(\frac{\partial z}{\partial y}\right)_x = -\frac{\partial g / \partial y}{\partial g / \partial z}$$

12.  $f(x, y, z, w) = 0$  ve  $g(x, y, z, w) = 0$  denklemelerinin  $z$  ve  $w$ 'yi  $x$  ile  $y$  bağımsız değişkenlerinin diferansiyellenebilir fonksiyonları olarak tanımladıklarını ve

$$\frac{\partial f}{\partial z} \frac{\partial g}{\partial w} - \frac{\partial f}{\partial w} \frac{\partial g}{\partial z} \neq 0$$

olduğunu varsayıñ.

$$\left(\frac{\partial z}{\partial x}\right)_y = -\frac{\frac{\partial f}{\partial x} \frac{\partial g}{\partial w} - \frac{\partial f}{\partial w} \frac{\partial g}{\partial x}}{\frac{\partial f}{\partial z} \frac{\partial g}{\partial w} - \frac{\partial f}{\partial w} \frac{\partial g}{\partial z}}$$

ve

$$\left(\frac{\partial y}{\partial z}\right)_x = -\frac{\frac{\partial f}{\partial z} \frac{\partial g}{\partial y} - \frac{\partial f}{\partial y} \frac{\partial g}{\partial z}}{\frac{\partial f}{\partial z} \frac{\partial g}{\partial w} - \frac{\partial f}{\partial w} \frac{\partial g}{\partial z}}$$

olduğunu gösterin.

## Belirli Formülleri Olmayan Kısmi Türevler

9. Hidrodinamikte geniş olarak kullanılan bir gerçeği, yani  $f(x, y, z) = 0$  ise,

$$\left(\frac{\partial x}{\partial y}\right)_z \left(\frac{\partial y}{\partial z}\right)_x \left(\frac{\partial z}{\partial x}\right)_y = -1$$

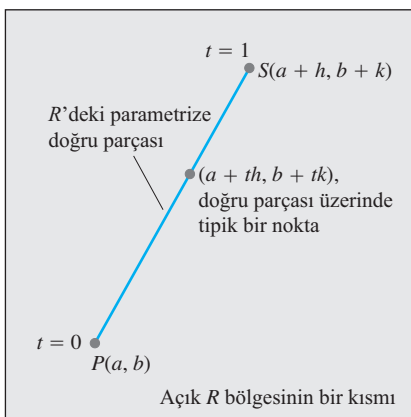
## 14.10

### İki Değişken İçin Taylor Formülü

Bu bölüm yerel ekstremum değerler için İkinci Türev Testini (Bölüm 14.7) ve iki bağımsız değişkenli fonksiyonları linearizasyonlarının hata formülünü (Bölüm 14.6) türetmek için Taylor formülünü kullanır. Bu türetmelerde Taylor formülünün kullanılması, formülün her mertebeden iki değişkenli fonksiyonların polinom yaklaşımlarını sağlayan bir genişlemesini verecektir.

#### İkinci Türev Testinin Türetilmesi

Açık bir  $R$  bölgesindeki bir  $P(a, b)$  noktasında  $f_x = f_y = 0$  eşitliklerini sağlayan bir  $f(x, y)$  fonksiyonunun  $R$  üzerinde sürekli kısmi türevleri var olsun (Şekil 14.59).  $h$  ve  $k$ ,



**ŞEKİL 14.59**  $P(a, b)$  noktasında İkinci türev testini elde etme işine,  $P$ 'den yakınındaki bir  $S$  noktasına kadar tipik bir doğru parçasını parametrize ederek başlarız.

$S(a + h, b + k)$  noktasını ve bu noktayı  $P$ 'ye birleştiren doğru parçasının  $R$  içinde olmasını sağlayacak kadar küçük artımlar olsun.  $PS$  doğru parçasını

$$x = a + th, \quad y = b + tk, \quad 0 \leq t \leq 1$$

şeklinde parametrize ederiz.  $F(t) = f(a + th, b + tk)$  ise, Zincir Kuralı

$$F'(t) = f_x \frac{dx}{dt} + f_y \frac{dy}{dt} = hf_x + kf_y$$

verir.  $f_x$  ve  $f_y$  diferansiyellenebilir oldukları için (sürekli kısmi türevleri vardır),  $F'$  türevi  $t$ 'nin türetilebilir bir fonksiyonudur ve

$$\begin{aligned} F'' &= \frac{\partial F'}{\partial x} \frac{dx}{dt} + \frac{\partial F'}{\partial y} \frac{dy}{dt} = \frac{\partial}{\partial x} (hf_x + kf_y) \cdot h + \frac{\partial}{\partial y} (hf_x + kf_y) \cdot k \\ &= h^2 f_{xx} + 2hkf_{xy} + k^2 f_{yy} \end{aligned}$$

$$f_{xy} = f_{yx}$$

olur.  $F$  ve  $F'$   $[0, 1]$ 'de sürekli olduklarından ve  $F'$  fonksiyonu  $(0, 1)$ 'de diferansiyellenebilir olduğundan  $n = 2$  ve  $a = 0$  ile Taylor formülünü kullanarak, 0 ile 1 arasındaki bir  $c$  sayısı için

$$\begin{aligned} F(1) &= F(0) + F'(0)(1 - 0) + F''(c) \frac{(1 - 0)^2}{2} \\ F(1) &= F(0) + F'(0) + \frac{1}{2} F''(c) \end{aligned} \tag{1}$$

elde ederiz. (1) Denklemini  $f$  cinsinden yazmak

$$\begin{aligned} f(a + h, b + k) &= f(a, b) + hf_x(a, b) + kf_y(a, b) \\ &\quad + \frac{1}{2} (h^2 f_{xx} + 2hkf_{xy} + k^2 f_{yy}) \Big|_{(a+ch, b+ck)} \end{aligned} \tag{2}$$

verir.  $f_x(a, b) = f_x(a, b) = 0$  olduğundan, bu

$$f(a + h, b + k) - f(a, b) = \frac{1}{2} (h^2 f_{xx} + 2hkf_{xy} + k^2 f_{yy}) \Big|_{(a+ch, b+ck)} \tag{3}$$

haline indirgenir.  $f$ 'nin  $(a, b)$ 'de bir ekstremumunun bulunması  $f(a + h, b + k) - f(a, b)$ 'nin işaretile belirlenir. (3) denkleminden, bu

$$Q(c) = (h^2 f_{xx} + 2hkf_{xy} + k^2 f_{yy}) \Big|_{(a+ch, b+ck)}$$

fonksiyonunun işaretile aynıdır. Şimdi,  $Q(0) \neq 0$  ise,  $Q(c)$ 'nın işaretinin yeterince küçük  $h$  ve  $k$  değerleri için  $Q(0)$ 'ın işaretini ile aynı olacaktır.

$$Q(0) = h^2 f_{xx}(a, b) + 2hkf_{xy}(a, b) + k^2 f_{yy}(a, b) \tag{4}$$

değerinin işaretini  $f_{xx}$  ve  $f_{xx}f_{yy} - f_{xy}^2$ 'nin  $(a, b)$ 'deki işaretlerinden tahmin edebiliriz. (4) denkleminin iki tarafını da  $f_{xx}$  ile çarpar ve sağ tarafı yeniden düzenlersek

$$f_{xx}Q(0) = (hf_{xx} + kf_{xy})^2 + (f_{xx}f_{yy} - f_{xy}^2)k^2 \tag{5}$$

elde ederiz. (5) denkleminden aşağıdakileri çıkarırız:

1.  $(a, b)$ 'de  $f_{xx} < 0$  ve  $f_{xx}f_{yy} - f_{xy}^2 > 0$  ise,  $h$  ve  $k$ 'nın sıfırdan farklı yeterince küçük değerlerinde  $Q(0) < 0$  olur ve  $f$ 'nin  $(a, b)$ 'de bir yerel maksimumu vardır.
2.  $(a, b)$ 'de  $f_{xx} > 0$  ve  $f_{xx}f_{yy} - f_{xy}^2 > 0$  ise,  $h$  ve  $k$ 'nın sıfırdan farklı yeterince küçük değerlerinde  $Q(0) > 0$  olur ve  $f$ 'nin  $(a, b)$ 'de bir yerel minimumu vardır.

3.  $(a, b)$ 'de  $f_{xx}f_{yy} - f_{xy}^2 < 0$  ise,  $h$  ve  $k$ 'nin,  $Q(0) < 0$  olmasını sağlayacak, sıfırdan farklı yeterince küçük değerlerinin bir kombinasyonu ve  $Q(0) > 0$  olmasını sağlayacak başka kombinasyonu vardır.  $z = f(x, y)$  yüzeyinde  $P_0(a, b, f(a, b))$  noktasının keyfi derecede yakınında,  $P_0$ 'ın üst tarafında ve alt tarafında noktalar vardır, dolayısıyla  $f$ 'nin  $(a, b)$ 'de bir *eyer noktası* vardır.
4.  $f_{xx}f_{yy} - f_{xy}^2 = 0$  ise, başka bir teste gerek vardır.  $Q(0)$ 'ın sıfıra eşit olma olasılığı  $Q(c)$ 'nın işaretini hakkında sonuç çıkarmamızı önlüyor.

### Lineer Yaklaşımalar İçin Hata Formülü

Bir  $f(x, y)$  fonksiyonu ile  $(x_0, y_0)$ 'daki lineerizasyonu  $L(x, y)$ 'nin değerleri arasındaki  $E(x, y)$  farkının

$$|E(x, y)| \leq \frac{1}{2} M(|x - x_0| + |y - y_0|)^2$$

eşitsizliğini sağladığını göstermek istiyoruz.  $f$  fonksiyonunun,  $(x_0, y_0)$  merkezli dikdörtgensel bir kapalı  $R$  bölgesini içeren bir açık kümede sürekli ikinci mertebe kısmi türevlerinin var olduğu kabul edilmektedir.  $M$  sayısı,  $|f_{xx}|$ ,  $|f_{yy}|$  ve  $|f_{xy}|$ 'nin  $R$ 'de bir üst sınırlıdır.

İstediğimiz eşitsizlik (2) denkleminden gelir. Sırasıyla,  $a$  ve  $b$  yerine  $x_0$  ve  $y_0$ ,  $h$  ve  $k$  yerine de  $x - x_0$  ve  $y - y_0$  yazarak, sonucu

$$\begin{aligned} f(x, y) &= \underbrace{f(x_0, y_0) + f_x(x_0, y_0)(x - x_0) + f_y(x_0, y_0)(y - y_0)}_{L(x, y) \text{ lineerizasyon}} \\ &\quad + \underbrace{\frac{1}{2} \left( (x - x_0)^2 f_{xx} + 2(x - x_0)(y - y_0)f_{xy} + (y - y_0)^2 f_{yy} \right)}_{E(x, y) \text{ hatası}} \Big|_{(x_0 + c(x - x_0), y_0 + c(y - y_0))} \end{aligned}$$

olarak yeniden düzenleriz. Bu çarpıcı denklem

$$|E| \leq \frac{1}{2} \left( |x - x_0|^2 |f_{xx}| + 2|x - x_0||y - y_0||f_{xy}| + |y - y_0|^2 |f_{yy}| \right)$$

olduğunu gösterir. Dolayısıyla,  $M$ ,  $R$  üzerinde  $|f_{xx}|$ ,  $|f_{xy}|$  ve  $|f_{yy}|$ 'nin değerlerinin bir üst sınıriysa,

$$\begin{aligned} |E| &\leq \frac{1}{2} \left( |x - x_0|^2 M + 2|x - x_0||y - y_0|M + |y - y_0|^2 M \right) \\ &= \frac{1}{2} M(|x - x_0| + |y - y_0|)^2 \end{aligned}$$

bulunur.

### İki Değişkenli Fonksiyonlar İçin Taylor Formülü

Daha önce  $F'$  ve  $F''$  için türetilen denklemler,  $f(x, y)$ 'ye

$$\left( h \frac{\partial}{\partial x} + k \frac{\partial}{\partial y} \right) \quad \text{ve} \quad \left( h \frac{\partial}{\partial x} + k \frac{\partial}{\partial y} \right)^2 = h^2 \frac{\partial^2}{\partial x^2} + 2hk \frac{\partial^2}{\partial x \partial y} + k^2 \frac{\partial^2}{\partial y^2}$$

operatörleri uygulanarak elde edilebilir. Bunlar, daha genel olan

$$F^{(n)}(t) = \frac{d^n}{dt^n} F(t) = \left( h \frac{\partial}{\partial x} + k \frac{\partial}{\partial y} \right)^n f(x, y) \quad (6)$$

formülünün ilk iki örneğidir. (6) Denklemi  $F(t)$ 'ye  $d^n/dt^n$  uygulamanın,  $f(x, y)$  fonksiyonuna,

$$\left( h \frac{\partial}{\partial x} + k \frac{\partial}{\partial y} \right)^n$$

operatörünün binom teoremiyle açılmış halini uygulamakla eş olduğunu söyleyelim.

$f'$ 'nin  $(n+1)$ inci mertebeye kadar kısmi türevleri, merkezi  $(a, b)$ 'de olan dikdörtgen şeklindeki bir bölgede sürekli ise,  $F(t)$ 'nin Taylor formülünü

$$F(t) = F(0) + F'(0)t + \frac{F''(0)}{2!} t^2 + \cdots + \frac{F^{(n)}(0)}{n!} t^{(n)} + \text{kalan}$$

şeklinde açabilir ve  $t = 1$  alarak

$$F(1) = F(0) + F'(0) + \frac{F''(0)}{2!} + \cdots + \frac{F^{(n)}(0)}{n!} + \text{kalan}$$

elde edebiliriz. Bu son seride, sağ taraftaki ilk  $n$  türevi, (6) denkleminde  $t = 0$  için hesaplanmış eşdeğer ifadeleri ile değiştirdiğimizde ve uygun bir kalan terim eklediğimizde aşağıdaki formüle ulaşırız:

### (a, b) Noktasında $f(x, y)$ 'nin Taylor Formülü

$f(x, y)$  ve  $(n+1)$ inci mertebeye kadar kısmi türevleri, merkezi  $(a, b)$ 'de olan dikdörtgensel bir açık  $R$  bölgesinde sürekli olsunlar. Bu durumda,  $R$ 'de,

$$\begin{aligned} f(a+h, b+k) &= f(a, b) + (hf_x + kf_y)|_{(a,b)} + \frac{1}{2!}(h^2f_{xx} + 2hkf_{xy} + k^2f_{yy})|_{(a,b)} \\ &\quad + \frac{1}{3!}(h^3f_{xxx} + 3h^2kf_{xxy} + 3hk^2f_{xyy} + k^3f_{yyy})|_{(a,b)} + \cdots + \frac{1}{n!} \left( h \frac{\partial}{\partial x} + k \frac{\partial}{\partial y} \right)^n f \Big|_{(a,b)} \\ &\quad + \frac{1}{(n+1)!} \left( h \frac{\partial}{\partial x} + k \frac{\partial}{\partial y} \right)^{n+1} f \Big|_{(a+ch, b+ck)} \end{aligned} \quad [7]$$

bulunur.

İlk  $n$  türev terimi  $(a, b)$ 'de hesaplanır. Son terim,  $(a, b)$  ile  $(a+h, b+k)$ 'yi birleştiren doğru parçası üzerindeki bir  $(a+ch, b+ck)$  noktasında hesaplanır.

$(a, b) = (0, 0)$  ise ve  $h$  ile  $k$ 'ye (artık onlara  $x$  ve  $y$  diyerek) bağımsız değişkenler gibi davranırsak, (7) denklemi daha basit bir hal alır.

### Orijinde $f(x, y)$ 'nin Taylor Formülü

$$\begin{aligned} f(x, y) &= f(0, 0) + xf_x + yf_y + \frac{1}{2!}(x^2f_{xx} + 2xyf_{xy} + y^2f_{yy}) \\ &\quad + \frac{1}{3!}(x^3f_{xxx} + 3x^2yf_{xxy} + 3xy^2f_{xyy} + y^3f_{yyy}) + \cdots + \frac{1}{n!} \left( x \frac{\partial}{\partial x} + y \frac{\partial}{\partial y} \right)^n f \\ &\quad + \frac{1}{(n+1)!} \left( x \frac{\partial}{\partial x} + y \frac{\partial}{\partial y} \right)^{n+1} f \Big|_{(cx,cy)} \end{aligned} \quad [8]$$

İlk  $n$  türev terimi  $(0, 0)$ 'da hesaplanmaktadır. Son terim orijinle  $(x, y)$ 'yi birleştiren doğru parçası üzerindeki bir noktada hesaplanır.

Taylor formülü bizi, iki değişkenli fonksiyonların polinom yaklaşımlarına götürür. İlk  $n$  türev terimi polinomu verir; son terim yaklaşım hatasını verir. Taylor formülünün ilk üç terimi fonksiyonun lineerizasyonunu verir. Lineerizasyonu iyileştirmek için, daha yüksek dereceden terimler ekleriz.

### ÖRNEK 1 Kuadratik Bir Yaklaşım Bulmak

$f(x, y) = \sin x \sin y$ 'ye orijin civarında kuadratik bir yaklaşım bulun.  $|x| \leq 0.1$  ve  $|y| \leq 0.1$  ise, yaklaşım ne kadar kesindir?

**Çözüm** (8) Denklemlerde  $n = 2$  alırız:

$$\begin{aligned} f(x, y) &= f(0, 0) + (xf_x + yf_y) + \frac{1}{2}(x^2 f_{xx} + 2xy f_{xy} + y^2 f_{yy}) \\ &\quad + \frac{1}{6}(x^3 f_{xxx} + 3x^2 y f_{xxy} + 3xy^2 f_{xyy} + y^3 f_{yyy})|_{(cx, cy)} \end{aligned}$$

ve

$$f(0, 0) = \sin x \sin y|_{(0,0)} = 0, \quad f_{xx}(0, 0) = -\sin x \sin y|_{(0,0)} = 0$$

$$f_x(0, 0) = \cos x \sin y|_{(0,0)} = 0, \quad f_{xy}(0, 0) = \cos x \cos y|_{(0,0)} = 1,$$

$$f_y(0, 0) = \sin x \cos y|_{(0,0)} = 0, \quad f_{yy}(0, 0) = -\sin x \sin y|_{(0,0)} = 0$$

ile,

$$\sin x \sin y \approx 0 + 0 + 0 + \frac{1}{2}(x^2(0) + 2xy(1) + y^2(0)),$$

$$\sin x \sin y \approx xy$$

buluruz. Yaklaşımındaki hata

$$E(x, y) = \frac{1}{6}(x^3 f_{xxx} + 3x^2 y f_{xxy} + 3xy^2 f_{xyy} + y^3 f_{yyy})|_{(cx, cy)}$$

formülüyle bulunur. Üçüncü türevler mutlak değer olarak 1'i asla aşmazlar, çünkü sinüs ve kosinüslerin çarpımlarıdır. Ayrıca,  $|x| \leq 0.1$  ve  $|y| \leq 0.1$ 'dir. Böylece,

$$|E(x, y)| \leq \frac{1}{6}((0.1)^3 + 3(0.1)^3 + 3(0.1)^3 + (0.1)^3) = \frac{8}{6}(0.1)^3 \leq 0.00134$$

bulunur (yuvarlak olarak).  $|x| \leq 0.1$  ve  $|y| \leq 0.1$  ise, hata 0.00134'ü aşmayacaktır. ■

## ALIŞTIRMALAR 14.10

### Kuadratik ve Kübik Yaklaşımları Bulmak

1–10 alıştırmalarında, orijinde  $f(x, y)$ 'nin Taylor formülünü kullanarak,  $f$ 'nin orijin civarında kuadratik ve kübik yaklaşımlarını bulun.

1.  $f(x, y) = xe^y$

2.  $f(x, y) = e^x \cos y$

3.  $f(x, y) = y \sin x$

4.  $f(x, y) = \sin x \cos y$

5.  $f(x, y) = e^x \ln(1 + y)$

6.  $f(x, y) = \ln(2x + y + 1)$

7.  $f(x, y) = \sin(x^2 + y^2)$

8.  $f(x, y) = \cos(x^2 + y^2)$

9.  $f(x, y) = \frac{1}{1-x-y}$       10.  $f(x, y) = \frac{1}{1-x-y+xy}$

11. Taylor formülünü kullanarak,  $f(x, y) = \cos x \cos y$ 'nin orijin civarında kuadratik bir yaklaşımını bulun.  $|x| \leq 0.1$  ve  $|y| \leq 0.1$  ise, yaklaşımındaki hatayı bulun.

12. 12. Taylor formülünü kullanarak,  $e^x \sin y$ 'nin orijin civarında kuadratik bir yaklaşımını bulun.  $|x| \leq 0.1$  ve  $|y| \leq 0.1$  ise, yaklaşımındaki hatayı bulun.

## Bölüm 14

### Bölüm Tekrar Soruları

- İki bağımsız değişkenli reel değerli bir fonksiyon nedir? Ya üç bağımsız değişkenli? Örnek verin.
- Düzlemdeki veya uzaydaki kümelerin açık olması ne demektir? Ya kapalı? Örnekler verin. Ne açık ne de kapalı olan kümelere örnekler verin.
- İki bağımsız değişkenli bir  $f(x, y)$  fonksiyonunun değerlerini grafik olarak nasıl gösterirsiniz? Aynı şeyi üç değişkenli bir  $f(x, y, z)$  fonksiyonu için nasıl yaparsınız?
- Bir  $f(x, y)$  fonksiyonunun  $(x, y) \rightarrow (x_0, y_0)$  iken limitinin  $L$  olması ne anlama gelir? İki bağımsız değişkenli fonksiyonların limitlerinin temel özellikleri nelerdir?
- İki (üç) değişkenli bir fonksiyonun tanım kümesinde bir noktada sürekli olması ne demektir? Bazı noktalarda sürekli, bazlarında süreksiz fonksiyonlara örnekler verin.
- Sürekli fonksiyonların cebirsel kombinasyonları ve bileşkeleri hakkında ne söylenebilir?
- Limitlerin var olmadığı ile ilgili iki yol testini açıklayın.
- Bir  $f(x, y)$  fonksiyonunun  $\partial f / \partial x$  ve  $\partial f / \partial y$  kısmi türevleri nasıl tanımlanır? Nasıl yorumlanır ve hesaplanırlar?
- Birinci mertebe kısmi türevler ile iki bağımsız değişkenli fonksiyonların sürekliliği arasındaki ilişki, tek bağımsız değişkenli reel değerli fonksiyonların birinci türevleri ile sürekliliği arasındaki ilişkiden nasıl farklıdır? Örnek verin.
- Karışık ikinci mertebe kısmi türevlerle ilgili Karışık Türev Teoremi nedir? İkinci ve daha yüksek mertebeden kısmi türevleri hesaplama nasıl yardımcı olur? Örnekler verin.
- Bir  $f(x, y)$  fonksiyonunun diferansiyellenebilmesi ne demektir? Artım Teoremi diferansiyellenebilirlik hakkında ne söyler?
- $f_x$  ve  $f_y$ 'yi inceleyerek bir  $f(x, y)$  fonksiyonunun diferansiyellenebilir olduğuna nasıl karar verirsiniz?  $f$ 'nin diferansiyellenebilirliği ile bir noktada süreklilik arasındaki ilişki nedir?
- Zincir Kuralı nedir? İki bağımsız değişkenli fonksiyonlar için nasıl bir şekil alır? Üç bağımsız değişkenli fonksiyonlar için? Yüzeylerde tanımlanan fonksiyonlar için? Bu farklı şekilleri diyagramla nasıl gösterirsiniz? Örnekler verin. Hangi model bütün farklı şekilleri hatırlamamızı sağlar?
- Bir  $f(x, y)$  fonksiyonunun Taylor formülü, polinom yaklaşımını ve hata öngörülerini nasıl üretir?
- Bir  $f(x, y)$  fonksiyonunun bir  $P_0$  noktasında bir  $\mathbf{u}$  birim vektörü yönünde türevi nedir? Hangi değişim oranını tanımlar? Geometrik yorumu nedir? Örnekler verin.
- Diferansiyellenebilir bir  $f(x, y)$  fonksiyonunun gradiyent vektörü nedir? Fonksiyonların doğrultu türevleri ile arasındaki ilişki nedir? Üç bağımsız değişkenli fonksiyonlar için benzer sonuçları sıralayın.
- Diferansiyellenebilir bir  $f(x, y)$  fonksiyonunun bir seviye eğrisi üzerindeki bir noktada teğeti nasıl bulursunuz? Diferansiyellenebilir bir  $f(x, y, z)$  fonksiyonunun bir seviye yüzeyi üzerindeki bir noktada teğet düzleme ve normali nasıl bulursunuz? Örnekler verin.
- Değişimi öngörmek için yönlü türevleri nasıl kullanırsınız?
- İki değişkenli bir  $f(x, y)$  fonksiyonunu  $(x_0, y_0)$  noktasında nasıl linearize edersiniz? Bunu neden yapmak isteyesiniz? Üç değişkenli bir fonksiyon nasıl linearize edilir?
- İki (üç) bağımsız değişkenli fonksiyonların lineer yaklaşımlarının doğrulukları hakkında ne söyleyebilirsiniz?
- $(x, y)$  noktası  $(x_0, y_0)$ 'dan yakınlardaki bir  $(x_0 + dx, y_0 + dy)$  noktasına giderse, diferansiyellenebilir bir  $f(x, y)$  fonksiyonunun değerindeki değişikliği nasıl öngörsürsünüz? Bir örnek verin.
- Diferansiyellenebilir bir  $f(x, y)$  fonksiyonunun yerel minimum, maksimum ve eyer noktalarını nasıl tanımlarsınız? Örnekler verin.
- Bir  $f(x, y)$  fonksiyonun yerel ekstremum değerlerini belirlemek için hangi türev testleri vardır? Bunlar, ekstremum değerleri bulma işini nasıl kolaylaştırır? Örnekler verin.
- $xy$ -düzleminde kapalı sınırlı bir bölgede, sürekli bir  $f(x, y)$  fonksiyonunun ekstremumları nasıl bulunur? Bir örnek verin.
- Lagrange çarpanları yöntemini tanımlayın ve örnekler verin.
- $w = f(x, y, z)$  fonksiyonunda  $x, y$  ve  $z$  değişkenleri bir  $g(x, y, z) = 0$  denklemi ile sınırlanmışsa  $(\partial w / \partial x)_y$  ifadesinin anlamı nedir? Bir ok diyagramı, bu kısmi türevi sınırlı değişkenlerle hesaplamamanızı nasıl yardımcı olur? Örnekler verin.

## Bölüm 14

## Problemler

## Tanım Kümesi, Değer Kümesi ve Seviye Eğrileri

1–4 problemlerinde, verilen fonksiyonun tanım ve değer kümelerini bulun ve seviye eğrilerini tanımlayın. Tipik bir seviye eğrisini çizin.

1.  $f(x, y) = 9x^2 + y^2$

2.  $f(x, y) = e^{x+y}$

3.  $g(x, y) = 1/xy$

4.  $g(x, y) = \sqrt{x^2 - y}$

5–8 problemlerinde, verilen fonksiyonun tanım ve değer kümelerini bulun ve seviye yüzeylerini tanımlayın. Tipik bir seviye yüzeyini çizin.

5.  $f(x, y, z) = x^2 + y^2 - z$

6.  $g(x, y, z) = x^2 + 4y^2 + 9z^2$

7.  $h(x, y, z) = \frac{1}{x^2 + y^2 + z^2}$

8.  $k(x, y, z) = \frac{1}{x^2 + y^2 + z^2 + 1}$

## Limit Hesaplamak

9–14 alıştırmalarındaki limitleri hesaplayın.

9.  $\lim_{(x,y) \rightarrow (\pi, \ln 2)} e^y \cos x$

10.  $\lim_{(x,y) \rightarrow (0,0)} \frac{2+y}{x+\cos y}$

11.  $\lim_{(x,y) \rightarrow (1,1)} \frac{x-y}{x^2 - y^2}$

12.  $\lim_{(x,y) \rightarrow (1,1)} \frac{x^3y^3 - 1}{xy - 1}$

13.  $\lim_{P \rightarrow (1, -1, e)} \ln|x + y + z|$

14.  $\lim_{P \rightarrow (1, -1, -1)} \tan^{-1}(x + y + z)$

Farklı yaklaşma yolları düşünerek, 15 ve 16 problemlerindeki limitlerin var olmadığını gösterin.

15.  $\lim_{\substack{(x,y) \rightarrow (0,0) \\ y \neq x^2}} \frac{y}{x^2 - y}$

16.  $\lim_{\substack{(x,y) \rightarrow (0,0) \\ xy \neq 0}} \frac{x^2 + y^2}{xy}$

17. **Sürekli genişleme**  $(x, y) \neq (0, 0)$  için  $f(x, y) = (x^2 - y^2)/(x^2 + y^2)$  olsun.  $f(0, 0)$ 'ı,  $f'$ yi orijinde sürekli yapacak şekilde tanımlamak mümkün müdür? Neden?

18. **Sürekli genişleme**

$$f(x, y) = \begin{cases} \frac{\sin(x-y)}{|x|+|y|}, & |x|+|y| \neq 0 \\ 0, & (x, y) = (0, 0) \end{cases}$$

olsun.  $f$ , orijinde sürekli midir? Neden?

## Kısmi Türevler

19–24 problemlerinde, fonksiyonun her değişkene göre kısmi türevini bulun.

19.  $g(r, \theta) = r \cos \theta + r \sin \theta$

20.  $f(x, y) = \frac{1}{2} \ln(x^2 + y^2) + \tan^{-1} \frac{y}{x}$

21.  $f(R_1, R_2, R_3) = \frac{1}{R_1} + \frac{1}{R_2} + \frac{1}{R_3}$

22.  $h(x, y, z) = \sin(2\pi x + y - 3z)$

23.  $P(n, R, T, V) = \frac{nRT}{V}$  (Ideal Gaz Yasası)

24.  $f(r, l, T, w) = \frac{1}{2rl} \sqrt{\frac{T}{\pi w}}$

## İkinci Derece Kısmi Türevler

25–28 problemlerindeki fonksiyonların ikinci mertebeden kısmi türevlerini bulun.

25.  $g(x, y) = y + \frac{x}{y}$

26.  $g(x, y) = e^x + y \sin x$

27.  $f(x, y) = x + xy - 5x^3 + \ln(x^2 + 1)$

28.  $f(x, y) = y^2 - 3xy + \cos y + 7e^y$

## Zincir Kuralı Hesaplamaları

29.  $w = \sin(xy + \pi)$ ,  $x = e^t$  ve  $y = \ln(t + 1)$  ise,  $t = 0$ 'da  $dw/dt$ 'yi bulun.

30.  $w = xe^y + y \sin z - \cos z$ ,  $x = 2\sqrt{t}$ ,  $y = t - 1 + \ln t$  ve  $z = \pi t$  ise  $t = 1$ 'de  $dw/dt$ 'yi bulun.

31.  $w = \sin(2x - y)$ ,  $x = r + \sin s$ ,  $y = rs$  ise  $r = \pi$  ve  $s = 0$  iken,  $\partial w / \partial r$  ve  $\partial w / \partial s$ 'yi bulun.

32.  $w = \ln\sqrt{1+x^2} - \tan^{-1}x$  ve  $x = 2e^u \cos v$  ise  $u = v = 0$  iken,  $\partial w / \partial u$  ve  $\partial w / \partial v$ 'yi bulun.

33.  $x = \cos t$ ,  $y = \sin t$ ,  $z = \cos 2t$  eğrisi üzerinde  $t = 1$ 'de  $f(x, y, z) = xy + yz + xz$ 'nin  $t$ 'ye göre türevini bulun.

34.  $w = f(s)$ ,  $s$ 'nin diferansiyellenebilir bir fonksiyonuya ve  $s = y + 5x$  ise,

$$\frac{\partial w}{\partial x} - 5 \frac{\partial w}{\partial y} = 0$$

olduğunu gösterin.

## Kapalı Türev Alma

35 ve 36 problemlerindeki denklemlerin  $y$ 'yi  $x$ 'in diferansiyellenebilir bir fonksiyonu olarak tanımladığını varsayıarak,  $dy/dx$ 'in  $P$  noktasındaki değerini bulun.

35.  $1 - x - y^2 - \sin xy = 0$ ,  $P(0, 1)$

36.  $2xy + e^{x+y} - 2 = 0$ ,  $P(0, \ln 2)$

## Doğrultu Türevleri

37–40 problemlerinde,  $f$ 'nin  $P_0$ 'da en hızlı arttığı ve azaldığı yönleri bulun ve her yönde  $f$ 'nin türevini bulun. Ayrıca,  $f$ 'nin  $P_0$ 'da  $v$  vektörü yönündeki türevini bulun.

37.  $f(x, y) = \cos x \cos y$ ,  $P_0(\pi/4, \pi/4)$ ,  $v = 3\mathbf{i} + 4\mathbf{j}$

38.  $f(x, y) = x^2 e^{-2y}$ ,  $P_0(1, 0)$ ,  $v = \mathbf{i} + \mathbf{j}$

39.  $f(x, y, z) = \ln(2x + 3y + 6z)$ ,  $P_0(-1, -1, 1)$ ,  
 $v = 2\mathbf{i} + 3\mathbf{j} + 6\mathbf{k}$

40.  $f(x, y, z) = x^2 + 3xy - z^2 + 2y + z + 4$ ,  $P_0(0, 0, 0)$ ,

$$\mathbf{v} = \mathbf{i} + \mathbf{j} + \mathbf{k}$$

41. **Hız yönünde türev**  $f(x, y, z) = xyz$ 'nin  $t = \pi/3$ 'te

$$\mathbf{r}(t) = (\cos 3t)\mathbf{i} + (\sin 3t)\mathbf{j} + 3t\mathbf{k}$$

helisinin hız vektörünün yönündeki türevini bulun.

42. **Maksimum doğrultu türevi**  $f(x, y, z) = xyz$ 'nin doğrultu türevinin  $(1, 1, 1)$  noktasında alabileceği en büyük değer nedir?

43. **Verilen değerlerle doğrultu türevleri**  $(1, 2)$  noktasında  $f(x, y)$  fonksiyonunun  $(2, 2)$ 'ye giden yönde değeri 2 olan bir doğrultu türevi ve  $(1, 1)$ 'e giden yönde değeri -2 olan bir doğrultu türevi vardır.

a.  $f_x(1, 2)$  ve  $f_y(1, 2)$ 'yi bulun.

b.  $f$ 'nin  $(1, 2)$ 'de  $(4, 6)$  noktasına giden yöndeği doğrultu türevini bulun.

44.  $f(x, y)$  fonksiyonu  $(x_0, y_0)$ 'da diferansiyellenebilir ise aşağıdaki ifadelerden hangileri doğrudur?

a.  $\mathbf{u}$  bir birim vektörse,  $f$ 'nin  $(x_0, y_0)$ 'da  $\mathbf{u}$  yönündeki doğrultu türevi  $(f_x(x_0, y_0)\mathbf{i} + f_y(x_0, y_0)\mathbf{j}) \cdot \mathbf{u}$ 'dur.

b.  $f$ 'nin  $(x_0, y_0)$ 'da  $\mathbf{u}$  yönündeki doğrultu türevi bir vektördür.

c.  $f$ 'nin  $(x_0, y_0)$ 'daki doğrultu türevinin en büyük değeri  $\nabla f$  yönündedir.

d.  $(x_0, y_0)$ 'da,  $\nabla f$  vektörü  $f(x, y) = f(x_0, y_0)$  eğrisine normaldir.

## Gradiyentler, Teğet Düzlemleri ve Normal Doğrular

45 ve 46 problemlerinde,  $f(x, y, z) = c$  yüzeyini verilen noktalardaki  $\nabla f$ 'le birlikte çizin.

45.  $x^2 + y + z^2 = 0$ ;  $(0, -1, \pm 1)$ ,  $(0, 0, 0)$

46.  $y^2 + z^2 = 4$ ;  $(2, \pm 2, 0)$ ,  $(2, 0, \pm 2)$

47 ve 48 Problemlerinde,  $f(x, y, z) = c$  seviye yüzeyine  $P_0$ 'da teğet olan düzlemleri bulun. Ayrıca, yüzeye  $P_0$ 'da normal olan doğrunun parametrik denklemelerini bulun.

47.  $x^2 - y - 5z = 0$ ,  $P_0(2, -1, 1)$

48.  $x^2 + y^2 + z = 4$ ,  $P_0(1, 1, 2)$

49 ve 50 problemlerinde, verilen noktada  $z = f(x, y)$  yüzeyine teğet düzlemin denklemi bulun.

49.  $z = \ln(x^2 + y^2)$ ,  $(0, 1, 0)$

50.  $z = 1/(x^2 + y^2)$ ,  $(1, 1, 1/2)$

51 ve 52 problemlerinde,  $f(x, y) = c$  seviye eğrisinin  $P_0$  noktasındaki teğet ve normalinin denklemelerini bulun. Sonra doğruları ve seviye eğrisini  $P_0$ 'daki  $\nabla f$  ile birlikte çizin.

51.  $y - \sin x = 1$ ,  $P_0(\pi, 1)$     52.  $\frac{y^2}{2} - \frac{x^2}{2} = \frac{3}{2}$ ,  $P_0(1, 2)$

## Eğrilerin Teğetleri

53 ve 54 problemlerinde, yüzeylerin kesişim eğrilerinin verilen noktadaki teğeti olan doğrunun denklemi bulun.

53. Yüzeyler:  $x^2 + 2y + 2z = 4$ ,  $y = 1$

Nokta:  $(1, 1, 1/2)$

54. Yüzeyler:  $x + y^2 + z = 2$ ,  $y = 1$

Nokta:  $(1/2, 1, 1/2)$

## Lineerizasyonlar

55 ve 56 problemlerinde,  $f(x, y)$  fonksiyonunun  $P_0$  noktasındaki  $L(x, y)$  lineerizasyonunu bulun. Sonra  $f(x, y) \approx L(x, y)$  yaklaşımının  $R$  dikdörtgeni üzerindeki hatasının büyüklüğü  $E$ 'nin bir üst sınırını bulun.

55.  $f(x, y) = \sin x \cos y$ ,  $P_0(\pi/4, \pi/4)$

$$R: \left| x - \frac{\pi}{4} \right| \leq 0.1, \quad \left| y - \frac{\pi}{4} \right| \leq 0.1$$

56.  $f(x, y) = xy - 3y^2 + 2$ ,  $P_0(1, 1)$

$$R: |x - 1| \leq 0.1, \quad |y - 1| \leq 0.2$$

57 ve 58 problemlerinde, fonksiyonların verilen noktalardaki lineerizasyonlarını bulun.

57.  $f(x, y, z) = xy + 2yz - 3xz$ ,  $(1, 0, 0)$  ve  $(1, 1, 0)$

58.  $f(x, y, z) = \sqrt{2} \cos x \sin(y + z)$ ,  $(0, 0, \pi/4)$  ve  $(\pi/4, \pi/4, 0)$

## Tahminler ve Değişime Duyarlılık

59. **Bir boru hattının hacmini ölçmek** Çapı yaklaşık 36 inç ve uzunluğu 1 mil olan bir boru hattı parçasının içindeki hacmi hesaplamak istiyorsunuz. Hangi ölçümde daha dikkatli olmanız gerekiyor—uzunlukta mı, çapta mı? Neden?

60. **Değişime duyarlılık**  $(1, 2)$  noktası civarında,  $f(x, y) = x^2 - xy + y^2 - 3$  fonksiyonu  $x$ 'teki değişimlere mi,  $y$ 'deki değişimlere mi daha duyarlıdır? Nereden biliyorsunuz?

61. **Elektrik devresini değiştirme** Bir elektrik devresindeki  $I$  (ampere) akımının  $V$  (volt) gerilimi ile  $R$  (ohm) direncine  $I = V/R$  denklemiyle bağlı olduğunu varsayıyın. Gerilim 24'ten 23 volta düşer ve direnç 100'den 80 ohma düşerse,  $I$  artar mı, azalır mı? Ne kadar?  $I$ 'daki değişim voltajındaki bir değişim mi yoksa dirençteki bir değişim mi daha duyarlıdır? Nereden biliyorsunuz?

62. **Bir elipsin alanını öngörmeye maksimum hata** En yakın milimetreye yuvarlama ile  $a = 10$  cm ve  $b = 16$  cm olarak ölçülen  $x^2/a^2 + y^2/b^2 = 1$  elipsinin hesaplanan alanı  $A = \pi ab$ 'deki yüzde hatanın ne kadar olmasını beklersiniz?

63. **Bir çarpımı öngörmeyeği hata**  $u$  ve  $v$  pozitif bağımsız değişkenler olmak üzere,  $y = uv$  ve  $z = u + v$  olsun.

a.  $u$ , %2'lük ve  $v$  de %3'lük bir hatayla ölçülmüştür, hesaplanan  $y$ -değerindeki yüzde hata yaklaşık ne olur?

- b.**  $z'$ nin hesaplanan değerindeki yüzde hatanın  $y'$ nin değerindeki yüzde hatadan daha az olduğunu gösterin.
- 64. Kalp indisi** Kalp çıktısı araştırmalarında (Bölüm 3.7, Aşılama 25) farklı kişileri karşılaştırılabilir hale getirmek için, araştırmacılar ölçülen kalp çıktısını vücudun yüzey alanına bölgerek, *kalp indisi*  $C$ 'yi bulurlar:

$$C = \frac{\text{kalp çıktıtı}}{\text{vücut yüzey alanı}}$$

Ağırlığı  $w$  kilogram ve boyu  $h$  santimetre olarak ölçülen bir kişinin  $B$  vücut yüzey alanına  $B'$ yi santimetre kare olarak veren

$$B = 71.84w^{0.425}h^{0.725},$$

formülüyle yaklaşım yapılır. Aşağıdaki ölçümlere sahip birinin kalp indisini hesaplamak üzereiniz:

Kalp çıktıtı:	7 L/dak
Ağırlık:	70 kg
Yükseklik:	180 cm

Hesapta hangisi daha büyük bir etki yaratacaktır, ağırlığı ölçerken yapılan 1 kg'lık bir hata mı, yüksekliği ölçerken yapılan 1 cm'lik bir hata mı?

## Yerel Ekstremumlar

65–70 problemlerindeki fonksiyonları, yerel maksimum, minimum ve eyer noktaları için test edin. Fonksiyonun bu noktalardaki değerlerini bulun.

65.  $f(x, y) = x^2 - xy + y^2 + 2x + 2y - 4$   
 66.  $f(x, y) = 5x^2 + 4xy - 2y^2 + 4x - 4y$   
 67.  $f(x, y) = 2x^3 + 3xy + 2y^3$   
 68.  $f(x, y) = x^3 + y^3 - 3xy + 15$   
 69.  $f(x, y) = x^3 + y^3 + 3x^2 - 3y^2$   
 70.  $f(x, y) = x^4 - 8x^2 + 3y^2 - 6y$

## Mutlak Ekstremumlar

71–78 problemlerinde,  $f$ 'nin  $R$  üzerinde mutlak maksimum ve minimum değerlerini bulun.

71.  $f(x, y) = x^2 + xy + y^2 - 3x + 3y$   
 R: Birinci dörtte bir bölgeden  $x + y = 4$  doğrusıyla kesilen üçgensel bölge.  
 72.  $f(x, y) = x^2 - y^2 - 2x + 4y + 1$   
 R: Birinci dörtte bir bölgede, koordinat eksenleri,  $x = 4$  ve  $y = 2$  doğrularıyla sınırlanan dikdörtgensel bölge.  
 73.  $f(x, y) = y^2 - xy - 3y + 2x$   
 R:  $x = \pm 2$  ve  $y = \pm 2$  doğrularıyla çevrelenen kare bölge.  
 74.  $f(x, y) = 2x + 2y - x^2 - y^2$   
 R: Birinci dörtte bir bölgede, koordinat eksenleri,  $x = 2$ ,  $y = 2$  doğrularıyla çevrelenen kare.

75.  $f(x, y) = x^2 - y^2 - 2x + 4y$

R: Alttaan  $x$ -ekseni, üstten  $y = x + 2$  doğrusu ve sağdan  $x = 2$  doğrusu ile sınırlanan üçgensel bölge.

76.  $f(x, y) = 4xy - x^4 - y^4 + 16$

R: Alttaan  $y = -2$  doğrusu, üstten  $y = x$  doğrusu ve sağdan  $x = 2$  doğrusuya sınırlanan üçgensel bölge

77.  $f(x, y) = x^3 + y^3 + 3x^2 - 3y^2$

R:  $x = \pm 1$  ve  $y = \pm 1$  doğrularıyla çevrelenen kare bölge.

78.  $f(x, y) = x^3 + 3xy + y^3 + 1$

R:  $x = \pm 1$  ve  $y = \pm 1$  doğrularıyla çevrelenen kare bölge.

## Lagrange Çarpanları

79. **Bir çember üzerinde ekstremum**  $f(x, y) = x^3 + y^2$ 'nin  $x^2 + y^2 = 1$  çemberi üzerindeki ekstremum değerlerini bulun.

80. **Bir çember üzerinde ekstremum**  $f(x, y) = xy$ 'nin  $x^2 + y^2 = 1$  çemberi üzerindeki ekstremum değerlerini bulun.

81. **Bir disk içinde ekstremum**  $f(x, y) = x^2 + 3y^2 + 2y$ 'nin  $x^2 + y^2 \leq 1$  birim disk içindedeki ekstremum değerlerini bulun.

82. **Bir disk içinde ekstremum**  $f(x, y) = x^2 + y^2 - 3x - xy$ 'nin  $x^2 + y^2 \leq 9$  disk içindedeki ekstremum değerlerini bulun.

83. **Bir küre üzerinde ekstremum**  $f(x, y, z) = x - y + z$ 'nin  $x^2 + y^2 + z^2 = 1$  birim küresi üzerindeki ekstremum değerlerini bulun.

84. **Orijine minimum uzaklık**  $z^2 - xy = 4$  yüzeyi üzerinde orijine en yakın noktaları bulun.

85. **Bir kutunun maliyetini minimize etmek** Kapalı dikdörtgen şeklinde bir kutunun hacmi  $V \text{ cm}^3$  olacaktır. Kutuda kullanılan malzemenin masrafı taban ve tavan için  $a \text{ cent/cm}^2$ , arka ve ön için  $b \text{ cent/cm}^2$  ve kalan yüzler için  $c \text{ cent/cm}^2$ 'dir. Hangi boyutlar toplam malzemenin maliyetini minimize eder?

86. **En küçük hacim**  $(2, 1, 2)$  noktasından geçen ve birinci sekizde bir bölgeden en küçük hacmi kesen  $x/a + y/b + c/z = 1$  düzlemini bulun.

87. **Yüzeylerin kesim eğrisi üzerinde ekstremum**  $f(x, y, z) = x(y + z)$ 'nin  $x^2 + y^2 = 1$  dik silindiriyle  $xz = 1$  hiperbolik silindirinin kesim eğrisi üzerindeki ekstremum değerlerini bulun.

88. **Bir düzleme bir koninin kesim eğrisi üzerinde orijine en küçük uzaklık**  $x + y + z = 1$  düzleme ile  $z^2 = 2x^2 + 2y^2$  konisinin kesim eğrisi üzerinde orijine en yakın noktayı bulun.

## Kısıtlanmış Değişkenlerle Kısmi Türevler

89 ve 90 problemlerinde, işe değişkenler arasındaki ilişkileri gösteren bir diyagram çizerek başlayın.

89.  $w = x^2 e^{yz}$  ve  $z = x^2 - y^2$  ise, aşağıdakileri bulun.

a.  $\left(\frac{\partial w}{\partial y}\right)_z$       b.  $\left(\frac{\partial w}{\partial z}\right)_x$       c.  $\left(\frac{\partial w}{\partial z}\right)_y$

90.  $U = f(P, V, T)$ , ideal gaz yasası  $PV = nRT$  ye ( $n$  ve  $R$  birer sabit) uyan bir gazın iç enerjisi olsun. Aşağıdakileri bulun.

a.  $\left(\frac{\partial U}{\partial T}\right)_P$       b.  $\left(\frac{\partial U}{\partial V}\right)_T$

### Teori ve Örnekler

91.  $w = f(r, \theta)$ ,  $r = \sqrt{x^2 + y^2}$  ve  $\theta = \tan^{-1}(y/x)$  olsun.  $\partial w / \partial x$  ile  $\partial w / \partial y$ 'yi bulun ve yanıtlarınızı  $r$  ve  $\theta$  cinsinden ifade edin.

92.  $z = f(u, v)$ ,  $u = ax + by$  ve  $v = ax - by$  olsun.  $z_x$  ile  $z_y$ 'yi  $f_u, f_v$  ve  $a, b$  sabitleri cinsinden ifade edin.

93.  $a$  ve  $b$  sabit,  $w = u^3 + \tanh u + \cos u$  ve  $u = ax + by$  ise,

$$a \frac{\partial w}{\partial y} = b \frac{\partial w}{\partial x}$$

olduğunu gösterin.

94. **Zincir Kuralını kullanmak**  $w = \ln(x^2 + y^2 + 2z)$ ,  $x = r + s$ ,  $y = r - s$  ve  $z = 2rs$  ise, Zincir Kuralıyla  $w_r$  ile  $w_s$ 'yi bulun. Sonra yanınızı başka bir yolla kontrol edin.

95. **Vektörler arasında açı**  $e^u \cos v - x = 0$  ve  $e^u \sin v - y = 0$  denklemleri  $u$  ve  $v$ 'yi  $x$  ile  $y$ 'nin diferansiyellenebilir fonksiyonları olarak tanımlar.

$$\frac{\partial u}{\partial x} \mathbf{i} + \frac{\partial u}{\partial y} \mathbf{j} \quad \text{ve} \quad \frac{\partial v}{\partial x} \mathbf{i} + \frac{\partial v}{\partial y} \mathbf{j}$$

vektörlerinin arasındaki açının sabit olduğunu gösterin.

96. **Kutupsal koordinatlar ve ikinci mertebe türevler**  $x = r \cos \theta$  ve  $y = r \sin \theta$  kutupsal koordinatlarını tanımlamak  $f(x, y)$ 'yi  $g(r, \theta)$ 'ya çevirir.  $(r, \theta) = (2, \pi/2)$  noktasında,

$$\frac{\partial f}{\partial x} = \frac{\partial f}{\partial y} = \frac{\partial^2 f}{\partial x^2} = \frac{\partial^2 f}{\partial y^2} = 1$$

ise, o noktada  $\partial^2 g / \partial \theta^2$  değerini bulun.

97. **Bir düzleme paralel normal doğru**

$$(y + z)^2 + (z - x)^2 = 16$$

Yüzeyi üzerinde normali  $yz$ -düzlemine paralel noktaları bulun.

98.  **$xy$ -düzlemine paralel teğet düzlem**

$$xy + yz + zx - x - z^2 = 0$$

yüzeyinin üzerinde teğet düzlemin  $xy$ -düzlemine paralel olduğu noktaları bulun.

99. **Gradiyent vektör konum vektörüne paralel**  $\nabla f(x, y, z)$ 'nin her zaman  $x\mathbf{i} + y\mathbf{j} + z\mathbf{k}$  konum vektörüne paralel olduğunu varsayıñ. Herhangi bir  $a$  için,  $f(0, 0, a) = f(0, 0, -a)$  olduğunu gösterin.

100. **Her yönde doğrultu türevi var fakat gradiyent yok**

$$f(x, y, z) = \sqrt{x^2 + y^2 + z^2}$$

fonksiyonunun orijinde her yöndeki doğrultu türevinin 1'e eşit olduğunu, ama  $f$ 'nin orijinde gradiyentinin bulunmadığını gösterin.

101. **Orijinden geçen normal doğru**  $xy + z = 2$  yüzeyinin  $(1, 1, 1)$ 'deki normalinin orijinden geçtiğini gösterin.

102. **Teğet düzlem ve normal doğru**

a.  $x^2 - y^2 + z^2 = 4$  yüzeyini çizin.

- b. Yüzeye  $(2, -3, 3)$ 'te normal olan bir vektör bulun. Vektörü de çiziminize ekleyin.

- c.  $(2, -3, 3)$ 'teki teğet düzlemin ve normalin denklemlerini bulun.

## Bölüm 14

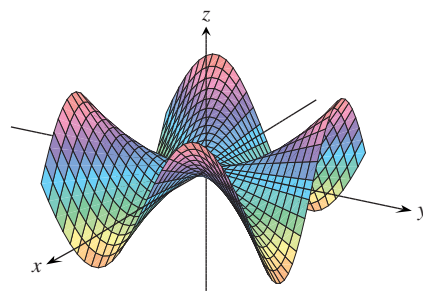
### Ek ve İleri Alıştırmalar

#### Kısmi Türevler

1. **Orijinde eyer noktalı bir fonksiyon** Bölüm 14.2'deki Alıştırma 50'yi yaptıysanız,

$$f(x, y) = \begin{cases} xy \frac{x^2 - y^2}{x^2 + y^2}, & (x, y) \neq (0, 0) \\ 0, & (x, y) = (0, 0) \end{cases}$$

fonksiyonunun (aşağıdaki şeke bakın)  $(0, 0)$ 'da sürekli olduğunu biliyorsunuzdur.  $f_{xy}(0, 0)$  ve  $f_{yx}(0, 0)$ 'ı bulun.



- 2. Kısmi türevlerinden bir fonksiyonu bulmak** Birinci mertebe kısmi türevleri  $\partial w/\partial x = 1 + e^x \cos y$  ve  $\partial w/\partial y = 2y - e^x \sin y$  ve  $(\ln 2, 0)$  noktasındaki değeri  $\ln 2$  olan bir  $w = f(x, y)$  fonksiyonu bulun.

- 3. Leibniz kuralının bir ispatı** Leibniz kuralı,  $f$  fonksiyonu  $[a, b]$  aralığında sürekliye ve  $u(x)$  ile  $v(x)$  de  $x'$ in, değerleri  $[a, b]$ 'de olan diferansiyellenebilir fonksiyonlarıysa,

$$\frac{d}{dx} \int_{u(x)}^{v(x)} f(t) dt = f(v(x)) \frac{dv}{dx} - f(u(x)) \frac{du}{dx}$$

olduğunu söyle. Kuralı

$$g(u, v) = \int_u^v f(t) dt, \quad u = u(x), \quad v = v(x)$$

alarak ve  $dg/dx$ 'i Zincir Kuralıyla hesaplayarak ispatlayın.

- 4. Sınırlı ikinci-kısmı türevlerinden bir fonksiyonu bulmak**  $r = \sqrt{x^2 + y^2 + z^2}$  olmak üzere  $r$ 'nin iki kere türetilebilen bir  $f$  fonksiyonu için

$$f_{xx} + f_{yy} + f_{zz} = 0$$

olduğunu varsayı. Belirli  $a$  ve  $b$  sabitleri için

$$f(r) = \frac{a}{r} + b$$

olduğunu gösterin.

- 5. Homojen fonksiyonlar** Her  $t, x$  ve  $y$  için  $f(tx, ty) = t^n f(x, y)$  ise fonksiyonu  $n$ . dereceden ( $n$  negatif olmayan bir tamsayı) *homojendir*. Böyle bir (yeterince türetilebilir) fonksiyon için, aşağıdakileri ispatlayın.

a.  $x \frac{\partial f}{\partial x} + y \frac{\partial f}{\partial y} = nf(x, y)$

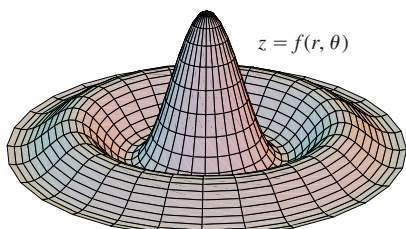
b.  $x^2 \left( \frac{\partial^2 f}{\partial x^2} \right) + 2xy \left( \frac{\partial^2 f}{\partial x \partial y} \right) + y^2 \left( \frac{\partial^2 f}{\partial y^2} \right) = n(n-1)f$ .

- 6. Kutupsal koordinatlarda yüzey**  $r$  ve  $\theta$  kutupsal koordinatlar olmak üzere

$$f(r, \theta) = \begin{cases} \frac{\sin 6r}{6r}, & r \neq 0 \\ 1, & r = 0 \end{cases}$$

olsun. Aşağıdakileri bulun.

- a.  $\lim_{r \rightarrow 0} f(r, \theta)$       b.  $f_r(0, 0)$       c.  $f_\theta(r, \theta)$ ,  $r \neq 0$ .



## Gradiyentler ve Teğetler

- 7. Konum vektörlerinin özelliklerini**  $\mathbf{r} = xi + yj + zk$  ve  $r = |\mathbf{r}|$  olsun.

a.  $\nabla r = \mathbf{r}/r$  olduğunu gösterin.

b.  $\nabla(r^n) = nr^{n-2}\mathbf{r}$  olduğunu gösterin.

c. Gradiyenti  $\mathbf{r}$ 'ye eşit olan bir fonksiyon bulun.

d.  $\mathbf{r} \cdot d\mathbf{r} = r dr$  olduğunu gösterin.

e. Herhangi bir sabit  $\mathbf{A}$  vektörü için,  $\nabla(\mathbf{A} \cdot \mathbf{r}) = \mathbf{A}$  olduğunu gösterin.

- 8. Teğete ortogonal gradiyent** Diferansiyellenebilir bir  $f(x, y)$  fonksiyonunun diferansiyellenebilir bir  $x = g(t)$ ,  $y = h(t)$  eğrisi üzerinde, değerinin sabit bir  $c$  olduğunu; yani her  $t$  için

$$f(g(t), h(t)) = c$$

olduğunu varsayı. Bu denklemin iki tarafının da  $t$ 'ye göre türevini alarak, eğrinin üzerindeki her noktada  $\nabla f$ 'nin eğrinin teğet vektörünü normal olduğunu gösterin.

- 9. Bir yüzeye teğet eğri**  $(0, 0, 1)$ 'de,

$$\mathbf{r}(t) = (\ln t)\mathbf{i} + (t \ln t)\mathbf{j} + t\mathbf{k}$$

eğrisinin

$$xz^2 - yz + \cos xy = 1$$

yüzeyine teğet olduğunu gösterin.

- 10. Bir yüzeye teğet eğri**  $(0, -1, 1)$ 'de,

$$\mathbf{r}(t) = \left(\frac{t^3}{4} - 2\right)\mathbf{i} + \left(\frac{4}{t} - 3\right)\mathbf{j} + \cos(t-2)\mathbf{k}$$

eğrisinin

$$x^3 + y^3 + z^3 - xyz = 0$$

yüzeyine teğet olduğunu gösterin.

## Ekstremum Değerler

- 11. Bir yüzey üzerinde ekstremumlar**  $z$ 'nin  $z = x^3 + y^3 - 9xy + 27$  yüzeyi üzerindeki olası tek maksimum ve minimumlarının  $(0, 0)$  ve  $(3, 3)$ 'te olduğunu gösterin.  $(0, 0)$ 'da ne bir maksimum ne de bir minimum bulunduğu gösterin.  $z$ 'nin  $(3, 3)$ 'te bir maksimum veya minimumu olup olmadığını belirleyin.

- 12. Kapalı birinci bölgede maksimum**  $f(x, y) = 6xye^{-(2x+3y)^2}$ 'nin kapalı birinci dörtte bir bölgedeki (negatif olmayan eksenleri içerir) maksimum değerini bulun.

- 13. Birinci sekizde-bir bölgeden kesilen minimum hacim**  $x = 0$ ,  $y = 0$ ,  $z = 0$  düzlemleri ve birinci sekizde-bir bölgedeki bir noktada

$$\frac{x^2}{a^2} + \frac{y^2}{b^2} + \frac{z^2}{c^2} = 1$$

elipsoidine teğet bir düzleme sınırlı bölgenin, minimum hacmini bulun.

- 14.  $xy$ -düzleminde bir doğrudan bir parabol minimum uzaklık**  $y = x + 1$  ve  $u = v^2$  kısıtlamaları ile  $f(x, y, u, v) = (x - u)^2 + (y - v)^2$  fonksiyonunu minimize ederek,  $xy$ -düzleminde  $y = x + 1$  doğrusundan  $y^2 = x$  parabolüne olan minimum uzaklıği bulun.

### Teori ve Örnekler

- 15. Birinci mertebe kısmi türevlerin sınırlı olması sürekliliği gerektirir** Şu teoremi ispatlayın:  $f(x, y)$ ,  $xy$ -düzleminin açık bir  $R$  bölgesinde tanımlı ise ve  $f_x$  ile  $f_y$   $R'$  de sınırlı ise  $f(x, y)$  fonksiyonu  $R'$  de süreklidir (Sınırlılık varsayımları temeldir).

- 16.  $\mathbf{r}(t) = g(t)\mathbf{i} + h(t)\mathbf{j} + k(t)\mathbf{k}$ 'nin diferansiyellenebilir bir  $f(x, y, z)$  fonksiyonunun tanım kümesi içinde düzgün bir eğri olduğunu varsayıın.  $df/dt$ ,  $\nabla f$  ve  $\mathbf{v} = dr/dt$  arasındaki ilişkiyi tanımlayın. Eğri üzerinde,  $f$ 'nin eğri üzerindeki diğer değerlerine göre ekstremum değerlerinin bulunduğu iç noktalarda  $\nabla f$  ile  $\mathbf{v}$  hakkında ne söylenebilir? Yanınızı açıklayın.**

- 17. Kısımlı türevlerinden fonksiyon bulmak**  $f$  ve  $g$ 'nin,

$$\frac{\partial f}{\partial y} = \frac{\partial g}{\partial x} \quad \text{ve} \quad \frac{\partial f}{\partial x} = \frac{\partial g}{\partial y},$$

olacak şekilde,  $x$  ve  $y$ 'nin fonksiyonları olduklarını ve

$$\frac{\partial f}{\partial x} = 0, \quad f(1, 2) = g(1, 2) = 5 \quad \text{ve} \quad f(0, 0) = 4$$

olduğunu varsayıın.  $f(x, y)$  ve  $g(x, y)$ 'yi bulun.

- 18. Değişim oranının değişim oranı**  $f(x, y)$  iki değişkenli bir fonksiyon ise ve  $\mathbf{u} = ai + bj$  bir birim vektörse,  $D_{\mathbf{u}}f(x, y) = f_x(x, y)a + f_y(x, y)b$ 'nin  $f(x, y)$ 'nın  $(x, y)$  de  $\mathbf{u}$  yönündeki değişim oranını olduğunu biliyoruz.  $f$ 'nin  $(x, y)$  de  $\mathbf{u}$  yönündeki değişim oranının değişim oranı için benzer bir formül bulun.

- 19. Isı arayan bir parçacığın yolu** Isı arayan bir parçacığın düzlemindeki herhangi bir  $(x, y)$  noktasında maksimum sıcaklık artışı yönünde ilerleme özelliği vardır.  $(x, y)$  deki sıcaklık  $T(x, y) = -e^{-2y} \cos x$  ise, ısı arayan parçacığın  $(\pi/4, 0)$  noktasındaki yolu için bir  $y = f(x)$  denklemi bulun.

- 20. Sekmeden sonra hız** Bir doğru üzerinde sabit  $\mathbf{i} + \mathbf{j} - 5\mathbf{k}$  hızıyla ilerleyen bir parçacık  $(0, 0, 30)$  noktasından geçmeyecektir ve  $z = 2x^2 + 3y^2$  yüzeyine çarpmaktadır. Parçacık yüzeyden, yansıtma açısı geliş açısına eşit olacak şekilde sekmektedir. Hız kaybı olmadığını varsayıarsak, sektikten sonra parçacığın hızı nedir? Yanınızı basitleştirin.

- 21. Bir yüzeye teget doğrultu türevleri**  $S$ ,  $f(x, y) = 10 - x^2 - y^2$  nin grafiği olan yüzey olsun. Uzayda her  $(x, y, z)$  noktasında sıcaklığın  $T(x, y, z) = x^2y + y^2z + 4x + 14y + z$  olduğunu varsayıın.
- $S$  yüzeyine  $(0, 0, 10)$  noktasında teget, olası bütün yönlerin arasından, hangi yön  $(0, 0, 10)$  daki sıcaklığın değişim oranını maksimum yapar?
  - $S$ 'ye  $(1, 1, 8)$  noktasında teget olan hangi yön sıcaklığın değişim oranını bir maksimum yapar?

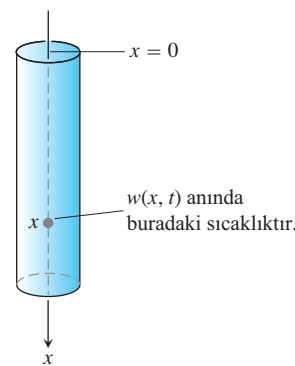
- 22. Bir sondaj kuyusu** Düz bir toprak parçası üzerinde, jeologlar doğrusal bir kuyu kazmış ve 1000 ft'te bir mineral yatağına rastlamışlardır. İlk kuyunun 100 ft kuzeyinde bir kuyu daha kazmış ve bu sefer mineral yatağını 950 ft'te bulmuşlardır. İlk kuyunun 100 ft doğusunda üçüncü bir kuyuda mineral yatağı 1025 ft'te bulunmuştur. Jeologların mineral yatağının kubbe şeklinde olduğunu inanmak için nedenleri vardır ve ekonomik nedenlerden dolayı yatağın yüzeye en yakın olduğu yeri bulmak istemektedirler. Yüzeyin  $xy$ -düzlemi olduğunu varsayıarak, jeologların dördüncü kuyuya birinci kuyunun hangi tarafında kazmalarını önerirsiniz?

### Bir Boyutlu Isı Denklemi

$w(x, t)$ , kenarları mükemmel şekilde yalıtılmış düzgün bir iletken çubukta (aşağıdaki şekilde bakın)  $t$  anında  $x$  konumundaki sıcaklığı temsil ediyorsa,  $w_{xx}$  ve  $w_t$  kısmi türevleri

$$w_{xx} = \frac{1}{c^2} w_t$$

şeklinde bir diferansiyel denklemi sağlar. Bu denklem **bir boyutlu ısı denklemi** denir. Pozitif  $c^2$  sabitinin değeri çubugun yapıldığı malzemeyle belirlenir. Geniş bir malzeme yelpazesi için deneysel olarak belirlenmiştir. Verilen bir uygulamada, uygun değer bir tablodan bulunur. Örneğin, kuru toprak için,  $c^2 = 0.19 \text{ ft}^2/\text{gündür}$ .



Kimya ve biyokimyada, ısı denklemi **difüzyon denklemi** olarak bilinir. Bu bağlamda,  $w(x, t)$  sıvıyla dolu bir tüpten yayılan çözünlümüş bir maddenin, örneğin tuzun, konsantrasyonunu temsil eder.  $w(x, t)$ 'nın değeri bir  $x$  noktasının  $t$  anındaki konsantrasyonudur. Başka uygulamalarda,  $w(x, t)$  bir gazın uzun, ince bir borudan yayılmasını temsil eder.

Elektrik mühendisliğinde, ısı denklemi, **telgraf denklemi** olarak adlandırılan

$$v_{xx} = RCv_t$$

ve

$$i_{xx} = RCi_t$$

şeklinde ortaya çıkar. Bu denklemeler, koaksiyal bir kablodaki veya kaçağın ve endüktansın ihmali edilebilir olduğu başka bir kablodaki  $v$  gerilimini ve  $i$  akımını tanımlarlar. Bu denklemelerdeki fonksiyonlar ve sabitler şöyledir:

$v(x, t) = x$  noktasında  $t$  anındaki gerilim

$R$  = birim uzunluktaki direnç

$C$  = birim kablo uzunluğundaki topraklama kapasitansı

$i(x, t) = x$  noktasında  $t$  anındaki akım

23.  $r$  bir sabit olmak üzere,  $w = e^{rt} \sin \pi x$  şeklindeki bir boyutlu ısı denkleminin bütün çözümlerini bulun.

24.  $w = e^{rt} \sin kx$  şeklinde olan ve  $w(0, t) = 0$  ve  $w(L, t) = 0$  koşullarını sağlayan bir boyutlu ısı denkleminin bütün çözümlerini bulun.  $t \rightarrow \infty$  iken, bu çözümlere ne olur?

## Bölüm 14

### Teknoloji Uygulama Projeleri

#### Mathematica/Maple Module

##### *Yüzeyleri Çizmek*

Yüzeylerin, konturların ve seviye eğrilerinin çizimlerini etkili olarak üretir

#### Mathematica/Maple Module

##### *Kaykay'ın Arkasındaki Matematiği Araştırmak : Doğrultu Türevlerinin Analizi*

Bir kaykay, önce bir seviye yüzeyi üzerinde, sonra bir rampada ve son olarak bir paraboloid üzerinde tanıtılr. Doğrultu türevlerini kaykay cinsinden hesaplayın, çizin ve analiz edin.

#### Mathematica/Maple Module

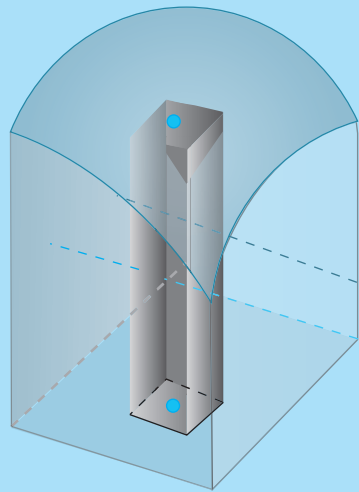
##### *Kalıp Aramak, Okunan Değerlere En Küçük Kareler Yöntemini Uygulamak*

Bir sayısal veri noktaları kümesine, noktalardan doğruya dik uzaklıkların kareleri toplamını minimize eden doğruya seçerek, bir doğru uydurun.

#### Mathematica/Maple Module

##### *Lagrange Kaykaya Gider: Ne Kadar Yükselir?*

Kaykay'a geri dönün ve kaykacıların serüvenlerini, Lagrange çarpanlarını kullanarak, maksimum ve minimum yükseklikler için hem grafik ve hem de analitik yönden analiz edin.



Bölüm

# 15

## KATLI INTEGRALLER

**GİRİŞ** Bu bölümde, iki değişkenli bir  $f(x, y)$  fonksiyonunun, düzlemede bir bölge üzerindeki integralini ve üç değişkenli bir  $f(x, y, z)$  fonksiyonunun, uzayda bir bölge üzerindeki integralini ele alıyoruz. Bu integrallere *katlı integraller* denir ve Bölüm 5'te tanıtılan tek değişkenli integrallerde olduğu gibi yakınsayan Riemann toplamlarının limitleri olarak tanımlanırlar. Katlı integralleri, toplam kütle veya değişen yoğunluklu bir cismin açısal momentumu ve genel eğrisel sınırlı bir cismin hacmi gibi iki veya üç boyutta değişen nicelikleri hesaplamakta kullanabiliriz.

### 15.1

#### Katlı Integraller

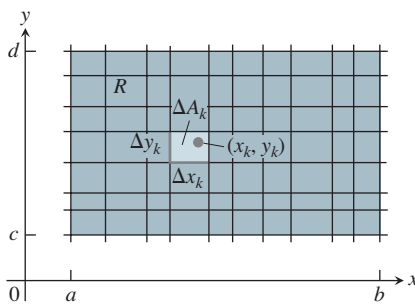
Bölüm 5'te, sürekli bir  $f(x)$  fonksiyonunun bir  $[a, b]$  aralığındaki belirli integralini Riemann toplamlarının bir limiti olarak tanımladık. Bu bölümde, bu fikri, iki değişkenli sürekli bir  $f(x, y)$  fonksiyonunun, düzlemede sınırlı bir  $R$  bölgesi üzerindeki integralini tanımlamak için genişletiyoruz. Her iki durumda da integraller, yakınsayan Riemann toplamlarının limitleridir. Tek değişkenli bir  $f(x)$  fonksiyonunun integrali için Riemann toplamları, sonlu bir aralığı kısa alt aralıklara bölmek, her alt aralığın uzunluğunu, alt aralıktaki bir  $c_k$  noktasında  $f$ 'nin değeri ile çarpmak ve bütün çarpımları toplamakla elde edilir. İki katlı integralleri kurmak için benzer bir bölme, çarpma ve toplama yöntemi kullanılır. Ancak, bu defa kısa alt aralıklar yerine, düzlemsel bir  $R$  bölgesini küçük dikdörtgenlere böleriz. Sonra, her dikdörtgenin alanını, dikdörtgen içindeki bir noktada  $f$ 'nin değeri ile çarpar ve sonunda bütün bu çarpımları toplarız.  $f$  sürekli olduğunda, her küçük dikdörtgen hem boydan hem enden küçülürken, bu toplamlar bir tek sayıya yakınsar. Limit,  $f$ 'nin  $R$  üzerindeki iki katlı integralidir. Tek katlı integrallerde olduğu gibi, katlı integralleri ters türevler yardımıyla hesaplayabiliriz. Bu bizi, iki katlı bir integrali, Riemann toplamlarının bir limiti olarak, doğrudan tanımından hesaplama güçlüğünden kurtarır. Katlı integrallerin hesaplanması ortaya çıkan asıl problem, integrasyon sınırlarının belirlenmesinde yatar. Bölüm 5'teki integraller, iki uç noktası ile belirlenen bir aralık üzerinde hesaplanırken, katlı integraller düzlemede veya uzayda bir bölgede hesaplanırlar. Bu, sadece sabitler değil, değişkenler içeren integrasyon sınırlarına neden olur. İntegrasyon bölgelerini tanımlamak, katlı integrallerin hesaplanması ortaya çıkan yeni temel meseledir.

#### Dikdörtgenler Üzerinde İki Katlı İntegraller

İki katlı integralleri araştırmamıza, en basit düzlemsel bölge tipini, bir dikdörtgeni, ele alarak başlıyoruz. Dikdörtgensel bir  $R$

$$R: a \leq x \leq b, c \leq y \leq d$$

bögesi üzerinde tanımlı bir  $f(x, y)$  fonksiyonu düşünelim.



**SEKİL 15.1**  $R$  bölgesini  $\Delta A_k = \Delta x_k \Delta y_k$  alanlı küçük dikdörtgenlere ayıran dikdörtgensel şebeke.

$R$ 'yi,  $x$ - ve  $y$ -eksenlerine paralel doğrulardan oluşan bir doğrular ağı ile küçük dikdörtgenlere böleriz (Şekil 15.1). Doğrular,  $R$ 'yi dikdörtgensel  $n$  parça böler ve her parçanın boyu ve eni küçüldükçe böyle parçaların sayısı  $n$  giderek artar. Bu dikdörtgenler  $R$ 'nin bir bölünüşünü oluştururlar. Genişliği  $\Delta x$  ve yüksekliği  $\Delta y$  olan küçük bir dikdörtgensel parçanın alanı  $\Delta A = \Delta x \Delta y$  dir.  $R$ 'nin bölünüşünü oluşturan küçük parçaları belli bir sırada numaralandırırsak,  $k$ . küçük dikdörtgenin alanı  $\Delta A_k$  olmak üzere, alanları  $\Delta A_1, \Delta A_2, \dots, \Delta A_n$  ile verilir.

$R$  üzerinde bir Riemann toplamı oluşturmak için  $k$ . küçük dikdörtgenin içinde bir  $(x_k, y_k)$  noktası seçer, fonksiyonun bu noktadaki değeri ile  $\Delta A_k$  alanını çarpar ve bütün bu çarpımları toplarız:

$$S_n = \sum_{k=1}^n f(x_k, y_k) \Delta A_k$$

$k$ . küçük dikdörtgenin içinden  $(x_k, y_k)$  noktasını nasıl seçtiğimize bağlı olarak,  $S_n$  için farklı değerler elde edebiliriz.

$R$ 'nin bölünüşündeki bütün küçük dikdörtgenlerin genişlikleri ve yükseklikleri sıfıra yaklaşırken bu Riemann toplamlarına ne olduğu ile ilgileniyoruz.  $P$  bölünüşünün,  $\|P\|$  ile gösterilen **norm'u**, bölünüşteki dikdörtgenlerin genişliklerinin veya yüksekliklerinin en büyüğüdür.  $\|P\| = 0.1$  ise  $R$ 'nin bölünüşündeki bütün dikdörtgenlerin genişlikleri en çok ve yükseklikleri en çok 0.1 dir. Bazen  $P$ 'nin normu sıfıra yaklaşırken, ( $\|P\| \rightarrow 0$  ile gösterilir) Riemann toplamları yakınsar. Bu durumda limit

$$\lim_{\|P\| \rightarrow 0} \sum_{k=1}^n f(x_k, y_k) \Delta A_k$$

olarak yazılır.  $\|P\| \rightarrow 0$  iken, dikdörtgenler daralırlar, kısalırlar ve sayıları,  $n$ , giderek artar. Dolayısıyla bu limiti,  $n \rightarrow \infty$  ve  $\|P\| \rightarrow 0$  iken  $\Delta A_k \rightarrow 0$  olduğunu göz önünde bulundurarak,

$$\lim_{n \rightarrow \infty} \sum_{k=1}^n f(x_k, y_k) \Delta A_k$$

şeklinde de yazabiliriz.

Bu çeşit bir limitin içeriği bir çok seçenek vardır. Küçük dikdörtgenler topluluğu,  $R$ 'nin dikdörtgensel bir bölünüşünü tanımlayan yatay ve dikey doğrular şebekesiyle belirlenir. Bu şekilde belirlenen her küçük dikdörtgen içinde,  $f$ 'nin hesaplandığı, keyfi bir  $(x_k, y_k)$  noktasının seçimi vardır. Bu seçimler birlikte, tek bir Riemann toplamı tanımlarlar. Bir limit oluşturmak için, dikdörtgenlerinin hem genişlikleri ve hem de yükseklikleri sıfıra giden ve dikdörtgenlerinin sayısı sonsuza giden bölünüşler seçerek, bütün süreci tekrar tekrar yineleriz.

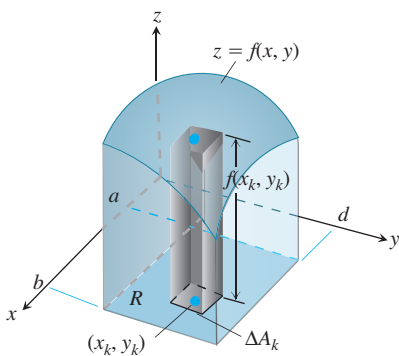
Hangi seçimler yapılrsa yapılsın,  $S_n$  toplamlarının, aynı limit değerine eşit olan birer limiti varsa  $f$ 'ye integrallenebilir bir fonksiyon ve

$$\iint_R f(x, y) dA \quad \text{veya} \quad \iint_R f(x, y) dx dy.$$

ile gösterilen limit değerine de  $f$ 'nin  $R$  üzerindeki **iki katlı integrali** denir. Bölüm 5'te incelenen tek değişken durumundaki gibi,  $R$  üzerinde sürekli olan bir  $f(x, y)$  fonksiyonunun integrallenebilir olduğu gösterilebilir. Sadece sonlu sayıda noktada veya düzgün eğri üzerinde sürekli olanlar gibi bir çok sürekli fonksiyon da integrallenebilir. Bunların ispatını daha ileri seviyedeki derslere bırakıyoruz.

### Hacim Olarak İki Katlı İntegraller

$f(x, y)$ ,  $xy$ -düzleminde dikdörtgensel bir  $R$  bölgesi üzerinde pozitif bir fonksiyon iken,  $f$ 'nin  $R$  bölgesi üzerindeki iki katlı integralini,  $xy$ -düzleminin üst tarafından  $R$  ve



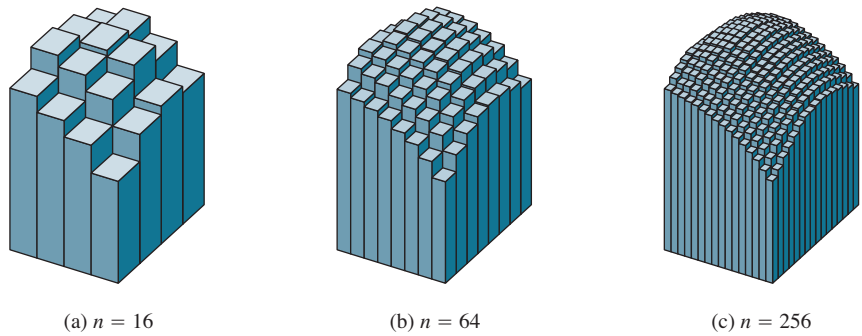
**ŞEKİL 15.2** Katı cisimlere dikdörtgensel kutularla yaklaşımada bulunmak, daha genel katı cisimlerin hacimlerini iki katlı integraller olarak tanımlamamızı sağlar. Burada gösterilen katı cismin hacmi  $f(x, y)$ 'nin  $R$  bölgesinde üzerinde iki katlı integralidir.

üstten  $z = f(x, y)$  yüzeyi ile sınırlı, 3-boyutlu bir katı bölgenin hacmi olarak yorumlayabiliyoruz (Şekil 15.2).  $S_n = \sum f(x_k, y_k) \Delta A_k$  toplamındaki her  $f(x_k, y_k) \Delta A_k$  terimi, katı cismin  $\Delta A_k$  tabanı üstünde bulunan kısmının hacmine yaklaşımada bulunan dikey bir dikdörtgensel kutunun hacmidir. Böylece  $S_n$  toplamı, prizmanın toplam hacmi demek istediğimiz şeye yaklaşımada bulunur. Bu hacmi,  $n \rightarrow \infty$  için  $\Delta A_k \rightarrow 0$  olmak üzere

$$\text{Hacim} = \lim_{n \rightarrow \infty} S_n = \iint_R f(x, y) dA.$$

olarak tanımlarız.

Bekleyebileceğiniz gibi, bu daha genel hacim hesaplama yöntemi Bölüm 6'daki yöntemlerle uyusur, ama bunu burada ispatlamayacağız. Şekil 15.3 hacime, kutuların sayısı  $n$ 'nin artmasıyla giderek daha doğru hale gelen, Riemann toplamı yaklaşımalarını göstermektedir.



**ŞEKİL 15.3**  $n$  artarken Riemann toplamı yaklaşımı, Şekil 15.2'de gösterilen katı cismin toplam hacmine yaklaşır.

### İki Katlı İntegralleri Hesaplama Fubini Teoremi

$xy$ -düzleminde  $R: 0 \leq x \leq 2, 0 \leq y \leq 1$  dikdörtgensel bölgesinin üzerinde,  $z = 4 - x - y$  düzleminin altında kalan hacmi hesaplamak istediğimizi varsayıyın.  $x$ -eksenine dik dilimlerle, Bölüm 6.1'deki dilimleme yöntemini kullanırsak (Şekil 15.4), hacim,  $A(x)$  değeri  $x$ 'teki kesit alanı olmak üzere,

$$\int_{x=0}^{x=2} A(x) dx \quad [1]$$

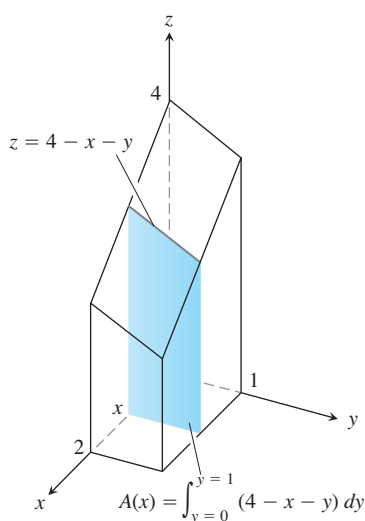
olur. Her  $x$  değerinde,  $A(x)$  değerini,  $x$ 'teki kesit düzleminde  $z = 4 - x - y$  eğrisinin altında kalan alan olan

$$A(x) = \int_{y=0}^{y=1} (4 - x - y) dy \quad [2]$$

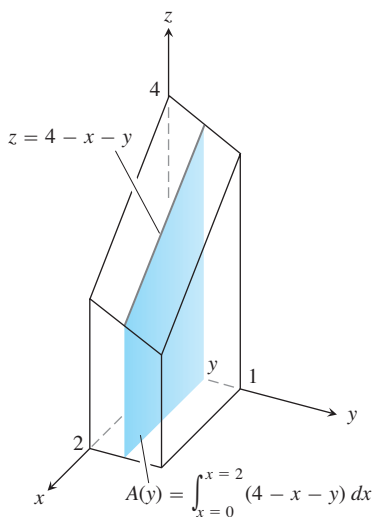
integrali olarak hesaplayabiliriz.  $A(x)$ 'yi hesaplarken,  $x$  sabit tutulur ve integrasyon  $y$ 'ye göre yapılır. (1) ve (2) denklemlerini birleştirirsek, tüm cismin hacminin

$$\begin{aligned} \text{Hacim} &= \int_{x=0}^{x=2} A(x) dx = \int_{x=0}^{x=2} \left( \int_{y=0}^{y=1} (4 - x - y) dy \right) dx \\ &= \int_{x=0}^{x=2} \left[ 4y - xy - \frac{y^2}{2} \right]_{y=0}^{y=1} dx = \int_{x=0}^{x=2} \left( \frac{7}{2} - x \right) dx \\ &= \left[ \frac{7}{2}x - \frac{x^2}{2} \right]_0^2 = 5 \end{aligned} \quad [3]$$

olduğunu görürüz.



**ŞEKİL 15.4**  $A(x)$  kesit alanını elde etmek için,  $x$ 'i sabit tutar ve  $y$ 'ye göre integral alırız.



**SEKİL 15.5**  $A(y)$  kesit alanını elde etmek için,  $y$ 'yi sabit tutar ve  $x$ 'e göre integral alırız.

İntegraleri hesaplamadan, sadece hacim için bir formül yazmak isteseydik,

$$\text{Hacim} = \int_0^2 \int_0^1 (4 - x - y) dy dx$$

yazabilirdik. Tekrarlı integral olarak tanımlanan sağ taraftaki ifade hacmin,  $x$ 'i sabit tutarak  $4 - x - y$ 'yi  $y = 0$ 'dan  $y = 1$ 'e kadar  $y$ 'ye göre integre edip, sonra da ortaya çıkan ifadeyi  $x = 0$ 'dan  $x = 2$ 'ye kadar,  $x$ 'e göre integre ederek bulduğunu söyler. 0 ve 1 integrasyon sınırları  $y$  ile ilgilidir. Dolayısıyla bunlar  $dy$ 'ye daha yakın olan integral üzerine yerleştirilmişdir. Integrasyonun diğer sınırları, 0 ve 2,  $x$  değişkeni ile ilgilidir, dolayısıyla  $dx$  ile eşlenen dıstaki integral işaretine yerleştirilmişlerdir.

Hacmi  $y$ -eksenine dik düzlemlerde dilimleyerek hesaplaşaydı ne olurdu (Şekil 15.5)?  $y$ 'nin bir fonksiyonu olarak, tipik kesit alanı

$$A(y) = \int_{x=0}^{x=2} (4 - x - y) dx = \left[ 4x - \frac{x^2}{2} - xy \right]_{x=0}^{x=2} = 6 - 2y \quad [4]$$

olarak bulunur. Dolayısıyla bütün cismin hacmi, daha önceki hesabımızla uyumlu olarak

$$\text{Hacim} = \int_{y=0}^{y=1} A(y) dy = \int_{y=0}^{y=1} (6 - 2y) dy = [6y - y^2]_0^1 = 5$$

bulunur.

Yine,

$$\text{Hacim} = \int_0^1 \int_0^2 (4 - x - y) dx dy$$

yazarak, hacim için bir tekrarlı integral formülü verebiliriz. Sağ taraftaki ifade, hacmi, (4) denklemindeki gibi  $4 - x - y$ 'yi  $x = 0$ 'dan  $x = 2$ 'ye kadar  $x$ 'e göre integre edip sonra da sonucu  $y = 0$ 'dan  $y = 1$ 'e kadar  $y$ 'ye göre integre ederek bulabileceğimizi söyler. Bu tekrarlı integralde, integrasyon sırası (3) denkleminin tersine önce  $x$ 'e göre sonra  $y$ 'ye göredir.

Tekrarlı integrallerle yapılan bu iki hacim hesaplamasının,  $R: 0 \leq x \leq 2, 0 \leq y \leq 1$  bölgesindeki

$$\iint_R (4 - x - y) dA$$

iki katlı integrali ile ilişkisi nedir? Yanıt, tekrarlı integrallerin ikisinin de iki katlı integralin değerini vermesidir. Bu, iki katlı integral, aynı bölgenin hacmini iki tekrarlı integral olarak ölçüğünden, doğal olarak bekleyebileceğimiz şeydir. 1907'de Guido Fubini tarafından yanılanan bir teorem, herhangi bir sürekli fonksiyonun bir dikdörtgen üzerindeki iki katlı integralinin, tekrarlı bir integral olarak herhangi bir sırada hesaplanabileceğini söyler (Fubini, teoremini daha genel olarak ispatlamıştır, ama bizim yaptıklarımıza indirgenmesi böyledir).

#### TARİHSEL BİYOGRAFİ

Guido Fubini  
(1879–1943)

#### TEOREM 1 Fubini Teoremi (Birinci Şekli)

$f(x, y), R: a \leq x \leq b, c \leq y \leq d$  dikdörtgen bölgesinde sürekliye,

$$\iint_R f(x, y) dA = \int_c^d \int_a^b f(x, y) dx dy = \int_a^b \int_c^d f(x, y) dy dx$$

olur.

Fubini teoremi dikdörtgenler üzerindeki iki katlı integrallerin tekrarlı integraller olarak hesaplanabileceğini söyler. Böylece iki katlı bir integrali, her defasında bir değişkene göre integre ederek hesaplayabiliriz.

Fubini teoremi ayrıca, iki katlı integrali *herhangi bir* sırada hesaplayabileceğimizi de söyler, bu Örnek 3'te göreceğimiz gibi, gerçek bir kolaylıktır. Dilimlemeyle bir hacmi hesaplarken, hem  $x$ -eksenine dik düzlemler hem de  $y$ -eksenine dik düzlemler kullanabiliriz.

### ÖRNEK 1 İki Katlı Bir Integral Hesaplamak

$f(x, y) = 1 - 6x^2y$  ve  $R: 0 \leq x \leq 2, -1 \leq y \leq 1$  için  $\iint_R f(x, y) dA$ 'yı hesaplayın.

**Çözüm** Fubini teoremiyle,

$$\begin{aligned}\iint_R f(x, y) dA &= \int_{-1}^1 \int_0^2 (1 - 6x^2y) dx dy = \int_{-1}^1 [x - 2x^3y]_{x=0}^{x=2} dy \\ &= \int_{-1}^1 (2 - 16y) dy = [2y - 8y^2]_{-1}^1 = 4\end{aligned}$$

bulunur. İntegrasyon sırasını değiştirmek de aynı sonucu verir:

$$\begin{aligned}\int_0^2 \int_{-1}^1 (1 - 6x^2y) dy dx &= \int_0^2 [y - 3x^2y^2]_{y=-1}^{y=1} dx \\ &= \int_0^2 [(1 - 3x^2) - (-1 - 3x^2)] dx \\ &= \int_0^2 2 dx = 4.\end{aligned}$$

■

### TEKNOLOJİ KULLANMAK Çok Katlı İntegrasyon

Çoğu Bilgisayarlı Cebir Sistemi hem çok katlı hem de tekrarlı integralleri hesaplayabilir. Tipik prosedür belirlediğiniz integrasyon sırasına göre iç içe geçmiş iterasyonlarda BCS intégre et komutunu uygulamaktır:

#### Integral

$$\iint x^2y dx dy$$

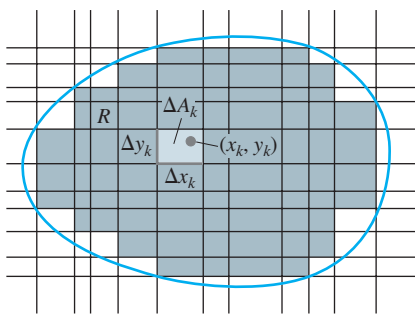
#### Tipik BCS Formülasyonu

$$\text{int}(\text{int}(x^2 * y, x), y);$$

$$\int_{-\pi/3}^{\pi/4} \int_0^1 x \cos y dx dy$$

$$\text{int}(\text{int}(x * \cos(y), x = 0 .. 1), y = -\text{Pi}/3 .. \text{Pi}/4);$$

Bir BCS, bir belirli integral için kesin bir değer üretmezse, genellikle sayısal olarak yaklaşık bir değer bulabilir. Çok katlı bir integrali, bir BCS sistemi ile hesaplamak için ayarlamak hayli zor bir iş olabilir ve bölgenin sınırlarının nasıl tanımlanacağını bilmesini gerektirebilir.



**ŞEKİL 15.6** Dikdörtgensel olmayan bir sınırlı bölgeyi hücrelerle bölen dikdörtgensel bir şebeke.

### Dikdörtgensel Olmayan Sınırlı Bölgelerde İki Katlı İntegraler

Bir  $f(x, y)$  fonksiyonunun, Şekil 15.6'da görülene benzer, dikdörtgensel olmayan sınırlı bir bölge üzerindeki iki katlı integralini tanımlamak için, yine  $R'$ yi, küçük dikdörtgensel hücrelerden oluşan ve bileşimleri  $R'$ 'nin bütün noktalarını içeren, bir şebeke ile kaplamakla başlarız. Fakat bu defa, sınırı eğrisel olduğundan ve şebekedeki bazı küçük dikdörtgenler kısmen  $R'$ 'nin dışında kaldığından,  $R'$ 'nin içinde kalan sonlu sayıda dikdörtgenle  $R'$ yi tamamen dolduramayız.  $R'$ 'nin bir bölünüşü, kısmen ya da tamamen dışarıda kalanların hiçbirini kullanmadan, tamamen  $R'$ 'nin içinde kalan dikdörtgenler alınarak oluşturulur. Sıkça karşılaştığımız bölgeler için, bölünüşün normu (kullanılan dikdörtgenlerin genişliklerinin veya yüksekliklerinin en büyüğü) sıfır yaklaşıken,  $R'$ 'nin içeriği dikdörtgenlerin sayısı giderek artar.

$R'$ 'nin bir bölünüşü verildiğinde, dikdörtgenleri herhangi bir sırada 1'den  $n$ 'ye numaralar ve  $k$ . dikdörtgenin alanını  $\Delta A_k$  ile gösteririz. Sonra,  $k$ . dikdörtgende bir  $(x_k, y_k)$  noktasını seçer ve

$$S_n = \sum_{k=1}^n f(x_k, y_k) \Delta A_k$$

Riemann toplamını oluştururuz.  $S_n$ 'yi oluşturan bölünüşün normu sıfır giderken,  $\|P\| \rightarrow 0$ , içeren bütün dikdörtgenlerin genişlikleri ve yükseklikleri sıfır gider. Dolayısıyla, dikdörtgenlerin sayısı sonsuza gider.  $f(x, y)$  sürekli bir fonksiyon ise bu Riemann toplamları, yaptığımız her seçimden bağımsız olarak, bir limit değere yakınsar. Bu limite,  $f(x, y)$ 'nin  $R$  üzerindeki **iki katlı integrali** denir:

$$\lim_{\|P\| \rightarrow 0} \sum_{k=1}^n f(x_k, y_k) \Delta A_k = \iint_R f(x, y) dA$$

$R$ 'nın sınırının şekli, bir aralık üzerindeki integrallerde bulunmayan sorunlar çıkarır.  $R$ 'nın sınırı eğrisel olduğunda, bölünüşün  $n$  dikdörtgeni  $R$ 'nin içinde bulunur fakat  $R$ 'nin tamamını kaplamaz. Bir bölünüşün  $R$ 'ye yakınsaması için, kısmen  $R$ 'nin dışında kalan küçük dikdörtgenlerle örtülen kısımlar, bölünüşün normu sıfır giderken ihmali edilebilir olmalıdır. Bu, küçük normlu bir bölünüşle neredeyse doldurulmuş olma özelliği, ele alacağımız bütün bölgeler için sağlanmaktadır. Uç uca eklenmiş çokgenlerden, çemberlerden, elipslerden ve bir aralık üzerinde sürekli grafiklerden oluşan sınırlar problem teşkil etmezler. Şekil olarak "fraktal" bir eğri problemleri olabilir. Fakat çoğu uygulamalar için böyle eğriler söz konusu değildir. İki katlı integralerin hesaplanması için hangi tip  $R$  bölgelerinin kullanılabileceğine dair dikkatli bir araştırmayı daha ileri seviye derslere bırakıyoruz.

Sürekli fonksiyonların dikdörtgensel olmayan bölgelerdeki iki katlı integralerinin cebirsel özellikleri, (ileride özetlenmiştir) dikdörtgensel bölgelerdeki integralerinkilerle aynıdır. Tanım kümesi Toplanabilirlik Özelliğine göre,  $R$  yine sonlu sayıda doğru parçası veya düzgün eğriyle sınırlı, üst üste binmeyen  $R_1$  ve  $R_2$  bölgelerine ayrılmışsa (örnek olarak Şekil 15.7'ye bakın),

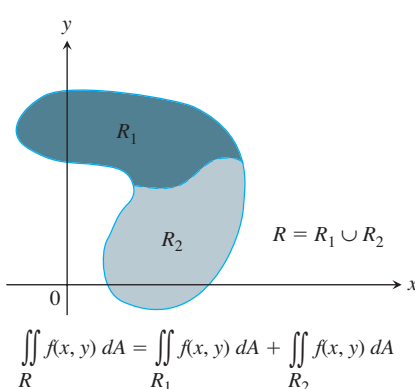
$$\iint_R f(x, y) dA = \iint_{R_1} f(x, y) dA + \iint_{R_2} f(x, y) dA.$$

yazılabilir.

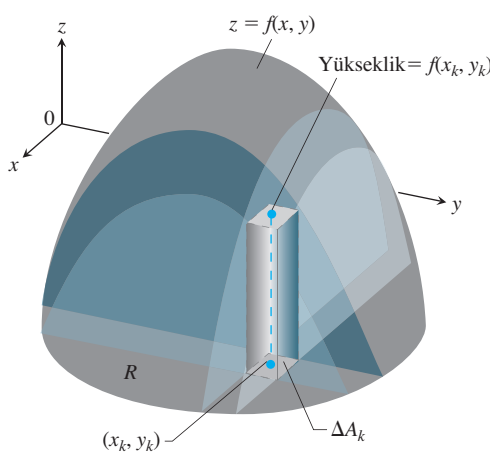
$f(x, y)$  pozitifse ve  $R$  üzerinde sürekli ise  $R$  ile  $z = f(x, y)$  yüzeyi arasındaki katı bölgenin hacmini (Şekil 15.8), daha önceki gibi  $\iint_R f(x, y) dA$ , olarak tanımlarız.

$R$ ,  $xy$ -düzleminde "üstten" ve "alttan"  $y = g_2(x)$  ve  $y = g_1(x)$  eğrileri ve yanlardan  $x = a$ ,  $x = b$  doğrularıyla sınırlı, Şekil 15.9'da görülen bölge gibi bir bölgeyse, hacmi yine dilimleme yöntemi ile bulabiliriz. Önce

$$A(x) = \int_{y=g_1(x)}^{y=g_2(x)} f(x, y) dy$$

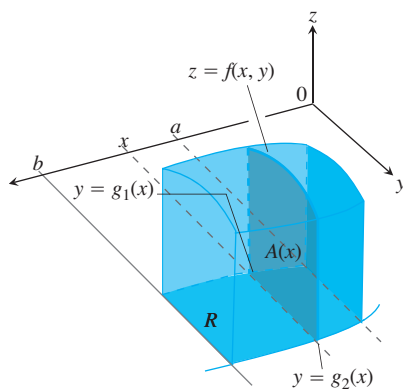


**ŞEKİL 15.7** Dikdörtgensel bölgelerin toplanabilirlik özelliği sürekli eğrilerle sınırlanan bölgeler için de geçerlidir.



$$\text{Hacim} = \lim \sum f(x_k, y_k) \Delta A_k = \iint_R f(x, y) dA$$

**ŞEKİL 15.8** Eğri tabanlı cisimlerin hacimlerini de dikdörtgen tabanlı cisimlerin hacimlerini tanımladığımız gibi tanımlarız.



**ŞEKİL 15.9** Burada gösterilen dikey dilimin alanı

$$A(x) = \int_{g_1(x)}^{g_2(x)} f(x, y) dy$$

ile verilir. Cismin hacmini hesaplamak için bu alanı  $x = a$ 'dan  $x = b$ 'ye kadar integre ederiz.

kesit alanını hesaplar ve  $A(x)$ 'i  $x = a$ 'dan  $x = b$ 'ye kadar integre ederek hacmi tekrarlı bir integral olarak buluruz:

$$V = \int_a^b A(x) dx = \int_a^b \int_{g_1(x)}^{g_2(x)} f(x, y) dy dx. \quad [5]$$

Aynı şekilde,  $R$ ,  $x = h_2(y)$  ve  $x = h_1(y)$  eğrileri ve  $y = c$  ve  $y = d$  doğrularıyla sınırlı Şekil 15.10'da gösterilen bölge gibi bir bölgeye, dilimleme ile hesaplanan hacim

$$\text{Hacim} = \int_c^d \int_{h_1(y)}^{h_2(y)} f(x, y) dx dy \quad [6]$$

tekrarlı integraliyle hesaplanır.

(5) ve (6) denklemlerindeki tekrarlı integrallerin ikisinin de,  $f$ 'nin  $R$  üzerindeki iki katlı integrali olarak tanımladığımız, hacmi vermeleri aşağıda verilen Fubini teoreminin daha güçlü şeklinin bir sonucudur.

### TEOREM 2 Fubini Teoremi (Daha Kuvvetli Şekil)

$f(x, y)$  bir  $R$  bölgesi üzerinde sürekli olsun.

1.  $R$ ,  $g_1$  ve  $g_2$   $[a, b]$ 'de sürekli olmak üzere,  $a \leq x \leq b$ ,  $g_1(x) \leq y \leq g_2(x)$  ile tanımlanıyorrsa,

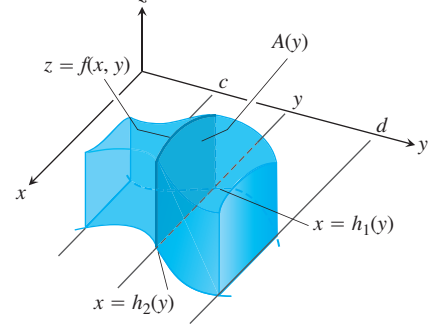
$$\iint_R f(x, y) dA = \int_a^b \int_{g_1(x)}^{g_2(x)} f(x, y) dy dx$$

olur.

2.  $R$ ,  $h_1$  ve  $h_2$   $[c, d]$ 'de sürekli olmak üzere,  $c \leq y \leq d$ ,  $h_1(y) \leq x \leq h_2(y)$  ile tanımlanıyorsa,

$$\iint_R f(x, y) dA = \int_c^d \int_{h_1(y)}^{h_2(y)} f(x, y) dx dy$$

olur.



**ŞEKİL 15.10** Burada gösterilen cismin hacmi

$$\int_c^d A(y) dy = \int_c^d \int_{h_1(y)}^{h_2(y)} f(x, y) dx dy$$

dir.

### ÖRNEK 2 Hacim Bulmak

Tabanı,  $xy$ -düzleminde  $x$ -ekseni,  $y = x$  ve  $x = 1$  doğruları tarafından sınırlı üçgen olan ve tepesi

$$z = f(x, y) = 3 - x - y$$

düzleminde bulunan prizmanın hacmini bulun.

**Çözüm** Sayfa 1075'teki Şekil 15.11'e bakın. 0 ile 1 arasındaki herhangi bir  $x$  için,  $y = 0$ 'dan  $y = x$ 'e değişebilir (Şekil 15.11b). Dolayısıyla

$$\begin{aligned} V &= \int_0^1 \int_0^x (3 - x - y) dy dx = \int_0^1 \left[ 3y - xy - \frac{y^2}{2} \right]_{y=0}^{y=x} dx \\ &= \int_0^1 \left( 3x - \frac{3x^2}{2} \right) dx = \left[ \frac{3x^2}{2} - \frac{x^3}{2} \right]_{x=0}^{x=1} = 1 \end{aligned}$$

olur. İntegrasyon sırası değiştirildiğinde (Şekil 15.11c), hacim integrali

$$\begin{aligned} V &= \int_0^1 \int_y^1 (3 - x - y) dx dy = \int_0^1 \left[ 3x - \frac{x^2}{2} - xy \right]_{x=y}^{x=1} dy \\ &= \int_0^1 \left( 3 - \frac{1}{2} - y - 3y + \frac{y^2}{2} + y^2 \right) dy \\ &= \int_0^1 \left( \frac{5}{2} - 4y + \frac{3}{2}y^2 \right) dy = \left[ \frac{5}{2}y - 2y^2 + \frac{y^3}{2} \right]_{y=0}^{y=1} = 1 \end{aligned}$$

olur. İki integral de, olmaları gerektiği gibi, eşittir. ■

Fubini teoremi iki katlı bir integralin herhangi bir integrasyon sırasıyla tekrarlanan bir integral olarak hesaplanabileceğini garantilerken, bir integralin değerini bulmak diğerinin değerini bulmaktan daha kolay olabilir. Aşağıdaki örnek bunun nasıl olduğunun bir örneğidir.

### ÖRNEK 3 İki Katlı Bir Integral Hesaplamak

$R$ ,  $xy$ -düzleminde  $x$ -ekseni,  $y = x$  doğrusu ve  $x = 1$  doğrusuyla sınırlanan üçgen olmak üzere

$$\iint_R \frac{\sin x}{x} dA$$

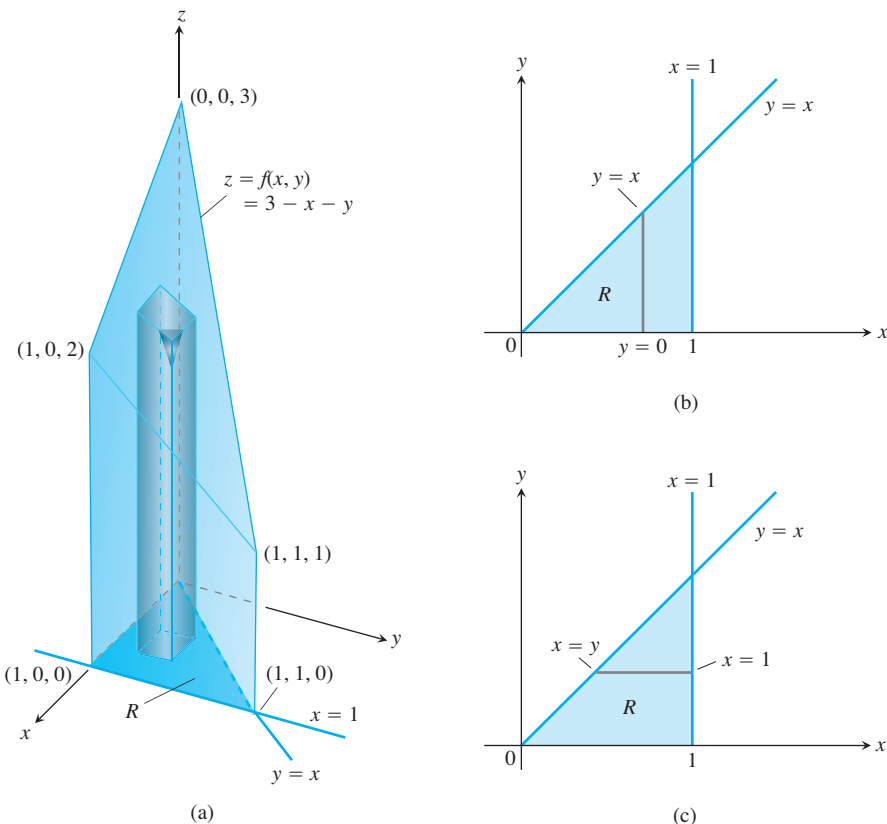
integralini hesaplayın.

**Çözüm** Integrasyon bölgesi Şekil 15.12'de gösterilmektedir. Önce  $y$ 'ye, sonra da  $x$ 'e göre integre edersek,

$$\begin{aligned} \int_0^1 \left( \int_0^x \frac{\sin x}{x} dy \right) dx &= \int_0^1 \left( y \frac{\sin x}{x} \right]_{y=0}^{y=x} dx = \int_0^1 \sin x dx \\ &= -\cos(1) + 1 \approx 0.46. \end{aligned}$$

buluruz. İntegrasyon sırasını değiştirir ve

$$\int_0^1 \int_y^1 \frac{\sin x}{x} dx dy$$



**ŞEKİL 15.11** (a) Üçgen tabanı  $xy$ -düzleminde olan prizma. Bu prizmanın hacmi  $R$  üzerinde iki katlı bir integral olarak tanımlanmıştır. Bunu tekrarlı bir integral olarak hesaplamak için, önce  $y$ 'ye, sonra  $x$ 'e göre veya ters sırada integre edebiliriz (Örnek 2).

(b)

$$\int_{x=0}^{x=1} \int_{y=0}^{y=x} f(x, y) dy dx.$$

integralinin integrasyon sınırları. Önce  $y$ 'ye göre integre edersek,  $R$ 'den geçen dikey bir doğru boyunca integre eder ve sonra soldan sağa doğru  $R$ 'deki bütün dikey doğruları içerecek şekilde integre ederiz.

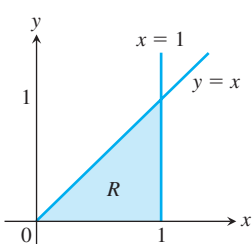
(c)

$$\int_{y=0}^{y=1} \int_{x=y}^{x=1} f(x, y) dx dy$$

integralinin integrasyon sınırları. Önce  $x$ 'e göre integre edersek,  $R$ 'de geçen yatay bir doğru boyunca integre eder ve alttan üste doğru  $R$ 'deki bütün yatay doğruları içerecek şekilde integre ederiz.

integralini almaya kalkarsak,  $\int ((\sin x)/x) dx$ 'in elemanter fonksiyonlar cinsinden ifade edilememesi yüzünden durmak zorunda kalırız.

Bunun gibi durumlarda, hangi integrasyon sırasının iyi olduğunu tahmin etmek için genel bir kural yoktur. Seçtiğiniz ilk sıra işe yaramazsa, diğerini deneyin. Bazı hallerde her iki sıra da işe yaramayabilir. Bu gibi durumlarda sayısal yaklaşımı kullanmak zorunda kalırız. ■



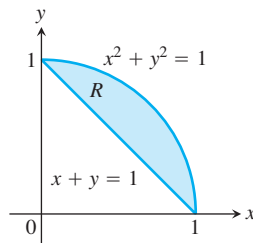
**ŞEKİL 15.12** Örnek 3'teki integrasyon bölgesi.

### İntegrasyon Sınırlarını Bulmak

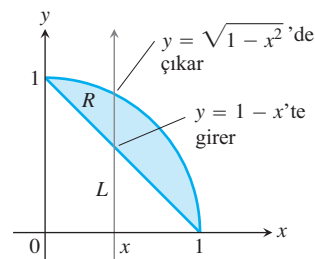
Şimdi, integrasyon sınırlarını bulmak için, düzlemede bir çok bölgeye uygulanabilen bir prosedür veriyoruz. Bu prosedürün işe yaramadığı daha karmaşık bölgeler, çoğunlukla bu prosedür uygulanabilecek şekilde parçalara ayrılır.

$\iint_R f(x, y) dA$  integralini, önce  $y$ 'ye sonra da  $x$ 'e göre integre ederek hesaplamak için, aşağıdaki adımları izleyin.

1. *Çizim.* İntegrasyon bölgesini çizin ve sınırlayıcı eğrileri belirtin.



2. *Integrasyonun y sınırlarını bulun* Artan  $y$  yönünde  $R$ 'den geçen dikey bir  $L$  doğrusu hayal edin.  $L$ 'nin girdiği ve çıktıgı  $y$  değerlerini işaretleyin. Bunlar integrasyonun  $y$  sınırlarıdır ve genellikle  $x$ 'in fonksiyonlarıdır (sabit yerine).

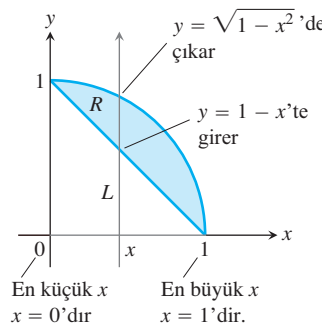


3. *Integrasyonun x-sınırlarını bulun*  $R$ 'den geçen bütün dikey doğruları kapsayan  $x$ -sınırlarını seçin. Integral

$$\iint_R f(x, y) dA =$$

$$\int_{x=0}^{x=1} \int_{y=1-x}^{y=\sqrt{1-x^2}} f(x, y) dy dx$$

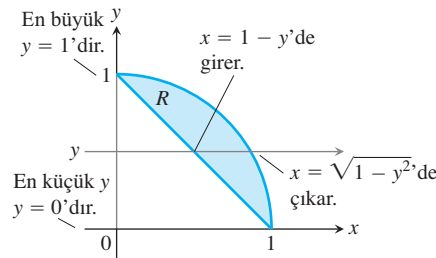
olur.



Aynı iki katlı integrali, integrasyon sırası değişmiş tekrarlı integral olarak hesaplamak için, 2. ve 3. adımlarda dikey doğrular yerine yatay doğrular kullanın. İntegral

$$\iint_R f(x, y) dA = \int_0^1 \int_{1-y}^{\sqrt{1-y^2}} f(x, y) dx dy$$

olur.

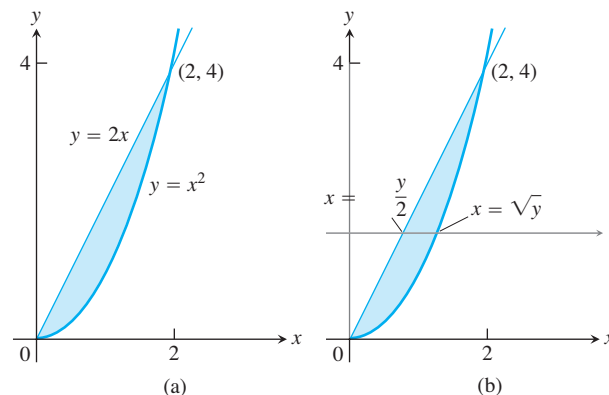


#### ÖRNEK 4 Integrasyon Sırasını Değiştirmek

$$\int_0^2 \int_{x^2}^{2x} (4x + 2) dy dx$$

integralinin integrasyon bölgesini çizin ve integrasyon sırası değiştirilmiş eşdeğer bir integral yazın.

**Çözüm** Integrasyon bölgesi,  $x^2 \leq y \leq 2x$  ve  $0 \leq x \leq 2$  eşitsizlikleriyle verilmektedir. Dolayısıyla,  $x = 0$  ve  $x = 2$  doğruları arasında  $y = x^2$  ile  $y = 2x$  egrilerinin sınırladığı bölgelerdir (Şekil 15.13a).



SEKİL 15.13 Örnek 4'ün integrasyon bölgesi

Değiştirilmiş sırada integrasyonun sınırlarını bulmak için, bölge boyunca soldan sağa giden bir yatay doğru hayal ederiz.  $x = y/2$ 'de girer ve  $x = \sqrt{y}$ 'de çıkar. Böyle bütün doğruları kapsamak üzere,  $y$ 'yi  $y = 0$ 'dan  $y = 4$ 'e götürürüz (Şekil 15.13b). İntegral

$$\int_0^4 \int_{y/2}^{\sqrt{y}} (4x + 2) dx dy$$

olur. Bu integrallerin ortak değeri 8'dir.

### İki Katlı İntegrallerin Özellikleri

Tek katlı integraller gibi, sürekli fonksiyonların iki katlı integrallerinin hesaplamalarda ve uygulamalarda yararlı özelliklerini vardır.

#### İki Katlı İntegrallerin Özellikleri

$f(x, y)$  ve  $g(x, y)$  fonksiyonları sürekli ise

1. *Sabitle Çarpım:*  $\iint_R cf(x, y) dA = c \iint_R f(x, y) dA$  (herhangi bir  $c$  sayısı)

2. *Toplam ve Fark:*

$$\iint_R (f(x, y) \pm g(x, y)) dA = \iint_R f(x, y) dA \pm \iint_R g(x, y) dA$$

3. *Baskınlık:*

(a)  $R$  üzerinde  $f(x, y) \geq 0$  ise  $\iint_R f(x, y) dA \geq 0$

(b)  $R$  üzerinde  $f(x, y) \geq g(x, y)$  ise

$$\iint_R f(x, y) dA \geq \iint_R g(x, y) dA$$

4.  $R$ , üst üste binmeyen  $R_1$  ve  $R_2$  gibi iki bölgenin bileşimi ise (Şekil 15.7):

$$\iint_R f(x, y) dA = \iint_{R_1} f(x, y) dA + \iint_{R_2} f(x, y) dA$$

Bu özelliklerin arkasındaki fikir, integrallerin toplamları gibi davranışlarıdır. Bir  $f(x, y)$  fonksiyonu sabit katı olan  $cf(x, y)$  ile değiştirilirse,  $f$  için bir

$$S_n = \sum_{k=1}^n f(x_k, y_k) \Delta A_k$$

Riemann toplamı,  $cf$  için olan

$$\sum_{k=1}^n cf(x_k, y_k) \Delta A_k = c \sum_{k=1}^n f(x_k, y_k) \Delta A_k = c S_n$$

Riemann toplamı ile değiştirilmiş olur.

$n \rightarrow \infty$  için limit almak,  $c \lim_{n \rightarrow \infty} S_n = c \iint_R f dA$  ve  $\lim_{n \rightarrow \infty} c S_n = \iint_R cf dA$  integralerinin eşit olduğunu gösterir. Sonuç olarak, sabitle çarpım kuralı toplamlar üzerinden iki katlı integrallere taşınır.

Diger özellikleri de Riemann toplamları için gerçeklemek ve aynı nedenle iki katlı integrallere taşımak kolaydır. Bu tartışma fikri vermesine rağmen, bu özelliklerin sağlandığına dair gerçek bir ispat, Riemann toplamlarının nasıl yakınsadığı hakkında dik katlı bir analiz gerektirir.

## ALIŞTIRMALAR 15.1

### İntegrasyon Bölgelerini ve İki Katlı İntegralleri Bulmak

1–10 alıştırmalarında, integrasyon bölgesini çizin ve integrali hesaplayın.

1.  $\int_0^3 \int_0^2 (4 - y^2) dy dx$

2.  $\int_0^3 \int_{-2}^0 (x^2y - 2xy) dy dx$

3.  $\int_{-1}^0 \int_{-1}^1 (x + y + 1) dx dy$

4.  $\int_{\pi}^{2\pi} \int_0^{\pi} (\sin x + \cos y) dx dy$

5.  $\int_0^{\pi} \int_0^x x \sin y dy dx$

6.  $\int_0^{\pi} \int_0^{\sin x} y dy dx$

7.  $\int_1^{\ln 8} \int_0^{\ln y} e^{x+y} dx dy$

8.  $\int_1^2 \int_y^{y^2} dx dy$

9.  $\int_0^1 \int_0^{y^2} 3y^3 e^{xy} dx dy$

10.  $\int_1^4 \int_0^{\sqrt{x}} \frac{3}{2} e^{y/\sqrt{x}} dy dx$

11–16 alıştırmalarında,  $f'$ 'yi verilen bölgede integre edin.

11. **Dörtgen** Birinci dörtte bir bölgede  $y = x$ ,  $y = 2x$ ,  $x = 1$ ,  $x = 2$  doğrularıyla sınırlı bölgede  $f(x, y) = x/y$

12. **Kare**  $1 \leq x \leq 2$ ,  $1 \leq y \leq 2$  karesinde  $f(x, y) = 1/(xy)$

13. **Üçgen** Köşeleri  $(0, 0)$ ,  $(1, 0)$  ve  $(0, 1)$ 'de olan üçgen bölgede  $f(x, y) = x^2 + y^2$

14. **Dikdörtgen**  $0 \leq x \leq \pi$ ,  $0 \leq y \leq 1$  dikdörtgeninde  $f(x, y) = y \cos xy$

15. **Üçgen**  $uv$ -düzleminin birinci dörtte bir bölgесinden  $u + v = 1$  doğrusuya kesilen üçgen bölgede  $f(u, v) = v - \sqrt{u}$

16. **Eğrisel bölge**  $st$ -düzleminin birinci dörtte bir bölgесinde  $t = 1$ 'den  $t = 2$ 'ye kadar  $s = \ln t$  eğrisinin üst tarafında kalan bölgede  $f(s, t) = e^s \ln t$

17–20 alıştırmalarından her biri, bir Kartezyen koordinat düzleminin bir bölgесinde bir integral vermektedir. Bölgeyi çizin ve integrali hesaplayın.

17.  $\int_{-2}^0 \int_v^{-v} 2 dp dv$  (pv-düzlemi)

18.  $\int_0^1 \int_0^{\sqrt{1-s^2}} 8t dt ds$  (st-düzlemi)

19.  $\int_{-\pi/3}^{\pi/3} \int_0^{\sec t} 3 \cos t du dt$  (tu-düzlemi)

20.  $\int_0^3 \int_1^{4-2u} \frac{4-2u}{v^2} dv du$  (uv-düzlemi)

### İntegrasyon Sırasını Değiştirmek

21–30 alıştırmalarında integrasyon bölgesini çizin ve integrasyon sırası değiştirilmiş eşdeğer bir iki katlı integral yazın.

21.  $\int_0^1 \int_2^{4-2x} dy dx$

22.  $\int_0^2 \int_{y-2}^0 dx dy$

23.  $\int_0^1 \int_y^{\sqrt{y}} dx dy$

24.  $\int_0^1 \int_{1-x}^{1-x^2} dy dx$

25.  $\int_0^1 \int_1^{e^x} dy dx$

26.  $\int_0^{\ln 2} \int_{e^x}^2 dx dy$

27.  $\int_0^{3/2} \int_0^{9-4x^2} 16x dy dx$

28.  $\int_0^2 \int_0^{4-y^2} y dx dy$

29.  $\int_0^1 \int_{-\sqrt{1-y^2}}^{\sqrt{1-y^2}} 3y dx dy$

30.  $\int_0^2 \int_{-\sqrt{4-x^2}}^{\sqrt{4-x^2}} 6x dy dx$

### İki Katlı İntegralleri Hesaplamak

31–40 alıştırmalarında, integrasyon bölgesini çizin, integrasyon sınırlarını belirleyin ve integrali hesaplayın.

31.  $\int_0^{\pi} \int_x^{\pi} \frac{\sin y}{y} dy dx$

32.  $\int_0^2 \int_x^2 2y^2 \sin xy dy dx$

33.  $\int_0^1 \int_y^1 x^2 e^{xy} dx dy$

34.  $\int_0^2 \int_0^{4-x^2} \frac{x e^{2y}}{4-y} dy dx$

35.  $\int_0^{2\sqrt{\ln 3}} \int_{y/2}^{\sqrt{\ln 3}} e^{x^2} dx dy$

36.  $\int_0^3 \int_{\sqrt{x/3}}^1 e^{y^3} dy dx$

37.  $\int_0^{1/16} \int_{y^{1/4}}^{1/2} \cos(16\pi x^5) dx dy$

38.  $\int_0^8 \int_{\sqrt[3]{x}}^2 \frac{dy}{y^4+1} dx$

39. **Kare bölge**  $R$ ,  $|x| + |y| = 1$  karesinin içindeki bölge olmak üzere,  $\iint_R (y - 2x^2) dA$

40. **Üçgen bölge**  $R$ ,  $y = x$ ,  $y = 2x$  ve  $x + y = 2$  doğrularıyla sınırlı bölge olmak üzere,  $\iint_R xy dA$

### $z = f(x, y)$ Yüzeyinin Altında Kalan Hacim

41.  $z = x^2 + y^2$  paraboloidinin altında ve  $xy$ -düzleminde  $y = x$ ,  $x = 0$  ve  $x + y = 2$  doğrularıyla sınırlanan üçgenin üstündeki bölgenin hacmini bulun.

42. Üstten  $z = x^2$  silindiri ve alttan  $xy$ -düzleminde  $y = 2 - x^2$  parabolü ve  $y = x$  doğrusuya çevrelenen bölgeyle sınırlı cismin hacmini bulun.

43. Tabanı,  $xy$ -düzleminde  $y = 4 - x^2$  parabolü ve  $y = 3x$  doğrusuya çevrili üçgen olan ve üstü  $z = x + 4$  düzlemi ile sınırlanan cismin hacmini bulun.

44. Birinci sekizde bir bölgede, koordinat düzlemleri,  $x^2 + y^2 = 4$  silindiri ve  $z + y = 3$  düzlemiyle sınırlanan cismin hacmini bulun.

45. Birinci sekizde bir bölgede, koordinat düzlemleri,  $x = 3$  düzlemi ve  $z = 4 - y^2$  parabolik silindiriyle sınırlı cismin hacmini bulun.
46. Birinci sekizde bir bölgeden  $z = 4 - x^2 - y$  yüzeyiyle kesilen cismin hacmini bulun.
47. Birinci sekizde bir bölgeden  $z = 12 - 3y^2$  silindiri ve  $x + y = 2$  düzlemeyle kesilen takozun hacmini bulun.
48.  $|x| + |y| \leq 1$  kare sütunundan  $z = 0$  ve  $3x + z = 3$  düzlemleriyle kesilen cismin hacmini bulun.
49. Önden ve arkadan  $x = 2$  ve  $x = 1$  düzlemleri, yanlardan  $y = \pm 1/x$  silindirleri, üstten ve alttan  $z = x + 1$  ile  $z = 0$  düzlemleriyle sınırlanan cismin hacmini bulun.
50. Önden ve arkadan  $x = \pm\pi/3$  düzlemleri, yanlardan  $y = \pm \sec x$  silindirleri, üstten  $z = 1 + y^2$  silindiri ve alttan  $xy$ -düzlemeyle sınırlanan cismin hacmini bulun.

### Sınırlı Olmayan Bölgeler Üzerindeki İntegraler

İki katlı genelleştirilmiş integraller çoğunlukla tek değişkenli genelleştirilmiş integrallere benzer şekilde hesaplanabilirler. Aşağıdaki genelleştirilmiş integrallerin birincileri, sanki adı integrallermış gibi düzenlenmiştir. Sonrasında, Bölüm 8.8'deki gibi, uygun sınırlar alarak tek değişkenli genelleştirilmiş integral hesaplanır. 51–54 alıştırmalarındaki genelleştirilmiş integralleri tekrarlı integraller olarak hesaplayın.

51.  $\int_1^\infty \int_{e^{-x}}^1 \frac{1}{x^3 y} dy dx$

52.  $\int_{-1}^1 \int_{-1/\sqrt{1-x^2}}^{1/\sqrt{1-x^2}} (2y + 1) dy dx$

53.  $\int_{-\infty}^{\infty} \int_{-\infty}^{\infty} \frac{1}{(x^2 + 1)(y^2 + 1)} dx dy$

54.  $\int_0^{\infty} \int_0^{\infty} xe^{-(x+2y)} dx dy$

### İki Katlı İntegrale Yaklaşımında Bulunmak

55 ve 56 alıştırmalarında,  $f(x, y)$ 'nin verilen  $x = a$  dikey doğruları ve  $y = c$  yatay doğrularıyla böülülmüş  $R$  bölgesindeki iki katlı integraline yaklaşımada bulunun. Her alt dikdörtgende,  $(x_k, y_k)$ 'yı belirtildiği şekilde, yaklaşınızı için kullanın.

$$\iint_R f(x, y) dA \approx \sum_{k=1}^n f(x_k, y_k) \Delta A_k$$

55. Üstten  $y = \sqrt{1 - x^2}$  yarı çemberi, alttan  $x$ -ekseniyle sınırlı  $R$  bölgesinde,  $(x_k, y_k)$   $k$ . alt dikdörtgenin alt sol kölesi olmak üzere (alt dikdörtgenin  $R$ 'de bulunması koşuluyla),  $x = -1, -1/2, 0, 1/4, 1/2, 1$  ve  $y = 0, 1/2, 1$  bölünüşünü kullanarak  $f(x, y) = x + y$
56.  $(x - 2)^2 + (y - 3)^2 = 1$  çemberi içindeki  $R$  bölgesinde,  $(x_k, y_k)$   $k$ . alt dikdörtgende ( $R$ 'nin içinde olması koşuluyla) merkez olmak üzere  $x = 1, 3/2, 2, 5/2, 3$  ve  $y = 2, 5/2, 3, 7/2, 4$  bölünüşünü kullanarak  $f(x, y) = x + 2y$

### Teori ve Örnekler

57. **Daire kesmesi**  $f(x, y) = \sqrt{4 - x^2}$  yi  $x^2 + y^2 \leq 4$  dairesinden  $\theta = \pi/6$  ve  $\theta = \pi/2$  ışnlarıyla kesilen küçük bölgede integre edin.

58. **Sınırsız bölge**  $f(x, y) = 1/[(x^2 - x)(y - 1)^{2/3}]$ 'ü  $2 \leq x < \infty$ ,  $0 \leq y \leq 2$  sonsuz dikdörtgen üzerinde integre edin.

59. **Dairesel olmayan silindir**  $xy$ -düzlemindedir ve üstten  $z = x^2 + y^2$  paraboloidiyle sınırlıdır. Silindirin hacmi

$$V = \int_0^1 \int_0^y (x^2 + y^2) dx dy + \int_1^2 \int_0^{2-y} (x^2 + y^2) dx dy$$

ile bulunur. Taban bölgesi  $R$ 'yi çizin ve silindirin hacmini integrasyon sırası değiştirilmiş tek bir tekrarlı integral olarak ifade edin. Sonra integrali hesaplayarak, hacmi bulun.

60. **İki katlı integrale dönüştürme** Aşağıdaki integrali hesaplayın.

$$\int_0^2 (\tan^{-1} \pi x - \tan^{-1} x) dx$$

(İpucu: İntegrandı bir integral olarak yazın)

61. **İki katlı bir integrali maksimize etmek**  $xy$ -düzlemindeki hangi  $R$  bölgesi

$$\iint_R (4 - x^2 - 2y^2) dA$$

integralini maksimize eder? Yanıtınızı açıklayın.

62. **İki katlı bir integrali minimize etmek**  $xy$ -düzlemindeki hangi  $R$  bölgesi

$$\iint_R (x^2 + y^2 - 9) dA$$

integralini minimize eder? Yanıtınızı açıklayın.

63. Sürekli bir  $f(x, y)$  fonksiyonunun  $xy$ -düzlemindeki bir dikdörtgen bölgедe integralini hesaplamak ve integrasyon sırasına bağlı olarak farklı sonuçlar elde etmek mümkün müdür? Yanıtınızı açıklayın.

64.  $xy$ -düzleminde köşeleri  $(0, 1)$ ,  $(2, 0)$  ve  $(1, 2)$ 'de olan üçgenle çevrelenen bir  $R$  bölgesinde sürekli bir  $f(x, y)$  fonksiyonunun iki katlı integralini nasıl hesaplaysınız? Yanıtınızı açıklayın.

65. **Sınırsız bölge** Aşağıdaki eşitliği ispatlayın.

$$\begin{aligned} \int_{-\infty}^{\infty} \int_{-\infty}^{\infty} e^{-x^2-y^2} dx dy &= \lim_{b \rightarrow \infty} \int_{-b}^b \int_{-b}^b e^{-x^2-y^2} dx dy \\ &= 4 \left( \int_0^{\infty} e^{-x^2} dx \right)^2 \end{aligned}$$

66. **Genelleştirilmiş iki katlı integral**

$$\int_0^1 \int_0^3 \frac{x^2}{(y - 1)^{2/3}} dy dx$$

Genelleştirilmiş integralini hesaplayın.

**BİLGİSAYAR ARAŞTIRMALARI****İki Katlı İntegralleri Sayısal Olarak Hesaplama**

67–70 alıştırmalarındaki integrallerin değerlerini öngörmek için, bir iki katlı integral hesaplayıcısı kullanın.

67.  $\int_1^3 \int_1^x \frac{1}{xy} dy dx$

68.  $\int_0^1 \int_0^1 e^{-(x^2+y^2)} dy dx$

69.  $\int_0^1 \int_0^1 \tan^{-1} xy dy dx$

70.  $\int_{-1}^1 \int_0^{\sqrt{1-x^2}} 3\sqrt{1-x^2-y^2} dy dx$

71–76 alıştırmalarındaki integralleri hesaplamak için, bir iki katlı integral hesaplayıcısı kullanın. Sonra, integrasyon sırasını değiştirin ve yine iki katlı integral hesaplayıcısı ile hesaplayın.

71.  $\int_0^1 \int_{2y}^4 e^{x^2} dx dy$

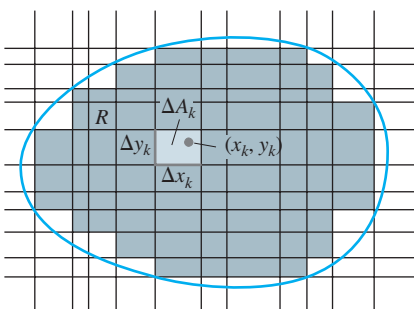
72.  $\int_0^3 \int_{x^2}^9 x \cos(y^2) dy dx$

73.  $\int_0^2 \int_{y^3}^{4\sqrt{2y}} (x^2y - xy^2) dx dy$

74.  $\int_0^2 \int_0^{4-y^2} e^{xy} dx dy$

75.  $\int_1^2 \int_0^{x^2} \frac{1}{x+y} dy dx$

76.  $\int_1^2 \int_{y^3}^8 \frac{1}{\sqrt{x^2+y^2}} dx dy$

**15.2****Alan, Momentler ve Kütle Merkezleri**

**ŞEKİL 15.14**  $R$  bölgesinin bir bölünüşünün normu sıfır yaklaşımda,  $\Delta A_k$  alanlarının toplamları  $R$ 'nin  $\iint_R dA$  iki katlı integrali ile tanımlanan alanını verir.

Bu bölümde, düzlemede sınırlı bölgelerin alanlarını hesaplamak ve iki değişkenli bir fonksiyonun ortalama değerini bulmak için iki katlı integrallerin nasıl kullanılacağını göstereceğiz. Sonra bir fizik problemini, düzlemede bir bölgeyi kaplayan ince bir plakanın kütle merkezinin bulunmasını, çalışacağız.

**Düzlemede Sınırlanmış Bölgelerin Alanları**

Onceki bölümde, bir  $R$  bölgesindeki iki katlı integralin tanımında  $f(x, y) = 1$  alırsak, Riemann toplamları

$$S_n = \sum_{k=1}^n f(x_k, y_k) \Delta A_k = \sum_{k=1}^n \Delta A_k \quad (1)$$

haline indirgenir.

Bu, basitçe  $R$ 'nin bölünüşündeki küçük dikdörtgenlerin alanlarının toplamıdır ve  $R$ 'nin alanı demek istediğimiz şeye yaklaşır.  $R$  bölgesinin bir bölünüşünün normu sıfır yaklaşımda, bölünüşteki bütün dikdörtgenlerin yükseklikleri ve genişlikleri sıfır yaklaşımda ve  $R$ 'nin örtülüşü artarak tamamlanır (Şekil 15.14).  $R$ 'nin alanını

$$\text{Alan} = \lim_{\|P\| \rightarrow 0} \sum_{k=1}^n \Delta A_k = \iint_R dA \quad (2)$$

limiti olarak tanımlarız.

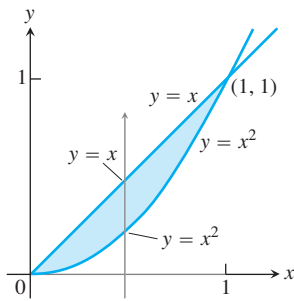
**TANIM Alan**

Kapalı, sınırlı bir düzlemsel  $R$  bölgesinin **alanı**

$$A = \iint_R dA$$

ile verilir.

Bu bölümdeki diğer tanımlar gibi, buradaki tanım da, tek değişkenli alan tanımında olduğundan, daha büyük bir bölge yelpazesine uygulanır, fakat ikisinin de uygulanabileceği bölgelerde daha önceki tanımla uyuşur. Alan tanımındaki integrali hesaplamak için, sabit  $f(x, y) = 1$  fonksiyonunu  $R$  üzerinde integre ederiz.



ŞEKİL 15.15 Örnek 1'deki bölge.

**ÖRNEK 1** Alan Bulmak

Birinci dörtte bir bölgede  $y = x$  ve  $y = x^2$  ile sınırlanan  $R$  bölgesinin alanını bulun.

**Çözüm** İki eğrinin nerede kesiştiğini belirterek bölgeyi çizer (Şekil 15.15) ve alanı

$$\begin{aligned} A &= \int_0^1 \int_{x^2}^x dy dx = \int_0^1 \left[ y \right]_{x^2}^x dx \\ &= \int_0^1 (x - x^2) dx = \left[ \frac{x^2}{2} - \frac{x^3}{3} \right]_0^1 = \frac{1}{6} \end{aligned}$$

olarak hesaplarız. İçerideki integralin hesaplanması ile elde edilen  $\int_0^1 (x - x^2) dx$  integralinin, bu iki eğri arasındaki alan için Bölüm 5.5'deki yöntem kullanılarak yazılmış integral olduğuna dikkat edin. ■

**ÖRNEK 2** Alan Bulmak

$y = x^2$  parabolü ve  $y = x + 2$  doğrusuyla çevrelenen  $R$  bölgesinin alanını bulun.

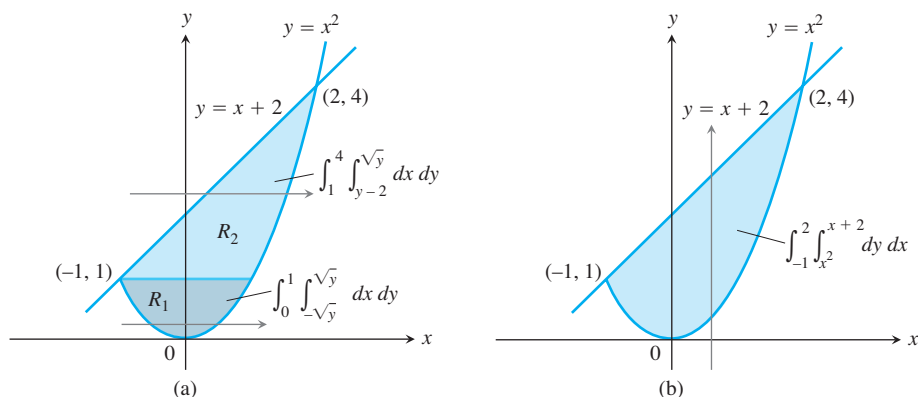
**Çözüm**  $R$ 'yi Şekil 15.16(a)'da görülen  $R_1$  ve  $R_2$  bölgelerine ayırsak, alanı

$$A = \iint_{R_1} dA + \iint_{R_2} dA = \int_0^1 \int_{-\sqrt{y}}^{\sqrt{y}} dx dy + \int_1^4 \int_{y-2}^{\sqrt{y}} dx dy$$

olarak hesaplayabiliriz. Öte yandan, integrasyon sırasını değiştirmek (Şekil 15.16b),

$$A = \int_{-1}^2 \int_{x^2}^{x+2} dy dx$$

verir.

ŞEKİL 15.16 Bu alanı hesaplamak (a) ilk integrasyon  $x$ 'e göreysse, iki tane iki katlı integral, (b) integrasyon  $y$ 'ye göreysse, sadece bir tane iki katlı integral gerektirir (Örnek 2).

Sadece bir integral gerektiren bu ikinci sonuç daha basittir ve pratikte kullanmak isteyeceğimiz budur. Alan

$$A = \int_{-1}^2 \left[ y \right]_{x^2}^{x+2} dx = \int_{-1}^2 (x + 2 - x^2) dx = \left[ \frac{x^2}{2} + 2x - \frac{x^3}{3} \right]_{-1}^2 = \frac{9}{2}$$

olarak bulunur.

### Ortalama Değer

Tek değişkenli, integre edilebilir bir fonksiyonun kapalı bir aralıktaki ortalama değeri, fonksiyonun aralıktaki integralinin aralığın uzunluğuna oranıdır. Düzleme, sınırlı bir  $R$  bölgesinde tanımlı, iki değişkenli integre edilebilir bir fonksiyon için ortalama değer, fonksiyonun bölge üzerindeki integralinin bölgenin alanına oranıdır.

Bu, fonksiyonun, yan duvarları bölgenin sınırları üzerinde bulunan bir havuzun içinde çalkalanan suyun bir andaki yüksekliğini verdigini düşünmekle gözümüzde canlandırılabilir. Havuzdaki suyun ortalama yüksekliği, suyu sabit bir yükseklikte durgunlaşmaya bırakarak bulunabilir. Bu durumda yükseklik, havuzdaki suyun hacminin, havuzun alanına oranına eşittir. Bu bizi, integre edilebilir bir  $f$  fonksiyonunun bir  $R$  bölgesi üzerindeki ortalama değerini aşağıdaki gibi tanımlamaya götürür:

$$f' \text{nin } R \text{deki Ortalama değeri} = \frac{1}{R \text{nin alanı}} \iint_R f \, dA \quad [3]$$

$f$ ,  $R$ 'yi kaplayan ince bir plakanın sıcaklığı ise,  $f$ 'nin  $R$  üzerindeki iki katlı integralinin  $R$ 'nin alanına oranı, plakanın ortalama sıcaklığıdır.  $f(x, y)$ ,  $(x, y)$  noktasından sabit bir  $P$  noktasına olan uzaklık ise,  $f$ 'nin  $R$  üzerindeki ortalama değeri  $R$ 'deki noktaların  $P$ 'den ortalama uzaklığıdır.

### ÖRNEK 3 Ortalama Değer Bulmak

$f(x, y) = x \cos xy$ 'nin  $R: 0 \leq x \leq \pi$ ,  $0 \leq y \leq 1$  dikdörtgenindeki ortalama değerini bulun.

**Cözüm**  $f$ 'nin  $R$  üzerindeki integralinin değeri

$$\begin{aligned} \int_0^\pi \int_0^1 x \cos xy \, dy \, dx &= \int_0^\pi \left[ \sin xy \right]_{y=0}^{y=1} dx \quad \int x \cos xy \, dy = \sin xy + C \\ &= \int_0^\pi (\sin x - 0) \, dx = -\cos x \Big|_0^\pi = 1 + 1 = 2 \end{aligned}$$

olarak bulunur.  $R$ 'nin alanı  $\pi$ 'dır.  $f$ 'nin  $R$  üzerindeki ortalama değeri  $2/\pi$ 'dır.

### İnce Düz Plakalar İçin Momentler ve Kütle Merkezleri

Bölüm 6.4'te, momentler ve kütle merkezleri kavramlarını tanıtmış ve bu büyüklüklerin, ince çubuklar veya şeritler ve sabit yoğunluklu plakalar için nasıl hesaplandığını görmüştük. Katlı integralleri kullanarak, bu hesaplamaları değişken yoğunluklu çeşitli şekillere, genişletebiliriz. Önce, ince düz bir plakanın kütle merkezini bulma problemini ele alıyoruz: örneğin alüminyum bir disk veya üçgensel bir metal yaprak. Böyle bir

plakada yoğunluk dağılımının sürekli olduğunu varsayıyoruz. Bir malzemenin  $\delta(x, y)$  ile gösterilen *yoğunluk* fonksiyonu, birim alan başına kütledir. Bir plakanın kütlesi, plakayı oluşturan  $R$  bölgesi üzerinde yoğunluk fonksiyonunun integre edilmesi ile elde edilir. Bir eksen etrafındaki birinci moment, eksenden uzaklık kere yoğunluğun  $R$  üzerinde integre edilmesi ile hesaplanır. Kütle merkezi, birinci momentten bulunur. Tablo 15.1, küteler, birinci momentler ve kütle merkezleri için iki katlı integral formüllerini vermektedir.

**TABLO 15.1**  $xy$ -düzleminde bir  $R$  bölgesini kaplayan ince plakalar için kütle ve birinci moment formülleri.

$$\text{Kütle: } M = \iint_R \delta(x, y) dA \quad \delta(x, y), (x, y)'deki \text{ yoğunluktur.}$$

$$\text{Birinci momentler: } M_x = \iint_R y \delta(x, y) dA, \quad M_y = \iint_R x \delta(x, y) dA$$

$$\text{Kütle merkezi: } \bar{x} = \frac{M_y}{M}, \quad \bar{y} = \frac{M_x}{M}$$

#### ÖRNEK 4 Değişken Yoğunluklu İnce Bir Plakanın Kütle Merkezini Bulmak

İnce bir plaka, birinci dörtte bir bölgede  $x$ -ekseni ile  $x = 1$  ve  $y = 2x$  doğrularının sınırladığı üçgensel bölgeyi kaplamaktadır.  $(x, y)$  noktasında plakanın yoğunluğu  $\delta(x, y) = 6x + 6y + 6$ 'dır. Plakanın kütlesini ve koordinat eksenleri etrafındaki birinci momentleri ile kütle merkezini bulun.

**Çözüm** Plakayı çizer ve hesaplamamız gereken integrallerin integrasyon sınırlarını belirleyerek kadar detay ekleriz (Şekil 15.17).

Plakanın kütlesi

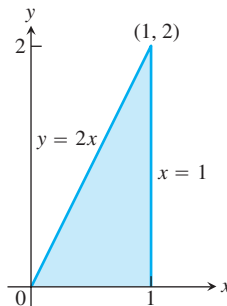
$$\begin{aligned} M &= \int_0^1 \int_0^{2x} \delta(x, y) dy dx = \int_0^1 \int_0^{2x} (6x + 6y + 6) dy dx \\ &= \int_0^1 \left[ 6xy + 3y^2 + 6y \right]_{y=0}^{y=2x} dx \\ &= \int_0^1 (24x^2 + 12x) dx = \left[ 8x^3 + 6x^2 \right]_0^1 = 14 \end{aligned}$$

olarak bulunur.

$x$ -ekseni etrafındaki birinci moment

$$\begin{aligned} M_x &= \int_0^1 \int_0^{2x} y \delta(x, y) dy dx = \int_0^1 \int_0^{2x} (6xy + 6y^2 + 6y) dy dx \\ &= \int_0^1 \left[ 3xy^2 + 2y^3 + 3y^2 \right]_{y=0}^{y=2x} dx = \int_0^1 (28x^3 + 12x^2) dx \\ &= \left[ 7x^4 + 4x^3 \right]_0^1 = 11 \end{aligned}$$

olur.



**SEKİL 15.17** Örnek 4'teki, plaka ile kaplanmış üçgensel bölge

Benzer bir hesaplama,  $y$ -ekseni etrafındaki momenti verir:

$$M_y = \int_0^1 \int_0^{2x} x\delta(x, y) dy dx = 10.$$

Dolayısıyla kütle merkezinin koordinatları

$$\bar{x} = \frac{M_y}{M} = \frac{10}{14} = \frac{5}{7}, \quad \bar{y} = \frac{M_x}{M} = \frac{11}{14}$$

olur. ■

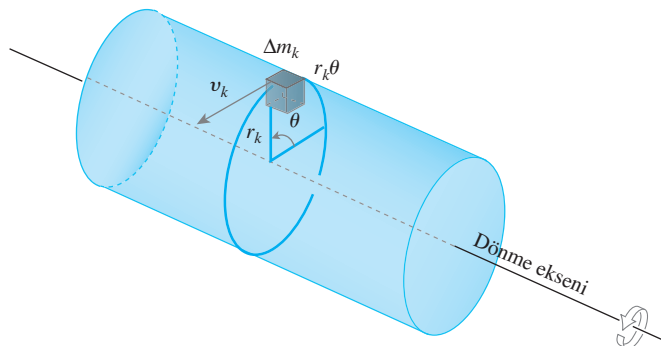
### Eylemsizlik Momenti

Bir cismin birinci momentleri (Tablo 15.1), denge ve bir yerçekimi alanında bir cismin farklı koordinat eksenleri etrafında gösterdiği tork hakkında bilgi verir. Ama cisim dönen bir şaft ise, şaftta ne kadar enerji depolandığı veya şaftı belirli bir açısal hızla ivmelemdirmenin ne kadar enerji gerektireceğiyile ilgilenmemiz daha doğaldır. İkinci moment veya eylemsizlik momenti buradan gelir.

Şaftı  $\Delta m_k$  kütleyeli küçük bloklara böldüğünüzü düşünen ve  $r_k$ ,  $k$ . bloğun kütle merkezinden dönme eksenine olan uzaklığı olsun (Şekil 15.18). Şaft  $\omega = d\theta/dt$  radyan bölümü saniye açısal hızıyla dönüyorrsa, bloğun kütle merkezi yörüngesini

$$v_k = \frac{d}{dt}(r_k\theta) = r_k \frac{d\theta}{dt} = r_k\omega$$

lineer hızıyla izleyecektir.



**ŞEKİL 15.18** Dönen bir şaftta depolanan enerji miktarı için bir integral bulmak amacıyla, önce şaftın küçük bloklara ayrıldığını hayal ederiz. Her bloğun kendi kinetik enerjisi vardır. Her bloğun enerjisinin katmasını toplayarak şaftın kinetik enerjisini buluruz.

Bloğun kinetik enerjisi yaklaşık olarak

$$\frac{1}{2}\Delta m_k v_k^2 = \frac{1}{2} \Delta m_k (r_k \omega)^2 = \frac{1}{2} \omega^2 r_k^2 \Delta m_k$$

olur. Çubuğu kinetik enerjisi de yaklaşık olarak

$$\sum \frac{1}{2} \omega^2 r_k^2 \Delta m_k$$

olur.

Şaftı daha küçük bloklara ayırarak bu toplamlarla yaklaşan integral şaftın kinetik enerjisini verir:

$$KE_{\text{saft}} = \int \frac{1}{2} \omega^2 r^2 dm = \frac{1}{2} \omega^2 \int r^2 dm \quad [4]$$

Bu eşitlikteki

$$I = \int r^2 dm$$

çarpanı şaftın dönme ekseni etrafındaki *eylemsizlik momentidir* ve (4) denkleminden şaftın kinetik enerjisinin

$$KE_{\text{saft}} = \frac{1}{2} I \omega^2$$

olduğunu görürüz.

Bir şaftın eylemsizlik momenti bazı yönlerden bir lokomotifin ataletine benzer.

$m$  küteli bir lokomotifi lineer bir  $v$  hızıyla harekete geçirmek için,  $KE = (1/2)mv^2$  kadar bir kinetik enerji sağlamamız gereklidir. Lokomotifi durdurmak için, bu enerjiyi salmağımız gereklidir. Eylemsizlik momenti  $I$  olan bir şaftı bir  $\omega$  açısal hızıyla döndürmeye başlamak için  $KE = (1/2)I\omega^2$  kadar bir kinetik enerji sağlamamız gereklidir. Şaftı durdurmak için bu miktar enerjiyi geriye almamız gereklidir. Şaftın eylemsizlik momenti lokomotifin kütlesi gibidir. Lokomotifin kalkmasını veya durmasını zorlaştıran şey kütledir. Şaftın dönmesini veya durmasını zorlaştıran şey eylemsizlik momentidir. Eylemsizlik momenti sadece şaftın kütlesine değil, aynı zamanda kütlenin dağılımına da bağlıdır.

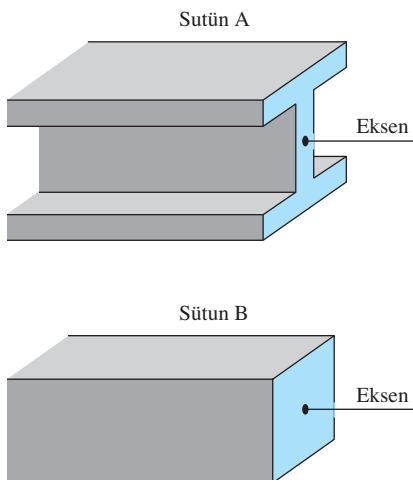
Eylemsizlik momenti ayrıca yatay bir metal sütunun bir yük altında ne kadar büküleceğini belirlemeye rol oynar. Sütunun sertliği, sütunun yatay eksene dik olan tipik bir kesitin kutupsal eylemsizlik momenti  $I$  olmak üzere, bir sabit kere  $I$  dir.  $I$ 'nın değeri ne kadar büyükse, sütun o kadar serttir ve verilen yük altında o kadar az büükür. Kesitleri kare olan sütunlar yerine  $I$ -sütunları kullanmadızın nedeni budur. Sütunun altındaki ve üstündeki çıkıntılar sütunun kütlesinin çoğunu yatay eksende uzak tutarak  $I$ 'nın değerini maksimize eder (Şekil 15.19).

Eylemsizlik momentinin nasıl çalıştığını anlamak istiyorsanız, aşağıdaki deneyi yapın. Bir kalemin uçlarına iki madeni para yapıştırın ve kalemi kütle merkezinin etrafında döndürün. Hareket yönünü her değiştirdiğinizde hissettiğiniz direncin nedeni eylemsizlik momentidir. Şimdi madeni paraları kütle merkezine doğru eşit mesafede yer değiştirin ve kalemi yeniden döndürün. Sistemin kütlesi ve kütle merkezi aynıdır, ama şimdi hareketteki değişimlere daha az direnç göstermektedir. Eylemsizlik momenti azalmıştır. Eylemsizlik momenti bir beyzbol sopasına, golf sopasına veya tenis racketine “hissedilmelerini” veren şeydir. Ağırlıkları aynı olan, aynı görünen ve kütle merkezleri aynı olan tenis raketleri, ağırlıkları aynı şekilde dağılmamışsa, farklı hissedilecekler ve davranışacaklardır.

Düzlemede, ince plakaların eylemsizlik momentlerinin hesaplanması, Tablo 15.2'de özetlenen iki katlı integral formüllerine yol açar. Küçük ince bir parçanın  $\Delta m$  kütlesi, parçacığın alanı  $\Delta A$  ile parçacığın içindeki bir noktanın yoğunluğu çarpımına eşittir. Uzayda bir bölgeyi kaplayan cisimlerin eylemsizlik momentlerinin hesaplanması Bölüm 15.5'te incelenmiştir.

**Birinci momentler**  $M_x$  ve  $M_y$  ile **eylemsizlik momentleri** veya **ikinci momentler**  $I_x$  ve  $I_y$  arasındaki matematiksel fark, ikinci momentlerin “çevirme kolu” uzaklıklarını  $x$  ve  $y$ 'nin *karelerini* kullanmalıdır.

$I_0$  momentine orijin etrafında kutupsal eylemsizlik momenti de denir. Yoğunluk  $\delta(x, y)$  (birim alan başına kütle) kere temsili bir  $(x, y)$  noktasından orijine uzaklığın karesi olan  $r^2 = x^2 + y^2$ 'nin integre edilmesiyle hesaplanır.  $I_0 = I_x + I_y$  olduğuna dikkat edin; ikisini bili-



**SEKİL 15.19** Bir sütunun yatay ekseni etrafındaki kutupsal eylemsizlik momenti ne kadar büyük olursa, sütun o kadar sert olur.  $A$  ve  $B$  sütunlarının kesit alanları aynıdır, ama  $A$  daha serttir.

yorsak, üçüncüyü otomatik olarak biliyoruz demektir ( $I_0$  momentine bazen  $z$ -ekseni etrafındaki eylemsizlik momentini temsil eden  $I_z$  de denir. Bu durumda,  $I_z = I_x + I_y$  bağıntısına **Dik Eksen Teoremi** denir).

ve

### Jirasyon yarıçapı $R_x$

$$I_x = MR_x^2$$

denklemiyle tanımlanır. Plakanın tüm kütlesinin aynı  $I_x$ 'i verecek şekilde  $x$ -ekseninden ne kadar uzakta yoğunlaştığı söyler. Jirasyon yarıçapı eylemsizlik momentini bir kütle ve bir uzunluk cinsinden ifade etmenin uygun bir yolunu verir.  $R_y$  ve  $R_0$  yarıçapları aynı şekilde

$$I_y = MR_y^2 \quad \text{ve} \quad I_0 = MR_0^2$$

ile verilir. Eylemsizlik momentleri'nin (ikinci momentler) yanı sıra jirasyon yarıçaplarının formüllerini de veren Tablo 15.2'deki formülleri elde etmek için karekök alırız.

**TABLO 15.2**  $xy$ -düzleminde ince plakalar için ikinci moment formülleri

#### Eylemsizlik momentleri (ikinci momentler):

$$x\text{-ekseni etrafında: } I_x = \iint y^2 \delta(x, y) dA$$

$$y\text{-ekseni etrafında: } I_y = \iint x^2 \delta(x, y) dA$$

$$\begin{aligned} \text{Bir } L \text{ doğrusu etrafında: } I_L &= \iint r^2(x, y) \delta(x, y) dA, \\ r(x, y) &= (x, y) \text{'den } L \text{'ye olan uzaklık} \end{aligned}$$

$$\begin{aligned} \text{Orijin etrafında} \\ (\text{kutupsal moment}): \quad I_0 &= \iint (x^2 + y^2) \delta(x, y) dA = I_x + I_y \end{aligned}$$

$$\begin{array}{ll} \text{Jirasyon yarıçapı:} & \begin{array}{ll} x\text{-ekseni etrafında:} & R_x = \sqrt{I_x/M} \\ y\text{-ekseni etrafında:} & R_y = \sqrt{I_y/M} \\ \text{Orijin etrafında:} & R_0 = \sqrt{I_0/M} \end{array} \end{array}$$

#### ÖRNEK 5 Eylemsizlik Momentleri ve Jirasyon Yarıçapları Bulmak

Örnek 4'teki ince plaka için (Şekil 15.17), koordinat eksenleri ve orijin etrafındaki eylemsizlik momentlerini ve jirasyon yarıçaplarını bulunuz.

**Çözüm** Örnek 4'te verilen  $\delta(x, y) = 6x + 6y + 6$  yoğunluk fonksiyonunu kullanarak  $x$ -ekseni etrafındaki eylemsizlik momenti

$$\begin{aligned} I_x &= \int_0^1 \int_0^{2x} y^2 \delta(x, y) dy dx = \int_0^1 \int_0^{2x} (6xy^2 + 6y^3 + 6y^2) dy dx \\ &= \int_0^1 \left[ 2xy^3 + \frac{3}{2}y^4 + 2y^3 \right]_{y=0}^{y=2x} dx = \int_0^1 (40x^4 + 16x^3) dx \\ &= [8x^5 + 4x^4]_0^1 = 12 \end{aligned}$$

olarak bulunur.

Benzer şekilde,  $y$ -ekseni etrafındaki eylemsizlik momenti

$$I_y = \int_0^1 \int_{x^2}^{2x} x^2 \delta(x, y) dy dx = \frac{39}{5}$$

olarak bulunur.  $I_x$ 'i hesaplamak için  $y^2$  kere yoğunluk fonksiyonunu ve  $I_y$ 'yi hesaplamak için  $x^2$  kere yoğunluk fonksiyonunu integre ettiğimize dikkat edin.

$I_x$  ve  $I_y$ 'yi bildiğimiz için,  $I_0$ 'ı bulmak için bir integral kurmamız gerekmekz:  $I_0 = I_x + I_y$  denklemi kullanabiliriz:

$$I_0 = 12 + \frac{39}{5} = \frac{60 + 39}{5} = \frac{99}{5}$$

Üç jirasyon yarıçapı ise,

$$R_x = \sqrt{I_x/M} = \sqrt{12/14} = \sqrt{6/7} \approx 0.93$$

$$R_y = \sqrt{I_y/M} = \sqrt{\left(\frac{39}{5}\right)/14} = \sqrt{39/70} \approx 0.75$$

$$R_0 = \sqrt{I_0/M} = \sqrt{\left(\frac{99}{5}\right)/14} = \sqrt{99/70} \approx 1.19$$

■

olarak bulunur.

Momentler istatistikte de önemlidir. Birinci moment, bir veri kümelerinin ortalaması  $\mu$ 'nın hesabında kullanılır. İkinci moment de ( $\Sigma^2$ ) variansını ve ( $\Sigma$ ) standart sapmasını hesaplamakta kullanılır. Üçüncü ve dördüncü momentler eğrilik (skewness) ve kurtosis olarak bilinen istatistiksel büyülükleri hesaplamakta kullanılırlar.

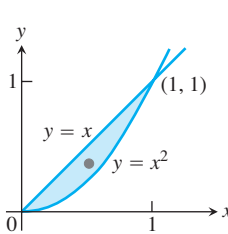
### Geometrik Şekillerin Merkezleri

Bir cismin yoğunluğu sabitse, Tablo 15.1'de  $\bar{x}$  ve  $\bar{y}$  formüllerinde pay ve payda sadeleşir.  $\bar{x}$  ve  $\bar{y}$  söz konusu olduğunda,  $\delta$  yoğunluğu 1 bile olabilir. Yani,  $\delta$  sabitken, kütle merkezinin yeri cismin yapıldığı malzemenin değil, şeklin bir özelliği olur. Böyle durumlarda, mühendisler kütle merkezinin cismin **merkezi** olarak adlandırırlar. Bir merkezi bulmak için,  $\delta$ 'yı 1'e eşitler ve  $\bar{x}$  ve  $\bar{y}$ 'yi daha önceki gibi, birinci momentleri kütleye bölgerek buluruz.

#### ÖRNEK 6 Bir Bölgenin Merkezini Bulmak

Birinci dörtte bir bölgede, üstten  $y = x$  doğrusu ve alttan  $y = x^2$  parabolüyle sınırlı bölgenin merkezini bulun.

**Çözüm** Bölgeyi çizer ve integrasyon sınırlarını belirleyeceğ detayları ekleriz (Şekil 15.20). Sonra  $\delta$ 'yı 1'e eşitler ve Tablo 15.1'deki uygun formülleri hesaplarız:



$$M = \int_0^1 \int_{x^2}^x 1 dy dx = \int_0^1 \left[ y \right]_{y=x^2}^{y=x} dx = \int_0^1 (x - x^2) dx = \left[ \frac{x^2}{2} - \frac{x^3}{3} \right]_0^1 = \frac{1}{6}$$

$$\begin{aligned} M_x &= \int_0^1 \int_{x^2}^x y dy dx = \int_0^1 \left[ \frac{y^2}{2} \right]_{y=x^2}^{y=x} dx \\ &= \int_0^1 \left( \frac{x^2}{2} - \frac{x^4}{2} \right) dx = \left[ \frac{x^3}{6} - \frac{x^5}{10} \right]_0^1 = \frac{1}{15} \end{aligned}$$

$$M_y = \int_0^1 \int_{x^2}^x x dy dx = \int_0^1 \left[ xy \right]_{y=x^2}^{y=x} dx = \int_0^1 (x^2 - x^3) dx = \left[ \frac{x^3}{3} - \frac{x^4}{4} \right]_0^1 = \frac{1}{12}.$$

**ŞEKİL 15.20** Bu bölgenin merkezi Örnek 6'da bulunmuştur.

Bu  $M$ ,  $M_x$  ve  $M_y$  değerlerinden

$$\bar{x} = \frac{M_y}{M} = \frac{1/12}{1/6} = \frac{1}{2} \quad \text{ve} \quad \bar{y} = \frac{M_x}{M} = \frac{1/15}{1/6} = \frac{2}{5}$$

buluruz. Merkez  $(1/2, 2/5)$  noktasıdır. ■

## ALIŞTIRMALAR 15.2

### İki Katlı Integrasyonla Alanlar

1–8 alıştırmalarında, verilen doğru ve eğrilerle sınırlı bölgeleri çizin. Sonra bölgenin alanını iki katlı bir tekrarlı integral olarak ifade edin ve integrali hesaplayın.

1. Koordinat eksenleri ve  $x + y = 2$  doğrusu
2.  $x = 0$ ,  $y = 2x$  ve  $y = 4$  doğruları
3.  $x = -y^2$  parabolü ve  $y = x + 2$  doğrusu
4.  $x = y - y^2$  parabolü ile  $y = -x$  doğrusu
5.  $y = e^x$  eğrisi ile  $y = 0$ ,  $x = 0$  ve  $x = \ln 2$  doğrusu
6. Birinci dörtte bir bölgедe,  $y = \ln x$  ve  $y = 2 \ln x$  eğrileri ile  $x = e$  doğrusu
7.  $x = y^2$  ve  $x = 2y - y^2$  parabolleri
8.  $x = y^2 - 1$  ve  $x = 2y^2 - 2$  parabolleri

### Integrasyon Bölgelerini Belirlemek

9–14 alıştırmalarındaki integraller ile integrallerin toplamı  $xy$ -düzlemindeki bölgelerin alanlarını verir. Her bölgeyi çizin, her sınırlayıcı eğriyi denklemiyle belirtin ve eğrilerin kesişikleri noktaların koordinatlarını verin. Sonra her bölgenin alanını bulun.

9.  $\int_0^6 \int_{y^2/3}^{2y} dx dy$
10.  $\int_0^3 \int_{-x}^{x(2-x)} dy dx$
11.  $\int_0^{\pi/4} \int_{\sin x}^{\cos x} dy dx$
12.  $\int_{-1}^2 \int_{y^2}^{y+2} dx dy$
13.  $\int_{-1}^0 \int_{-2x}^{1-x} dy dx + \int_0^2 \int_{-x/2}^{1-x} dy dx$
14.  $\int_0^2 \int_{x^2-4}^0 dy dx + \int_0^4 \int_0^{\sqrt{x}} dy dx$

### Ortalama Değerler

15.  $f(x, y) = \sin(x + y)$ 'nin
  - a.  $0 \leq x \leq \pi$ ,  $0 \leq y \leq \pi$  dikdörtgeninde,
  - b.  $0 \leq x \leq \pi$ ,  $0 \leq y \leq \pi/2$  dikdörtgeninde ortalama değerini bulun.
16. Sizce hangisi daha büyük olacaktır,  $f(x, y) = xy$ 'nin  $0 \leq x \leq 1$ ,  $0 \leq y \leq 1$  karesi üzerindeki ortalama değeri mi,  $f$ 'nin birinci dörtte bir bölgедeki  $x^2 + y^2 \leq 1$  çeyrek çemberindeki ortalama değeri mi? Bulmak için hesaplayın.

17.  $0 \leq x \leq 2$ ,  $0 \leq y \leq 2$  karesinde  $z = x^2 + y^2$  paraboloidinin ortalaması yüksekliğini bulun.

18.  $f(x, y) = 1/(xy)$ 'nin  $\ln 2 \leq x \leq 2 \ln 2$ ,  $\ln 2 \leq y \leq 2 \ln 2$  karesindeki ortalama değerini bulun.

### Sabit Yoğunluk

19. **Kütle merkezi bulmak** Birinci dörtte bir bölgede  $x = 0$ ,  $y = x$  doğruları ve  $y = 2 - x^2$  parabolüyle sınırlı,  $\delta = 3$  yoğunluklu ince bir plakanın kütle merkezini bulun.
20. **Eylemsizlik momentleri ve jirasyon yarıçapı bulmak** Birinci dörtte bir bölgede  $x = 3$  ve  $y = 3$  doğrularıyla sınırlı, sabit  $\delta$  yoğunluklu ince bir plakanın koordinat eksenleri etrafında eylemsizlik momentlerini ve jirasyon yarıçaplarını bulun.
21. **Bir merkez bulmak** Birinci dörtte bir bölgede  $x$ -ekseni,  $y^2 = 2x$  parabolü ve  $x + y = 4$  doğrusuyla sınırlı bölgenin merkezini bulun.
22. **Bir merkez bulmak** Birinci dörtte bir bölgeden  $x + y = 3$  doğrusuyla kesilen üçgen bölgenin merkezini bulun.
23. **Bir merkez bulmak**  $x$ -ekseni ve  $y = \sqrt{1 - x^2}$  eğrisiyle sınırlı yarı dairesel bölgenin merkezini bulun.
24. **Bir merkez bulmak** Birinci dörtte bir bölgede  $y = 6x - x^2$  parabolü ve  $y = x$  doğrusu ile sınırlı bölgenin alanı  $125/6$  birimdir. Merkezi bulun.
25. **Bir merkez bulmak** Birinci dörtte bir bölgeden  $x^2 + y^2 = a^2$  çemberiyle kesilen bölgenin merkezini bulun.
26. **Bir merkez bulmak**  $x$ -ekseni ile  $y = \sin x$ ,  $0 \leq x \leq \pi$  yayının arasındaki bölgenin merkezini bulun.
27. **Eylemsizlik momentleri bulmak**  $x^2 + y^2 = 4$  çemberiyle sınırlı  $\delta = 1$  yoğunluklu ince tabakanın  $x$ -ekseni etrafındaki eylemsizlik momentini bulun. Sonra bu sonucu kullanarak  $I_y$  ve  $I'_y$  bulun.
28. **Bir eylemsizlik momenti bulmak**  $y = (\sin^2 x)/x^2$  eğrisi ve  $x$ -ekseninin  $\pi \leq x \leq 2\pi$  aralığıyla sınırlı, sabit  $\delta = 1$  yoğunluklu ince yaprağın  $y$ -eksenine göre eylemsizlik momentini bulun.
29. **Sonsuz bir bölgenin merkezi** İkinci dörtte bir bölgede koordinat eksenleri ve  $y = e^x$  eğrisi ile çevrelenen sonsuz bölgenin merkezini bulun (Kütle-moment formüllerinde genelleştirilmiş integraller kullanın).

- 30. Sonsuz bir plakanın birinci momenti** Birinci dörtte bir bölgede  $y = e^{-x^2/2}$  eğrisinin altında kalan sonsuz bölgeyi kaplayan  $\delta(x, y) = 1$  yoğunluklu ince plakanın  $y$ -ekseni etrafındaki birinci momentini bulun.

### Değişken Yoğunluk

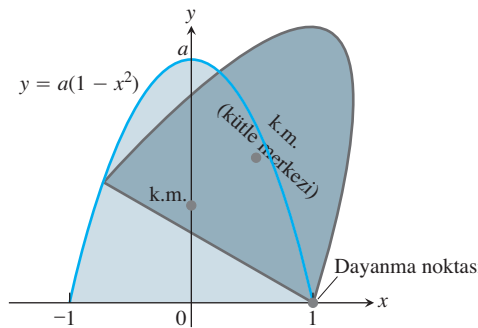
- 31. Bir eylemsizlik momentleri ve jirasyon yarıçapı bulmak**  $\delta(x, y) = x + y$  ise,  $x = y - y^2$  parabolü ve  $x + y = 0$  doğrusu ile sınırlanan ince plakanın  $x$ -ekseni etrafındaki eylemsizlik momentini ve jirasyon yarıçapını bulun.
- 32. Kütle bulmak**  $\delta(x, y) = 5x$  ise,  $x^2 + 4y^2 = 12$  elipsinden  $x = 4y$  parabolü ile kesilen küçük bölgeyi kaplayan ince plakanın kütesini bulun.
- 33. Kütle merkezi bulmak**  $\delta(x, y) = 6x + 3y + 3$  ise,  $y$ -ekseni ile  $y = x$  ve  $y = 2 - x$  doğrularıyla sınırlı ince üçgen bir plakanın kütle merkezini bulun.
- 34. Bir kütle merkezi ve eylemsizlik momenti bulmak**  $(x, y)$  noktasındaki yoğunluk  $\delta(x, y) = y + 1$  ise,  $x = y^2$  ve  $x = 2y - y^2$  eğrileriyle sınırlı ince plakanın kütesini ve  $x$ -ekseni etrafındaki eylemsizlik momentini bulun.
- 35. Kütle merkezi, eylemsizlik momenti ve jirasyon yarıçapı**  $\delta(x, y) = x + y + 1$  ise, birinci dörtte bir bölgeden  $x = 6$  ve  $y = 1$  doğrularıyla kesilen ince dikdörtgen plakanın kütle merkezini ve  $y$ -ekseni etrafındaki jirasyon yarıçapını bulun.
- 36. Kütle merkezi, eylemsizlik momenti ve jirasyon yarıçapı**  $\delta(x, y) = y + 1$  ise,  $y = 1$  doğrusu ve  $y = x^2$  parabolü ile sınırlı ince plakanın kütle merkezini ve  $y$ -ekseni etrafındaki eylemsizlik momenti ile jirasyon yarıçapını bulun.
- 37. Kütle merkezi, eylemsizlik momenti ve jirasyon yarıçapı**  $\delta(x, y) = 7y + 1$  ise,  $x$ -ekseni,  $x = \pm 1$  doğruları ve  $y = x^2$  parabolü ile sınırlı ince plakanın kütle merkezini ve  $y$ -ekseni etrafındaki eylemsizlik momenti ile jirasyon yarıçapını bulun.
- 38. Kütle merkezi, eylemsizlik momenti ve jirasyon yarıçapı**  $\delta(x, y) = 1 + (x/20)$  ise,  $x = 0$ ,  $x = 20$ ,  $y = -1$  ve  $y = 1$  doğrularıyla sınırlı ince bir dikdörtgen plakanın kütle merkezini ve  $x$ -ekseni etrafındaki eylemsizlik momenti ve jirasyon yarıçapını bulun.
- 39. Kütle merkezi, eylemsizlik momenti ve jirasyon yarıçapı**  $\delta(x, y) = y + 1$  ise,  $y = x$ ,  $y = -x$  ve  $y = 1$  doğrularıyla sınırlı ince üçgen plakanın kütle merkezini, koordinat eksenleri etrafındaki eylemsizlik momentleri ile jirasyon yarıçaplarını ve kutupsal eylemsizlik momentini ve jirasyon yarıçapını bulun.
- 40. Kütle merkezi, eylemsizlik momenti ve jirasyon yarıçapı** Aşağıda  $\delta(x, y) = 3x^2 + 1$  için tekrarlayın.

### Teori ve Örnekler

- 41. Bakteri nüfusu**  $f(x, y) = (10,000e^y)/(1 + |x|/2)$  ifadesi  $xy$ -düzleminde,  $x$  ve  $y$  santimetre olmak üzere, bir bakteri grubunun "nüfus yoğunlığını" temsil ediyorsa,  $-5 \leq x \leq 5$  ve  $-2 \leq y \leq 0$  dikdörtgenin içinde yaşayan toplam bakteri nüfusunu bulun.

- 42. Bölgesel Nüfus**  $f(x, y) = 100(y + 1)$  fonksiyonu ve mil olarak ölçmek üzere Dünya'da bir düzlemsel bölgenin nüfus yoğunluğunun temsil ediyorsa,  $x = y^2$  ve  $x = 2y - y^2$  eğrileriyle sınırlı bölgedeki insan sayısını bulun.

- 43. Aygit tasarımlı** Bir aygit tasarlarken, düşünülen şeylelerden biri aygitin devrilmesinin ne kadar zor olacağıdır. Eğildiğinde, kütle merkezi *dayanma noktasının*, aygitin üzerinde döndüğü noktanın, doğru tarafında olduğu sürece, kendini düzeltcektir. Neredeyse sabit yoğunluklu bir aygitin profilinin eski moda bir radyo gibi parabolik olduğunu varsayılmıştır.  $xy$ -düzlemindeki  $0 \leq y \leq a(1 - x^2)$ ,  $-1 \leq x \leq 1$  bölgesini doldurduğunu varsayılmıştır (Şekle bakın). Hangi  $a$  değerleri aygitin  $45^\circ$  den fazla eğilmesini sağlar?



- 44. Bir eylemsizlik momentini minimize etmek** Sabit  $\delta(x, y) = 1$  yoğunluklu dikdörtgen bir plaka birinci dörtte bir bölgede  $x = 4$  ve  $y = 2$  doğrularıyla sınırlı bölgeyi kaplamaktadır. Dikdörtgenin  $y = a$  doğrusu etrafındaki eylemsizlik momenti  $I_a$

$$I_a = \int_0^4 \int_0^2 (y - a)^2 dy dx$$

integraliyle verilir.  $I_a$ 'yı minimize eden  $a$  değerini bulun.

- 45. Sınırsız bir bölgenin merkezi**  $xy$ -düzleminde  $y = 1/\sqrt{1 - x^2}$ ,  $y = -1/\sqrt{1 - x^2}$  eğrileri ve  $x = 0$ ,  $x = 1$  doğrularıyla sınırlanan sonsuz bölgenin merkezini bulun.

- 46. İnce bir çubugun jirasyon yarıçapı** Sabit çizgisel  $\delta$  gm/cm yoğunluklu ve  $L$  cm uzunluklu ince çubugun aşağıdaki eksenlere göre jirasyon yarıçapını bulun.

- çubugun kütle merkezinden geçen ve çubugun eksenine dik eksene göre;
- çubugun uçlarından birinde çubugun eksenine dik eksene göre.

- 47. (Aşılıtmalar 34'ün devamı)** Sabit  $\delta$  yoğunluklu ince bir plaka  $xy$ -düzleminde  $x = y^2$  ve  $x = 2y - y^2$  eğrileriyle sınırlı bir  $R$  bölgesini kaplamaktadır.

- Sabit yoğunluk** Plakanın kütlesini Aşılıtmalar 34'indeki aynı  $\delta$ 'yı bulun.

- Ortalama Değer** (a) sıklıkta  $\delta$ 'yı  $\delta(x, y) = y + 1$ 'in  $R$  deki ortalama değeriyle karşılaştırın.

- 48. Tekkas'taki ortalama sıcaklık** *Tekkas Almanası*'na göre, Tekkas'ta 254 ilçe ve her ilçede bir Ulusal Hava Servisi istasyonu bulunmaktadır.  $t_0$  anında, hava istasyonlarından her birinin yerel sıcaklığını kaydettiğini varsayıñ.  $t_0$  anında Tekkas'taki ortalama sıcaklığı verecek mantıklı bir yaklaşım sunan formülü bulun. Yanıtınız *Tekkas Almanası*'nda bulunan verileri içermelidir.

### Paralel Eksen Teoremi

$L_{k.m.}$ ,  $xy$ -düzleminde bir bölgeyi kaplayan  $m$  kütleli ince bir plakanın kütle merkezinden geçen bir doğru olsun.  $L$ ,  $L_{k.m.}$ 'ye paralel ve  $h$  birim uzakta bir doğru olsun. **Paralel Eksen Teoremi** bu koşullar altında plakanın  $L$  ve  $L_{k.m.}$  etrafındaki eylemsizlik momentleri  $I_L$  ve  $I_{L_{k.m.}}$ 'nin

$$I_L = L_{k.m.} + mh^2$$

denklemini sağladıklarını söyler.

### 49. Paralel Eksen Teoreminin ispatı

- Plaka düzleminde, plakanın kütle merkezinden geçen herhangi bir doğru etrafında, plakanın birinci momentin sıfır olduğunu gösterin (*İpucu:* Doğru  $y$ -ekseni olmak üzere, kütle merkezini orijine yerleştirin.  $\bar{x} = M_y/M$  formülü size ne söyler?).
- (a) şıkkındaki sonucu kullanarak Paralel Eksen Teoremini türetin. Düzlemin koordinatlarının,  $L_{k.m.}$ 'yi  $y$ -ekseni,  $L$ 'yi de  $x = h$  doğrusu yapacak şekilde olduğunu varsayıñ. Sonra  $I_L$  integralinin integrandını açarak integralleri değerlerini bildiğiniz integrallerin toplamı olarak yazın.

### 50. Eylemsizlik momentleri bulmak

- Paralel Eksen Teoreminin ve Örnek 4'ün sonuçlarını kullanarak, Örnek 4'teki plakanın, plakanın kütle merkezinden geçen dikey ve yatay doğrular etrafındaki eylemsizlik momentlerini bulun.
- (a)'daki sonucu kullanarak plakanın  $x = 1$  ve  $y = 2$  doğruları etrafındaki eylemsizlik momentini bulun.

### Pappus Formülü

Pappus, düzleme üst üste bilmeyen iki bölgenin birlleşimlerinin merkezinin, bölgelerin kendi kütle merkezlerini birlestiren doğru üzerinde bulunduğuunu biliyordu. Daha ayrıntılı olarak,  $m_1$  ve  $m_2$ 'nin  $xy$ -düzleminde üst üste bilmeyen  $P_1$  ve  $P_2$  bölgelerini kaplayan ince plakaların kütleleri olduğunu varsayıñ.  $\mathbf{c}_1$  ve  $\mathbf{c}_2$  de, sırasıyla, orijinden  $P_1$  ve  $P_2$ 'nin kütle merkezlerine olan vektörler olsun. Bu durumda, iki plakanın birleşimi  $P_1 \cup P_2$ 'nın kütle merkezi

$$\mathbf{c} = \frac{m_1 \mathbf{c}_1 + m_2 \mathbf{c}_2}{m_1 + m_2}. \quad (5)$$

vektörüyle belirlenir. (5) denklemi **Pappus formülü** olarak bilinir. İkiiden fazla üst üste bilmeyen plaka için, sayıları sonlu olmak üzere, bu formül

$$\mathbf{c} = \frac{m_1 \mathbf{c}_1 + m_2 \mathbf{c}_2 + \cdots + m_n \mathbf{c}_n}{m_1 + m_2 + \cdots + m_n} \quad (6)$$

şeklinde genelleşir. Bu formül özellikle merkezlerini geometriden bildiğimiz sabit yoğunluklu parçalardan oluşan ve şekli düzgün olmayan bir plakanın merkezini bulmak için yararlıdır. Her parçanın merkezini bulur ve (6) denklemi uygulayarak plakanın merkezini buluruz.

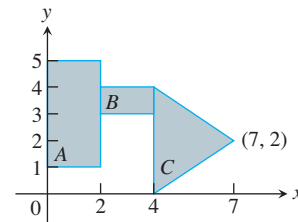
- Pappus formülünü (denklem (5)) türetin. (*İpucu:* Plakaları birinci dörte bir bölgelerdeki bölgeler olarak çizin ve kütle merkezlerini  $(\bar{x}_1, \bar{y}_1), (\bar{x}_2, \bar{y}_2)$  olarak isimlendirin. Koordinat eksenleri etrafında  $P_1 \cup P_2$ 'nin momentleri nedir?)
- (5) denklemi ve matematiksel induksiyon kullanarak (6) denklemi herhangi bir pozitif  $n > 2$  tamsayısi için geçerli olduğunu gösterin.
- $A$ ,  $B$  ve  $C$  aşağıda gösterilen şekiller olsun. Pappus formülünü kullanarak aşağıdaki bölgelerin merkezlerini bulun.

a.  $A \cup B$

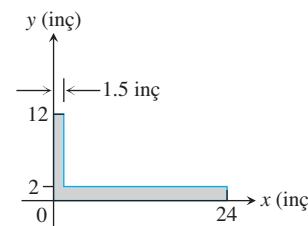
b.  $A \cup C$

c.  $B \cup C$

d.  $A \cup B \cup C$ .



- Kütle merkezi yerleştirmek** Aşağıda gösterilen marangoz karesinin kütle merkezinin yerini belirleyin.



- İkizkenar bir  $T$  üçgeninin tabanı  $2a$  ve yüksekliği  $h$ 'dir. Taban, bir dondurma külâhına benzer bir şekil oluşturacak şekilde,  $a$  yarıçaplı daireSEL bir  $D$  yarı diskin çapı üzerinde bulunmaktadır.  $T \cup D$ 'nin merkezinin  $T$  ve  $D$ 'nin ortak sınırında bulunması için  $a$  ve  $h$  arasındaki ilişki ne olmalıdır? Peki kütle merkezinin  $T$ 'nin içinde olması için?
- $h$  yükseklikli ikizkenar bir  $T$  üçgeninin tabanı, kenarlarının uzunluğu  $s$  olan bir  $Q$  karesinin bir kenarıdır (Kare ve üçgen üst üste binmezler).  $T \cup Q$ 'nın merkezinin üçgenin tabanında olması için  $h$  ile  $s$  arasındaki ilişki ne olmalıdır? Yanınızıza Alıştırma 55'in yanıtıyla karşılaşlaştırın.

## 15.3

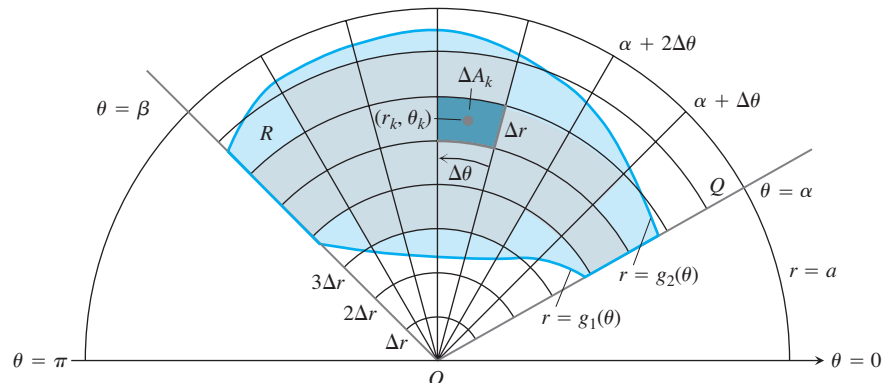
### Kutupsal Formda İki Katlı İntegraller

Bazen, kutupsal koordinatlara geçersek integralleri hesaplamak daha kolaydır. Bu bölüm değişimin nasıl yapılacağını ve sınırları kutupsal denklemlerle verilen integrallerin nasıl hesaplanacağını göstermektedir.

#### Kutupsal Koordinatlarda İntegraller

Bir fonksiyonun  $xy$ -düzlemindeki bir  $R$  bölgesi üzerinde iki katlı integralini tanımlarken, işe  $R$ 'yi kenarları koordinat eksenlerine paralel dikdörtgenlere bölgerek başladık. Bunlar kullanılması doğal şekillerdir, çünkü kenarlarının ya  $x$ -değerleri ya da  $y$ -değerleri sabittir. Kutupsal koordinatlarda doğal şekil, kenarları sabit  $r$ - veya  $\theta$ -değerleri olan “kutupsal dikdörtgenler”dir.

Bir  $f(r, \theta)$  fonksiyonunun  $\theta = \alpha$  ve  $\theta = \beta$  ışınları ile sürekli  $r = g_1(\theta)$  ve  $r = g_2(\theta)$  eğrilerinin sınırladığı bir  $R$  bölgesinde tanımlandığını varsayıñ. Ayrıca,  $\alpha$  ile  $\beta$  arasındaki her  $\theta$  değeri için,  $0 \leq g_1(\theta) \leq g_2(\theta) \leq a$  olduğunu varsayıñ. Bu durumda  $R$ ,  $0 \leq r \leq a$  ve  $a \leq \theta \leq \beta$  denklemleriyle tanımlanan pervane-şekilli bölgede bulunur. Şekil 15.21'e bakın.



**ŞEKİL 15.21**  $R$ :  $g_1(\theta) \leq r \leq g_2(\theta)$ ,  $a \leq \theta \leq \beta$  bölgesi, pervane-şekilli  $Q$ :  $0 \leq r \leq a$ ,  $a \leq \theta \leq \beta$  bölgesi içinde bulunur.  $Q$ 'nın dairesel yay ve işinlarla bölünüşü  $R$ 'nin bir bölünüşünü verir.

$Q$ 'yu bir dairesel yay ve işin şebekesiyle kaplarız. Yaylor merkezleri orijinde olan,  $\Delta r = a/m$  olmak üzere,  $\Delta r$ ,  $2\Delta r, \dots, m\Delta r$  yarıçaplı çemberlerden kesilmiştir. İşinler,  $\Delta\theta = (\beta - \alpha)/m'$  olmak üzere,

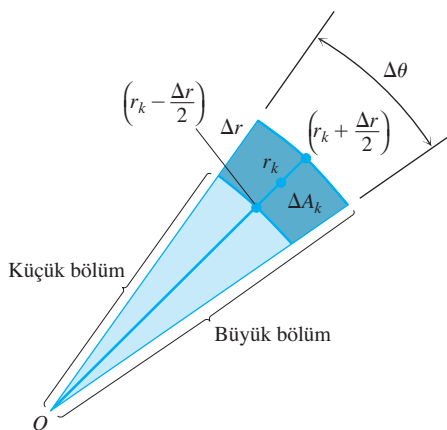
$$\theta = \alpha, \quad \theta = \alpha + \Delta\theta, \quad \theta = \alpha + 2\Delta\theta, \quad \dots, \quad \theta = \alpha + m'\Delta\theta = \beta$$

ile verilir. Yaylor ve işinler  $Q$ 'yu “kutupsal dikdörtgenler” denen küçük parçalara ayırır.

$R$ 'nin içinde kalan kutupsal dikdörtgenleri (sırası önemli değildir), alanlarına  $\Delta A_1, \Delta A_2, \dots, \Delta A_n$  diyerek numaralandırırız. Alanı  $\Delta A_k$  olan kutupsal dikdörtgenin içinde herhangi bir  $(r_k, \theta_k)$  noktası alalım.

$$S_n = \sum_{k=1}^n f(r_k, \theta_k) \Delta A_k$$

toplamını oluşturalım.



ŞEKİL 15.22

$$\Delta A_k = \left( \begin{array}{c} \text{büyük bölü-} \\ \text{mün alanı} \end{array} \right) - \left( \begin{array}{c} \text{küçük bölü-} \\ \text{mün alanı} \end{array} \right)$$

olduğunun gözlenmesi,  $\Delta A_k = r_k \Delta r \Delta \theta$  formülünü verir.

$f$  fonksiyonu  $R$  üzerinde sürekli ise,  $\Delta r$  ve  $\Delta \theta$ 'yi sıfıra götürecek şekilde şebekeyi küçültürken bu toplam bir limite yaklaşacaktır. Bu limite  $f$ 'nin  $R$  üzerindeki iki katlı integrali denir. Sembolik olarak,,

$$\lim_{n \rightarrow \infty} S_n = \iint_R f(r, \theta) dA$$

olarak yazılır. Bu limiti hesaplamak için, önce  $S_n$  toplamını,  $\Delta A_k$ 'yı  $\Delta r$  ve  $\Delta \theta$  cinsinden ifade edilecek şekilde yazmamız gereklidir. Uygunluk için,  $r_k$ 'yı  $k$ . kutupsal dikdörtgen  $\Delta A_k$ 'yı sınırlayan iç ve dış yayların yarıçaplarının ortalaması olarak alırız.  $\Delta A_k$ 'yı içten sınırlayan yayın yarıçapı  $r_k - (\Delta r/2)$ dir (Şekil 15.22). Dış yayın yarıçapı ise  $r_k + (\Delta r/2)$ dir.

Yarıçapı  $r$  olan bir çemberin, açısı  $\theta$  olan takoz-şekilli bir bölümünün alanı, çemberin alanı

$$A = \frac{1}{2} \theta \cdot r^2$$

dir. Bu, çemberin alanı  $\pi r^2$ 'yi, takoz içinde kalan çember alanının oranı,  $\theta/2\pi$  ile çarparak görülebilir.

$$\text{İç yarıçap: } \frac{1}{2} \left( r_k - \frac{\Delta r}{2} \right)^2 \Delta \theta$$

$$\text{Dış Yarıçap: } \frac{1}{2} \left( r_k + \frac{\Delta r}{2} \right)^2 \Delta \theta$$

olarak bulunur. Dolayısıyla,

$$\Delta A_k = \text{Büyük bölümün alanı} - \text{Küçük bölümün alanı}$$

$$= \frac{\Delta \theta}{2} \left[ \left( r_k + \frac{\Delta r}{2} \right)^2 - \left( r_k - \frac{\Delta r}{2} \right)^2 \right] = \frac{\Delta \theta}{2} (2r_k \Delta r) = r_k \Delta r \Delta \theta$$

olur. Bu sonuçları  $S_n$ 'yi tanımlayan toplamla birleştirmek

$$S_n = \sum_{k=1}^n f(r_k, \theta_k) r_k \Delta r \Delta \theta$$

verir.  $n \rightarrow \infty$  iken ve  $\Delta r$  ve  $\Delta \theta$  değerleri sıfıra yaklaşırken bu toplamlar

$$\lim_{n \rightarrow \infty} S_n = \iint_R f(r, \theta) r dr d\theta$$

iki katlı integraline yakınsar.

Fubini teoreminin bir versiyonu, bu toplamlarla yaklaşılan limitin  $r$  ve  $\theta$ 'ya göre tekrarlı integrallerle

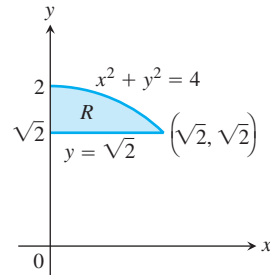
$$\iint_R f(r, \theta) dA = \int_{\theta=\alpha}^{\theta=\beta} \int_{r=g_1(\theta)}^{r=g_2(\theta)} f(r, \theta) r dr d\theta$$

şeklinde hesaplanabileceğini söyler.

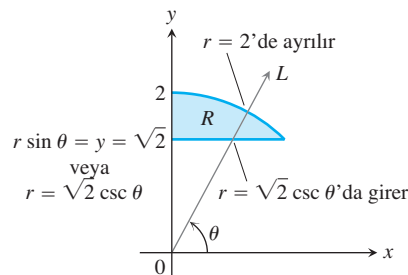
### İntegrasyon Sınırını Bulmak

Kartezyen koordinatlarda integrasyon sınırlarını bulma prosedürü kutupsal koordinatlarda da işe yarar.  $\iint_R f(r, \theta) dA$  integralini kutupsal koordinatlardaki bir  $R$  bölgesinde, önce  $r$ 'ye göre sonra  $\theta$ ya göre integre ederek hesaplamak için aşağıdaki adımları atın.

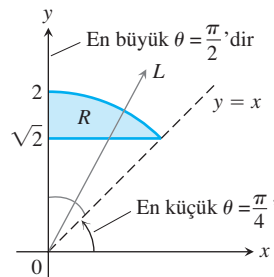
1. *Bir çizim:* Bölgeyi çizin ve sınırlayıcı eğrileri belirtin.



2. *İntegrasyonun r-sınırlarını bulun:* Orijinden geçen ve  $R$ 'yi artan  $r$  yönünde kesen bir  $L$  işini düşünün  $L$ 'nin  $R$ 'ye girdiği ve çıktıgı  $r$ -değerlerini işaretleyin. Bunlar integrasyonun  $r$ -sınırlarıdır. Genellikle  $L$ 'nin pozitif  $x$ -ekseniyle yaptığı  $\theta$  açısına bağlıdırlar.



3. *İntegrasyonun theta-sınırlarını bulun:*  $R$ 'yi sınırlayan en büyük ve en küçük  $\theta$ -değerlerini bulun. Bunlar integrasyonun  $\theta$ -sınırlarıdır.



Integral

$$\iint_R f(r, \theta) dA = \int_{\theta=\pi/4}^{\theta=\pi/2} \int_{r=\sqrt{2} \csc \theta}^{r=2} f(r, \theta) r dr d\theta.$$

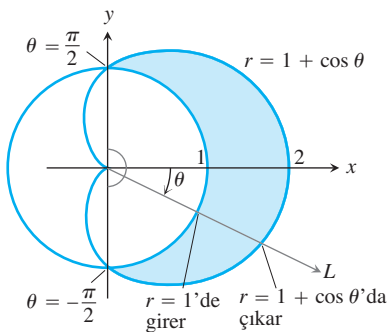
olur.

### ÖRNEK 1 Integrasyon Sınırlarını Bulmak

$r = 1 + \cos \theta$  kardoidinin içinde ve  $r = 1$  çemberinin dışında kalan  $R$  bölgesindeki  $f(r, \theta)$ 'yı integre etmek için integrasyon sınırlarını bulun.

#### Çözüm

1. Önce bölgeyi çizer ve sınırlayıcı eğrileri belirtiriz (Şekil 15.23).
2. Sonra integrasyonun  $r$ -sınırlarını buluruz. Orijinden çıkan tipik bir işin  $r = 1$ 'de  $R$ 'ye girer ve  $r = 1 + \cos \theta$ 'da çıkar.



**ŞEKİL 15.23** Örnek 1'deki bölge için kutupsal koordinatlarda integrasyon sınırlarını bulmak..

3. Son olarak integrasyonun  $\theta$ -sınırlarını bularuz: Orijinden çıkararak  $R$ 'yi kesen işinler  $\theta = -\pi/2$  den  $\theta = \pi/2$ 'ye kadar değişir. İntegral

$$\int_{-\pi/2}^{\pi/2} \int_1^{1+\cos \theta} f(r, \theta) r dr d\theta$$

olur.

$f(r, \theta)$ , değeri 1 olan sabit fonksiyon ise,  $f$ 'nin  $R$  üzerindeki integrali  $R$ 'nin alanıdır.

### Kutupsal Koordinatlarda Alan

Kutupsal koordinat düzleminde kapalı ve sınırlı bir  $R$  bölgesinin alanı

$$A = \iint_R r dr d\theta$$

ile bulunur.

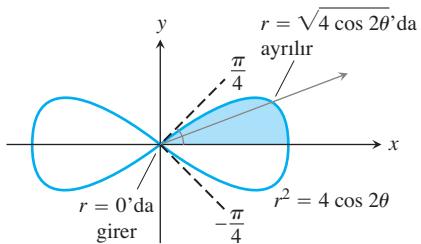
Bu alan formülü, ispatlamayacağımız halde, daha önceki bütün formüllerle uyumludur.

### ÖRNEK 2 Kutupsal Koordinatlarda Alan Bulmak

$r^2 = 4 \cos 2\theta$  fiyonguyla çevrelenen bölgenin alanını bulun.

**Cözüm** Integrasyon sınırlarını belirlemek için fiyongu çizer (Şekil 15.24) ve simetriden dolayı toplam alanın, birinci dörtte bir bölgedeki kısmın 4 katı olduğunu görürüz.

$$\begin{aligned} A &= 4 \int_0^{\pi/4} \int_0^{\sqrt{4 \cos 2\theta}} r dr d\theta = 4 \int_0^{\pi/4} \left[ \frac{r^2}{2} \right]_{r=0}^{\sqrt{4 \cos 2\theta}} d\theta \\ &= 4 \int_0^{\pi/4} 2 \cos 2\theta d\theta = 4 \sin 2\theta \Big|_0^{\pi/4} = 4 \end{aligned}$$



**ŞEKİL 15.24** Renkli bölge üzerinde integral almak için,  $r$ 'yi 0'dan  $\sqrt{4 \cos 2\theta}$  ya ve  $\theta$ 'yı da 0'dan  $\pi/4$ 'e götürürüz (Örnek 2).

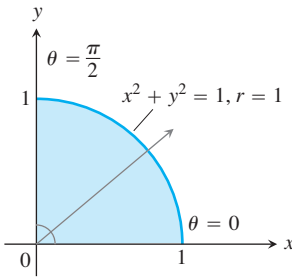
### Kartezyen İntegralleri Kutupsal İntegrallere Çevirmek

Kartezyen bir  $\iint_R f(x, y) dx dy$  integralini kutupsal bir integrale çevirme prosedürünün iki adımı vardır. Önce  $x = r \cos \theta$  ve  $y = r \sin \theta$  yazın ve Kartezyen integraldeki  $dx dy$  yerine  $r dr d\theta$  koyun. Sonra  $R$ 'nın sınırı için kutupsal integrasyon sınırlarını bulun.

Bu durumda Kartezyen integral,  $G$  kutupsal koordinatlardaki integrasyon bölgesini belirtmek üzere,

$$\iint_R f(x, y) dx dy = \iint_G f(r \cos \theta, r \sin \theta) r dr d\theta$$

halini alır. Bu, Bölüm 5'teki değişken değiştirme yöntemi gibidir. Yalnız bu defa bir yerine değiştirilmesi gereken iki değişken vardır.  $dx dy$  yerine,  $dr d\theta$  değil,  $r dr d\theta$  yazıldığına dikkat edin. Katlı integrallerde değişken dönüşümünün (yerine koyma) daha genel bir incelemesi Bölüm 15.7'de verilmiştir.



**ŞEKİL 15.25** Kutupsal koordinatlarda, bu bölge basit eşitsizliklerle tanımlanır:  
 $0 \leq r \leq 1$  ve  $0 \leq \theta \leq \pi/2$   
(Örnek 3).

### ÖRNEK 3 Kartezyen İntegralleri Kutupsal İntegrallere Çevirmek

Birinci dörtte bir bölgede  $x^2 + y^2 = 1$  çeyrek çemberiyle sınırlı,  $\delta(x, y) = 1$  yoğunluklu ince plakanın orijin etrafındaki kutupsal eylemsizlik momentini bulun.

**Çözüm** İntegrasyon sınırlarını belirlemek için plakayı çizeriz (Şekil 15.25). Kartezyen koordinatlarda, kutupsal moment

$$\int_0^1 \int_0^{\sqrt{1-x^2}} (x^2 + y^2) dy dx$$

integralinin değeridir.  $y$ 'ye göre integrasyon, tablosuz hesaplanması zor olan

$$\int_0^1 \left( x^2 \sqrt{1-x^2} + \frac{(1-x^2)^{3/2}}{3} \right) dx$$

integralini verir.

Esas integrali kutupsal koordinatlara çevirirsek, işler kolaylaşır.  $x = r \cos \theta$ ,  $y = r \sin \theta$  almak ve  $dx dy$  yerine  $r dr d\theta$  yazarak,

$$\begin{aligned} \int_0^1 \int_0^{\sqrt{1-x^2}} (x^2 + y^2) dy dx &= \int_0^{\pi/2} \int_0^1 (r^2) r dr d\theta \\ &= \int_0^{\pi/2} \left[ \frac{r^4}{4} \right]_{r=0}^{r=1} d\theta = \int_0^{\pi/2} \frac{1}{4} d\theta = \frac{\pi}{8} \end{aligned}$$

elde ederiz.

Kutupsal koordinatlara dönüşüm burada neden bu kadar etkilidir? Bir neden  $x^2 + y^2$ 'nin  $r^2$ 'ye sadeleşmesidir. Diğer integrasyon sınırlarının sabitlere dönüşmesidir. ■

### ÖRNEK 4 Kutupsal Koordinatlar Kullanarak İntegral Hesaplamak

$R$ ,  $x$ -ekseni ve  $y = \sqrt{1 - x^2}$  eğrisiyle sınırlı yarımdairesel bölge olmak üzere (Şekil 15.26)

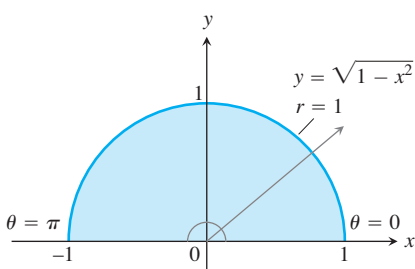
$$\iint_R e^{x^2+y^2} dy dx$$

integralini hesaplayın.

**Çözüm** Kartezyen koordinatlarda, söz konusu integral elemanter olmayan bir integraldir ve  $e^{x^2+y^2}$ 'yi  $x$ 'e veya  $y$ 'ye göre integre etmenin doğrudan bir yolu yoktur. Yine de bu integral ve buna benzer başka integraller matematikte —örneğin istatistikte— önemlidir ve bunu hesaplanmanın bir yolunu bulmamız gereklidir. Kutupsal koordinatlar sorunu çözer.  $x = r \cos \theta$ ,  $y = r \sin \theta$  almak ve  $dy dx$  yerine  $r dr d\theta$  yazmak integrali

$$\begin{aligned} \iint_R e^{x^2+y^2} dy dx &= \int_0^\pi \int_0^1 e^{r^2} r dr d\theta = \int_0^\pi \left[ \frac{1}{2} e^{r^2} \right]_0^1 d\theta \\ &= \int_0^\pi \frac{1}{2} (e - 1) d\theta = \frac{\pi}{2} (e - 1) \end{aligned}$$

olarak hesaplamamızı sağlar.  $r dr d\theta$ 'daki  $r, e^{r^2}$ 'yi hesaplamak için ihtiyacımız olan şeydir. O olmadan, devam edemezdik, başlangıçtaki gibi çakılır kalirdık. ■



**ŞEKİL 15.26** Örnek 4'teki yarı dairesel bölge

$0 \leq r \leq 1$  ve  $0 \leq \theta \leq \pi$   
bölgESİDİR.

## ALIŞTIRMALAR 15.3

### Kutupsal İntegrleri Hesaplamak

1–16 alıştırmalarında, Kartezyen integrali eşdeğer bir kutupsal integrale çevirin. Sonra kutupsal integrali hesaplayın.

$$1. \int_{-1}^1 \int_0^{\sqrt{1-x^2}} dy dx$$

$$2. \int_{-1}^1 \int_{-\sqrt{1-x^2}}^{\sqrt{1-x^2}} dy dx$$

$$3. \int_0^1 \int_0^{\sqrt{1-y^2}} (x^2 + y^2) dx dy$$

$$4. \int_{-1}^1 \int_{-\sqrt{1-y^2}}^{\sqrt{1-y^2}} (x^2 + y^2) dy dx$$

$$5. \int_{-a}^a \int_{-\sqrt{a^2-x^2}}^{\sqrt{a^2-x^2}} dy dx$$

$$6. \int_0^2 \int_0^{\sqrt{4-y^2}} (x^2 + y^2) dx dy$$

$$7. \int_0^6 \int_0^y x dx dy$$

$$8. \int_0^2 \int_0^x y dy dx$$

$$9. \int_{-1}^0 \int_{-\sqrt{1-x^2}}^0 \frac{2}{1 + \sqrt{x^2 + y^2}} dy dx$$

$$10. \int_{-1}^1 \int_{-\sqrt{1-y^2}}^0 \frac{4\sqrt{x^2 + y^2}}{1 + x^2 + y^2} dx dy$$

$$11. \int_0^{\ln 2} \int_0^{\sqrt{(\ln 2)^2 - y^2}} e^{\sqrt{x^2 + y^2}} dx dy$$

$$12. \int_0^1 \int_0^{\sqrt{1-x^2}} e^{-(x^2+y^2)} dy dx$$

$$13. \int_0^2 \int_0^{\sqrt{1-(x-1)^2}} \frac{x+y}{x^2 + y^2} dy dx$$

$$14. \int_0^2 \int_{-\sqrt{1-(y-1)^2}}^0 xy^2 dx dy$$

$$15. \int_{-1}^1 \int_{-\sqrt{1-y^2}}^{\sqrt{1-y^2}} \ln(x^2 + y^2 + 1) dx dy$$

$$16. \int_{-1}^1 \int_{-\sqrt{1-x^2}}^{\sqrt{1-x^2}} \frac{2}{(1 + x^2 + y^2)^2} dy dx$$

### Kutupsal Koordinatlarda Alan Bulmak

17. Birinci dörtte bir bölgeden  $r = 2(2 - \sin 2\theta)^{1/2}$  eğrisiyle kesilen bölgenin alanını bulun.
18. **Kardioid ve çember**  $r = 1 + \cos \theta$  kardioidinin içinde ve  $r = 1$  çemberinin dışında kalan bölgenin alanını bulun.
19. **Bir gülün yaprağı**  $r = 12 \cos 3\theta$  gülünün bir yaprağıyla çevrili bölgenin alanını bulun.
20. **Salyangoz kabuğu** Pozitif  $x$ -ekseni ve  $r = 4\theta/3$ ,  $0 \leq \theta \leq 2\pi$ , spiraliyle çevrili bölgenin alanını bulun. Bölge bir salyangoz kabuğuna benzer.
21. **Birinci dörtte bir bölgede kardioid** Birinci dörtte bir bölgeden  $r = 1 + \sin \theta$  kardioidiyle kesilen bölgenin alanını bulun.
22. **Örtüsen kardioidler**  $r = 1 + \cos \theta$  ve  $r = 1 - \cos \theta$  kardioidlerinin ikisinde de bulunan bölgenin alanını bulun.

### Kütle ve Momentler

23. **Bir plakanın birinci momenti** Altan  $x$ -ekseni ve üstten  $r = 1 - \cos \theta$  kardioidiyle sınırlı, sabit  $\delta(x, y) = 3$  yoğunluklu ince plakanın  $x$ -ekseni etrafındaki birinci momentini bulun.
24. **Bir diskin eylemsizlik ve kutupsal momentleri**  $x^2 + y^2 = a^2$  çemberiyle sınırlı dairenin  $(x, y)$  noktasındaki yoğunluğu,  $k$  bir sabit olmak üzere,  $\delta(x, y) = k(x^2 + y^2)$  ise, dairenin  $x$ -ekseni etrafındaki eylemsizlik momentiyle orijin etrafındaki kutupsal eylemsizlik momentini bulun.
25. **Bir plakanın kütlesi**  $r = 3$  çemberinin dışında ve  $r = 6 \sin \theta$  çemberinin içindeki bölgeyi kaplayan ince plakanın yoğunluk fonksiyonu  $\delta(x, y) = 1/r$  ise, plakanın kütlesini bulun.
26. **Bir çember ile örtüsen kardioidin kutupsal momenti**  $r = 1 - \cos \theta$  kardioidinin içinde ve  $r = 1$  çemberinin dışındaki bölgeyi kaplayan ince plakanın yoğunluk fonksiyonu  $\delta(x, y) = 1/r^2$  ise, plakanın orijin etrafındaki kutupsal eylemsizlik momentini bulun.
27. **Bir kardioid bölgenin merkezi**  $r = 1 + \cos \theta$  kardioidiyle çevrili bölgenin merkezini bulun.
28. **Bir kardioid bölgenin kutupsal momenti**  $r = 1 + \cos \theta$  kardioidiyle çevrili bölgeyi kaplayan ince plakanın yoğunluk fonksiyonu  $\delta(x, y) = 1$  ise, plakanın orijin etrafındaki kutupsal eylemsizlik momentini bulun.

### Ortalama Değerler

29. **Bir yarım kürenin ortalama yüksekliği**  $xy$ -düzleminde  $x^2 + y^2 \leq a^2$  dairesinin üzerindeki  $z = \sqrt{a^2 - x^2 - y^2}$  yarımküresinin ortalama yüksekliğini bulun.
30. **Bir koninin ortalama yüksekliği**  $xy$ -düzleminde  $x^2 + y^2 \leq a^2$  dairesinin üstündeki  $z = \sqrt{x^2 + y^2}$  konisinin ortalama yüksekliğini bulun.
31. **Bir diskin içinden merkeze ortalama uzaklık**  $x^2 + y^2 \leq a^2$  dairesinin içindeki bir  $P(x, y)$  noktasından orijine ortalama uzaklığı bulun.
32. **Bir diskin içindeki bir noktadan sınırdındaki bir noktaya uzaklığın karesinin ortalaması**  $x^2 + y^2 \leq 1$  dairesindeki  $P(x, y)$  noktasının  $A(1, 0)$  sınır noktasına uzaklığının karesinin ortalama değerini bulun.

### Teori ve Örnekler

33. **Kutupsal integrale dönüşüm**  $f(x, y) = [\ln(x^2 + y^2)]/\sqrt{x^2 + y^2}$  yi  $1 \leq x^2 + y^2 \leq e$  bölgesinde integre edin.
34. **Kutupsal integrale dönüşüm**  $f(x, y) = [\ln(x^2 + y^2)]/(x^2 + y^2)$  yi  $1 \leq x^2 + y^2 \leq e^2$  bölgesinde integre edin.
35. **Dairesel olmayan dik silindirin hacmi**  $r = 1 + \cos \theta$  kardioidinin içinde ve  $r = 1$  çemberinin dışındaki bölge, içi dolu bir silindirin tabanıdır. Silindirin tepesi  $z = x$  düzlemindedir. Silindirin hacmini bulun.

- 36. Dairesel olmayan dik silindirin hacmi**  $r^2 = 2 \cos 2\theta$  fiyon-gıyla çevrili bölge, tepesi  $z = \sqrt{2 - r^2}$  küresiyle sınırlı, içi dolu silindirin tabanıdır. Silindirin hacmini bulun.

**37. Kutupsal integrallere dönüşüm**

- a. Genelleştirilmiş  $I = \int_0^\infty e^{-x^2} dx$  integralini hesaplamadan genel yolu karesini integre etmektir:

$$I^2 = \left( \int_0^\infty e^{-x^2} dx \right) \left( \int_0^\infty e^{-y^2} dy \right) = \int_0^\infty \int_0^\infty e^{-(x^2+y^2)} dx dy$$

Son integrali kutupsal koordinatları kullanarak hesaplayın ve ortaya çıkan  $I$  denklemini çözün.

- b. Aşağıdaki integrali hesaplayın.

$$\lim_{x \rightarrow \infty} \operatorname{erf}(x) = \lim_{x \rightarrow \infty} \int_0^x \frac{2e^{-t^2}}{\sqrt{\pi}} dt$$

- 38. Bir kutupsal integrale dönüşüm** Aşağıdaki integrali hesaplayın.

$$\int_0^\infty \int_0^\infty \frac{1}{(1+x^2+y^2)^2} dx dy$$

- 39. Varlık**  $f(x, y) = 1/(1-x^2-y^2)$  fonksiyonunu  $x^2 + y^2 \leq 3/4$  dairesi üzerinde integre edin.  $f(x, y)$ 'nin  $x^2 + y^2 \leq 1$  dairesi üzerinde integrali var mıdır? Yanıtınızı açıklayın.

- 40. Kutupsal koordinatlarda alan formülü** Kutupsal koordinatlarda iki katlı integrali kullanarak, orijin ile kutupsal  $r = f(\theta)$ ,  $\alpha \leq \theta \leq \beta$ , eğrisi arasında kalan pervane şekilli bölgenin alanı için

$$A = \int_\alpha^\beta \frac{1}{2} r^2 d\theta$$

formülünü türetin.

- 41. Bir disk içinde verilen bir noktaya ortalama uzaklık**  $P_0$ ,  $a$  yarıçaplı bir çember içinde bir nokta olsun ve  $h$  de  $P_0$ 'dan çem-

berin merkezine uzaklığını gösterin. Keyfi bir  $P$  noktasından  $P_0$ 'a olan uzaklık  $d$  ile gösterilsin. Çemberin çevrelediği bölgede  $d^2$ 'nin ortalama değerini bulun (İpucu: Çemberin merkezini orijine,  $P_0$ 'ı da  $x$ -eksenine yerleştirerek işinizi kolaylaştırın).

- 42. Alan** Kutupsal koordinat düzlemindeki bir bölgenin alanının

$$A = \int_{\pi/4}^{3\pi/4} \int_{\csc \theta}^{2 \sin \theta} r dr d\theta$$

olduğunu varsayıñ. Bölgeyi çizin ve alanını bulun.

### BİLGİSAYAR ARAŞTIRMALARI

#### Koordinat Dönüşümleri

43–46 alıştırmalarında, Kartezyen integralleri kutupsal integrallere dönüştürmek ve kutupsal integrali hesaplamak için bir BCS kullanın. Aşağıdaki adımları gerçekleştirin.

- a.  $xy$ -düzleminde Kartezyen integrasyon bölgesini çizin.
- b. (a) şıklındaki Kartezyen bölgenin her sınırlayıcı eğrisini Kartezyen denkleminden  $r$  ve  $\theta$ 'yı çözerek kutupsal temsiline dönüştürün.
- c. (b) şıklındaki sonuçları kullanarak,  $r\theta$ -düzlemindeki kutupsal integrasyon bölgesini çizin.
- d. İntegrandı Kartezyen koordinatlardan kutupsal koordinatlara dönüştürün. (c) şıklındaki çiziminizden integrasyon sınırlarını belirleyin ve BCS integrasyon komutunu kullanarak kutupsal integrali hesaplayın.

43.  $\int_0^1 \int_x^1 \frac{y}{x^2 + y^2} dy dx$

44.  $\int_0^1 \int_0^{x/2} \frac{x}{x^2 + y^2} dy dx$

45.  $\int_0^1 \int_{-y/3}^{y/3} \frac{y}{\sqrt{x^2 + y^2}} dx dy$

46.  $\int_0^1 \int_y^{2-y} \sqrt{x+y} dx dy$

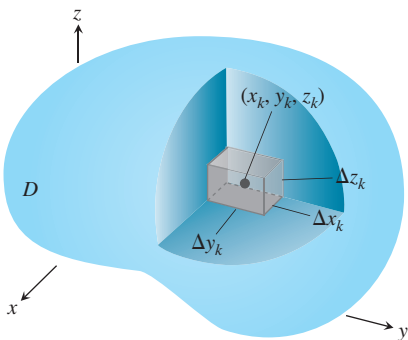
## 15.4

### Kartezyen Koordinatlarda Üç Katlı İntegraler

İki katlı intergallerin, tek katlı integrallerle üstesinden gelebildiklerimizden daha genel konularla ilgilenmemize olanak sağladığı gibi, üç katlı integraller daha da genel problemleri çözmemizi sağlar. Üç katlı integralleri üç boyutlu şekillerin hacimlerini, değişken yoğunluklu katı cisimlerin kütle ve momentlerini ve üç boyutlu bir bölge üzerinde bir fonksiyonun ortalama değerini hesaplamak için kullanırız. Bölüm 16'da göreceğimiz gibi, üç katlı integraller, üç boyutta vektör alanları araştırmaları ve akışkan akışında da ortaya çıkarlar.

### Üç Katlı İntegraler

$F(x, y, z)$  uzayda kapalı, sınırlı bir  $D$  bölgesinde — örneğin bir top veya bir parça kıl tarafindan işaret edilen bölge — tanımlanmış bir fonksiyon ise,  $F$ 'nin  $D$  üzerindeki integrali şu



**ŞEKİL 15.27** Bir katı cismi  $\Delta V_k$  hacimli hücrelere bölme.

şekilde tanımlanabilir.  $D$ 'yi içeren dikdörtgensel kutu gibi bir bölgeyi koordinat düzlemlerine paralel kenarları olan dikdörtgensel hücrelere böleriz (Şekil 15.27).  $D$ 'nin içindeki hücreleri herhangi bir sıra ile 1'den  $n'$ ye kadar numaralandırırız.  $k$ . hücrenin boyutları  $\Delta x_k$ ,  $\Delta y_k$ ,  $\Delta z_k$  ve hacmi  $\Delta V_k = \Delta x_k \Delta y_k \Delta z_k$ 'dır. Her hücrenin bir  $(x_k, y_k, z_k)$  noktası seçer ve

$$S_n = \sum_{k=1}^n F(x_k, y_k, z_k) \Delta V_k \quad (1)$$

toplamını oluştururuz.  $D$ 'nin,  $\Delta x_k$ ,  $\Delta y_k$ ,  $\Delta z_k$  ve bölümünün normu  $\|P\|$ ,  $\Delta x_k$ ,  $\Delta y_k$ ,  $\Delta z_k$  değerlerinden en büyüğü, hepsi birden sıfıra gidecek şekilde, giderek küçülen hücrelerle bölümlemelerinde ne olduğu ile ilgileniyoruz. Bölünüşler ve  $(x_k, y_k, z_k)$  noktaları nasıl seçilirse seçilsin, tek bir limite ulaşılıyorsa,  $F$  fonksiyonu  $D$  üzerinde **integrallenebilir** deriz. Önceliği gibi,  $F$  sürekli ise ve  $D$  bölgesi sonlu sayıda düzgün yüzeyin sonlu sayıda düzgün eğri boyunca birleşmesi ile oluşuyorsa  $F$ 'nin integrallenebilir olduğu gösterilebilir.  $\|P\| \rightarrow 0$  ve hücrelerin sayısı,  $n$ ,  $\infty$ 'a giderken  $S_n$  toplamları bir limite yakınsar. Bu limite,  **$F$ 'nın  $D$  üzerindeki üç katlı integrali** deriz ve

$$\lim_{n \rightarrow \infty} S_n = \iiint_D F(x, y, z) dV \quad \text{veya} \quad \lim_{\|P\| \rightarrow 0} S_n = \iiint_D F(x, y, z) dx dy dz$$

yazarız. Sürekli fonksiyonların üzerinde integrallenebilir olduğu  $D$  bölgeleri, küçük dikdörtgensel hücrelerle yaklaşım yapılabilen bölgelerdir. Uygulamalarda karşılaşılan bölgeler böyle bölgelerdir.

### Uzayda Bir Bölgelinin Hacmi

$F$ , değeri 1 olan sabit fonksiyon ise, (1) denklemindeki toplamlar

$$S_n = \sum F(x_k, y_k, z_k) \Delta V_k = \sum 1 \cdot \Delta V_k = \sum \Delta V_k$$

haline indirgenir.

$\Delta x_k$ ,  $\Delta y_k$  ve  $\Delta z_k$  sıfıra yaklaşırken,  $\Delta V_k$  hücreleri daha küçülür, sayıları artar ve  $D$ 'nin daha fazlasını doldururlar. Bu nedenle  $D$ 'nin hacmini

$$\lim_{n \rightarrow \infty} \sum_{k=1}^n \Delta V_k = \iiint_D dV$$

üç katlı integrali olarak tanımlarız.

#### TANIM Hacim

Uzayda kapalı, sınırlı bir  $D$  bölgesinin **hacmi**

$$V = \iiint_D dV$$

integraliyle verilir.

Gerçeklenmesini atlasmakla birlikte bu tanım daha önceki hacim tanımlarımızla uygunluk içindedir. Biraz sonra göreceğimiz gibi, bu integral eğrisel yüzeylerle sınırlı cisimlerin hacimlerini hesaplamamızı sağlar.

### İntegrasyon Sınırlarını Bulmak

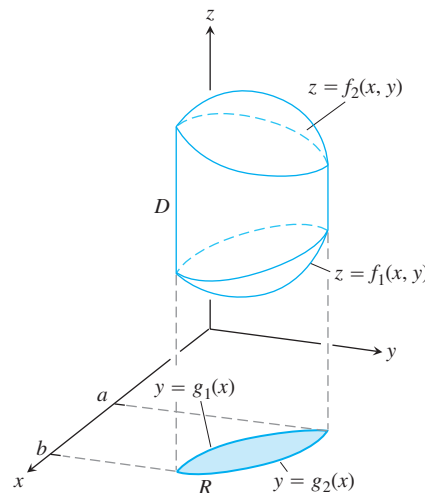
Üç katlı bir integrali, Fubini Teoreminin (Bölüm 15.1) üç-boyutlu bir versiyonunu uygulayarak, ardışık üç integrasyonla hesaplarız. İki katlı integrallerde olduğu gibi, bu ardışık integrallerin integrasyon sınırlarını bulmak için geometrik bir prosedür vardır.

Bir  $D$  bölgesi üzerinde

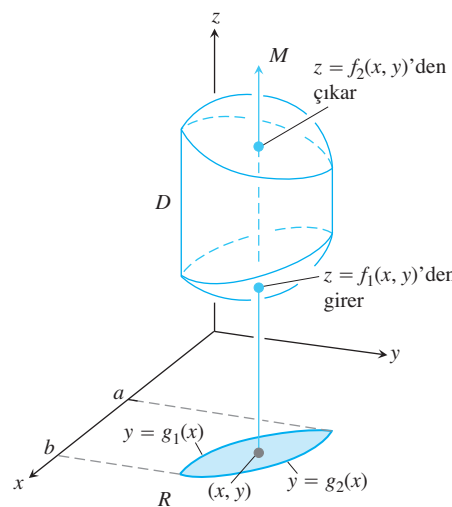
$$\iiint_D F(x, y, z) \, dV$$

integralini hesaplamak için, önce  $z$ 'ye sonra  $y$ 'ye ve en sonunda  $x$ 'e göre integral alın.

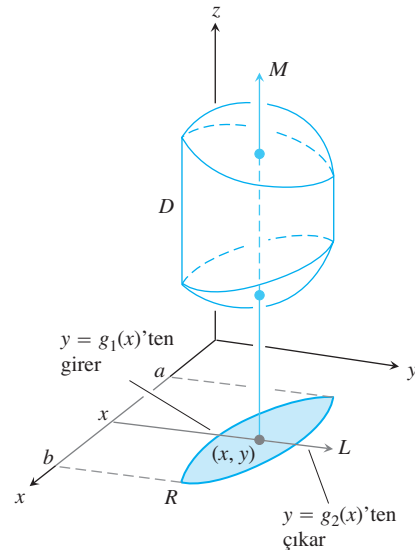
- Bir çizim:*  $D$  bölgesini  $xy$ -düzlemindeki “gölgesi”  $R$  (dik iz düşüm) ile birlikte çizin.  $D$ 'nin alt ve üst sınır yüzeyleri ile  $R$ 'nin alt ve üst sınır eğrilerini adlandırın.



- İntegrasyonun z-sınırlarını bulun:*  $R$ 'deki tipik bir  $(x, y)$  noktasından geçen,  $z$ -eksenine平行 bir  $M$  doğrusu çizin.  $z$  arttıkça,  $M$ ,  $D$ 'ye  $z = f_1(x, y)$ 'den girer ve  $z = f_2(x, y)$ 'den çıkar. Bunlar integrasyonun  $z$ -sınırlarıdır.



3. Integrasyonun *y-sınırlarını bulun*:  $(x, y)$ 'den geçen, *y*-eksenine paralel bir *L* doğrusu çizin. *y* arttıkça, *L*, *R*'ye  $y = g_1(x)$  den girer ve  $y = g_2(x)$ 'den çıkar. Bunlar integrasyonun *y-sınırlarıdır*.



4. Integrasyonun *x-sınırlarını bulun*: *R*'den geçen, *y*-eksenine paralel bütün doğruları içeren *x-sınırları* seçin (yukarıdaki şekilde  $x = a$  ve  $x = b$ ). Bunlar integrasyonun *x-sınırlarıdır*. İntegral

$$\int_{x=a}^{x=b} \int_{y=g_1(x)}^{y=g_2(x)} \int_{z=f_1(x,y)}^{z=f_2(x,y)} F(x, y, z) dz dy dx$$

olur. İntegrasyon sırasını değiştirirseniz, benzer prosedürler izleyin. *D*'nin “gölgesi” ardışık integrasyonun gerçekleştiği son iki değişkenin düzleminde bulunur.

Yukarıdaki prosedür, *D* bölgesi, üstten ve alttan bir yüzeyle, “gölge” *R* bölgesi de alt ve üst eğrilerle sınırlı olduğu her durumda uygulanır. Bu prosedür, bazı hallerde bölgeyi basit bölgelere ayırarak prosedürü uygulamak mümkün olsa bile, içinde karmaşık delikler içeren bölgelere uygulanamaz.

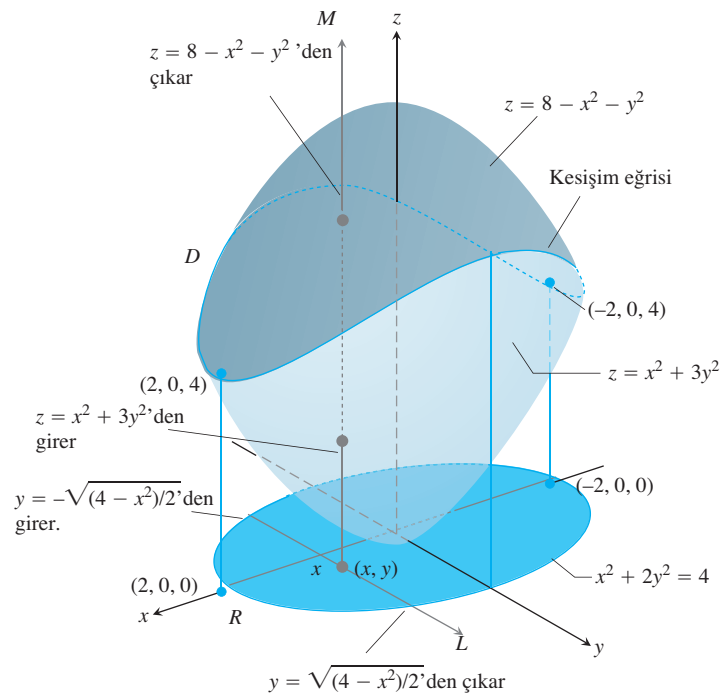
### ÖRNEK 1 Bir Hacim Bulmak

$z = x^2 + 3y^2$  ve  $z = 8 - x^2 - y^2$  yüzeyleriyle çevrelenen *D* bölgesinin hacmini bulun.

**Çözüm** Hacim,  $F(x, y, z) = 1$ 'in *D* üzerindeki

$$V = \iiint_D dz dy dx$$

integralidir. İntegrali hesaplamak için integrasyon sınırlarını bulmak üzere bölgeyi çizeriz. Yüzeyler (Şekil 15.28)  $x^2 + 3y^2 = 8 - x^2 - y^2$  veya  $x^2 + 2y^2 = 4$ ,  $z > 0$  eliptik silindiri üzerinde kesişirler. *D*'nin *xy*-düzlemine izdüşümü olan *R* bölgesinin sınırı, denklemi aynı olan bir elipstir:  $x^2 + 2y^2 = 4$ . *R*'nin “üst” sınırı  $y = \sqrt{(4 - x^2)/2}$  eğrisidir. Alt sınır ise  $y = -\sqrt{(4 - x^2)/2}$  eğrisidir.



**ŞEKİL 15.28** İki paraboloid tarafından çevrelenen bu bölgenin hacmi Örnek 1'de hesaplanmaktadır.

İntegrasyonun  $z$ -sınırlarını bulalım.  $R$ 'nin tipik bir  $(x, y)$  noktasından,  $z$ -eksenine paralel olarak geçen  $M$  doğrusu  $D$ 'ye  $z = x^2 + 3y^2$  den girer ve  $z = 8 - x^2 - y^2$  den çıkar.

Şimdi de integrasyonun  $y$ -sınırlarını bulalım.  $(x, y)$ 'den,  $y$ -eksenine paralel olarak geçen  $L$  doğrusu  $R$ 'ye  $y = -\sqrt{(4-x^2)/2}$  den girer ve  $y = \sqrt{(4-x^2)/2}$  den çıkar.

Son olarak integrasyonun  $x$ -sınırlarını buluz.  $L$ ,  $R$ 'yi tararken,  $x$ 'in değeri  $(-2, 0, 0)$ 'da  $x = -2$ 'den  $(2, 0, 0)$ 'da  $x = 2$ 'ye kadar değişir.  $D$ 'nin hacmi

$$\begin{aligned}
 V &= \iiint_D dz dy dx \\
 &= \int_{-2}^2 \int_{-\sqrt{(4-x^2)/2}}^{\sqrt{(4-x^2)/2}} \int_{x^2+3y^2}^{8-x^2-y^2} dz dy dx \\
 &= \int_{-2}^2 \int_{-\sqrt{(4-x^2)/2}}^{\sqrt{(4-x^2)/2}} (8 - 2x^2 - 4y^2) dy dx \\
 &= \int_{-2}^2 \left[ (8 - 2x^2)y - \frac{4}{3}y^3 \right]_{y=-\sqrt{(4-x^2)/2}}^{y=\sqrt{(4-x^2)/2}} dx \\
 &= \int_{-2}^2 \left( 2(8 - 2x^2)\sqrt{\frac{4-x^2}{2}} - \frac{8}{3}\left(\frac{4-x^2}{2}\right)^{3/2} \right) dx \\
 &= \int_{-2}^2 \left[ 8\left(\frac{4-x^2}{2}\right)^{3/2} - \frac{8}{3}\left(\frac{4-x^2}{2}\right)^{3/2} \right] dx = \frac{4\sqrt{2}}{3} \int_{-2}^2 (4-x^2)^{3/2} dx \\
 &= 8\pi\sqrt{2}. \quad x = 2 \sin u \text{ dönüşümü ile integrasyondan sonra}
 \end{aligned}$$

■

Sıradaki örnekte, farklı bir integrasyon sırasının nasıl kullanıldığını göstermek için  $D$ 'yi  $xy$ -düzlemi yerine  $xz$ -düzlemine iz düşürüyoruz.

### ÖRNEK 2 İntegrasyon Sınırlarını $dy dz dx$ Sırasında Bulmak

Köşeleri  $(0, 0, 0)$ ,  $(1, 1, 0)$ ,  $(0, 1, 0)$  ve  $(0, 1, 1)$ 'de olan dört yüzlü ile sınırlı  $D$  bölgesinde bir  $F(x, y, z)$  fonksiyonun üç katlı integrali için integrasyon sınırlarını belirleyin.

**Çözüm**  $D$ 'yi  $xz$ -düzlemindeki “gölgesi”  $R$  ile birlikte çizeriz (Şekil 15.29).  $D$ 'nin üst (sağ taraftaki) sınır yüzeyi  $y = 1$  düzlemindedir. Alt (sol taraftaki) sınır yüzeyi  $y = x + z$  düzlemindedir.  $R$ 'nin üst sınırı  $z = 1 - x$  doğrusudur. Alt sınır  $z = 0$  doğrusudur.

Önce integrasyonun  $y$ -sınırlarını buluruz.  $R$ 'nin tipik bir  $(x, z)$  noktasından  $y$ -eksenine paralel olarak geçen doğru  $D$ 'ye  $y = x + z$  den girer ve  $y = 1$  den çıkar.

Sonra integrasyonun  $z$ -sınırlarını buluruz.  $(x, z)$  den  $z$ -eksenine paralel olarak geçen  $L$  doğrusu  $R$ 'ye  $z = 0$  dan girer ve  $z = 1 - x$  ten çıkar.

Son olarak integrasyonun  $x$ -sınırlarını buluruz.  $L$ ,  $R$ 'yi tararken,  $x$ 'in değerleri  $x = 0$  dan  $x = 1$  e değişir. İntegral

$$\int_0^1 \int_0^{1-x} \int_{x+z}^1 F(x, y, z) dy dz dx$$

olur.

### ÖRNEK 3 Örnek 2'yi $dz dy dx$ Sırası İle Tekrarlamak

$F(x, y, z)$ 'yi dört yüzlü ile sınırlı  $D$  bölgesinde  $dz dy dx$  sırası ile integre etmek için adımları aşağıdaki gibi düzenleriz.

Önce integrasyonun  $z$ -sınırlarını buluruz.  $xy$ -düzlemindeki “gölge” nin tipik bir  $(x, y)$  noktasından  $z$ -eksenine paralel olarak geçen bir doğru  $D$ 'ye  $z = 0$  dan girer ve denklemi  $z = y - x$  olan üst yüzeyinden çıkar (Şekil 15.29).

Sonra integrasyonun  $y$ -sınırlarını buluruz.  $xy$ -düzleminde,  $z = 0$ , dörtyüzlünün eğik yüzeyi düzlemi  $y = x$  doğrusu boyunca keser.  $(x, y)$  den  $y$ -eksenine paralel olarak geçen bir doğru  $xy$ -düzlemindeki gölge'ye  $y = x$  ten girer ve  $y = 1$  den çıkar.

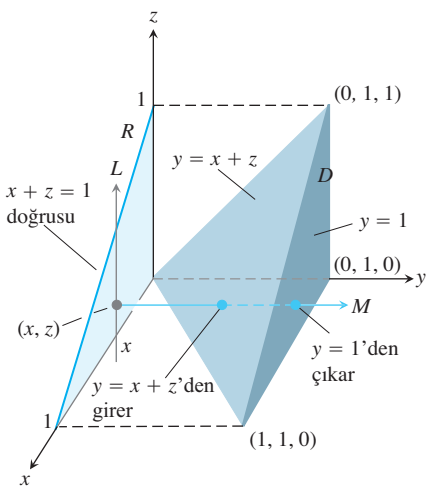
Son olarak integrasyonun  $x$ -sınırlarını buluruz. Önceki adımdaki  $y$ -eksenine paralel doğru gölgeyi tararken,  $x$ 'in değerleri  $x = 0$  dan  $(1, 1, 0)$  da  $x = 1$  e değişir. İntegral

$$\int_0^1 \int_x^1 \int_0^{y-x} F(x, y, z) dz dy dx.$$

olur. Örneğin,  $F(x, y, z) = 1$  ise

$$\begin{aligned} V &= \int_0^1 \int_x^1 \int_0^{y-x} dz dy dx \\ &= \int_0^1 \int_x^1 (y - x) dy dx \\ &= \int_0^1 \left[ \frac{1}{2} y^2 - xy \right]_{y=x}^{y=1} dx \\ &= \int_0^1 \left( \frac{1}{2} - x + \frac{1}{2} x^2 \right) dx \\ &= \left[ \frac{1}{2} x - \frac{1}{2} x^2 + \frac{1}{6} x^3 \right]_0^1 \\ &= \frac{1}{6} \end{aligned}$$

bulunur.



**SEKİL 15.29** Dört yüzlü ile sınırlı  $D$  bölgesinde tanımlı bir fonksiyonun üç katlı integralini hesaplamak için integrasyon sınırlarını bulmak (Örnek 2).

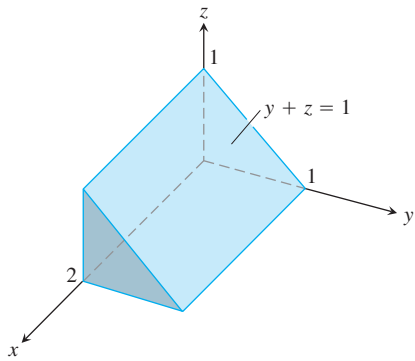
Aynı sonucu  $dy dz dx$  sırasıyla integre ettiğimizde de buluruz,

$$V = \int_0^1 \int_0^{1-x} \int_{x+z}^1 dy dz dx = \frac{1}{6}. \quad \blacksquare$$

Gördüğümüz gibi, bazen (ama her zaman değil) iki katlı integralleri hesaplamak için ardışık tek katlı integraller iki farklı sırada alınabilir.  $dx$ ,  $dy$  ve  $dz$  altı farklı şekilde sıralanabildiğinden, üç katlı integraller için bu sayı altı olabilir. Her sıralama, uzaydaki integrasyon bölgesinin farklı bir tanımlamasını ve farklı integrasyon sınırları verir.

#### ÖRNEK 4 Farklı İntegrasyon Sıralarını Kullanmak

Aşağıdaki integrallerden her biri Şekil 15.30'da gösterilen katı cismin hacmini verir.



**ŞEKİL 15.30** Örnek 4, bu prizmanın hacmi için altı farklı ardışık üç katlı integral verir.

- |   |   |
|---|---|
| (a) $\int_0^1 \int_0^{1-z} \int_0^2 dx dy dz$ | (b) $\int_0^1 \int_0^{1-y} \int_0^2 dx dz dy$ |
| (c) $\int_0^1 \int_0^2 \int_0^{1-z} dy dx dz$ | (d) $\int_0^2 \int_0^1 \int_0^{1-z} dy dz dx$ |
| (e) $\int_0^1 \int_0^2 \int_0^{1-y} dz dx dy$ | (f) $\int_0^2 \int_0^1 \int_0^{1-y} dz dy dx$ |

(b) ve (c)'deki integralleri hesaplıyoruz.

$$\begin{aligned} V &= \int_0^1 \int_0^{1-y} \int_0^2 dx dz dy \quad (\text{b)'deki integral}) \\ &= \int_0^1 \int_0^{1-y} 2 dz dy \\ &= \int_0^1 \left[ 2z \right]_{z=0}^{z=1-y} dy \\ &= \int_0^1 2(1-y) dy \\ &= 1. \end{aligned}$$

Ve

$$\begin{aligned} V &= \int_0^1 \int_0^2 \int_0^{1-z} dy dx dz \quad (\text{c)'deki integral}) \\ &= \int_0^1 \int_0^2 (1-z) dx dz \\ &= \int_0^1 \left[ x - zx \right]_{x=0}^{x=2} dz \end{aligned}$$

$$\begin{aligned}
 &= \int_0^1 (2 - 2z) dz \\
 &= 1
 \end{aligned}$$

(a), (d), (e) ve (f)'deki integraller de  $V = 1$ 'i verir.

### Uzayda Bir Fonksiyonun Ortalama Değeri

Bir  $F$  fonksiyonunun uzayda bir  $D$  bölgesindeki ortalama değeri

$$F \text{'nin } D \text{'deki ortalama değeri} = \frac{1}{D \text{'nin hacmi}} \iiint_D F dV \quad (2)$$

integraliyle hesaplanır. Örneğin,  $F(x, y, z) = \sqrt{x^2 + y^2 + z^2}$  ise,  $F$ 'nin  $D$ 'deki ortalama değeri,  $D$ 'deki noktaların orijine olan uzaklıklarının ortalamasıdır.  $F(x, y, z)$ , uzayda bir  $D$  bölgesini dolduran cismin  $(x, y, z)$  noktasındaki sıcaklığı ise,  $F$ 'nin  $D$ 'deki ortalama değeri, cismin ortalama sıcaklığıdır.

### ÖRNEK 5 Bir Ortalama Değer Bulmak

$F(x, y, z) = xyz$ 'nin koordinat düzlemleri ve  $x = 2$ ,  $y = 2$  ve  $z = 2$  düzlemleriyle sınırlı küp bölge üzerinde ortalama değerini bulun.

**Çözüm** Kübü, integrasyon sınırlarını gösterecek kadar detayla birlikte çizeriz (Şekil 15.31). Sonra (2) denklemini kullanarak  $F$ 'nin küp bölge üzerindeki ortalama değerini buluruz.

Küpün hacmi  $(2)(2)(2) = 8$ 'dir.  $F$ 'nin küp üzerindeki integralinin değeri

$$\begin{aligned}
 \int_0^2 \int_0^2 \int_0^2 xyz \, dx \, dy \, dz &= \int_0^2 \int_0^2 \left[ \frac{x^2}{2} yz \right]_{x=0}^{x=2} \, dy \, dz = \int_0^2 \int_0^2 2yz \, dy \, dz \\
 &= \int_0^2 \left[ y^2 z \right]_{y=0}^{y=2} \, dz = \int_0^2 4z \, dz = \left[ 2z^2 \right]_0^2 = 8
 \end{aligned}$$

bulunur.

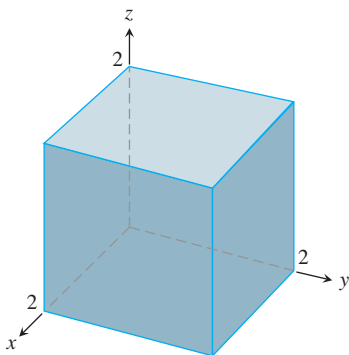
Bu değerlerle (2) denklemi

$$xyz \text{'nin küp üzerindeki ortalama değeri} = \frac{1}{\text{hacmi}} \iiint_{\text{küp}} xyz \, dV = \left( \frac{1}{8} \right)(8) = 1$$

verir. Integrali hesaplarken,  $dx$ ,  $dy$ ,  $dz$  sırasını seçtik, ama diğer beş olası sıra da aynı işe yarar.

### Üç Katlı İntegrallerin Özellikleri

Üç katlı integraller tek ve iki katlı integrallerle aynı cebirsel özelliklere sahiptir.



**ŞEKİL 15.31** Örnek 4'teki integrasyon bölgesi.

### Üç Katlı İntegralerin Özellikleri

$F = F(x, y, z)$  ve  $G = G(x, y, z)$  sürekli ise:

1. *Sabitle Çarpım:*  $\iiint_D kF \, dV = k \iiint_D F \, dV$  (herhangi bir  $k$ )

2. *Toplam ve Fark:*  $\iiint_D (F \pm G) \, dV = \iiint_D F \, dV \pm \iiint_D G \, dV$

3. *Baskınlık:*

(a)  $D$ 'de  $F \geq 0$  ise,  $\iiint_D F \, dV \geq 0$

(b)  $D$ 'de  $F \geq G$  ise,  $\iiint_D F \, dV \geq \iiint_D G \, dV$

4. *Toplanabilirlik:*  $D$ , birbiri ile örtüşmeyen  $D_1$  ve  $D_2$  bölgelerinin birleşimi ise

$$\iiint_D F \, dV = \iiint_{D_1} F \, dV + \iiint_{D_2} F \, dV$$

olur.

## ALIŞTIRMALAR 15.4

### Farklı Tekrarlarla Üç katlı İntegraleri Hesaplamak

1. Dörtüzlünün hacmini bulmak için  $F(x, y, z) = 1$  alarak Örnek 2'deki integrali hesaplayın.
2. **Dikdörtgensel cismin hacmi** Birinci sekizde bir bölgede koordinat düzlemleri,  $x = 1$ ,  $y = 2$  ve  $z = 3$  düzlemleriyle sınırlı dikdörtgen prizma şeklinde cismin hacmi için altı farklı ardışık üç katlı integral yazın. İntegrallerden birini hesaplayın.
3. **Dörtüzlünün hacmi** Birinci sekizde bir bölgeden  $6x + 3y + 2z = 6$  düzlemeyle kesilen dört yüzünün hacmi için altı farklı ardışık üç katlı integral yazın. İntegrallerden birini hesaplayın.
4. **Bir cismin hacmi** Birinci sekizde bir bölgeden  $x^2 + z^2 = 4$  silindiri ve  $y = 3$  düzlemeyle kesilen bölgenin hacmi için altı farklı ardışık üç katlı integral yazın. İntegrallerden birini hesaplayın.
5. **Paraboloidlerle sınırlanan hacim**  $D$ ,  $z = 8 - x^2 - y^2$  ve  $z = x^2 + y^2$  paraboloidleriyle sınırlı bölge olsun.  $D$ 'nin hacmi için altı farklı ardışık üç katlı integral yazın. İntegrallerden birini hesaplayın.
6. **Paraboloidin içinde bir düzlemin altındaki hacim**  $D$ ,  $z = x^2 + y^2$  paraboloidi ve  $z = 2y$  düzlemeyle sınırlı bölge olsun.  $D$ 'nin hacmini veren,  $dz \, dx \, dy$  ve  $dz \, dy \, dx$  sıralı ardışık üç katlı integraller yazın. İntegralleri hesaplamayın.

### Üç Katlı Ardışık İntegraleri Hesaplamak

7–20 alıştırmalarındaki integralleri hesaplayın.

7.  $\int_0^1 \int_0^1 \int_0^1 (x^2 + y^2 + z^2) \, dz \, dy \, dx$

8.  $\int_0^{\sqrt{2}} \int_0^{3y} \int_{x^2+3y^2}^{8-x^2-y^2} \, dz \, dx \, dy$

9.  $\int_1^e \int_1^e \int_1^e \frac{1}{xyz} \, dx \, dy \, dz$

10.  $\int_0^1 \int_0^{3-3x} \int_0^{3-3x-y} \, dz \, dy \, dx$

11.  $\int_0^1 \int_0^\pi \int_0^\pi y \sin z \, dx \, dy \, dz$

12.  $\int_{-1}^1 \int_{-1}^1 \int_{-1}^1 (x + y + z) \, dy \, dx \, dz$

13.  $\int_0^3 \int_0^{\sqrt{9-x^2}} \int_0^{\sqrt{9-x^2}} \, dz \, dy \, dx$

14.  $\int_0^2 \int_{-\sqrt{4-y^2}}^{\sqrt{4-y^2}} \int_0^{2x+y} \, dz \, dx \, dy$

15.  $\int_0^1 \int_0^{2-x} \int_0^{2-x-y} \, dz \, dy \, dx$

16.  $\int_0^1 \int_0^{1-x^2} \int_3^{4-x^2-y} x \, dz \, dy \, dx$

17.  $\int_0^\pi \int_0^\pi \int_0^\pi \cos(u + v + w) \, du \, dv \, dw$  ( $uvw$ -uzayı)

18.  $\int_1^e \int_1^e \int_1^e \ln r \ln s \ln t \, dt \, dr \, ds$  ( $rst$ -uzayı)

19.  $\int_0^{\pi/4} \int_0^{\ln \sec v} \int_{-\infty}^{2t} e^x \, dx \, dt \, dv$  ( $tvx$ -uzayı)

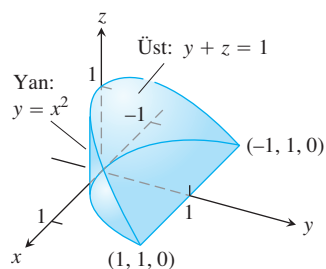
20.  $\int_0^7 \int_0^2 \int_0^{\sqrt{4-q^2}} \frac{q}{r+1} dp dq dr$  (pqr-uzayı)

### Üç Katlı İntegrallerle Hacimler

21. Aşağıda

$$\int_{-1}^1 \int_{x^2}^1 \int_0^{1-y} dz dy dx$$

integralin bölgesi verilmektedir.



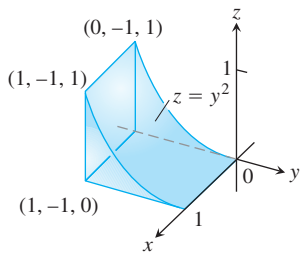
Integrali aşağıdaki sıralarda ardışık bir integral olarak yazın.

- a.  $dy dz dx$
- b.  $dy dx dz$
- c.  $dx dy dz$
- d.  $dx dz dy$
- e.  $dz dx dy$ .

22. Aşağıda

$$\int_0^1 \int_{-1}^0 \int_0^{y^2} dz dy dx.$$

integralin bölgesi verilmektedir.

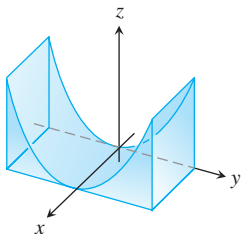


Integrali aşağıdaki sıralarda ardışık bir integral olarak yazın.

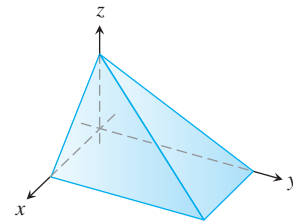
- a.  $dy dz dx$
- b.  $dy dx dz$
- c.  $dx dy dz$
- d.  $dx dz dy$
- e.  $dz dx dy$ .

23–36 alıştırmalarındaki bölgelerin hacmini bulun.

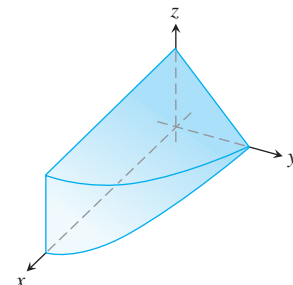
23.  $z = y^2$  silindiriyle  $xy$ -düzlemi arasında,  $x = 0, x = 1, y = -1, y = 1$  düzlemleri ile sınırlı bölge.



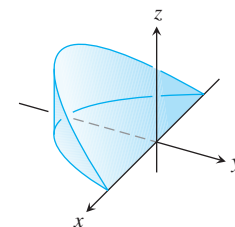
24. Birinci sekizde bir bölgede, koordinat düzlemleri ve  $x + z = 1$ ,  $y + 2z = 2$  düzlemleri ile sınırlı bölge



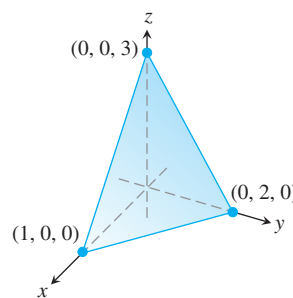
25. Birinci sekizde bir bölgede, koordinat düzlemleri,  $y + z = 2$  düzleme ve  $x = 4 - y^2$  silindiri ile sınırlı bölge.



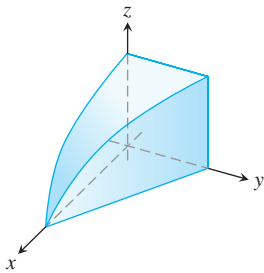
26.  $x^2 + y^2 = 1$  silindirinden  $z = -y$  ve  $z = 0$  düzlemleriyle kesilen bölge.



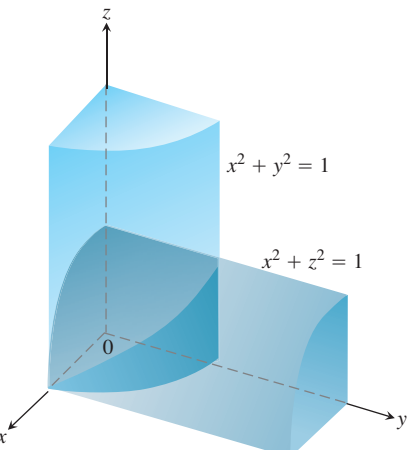
27. Birinci sekizde bir bölgede, koordinat düzlemleri ve  $(1, 0, 0)$ ,  $(0, 2, 0)$  ve  $(0, 0, 3)$  noktalarından geçen düzlemler ile sınırlı dört yüzlü bölge.



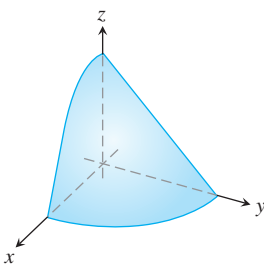
28. Birinci sekizde bir bölgede, koordinat düzlemleri,  $y = 1 - x$  düzlemini ve  $z = \cos(\pi x/2)$ ,  $0 \leq x \leq 1$ , yüzeyi ile sınırlı bölge.



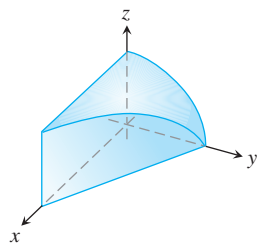
29.  $x^2 + y^2 = 1$  ve  $x^2 + z^2 = 1$  silindrlerinin içinde ortak olan bölgenin, aşağıdaki şekilde gösterildiği gibi, sekizde biri.



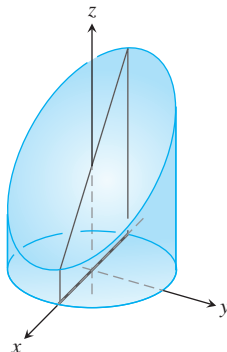
30. Birinci sekizde bir bölgede, koordinat düzlemleri ve  $z = 4 - x^2 - y$  yüzeyiyle sınırlı bölge.



31. Birinci sekizde bir bölgede, koordinat düzlemleri,  $x + y = 4$  ve  $y^2 + 4z^2 = 16$  silindiriyle sınırlı bölge.



32.  $x^2 + y^2 = 4$  silindrinden  $z = 0$  düzlemi ve  $x + z = 3$  düzlemi ile kesilen bölge.



33. Birinci sekizde bir bölgede,  $x + y + 2z = 2$  ve  $2x + 2y + z = 4$  düzlemleri arasındaki bölge.

34.  $z = x$ ,  $x + z = 8$ ,  $z = y$ ,  $y = 8$  ve  $z = 0$  düzlemleriyle sınırlı sonlu bölge.

35.  $x^2 + 4y^2 \leq 4$  eliptik katı silindrden  $xy$ -düzlemi ve  $z = x + 2$  düzlemeyle kesilen bölge.

36. Arkadan  $x = 0$  düzlemi, önden ve yanlardan  $x = 1 - y^2$  parabolik silindiri, üstten  $z = x^2 + y^2$  paraboloidi ve alttan  $xy$ -düzlemeyle sınırlı bölge.

### Ortalama Değerler

37–40 alıştırmalarında,  $F(x, y, z)$ 'nin verilen bölgedeki ortalama değerini bulun.

37. Birinci sekizde bir bölgede, koordinat düzlemleri ve  $x = 2$ ,  $y = 2$  ve  $z = 2$  düzlemleriyle sınırlı bölgede  $F(x, y, z) = x^2 + 9$

38. Birinci sekizde bir bölgede koordinat düzlemleri ve  $x = 1$ ,  $y = 1$  ve  $z = 2$  düzlemleriyle sınırlı bölgede  $F(x, y, z) = x + y - z$

39. Birinci sekizde bir bölgede, koordinat düzlemleri ve  $x = 1$ ,  $y = 1$  ve  $z = 1$  düzlemleriyle sınırlı bölgede  $F(x, y, z) = x^2 + y^2 + z^2$

40. Birinci sekizde bir bölgede, koordinat düzlemleri ve  $x = 2$ ,  $y = 2$  ve  $z = 2$  düzlemleriyle sınırlı bögede  $F(x, y, z) = xyz$

### İntegrasyon Sırasını Değiştirmek

41–44 alıştırmalarındaki integralleri, integrasyon sırasını uygun şekilde değiştirerek hesaplayın.

41.  $\int_0^4 \int_0^1 \int_{2y}^2 \frac{4 \cos(x^2)}{2\sqrt{z}} dx dy dz$

42.  $\int_0^1 \int_0^1 \int_{x^2}^1 12xze^{zy^2} dy dx dz$

43.  $\int_0^1 \int_{\sqrt[3]{z}}^1 \int_0^{\ln 3} \frac{\pi e^{2x} \sin \pi y^2}{y^2} dx dy dz$

44.  $\int_0^2 \int_0^{4-x^2} \int_0^x \frac{\sin 2z}{4-z} dy dz dx$

## Teori ve Örnekler

**45. Ardışık integralin üst sınırını bulmak**  $a$ 'yı çözün:

$$\int_0^1 \int_0^{4-a-x^2} \int_a^{4-x^2-y} dz dy dx = \frac{4}{15}$$

**46. Elipsoid** Hangi  $c$  değerinde  $x^2 + (y/2)^2 + (z/c)^2 = 1$  elipsoidinin hacmi  $8\pi$ 'ye eşittir?

**47. Bir üç katlı integrali minimize etmek** Uzaydaki hangi  $D$  bölgesi

$$\iiint_D (4x^2 + 4y^2 + z^2 - 4) dV$$

integralinin değerinin minimize eder? Yanıtınızı açıklayın.

**48. Bir üç katlı integrali maksimize etmek** Uzaydaki hangi  $D$  bölgesi

$$\iiint_D (1 - x^2 - y^2 - z^2) dV$$

integralinin değerinin maksimize eder? Yanıtınızı açıklayın.

## BİLGİSAYAR ARAŞTIRMALARI

### Sayısal Hesaplama Maları

49–52 alıştırmalarında, verilen fonksiyonun belirtilen bölgedeki üç katlı integralini hesaplamak için bir BCS kullanın.

**49.**  $x^2 + y^2 = 1$  ile  $z = 0$  ve  $z = 1$  düzlemlerinin sınırladığı katı silindirde  $F(x, y, z) = x^2 y^2 z$

**50.** Altan  $z = x^2 + y^2$  paraboloidi ve üstten  $z = 1$  düzleme sınırlı bölgede  $F(x, y, z) = |xyz|$

**51.** Altan  $z = \sqrt{x^2 + y^2}$  konisi ve üstten  $z = 1$  düzleme sınırlı bölgede  $F(x, y, z) = \frac{z}{(x^2 + y^2 + z^2)^{3/2}}$

**52.**  $x^2 + y^2 + z^2 \leq 1$  küresinde  $F(x, y, z) = x^4 + y^2 + z^2$

## 15.5

## Üç Boyutta Kütle ve Momentler

Bu bölüm Kartezyen koordinatlarda üç boyutlu cisimlerin kütle ve momentlerinin nasıl hesaplanacağını göstermektedir. Formüller iki boyutlu cisimlerinkilere benzer. Küresel ve silindirik koordinatlardaki hesaplamalar için, Bölüm 15.6'ya bakın.

### Kütle ve Momentler

$\delta(x, y, z)$ , uzayda bir  $D$  bölgesini kaplayan bir cismin yoğunluğuysa (birim hacimde kütle),  $\delta$ 'nın  $D$ 'deki integrali cismin **kütlesini** verir. Nedenini anlamak için, cismi Şekil 15.32'deki gibi  $n$  tane kütle elemanlarına böldüğünüzü varsayıñ. Cismin kütlesi

$$M = \lim_{n \rightarrow \infty} \sum_{k=1}^n \Delta m_k = \lim_{n \rightarrow \infty} \sum_{k=1}^n \delta(x_k, y_k, z_k) \Delta V_k = \iiint_D \delta(x, y, z) dV$$

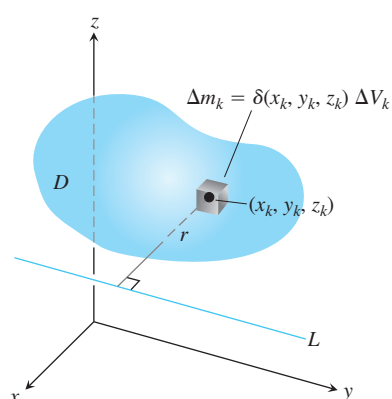
limitidir. Şimdi, eylemsizlik momenti için bir formül türetiyoruz. Eğer  $r(x, y, z)$ ,  $D$ 'deki bir  $(x, y, z)$  noktasından bir  $L$  doğrusuna olan uzaklık ise,  $\Delta m_k = \delta(x_k, y_k, z_k) \Delta V_k$  kütlesinin  $L$  etrafındaki eylemsizlik momenti (Şekil 15.32'te gösterilmektedir) yaklaşık olarak  $\Delta I_k = r^2(x_k, y_k, z_k) \Delta m_k$ 'dır. Bütün cismin  **$L$  etrafındaki eylemsizlik momenti**

$$I_L = \lim_{n \rightarrow \infty} \sum_{k=1}^n \Delta I_k = \lim_{n \rightarrow \infty} \sum_{k=1}^n r^2(x_k, y_k, z_k) \delta(x_k, y_k, z_k) \Delta V_k = \iiint_D r^2 \delta dV$$

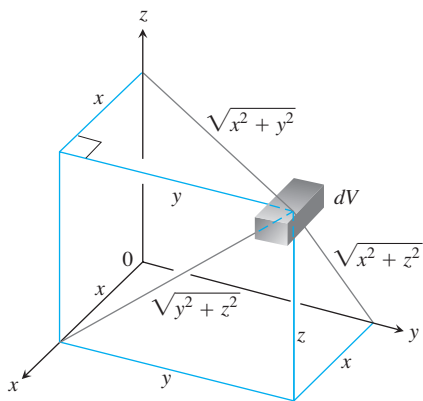
olur.  $L$ ,  $x$ -eksenile ise,  $r^2 = y^2 + z^2$  dir (Şekil 15.33) ve

$$I_x = \iiint_D (y^2 + z^2) \delta dV$$

olur.



**ŞEKİL 15.32** Bir cismin kütlesini ve bir doğru etrafındaki eylemsizlik momentini tanımlamak için, önce cismin sonlu sayıda  $\Delta m_k$  kütle elemanına bölündüğünü düşünürüz.



**ŞEKİL 15.33**  $dV$ den koordinat düzlem ve eksenlerine uzaklıklar.

Aynı şekilde  $L$ ,  $y$ -ekseni veya  $z$ -ekseni ise

$$I_y = \iiint_D (x^2 + z^2) \delta \, dV \quad \text{ve} \quad I_z = \iiint_D (x^2 + y^2) \delta \, dV.$$

buluruz. Aynı şekilde, **koordinat düzlemlerine göre birinci momentleri** de elde edebiliyoruz. Örneğin,

$$M_{yz} = \iiint_D x \delta(x, y, z) \, dV$$

integrali  $yz$ -düzleme göre birinci momenti verir.

Bölüm 15.2'de düzlemsel bölgeler için incelenen kütle ve moment formüllerine benzer formüller Tablo 15.3'te özetlenmiştir.

**TABLO 15.3** Uzayda, katı cisimler için kütle ve moment formülleri.

**Kütle:**  $M = \iiint_D \delta \, dV \quad (\delta = \delta(x, y, z) = \text{yoğunluk})$

**Koordinat düzlemleri etrafında birinci momentler:**

$$M_{yz} = \iiint_D x \delta \, dV, \quad M_{xz} = \iiint_D y \delta \, dV, \quad M_{xy} = \iiint_D z \delta \, dV$$

**Ağırlık merkezi:**

$$\bar{x} = \frac{M_{yz}}{M}, \quad \bar{y} = \frac{M_{xz}}{M}, \quad \bar{z} = \frac{M_{xy}}{M}$$

**Koordinat eksenleri etrafında eylemsizlik momentleri (ikinci momentler):**

$$I_x = \iiint_D (y^2 + z^2) \delta \, dV$$

$$I_y = \iiint_D (x^2 + z^2) \delta \, dV$$

$$I_z = \iiint_D (x^2 + y^2) \delta \, dV$$

**Bir  $L$  doğrusu etrafında eylemsizlik momenti:**

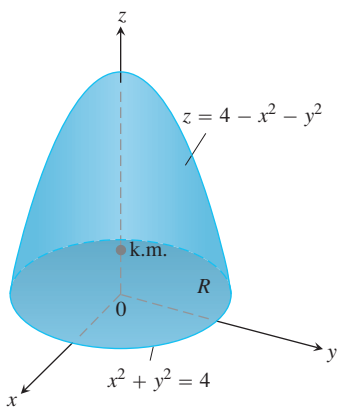
$$I_L = \iiint_D r^2 \delta \, dV \quad (r(x, y, z) = (x, y, z) \text{ noktalarından } L \text{ doğrusuna olan uzaklık})$$

**Bir  $L$  doğrusu etrafında jirasyon yarıçapı:**

$$R_L = \sqrt{I_L/M}$$

### ÖRNEK 1 Uzayda Bir Cismin Kütle Merkezini Bulmak

Altın,  $z = 0$  düzleminde  $R: x^2 + y^2 \leq 4$  dairesi ve üstten  $z = 4 - x^2 - y^2$  paraboloidiyle sınırlı, sabit  $\delta$  yoğunluklu cismin kütle merkezini bulun (Şekil 15.34).



**ŞEKİL 15.34** Bir cismin kütle merkezini bulmak (Örnek 1).

**Çözüm** Simetriden dolayı,  $\bar{x} = \bar{y} = 0$ 'dır.  $\bar{z}$ 'yi bulmak için, önce  $M_{xy}$ 'yi hesaplarız:

$$\begin{aligned} M_{xy} &= \iiint_R^{z=4-x^2-y^2} z \delta \, dz \, dy \, dx = \iint_R \left[ \frac{z^2}{2} \right]_{z=0}^{z=4-x^2-y^2} \delta \, dy \, dx \\ &= \frac{\delta}{2} \iint_R (4 - x^2 - y^2)^2 \, dy \, dx \\ &= \frac{\delta}{2} \int_0^{2\pi} \int_0^2 (4 - r^2)^2 r \, dr \, d\theta \quad \text{Kutupsal koordinatlar} \\ &= \frac{\delta}{2} \int_0^{2\pi} \left[ -\frac{1}{6} (4 - r^2)^3 \right]_{r=0}^{r=2} d\theta = \frac{16\delta}{3} \int_0^{2\pi} d\theta = \frac{32\pi\delta}{3}. \end{aligned}$$

Benzer bir hesaplama

$$M = \iiint_R^{4-x^2-y^2} \delta \, dz \, dy \, dx = 8\pi\delta.$$

verir. Dolayısıyla,  $\bar{z} = (M_{xy}/M) = 4/3$  olur ve kütle merkezi  $(\bar{x}, \bar{y}, \bar{z}) = (0, 0, 4/3)$  bulunur. ■

Katı bir cismin yoğunluğu sabitken (Örnek 1'deki gibi), kütle merkezine (Bölüm 15.2'deki iki boyutlu cisimlerde olduğu gibi) cismin **merkezi** denir.

### ÖRNEK 2 Koordinat Eksenleri Etrafındaki Eylemsizlik Momentini Bulmak

Şekil 15.35'de gösterilen, sabit  $\delta$  yoğunluklu dikdörtgen şekilli cisim için  $I_x$ ,  $I_y$  ve  $I_z$ 'yi bulun.

**Çözüm** Yukarıda verilen  $I_x$  formülü

$$I_x = \int_{-c/2}^{c/2} \int_{-b/2}^{b/2} \int_{-a/2}^{a/2} (y^2 + z^2) \delta \, dx \, dy \, dz.$$

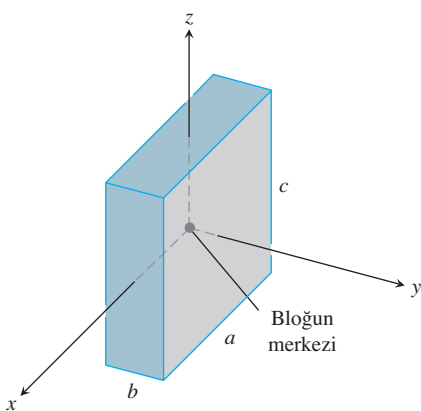
verir.  $(y^2 + z^2)\delta$ 'nin  $x$ ,  $y$  ve  $z$ 'nin bir çift fonksiyonu olduğunu gözlemlersek, integrasyon işinin birazından kurtulabiliriz. Dikdörtgen şekilli cisim, her biri bir bölgede olmak üzere, sekiz simetrik parçadan oluşur. İntegrali bu parçalardan biri üzerinde hesaplayabiliriz ve toplam değeri bulmak için 8 ile çarpabiliriz:

$$\begin{aligned} I_x &= 8 \int_0^{c/2} \int_0^{b/2} \int_0^{a/2} (y^2 + z^2) \delta \, dx \, dy \, dz = 4a\delta \int_0^{c/2} \int_0^{b/2} (y^2 + z^2) \, dy \, dz \\ &= 4a\delta \int_0^{c/2} \left[ \frac{y^3}{3} + z^2 y \right]_{y=0}^{y=b/2} dz \\ &= 4a\delta \int_0^{c/2} \left( \frac{b^3}{24} + \frac{z^2 b}{2} \right) dz \\ &= 4a\delta \left( \frac{b^3 c}{48} + \frac{c^3 b}{48} \right) = \frac{abc\delta}{12} (b^2 + c^2) = \frac{M}{12} (b^2 + c^2) \end{aligned}$$

Aynı şekilde,

$$I_y = \frac{M}{12} (a^2 + c^2) \quad \text{ve} \quad I_z = \frac{M}{12} (a^2 + b^2)$$

olur. ■



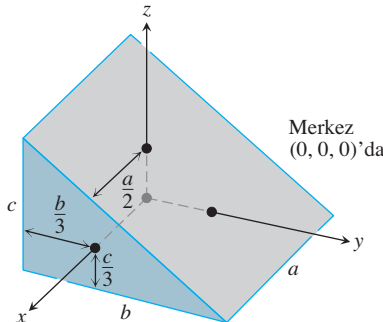
**ŞEKİL 15.35** Buradaki blok için  $I_x$ ,  $I_y$  ve  $I_z$ 'yi bulmak. Orijin bloğun merkezindedir (Örnek 2).

## ALIŞTIRMALAR 15.5

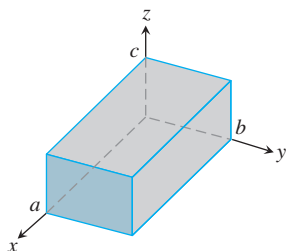
### Sabit Yoğunluk

1–12 alıştırmalarındaki cisimlerin hepsinin yoğunluğu sabit ve  $\delta = 1$ 'dır.

- (Örnek 1 Tekrar)** Tablo 15.3'teki  $I_x$  integralini doğrudan çözerek, Örnek 2'deki kısa yolun aynı sonucu verdiği gösterin. Örnek 2'deki sonuçları kullanarak dikdörtgen şekilli cismin her koordinat ekseni etrafındaki jirasyon yarıçapını bulun.
- Eylemsizlik momenti** Şekilde bulunan koordinat eksenleri, bir takozun merkezinden adlandırılmış kenarlara paralel olarak geçer.  $a = b = 6$  ve  $c = 4$  ise,  $I_x$ ,  $I_y$  ve  $I_z$ 'yi bulun.



- Eylemsizlik momenti**  $I_x$ ,  $I_y$  ve  $I_z$ 'yi hesaplayarak, aşağıda gösterilen cismin kenarlarına göre eylemsizlik momentlerini bulun.

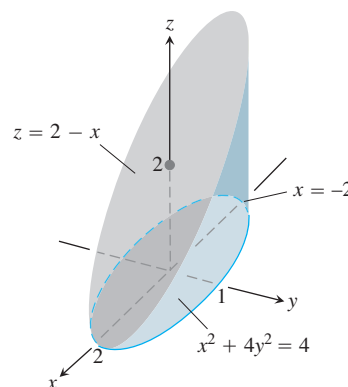


- Kütle merkezi ve eylemsizlik momentleri** Kenarları  $(0, 0, 0)$ ,  $(1, 0, 0)$ ,  $(0, 1, 0)$  ve  $(0, 0, 1)$ 'de olan dört yüzünün merkezini ve  $I_x$ ,  $I_y$  ve  $I_z$  eylemsizlik momentlerini bulun.
- Jirasyon yarıçapı** Dört yüzünün  $x$ -ekseni etrafındaki jirasyon yarıçapını bulun. Bunu merkezden  $x$ -eksenine olan uzaklıkla karşılaştırın.
- Kütle merkezi ve eylemsizlik momentleri** Sabit yoğunluklu katı bir "oluk" alttan  $z = 4y^2$  yüzeyi, üstten  $z = 4$  düzleme ve yanlardan  $x = 1$  ve  $x = -1$  düzlemleriyle sınırlıdır. Kütle merkezini ve üç eksene göre eylemsizlik momentlerini bulun.
- Kütle merkezi** Sabit yoğunluklu bir cisim alttan  $z = 0$  düzleme, yanlardan  $x^2 + 4y^2 = 4$  eliptik silindiri ve üstten  $z = 2 - x$  düzlemeyle sınırlıdır (şekle bakın).
  - $\bar{x}$  ve  $\bar{y}$ 'yi bulun.

- Son integrasyonu  $x$ 'e göre yapmak için integral tablosunu kullanarak,

$$M_{xy} = \int_{-2}^2 \int_{-(1/2)\sqrt{4-x^2}}^{(1/2)\sqrt{4-x^2}} \int_0^{2-x} z \, dz \, dy \, dx$$

integralini hesaplayın. Sonra  $M_{xy}$ 'yi  $M$ 'ye bölgerek,  $\bar{z} = 5/4$  olduğunu doğrulayın.



- Kütle merkezi** Altta  $z = x^2 + y^2$  paraboloidi ve üstten  $z = 4$  düzlemeyle sınırlı sabit yoğunluklu cismin kütle merkezini bulun.
- Cismi eşit hacimli iki kısma bölen  $z = c$  düzlemini bulun. Bu düzlem kütle merkezinden geçmez.
- Momentler ve jirasyon yarıçapı** Bir kenarı 2 birim olan bir küp  $x = \pm 1$ ,  $z = \pm 1$ ,  $y = 3$  ve  $y = 5$  düzlemleriyle sınırlıdır. Kütle merkezini ve koordinat eksenleri etrafındaki eylemsizlik momentleriyle jirasyon yarıçaplarını bulun.
- Eylemsizlik momenti ve bir doğruya göre jirasyon yarıçapı** Alıştırma 2'deki gibi bir takoz için  $a = 4$ ,  $b = 6$  ve  $c = 3$ 'tür. Takozun tipik bir  $(x, y, z)$  noktasından bir  $L$ :  $z = 0$ ,  $y = 6$  doğrusuna olan uzaklığın karesinin  $r^2 = (y - 6)^2 + z^2$  olduğunu kontrol etmek için bir çizim yapın. Sonra takozun  $L$  etrafındaki eylemsizlik momentini ve jirasyon yarıçapını bulun.
- Eylemsizlik momenti ve bir doğruya göre jirasyon yarıçapı** Alıştırma 2'deki gibi bir takoz için  $a = 4$ ,  $b = 6$  ve  $c = 3$ 'tür. Takozun tipik bir  $(x, y, z)$  noktasından bir  $L$ :  $x = 4$ ,  $y = 0$  doğrusuna olan uzaklığın karesinin  $r^2 = (x - 4)^2 + y^2$  olduğunu kontrol etmek için bir çizim yapın. Sonra takozun  $L$  etrafındaki eylemsizlik momentini ve jirasyon yarıçapını bulun.
- Eylemsizlik momenti ve bir doğruya göre jirasyon yarıçapı** Alıştırma 3'teki gibi bir cisim için  $a = 4$ ,  $b = 2$  ve  $c = 1$ 'dir. Cismin tipik bir  $(x, y, z)$  noktasından bir  $L$ :  $y = 2$ ,  $z = 0$  doğrusuna olan uzaklığın karesinin  $r^2 = (y - 2)^2 + z^2$  olduğunu kontrol etmek için bir çizim yapın. Sonra cismin  $L$  etrafındaki eylemsizlik momentini ve jirasyon yarıçapını bulun.

- 12. Eylemsizlik momenti ve bir doğruya göre jirasyon yarıçapı**  
Alıştırma 3'teki gibi bir cisim için  $a = 4$ ,  $b = 2$  ve  $c = 1$ 'dir. Cismin tipik bir  $(x, y, z)$  noktasından bir  $L$ :  $x = 4$ ,  $y = 0$  doğrusuna olan uzaklığın karesinin  $r^2 = (x - 4)^2 + y^2$  olduğunu kontrol etmek için bir çizim yapın. Sonra cismin  $L$  etrafındaki eylemsizlik momentini ve jirasyon yarıçapını bulun.

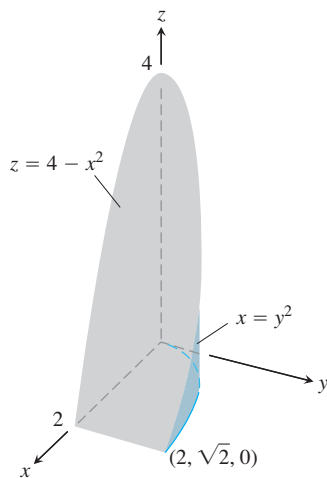
### Değişken Yoğunluk

13 ve 14 alıştırmalarında, cismin

- hacmini
- kütle merkezini

bulun.

13. Birinci sekizde bir bölgede koordinat düzlemleri ve  $x + y + z = 2$  düzlemiyle sınırlı cisim. Cismin yoğunluğu  $\delta(x, y, z) = 2x$ 'tir.
14. Birinci sekizde bir bölgedeki bir cisim  $y = 0$  ve  $z = 0$  düzlemleri ile  $z = 4 - x^2$  ve  $x = y^2$  yüzeyleri tarafından sınırlanmıştır (şekle bakın). Yoğunluk fonksiyonu  $\delta(x, y, z) = kxy$ 'dır.



15 ve 16 alıştırmalarında aşağıdakileri bulun

- cismin kütlesini
- kütle merkezini
- koordinat eksenleri etrafındaki eylemsizlik momentlerini
- koordinat eksenleri etrafındaki jirasyon yarıçaplarını

15. Birinci sekizde bir bölgedeki bir küp koordinat düzlemleri ve  $x = 1$ ,  $y = 1$ ,  $z = 1$  düzlemleriyle sınırlıdır. Kübün yoğunluğu  $\delta(x, y, z) = x + y + z + 1$ 'dir.
16. Alıştırma 2'deki gibi bir takozun boyutları  $a = 2$ ,  $b = 6$  ve  $c = 3$ 'tür. Yoğunluk  $\delta(x, y, z) = x + 1$ 'dir. Yoğunluk sabitse, kütle merkezinin  $(0, 0, 0)$  olacağına dikkat edin.
17. Kütle  $x + z = 1$ ,  $x - z = -1$ ,  $y = 0$  düzlemleri ve  $y = \sqrt{z}$  yüzeyiyle sınırlı cismin kütlesini bulun. Cismin yoğunluğu  $\delta(x, y, z) = 2y + 5$ 'tir.

18. Kütle  $z = 16 - 2x^2 - 2y^2$  ve  $z = 2x^2 + 2y^2$  parabolik yüzeyleriyle sınırlı cismin hacmini bulun. Cismin yoğunluğu  $\delta(x, y, z) = \sqrt{x^2 + y^2}$ 'dir.

### İş

19 ve 20 alıştırmalarında, aşağıdakileri hesaplayın.

- Kapta bulunan sıvayı  $xy$ -düzlemine çıkartmak için (sabit) yerçekimi  $g$  tarafından yapılan işi bulun (*İpucu:* Kaptaki sıvayı küçük  $\Delta V_i$  hacim elemanlarına böln ve her eleman üzerinde yerçekiminin yaptığı işi bulun. Toplama ve limite geçiş hesaplanacak üç katlı bir integral verir).

- Kütle merkezini  $xy$ -düzlemine indirmek için yerçekimi tarafından yapılan iş.

19. Kap, birinci sekizde bir bölgede koordinat düzlemleri ve  $x = 1$ ,  $y = 1$  ve  $z = 1$  düzlemleriyle sınırlı kübik kutudur. Kutuyu dolduran sıvinin yoğunluğu  $\delta(x, y, z) = x + y + z + 1$ 'dir (Alıştırma 15'e bakın).

20. Kap,  $y = 0$ ,  $z = 0$ ,  $z = 4 - x^2$  ve  $x = y^2$  ile sınırlı bölgenin şeklindedir. Bölgeyi dolduran sıvinin yoğunluğu  $\delta(x, y, z) = kxy$ 'dir,  $k$  bir sabit (Alıştırma 14'e bakın).

### Paralel Eksen Teoremi

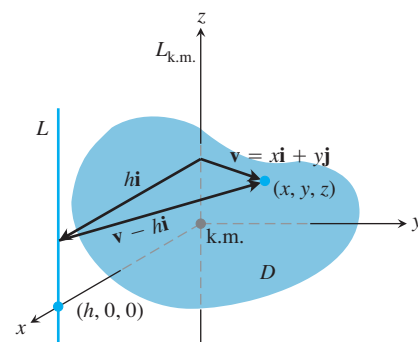
Paralel Eksen Teoremi (Alıştırmalar 15.2) iki boyut gibi, üç boyutta da geçerlidir.  $L_{k.m.}$ ,  $m$  küteli bir cismin kütle merkezinden geçen doğru ve  $L$ 'de  $L_{k.m.}$ 'den  $h$  birim uzaklıktaki bir doğru olsun. **Paralel Eksen Teoremi** cismin  $L_{k.m.}$  ve  $L$  etrafındaki eylemsizlik momentleri  $I_{k.m.}$  ve  $I_L$ 'nin

$$I_L = I_{k.m.} + mh^2 \quad (1)$$

denklemini sağladığını söyler. İki boyutlu durumda olduğu gibi, teorem bir moment ve kütle bilindiğinde diğer momentini hesaplamadan kolay bir yolunu verir.

### 21. Paralel Eksen Teoreminin ispatı

- Uzaydaki bir cismin merkezinden geçen herhangi bir düzlem etrafındaki birinci momentin sıfır olduğunu gösterin (*İpucu:* Cismin kütle merkezini orijine koyn ve düzleme  $yz$ -düzlemi olarak alın. Bu durumda,  $\bar{x} = M_{yz}/M$  denklemi size ne söyler?).



- b. Paralel Eksen Teoremini ispatlamak için, cismin kütle merkezini,  $L_{k.m.}$  doğrusu  $z$ -ekseninde ve  $L$  doğrusu  $xy$ -düzlemine  $(h, 0, 0)$ 'da dik olmak üzere, orijine yerleştirin.  $D$ , uzayda cismin kapladığı bölge olsun. Bu durumda, cismin gösterimiyle,

$$I_L = \iiint_D |\mathbf{v} - h\mathbf{i}|^2 dm$$

olur. Bu integraldeki integrandı açın ve ispatı tamamlayın.

22. Sabit yoğunluklu ve  $a$  yarıçaplı bir katı kürenin çapı etrafındaki eylemsizlik momenti,  $m$  kürenin kütlesi olmak üzere,  $(2/5)ma^2$ 'dir. Küreye teget bir doğru etrafındaki eylemsizlik momentini bulun.
23. Alıştırma 3'teki cismin  $z$ -ekseni etrafındaki eylemsizlik momenti  $I_z = abc(a^2 + b^2)/3$ 'tür.
- a. (1) denklemini kullanarak cismin, cismin kütte merkezinden  $z$ -eksenine paralel geçen doğrunun etrafındaki eylemsizlik momentini ve jirasyon yarıçapını bulun.
- b. (1) denklemini ve (a) şıklındaki sonucu kullanarak, cismin  $x = 0, y = 2b$  doğrusu etrafındaki eylemsizlik momenti ve jirasyon yarıçapını bulun.
24.  $a = b = 6$  ve  $c = 4$  ise, alıştırma 2'deki takozun  $x$ -ekseni etrafındaki eylemsizlik momenti  $I_x = 208$ 'dır. Takozun  $y = 4, z = -4/3$  doğrusu (takozun kısa tarafı) etrafındaki eylemsizlik momentini bulun.

### Pappus Formülü

Pappus formülü (Alıştırmalar 15.2) iki boyut gibi üç boyutta da geçerlidir.  $m_1$  ve  $m_2$  kütleyeli  $B_1$  ve  $B_2$  cisimlerinin uzayda üst üste binmeyen bölgeleri kapladıklarını ve  $\mathbf{c}_1$  ile  $\mathbf{c}_2$ 'nın orijinden cisimlerin kütte merkezlerine olan vektörler olduğunu varsayıncı. Bu durumda iki cismin bileşimi  $B_1 \cup B_2$ 'nin kütte merkezi

$$\mathbf{c} = \frac{m_1 \mathbf{c}_1 + m_2 \mathbf{c}_2}{m_1 + m_2}$$

vektörü ile belirlenir. Daha önce olduğu gibi, bu formüle **Pappus formülü** denir. İki boyutlu halde olduğu gibi  $n$  cisim için formül

$$\mathbf{c} = \frac{m_1 \mathbf{c}_1 + m_2 \mathbf{c}_2 + \cdots + m_n \mathbf{c}_n}{m_1 + m_2 + \cdots + m_n}$$

haline genelleştir.

25. Pappus formülünü türetin (*İpucu:  $B_1$  ve  $B_2$  yi birinci sekizde bir bölgede üst üste binmeyen bölgeler olarak çizin ve kütte merkezleri  $(\bar{x}_1, \bar{y}_1, \bar{z}_1)$  ve  $(\bar{x}_2, \bar{y}_2, \bar{z}_2)$ 'yi belirtin.  $B_1 \cup B_2$ 'nin koordinat düzlemleri etrafındaki momentlerini  $m_1$  ve  $m_2$  kütleyeleri ile bu merkezlerin koordinatları cinsinden ifade edin.*)

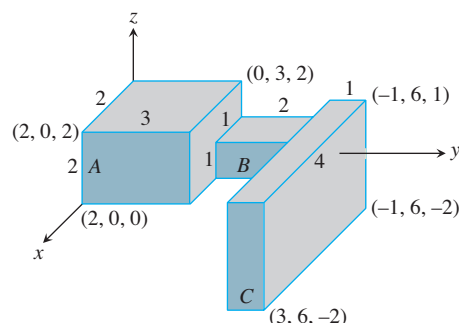
26. Aşağıdaki sabit  $\delta = 1$  yoğunluklu üç tane dikdörtgen şekilli cisimden yapılmış bir cismi göstermektedir. Aşağıdakilerin kütte merkezlerini bulmak için Pappus formülü kullanın.

a.  $A \cup B$

c.  $B \cup C$

b.  $A \cup C$

d.  $A \cup B \cup C$



27. a. Taban yarıçapı  $a$  ve yüksekliği  $h$  olan dik bir  $C$  konisinin,  $a$  yarıçaplı bir  $S$  yarı karesinin dairesel tabanı üzerine, iki cismin bileşiminin bir dondurma külâhına benzeyebileceğinde kurulduğunu varsayıncı. Koninin kütte merkezi tabandan tepeye olan uzaklığın dörtte biri uzaklığında bulunmaktadır. Yarı kärenin merkezi, tabandan tepeye olan uzaklığın sekizde üçündür.  $C \cup S$  bileşiminin merkezini iki cismin ortak tabanına yerleştirmek için  $a$  ile  $h$  arasındaki ilişki ne olmalıdır?

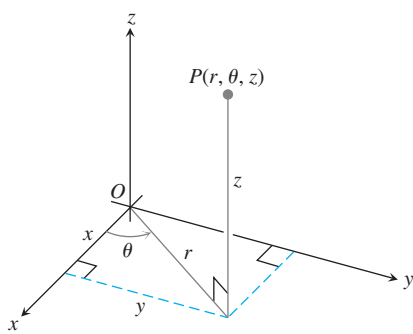
- b. Şimdiye kadar yapmadığınız, buna benzer olan bir üçgen ve bir yarı daire sorusunu (Bölüm 15.2, Alıştırma 55) yanıtlayın. Yanıtlar aynı değildir.

28.  $h$  yükseklikli ve dört eş kenarlı bir  $P$  kare piramidinin tabanı kenarlarının uzunluğu  $s$  olan bir  $C$  kübü'nün bir yüzü üzerine kurulmuştur. Piramidin merkezi, tabandan tepe noktasına olan uzaklığın dörtte birindedir.  $P \cup C$ 'nin merkezini piramidin tabanına yerleştirmek için  $h$  ile  $s$  arasındaki ilişki ne olmalıdır? Yanınızı Alıştırma 27'nin yanıtıyla karşılaştırın. Ayrıca Bölüm 15.2'deki Alıştırma 56'nın yanıtıyla da karşılaştırın.

## 15.6

### Silindirik ve Küresel Koordinatlarda Üç Katlı İntegraler

Fizik, mühendislik veya geometrideki bir hesaplama, bir silindir, bir koni veya bir küre içeriyorsa, bu bölümde tanıtacağımız silindirik veya küresel koordinatlar kullanarak genellikle işimizi kolaylaştırabiliriz. Bu koordinatlara dönüştürme ve elde edilen üç katlı integrali hesaplama işlemi Bölüm 15.3'te incelenen, düzlemede kutupsal koordinatlara dönüştürmeye benzerdir.



**ŞEKİL 15.36** Uzayda bir noktanın silindirik koordinatları  $r$ ,  $\theta$  ve  $z$  dir.

### Silindirik Koordinatlarda İntegrasyon

Üç boyutlu uzay için silindirik koordinatları,  $xy$ -düzlemindeki kutupsal koordinatları bilinen  $z$ -ekseni ile birleştirerek elde ederiz. Bu, Şekil 15.36'da gösterildiği gibi, uzaydaki her noktaya  $(r, \theta, z)$  formunda bir veya daha fazla koordinat üçlüsü karşılık getirir.

#### TANIM Silindirik Koordinatlar

**Silindirik koordinatlar**  $(r, \theta, z)$  sıralı üçlüleri ile uzayda bir  $P$  noktasını temsil ederler. Burada,

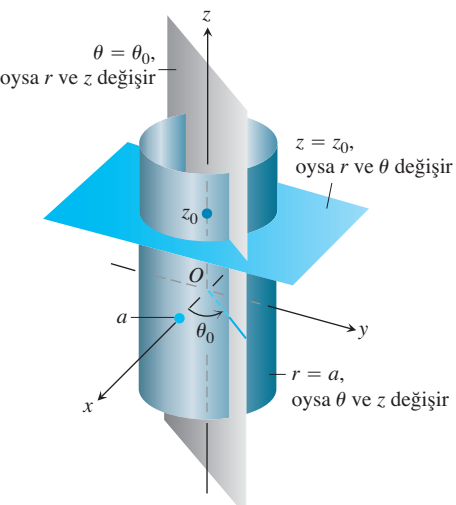
1.  $r$  ve  $\theta$ ,  $P$ 'nin  $xy$ -düzlemine dik izdüşümünün kutupsal koordinatlarıdır.
2.  $z$  kartezyen dikey koordinattır.

Kartezyen ve kutupsal koordinatlardaki  $x$ ,  $y$ ,  $r$  ve  $\theta$  değerleri

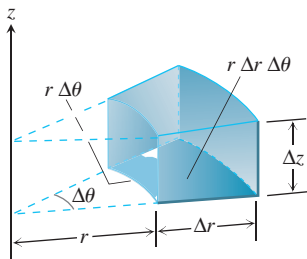
#### Kartezyen $(x, y, z)$ ve Silindirik $(r, \theta, z)$ Koordinatlarını Bağlayan Denklemler

$$\begin{aligned} x &= r \cos \theta, & y &= r \sin \theta, & z &= z, \\ r^2 &= x^2 + y^2, & \tan \theta &= y/x \end{aligned}$$

Silindirik koordinatlarda,  $r = a$  denklemi sadece  $xy$ -düzleminde bir çember değil,  $z$ -ekseni etrafında bir tam silindir tanımlar (Şekil 15.37).  $z$ -ekseni  $r = 0$  ile verilir.  $\theta = \theta_0$  denklemi,  $z$ -eksenini içeren ve pozitif  $x$ -ekseni ile  $\theta_0$  açısını yapan düzleme tanımlar. Ve, aynı kartezyen koordinatlarda olduğu gibi,  $z = z_0$  denklemi  $z$ -eksenine dik bir düzleme tanımlar.



**ŞEKİL 15.37** Silindirik koordinatlarda sabit-koordinat denklemleri silindirler ve düzlemler verirler.



**ŞEKİL 15.38** Silindirik koordinatlarda takozun hacmine  $\Delta V = \Delta z r \Delta r \Delta \theta$  çarpımı ile yaklaşılır.

Silindirik koordinatlar, eksenleri  $z$ -ekseni boyunca uzanan silindirleri ve  $z$ -eksenini içeren veya  $z$ -eksenine dik olan düzlemleri tanımlamada iyidir. Bu gibi yüzeylerin sabit koordinat değerli denklemeleri vardır:

$$\begin{aligned} r &= 4 && \text{Silindir, yarıçap } 4, \text{ eksen } z\text{-ekseni} \\ \theta &= \frac{\pi}{3} && z\text{-eksenini içeren düzlemler} \\ z &= 2 && z\text{-eksenine dik düzlemler} \end{aligned}$$

Silindirik koordinatlarda bir  $D$  bölgesi üzerinde bir üç katlı integral hesaplarken, bölgeli dikdörtgensel kutular yerine,  $n$  tane küçük silindirik takoz'a böleriz. Böylece,  $k$ . silindirik takozda  $r$ ,  $\theta$  ve  $z$  değerleri  $\Delta r_k$ ,  $\Delta \theta_k$  ve  $\Delta z_k$  kadar değişir. Bütün silindirik takozlar arasında, bu sayıların en büyüğüne bölünüşün normu denir. Üç katlı integrali, bu takozları kullanan Riemann toplamlarının bir limiti olarak tanımlarız. Böyle bir silindirik takozun  $\Delta V_k$  hacmi, takozun  $r\theta$ -düzlemindeki tabanının  $\Delta A_k$  alanı ile  $\Delta z$  yüksekliğinin çarpımı alınarak elde edilir (Şekil 15.38).

Kutupsal koordinatlarda,  $(r_k, \theta_k, z_k)$  noktası  $k$ . takozun merkezi olmak üzere,  $\Delta A_k = r_k \Delta r_k \Delta \theta_k$  olduğunu hesapladık. Böylece,  $\Delta V_k = \Delta z_k r_k \Delta r_k \Delta \theta_k$  ve  $D$  bölgesi üzerinde  $f$ 'nin bir Riemann toplamının formu

$$S_n = \sum_{k=1}^n f(r_k, \theta_k, z_k) \Delta z_k r_k \Delta r_k \Delta \theta_k$$

şeklindedir. Bir  $f$  fonksiyonunun  $D$  üzerindeki üç katlı integrali, normu sıfır yaklaşılan bölünüşler üzerinde Riemann toplamlarının limiti alarak elde edilir.

$$\lim_{n \rightarrow \infty} S_n = \iiint_D f \, dV = \iiint_D f \, dz \, r \, dr \, d\theta$$

Böylece, silindirik koordinatlarda üç katlı integraller, sıradaki örnekte olduğu gibi, ardışık integraller olarak hesaplanır.

### ÖRNEK 1 Silindirik Koordinatlarda İntegrasyon Sınırlarını Bulmak

Bir  $f(r, \theta, z)$  fonksiyonunu alttan  $z = 0$  düzlemi, yanlardan  $x^2 + (y - 1)^2 = 1$  silindiri ve üstten  $z = x^2 + y^2$  paraboloidiyle sınırlı  $D$  bölgesinde silindirik koordinatlarda integre etmek için integrasyon sınırlarını bulun.

**Çözüm**  $D$ 'nin tabanı, aynı zamanda bölgenin  $xy$ -düzlemi üzerindeki izdüşümü olan  $R$ 'dır.  $R$ 'nin sınırı  $x^2 + (y - 1)^2 = 1$  dir. Kutupsal denklemi

$$x^2 + (y - 1)^2 = 1$$

$$x^2 + y^2 - 2y + 1 = 1$$

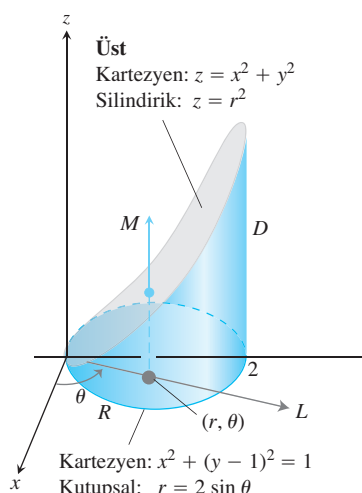
$$r^2 - 2r \sin \theta = 0$$

$$r = 2 \sin \theta$$

olur. Bölge, Şekil 15.39'da çizilmiştir.

İntegrasyonun sınırlarını,  $z$ 'nin sınırları ile başlayarak buluruz.  $R$ 'deki tipik bir  $(r, \theta)$  noktasından geçen ve  $z$ -eksenine paralel olan bir  $M$  doğrusu  $D$ 'ye  $z = 0$ 'dan girer ve  $z = x^2 + y^2 = r^2$ den çıkar.

Sonra integrasyonun  $r$ -sınırlarını buluruz. Orijinden gelip  $(r, \theta)$ 'dan geçen bir  $L$  ışını  $R$ 'ye  $r = 0$ 'dan girer ve  $r = 2 \sin \theta$ 'dan çıkar.



**ŞEKİL 15.39** Silindirik koordinatlarda bir integral hesaplamak için integrasyon sınırlarını bulmak (Örnek 1).

Son olarak integrasyonun  $\theta$ -sınırlarını buluruz.  $L$ ’ı  $R$ ’yi tararken, pozitif  $x$ -ekseniyle yaptığı  $\theta$  açısı  $\theta = 0$ ’dan  $\theta = \pi$ ’ye gider. İntegral

$$\iiint_D f(r, \theta, z) dV = \int_0^\pi \int_0^{2\sin\theta} \int_0^{r^2} f(r, \theta, z) dz r dr d\theta$$

olarak bulunur. ■

Örnek 1, silindirik koordinatlarda integrasyon sınırlarını bulmanın iyi bir örneğini oluşturur. Prosedür aşağıdaki şekilde özetlenmiştir.

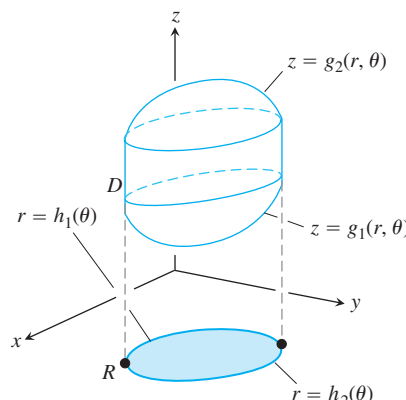
### Silindirik Koordinatlarda Nasıl İntegral Alınır

Uzayda bir  $D$  bölgesinde, silindirik koordinatlarda önce  $z$ ’ye, sonra  $r$ ’ye, en son da  $\theta$ ’ya göre integral alarak

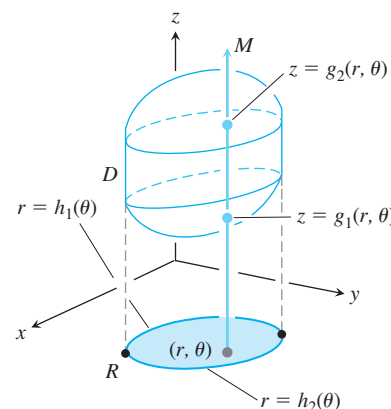
$$\iiint_D f(r, \theta, z) dV$$

integralini hesaplamak için, aşağıdaki adımları izleyin.

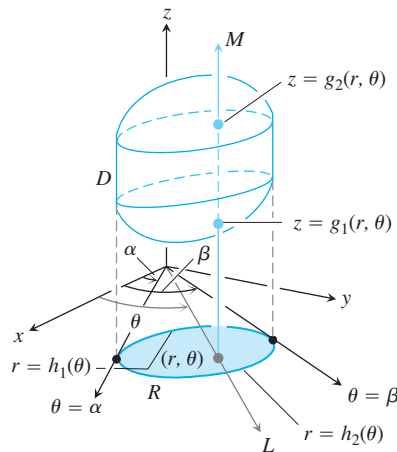
1. Bir çizim.  $D$  bölgesini,  $xy$ -düzlemi üzerinde izdüşümü  $R$  ile birlikte çizin.  $D$  ve  $R$ ’yı sınırlayan düzlem ve egrileri adlandırın.



2. Integrasyonun  $z$ -sınırları.  $R$ ’nin tipik bir  $(r, \theta)$  noktasından geçen ve  $z$ -eksenine平行 olan bir  $M$  doğrusu çizin.  $z$  artarken,  $M$ ,  $D$ ’ye  $z = g_1(r, \theta)$ ’da girer ve  $z = g_2(r, \theta)$ ’da çıkar. Bunlar integrasyonun  $z$ -sınırlarıdır.



3. *İntegrasyonun r-sınırları.* Orijinden gelerek  $(r, \theta)$ 'dan geçen bir  $L$  işini çizin. İşin,  $R$ 'ye  $r = h_1(\theta)$ 'dan girer ve  $r = h_2(\theta)$ 'dan çıkar. Bunlar integrasyonun  $r$ -sınırlarıdır.



4. *İntegrasyonun theta-sınırları.*  $L$  işini  $R$ 'ri tararken, pozitif  $x$ -ekseniyle yaptığı açı  $\theta = \alpha$ 'dan  $\theta = \beta$ 'ya gider. Bunlar integrasyonun  $\theta$ -sınırlarıdır. İntegral

$$\iiint_D f(r, \theta, z) dV = \int_{\theta=\alpha}^{\theta=\beta} \int_{r=h_1(\theta)}^{r=h_2(\theta)} \int_{z=g_1(r, \theta)}^{z=g_2(r, \theta)} f(r, \theta, z) dz r dr d\theta.$$

halini alır.

### ÖRNEK 2 Bir Ağırlık Merkezi Bulmak

$x^2 + y^2 = 4$  silindiriyle çevrelenen, üstten  $z = x^2 + y^2$  paraboloidi ve alttan  $xy$ -düzlemiyle sınırlı cismin merkezini ( $\delta = 1$ ) bulun.

**Cözüm** Üstten  $z = r^2$  paraboloidi, alttan  $z = 0$  düzlemiyle sınırlı bölgeyi çizeriz (Şekil 15.40). Cismin tabanı,  $R$ ,  $xy$ -düzlemindeki  $0 \leq r \leq 2$  dairesidir.

Cismin  $(\bar{x}, \bar{y}, \bar{z})$  merkezi simetri ekseninde, bu soruda  $z$ -ekseni, bulunur. Bu  $\bar{x} = \bar{y} = 0$  yapar.  $\bar{z}$ 'yi bulmak için, birinci moment  $M_{xy}$ 'yi  $M$ 'ye böleriz.

Kütle ve moment integrallerinin integrasyon sınırlarını bulmak için, dört temel adımı izleriz. Başlangıçtaki çizimimizle ilk adımı tamamladık. Kalan adımlar integrasyon sınırlarını verir.

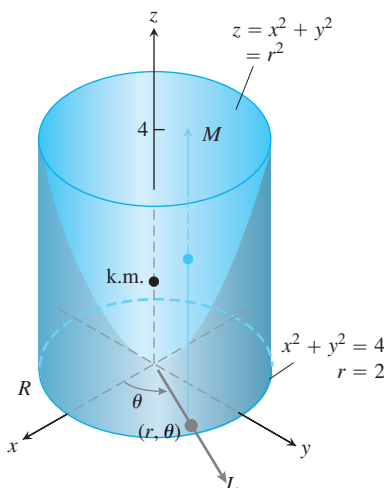
**$z$ -sinrları.** Tabanda tipik bir  $(r, \theta)$  noktasından geçen ve  $z$ -eksenine paralel olan bir  $M$  doğrusu cisime  $z = 0$ 'dan girer ve  $z = r^2$ 'den çıkar.

**$r$ -sinrları.** Orijinden gelerek  $(r, \theta)$ 'dan geçen bir  $L$  işini  $R$ 'ye  $r = 0$ 'dan girer ve  $r = 2$ 'den çıkar.

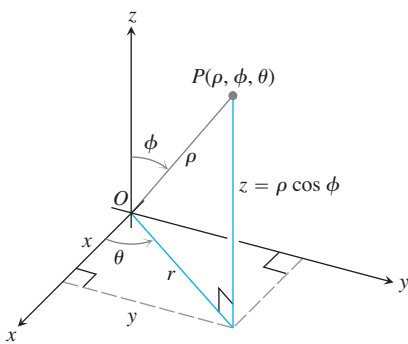
**$\theta$ -sinrları.**  $L$  işini, tabanı bir saat kolu gibi tararken, pozitif  $x$ -ekseniyle yaptığı  $\theta$  açısı  $\theta = 0$ 'dan  $\theta = 2\pi$ 'ye gider.  $M_{xy}$ 'nin değeri

$$\begin{aligned} M_{xy} &= \int_0^{2\pi} \int_0^2 \int_0^{r^2} z dz r dr d\theta = \int_0^{2\pi} \int_0^2 \left[ \frac{z^2}{2} \right]_0^{r^2} r dr d\theta \\ &= \int_0^{2\pi} \int_0^2 \frac{r^5}{2} dr d\theta = \int_0^{2\pi} \left[ \frac{r^6}{12} \right]_0^2 d\theta = \int_0^{2\pi} \frac{16}{3} d\theta = \frac{32\pi}{3}. \end{aligned}$$

olarak bulunur.



**SEKİL 15.40** Örnek 2, bu cismin ağırlık merkezinin nasıl bulunacağını göstermektedir.



**ŞEKİL 15.41** Küresel koordinatlar,  $\rho$ ,  $\phi$  ve  $\theta$  ve  $x$ ,  $y$ ,  $z$  ve  $r$  ile ilişkileri.

$M$ 'nin değeri ise,

$$\begin{aligned} M &= \int_0^{2\pi} \int_0^2 \int_0^{r^2} dz \, r \, dr \, d\theta = \int_0^{2\pi} \int_0^2 \left[ z \right]_0^{r^2} r \, dr \, d\theta \\ &= \int_0^{2\pi} \int_0^2 r^3 \, dr \, d\theta = \int_0^{2\pi} \left[ \frac{r^4}{4} \right]_0^2 d\theta = \int_0^{2\pi} 4 \, d\theta = 8\pi \end{aligned}$$

olur. Buradan

$$\bar{z} = \frac{M_{xy}}{M} = \frac{32\pi}{3} \frac{1}{8\pi} = \frac{4}{3}$$

bulunur ve merkez  $(0, 0, 4/3)$  olur. Merkezin, cismin dışında olduğunu dikkat edin. ■

### Küresel Koordinatlar ve İntegrasyon

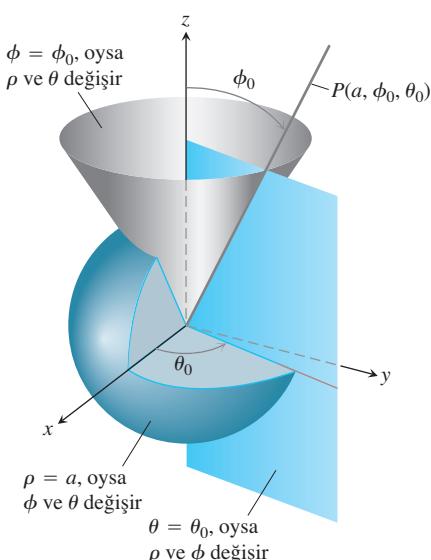
Küresel koordinatlar, uzayda noktaları, Şekil 15.41'de gösterildiği gibi, iki açı ve bir uzunlukla konumlandırır. Birinci koordinat,  $\rho = |\overrightarrow{OP}|$ , noktanın orijinden uzaklığdır.  $r$ 'nin tersine  $\rho$  değişkeni asla negatif olmaz. İkinci koordinat,  $\phi$ ,  $\overrightarrow{OP}$ 'nin pozitif  $z$ -ekseni ile yaptığı açıdır.  $[0, \pi]$  aralığında kalması gerekmektedir. Üçüncü koordinat, silindirik koordinatlardaki gibi ölçülen  $\theta$  açısıdır.

#### TANIM Küresel Koordinatlar

**Küresel Koordinatlar** uzayda bir  $P$  noktasını,

1.  $\rho$ ,  $P$ 'den orijine uzaklık.
2.  $\phi$ ,  $\overrightarrow{OP}$ 'nin pozitif  $z$ -ekseni ile yaptığı açı ( $0 \leq \phi \leq \pi$ )
3.  $\theta$ , silindirik koordinatlardaki açı

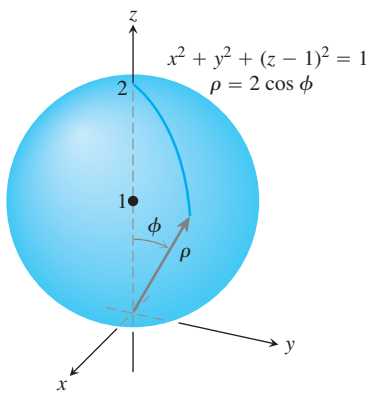
olmak üzere, sıralı  $(\rho, \phi, \theta)$  üçlüleri ile temsil eder.



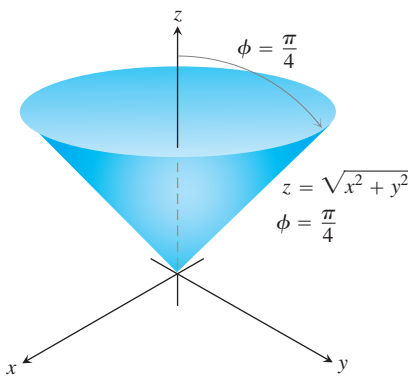
**ŞEKİL 15.42** Küresel koordinatlarda sabit-kordinat denklemleri, küreler, tek koniler ve yarı-düzlemler verirler.

#### Küresel Koordinatları Kartezyen Koordinatlara ve Silindirik Koordinatlara Bağlayan Denklemler

$$\begin{aligned} r &= \rho \sin \phi, & x &= r \cos \theta = \rho \sin \phi \cos \theta, \\ z &= \rho \cos \phi, & y &= r \sin \theta = \rho \sin \phi \sin \theta, \\ \rho &= \sqrt{x^2 + y^2 + z^2} = \sqrt{r^2 + z^2}. \end{aligned} \quad (1)$$



SEKİL 15.43 Örnek 3'teki küre.



SEKİL 15.44 Örnek 4'teki koni.

**ÖRNEK 3** Kartezyenden Küresel'e Dönüşürme

$x^2 + y^2 + (z - 1)^2 = 1$  küresi için bir küresel koordinat denklemi bulunuz.

**Çözüm**  $x, y$  ve  $z$ 'yi dönüştürmek için (1) denklemelerini kullanırız:

$$\begin{aligned} x^2 + y^2 + (z - 1)^2 &= 1 \\ \rho^2 \sin^2 \phi \cos^2 \theta + \rho^2 \sin^2 \phi \sin^2 \theta + (\rho \cos \phi - 1)^2 &= 1 \quad (1) \text{ Denklemeleri} \\ \rho^2 \sin^2 \phi (\cos^2 \theta + \sin^2 \theta) + \rho^2 \cos^2 \phi - 2\rho \cos \phi + 1 &= 1 \\ \rho^2 (\underbrace{\sin^2 \phi + \cos^2 \phi}_1) &= 2\rho \cos \phi \\ \rho^2 &= 2\rho \cos \phi \\ \rho &= 2 \cos \phi \end{aligned}$$

Şekil 15.43'e bakın. ■

**ÖRNEK 4** Kartezyenden Küresel'e Dönüşürme

$z = \sqrt{x^2 + y^2}$  konisi için bir küresel koordinat denklemi bulunuz (Şekil 15.44).

**Çözüm 1** *Geometri kullanın.* Koni,  $z$ -eksenine göre simetrik ve  $yz$ -düzleminin birinci bölgelerini  $z = y$  doğrusu boyunca keser. Bu nedenle, koni ile pozitif  $z$ -eksenin arasındaki açı  $\pi/4$  radyandır. Koni, küresel  $\phi$  koordinatı  $\pi/4$ 'e eşit olan noktalardan oluşur dolayısıyla denklemi  $\phi = \pi/4$ 'tür.

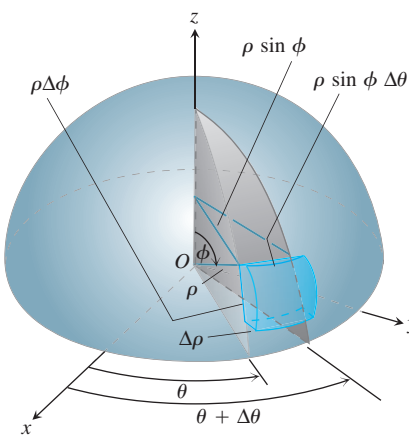
**Çözüm 2** *Çebir kullanın.*  $x, y$  ve  $z$ 'yi dönüştürmek için (1) denklemelerini kullanırsak aynı sonucu elde ederiz:

$$\begin{aligned} z &= \sqrt{x^2 + y^2} \\ \rho \cos \phi &= \sqrt{\rho^2 \sin^2 \phi} \quad \text{Örnek 3} \\ \rho \cos \phi &= \rho \sin \phi \quad \rho \geq 0, \sin \phi \geq 0 \\ \cos \phi &= \sin \phi \\ \phi &= \frac{\pi}{4} \quad 0 \leq \phi \leq \pi \end{aligned}$$

Küresel koordinatlar, merkezleri orijinde olan küreleri, kenarı  $z$ -eksenin etrafında dönen yarı düzlemleri ve tepe noktaları orijinde, eksenleri  $z$ -ekseninde olan konileri tanımlamakta yararlıdır. Bu gibi yüzeylerin sabit koordinat değerli denklemleri vardır:

$\rho = 4$	Küre, yarıçap 4, merkez orijinde
$\phi = \frac{\pi}{3}$	Orijinden yukarı açılan koni, pozitif $z$ -eksenile $\pi/3$ açısı yapar
$\theta = \frac{\pi}{3}$	$z$ -eksenin etrafında dönen yarı düzlem, pozitif $x$ -eksenile $\pi/3$ açısı yapar.

Küresel koordinatlarda, bir  $D$  bölgesi üzerinde üç katlı integral hesaplarken, bölgeyi  $n$  tane küresel takoza böleriz. Bir  $(\rho_k, \phi_k, \theta_k)$  noktasını içeren  $k$ . takozun ölçüsü,  $\rho, \theta$  ve  $\phi$ 'deki  $\Delta\rho_k, \Delta\theta_k$  ve  $\Delta\phi_k$  değişimleri ile verilir. Böyle bir takozun, bir kenarı, uzunluğu  $\rho_k \Delta\phi_k$  olan dairesel bir yay, diğer kenarı, uzunluğu  $\rho_k \sin \phi_k \Delta\theta_k$  olan dairesel bir yay ve



**ŞEKİL 15.45** Küresel koordinatlarda

$$\begin{aligned} dV &= d\rho \cdot \rho \, d\phi \cdot \rho \sin \phi \, d\theta \\ &= \rho^2 \sin \phi \, d\rho \, d\phi \, d\theta \end{aligned}$$

halini alır.

kalınlığı  $\Delta\rho_k$  dir. Küresel takoz,  $\Delta\rho_k$ ,  $\Delta\theta_k$  ve  $\Delta\phi_k$  değerlerinin hepsi küçük olduklarında, ölçülerini bunlar olan bir küp'e yaklaşır (Şekil 15.45). Bu takozun  $\Delta V_k$  hacminin,  $(\rho_k, \phi_k, \theta_k)$  noktası takozun içinden seçilen bir nokta olmak üzere,  $\Delta V_k = \rho_k^2 \sin \phi_k \Delta\rho_k \Delta\phi_k \Delta\theta_k$  olduğu gösterilebilir.

Bir  $F(\rho, \phi, \theta)$  fonksiyonuna karşı gelen Riemann toplamı

$$S_n = \sum_{k=1}^n F(\rho_k, \phi_k, \theta_k) \rho_k^2 \sin \phi_k \Delta\rho_k \Delta\phi_k \Delta\theta_k$$

olur. Bölünüşün normu sıfıra yaklaşırken ve küresel takoz gittikçe küçülürken, Riemann toplamının sürekli  $F'$ ler için bir limiti vardır:

$$\lim_{n \rightarrow \infty} S_n = \iiint_D F(\rho, \phi, \theta) \, dV = \iiint_D F(\rho, \phi, \theta) \rho^2 \sin \phi \, d\rho \, d\phi \, d\theta$$

Küresel koordinatlarda,

$$dV = \rho^2 \sin \phi \, d\rho \, d\phi \, d\theta \text{ dir.}$$

Küresel koordinatlardaki integralleri hesaplamak için, genellikle önce  $\rho$ 'ya göre integral alırız. İntegrasyon sınırlarını bulma işlemi aşağıda gösterilmektedir. İlginizi,  $z$ -ekseni etrafında dönmeyle elde edilen dönel cisimlerin tanım kümeleri (veya parçaları) ile  $\theta$  ve  $\phi$  sınırlarının sabit olduğu tanım kümeleri üzerinde integral almakla sınırlayacağız.

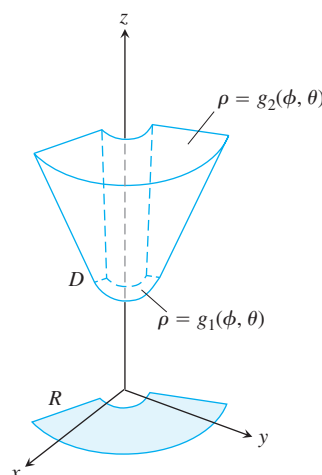
### Küresel Koordinatlarda Nasıl İntegral Alınır

Uzayda bir  $D$  bölgesinde, küresel koordinatlarda, önce  $\rho$ 'ya, sonra  $\phi$ 'ye, en son olarak da  $\theta$ 'ya göre integral alarak

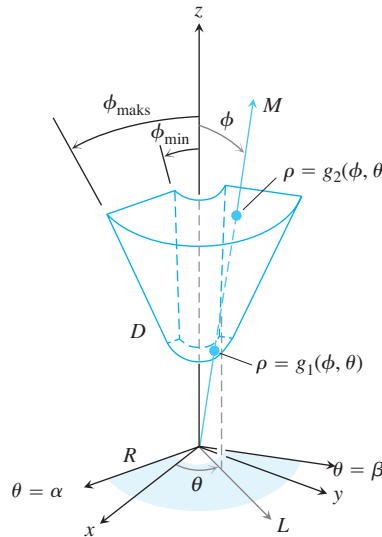
$$\iiint_D f(\rho, \phi, \theta) \, dV$$

integralini hesaplamak için, aşağıdaki adımları izleyin.

1. *Çizim.*  $D$  bölgesini,  $xy$ -düzlemi üzerinde izdüşümü  $R$  ile birlikte çizin.  $D$ 'yi sınırlayan yüzeyleri adlandırın.



2. Integrasyonun  $\rho$ -sınırlarını bulun. Orijinden çıkışip  $D$ 'den geçen ve pozitif  $z$ -ekseniyle  $\phi$  açısı yapan bir  $M$  ışını çizin. Ayrıca  $M$ 'nin  $xy$ -düzlemi üzerine izdüşümünü çizin (izdüşüm L deyin).  $L$  ışını pozitif  $x$ -ekseniyle  $\theta$  açısı yapar.  $\rho$  arttıkça,  $M$ ,  $D$ 'ye  $\rho = g_1(\phi, \theta)$ 'dan girer ve  $\rho = g_2(\phi, \theta)$ 'dan çıkar. Bunlar integrasyonun  $\rho$ -sınırlarıdır.



3. Integrasyonun  $\phi$ -sınırlarını bulun. Herhangi bir  $\theta$  değeri için,  $M$ 'nin  $z$ -ekseniyle yaptığı  $\phi$  açısı  $\phi = \phi_{\min}$ 'den  $\phi = \phi_{\max}$ 'a gider. Bunlar integrasyonun  $\phi$ -sınırlarıdır.
4. Integrasyonun  $\theta$ -sınırlarını bulun.  $L$  ışını  $R$ 'yi tararken,  $\theta$  açısı  $\alpha$ 'dan  $\beta$ 'ya gider. Bunlar integrasyonun  $\theta$ -sınırlarıdır. Integral

$$\iiint_D f(\rho, \phi, \theta) dV = \int_{\theta=\alpha}^{\theta=\beta} \int_{\phi=\phi_{\min}}^{\phi=\phi_{\max}} \int_{\rho=g_1(\phi, \theta)}^{\rho=g_2(\phi, \theta)} f(\rho, \phi, \theta) \rho^2 \sin \phi d\rho d\phi d\theta$$

### ÖRNEK 5 Küresel Koordinatlarda Bir Hacim Bulmak

$\rho \leq 1$  küresinden  $\phi = \pi/3$  konisiyle kesilen  $D$  “dondurma küləhi” bölgesinin hacmini bulun.

**Çözüm** Hacim  $V = \iiint_D \rho^2 \sin \phi d\rho d\phi d\theta$ , yani  $f(\rho, \phi, \theta) = 1$ 'in  $D$  üzerinde integralidir.

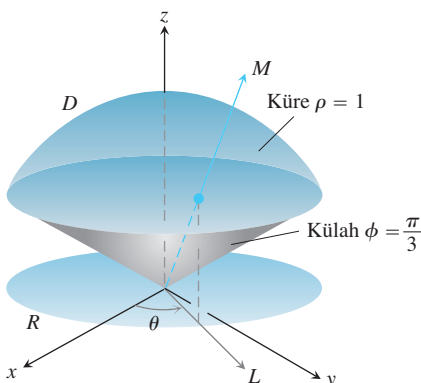
Integrali hesaplamak üzere integral sınırlarını bulmak için,  $D$ 'yi ve  $xy$ -düzlemine izdüşümü  $R$ 'yi çizerek başlıyoruz (Şekil 15.46).

**Integrasyonun  $\rho$ -sınırları.** Orijinden çıkışip  $D$ 'den geçen ve pozitif  $z$ -ekseniyle  $\phi$  açısı yapan bir  $M$  ışını çizeriz. Ayrıca,  $M$ 'nin  $xy$ -düzlemi üzerine izdüşümü  $L$ 'yi,  $L$ 'nin pozitif  $x$ -ekseniyle yaptığı  $\theta$  açısıyla birlikte çizeriz.  $M$  ışını  $D$ 'ye  $\rho = 0$ 'dan girer ve  $\rho = 1$ 'den çıkar.

**Integrasyonun  $\phi$ -sınırları.**  $\phi = \pi/3$  konisi, pozitif  $z$ -ekseniyle  $\pi/3$  açısı yapar. Verilen herhangi bir  $\theta$  için,  $\phi$  açısı  $0$ 'dan  $\phi = \pi/3$ 'e gidebilir.

**Integrasyonun  $\theta$ -sınırları.**  $L$  ışını  $R$ 'yi tararken,  $\theta$  açısı  $0$ 'dan  $2\pi$ 'ye gider. Hacim

$$V = \iiint_D \rho^2 \sin \phi d\rho d\phi d\theta = \int_0^{2\pi} \int_0^{\pi/3} \int_0^1 \rho^2 \sin \phi d\rho d\phi d\theta$$



ŞEKİL 15.46 Örnek 5'teki dondurma küləhi.

$$\begin{aligned}
 &= \int_0^{2\pi} \int_0^{\pi/3} \left[ \frac{\rho^3}{3} \right]_0^1 \sin \phi \, d\phi \, d\theta = \int_0^{2\pi} \int_0^{\pi/3} \frac{1}{3} \sin \phi \, d\phi \, d\theta \\
 &= \int_0^{2\pi} \left[ -\frac{1}{3} \cos \phi \right]_0^{\pi/3} \, d\theta = \int_0^{2\pi} \left( -\frac{1}{6} + \frac{1}{3} \right) \, d\theta = \frac{1}{6} (2\pi) = \frac{\pi}{3}
 \end{aligned}$$

olarak bulunur. ■

### ÖRNEK 6 Bir Eylemsizlik Momenti Bulmak

Sabit  $\delta = 1$  yoğunluklu bir cisim Örnek 5'teki  $D$  bölgesini kaplamaktadır. Cismin  $z$ -ekseni etrafındaki eylemsizlik momentini bulun.

**Çözüm** Kartezyen koordinatlarda, moment

$$I_z = \iiint (x^2 + y^2) \, dV$$

olur. Küresel koordinatlarda  $x^2 + y^2 = (\rho \sin \phi \cos \theta)^2 + (\rho \sin \phi \sin \theta)^2 = \rho^2 \sin^2 \phi$  halini alır. Dolayısıyla,

$$I_z = \iiint (\rho^2 \sin^2 \phi) \rho^2 \sin \phi \, d\rho \, d\phi \, d\theta = \iiint \rho^4 \sin^3 \phi \, d\rho \, d\phi \, d\theta$$

elde edilir. Örnek 5'teki bölge için,

$$\begin{aligned}
 I_z &= \int_0^{2\pi} \int_0^{\pi/3} \int_0^1 \rho^4 \sin^3 \phi \, d\rho \, d\phi \, d\theta = \int_0^{2\pi} \int_0^{\pi/3} \left[ \frac{\rho^5}{5} \right]_0^1 \sin^3 \phi \, d\phi \, d\theta \\
 &= \frac{1}{5} \int_0^{2\pi} \int_0^{\pi/3} (1 - \cos^2 \phi) \sin \phi \, d\phi \, d\theta = \frac{1}{5} \int_0^{2\pi} \left[ -\cos \phi + \frac{\cos^3 \phi}{3} \right]_0^{\pi/3} \, d\theta \\
 &= \frac{1}{5} \int_0^{2\pi} \left( -\frac{1}{2} + 1 + \frac{1}{24} - \frac{1}{3} \right) \, d\theta = \frac{1}{5} \int_0^{2\pi} \frac{5}{24} \, d\theta = \frac{1}{24} (2\pi) = \frac{\pi}{12}
 \end{aligned}$$

bulunur.

### Koordinat Dönüşüm Formülleri

SİLİNDİRİKTEN	KÜRESELDEN	KÜRESELDEN
KARTEZYENE	KARTEZYENE	SİLİNDİRİĞE
$x = r \cos \theta$	$x = \rho \sin \phi \cos \theta$	$r = \rho \sin \phi$
$y = r \sin \theta$	$y = \rho \sin \phi \sin \theta$	$z = \rho \cos \phi$
$z = z$	$z = \rho \cos \phi$	$\theta = \theta$

Üç katlı integrallerde  $dV$ ye karşılık gelen hacim elemanları:

$$\begin{aligned}
 dV &= dx \, dy \, dz \\
 &= dz \, r \, dr \, d\theta \\
 &= \rho^2 \sin \phi \, d\rho \, d\phi \, d\theta
 \end{aligned}$$

Takip eden bölümde, silindirik ve küresel koordinatlarda  $dV$ yi belirlemek için daha genel bir prosedür sunacağız. Sonuç, şüphesiz ki, yine aynı olacaktır.

## ALIŞTIRMALAR 15.6

### Silindirik Koordinatlarda İntegral Hesaplamak

1–6 alıştırmalarında silindirik koordinat integrallerini hesaplayın.

$$1. \int_0^{2\pi} \int_0^1 \int_r^{\sqrt{2-r^2}} dz \, r \, dr \, d\theta$$

$$2. \int_0^{2\pi} \int_0^3 \int_{r^2/3}^{\sqrt{18-r^2}} dz \, r \, dr \, d\theta$$

$$3. \int_0^{2\pi} \int_0^{\theta/2\pi} \int_0^{3+24r^2} dz \, r \, dr \, d\theta$$

$$4. \int_0^{\pi} \int_0^{\theta/\pi} \int_{-\sqrt{4-r^2}}^{3\sqrt{4-r^2}} z \, dz \, r \, dr \, d\theta$$

$$5. \int_0^{2\pi} \int_0^1 \int_r^{1/\sqrt{2-r^2}} 3 \, dz \, r \, dr \, d\theta$$

$$6. \int_0^{2\pi} \int_0^1 \int_{-1/2}^{1/2} (r^2 \sin^2 \theta + z^2) \, dz \, r \, dr \, d\theta$$

### Silindirik Koordinatlarda Integrasyon Sırasını Değiştirmek

Şimdiye kadar gördüğümüz integraller silindirik koordinatlar için tercih edilen bir integrasyon sırası olduğunu söyler, ama başka sıralar da işe yarar ve bazen hesaplanması daha kolaydır. 7–10 alıştırmalarında integralleri hesaplayın.

$$7. \int_0^{2\pi} \int_0^3 \int_0^{z/3} r^3 \, dr \, dz \, d\theta$$

$$8. \int_{-1}^1 \int_0^{2\pi} \int_0^{1+\cos \theta} 4r \, dr \, d\theta \, dz$$

$$9. \int_0^1 \int_0^{\sqrt{z}} \int_0^{2\pi} (r^2 \cos^2 \theta + z^2) r \, d\theta \, dr \, dz$$

$$10. \int_0^2 \int_{r-2}^{\sqrt{4-r^2}} \int_0^{2\pi} (r \sin \theta + 1) r \, d\theta \, dz \, dr$$

11.  $D$ , alttan  $z = 0$  düzleme, üstten  $x^2 + y^2 + z^2 = 4$  külesi ve yanlardan  $x^2 + y^2 = 1$  silindiriyle sınırlı bölge olsun. Silindirik koordinatlarda  $D$ 'nin hacmini, aşağıdaki integrasyon sırasında, veren üç katlı integralleri kurun.

a.  $dz \, dr \, d\theta$

b.  $dr \, dz \, d\theta$

c.  $d\theta \, dz \, dr$

12.  $D$ , alttan  $z = \sqrt{x^2 + y^2}$  konisi, üstten  $z = 2 - x^2 - y^2$  paraboloidiyle sınırlı bölge olsun. Silindirik koordinatlarda  $D$ 'nin hacmini, aşağıdaki integrasyon sırasında, veren üç katlı integraleri kurun.

a.  $dz \, dr \, d\theta$

b.  $dr \, dz \, d\theta$

c.  $d\theta \, dz \, dr$

13. Altta  $z = 0$  düzleme, yandan  $r = \cos \theta$  silindiri ve üstten  $z = 3r^2$  paraboloidiyle sınırlanan bölgede

$$\iiint f(r, \theta, z) \, dz \, r \, dr \, d\theta$$

integralini ardışık integraller olarak hesaplamak için gereken integrasyon sınırlarını bulun.

14.

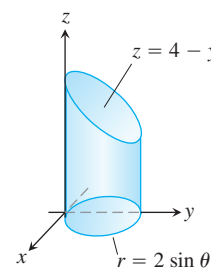
$$\int_{-1}^1 \int_0^{\sqrt{1-y^2}} \int_0^x (x^2 + y^2) \, dz \, dx \, dy$$

integralini silindirik koordinatlarda eşdeğer bir integrale dönüştürün ve sonucu hesaplayın.

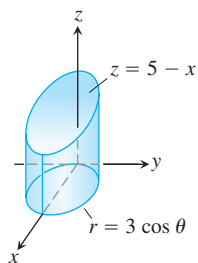
### Silindirik Koordinatlarda Ardışık İntegraller Bulmak

15–20 alıştırmalarında,  $\iiint_D f(r, \theta, z) \, dz \, r \, dr \, d\theta$ 'yı verilen  $D$  bölgesinde hesaplamak için ardışık integraller kurun.

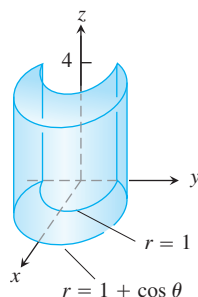
15.  $D$  bölgesi, tabanı  $xy$ -düzlemindeki  $r = 2 \sin \theta$  çemberi olan ve tepesi  $z = 4 - y$  düzleminde bulunan dik dairesel silindirdir.



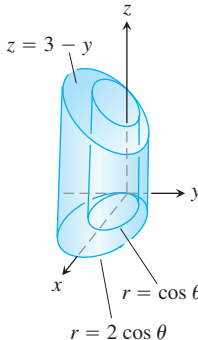
16.  $D$  bölgesi, tabanı  $r = 3 \cos \theta$  çemberi olan ve tepesi  $z = 5 - x$  düzleminde bulunan dik dairesel silindirdir.



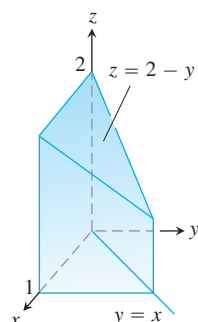
17.  $D$  bölgesi, tabanı  $xy$ -düzlemindeki  $r = 1 + \cos \theta$  kardiodinin içinde ve  $r = 1$  çemberinin dışında kalan bölge olan ve tepesi  $z = 4$  düzleminde bulunan dik silindirdir.



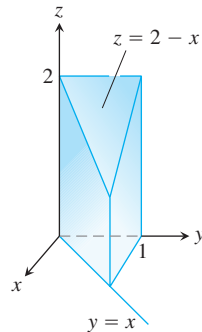
18.  $D$  bölgesi, tabanı  $r = \cos \theta$  ve  $r = 2 \cos \theta$  çemberleri arasında kalan bölge olan ve tepesi  $z = 3 - y$  düzleminde bulunan dik dairesel silindirdir.



19.  $D$  bölgesi, tabanı  $xy$ -düzleminde  $x$ -eksenini,  $y = x$  ve  $x = 1$  doğrularıyla sınırlı üçgen olan ve tepesi  $z = 2 - y$  düzleminde bulunan prizmadır.



20.  $D$  bölgesi, tabanı  $xy$ -düzleminde  $y$ -eksenini,  $y = x$  ve  $y = 1$  doğrularıyla sınırlı üçgen olan ve tepesi  $z = 2 - x$  düzleminde bulunan prizmadır.



### Küresel Koordinatlarda İntegral Hesaplamak

21–26 alıştırmalarındaki küresel koordinat integrallerini hesaplayın.

21.  $\int_0^{\pi} \int_0^{\pi} \int_0^{2 \sin \phi} \rho^2 \sin \phi \, d\rho \, d\phi \, d\theta$

22.  $\int_0^{2\pi} \int_0^{\pi/4} \int_0^2 (\rho \cos \phi) \rho^2 \sin \phi \, d\rho \, d\phi \, d\theta$

23.  $\int_0^{2\pi} \int_0^{\pi} \int_0^{(1-\cos \phi)/2} \rho^2 \sin \phi \, d\rho \, d\phi \, d\theta$

24.  $\int_0^{3\pi/2} \int_0^{\pi} \int_0^1 5\rho^3 \sin^3 \phi \, d\rho \, d\phi \, d\theta$

25.  $\int_0^{2\pi} \int_0^{\pi/3} \int_{\sec \phi}^2 3\rho^2 \sin \phi \, d\rho \, d\phi \, d\theta$

26.  $\int_0^{2\pi} \int_0^{\pi/4} \int_0^{\sec \phi} (\rho \cos \phi) \rho^2 \sin \phi \, d\rho \, d\phi \, d\theta$

### Küresel Koordinatlarda İntegrasyon Sırasını Değiştirmek

Önceki integraller, küresel koordinatlar için tercih edilen bir integrasyon sırası olduğunu söyler, ama başka sıralar da işe yarar ve bazen hesaplanması daha kolaydır. 27–30 alıştırmalarındaki integralleri hesaplayın.

27.  $\int_0^2 \int_{-\pi}^0 \int_{\pi/4}^{\pi/2} \rho^3 \sin 2\phi \, d\phi \, d\theta \, d\rho$

28.  $\int_{\pi/6}^{\pi/3} \int_{\csc \phi}^2 \csc \phi \int_0^{2\pi} \rho^2 \sin \phi \, d\theta \, d\rho \, d\phi$

29.  $\int_0^1 \int_0^{\pi} \int_0^{\pi/4} 12\rho \sin^3 \phi \, d\phi \, d\theta \, d\rho$

30.  $\int_{\pi/6}^{\pi/2} \int_{-\pi/2}^{\pi/2} \int_{\csc \phi}^2 5\rho^4 \sin^3 \phi \, d\rho \, d\theta \, d\phi$

31.  $D$  bölgesi, Aşağıdaki bölgede olsun. Küresel koordinatlarda  $D$ 'nin hacmini, aşağıdaki integrasyon sırasında, veren üç katlı integralleri kurun.

- a.  $d\rho \, d\phi \, d\theta$       b.  $d\phi \, d\rho \, d\theta$

32.  $D$ , alttan  $z = \sqrt{x^2 + y^2}$  konisi ve üstten  $z = 1$  düzlemeyle sınırlı bölge olsun. Küresel koordinatlarda  $D$ 'nin hacmini, aşağıdaki integrasyon sırasında, veren üç katlı integraller kurun.

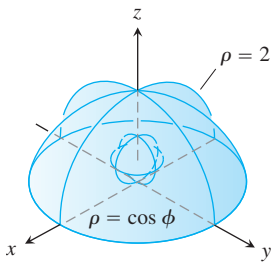
a.  $d\rho d\phi d\theta$

b.  $d\phi d\rho d\theta$

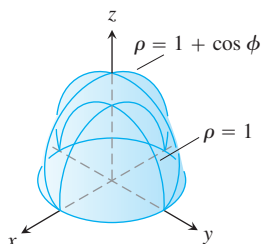
### Küresel Koordinatlarda Ardışık İntegraler Bulmak

33–38 alıştırmalarında, (a) verilen cismin hacmini, küresel koordinatlarda hesaplayan integralin sınırlarını bulun ve (b) sonra integrali hesaplayın.

33.  $\rho = \cos \phi$  külesi ile  $\rho = 2$ ,  $z \geq 0$  yarımküresi arasındaki cisim.



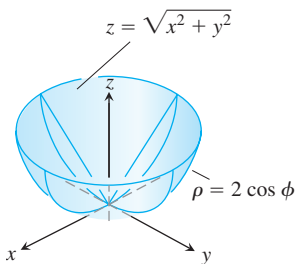
34. Altta  $\rho = 1$ ,  $z \geq 0$  yarımküresi ve üstten  $\rho = 1 + \cos \phi$  dönel kardioid ile sınırlı cisim.



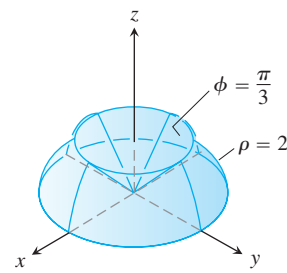
35.  $\rho = 1 - \cos \phi$  dönel kardioid ile çevrelenen cisim.

36. Alıştırma 35'teki cisimden  $xy$ -düzlemeyle kesilen üst kısmı.

37. Altta  $\rho = 2 \cos \phi$  külesi ve üstten konisiyle  $z = \sqrt{x^2 + y^2}$  sınırlı cisim.



38. Altta  $xy$ -düzlemi, yanlardan  $\rho = 2$  külesi ve üstten  $\phi = \pi/3$  konisiyle sınırlı cisim.



### Kartezyen, Silindirik ve Küresel Koordinatlar

39.  $\rho = 2$  küresinin hacmi için (a) Kartezyen, (b) silindirik ve (c) küresel koordinatlarda üç katlı integraller kurun.

40.  $D$ , birinci sekizde bir bölgede alttan  $\phi = \pi/4$  konisi ve üstten  $\rho = 3$  külesi ile sınırlı bölge olsun.  $D$ 'nin hacmini (a) silindirik, (b) küresel koordinatlarda ardışık üç katlı bir integral olarak ifade edin. Sonra (c)  $V$ 'yı bulun.

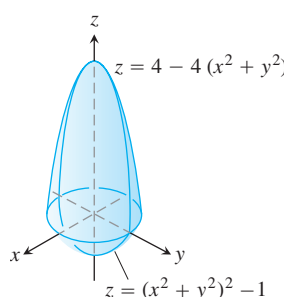
41.  $D$ , 2 birim yarıçaplı katı bir toptan, kürenin merkezinden 1 birim uzaklıktaki bir düzlemele kesilen küçük kapak olsun.  $D$ 'nin hacmini (a) küresel, (b) silindirik ve (c) kartezyen koordinatlarda ardışık üç katlı bir integral olarak ifade edin. Sonra (d) hacmi bu üç katlı integrallerden birini hesaplayarak bulun.

42. Katı  $x^2 + y^2 + z^2 \leq 1$ ,  $z \geq 0$ , yarımküresinin  $I_z$  eylemsizlik momentini (a) silindirik ve (b) küresel koordinatlarda ardışık üç katlı bir integral olarak ifade edin. Sonra (c)  $I_z$ 'yı bulun.

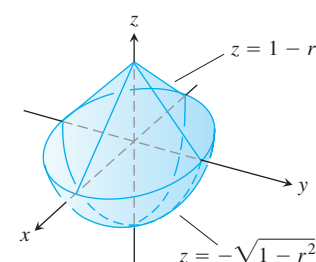
### Hacimler

43–48 alıştırmalarındaki cisimlerin hacimlerini bulun.

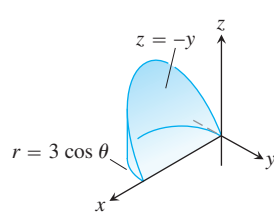
43.



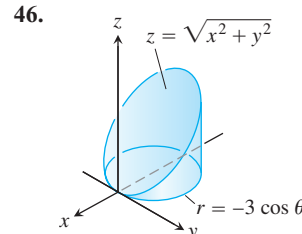
44.



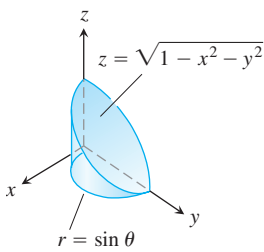
45.



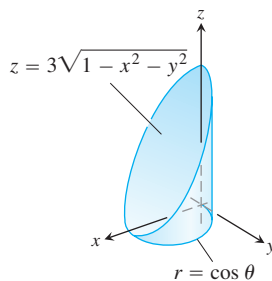
46.



47.



48.



- 49. Küre ve koni**  $\rho \leq a$  küresinin  $\phi = \pi/3$  ve  $\phi = 2\pi/3$  konileri arasında kalan kısmının hacmini bulun.
- 50. Küre ve yarı-düzlemler**  $\rho \leq a$  küresinden birinci sekizde bir bölgедeki  $\theta = 0$  ve  $\theta = \pi/6$  yarı-düzlemleriyle kesilen parçanın hacmini bulun.
- 51. Küre ve düzlem**  $\rho \leq 2$  küresinden  $z = 1$  düzlemeyle kesilen küçük parçanın hacmini bulun.
- 52. Küre ve düzlemler**  $z = 1$  ve  $z = 2$  düzlemleri arasında,  $z = \sqrt{x^2 + y^2}$  konisiyle çevrili bölgenin hacmini bulun.
- 53. Silindir ve paraboloid** Altan  $z = 0$  düzleme, yanlardan  $x^2 + y^2 = 1$  silindiri ve üstten  $z = x^2 + y^2$  paraboloidiyle sınırlı bölgenin hacmini bulun.
- 54. Silindir ve paraboloidler** Altan  $z = x^2 + y^2$  paraboloidi, yanlardan  $x^2 + y^2 = 1$  silindiri ve üstten  $z = x^2 + y^2 + 1$  paraboloidiyle sınırlı bölgenin hacmini bulun.
- 55. Silindir ve koniler** Kalın duvarlı  $1 \leq x^2 + y^2 \leq 2$  silindirinden  $z = \pm \sqrt{x^2 + y^2}$  konileriyle kesilen cismin hacmini bulun.
- 56. Küre ve silindir**  $x^2 + y^2 + z^2 = 2$  küresinin içinde ve  $x^2 + y^2 = 1$  silindirinin dışında kalan bölgenin hacmini bulun.
- 57. Silindir ve düzlemler**  $x^2 + y^2 = 4$  silindiri,  $z = 0$  ve  $y + z = 4$  düzlemleriyle çevrili bölgenin hacmini bulun.
- 58. Silindir ve düzlemler**  $x^2 + y^2 = 4$  silindiri,  $z = 0$  ve  $x + y + z = 4$  düzlemleriyle çevrili bölgenin hacmini bulun.
- 59. Paraboloidlerle sınırlı bölge** Üstten  $z = 5 - x^2 - y^2$  paraboloidi ve alttan  $z = 4x^2 + 4y^2$  paraboloidiyle çevrili bölgenin hacmini bulun.
- 60. Paraboloid ve silindir** Üstten  $z = 9 - x^2 - y^2$  paraboloidi, alttan  $xy$ -düzlemeyle sınırlanan ve  $x^2 + y^2 = 1$  silindirinin dışında kalan bölgenin hacmini bulun.
- 61. Silindir ve küre**  $x^2 + y^2 \leq 1$  silindirinden  $x^2 + y^2 + z^2 = 4$  küreyle kesilen bölgenin hacmini bulun.
- 62. Küre ve paraboloid** Üstten  $x^2 + y^2 + z^2 = 2$  külesi ve alttan  $z = x^2 + y^2$  paraboloidiyle sınırlı bölgenin hacmini bulun.

### Ortalama Değerler

63.  $f(r, \theta, z) = r$  fonksiyonunun  $z = -1$  ve  $z = 1$  düzlemleri arasında  $r = 1$  silindiriyle sınırlı bölgede ortalama değerini bulun.
64.  $f(r, \theta, z) = r$  fonksiyonunun  $r^2 + z^2 = 1$  ( $x^2 + y^2 + z^2 = 1$  küresidir.) küresiyle sınırlı bölgede ortalama değerini bulun.
65.  $f(\rho, \phi, \theta) = \rho$  fonksiyonunun  $\rho \leq 1$  topundaki ortalama değerini bulun.
66.  $f(\rho, \phi, \theta) = \rho \cos \phi$  fonksiyonunun  $\rho \leq 1$ ,  $0 \leq \phi \leq \pi/2$  topundaki ortalama değerini bulun.

### Kütle, Moment ve Merkezler

67. **Kütle merkezi** Sabit yoğunluklu bir cisim alttan  $z = 0$  düzleme, üstten  $z = r$ ,  $r \geq 0$  konisi ve yanlardan  $r = 1$  silindiriyle sınırlıdır. Kütle merkezini bulun.
68. **Merkez** Birinci sekizde bir bölgede üstten  $z = \sqrt{x^2 + y^2}$  konisi, alttan  $z = 0$  düzleme ve yanlardan  $x^2 + y^2 = 4$  silindiri ile  $x = 0$  ve  $y = 0$  düzlemleriyle sınırlı bölgenin merkezini bulun.
69. **Merkez** Alistırma 38'deki cismin merkezini bulun.
70. **Merkez** Üstten  $\rho = a$  külesi ve alttan  $\phi = \pi/4$  konisiyle sınırlı bölgenin merkezini bulun.
71. **Merkez** Üstten  $z = \sqrt{r}$  yüzeyi, yanlardan  $r = 4$  silindiri ve alttan  $xy$ -düzlemeyle sınırlı bölgenin merkezini bulun.
72. **Merkez**  $r^2 + z^2 \leq 1$  topundan  $\theta = -\pi/3$ ,  $r \geq 0$  ve  $\theta = \pi/3$ ,  $r \geq 0$  yarı düzlemleriyle kesilen bölgenin merkezini bulun.
73. **Eylemsizlik ve jirasyon yarıçapı** İçten  $r = 1$  silindiri, dıştan  $r = 2$  silindiri, altan ve üstten  $z = 0$  ve  $z = 4$  düzlemleriyle sınırlı kalın duvarlı dik dairesel silindirin  $z$ -ekseni etrafındaki eylemsizlik momenti ve jirasyon yarıçapını bulun ( $\delta = 1$  alın).
74. **Dairesel silindirin eylemsizlik momentleri** 1 yarıçaplı ve 2 yükseklikli bir silindirin **(a)** silindirin eksenine göre, **(b)** merkezden geçen ve silindirin eksenine dik olan bir doğru etrafındaki eylemsizlik momentini bulun ( $\delta = 1$  alın).
75. **Dolu koninin eylemsizlik momenti** 1 yarıçaplı ve 1 yükseklikli bir koninin tepe noktasından geçen ve tabana paralel olan bir eksene göre eylemsizlik momentini bulun ( $\delta = 1$  alın).
76. **Dolu kürenin eylemsizlik momenti**  $a$  yarıçaplı bir kürenin bir çapı etrafındaki eylemsizlik momentini bulun ( $\delta = 1$  alın).
77. **Dolu koninin eylemsizlik momenti**  $a$  yarıçaplı ve  $h$  yükseklikli bir koninin ekseni etrafındaki eylemsizlik momentini bulun. (İpucu: Koninin tepesini orijine ve eksenini  $z$ -eksenine yerleştirin).
78. **Değişken yoğunluk** Bir cisim üstten  $z = r^2$  paraboloidi, alttan  $z = 0$  düzleme ve yanlardan  $r = 1$  silindiriyle sınırlıdır. Yoğunluğu,
- $\delta(r, \theta, z) = z$
  - $\delta(r, \theta, z) = r$

ise, kütle merkezini ve  $z$ -ekseni etrafındaki eylemsizlik momenti ve jirasyon yarıçapını bulun.

- 79. Değişken yoğunluk** Bir cisim alttan  $z = \sqrt{x^2 + y^2}$  konisi ve üstten  $z = 1$  düzlemeyle sınırlıdır. Yoğunluğu

- $\delta(r, \theta, z) = z$
- $\delta(r, \theta, z) = z^2$

ise,  $z$ -ekseni etrafındaki eylemsizlik momentini ve jirasyon yarıçapını bulun.

- 80. Değişken yoğunluk** Bir top  $\rho = a$  külesiyle sınırlıdır. Yoğunluğu

- $\delta(\rho, \phi, \theta) = \rho^2$
- $\delta(\rho, \phi, \theta) = r = \rho \sin \phi$

ise,  $z$ -ekseni etrafındaki eylemsizlik momenti ve jirasyon yarıçapını bulun.

- 81. Dolu yarı-elipsoidin merkezi** Dönel bir  $(r^2/a^2) + (z^2/h^2) \leq 1$ ,  $z \geq 0$  yarı-elipsoidinin merkezinin,  $z$ -ekseninde tabandan tavana olan uzunluğun sekizde üçü uzaklığında olduğunu gösterin. Özel durum  $h = a$  bir yarım küre verir. Yani bir yarım kürenin merkezi tabandan tavana olan uzunluğun sekizde üçü uzaklığındadır.

- 82. Dolu koninin merkezi** Bir koninin merkezinin, tabandan tepeye olan uzunluğun dörtte birinde olduğunu gösterin (Genelde, bir koninin veya bir piramidin merkezi tabandan tepeye olan uzaklığın dörtte birindedir).

- 83. Değişken yoğunluk** Dik dairesel dolu bir silindir  $r = a$  silindiri ile  $z = 0$  ve  $z = h$ ,  $h > 0$  düzlemleri arasında. Yoğunluğu  $\delta(r, \theta, z) = z + 1$  ise, kütle merkezini ve  $z$ -ekseni etrafındaki eylemsizlik momenti ve jirasyon yarıçapını bulun.

- 84. Gezegenin atmosferinin kütlesi**  $R$  yarıçaplı küresel bir gezegenin yoğunluğu,  $h$  gezegenin yüzeyinden yükseklik,  $\mu_0$  deniz seviyesindeki yoğunluk ve  $c$  pozitif bir sabit olmak üzere,  $\mu = \mu_0 e^{-ch}$  ile verilen bir atmosferi vardır. Gezegenin atmosferinin kütlesini bulun.

- 85. Bir gezegenin merkezinin yoğunluğu** Bir gezegen  $R$  yarıçaplı bir küre şeklinde ve, yoğunluk dağılımı merkeze yaklaştıkça artmak ve küresel simetrik olmak üzere, toplam kütlesi  $M$ 'dır. Gezegenin kenarında (yüzeyinde) yoğunluk sıfır olarak alınırsa, merkezdeki yoğunluk nedir?

### Teori ve Örnekler

- 86. Küresel koordinatlarda dik dairesel silindirler**  $x^2 + y^2 = a^2$  silindiri için  $\rho = f(\phi)$  formunda bir denklem bulun.
- 87. Silindirik koordinatlarda dikey düzlemler**
- $x$ -eksenine dik düzlemlerin denklemlerinin  $r = a \sec \theta$  formunda olduğunu gösterin.
  - $y$ -eksenine dik düzlemlerin denklemlerinin  $r = b \csc \theta$  formunda olduğunu gösterin.
- 88. (Alıştırma 87'nin devamı)**  $ax + by = c$ ,  $c \neq 0$  düzlemi için silindirik koordinatlarda  $r = f(\theta)$  formunda bir denklem bulun.
- 89. Simetri** Silindirik koordinatlarda  $r = f(z)$  formunda bir denklemi var olan bir yüzeyin ne gibi simetrileri vardır. Cevabını açıklayın.
- 90. Simetri** Küresel koordinatlarda  $\rho = f(\phi)$  formunda bir denklemi var olan bir yüzeyin ne gibi simetrileri vardır. Cevabınızı açıklayın.

## 15.7

### Çok Katlı İntegralerde Değişken Dönüşümü

Bu bölüm çok katlı integrallerin değişken dönüşümüyle nasıl hesaplanacağını göstermektedir. Tek katlı integrasyonda olduğu gibi, değişken dönüşümünün amacı karmaşık integralleri hesaplanması kolay integrallerle değiştirmektir. Değişken dönüşümü, integrandi, integrasyon sınırlarını veya ikisini de basitleştirerek, bunu gerçekleştirir.

#### İki Katlı İntegralerde Değişken Dönüşümü

Bölüm 15.3'teki kutupsal koordinat dönüşümleri, iki katlı integraller için daha genel bir değişken dönüşümü yönteminin bir özel halidir. Yöntem, değişkenlerdeki değişimi bölgelerin dönüşümü olarak resmeder.

$uv$ -düzlemindeki bir  $G$  bölgesinin  $xy$ -düzlemindeki bir  $R$  bölgesine, Şekil 15.47'de önerildiği gibi,

$$x = g(u, v), \quad y = h(u, v)$$

denklemiyle bire-bir olarak dönüştürüldüğünü varsayılmı.  $R$ 'ye  $G$ 'nin dönüşüm altındaki **görüntüsü**,  $G$ 'ye de  $R$ 'nin **ön görüntüüsü** deriz.  $R$ 'de tanımlı herhangi bir  $f(x, y)$

fonksiyonu,  $G$ 'de tanımlı  $f(g(u, v)), h(u, v)$  fonksiyonu olarak düşünülebilir.  $f(x, y)$ 'nin  $R$  üzerindeki integralinin,  $f(g(u, v)), h(u, v)$ 'nın  $G$ 'deki integrali ile nasıl bir ilişkisi vardır?

Yanıt şudur:  $g, h$  ve  $f$ 'nin sürekli kısmi türevleri varsa ve  $J(u, v)$  (biraz sonra açıklanacak) sadece izole noktalarda sıfırsa, tabii eğer varsa,

$$\iint_R f(x, y) dx dy = \iint_G f(g(u, v), h(u, v)) |J(u, v)| du dv \quad (1)$$

### TARİHSEL BİYOGRAFİ

Carl Gustav Jacob Jacobi  
(1804–1851)

olur.

(1) denkleminde mutlak değeri görülen  $J(u, v)$  çarpanı, adını Alman matematikçi Carl Jacobi'den alan, koordinat dönüşümünün *Jakobiyenidir*. Jakobiyen,  $G$ 'deki bir noktanın civarının,  $G$  bölgesi  $R$ 'ye dönüştürülürken, ne kadar genişlediğini veya büzüldüğünü ölçer.

### TANIM Jakobiyen

$x = g(u, v), y = h(u, v)$  koordinat dönüşümünün **Jakobiyen determinantı** veya **Jakobiyenini**

$$J(u, v) = \begin{vmatrix} \frac{\partial x}{\partial u} & \frac{\partial x}{\partial v} \\ \frac{\partial y}{\partial u} & \frac{\partial y}{\partial v} \end{vmatrix} = \frac{\partial x}{\partial u} \frac{\partial y}{\partial v} - \frac{\partial y}{\partial u} \frac{\partial x}{\partial v} \quad (2)$$

olarak tanımlanır.

Jakobiyen ayrıca, (2) denklemindeki determinantın  $x$  ve  $y$ 'nin kısmi türevlerinden nasıl oluşturulduğunu hatırlamak amacıyla

$$J(u, v) = \frac{\partial(x, y)}{\partial(u, v)}$$

olarak da gösterilir. (1) denklemi türetilişi karmaşıktır ve daha ileri analiz derslerinin konusudur. Türetilişi burada göstermeyeceğiz.

Kutupsal koordinatlar için,  $u$  ve  $v$  yerine  $r$  ve  $\theta$  kullanız.  $x = r \cos \theta$  ve  $y = r \sin \theta$  ile, Jakobiyen

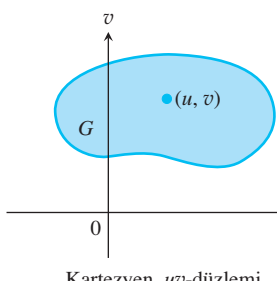
$$J(r, \theta) = \begin{vmatrix} \frac{\partial x}{\partial r} & \frac{\partial x}{\partial \theta} \\ \frac{\partial y}{\partial r} & \frac{\partial y}{\partial \theta} \end{vmatrix} = \begin{vmatrix} \cos \theta & -r \sin \theta \\ \sin \theta & r \cos \theta \end{vmatrix} = r(\cos^2 \theta + \sin^2 \theta) = r$$

olur. Dolayısıyla, (1) denklemi

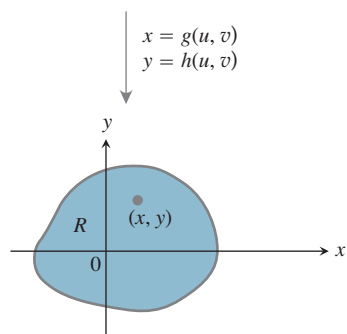
$$\begin{aligned} \iint_R f(x, y) dx dy &= \iint_G f(r \cos \theta, r \sin \theta) |r| dr d\theta \\ &= \iint_G f(r \cos \theta, r \sin \theta) r dr d\theta \quad r \geq 0 \text{ ise} \end{aligned} \quad (3)$$

halini alır ki, bu da Bölüm 15.3'te bulunan denklemidir.

Şekil 15.48,  $x = r \cos \theta, y = r \sin \theta$  denklemelerinin  $G: 0 \leq r \leq 1, 0 \leq \theta \leq \pi/2$  dikdörtgenini  $xy$ -düzleminin birinci dörte bir bölgesinde  $x^2 + y^2 = 1$  ile sınırlı  $R$  çeyrek çemberine nasıl dönüştürdüğünü gösterir.

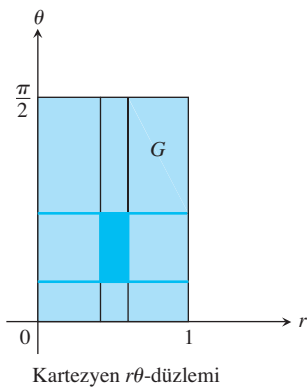


Kartezyen  $uv$ -düzlemi

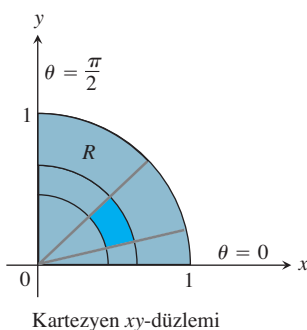


Kartezyen  $xy$ -düzlemi

**ŞEKLİ 15.47**  $x = g(u, v)$  ve  $y = h(u, v)$  denklemeleri  $xy$ -düzleminin bir  $R$  bölgesindeki bir integrali  $uv$ -düzleminin bir  $G$  bölgesindeki bir integrale dönüştürmemizi sağlar.



$$\begin{aligned}x &= r \cos \theta \\y &= r \sin \theta\end{aligned}$$



**ŞEKİL 15.48**  $x = r \cos \theta$ ,  $y = r \sin \theta$  denklemleri  $G'$ yi  $R$ 'ye dönüştürür.

(3) denkleminin sağ tarafındaki integralin,  $f(r \cos \theta, r \sin \theta)$ 'nın kutupsal koordinat düzleminde bir bölgede integrali olmadığına dikkat edin.  $f(r \cos \theta, r \sin \theta)$  ve  $r$ 'nin çarpımının, *Kartezyen rθ*-düzleminde bir  $G$  bölgesindeki integralidir.

Aşağıda başka bir değişken dönüşümünün örneği vardır.

### ÖRNEK 1 İntegrasyon İçin Bir Dönüşüm Uygulamak

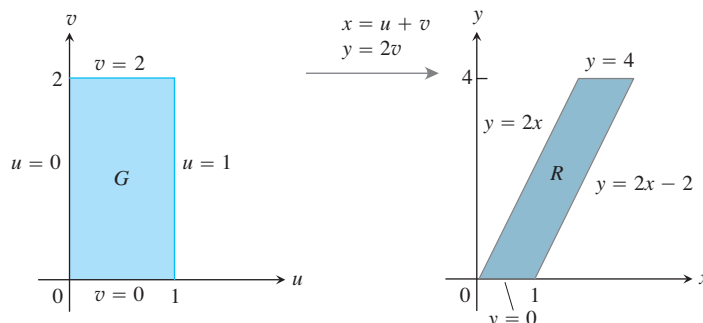
$$\int_0^4 \int_{x=y/2}^{x=(y/2)+1} \frac{2x - y}{2} dx dy$$

integralini

$$u = \frac{2x - y}{2}, \quad v = \frac{y}{2} \quad [4]$$

dönüşümünü uygulayarak ve  $uv$ -düzleminde uygun bir bölgede integre ederek hesaplayın.

**Çözüm**  $xy$ -düzlemindeki  $R$  integrasyon bölgesini çizer ve sınırlarını belirleriz (Şekil 15.49).



**ŞEKİL 15.49**  $x = u + v$  ve  $y = 2v$  denklemleri  $G'$ yi  $R$ 'ye dönüştürür.  
Dönüşümü  $u = (2x - y)/2$  ve  $v = y/2$  denklemleriyle tersine çevirmek  $R$ 'yi  $G'$ ye dönüştürür (Örnek 1).

(1) denklemini uygulamak için, karşılık gelen  $uv$ -bölgesi  $G'$ yi ve dönüşümün Jacobiyenini bulmamız gereklidir. Bunları bulmak için, (4) denklemlerinden  $x$  ve  $y$ 'yi  $u$  ve  $v$  cinsinden çözerek. Kısa bir hesaplama

$$x = u + v \quad y = 2v \quad [5]$$

verir. Bu ifadeleri  $R$ 'nin sınırlarının denklemlerinde yerine koyarak  $G$ 'nin sınırlarını buluruz (Şekil 15.49).

#### $R$ 'nin sınırlarının $xy$ -denklemleri

$$\begin{aligned}x &= y/2 \\x &= (y/2) + 1 \\y &= 0 \\y &= 4\end{aligned}$$

#### $G$ 'nin sınırlarının karşılık gelen $uv$ -denklemleri

$$\begin{aligned}u + v &= 2v/2 = v \\u + v &= (2v/2) + 1 = v + 1 \\2v &= 0 \\2v &= 4\end{aligned}$$

#### Basitleştirilmiş $uv$ -denklemleri

$$\begin{aligned}u &= 0 \\u &= 1 \\v &= 0 \\v &= 2\end{aligned}$$

Dönüşümün Jakobiyenin (yine (5) denklemlerinden)

$$J(u, v) = \begin{vmatrix} \frac{\partial x}{\partial u} & \frac{\partial x}{\partial v} \\ \frac{\partial y}{\partial u} & \frac{\partial y}{\partial v} \end{vmatrix} = \begin{vmatrix} \frac{\partial}{\partial u}(u + v) & \frac{\partial}{\partial v}(u + v) \\ \frac{\partial}{\partial u}(2v) & \frac{\partial}{\partial v}(2v) \end{vmatrix} = \begin{vmatrix} 1 & 1 \\ 0 & 2 \end{vmatrix} = 2$$

bulunur. Artık (1) denklemi uygulamak için her şeye sahibiz:

$$\begin{aligned} \int_0^4 \int_{x=y/2}^{x=(y/2)+1} \frac{2x - y}{2} dx dy &= \int_{v=0}^{v=2} \int_{u=0}^{u=1} u |J(u, v)| du dv \\ &= \int_0^2 \int_0^1 (u)(2) du dv = \int_0^2 \left[ u^2 \right]_0^1 dv = \int_0^2 dv = 2 \end{aligned}$$

■

### ÖRNEK 2 Integrasyon İçin Bir Dönüşüm Uygulamak

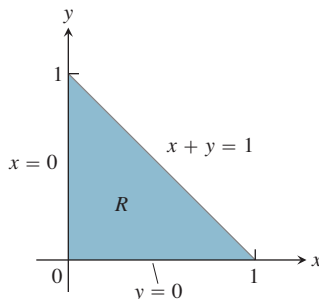
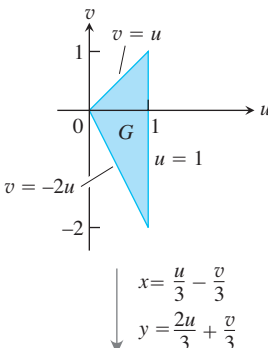
Aşağıdaki integrali hesaplayın.

$$\int_0^1 \int_0^{1-x} \sqrt{x+y} (y - 2x)^2 dy dx$$

**Cözüm**  $xy$ -düzlemindeki integrasyon bölgesi  $R$ 'yi çizer ve sınırları belirleriz (Şekil 15.50). Integrand,  $u = x + y$  ve  $v = y - 2x$  dönüşümünü önerir. Biraz cebir,  $x$  ve  $y$ 'yi  $u$  ve  $v$  cinsinden verir:

$$x = \frac{u}{3} - \frac{v}{3}, \quad y = \frac{2u}{3} + \frac{v}{3} \quad (6)$$

(6) denklemlerinden  $uv$ -bölgesi'nin sınırlarını bulabiliriz (Şekil 15.50).



**ŞEKİL 15.50**  $x = (u/3) - (v/3)$  ve  $y = (2u/3) + (v/3)$  denklemleri  $G$ 'yi  $R$ 'ye dönüştürür. Dönüşümü  $u = x + y$  ve  $v = y - 2x$  denklemleriyle tersine çevirmek,  $R$ 'yi  $G$ 'ye dönüştürür (Örnek 2).

#### R'nın sınırlarının xy-denklemleri

$$x + y = 1$$

$$x = 0$$

$$y = 0$$

#### G'nin sınırlarının karşılık gelen uv-denklemleri

$$\left( \frac{u}{3} - \frac{v}{3} \right) + \left( \frac{2u}{3} + \frac{v}{3} \right) = 1$$

$$\frac{u}{3} - \frac{v}{3} = 0$$

$$\frac{2u}{3} + \frac{v}{3} = 0$$

#### Basitleştirilmiş uv-denklemleri

$$u = 1$$

$$v = u$$

$$v = -2u$$

(6) denklemindeki dönüşümün Jakobiyenini

$$J(u, v) = \begin{vmatrix} \frac{\partial x}{\partial u} & \frac{\partial x}{\partial v} \\ \frac{\partial y}{\partial u} & \frac{\partial y}{\partial v} \end{vmatrix} = \begin{vmatrix} \frac{1}{3} & -\frac{1}{3} \\ \frac{2}{3} & \frac{1}{3} \end{vmatrix} = \frac{1}{3}$$

olarak bulunur.

(1) denklemini uygulayarak, integrali hesaplarız:

$$\begin{aligned} \int_0^1 \int_0^{1-x} \sqrt{x+y} (y-2x)^2 dy dx &= \int_{u=0}^{u=1} \int_{v=-2u}^{v=u} u^{1/2} v^2 |J(u, v)| dv du \\ &= \int_0^1 \int_{-2u}^u u^{1/2} v^2 \left(\frac{1}{3}\right) dv du = \frac{1}{3} \int_0^1 u^{1/2} \left[\frac{1}{3} v^3\right]_{v=-2u}^{v=u} du \\ &= \frac{1}{9} \int_0^1 u^{1/2} (u^3 + 8u^3) du = \int_0^1 u^{7/2} du = \left[\frac{2}{9} u^{9/2}\right]_0^1 = \frac{2}{9} \end{aligned}$$

■

### Üç Katlı İntegrallerde Değişken Dönüşümü

Bölüm 15.6'daki silindirik ve küresel koordinat dönüşümleri, üç katlı integrallerdeki değişkenlerin değişimlerini, üç boyutlu bölgelerin dönüşümleri olarak resimleyen bir dönüşüm yönteminin özel durumlarıdır. Yöntem, şimdi iki yerine üç boyutta çalışmamızın dışında, iki katlı integrallerdeki yöntem gibidir.

$uvw$ -uzayındaki bir  $G$  bölgesinin  $xyz$ -uzayındaki bir  $D$  bölgesine, Şekil 15.51'de önebildiği gibi,

$$x = g(u, v, w), \quad y = h(u, v, w), \quad z = k(u, v, w)$$

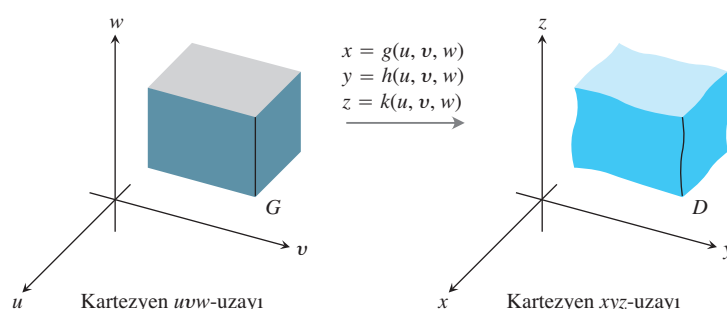
formundaki diferansiyellenebilir denklemlerle bire-bir olarak dönüştürüldüğünü varsayıñ. Bu durumda,  $D$  üzerinde tanımlı herhangi bir  $F(x, y, z)$  fonksiyonu  $G$  üzerinde tanımlı bir

$$F(g(u, v, w), h(u, v, w), k(u, v, w)) = H(u, v, w)$$

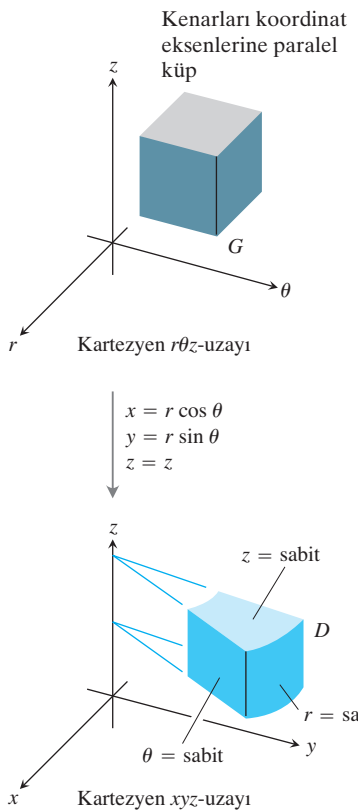
fonksiyonu olarak düşünülebilir.  $g$ ,  $h$  ve  $k$ 'nin birinci mertebe kısmi türevleri var ve sürekli iseler,  $F(x, y, z)$ 'nin  $D$  üzerindeki integrali  $H(u, v, w)$ 'nun  $G$  üzerindeki integraline

$$\iiint_D F(x, y, z) dx dy dz = \iiint_G H(u, v, w) |J(u, v, w)| du dv dw \quad [7]$$

denklemiyle bağlıdır.



**ŞEKİL 15.51**  $x = g(u, v, w)$ ,  $y = h(u, v, w)$  ve  $z = k(u, v, w)$  denklemleri Kartezyen  $xyz$ -uzayının bir  $D$  bölgesindeki bir integrali Kartezyen  $uvw$ -uzayının bir  $G$  bölgesindeki bir integrale dönüştürmemizi sağlar.



**ŞEKİL 15.52**  $x = r \cos \theta$ ,  $y = r \sin \theta$  ve  $z = z$  denklemi  $G$  kubunu  $D$  silindirik takozuna dönüştürür.

Bu denklemde mutlak değeri görülen  $J(u, v, w)$  çarpanı

$$J(u, v, w) = \begin{vmatrix} \frac{\partial x}{\partial u} & \frac{\partial x}{\partial v} & \frac{\partial x}{\partial w} \\ \frac{\partial y}{\partial u} & \frac{\partial y}{\partial v} & \frac{\partial y}{\partial w} \\ \frac{\partial z}{\partial u} & \frac{\partial z}{\partial v} & \frac{\partial z}{\partial w} \end{vmatrix} = \frac{\partial(x, y, z)}{\partial(u, v, w)}$$

**Jakobiyen determinantıdır.** Bu determinant,  $(u, v, w)$ 'dan  $(x, y, z)$  koordinatlarına dönüşüm tarafından,  $G$ 'deki bir nokta yakınındaki hacmin ne kadar genişlediğini veya büzüldüğünü ölçer. İki boyutlu durumda olduğu gibi, (7) denklemindeki değişken-dönüşümü-formülünün türetilmiş karmaşıktır ve burada bunun üzerinde durmayacağız.

Silindirik koordinatlar için,  $u$ ,  $v$  ve  $w$ 'nın yerini  $r$ ,  $\theta$  ve  $z$  alır. Kartezyen  $r\theta z$ -uzayından Kartezyen  $xyz$ -uzayına dönüşüm

$$x = r \cos \theta, \quad y = r \sin \theta, \quad z = z$$

denklemleriyle verilir (Şekil 15.52). Dönüşümün Jakobiyen'i

$$\begin{aligned} J(r, \theta, z) &= \begin{vmatrix} \frac{\partial x}{\partial r} & \frac{\partial x}{\partial \theta} & \frac{\partial x}{\partial z} \\ \frac{\partial y}{\partial r} & \frac{\partial y}{\partial \theta} & \frac{\partial y}{\partial z} \\ \frac{\partial z}{\partial r} & \frac{\partial z}{\partial \theta} & \frac{\partial z}{\partial z} \end{vmatrix} = \begin{vmatrix} \cos \theta & -r \sin \theta & 0 \\ \sin \theta & r \cos \theta & 0 \\ 0 & 0 & 1 \end{vmatrix} \\ &= r \cos^2 \theta + r \sin^2 \theta = r \end{aligned}$$

olur. (7) denkleminin buna karşılık gelen versiyonu

$$\iiint_D F(x, y, z) dx dy dz = \iiint_G H(r, \theta, z) |r| dr d\theta dz$$

şeklindedir.  $r \geq 0$  olduğunda, mutlak değer işaretlerini kaldırabiliriz.

Küresel koordinatlar için,  $u$ ,  $v$ ,  $w$ 'nın yerini  $\rho$ ,  $\phi$  ve  $\theta$  alır. Kartezyen  $\rho\phi\theta$ -uzayından Kartezyen  $xyz$ -uzayına dönüşüm

$$x = \rho \sin \phi \cos \theta, \quad y = \rho \sin \phi \sin \theta, \quad z = \rho \cos \phi$$

denklemleriyle verilir (Şekil 15.53). Dönüşümün Jakobiyen'i

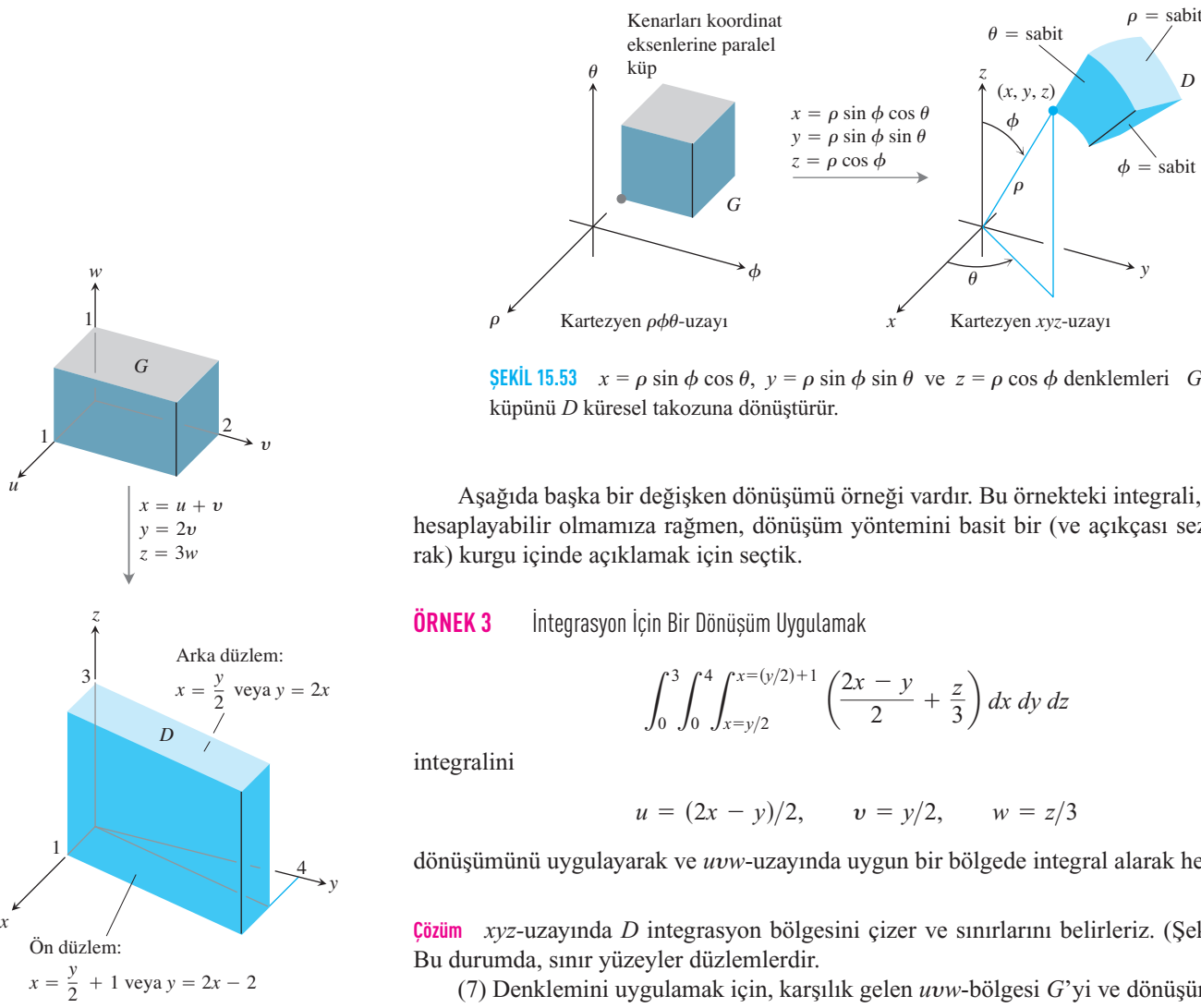
$$J(\rho, \phi, \theta) = \begin{vmatrix} \frac{\partial x}{\partial \rho} & \frac{\partial x}{\partial \phi} & \frac{\partial x}{\partial \theta} \\ \frac{\partial y}{\partial \rho} & \frac{\partial y}{\partial \phi} & \frac{\partial y}{\partial \theta} \\ \frac{\partial z}{\partial \rho} & \frac{\partial z}{\partial \phi} & \frac{\partial z}{\partial \theta} \end{vmatrix} = \rho^2 \sin \phi$$

olur (Alıştırma 17).

(7) denkleminin buna karşılık gelen versiyonu

$$\iiint_D F(x, y, z) dx dy dz = \iiint_G H(\rho, \phi, \theta) |p^2 \sin \phi| d\rho d\phi d\theta$$

halini alır.  $0 \leq \phi \leq \pi$  için  $\sin \phi$  asla negatif olmadığından, mutlak değer işaretlerini kaldırabiliriz. Bunun, Bölüm 15.6'da elde ettiğimiz sonucun aynısı olduğuna dikkat edin.



**SEKİL 15.54**  $x = u + v$ ,  $y = 2v$  ve  $z = 3w$  denklemleri  $G'$ yi  $D$ 'ye dönüştürür. Dönüşümü  $u = (2x - y)/2$ ,  $v = y/2$  ve  $w = z/3$  denklemleriyle tersine çevirmek  $D$ 'yi  $G'$ ye dönüştürür (Örnek 3).

$D$ 'nin sınırlarının xyz-denklemleri	$G$ 'nin sınırlarının karşılık gelen $uvw$ -denklemleri	Basitleştirilmiş $uvw$ -denklemleri
$x = y/2$	$u + v = 2v/2 = v$	$u = 0$
$x = (y/2) + 1$	$u + v = (2v/2) + 1 = v + 1$	$u = 1$
$y = 0$	$2v = 0$	$v = 0$
$y = 4$	$2v = 4$	$v = 2$
$z = 0$	$3w = 0$	$w = 0$
$z = 3$	$3w = 3$	$w = 1$

Dönüşümün Jakobiyenini, yine (9) denklemlerinden,

$$J(u, v, w) = \begin{vmatrix} \frac{\partial x}{\partial u} & \frac{\partial x}{\partial v} & \frac{\partial x}{\partial w} \\ \frac{\partial y}{\partial u} & \frac{\partial y}{\partial v} & \frac{\partial y}{\partial w} \\ \frac{\partial z}{\partial u} & \frac{\partial z}{\partial v} & \frac{\partial z}{\partial w} \end{vmatrix} = \begin{vmatrix} 1 & 1 & 0 \\ 0 & 2 & 0 \\ 0 & 0 & 3 \end{vmatrix} = 6$$

olarak bulunur. Artık elimizde (7) denklemini uygulamak için her şey vardır:

$$\begin{aligned} & \int_0^3 \int_0^4 \int_{x=y/2}^{x=(y/2)+1} \left( \frac{2x - y}{2} + \frac{z}{3} \right) dx dy dz \\ &= \int_0^1 \int_0^2 \int_0^1 (u + w) |J(u, v, w)| du dv dw \\ &= \int_0^1 \int_0^2 \int_0^1 (u + w)(6) du dv dw = 6 \int_0^1 \int_0^2 \left[ \frac{u^2}{2} + uw \right]_0^1 dv dw \\ &= 6 \int_0^1 \int_0^2 \left( \frac{1}{2} + w \right) dv dw = 6 \int_0^1 \left[ \frac{v}{2} + vw \right]_0^2 dw = 6 \int_0^1 (1 + 2w) dw \\ &= 6[w + w^2]_0^1 = 6(2) = 12. \end{aligned}$$

Bu bölümün amacı, koordinat dönüşümlerinin içerdiği fikirlerle sizleri tanıştırmaktı. Dönüşümler, Jakobiyen ve çok değişkenli dönüşümlerin esaslı bir incelemesi bir lineer cebir dersinden sonra ileri analizde daha iyi verilmektedir.

## ALIŞTIRMALAR 15.7

### İki Değişken İçin Jakobiyenler ve Dönüştürülmüş Bilgeler Bulmak

1. a.

$$u = x - y, \quad v = 2x + y$$

sisteminden  $x$  ve  $y$ 'yi  $u$  ve  $v$  cinsinden çözün. Sonra  $\partial(x, y)/\partial(u, v)$  Jakobiyeninin değerini bulun.

- b.  $xy$ -düzleminde köşeleri  $(0, 0)$ ,  $(1, 1)$  ve  $(1, -2)$ 'de bulunan üçgen bölgenin  $u = x - y$ ,  $v = 2x + y$  dönüşümü altındaki görüntüsünü bulun.  $uv$ -düzleminde dönüştürülmüş bölgeyi çizin.

2. a.

$$u = x + 2y, \quad v = x - y$$

sisteminden  $x$  ve  $y$ 'yi  $u$  ve  $v$  cinsinden çözün. Sonra  $\partial(x, y)/\partial(u, v)$  Jakobiyeninin değerini bulun.

- b.  $xy$ -düzleminde  $y = 0$ ,  $y = x$  ve  $x + 2y = 2$  doğrularıyla sınırlı üçgen bölgenin  $u = x + 2y$ ,  $v = x - y$  dönüşümü altındaki görüntüsünü bulun.  $uv$ -düzleminde dönüştürülmüş bölgeyi çizin.

3. a.

$$u = 3x + 2y, \quad v = x + 4y$$

sisteminden  $x$  ve  $y$ 'yi  $u$  ve  $v$  cinsinden çözün. Sonra  $\partial(x, y)/\partial(u, v)$  Jakobiyeninin değerini bulun.

- b.  $xy$ -düzleminde  $x$ -ekseni,  $y$ -ekseni ve  $x + y = 1$  doğrusuyla sınırlı üçgen bölgenin  $u = 3x + 2y$ ,  $v = x + 4y$  dönüşümü altındaki görüntüsünü bulun.  $uv$ -düzleminde dönüştürülmüş bölgeyi çizin.

4. a.

$$u = 2x - 3y, \quad v = -x + y$$

sisteminden  $x$  ve  $y$ 'yi  $u$  ve  $v$  cinsinden çözün. Sonra  $\partial(x, y)/\partial(u, v)$  Jakobiyeninin değerini bulun.

- b.  $xy$ -düzleminde sınırları  $x = -3$ ,  $x = 0$ ,  $y = x$  ve  $y = x + 1$  olan  $R$  paralelkenarının  $u = 2x - 3y$ ,  $v = -x + y$  dönüşümü altındaki görüntüsünü bulun.  $uv$ -düzleminde dönüştürülmüş bölgeyi çizin.

## İki Katlı İntegraler hesaplamak İçin

### Dönüşüm Uygulamak

5. Örnek 1'deki

$$\int_0^4 \int_{x=y/2}^{x=(y/2)+1} \frac{2x-y}{2} dx dy$$

integralini doğrudan  $x$  ve  $y$ 'ye göre integre ederek değerinin 2 olduğunu doğrulayın.

6. Birinci dörtte bir bölgede  $y = -2x + 4$ ,  $y = -2x + 7$ ,  $y = x - 2$  ve  $y = x + 1$  doğrularıyla sınırlı  $R$  bölgesinde

$$\iint_R (2x^2 - xy - y^2) dx dy$$

integralini hesaplamak için Örnek 1'deki dönüşümü kullanın.

7. Birinci dörtte bir bölgede  $y = -(3/2)x + 1$ ,  $y = -(3/2)x + 3$ ,  $y = -(1/4)x$  ve  $y = (1/4)x + 1$  doğrularıyla sınırlı  $R$  bölgesinde

$$\iint_R (3x^2 + 14xy + 8y^2) dx dy$$

integralini hesaplamak için Örnek 3'teki dönüşümü kullanın.

8. Alıştırma 4'teki dönüşüm ve paralelkenarı kullanarak

$$\iint_R 2(x - y) dx dy$$

integralini hesaplayın.

9.  $R$ ,  $xy$ -düzleminin birinci dörtte bir bölgesinde  $xy = 1$ ,  $xy = 9$  hiperbollerinin  $y = x$ ,  $y = 4x$  doğrularıyla sınırlı bölge olsun.  $u > 0$  ve  $v > 0$  ile  $x = u/v$ ,  $y = uv$  dönüşümünü kullanarak

$$\iint_R \left( \sqrt{\frac{y}{x}} + \sqrt{xy} \right) dx dy$$

integralini  $uv$ -düzleminde uygun bir  $G$  bölgesinde yeniden yazın. Sonra  $G$  üzerinde  $uv$ -integralini hesaplayın.

10. a.  $x = u$ ,  $y = uv$  dönüşümünün Jakobiyenini bulun ve  $uv$ -düzlemindeki  $G$ :  $1 \leq u \leq 2$ ,  $1 \leq uv \leq 2$  bölgesini çizin.

b. Sonra

$$\int_1^2 \int_1^2 \frac{y}{x} dy dx$$

integralini  $G$ 'de bir integrale dönüştürmek için (1) denklemi kullanın ve iki integrali de hesaplayın.

11. **Eliptik bir levhanın kutupsal eylemsizlik momenti** Sabit yoğunluklu ince bir levha  $xy$ -düzleminde  $x^2/a^2 + y^2/b^2 = 1$ ,  $a > 0$ ,  $b > 0$  elipsiyle sınırlı bölgeyi kaplamaktadır. Plakanın origin etrafındaki birinci momentini bulun (*İpucu*:  $x = ar \cos \theta$ ,  $y = br \sin \theta$  dönüşümünü kullanın).

12. **Bir elipsin alanı**  $x^2/a^2 + y^2/b^2 = 1$  elipsinin alanı,  $\pi ab$ ,  $f(x, y) = 1$  fonksiyonu  $xy$ -düzleminde elipse sınırlı bölgede integre edilerek bulunabilir. İntegrali doğrudan hesaplamak trigonometrik bir değişken dönüşümü gerektirir. İntegrali hesaplamadan daha kolay bir yolu  $x = au$ ,  $y = bv$  dönüşümünü kullanmak ve dönüştürülmüş integrali  $uv$ -düzleminde  $G$ :  $u^2 + v^2 \leq 1$  dairesi üzerinde hesaplamaktır. Alanı bu yolla bulun.

13. Örnek 2'deki dönüşümü kullanarak,

$$\int_0^{2/3} \int_y^{2-2y} (x + 2y)e^{(y-x)} dx dy$$

integralini, önce  $uv$ -düzleminde bir  $G$  bölgesi üzerinde bir integral olarak yazın ve hesaplayın.

14.  $x = u + (1/2)v$ ,  $y = v$  dönüşümünü kullanarak,

$$\int_0^2 \int_{y/2}^{(y+4)/2} y^3(2x - y)e^{(2x-y)^2} dx dy$$

integralini, önce  $uv$ -düzleminde bir  $G$  bölgesi üzerinde bir integral olarak yazın ve hesaplayın.

### Jakobiyen Determinantları Bulmak

15. Verilen dönüşümlerin  $\partial(x, y)/\partial(u, v)$  Jakobiyenini bulun.

a.  $x = u \cos v$ ,  $y = u \sin v$

b.  $x = u \sin v$ ,  $y = u \cos v$ .

16. Verilen dönüşümlerin  $\partial(x, y, z)/\partial(u, v, w)$  Jakobiyenini bulun.

a.  $x = u \cos v$ ,  $y = u \sin v$ ,  $z = w$

b.  $x = 2u - 1$ ,  $y = 3v - 4$ ,  $z = (1/2)(w - 4)$ .

17. Uygun determinantı hesaplayarak Kartezyen  $\rho\phi\theta$ -uzayından Kartezyen  $xyz$ -uzayına dönüşümün Jakobiyeninin  $\rho^2 \sin \phi$  olduğunu gösterin.

- 18. Tek katlı integrallerde değişken dönüşümü** Tek katlı belirli integrallerde değişken dönüşümleri bölgelerin dönüşümü olarak nasıl görülebilir? Böyle bir durumda Jakobiyen nedir? Bir örnek canlandırın.

### Üç Katlı İntegraller Hesaplamak İçin Dönüşüm Uygulamak

19. Örnek 3'teki integrali  $x$ ,  $y$  ve  $z$ 'ye göre integre ederek hesaplayın.  
**20. Bir Elipsoidin Hacmi**

$$\frac{x^2}{a^2} + \frac{y^2}{b^2} + \frac{z^2}{c^2} = 1$$

elipsoidinin hacmini bulun (*İpucu:*  $x = au$ ,  $y = bv$  ve  $z = cw$  alın. Sonra  $uvw$ -uzayında uygun bir bölgenin hacmini bulun).

21.

$$\iiint |xyz| dx dy dz$$

integralini

$$\frac{x^2}{a^2} + \frac{y^2}{b^2} + \frac{z^2}{c^2} \leq 1$$

elipsoidi üzerinde integre edin (*İpucu:*  $x = au$ ,  $y = bv$  ve  $z = cw$  alın. Sonra  $uvw$ -uzayında uygun bir bölgede integre edin).

22.  $D$ ,  $xyz$ -uzayında

$$1 \leq x \leq 2, \quad 0 \leq xy \leq 2, \quad 0 \leq z \leq 1$$

eşitsizlikleriyle tanımlı bölge olsun.

$$\iiint_D (x^2y + 3xyz) dx dy dz$$

integralini

$$u = x, \quad v = xy, \quad w = 3z$$

dönüşümlerini uygulayıp,  $uvw$ -uzayında bir  $G$  bölgesinde integre ederek hesaplayın.

- 23. İçi dolu bir yarı-elipsoidin merkezi** İçi dolu bir yarı-elipsoidin kütle merkezinin simetri ekseni üzerinde, tabandan üste doğru yolun üç bölü sekizinde olduğu sonucunun doğruluğunu varsayıarak, uygun integralleri dönüştürerek,  $(x^2/a^2) + (y^2/b^2) + (z^2/c^2) \leq 1$ ,  $z \geq 0$  elipsoidinin kütle merkezinin  $z$ -ekseni üzerinde, tabandan tepeye olan yolun üç bölü sekizinde olduğunu gösterin (Bunu, integralleri hesaplamadan da yapabilirsiniz).

- 24. Silindirik kabuklar** Bölüm 6.2'de kabuk yöntemini kullanarak bir dönel cismin hacminin nasıl bulunacağını öğrendik; Yani,  $y = f(x)$  eğrisi ve  $a$ 'dan  $b$ 'ye kadar  $x$ -ekseni arasındaki bölge ( $0 < a < b$ )  $y$ -ekseni etrafında döndürülürse, elde edilen katı cismin hacmi  $\int_a^b 2\pi x f(x) dx$  dir. Hacimleri, üç katlı integraller kullanarak bulmanın aynı sonucu verdieneni ispatlayın (*İpucu:*  $y$  ve  $z$ 'nin rollerini değiştirerek silindirik koordinatları kullanın).

## Bölüm 15

### Bölüm Tekrar Soruları

- İki değişkenli bir fonksiyonun, koordinat düzleminde sınırlı bir bölge üzerinde iki katlı integralini tanımlayın.
- İki katlı integraller ardışık integraller olarak nasıl hesaplanır? İntegrasyon sırası önemli midir? İntegrasyon sınırları nasıl belirlenir? Örnek verin.
- Alanları, ortalama değerleri, kütleleri, momentleri, kütle merkezlerini ve jirasyon yarıçaplarını hesaplamak için iki katlı integraller nasıl kullanılır? Örnekler verin.
- Kartezyen koordinatlarda iki katlı bir integrali kutupsal koordinatlarda iki katlı bir integrale nasıl dönüştürürsünüz? Bunu yapmak neden gerekebilir? Bir örnek verin.
- Bir  $f(x, y, z)$  fonksiyonunun, uzayda sınırlı bir bölgede üç katlı integralini tanımlayın.
- Kartezyen koordinatlarda üç katlı integraller nasıl hesaplanır? İntegrasyon sınırları nasıl belirlenir? Bir örnek verin.
- Kartezyen koordinatlarda üç katlı integraller nasıl hesaplanır? İntegrasyon sınırları nasıl belirlenir? Bir örnek verin.
- Kartezyen koordinatlarda üç katlı integraller nasıl hesaplanır? İntegrasyon sınırları nasıl belirlenir? Bir örnek verin.
- Kartezyen koordinatlarda üç katlı integraller nasıl hesaplanır? İntegrasyon sınırları nasıl belirlenir? Bir örnek verin.
- Kartezyen koordinatlarda üç katlı integraller nasıl hesaplanır? İntegrasyon sınırları nasıl belirlenir? Bir örnek verin.

**Bölüm 15****Problemler****Düzlemsel Integrasyon Bölgeleri**

1–4 problemlerinde, integrasyon bölgesini çizin ve iki katlı integrali hesaplayın.

$$1. \int_1^{10} \int_0^{1/y} ye^{xy} dx dy$$

$$2. \int_0^1 \int_0^{x^3} e^{y/x} dy dx$$

$$3. \int_0^{3/2} \int_{-\sqrt{9-4t^2}}^{\sqrt{9-4t^2}} t ds dt$$

$$4. \int_0^1 \int_{\sqrt{y}}^{2-\sqrt{y}} xy dx dy$$

**Integrasyon Sırasını Değiştirmek**

5–8 problemlerinde, integrasyon bölgesini çizin ve integrasyon sırası, verilenin tersi olan eşdeğer bir integral yazın. Sonra iki integrali de hesaplayın.

$$5. \int_0^4 \int_{-\sqrt{4-y}}^{(y-4)/2} dx dy$$

$$6. \int_0^1 \int_{x^2}^x \sqrt{x} dy dx$$

$$7. \int_0^{3/2} \int_{-\sqrt{9-4y^2}}^{\sqrt{9-4y^2}} y dx dy$$

$$8. \int_0^2 \int_0^{4-x^2} 2x dy dx$$

**İki Katlı İntegralleri Hesaplamak**

9–12 problemlerindeki integralleri hesaplayın.

$$9. \int_0^1 \int_{2y}^2 4 \cos(x^2) dx dy$$

$$10. \int_0^2 \int_{y/2}^1 e^{x^2} dx dy$$

$$11. \int_0^8 \int_{\sqrt{x}}^2 \frac{dy}{y^4+1} dx$$

$$12. \int_0^1 \int_{\sqrt[3]{y}}^1 \frac{2\pi \sin \pi x^2}{x^2} dx dy$$

**Alan ve Hacimler**

13. **Doğru ve parabol arasındaki alan**  $xy$ -düzleminde  $y = 2x + 4$  doğrusu ve  $y = 4 - x^2$  parabolü ile sınırlı bölgenin alanını bulun.

14. **Doğrular ve parabol ile sınırlı alan**  $xy$ -düzleminde sağdan  $y = x^2$  parabolü, soldan  $x + y = 2$  doğrusu ve üstten  $y = 4$  doğrusuya sınırlı “üçgensel” bölgenin alanını bulun.

15. **Bir paraboloidin altındaki bölgenin hacmi**  $xy$ -düzleminde  $y = x$ ,  $x = 0$  ve  $x + y = 2$  doğrularıyla çevrili üçgenin üzerinde ve  $z = x^2 + y^2$  paraboloidinin altında kalan hacmi bulun.

16. **Bir parabolik silindirin altındaki bölgenin hacmi**  $xy$ -düzleminde  $y = 6 - x^2$  parabolü ve  $y = x$  doğrusuya çevrili bölgenin üzerinde ve  $z = x^2$  parabolik silindirinin altında kalan hacmi bulun.

**Ortalama Değerler**

$f(x, y) = xy$ 'nin Problem 17 ve 18'de verilen bölgelerdeki ortalama değerini bulun.

17. Birinci bölgede  $x = 1$ ,  $y = 1$  doğrularıyla sınırlı kare.

18. Birinci bir bölgede  $x^2 + y^2 \leq 1$  çeyrek dairesi.

**Kütleler ve Momentler**

19. **Merkez**  $xy$ -düzleminde  $x = 2$ ,  $y = 2$  doğruları ve  $xy = 2$  hiperbolü ile sınırlı “üçgensel” bölgenin merkezini bulun.

20. **Merkez**  $xy$ -düzleminde  $x + y^2 - 2y = 0$  parabolü ve  $x + 2y = 0$  doğrusu arasında kalan bölgenin merkezini bulun.

21. **Kutupsal moment**  $y$ -ekseni ve  $xy$ -düzleminde  $y = 2x$  ve  $y = 4$  doğrularıyla sınırlı sabit  $\delta = 3$  yoğunluklu ince bir üçgen levhanın orijin etrafındaki kutupsal eylemsizlik momentini bulun.

22. **Kutupsal moment** Aşağıdaki doğrularla sınırlı sabit  $\delta = 1$  yoğunluklu dikdörtgen levhanın merkezi etrafındaki kutupsal eylemsizlik momentini bulun.

a.  $xy$ -düzleminde  $x = \pm 2$ ,  $y = \pm 1$

b.  $xy$ -düzleminde  $x = \pm a$ ,  $y = \pm b$

(İpucu:  $I_x$ 'i bulun. Sonra  $I_x$  formülünden  $I_y$ 'yi bulun ve ikisini toplayarak  $I_0$ 'yı bulun).

23. **Eylemsizlik momenti ve jirasyon yarıçapı**  $xy$ -düzleminde köşeleri  $(0, 0)$ ,  $(3, 0)$  ve  $(3, 2)$ 'de olan üçgen bölgeyi kaplayan sabit  $\delta$  yoğunluklu plakanın  $x$ -ekseni etrafındaki eylemsizlik momenti ile jirasyon yarıçapını bulun.

24. **Değişken yoğunluklu plaka** Yoğunluğu  $\delta(x, y) = x + 1$  ise,  $xy$ -düzleminde  $y = x$  doğrusu ve  $y = x^2$  parabolüyle sınırlanan ince bir plakanın kütle merkezini ve koordinat eksenleri etrafındaki eylemsizlik momentleri ile jirasyon yarıçaplarını bulun.

25. **Değişken yoğunluklu plaka** Yoğunluğu  $\delta(x, y) = x^2 + y^2 + 1/3$  ise,  $xy$ -düzleminde  $x = \pm 1$ ,  $y = \pm 1$  doğrularıyla sınırlı ince kare plakanın kütlesini ve koordinat eksenleri etrafındaki birinci momentlerini bulun.

26. **Aynı eylemsizlik momentli ve jirasyon yarıçaplı üçgenler** Tabanı  $x$ -ekseni üzerindeki  $[0, b]$  aralığında bulunan ve tepe noktası  $x$ -ekseninin üst tarafında  $y = h$  doğrusu üzerinde olan sabit  $\delta$  yoğunluklu ince üçgen plakanın  $x$ -ekseni etrafındaki eylemsizlik momentini ve jirasyon yarıçapını bulun. Görüğünüz gibi, bu tepe noktasının nerede olduğu önemli değildir. Bu çeşit bütün üçgenlerin eylemsizlik momentleri ve jirasyon yarıçapları aynıdır.

**Kutupsal Koordinatlar**

27 ve 28 problemlerindeki integralleri kutupsal koordinatlara dönüştürerek hesaplayın.

$$27. \int_{-1}^1 \int_{-\sqrt{1-x^2}}^{\sqrt{1-x^2}} \frac{2 dy dx}{(1+x^2+y^2)^2}$$

$$28. \int_{-1}^1 \int_{-\sqrt{1-y^2}}^{\sqrt{1-y^2}} \ln(x^2 + y^2 + 1) dx dy$$

29. **Merkez** Kutupsal koordinat düzleminde  $0 \leq r \leq 3$ ,  $-\pi/3 \leq \theta \leq \pi/3$  eşitsizlikleriyle tanımlanan bölgenin merkezini bulun.

- 30. Merkez** Birinci dörtte bir bölgede,  $\theta = 0$  ve  $\theta = \pi/2$  ışınları ile  $r = 1$  ve  $r = 3$  çemberleri arasında kalan bölgenin merkezini bulun.
- 31. a. Merkez** Kutupsal koordinat düzleminde  $r = 1 + \cos \theta$  kardioidinin içinde ve  $r = 1$  çemberinin dışında kalan bölgenin merkezini bulun.
- b. Bölgeyi çizin ve merkezi çiziminizde gösterin.
- 32. a. Merkez** Kutupsal koordinat düzleminde  $0 \leq r \leq a$ ,  $-\alpha \leq \theta \leq \alpha$  ( $0 \leq \alpha \leq \pi$ ) eşitsizlikleriyle tanımlanan bölgenin merkezini bulun.  $\alpha \rightarrow \pi^-$  için merkez nasıl hareket eder?
- b.  $\alpha = 5\pi/6$  için bölgeyi çizin ve merkezi çiziminizde belirtin.
- 33. Lemniskat üzerinde integrasyon**  $f(x, y) = 1/(1+x^2+y^2)^2$  fonksiyonunu  $(x^2+y^2)^2 - (x^2-y^2) = 0$  lemniskatının bir döngüsü üzerinde integre edin.
- 34.**  $f(x, y) = 1/(1+x^2+y^2)^2$ yi aşağıdaki bölgelerde integre edin.
- a. Üçgensel bölge köşeleri  $(0, 0)$ ,  $(1, 0)$ ,  $(1, \sqrt{3})$ 'te olan üçgen
- b. Birinci bölge  $xy$ -düzleminin birinci dörtte bir bölgesi

### Kartezyen Koordinatlarda Üç Katlı İntegraler

35–38 problemlerindeki integralleri hesaplayın.

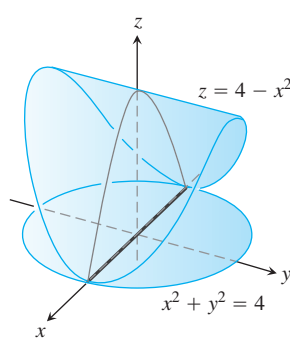
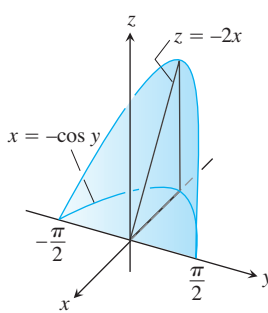
35.  $\int_0^\pi \int_0^\pi \int_0^\pi \cos(x+y+z) dx dy dz$

36.  $\int_{\ln 6}^{\ln 7} \int_0^{\ln 2} \int_{\ln 4}^{\ln 5} e^{(x+y+z)} dz dy dx$

37.  $\int_0^1 \int_0^{x^2} \int_0^{x+y} (2x-y-z) dz dy dx$

38.  $\int_1^e \int_1^x \int_0^z \frac{2y}{z^3} dy dz dx$

- 39. Hacim** Yanlardan  $x = -\cos y$ ,  $-\pi/2 \leq y \leq \pi/2$  silindiri, üstten  $z = -2x$  düzlemi ve alttan  $xy$ -düzlemiyle sınırlı takoz şekilli bölgenin hacmini bulun.



- 40. Hacim** Üstten  $z = 4 - x^2$  silindiri, yanlardan  $x^2 + y^2 = 4$  silindiri ve alttan  $xy$ -düzlemiyle cismin hacmini bulun.

- 41. Ortalama değer**  $f(x, y, z) = 30xz \sqrt{x^2 + y^2}$ nin birinci sekizde bir bölgede koordinat düzlemleri ve  $x = 1$ ,  $y = 3$ ,  $z = 1$  düzlemleriyle sınırlı bölgede ortalama değerini bulun.

- 42. Ortalama değer**  $\rho$ 'nın  $\rho \leq a$  (küresel koordinatlar) küresi üzerindeki ortalama değerini bulun.

### Silindirik ve Küresel Koordinatlar

- 43. Silindirikten kartezyen koordinatlara**

$$\int_0^{2\pi} \int_0^{\sqrt{2}} \int_r^{\sqrt{4-r^2}} 3 dz r dr d\theta, \quad r \geq 0$$

integralini (a) integrasyon sırası  $dz dx dy$  olmak üzere Kartezyen koordinatlara ve (b) küresel koordinatlara dönüştürün. Sonra (c) integrallerden birini hesaplayın.

- 44. Kartezyenden silindirik koordinatlara** (a) Silindirik koordinatlara dönüştürün. Sonra (b) integrali hesaplayın.

$$\int_0^1 \int_{-\sqrt{1-x^2}}^{\sqrt{1-x^2}} \int_{-(x^2+y^2)}^{(x^2+y^2)} 21xy^2 dz dy dx$$

- 45. Kartezyenden küresel koordinatlara** (a) Küresel koordinatlara dönüştürün. Sonra (b) integrali hesaplayın.

$$\int_{-1}^1 \int_{-\sqrt{1-x^2}}^{\sqrt{1-x^2}} \int_{\sqrt{x^2+y^2}}^1 dz dy dx$$

- 46. Kartezyen, silindirik ve küresel koordinatlara**  $f(x, y, z) = 6 + 4y$ 'nın birinci sekizde bir bölgede  $z = \sqrt{x^2 + y^2}$  konisi,  $x^2 + y^2 = 1$  silindiri ve koordinat düzlemleriyle sınırlı bölgedeki integrali için (a) Kartezyen koordinatlarda, (b) silindirik koordinatlarda, (c) küresel koordinatlarda üç katlı ardışık birer integral yazın. Sonra (d)  $f$ 'nin integralini bu üç katlı integrallerden birini hesaplayarak bulun.

- 47. Silindirikten kartezyen koordinatlara** Kartezyen koordinatlarda,

$$\int_0^{\pi/2} \int_1^{\sqrt{3}} \int_1^{\sqrt{4-r^2}} r^3 (\sin \theta \cos \theta) z^2 dz dr d\theta.$$

integraline eşdeğer bir integral yazın. İntegrasyon sırasını önce  $z$ , sonra  $y$ , sonra da  $x$  olacak şekilde düzenleyin.

- 48. Kartezyenden silindirik koordinatlara** Bir cismin hacmi aşağıdaki gibidir:

$$\int_0^2 \int_0^{\sqrt{2x-x^2}} \int_{-\sqrt{4-x^2-y^2}}^{\sqrt{4-x^2-y^2}} dz dy dx.$$

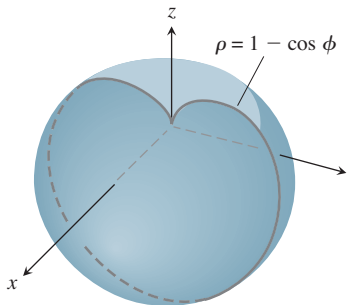
- a. Sınırları oluşturan yüzeylerin denklemelerini vererek cismin tanımlayın.

- b. Integrali silindirik koordinatlara dönüştürün, ama integrali hesaplamayın.

- 49. Küreselle karşı silindirik koordinatlar** Küresel şekiller içeren üç katlı integraller, uygun hesaplama için her zaman küresel koordinatları gerektirmez. Bazı hesaplamalar silindirik koordinatlarda daha kolay yapılabilir. Örnek olarak, üstten  $x^2 + y^2 + z^2 = 8$  küresi

ve alttan  $z = 2$  düzleme ile sınırlı bölgenin hacmini **(a)** silindirik koordinatlar, **(b)** küresel koordinatlar kullanarak hesaplayın.

- 50. Küresel koordinatlarda  $I_z$  bulmak** Üstten  $\rho = 2$  külesi ve alttan  $\phi = \pi/3$  konisi (küresel koordinatlar) ile sınırlı sabit  $\delta = 1$  yoğunluklu cismin  $z$ -eksenine etrafındaki eylemsizlik momentini bulun.
- 51. "Kalın" bir kürenin eylemsizlik momentini bulmak**  $a$  ve  $b$  yarıçaplı ( $a < b$ ) iki eşmerkezli küre ile sınırlı sabit  $\delta$  yoğunluklu bir cismin bir çap etrafındaki eylemsizlik momentini bulun.
- 52. Bir elmanın eylemsizlik momenti** Küresel koordinatlarda  $\rho = 1 - \cos \phi$  yüzeyi ile çevrili  $\delta = 1$  yoğunluklu katı cismin  $z$ -eksenine etrafındaki eylemsizlik momentini bulun. Cisim, aşağıdaki şekilde renkli eğrinin  $z$ -eksenine etrafında döndürülmesi ile elde edilir.



## Bölüm 15

### Ek ve İleri Alıştırmalar

#### Hacimler

- Kum tepesi: İki ve üç kath integraler** Bir kum tepesinin tabanı  $xy$ -düzleminde  $x^2 + y = 6$  parabolü ve  $y = x$  doğrusuyla sınırlı bölgeyi kaplamaktadır. ( $x, y$  noktasının üzerindeki kumun yüksekliği  $x^2$ dir. Kumun hacmini **(a)** iki katlı bir integral, **(b)** üç katlı bir integral olarak ifade edin. Sonra **(c)** hacmi bulun.)
- Yarım küre şekilli kap içindeki su** 5 cm yarıçaplı yarımküre şeklinde bir kap tepesine 3 cm kalana kadar suyla doldurulmuştur. Kaptaki suyun hacmini bulun.
- İki düzlem arasında silindirik katı bölge**  $x^2 + y^2 \leq 1$  katı (içi dolu) silindirinin  $z = 0$  ve  $x + y + z = 2$  düzlemleri arasında kalan kısmının hacmini bulun.
- Küre ve paraboloid** Üstten  $x^2 + y^2 + z^2 = 2$  külesi ve alttan  $z = x^2 + y^2$  paraboloidiyle sınırlı bölgenin hacmini bulun.
- İki paraboloid** Üstten  $z = 3 - x^2 - y^2$  paraboloidi ve alttan  $z = 2x^2 + 2y^2$  paraboloidi ile sınırlı bölgenin hacmini bulun.
- Küresel koordinatlar** Küresel koordinatlarda  $\rho = 2 \sin \phi$  yüzeyi ile çevrili bölgenin hacmini bulun (Şekle bakın).

#### Değişken Dönüşümleri

- 53.**  $u = x - y$  ve  $v = y$  ise,

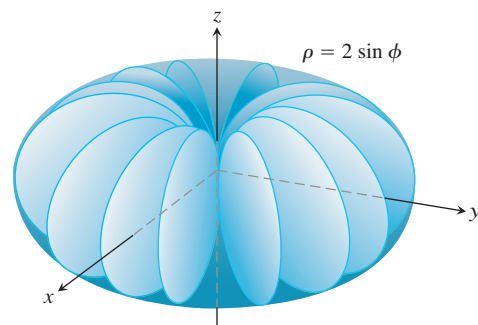
$$\int_0^\infty \int_0^x e^{-sx} f(x-y, y) dy dx = \int_0^\infty \int_0^\infty e^{-s(u+v)} f(u, v) du dv$$

olduğunu gösterin.

- 54.**

$$\int_{-\infty}^\infty \int_{-\infty}^\infty e^{-(ax^2+2bxy+cy^2)} dx dy = 1$$

olmasını sağlamak için  $a, b$  ve  $c$  arasında nasıl bir ilişki olmalıdır? (İpucu:  $(\alpha\delta - \beta\gamma)^2 = ac - b^2$  olmak üzere  $s = ax + \beta y$  ve  $t = \gamma x + \delta y$  olsun. Bu durumda,  $ax^2 + 2bxy + cy^2 = s^2 + t^2$  olur.)



- Kürede delik** Bir katı (içi dolu) küreye dairesel silindirik bir delik delinmiştir. Deligin ekseni kürenin bir çapıdır. Kalan cismin hacmi

$$V = 2 \int_0^{2\pi} \int_0^{\sqrt{3}} \int_1^{\sqrt{4-z^2}} r dr dz d\theta$$

dir.

- Deliğin ve kürenin yarıçaplarını bulun.

- İntegrali hesaplayın.

- Küre ve silindir**  $r^2 + z^2 \leq 9$  küresinden  $r = 3 \sin \theta$  silindirile kesilen malzemenin hacmini bulun.

- 9. İki paraboloid**  $z = x^2 + y^2$  ve  $z = (x^2 + y^2 + 1)/2$  yüzeyleriyle çevrili bölgenin hacmini bulun.

- 10. Silindir ve yüzey**  $z = xy$  Birinci sekizde bir bölgede  $r = 1$  ve  $r = 2$  silindirleri arasında bulunan ve alttan  $xy$ -düzlemi, üstten  $z = xy$  yüzeyi ile sınırlı bölgenin hacmini bulun.

## İntegrasyon Sırasını Değiştirmek

- 11.** Aşağıdaki integrali hesaplayın

$$\int_0^\infty \frac{e^{-ax} - e^{-bx}}{x} dx$$

(İpucu: İki katlı bir integral oluşturmak için

$$\frac{e^{-ax} - e^{-bx}}{x} = \int_a^b e^{-xy} dy$$

bağıntısını kullanın ve integrasyon sırasını değiştirerek integrali hesaplayın.)

- 12. a. Kutupsal koordinatlar** Kutupsal koordinatlara geçerek,  $a > 0$  ve  $0 < \beta < \pi/2$  olmak üzere

$$\int_0^{a \sin \beta} \int_{y \cot \beta}^{\sqrt{a^2 - y^2}} \ln(x^2 + y^2) dx dy = a^2 \beta \left( \ln a - \frac{1}{2} \right)$$

olduğunu gösterin.

- b.** Kartezyen integralin integrasyon sırasını değiştirerek yeniden yazın.

- 13. İki katlı bir integrali tek kata indirmek** İntegrasyon sırasını değiştirerek, aşağıdaki iki katlı integralin tek katlı bir integrale indirgenebileceğini gösterin:

$$\int_0^x \int_0^u e^{m(x-t)} f(t) dt du = \int_0^x (x-t) e^{m(x-t)} f(t) dt$$

Aynı şekilde,

$$\int_0^x \int_0^v \int_0^u e^{m(x-t)} f(t) dt du dv = \int_0^x \frac{(x-t)^2}{2} e^{m(x-t)} f(t) dt$$

olduğu gösterilebilir.

- 14. İki katlı bir integrali sabit sınırlar elde etmek üzere dönüştürmek** Bazen, sınırları değişken olan çok katlı bir integral, sınırları sabit olan bir integrale dönüştürülebilir. İntegrasyon sırasını değiştirerek, aşağıdaki bağıntıyı gösterin.

$$\begin{aligned} \int_0^1 f(x) \left( \int_0^x g(x-y) f(y) dy \right) dx \\ = \int_0^1 f(y) \left( \int_y^1 g(x-y) f(x) dx \right) dy \\ = \frac{1}{2} \int_0^1 \int_0^1 g(|x-y|) f(x) f(y) dx dy. \end{aligned}$$

## Kütle ve Momentler

- 15. Kutupsal eylemsizlik momentini minimize etmek** Sabit yoğunluklu ince bir plaka  $xy$ -düzleminin birinci dörtte bir bölgessinde, köşeleri  $(0, 0)$ ,  $(a, 0)$  ve  $(a, 1/a)$ 'da olan üçgen bir bölgeyi

kaplamaktadır. Hangi  $a$  değeri plakanın orijin etrafındaki kutupsal eylemsizlik momentini minimize eder?

- 16. Üçgensel bir plakanın kutupsal eylemsizlik momenti**  $y$ -ekseni ve  $xy$ -düzleminde  $y = 2x$  ve  $y = 4$  doğrularıyla sınırlı, sabit  $\delta = 3$  yoğunluklu ince üçgen bir plakanın orijin etrafındaki kutupsal eylemsizlik momentini bulun.

- 17. Bir volanın denge ağırlığının külesi ve kutupsal eylemsizlik momenti** Sabit  $\delta = 1$  yoğunluklu bir volanın denge ağırlığı  $a$  yarıçaplı bir daireden, merkezden  $b$  kadar uzaktaki ( $b < a$ ) bir kırıshe kesilen küçük parça şeklindedir. Denge ağırlığının külesini ve volanın merkezi etrafındaki kutupsal eylemsizlik momentini bulun.

- 18. Bir bumerangın merkezi**  $xy$ -düzleminde  $y^2 = -4(x-1)$  ve  $y^2 = -2(x-2)$  parabolleri arasındaki bumerang şekilli bölgenin merkezini bulun.

## Teori ve Uygulamalar

- 19.**  $a$  ve  $b$  pozitif sayılar ve

$$\max(b^2 x^2, a^2 y^2) = \begin{cases} b^2 x^2 & b^2 x^2 \geq a^2 y^2 \text{ ise} \\ a^2 y^2 & b^2 x^2 < a^2 y^2 \text{ ise} \end{cases}$$

olmak üzere

$$\int_0^a \int_0^b e^{\max(b^2 x^2, a^2 y^2)} dy dx,$$

integralini hesaplayın.

- 20.**  $x_0 \leq x \leq x_1$ ,  $y_0 \leq y \leq y_1$  dikdörtgeni üzerinde

$$\iint \frac{\partial^2 F(x, y)}{\partial x \partial y} dx dy$$

integralinin sonucunu

$$F(x_1, y_1) - F(x_0, y_1) - F(x_1, y_0) + F(x_0, y_0)$$

olduğunu gösterin.

- 21.**  $f(x, y)$ 'nin  $x$ 'in bir fonksiyonu ile  $y$ 'nin bir fonksiyonun çarpımı  $f(x, y) = F(x)G(y)$  şeklinde yazılabilceğini varsayıñ. Bu durumda  $f$ 'nin  $R: a \leq x \leq b$ ,  $c \leq y \leq d$  dikdörtgeni üzerindeki integrali de

$$\iint_R f(x, y) dA = \left( \int_a^b F(x) dx \right) \left( \int_c^d G(y) dy \right) \quad [1]$$

formülüyle bir çarpım olarak hesaplanabilir. Mantık yürütme şu şekildedir:

$$\iint_R f(x, y) dA = \int_c^d \left( \int_a^b F(x) G(y) dx \right) dy \quad [ii]$$

$$= \int_c^d \left( G(y) \int_a^b F(x) dx \right) dy \quad [iii]$$

$$= \int_c^d \left( \int_a^b F(x) dx \right) G(y) dy \quad [iv]$$

$$= \left( \int_a^b F(x) dx \right) \int_c^d G(y) dy. \quad [iv]$$

a. (i)-(v) adımlarının nedenlerini açıklayın.

Geçerli olduğunda, (1) denklemi zamandan tasarruf sağlar. Aşağıdaki integralleri hesaplamak için (1) denklemi kullanın.

b.  $\int_0^{\ln 2} \int_0^{\pi/2} e^x \cos y \, dy \, dx$  c.  $\int_1^2 \int_{-1}^1 \frac{x}{y^2} \, dx \, dy$

22.  $D_{\mathbf{u}}f$ ,  $f(x, y) = (x^2 + y^2)/2$ 'nin  $\mathbf{u} = u_1\mathbf{i} + u_2\mathbf{j}$  birim vektörü yönündeki doğrultu türevi olsun.

a. **Ortalama değer bulmak**  $D_{\mathbf{u}}f$ 'nin birinci dörtte bir bölgeden  $x + y = 1$  doğrusuyla kesilmiş üçgen bölgedeki ortalama değerini bulun.

b. **Ortalama değer ve merkez** Genelde  $D_{\mathbf{u}}f$ 'nin  $xy$ -düzlemindeki ortalama değerinin  $D_{\mathbf{u}}f$ 'nin bölgenin merkezindeki değeri olduğunu gösterin.

23.  $\Gamma(1/2)$ 'nin değeri

$$\Gamma(x) = \int_0^\infty t^{x-1} e^{-t} dt,$$

gamma fonksiyonu, faktoriyel fonksiyonunu negatif olmayan tamsayılarından diğer reel değerlere genişletir. Diferansiyel denklemler teorisinde özel yeri olan bir sayı

$$\Gamma\left(\frac{1}{2}\right) = \int_0^\infty t^{(1/2)-1} e^{-t} dt = \int_0^\infty \frac{e^{-t}}{\sqrt{t}} dt \quad [2]$$

sayısıdır.

a. Bölüm 15.3'teki Alıştırma 37'yi yapmadıysanız, yaparak

$$I = \int_0^\infty e^{-y^2} dy = \frac{\sqrt{\pi}}{2}$$

olduğunu gösterin.

b. (2) denkleminde  $y = \sqrt{t}$  yi alarak  $\Gamma(1/2) = 2I = \sqrt{\pi}$  olduğunu gösterin.

24. **Dairesel plaka üzerinde toplam elektriksel yük**  $R$  metre yarıçaplı dairesel bir plaka üzerindeki elektrik yükü dağılımı  $\sigma(r, \theta) = kr(1 - \sin \theta)$  coulomb/m<sup>2</sup>'dir ( $k$  bir sabit).  $\sigma$ 'yu plaka üzerinde integre ederek toplam yük  $Q$ 'yu bulun.

25. **Parabolik bir yağmur sarnıcı** Bir çanak  $z = 0$ dan  $z = 10$  inç kadar  $z = x^2 + y^2$ 'nin grafiği şeklidir. Çanağı kalibre edip, bir yağmur sarnıcı şeklinde dönüştürmek istiyorsunuz. Hangi yükseklikler 1 inç ve 3 inç yağmura karşılık gelir?

26. **Bir çanak antendeki su** Parabolik bir çanak anten 2 m genişliğinde ve 1/2 m derinliğindedir. Simetri ekseni dikeyden 30 derece eğiktir.

a. Kartezyen koordinatlarda çanak antenin tutacağı su miktarını veren üç katlı bir integral kurun, ama çözmemeyin (*İpucu:* Koordinat sisteminiz çanak antenin "standart konumunda" ve su seviyesinin eğik olacağı şekilde yerleştirin.) (*Dikkat:* İntegrasyon sınırları "hoş" değildir).

b. Çanak antenin içinde su bulundurmayıcağı en küçük eğim nedir?

27. **Sonsuz bir yarınl silindir**  $D$ , tek yüzü orijinden 1 birim yüksekte ve ekseni  $(0, 0, 1)$ 'den  $\infty$ 'a kadar giden ışın olan yarınl silindirin içi olsun. Silindirik koordinatlar kullanarak

$$\iiint_D z(r^2 + z^2)^{-5/2} dV$$

integralini hesaplayın.

28. **Hiper hacim**  $\int_a^b 1 \, dx$ 'in sayı doğrusu üzerindeki  $[a, b]$  aralığının uzunluğu (tek boyutlu uzay),  $\iint_R 1 \, dA$ 'nın  $xy$ -düzlemindeki  $R$  bölgesinin alanı (iki boyutlu uzay) ve  $\iiint_D 1 \, dV$ 'nin üç boyutlu uzaydaki  $D$  bölgesinin hacmi ( $xyz$ -uzayı) olduğunu öğrendik. Devam edebilirdik:  $Q$ , 4-boyutlu uzayda bir bölgeyse ( $xyzw$ -uzayı),  $\iiint_Q 1 \, dV$   $Q$ 'nun "hiper hacmi" olur. Genelleştirme yeteneklerini ve 4 boyutlu uzayda bir Kartezyen koordinat sistemi kullanarak 3-boyutlu  $x^2 + y^2 + z^2 + w^2 = 1$  küresi içindeki hiper hacmi bulun.

## Bölüm 15

### Teknoloji Uygulama Projeleri

#### Mathematica / Maple Module

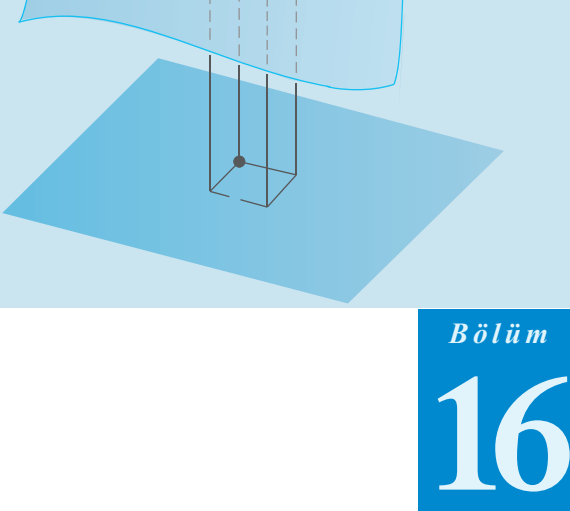
*Sansınızı Deneyin : Üç Boyutta, Sayısal İntegrasyon İçin Monte Carlo Yöntemini deneyin*

Üç boyutta, sayısal integrasyon için Monte Carlo yöntemini kullanın.

#### Mathematica / Maple Module

*Ortalamlar ve Momentler, Yeni Çizim Yöntemleri Kestetmek, Kısım II*

Katlı integrallere ek olarak, geometrik simetriler kullanan bir formda momentler yöntemini kullanın



Bölüm

# 16

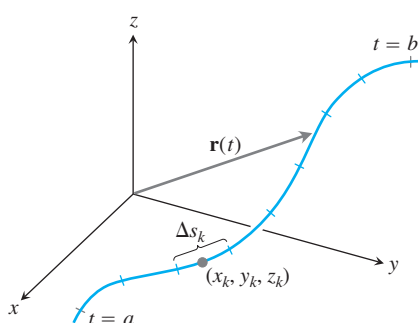
## VEKTÖR ALANLARINDA İNTEGRASYON

**GİRİŞ** Bu bölüm vektör alanlarında integrasyonla ilgilendir. Buradaki, mühendislerin ve fizikçilerin, akışkanın akışını, su altı iletim kablolarının tasarımını, yıldızlardaki ısı akışını ve bir uyduyu yönüne yerleştirmeyi açıklamada kullandıkları matematiktir. Özel olarak, bir kuvvet alanının, bir cismi alan içindeki bir yol boyunca hareket ettermekle yapmış olduğu işi bulmakta kullanılan eğrisel integralleri tanımlıyoruz. Ayrıca, yüzey integrallerini tanımlıyoruz, böylece bir yüzeyden geçen akışkanın akış oranını bulabiliriz. Bu yeni integralerleri hesaplamayı, öğrenmiş olduğumuz tek katlı, iki katlı ve üç katlı integrallere bağlayarak basitleştirmek için yol boyunca, *korunmalı* kuvvet alanları ve Green Teoremi gibi anahtar fikirler ve sonuçlar geliştiriyoruz.

### 16.1

#### Eğrisel İntegraller

Bölüm 5'te, bir fonksiyonunun  $x$ -ekseninde sonlu bir  $[a, b]$  kapalı aralığı üzerindeki belirli integralini tanımladık. Belirli integralleri, ince bir cubugun kütlesini veya  $x$ -ekseni doğrultusunda değişken bir kuvvetin yaptığı işi bulmak için kullandık. Şimdi, düzleme veya uzaya bir eğri üzerinde bulunan ince cubukların veya tellerin kütelerini hesaplamak veya böyle bir eğri boyunca etkiyen değişken bir kuvvetin yaptığı işi bulmak isteyebiliriz. Bu hesaplamalar için,  $x$ -ekseninde bir doğru parçası üzerinde integralden daha genel bir “*eğrisel*” integral kavramına ihtiyaç duyuyoruz. Aslında, düzleme veya uzaya bir  $C$  eğrisi üzerinde integral almamız gereklidir. Daha genel olan bu integrallere “*eğrisel integraller*” denir. Tanımlarımızı uzay eğrileri için yapıyoruz.  $xy$ -düzlemindeki eğriler, uzay eğrilerinin  $z$ -koordinatı özdeş olarak sıfır olan bir özel durumudur.



**ŞEKİL 16.1**  $t = a$ 'dan  $t = b$ 'ye kadar küçük yaylara bölünmüş  $\mathbf{r}(t)$  eğrisi. Tipik bir alt yayın uzunluğu  $\Delta s_k$ 'dır.

$f(x, y, z)$  reel-değerli bir fonksiyon olsun ve  $f$ 'nin tanım bölgesi içinde kalan bir  $\mathbf{r}(t) = g(t)\mathbf{i} + h(t)\mathbf{j} + k(t)\mathbf{k}$ ,  $a \leq t \leq b$  eğrisi üzerinde  $f$ 'yi integre etmek istiyelim.  $f$ 'nin eğri üzerindeki değerleri  $f(g(t), h(t), k(t))$  bileşke fonksiyonu ile verilir. Bu bileşkeyi  $t = a$ 'dan  $t = b$ 'ye kadar yay uzunluğuna göre integre edeceğiz. Başlamak için, önce eğriyi sonlu  $n$  sayıda alt yaylara böleriz (Şekil 16.1). Tipik alt yayın uzunluğu  $\Delta s_k$ 'dir. Her alt yayda bir  $(x_k, y_k, z_k)$  noktası seçer ve

$$S_n = \sum_{k=1}^n f(x_k, y_k, z_k) \Delta s_k$$

toplamını oluştururuz.  $f$  sürekli ve  $g$ ,  $h$  ve  $k$  fonksiyonlarının birinci mertebe türevleri sürekli ise,  $n$  arttıkça ve  $\Delta s_k$  uzunlukları sıfıra yaklaşıkça, bu toplamlar bir limite ulaşırlar. Bu limite  **$f$ 'nin eğri boyunca  $a$ 'dan  $b$ 'ye kadar eğrisel integrali** deriz. Eğri tek bir harfle, örneğin  $C$  ile, gösteriliyorsa, integralin gösterimi

$$\int_C f(x, y, z) \, ds \quad "f'nin C üzerindeki integrali" \quad (1)$$

şeklinde olur.

$\mathbf{r}(t)$ ,  $a \leq t \leq b$  için düzgünse ( $\mathbf{v} = d\mathbf{r}/dt$  sürekli ve hiçbir zaman  $\mathbf{0}$  değil),

$$s(t) = \int_a^t |\mathbf{v}(\tau)| d\tau \quad \begin{matrix} t_0 = a \text{ ile, Bölüm 13.3'teki} \\ (3) \text{ denklemi} \end{matrix}$$

denklemini kullanarak, (1) denklemindeki  $ds$ 'yi  $ds = |\mathbf{v}(t)| dt$  olarak ifade edebiliriz. İleri analizden bir teorem bu durumda  $f$ 'nin  $C$  üzerindeki integralini

$$\int_C f(x, y, z) ds = \int_a^b f(g(t), h(t), k(t)) |\mathbf{v}(t)| dt$$

olarak hesaplayabileceğimizi söyleyelim. Bu son eşitliğin sağ tarafındaki integralin, Bölüm 5'te tanımladığımız ve  $t$  parametresine göre integre ettiğimiz gibi, sıradan (tek katlı) belirli bir integral olduğuna dikkat edin. Bu formül, parametrizasyon düzgün olduğu sürece, hangi parametrizasyonu kullandığımızdan bağımsız olarak, sol taraftaki eğrisel integrali doğru olarak hesaplayacaktır.

### Bir Eğrisel Integral Nasıl Hesaplanır

Sürekli bir  $f(x, y, z)$  fonksiyonunu bir  $C$  eğrisi üzerinde integre etmek için:

- $C$ 'nin düzgün bir parametrizasyonunu bulun:

$$\mathbf{r}(t) = g(t)\mathbf{i} + h(t)\mathbf{j} + k(t)\mathbf{k}, \quad a \leq t \leq b$$

- Integrali aşağıdaki gibi hesaplayın:

$$\int_C f(x, y, z) ds = \int_a^b f(g(t), h(t), k(t)) |\mathbf{v}(t)| dt \quad [2]$$

$f$ 'nin değeri sabit ve 1 ise,  $f$ 'nin  $C$  üzerindeki integrali  $C$ 'nin uzunluğunu verir.

### ÖRNEK 1 Bir Eğrisel Integral Hesaplamak

$f(x, y, z) = x - 3y^2 + z$ 'yi orijinle  $(1, 1, 1)$  noktasını birleştirilen  $c$  doğru parçası boyunca integre edin (Şekil 16.2).

**Çözüm** Düşünebileceğimiz en basit parametrizasyonu seçeriz:

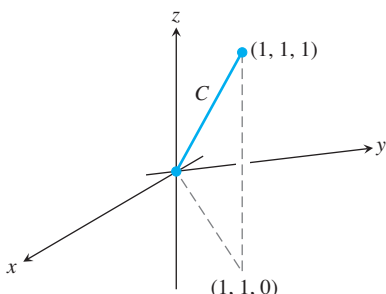
$$\mathbf{r}(t) = t\mathbf{i} + t\mathbf{j} + t\mathbf{k}, \quad 0 \leq t \leq 1$$

Bileşenlerin birinci mertebe türevleri sürekli ve  $|\mathbf{v}(t)| = |\mathbf{i} + \mathbf{j} + \mathbf{k}| = \sqrt{1^2 + 1^2 + 1^2} = \sqrt{3}$  hiçbir zaman sıfır olmaz, dolayısıyla parametrizasyon düzgündür.  $f$ 'nin  $C$  üzerindeki integrali

$$\int_C f(x, y, z) ds = \int_0^1 f(t, t, t)(\sqrt{3}) dt \quad (2) \text{ denklemi}$$

$$= \int_0^1 (t - 3t^2 + t)\sqrt{3} dt$$

$$= \sqrt{3} \int_0^1 (2t - 3t^2) dt = \sqrt{3} [t^2 - t^3]_0^1 = 0$$



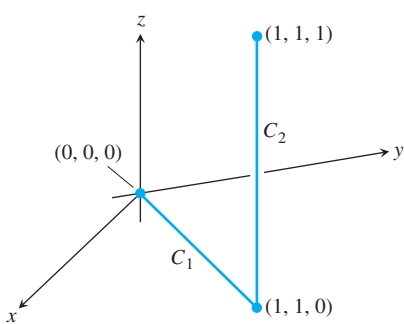
**ŞEKİL 16.2** Örnek 1'deki integrasyonun yolу.

bulunur. ■

### Toplanabilirlik

Eğrisel integrallerin, bir  $C$  eğrisi sonlu sayıda  $C_1, C_2, \dots, C_n$  eğrilerinin arkaya eklenmesi ile oluşmuşsa, bir fonksiyonun  $C$  üzerindeki integralinin eğriyi oluşturan eğriler üzerindeki integrallerinin toplamına eşit olması gibi yararlı bir özelliği vardır:

$$\int_C f \, ds = \int_{C_1} f \, ds + \int_{C_2} f \, ds + \cdots + \int_{C_n} f \, ds \quad [3]$$



**ŞEKİL 16.3** Örnek 2'deki integrasyonun yolу.

### ÖRNEK 2 Birleştirilmiş İki Yol İçin Eğrisel İntegral

Şekil 16.3, orijinden  $(1, 1, 1)$ 'e giden başka bir yolu,  $C_1$  ve  $C_2$  doğrularının birleşimini göstermektedir.  $f(x, y, z) = x - 3y^2 + z$ 'yi  $C_1 < C_2$  üzerinde integre edin.

**Çözüm**  $C_1$  ve  $C_2$  için, hız vektörlerinin boyalarını da kontrol ederek, düşünebileceğimiz en basit parametrizasyonu seçeriz:

$$C_1: \mathbf{r}(t) = t\mathbf{i} + t\mathbf{j}, \quad 0 \leq t \leq 1; \quad |\mathbf{v}| = \sqrt{1^2 + 1^2} = \sqrt{2}$$

$$C_2: \mathbf{r}(t) = \mathbf{i} + \mathbf{j} + t\mathbf{k}, \quad 0 \leq t \leq 1; \quad |\mathbf{v}| = \sqrt{0^2 + 0^2 + 1^2} = 1$$

Bu parametrizasyonlarla,

$$\int_{C_1 \cup C_2} f(x, y, z) \, ds = \int_{C_1} f(x, y, z) \, ds + \int_{C_2} f(x, y, z) \, ds \quad (3) \text{ denklemi}$$

$$= \int_0^1 f(t, t, 0) \sqrt{2} \, dt + \int_0^1 f(1, 1, t)(1) \, dt \quad (2) \text{ denklemi}$$

$$= \int_0^1 (t - 3t^2 + 0) \sqrt{2} \, dt + \int_0^1 (1 - 3 + t)(1) \, dt$$

$$= \sqrt{2} \left[ \frac{t^2}{2} - t^3 \right]_0^1 + \left[ \frac{t^2}{2} - 2t \right]_0^1 = -\frac{\sqrt{2}}{2} - \frac{3}{2}$$

buluruz.

Örnek 1 ve 2'deki integrasyonlarla ilgili üç şeye dikkat edin. Birincisi, uygun eğrinin bileşenleri  $f$ 'nin formülüne yerleştirilir yerleştirilmez, integrasyon  $t$ 'ye göre normal bir integrasyon halini alır. İkincisi,  $f$ 'nin  $C_1 < C_2$  üzerindeki integrali,  $f$ 'nin yolun her kesimi üzerindeki integrali alınıp, sonuçların toplanması ile elde edilir. Üçüncüsü,  $f$ 'nin  $C$  ve  $C_1 < C_2$  üzerinden integrallerinin değerleri farklıdır. Çoğu fonksiyon için, iki noktayı birleştiren bir eğri üzerindeki integral, yol değiştirilirse değişir. Ancak, bazı fonksiyonlar için değer, Bölüm 16.3'te göreceğimiz gibi, aynı kalır.

### Kütle ve Moment Hesaplamaları

Sarmal yaylara ve tellere uzayda düzgün eğriler boyunca dağılmış kütleler olarak bakacağız. Dağılım sürekli bir  $\delta(x, y, z)$  yoğunluk fonksiyonuyla (birim uzunluk başına kütle) tanımlanmaktadır. Yayın veya telin kültlesi, kütle merkezi ve momentleri Tablo 16.1'de verilen formüllerle hesaplanır. Formüller ince cubuklara da uygulanabilir.

**TABLO 16.1** Uzayda düzgün bir C eğrisi üzerinde bulunan sarmal yaylar, ince çubuklar ve tellerin kütle ve moment formülleri

**Kütle:**  $M = \int_C \delta(x, y, z) ds$  ( $\delta = \delta(x, y, z)$  = yoğunluk)

**Koordinat düzlemleri etrafındaki birinci momentler:**

$$M_{yz} = \int_C x \delta ds, \quad M_{xz} = \int_C y \delta ds, \quad M_{xy} = \int_C z \delta ds$$

**Kütle merkezinin koordinatları:**

$$\bar{x} = M_{yz}/M, \quad \bar{y} = M_{xz}/M, \quad \bar{z} = M_{xy}/M$$

**Eksenler ve diğer doğrular etrafındaki eylemsizlik momentleri:**

$$I_x = \int_C (y^2 + z^2) \delta ds, \quad I_y = \int_C (x^2 + z^2) \delta ds$$

$$I_z = \int_C (x^2 + y^2) \delta ds, \quad I_L = \int_C r^2 \delta ds$$

$$r(x, y, z) = (x, y, z) \text{ noktasından } L \text{ doğrusuna olan uzaklık}$$

**Bir  $L$  doğrusu etrafında jirasyon yarıçapı:**  $R_L = \sqrt{I_L/M}$

### ÖRNEK 3 Kütle, Kütle Merkezi, Eylemsizlik Momenti, Jirasyon Yarıçapı Bulmak

Bir yay

$$\mathbf{r}(t) = (\cos 4t)\mathbf{i} + (\sin 4t)\mathbf{j} + t\mathbf{k}, \quad 0 \leq t \leq 2\pi$$

helisi üzerinde bulunmaktadır. Yayın yoğunluğu sabittir,  $\delta = 1$ . Yayın kütlesini, kütle merkezini ve  $z$ -ekseni etrafındaki eylemsizlik momenti ile jirasyon yarıçapını bulun.

**Çözüm** Yayı çizeriz (Şekil 16.4). Bulunan simetrliler yüzünden, kütle merkezi  $z$ -ekseni üzerinde  $(0, 0, \pi)$  noktasında bulunur.

Kalan hesaplamlar için, önce  $|\mathbf{v}(t)|$ 'yi buluruz:

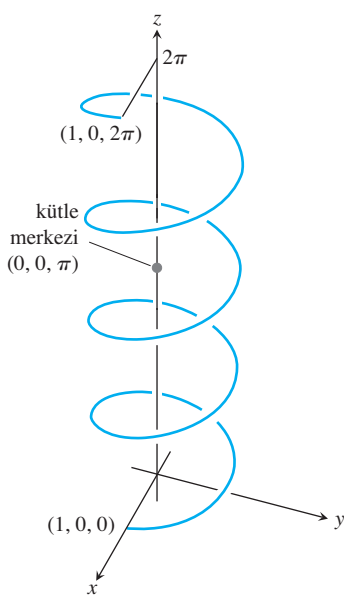
$$\begin{aligned} |\mathbf{v}(t)| &= \sqrt{\left(\frac{dx}{dt}\right)^2 + \left(\frac{dy}{dt}\right)^2 + \left(\frac{dz}{dt}\right)^2} \\ &= \sqrt{(-4 \sin 4t)^2 + (4 \cos 4t)^2 + 1} = \sqrt{17}. \end{aligned}$$

Sonra, (2) denklemini kullanarak Tablo 16.1'deki formülleri hesaplarız:

$$M = \int_{\text{Helis}} \delta ds = \int_0^{2\pi} (1) \sqrt{17} dt = 2\pi \sqrt{17}$$

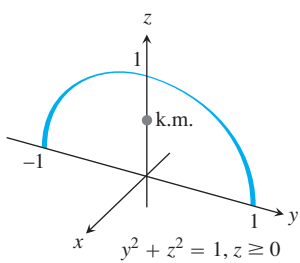
$$\begin{aligned} I_z &= \int_{\text{Helis}} (x^2 + y^2) \delta ds = \int_0^{2\pi} (\cos^2 4t + \sin^2 4t)(1) \sqrt{17} dt \\ &= \int_0^{2\pi} \sqrt{17} dt = 2\pi \sqrt{17} \end{aligned}$$

$$R_z = \sqrt{I_z/M} = \sqrt{2\pi \sqrt{17}/(2\pi \sqrt{17})} = 1$$



**SEKİL 16.4** Örnek 3'teki helis şeklinde yay.

$z$ -ekseni etrafındaki jirasyon yarıçapının helisin etrafında döndüğü silindirin yarıçapı olduğuna dikkat edin.



**ŞEKİL 16.5** Örnek 4, değişken yoğunluklu dairesel bir yayın kütle merkezinin nasıl bulunacağını gösterir.

#### ÖRNEK 4 Bir Yayın Kütle Merkezini Bulmak

Alt tarafı üst tarafından daha yoğun olan ince bir metal yay  $yz$ -düzleminde  $y^2 + z^2 = 1$ ,  $z \geq 0$ , yarıçemberinin üzerinde bulunmaktadır (Şekil 16.5). Yay üzerindeki  $(x, y, z)$  noktasında yoğunluk  $\delta(x, y, z) = 2 - z$  ise, yayın kütle merkezini bulun.

**Cözüm** Yay, kütlesi  $z$ -eksenine göre simetrik şekilde  $yz$ -düzleminde bulunduğu için  $\bar{x} = 0$  ve  $\bar{y} = 0$  olduğunu biliyoruz.  $\bar{z}$ 'yi bulmak için, çemberi

$$\mathbf{r}(t) = (\cos t)\mathbf{j} + (\sin t)\mathbf{k}, \quad 0 \leq t \leq \pi$$

olarak parametreleriz. Bu parametreleme ile

$$|\mathbf{v}(t)| = \sqrt{\left(\frac{dx}{dt}\right)^2 + \left(\frac{dy}{dt}\right)^2 + \left(\frac{dz}{dt}\right)^2} = \sqrt{(0)^2 + (-\sin t)^2 + (\cos t)^2} = 1$$

bulunur. Bu durumda, Tablo 16.1'deki formüller

$$\begin{aligned} M &= \int_C \delta \, ds = \int_C (2 - z) \, ds = \int_0^\pi (2 - \sin t)(1) \, dt = 2\pi - 2 \\ M_{xy} &= \int_C z\delta \, ds = \int_C z(2 - z) \, ds = \int_0^\pi (\sin t)(2 - \sin t) \, dt \\ &= \int_0^\pi (2 \sin t - \sin^2 t) \, dt = \frac{8 - \pi}{2} \\ \bar{z} &= \frac{M_{xy}}{M} = \frac{8 - \pi}{2} \cdot \frac{1}{2\pi - 2} = \frac{8 - \pi}{4\pi - 4} \approx 0.57 \end{aligned}$$

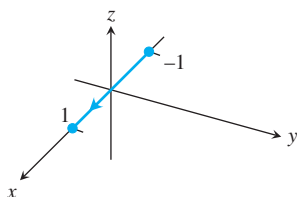
verir. Yüzde bir hassaslıkla,  $\bar{z}$  kütle merkezi  $(0, 0, 0.57)$ 'dedir.

## ALIŞTIRMALAR 16.1

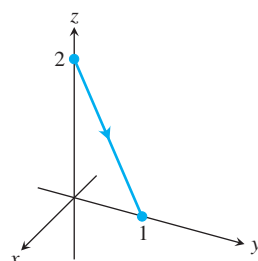
### Vektör Denklemlerinin Grafikleri

1–8 alıştırmalarındaki vektör denklemleri (a)-(h)'deki grafiklerle eşleştirin.

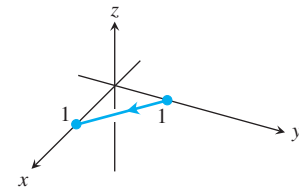
a.



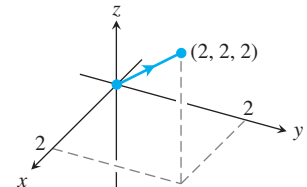
b.



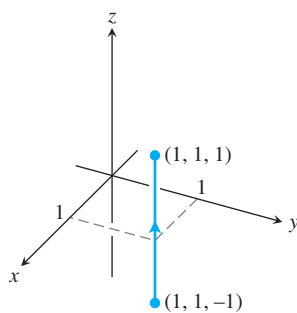
c.



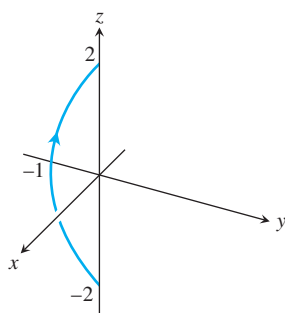
d.



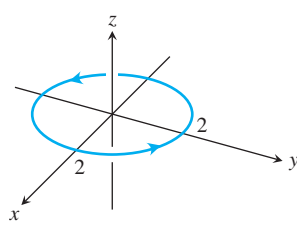
e.



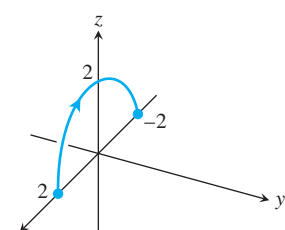
f.



g.



h.



1.  $\mathbf{r}(t) = t\mathbf{i} + (1-t)\mathbf{j}, \quad 0 \leq t \leq 1$

2.  $\mathbf{r}(t) = \mathbf{i} + \mathbf{j} + t\mathbf{k}, \quad -1 \leq t \leq 1$

3.  $\mathbf{r}(t) = (2 \cos t)\mathbf{i} + (2 \sin t)\mathbf{j}, \quad 0 \leq t \leq 2\pi$

4.  $\mathbf{r}(t) = t\mathbf{i}, \quad -1 \leq t \leq 1$

5.  $\mathbf{r}(t) = t\mathbf{i} + t\mathbf{j} + t\mathbf{k}, \quad 0 \leq t \leq 2$

6.  $\mathbf{r}(t) = t\mathbf{j} + (2-2t)\mathbf{k}, \quad 0 \leq t \leq 1$

7.  $\mathbf{r}(t) = (t^2 - 1)\mathbf{j} + 2t\mathbf{k}, \quad -1 \leq t \leq 1$

8.  $\mathbf{r}(t) = (2 \cos t)\mathbf{i} + (2 \sin t)\mathbf{k}, \quad 0 \leq t \leq \pi$

### Uzay Eğrileri Üzerinde Eğrisel İntegraler Hesaplamak

9.  $C$ ,  $(0, 1, 0)$ 'dan  $(1, 0, 0)$ 'a giden  $x = t$ ,  $y = (1-t)$ ,  $z = 0$  doğru parçası olmak üzere,  $\int_C (x+y) ds$ 'yi hesaplayın.

10.  $C$ ,  $(0, 1, 1)$ 'den  $(1, 0, 1)$ 'e giden  $x = t$ ,  $y = (1-t)$ ,  $z = 1$  doğru parçası olmak üzere,  $\int_C (x-y+z-2) ds$ 'yi hesaplayın.

11.  $\mathbf{r}(t) = 2t\mathbf{i} + t\mathbf{j} + (2-2t)\mathbf{k}$ ,  $0 \leq t \leq 1$ , eğrisi üzerinde  $\int_C (xy + y + z) ds$ 'yi hesaplayın.

12.  $\mathbf{r}(t) = (4 \cos t)\mathbf{i} + (4 \sin t)\mathbf{j} + 3t\mathbf{k}$ ,  $-2\pi \leq t \leq 2\pi$ , eğrisi üzerinde  $\int_C \sqrt{x^2 + y^2} ds$ 'yi hesaplayın.

13.  $f(x, y, z) = x + y + z$ 'nin  $(1, 2, 3)$ 'ten  $(0, -1, 1)$ 'e giden doğru parçası üzerindeki eğrisel integralini bulun.

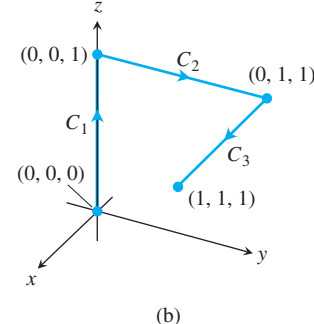
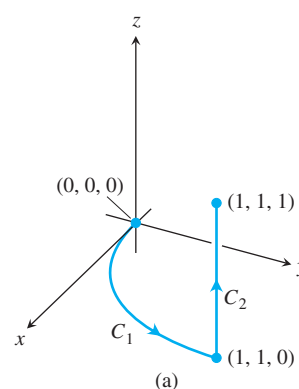
14.  $f(x, y, z) = \sqrt{3}/(x^2 + y^2 + z^2)$ 'nin  $\mathbf{r}(t) = t\mathbf{i} + t\mathbf{j} + t\mathbf{k}$ ,  $1 \leq t \leq \infty$ , eğrisi üzerindeki eğrisel integralini bulun.

15.  $f(x, y, z) = x + \sqrt{y} - z^2$ yi  $(0, 0, 0)$ 'dan  $(1, 1, 1)$ 'e (Şekil 16.6a)

$$C_1: \mathbf{r}(t) = t\mathbf{i} + t^2\mathbf{j}, \quad 0 \leq t \leq 1$$

$$C_2: \mathbf{r}(t) = \mathbf{i} + \mathbf{j} + t\mathbf{k}, \quad 0 \leq t \leq 1$$

ile verilen yol üzerinde integre edin.



**ŞEKİL 16.6** 15 ve 16 alıştırmalarındaki integrasyon yolları.

16.  $f(x, y, z) = x + \sqrt{y} - z^2$ yi  $(0, 0, 0)$ 'dan  $(1, 1, 1)$ 'e (Şekil 16.6b)

$$C_1: \mathbf{r}(t) = t\mathbf{k}, \quad 0 \leq t \leq 1$$

$$C_2: \mathbf{r}(t) = t\mathbf{j} + \mathbf{k}, \quad 0 \leq t \leq 1$$

$$C_3: \mathbf{r}(t) = t\mathbf{i} + \mathbf{j} + \mathbf{k}, \quad 0 \leq t \leq 1$$

ile verilen yol üzerinde integre edin.

17.  $f(x, y, z) = (x + y + z)/(x^2 + y^2 + z^2)$ yi  $\mathbf{r}(t) = t\mathbf{i} + t\mathbf{j} + t\mathbf{k}$ ,  $0 < a \leq t \leq b$ , eğrisi üzerinde integre edin.

18.  $f(x, y, z) = -\sqrt{x^2 + z^2}$ yi

$$\mathbf{r}(t) = (a \cos t)\mathbf{j} + (a \sin t)\mathbf{k}, \quad 0 \leq t \leq 2\pi$$

çemberi üzerinde integre edin.

### Düzlem Eğrileri Üzerinde Eğrisel İntegraler

19–22 alıştırmalarında  $f'$ yi verilen eğri üzerinde integre edin.

$$19. f(x, y) = x^3/y, \quad C: y = x^2/2, \quad 0 \leq x \leq 2$$

$$20. f(x, y) = (x + y^2)/\sqrt{1+x^2}, \quad C: (1, 1^2/2)'den (0, 0)'a kadar \quad y = x^2/2$$

$$21. f(x, y) = x + y, \quad C: \text{Birinci dörtte bir bölgede } (2, 0)'dan (0, 2)'ye \quad \text{kadar } x^2 + y^2 = 4$$

$$22. f(x, y) = x^2 - y, \quad C: \text{Birinci dörtte bir bölgede } (0, 2)'den (\sqrt{2}, \sqrt{2})'ye \quad \text{kadar } x^2 + y^2 = 4$$

### Kütle ve Momentler

23. **Bir telin külesi** Yoğunluğu  $\delta = (3/2)t$  ise,  $\mathbf{r}(t) = (t^2 - 1)\mathbf{j} + 2t\mathbf{k}$ ,  $0 \leq t \leq 1$  eğrisi üzerinde bulunan bir telin kütlesini bulun.

24. **Eğrisel bir telin kütle merkezi**  $\delta(x, y, z) = 15\sqrt{y+2}$  yoğunluklu bir tel  $\mathbf{r}(t) = (t^2 - 1)\mathbf{j} + 2t\mathbf{k}$ ,  $-1 \leq t \leq 1$ , eğrisinin üzerindedir. Kütle merkezini bulun. Sonra eğriyi ve kütle merkezini birlikte çizin.

25. **Değişken yoğunluklu bir telin kütle merkezi** Yoğunluğu (a)  $\delta = 3t$  ve (b)  $\delta = 1$  ise,  $\mathbf{r}(t) = \sqrt{2}\mathbf{i} + \sqrt{2}\mathbf{j} + (4 - t^2)\mathbf{k}$ ,  $0 \leq t \leq 1$ , eğrisinin üzerindeki ince bir telin kütlesini bulun.

- 26. Değişken yoğunluklu bir telin kütle merkezi** Yoğunluğu  $\delta = 3\sqrt{5} + t$  ise,  $\mathbf{r}(t) = t\mathbf{i} + 2t\mathbf{j} + (2/3)t^{3/2}\mathbf{k}$ ,  $0 \leq t \leq 2$ , eğrisinin üzerindeki ince bir telin kütle merkezini bulun.
- 27. Bir tel kasnağın eylemsizlik momenti ve jirasyon yarıçapı** Sabit  $\delta$  yoğunluklu dairesel telden bir kasnak  $xy$ -düzlemindeki  $x^2 + y^2 = a^2$  çemberinin üzerindedir. Kasnağın  $z$ -ekseni etrafındaki eylemsizlik momenti ve jirasyon yarıçapını bulun.
- 28. Ince bir çubugun eylemsizliği ve jirasyon yarıçapı** Sabit yoğunluklu ince bir çubuk  $yz$ -düzlemindeki  $\mathbf{r}(t) = t\mathbf{j} + (2 - 2t)\mathbf{k}$ ,  $0 \leq t \leq 1$ , doğru parçasının üzerindedir. Çubugun üç koordinat ekseni etrafındaki eylemsizlik momentleri ve jirasyon yarıçaplarını bulun.
- 29. Sabit yoğunluklu iki yay** Sabit  $\delta$  yoğunluklu bir yay aşağıdaki helisin üzerindedir.

$$\mathbf{r}(t) = (\cos t)\mathbf{i} + (\sin t)\mathbf{j} + t\mathbf{k}, \quad 0 \leq t \leq 2\pi$$

- a.  $I_z$  ve  $R_z$ 'yi bulun.
- b. Elinizde (a)'daki telin iki katı uzunlığında ve helis üzerinde  $0 \leq t \leq 4\pi$  aralığında bulunan sabit  $\delta$  yoğunlığında başka bir yay olduğunu varsayıñ.  $I_z$  ve  $R_z$ 'nin uzun yay için de kısa yayınlarla aynı olmasını mı beklersiniz, yoksa farklı mı olmalıdır? Tahminlerinizi, uzun yay için  $I_z$  ve  $R_z$ 'yi hesaplayarak kontrol edin.
- 30. Sabit yoğunluklu bir tel** Sabit  $\delta = 1$  yoğunluklu bir tel  $\mathbf{r}(t) = (t \cos t)\mathbf{i} + (t \sin t)\mathbf{j} + (2\sqrt{2}/3)t^{3/2}\mathbf{k}$ ,  $0 \leq t \leq 1$ . eğrisi üzerindedir.  $\bar{z}$ ,  $I_z$  ve  $R_z$ 'yi bulun.
- 31. Örnek 4'teki yay** Örnek 4'teki yay için  $I_x$  ve  $R_x$ 'yi bulun.

- 32. Değişken yoğunluk ile kütle merkezi, eylemsizlik momentleri ve jirasyon yarıçapları** Yoğunluğu  $\delta = 1/(t+1)$  ise,

$$\mathbf{r}(t) = t\mathbf{i} + \frac{2\sqrt{2}}{3}t^{3/2}\mathbf{j} + \frac{t^2}{2}\mathbf{k}, \quad 0 \leq t \leq 2,$$

eğrisi üzerinde bulunan ince bir telin kütle merkezini ve koordinat eksenleri etrafındaki eylemsizlik momentleri ile jirasyon yarıçaplarını bulun.

### BİLGİSAYAR ARAŞTIRMALARI

#### Eğrisel İntegralleri Sayısal Olarak Hesaplamak

33–36 alıştırmalarında, eğrisel integralleri aşağıdaki adımları gerçekleştirerek hesaplamak için bir BCS kullanın.

a.  $\mathbf{r}(t) = g(t)\mathbf{i} + h(t)\mathbf{j} + k(t)\mathbf{k}$  yolu için  $ds = |\mathbf{v}(t)| dt$ 'yi bulun.

b.  $f(g(t), h(t), k(t))|\mathbf{v}(t)|$  integrandını  $t$  parametresinin bir fonksiyonu olarak ifade edin.

c. Metindekî (2) denklemini kullanarak  $\int_C f ds$ 'yi hesaplayın.

33.  $f(x, y, z) = \sqrt{1 + 30x^2 + 10y}$ ;  $\mathbf{r}(t) = t\mathbf{i} + t^2\mathbf{j} + 3t^2\mathbf{k}$ ,  $0 \leq t \leq 2$

34.  $f(x, y, z) = \sqrt{1 + x^3 + 5y^3}$ ;  $\mathbf{r}(t) = t\mathbf{i} + \frac{1}{3}t^2\mathbf{j} + \sqrt{t}\mathbf{k}$ ,  $0 \leq t \leq 2$

35.  $f(x, y, z) = x\sqrt{y} - 3z^2$ ;  $\mathbf{r}(t) = (\cos 2t)\mathbf{i} + (\sin 2t)\mathbf{j} + 5t\mathbf{k}$ ,  $0 \leq t \leq 2\pi$

36.  $f(x, y, z) = \left(1 + \frac{9}{4}z^{1/3}\right)^{1/4}$ ;  $\mathbf{r}(t) = (\cos 2t)\mathbf{i} + (\sin 2t)\mathbf{j} + t^{5/2}\mathbf{k}$ ,  $0 \leq t \leq 2\pi$

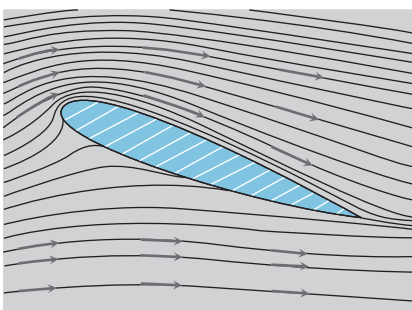
## 16.2

### Vektör Alanları, İş, Dolaşım ve Aki

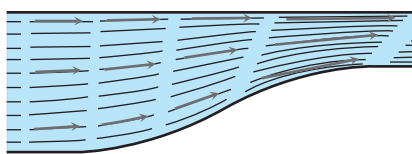
Vektörlerle temsil edilen fiziksel olayları incelerken, kapalı aralıklar üzerindeki integraller yerine vektör alanlarından geçen yollar üzerinde integraller alırız. Böyle integralleri, bir cismi bir yol boyunca değişken bir kuvvete karşı hareket ettirmek (dünyanın yerçekimi alanına karşı uzaya gönderilen bir araç) için yapılan işi bulmak veya bir cismi alan içinden geçen bir yol boyunca hareket ettirmek için vektör alanının yaptığı işi (bir parçacığın hızını artırmak için bir hızlandırıcının yaptığı iş) bulmak için kullanırız. Ayrıca, akışkanların eğiler boyunca ve eğrilerden geçenken akış oranlarını bulmak için de eğrisel integralleri kullanırız.

#### Vektör Alanları

Düzleme veya uzayda bir bölgenin, hava veya su gibi hareket eden bir akışkan ile donatıldığını varsayıñ. Akışkanın çok fazla sayıda partikülden oluştuñunu ve herhangi bir



**ŞEKİL 16.7** Bir rüzgar tunelineki bir hava boşluğunun çevresindeki bir akışın hız vektörleri. Akış çizgileri kerosen dumanıyla görünür hale getirilmiştir.



**ŞEKİL 16.8** Daralan bir kanaldaki akış çizgileri. Kanal daraldıkça su hızlarının ve hız vektörlerinin uzunluğu artar.

anda bir partikülün hızının  $v$  olduğunu düşünün. Bazı partiküllerin hızlarının değişik konumlarda bir resmini aynı anda çekersek, bu hızların konumdan konuma değiştigini görmeyi bekleyebiliriz. Akışkanın her noktasına bağlanan bir hız vektörü düşünebiliriz. Böyle bir akışkan akışı bir **vektör alanını** örnekler. Örneğin, Şekil 16.7, bir rüzgar tunelineki bir hava boşluğunun çevresinde akan havanın her noktasına bir hız vektörü bağlanarak elde edilen bir hız vektör alanını göstermektedir. Şekil 16.8, daralan bir kanalda hareket eden suyun akış çizgileri boyunca hız vektörlerinden oluşan başka bir vektör alanını göstermektedir. Akışkan akışları ile ilişkilendirilen vektör alanlarına ek olarak yerçekimi (Şekil 16.9), manyetik kuvvet alanları, elektrik alanları ve hatta pür matematiksel alanlar vardır.

Genel olarak, düzlemede veya uzayda bir bölge üzerindeki bir **vektör alanı**, bölgedeki her noktaya bir vektör atayan bir fonksiyondur. Üç-boyutlu vektörlerden oluşan bir vektör alanının formülü

$$\mathbf{F}(x, y, z) = M(x, y, z)\mathbf{i} + N(x, y, z)\mathbf{j} + P(x, y, z)\mathbf{k}$$

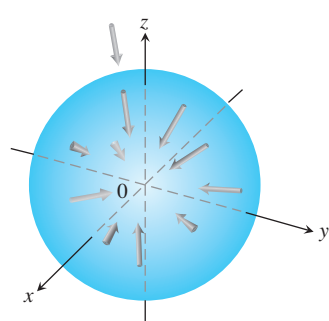
şeklinde olabilir. **Bileşen fonksiyonları**  $M$ ,  $N$  ve  $P$  sürekli ise alan **sürekli**,  $M$ ,  $N$  ve  $P$  türetilebilir ise **türetilebilir** v.b. dir. İki-boyutlu vektörlerden oluşan bir alanının

$$\mathbf{F}(x, y) = M(x, y)\mathbf{i} + N(x, y)\mathbf{j}$$

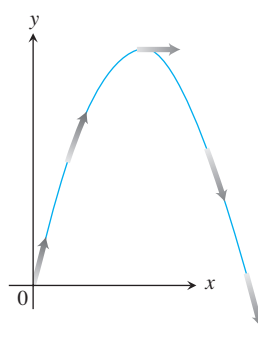
şeklinde bir formülü olabilir.

Bir merminin hareket düzlemindeki yörüğesinin her noktasına, merminin hız vektörünü eklersek, yörüğe boyunca tanımlı iki-boyutlu bir alanımız olur. Bir skaler fonksiyonun gradiyent vektörünü fonksiyonun bir seviye yüzeyinin her noktasına eklersek, yüzey üzerinde üç-boyutlu bir alanımız olur. Akan bir akışkanın her noktasına bir hız vektörü atarsak, uzayda bir bölgede tanımlanmış üç-boyutlu bir alanımız olur. Bunlar ve başka alanlar Şekil 16.10-16.15'te gösterilmektedir. Çizimlerin bazıları alanların formülleri de vermektedir.

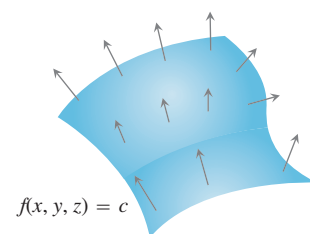
Formülleri var olan alanları çizmek için, tanım kümesi noktalarından bir seçki aldık ve bunlara ilişkili vektörleri çizdik. Vektörleri temsil eden okların, vektör alanlarının hesaplandığı noktalarda başları ile değil, uçları ile çizildiğine dikkat edin.



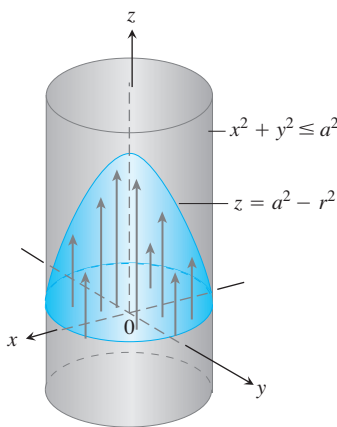
**ŞEKİL 16.9** Bir yerçekimi alanında, alanın kaynaklandığı kütle merkezini gösteren vektörler



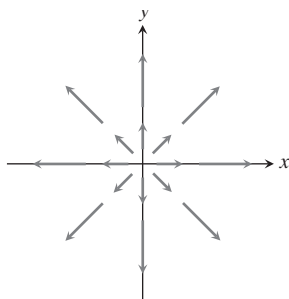
**ŞEKİL 16.10** Bir mermi hareketinin  $v(t)$  hız vektörleri yol boyunca bir vektör alanı oluşturur.



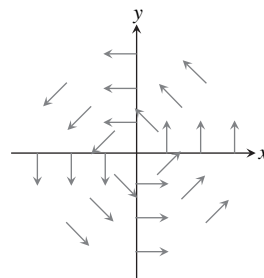
**ŞEKİL 16.11** Bir  $f(x, y, z) = c$  yüzeyi üzerindeki  $\Delta f$  gradiyent vektörleri alanı.



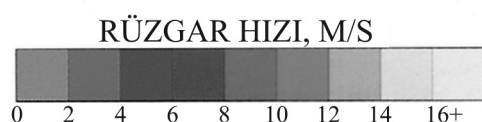
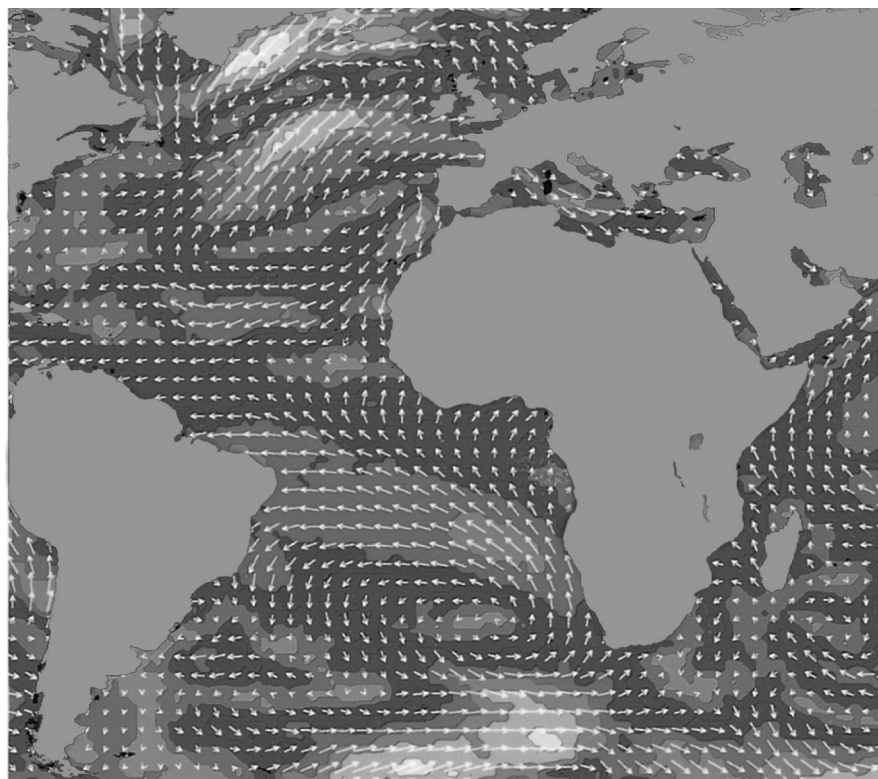
**ŞEKİL 16.12** Uzun bir silindirik borudaki akışkan akışı. Silindirin içinde, tabanları  $xy$ -düzleminde bulunan  $\mathbf{v} = (a^2 - r^2)\mathbf{k}$  vektörlerinin uçları  $z = a^2 - r^2$  paraboloidi üzerindedir.



**ŞEKİL 16.13** Düzlemdeki noktaların konum vektörlerinin radyal alanı  $\mathbf{F} = x\mathbf{i} + y\mathbf{j}$ . Bir okun,  $\mathbf{F}$ 'nin hesaplandığı yerde, başıyla değil, ucuyla çizildiğine dikkat edin.



**ŞEKİL 16.14** Düzleme birim vektörlerinin dairesel veya "spin" alanı. Alan orijinde tanımlı değildir.



**ŞEKİL 16.15** NASA'nın *Seasat*'ı dünya okyanuslarının üzerinden 350.000 rüzgar ölçümü almak için bir radar kullanmıştır. Oklar rüzgar yönünü gösterir; uzunlukları ve renkleri bögeler hızı belirtir. Greenland'in güneyindeki fırtınaya dikkat edin.

Bu, gezegenlerin ve mermilerin konum vektörlerini okları uçları orijinde ve başları gezegenin ve merminin bulunduğu yerde olacak şekilde çizimizden farklıdır.

### Gradiyent Alanlar

#### TANIM Gradiyent Alanlar

Diferansiyellenebilir bir  $f(x, y, z)$  fonksiyonunun **gradiyent alanı**

$$\nabla f = \frac{\partial f}{\partial x} \mathbf{i} + \frac{\partial f}{\partial y} \mathbf{j} + \frac{\partial f}{\partial z} \mathbf{k}$$

gradiyent vektörlerinin alanıdır.

### ÖRNEK 1 Bir Gradiyent Alanı Bulmak

$f(x, y, z) = xyz$ 'nin gradiyent alanını bulun.

**Çözüm**  $f$ 'nin gradiyent alanı  $\mathbf{F} = \nabla f = yz\mathbf{i} + xz\mathbf{j} + yx\mathbf{k}$  dir. ■

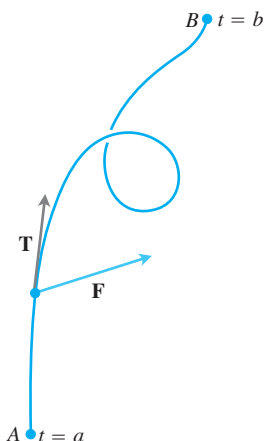
Bölüm 16.3'te göreceğimiz gibi, gradiyent alanlarının mühendislikte, matematikte ve fizikte özel bir önemi vardır.

### Bir Kuvvetin Bir Uzay Eğrisi Üzerinde Yaptığı İş

$\mathbf{F} = M(x, y, z)\mathbf{i} + N(x, y, z)\mathbf{j} + P(x, y, z)\mathbf{k}$  vektör alanının uzayda bir bölge boyunca bir kuvveti temsil ettiğini (yerçekimi kuvveti veya bir çeşit elektromanyetik kuvvet olabilir) ve

$$\mathbf{r}(t) = g(t)\mathbf{i} + h(t)\mathbf{j} + k(t)\mathbf{k}, \quad a \leq t \leq b$$

eğrisinin bu bölgede düzgün bir eğri olduğunu varsayıñ. Bu durumda  $\mathbf{F}$ 'nin eğrinin birim teget vektörü yönündeki skaler bileşeni  $\mathbf{F} \cdot \mathbf{T}$ 'nin eğri üzerindeki integraline  $\mathbf{F}$ 'nin eğri üzerinde  $a$ 'dan  $b$ 'ye kadar yaptığı iş denir (Şekil 16.16).



**ŞEKİL 16.16** Bir  $\mathbf{F}$  kuvvetinin yaptığı iş,  $A$ 'dan  $B$ 'ye düzgün bir eğri üzerinde  $\mathbf{F} \cdot \mathbf{T}$  skaler bileşeninin eğrisel integralidir.

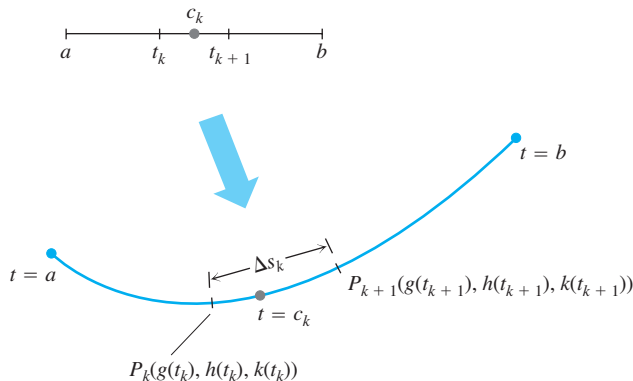
#### TANIM Bir Düzgün Eğri Üzerinde İş

Bir  $\mathbf{F} = M\mathbf{i} + N\mathbf{j} + P\mathbf{k}$  kuvvetinin düzgün bir  $\mathbf{r}(t)$  eğrisi üzerinde  $t = a$ 'dan  $t = b$ 'ye kadar yaptığı iş

$$W = \int_{t=a}^{t=b} \mathbf{F} \cdot \mathbf{T} \, ds \quad [1]$$

(1) denklemi, Bölüm 6'da  $F(x)$  büyülüğünde sürekli bir kuvvetin  $x$ -ekseni üzerindeki bir aralıkta yaptığı işi veren  $W = \int_a^b F(x) \, dx$  formülünü türetmek için kullandığımız mantık yürütmeyle türeteceğiz. Eğriyi kısa parçalara böler, her eğri parçası üzerindeki işe yaklaşımada bulunmak için, işin (sabit-kuvvet)  $\times$  (uzaklık) formülünü kullanır, bütün eğri üzerindeki işe yaklaşımada bulunmak için sonuçları toplar ve parçalar kısılırken ve sayıları

artarken işi yaklaşım toplamlarının limiti olarak hesaplarız. Limit integralin ne olacağını tam olarak bulmak için,  $[a, b]$  parametre aralığını her zamanki gibi böler ve her  $[t_k, t_{k+1}]$  alt aralığında bir  $c_k$  noktası seçeriz.  $[a, b]$ 'nin bölünüşü,  $\mathbf{r}(t_k)$  konum vektörünün  $t_k$ 'deki ucu  $P_k$  ve  $P_k P_{k+1}$  eğri parçasının uzunluğu  $\Delta s_k$  olmak üzere, eğrinin bir bölünüşünü belirler ("oluşturur" deriz) (Şekil 16.17).



**ŞEKİL 16.17**  $[a, b]$ 'nin her bölünüşü  $\mathbf{r}(t) = g(t)\mathbf{i} + h(t)\mathbf{j} + k(t)\mathbf{k}$  eğrisinin bir bölünüşünü oluşturur.

$\mathbf{F}_k$ ,  $\mathbf{F}$ 'nin eğri üzerinde  $t = c_k$ 'ye karşılık gelen noktadaki değeriyse ve  $\mathbf{T}_k$  eğrinin bu noktadaki teğet vektörünü gösteriyorsa,  $\mathbf{F}_k \cdot \mathbf{T}_k$ ,  $\mathbf{F}$ 'nin  $t = c_k$ 'de  $\mathbf{T}$  yönündeki skaler bileşenidir (Şekil 16.18).  $\mathbf{F}$ 'nin  $P_k P_{k+1}$  eğri parçası boyunca yaptığı iş yaklaşık olarak

$$\underset{\text{a hareket yönündeki kuvvet bileşeni}}{\mathbf{a}} \times \underset{\text{a uygulanan mesafe}}{\mathbf{b}} = \mathbf{F}_k \cdot \mathbf{T}_k \Delta s_k$$

olar.  $\mathbf{F}$ 'nin eğri boyunca  $t = a$ 'dan  $t = b$ 'ye kadar yaptığı iş yaklaşık olarak

$$\sum_{k=1}^n \mathbf{F}_k \cdot \mathbf{T}_k \Delta s_k$$

olur.  $[a, b]$  bölünüşünün normu sıfıra yaklaşırken, eğrinin oluşturulan bölünüşünün normu sıfıra yaklaşır ve bu toplamlar

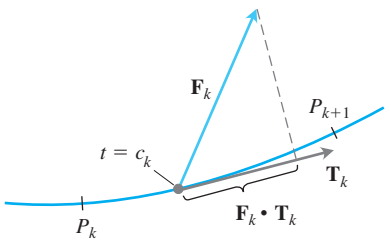
$$\int_{t=a}^{t=b} \mathbf{F} \cdot \mathbf{T} ds$$

eğrisel integraline yaklaşır. Bu integralle hesapladığımız sayının işaretini  $t$  artarken eğrinin hangi yöne ilerlediğine bağlıdır. Hareket yönünü değiştirirsek,  $\mathbf{T}$ 'nin yönünü tersine çevirir ve  $\mathbf{F} \cdot \mathbf{T}$  ile integralinin işaretini değiştiririz.

Tablo 16.2, (1) denklemindeki iş integralini yazmanın altı yolunu sunar. Farklılıklarına rağmen, Tablo 16.2'deki denklemelerin hepsi aynı şekilde hesaplanır. Tabloda,  $\mathbf{r}(t) = g(t)\mathbf{i} + h(t)\mathbf{j} + k(t)\mathbf{k} = x\mathbf{i} + y\mathbf{j} + z\mathbf{k}$  düzgün bir eğri ve

$$d\mathbf{r} = \frac{d\mathbf{r}}{dt} dt = dg\mathbf{i} + dh\mathbf{j} + dk\mathbf{k}$$

de onun diferansiyelidir.



**ŞEKİL 16.18** Şekil 16.17'deki  $P_k P_{k+1}$  eğri parçasının, eğri üzerinde  $t = c_k$  noktasındaki kuvvet vektörünü ve birim teğeti gösteren büyütülmüş bir görüntüsü.

TABLO 16.2 İş integralini yazmanın değişik yolları

$\mathbf{W} = \int_{t=a}^{t=b} \mathbf{F} \cdot \mathbf{T} \, ds$	Tanım
$= \int_{t=a}^{t=b} \mathbf{F} \cdot d\mathbf{r}$	Kapalı diferansiyel form
$= \int_a^b \mathbf{F} \cdot \frac{d\mathbf{r}}{dt} dt$	$dt$ 'yi kapsayacak şekilde genişletilmiş $t$ parametresini ve $d\mathbf{r}/dt$ hız vektörünü vurgular
$= \int_a^b \left( M \frac{dg}{dt} + N \frac{dh}{dt} + P \frac{dk}{dt} \right) dt$	Bileşen fonksiyonlarını vurgular
$= \int_a^b \left( M \frac{dx}{dt} + N \frac{dy}{dt} + P \frac{dz}{dt} \right) dt$	$\mathbf{r}$ 'nin bileşenlerini kısaltır.
$= \int_a^b M dx + N dy + P dz$	$dt$ 'ler sadeleşir; en yaygın şekil.

**Bir İş Integralini Hesaplamak**

Bir  $\mathbf{r}(t)$  düzgün eğrisi boyunca iş integralini hesaplamak için, şu adımları izleyin:

1.  $\mathbf{F}$ 'yi eğri üzerinde  $t$ 'nin bir fonksiyonu olarak hesaplayın.
2.  $d\mathbf{r}/dt$ 'yi hesaplayın.
3.  $\mathbf{F} \cdot d\mathbf{r}/dt$ 'yi  $t = a$ 'dan  $t = b$ 'ye kadar integre edin.

**ÖRNEK 2** Değişken Bir Kuvvetin Bir Uzay Eğrisi Üzerinde Yaptığı İş

$\mathbf{F} = (y - x^2)\mathbf{i} + (z - y^2)\mathbf{j} + (x - z^2)\mathbf{k}$ 'nin  $\mathbf{r}(t) = t\mathbf{i} + t^2\mathbf{j} + t^3\mathbf{k}$ ,  $0 \leq t \leq 1$ , eğrisi üzerinde  $(0, 0, 0)$ 'dan  $(1, 1, 1)$ 'e kadar yaptığı işi bulun (Şekil 16.19).

**Çözüm** Önce  $\mathbf{F}$ 'yi eğri üzerinde hesaplarız.

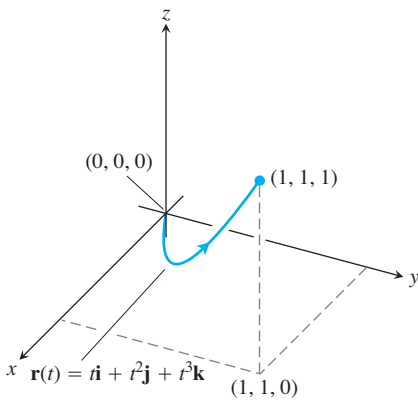
$$\begin{aligned}\mathbf{F} &= (y - x^2)\mathbf{i} + (z - y^2)\mathbf{j} + (x - z^2)\mathbf{k} \\ &= (\underbrace{t^2 - t^2}_0)\mathbf{i} + (t^3 - t^4)\mathbf{j} + (t - t^6)\mathbf{k}\end{aligned}$$

Sonra  $d\mathbf{r}/dt$ 'yi buluruz:

$$\frac{d\mathbf{r}}{dt} = \frac{d}{dt}(t\mathbf{i} + t^2\mathbf{j} + t^3\mathbf{k}) = \mathbf{i} + 2t\mathbf{j} + 3t^2\mathbf{k}$$

Son olarak  $\mathbf{F} \cdot d\mathbf{r}/dt$ 'yi bulur ve  $t = 0$ 'dan  $t = 1$ 'e kadar integre ederiz:

$$\begin{aligned}\mathbf{F} \cdot \frac{d\mathbf{r}}{dt} &= [(t^3 - t^4)\mathbf{j} + (t - t^6)\mathbf{k}] \cdot (\mathbf{i} + 2t\mathbf{j} + 3t^2\mathbf{k}) \\ &= (t^3 - t^4)(2t) + (t - t^6)(3t^2) = 2t^4 - 2t^5 + 3t^3 - 3t^8\end{aligned}$$



ŞEKİL 16.19 Örnek 2'deki eğri.

ve

$$\begin{aligned} \text{İş} &= \int_0^1 (2t^4 - 2t^5 + 3t^3 - 3t^8) dt \\ &= \left[ \frac{2}{5}t^5 - \frac{2}{6}t^6 + \frac{3}{4}t^4 - \frac{3}{9}t^9 \right]_0^1 = \frac{29}{60}. \end{aligned}$$

■

### Akış İntegralleri ve Hız Alanları İçin Dolaşım

Bir kuvvet alanı yerine,  $\mathbf{F}$ 'nin uzayda bir bölgeden akan bir akışkanın hız alanını temsil ettiğini varsayıp (bir dalga teknesi veya hidroelektrik bir jeneratörün turbin odası gibi). Bu koşullar altında,  $\mathbf{F} \cdot \mathbf{T}$ 'nin bölge içinde kalan bir eğri üzerindeki integrali, eğri boyunca akışkan akışını verir.

#### TANIMLAR Akış İntegrali, Dolaşım

$\mathbf{r}(t)$ , sürekli bir  $\mathbf{F}$  hız alanının tanım bölgesinde düzgün bir eğriyse, eğri üzerinde  $t = a$ 'dan  $t = b$ 'ya kadar **akış**

$$\text{Akış} = \int_a^b \mathbf{F} \cdot \mathbf{T} ds \quad [2]$$

dir. Bu durumda integrale **akış integrali** denir. Eğri kapalı bir döngüyse, akışa eğri etrafında **dolaşım** denir.

Akış integrallerini, iş integrallerini hesapladığımız şekilde hesaplarız.

#### ÖRNEK 3 Bir Helis Boyunca Akış Bulmak

Bir akışkanın hız alanı  $\mathbf{F} = x\mathbf{i} + z\mathbf{j} + y\mathbf{k}$  dir.  $\mathbf{r}(t) = (\cos t)\mathbf{i} + (\sin t)\mathbf{j} + t\mathbf{k}$ ,  $0 \leq t \leq \pi/2$ , eğrisi boyunca akışı bulun.

**Çözüm**  $\mathbf{F}$ 'yi eğri üzerinde hesaplarız,

$$\mathbf{F} = x\mathbf{i} + z\mathbf{j} + y\mathbf{k} = (\cos t)\mathbf{i} + t\mathbf{j} + (\sin t)\mathbf{k}$$

sonra  $d\mathbf{r}/dt$ 'yi buluruz:

$$\frac{d\mathbf{r}}{dt} = (-\sin t)\mathbf{i} + (\cos t)\mathbf{j} + \mathbf{k}$$

Daha sonra  $\mathbf{F} \cdot (d\mathbf{r}/dt)$ 'yi  $t = 0$ 'dan  $t = \frac{\pi}{2}$ 'ye kadar integre ederiz:

$$\begin{aligned} \mathbf{F} \cdot \frac{d\mathbf{r}}{dt} &= (\cos t)(-\sin t) + (t)(\cos t) + (\sin t)(1) \\ &= -\sin t \cos t + t \cos t + \sin t \end{aligned}$$

dolayısıyla,

$$\begin{aligned}\text{Akış} &= \int_{t=a}^{t=b} \mathbf{F} \cdot \frac{d\mathbf{r}}{dt} dt = \int_0^{\pi/2} (-\sin t \cos t + t \cos t + \sin t) dt \\ &= \left[ \frac{\cos^2 t}{2} + t \sin t \right]_0^{\pi/2} = \left( 0 + \frac{\pi}{2} \right) - \left( \frac{1}{2} + 0 \right) = \frac{\pi}{2} - \frac{1}{2}\end{aligned}$$

■

#### ÖRNEK 4 Bir Çemberin Etrafındaki Dolaşımı Bulmak

$\mathbf{F} = (x - y)\mathbf{i} + x\mathbf{j}$  alanının  $\mathbf{r}(t) = (\cos t)\mathbf{i} + (\sin t)\mathbf{j}$ ,  $0 \leq t \leq 2\pi$ , çemberi etrafındaki dolaşımını bulun.

**Cözüm** Çember üzerinde,  $\mathbf{F} = (x - y)\mathbf{i} + x\mathbf{j} = (\cos t - \sin t)\mathbf{i} + (\cos t)\mathbf{j}$  ve

$$\frac{d\mathbf{r}}{dt} = (-\sin t)\mathbf{i} + (\cos t)\mathbf{j}$$

dir. Buradan,

$$\mathbf{F} \cdot \frac{d\mathbf{r}}{dt} = -\sin t \cos t + \underbrace{\sin^2 t + \cos^2 t}_1$$

ifadesi

$$\begin{aligned}\text{Dolaşım} &= \int_0^{2\pi} \mathbf{F} \cdot \frac{d\mathbf{r}}{dt} dt = \int_0^{2\pi} (1 - \sin t \cos t) dt \\ &= \left[ t - \frac{\sin^2 t}{2} \right]_0^{2\pi} = 2\pi\end{aligned}$$

verir.

■

#### Düzlemdeki Bir Eğriden Geçen Akı

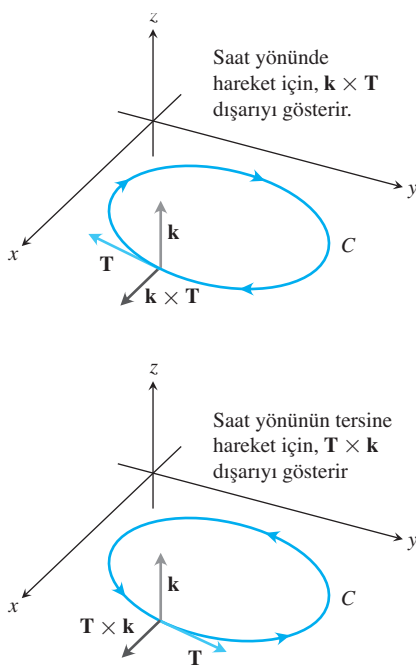
Bir akışkanın  $xy$ -düzlemindeki düzgün bir  $C$  eğrisiyle çevrelenen bir bölgeye giriş veya çıkış hızını bulmak için  $\mathbf{F} \cdot \mathbf{n}$ 'nin  $C$  üzerinde eğrisel integralini alırız. Burada  $\mathbf{F} \cdot \mathbf{n}$ , akışkanın hız alanının eğrinin dışarıyı işaret eden normal vektörü yönündeki skaler bileşenidir. Bu integralin değerine  $\mathbf{F}$ 'nin  $C$ 'deki **akısı** denir. *Akı* (*flux*) akışın Latinceyesidir, ama çoğu akı hesaplamasında hiç hareket yoktur. Örneğin,  $\mathbf{F}$  bir elektrik veya manyetik alan olsaydı,  $\mathbf{F} \cdot \mathbf{n}$ 'nin integraline yine alanın  $C$ 'deki akısı denecekti.

#### TANIM Düzlemdede Kapalı Bir Eğri Üzerinden Geçen Akı

$C$ , sürekli bir  $\mathbf{F} = M(x, y)\mathbf{i} + N(x, y)\mathbf{j}$  vektör alanının tanım bölgesi içinde düzgün bir eğri ise ve  $\mathbf{n}$  de  $C$ 'nın dışarıyı gösteren birim normal vektöryse,  $\mathbf{F}$ 'nin  $C$  üzerindeki akısı aşağıdaki eğrisel integralle verilir:

$$\mathbf{F}'nin C'deki akısı = \int_C \mathbf{F} \cdot \mathbf{n} ds. \quad [3]$$

Akı ile dolaşım arasındaki farka dikkat edin.  $\mathbf{F}$ 'nin  $C$ 'deki akısı,  $\mathbf{F}$ 'nin dışarıyı gösteren normalinin yönündeki skaler bileşeni  $\mathbf{F} \cdot \mathbf{n}$ 'nin yay uzunluğuna göre eğrisel integralidir.



**ŞEKİL 16.20**  $xy$ -düzleminde  $t$  artarken saat yönünün tersine dönen düzgün bir  $C$  eğrisinin dışarıyı gösteren bir birim normal vektörünü bulmak için,  $\mathbf{n} = \mathbf{T} \times \mathbf{k}$  alırız. Saat yönündeki hareket için  $\mathbf{n} = \mathbf{k} \times \mathbf{T}$  alırız.

$\mathbf{F}$ 'nin  $C$  etrafındaki dolasımı,  $\mathbf{F}$ 'nin birim teget vektör yönündeki skaler bileşeni  $\mathbf{F} \cdot \mathbf{T}$ 'nin yay uzunluğuna göre eğrisel integralidir. Akı,  $\mathbf{F}'$ nin normal bileşeninin integralidir; dolasım  $\mathbf{F}'$ 'nin tegetsel bileşeninin integralidir.

(3) denklemindeki integrali hesaplamak için,  $t$   $a$ 'dan  $b$ 'ye giderken  $C$  eğrisini tam bir kere dolaşan

$$x = g(t), \quad y = h(t), \quad a \leq t \leq b$$

parametrizasyonuyla işe başlarız. Dışarıyı gösteren birim normal vektör  $\mathbf{n}$ 'yi, eğrinin teget birim vektörü  $\mathbf{T}$  ile  $\mathbf{k}$  vektörünün vektörel çarpımını alarak bulabiliriz. Fakat hangi sırayı seçeceğiz:  $\mathbf{T} \times \mathbf{k}$  mi,  $\mathbf{k} \times \mathbf{T}$  mi? Hangisi dışarıyı gösterir? Bu,  $t$  parametresi artarken,  $C$ 'nin hangi yönde ilerlediğine bağlıdır. Hareket saat yönündeysse,  $\mathbf{k} \times \mathbf{T}$  dışarıyı gösterir; hareket saat yönünün tersineysse,  $\mathbf{T} \times \mathbf{k}$  dışarıyı gösterir (Şekil 16.20). Seçim genelde saat yönünün tersine hareketi öngören  $\mathbf{n} = \mathbf{T} \times \mathbf{k}$  olarak yapılır. Yani, akı'nın (3) denklemi ile verilen tanımındaki yay uzunluğu integralinin değeri,  $C$ 'nin hangi yönde ilerlediğine bağlı olmadığı halde, (3) denklemi hesaplamak için türetmek üzere olduğumuz denklemler saat yönünün tersine bir hareketi varsayırlar.

Bileşenler cinsinden,

$$\mathbf{n} = \mathbf{T} \times \mathbf{k} = \left( \frac{dx}{ds} \mathbf{i} + \frac{dy}{ds} \mathbf{j} \right) \times \mathbf{k} = \frac{dy}{ds} \mathbf{i} - \frac{dx}{ds} \mathbf{j}$$

olur.  $\mathbf{F} = M(x, y)\mathbf{i} + N(x, y)\mathbf{j}$  ise,

$$\mathbf{F} \cdot \mathbf{n} = M(x, y) \frac{dy}{ds} - N(x, y) \frac{dx}{ds}$$

bulunur. Dolayısıyla,

$$\int_C \mathbf{F} \cdot \mathbf{n} ds = \int_C \left( M \frac{dy}{ds} - N \frac{dx}{ds} \right) ds = \oint_C M dy - N dx$$

halini alır. Son integrale, kapalı  $C$  eğrisi üzerindeki integralin saat yönünün tersine olduğunu hatırlatmak için yönlü bir  $\circlearrowleft$  çemberi koyduk. Bu integrali hesaplamak için,  $M$ ,  $dy$ ,  $N$  ve  $dx$ 'i  $t$  cinsinden ifade etmemiz ve  $t = a$ 'dan  $t = b$ 'ye kadar integralini almamız gereklidir. Akıyı bulmak için  $\mathbf{n}$ 'yi ya da  $ds$ 'yi bilmemiz gerekmektedir.

### Düzgün Kapalı Bir Düzlem Eğri Üzerinden Geçen Akıyı Hesaplamak

$$(\mathbf{F} = M\mathbf{i} + N\mathbf{j}'\text{nin } C\text{den geçen akısı}) = \oint_C M dy - N dx \quad (4)$$

Integral,  $C$ 'yi saat yönünün tersine tam bir kere dolaşan herhangi bir düzgün  $x = g(t)$ ,  $y = h(t)$ ,  $a \leq t \leq b$ , parametrizasyonuyla hesaplanabilir.

### ÖRNEK 5 Bir Çemberden Geçen Akıyı Hesaplamak

$\mathbf{F} = (x - y)\mathbf{i} + x\mathbf{j}$ 'nin  $xy$ -düzlemindeki  $x^2 + y^2 = 1$  çemberinden geçen akısını bulun.

**Cözüm**  $\mathbf{r}(t) = (\cos t)\mathbf{i} + (\sin t)\mathbf{j}$ ,  $0 \leq t \leq 2\pi$ , parametrisasyonu çemberi saat yönünün tersine tam bir defa kat eder. Dolayısıyla, (4) denkleminde bu parametrisasyonu kullanabiliriz.

$$M = x - y = \cos t - \sin t, \quad dy = d(\sin t) = \cos t dt$$

$$N = x = \cos t, \quad dx = d(\cos t) = -\sin t dt,$$

ile

$$\begin{aligned} \text{Akı} &= \int_C M dy - N dx = \int_0^{2\pi} (\cos^2 t - \sin t \cos t + \cos t \sin t) dt \quad (4) \text{ denklemi} \\ &= \int_0^{2\pi} \cos^2 t dt = \int_0^{2\pi} \frac{1 + \cos 2t}{2} dt = \left[ \frac{t}{2} + \frac{\sin 2t}{4} \right]_0^{2\pi} = \pi. \end{aligned}$$

buluruz.  $F$ 'nin çemberdeki akısı  $\pi$ 'dır. Yanıt pozitif olduğu için, eğri boyunca net akış dışarı doğrudur. İçeri doğru net bir akış negatif bir akı verirdi. ■

## ALIŞTIRMALAR 16.2

### Vektör ve Gradiyent Alanları

1–4 alıştırmalarında, fonksiyonların gradiyent alanlarını bulun.

1.  $f(x, y, z) = (x^2 + y^2 + z^2)^{-1/2}$

2.  $f(x, y, z) = \ln \sqrt{x^2 + y^2 + z^2}$

3.  $g(x, y, z) = e^z - \ln(x^2 + y^2)$

4.  $g(x, y, z) = xy + yz + xz$

5.  $\mathbf{F}$ 'nin orijine doğru işaret etme ve büyüklüğü  $(x, y)$ 'den orijine olan uzaklığın karesiyle ters orantılı olma özelliği bulunacak şekilde düzlemede bir vektör alanının  $\mathbf{F} = M(x, y)\mathbf{i} + N(x, y)\mathbf{j}$  formülüne bulun (Alan  $(0, 0)$ 'da tanımlı değildir).

6.  $(0, 0)$ 'da  $\mathbf{F} = \mathbf{0}$ , başka  $(a, b)$  noktalarında  $x^2 + y^2 = a^2 + b^2$  çemberine teget ve saat yönünü işaret etme özelliği olan,  $|\mathbf{F}| = \sqrt{a^2 + b^2}$  büyüklükli bir  $\mathbf{F}$  vektör alanının  $\mathbf{F} = M(x, y)\mathbf{i} + N(x, y)\mathbf{j}$  formülünü bulun.

### İş

7–12 alıştırmalarında,  $\mathbf{F}$  kuvvetinin aşağıdaki yollar üzerinde  $(0, 0, 0)$ 'dan  $(1, 1, 1)$ 'e kadar yaptığı işi bulun (Şekil 16.21).

a. Doğru yol  $C_1$ :  $\mathbf{r}(t) = t\mathbf{i} + t\mathbf{j} + t\mathbf{k}$ ,  $0 \leq t \leq 1$

b. Eğri yol  $C_2$ :  $\mathbf{r}(t) = t\mathbf{i} + t^2\mathbf{j} + t^4\mathbf{k}$ ,  $0 \leq t \leq 1$

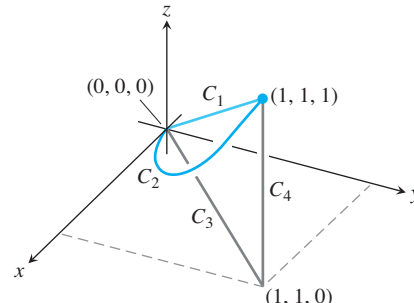
c.  $(0, 0, 0)$ 'dan  $(1, 1, 0)$ 'a giden ve sonra  $(1, 1, 0)$ 'dan  $(1, 1, 1)$ 'e giden doğru parçalarından oluşan  $C_3 < C_4$  yolu.

7.  $\mathbf{F} = 3yi + 2xj + 4zk \quad 8. \mathbf{F} = [1/(x^2 + 1)]\mathbf{j}$

9.  $\mathbf{F} = \sqrt{z}\mathbf{i} - 2x\mathbf{j} + \sqrt{y}\mathbf{k} \quad 10. \mathbf{F} = xy\mathbf{i} + yz\mathbf{j} + xz\mathbf{k}$

11.  $\mathbf{F} = (3x^2 - 3x)\mathbf{i} + 3z\mathbf{j} + \mathbf{k}$

12.  $\mathbf{F} = (y + z)\mathbf{i} + (z + x)\mathbf{j} + (x + y)\mathbf{k}$



**ŞEKİL 16.21**  $(0, 0, 0)$ 'dan  $(1, 1, 1)$ 'e giden yollar.

13–16 alıştırmalarında,  $\mathbf{F}$ 'nin artan  $t$  yönünde eğri boyunca yaptığı işi bulun.

13.  $\mathbf{F} = xy\mathbf{i} + y\mathbf{j} - yz\mathbf{k}$   
 $\mathbf{r}(t) = t\mathbf{i} + t^2\mathbf{j} + t\mathbf{k}, \quad 0 \leq t \leq 1$

14.  $\mathbf{F} = 2yi + 3xj + (x + y)\mathbf{k}$   
 $\mathbf{r}(t) = (\cos t)\mathbf{i} + (\sin t)\mathbf{j} + (t/6)\mathbf{k}, \quad 0 \leq t \leq 2\pi$

15.  $\mathbf{F} = zi + xj + yk$   
 $\mathbf{r}(t) = (\sin t)\mathbf{i} + (\cos t)\mathbf{j} + t\mathbf{k}, \quad 0 \leq t \leq 2\pi$

16.  $\mathbf{F} = 6zi + y^2\mathbf{j} + 12x\mathbf{k}$   
 $\mathbf{r}(t) = (\sin t)\mathbf{i} + (\cos t)\mathbf{j} + (t/6)\mathbf{k}, \quad 0 \leq t \leq 2\pi$

### Düzlemede Eğrisel İntegraler ve Vektör Alanları

17.  $\int_C xy dx + (x + y) dy$   $y$  (-1, 1)'den (2, 4)'e kadar  $y = x^2$  eğrisi üzerinde hesaplayın.

18.  $\int_C (x - y) dx + (x + y) dy$   $y$  köşeleri (0, 0), (1, 0) ve (0, 1)'de olan üçgen üzerinde saat yönünün tersine hesaplayın.

19.  $\mathbf{F} = x^2\mathbf{i} - y\mathbf{j}$  vektör alanı için  $\int_C \mathbf{F} \cdot \mathbf{T} ds$ 'yi  $(4, 2)$ den  $(1, -1)$ 'e kadar  $x = y^2$  eğrisi boyunca hesaplayın.
20.  $\mathbf{F} = y\mathbf{i} - x\mathbf{j}$  vektör alanı için  $\int_C \mathbf{F} \cdot d\mathbf{r}$ 'yi  $(1, 0)$ dan  $(0, 1)$ 'e kadar saat yönünün tersine  $x^2 + y^2 = 1$  çemberi üzerinde hesaplayın.
21. **İş**  $\mathbf{F} = xy\mathbf{i} + (y - x)\mathbf{j}$  kuvveti tarafından  $(1, 1)$ den  $(2, 3)$ 'e giden doğru boyunca yapılan işi bulun.
22. **İş**  $f(x, y) = (x + y)^2$ 'nin gradiyentinin  $x^2 + y^2 = 4$  çemberi üzerinde  $(2, 0)$ dan  $(2, 0)$ 'a kadar yaptığı işi bulun.
23. **Dolaşım ve Aki** Aşağıdaki eğrilerin her birinde

$$\mathbf{F}_1 = x\mathbf{i} + y\mathbf{j} \quad \text{ve} \quad \mathbf{F}_2 = -y\mathbf{i} + x\mathbf{j}$$

alanlarının akı ve dolaşımını bulun.

- a.  $\mathbf{r}(t) = (\cos t)\mathbf{i} + (\sin t)\mathbf{j}, \quad 0 \leq t \leq 2\pi$  çemberi  
 b.  $\mathbf{r}(t) = (\cos t)\mathbf{i} + (4 \sin t)\mathbf{j}, \quad 0 \leq t \leq 2\pi$  elipsi

24. Bir çemberden geçen akı

$$\mathbf{F}_1 = 2x\mathbf{i} - 3y\mathbf{j} \quad \text{ve} \quad \mathbf{F}_2 = 2x\mathbf{i} + (x - y)\mathbf{j}$$

alanlarının

$$\mathbf{r}(t) = (a \cos t)\mathbf{i} + (a \sin t)\mathbf{j}, \quad 0 \leq t \leq 2\pi$$

çemberi üzerindeki akılarını bulun.

## Dolaşım ve Aki

25–28 alıştırmalarında,  $\mathbf{F}$  alanının  $\mathbf{r}_1(t) = (a \cos t)\mathbf{i} + (a \sin t)\mathbf{j}, \quad 0 \leq t \leq \pi$ , yarımdairesel yayı ve onu izleyen  $\mathbf{r}_2(t) = t\mathbf{i}, \quad -a \leq t \leq a$ , doğru parçasından oluşan yarımcıbersel yol üzerindeki akı ve dolaşımını bulun.

25.  $\mathbf{F} = x\mathbf{i} + y\mathbf{j}$

26.  $\mathbf{F} = x^2\mathbf{i} + y^2\mathbf{j}$

27.  $\mathbf{F} = -y\mathbf{i} + x\mathbf{j}$

28.  $\mathbf{F} = -y^2\mathbf{i} + x^2\mathbf{j}$

29. **Akı integralleri**  $\mathbf{F} = (x + y)\mathbf{i} - (x^2 + y^2)\mathbf{j}$  hız alanının akış integralini  $xy$ -düzleminde  $(1, 0)$ dan  $(-1, 0)$ 'a kadar aşağıdaki yollarдан her birinde bulun.

- a.  $x^2 + y^2 = 1$  çemberinin üst yarısı  
 b.  $(1, 0)$ dan  $(-1, 0)$ 'a giden doğru parçası  
 c.  $(1, 0)$ dan  $(0, -1)$ 'e giden doğru parçası ve onu izleyen  $(0, -1)$ den  $(-1, 0)$ 'a giden doğru parçası.

30. **Bir üçgenden geçen akı** Aşağıda  $\mathbf{F}$  alanının, köşeleri  $(1, 0), (0, 1)$  ve  $(-1, 0)$ da bulunan üçgenden dışarı doğru olan akısını bulun.

## Düzleme Alanları Bulmak ve Çizmek

31. **Spin alanı**  $x^2 + y^2 = 4$  çemberi boyunca çeşitli temsil noktalarda yatay ve dikey bileşenleriyle birlikte

$$\mathbf{F} = -\frac{y}{\sqrt{x^2 + y^2}}\mathbf{i} + \frac{x}{\sqrt{x^2 + y^2}}\mathbf{j}$$

spin alanını çizin (Şekil 16.14'e bakın.)

32. **Radyal alanı**  $x^2 + y^2 = 1$  çemberi boyunca çeşitli temsil noktalardındaki yatay ve dikey bileşenleriyle birlikte

$$\mathbf{F} = x\mathbf{i} + y\mathbf{j}$$

radyal alanını çizin (Şekil 16.13'e bakın).

33. **Bir teğet vektörler alanı**

- a.  $xy$ -düzleminde  $(a, b) \neq (0, 0)$  olan her nokta için,  $x^2 + y^2 = a^2 + b^2$  çemberine teğet ve saat yönünün tersini gösterme özelliğine sahip,  $\sqrt{a^2 + b^2}$  büyülüğünde bir  $\mathbf{G} = P(x, y)\mathbf{i} + Q(x, y)\mathbf{j}$  alanı bulun (Alan  $(0, 0)$ 'da tanımlı değildir).

- b.  $\mathbf{G}$ , Şekil 16.14'teki  $\mathbf{F}$  spin alanı ile nasıl ilişkilidir?

34. **Bir teğet vektörler alanı**

- a.  $xy$ -düzleminde  $(a, b) \neq (0, 0)$  olan her nokta için,  $x^2 + y^2 = a^2 + b^2$  çemberine teğet ve saat yönünü gösterme özelliğine sahip bir  $\mathbf{G} = P(x, y)\mathbf{i} + Q(x, y)\mathbf{j}$  alanı bulun.

- b.  $\mathbf{G}$ , Şekil 16.14'teki  $\mathbf{F}$  spin alanı ile nasıl ilişkilidir?

35. **Orijine yönlenmiş birim vektörler**  $xy$ -düzlemindeki her  $(x, y) \neq (0, 0)$  noktasında,  $\mathbf{F}$  orijini gösteren bir birim vektör olmak üzere bir  $\mathbf{F} = M(x, y)\mathbf{i} + N(x, y)\mathbf{j}$  alanı bulun (Alan  $(0, 0)$ 'da tanımlı değildir).

36. **İki "Merkezi" alan**  $xy$ -düzlemindeki her  $(x, y) \neq (0, 0)$  noktasında,  $\mathbf{F}$  orijini gösteren bir birim vektör ve  $|\mathbf{F}|$ , (a)  $(x, y)$ den orijine olan uzaklık, (b)  $(x, y)$ den orijine olan uzaklık ile ters orantılı olmak üzere bir  $\mathbf{F} = M(x, y)\mathbf{i} + N(x, y)\mathbf{j}$  alanı bulun (Alan  $(0, 0)$ 'da tanımlı değildir).

## Uzaya Akış İntegralleri

37–40 alıştırmalarında,  $\mathbf{F}$  uzayda bir bölgede akan bir akışkanın hız alanıdır. Verilen eğri boyunca artan  $t$  yönünde akışı bulun.

37.  $\mathbf{F} = -4xy\mathbf{i} + 8y\mathbf{j} + 2\mathbf{k}$

$$\mathbf{r}(t) = t\mathbf{i} + t^2\mathbf{j} + \mathbf{k}, \quad 0 \leq t \leq 2$$

38.  $\mathbf{F} = x^2\mathbf{i} + yz\mathbf{j} + y^2\mathbf{k}$

$$\mathbf{r}(t) = 3t\mathbf{j} + 4t\mathbf{k}, \quad 0 \leq t \leq 1$$

39.  $\mathbf{F} = (x - z)\mathbf{i} + x\mathbf{k}$

$$\mathbf{r}(t) = (\cos t)\mathbf{i} + (\sin t)\mathbf{k}, \quad 0 \leq t \leq \pi$$

40.  $\mathbf{F} = -y\mathbf{i} + x\mathbf{j} + 2\mathbf{k}$

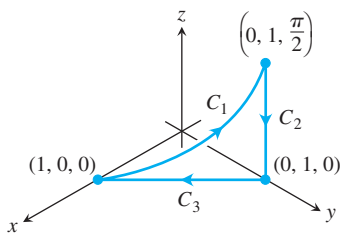
$$\mathbf{r}(t) = (-2 \cos t)\mathbf{i} + (2 \sin t)\mathbf{j} + 2t\mathbf{k}, \quad 0 \leq t \leq 2\pi$$

41. **Dolaşım** Artan  $t$  yönünde ilerleyen aşağıdaki üç eğriden oluşan kapalı yol boyunca  $\mathbf{F} = 2x\mathbf{i} + 2z\mathbf{j} + 2y\mathbf{k}$ 'nın dolaşımını bulun:

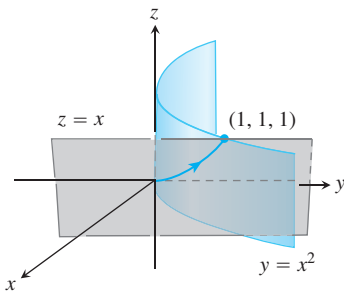
$C_1: \mathbf{r}(t) = (\cos t)\mathbf{i} + (\sin t)\mathbf{j} + t\mathbf{k}, \quad 0 \leq t \leq \pi/2$

$C_2: \mathbf{r}(t) = \mathbf{j} + (\pi/2)(1 - t)\mathbf{k}, \quad 0 \leq t \leq 1$

$C_3: \mathbf{r}(t) = t\mathbf{i} + (1 - t)\mathbf{j}, \quad 0 \leq t \leq 1$



- 42. Sıfır dolaşım**  $C$ ,  $2x + 3y - z = 0$  düzleminin  $x^2 + y^2 = 12$  silindiriyle kesiştiği elips olsun. İki eğrisel integrali de doğrudan hesaplamadan,  $\mathbf{F} = xi + yj + zk$  alanının  $C$  eğrisi etrafındaki dolaşımın iki yönde de sıfır olduğunu gösterin.
- 43. Bir eğri boyunca akış**  $\mathbf{F} = xyi + yj - yz\mathbf{k}$  alanı uzayda bir akışın hız alanıdır.  $y = x^2$  silindiri ile  $z = x$  düzleminin kesişim eğrisi üzerinde  $(0, 0, 0)$ ’dan  $(1, 1, 1)$ ’e kadar akışı bulun (*İpucu:* Parametre olarak  $t = x$  kullanın).



- 44. Bir gradiyent alanın akışı**  $\mathbf{F} = \nabla(xy^2z^3)$  alanının verilen eğrilerdeki akışını bulun.
- Aliştırmalar 42’deki  $C$  üzerinde, yukarıdan bakıldığından saat yönünde bir defa
  - $(1, 1, 1)$ ’den  $(2, 1, -1)$ ’e giden doğru parçası üzerinde

### Teori ve Örnekler

- 45. İş ve alan**  $a \leq t \leq b$  için  $f(t)$ ’nin diferansiyellenebilir ve pozitif olduğunu varsayıñ.  $C$ ,  $\mathbf{r}(t) = ti + f(t)j$ ,  $a \leq t \leq b$ , yolu ve  $\mathbf{F} = yi$  olsun.

$$\int_C \mathbf{F} \cdot d\mathbf{r}$$

iş integralinin değeri ile  $t$ -ekseni,  $f$ ’nin grafiği,  $t = a$  ve  $t = b$  doğruları ile sınırlı bölgenin alanı arasında bir ilişki var mıdır? Yanıtınızı açıklayın.

- 46. Sabit büyüklüklü bir radyal kuvvetin yaptığı iş** Bir parçacık düzgün  $y = f(x)$  eğrisi üzerinde  $(a, f(a))$ ’dan  $(b, f(b))$ ’ye ilerlemektedir. Parçacığı hareket ettiren kuvvetin büyüklüğü sabit k’dir ve her zaman orijinden uzağı göstermektedir. Kuvvetin yaptığı işin

$$\int_C \mathbf{F} \cdot \mathbf{T} ds = k[(b^2 + (f(b))^2)^{1/2} - (a^2 + (f(a))^2)^{1/2}]$$

olduğunu gösterin.

### BİLGİSAYAR ARAŞTIRMALARI

#### Sayısal Olarak İş Bulmak

47–52 alıştırmalarında, bir BCS kullanarak  $\mathbf{F}$  kuvvetinin verilen yolda yaptığı işi bulmak için aşağıdaki adımları izleyin.

- a.  $\mathbf{r}(t) = g(t)\mathbf{i} + h(t)\mathbf{j} + k(t)\mathbf{k}$  yolu için  $d\mathbf{r}$ ’yi bulun.

- b. Yol boyunca  $\mathbf{F}$  kuvvetini hesaplayın.

- c.  $\int_C \mathbf{F} \cdot d\mathbf{r}$ ’yi hesaplayın.

47.  $\mathbf{F} = xy^6\mathbf{i} + 3x(xy^5 + 2)\mathbf{j}$ ;  $\mathbf{r}(t) = (2 \cos t)\mathbf{i} + (\sin t)\mathbf{j}$ ,  $0 \leq t \leq 2\pi$

48.  $\mathbf{F} = \frac{3}{1+x^2}\mathbf{i} + \frac{2}{1+y^2}\mathbf{j}$ ;  $\mathbf{r}(t) = (\cos t)\mathbf{i} + (\sin t)\mathbf{j}$ ,  $0 \leq t \leq \pi$

49.  $\mathbf{F} = (y + yz \cos xyz)\mathbf{i} + (x^2 + xz \cos xyz)\mathbf{j} + (z + xy \cos xyz)\mathbf{k}$ ;  $\mathbf{r}(t) = (2 \cos t)\mathbf{i} + (3 \sin t)\mathbf{j} + \mathbf{k}$ ,  $0 \leq t \leq 2\pi$

50.  $\mathbf{F} = 2xy\mathbf{i} - y^2\mathbf{j} + ze^x\mathbf{k}$ ;  $\mathbf{r}(t) = -t\mathbf{i} + \sqrt{t}\mathbf{j} + 3t\mathbf{k}$ ,  $1 \leq t \leq 4$

51.  $\mathbf{F} = (2y + \sin x)\mathbf{i} + (z^2 + (1/3)\cos y)\mathbf{j} + x^4\mathbf{k}$ ;  $\mathbf{r}(t) = (\sin t)\mathbf{i} + (\cos t)\mathbf{j} + (\sin 2t)\mathbf{k}$ ,  $-\pi/2 \leq t \leq \pi/2$

52.  $\mathbf{F} = (x^2y)\mathbf{i} + \frac{1}{3}x^3\mathbf{j} + xy\mathbf{k}$ ;  $\mathbf{r}(t) = (\cos t)\mathbf{i} + (\sin t)\mathbf{j} + (2 \sin^2 t - 1)\mathbf{k}$ ,  $0 \leq t \leq 2\pi$

## 16.3

### Yoldan Bağımsızlık, Potansiyel Fonksiyonlar ve Korunaklı Alanlar

Yerçekimi ve elektrik alanlarında, bir kütleyi veya bir yükü bir noktadan diğerine taşımak için gereken iş miktarı, arada hangi yolun izlendiğine değil sadece cisim ilk ve son konumlarına bağlıdır. Bu bölüm iş integrallerinin yoldan bağımsızlığı kavramını tartışmakta ve iş integrallerinin yoldan bağımsız olduğu alanların önemli özelliklerini tanımlamaktadır.

### Yoldan Bağımsızlık

$A$  ve  $B$  uzayda açık bir  $D$  bölgesinde iki nokta ise, bir parçası  $D$  üzerinde tanımlanan bir  $\mathbf{F}$  kuvvetiyle  $A$ 'dan  $B$ 'ye götürmek için yapılan  $\int \mathbf{F} \cdot d\mathbf{r}$  işi genellikle hangi yolu izlediğine bağlıdır. Ancak, bazı özel alanlar için, integralin değeri  $A$ 'dan  $B$ 'ye giden bütün yollar için aynıdır.

#### TANIM Yoldan Bağımsızlık, Korunaklı Alanlar

$\mathbf{F}$ , uzayda açık bir  $D$  bölgesi üzerinde tanımlı bir alan olsun ve  $D$ 'deki herhangi iki  $A$  ve  $B$  noktası için,  $A$ 'dan  $B$ 'ye ilerlemekle yapılan  $\int_A^B \mathbf{F} \cdot d\mathbf{r}$  işinin  $A$ 'dan  $B$ 'ye giden bütün yollar üzerinde aynı olduğunu varsayıyın. Bu durumda  $\int \mathbf{F} \cdot d\mathbf{r}$  integrali  **$D$  içinde yoldan bağımsızdır** ve  $\mathbf{F}$  alanı  **$D$  üzerinde korunmalıdır**.

*Korunaklı* kelimesi fizikten gelir ve enerji korunumunun geçerli olduğu (ki geçerlidir, korunaklı alanlarda) alanları belirtmek için kullanılır.

Pratikte normal olarak karşılaşılan diferansiyellenebilme koşulları altında, bir  $\mathbf{F}$  alanı ancak ve yalnız skaler bir  $f$  fonksiyonunun gradiyent alanı ise; yani, ancak ve yalnız  $f$  için  $\mathbf{F} = \nabla f$  ise korunmalıdır. Bu durumda  $f$  fonksiyonunun özel bir adı vardır.

#### TANIM Potansiyel Fonksiyon

$\mathbf{F}$ ,  $D$ 'de tanımlı bir alan ise ve  $D$  üzerindeki bir  $f$  skaler fonksiyonu için,  $\mathbf{F} = \nabla f$  ise,  $f$  fonksiyonuna  $\mathbf{F}$ 'nin **potansiyel fonksiyonu** denir.

Bir elektrik potansiyeli, gradiyent alanı bir elektrik alan olan skaler bir fonksiyondur. Bir yerçekimi potansiyeli, gradiyent alanı bir yerçekimi alanı olan skaler bir fonksiyondur. Göreceğimiz gibi, bir  $\mathbf{F}$  alanı için bir  $f$  potansiyel fonksiyonu bulursak,  $\mathbf{F}$ 'nin tanım bölgesinde,  $A$  ve  $B$  arasındaki bütün yollar üzerinde iş integrallerini

$$\int_A^B \mathbf{F} \cdot d\mathbf{r} = \int_A^B \nabla f \cdot d\mathbf{r} = f(B) - f(A). \quad (1)$$

ile hesaplayabiliriz.

Çok değişkenli fonksiyonlar için  $\nabla f$ 'yi tek değişkenli fonksiyonların türevi  $f'$  gibi düşünürseniz, (1) denkleminin Analizin Temel Teoreminin

$$\int_a^b f'(x) dx = f(b) - f(a).$$

formülünün vektör analizindeki benzeri olduğunu görürsünüz.

Korunaklı alanların, ilerlerken göreceğiniz önemli özellikleri vardır. Örneğin,  $\mathbf{F}$ 'nin  $D$  üzerinde korunaklı olduğunu söylemek,  $\mathbf{F}$ 'nin  $D$  içinde her kapalı yol üzerindeki integralinin sıfır olduğunu söylemeye eşdeğerdir. Doğal olarak, (1) denkleminin geçerli olması için, eğriler, alanlar ve tanım bölgeleri üzerinde belirli koşulların sağlanması gereklidir. Bu koşulları aşağıda tartışıyoruz.

### Bu Noktadan İleriye Varsayımlar: Bağlantılılık ve Basit Bağlantılılık

Bütün eğrilerin **parçalı olarak düzgün**, yani Bölüm 13.1'de gösterildiği gibi, arka arkaya eklenmiş düzgün eğrilerden meydana gelmiş olduğunu varsayacağımız. Ayrıca  $\mathbf{F}$ 'nin bileşenlerinin birinci mertebe kısmının türevlerinin var ve sürekli olduğunu da kabul edeceğiz.

$\mathbf{F} = \nabla f$  olduğunda, bu süreklilik koşulu  $f$  potansiyel fonksiyonunun karışık ikinci mertebe türevlerinin eşit olmasını garantiler. Bu sonucu,  $\mathbf{F}$ 'nin korunmalı alanlarını çalışırken çıkaracağız.

$D$ 'nin uzayda açık bir bölge olduğunu varsayıcağız. Bu,  $D$  içindeki her noktanın, tümüyle  $D$  içinde kalan bir topun merkezi olabilmesi anlamına gelir.  $D$ 'nin **bağlantılı** olduğunu varsayıcağız, ki bu bir açık bölgede her noktanın diğer her noktaya bölge içinde kalan düzgün bir eğriyle bağlanabilecegi anlamına gelir. Son olarak,  $D$ 'nin basit bağlantılı olduğunu varsayıcağız, ki bu da  $D$  içindeki her kapalı döngünün  $D$ 'yi hiç terk etmeden bir noktaya büzülebilecegi anlamına gelir (Örneğin, içinden bir doğru çıkarılmış bir uzaydan ibaret olan  $D$  bölgesi **basit bağlantılı** olamaz). Doğrunun etrafındaki bir döngüyü  $D$ 'yi terk etmeden bir noktaya büzmenin bir yolu bulunmayacaktır).

Bağlantılılık ve basit bağlantılılık aynı şey değildir ve biri diğerini gerektirmez. Bağlantılı bölgeleri "tek parça" olarak, basit bağlantılı bölgeleri de "döngülerin içinden geçen delikleri" olmayan bölgeler olarak düşünün. Uzayın kendisi hem bağlantılı hem de basit bağlantılıdır. Bu bölümdeki bazı sonuçlar, bu koşulların sağlanmadığı bir bölgeye uygulandırlarsa sağlanamayabilirler. Örneğin, bu bölümde daha sonra verilecek olan korunmalı alanlar için bileşen testi, basit bağlantılı olmayan bölgelerde geçerli değildir.

### Korunmalı Alanlarda Eğrisel İntegraler

Aşağıdaki sonuç korunmalı bir alanda bir eğrisel integrali hesaplamadan uygun bir yolunu verir. Sonuç, integralin değerinin sadece üç noktalara bağlı olduğunu ve onları birleştiren belirli yola bağlı olmadığını belirtir.

#### TEOREM 1    Eğrisel İntegralerin Temel Teoremi

- $\mathbf{F} = Mi + Nj + Pk$ , uzayın açık, bağlantılı bir  $D$  bölgesinde bileşenleri süreklili olan bir vektör alanı olsun. Bu durumda, ancak ve yalnız  $D$  içindeki bütün  $A$  ve  $B$  noktaları için  $\int_A^B \mathbf{F} \cdot d\mathbf{r}$ 'nın değeri  $A$  ve  $B$ 'yi  $D$  içinde birleştiren yoldan bağımsız ise,

$$\mathbf{F} = \nabla f = \frac{\partial f}{\partial x} \mathbf{i} + \frac{\partial f}{\partial y} \mathbf{j} + \frac{\partial f}{\partial z} \mathbf{k}$$

olacak şekilde diferansiyellenebilir bir  $f$  fonksiyonu vardır.

- Integral  $A$ 'dan  $B$ 'ye giden yoldan bağımsızsa, değeri

$$\int_A^B \mathbf{F} \cdot d\mathbf{r} = f(B) - f(A)$$

olur.

$\mathbf{F} = \nabla f$ 'nin, integralin Yoldan Bağımsızlığını Gerektirmesinin İspatı  $A$  ile  $B$ 'nin  $D$  içinde iki noktası ve  $C$ :  $\mathbf{r}(t) = g(t)\mathbf{i} + h(t)\mathbf{j} + k(t)\mathbf{k}$ ,  $a \leq t \leq b$ 'nin de  $D$  içinde  $A$  ile  $B$ 'yi birleştiren düzgün bir eğri olduğunu varsayıy়. Eğri boyunca  $f$ ,  $t$ 'nin diferansiyellenebilir bir fonksiyonudur ve

$$\frac{df}{dt} = \frac{\partial f}{\partial x} \frac{dx}{dt} + \frac{\partial f}{\partial y} \frac{dy}{dt} + \frac{\partial f}{\partial z} \frac{dz}{dt}$$

$x = g(t), y = h(t), z = k(t)$   
ile Zincir Kuralı

$$= \nabla f \cdot \left( \frac{dx}{dt} \mathbf{i} + \frac{dy}{dt} \mathbf{j} + \frac{dz}{dt} \mathbf{k} \right) = \nabla f \cdot \frac{d\mathbf{r}}{dt} = \mathbf{F} \cdot \frac{d\mathbf{r}}{dt}$$

$\mathbf{F} = \nabla f$  olduğundan

olur.

Bu nedenle,

$$\begin{aligned}\int_C \mathbf{F} \cdot d\mathbf{r} &= \int_{t=a}^{t=b} \mathbf{F} \cdot \frac{d\mathbf{r}}{dt} dt = \int_a^b \frac{df}{dt} dt \\ &= f(g(t), h(t), k(t)) \Big|_a^b = f(B) - f(A)\end{aligned}$$

bulunur.

Böylece, iş integralinin değeri sadece  $f$ 'nin  $A$  ve  $B$ 'deki değerlerine bağlıdır, aralarındaki yola değil. Bu 2. kısmın yanında, 1. kısımdaki gerektirmeyi de ispatlar. Daha teknik olan yeterlik kısmının ispatını burada vermeyeceğiz. ■

### ÖRNEK 1 Korunaklı Bir Alanın Yaptığı İşi Bulmak

$A(-1, 3, 9)$  noktasını  $B(1, 6, -4)$ 'e bağlayan herhangi bir  $C$  eğrisi üzerinde

$$\mathbf{F} = yz\mathbf{i} + xz\mathbf{j} + xy\mathbf{k} = \nabla(xyz)$$

korunaklı alanının yaptığı işi bulun.

**Çözüm**  $f(x, y, z) = xyz$  ile

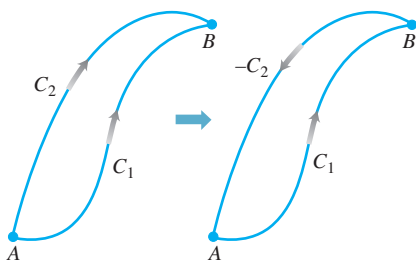
$$\begin{aligned}\int_A^B \mathbf{F} \cdot d\mathbf{r} &= \int_A^B \nabla f \cdot d\mathbf{r} \quad \mathbf{F} = \nabla f \\ &= f(B) - f(A) \quad \text{Temel Teorem, Kısım 2} \\ &= xyz|_{(1,6,-4)} - xyz|_{(-1,3,9)} \\ &= (1)(6)(-4) - (-1)(3)(9) \\ &= -24 + 27 = 3\end{aligned}$$

buluruz. ■

### TEOREM 2 Korunaklı Alanların Kapalı-Döngü Özelliği

Aşağıdaki ifadeler eşdeğerdir:

1.  $D$ 'deki her kapalı döngü üzerinde  $\int \mathbf{F} \cdot d\mathbf{r} = 0$ 'dır.
2.  $D$ 'de  $\mathbf{F}$  alanı korunmalıdır.

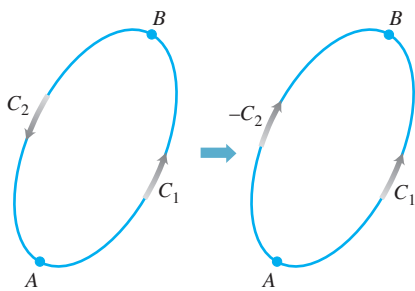


**ŞEKİL 16.22**  $A$  dan  $B$  ye giden iki yolumuz varsa, biri tersine çevrilerek bir döngü oluşturulabilir.

(1)  $\Rightarrow$  (2)'nın ispatı  $D$  içindeki herhangi iki  $A$  ve  $B$  noktası için  $\mathbf{F} \cdot d\mathbf{r}$ 'nın integralinin  $A$ 'dan  $B$ 'ye kadar herhangi iki  $C_1$  ve  $C_2$  üzerindeki değerinin aynı olduğunu göstermek istiyoruz.  $C_2$ 'nin yönünü tersine çevirerek  $B$ 'den  $A$ 'ya giden bir  $-C_2$  yolu oluştururuz (Şekil 16.22).  $C_1$  ve  $-C_2$  kapalı bir  $C$  eğrisi oluşturur ve

$$\int_{C_1} \mathbf{F} \cdot d\mathbf{r} - \int_{C_2} \mathbf{F} \cdot d\mathbf{r} = \int_{C_1} \mathbf{F} \cdot d\mathbf{r} + \int_{-C_2} \mathbf{F} \cdot d\mathbf{r} = \int_C \mathbf{F} \cdot d\mathbf{r} = 0.$$

olur. Yani  $C_1$  ve  $C_2$  üzerinden integraller aynı değeri verir. Eğrisel integralin tanımının, bir eğri boyunca yön değiştirmenin, integralin işaretinin değiştiğini gösterdiğine dikkat edin.



**ŞEKİL 16.23**  $A$  ve  $B$  bir döngü üzerinde bulunuyorsa, döngünün bir parçasını tersine çevirerek,  $A$ 'dan  $B$ 'ye giden iki yol yapılabılır.

**(2)  $\Rightarrow$  (1)'in ispatı**  $\mathbf{F} \cdot d\mathbf{r}$  'nın integralinin herhangi bir  $C$  kapalı döngü üzerindeki integralinin sıfır olduğunu göstermek istiyoruz.  $C$  üzerinde iki  $A$  ve  $B$  noktası seçer ve bunları  $C$ 'yi iki parçaaya bölmek için kullanız:  $A$ 'dan  $B$ 'ye  $C_1$  ve onu izleyen  $B$ 'den  $A$ 'ya  $C_2$  (Şekil 16.23). Bu durumda

$$\oint_C \mathbf{F} \cdot d\mathbf{r} = \int_{C_1} \mathbf{F} \cdot d\mathbf{r} + \int_{C_2} \mathbf{F} \cdot d\mathbf{r} = \int_A^B \mathbf{F} \cdot d\mathbf{r} - \int_A^B \mathbf{F} \cdot d\mathbf{r} = 0. \quad \blacksquare$$

olur.

Aşağıdaki diyagram Teorem 1 ve 2'nin sonuçlarını özetler.

$$D \text{de } \mathbf{F} = \nabla f$$

**Teorem 1**

$$D \text{de } \mathbf{F} \text{ korunmalıdır}$$

**Teorem 2**

$$\oint_C \mathbf{F} \cdot d\mathbf{r} = 0$$

$D$ 'deki herhangi bir kapalı yolda

Eğrisel integralleri korunmalı alanlarda hesaplamaların ne kadar uygun olduğunu gördüğümüze göre, geriye iki soru kalır:

- Verilen bir  $\mathbf{F}$  alanının korunmalı olduğunu nasıl anlarız?
- $\mathbf{F}$  gerçekten korunmaliysa,  $f$  potansiyel fonksiyonunu nasıl buluruz (ki  $\mathbf{F} = \nabla f$  olsun)?

### Korunmalı Alanlar İçin Potansiyel Bulmak

Korunmalı olmanın testi aşağıdadır.  $\mathbf{F}$ 'nin bölgesinin bağlantılı ve basit bağlantılı olduğu kabulümüzü aklınızda tutun.

#### Korunmalı Alanlar İçin Bileşen Testi

$\mathbf{F} = M(x, y, z)\mathbf{i} + N(x, y, z)\mathbf{j} + P(x, y, z)\mathbf{k}$ , bileşenlerinin birinci mertebe kısmi türevleri sürekli olan bir alan olsun. Bu durumda, ancak ve yalnız

$$\frac{\partial P}{\partial y} = \frac{\partial N}{\partial z}, \quad \frac{\partial M}{\partial z} = \frac{\partial P}{\partial x}, \quad \text{ve} \quad \frac{\partial N}{\partial x} = \frac{\partial M}{\partial y} \quad [2]$$

ise,  $\mathbf{F}$  korunmalıdır.

**İspat**  $\mathbf{F}$  korunmalı ise, (2) denklemlerinin geçerli olduğunu ispat edin

$$\mathbf{F} = M\mathbf{i} + N\mathbf{j} + P\mathbf{k} = \frac{\partial f}{\partial x}\mathbf{i} + \frac{\partial f}{\partial y}\mathbf{j} + \frac{\partial f}{\partial z}\mathbf{k}$$

olacak şekilde bir  $f$  potansiyel fonksiyonu vardır. Böylece

$$\begin{aligned} \frac{\partial P}{\partial y} &= \frac{\partial}{\partial y} \left( \frac{\partial f}{\partial z} \right) = \frac{\partial^2 f}{\partial y \partial z} \\ &= \frac{\partial^2 f}{\partial z \partial y} \\ &= \frac{\partial}{\partial z} \left( \frac{\partial f}{\partial y} \right) = \frac{\partial N}{\partial z} \end{aligned}$$

Süreklik, karışık kısmi türevlerin eşitliğini gerektirir.

olur. (2) denklemlerindeki diğer iki eşitlik de benzer şekilde ispatlanır. ■

İspatin ikinci yarısı, yani (2) denklemlerinin  $\mathbf{F}$ 'nin korunmalı olmasını gerektirmesi Bölüm 16.7'de işlenecek olan Stokes Teoreminin bir sonucudur ve bögümüzün basit bağlantılı olduğu kabulümüzü gerektirmektedir.

$\mathbf{F}$ 'nin korunmalı olduğunu biliyorsak, genellikle  $\mathbf{F}$  için bir potansiyel fonksiyonu bulmak isteriz. Bu  $\nabla f = \mathbf{F}$  veya

$$\frac{\partial f}{\partial x} \mathbf{i} + \frac{\partial f}{\partial y} \mathbf{j} + \frac{\partial f}{\partial z} \mathbf{k} = M\mathbf{i} + N\mathbf{j} + P\mathbf{k}$$

denkleminden  $f$ 'yi çözmeyi gerektirir. Bunu

$$\frac{\partial f}{\partial x} = M, \quad \frac{\partial f}{\partial y} = N, \quad \frac{\partial f}{\partial z} = P$$

denklemlerini aşağıdaki örnekte olduğu gibi integre ederek yaparız.

### ÖRNEK 2 Bir Potansiyel Fonksiyon Bulmak

$\mathbf{F} = (e^x \cos y + yz)\mathbf{i} + (xz - e^x \sin y)\mathbf{j} + (xy + z)\mathbf{k}$ 'nın korunmalı olduğunu gösterin ve bir potansiyel fonksiyonu bulun.

**Çözüm** (2) Denklemlerindeki testleri

$$M = e^x \cos y + yz, \quad N = xz - e^x \sin y, \quad P = xy + z$$

denklemlerine uygular ve

$$\frac{\partial P}{\partial y} = x = \frac{\partial N}{\partial z}, \quad \frac{\partial M}{\partial z} = y = \frac{\partial P}{\partial x}, \quad \frac{\partial N}{\partial x} = -e^x \sin y + z = \frac{\partial M}{\partial y}$$

buluruz. Bu eşitlikler birlikte,  $\nabla f = \mathbf{F}$  olacak şekilde bir  $f$  fonksiyonunun var olduğunu söyler.  $f$ 'yi

$$\frac{\partial f}{\partial x} = e^x \cos y + yz, \quad \frac{\partial f}{\partial y} = xz - e^x \sin y, \quad \frac{\partial f}{\partial z} = xy + z \quad [3]$$

denklemlerini çözerek buluruz. İlk denklemi,  $y$  ve  $z$ 'yi sabit tutup,  $x$ 'e göre integre ederek

$$f(x, y, z) = e^x \cos y + xyz + g(y, z)$$

elde ederiz. Integrasyon sabitini  $y$  ve  $z$ 'nin bir fonksiyonu olarak yazarız, çünkü  $y$  ve  $z$  değişirse değeri değişimdir. Sonra bu denklemden  $\partial f / \partial y$ 'yi hesaplar ve bunu (3) denklemlerindeki  $\partial f / \partial y$  ifadesiyle karşılaştırır. Bu

$$-e^x \sin y + xz + \frac{\partial g}{\partial y} = xz - e^x \sin y$$

verir, böylece  $\partial g / \partial y = 0$  olur. Dolayısıyla,  $g$  sadece  $z$ 'nin bir fonksiyonudur:

$$f(x, y, z) = e^x \cos y + xyz + h(z)$$

Şimdi bu denklemden  $\partial f / \partial z$ 'yi hesaplar ve bunu (3) denklemlerindeki  $\partial f / \partial z$  ifadesiyle karşılaştırır. Bu

$$xy + \frac{dh}{dz} = xy + z, \quad \text{veya} \quad \frac{dh}{dz} = z$$

verir, dolayısıyla

$$h(z) = \frac{z^2}{2} + C$$

olur.

Böylece

$$f(x, y, z) = e^x \cos y + xyz + \frac{z^2}{2} + C$$

olur.  $C$ 'nin her değeri için bir tane olmak üzere,  $\mathbf{F}$  için sonsuz sayıda potansiyel fonksiyonlar bulduk. ■

### ÖRNEK 3 Bir Alanın Korunmalı Olmadığını Göstermek

$\mathbf{F} = (2x - 3)\mathbf{i} - z\mathbf{j} + (\cos z)\mathbf{k}$ 'nin korunmalı olmadığını gösterin.

**Çözüm** (2) Denklemlerindeki bileşen testini uygular ve hemen

$$\frac{\partial P}{\partial y} = \frac{\partial}{\partial y}(\cos z) = 0, \quad \frac{\partial N}{\partial z} = \frac{\partial}{\partial z}(-z) = -1$$

buluruz. Bu ikisi eşit değildir, dolayısıyla  $\mathbf{F}$  korunmalı değildir. Daha fazla teste gerek yoktur. ■

### Tam Diferansiyel Formlar

Bir sonraki bölümde ve daha sonra göreceğimiz gibi, genellikle iş ve dolaşım integralerini Bölüm 16.2'de sözü edilen

$$\int_A^B M dx + N dy + P dz$$

“diferansiyel” formunda ifade etmek uygundur.  $M dx + N dy + P dz$  bir  $f$  fonksiyonunun diferansiyeliyse, bu tip integralleri hesaplaması oldukça kolaydır. Çünkü bu durumda,

$$\begin{aligned} \int_A^B M dx + N dy + P dz &= \int_A^B \frac{\partial f}{\partial x} dx + \frac{\partial f}{\partial y} dy + \frac{\partial f}{\partial z} dz \\ &= \int_A^B \nabla f \cdot d\mathbf{r} \\ &= f(B) - f(A) \end{aligned} \quad \text{Teorem 1}$$

olur. Yani, tek değişkenli diferansiyellenebilir fonksiyonlarda olduğu gibi,

$$\int_A^B df = f(B) - f(A)$$

bulunur.

#### TANIMLAR Tam Diferansiyel Form

$M(x, y, z)dx + N(x, y, z)dy + P(x, y, z)dz$  formuna **diferansiyel form** denir. Uzaydaki bir  $D$  bölgesinde bir (skaler)  $f$  fonksiyonu için,

$$M dx + N dy + P dz = \frac{\partial f}{\partial x} dx + \frac{\partial f}{\partial y} dy + \frac{\partial f}{\partial z} dz = df$$

ise, diferansiyel forma  $D$ 'de **tam diferansiyel form** denir.

$D$  üzerinde  $M dx + N dy + P dz = df$  ise,  $\mathbf{F} = M\mathbf{i} + N\mathbf{j} + P\mathbf{k}$  alanı  $f$ 'nin  $D$  üzerindeki gradiyent alanıdır. Tersine,  $\mathbf{F} = \nabla f$  ise,  $M dx + N dy + P dz$  formu tamdır. Dolayısıyla, formun tamlığı testi  $\mathbf{F}$ 'nin korunmalı olup olmadığı testiyle aynıdır.

***M dx + N dy + P dz'nin Tamlık Testi***

Ancak ve yalnız

$$\frac{\partial P}{\partial y} = \frac{\partial N}{\partial z}, \quad \frac{\partial M}{\partial z} = \frac{\partial P}{\partial x}, \quad \text{ve} \quad \frac{\partial N}{\partial x} = \frac{\partial M}{\partial y}$$

ise,  $M dx + N dy + P dz$  diferansiyel formu tamdır. Bu,  $\mathbf{F} = M\mathbf{i} + N\mathbf{j} + P\mathbf{k}$ 'nin korunaklı olduğunu söylemeye eşdeğerdir.

**ÖRNEK 4** Bir Diferansiyel Formun Tam Olduğunu Göstermek

$y dx + x dy + 4 dz$ 'nin tam olduğunu gösterin ve  $(1, 1, 1)$ 'den  $(2, 3, -1)$ 'e kadar giden doğru parçası üzerinde

$$\int_{(1,1,1)}^{(2,3,-1)} y dx + x dy + 4 dz$$

integralini hesaplayın.

**Çözüm**  $M = y, N = x, P = 4$  alır ve Tamlık Testini uygularız:

$$\frac{\partial P}{\partial y} = 0 = \frac{\partial N}{\partial z}, \quad \frac{\partial M}{\partial z} = 0 = \frac{\partial P}{\partial x}, \quad \frac{\partial N}{\partial x} = 1 = \frac{\partial M}{\partial y}$$

Bu eşitlikler bize  $y dx + x dy + 4 dz$ 'nin tam olduğunu söyler, dolayısıyla bir  $f$  fonksiyonu için

$$y dx + x dy + 4 dz = df$$

olur ve integralin değeri  $f(2, 3, -1) - f(1, 1, 1)$  bulunur.

$f$ 'yi bir sabit ile birlikte

$$\frac{\partial f}{\partial x} = y, \quad \frac{\partial f}{\partial y} = x, \quad \frac{\partial f}{\partial z} = 4. \quad (4)$$

denklemlerini integre ederek buluruz. Birinci denklemde

$$f(x, y, z) = xy + g(y, z)$$

elde ederiz. İkinci denklem

$$\frac{\partial f}{\partial y} = x + \frac{\partial g}{\partial y} = x, \quad \text{veya} \quad \frac{\partial g}{\partial y} = 0$$

verir. Bu nedenle  $g$  sadece  $z$ 'nin bir fonksiyonudur ve

$$f(x, y, z) = xy + h(z)$$

olur. (4) denklemlerinin üçüncüüsü

$$\frac{\partial f}{\partial z} = 0 + \frac{dh}{dz} = 4, \quad \text{veya} \quad h(z) = 4z + C$$

olduğunu söyler. Dolayısıyla,

$$f(x, y, z) = xy + 4z + C$$

olur. Integralin değeri

$$f(2, 3, -1) - f(1, 1, 1) = 2 + C - (5 + C) = -3$$

bulunur.

## ALIŞTIRMALAR 16.3

### Korunaklı Alanları Test Etmek

1–6 alıştırmalarındaki alanların hangileri korunaklı, hangileri değildir?

1.  $\mathbf{F} = yz\mathbf{i} + xz\mathbf{j} + xy\mathbf{k}$
2.  $\mathbf{F} = (y \sin z)\mathbf{i} + (x \sin z)\mathbf{j} + (xy \cos z)\mathbf{k}$
3.  $\mathbf{F} = y\mathbf{i} + (x+z)\mathbf{j} - y\mathbf{k}$
4.  $\mathbf{F} = -y\mathbf{i} + x\mathbf{j}$
5.  $\mathbf{F} = (z+y)\mathbf{i} + z\mathbf{j} + (y+x)\mathbf{k}$
6.  $\mathbf{F} = (e^x \cos y)\mathbf{i} - (e^x \sin y)\mathbf{j} + z\mathbf{k}$

### Potansiyel Fonksiyonları Bulmak

7–12 alıştırmalarında,  $\mathbf{F}$  alanı için bir  $f$  potansiyel fonksiyonu bulun.

7.  $\mathbf{F} = 2x\mathbf{i} + 3y\mathbf{j} + 4z\mathbf{k}$
8.  $\mathbf{F} = (y+z)\mathbf{i} + (x+z)\mathbf{j} + (x+y)\mathbf{k}$
9.  $\mathbf{F} = e^{y+2z}(\mathbf{i} + x\mathbf{j} + 2x\mathbf{k})$
10.  $\mathbf{F} = (y \sin z)\mathbf{i} + (x \sin z)\mathbf{j} + (xy \cos z)\mathbf{k}$
11.  $\mathbf{F} = (\ln x + \sec^2(x+y))\mathbf{i} +$   

$$\left( \sec^2(x+y) + \frac{y}{y^2+z^2} \right)\mathbf{j} + \frac{z}{y^2+z^2}\mathbf{k}$$
12.  $\mathbf{F} = \frac{y}{1+x^2y^2}\mathbf{i} + \left( \frac{x}{1+x^2y^2} + \frac{z}{\sqrt{1-y^2z^2}} \right)\mathbf{j} +$   

$$\left( \frac{y}{\sqrt{1-y^2z^2}} + \frac{1}{z} \right)\mathbf{k}$$

### Eğrisel İntegralleri Hesaplamak

13–17 alıştırmalarında, integrallerdeki diferansiyel formların tam oluklarını gösterin. Sonra integralleri hesaplayın.

13.  $\int_{(0,0,0)}^{(2,3,-6)} 2x\,dx + 2y\,dy + 2z\,dz$
14.  $\int_{(1,1,2)}^{(3,5,0)} yz\,dx + xz\,dy + xy\,dz$
15.  $\int_{(0,0,0)}^{(1,2,3)} 2xy\,dx + (x^2 - z^2)\,dy - 2yz\,dz$
16.  $\int_{(0,0,0)}^{(3,3,1)} 2x\,dx - y^2\,dy - \frac{4}{1+z^2}\,dz$
17.  $\int_{(1,0,0)}^{(0,1,1)} \sin y \cos x\,dx + \cos y \sin x\,dy + dz$

$\mathbb{R}^3$  uzayının tamamında tanımlı olmadıkları halde, 18–22 alıştırmalarına karşı gelen bölgeler basit bağlantılıdır. Alanların korunaklı olduğunu göstermek için bileşen testi kullanılabilir. Her bir alan için bir potansiyel fonksiyon bulun ve integralleri Örnek 4'teki gibi hesaplayın.

18.  $\int_{(0,2,1)}^{(1,\pi/2,2)} 2 \cos y\,dx + \left( \frac{1}{y} - 2x \sin y \right)\,dy + \frac{1}{z}\,dz$

19.  $\int_{(1,1,1)}^{(1,2,3)} 3x^2\,dx + \frac{z^2}{y}\,dy + 2z \ln y\,dz$

20.  $\int_{(1,2,1)}^{(2,1,1)} (2x \ln y - yz)\,dx + \left( \frac{x^2}{y} - xz \right)\,dy - xy\,dz$

21.  $\int_{(1,1,1)}^{(2,2,2)} \frac{1}{y}\,dx + \left( \frac{1}{z} - \frac{x}{y^2} \right)\,dy - \frac{y}{z^2}\,dz$

22.  $\int_{(-1,-1,-1)}^{(2,2,2)} \frac{2x\,dx + 2y\,dy + 2z\,dz}{x^2 + y^2 + z^2}$

23. **Örnek 4'ü tekrarlamak** Örnek 4'teki

$$\int_{(1,1,1)}^{(2,3,-1)} y\,dx + x\,dy + 4\,dz$$

integralini  $(1, 1, 1)$ 'den  $(2, 3, -1)$ 'e giden doğru parçasının parametrik denklemlerini bulup, doğru üzerinde  $\mathbf{F} = y\mathbf{i} + x\mathbf{j} + 4\mathbf{k}$ 'nın eğrisel integralini hesaplayarak bulun.  $\mathbf{F}$  korunaklı olduğu için, integral yoldan bağımsızdır.

24.  $(0, 0, 0)$ 'ı  $(0, 3, 4)$ 'e bağlayan  $C$  doğru parçası üzerinde  $\int_C x^2\,dx + yz\,dy + (y^2/2)\,dz$ 'yi hesaplayın.

### Teori, Uygulama ve Örnekler

**Bağımsız yol** 25 ve 26 alıştırmalarındaki integrallerin değerlerinin  $A$ 'dan  $B$ 'ye gidilen yola bağlı olmadığını gösterin.

25.  $\int_A^B z^2\,dx + 2y\,dy + 2xz\,dz$

26.  $\int_A^B \frac{x\,dx + y\,dy + z\,dz}{\sqrt{x^2 + y^2 + z^2}}$

27 ve 28 alıştırmalarında,  $\mathbf{F}$  için bir potansiyel fonksiyon bulun.

27.  $\mathbf{F} = \frac{2x}{y}\mathbf{i} + \left( \frac{1-x^2}{y^2} \right)\mathbf{j}$

28.  $\mathbf{F} = (e^x \ln y)\mathbf{i} + \left( \frac{e^x}{y} + \sin z \right)\mathbf{j} + (y \cos z)\mathbf{k}$

29. **Farklı yollar üzerinde iş**  $\mathbf{F} = (x^2 + y)\mathbf{i} + (y^2 + x)\mathbf{j} + ze^z\mathbf{k}$ 'nin aşağıdaki yollarda  $(1, 0, 0)$ 'dan  $(1, 0, 1)$ 'e kadar yaptığı işi bulun.

a.  $x = 1, y = 0, 0 \leq z \leq 1$ , doğru parçası

b.  $\mathbf{r}(t) = (\cos t)\mathbf{i} + (\sin t)\mathbf{j} + (t/2\pi)\mathbf{k}, 0 \leq t \leq 2\pi$ , helisi

c.  $(1, 0, 0)$ 'dan  $(0, 0, 0)$ 'a kadar  $x$ -ekseni ve ardından  $(0, 0, 0)$ 'dan  $(1, 0, 1)$ 'e kadar  $z = x^2, y = 0$  parabolü

30. **Farklı yollar üzerinde iş**  $\mathbf{F} = e^{yz}\mathbf{i} + (xze^{yz} + z \cos y)\mathbf{j} + (xye^{yz} + \sin y)\mathbf{k}$ 'nin aşağıdaki yollarda  $(1, 0, 1)$ 'den  $(1, \pi/2, 0)$ 'a kadar yaptığı işi bulun.

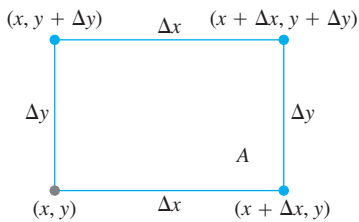
- a.  $x = 1, y = \pi t/2, z = 1 - t, 0 \leq t \leq 1$  doğru parçası
- b.  $(1, 0, 1)$ 'den orijine giden doğru parçası ve ardından orijinden  $(1, \pi/2, 0)$ 'a giden doğru parçası
- c.  $(1, 0, 1)$ 'den  $(1, 0, 0)$ 'a giden doğru parçası, ardından  $(1, 0, 0)$ 'dan orijine kadar  $x$ -ekseni ve ardından orijinden  $(1, \pi/2, 0)$ 'a kadar  $y = \pi x^2/2, z = 0$  parabolü.
- 31. Bir iş integralini iki şekilde hesaplamak**  $\mathbf{F} = \nabla(x^3y^2)$  ve  $C$  de  $xy$ -düzleminde  $(-1, 1)$ 'den  $(1, 1)$ 'e, önce  $(-1, 1)$ 'den  $(0, 0)$ 'a ardından  $(0, 0)$ 'dan  $(1, 1)$ 'e giden doğru parçalarından oluşan yol olsun.  $\int_C \mathbf{F} \cdot d\mathbf{r}$ 'yi iki şekilde hesaplayın:
- $C$ 'yi oluşturan doğru parçalarının parametrisasyonlarını bulun ve integrali hesaplayın.
  - $f(x, y) = x^3y^2$ 'nin  $\mathbf{F}$ 'nin potansiyel fonksiyonu olmasını kullanın.
- 32. Farklı yollar boyunca integral**  $\int_C 2x \cos y \, dx - x^2 \sin y \, dy$ 'yi  $xy$ -düzleminde aşağıda verilen  $C$  yolları boyunca hesaplayın.
- $(1, 0)$ 'dan  $(0, 1)$ 'e kadar  $y = (x - 1)^2$  parabolü
  - $(-1, \pi)$ 'den  $(1, 0)$ 'a giden doğru parçası
  - $(-1, 0)$ 'dan  $(1, 0)$ 'a kadar  $x$ -ekseni
  - Saat yönünün tersinde  $(1, 0)$ 'dan yeniden  $(1, 0)$ 'a kadar  $\mathbf{r}(t) = (\cos^3 t)\mathbf{i} + (\sin^3 t)\mathbf{j}, 0 \leq t \leq 2\pi$ , astroidi
- 33. a. Tam diferansiyel form** Aşağıdaki diferansiyel form tamsa,  $a$ ,  $b$  ve  $c$  arasındaki ilişki nedir?
- $$(ay^2 + 2czx) \, dx + y(bx + cz) \, dy + (ay^2 + cx^2) \, dz$$
- b. Gradiyent Alan** Hangi  $b$  ve  $c$  değerlerinde
- $$\mathbf{F} = (y^2 + 2czx)\mathbf{i} + y(bx + cz)\mathbf{j} + (y^2 + cx^2)\mathbf{k}$$
- bir gradiyent alan olur?
- 34. Bir eğrisel integralin gradiyenti**  $\mathbf{F} = \nabla f$ 'nin korunmalı bir vektör alanı ve
- $$g(x, y, z) = \int_{(0,0,0)}^{(x,y,z)} \mathbf{F} \cdot d\mathbf{r}$$
- olduğunu varsayıñ.  $\nabla g = \mathbf{F}$  olduğunu gösterin.
- 35. En az iş yolu** Bir  $\mathbf{F}$  kuvvet alanının bir parçası iki yer arasında hareket ettirirken en az iş yapacağı yolu bulmanız istenmektedir. Yaptığınız çabuk bir hesap  $\mathbf{F}$ 'nin korunmalı olduğunu gösterir. Nasıl yanıt verirsiniz? Yanınızı açıklayın.
- 36. Açıklayıcı bir deney** Deneyle, bir  $\mathbf{F}$  kuvvet alanının bir cismi  $A$ 'dan  $B$ 'ye kadar  $C_1$  yolu boyunca götürmekle cismi  $A$ 'dan  $B$ 'ye  $C_2$  yolundan götürmekle yapacağı işin yarısını yaptığı buluyorsunuz.  $\mathbf{F}$  hakkında ne sonuca varırsınız? Yanınızı açıklayın.
- 37. Sabit kuvvetin işi** Sabit  $\mathbf{F} = a\mathbf{i} + b\mathbf{j} + c\mathbf{k}$  kuvvet alanı ile bir parçası  $A$ 'dan  $B$ 'ye götürmekle yapılan işin  $W = \mathbf{F} \cdot \overrightarrow{AB}$  olduğunu gösterin.
- 38. Yer çekimi alanı**
- Aşağıdaki yerçekimi alanı için bir potansiyel fonksiyonu bulun.
- $$\mathbf{F} = -GmM \frac{x\mathbf{i} + y\mathbf{j} + z\mathbf{k}}{(x^2 + y^2 + z^2)^{3/2}} \quad (G, m \text{ ve } M \text{ sabit})$$
- $P_1$  ve  $P_2$  orijinden  $s_1$  ve  $s_2$  uzaklıkta noktalar olsun. (a)'daki yerçekimi alanının bir parçası  $P_1$ 'den  $P_2$ 'ye kadar hareket ettmek için yapması gereken işin
- $$GmM \left( \frac{1}{s_2} - \frac{1}{s_1} \right)$$
- olduğunu gösterin.

## 16.4

### Düzlemde Green Teoremi

Bölüm 16.2, Tablo 16.2'den her  $\int_C M \, dx + N \, dy$  eğrisel integralinin bir  $\int_a^b \mathbf{F} \cdot \mathbf{T} \, ds$  akış integrali olarak yazılabilceğini biliyoruz. İntegral yoldan bağımsız ise yani  $\mathbf{F}$  alanı korunmalı ise (temel varsayımların sağlandığı bir bölge üzerinde), alanın bir potansiyel fonksiyonundan integrali kolayca hesaplayabiliriz. Bu bölümde, korunmalı olmayan fakat  $xy$ -düzleminde bir akış integrali veya kapalı bir eğri üzerinde akış integrali ise bir vektör alanının integralinin nasıl hesaplanacağı üzerinde duracağız. Bunu yapmanın yolu, eğrisel integrali eğrinin çevrelediği bölge üzerindeki bir iki katlı integrale dönüştürmen ve Green Teoremi olarak bilinen sonuçtur.

Akışkan akışlarının hız alanları cinsinden konuşacağımız, çünkü akışkan akışlarını resmetmesi kolaydır. Ancak, Green Teoreminin belirli matematiksel koşulları sağlayan herhangi bir vektör alanına uygulanabileceğini unutmamanızı hatırlatırız. Geçerliliği alanın belirli bir fiziksel yorumu olup olmamasına bağlı değildir.



**ŞEKİL 16.24** Bir vektör alanının bir  $(x, y)$  noktasındaki diverjansını (aki yoğunluğunu) tanımlamak için dikdörtgen.

### Diverjans

Green Teoremi için iki yeni fikre ihtiyacımız vardır. Birincisi, bazen fizikçilerin ve mühendislerin vektör alanının *aki yoğunluğu* dedikleri, bir vektör alınının bir noktadaki *diverjansı* fikridir. Bunu aşağıdaki gibi elde ederiz.

$\mathbf{F}(x, y) = M(x, y)\mathbf{i} + N(x, y)\mathbf{j}$ 'nın düzlemdeki bir akışkan akışının hız alanı olduğunu ve  $M$  ile  $N$ 'nin birinci mertebe kısmi türevlerinin bir  $R$  bölgesinin her noktasında sürekli olduğunu varsayıy়.  $(x, y)$  noktası  $R$ 'de bir nokta ve  $A$  da, bir köşesi  $(x, y)$ 'de bulunan ve tümüyle, içiyle birlikte,  $R$ 'de bulunan bir dikdörtgen olsun (Şekil 16.24). Koordinat eksenlerine paralel olan dikdörtgenin kenarlarının uzunlukları  $\Delta x$  ve  $\Delta y$ 'dır. Akışkanın dikdörtgeni alt kenardan terk etme hızı yaklaşık olarak

$$\mathbf{F}(x, y) \cdot (-\mathbf{j}) \Delta x = -N(x, y) \Delta x.$$

olur. Bu,  $(x, y)$ 'deki hızın dışarı giden normal yönündeki skaler bileşeni kere doğru parçasının uzunluğudur. Örneğin hız metre bölü saniye ise, çıkış hızı metre bölü saniye kere metrekare bölü saniye olacaktır. Akışkanın diğer üç kenarı, dışarıyı gösteren normalleri yönünde geçiş hızları benzer şekilde hesaplanabilir. Buna göre,

<b>Çıkış Oranları :</b>	Üst: $\mathbf{F}(x, y + \Delta y) \cdot \mathbf{j} \Delta x = N(x, y + \Delta y) \Delta x$ Alt: $\mathbf{F}(x, y) \cdot (-\mathbf{j}) \Delta x = -N(x, y) \Delta x$ Sağ: $\mathbf{F}(x + \Delta x, y) \cdot \mathbf{i} \Delta y = M(x + \Delta x, y) \Delta y$ Sol: $\mathbf{F}(x, y) \cdot (-\mathbf{i}) \Delta y = -M(x, y) \Delta y$
-------------------------	--

elde ederiz. Karşılıklı çiftleri birleştirmek

$$\begin{aligned} \text{Üst ve alt: } & (N(x, y + \Delta y) - N(x, y)) \Delta x \approx \left( \frac{\partial N}{\partial y} \Delta y \right) \Delta x \\ \text{Sağ ve sol: } & (M(x + \Delta x, y) - M(x, y)) \Delta y \approx \left( \frac{\partial M}{\partial x} \Delta x \right) \Delta y \end{aligned}$$

verir. Bu son iki denklemi toplamak

$$\text{Dikdörtgen sınırladığı aki} \approx \left( \frac{\partial M}{\partial x} + \frac{\partial N}{\partial y} \right) \Delta x \Delta y$$

verir. Şimdi bunu  $\Delta x \Delta y$  ile bölgerek dikdörtgen için birim alan başına toplam akiyi veya aki yoğunluğunu buluruz:

$$\frac{\text{Dikdörtgen sınırladığı aki}}{\text{Dikdörtgen alanı}} \approx \left( \frac{\partial M}{\partial x} + \frac{\partial N}{\partial y} \right)$$

Son olarak,  $\Delta x$  ve  $\Delta y$ 'yi sıfıra götürerek,  $\mathbf{F}$ 'nin  $(x, y)$  noktasındaki aki yoğunluğu dediğimiz şeyi tanımlarız. Matematikte, aki yoğunluğununa  $\mathbf{F}$ 'nin diverjansı deriz. Sembolü,  $\operatorname{div} \mathbf{F}$ dir ve “ $\mathbf{F}$ 'nin diverjansı” veya “ $\operatorname{div} \mathbf{F}$ ” olarak okunur.

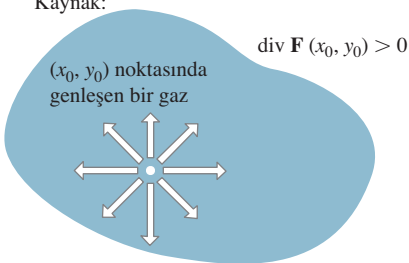
### TANIM Diverjans (Aki Yoğunluğunu)

Bir  $\mathbf{F} = M\mathbf{i} + N\mathbf{j}$  vektör alanının  $(x, y)$  noktasındaki **aki yoğunluğu** veya diverjansı

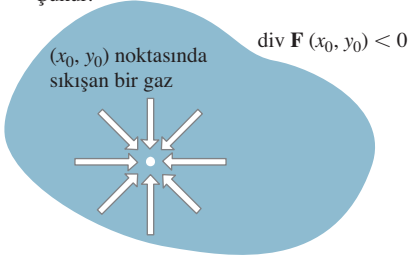
$$\operatorname{div} \mathbf{F} = \frac{\partial M}{\partial x} + \frac{\partial N}{\partial y} \quad (1)$$

dir.

Kaynak:



Çukur:



**ŞEKİL 16.25** Bir gaz bir  $(x_0, y_0)$  noktasında genişliyorsa, akış doğrularının diverjansı pozitiftir; gaz sıkışıyorrsa diverjans negatiftir.

Sezgisel olarak, bir gaz bir  $(x_0, y_0)$  noktasında genişliyorsa, akış çizgileri o noktada iraksayacaktır (isim buradan gelir, İngilizce'de diverjans [divergence] iraksayan demektir) ve gaz  $(x_0, y_0)$  çevresindeki küçük bir dikdörtgenden dışarı akacağı için,  $\mathbf{F}$ 'nin  $(x_0, y_0)$ 'daki diverjansı pozitif olacaktır. Gaz, genleşmek yerine sıkışıyorsa, diverjans negatif olacaktır (Şekil 16.25'e bakın).

### ÖRNEK 1 Diverjans Bulmak

$\mathbf{F}(x, y) = (x^2 - y)\mathbf{i} + (xy - y^2)\mathbf{j}$ 'nin diverjansını bulun.

**Çözüm** (1) Denklemindeki formülü kullanırız:

$$\begin{aligned}\text{div } \mathbf{F} &= \frac{\partial M}{\partial x} + \frac{\partial N}{\partial y} = \frac{\partial}{\partial x}(x^2 - y) + \frac{\partial}{\partial y}(xy - y^2) \\ &= 2x + x - 2y = 3x - 2y\end{aligned}$$

### Bir Eksen Etrafında Dönmek: Rotasyonelin k-Bileşeni

Green Teoremi için gerek duyduğumuz ikinci fikir, düzlemsel bir bölgede akan bir akışkan içindeki bir noktada bir çarkın nasıl döndüğünün ölçülmesi ile ilgilidir. Bu fikir, farklı noktalarda bölgeye dik olarak yerleştirilen eksenler etrafında akışkanın nasıl döndüğü hakkında bazı sezgiler verir. Fizikçiler bazen buna bir  $\mathbf{F}$  vektör alanının bir noktadaki *dolaşım yoğunluğu* derler. Bunu elde etmek için

$$\mathbf{F}(x, y) = M(x, y)\mathbf{i} + N(x, y)\mathbf{j}$$

vektör alanına ve  $A$  dikdörtgenine döneriz. Dikdörtgen Şekil 16.26'da yeniden çizilmiştir.

$\mathbf{F}$  alanının  $A$ 'nın sınırlındaki saat yönünün tersine dolaşımı kenarlardaki akış hızlarının toplamıdır. Alt kenar için, akış hızı yaklaşık olarak,

$$\mathbf{F}(x, y) \cdot \mathbf{i} \Delta x = M(x, y) \Delta x$$

olar. Bu,  $\mathbf{F}(x, y)$  hızının  $\mathbf{i}$  teget vektörü yönündeki skaler bileşeni kere doğru parçasının uzunluğudur. Diğer kenarlardaki saat yönünün tersine akış hızları benzer şekilde hesaplanabilir. Buna göre,

Üst:  $\mathbf{F}(x, y + \Delta y) \cdot (-\mathbf{i}) \Delta x = -M(x, y + \Delta y) \Delta x$

Alt:  $\mathbf{F}(x, y) \cdot \mathbf{i} \Delta x = M(x, y) \Delta x$

Sağ:  $\mathbf{F}(x + \Delta x, y) \cdot \mathbf{j} \Delta y = N(x + \Delta x, y) \Delta y$

Sol:  $\mathbf{F}(x, y) \cdot (-\mathbf{j}) \Delta y = -N(x, y) \Delta y$

elde ederiz. Karşılıklı çiftleri toplamak

Üst ve alt:

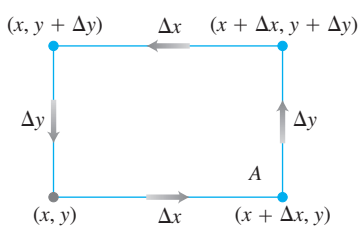
$$-(M(x, y + \Delta y) - M(x, y)) \Delta x \approx -\left(\frac{\partial M}{\partial y} \Delta y\right) \Delta x$$

Sağ ve sol:

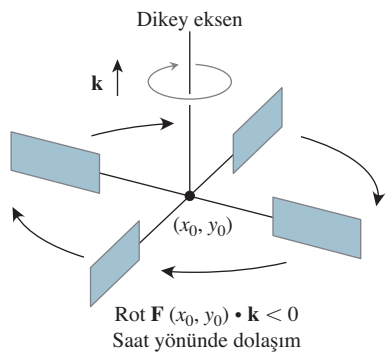
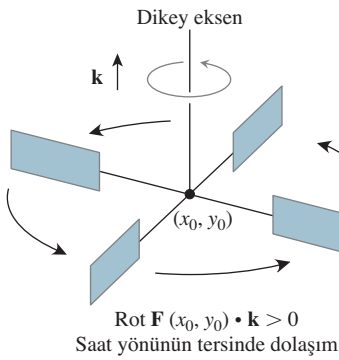
$$(N(x + \Delta x, y) - N(x, y)) \Delta y \approx \left(\frac{\partial N}{\partial x} \Delta x\right) \Delta y$$

verir. Bu son iki denklemi toplamak ve  $\Delta x \Delta y$  ile bölmek dikdörtgen için bir dolaşım yoğunluğu tahmini verir:

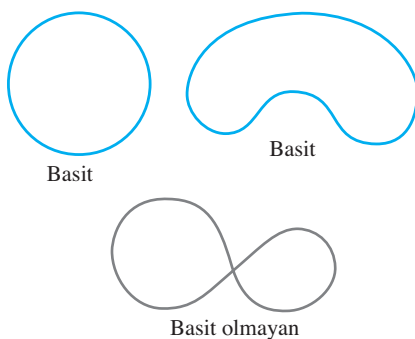
$$\frac{\text{Dikdörtgen sınırlındaki akı}}{\text{Dikdörtgen alanı}} \approx \frac{\partial N}{\partial x} - \frac{\partial M}{\partial y}$$



**ŞEKİL 16.26** Bir vektör alanının bir  $(x, y)$  noktasındaki rotasyoneli (dolaşım yoğunlığını) tanımlamak için dikdörtgen ( $\text{curl} = \text{rotasyonel} \sim \text{dönerek hareket etmek}$ )



**ŞEKİL 16.27** Sıkıştırılamaz bir akışkanın bir düzlem bölge üzerindeki akışında, rotasyonelin  $\mathbf{k}$ -bileşeni akışkanın bir noktadaki dönme hızını ölçer. Dönmenin saat yönünün tersine olduğu noktalarda rotasyonel pozitif, dönmenin saat yönünde olduğu noktalarda negatiftir.



**ŞEKİL 16.28** Green Teoremini ispatlarken, iki çeşit kapalı eğri kullanırız, basit ve basit olmayan. Basit eğriler kendilerini kesmezler. Bir çember basittir, ama bir 8 şekli basit değildir.

Son olarak,  $\Delta x$  ve  $\Delta y$ 'yi sıfıra götürerek,  $\mathbf{F}$ 'nin  $(x, y)$  noktasındaki *dolaşım yoğunluğu* dediğimiz şeyi tanımlarız.

Düzlem için dolaşım yoğunluğunun pozitif yönü, dikey eksen etrafında, (dikey) birim vektör  $\mathbf{k}$ 'nın ucundan aşağıya  $xy$ -düzleme bakıldığından, saat yönünün tersine dönmendir (Şekil 16.27). Dolaşım değeri aslında bölüm 16.27'de tanımlayacağımız, bir  $\mathbf{F}$  vektör alanının *rotasyoneli* denen, daha genel bir dolaşım vektörünün  $\mathbf{k}$ -bileşenidir. Green Teoremi için sadece bu  $\mathbf{k}$ -bileşenine ihtiyacımız vardır.

### TANIM Rotasyonelin $\mathbf{k}$ -Bileşeni (Dolaşım Yoğunluğu)

Bir  $\mathbf{F} = M\mathbf{i} + N\mathbf{j}$  vektör alanının bir  $(x, y)$  noktasındaki **rotasyonelinin (dolaşım yoğunluğu)  $\mathbf{k}$ -bileşeni**

$$(\text{rot } \mathbf{F}) \cdot \mathbf{k} = \frac{\partial N}{\partial x} - \frac{\partial M}{\partial y} \quad [2]$$

skaleridir.

$xy$ -düzlemindeki bir bölge civarında ince bir tabaka üzerinde su hareket ediyorsa, bir  $(x_0, y_0)$  noktasındaki dolaşımın, veya rotasyonelin  $\mathbf{k}$ -bileşeni,  $(x_0, y_0)$ 'a, eksenin düzleme dik olarak ( $\mathbf{k}$ 'ya paralel), küçük bir çark konulursa, çarkın ne hızla ve hangi yönde döneceğini ölçer (Şekil 16.27).

### ÖRNEK 2 Rotasyonelin $\mathbf{k}$ -Bileşenini Bulmak

Aşağıdaki vektör alanının rotasyonelinin  $\mathbf{k}$ -bileşenini bulun.

$$\mathbf{F}(x, y) = (x^2 - y)\mathbf{i} + (xy - y^2)\mathbf{j}.$$

**Cözüm** (2) Denklemindeki formülü kullanırız:

$$(\text{rot } \mathbf{F}) = \frac{\partial N}{\partial x} - \frac{\partial M}{\partial y} = \frac{\partial}{\partial x}(xy - y^2) - \frac{\partial}{\partial y}(x^2 - y) = y + 1. \quad \blacksquare$$

### Green Teoreminin İki Formu

Bir formuya Green Teoremi, uygun koşullar altında bir vektör alanının düzlemdeki basit kapalı bir eğri üzerinden dışarıya doğru akısının (Şekil 16.28), alanın diverjansının eğrinin çevrelediği bölgedeki iki katlı integraline eşit olduğunu söyler. Bölüm 16.2'deki (3) ve (4) denklemelerindeki aki formüllerini hatırlayın.

### TEOREM 3 Green Teoremi (Aki-Diverjans veya Normal Form)

Bir  $\mathbf{F} = M\mathbf{i} + N\mathbf{j}$  alanının basit kapalı bir  $C$  eğrisi üzerinden dışarıya doğru akısı  $\text{div } \mathbf{F}$ 'nin  $C$ 'nin çevrelediği  $R$  bölgesindeki iki katlı integraline eşittir.

$$\oint_C \mathbf{F} \cdot \mathbf{n} ds = \oint_C M dy - N dx = \iint_R \left( \frac{\partial M}{\partial x} + \frac{\partial N}{\partial y} \right) dx dy \quad [3]$$

Dışarıya doğru aki

Diverjans integrali

Başka bir formuya Green Teoremi, bir vektör alanının basit kapalı bir eğri etrafındaki saat yönünün tersine dolaşımının, alanın rotasyonelinin  $\mathbf{k}$ -bileşeninin eğrinin çevrelediği bölgedeki iki katlı integrali olduğunu söyler. Bölüm 16.2'de dolaşım tanımı için (2) Denklemini hatırlayın.

#### TEOREM 4 Green Teoremi (Dolaşım–Rotasyonel veya Tejet Form)

Bir  $\mathbf{F} = M\mathbf{i} + N\mathbf{j}$  alanının düzlemde basit kapalı bir  $C$  eğrisi etrafındaki saat yönünün tersine dolaşımı,  $\mathbf{F}$ 'nin rotasyonelinin  $C$  eğrisinin çevrelediği  $R$  bölgesindeki iki katlı integraline eşittir:

$$\oint_C \mathbf{F} \cdot \mathbf{T} ds = \oint_C M dx + N dy = \iint_R \left( \frac{\partial N}{\partial x} - \frac{\partial M}{\partial y} \right) dx dy \quad (4)$$

Saat yönünün tersi dolaşımı

Rot integrali

Green Teoreminin iki formu eşdeğerdir. (3) Denklemini  $\mathbf{G}_1 = N\mathbf{i} - M\mathbf{j}$  alanına uygulamak (4) Denklemini verir ve (4) Denklemini  $\mathbf{G}_2 = -N\mathbf{i} + M\mathbf{j}$  alanına uygulamak (3) Denklemini verir.

#### Matematiksel Varsayımlar

Green Teoreminin geçerli olması için iki çeşit varsayıma ihtiyacımız vardır. İlk olarak, integrallerinin varlığını garantilemek için,  $M$  ve  $N$  üzerine koşullar koymamız gereklidir. Genel varsayımlar,  $C$  ve  $R$ 'yi içeren bir açık bölgenin her noktasında  $M$ ,  $N$  ve birinci mertebe kısmi türevlerinin sürekli olduklarıdır. İkinci olarak,  $C$  eğrisi üzerinde geometrik koşullar bulunmalıdır. Basit, kapalı olmalı ve  $M$  ve  $N$ 'yi integre edebileceğimiz parçalardan oluşmalıdır. Genel varsayımlar  $C$ 'nin parçalı olarak düzgün olduğunu söyleyebiliriz. Ancak, burada Green Teoremi için vereceğimiz ispat  $R$ 'nin şekli hakkında varsayımlar da içerir. Daha ileri kitaplarda daha az koşullu ispatlar bulabilirsiniz. Önce birkaç örneğe bakalım.

#### ÖRNEK 3 Green Teoremini Desteklemek

Green teoreminin iki şeklini de

$$\mathbf{F}(x, y) = (x - y)\mathbf{i} + x\mathbf{j}$$

alanı ve

$$C: \mathbf{r}(t) = (\cos t)\mathbf{i} + (\sin t)\mathbf{j}, \quad 0 \leq t \leq 2\pi$$

birim çemberiyle çevrili  $R$  bölgesi için doğrulayın.

**Çözüm** Önce şunları biliyoruz:

$$M = \cos t - \sin t, \quad dx = d(\cos t) = -\sin t dt,$$

$$N = \cos t, \quad dy = d(\sin t) = \cos t dt,$$

$$\frac{\partial M}{\partial x} = 1, \quad \frac{\partial M}{\partial y} = -1, \quad \frac{\partial N}{\partial x} = 1, \quad \frac{\partial N}{\partial y} = 0$$

(3) Denkleminin iki tarafı:

$$\begin{aligned}\oint_C M \, dy - N \, dx &= \int_{t=0}^{t=2\pi} (\cos t - \sin t)(\cos t \, dt) - (\cos t)(-\sin t \, dt) \\ &= \int_0^{2\pi} \cos^2 t \, dt = \pi \\ \iint_R \left( \frac{\partial M}{\partial x} + \frac{\partial N}{\partial y} \right) dx \, dy &= \iint_R (1 + 0) dx \, dy \\ &= \iint_R dx \, dy = \text{birim çemberin alanı} = \pi\end{aligned}$$

ve (4) Denkleminin iki tarafı:

$$\begin{aligned}\oint_C M \, dx + N \, dy &= \int_{t=0}^{t=2\pi} (\cos t - \sin t)(-\sin t \, dt) + (\cos t)(\cos t \, dt) \\ &= \int_0^{2\pi} (-\sin t \cos t + 1) \, dt = 2\pi \\ \iint_R \left( \frac{\partial N}{\partial x} - \frac{\partial M}{\partial y} \right) dx \, dy &= \iint_R (1 - (-1)) dx \, dy = 2 \iint_R dx \, dy = 2\pi\end{aligned}$$

dir. ■

#### Green Teoremiyle Eğrisel İntegralleri Hesaplamak

Farklı eğrileri art arda ekleyerek kapalı bir  $C$  eğrisi oluşturursak, bir eğrisel integrali  $C$  üzerinde hesaplama işlemi oldukça uzun olabilir, çünkü hesaplanması zor bir çok integral içerir. Ancak,  $C$  Green Teoreminin uygulanabileceği bir  $R$  bölgesini çevreliyorsa, Green Teoremini kullanarak  $C$  üzerindeki eğrisel integral  $R$  üzerinde iki katlı bir integrale dönüştürülebilir.

#### ÖRNEK 4 Green Teoremini Kullanarak Bir Eğrisel Integral Hesaplamak

$C$ , birinci dörtte bir bölgeden  $x = 1$  ve  $y = 1$  doğrularıyla kesilmiş kare olmak üzere,

$$\oint_C xy \, dy - y^2 \, dx$$

integralini hesaplayın.

**Çözüm** Eğrisel integrali kare üzerinde iki katlı bir integrale dönüştürmek için Green Teoreminin iki formunu da kullanabiliriz.

1. *Normal Form Denklemi* (3) ile:  $M = xy$ ,  $N = y^2$  ve  $C$  ile  $R$ 'yi karenin sınırı ve içi olarak almak

$$\begin{aligned}\oint_C xy \, dy - y^2 \, dx &= \iint_R (y + 2y) \, dx \, dy = \int_0^1 \int_0^1 3y \, dx \, dy \\ &= \int_0^1 \left[ 3xy \right]_{x=0}^{x=1} dy = \int_0^1 3y \, dy = \frac{3}{2} y^2 \Big|_0^1 = \frac{3}{2}\end{aligned}$$

verir.

2. Teğet Form Denklemi (4) ile:  $M = -y^2$  ve  $N = xy$  almak aynı sonucu verir:

$$\oint_C -y^2 dx + xy dy = \iint_R (y - (-2y)) dx dy = \frac{3}{2}$$

### ÖRNEK 5 Dışarı Akışı Bulmak

$\mathbf{F}(x, y) = x\mathbf{i} + y^2\mathbf{j}$  alanının dışarı doğru akısını  $x = \pm 1$  ve  $y = \pm 1$  doğrularıyla sınırlanan karedede hesaplayın.

**Cözüm** Aküyü bir eğrisel integralle hesaplamak her biri karenin bir kenarı için olmak üzere dört integrasyon gerektirecektir. Green Teoremiyle, eğrisel integrali tek bir iki katlı integrale dönüştürebiliriz.  $M = x$ ,  $N = y^2$ ,  $C$  kare ve  $R$  karenin içi olmak üzere,

$$\begin{aligned} \text{Akı} &= \oint_C \mathbf{F} \cdot \mathbf{n} ds = \oint_C M dy - N dx \\ &= \iint_R \left( \frac{\partial M}{\partial x} + \frac{\partial N}{\partial y} \right) dx dy \quad \text{Green Teoremi} \\ &= \int_{-1}^1 \int_{-1}^1 (1 + 2y) dx dy = \int_{-1}^1 \left[ x + 2xy \right]_{x=-1}^{x=1} dy \\ &= \int_{-1}^1 (2 + 4y) dy = \left[ 2y + 2y^2 \right]_{-1}^1 = 4. \end{aligned}$$

buluruz. ■

### Green Teoreminin Özel Bölgeler İçin İspatı

$C$ ,  $xy$ -düzleminde eksenlere paralel doğruların iki noktadan fazla yerde kesmedikleri düzgün basit, kapalı bir eğri olsun.  $R$  de  $C$ 'nin çevrelediği bölge olsun ve  $M$ ,  $N$  ve birinci mertebe kısmi türevlerinin  $C$  ve  $R$ 'yi içeren açık bir bölgenin her noktasında sürekli olduklarını varsayıyorum. Green Teoreminin dolaşım–rotasyonel şeklini,

$$\oint_C M dx + N dy = \iint_R \left( \frac{\partial N}{\partial x} - \frac{\partial M}{\partial y} \right) dx dy \quad (5)$$

ispatlama istiyoruz.

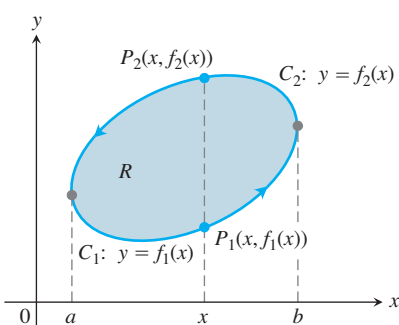
Şekil 16.29 yönlü iki parçadan oluşan  $C$ 'yi göstermektedir:

$$C_1: y = f_1(x), \quad a \leq x \leq b, \quad C_2: y = f_2(x), \quad b \geq x \geq a$$

$a$  ile  $b$  arasındaki herhangi bir  $x$  için  $\partial M / \partial y$ 'yi  $y = f_1(x)$ 'ten  $y = f_2(x)$ 'e kadar  $y$ 'ye göre integrerip

$$\int_{f_1(x)}^{f_2(x)} \frac{\partial M}{\partial y} dy = M(x, y) \Big|_{y=f_1(x)}^{y=f_2(x)} = M(x, f_2(x)) - M(x, f_1(x))$$

elde ederiz.

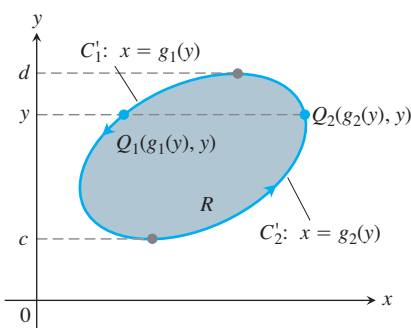


**ŞEKİL 16.29**  $C$  sınır eğrisi  $y = f_1(x)$ 'in grafiği  $C_1$  ve  $y = f_2(x)$ 'in grafiği  $C_2$ 'den oluşmuştur.

Sonra bunu  $a$ 'dan  $b$ 'ye kadar  $x$ 'e göre integre edebiliriz:

$$\begin{aligned} \int_a^b \int_{f_1(x)}^{f_2(x)} \frac{\partial M}{\partial y} dy dx &= \int_a^b [M(x, f_2(x)) - M(x, f_1(x))] dx \\ &= - \int_b^a M(x, f_2(x)) dx - \int_a^b M(x, f_1(x)) dx \\ &= - \int_{C_2} M dx - \int_{C_1} M dx \\ &= - \oint_C M dx \end{aligned}$$

Dolayısıyla,



**SEKİL 16.30**  $C$  sınır eğrisi  $x = g_1(y)$ 'nın grafiği  $C'_1$  ve  $x = g_2(y)$ 'nın grafiği  $C'_2$ 'den oluşmuştur.

olur. (6) Denklemi, (5) Denklemi için gerekli olan sonucun yarısıdır. Diğer yarısını  $\partial N / \partial x$ 'ı Şekil 16.30'da görüldüğü gibi önce  $x$ 'e, sonra da  $y$ 'ye göre integre ederek bulabiliriz. Bu şekil, Şekil 16.29'daki  $C$  eğrisinin yönlü  $C'_1: x = g_1(y)$ ,  $d \geq y \geq c$  ve  $C'_2: x = g_2(y)$ ,  $c \leq y \leq d$  eğrilerine bölünmüş olarak göstermektedir. İki katlı integralin sonucu

$$\oint_C N dy = \iint_R \left( -\frac{\partial N}{\partial x} \right) dx dy \quad (7)$$

olur. (6) ve (7) Denklemelerini toplamak (5) Denklemi verir. Bu ispatı tamamlar. ■

### İspatı Başka Bölgelere Genişletmek

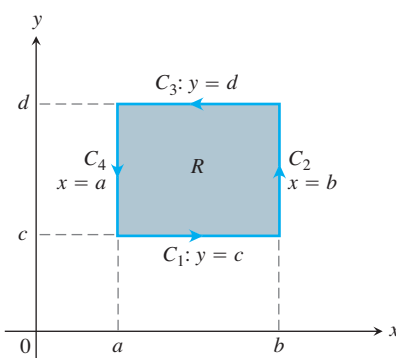
Simdi yapmış olduğumuz tartışma Şekil 16.31'deki dikdörtgene doğrudan uygulanamaz, çünkü  $x = a$ ,  $x = b$ ,  $y = c$  ve  $y = d$  bölgenin sınırlarını iki noktadan fazla yerden keser. Ancak,  $C$  sınırını dört tane

$$\begin{aligned} C_1: \quad y = c, \quad a \leq x \leq b, &\quad C_2: \quad x = b, \quad c \leq y \leq d \\ C_3: \quad y = d, \quad b \geq x \geq a, &\quad C_4: \quad x = a, \quad d \geq y \geq c \end{aligned}$$

yönlü doğru parçasına bölersek, tartışmayı aşağıdaki şekilde değiştirebiliriz.

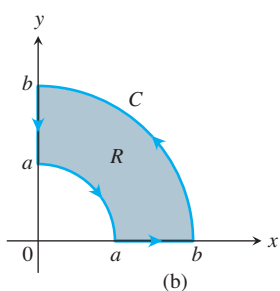
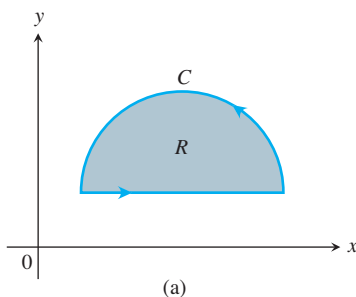
(7) Denklemi ispatındaki gibi ilerleyerek,

$$\begin{aligned} \int_c^d \int_a^b \frac{\partial N}{\partial x} dx dy &= \int_c^d (N(b, y) - N(a, y)) dy \\ &= \int_c^d N(b, y) dy + \int_d^c N(a, y) dy \\ &= \int_{C_2} N dy + \int_{C_4} N dy \end{aligned} \quad (8)$$



**SEKİL 16.31** Green Teoremini bir dikdörtgende ispatlamak için, sınırı dört yönlü doğru parçasına böleriz.

buluruz.



**ŞEKİL 16.32** Green Teoreminin geçerli olduğu başka bölgeler.

$C_1$  ve  $C_3$  boyunca  $y$  sabit olduğu için,  $\int_{C_1} N dy = \int_{C_3} N dy = 0$  ’dır, dolayısıyla eşitliği değiştirmeden (8) Denklemının sağ tarafına  $\int_{C_1} N dy = \int_{C_3} N dy$  ekleyebiliriz. Bunu yaparsak,

$$\int_c^d \int_a^b \frac{\partial N}{\partial x} dx dy = \oint_C N dy \quad (9)$$

elde ederiz. Benzer şekilde,

$$\int_a^b \int_c^d \frac{\partial M}{\partial y} dy dx = - \oint_C M dx \quad (10)$$

olduğunu gösterebiliriz. (9) Denkleminden (10) Denklemi çıkarırsak, yine

$$\oint_C M dx + N dy = \iint_R \left( \frac{\partial N}{\partial x} - \frac{\partial M}{\partial y} \right) dx dy$$

buluruz.

Sekil 16.32'deki gibi bölgelerle de aynı kolaylıkla uğraşılabilir. (5) Denklemi hala geçerlidir. Ayrıca,  $R_1$  ve  $R_2$  bölgelerini ve sınırlarını birleştirerek görebileceğimiz gibi, Şekil 16.33'teki nal şekilli  $R$  bölgesine de uygulanabilir.  $C_1$ ,  $R_1$  ve  $C_2$ ,  $R_2$ 'ye Green Teoremi uygulamak

$$\begin{aligned} \int_{C_1} M dx + N dy &= \iint_{R_1} \left( \frac{\partial N}{\partial x} - \frac{\partial M}{\partial y} \right) dx dy \\ \int_{C_2} M dx + N dy &= \iint_{R_2} \left( \frac{\partial N}{\partial x} - \frac{\partial M}{\partial y} \right) dx dy. \end{aligned}$$

verir. Bu iki denklemi topladığımızda,  $C_1$  için  $y$ -eksenin boyunca  $b$ 'den  $a$ 'ya kadar eğrisel integral, aynı doğru üzerinde olan  $C_2$  için ters yöndeği integrali sadeleştirir. Buradan,  $C$  eğrisi  $x$ -ekseninin  $-b$ 'den  $-a$ 'ya ve  $a$ 'dan  $b$ 'ye kadar olan doğru parçaları ile iki yarımcıemberden oluşan eğri ve  $R$ 'de  $C$ 'nin içindeki bölge olmak üzere,

$$\oint_C M dx + N dy = \iint_R \left( \frac{\partial N}{\partial x} - \frac{\partial M}{\partial y} \right) dx dy,$$

bulunur.

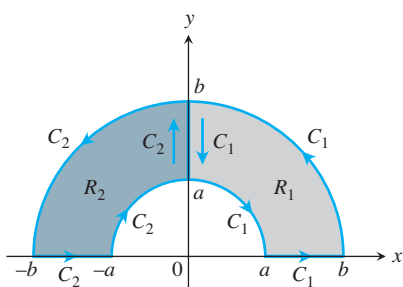
Farklı sınırlar üzerindeki eğrisel integralleri toplayıp tek bir sınır üzerinde bir integral elde etme işlemi sonlu sayıdaki bölgelere de genişletilebilir. Şekil 16.34a'da birinci dörtte bir bölgedeki  $R_1$  bölgesinin saat yönünün tersine yönlendirilmiş sınırı  $C_1$  olsun. Aynı şekilde, diğer üç dörttebir bölge için  $C_i$ ,  $i = 2, 3, 4$   $R_i$  bölgesinin sınırı olsun. Green teoreminden

$$\oint_{C_i} M dx + N dy = \iint_{R_i} \left( \frac{\partial N}{\partial x} - \frac{\partial M}{\partial y} \right) dx dy. \quad (11)$$

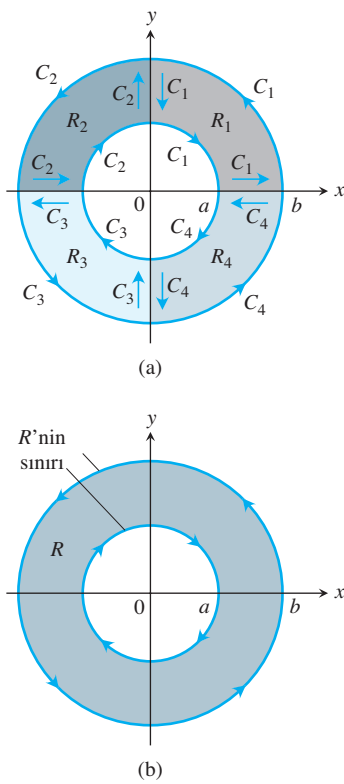
elde edilir.  $i = 1, 2, 3, 4$  için (11) Denklemelerini toplar ve

$$\oint_{r=b} (M dx + N dy) + \oint_{r=a} (M dx + N dy) = \iint_{\bigcup R_i} \left( \frac{\partial N}{\partial x} - \frac{\partial M}{\partial y} \right) dx dy. \quad (12)$$

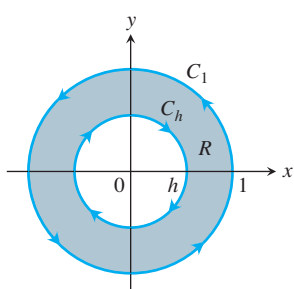
elde ederiz (Şekil 16.34b).



**ŞEKİL 16.33**  $R_1$  ve  $R_2$ 'yi birleştirilen bir  $R$  bölgesi.



**SEKİL 16.34** Dairesel \$R\$ bölgesi dört küçük bölgeli birleştirir. Kutupsal koordinatlarda, iç çember için \$r = a\$, dış çember için \$r = b\$ ve bölgenin kendisi için \$a \leq r \leq b\$'dır.



**SEKİL 16.35** Görüldüğü gibi Green Teoremi sınırlar boyunca integral alınarak dairesel \$R\$ bölgesine uygulanabilir (Örnek 6).

(12) Denklemi  $(\partial N / \partial x) - (\partial M / \partial y)$ 'nin dairesel \$R\$ halkası üzerindeki integralinin, ilerlerken \$R\$'yi solumuzda tutacak yönde \$R\$'nın tüm sınırı üzerinde  $M dx + N dy$ 'nin eğrisel integraline eşit olduğunu söyleyelim (Şekil 16.34b).

### ÖRNEK 6 Bir Halka Şekli İçin Green Teoremini Gerçeklemek

$$M = \frac{-y}{x^2 + y^2}, \quad N = \frac{x}{x^2 + y^2}$$

ise, \$R\$: \$h^2 \leq x^2 + y^2 \leq 1\$, \$0 < h < 1\$, dairesel halkasının üzerinde Green Teoreminin dolaşım şeklärini (4 Denklemi) doğrulayın (Şekil 16.35).

**Çözüm** \$R\$'nin sınırı, \$t\$ artarken saat yönünün tersine dönen

$$C_1: \quad x = \cos t, \quad y = \sin t, \quad 0 \leq t \leq 2\pi$$

çemberi ve \$\theta\$ artarken saat yönünde dönen

$$C_h: \quad x = h \cos \theta, \quad y = -h \sin \theta, \quad 0 \leq \theta \leq 2\pi$$

çemberinden oluşur. \$M\$ ve \$N\$ fonksiyonları ile birinci mertebe kısmi türevleri \$R\$ üzerinde sürekliidir. Üstelik,

$$\begin{aligned} \frac{\partial M}{\partial y} &= \frac{(x^2 + y^2)(-1) + y(2y)}{(x^2 + y^2)^2} \\ &= \frac{y^2 - x^2}{(x^2 + y^2)^2} = \frac{\partial N}{\partial x} \end{aligned}$$

dir. Dolayısıyla

$$\iint_R \left( \frac{\partial N}{\partial x} - \frac{\partial M}{\partial y} \right) dx dy = \iint_R 0 dx dy = 0$$

bulunur.

\$M dx + N dy\$'nin \$R\$'nin sınırı üzerindeki integrali

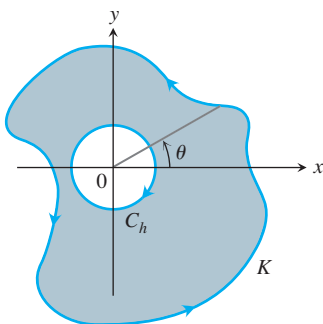
$$\begin{aligned} \int_C M dx + N dy &= \oint_{C_1} \frac{x dy - y dx}{x^2 + y^2} + \oint_{C_h} \frac{x dy - y dx}{x^2 + y^2} \\ &= \int_0^{2\pi} (\cos^2 t + \sin^2 t) dt - \int_0^{2\pi} \frac{h^2(\cos^2 \theta + \sin^2 \theta)}{h^2} d\theta \\ &= 2\pi - 2\pi = 0 \text{ olur.} \end{aligned}$$

Örnek 6'daki \$M\$ ve \$N\$ fonksiyonları \$(0, 0)\$'da süreksizdirler, dolayısıyla Green Teoremini \$C\_1\$ çemberi ve içindeki bölgeye uygulayamayız. Orijini dışlamamız gereklidir. Bunu \$C\_h\$'nın içindeki noktaları dışlayarak yaparız.

Örnek 6'daki \$C\_1\$ çemberi yerine \$C\_h\$'yi çevreleyen bir elips veya herhangi bir basit kapalı \$K\$ eğrisi kullanabiliriz (Şekil 16.36). Sonuç yine

$$\oint_K (M dx + N dy) + \oint_{C_h} (M dx + N dy) = \iint_R \left( \frac{\partial N}{\partial x} - \frac{\partial M}{\partial y} \right) dy dx = 0$$

olur.



**ŞEKİL 16.36**  $C_h$  çemberi ve  $K$  eğrisiyle sınırlı bölge.

Bu da, bu şekildeki herhangi bir  $K$  eğrisi için, şartsızca

$$\oint_K (M dx + N dy) = 2\pi$$

sonucunu verir. Bu sonucu kutupsal koordinatlara dönerek açıklayabiliriz.

$$\begin{aligned} x &= r \cos \theta, & y &= r \sin \theta, \\ dx &= -r \sin \theta d\theta + \cos \theta dr, & dy &= r \cos \theta d\theta + \sin \theta dr \end{aligned}$$

ile,

$$\frac{x dy - y dx}{x^2 + y^2} = \frac{r^2(\cos^2 \theta + \sin^2 \theta) d\theta}{r^2} = d\theta$$

elde ederiz ve  $K$ 'yi bir kere saat yönünün tersine dolaşırak  $\theta$ ,  $2\pi$  kadar artar.

## ALIŞTIRMALAR 16.4

### Green Teoremini Gerçekleme

1–4 alıştırmalarında,  $\mathbf{F} = M\mathbf{i} + N\mathbf{j}$  alanı için (3) ve (4) denklemlerinin iki tarafını da hesaplayarak Green Teoremini gerçekleştirelim. Her durumda integrasyon bölgelerini  $R$ :  $x^2 + y^2 \leq a^2$  dairesi ve onu sınırlayan  $C$ :  $\mathbf{r} = (a \cos t)\mathbf{i} + (a \sin t)\mathbf{j}$ ,  $0 \leq t \leq 2\pi$ , çemberi olarak alın.

- |   |   |
|---|---|
| 1. $\mathbf{F} = -y\mathbf{i} + x\mathbf{j}$  | 2. $\mathbf{F} = y\mathbf{i}$                     |
| 3. $\mathbf{F} = 2x\mathbf{i} - 3y\mathbf{j}$ | 4. $\mathbf{F} = -x^2\mathbf{i} + xy^2\mathbf{j}$ |

### Saat Yönüne Dolaşım ve Dışarı Doğru Açı

5–10 alıştırmalarında  $\mathbf{F}$ 'nin  $C$  eğrisi üzerinde saat yönünün tersine dolaşımını ve dışarı doğru akısını Green Teoremiyle bulun.

5.  $\mathbf{F} = (x - y)\mathbf{i} + (y - x)\mathbf{j}$   
C:  $x = 0, x = 1, y = 0, y = 1$  ile sınırlı kare.
6.  $\mathbf{F} = (x^2 + 4y)\mathbf{i} + (x + y^2)\mathbf{j}$   
C:  $x = 0, x = 1, y = 0, y = 1$  ile sınırlı kare.
7.  $\mathbf{F} = (y^2 - x^2)\mathbf{i} + (x^2 + y^2)\mathbf{j}$   
C:  $y = 0, x = 3$  ve  $y = x$  ile sınırlı üçgen.
8.  $\mathbf{F} = (x + y)\mathbf{i} - (x^2 + y^2)\mathbf{j}$   
C:  $y = 0, x = 1$  ve  $y = x$  ile sınırlı üçgen.
9.  $\mathbf{F} = (x + e^x \sin y)\mathbf{i} + (x + e^x \cos y)\mathbf{j}$   
C:  $r^2 = \cos 2\theta$  fiyongunun sağ döngüsü
10.  $\mathbf{F} = \left( \tan^{-1} \frac{y}{x} \right) \mathbf{i} + \ln(x^2 + y^2) \mathbf{j}$   
C: Kutupsal koordinatlarda  $1 \leq r \leq 2$ ,  $0 \leq \theta \leq \pi$  eşitsizlikleriyle tanımlı bölgenin sınırı.
11. Birinci bölgede,  $y = x^2$  ve  $y = x$  eğrileriyle sınırlı bölgenin sınırı üzerinde  $\mathbf{F} = xy\mathbf{i} + y^2\mathbf{j}$  alanının saat yönünün tersine dolaşımını ve dışarı doğru akısını bulun.

12. Birinci bölgeden  $x = \pi/2$  ve  $y = \pi/2$  doğrularıyla kesilen kare üzerinde  $\mathbf{F} = (-\sin y)\mathbf{i} + (x \cos y)\mathbf{j}$  alanının saat yönünün tersine dolaşımını ve dışarı doğru akısını bulun.

13.  $r = a(1 + \cos \theta)$ ,  $a > 0$ , kardioidi üzerinde

$$\mathbf{F} = \left( 3xy - \frac{x}{1 + y^2} \right) \mathbf{i} + (e^x + \tan^{-1} y) \mathbf{j}$$

alanının dışarıya doğru akısını bulun.

14. Üstten  $y = 3 - x^2$  eğrisi ve alttan  $y = x^4 + 1$  eğrisi ile sınırlanan bölgenin sınırı üzerinde  $\mathbf{F} = (y + e^x \ln y)\mathbf{i} + (e^x/y)\mathbf{j}$  alanının saat yönünün tersine dolaşımını bulun.

### İş

15 ve 16 alıştırmalarında, bir parçacığı verilen eğri üzerinde saat yönünün tersine bir tur döndüren  $\mathbf{F}$  tarafından yapılan işi bulun.

15.  $\mathbf{F} = 2xy^3\mathbf{i} + 4x^2y^2\mathbf{j}$   
C: Birinci bölgede  $x$ -ekseni,  $x = 1$  doğrusu ve  $y = x^3$  eğrisiyle çevrelenen “üçgensel” bölgenin sınırı.
16.  $\mathbf{F} = (4x - 2y)\mathbf{i} + (2x - 4y)\mathbf{j}$   
C:  $(x - 2)^2 + (y - 2)^2 = 4$  çemberi

### Düzlemde Eğrisel İntegralleri Hesaplamak

17–20 alıştırmalarındaki integralleri Green Teoremini uygulayarak hesaplayın.

17.  $\oint_C (y^2 dx + x^2 dy)$   
C:  $x = 0, x + y = 1, y = 0$  ile sınırlı üçgen
18.  $\oint_C (3y dx + 2x dy)$   
C:  $0 \leq x \leq \pi$ ,  $0 \leq y \leq \sin x$ 'in sınırı

19.  $\oint_C (6y + x) dx + (y + 2x) dy$

$C: (x - 2)^2 + (y - 3)^2 = 4$  çemberi

20.  $\oint_C (2x + y^2) dx + (2xy + 3y) dy$

$C$ : Düzlemden Green Teoreminin geçerli olduğu herhangi bir basit kapalı eğri

### Green Teoremiyle Alan Hesaplamak

Düzlemden herhangi bir basit kapalı  $C$  eğrisi ve onun çevrelediği  $R$  bölgesi Green Teoreminin hipotezlerini sağlıyorsa,  $R$ 'nin alanı aşağıdaki formülle verilir:

#### Green Teoremi Alan Formülü

$$R \text{ nin alanı} = \frac{1}{2} \oint_C x \, dy - y \, dx \quad [13]$$

Bunun nedeni, (3) denklemının, tersine döndürüldüğünde,

$$\begin{aligned} R \text{ nin alanı} &= \iint_R dy \, dx = \iint_R \left( \frac{1}{2} + \frac{1}{2} \right) dy \, dx \\ &= \oint_C \frac{1}{2} x \, dy - \frac{1}{2} y \, dx \end{aligned}$$

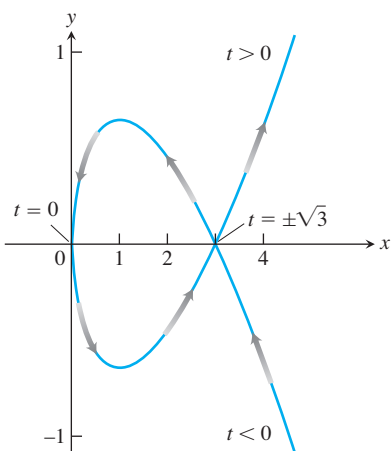
vermesidir. Green Teoremi alan formülünü kullanarak (13 Denklemi) 21–24 alıştırmalarındaki eğrilerle çevrelenen bölgelerin alanlarını bulun.

21.  $\mathbf{r}(t) = (a \cos t)\mathbf{i} + (a \sin t)\mathbf{j}$ ,  $0 \leq t \leq 2\pi$ , çemberi

22.  $\mathbf{r}(t) = (a \cos t)\mathbf{i} + (b \sin t)\mathbf{j}$ ,  $0 \leq t \leq 2\pi$ , elipsi

23.  $\mathbf{r}(t) = (\cos^3 t)\mathbf{i} + (\sin^3 t)\mathbf{j}$ ,  $0 \leq t \leq 2\pi$ , astroidi

24.  $\mathbf{r}(t) = t^2\mathbf{i} + ((t^3/3) - t)\mathbf{j}$ ,  $-\sqrt{3} \leq t \leq \sqrt{3}$  eğrisi (Şekle bakın).



### Teori ve Örnekler

25.  $C$ , Green Teoreminin geçerli olduğu bir bölgenin sınırı olsun. Aşağıdakileri Green Teoremini kullanarak hesaplayın.

a.  $\oint_C f(x) \, dx + g(y) \, dy$

b.  $\oint_C ky \, dx + hx \, dy$  ( $k$  ve  $h$  birer sabit)

26. Sadece alana bağlı integral Herhangi bir kare üzerinde

$$\oint_C xy^2 \, dx + (x^2y + 2x) \, dy$$

integralinin değerinin karenin karenin alanına bağlı olduğunu, düzlemdeki konumuna bağlı olmadığını gösterin.

27.

$$\oint_C 4x^3y \, dx + x^4 \, dy$$

integralinde özel olan şey nedir? Yanınızı açıklayın.

28.

$$\oint_C -y^3 \, dy + x^3 \, dx$$

integralinde özel olan şey nedir? Yanınızı açıklayın.

29. Bir eğrisel integral olarak alan  $R$ , düzlemden parçalı olarak düzgün, basit bir kapalı  $C$  eğrisiyle sınırlı bölge ise,

$$R \text{ nin alanı} = \oint_C x \, dy = - \oint_C y \, dx$$

olduğunu gösterin.

30. Bir eğrisel integral olarak belirli integral Negatif olmayan bir  $y = f(x)$  fonksiyonunun birinci türevinin  $[a, b]$ 'de sürekli olduğu varsayılmış.  $C$ 'de  $xy$ -düzleminde alttan  $x$ -eksenini, üstten  $f'$ 'nin grafiği ve yanlardan  $x = a$  ve  $x = b$  doğrularıyla çevrili bölgenin sınırları olsun.

$$\int_a^b f(x) \, dx = - \oint_C y \, dx$$

olduğunu gösterin.

31. Alan ve ağırlık merkezi  $A$ ,  $xy$ -düzleminde parçalı olarak düzgün, basit bir kapalı  $C$  eğrisiyle sınırlı bölgenin alanı ve  $\bar{x}$  de  $R$ 'nin ağırlık merkezinin  $x$ -koordinatı olsun.

$$\frac{1}{2} \oint_C x^2 \, dy = - \oint_C xy \, dx = \frac{1}{3} \oint_C x^2 \, dy - xy \, dx = A\bar{x}$$

olduğunu gösterin.

32. Eylemsizlik momenti  $I_y$  Alıştırma 31'deki bölgenin  $y$ -eksenin etrafındaki eylemsizlik momenti olsun.

$$\frac{1}{3} \oint_C x^3 \, dy = - \oint_C x^2y \, dx = \frac{1}{4} \oint_C x^3 \, dy - x^2y \, dx = I_y$$

olduğunu gösterin.

- 33. Green Teoremi ve Laplace denklemi** Gerekli bütün türevlerin var ve sürekli olduğunu varsayıarak,  $f(x, y)$

$$\frac{\partial^2 f}{\partial x^2} + \frac{\partial^2 f}{\partial y^2} = 0.$$

Laplace denklemini sağlıyorsa, Green Teoreminin uygulanabildiği bütün kapalı  $C$  eğrileri için

$$\oint_C \frac{\partial f}{\partial y} dx - \frac{\partial f}{\partial x} dy = 0$$

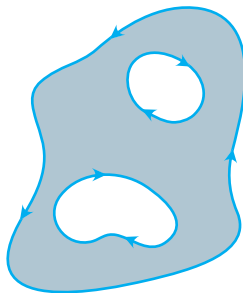
olduğunu gösterin (Tersi de doğrudur: Eğrisel integral her zaman sıfırsa,  $f$  Laplace denklemini sağlar).

- 34. İşi maksimize etmek** Düzlemde, saat yönünün tersine yönlenmiş bütün düzgün, basit, kapalı eğriler arasından, üzerinde

$$\mathbf{F} = \left( \frac{1}{4}x^2y + \frac{1}{3}y^3 \right) \mathbf{i} + x\mathbf{j}$$

kuvvetinin yaptığı işin en büyük olduğu eğriyi bulun (*İpucu:  $(\operatorname{rot} \mathbf{F}) \cdot \mathbf{k}$  nerede pozitiftir?*)

- 35. Delikler içeren bölgeler** Green Teoremi, sınır eğrileri düzgün, basit ve kapalı olduğu ve sınırın her bileşeni üzerinde integral alırken  $R$ 'yi hep solumuzda tutacak bir yön seçtiğimiz sürece, içinde sonlu sayıda delik bulunduran bir  $R$  bölgesinde geçerlidir (Şekil 16.37).



**ŞEKİL 16.37** Green Teoremi, birden fazla deliği olan bölgelerde de geçerlidir (Alıştırma 35).

- a.  $f(x, y) = \ln(x^2 + y^2)$  ve  $C$ 'de  $x^2 + y^2 = a^2$  çemberi olsun.

$$\oint_C \nabla f \cdot \mathbf{n} ds$$

akı integralini hesaplayın.

- b.  $K$ , düzlemde  $(0, 0)$ 'dan geçmeyen herhangi bir düzgün, basit, kapalı eğri olsun. Green Teoremini kullanarak

$$\oint_K \nabla f \cdot \mathbf{n} ds$$

integralinin,  $(0, 0)$ 'ın  $K$ 'nin içinde bulunup bulunmadığını bağlı olarak iki olası değeri olduğunu gösterin.

- 36. Bendixson kriteri** Düzlemsel bir akışkan akışının *akış çizgileri* akışkanın parçacıkları tarafından çizilen düzgün eğrilerdir. Akışkanın hız alanının  $\mathbf{F} = M(x, y)\mathbf{i} + N(x, y)\mathbf{j}$  vektörleri akış çizgilerinin teget vektörleridir. Akış, basit bağlantılı bir  $R$  bölgesinde (içinde delik veya eksik nokta yok) gerçekleşiyorsa ve  $R$  içinde  $M_x + N_y \neq 0$  ise,  $R$ 'deki akış çizgilerinin hiçbirinin kapalı olmadığını gösterin. Başka bir deyişle, akışkanın hiçbir parçasının  $R$ 'de kapalı bir yörüngesi yoktur.  $M_x + N_y \neq 0$  kriterine kapalı yörüngelerin yokluğu için **Bendixson kriteri** denir.
37. Green Teoreminin özel durumunun ispatını tamamlamak için (7) denklemi türetin.
38. Green Teoreminin genişletilmesinin tartışmasını tamamlamak için (10) denklemi türetin.
39. **Korunaklı alanların Rot bileşeni** Korunaklı iki boyutlu bir vektör alanının rotasyoneli için herhangi bir şey söylenebilir mi? Yanıtınızın nedenlerini açıklayın.
40. **Korunaklı alanların dolaşımı** Green Teoremi korunaklı bir alanın dolaşımı hakkında bir şey söyler mi? Bu bildığınız herhangi bir şeyle uyuşur mu? Yanıtınızı açıklayın.

## BİLGİSAYAR ARAŞTIRMALARI

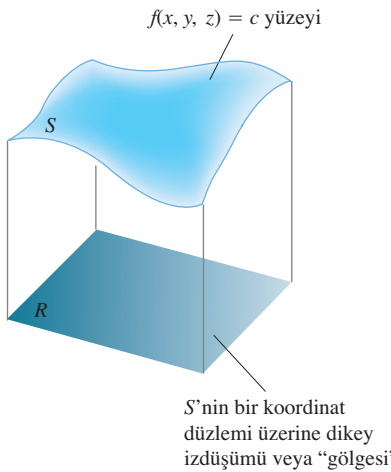
### Dolaşım Bulmak

41–44 alıştırmalarında, bir BCS ve Green Teoremini kullanarak, bir  $\mathbf{F}$  alanının basit kapalı bir  $C$  eğrisi etrafında saat yönünün tersine dolaşımını bulun. Aşağıdaki BCS adımlarını gerçekleştirin:

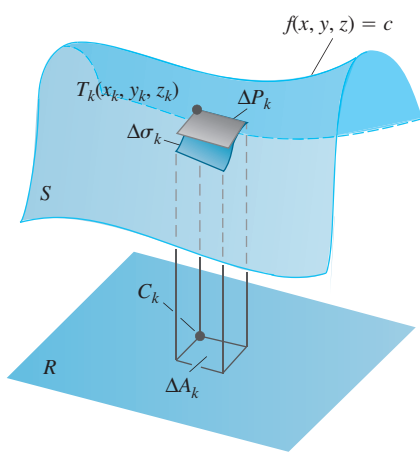
- xy-düzleminde  $C$ 'yi çizin.
- Green Teoreminin rotasyonel formu için  $(\partial N / \partial x) - (\partial M / \partial y)$  integrandını belirleyin.
- (a) şikkindaki çiziminizden integrasyon sınırlarını (iki katlı integral) belirleyin ve dolaşım için rotasyonel integralini hesaplayın.
  - $\mathbf{F} = (2x - y)\mathbf{i} + (x + 3y)\mathbf{j}$ ,  $C: x^2 + 4y^2 = 4$  elipsi
  - $\mathbf{F} = (2x^3 - y^3)\mathbf{i} + (x^3 + y^3)\mathbf{j}$ ,  $C: \frac{x^2}{4} + \frac{y^2}{9} = 1$  elipsi
  - $\mathbf{F} = x^{-1}e^y\mathbf{i} + (e^y \ln x + 2x)\mathbf{j}$ ,  
 $C: y = 1 + x^4$  (alttan) ve  $y = 2$  (üstten) ile tanımlı bölgenin sınırları
  - $\mathbf{F} = xe^y\mathbf{i} + 4x^2 \ln y \mathbf{j}$ ,  
 $C$ : Köşeleri  $(0, 0)$ ,  $(2, 0)$  ve  $(0, 4)$ 'te olan üçgen.

## 16.5

## Yüzey Alanı ve Yüzey İntegralleri



**ŞEKİL 16.38** Yakında göreceğimiz gibi, bir  $g(x, y, z)$  fonksiyonunun uzaydaki bir  $S$  yüzeyi üzerindeki integrali  $S$ 'nin bir koordinat düzlemini üzerinde dik izdüşümü veya "gölge"si üzerinde iki katlı bir integral hesaplanarak bulunabilir.



**ŞEKİL 16.39** Bir  $S$  yüzeyi ve onun altındaki düzlemede bir küçük dikdörtgen  $\Delta A_k$ . Bu dikdörtgenin yüzeydeki parçası  $\Delta\sigma_k$ , düzlemedeki parçası  $\Delta P_k$  ve teğet düzlemedeki parçası  $T_k(x_k, y_k, z_k)$  olarak gösterilmektedir.

Bir fonksiyonun düzlemede düz bir bölgede integralinin nasıl alınacağını biliyoruz, ama ya fonksiyon eğri bir yüzey üzerinde tanımlıysa? Yüzey integrali denilen bu şeyleri hesaplamak için bunları yüzeyin altındaki koordinat düzlemede, bir bölge üzerinde iki katlı bir integral olarak yeniden yazarız (Şekil 16.38). Yüzey integralleri, bir zardan geçen sıvı akışını veya inmeye olan bir paraşute yukarı doğru etkiyen kuvvet gibi büyüklükleri hesaplamak için kullanılır.

## Yüzey Alanı

Şekil 16.39 altındaki düzlemede bulunan "gölge" bölge  $R$ 'nin üzerindeki bir  $S$  yüzeyini göstermektedir. Yüzey,  $f(x, y, z) = c$  denklemiyle tanımlanır. Yüzey **düzgün** ( $\nabla f$   $S$  üzerinde sürekli ve hiç bir zaman yok olmuyorsa) ise, alanını  $R$  üzerinde iki katlı bir integral olarak tanımlayabilir ve hesaplayabiliriz. Yüzeyin, gölgesi,  $R$ , üzerine izdüşümünün bire-bir olduğunu varsayıyoruz. Yani,  $R$ 'deki her nokta  $f(x, y, z) = c$  eşitliğini sağlayan bir tek  $(x, y, z)$  noktasına karşılık gelir.

$S$ 'nin alanını tanımlamanın ilk adımı,  $R$  üzerinde bir integral tanımlıyor olsaydık yapacak olduğumuz gibi,  $R$  bölgesini küçük  $\Delta A_k$  dikdörtgenlerine bölmektir. Her  $\Delta A_k$ 'nin yukarısında yüzeyin bir  $\Delta\sigma_k$  parçası bulunur. Bu  $\Delta\sigma_k$  parçasına, bu parçanın bir  $T_k(x_k, y_k, z_k)$  noktasındaki teğet düzlemin bir parçası olan  $\Delta P_k$  paralelkenarı ile karşılaşır. Teğet düzlemedeki bu paralelkenar doğrudan  $\Delta A_k$  üzerine iz düşer. Daha açık olmak gerekirse, Şekil 16.39'da gösterildiği gibi,  $\Delta A_k$ 'nın arka köşesi  $C_k$ 'nin tam üzerinde bulunan  $T_k(x_k, y_k, z_k)$  noktasını seçeriz. Teğet düzlemede  $\Delta P_k$  paralelse,  $\Delta P_k$ ,  $\Delta A_k$ 'ye eş olacaktır. Aksi halde, alanı  $\Delta A_k$ 'nin alanından büyük olan bir paralelkenar olacaktır.

Şekil 16.40,  $\Delta\sigma_k$  ve  $\Delta P_k$ 'nin büyütülmüş bir görüntüsünü vermektedir ve  $T_k$ 'deki  $\nabla f(x_k, y_k, z_k)$  gradiyent vektörünü ve  $R$ 'ye normal olan bir  $\mathbf{p}$  birim vektörünü göstermektedir. Şekildeki diğer vektörler,  $\mathbf{u}_k$  ve  $\mathbf{v}_k$ , teğet düzlemedeki  $\Delta P_k$  parçasının kenarlarında bulunurlar. Böylece, hem  $\mathbf{u}_k \times \mathbf{v}_k$ , hem de  $\nabla f$  teğet düzleme normaldir.

Şimdi, ileri vektör geometri konularından,  $\mathbf{u}_k$  ve  $\mathbf{v}_k$  tarafından belirlenen bir paralelkenarın, normali  $\mathbf{p}$  olan herhangi bir düzlemedeki izdüşümünün alanının  $|(\mathbf{u}_k \times \mathbf{v}_k) \cdot \mathbf{p}|$ 'nin olduğu bilgisine ihtiyacımız var. Bizim durumumuzda, bu

$$|(\mathbf{u}_k \times \mathbf{v}_k) \cdot \mathbf{p}| = \Delta A_k$$

ifadesine dönüsür. Takip eden türetmedeki notasyonu basitleştirmek için küçük dikdörtgensel bölgenin alanını  $\Delta A_k$  ile göstereceğiz. Benzer şekilde, bu küçük bölgenin yukarıındaki teğet düzlemedeki parçasının alanını da  $\Delta P_k$  ile göstereceğiz.

Şimdi,  $|\mathbf{u}_k \times \mathbf{v}_k|$ 'nın kendisi  $\Delta P_k$ 'nin alanı (vektörel çarpımların standart sonucu), dolayısıyla bu son denklem

$$\underbrace{|\mathbf{u}_k \times \mathbf{v}_k|}_{\Delta P_k} \underbrace{|\mathbf{p}|}_{1} \underbrace{|\cos(\mathbf{u}_k \times \mathbf{v}_k \text{ ile } \mathbf{p} \text{ arasındaki açı})|}_{|\cos \gamma_k| \text{ ile aynı çunku } \nabla f \text{ ve } \mathbf{u}_k \times \mathbf{v}_k \text{ nin her ikisi de teğet düzleme normaldir.}} = \Delta A_k$$

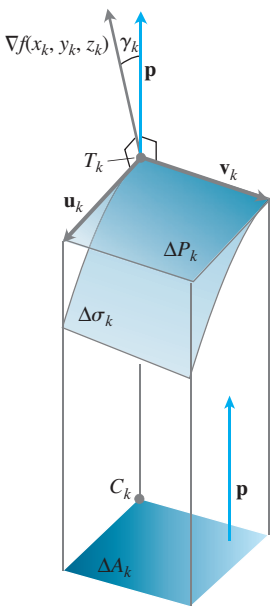
veya,  $\gamma_k \neq 0$  olduğu sürece,

veya

haline gelir.

$$\Delta P_k |\cos \gamma_k| = \Delta A_k$$

$$\Delta P_k = \frac{\Delta A_k}{|\cos \gamma_k|}$$



**ŞEKİL 16.40** Bir önceki şeitin büyütülmüş görüntüsü.  $\mathbf{u}_k \times \mathbf{v}_k$  vektörü (burada görünmemektedir)  $\nabla f$  vektörüne paraleldir, çünkü iki vektör de  $\Delta P_k$ 'nin düzlemine normaldir.

$\nabla f$  vektörü  $iz$  düşüm düzlemine paralel olmadığı ve  $\nabla f \cdot p \neq 0$  olduğu sürece,  $\cos \gamma_k \neq 0$  olacaktır.

$\Delta P_k$  parçaları, bir araya gelerek  $S$ 'yi oluşturan  $\Delta\sigma_k$  yüzey parçalarına yaklaşımda bulundukları için,

$$\sum \Delta P_k = \sum \frac{\Delta A_k}{|\cos \gamma_k|} \quad (1)$$

toplamı  $S$ 'nin alanı demek istediğimiz şeye bir yaklaşım gibi görünmektedir. Ayrıca  $R$ 'nin bölünüşünü iyileştirirsek, yaklaşım daha da iyi olacak gibi görünmektedir. Aslında, (1) Denkleminin sağındaki toplamlar

$$\iint_R \frac{1}{|\cos \gamma|} dA \quad [2]$$

iki katlı integralinin yaklaşım toplamlarıdır. Bu nedenle  $S$ 'nin **alanını**, var olduğu takdirde, bu integralin değeri olarak tanımlarız. Herhangi bir  $f(x, y, z) = c$  yüzeyi için,  
 $|\nabla f \cdot \mathbf{p}| = |\nabla f| |\mathbf{p}| |\cos \gamma|$  olur ve

$$\frac{1}{|\cos \gamma|} = \frac{|\nabla f|}{|\nabla f \cdot \mathbf{p}|}$$

bulunur. Bu (2) Denklemiyle birleşerek, alan için pratik bir formül verir.

## **Yüzey Alanı Formülü**

$f(x, y, z) = c$  yüzeyinin kapalı ve sınırlı bir  $R$  düzlem bölgesindeki alanı,  $\mathbf{p}, R'$ ye normal bir birim vektör ve  $\nabla f \cdot \mathbf{p} \neq 0$  olmak üzere

$$\text{Yüzey alanı} = \iint_p \frac{|\nabla f|}{|\nabla f \cdot \mathbf{p}|} dA \quad [3]$$

ile verilir.

Böylece, alan,  $\nabla f$ 'nin büyüklüğünün,  $\nabla f$ 'nin  $R$ 'ye normal olan skaler bileşeninin büyüklüğüyle bölümünün,  $R$  üzerindeki iki katlı integralidir.

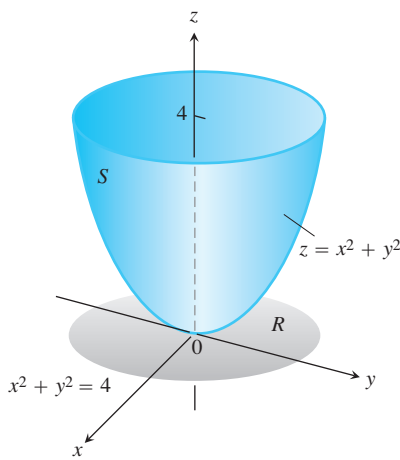
(3) Denklemine  $R$  boyunca  $\nabla f \cdot \mathbf{p} \neq 0$  ve  $\nabla f$ 'nin sürekli olduğu varsayımlarıyla ulaştıktır. Ancak, integral var olduğunda değerini,  $f(x, y, z) = c$  yüzeyinin  $R$ 'nin yukarısındaki parçasının alanı olarak tanımlarız (İz düşümün bire-bir varsayıldığını hatırlayın).

Alıştırmalarda (11 Denklemine bakın), yüzeyin  $z = f(x, y)$  ile tanımlanması halinde (3) Denkleminin nasıl sadelestiği gösteriyoruz.

### **ÖRNEK 1** Yiizey Alanı Bulmak

$x^2 + y^2 - z = 0$  paraboloidinin altından,  $z = 4$  düzlemyile kesilen yüzeyin alanını bulun.

**Cözüm**  $S$  yüzeyini ve altındaki  $R$  bölgesini ( $xy$ -düzlemi içinde) çizeriz (Şekil 16.41).  $S$  yüzeyi  $f(x, y, z) = x^2 + y^2 - z = 0$  seviye yüzeyinin bir parçası ve  $R$ ,  $xy$ -düzlemindeki  $x^2 + y^2 \leq 4$  dairesidir.  $R'$ nin düzlemine normal bir birim vektör elde etmek için,  $\mathbf{p} = \mathbf{k}$  alabiliriz.



**ŞEKİL 16.41** Bu parabolik yüzeyin alanı Örnek 1'de hesaplanmaktadır.

Yüzeydeki herhangi bir  $(x, y, z)$  noktasında,

$$\begin{aligned} f(x, y, z) &= x^2 + y^2 - z \\ \nabla f &= 2x\mathbf{i} + 2y\mathbf{j} - \mathbf{k} \\ |\nabla f| &= \sqrt{(2x)^2 + (2y)^2 + (-1)^2} \\ &= \sqrt{4x^2 + 4y^2 + 1} \\ |\nabla f \cdot \mathbf{p}| &= |\nabla f \cdot \mathbf{k}| = |-1| = 1 \end{aligned}$$

buluruz.  $R$  bölgesinde,  $dA = dx dy$ 'dır. Buradan

$$\text{Yüzey alanı} = \iint_R \frac{|\nabla f|}{|\nabla f \cdot \mathbf{p}|} dA \quad (3) \text{ Denklemi}$$

$$\begin{aligned} &= \iint_{x^2+y^2 \leq 4} \sqrt{4x^2 + 4y^2 + 1} dx dy \\ &= \int_0^{2\pi} \int_0^2 \sqrt{4r^2 + 1} r dr d\theta \quad \text{Kutupsal koordinatlar} \\ &= \int_0^{2\pi} \left[ \frac{1}{12} (4r^2 + 1)^{3/2} \right]_0^2 d\theta \\ &= \int_0^{2\pi} \frac{1}{12} (17^{3/2} - 1) d\theta = \frac{\pi}{6} (17\sqrt{17} - 1) \end{aligned}$$

bulunur. ■

### ÖRNEK 2 Yüzey Alanı Bulmak

$x^2 + y^2 + z^2 = 2$ ,  $z \geq 0$ , yarımküresinden  $x^2 + y^2 = 1$  silindiriyle kesilen kapağın alanını bulun (Şekil 16.42).

**Cözüm**  $S$  kapağı  $f(x, y, z) = x^2 + y^2 + z^2 = 2$  seviye yüzeyinin bir parçasıdır.  $xy$ -düzlemindeki  $R$ :  $x^2 + y^2 \leq 1$  dairesine birebir iz düşer.  $\mathbf{p} = \mathbf{k}$  vektörü  $R$ 'nın düzleme normaldir.

Yüzey üzerinde herhangi bir noktada,

$$\begin{aligned} f(x, y, z) &= x^2 + y^2 + z^2 \\ \nabla f &= 2x\mathbf{i} + 2y\mathbf{j} + 2z\mathbf{k} \\ |\nabla f| &= 2\sqrt{x^2 + y^2 + z^2} = 2\sqrt{2} \quad \text{Çünkü } S \text{ nin noktalarında } x^2 + y^2 + z^2 = 2 \text{ dir.} \\ |\nabla f \cdot \mathbf{p}| &= |\nabla f \cdot \mathbf{k}| = |2z| = 2z \end{aligned}$$

olur. Bu nedenle,

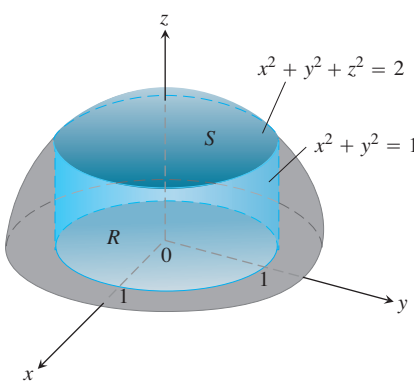
$$\text{Yüzey alanı} = \iint_R \frac{|\nabla f|}{|\nabla f \cdot \mathbf{p}|} dA = \iint_R \frac{2\sqrt{2}}{2z} dA = \sqrt{2} \iint_R \frac{dA}{z} \quad (4)$$

bulunur.  $z$  ile ne yapılacaktır?

$z$  küre üzerindeki bir noktanın koordinatı olduğu için,  $x$  ve  $y$  cinsinden

$$z = \sqrt{2 - x^2 - y^2}$$

şeklinde ifade edebiliriz.



**ŞEKİL 16.42** Yarım küreden silindir tarafından kesilen kapağın dikey izdüşümü  $xy$ -düzlemindeki  $R$ :  $x^2 + y^2 \leq 1$  dairesi üzerindedir (Örnek 2).

Bu dönüşüm ile (4) Denklemi hesaplamaya devam ederiz:

$$\begin{aligned}
 \text{Yüzey alanı} &= \sqrt{2} \iint_R \frac{dA}{z} = \sqrt{2} \iint_{x^2+y^2 \leq 1} \frac{dA}{\sqrt{2-x^2-y^2}} \\
 &= \sqrt{2} \int_0^{2\pi} \int_0^1 \frac{r dr d\theta}{\sqrt{2-r^2}} \quad \text{Kutupsal koordinatlar} \\
 &= \sqrt{2} \int_0^{2\pi} \left[ -(2-r^2)^{1/2} \right]_{r=0}^{r=1} d\theta \\
 &= \sqrt{2} \int_0^{2\pi} (\sqrt{2}-1) d\theta = 2\pi(\sqrt{2}-1)
 \end{aligned}$$

■

### Yüzey İntegralleri

Şimdi, yüzey alanını hesaplamak için geliştirdiğimiz fikirleri kullanarak, bir fonksiyonu bir yüzey üzerinde nasıl integre edeceğimizi göstereceğiz.

Örneğin, elimizde, Şekil 16.43'te gösterildiği gibi, bir  $f(x, y, z) = c$  yüzeyi üzerine dağılmış bir elektrik yükü bulunduğu ve  $g(x, y, z)$  fonksiyonunun  $S$  üzerindeki her noktada birim alan başına yükü (yük yoğunluğu) verdiğini varsayıyalım. Bu durumda,  $S$  üzerindeki toplam yükü bir integral olarak aşağıdaki şekilde hesaplayabiliriz.

Yüzeyin altında kalan zemin düzlemdeki bölge  $R$ 'yi,  $S$ 'nin yüzey alanını tanımlıyor olsaydı yapacak olduğumuz gibi, küçük dikdörtgenlere böleriz. Böylece, her  $\Delta A_k$ 'nın tam yukarısında, teget düzlemin bir paralelkenar şekilli bir parçası,  $\Delta P_k$ , ile yaklaşımada bulunacağımız bir  $\Delta \sigma_k$  yüzey parçası bulunur. (Şekil 16.43'e bakın.)

Bu noktaya kadar kuruluş yüzey alanının tanımı gibi ilerler, ama burada ek bir adım atıyoruz:  $g$ 'yi  $(x_k, y_k, z_k)$ 'de hesaplar ve  $\Delta \sigma_k$  yüzey parçası üzerindeki toplam yüke  $g(x_k, y_k, z_k)\Delta P_k$  çarpımıyla yaklaşımada bulunuruz. Bunun mantığı,  $R$ 'nin bölünüşü yetenince çok dikdörtgenden oluşuyorsa,  $g$ 'nin değerinin  $\Delta \sigma_k$  boyunca neredeyse sabit olacağı ve  $\Delta P_k$ 'nin de neredeyse  $\Delta \sigma_k$  ile aynı olacaktır. Artık  $S$  üzerindeki toplam yüke

$$\text{Toplam yük} \approx \sum g(x_k, y_k, z_k) \Delta P_k = \sum g(x_k, y_k, z_k) \frac{\Delta A_k}{|\cos \gamma_k|}$$

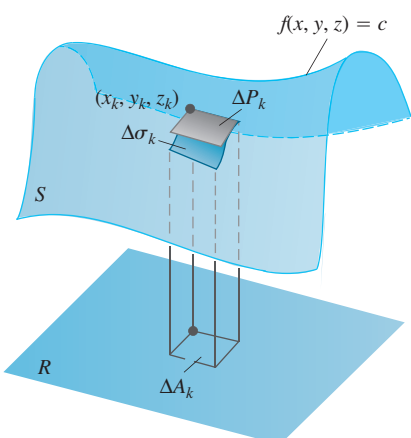
toplamlıyla yaklaşımada bulunulabilir.

$S$ 'yi tanımlayan  $f$  fonksiyonu ve birinci mertebe kısmi türevleri sürekli ve  $g$ ,  $S$  üzerinde sürekli ise, son denklemde sağındaki toplamlar,  $R$ 'nin bölünüşü her zamanki gibi iyileştirilirken,

$$\iint_R g(x, y, z) \frac{dA}{|\cos \gamma|} = \iint_S g(x, y, z) \frac{|\nabla f|}{|\nabla f \cdot \mathbf{p}|} dA \quad [5]$$

limitne yaklaşır. Bu limite  $g$ 'nin  $S$  yüzeyi üzerindeki integrali denir ve  $R$ 'de iki katlı bir integral olarak hesaplanır. İntegralin değeri  $S$  yüzeyindeki toplam yükür.

Bekleyebileceğiniz gibi, (5) denklemindeki bu formül, integral var olduğu sürece,  $S$  yüzeyi üzerinde *herhangi* bir  $g$  fonksiyonunun integralini tanımlar.



**ŞEKİL 16.43** Bir yüzey üzerinde bir elektrik yükünün nasıl dağıldığını biliyorsak, uygun bir değiştirilmiş yüzey integraliyle toplam yük bulabiliz.

**TANIM Yüzey İntegrali**

$R$ ,  $f(x, y, z) = c$  ile tanımlanan  $S$  yüzeyinin gölge bölgesi ve  $g$  de  $S$ 'nin noktalarda tanımlanmış sürekli bir fonksiyon ise,  $g$ 'nın  $S$  üzerindeki integrali,  $\mathbf{p}$   $R$ 'ye normal bir birim vektör ve  $\nabla f \cdot \mathbf{p} \neq 0$  olmak üzere,

$$\iint_R g(x, y, z) \frac{|\nabla f|}{|\nabla f \cdot \mathbf{p}|} dA \quad [6]$$

integralidir. İntegralin kendisine **yüzey integrali** denir.

(6) Denklemdeki integral farklı uygulamalarda farklı anımlar taşırlar.  $g$ 'nin değeri 1 ise, integral  $S$ 'nin alanını verir.  $g$  bir malzemenin  $S$  ile modellenen ince kabuğunun kütle yoğunluğuya, integral kabuğun kütlesini verir.

(6) Denklemdeki integrali  $(|\nabla f|/|\nabla f \cdot \mathbf{p}|) dA$  için  $d\sigma$  yazarak kısaltabiliriz:

**Yüzey Alanı Diferansiyeli ve Yüzey İntegrallerinin Diferansiyel Şekli**

$$d\sigma = \frac{|\nabla f|}{|\nabla f \cdot \mathbf{p}|} dA \quad \iint_S g d\sigma \quad [7]$$

yüzey alanı  
diferansiyeli      yüzey integrallerinin  
diferansiyel şekli

Yüzey integralleri diğer iki katlı integraller gibi davranışları: iki fonksiyonun toplamının integralinin fonksiyonların integrallerinin toplamı olması gibi. Tanım bölgelerinin toplanabilirliği

$$\iint_S g d\sigma = \iint_{S_1} g d\sigma + \iint_{S_2} g d\sigma + \cdots + \iint_{S_n} g d\sigma$$

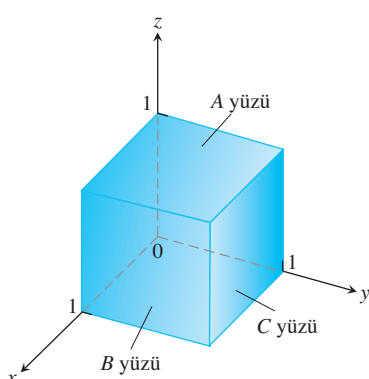
şeklini alır. Ana fikir şudur;  $S$  düzgün eğrilerle sonlu sayıda üst üste binmeyen düzgün parçalara bölünürse (yani,  $S$  **parçalı olarak düzgündür**),  $S$  üzerindeki integral parçalar üzerindeki integrallerin toplamıdır. Böylece, bir kübün yüzeyi üzerinde bir integral kübüн yüzeyleri üzerinde integrallerin toplamıdır. Birbirine eklenmiş plakalardan oluşan bir kablumbağa kabuğu üzerindeki integrali, her plakayı tek tek integre edip, sonuçları toplayarak alırız.

**ÖRNEK 3** Bir Yüzey Üzerinde İntegrasyon

$g(x, y, z) = xyz$ 'yi birinci sekizde bir bölgeden  $x = 1, y = 1, z = 1$  düzlemleriyle kesilen küp üzerinde integre edin (Şekil 16.44).

**Cözüm**  $xyz$ 'yi altı yüz üzerinde integre eder ve sonuçları toplarız. Koordinat düzlemlerinde bulunan yüzlerde  $xyz = 0$  olduğu için, kübüн yüzeyi üzerinde integral

$$\iint_{\text{Küp yüzeyi}} xyz d\sigma = \iint_{A \text{ yüzü}} xyz d\sigma + \iint_{B \text{ yüzü}} xyz d\sigma + \iint_{C \text{ yüzü}} xyz d\sigma$$



**SEKİL 16.44** Örnek 3'teki küp.

haline indirgenir.

$A$  yüzü,  $xy$ -düzlemindeki  $R_{xy} : 0 \leq x \leq 1, 0 \leq y \leq 1$  kare bölgesine iz düşen  $f(x, y, z) = z = 1$  yüzeyidir. Bu yüzey ve bölge için,

$$\mathbf{p} = \mathbf{k}, \quad \nabla f = \mathbf{k}, \quad |\nabla f| = 1, \quad |\nabla f \cdot \mathbf{p}| = |\mathbf{k} \cdot \mathbf{k}| = 1$$

$$d\sigma = \frac{|\nabla f|}{|\nabla f \cdot \mathbf{p}|} dA = \frac{1}{1} dx dy = dx dy$$

$$xyz = xy(1) = xy$$

ve

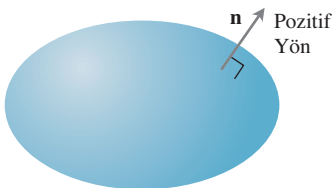
$$\iint_A xyz d\sigma = \iint_{R_{xy}} xy dx dy = \int_0^1 \int_0^1 xy dx dy = \int_0^1 \frac{y}{2} dy = \frac{1}{4}$$

buluruz.

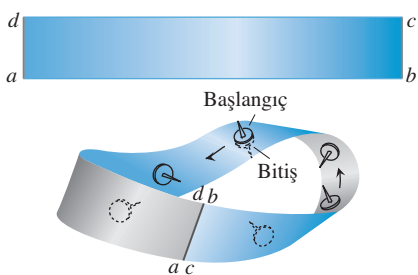
Simetri,  $xyz$ 'nin  $B$  ve  $C$  yüzleri üzerindeki integralinin de  $1/4$  olduğunu söyler ve

$$\iint_{\text{Küp}} xyz d\sigma = \frac{1}{4} + \frac{1}{4} + \frac{1}{4} = \frac{3}{4}$$

elde ederiz. ■



**ŞEKİL 16.45** Uzaydaki düzgün kapalı yüzeyler yönlendirilebilirler. Dışarı doğru birim normal vektör her noktada pozitif yönü tanımlar.



**ŞEKİL 16.46** Bir Möbius şeridi yapmak için, dikdörtgen bir  $abcd$  kağıt parçası alın,  $bc$  ucunu bir kere döndürün ve  $a'$ yi  $c$  ile ve  $b'$ yi  $d$  ile eşlestirecek şekilde uçları birleştirin. Möbius şeridi, yönlendirilemeyen veya tek yüzlü bir yüzeydir.

### Yönlendirme

Düzgün bir  $S$  yüzeyi üzerinde, konumla sürekli olarak değişen bir  $\mathbf{n}$  birim normal vektör alanı tanımlanabiliyorsa,  $S$ 'ye **yönlendirilebilir** veya iki yüzlü (iki taraflı) deriz. Yönlendirilebilir bir yüzeyin herhangi bir parçası veya bir bölümü de yönlendirilebilirdir. Küreler ve uzaydaki diğer düzgün kapalı yüzeyler (cisimleri çevreleyen düzgün yüzeyler) yönlendirilebilirdir. Genel olarak, kapalı bir yüzeyde  $\mathbf{n}'yi$  dışarı doğru sezeriz.

$n$  seçildikten sonra, yüzeyi **yönlendirdiğimizi** söyle ve normal alaniyla birlikte yüzeye **yönlendirilmiş yüzey** deriz. Herhangi bir noktadaki  $n$  vektörüne o noktadaki **pozitif yön** denir (Şekil 16.45).

Şekil 16.46'daki Möbius şeridi yönlendirilemez. Sürekli bir birim normal alan oluşturmaya nereden başlarsanız başlayın (şekilde bir raptiye olarak gösterilmektedir), vektörü yüzey boyunca gösterildiği gibi sürekli olarak ilerletmek onu başlangıç noktasına başladığı yönün aksi yönünde döndürecektil. Bu noktadaki vektör iki yöne de bakamaz ve yine de alan sürekliyle böyle olması gereklidir. Böyle alanların var olmadığı sonucuna varırız.

### Akı İçin Yüzey İntegrali

$\mathbf{F}$ 'nin yönlendirilmiş bir  $S$  yüzeyi üzerinde tanımlı bir fonksiyon ve  $\mathbf{n}$ 'nın de yüzeyde seçilmiş birim normal alan olduğunu varsayıñ.  $\mathbf{F} \cdot \mathbf{n}$ 'nın  $S$  üzerindeki integraline  $\mathbf{F}$ 'nin  $S$  üzerinde pozitif yöndeaki aki'sı deriz. Yani, aki  $\mathbf{F}$ 'nın  $\mathbf{n}$  yönündeki skaler bileşeninin  $S$  üzerindeki integralidir.

#### TANIM AKİ

Üç boyutlu bir  $\mathbf{F}$  vektör alanının, yönlendirilmiş bir  $S$  yüzeyinden  $\mathbf{n}$  yönündeki **akısı** şu formülle verilir:

$$\text{Akı} = \iint_S \mathbf{F} \cdot \mathbf{n} d\sigma. \quad [8]$$

Tanım, iki boyutlu bir  $\mathbf{F}$  alanının düzlemedeki bir  $C$  eğrisi üzerindeki akısının eşdeğeriidir. Düzlemede (Bölüm 16.2), akı  $\mathbf{F}'$ nin eğriye normal skaler bileşeninin integralidir:

$$\int_C \mathbf{F} \cdot \mathbf{n} ds$$

$\mathbf{F}$ , üç boyutlu bir akışkan akışının hız alanısı,  $\mathbf{F}'$ nin  $S$ 'deki akısı akışkanın  $S$ 'den verilen yönde过去的 net hızdır. Bu tip akışları Bölüm 16.7'de daha fazla inceleyeceğiz.

$S$  bir  $g(x, y, z) = c$  seviye yüzeyinin bir parçasıysa,  $\mathbf{n}$ , hangisinin istenilen yönü verdiğine bağlı olarak

$$\mathbf{n} = \pm \frac{\nabla g}{|\nabla g|} \quad (9)$$

alanlarından biri olarak alınabilir. Buna karşılık gelen akı

$$\begin{aligned} \text{Akı} &= \iint_S \mathbf{F} \cdot \mathbf{n} d\sigma \\ &= \iint_R \left( \mathbf{F} \cdot \frac{\pm \nabla g}{|\nabla g|} \right) \frac{|\nabla g|}{|\nabla g \cdot \mathbf{p}|} dA \quad (9) \text{ ve } (7) \text{ denklemeleri} \\ &= \iint_R \mathbf{F} \cdot \frac{\pm \nabla g}{|\nabla g \cdot \mathbf{p}|} dA \end{aligned} \quad (10)$$

olarak,

#### ÖRNEK 4 Akı Bulmak

$\mathbf{F} = yz\mathbf{j} + z^2\mathbf{k}$ 'nin  $y^2 + z^2 = 1$ ,  $z \geq 0$ , silindirinden  $x = 0$  ve  $x = 1$  düzlemleriyle kesilen  $S$  yüzeyinde dışarı doğru akısını bulun.

**Çözüm**  $S$  üzerinde dışarı doğru normal alan (Şekil 16.47)  $g(x, y, z) = y^2 + z^2$ 'nin gradiyentinden

$$\mathbf{n} = +\frac{\nabla g}{|\nabla g|} = \frac{2y\mathbf{j} + 2z\mathbf{k}}{\sqrt{4y^2 + 4z^2}} = \frac{2y\mathbf{j} + 2z\mathbf{k}}{2\sqrt{1}} = y\mathbf{j} + z\mathbf{k}$$

olarak bulunur.  $\mathbf{p} = \mathbf{k}$  ile,

$$d\sigma = \frac{|\nabla g|}{|\nabla g \cdot \mathbf{k}|} dA = \frac{2}{|2z|} dA = \frac{1}{z} dA$$

elde ederiz.  $S$  üzerinde  $z \geq 0$  olduğu için, mutlak değer işaretlerini kaldırırız.

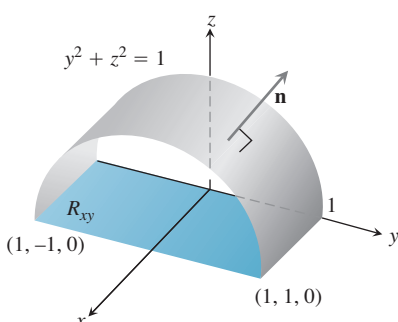
$\mathbf{F} \cdot \mathbf{n}$ 'nın yüzey üzerindeki değeri

$$\begin{aligned} \mathbf{F} \cdot \mathbf{n} &= (yz\mathbf{j} + z^2\mathbf{k}) \cdot (y\mathbf{j} + z\mathbf{k}) \\ &= y^2z + z^3 = z(y^2 + z^2) \\ &= z \quad S \text{de } y^2 + z^2 = 1 \end{aligned}$$

olarak bulunur. Bu nedenle,  $\mathbf{F}'$ 'nin  $S$ 'deki dışarı doğru akısı

$$\iint_S \mathbf{F} \cdot \mathbf{n} d\sigma = \iint_S (z) \left( \frac{1}{z} dA \right) = \iint_{R_{xy}} dA = \text{alan}(R_{xy}) = 2$$

olarak bulunur. ■



**SEKİL 16.47** Bir vektör alanının bu yüzey üzerinden dışarı doğru akısının hesaplanması.  $R_{xy}$  gölge bölgesinin alanı 2'dir (Örnek 4).

### İnce Kabukların Moment ve Kütleleri

Çanaklar, metal davullar ve kubbeler gibi malzemelerin ince kabukları yüzeylerle modellenir. Moment ve kütleleri Tablo 16.3'teki formüllerle hesaplanır.

**TABLO 16.3** Çok ince kabukların kütle ve moment formülleri

**Kütle:**  $M = \iint_S \delta(x, y, z) d\sigma$  ( $\delta(x, y, z) = (x, y, z)$ 'deki birim alan başına kütle olarak yoğunluk

**Koordinat düzlemleri etrafındaki birinci momentler:**

$$M_{yz} = \iint_S x \delta d\sigma, \quad M_{xz} = \iint_S y \delta d\sigma, \quad M_{xy} = \iint_S z \delta d\sigma$$

**Kütle merkezinin koordinatları:**

$$\bar{x} = M_{yz}/M, \quad \bar{y} = M_{xz}/M, \quad \bar{z} = M_{xy}/M$$

**Eylemsizlik momentleri:**

$$I_x = \iint_S (y^2 + z^2) \delta d\sigma, \quad I_y = \iint_S (x^2 + z^2) \delta d\sigma,$$

$$I_z = \iint_S (x^2 + y^2) \delta d\sigma, \quad I_L = \iint_S r^2 \delta d\sigma,$$

$r(x, y, z) = (x, y, z)$  noktasından  $L$  doğrusuna uzaklık

**Bir  $L$  doğrusu etrafındaki jirasyon yarıçapı:**  $R_L = \sqrt{I_L/M}$

### ÖRNEK 5 Kütle Merkezi Bulmak

$a$  yarıçaplı ve sabit  $\delta$  yoğunluklu ince yarı küresel bir kabuğun kütle merkezini bulun.

**Çözüm** Kabuğu

$$f(x, y, z) = x^2 + y^2 + z^2 = a^2, \quad z \geq 0$$

yarım küresiyle modelleriz (Şekil 16.48). Yüzeyin  $z$ -ekseni etrafındaki simetrisi  $\bar{x} = \bar{y} = 0$  olduğunu söyler. Geriye sadece  $\bar{z} = M_{xy}/M$  formülünden  $\bar{z}$ 'yi bulmak kalır.

Kabuğun kütesi şöyle bulunur:

$$M = \iint_S \delta d\sigma = \delta \iint_S d\sigma = (\delta)(S \text{ nin alanı}) = 2\pi a^2 \delta$$

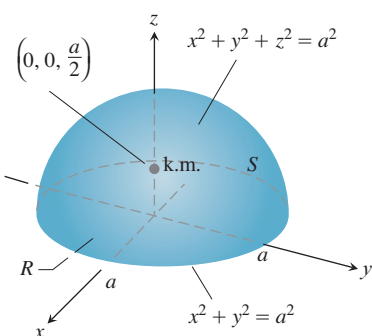
$M_{xy}$  integralini hesaplamak için,  $\mathbf{p} = \mathbf{k}$  alır ve

$$|\nabla f| = |2x\mathbf{i} + 2y\mathbf{j} + 2z\mathbf{k}| = 2\sqrt{x^2 + y^2 + z^2} = 2a$$

$$|\nabla f \cdot \mathbf{p}| = |\nabla f \cdot \mathbf{k}| = |2z| = 2z$$

$$d\sigma = \frac{|\nabla f|}{|\nabla f \cdot \mathbf{p}|} dA = \frac{a}{z} dA$$

bularuz.



**ŞEKİL 16.48** Sabit yoğunluklu ince bir yarı küresel kabuğun kütle merkezi simetri eksenin üzerinde tabandan tepeye olan uzaklığın yarısındadır (Örnek 5).

Bu durumda,

$$M_{xy} = \iint_S z\delta \, d\sigma = \delta \iint_R z \frac{a}{z} \, dA = \delta a \iint_R dA = \delta a(\pi a^2) = \delta \pi a^3$$

$$\bar{z} = \frac{M_{xy}}{M} = \frac{\pi a^3 \delta}{2\pi a^2 \delta} = \frac{a}{2}$$

buluruz. Kabuğun kütle merkezi  $(0, 0, a/2)$  noktasıdır. ■

## ALIŞTIRMALAR 16.5

### Yüzey Alanı

- $x^2 + y^2 - z = 0$  paraboloidinden  $z = 2$  düzlemiyle kesilen yüzeyin alanını bulun.
- $x^2 + y^2 - z = 0$  paraboloidinden  $z = 2$  ve  $z = 6$  düzlemleri ile kesilen şeridin alanını bulun.
- $x + 2y + 2z = 5$  düzleminde duvarları  $x = y^2$  ve  $x = 2 - y^2$  olan silindirle kesilen bölgenin alanını bulun.
- $x^2 - 2z = 0$  yüzeyinin,  $xy$ -düzleminde  $x = \sqrt{3}$ ,  $y = 0$  ve  $y = x$  doğrularıyla sınırlı üçgenin üzerinde bulunan kısmının alanını bulun.
- $x^2 - 2y - 2z = 0$  yüzeyinin,  $xy$ -düzleminde  $x = 2$ ,  $y = 0$  ve  $y = 3x$  doğrularıyla sınırlı üçgenin üzerinde bulunan kısmının alanını bulun.
- $x^2 + y^2 + z^2 = 2$  küresinden  $z = \sqrt{x^2 + y^2}$  konisiyle kesilen kapağın alanını bulun.
- $z = cx$  ( $c$  sabittir) düzleminden  $x^2 + y^2 = 1$  silindiriyle kesilen elipsin alanını bulun.
- $x^2 + z^2 = 1$  silindirinin  $x = \pm 1/2$  ve  $y = \pm 1/2$  düzlemleri arasında kalan üst parçasının alanını bulun.
- $x = 4 - y^2 - z^2$  paraboloidinin,  $yz$ -düzlemindeki  $1 \leq y^2 + z^2 \leq 4$  halkasının üzerinde kalan kısmının alanını bulun.
- $x^2 + y + z^2 = 2$  paraboloidinden  $y = 0$  düzlemiyle kesilen yüzeyin alanını bulun.
- $x^2 - 2 \ln x + \sqrt{15}y - z = 0$  yüzeyinin  $xy$ -düzlemindeki  $R: 1 \leq x \leq 2$ ,  $0 \leq y \leq 1$  karesi üzerindeki kısmının alanını bulun.
- $2x^{3/2} + 2y^{3/2} - 3z = 0$  yüzeyinin,  $xy$ -düzlemindeki  $R: 0 \leq x \leq 1$ ,  $0 \leq y \leq 1$  karesi üzerindeki kısmının alanını bulun.

### Yüzey İntegralleri

- $g(x, y, z) = x + y + z$ 'yi birinci sekizde bir bölgeden  $x = a$ ,  $y = a$ ,  $z = a$  düzlemleriyle kesilen küp yüzeyi üzerinde integre edin.

- $g(x, y, z) = y + z$ 'yi birinci sekizde bir bölgede, koordinat eksenleri ve  $x = 2$  ile  $y + z = 1$  düzlemleriyle sınırlı takozun yüzeyi üzerinde integre edin.
- $g(x, y, z) = xyz$ 'yi birinci sekizde bir bölgeden  $x = a$ ,  $y = b$  ve  $z = c$  düzlemleriyle kesilen dikdörtgenler prizmasının yüzeyinde integre edin.
- $g(x, y, z) = xyz$ 'yi  $x = \pm a$ ,  $y = \pm b$  ve  $z = \pm c$  düzlemleriyle sınırlı cismin yüzeyi üzerinde integre edin.
- $g(x, y, z) = x + y + z$ 'yi  $2x + 2y + z = 2$  düzleminin birinci sekizde bir bölgedeki kısmı üzerinde integre edin.
- $g(x, y, z) = x\sqrt{y^2 + 4}$  ü  $y^2 + 4z = 16$  parabolik silindirinden  $x = 0$ ,  $x = 1$  ve  $z = 0$  düzlemleriyle kesilen yüzey üzerinde integre edin.

### Bir Yüzeydeki Açı

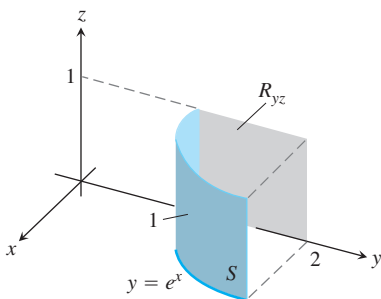
19 ve 20 alıştırmalarında,  $\mathbf{F}$  alanının verilen yüzey üzerinden belirtilen yöndeki akısını bulun.

- $\mathbf{F}(x, y, z) = -\mathbf{i} + 2\mathbf{j} + 3\mathbf{k}$   
S:  $z = 0$ ,  $0 \leq x \leq 2$ ,  $0 \leq y \leq 3$  dikdörtgen yüzeyi, yön  $\mathbf{k}$
- $\mathbf{F}(x, y, z) = yx^2\mathbf{i} - 2\mathbf{j} + xz\mathbf{k}$   
S:  $y = 0$ ,  $-1 \leq x \leq 2$ ,  $2 \leq z \leq 7$  dikdörtgen yüzeyi, yön  $-\mathbf{j}$

21–26 alıştırmalarında,  $\mathbf{F}$  alanının  $x^2 + y^2 + z^2 = a^2$  küresinin birinci sekizde bir bölgedeki kısmında orijinden uzaklaşan yönde olan akısını bulun.

- $\mathbf{F}(x, y, z) = z\mathbf{k}$
- $\mathbf{F}(x, y, z) = -y\mathbf{i} + x\mathbf{j}$
- $\mathbf{F}(x, y, z) = y\mathbf{i} - x\mathbf{j} + \mathbf{k}$
- $\mathbf{F}(x, y, z) = zx\mathbf{i} + zy\mathbf{j} + z^2\mathbf{k}$
- $\mathbf{F}(x, y, z) = x\mathbf{i} + y\mathbf{j} + z\mathbf{k}$
- $\mathbf{F}(x, y, z) = \frac{x\mathbf{i} + y\mathbf{j} + z\mathbf{k}}{\sqrt{x^2 + y^2 + z^2}}$

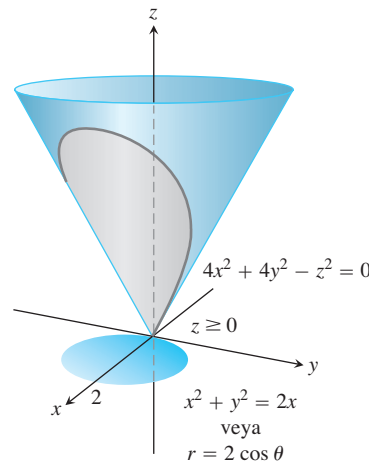
27.  $\mathbf{F}(x, y, z) = z^2\mathbf{i} + x\mathbf{j} - 3z\mathbf{k}$  alanının  $z = 4 - y^2$  silindirinden  $x = 0$ ,  $x = 1$  ve  $z = 0$  düzlemeyle kesilen yüzeyden dışarı doğru akısını bulun.
28.  $\mathbf{F}(x, y, z) = 4x\mathbf{i} + 4y\mathbf{j} + 2\mathbf{k}$  alanının  $z = x^2 + y^2$  paraboloidinin dişinden  $z = 1$  düzlemeyle kesilen yüzeyden dışarı doğru ( $z$ -ekseninden uzağa) akısını bulun.
29.  $S, y = e^x$  silindirinin,  $yz$ -düzlemine ( $x$ -eksenine paralel olarak) izdüşümü  $R_{yz}$ :  $1 \leq y \leq 2$ ,  $0 \leq z \leq 1$  dikdörtgeni olan, birinci sekizde bir bölgedeki kısmı olsun (Şekle bakın).  $\mathbf{n}$  de,  $S$  yüzeyinin  $yz$ -düzleminde uzaklaşan birim normali olsun.  $\mathbf{F}(x, y, z) = -2\mathbf{i} + 2y\mathbf{j} + z\mathbf{k}$  alanının  $S$  üzerinde  $\mathbf{n}$  yönündeki akısını bulun.



30.  $S, y = \ln x$  silindirinin,  $xz$ -düzlemine ( $y$ -eksenine paralel olarak) izdüşümü  $R_{xz}$ :  $1 \leq x \leq e$ ,  $0 \leq z \leq 1$  dikdörtgeni olan, birinci sekizde bir bölgedeki kısmı olsun.  $\mathbf{n}$  de,  $S$ 'ye normal ve  $xz$ -düzleminde uzaklaşan birim vektör olsun.  $\mathbf{F} = 2y\mathbf{j} + z\mathbf{k}$  nin  $S$  üzerinde  $\mathbf{n}$  yönündeki akısını bulun.
31.  $\mathbf{F} = 2xy\mathbf{i} + 2yz\mathbf{j} + 2xz\mathbf{k}$  alanının birinci sekizde bir bölgeden  $x = a$ ,  $y = a$ ,  $z = a$  düzlemleriyle kesilen küpün yüzeyinden dışarı doğru akısını bulun.
32.  $\mathbf{F} = xz\mathbf{i} + yz\mathbf{j} + \mathbf{k}$  alanının  $x^2 + y^2 + z^2 \leq 25$  küresinden  $z = 3$  düzlemeyle kesilen üst kapağın yüzeyindeki dışarı doğru akısını bulun.

### Momentler ve Kütleler

33. **Merkez**  $x^2 + y^2 + z^2 = a^2$  küresinin birinci sekizde bir bölgedeki kısmının merkezini bulun.
34. **Merkez**  $y^2 + z^2 = 9$ ,  $z \geq 0$  silindirinden  $x = 0$  ve  $x = 3$  düzlemleriyle kesilen yüzeyin merkezini bulun (Örnek 4'teki yüzeye benzer).
35. **Sabit yoğunluklu ince kabuk**  $x^2 + y^2 - z^2 = 0$  konisinden  $z = 1$  ve  $z = 2$  düzlemleriyle kesilen sabit  $\delta$  yoğunluklu ince bir kabuğun kütleyi ve  $z$ -ekseni etrafındaki eylemsizlik momentiyle jirasyon yarıçapını bulun.
36. **Sabit yoğunluklu konik yüzey**  $4x^2 + 4y^2 - z^2 = 0$ ,  $z \geq 0$  konisinden  $x^2 + y^2 = 2x$  dairesel silindiri ile kesilen sabit  $\delta$  yoğunluklu ince kabuğun  $z$ -ekseni etrafındaki eylemsizlik momentini bulun (Şekle bakın).



### Küresel kabuklar

- $a$  yarıçaplı ve sabit  $\delta$  yoğunluklu ince küresel bir kabuğun bir çapı etrafındaki eylemsizlik momentini bulun (Bir yarım küresel kabukla çalışın ve sonucun iki katını alın).
- Paralel Eksen Teoremini (Ağustırmalar 15.5) ve (a) şıklındaki sonucu kullanarak kabuğa teget bir doğuya göre eylemsizlik momentini bulun.
- Dondurmalı ve dondurmasız koniler** Taban yarıçapı  $a$  ve yüksekliği  $h$  olan bir koninin yan yüzeyinin (konî yüzeyi eksit taban yüzeyi) merkezini bulun.
- Pappus formülü (Ağustırmalar 15.5) ve (a) şıklındaki sonucu kullanarak bir koninin bütün yüzeyinin (yan artı taban) merkezini bulun.
- $a$  yarıçaplı ve  $h$  yükseklikli bir koni bir dondurma külâhına benzeyen bir yüzey oluşturacak şekilde bir yarım küreyle bilesitiriliyor. Pappus formülü ve (a) şıkları ile Örnek 5'in sonuçlarını kullanarak  $S$ 'nin merkezini bulun. Merkezi, yarım küre ve koninin paylaştıkları yüzeye yerleştirmek için koni ne kadar yüksek olmalıdır?

### Yüzey Alanı İçin Özel Formüller

$S, xy$ -düzlemindeki bir  $R_{xy}$  bölgesinde birinci mertebe kısmi türevleri sürekli olan bir  $z = f(x, y)$  fonksiyonuyla tanımlanan bir yüzeyse (Şekil 16.49),  $S$  aynı zamanda  $F(x, y, z) = f(x, y) - z$  fonksiyonunun,  $F(x, y, z) = 0$  seviye yüzeyidir.  $R_{xy}$ 'nın birim vektörünü  $\mathbf{p} = \mathbf{k}$  olarak almak

$$|\nabla F| = |f_x\mathbf{i} + f_y\mathbf{j} - \mathbf{k}| = \sqrt{f_x^2 + f_y^2 + 1}$$

$$|\nabla F \cdot \mathbf{p}| = |(f_x\mathbf{i} + f_y\mathbf{j} - \mathbf{k}) \cdot \mathbf{k}| = |-1| = 1$$

ve

$$\iint_{R_{xy}} \frac{|\nabla F|}{|\nabla F \cdot \mathbf{p}|} dA = \iint_{R_{xy}} \sqrt{f_x^2 + f_y^2 + 1} dx dy, \quad (11)$$

verir.

Benzer şekilde,  $yz$ -düzlemindeki bir  $R_{yz}$  bölgesinin üzerindeki düzgün bir  $x = f(y, z)$  yüzeyinin alanı

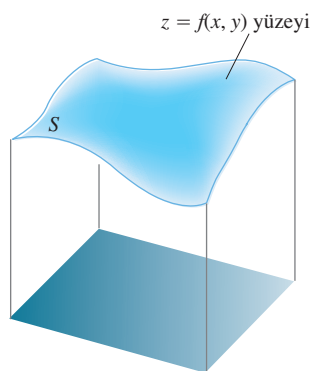
$$A = \iint_{R_{yz}} \sqrt{f_y^2 + f_z^2 + 1} dy dz. \quad [12]$$

ve  $xz$ -düzlemindeki bir  $R_{xz}$  bölgesinin üzerindeki düzgün bir  $y = f(x, z)$  yüzeyinin alanı

$$A = \iint_{R_{xz}} \sqrt{f_x^2 + f_z^2 + 1} dx dz \quad [13]$$

olur. (11)–(13) denklemelerini kullanarak 39–44 alıştırmalarındaki yüzeylerin alanlarını bulun.

- 39.  $z = x^2 + y^2$  paraboloidinin altından  $z = 3$  düzlemeyle kesilen yüzey.
- 40.  $x = 1 - y^2 - z^2$  paraboloidinin “burnundan”  $yz$ -düzlemeyle kesilen yüzey.
- 41.  $z = \sqrt{x^2 + y^2}$  konisinin  $xy$ -düzlemindeki  $x^2 + y^2 = 1$  çemberi ile  $9x^2 + 4y^2 = 36$  elipsinin arasında kalan bölgenin üzerindeki kısmı (*İpucu:* Bölgenin alanını bulmak için geometri formülleri kullanın).
- 42.  $2x + 6y + 3z = 6$  düzleminden birinci sekizde bir bölgenin sınır düzlemleriyle kesilen üçgen. Alanı, her alan formülü için bir kere olmak üzere, üç yoldan hesaplayın



**SEKİL 16.49** Bir  $z = f(x, y)$  yüzeyi için, (3) Denklemindeki alan formülü

$$A = \iint_{R_{xy}} \sqrt{f_x^2 + f_y^2 + 1} dx dy \quad \text{halini alır.}$$

- 43.  $y = (2/3)z^{3/2}$  silindirinden  $x = 1$  ve  $y = 16/3$  düzlemleriyle birinci sekizde bir bölgедeki yüzey.
- 44.  $y + z = 4$  düzleminin,  $xz$ -düzleminin birinci dörtte bir bölgесinden  $x = 4 - z^2$  parabolüyle kesilen bölgenin üzerindeki kısmı.

## 16.6 Parametrize Yüzeyler

### Parametrize Yüzeyler

Düzleme eğrileri üç farklı şekilde tanımladık:

Açık şekil:

$$y = f(x)$$

Kapalı şekil:

$$F(x, y) = 0$$

Parametrik vektör şekil:

$$\mathbf{r}(t) = f(t)\mathbf{i} + g(t)\mathbf{j}, \quad a \leq t \leq b$$

Uzayda yüzeyler için benzer tanımlarımız vardır:

Açık şekil:  $z = f(x, y)$

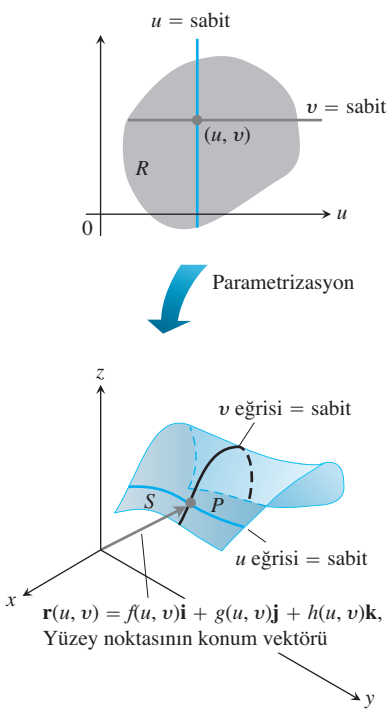
Kapalı şekil:  $F(x, y, z) = 0$

Ayrıca bir yüzey üzerindeki bir noktanın konumunu iki değişkenli bir vektör fonksiyon olarak veren bir parametrik şekil daha vardır. Bu bölüm yüzey alanı ve yüzey integralleri araştırmamızı parametrik olarak tanımlanan yüzeylere genişletir.

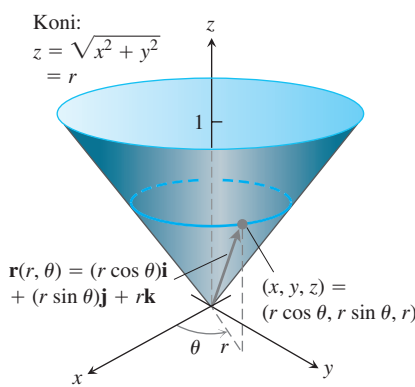
### Yüzeylerin Parametrizasyonu

$$\mathbf{r}(u, v) = f(u, v)\mathbf{i} + g(u, v)\mathbf{j} + h(u, v)\mathbf{k} \quad [1]$$

$uv$ -düzleminde bulunan bir  $R$  bölgesinde tanımlı ve  $R'$  nin içinde bire-bir olan sürekli bir vektör fonksiyon olsun (Şekil 16.50).  $\mathbf{r}'$  nin görüntü bölgesine,  $\mathbf{r}$  tarafından tanımlanan veya çizilen  $S$  yüzeyi deriz. (1) Denklemi  $R$  bölgesi ile birlikte yüzeyin bir **parametrizasyonunu** oluşturur.  $u$  ve  $v$  değişkenleri **parametreler** ve  $R$  **parametre bölge**dir.



**ŞEKİL 16.50** Bir  $R$  bölgesi üzerinde tanımlı, iki değişkenli bir vector fonksiyonu olarak ifade edilmiş parametrize bir  $S$  yüzeyi.



**ŞEKİL 16.51** Örnek 1'deki koni silindirik koordinatlar kullanılarak parametrize edilebilir.

Tartışmamızı basitleştirmek için,  $R$ 'yi  $a \leq u \leq b$ ,  $c \leq v \leq d$  şeklinde eşitsizliklerle tanımlanan dikdörtgenler olarak alacağız.  $R$ 'nin içinde  $\mathbf{r}$ 'nin bire-bir olması koşulu  $S$ 'nin kendisini kesmemesini garantiyor. (1) Denkleminin

$$x = f(u, v), \quad y = g(u, v), \quad z = h(u, v)$$

parametrik denklemlerinin vektör eşdeğeri olduğuna dikkat edin.

### ÖRNEK 1 Bir Koniyi Parametrelemek

Aşağıdaki koninin bir parametrizasyonunu bulun.

$$z = \sqrt{x^2 + y^2}, \quad 0 \leq z \leq 1$$

**Cözüm** Burada, silindirik koordinatlar gereklidir.  $x = r \cos \theta$ ,  $y = r \sin \theta$  ve  $z = \sqrt{x^2 + y^2} = r$  ile tanımlanır. (1) Denkleminde  $u = r$  ve  $v = \theta$  almak

$$\mathbf{r}(r, \theta) = (r \cos \theta)\mathbf{i} + (r \sin \theta)\mathbf{j} + r\mathbf{k}, \quad 0 \leq r \leq 1, \quad 0 \leq \theta \leq 2\pi$$

parametrizasyonunu verir. ■

### ÖRNEK 2 Bir Küreyi Parametrelemek

$x^2 + y^2 + z^2 = a^2$  küresinin bir parametrizasyonunu bulun.

**Cözüm** Küresel koordinatlar gereklidir. Küre üzerindeki bir  $(x, y, z)$  noktası (Şekil 16.52)  $x = a \sin \phi \cos \theta$ ,  $y = a \sin \phi \sin \theta$  ve  $z = a \cos \phi$ ,  $0 \leq \phi \leq \pi$ ,  $0 \leq \theta \leq 2\pi$  ile tanımlanır. (1) Denkleminde  $u = \phi$  ve  $v = \theta$  almak

$$\mathbf{r}(\phi, \theta) = (a \sin \phi \cos \theta)\mathbf{i} + (a \sin \phi \sin \theta)\mathbf{j} + (a \cos \phi)\mathbf{k}$$

$$0 \leq \phi \leq \pi, \quad 0 \leq \theta \leq 2\pi$$

parametrizasyonunu verir. ■

### ÖRNEK 3 Bir Silindiri Parametrelemek

Aşağıdaki silindirin bir parametrizasyonunu bulun.

$$x^2 + (y - 3)^2 = 9, \quad 0 \leq z \leq 5$$

**Cözüm** Silindirik koordinatlarda, bir  $(x, y, z)$  noktası  $x = r \cos \theta$ ,  $y = r \sin \theta$  ve  $z = z$  ile tanımlanır.  $x^2 + (y - 3)^2 = 9$  silindiri üzerindeki noktalar için (Şekil 16.53) denklem,  $xy$ -düzleminde silindir tabanının kutupsal denklemi ile aynıdır:

$$x^2 + (y^2 - 6y + 9) = 9$$

$$r^2 - 6r \sin \theta = 0$$

veya

$$r = 6 \sin \theta, \quad 0 \leq \theta \leq \pi$$

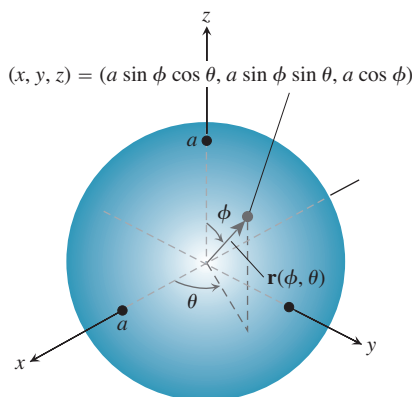
olur. Bu nedenle silindir üzerindeki tipik bir nokta

$$x = r \cos \theta = 6 \sin \theta \cos \theta = 3 \sin 2\theta$$

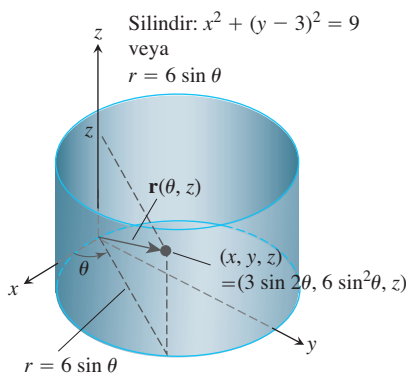
$$y = r \sin \theta = 6 \sin^2 \theta$$

$$z = z$$

şeklindedir.



**ŞEKİL 16.52** Örnek 2'deki küre, küresel koordinatlar kullanılarak parametrelenebilir.



**ŞEKİL 16.53** Örnek 3'teki silindir, silindirik koordinatlar kullanılarak parametrelenebilir.

(1) Denkleminde  $u = \theta$  ve  $v = z$  almak

$$\mathbf{r}(\theta, z) = (3 \sin 2\theta)\mathbf{i} + (6 \sin^2 \theta)\mathbf{j} + z\mathbf{k}, \quad 0 \leq \theta \leq \pi, \quad 0 \leq z \leq 5$$

parametrisasyonunu verir.

### Yüzey Alanı

Amacımız

$$\mathbf{r}(u, v) = f(u, v)\mathbf{i} + g(u, v)\mathbf{j} + h(u, v)\mathbf{k}, \quad a \leq u \leq b, \quad c \leq v \leq d$$

parametrisasyonu ile tanımlanan eğrisel bir  $S$  yüzeyinin alanını hesaplamak için iki katlı bir integral bulmaktır. Başlamak üzere olduğumuz kuruluş için  $S$ 'nin düzgün olmasına gerek duyarız. Düzgünliğin tanımı  $\mathbf{r}$ 'nin  $u$  ve  $v$ 'ye göre kısmi türevlerini içerir:

$$\mathbf{r}_u = \frac{\partial \mathbf{r}}{\partial u} = \frac{\partial f}{\partial u}\mathbf{i} + \frac{\partial g}{\partial u}\mathbf{j} + \frac{\partial h}{\partial u}\mathbf{k}$$

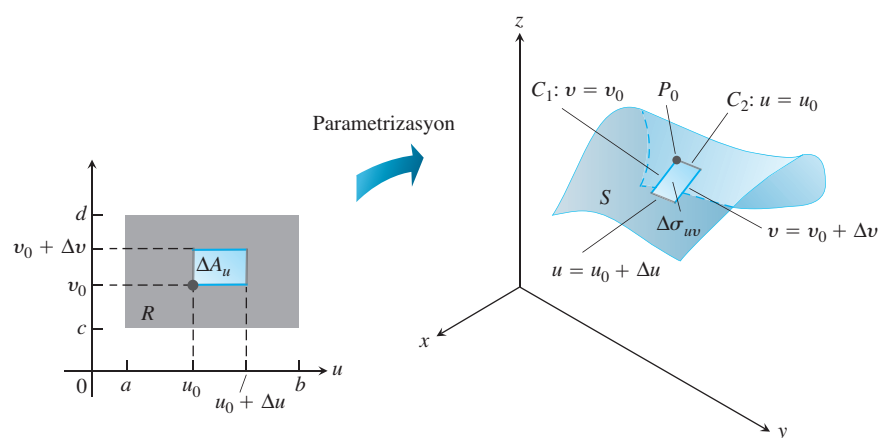
$$\mathbf{r}_v = \frac{\partial \mathbf{r}}{\partial v} = \frac{\partial f}{\partial v}\mathbf{i} + \frac{\partial g}{\partial v}\mathbf{j} + \frac{\partial h}{\partial v}\mathbf{k}$$

### TANIM Düzgün parametrize yüzey

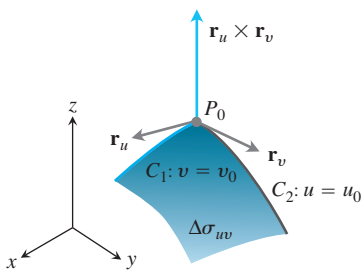
Parametrize bir  $\mathbf{r}(u, v) = f(u, v)\mathbf{i} + g(u, v)\mathbf{j} + h(u, v)\mathbf{k}$  yüzeyi, parametre aralığında  $\mathbf{r}_u$  ve  $\mathbf{r}_v$  sürekli ve  $\mathbf{r}_u \times \mathbf{r}_v$  hiçbir zaman sıfır olmuyorsa, **düzgündür**.

Düzgünliğin tanımındaki  $\mathbf{r}_u \times \mathbf{r}_v$  vektörel çarpımının hiçbir zaman sıfır olmaması şartı,  $\mathbf{r}_u$  ve  $\mathbf{r}_v$  vektörlerinin sıfır olmamaları ve hiçbir zaman aynı doğru üzerinde olmamaları demektir, dolayısıyla her zaman yüzeyin bir teget düzlemini tanımlarlar.

Şimdi kenarları  $u = u_0$ ,  $u = u_0 + \Delta u$ ,  $v = v_0$  ve  $v = v_0 + \Delta v$  doğruları üzerinde olmak üzere  $R$ 'de bir  $\Delta A_{uv}$  dikdörtgeni düşünün (Şekil 16.54).  $\Delta A_{uv}$ 'nin her kenarı  $S$  yüzeyi üzerinde bir eğri üzerine tasvir edilir ve bu dört eğri birlikte “eğrisel alan elemanı”  $\Delta \sigma_{uv}$ 'yi oluştururlar. Şeklin gösterimiyle,  $v = v_0$  kenarı bir  $C_1$  eğrisine,  $u = u_0$  kenarı bir  $C_2$  eğrisine gider ve ortak köşeleri  $(u_0, v_0)$  da  $P_0$ 'a gider.



**ŞEKİL 16.54**  $uv$ -düzlemindeki dikdörtgen bir  $\Delta A_{uv}$  alan elemanı  $S$  üzerinde eğri bir  $\Delta \sigma_{uv}$  alan elemanına gider.



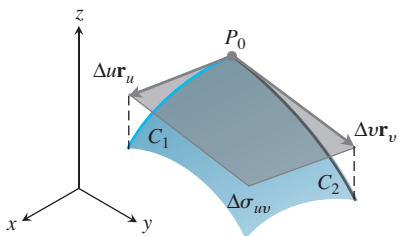
**ŞEKİL 16.55** Yüzey alan elemanı  $\Delta\sigma_{uv}$ 'nin  
büyütülmüş bir görüntüsü.

Şekil 16.55,  $\Delta\sigma_{uv}$ 'nin büyütülmüş bir görüntüsünü verir.  $\mathbf{r}_u(u_0, v_0)$  vektörü  $C_1$ 'e  $P_0$ 'da teğettir. Benzer şekilde,  $\mathbf{r}_v(u_0, v_0)$   $C_2$ 'ye  $P_0$ 'da teğettir.  $\mathbf{r}_u \times \mathbf{r}_v$  vektörel çarpımı yüzeye  $P_0$ 'da normaldir (İşte burada  $S$  nin düzgün olduğu varsayımini kullanmaya başladık).  $\mathbf{r}_u \times \mathbf{r}_v \neq 0$  olduğundan emin olmak istiyoruz).

Şimdi yüzey elemanı  $\Delta\sigma_{uv}$ 'ye kenarları  $\Delta ur_u$  ve  $\Delta vr_v$  vektörleriyle belirlenen teğet düzlemden paralelkenarla yaklaşımda bulunuruz (Şekil 16.56). Bu paralelkenarın alanı söyledir:

$$|\Delta u \mathbf{r}_u \times \Delta v \mathbf{r}_v| = |\mathbf{r}_u \times \mathbf{r}_v| \Delta u \Delta v \quad [2]$$

$R$  bölgesinin  $uv$ -düzleminde  $\Delta A_{uv}$  dikdörtgen bölgeleri ile bölünüşü  $S$  yüzeyinin  $\Delta\sigma_{uv}$  yüzey alan elemanlarıyla bölünüşünü verir. Her  $\Delta\sigma_{uv}$  yüzey elemanın alanına (2) denklemindeki paralelkenarla yaklaşımda bulunuruz ve  $S'$ nin alanına bir yaklaşım elde etmek için bu alanları toplarız:



**ŞEKİL 16.56**  $\Delta u \mathbf{r}_u$  ve  $\Delta v \mathbf{r}_v$  vektörleriyle belirlenen paralelkenar  $\Delta\sigma_{uv}$  yüzey alan elemanına yaklaşımda bulunur.

$\Delta u$  ve  $\Delta v$  bağımsız olarak sıfıra giderken,  $\mathbf{r}_u$  ve  $\mathbf{r}_v$ 'nin sürekliliği (3) Denklemindeki toplamın iki katı  $\int_c^d \int_a^b |\mathbf{r}_u \times \mathbf{r}_v| du dv$  integraline yaklaşmasını garantisler. Bu iki katlı integral  $S$  yüzeyinin alanını tanımlar ve daha genel olmasına rağmen alanın daha önceki tanımları ile uyusur.

## TANIM Düzgün Bir Yüzeyin Alanı

$$\mathbf{r}(u, v) = f(u, v)\mathbf{i} + g(u, v)\mathbf{j} + h(u, v)\mathbf{k}, \quad a \leq u \leq b, \quad c \leq v \leq d$$

düzgün yüzeyinin **alanı**

$$A = \int_c^d \int_a^b |\mathbf{r}_u \times \mathbf{r}_v| du dv \quad [4]$$

ile verilir.

Bölüm 16.5'te olduğu gibi, (4) Denklemindeki integrali,  $|\mathbf{r}_u \times \mathbf{r}_v| du dv$  yerine  $d\sigma$  yazarak kısaltabiliriz.

**Yüzey Alanı Diferansiyeli ve Yüzey Alanı İçin Diferansiyel Formül**

$$d\sigma = |\mathbf{r}_u \times \mathbf{r}_v| du dv \quad \iint_S d\sigma \quad [5]$$

## Yüzey alan diferansiyeli

Yüzey alan için  
diferansiyel formül

#### **ÖRNEK 4** Yüzey Alanı Bulmak (Konı)

Örnek 1'deki koninin yüzey alanını bulun (Şekil 16.51).

### **Cözüm** Örnek 1'de

$$\mathbf{r}(r, \theta) = (r \cos \theta)\mathbf{i} + (r \sin \theta)\mathbf{j} + r\mathbf{k}, \quad 0 \leq r \leq 1, \quad 0 \leq \theta \leq 2\pi$$

parametrisasyonunu bulmustuk.

(4) Denklemini uygulamak için, önce  $\mathbf{r}_r \times \mathbf{r}_\theta$ 'yi bulmamız gereklidir:

$$\begin{aligned}\mathbf{r}_r \times \mathbf{r}_\theta &= \begin{vmatrix} \mathbf{i} & \mathbf{j} & \mathbf{k} \\ \cos \theta & \sin \theta & 1 \\ -r \sin \theta & r \cos \theta & 0 \end{vmatrix} \\ &= -(r \cos \theta) \mathbf{i} - (r \sin \theta) \mathbf{j} + \underbrace{(r \cos^2 \theta + r \sin^2 \theta)}_r \mathbf{k}\end{aligned}$$

Yani,  $|\mathbf{r}_r \times \mathbf{r}_\theta| = \sqrt{r^2 \cos^2 \theta + r^2 \sin^2 \theta + r^2} = \sqrt{2r^2} = \sqrt{2}r$  olur. Koninin alanı

$$\begin{aligned}A &= \int_0^{2\pi} \int_0^1 |\mathbf{r}_r \times \mathbf{r}_\theta| dr d\theta \quad u = r, v = \theta \text{ ile (4) Denklemi} \\ &= \int_0^{2\pi} \int_0^1 \sqrt{2}r dr d\theta = \int_0^{2\pi} \frac{\sqrt{2}}{2} d\theta = \frac{\sqrt{2}}{2}(2\pi) = \pi\sqrt{2} \quad \text{birim kare}\end{aligned}$$

olarak bulunur. ■

### ÖRNEK 5 Yüzey Alanı Bulmak (Küre)

$a$  yarıçaplı bir kürenin yüzey alanını bulun.

**Çözüm** Örnek 2'deki parametrisasyonu kullanırız:

$$\mathbf{r}(\phi, \theta) = (a \sin \phi \cos \theta) \mathbf{i} + (a \sin \phi \sin \theta) \mathbf{j} + (a \cos \phi) \mathbf{k},$$

$$0 \leq \phi \leq \pi, \quad 0 \leq \theta \leq 2\pi$$

$\mathbf{r}_\phi \times \mathbf{r}_\theta$  için,

$$\begin{aligned}\mathbf{r}_\phi \times \mathbf{r}_\theta &= \begin{vmatrix} \mathbf{i} & \mathbf{j} & \mathbf{k} \\ a \cos \phi \cos \theta & a \cos \phi \sin \theta & -a \sin \phi \\ -a \sin \phi \sin \theta & a \sin \phi \cos \theta & 0 \end{vmatrix} \\ &= (a^2 \sin^2 \phi \cos \theta) \mathbf{i} + (a^2 \sin^2 \phi \sin \theta) \mathbf{j} + (a^2 \sin \phi \cos \phi) \mathbf{k}\end{aligned}$$

buluruz. Böylece,  $0 \leq \phi \leq \pi$  için,  $\sin \phi \geq 0$  olduğundan,

$$\begin{aligned}|\mathbf{r}_\phi \times \mathbf{r}_\theta| &= \sqrt{a^4 \sin^4 \phi \cos^2 \theta + a^4 \sin^4 \phi \sin^2 \theta + a^4 \sin^2 \phi \cos^2 \phi} \\ &= \sqrt{a^4 \sin^4 \phi + a^4 \sin^2 \phi \cos^2 \phi} = \sqrt{a^4 \sin^2 \phi (\sin^2 \phi + \cos^2 \phi)} \\ &= a^2 \sqrt{\sin^2 \phi} = a^2 \sin \phi\end{aligned}$$

elde edilir. Dolayısıyla kürenin alanı

$$\begin{aligned}A &= \int_0^{2\pi} \int_0^\pi a^2 \sin \phi d\phi d\theta \\ &= \int_0^{2\pi} \left[ -a^2 \cos \phi \right]_0^\pi d\theta = \int_0^{2\pi} 2a^2 d\theta = 4\pi a^2\end{aligned}$$

olur. Bu, kürenin iyi bilinen alanı ile uyusur. ■

### Yüzey İntegralerleri

Parametrize bir yüzeyin alanını hesaplama formülünü bulduğumuzu göre, artık bir fonksiyonu parametrize formu kullanarak yüzey üzerinde integre edebiliriz.

**TANIM Parametrik Yüzey İntegrali**

Düzungün  $S$  yüzeyi  $\mathbf{r}(u, v) = f(u, v)\mathbf{i} + g(u, v)\mathbf{j} + h(u, v)\mathbf{k}$ ,  $a \leq u \leq b$ ,  $c \leq v \leq d$ , ile parametrik olarak tanımlanmış ise ve  $G(x, y, z)$  de  $S$  üzerinde tanımlı sürekli bir fonksiyon ise,  **$G$ 'nin  $S$  üzerindeki integrali**

$$\iint_S G(x, y, z) d\sigma = \int_c^d \int_a^b G(f(u, v), g(u, v), h(u, v)) |\mathbf{r}_u \times \mathbf{r}_v| du dv$$

olarak verilir.

**ÖRNEK 6** Parametrik Olarak Tanımlanmış Bir Yüzey Üzerinde İntegrasyon

$G(x, y, z) = x^2$ ,  $y = z = \sqrt{x^2 + y^2}$ ,  $0 \leq z \leq 1$  konisi üzerinde integre edin.

**Çözüm** Örnek 1 ve 4'teki işlere devam ederek,  $|\mathbf{r}_r \times \mathbf{r}_\theta| = \sqrt{2}r$  ve

$$\begin{aligned} \iint_S x^2 d\sigma &= \int_0^{2\pi} \int_0^1 (r^2 \cos^2 \theta) (\sqrt{2}r) dr d\theta & x = r \cos \theta \\ &= \sqrt{2} \int_0^{2\pi} \int_0^1 r^3 \cos^2 \theta dr d\theta \\ &= \frac{\sqrt{2}}{4} \int_0^{2\pi} \cos^2 \theta d\theta = \frac{\sqrt{2}}{4} \left[ \frac{\theta}{2} + \frac{1}{4} \sin 2\theta \right]_0^{2\pi} = \frac{\pi \sqrt{2}}{4} \end{aligned}$$

buluruz. ■

**ÖRNEK 7** Akı Bulmak

$\mathbf{F} = yz\mathbf{i} + x\mathbf{j} - z^2\mathbf{k}$ 'nin  $y = x^2$ ,  $0 \leq x \leq 1$ ,  $0 \leq z \leq 4$ , parabolik silindirinden dışarı doğru akısını bulun (Şekil 16.57).

**Çözüm** Yüzey üzerinde,  $x = x$ ,  $y = x^2$  ve  $z = z$ 'dir, dolayısıyla otomatik olarak  $\mathbf{r}(x, z) = x\mathbf{i} + x^2\mathbf{j} + z\mathbf{k}$ ,  $0 \leq x \leq 1$ ,  $0 \leq z \leq 4$ , parametrizasyonunu elde ederiz. Teget vektörlerin vektörel çarpımı

$$\mathbf{r}_x \times \mathbf{r}_z = \begin{vmatrix} \mathbf{i} & \mathbf{j} & \mathbf{k} \\ 1 & 2x & 0 \\ 0 & 0 & 1 \end{vmatrix} = 2x\mathbf{i} - \mathbf{j}$$

olur. Yüzeyden dışarıya doğru birim normal

$$\mathbf{n} = \frac{\mathbf{r}_x \times \mathbf{r}_z}{|\mathbf{r}_x \times \mathbf{r}_z|} = \frac{2x\mathbf{i} - \mathbf{j}}{\sqrt{4x^2 + 1}}$$

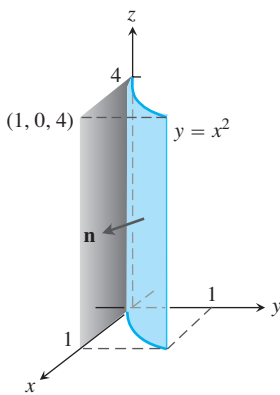
dir. Yüzey üzerinde,  $y = x^2$ 'dir, dolayısıyla vektör alanı

$$\mathbf{F} = yz\mathbf{i} + x\mathbf{j} - z^2\mathbf{k} = x^2z\mathbf{i} + x\mathbf{j} - z^2\mathbf{k}$$

haline gelir. Böylece

$$\begin{aligned} \mathbf{F} \cdot \mathbf{n} &= \frac{1}{\sqrt{4x^2 + 1}} ((x^2z)(2x) + (x)(-1) + (-z^2)(0)) \\ &= \frac{2x^3z - x}{\sqrt{4x^2 + 1}}. \end{aligned}$$

bulunur.



**ŞEKİL 16.57** Parabolik bir silindirin yüzeyi üzerindeki akıyı bulmak (Örnek 7).

$\mathbf{F}$ 'nin yüzeyden dışarıya akışı

$$\begin{aligned} \iint_S \mathbf{F} \cdot \mathbf{n} d\sigma &= \int_0^4 \int_0^1 \frac{2x^3z - x}{\sqrt{4x^2 + 1}} |\mathbf{r}_x \times \mathbf{r}_z| dx dz \\ &= \int_0^4 \int_0^1 \frac{2x^3z - x}{\sqrt{4x^2 + 1}} \sqrt{4x^2 + 1} dx dz \\ &= \int_0^4 \int_0^1 (2x^3z - x) dx dz = \int_0^4 \left[ \frac{1}{2}x^4z - \frac{1}{2}x^2 \right]_{x=0}^{x=1} dz \\ &= \int_0^4 \frac{1}{2}(z - 1) dz = \frac{1}{4}(z - 1)^2 \Big|_0^4 \\ &= \frac{1}{4}(9) - \frac{1}{4}(1) = 2 \end{aligned}$$

olarak bulunur. ■

### ÖRNEK 8 Bir Kütle Merkezi Bulmak

$z = \sqrt{x^2 + y^2}$  konisinden  $z = 1$  ve  $z = 2$  düzlemleriyle kesilen sabit  $\delta$  yoğunluklu ince kabuğun kütle merkezini bulun (Şekil 16.58).

**Çözüm** Yüzeyin  $z$ -ekseni etrafındaki simetrisi  $\bar{x} = \bar{y} = 0$  olduğunu söyleyelim.  $\bar{z} = M_{xy}/M$ 'yi bulacağız. Örnek 1 ve 4'teki gibi çalışarak,

$$\mathbf{r}(r, \theta) = r \cos \theta \mathbf{i} + r \sin \theta \mathbf{j} + r \mathbf{k}, \quad 1 \leq r \leq 2, \quad 0 \leq \theta \leq 2\pi$$

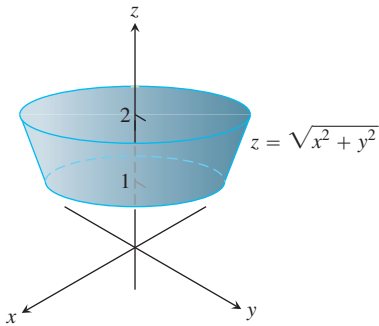
ve

$$|\mathbf{r}_r \times \mathbf{r}_\theta| = \sqrt{2}r$$

buluruz. Dolayısıyla,

$$\begin{aligned} M &= \iint_S \delta d\sigma = \int_0^{2\pi} \int_1^2 \delta \sqrt{2}r dr d\theta \\ &= \delta \sqrt{2} \int_0^{2\pi} \left[ \frac{r^2}{2} \right]_1^2 d\theta = \delta \sqrt{2} \int_0^{2\pi} \left( 2 - \frac{1}{2} \right) d\theta \\ &= \delta \sqrt{2} \left[ \frac{3\theta}{2} \right]_0^{2\pi} = 3\pi\delta\sqrt{2} \\ M_{xy} &= \iint_S \delta z d\sigma = \int_0^{2\pi} \int_1^2 \delta r \sqrt{2}r dr d\theta \\ &= \delta \sqrt{2} \int_0^{2\pi} \int_1^2 r^2 dr d\theta = \delta \sqrt{2} \int_0^{2\pi} \left[ \frac{r^3}{3} \right]_1^2 d\theta \\ &= \delta \sqrt{2} \int_0^{2\pi} \frac{7}{3} d\theta = \frac{14}{3}\pi\delta\sqrt{2} \\ \bar{z} &= \frac{M_{xy}}{M} = \frac{14\pi\delta\sqrt{2}}{3(3\pi\delta\sqrt{2})} = \frac{14}{9} \end{aligned}$$

olur. Kabuğun kütle merkezi  $(0, 0, 14/9)$  noktasıdır. ■



**SEKİL 16.58**  $z = \sqrt{x^2 + y^2}$  konisinin  $z = 1$  ve  $z = 2$  düzlemleri ile kesilmesiyle elde edilen kesik koni (Örnek 8).

## ALIŞTIRMALAR 16.6

### Yüzeylerin Parametrizasyonlarını Bulmak

1–16 alıştırmalarında, yüzeyin bir parametrizasyonunu bulun (Bunu yapmanın birçok doğru yolu vardır, o yüzden yanıtlarınız kitabın arkasındakiilerle aynı olmayabilir).

1.  $z = x^2 + y^2, z \leq 4$  paraboloidi
2.  $z = 9 - x^2 - y^2, z \geq 0$  paraboloidi
3. **Kesik koni**  $z = \sqrt{x^2 + y^2}/2$  konisinin birinci sekizde bir bölgede,  $z = 0$  ve  $z = 3$  düzlemleri arasında kalan kısmı
4. **Kesik koni**  $z = 2\sqrt{x^2 + y^2}$  konisinin  $z = 2$  ve  $z = 4$  düzlemleri arasında kalan kısmı
5. **Küresel kapak**  $x^2 + y^2 + z^2 = 9$  küresinden  $z = \sqrt{x^2 + y^2}$  konisiyle kesilen kapak
6. **Küresel kapak**  $x^2 + y^2 + z^2 = 4$  küresinin birinci sekizde bir bölgede  $xy$ -düzlemi ile  $z = \sqrt{x^2 + y^2}$  konisi arasında kalan kısmı
7. **Küresel şerit**  $x^2 + y^2 + z^2 = 3$  küresinin  $z = \sqrt{3}/2$  ve  $z = -\sqrt{3}/2$  düzlemleri arasında kalan kısmı
8. **Küresel kapak**  $x^2 + y^2 + z^2 = 8$  küresinden  $z = -2$  düzlemeyle kesilen üst parça
9. **Düzlemler arasında parabolik silindir**  $z = 4 - y^2$  parabolik silindirinden  $x = 0, x = 2$  ve  $z = 0$  düzlemleriyle kesilen yüzey
10. **Düzlemler arasında parabolik silindir**  $y = x^2$  parabolik silindirinden  $z = 0, z = 3$  ve  $y = 2$  düzlemleriyle kesilen yüzey
11. **Dairesel silindirik şerit**  $y^2 + z^2 = 9$  silindirinin  $x = 0$  ve  $x = 3$  düzlemleri arasında kalan kısmı
12. **Dairesel silindirik şerit**  $x^2 + z^2 = 4$  silindirinin  $y = -2$  ve  $y = 2$  düzlemleri arasında kalan  $xy$ -düzleminin üzerindeki kısmı
13. **Silindir içinde düzlem**  $x + y + z = 1$  düzleminin
  - a.  $x^2 + y^2 = 9$  silindirinin içindeki kısmı
  - b.  $y^2 + z^2 = 9$  silindirinin içindeki kısmı
14. **Silindir içinde düzlem**  $x - y + 2z = 2$  düzleminin
  - a.  $x^2 + z^2 = 3$  silindirinin içindeki kısmı
  - b.  $y^2 + z^2 = 2$  silindirinin içindeki kısmı
15. **Dairesel silindirik şerit**  $(x - 2)^2 + z^2 = 4$  silindirinin  $y = 0$  ve  $y = 3$  düzlemleri arasında kalan kısmı
16. **Dairesel silindirik şerit**  $y^2 + (z - 5)^2 = 25$  silindirinin  $x = 0$  ve  $x = 10$  düzlemleri arasında kalan kısmı

### Parametrize Yüzeylerin Alanları

17–26 alıştırmalarında, yüzeyin alanını iki katlı bir integral olarak ifade etmek için bir parametrizasyon kullanın. Sonra integrali hesaplayın (İntegralleri kurmanın birçok doğru yolu vardır, o yüzden yanıtlarınız

kitabın arkasındakiilerle aynı olmayı bilir. Ancak değerleri aynı olmalıdır).

17. **Silindir içinde düzlem**  $y + 2z = 2$  düzleminin,  $x^2 + y^2 = 1$  silindirinin içindeki kısmı
18. **Silindir içinde düzlem**  $z = -x$  düzleminin,  $x^2 + y^2 = 4$  silindirinin içindeki kısmı
19. **Kesik koni**  $z = 2\sqrt{x^2 + y^2}$  konisinin  $z = 2$  ve  $z = 6$  düzlemleri arasında kalan kısmı
20. **Kesik koni**  $z = \sqrt{x^2 + y^2}/3$  konisinin  $z = 1$  ve  $z = 4/3$  düzlemleri arasında kalan kısmı
21. **Dairesel silindirik şerit**  $x^2 + y^2 = 1$  silindirinin  $z = 1$  ve  $z = 4$  düzlemleri arasında kalan kısmı
22. **Dairesel silindirik şerit**  $x^2 + z^2 = 10$  silindirinin  $y = -1$  ve  $y = 1$  düzlemleri arasında kalan kısmı
23. **Parabolik kapak**  $z = 2 - x^2 - y^2$  paraboloidinden  $z = \sqrt{x^2 + y^2}$  konisiyle kesilen kapak
24. **Parabolik şerit**  $z = x^2 + y^2$  paraboloidinin  $z = 1$  ve  $z = 4$  düzlemleri arasında kalan kısmı
25. **Kesik küre**  $x^2 + y^2 + z^2 = 2$  küresinden  $z = \sqrt{x^2 + y^2}$  konisiyle kesilen alt bölüm
26. **Küresel şerit**  $x^2 + y^2 + z^2 = 4$  küresinin  $z = -1$  ve  $z = \sqrt{3}$  düzlemleri arasındaki kısmı

### Parametrize Yüzeyler Üzerinde İntegraler

27–34 alıştırmalarında, verilen fonksiyonu verilen yüzey üzerinde integre edin.

27. **Parabolik silindir**  $y = x^2, 0 \leq x \leq 2, 0 \leq z \leq 3$ , parabolik silindiri üzerinde  $G(x, y, z) = x$
28. **Dairesel silindir**  $y^2 + z^2 = 4, z \geq 0, 1 \leq x \leq 4$ , silindirik yüzeyi üzerinde  $G(x, y, z) = z$
29. **Küre**  $x^2 + y^2 + z^2 = 1$  birim küresi üzerinde  $G(x, y, z) = x^2$
30. **Yarıı küre**  $x^2 + y^2 + z^2 = a^2, z \geq 0$  yarıı küresi üzerinde  $G(x, y, z) = z^2$
31. **Düzlem parçası**  $x + y + z = 4$  düzleminin,  $xy$ -düzlemindeki  $0 \leq x \leq 1, 0 \leq y \leq 1$ , karesinin üzerinde bulunan kısmı üzerinde  $F(x, y, z) = z$
32. **Koni**  $z = \sqrt{x^2 + y^2}, 0 \leq z \leq 1$  konisi üzerinde  $F(x, y, z) = z - x$
33. **Parabolik kubbe**  $z = 1 - x^2 - y^2, z \geq 0$  parabolik kubbesi üzerinde  $H(x, y, z) = x^2\sqrt{5 - 4z}$
34. **Küresel kapak**  $x^2 + y^2 + z^2 = 4$  küresinin  $z = \sqrt{x^2 + y^2}$  konisi üzerinde bulunan kısmı üzerinde  $H(x, y, z) = yz$

### Parametrize Yüzeyler Üzerinde Ağı

35–44 Alıştırmalarında,  $\iint_S \mathbf{F} \cdot \mathbf{n} d\sigma$  akısını yüzeye verilen yönde bulmak için bir parametrizasyon kullanın.

**35. Parabolik silindir**  $\mathbf{F} = z^2\mathbf{i} + x\mathbf{j} - 3z\mathbf{k}$ ,  $z = 4 - y^2$  parabolik silindrinden  $x = 0$ ,  $x = 1$  ve  $z = 0$  düzlemleriyle kesilen yüzeyden dışarı doğru ( $x$ -ekseninden uzaklaşan normal)

**36. Parabolik silindir**  $\mathbf{F} = x^2\mathbf{j} - xz\mathbf{k}$ ,  $y = x^2$ ,  $-1 \leq x \leq 1$ , parabolik silindrinden  $z = 0$  ve  $z = 2$  düzlemleriyle kesilen yüzeyden dışarı doğru ( $yz$ -düzleminde uzaklaşan normali)

**37. Küre**  $\mathbf{F} = z\mathbf{k}$ , birinci sekizde bir bölgede  $x^2 + y^2 + z^2 = a^2$  küresinden orijinden uzaklaşan yönde

**38. Küre**  $\mathbf{F} = x\mathbf{i} + y\mathbf{j} + z\mathbf{k}$ ,  $x^2 + y^2 + z^2 = a^2$  küresinden orijinden uzaklaşan yönde

**39. Düzlem**  $\mathbf{F} = 2xy\mathbf{i} + 2yz\mathbf{j} + 2xz\mathbf{k}$ ,  $x + y + z = 2a$  düzleminin,  $xy$ -düzlemindeki  $0 \leq x \leq a$ ,  $0 \leq y \leq a$ , karesinin üzerinde bulunan kısmından yukarı doğru

**40. Silindir**  $\mathbf{F} = x\mathbf{i} + y\mathbf{j} + z\mathbf{k}$ ,  $x^2 + y^2 = 1$  silindrinin  $z = 0$  ve  $z = a$  düzlemleriyle kesilen kısmından dışarı doğru.

**41. Koni**  $\mathbf{F} = xy\mathbf{i} - z\mathbf{k}$ ,  $z = \sqrt{x^2 + y^2}$ ,  $0 \leq z \leq 1$ , konisinden dışarı doğru ( $z$ -ekseninden uzaklaşan normal)

**42. Koni**  $\mathbf{F} = y^2\mathbf{i} + xz\mathbf{j} - \mathbf{k}$ ,  $z = 2\sqrt{x^2 + y^2}$ ,  $0 \leq z \leq 2$ , konisinden dışarı doğru ( $z$ -ekseninden uzaklaşan normal)

**43. Kesik koni**  $\mathbf{F} = -x\mathbf{i} - y\mathbf{j} + z^2\mathbf{k}$ ,  $z = \sqrt{x^2 + y^2}$  konisinin  $z = 1$  ve  $z = 2$  düzlemleriyle kesilen parçasından dışarı doğru ( $z$ -ekseninden uzaklaşan normal yönünde)

**44. Paraboloid**  $\mathbf{F} = 4x\mathbf{i} + 4y\mathbf{j} + 2\mathbf{k}$ ,  $z = x^2 + y^2$ , paraboloidinin altından  $z = 1$  düzlemeyle kesilen yüzeyinden dışarı ( $z$ -ekseninden uzaklaşan normal yönünde)

### Kütle ve Momentler

**45.**  $x^2 + y^2 + z^2 = a^2$  küresinin birinci sekizde bir bölgedeki kısmının merkezini bulun.

**46.**  $x^2 + y^2 + z^2 = 0$  konisinden  $z = 1$  ve  $z = 2$  düzlemleriyle kesilen sabit  $\delta$  yoğunluklu ince kabuğun kütle merkezini ve  $z$ -ekseni etrafındaki eylemsizlik momentiyle jirasyon yarıçapını bulun.

**47.** Sabit  $\delta$  yoğunluklu ince bir küresel  $x^2 + y^2 + z^2 = a^2$  kabuğunun  $z$ -ekseni etrafındaki eylemsizlik momentini bulun.

**48. Sabit  $\delta$  yoğunluklu ince bir konik**  $z = \sqrt{x^2 + y^2}$ ,  $0 \leq z \leq 1$ , kabuğunun  $z$ -ekseni etrafındaki eylemsizlik momentini bulun.

### Parametrize Yüzeylere Teğet Düzlemler

Parametrize bir  $\mathbf{r}(u, v) = f(u, v)\mathbf{i} + g(u, v)\mathbf{j} + h(u, v)\mathbf{k}$  yüzeyinin bir  $P_0(f(u_0, v_0), g(u_0, v_0), h(u_0, v_0))$  noktasındaki teğet düzlemi,  $P_0$ 'dan geçen ve  $P_0$ 'daki teğet vektörler  $\mathbf{r}_u(u_0, v_0)$  ve  $\mathbf{r}_v(u_0, v_0)$ 'ın vektörel çarpımı olan,  $\mathbf{r}_u(u_0, v_0) \times \mathbf{r}_v(u_0, v_0)$  vektörüne normal olan düzlemdir. 49–52 alıştırmalarında, verilen  $P_0$  noktasında yüzeye teğet olan düzlemleri bulun. Sonra yüzeyin Kartezyen denklemini bulun ve yüzeye teğet düzlemi birlikte çizin.

**49. Koni**  $\mathbf{r}(r, \theta) = (r \cos \theta)\mathbf{i} + (r \sin \theta)\mathbf{j} + r\mathbf{k}$ ,  $r \geq 0$ ,  $0 \leq \theta \leq 2\pi$ , konisi,  $(r, \theta) = (2, \pi/4)$ 'e karşı gelen  $P_0(\sqrt{2}, \sqrt{2}, 2)$  noktasında

**50. Yarı küre**  $\mathbf{r}(\phi, \theta) = (4 \sin \phi \cos \theta)\mathbf{i} + (4 \sin \phi \sin \theta)\mathbf{j} + (4 \cos \phi)\mathbf{k}$ ,  $0 \leq \phi \leq \pi/2$ ,  $0 \leq \theta \leq 2\pi$ , yarı küre yüzeyi,  $(\phi, \theta) = (\pi/6, \pi/4)$ 'e karşılık gelen  $P_0(\sqrt{2}, \sqrt{2}, 2\sqrt{3})$  noktasında

**51. Dairesel silindir**  $\mathbf{r}(\theta, z) = (3 \sin 2\theta)\mathbf{i} + (6 \sin^2 \theta)\mathbf{j} + z\mathbf{k}$ ,  $0 \leq \theta \leq \pi$ , silindiri,  $(\theta, z) = (\pi/3, 0)$ 'a karşılık gelen  $P_0(3\sqrt{3}/2, 9/2, 0)$  noktasında (Örnek 3'e bakın).

**52. Parabolik silindir**  $\mathbf{r}(x, y) = x\mathbf{i} + y\mathbf{j} - x^2\mathbf{k}$ ,  $-\infty < x < \infty$ ,  $-\infty < y < \infty$  parabolik silindir yüzeyi,  $(x, y) = (1, 2)$ 'ye karşılık gelen  $P_0(1, 2, -1)$  noktasında

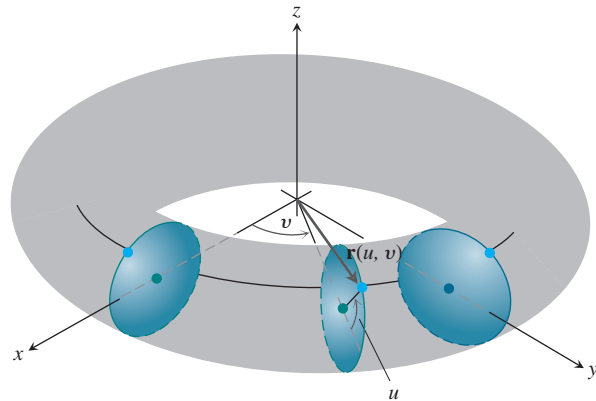
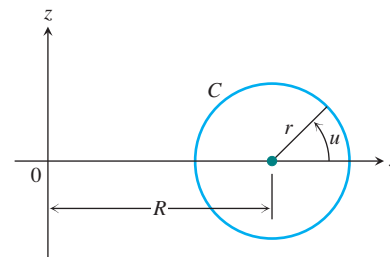
### Parametrizasyonun Başka Örnekleri

**53. a.** Bir *dönel torus* (simit)  $xz$ -düzlemindeki bir  $C$  çemberinin uzaya  $z$ -ekseni etrafında döndürülmesiyle üretilen yüzeydir. (Şekle bakın)  $C$ 'nin yarıçapı  $r > 0$  ve merkezi  $(R, 0, 0)$  ise, torusun bir parametrizasyonunun,  $0 \leq u \leq 2\pi$  ve  $0 \leq v \leq 2\pi$  şeklindeki açılar olmak üzere

$$\begin{aligned}\mathbf{r}(u, v) = & ((R + r \cos u)\cos v)\mathbf{i} \\ & + ((R + r \cos u)\sin v)\mathbf{j} + (r \sin u)\mathbf{k}\end{aligned}$$

olduğunu gösterin.

**b.** Torusun yüzey alanının  $A = 4\pi^2 Rr$  olduğunu gösterin.

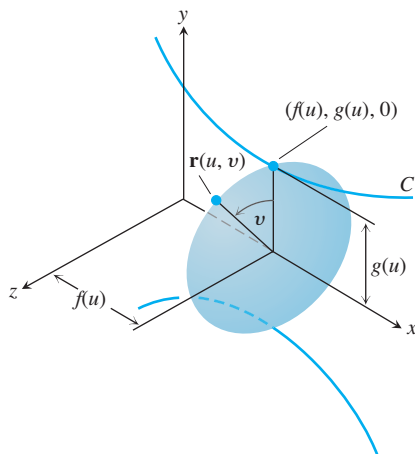


- 54. Bir dönel yüzeyin parametrelenmesi**  $a \leq u \leq b$  için  $g(u) > 0$  olmak üzere, parametrelenmiş  $C: (f(u), g(u))$  eğrisinin  $x$ -ekseni etrafında döndürildüğünü varsayıñ.

a.  $0 \leq v \leq 2\pi$ ,  $xy$ -düzlemiyle yüzey üzerindeki  $\mathbf{r}(u, v)$  noktası arasındaki açı olmak üzere, ortaya çıkan dönel yüzeyin bir parametrizasyonunun

$$\mathbf{r}(u, v) = f(u)\mathbf{i} + (g(u)\cos v)\mathbf{j} + (g(u)\sin v)\mathbf{k}$$

olduðunu gösterin (Aşağıdaki şekele bakın).  $f(u)$ 'nun dönme ekseni boyunca uzaklıðı,  $g(u)$ 'nun ise dönme ekseninden uzaklıðı ölüþtüğüne dikkat edin.



- b.  $x = y^2$ ,  $y \geq 0$ , eğrisinin  $x$ -ekseni etrafında döndürülmesiyle üretilen yüzeyin parametrizasyonunu bulun.

- 55. a. Bir elipsoidin parametrelenmesi**  $(x^2/a^2) + (y^2/b^2) = 1$  elipsoidin  $x = a \cos \theta$ ,  $y = b \sin \theta$ ,  $0 \leq \theta \leq 2\pi$ , parametrizasyonunu hatırlayın (Bölüm 3.5, Örnek 13).  $\theta$  ve  $\phi$  açılarını küresel koordinatlarda tanımladığı gibi kullanarak,  $(x^2/a^2) + (y^2/b^2) + (z^2/c^2) = 1$  elipsoidinin bir parametrizasyonunu

$$\mathbf{r}(\theta, \phi) = (a \cos \theta \cos \phi)\mathbf{i} + (b \sin \theta \cos \phi)\mathbf{j} + (c \sin \phi)\mathbf{k}$$

olduðunu gösterin.

- b. Elipsoidin yüzey alanı için bir integral yazın, ama integrali hesaplamayın.

#### 56. Tek parçalı hiperboloid

- a. Tek parçadan ibaret  $x^2 + y^2 - z^2 = 1$  hiperboloidi için,  $x^2 + y^2 = r^2$  çemberi ile ilişkili  $\theta$  açısı ve  $r^2 - z^2 = 1$  hiperbolik fonksiyonuyla ilişkili hiperbolik  $u$  parametresi cinsinden bir parametrizasyon bulun. (Bölüm 7.8, Alıştırma 84'e bakın.)

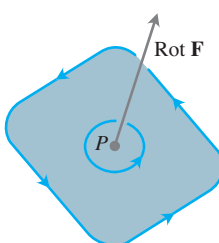
- b. (a) şıklındaki sonucu  $(x^2/a^2) + (y^2/b^2) - (z^2/c^2) = 1$  hiperboloidine genelleştirir.

- 57. (Alıştırma 56'nın devamı)**  $x^2 + y^2 - z^2 = 25$  hiperboloidine,  $x_0^2 + y_0^2 = 25$  olmak üzere,  $(x_0, y_0, 0)$  noktasında teget olan düzlemin Kartezyen denklemini bulun.

- 58. İki parçalı hiperboloid**  $(z^2/c^2) - (x^2/a^2) - (y^2/b^2) = 1$  hiperboloidinin bir parametrizasyonunu bulun.

## 16.7

### Stokes Teoremi



**ŞEKİL 16.59** Üç boyutlu bir akışkan akışında bir düzlemin bir  $P$  noktasındaki dolaþım vektörü. Dolaþım eğrisiyle sağ el kuralına uygun ilişkisine dikkat edin.

Bölüm 16.4'te gördüğümüz gibi, iki boyutlu bir  $\mathbf{F} = M\mathbf{i} + N\mathbf{j}$  alanının bir  $(x, y)$  noktasındaki dolaþım yoğunluğu veya rotasyonel bileşeni,  $(\partial N / \partial x - \partial M / \partial y)$  skaler büyülüklüğü ile tanımlanır. Üç boyutta, bir düzlemin bir  $P$  noktasındaki dolaþım bir vektörle tanımlanır. Bu vektör dolaþım düzlemine normaldir (Şekil 16.59) ve kendisine, dolaþım eğrisiyle sağ el kuralına uygun bir ilişki sağlayan bir yönü gösterir. Vektörün uzunluğu akışın dönüş hızını verir ve genellikle dolaþım düzleminin  $P$ 'deki eğikliği ile deðiþir.  $\mathbf{F} = M\mathbf{i} + N\mathbf{j} + P\mathbf{k}$  alanı ile bir akışta en büyük dolaþımlı vektörün

$$\text{rot } \mathbf{F} = \left( \frac{\partial P}{\partial y} - \frac{\partial N}{\partial z} \right) \mathbf{i} + \left( \frac{\partial M}{\partial z} - \frac{\partial P}{\partial x} \right) \mathbf{j} + \left( \frac{\partial N}{\partial x} - \frac{\partial M}{\partial y} \right) \mathbf{k} \quad (1)$$

**rotasyonel vektörü** olduğu görüldür. Bu bilgiyi, Green teoreminin dolaþım–rotasyonel şekelelinin uzaya genelleştirilmesi olan Stokes Teoreminden alırız.

$(\text{rot } \mathbf{F}) \cdot \mathbf{k} = (\partial N / \partial x - \partial M / \partial y)$  ifadesinin, Bölüm 16.4'te  $\mathbf{F} = M(x, y)\mathbf{i} + N(x, y)\mathbf{j}$  iken yapmış olduğumuz tanımla uyuþtuðuna dikkat edin. (1) Denklemindeki rot  $\mathbf{F}$  formülü genellikle aşağıdaki sembolik operatör kullanılarak yazılar:

$$\nabla = \mathbf{i} \frac{\partial}{\partial x} + \mathbf{j} \frac{\partial}{\partial y} + \mathbf{k} \frac{\partial}{\partial z} \quad (2)$$

( $\nabla$  simbolü “del” olarak okunur.)  $\mathbf{F}$ ’nin rotasyoneli  $\nabla \times \mathbf{F}$ ’dir:

$$\begin{aligned}\nabla \times \mathbf{F} &= \begin{vmatrix} \mathbf{i} & \mathbf{j} & \mathbf{k} \\ \frac{\partial}{\partial x} & \frac{\partial}{\partial y} & \frac{\partial}{\partial z} \\ M & N & P \end{vmatrix} \\ &= \left( \frac{\partial P}{\partial y} - \frac{\partial N}{\partial z} \right) \mathbf{i} + \left( \frac{\partial M}{\partial z} - \frac{\partial P}{\partial x} \right) \mathbf{j} + \left( \frac{\partial N}{\partial x} - \frac{\partial M}{\partial y} \right) \mathbf{k} \\ &= \text{rot } \mathbf{F}\end{aligned}$$

$$\text{rot } \mathbf{F} = \nabla \times \mathbf{F} \quad [3]$$

### ÖRNEK 1 Rot $\mathbf{F}$ Bulmak

$\mathbf{F} = (x^2 - y)\mathbf{i} + 4z\mathbf{j} + x^2\mathbf{k}$ ’nin rotasyonelini bulun.

#### Çözüm

$$\text{rot } \mathbf{F} = \nabla \times \mathbf{F} \quad (3) \text{ Denklemi}$$

$$\begin{aligned}&= \begin{vmatrix} \mathbf{i} & \mathbf{j} & \mathbf{k} \\ \frac{\partial}{\partial x} & \frac{\partial}{\partial y} & \frac{\partial}{\partial z} \\ x^2 - y & 4z & x^2 \end{vmatrix} \\ &= \left( \frac{\partial}{\partial y}(x^2) - \frac{\partial}{\partial z}(4z) \right) \mathbf{i} - \left( \frac{\partial}{\partial x}(x^2) - \frac{\partial}{\partial z}(x^2 - y) \right) \mathbf{j} \\ &\quad + \left( \frac{\partial}{\partial x}(4z) - \frac{\partial}{\partial y}(x^2 - y) \right) \mathbf{k} \\ &= (0 - 4)\mathbf{i} - (2x - 0)\mathbf{j} + (0 + 1)\mathbf{k} \\ &= -4\mathbf{i} - 2x\mathbf{j} + \mathbf{k}\end{aligned}$$

■

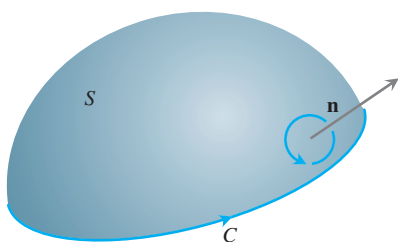
Göreceğimiz gibi,  $\nabla$  operatörünün başka uygulamaları da vardır. Örneğin, skaler bir  $f(x, y, z)$  fonksiyonuna uygulandığı zaman,  $f$ ’nin gradiyentini verir:

$$\nabla f = \frac{\partial f}{\partial x} \mathbf{i} + \frac{\partial f}{\partial y} \mathbf{j} + \frac{\partial f}{\partial z} \mathbf{k}$$

Bu artık “grad  $f$ ” gibi, “del  $f$ ” olarak da okunabilir.

### Stokes Teoremi

Stokes Teoremi, normalde karşılaşılan koşullar altında, bir vektör alanının uzayda yönlenmiş bir yüzeyin sınırı üzerinde, birim normal vektör alanı  $\mathbf{n}$  ye göre saat yönünün tersi yönündeki dolaşımının, alanın rotasyonelinin normal bileşeninin yüzey üzerindeki integraline eşit olduğunu söyler.



**SEKİL 16.60** Sınırlayıcı  $C$  eğrisinin yönlenisi  $\mathbf{n}$  normal alanyla arasında sağ el kuralına dayanan bir ilişki kurar.

**TEOREM 5 Stokes Teoremi**

$\mathbf{F} = M\mathbf{i} + N\mathbf{j} + P\mathbf{k}$ 'nin yönlendirilmiş bir  $S$  yüzeyinin sınırı  $C$  üzerinde yüzeyin birim normal vektörü  $\mathbf{n}$ 'ye göre saat yönünün tersine dolaşımı,  $\nabla \times \mathbf{F} \cdot \mathbf{n}$ 'nin  $S$  üzerindeki integraline eşittir.

$$\oint_C \mathbf{F} \cdot d\mathbf{r} = \iint_S \nabla \times \mathbf{F} \cdot \mathbf{n} \, d\sigma \quad (4)$$

saat yönünün      rotasyonel integrali  
tersine dolaşım

(4) denkleminden, iki farklı yönlenmiş  $S_1$  ve  $S_2$  yüzeyi aynı  $C$  sınırına sahipse, rotasyonel integrallerinin aynı olduğuna dikkat edin:

$$\iint_{S_1} \nabla \times \mathbf{F} \cdot \mathbf{n}_1 \, d\sigma = \iint_{S_2} \nabla \times \mathbf{F} \cdot \mathbf{n}_2 \, d\sigma$$

İki rotasyonel integrali de,  $\mathbf{n}_1$  ve  $\mathbf{n}_2$  vektörleri, yüzeyleri doğru olarak yönlendirdiği sürece, (4) denkleminin solundaki saat yönünün tersine dolaşım integraline eşittir.

Doğal olarak, Stokes denklemindeki integrallerin varlığını garantilemek için,  $\mathbf{F}$ ,  $C$  ve  $S$  üzerinde bazı matematiksel kısıtlamalar olması gereklidir. Genel kısıtlamalar bütün fonksiyonların, vektör alanlarının ve türevlerin sürekli olmasıdır.

$C$ ,  $xy$ -düzleminde, saat yönünün tersine yönlenmiş bir eğri ve  $R$  de  $xy$ -düzleminde  $C$ 'nin sınırladığı bölgeyse,  $d\sigma = dx \, dy$  olur ve

$$(\nabla \times \mathbf{F}) \cdot \mathbf{n} = (\nabla \times \mathbf{F}) \cdot \mathbf{k} = \left( \frac{\partial N}{\partial x} - \frac{\partial M}{\partial y} \right)$$

bulunur. Bu koşullar altında, Stokes denklemi, Green teoremindeki denklemenin dolaşım–rotasyonel şekli olan

$$\oint_C \mathbf{F} \cdot d\mathbf{r} = \iint_R \left( \frac{\partial N}{\partial x} - \frac{\partial M}{\partial y} \right) dx \, dy$$

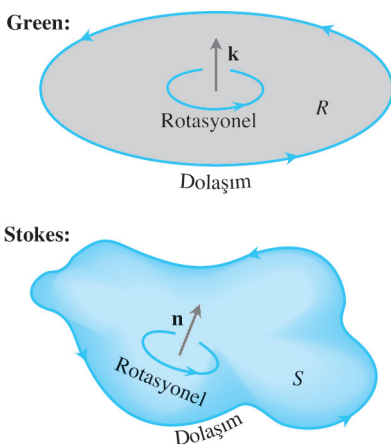
halini alır. Tersine, bu adımları geri çevirerek, iki boyutta Green Teoreminin dolaşım–rotasyonel şeklini, del gösteriminde

$$\oint_C \mathbf{F} \cdot d\mathbf{r} = \iint_R \nabla \times \mathbf{F} \cdot \mathbf{k} \, dA \quad (5)$$

biçiminde tekrar yazabiliz. Şekil 16.61'e bakın.

**ÖRNEK 2 Bir Yarı Küre İçin Stokes Denklemi Gerçeklemek**

(4) Denklemi  $S: x^2 + y^2 + z^2 = 9$ ,  $z \geq 0$  yarımküresi,  $C: x^2 + y^2 = 9$ ,  $z = 0$  sınır eğrisi ve  $\mathbf{F} = y\mathbf{i} - x\mathbf{j}$  alanı için hesaplayın.



**ŞEKİL 16.61** Green Teoremi ve Stokes Teoremi'nin karşılaştırılması.

**Cözüm**  $\mathbf{r}(\theta) = (3 \cos \theta)\mathbf{i} + (3 \sin \theta)\mathbf{j}$ ,  $0 \leq \theta \leq 2\pi$ , parametrisasyonunu kullanarak,  $C$  etrafında (yukarıdan bakıldığından) saat yönünün tersine dolaşımı hesaplarız:

$$d\mathbf{r} = (-3 \sin \theta d\theta)\mathbf{i} + (3 \cos \theta d\theta)\mathbf{j}$$

$$\mathbf{F} = y\mathbf{i} - x\mathbf{j} = (3 \sin \theta)\mathbf{i} - (3 \cos \theta)\mathbf{j}$$

$$\mathbf{F} \cdot d\mathbf{r} = -9 \sin^2 \theta d\theta - 9 \cos^2 \theta d\theta = -9 d\theta$$

$$\oint_C \mathbf{F} \cdot d\mathbf{r} = \int_0^{2\pi} -9 d\theta = -18\pi$$

$\mathbf{F}$ 'nin rotasyonel integrali için,

$$\nabla \times \mathbf{F} = \left( \frac{\partial P}{\partial y} - \frac{\partial N}{\partial z} \right) \mathbf{i} + \left( \frac{\partial M}{\partial z} - \frac{\partial P}{\partial x} \right) \mathbf{j} + \left( \frac{\partial N}{\partial x} - \frac{\partial M}{\partial y} \right) \mathbf{k}$$

$$= (0 - 0)\mathbf{i} + (0 - 0)\mathbf{j} + (-1 - 1)\mathbf{k} = -2\mathbf{k}$$

$$\mathbf{n} = \frac{x\mathbf{i} + y\mathbf{j} + z\mathbf{k}}{\sqrt{x^2 + y^2 + z^2}} = \frac{x\mathbf{i} + y\mathbf{j} + z\mathbf{k}}{3} \quad \text{Dış birim normal}$$

$$d\sigma = \frac{3}{z} dA \quad \begin{array}{l} \text{a} = 3 \text{ ile, Bölüm 16.5,} \\ \text{Örnek 5} \end{array}$$

$$\nabla \times \mathbf{F} \cdot \mathbf{n} d\sigma = -\frac{2z}{3} \frac{3}{z} dA = -2 dA$$

ve

$$\iint_S \nabla \times \mathbf{F} \cdot \mathbf{n} d\sigma = \iint_{x^2+y^2 \leq 9} -2 dA = -18\pi$$

buluruz. Çember üzerindeki dolaşım, olması gereği gibi, rotasyonelin yarımküre üzerindeki integraline eşittir. ■

### ÖRNEK 3 Dolaşım Bulmak

$\mathbf{F} = (x^2 - y)\mathbf{i} + 4z\mathbf{j} + x^2\mathbf{k}$  alanının,  $z = 2$  düzleminin  $z = \sqrt{x^2 + y^2}$  konisini kestiği  $C$  eğrisi üzerinde, yukarıdan bakıldığından saat yönünün tersine dolaşımını bulun (Şekil 16.62).

**Cözüm** Stokes Teoremi dolaşımı koninin yüzeyi üzerinde integral alarak bulmamızı sağlar.  $C$ 'yi yukarıdan bakıldığından saat yönünün tersine çevirmek koninin iç normali  $\mathbf{n}$ 'yi (ki pozitif bir  $z$ -bileşeni vardır) almaya karşılık gelir.

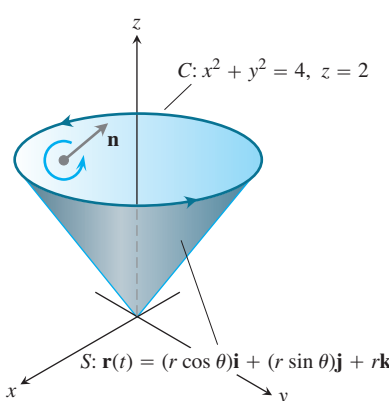
Koniyi

$$\mathbf{r}(r, \theta) = (r \cos \theta)\mathbf{i} + (r \sin \theta)\mathbf{j} + r\mathbf{k}, \quad 0 \leq r \leq 2, \quad 0 \leq \theta \leq 2\pi.$$

şeklinde parametrize ederiz. Bundan sonra,

$$\begin{aligned} \mathbf{n} &= \frac{\mathbf{r}_r \times \mathbf{r}_\theta}{|\mathbf{r}_r \times \mathbf{r}_\theta|} = \frac{-(r \cos \theta)\mathbf{i} - (r \sin \theta)\mathbf{j} + r\mathbf{k}}{r\sqrt{2}} \\ &= \frac{1}{\sqrt{2}}(-(\cos \theta)\mathbf{i} - (\sin \theta)\mathbf{j} + \mathbf{k}) \end{aligned}$$

Bölüm 16.6,  
Örnek 4



**ÖRNEK 16.62** Örnek 3'teki  $C$  eğrisi ve  $S$  konisi.

$$\begin{aligned} d\sigma &= r\sqrt{2} dr d\theta && \text{Bölüm 16.6, Örnek 4} \\ \nabla \times \mathbf{F} &= -4\mathbf{i} - 2x\mathbf{j} + \mathbf{k} && \text{Örnek 1} \\ &= -4\mathbf{i} - 2r \cos \theta \mathbf{j} + \mathbf{k} && x = r \cos \theta \end{aligned}$$

elde ederiz. Böylece,

$$\begin{aligned} \nabla \times \mathbf{F} \cdot \mathbf{n} &= \frac{1}{\sqrt{2}} (4 \cos \theta + 2r \cos \theta \sin \theta + 1) \\ &= \frac{1}{\sqrt{2}} (4 \cos \theta + r \sin 2\theta + 1) \end{aligned}$$

bulunur ve dolaşım

$$\begin{aligned} \oint_C \mathbf{F} \cdot d\mathbf{r} &= \iint_S \nabla \times \mathbf{F} \cdot \mathbf{n} d\sigma && \text{Stokes Teoremi, Denklem (4)} \\ &= \int_0^{2\pi} \int_0^2 \frac{1}{\sqrt{2}} (4 \cos \theta + r \sin 2\theta + 1) (r\sqrt{2} dr d\theta) = 4\pi \end{aligned}$$

olarak elde edilir. ■

### $\nabla \times \mathbf{F}$ 'nin Çark Yorumu

Yoğunluğu  $\delta(x, y, z)$  olan hareketli bir akışkanın  $(x, y, z)$  noktasındaki hızının  $\mathbf{v}(x, y, z)$  olduğunu varsayıp ve  $\mathbf{F} = \delta\mathbf{v}$  alın. Bu durumda,

$$\oint_C \mathbf{F} \cdot d\mathbf{r}$$

akışkanın kapalı  $C$  eğrisi boyunca dolaşımıdır. Stokes Teoremine göre bu dolaşım  $\nabla \times \mathbf{F}$  çarpımının,  $C$  eğrisi ile çevrelenen bir  $S$  yüzeyi üzerindeki akısına eşittir:

$$\oint_C \mathbf{F} \cdot d\mathbf{r} = \iint_S \nabla \times \mathbf{F} \cdot \mathbf{n} d\sigma$$

$\mathbf{F}$ 'nin tanım bölgesinde bir  $Q$  noktası ve  $Q$ 'da bir  $\mathbf{u}$  yönünü sabitlediğimizi varsayıp. Merkezi  $Q$ 'da ve düzlemi  $\mathbf{u}$ 'ya normal olan  $\rho$  yarıçaplı çember  $C$  olsun.  $\nabla \times \mathbf{F}$  alanı  $Q$ 'da süreklise,  $\rho \rightarrow 0$  iken,  $\nabla \times \mathbf{F}$ 'nin  $\mathbf{u}$ -bileşeninin,  $C$  ile sınırlı  $S$  dairesindeki ortalama değeri,  $\nabla \times \mathbf{F}$ 'nin  $Q$ 'daki  $\mathbf{u}$ -bileşenine yaklaşır:

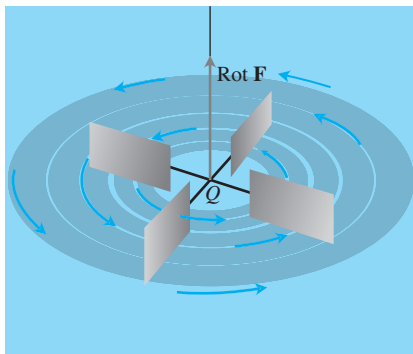
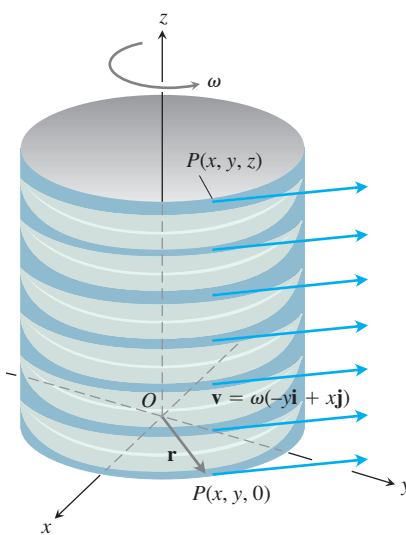
$$(\nabla \times \mathbf{F} \cdot \mathbf{u})_Q = \lim_{\rho \rightarrow 0} \frac{1}{\pi \rho^2} \iint_S \nabla \times \mathbf{F} \cdot \mathbf{u} d\sigma$$

Bu son denklemdeki yüzey integralini dolaşım ile değiştirirsek,

$$(\nabla \times \mathbf{F} \cdot \mathbf{u})_Q = \lim_{\rho \rightarrow 0} \frac{1}{\pi \rho^2} \oint_C \mathbf{F} \cdot d\mathbf{r} \quad (6)$$

elde ederiz.  $\mathbf{u}$  vektörü  $\nabla \times \mathbf{F}$ 'nin yönünde iken (6) Denklemiñ sol tarafının değeri maksimumdur.  $\rho$  küçükse, (6) Denklemiñ sağ tarafındaki limit yaklaşık olarak

$$\frac{1}{\pi \rho^2} \oint_C \mathbf{F} \cdot d\mathbf{r}$$

ŞEKİL 16.63 Rot  $\mathbf{F}$ 'nin çark yorumuŞEKİL 16.64 Sabit  $\omega$  açısal hızlı, pozitif (saat yönünün tersi) yönde,  $xy$ -düzlemine paralel düzgün bir dönel akış (Örnek 4).

dir ve bu değer,  $C$  üzerindeki dolaşının, dairenin alanına oranıdır (dolaşım yoğunluğu).  $\rho$  yarıçaplı bir çarkın, aks'ı  $\mathbf{u}$  doğrultusunda yönlendirilmiş olmak üzere,  $Q$  noktasında akışkanın konulduğunu varsayılmı. Akışkanın  $C$  üzerindeki dolaşımı, çarkın dönüş hızını etkileyecektir. Çark, dolaşım integrali maksimize edildiğinde en hızlı döner; dolayısıyla çarkın aks'ı  $\nabla \times \mathbf{F}$  yönündeyken en hızlı şekilde dönecektir (Şekil 16.63).

#### ÖRNEK 4 $\nabla \times \mathbf{F}$ 'nın Dolaşım Yoğunluğu İle İlgisi

Sabit yoğunluklu bir akışkan  $z$ -ekseni etrafında,  $\mathbf{v} = \omega(-y\mathbf{i} + x\mathbf{j})$  hızıyla dönmektedir. Burada  $\omega$  dönüşün açısal hızı denilen pozitif bir sabittir (Şekil 16.64).  $\mathbf{F} = \mathbf{v}$  ise,  $\nabla \times \mathbf{F}$ 'yi bulun ve dolaşım yoğunluğu arasında bir ilişki kurun.

**Çözüm**  $\mathbf{F} = \mathbf{v} = -\omega y\mathbf{i} + \omega x\mathbf{j}$  ile,

$$\begin{aligned}\nabla \times \mathbf{F} &= \left( \frac{\partial P}{\partial y} - \frac{\partial N}{\partial z} \right) \mathbf{i} + \left( \frac{\partial M}{\partial z} - \frac{\partial P}{\partial x} \right) \mathbf{j} + \left( \frac{\partial N}{\partial x} - \frac{\partial M}{\partial y} \right) \mathbf{k} \\ &= (0 - 0)\mathbf{i} + (0 - 0)\mathbf{j} + (\omega - (-\omega))\mathbf{k} = 2\omega\mathbf{k}.\end{aligned}$$

buluruz. Stokes Teoremine göre  $\mathbf{F}$ 'nin,  $\nabla \times \mathbf{F}$ 'ye normal bir düzlem içindeki, mesela  $xy$ -düzlemini, bir  $S$  dairesini çevreleyen  $\rho$  yarıçaplı bir  $C$  çemberi üzerindeki dolaşımı

$$\oint_C \mathbf{F} \cdot d\mathbf{r} = \iint_S \nabla \times \mathbf{F} \cdot \mathbf{n} d\sigma = \iint_S 2\omega\mathbf{k} \cdot \mathbf{k} dx dy = (2\omega)(\pi\rho^2).$$

olur. Böylece,  $\mathbf{u} = \mathbf{k}$  ile, (6) denklemine uygun şekilde,

$$(\nabla \times \mathbf{F}) \cdot \mathbf{k} = 2\omega = \frac{1}{\pi\rho^2} \oint_C \mathbf{F} \cdot d\mathbf{r}$$

elde edilir. ■

#### ÖRNEK 5 Stokes Teoremini Uygulamak

$\mathbf{F} = xz\mathbf{i} + xy\mathbf{j} + 3xz\mathbf{k}$  ve  $C$ ,  $2x + y + z = 2$  düzleminin birinci sekizde bir bölgedeki parçasının, yukarıdan bakıldığımda saat yönünün tersine takip edilen sınırı ise, Stokes Teoremini kullanarak  $\oint_C \mathbf{F} \cdot d\mathbf{r}$ 'yi hesaplayın (Şekil 16.65)

**Çözüm** Düzlemler,  $f(x, y, z) = 2x + y + z$  fonksiyonunun  $f(x, y, z) = 2$  seviye yüzeyidir. Birim normal vektör,

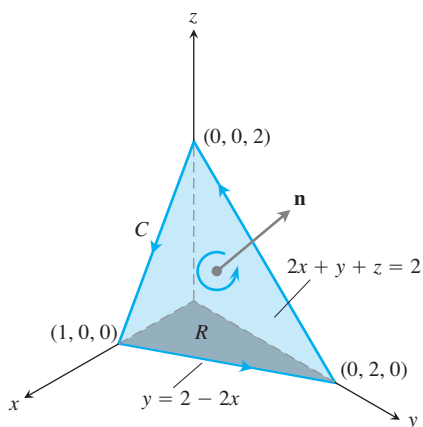
$$\mathbf{n} = \frac{\nabla f}{|\nabla f|} = \frac{(2\mathbf{i} + \mathbf{j} + \mathbf{k})}{|2\mathbf{i} + \mathbf{j} + \mathbf{k}|} = \frac{1}{\sqrt{6}} (2\mathbf{i} + \mathbf{j} + \mathbf{k})$$

$C$  üzerinde saat yönünün tersine hareketle uyumludur. Stokes Teoremini uygulamak için,

$$\text{rot } \mathbf{F} = \nabla \times \mathbf{F} = \begin{vmatrix} \mathbf{i} & \mathbf{j} & \mathbf{k} \\ \frac{\partial}{\partial x} & \frac{\partial}{\partial y} & \frac{\partial}{\partial z} \\ xz & xy & 3xz \end{vmatrix} = (x - 3z)\mathbf{j} + y\mathbf{k}$$

buluruz. Düzlemlerde,  $z = 2 - 2x - y$  dir, dolayısıyla

$$\nabla \times \mathbf{F} = (x - 3(2 - 2x - y))\mathbf{j} + y\mathbf{k} = (7x + 3y - 6)\mathbf{j} + y\mathbf{k}$$



ŞEKİL 16.65 Örnek 5'teki düzlemsel yüzey.

ve

$$\nabla \times \mathbf{F} \cdot \mathbf{n} = \frac{1}{\sqrt{6}} (7x + 3y - 6 + y) = \frac{1}{\sqrt{6}} (7x + 4y - 6)$$

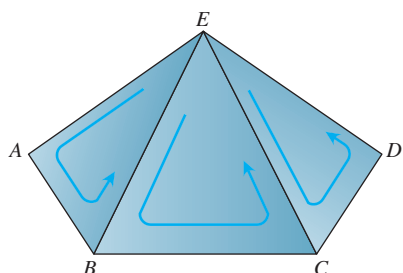
elde edilir. Yüzey alan elemanı

$$d\sigma = \frac{|\nabla f|}{|\nabla f \cdot \mathbf{k}|} dA = \frac{\sqrt{6}}{1} dx dy$$

olarak bulunur. Dolaşım ise

$$\begin{aligned} \oint_C \mathbf{F} \cdot d\mathbf{r} &= \iint_S \nabla \times \mathbf{F} \cdot \mathbf{n} d\sigma \quad \text{Stokes Teoremi, Denklem (4)} \\ &= \int_0^1 \int_0^{2-2x} \frac{1}{\sqrt{6}} (7x + 4y - 6) \sqrt{6} dy dx \\ &= \int_0^1 \int_0^{2-2x} (7x + 4y - 6) dy dx = -1 \end{aligned}$$

olur. ■



ŞEKİL 16.66 Çok yüzlü bir yüzeyin parçası.

### Stokes Teoreminin Çok Yüzlü Yüzeyler İçin İspatı

$S$ , sonu sayıda düzlemsel bölgeden oluşan çok yüzlü bir yüzey olsun (Örnek olarak Şekil 16.66'ya bakın).  $S$ 'nin her ayrı paneline Green Teoremini uygularız. İki tip panel vardır:

1. Her taraftan başka panellerle çevrelenenler ve
2. Bir veya daha fazla kenarı başka panellerle komşu olmayanlar.

$S$ 'nin sınırı  $\Delta$ , diğer panellere komşu olmayan, 2. tip panellerinki gibi, kenarlardan oluşur. Şekil 16.66'da,  $EAB$ ,  $BCE$  ve  $CDE$  üçgenleri  $S$ 'nin bir parçasını temsil ederler.  $ABCD$  de  $\Delta$  sınırının bir parçasıdır. Bu üç üçgene sırayla Green Teoremini uygulayıp, sonuçları toplamakla

$$\left( \oint_{EAB} + \oint_{BCE} + \oint_{CDE} \right) \mathbf{F} \cdot d\mathbf{r} = \left( \iint_{EAB} + \iint_{BCE} + \iint_{CDE} \right) \nabla \times \mathbf{F} \cdot \mathbf{n} d\sigma \quad [7]$$

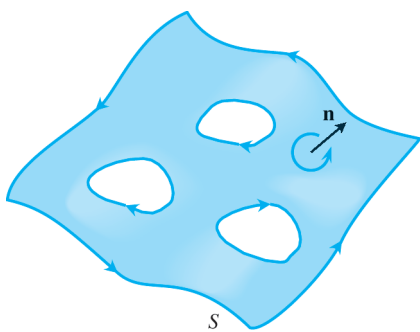
elde ederiz. (7) Denkleminin solundaki üç eğrisel integral,  $ABCDE$  çevresi üzerinde alınan tek bir eğrisel integrale indirgenir, çünkü iç doğru parçaları üzerinde alınan integraller birbirini götürür. Örneğin,  $ABE$  üçgeninin  $BE$  doğru parçası üzerindeki integral,  $EBC$  üçgeninin aynı doğru parçası üzerindeki integralin ters işaretlidir. Aynı şey  $CE$  doğru parçası için de geçerlidir. Dolayısıyla, (7) Denklemi

$$\oint_{ABCDE} \mathbf{F} \cdot d\mathbf{r} = \iint_{ABCDE} \nabla \times \mathbf{F} \cdot \mathbf{n} d\sigma$$

haline gelir. Green Teoremini bütün panellere uygulayıp sonuçları topladığımızda

$$\oint_{\Delta} \mathbf{F} \cdot d\mathbf{r} = \iint_S \nabla \times \mathbf{F} \cdot \mathbf{n} d\sigma$$

elde ederiz.



**ŞEKİL 16.67** Stokes Teoremi, delikleri olan yönlendirilmiş yüzeyler için de geçerlidir.

Bu, çok yüzlü bir  $S$  yüzeyi için Stokes Teoremidir. Daha genel yüzeyler için ispatları daha ileri analiz kitaplarında bulabilirsiniz.

### Delikli Yüzeyler İçin Stokes Teoremi

Stokes Teoremi bir veya daha fazla deliği olan yönlendirilmiş bir  $S$  yüzeyine (Şekil 16.67) de, Green Teoreminin genişletilmesine benzer bir şekilde, genişletilebilir:  $\nabla \times \mathbf{F}$ 'nin normal bileşeninin  $S$  üzerindeki yüzey integrali,  $\mathbf{F}$ 'nin teget bileşeninin bütün sınır eğrileri üzerindeki, eğriler  $S$ 'nin yönlenmesinin belirttiği şekilde izlenmek üzere, eğrisel integralerinin toplamına eşittir.

### Önemli Bir Bağıntı

Aşağıdaki bağıntı matematikte ve fizik bilimlerinde sıkılıkla ortaya çıkar.

$$\operatorname{rot} \operatorname{grad} f = \mathbf{0} \quad \text{veya} \quad \nabla \times \nabla f = \mathbf{0} \quad [8]$$

Bu bağıntı, ikinci kısmi türevleri sürekli olan her  $f(x, y, z)$  fonksiyonu için geçerlidir. İspatı şu şekildedir:

$$\nabla \times \nabla f = \begin{vmatrix} \mathbf{i} & \mathbf{j} & \mathbf{k} \\ \frac{\partial}{\partial x} & \frac{\partial}{\partial y} & \frac{\partial}{\partial z} \\ \frac{\partial f}{\partial x} & \frac{\partial f}{\partial y} & \frac{\partial f}{\partial z} \end{vmatrix} = (f_{zy} - f_{yz})\mathbf{i} - (f_{zx} - f_{xz})\mathbf{j} + (f_{yx} - f_{xy})\mathbf{k}$$

İkinci kısmi türevler süreklise, parantez içindeki karışık ikinci türevler eşittir (Bölüm 14.3, Teorem 2) ve vektör sıfır olur.

### Korunaklı Alanlar ve Stokes Teoremi

Bölüm 16.3'te, bir  $\mathbf{F}$  alanın uzayda açık bir  $D$  bölgesinde korunaklı olmasının,  $\mathbf{F}$ 'nin  $D$  içindeki her kapalı döngü etrafında integralinin sıfır olmasına eşdeğer olduğunu gördük. Bu da, *basit bağlantılı* açık bölgelerde  $\nabla \times \mathbf{F} = \mathbf{0}$  olduğunu söylemeye eşdeğerdir.

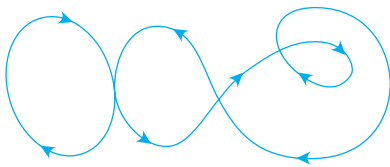
#### TEOREM 6 $\operatorname{Rot} \mathbf{F} = \mathbf{0}$ ile Kapalı-Döngü Özelliği İlişkilidir

Uzayda basit bağlantılı açık bir  $D$  bölgesinin her noktasında  $\nabla \times \mathbf{F} = \mathbf{0}$  ise,  $D$ 'deki herhangi parçalı olarak düzgün kapalı bir  $C$  yolunda

$$\oint_C \mathbf{F} \cdot d\mathbf{r} = 0$$

olur.

**Bir İspatın Anahatları** Teorem 6 genellikle iki adımda ispatlanır. İlk adım basit kapalı eğriler içindir. İleri analizin bir dalı olan topolojiden gelen bir teorem, basit birleşik bir  $D$  bölge-



**ŞEKİL 16.68** Basit bağlılı açık bir bölgede, kendilerini kesen türetilebilir eğriler Stokes Teoreminin uygulanabileceği döngülere ayırtılabilir.

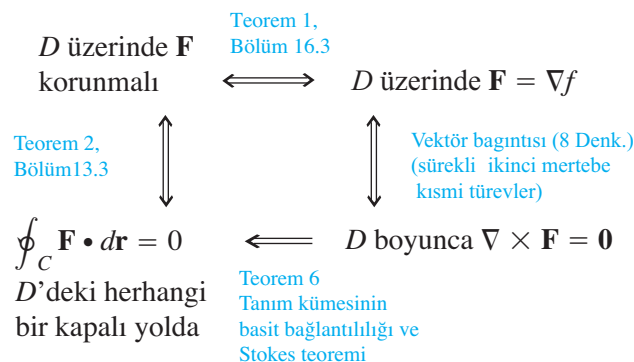
sindeki her türetilebilir basit kapalı  $C$  eğrisinin, yine  $D$  içinde bulunan düzgün iki-yüzülü bir  $S$  bölgesinin sınırı olduğunu söyler. Dolayısıyla, Stokes Teoreminden,

$$\oint_C \mathbf{F} \cdot d\mathbf{r} = \iint_S \nabla \times \mathbf{F} \cdot \mathbf{n} \, d\sigma = 0$$

bulunur.

İkinci adım Şekil 16.68'deki gibi kendilerini kesen eğriler içindir. Amaç, bunları yönlendirilebilir yüzeyleri çevreleyen basit döngülere ayırmak, her seferinde bir döngüye Stokes Teoremini uygulamak ve sonuçları toplamaktır. ■

Aşağıdaki diyagram bağlılı ve basit bağlılı açık bölgelerde tanımlı korunaklı alanlar için sonuçları özetler.



## ALIŞTIRMALAR 16.7

### Stokes Teoremiyle Dolaşım Hesaplama

1–6 Alıştırmalarında, Stokes Teoremindeki yüzey integralini kullanarak  $\mathbf{F}$  alanının  $C$  eğrisi üzerinde belirtilen yönde dolaşımını hesaplayın.

1.  $\mathbf{F} = x^2\mathbf{i} + 2x\mathbf{j} + z^2\mathbf{k}$

$C$ :  $xy$ -düzlemindeki  $4x^2 + y^2 = 4$  elipsi, yukarıdan bakıldığından saat yönünün tersine.

2.  $\mathbf{F} = 2y\mathbf{i} + 3x\mathbf{j} - z^2\mathbf{k}$

$C$ :  $xy$ -düzlemindeki  $x^2 + y^2 = 9$  çemberi, yukarıdan bakıldığından saat yönünün tersine.

3.  $\mathbf{F} = y\mathbf{i} + xz\mathbf{j} + x^2\mathbf{k}$

$C$ :  $x + y + z = 1$  düzleminden birinci sekizde bir bölgeyle kesilen üçgenin sınırı, yukarıdan bakıldığından saat yönünün tersine.

4.  $\mathbf{F} = (y^2 + z^2)\mathbf{i} + (x^2 + z^2)\mathbf{j} + (x^2 + y^2)\mathbf{k}$

$C$ :  $x + y + z = 1$  düzleminden birinci sekizde bir bölgeyle kesilen üçgenin sınırı, yukarıdan bakıldığından saat yönünün tersine.

5.  $\mathbf{F} = (y^2 + z^2)\mathbf{i} + (x^2 + y^2)\mathbf{j} + (x^2 + y^2)\mathbf{k}$

$C$ :  $xy$ -düzleminde  $x = \pm 1$  ve  $y = \pm 1$  doğrularıyla sınırlanan kare, yukarıdan bakıldığından saat yönünün tersine.

6.  $\mathbf{F} = x^2y^3\mathbf{i} + \mathbf{j} + zk$

$C$ :  $x^2 + y^2 = 4$  silindirile  $x^2 + y^2 + z^2 = 16$ ,  $z \geq 0$ , yarımküresinin kesişimi, yukarıdan bakıldığından saat yönünün tersine.

### Rotasyonel Akış

7.  $\mathbf{n}$ ,

$$S: 4x^2 + 9y^2 + 36z^2 = 36, \quad z \geq 0$$

eliptik kabuğunun dış birim normali ve

$$\mathbf{F} = y\mathbf{i} + x^2\mathbf{j} + (x^2 + y^4)^{3/2} \sin e^{\sqrt{xyz}} \mathbf{k}$$

olsun.

$$\iint_S \nabla \times \mathbf{F} \cdot \mathbf{n} \, d\sigma$$

integralinin değerini bulun. (İpucu: Kabuğun tabanındaki elipsin bir parametrelenisi  $x = 3 \cos t$ ,  $y = 2 \sin t$ ,  $0 \leq t \leq 2\pi$ 'dir.)

8.  $\mathbf{n}$ ,

$$S: 4x^2 + y + z^2 = 4, \quad y \geq 0$$

eliptik kabuğunun dış birim normali (orijinden uzaklaşan normal)

ve

$$\mathbf{F} = \left( -z + \frac{1}{2+x} \right) \mathbf{i} + (\tan^{-1} y) \mathbf{j} + \left( x + \frac{1}{4+z} \right) \mathbf{k}$$

olsun.

$$\iint_S \nabla \times \mathbf{F} \cdot \mathbf{n} d\sigma$$

integralinin değerini bulun.

9.  $S$ , tepesi  $x^2 + y^2 \leq a^2$ ,  $z = h$  ile birlikte  $x^2 + y^2 = a^2$ ,  $0 \leq z \leq h$ , silindiri ve  $\mathbf{F} = -y\mathbf{i} + x\mathbf{j} + x^2\mathbf{k}$  olsun. Stokes Teoremini kullanarak  $\nabla \times \mathbf{F}$ 'nin  $S$ 'den dışarı doğru akısını bulun.
10.  $S$ ,  $x^2 + y^2 + z^2 = 1$ ,  $z \geq 0$  yarımküresi olmak üzere,

$$\iint_S \nabla \times (y\mathbf{i}) \cdot \mathbf{n} d\sigma$$

integralini hesaplayın.

11. **Rotasyonel Akış**  $C$ 'nin sınırladığı bütün yönlenmiş ve  $C$  üzerinde aynı pozitif yöne neden olan  $S$  yüzeyleri için

$$\iint_S \nabla \times \mathbf{F} \cdot \mathbf{n} d\sigma$$

integralinin değerinin aynı olduğunu gösterin.

12.  $\mathbf{F}$ , düzgün kapalı yönlendirilmiş bir  $S$  yüzeyini ve içini kapsayan bir bölgede tanımlı ve türetilebilir bir vektör alanı olsun.  $\mathbf{n}$  de  $S$ 'nin birim normal vektör alanı olsun.  $S$ 'nin düzgün basit kapalı bir  $C$  eğrisiyle bireleşen  $S_1$  ve  $S_2$  yüzeylerinin bileşimi olduğunu varsayıın.

$$\iint_S \nabla \times \mathbf{F} \cdot \mathbf{n} d\sigma$$

hakkında bir şey söyleyenebilir mi? Yanıtınızı açıklayın.

### Parametrize Yüzeylerde Stokes Teoremi

13–18 alıştırmalarında, Stokes Teoremindeki yüzey integralini kullanarak,  $\mathbf{F}$  alanının rotasyonelini, dış birim normal  $\mathbf{n}$  yönünde,  $S$  yüzeyi üzerindeki akısını bulun.

13.  $\mathbf{F} = 2x\mathbf{i} + 3x\mathbf{j} + 5y\mathbf{k}$

$$S: \mathbf{r}(r, \theta) = (r \cos \theta)\mathbf{i} + (r \sin \theta)\mathbf{j} + (4 - r^2)\mathbf{k}, \\ 0 \leq r \leq 2, \quad 0 \leq \theta \leq 2\pi$$

14.  $\mathbf{F} = (y - z)\mathbf{i} + (z - x)\mathbf{j} + (x + z)\mathbf{k}$

$$S: \mathbf{r}(r, \theta) = (r \cos \theta)\mathbf{i} + (r \sin \theta)\mathbf{j} + (9 - r^2)\mathbf{k}, \\ 0 \leq r \leq 3, \quad 0 \leq \theta \leq 2\pi$$

15.  $\mathbf{F} = x^2\mathbf{i} + 2y^3\mathbf{j} + 3z\mathbf{k}$

$$S: \mathbf{r}(r, \theta) = (r \cos \theta)\mathbf{i} + (r \sin \theta)\mathbf{j} + r\mathbf{k}, \\ 0 \leq r \leq 1, \quad 0 \leq \theta \leq 2\pi$$

16.  $\mathbf{F} = (x - y)\mathbf{i} + (y - z)\mathbf{j} + (z - x)\mathbf{k}$

$$S: \mathbf{r}(r, \theta) = (r \cos \theta)\mathbf{i} + (r \sin \theta)\mathbf{j} + (5 - r)\mathbf{k}, \\ 0 \leq r \leq 5, \quad 0 \leq \theta \leq 2\pi$$

17.  $\mathbf{F} = 3y\mathbf{i} + (5 - 2x)\mathbf{j} + (z^2 - 2)\mathbf{k}$

$$S: \mathbf{r}(\phi, \theta) = (\sqrt{3} \sin \phi \cos \theta)\mathbf{i} + (\sqrt{3} \sin \phi \sin \theta)\mathbf{j} + (\sqrt{3} \cos \phi)\mathbf{k}, \quad 0 \leq \phi \leq \pi/2, \quad 0 \leq \theta \leq 2\pi$$

18.  $\mathbf{F} = y^2\mathbf{i} + z^2\mathbf{j} + x\mathbf{k}$

$$S: \mathbf{r}(\phi, \theta) = (2 \sin \phi \cos \theta)\mathbf{i} + (2 \sin \phi \sin \theta)\mathbf{j} + (2 \cos \phi)\mathbf{k}, \quad 0 \leq \phi \leq \pi/2, \quad 0 \leq \theta \leq 2\pi$$

### Teori ve Örnekler

19. **Sıfır dolaşım**  $\nabla \times \nabla f = 0$  bağıntısını (metindeki (8) denklemi) ve Stokes Teoremini kullanarak, aşağıdaki alanların uzaydaki herhangi bir düzgün yönlendirilebilir yüzeyin sınırlarındaki dolaşımının sıfır olduğunu gösterin.

a.  $\mathbf{F} = 2x\mathbf{i} + 2y\mathbf{j} + 2z\mathbf{k}$

b.  $\mathbf{F} = \nabla(xy^2z^3)$

c.  $\mathbf{F} = \nabla \times (xi + yj + zk)$

d.  $\mathbf{F} = \nabla f$

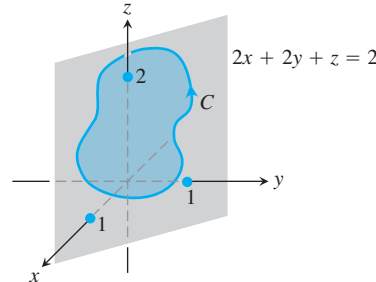
20. **Sıfır dolaşım**  $f(x, y, z) = (x^2 + y^2 + z^2)^{-1/2}$  olsun.  $\mathbf{F} = \nabla f$  alanının,  $xy$ -düzlemindeki  $x^2 + y^2 = a^2$  çemberi üzerinde saat yönünde dolaşımının sıfır olduğunu aşağıdaki yollardan bulun:

a.  $\mathbf{r} = (a \cos t)\mathbf{i} + (a \sin t)\mathbf{j}$ ,  $0 \leq t \leq 2\pi$  alıp ve  $\mathbf{F} \cdot d\mathbf{r}$ 'yi çember üzerinde integre ederek

b. Stokes Teoremini uygulayarak

21.  $C$ ,  $2x + 2y + z = 2$  düzleminde, aşağıdaki gibi yönlendirilmiş basit kapalı düzgün bir eğri olsun.

$$\oint_C 2y \, dx + 3z \, dy - x \, dz$$



integralinin,  $C$ 'nin konumuna veya şeklinde değil, sadece  $C$ 'nin çevrelediği bölgenin alanına bağlı olduğunu gösterin.

22.  $\mathbf{F} = xi + yj + zk$  ise,  $\nabla \times \mathbf{F} = \mathbf{0}$  olduğunu gösterin.

23. Bileşenleri iki kere türetilebilen ve rotasyoneli  $xi + yj + zk$  olan bir vektör alanı bulun veya böyle bir alan bulunmadığını ispatlayın.

24. Stokes Teoremi, rotasyoneli sıfır olan bir alanın dolasımı hakkında özel bir şey söyler mi? Yanıtınızı açıklayın.

25.  $R$ ,  $xy$ -düzleminde parçalı olarak düzgün basit kapalı bir  $C$  eğrisiyle sınırlı bir bölge olsun ve  $R$ 'nin  $x$  ve  $y$ -eksenleri etrafındaki

eylemsizlik momentlerinin  $I_x$  ve  $I_y$  olduğunu varsayılmak üzere,

$$\oint_C \nabla(r^4) \cdot \mathbf{n} \, ds$$

integralini  $I_x$  ve  $I_y$  cinsinden hesaplayın

## 26. Sıfır rotasyonel, lakin alan korunmalı değil

$$\mathbf{F} = \frac{-y}{x^2 + y^2} \mathbf{i} + \frac{x}{x^2 + y^2} \mathbf{j} + z\mathbf{k}$$

alanının rotasyonelinin sıfır olduğunu, ama  $C$ ,  $xy$ -düzlemindeki  $x^2 + y^2 = 1$  çemberiye

$$\oint_C \mathbf{F} \cdot d\mathbf{r}$$

integralinin sıfır olmadığını gösterin (Teorem 6 burada geçerli değildir, çünkü  $\mathbf{F}$ 'nin tanım bölgesi basit bağlantılı değildir.  $\mathbf{F}$  alanı  $z$ -ekseni boyunca tanımlı değildir, dolayısıyla  $\mathbf{F}$ 'nin tanım bölgesinden çıkmadan  $C$ 'yi bir noktaya büzmek mümkün değildir).

# 16.8

## Diverjans Teoremi ve Bir Birleştirilmiş Teori

Düzlemde Green Teoreminin diverjans şekli, bir vektör alanının basit kapalı bir eğriden dışarı doğru net akışının, alanın diverjansının eğrinin çevrelediği bölgede integre edilmesiyle hesaplanabileceğini ifade eder. Buna üç boyutta karşılık gelen ve Diverjans Teoremi denilen teorem, bir vektör alanının uzayda kapalı bir yüzeydeki dışarı doğru net akışının, alanın diverjansının yüzeyin çevrelediği bölgede integre edilerek hesaplanabileceğini ifade eder. Bu bölümde, Diverjans Teoremini ispat edecek ve bunun akının hesaplamasını nasıl kolaylaştırdığını göstereceğiz. Ayrıca bir elektrik alandaki akı için Gauss yasasını ve hidrodinamikteki süreklilik denklemini türeteceğiz. Son olarak, bölümün vektör integral teoremlerini tek bir temel teoreme indirgeyeceğiz.

### Üç Boyutta Diverjans

Bir  $\mathbf{F} = M(x, y, z)\mathbf{i} + N(x, y, z)\mathbf{j} + P(x, y, z)\mathbf{k}$  vektör alanının **diverjansı**

$$\operatorname{div} \mathbf{F} = \nabla \cdot \mathbf{F} = \frac{\partial M}{\partial x} + \frac{\partial N}{\partial y} + \frac{\partial P}{\partial z} \quad (1)$$

skaler fonksiyonudur. "div  $\mathbf{F}$ " simbolü " $\mathbf{F}$ 'nin diverjansı" veya "div  $\mathbf{F}$ " olarak okunur.  $\nabla \cdot \mathbf{F}$  gösterimi "del nokta  $\mathbf{F}$ " olarak okunur.

Üç boyutta div  $\mathbf{F}$ 'nin fiziksel yorumu iki boyuttakiyle aynıdır.  $\mathbf{F}$  bir akışkan akışının hız alaniysa, div  $\mathbf{F}$ 'nin bir  $(x, y, z)$  noktasındaki değeri akışkanın  $(x, y, z)$ 'de pompalandığı veya boşaltıldığı hızdır. Diverjans birim hacim başına akı veya o noktadaki akı yoğunluğudur.

#### ÖRNEK 1 Diverjans Bulmak

$\mathbf{F} = 2xz\mathbf{i} - xy\mathbf{j} - z\mathbf{k}$ 'nin diverjansını bulun.

#### Çözüm $\mathbf{F}$ 'nin diverjansı

$$\nabla \cdot \mathbf{F} = \frac{\partial}{\partial x}(2xz) + \frac{\partial}{\partial y}(-xy) + \frac{\partial}{\partial z}(-z) = 2z - x - 1$$

olarak bulunur.

### Diverjans Teoremi

Diverjans Teoremi, uygun koşullar altında, bir vektör alanın, kapalı (dişarı doğru yönlendirilmiş) bir yüzeydeki dışarı doğru akısının, yüzeyin çevrelediği bölge üzerinde alanın diverjansının üç katlı integraline eşit olduğunu söyler.

#### TEOREM 7 Diverjans Teoremi

Bir  $\mathbf{F}$  vektör alanının kapalı yönlendirilmiş bir  $S$  yüzeyinde, yüzeyin dışarıya doğru olan  $\mathbf{n}$  birim normal alanı yönündeki akışı  $\nabla \cdot \mathbf{F}$ 'nin yüzeyin çevrelediği  $D$  bölgesindeki integraline eşittir.

$$\iint_S \mathbf{F} \cdot \mathbf{n} d\sigma = \iiint_D \nabla \cdot \mathbf{F} dV \quad [2]$$

Dışarı doğru  
aki                  Diverjans  
                            integrali

#### ÖRNEK 2 Diverjans Teoremini Desteklemek

$\mathbf{F} = x\mathbf{i} + y\mathbf{j} + z\mathbf{k}$  alanı için (2) Denkleminin iki tarafını da  $x^2 + y^2 + z^2 = a^2$  küresi üzerinde hesaplayın.

**Çözüm**  $f(x, y, z) = x^2 + y^2 + z^2 - a^2$  fonksiyonunun gradiyentinden hesaplanan  $S$ 'nin dış birim normali

$$\mathbf{n} = \frac{2(x\mathbf{i} + y\mathbf{j} + z\mathbf{k})}{\sqrt{4(x^2 + y^2 + z^2)}} = \frac{x\mathbf{i} + y\mathbf{j} + z\mathbf{k}}{a}$$

olur. Dolayısıyla,

$$\mathbf{F} \cdot \mathbf{n} d\sigma = \frac{x^2 + y^2 + z^2}{a} d\sigma = \frac{a^2}{a} d\sigma = a d\sigma$$

bulunur, çünkü yüzey üzerinde  $x^2 + y^2 + z^2 = a^2$  dir. Buradan

$$\iint_S \mathbf{F} \cdot \mathbf{n} d\sigma = \iint_S a d\sigma = a \iint_S d\sigma = a(4\pi a^2) = 4\pi a^3$$

elde edilir.

$\mathbf{F}$ 'nin diverjansı

$$\nabla \cdot \mathbf{F} = \frac{\partial}{\partial x}(x) + \frac{\partial}{\partial y}(y) + \frac{\partial}{\partial z}(z) = 3$$

bulunur, böylece

$$\iiint_D \nabla \cdot \mathbf{F} dV = \iiint_D 3 dV = 3 \left( \frac{4}{3} \pi a^3 \right) = 4\pi a^3$$

elde edilir. ■

#### ÖRNEK 3 Akı Bulmak

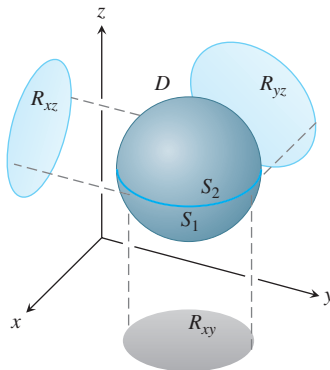
$\mathbf{F} = xy\mathbf{i} + yz\mathbf{j} + xz\mathbf{k}$ 'nın birinci sekizde bir bölgeden  $x = 1$ ,  $y = 1$  ve  $z = 1$  düzlemleriyle kesişen küpün yüzeyinden dışarı doğru akısını bulun.

**Çözüm** Akışı, altı ayrı integralin toplamı (küpün her yüzü için bir tane) olarak hesaplamak yerine,

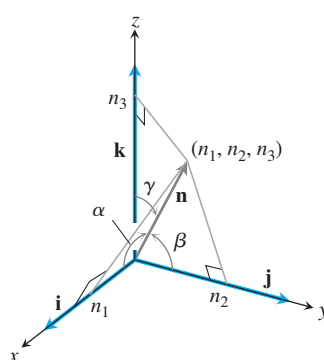
$$\nabla \cdot \mathbf{F} = \frac{\partial}{\partial x}(xy) + \frac{\partial}{\partial y}(yz) + \frac{\partial}{\partial z}(xz) = y + z + x$$

diverjansını küpün içinde integre ederek bulabiliriz:

$$\begin{aligned} \text{Akı} &= \iint_{\substack{\text{Küp} \\ \text{yüzeyi}}} \mathbf{F} \cdot \mathbf{n} d\sigma = \iiint_{\substack{\text{Küpün} \\ \text{içi}}} \nabla \cdot \mathbf{F} dV && \text{Diverjans Teoremi} \\ &= \int_0^1 \int_0^1 \int_0^1 (x + y + z) dx dy dz = \frac{3}{2}. && \text{Normal integrasyon} \end{aligned}$$



**ŞEKİL 16.69** Diverjans Teoremini önce burada görülenler gibi üç boyutlu bölgeler için ispatlarız. Sonra teoremi başka bölgelere genişletiriz.



**ŞEKİL 16.70** Bir  $\mathbf{n}$  birim normal vektörünün skaler bileşenleri,  $\mathbf{i}$ ,  $\mathbf{j}$  ve  $\mathbf{k}$  ile yaptığı  $\alpha$ ,  $\beta$  ve  $\gamma$  açılarının kosinüsleridir.

### Diverjans Teoreminin Özel Bölgeler İçin İspatı

Diverjans Teoremini ispat etmek için,  $\mathbf{F}$ 'nin bileşenlerinin birinci mertebe kısmi türevlerinin sürekli olduğunu varsayıyoruz. Ayrıca  $D$ 'nin deliği veya balonu olmayan, küre, küp veya elipsoid gibi konveks bir bölge olduğunu ve  $S$ 'nin de parçalı olarak düzgün bir yüzey olduğunu kabul edeceğiz. Ek olarak,  $D$ 'nin  $xy$ -düzlemindeki izdüşümü olan  $R_{xy}$  bölgesinin bir iç noktasında  $xy$ -düzlemine dik olan her doğrunun  $S$  yüzeyini tam iki noktada keserek,  $f_1 \leq f_2$  olmak üzere

$$\begin{aligned} S_1: \quad z &= f_1(x, y), & (x, y) \text{ in } R_{xy} \\ S_2: \quad z &= f_2(x, y), & (x, y) \text{ in } R_{xy} \end{aligned}$$

yüzeylerini ürettiğini varsayacağız.  $D$ 'nin diğer koordinat düzlemleri üzerine izdüşümleri için de benzer varsayımlarda bulunacağız. Şekil 16.69'a bakın.

Birim normal vektör  $\mathbf{n} = n_1\mathbf{i} + n_2\mathbf{j} + n_3\mathbf{k}$ 'nın bileşenleri,  $\mathbf{n}$ 'nin  $\mathbf{i}$ ,  $\mathbf{j}$  ve  $\mathbf{k}$  ile yaptığı  $\alpha$ ,  $\beta$  ve  $\gamma$  açılarının kosinüsleridir (Şekil 16.70). Bu doğrudur, çünkü söz konusu bütün vektörler birim vektörlerdir. Buradan,

$$\begin{aligned} n_1 &= \mathbf{n} \cdot \mathbf{i} = |\mathbf{n}| |\mathbf{i}| \cos \alpha = \cos \alpha \\ n_2 &= \mathbf{n} \cdot \mathbf{j} = |\mathbf{n}| |\mathbf{j}| \cos \beta = \cos \beta \\ n_3 &= \mathbf{n} \cdot \mathbf{k} = |\mathbf{n}| |\mathbf{k}| \cos \gamma = \cos \gamma \end{aligned}$$

bulunur. Böylece,

$$\mathbf{n} = (\cos \alpha)\mathbf{i} + (\cos \beta)\mathbf{j} + (\cos \gamma)\mathbf{k}$$

ve

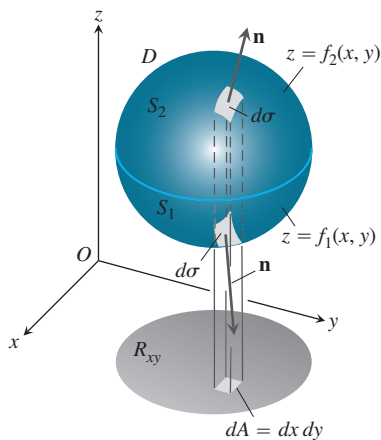
$$\mathbf{F} \cdot \mathbf{n} = M \cos \alpha + N \cos \beta + P \cos \gamma$$

elde edilir.

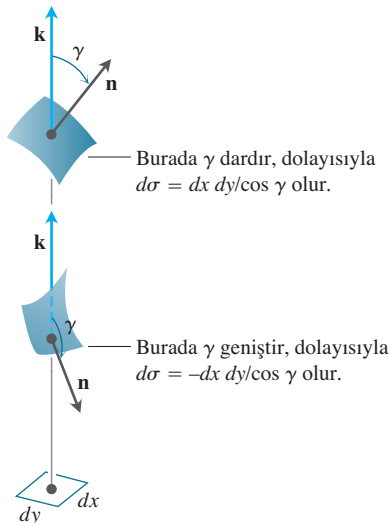
Bileşen formunda, Diverjans Teoremi

$$\iint_S (M \cos \alpha + N \cos \beta + P \cos \gamma) d\sigma = \iiint_D \left( \frac{\partial M}{\partial x} + \frac{\partial N}{\partial y} + \frac{\partial P}{\partial z} \right) dx dy dz$$

olduğunu söyler.



**ŞEKİL 16.71** Burada görülen  $S_1$  ve  $S_2$  yüzeyleriyle çevrili üç boyutlu  $D$  bölgesi, dikey olarak,  $xy$ -düzlemindeki iki boyutlu bir  $R_{xy}$  bölgesine iz düşer.



**FIGURE 16.72** Şekil 16.71'deki alan parçalarının büyütülmüş bir görüntüsü.  $d\sigma = \pm dx dy / \cos \gamma$  bağıntıları Bölüm 16.5' te türetilmiştir.

Aşağıdaki üç eşitliği kanıtlayarak teoremi ispatlayacağız:

$$\iint_S M \cos \alpha \, d\sigma = \iiint_D \frac{\partial M}{\partial x} \, dx \, dy \, dz \quad (3)$$

$$\iint_S N \cos \beta \, d\sigma = \iiint_D \frac{\partial N}{\partial y} \, dx \, dy \, dz \quad (4)$$

$$\iint_S P \cos \gamma \, d\sigma = \iiint_D \frac{\partial P}{\partial z} \, dx \, dy \, dz \quad (5)$$

**(5) Denkleminin İspatı** (5) Denklemini, soldaki yüzey integralini,  $D$ 'nin  $xy$ -düzleme iz düşümü  $R_{xy}$  üzerinde, iki katlı bir integrale dönüştürerek ispatlayacağız (Şekil 16.71).  $S$  yüzeyi, denklemi  $z = f_2(x, y)$  olan bir üst  $S_2$  yüzeyi ve denklemi  $z = f_1(x, y)$  olan bir alt  $S_1$  yüzeyinden oluşur.  $S_2$  üzerinde, dış normal  $\mathbf{n}$ 'nin pozitif bir  $\mathbf{k}$ -bileşeni vardır ve

$$d\sigma = \frac{dA}{|\cos \gamma|} = \frac{dx \, dy}{\cos \gamma} \text{ olduğundan } \cos \gamma \, d\sigma = dx \, dy$$

olar. Şekil 16.72'ye bakın.  $S_1$  üzerinde, dış normal  $\mathbf{n}$ 'nin negatif bir  $\mathbf{k}$ -bileşeni vardır ve

$$\cos \gamma \, d\sigma = -dx \, dy$$

olar. Dolayısıyla,

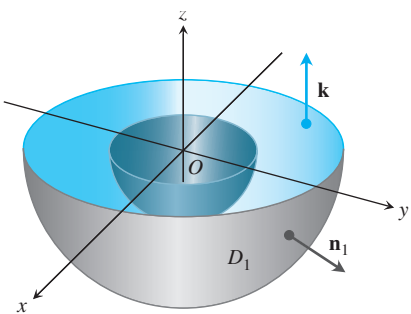
$$\begin{aligned} \iint_S P \cos \gamma \, d\sigma &= \iint_{S_2} P \cos \gamma \, d\sigma + \iint_{S_1} P \cos \gamma \, d\sigma \\ &= \iint_{R_{xy}} P(x, y, f_2(x, y)) \, dx \, dy - \iint_{R_{xy}} P(x, y, f_1(x, y)) \, dx \, dy \\ &= \iint_{R_{xy}} [P(x, y, f_2(x, y)) - P(x, y, f_1(x, y))] \, dx \, dy \\ &= \iint_{R_{xy}} \left[ \int_{f_1(x,y)}^{f_2(x,y)} \frac{\partial P}{\partial z} \, dz \right] \, dx \, dy = \iiint_D \frac{\partial P}{\partial z} \, dz \, dx \, dy. \end{aligned}$$

bulunur. Bu da (5) denklemini ispatlar. ■

(3) ve (4) Denklemlerinin ispatı da aynı şekilde yapılır; sadece sırasıyla  $x, y, z; M, N, P; \alpha, \beta, \gamma$ 'nın permütasyonlarını alın ve (5) Denkleminden sonuçları elde edin.

### Başka Bölgeler İçin Diverjans Teoremi

Diverjans Teoremi, yukarıda tartışılan gibi, sonlu sayıda basit bölgeye ayrışabilen böglelere ve belirli şekillerde basit bölgelerin sınırları olarak tanımlanabilen bögelere genişletilebilir. Örneğin,  $D$ 'nin eş-eksenli iki küre arasındaki bölge olduğunu ve  $\mathbf{F}$ 'nin bileşenlerinin,  $D$  ve sınır yüzeyleri üzerinde sürekli olarak türetilmesini varsayıp.  $D$ 'yi bir ekvator düz-



**ŞEKİL 16.73** İki eş eksenli küre arasındaki bölgeyi alt yarısı.

lemeyle ikiye bölün ve her iki yarıya ayrı ayrı Diverjans Teoremini uygulayın. Alt yarı,  $D_1$ , Şekil 16.73'te gösterilmektedir.  $D_1$ 'i sınırlayan  $S_1$  yüzeyi, bir dış yarım küre, pul şeklinde bir taban ve bir iç yarımküreden oluşmaktadır. Diverjans Teoreni

$$\iint_{S_1} \mathbf{F} \cdot \mathbf{n}_1 \, d\sigma_1 = \iiint_{D_1} \nabla \cdot \mathbf{F} \, dV_1 \quad (6)$$

olduğunu söyler.  $D_1$ 'den dışarıyı gösteren birim normal  $\mathbf{n}_1$  dış yüzey boyunca orijinden uzağı gösterir, tabanda  $\mathbf{k}$ 'ye eşittir ve iç yüzey boyunca orijini gösterir. Sonra, Diverjans Teoremini,  $D_2$ 'ye ve sınırı  $S_2$ 'ye (Şekil 16.74) uygularız:

$$\iint_{S_2} \mathbf{F} \cdot \mathbf{n}_2 \, d\sigma_2 = \iiint_{D_2} \nabla \cdot \mathbf{F} \, dV_2 \quad (7)$$

$S_2$  üzerinde,  $D_2$ 'den dışarıyı işaret eden  $\mathbf{n}_2$ 'yi izlersek,  $\mathbf{n}_2$ 'nin  $xy$ -düzlemindeki pul şeklinde bölgede  $-\mathbf{k}$ 'ye eşit olduğunu, dış küre üzerinde orijinden uzağı, iç küre üzerinde ise orijini gösterdiğini görürüz. (6) ve (7) Denklemlerini toplarsak,  $\mathbf{n}_1$  ve  $\mathbf{n}_2$ 'nin ters işaretleri nedenyile düzlemsel tabandaki integraller birbirini götürür. Dolayısıyla,  $D$  küreler arasındaki bölge,  $S$   $D$ 'nin iki küreden oluşan yüzeyi ve  $\mathbf{n}$  de  $S$ 'nin  $D$ 'den dışarı bakan birim normali olmak üzere

$$\iint_S \mathbf{F} \cdot \mathbf{n} \, d\sigma = \iiint_D \nabla \cdot \mathbf{F} \, dV$$

sonucuna ulaşırız.

#### ÖRNEK 4 Dışarıya Doğru Akımı Bulmak

$$\mathbf{F} = \frac{x\mathbf{i} + y\mathbf{j} + z\mathbf{k}}{\rho^3}, \quad \rho = \sqrt{x^2 + y^2 + z^2}$$

alanının  $D$ :  $0 < a^2 \leq x^2 + y^2 + z^2 \leq b^2$  bölgesinin sınırındaki dışarı doğru net akısını bulun.

**Çözüm** Akı,  $\nabla \cdot \mathbf{F}$  ifadesi  $D$  üzerinde integre edilerek bulunabilir.

$$\frac{\partial \rho}{\partial x} = \frac{1}{2}(x^2 + y^2 + z^2)^{-1/2}(2x) = \frac{x}{\rho}$$

ve

$$\frac{\partial M}{\partial x} = \frac{\partial}{\partial x}(x\rho^{-3}) = \rho^{-3} - 3x\rho^{-4} \frac{\partial \rho}{\partial x} = \frac{1}{\rho^3} - \frac{3x^2}{\rho^5}$$

olduğunu biliyoruz. Benzer şekilde,

$$\frac{\partial N}{\partial y} = \frac{1}{\rho^3} - \frac{3y^2}{\rho^5} \quad \text{ve} \quad \frac{\partial P}{\partial z} = \frac{1}{\rho^3} - \frac{3z^2}{\rho^5}$$

buluruz. Böylece

$$\operatorname{div} \mathbf{F} = \frac{3}{\rho^3} - \frac{3}{\rho^5}(x^2 + y^2 + z^2) = \frac{3}{\rho^3} - \frac{3\rho^2}{\rho^5} = 0$$

ve

$$\iiint_D \nabla \cdot \mathbf{F} dV = 0$$

elde edilir.

Yani,  $\nabla \cdot \mathbf{F}$ 'nin  $D$  üzerindeki integrali sıfırdır ve  $D$ 'nin sınırlarındaki dışarı doğru net akı sıfırdır. Ama bu örnekten öğrenilecek başka şeyler de vardır. İç küre  $S_a$  boyunca  $D$ 'den çıkan akı, dış küre  $S_b$  boyunca  $D$ 'den çıkan akının negatifidir (çünkü bu akıların toplamı sıfırdır). Böylece  $\mathbf{F}$ 'nin  $S_a$  üzerinde orijinden dışarı doğru akısı,  $\mathbf{F}$ 'nin  $S_b$  üzerinde orijinden dışarı doğru akısına eşittir. Yani,  $\mathbf{F}$ 'nin merkezi orijinde olan bir küre üzerinde akısı kürenin yarıçapından bağımsızdır. Akı nedir?

Bunu bulmak için, akı integralini doğrudan hesaplarız.  $a$  yarıçaplı küredeki dışarı doğru birim normal

$$\mathbf{n} = \frac{x\mathbf{i} + y\mathbf{j} + z\mathbf{k}}{\sqrt{x^2 + y^2 + z^2}} = \frac{x\mathbf{i} + y\mathbf{j} + z\mathbf{k}}{a}$$

olur. Dolayısıyla, küre üzerinde,

$$\mathbf{F} \cdot \mathbf{n} = \frac{x\mathbf{i} + y\mathbf{j} + z\mathbf{k}}{a^3} \cdot \frac{x\mathbf{i} + y\mathbf{j} + z\mathbf{k}}{a} = \frac{x^2 + y^2 + z^2}{a^4} = \frac{a^2}{a^4} = \frac{1}{a^2}$$

ve

$$\iint_{S_a} \mathbf{F} \cdot \mathbf{n} d\sigma = \frac{1}{a^2} \iint_{S_a} d\sigma = \frac{1}{a^2} (4\pi a^2) = 4\pi$$

elde edilir.  $\mathbf{F}$ 'nin herhangi bir küre üzerindeki dışarı doğru akısı  $4\pi$ 'dır. ■

### Gauss Yasası : Elektromanyetik Teorinin Dört Büyük Yasasından Biri

Örnek 4'ten öğrenilecek daha çok şey vardır. Elektromanyetik teoride, orijinde bulunan bir  $q$  nokta yükünün yarattığı elektrik alan,  $\epsilon_0$  fiziksel bir sabit,  $\mathbf{r}$  vektörü  $(x, y, z)$  noktasının konum vektörü ve  $\rho = |\mathbf{r}| = \sqrt{x^2 + y^2 + z^2}$  olmak üzere,

$$\mathbf{E}(x, y, z) = \frac{1}{4\pi\epsilon_0} \frac{q}{|\mathbf{r}|^2} \left( \frac{\mathbf{r}}{|\mathbf{r}|} \right) = \frac{q}{4\pi\epsilon_0} \frac{\mathbf{r}}{|\mathbf{r}|^3} = \frac{q}{4\pi\epsilon_0} \frac{x\mathbf{i} + y\mathbf{j} + z\mathbf{k}}{\rho^3}$$

ile verilir. Örnek 4'ün gösterimiyle,

$$\mathbf{E} = \frac{q}{4\pi\epsilon_0} \mathbf{F}$$

olarak yazılır.

Örnek 4'teki hesaplamalar,  $\mathbf{E}$ 'nin, merkezi orijinde olan herhangi bir küreden dışarı doğru, akısının  $q/\epsilon_0$  olduğunu gösterir. Ama bu sonuç kürelerle sınırlı değildir.  $\mathbf{E}$ 'nin orijini çevreleyen (ve Diverjans Teoreminin uygulanıldığı) herhangi bir kapalı  $S$  yüzeyinden dışarı doğru akısı da  $q/\epsilon_0$ 'dır. Nedenini anlamak için, sadece merkezi orijinde olan ve  $S$  yüzeyini çevreleyen büyük bir  $S_a$  külesi düşünmemiz yeterlidir.  $\rho > 0$  iken,

$$\nabla \cdot \mathbf{E} = \nabla \cdot \frac{q}{4\pi\epsilon_0} \mathbf{F} = \frac{q}{4\pi\epsilon_0} \nabla \cdot \mathbf{F} = 0$$

olduğundan,  $\nabla \cdot \mathbf{E}$ 'nin  $S$  ile  $S_a$  arasındaki  $D$  bölgesinde integrali sıfırdır. Dolayısıyla, Diverjans Teoremine göre,

$$\iint_{D' \text{ nin} \\ \text{sınırı}} \mathbf{E} \cdot \mathbf{n} \, d\sigma = 0,$$

ve  $\mathbf{E}$ 'nin  $S$  üzerinde orijinden uzağa doğru akısı,  $\mathbf{E}$ 'nin  $S_a$  üzerindeki orijinden uzağa doğru akısı ile aynı, yani  $q/\epsilon_0$  olmalıdır. Gauss yasası denilen bu ifade, herhangi bir fizik kitabında görebileceğiniz gibi, burada söz edilenden daha genel yük dağılımları için de geçerlidir.

Gauss Yasası: 
$$\iint_S \mathbf{E} \cdot \mathbf{n} \, d\sigma = \frac{q}{\epsilon_0}$$

### Hidrodinamiğin Sürekliklilik Denklemi

$D$ , uzayda kapalı, yönlendirilmiş bir  $S$  yüzeyiyle sınırlı bir bölge olsun.  $\mathbf{v}(x, y, z)$  alanı  $D$ 'den düzgün olarak geçen bir akışkanın hız alanı,  $\delta = \delta(t, x, y, z)$  akışkanın,  $t$  anında  $(x, y, z)$  noktasındaki yoğunluğu ve  $\mathbf{F} = \delta \mathbf{v}$  ise, hidrodinamiğin süreklilik denklemi

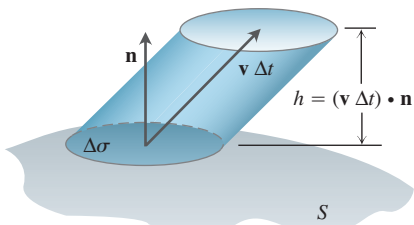
$$\nabla \cdot \mathbf{F} + \frac{\partial \delta}{\partial t} = 0.$$

olduğunu söyler. Söz konusu fonksiyonların sürekli birinci mertebe kısmi türevleri varsa, denklem, şimdi göreceğimiz gibi, Diverjans teoreminden doğal bir şekilde çıkar.

İlk olarak,

$$\iint_S \mathbf{F} \cdot \mathbf{n} \, d\sigma$$

integrali, kütlenin  $D$ 'yi  $S$ 'den geçerek terk ettiği hızdır (terk eder, çünkü  $\mathbf{n}$  dış normaldir). Nedenini anlamak için, yüzey üzerinde bir  $\Delta\sigma$  alan parçası düşünün (Şekil 16.75). Kısa bir  $\Delta t$  zaman aralığında, parçadan geçen akışkanın hacmi  $\Delta V$ , yaklaşık olarak taban alanı  $\Delta\sigma$  ve yüksekliği  $(\mathbf{v} \cdot \mathbf{n}) \Delta t$  olan bir "silindiri" doldurur:



**ŞEKİL 16.75** Kısa bir  $\Delta t$  zamanında  $\Delta\sigma$  parçasından yukarı doğru akan akışkan, hacmi yaklaşık olarak taban  $\times$  yükseklik  $= \mathbf{v} \cdot \mathbf{n} \Delta\sigma \Delta t$  olan bir "silindiri" doldurur.

$$\Delta V \approx \mathbf{v} \cdot \mathbf{n} \Delta\sigma \Delta t.$$

Hacmi bu olan akışkanın kütlesi yaklaşık olarak

$$\Delta m \approx \delta \mathbf{v} \cdot \mathbf{n} \Delta\sigma \Delta t,$$

olar, dolayısıyla kütlenin  $D$ 'yi parçadan geçerek terk etme hızı yaklaşık

$$\frac{\Delta m}{\Delta t} \approx \delta \mathbf{v} \cdot \mathbf{n} \Delta\sigma.$$

olar. Bu, kütlenin  $S$ 'den geçtiği ortalama hızın bir tahmini olarak

$$\frac{\sum \Delta m}{\Delta t} \approx \sum \delta \mathbf{v} \cdot \mathbf{n} \Delta\sigma$$

yaklaşımını verir.

Son olarak,  $\Delta\sigma \rightarrow 0$  ve  $\Delta t \rightarrow 0$  almak kütlenin  $D$ 'yi  $S$ 'den geçerek terk ettiği anlık hızı

$$\frac{dm}{dt} = \iint_S \delta \mathbf{v} \cdot \mathbf{n} d\sigma$$

olarak verir, ki bu da bizim seçtiğimiz akış için

$$\frac{dm}{dt} = \iint_S \mathbf{F} \cdot \mathbf{n} d\sigma$$

halini alır.

Şimdi  $B$ , merkezi akıştaki bir  $Q$  noktasında olan bir küre olsun.  $\nabla \cdot \mathbf{F}$ 'nin  $B$ 'deki ortalaması değeri

$$\frac{1}{B \text{ nin hacmi}} \iiint_B \nabla \cdot \mathbf{F} dV$$

olur.  $\nabla \cdot \mathbf{F}$ 'nin  $B$ 'deki bir  $P$  noktasında bu değeri alması, diverjansın sürekliliğinin bir sonucudur. Böylece,

$$\begin{aligned} (\nabla \cdot \mathbf{F})_P &= \frac{1}{B \text{ nin hacmi}} \iiint_B \nabla \cdot \mathbf{F} dV = \frac{\iint_S \mathbf{F} \cdot \mathbf{n} d\sigma}{B \text{ nin hacmi}} \\ &= \frac{\text{Kütlenin } S \text{ yüzeyinden geçerek } D \text{ yi terk ettiği hız}}{B \text{ nin hacmi}} \end{aligned} \quad (8)$$

elde edilir. Sağ taraftaki kesir azalmayı birim hacim başına kütle olarak tanımlar.

Şimdi, merkez  $Q$  sabit kalırken,  $B$ 'nin yarıçapını sıfıra götürün. (8) denklemının sol tarafı  $(\nabla \cdot \mathbf{F})_Q$ 'ya, sağ tarafı ise  $(-\partial\delta/\partial t)_Q$ 'ya yakınsar. Bu iki limitin eşitliği süreklilik denklemidir:

$$\nabla \cdot \mathbf{F} = -\frac{\partial \delta}{\partial t}$$

Süreklik denklemi  $\nabla \cdot \mathbf{F}$ 'yi “açıklar”:  $\mathbf{F}$ 'nin bir noktadaki diverjansı, akışkanın yoğunluğunun o noktada azalma hızıdır.

#### Diverjans Teoremi

$$\iint_S \mathbf{F} \cdot \mathbf{n} d\sigma = \iiint_D \nabla \cdot \mathbf{F} dV$$

artık akışkanın yoğunluğunun  $D$  bölgesindeki net azalmasının,  $S$  yüzeyinden geçen kütleye geçtiğini söyler. Böylece, teorem kütle korunumunun bir ifadesidir (Alıştırma 31).

#### İntegral Teoremlerini Birleştirme

İki boyutlu bir  $\mathbf{F} = M(x, y)\mathbf{i} + N(x, y)\mathbf{j}$  alanını,  $\mathbf{k}$ -bileşeni sıfır olan üç boyutlu bir alan olarak düşünürsek,  $\nabla \cdot \mathbf{F} = (\partial M / \partial x) + (\partial N / \partial y)$  ve Green Teoreminin normal şekli

$$\oint_C \mathbf{F} \cdot \mathbf{n} ds = \iint_R \left( \frac{\partial M}{\partial x} + \frac{\partial N}{\partial y} \right) dx dy = \iint_R \nabla \cdot \mathbf{F} dA$$

olarak yazılabilir.

Benzer şekilde,  $\nabla \times \mathbf{F} \cdot \mathbf{k} = (\partial N / \partial x) - (\partial M / \partial y)$ ’dir, dolayısıyla Green Teoreminin teğet şekli

$$\oint_C \mathbf{F} \cdot d\mathbf{r} = \iint_R \left( \frac{\partial N}{\partial x} - \frac{\partial M}{\partial y} \right) dx dy = \iint_R \nabla \times \mathbf{F} \cdot \mathbf{k} dA$$

olarak yazılabilir. Şimdi, Green Teoreminin denklemlerinin del gösterimleri yardımıyla, bunların Stokes Teoremi ve Diverjans Teoremi denklemleriyle ilişkilerini görebiliriz.

### Green Teoremi ve Üç Boyuta Genelleştirilmesi

**Green Teoreminin normal şekli:**

$$\oint_C \mathbf{F} \cdot \mathbf{n} ds = \iint_R \nabla \cdot \mathbf{F} dA$$

**Diverjans Teoremi:**

$$\iint_S \mathbf{F} \cdot \mathbf{n} d\sigma = \iiint_D \nabla \cdot \mathbf{F} dV$$

**Green Teoreminin teğet şekli:**

$$\oint_C \mathbf{F} \cdot d\mathbf{r} = \iint_R \nabla \times \mathbf{F} \cdot \mathbf{k} dA$$

**Stokes Teoremi:**

$$\oint_C \mathbf{F} \cdot d\mathbf{r} = \iint_S \nabla \times \mathbf{F} \cdot \mathbf{n} d\sigma$$

Stokes Teoreminin, Green Teoreminin teğet şeklini (rotasyonel) düzlemdeki bir yüzeyden üç boyutlu uzaydaki bir yüzeye nasıl genelleştirdiğine dikkat edin. Her iki durumda da,  $\nabla \times \mathbf{F}$ ’nin normal bileşeninin yüzey içindeki integrali  $\mathbf{F}$ ’nin sınırdaki dolaşımına eşittir.

Aynı şekilde, Diverjans Teoremi de Green Teoreminin normal (akış) şeklini, düzlemdeki iki boyutlu bir bölgeden uzaydaki üç boyutlu bir bölgeye genelleştirir. Her iki durumda da,  $\nabla \cdot \mathbf{F}$ ’nın bölgenin içindeki integrali,  $\mathbf{F}$  alanının sınırdaki toplam akısına eşittir.

Buradan hala öğrenilecek şeyler vardır. Bu sonuçların hepsi tek bir *temel teoremin* şekilleri olarak düşünülebilir. Bölüm 5.4’teki, Analizin Temel Teoremini düşünün.  $f(x)$  ( $a, b$ )’de türetilebilirse ve  $[a, b]$ ’de sürekli ise

$$\int_a^b \frac{df}{dx} dx = f(b) - f(a)$$

olduğunu söyler.

$[a, b]$  boyunca  $\mathbf{F} = f(x)\mathbf{i}$  alırsak,  $(df/dx) = \nabla \cdot \mathbf{F}$  olur.  $[a, b]$ ’nin sınırdaki normal birim vektör  $\mathbf{n}$ ’yi  $b$ ’de  $\mathbf{i}$  ve  $a$ ’da  $-\mathbf{i}$  olarak tanımlarsak (Şekil 16.76),

$$\begin{aligned} f(b) - f(a) &= f(b)\mathbf{i} \cdot (\mathbf{i}) + f(a)\mathbf{i} \cdot (-\mathbf{i}) \\ &= \mathbf{F}(b) \cdot \mathbf{n} + \mathbf{F}(a) \cdot \mathbf{n} \\ &= \mathbf{F}' \text{nin } [a, b] \text{'nin sınırdaki toplam dışarı doğru akısı} \end{aligned}$$

olur. Atık Temel Teorem

$$\mathbf{F}(b) \cdot \mathbf{n} + \mathbf{F}(a) \cdot \mathbf{n} = \int_{[a,b]} \nabla \cdot \mathbf{F} dx$$

olduğunu söyler.



**ŞEKİL 16.76** Bir boyutlu uzayda  $[a, b]$ ’nın sınırlarındaki dışarı doğru birim normaler.

Analizin Temel Teoremi, Green Teoreminin akı formu ve Diverjans Teoreminin hepsi, bir bölgede bir  $\mathbf{F}$  alanına etki eden  $\nabla \cdot$  diferansiyel operatörünün integralinin, bölgenin sınırlarındaki normal alan bileşenlerinin toplamına eşit olduğunu söyler (Burada, Green Teoremindeki eğrisel integrali ve Diverjans Teoremindeki yüzey intergalini, sınır üzerindeki “toplamlar” olarak yorumluyoruz).

Stokes Teoremi ve Green Teoreminin teğet formu, her şey düzgün olarak yönlendirildiğinde, bir alana uygulanan rotasyonelin normal bileşeninin integralinin, yüzeyin sınırlarındaki teğet alan bileşenlerinin toplamına eşit olduğunu söyler.

Bu yorumların güzelliği, altlarında, aşağıdaki gibi ifade edebileceğimiz harika bir gözlemin yatmasındadır.

Bir alana etki eden diferansiyel bir operatörün bir bölgedeki integrali, o operatöre uygun, alan bileşenlerinin bölge sınırlarındaki toplamına eşittir.

## ALIŞTIRMALAR 16.8

### Diverjans Hesaplama

1–4 alıştırmalarında, alanın diverjansını bulun.

1. Şekil 16.14'teki spin alanı.
2. Şekil 16.13'teki radyal alan.
3. Şekil 16.9'daki yerçekimi alanı.
4. Şekil 16.12'deki hız alanı.

### Dışarı Doğru Akımı Hesaplamak İçin Diverjans Teoremini Kullanmak

5–16 alıştırmalarında, Diverjans Teoremini kullanarak,  $\mathbf{F}$ 'nin  $D$  bölgesinin sınırı üzerinde, dışarı doğru akısını bulun.

5. **Küp**  $\mathbf{F} = (y - x)\mathbf{i} + (z - y)\mathbf{j} + (y - x)\mathbf{k}$

$D$ :  $x = \pm 1$ ,  $y = \pm 1$  ve  $z = \pm 1$  düzlemleriyle sınırlı küp

6.  $\mathbf{F} = x^2\mathbf{i} + y^2\mathbf{j} + z^2\mathbf{k}$

a. **Küp**  $D$ : Birinci sekizde bir bölgeden  $x = 1$ ,  $y = 1$  ve  $z = 1$  düzlemleriyle kesilen küp

b. **Küp**  $D$ :  $x = \pm 1$ ,  $y = \pm 1$  ve  $z = \pm 1$  düzlemleriyle sınırlı küp

c. **Silindirik kutu**  $D$ :  $x^2 + y^2 \leq 4$  silindirinden  $z = 0$  ve  $z = 1$  düzlemleri ile kesilen bölge

7. **Silindir ve paraboloid**  $\mathbf{F} = y\mathbf{i} + xy\mathbf{j} - z\mathbf{k}$

$D$ :  $x^2 + y^2 \leq 4$  silindirinin içinde  $z = 0$  düzlemeyle  $z = x^2 + y^2$  paraboloidi arasında kalan bölge

8. **Küre**  $\mathbf{F} = x^2\mathbf{i} + xz\mathbf{j} + 3z\mathbf{k}$

$D$ :  $x^2 + y^2 + z^2 \leq 4$  küresi

9. **Küre parçası**  $\mathbf{F} = x^2\mathbf{i} - 2xy\mathbf{j} + 3xz\mathbf{k}$

$D$ : Birinci sekizde bir bölgeden  $x^2 + y^2 + z^2 = 4$  küresiyle kesilen bölge

10. **Silindirik kutu**  $\mathbf{F} = (6x^2 + 2xy)\mathbf{i} + (2y + x^2z)\mathbf{j} + 4x^2y^3\mathbf{k}$

$D$ : Birinci sekizde bir bölgeden  $x^2 + y^2 = 4$  silindiri ve  $z = 3$  düzlemeyle kesilen bölge.

11. **Takoz**  $\mathbf{F} = 2xz\mathbf{i} - xy\mathbf{j} - z^2\mathbf{k}$

$D$ : Birinci sekizde bir bölgeden  $y + z = 4$  düzleme ve  $4x^2 + y^2 = 16$  eliptik silindiriyle kesilen takoz.

12. **Küre**  $\mathbf{F} = x^3\mathbf{i} + y^3\mathbf{j} + z^3\mathbf{k}$

$D$ :  $x^2 + y^2 + z^2 \leq a^2$  bölgesi

13. **Kalın küre**  $\mathbf{F} = \sqrt{x^2 + y^2 + z^2}(\mathbf{x}\mathbf{i} + \mathbf{y}\mathbf{j} + \mathbf{z}\mathbf{k})$

$D$ :  $1 \leq x^2 + y^2 + z^2 \leq 2$  bölgesi

14. **Kalın küre**  $\mathbf{F} = (\mathbf{x}\mathbf{i} + \mathbf{y}\mathbf{j} + \mathbf{z}\mathbf{k})/\sqrt{x^2 + y^2 + z^2}$

$D$ :  $1 \leq x^2 + y^2 + z^2 \leq 4$  bölgesi

15. **Kalın küre**  $\mathbf{F} = (5x^3 + 12xy^2)\mathbf{i} + (y^3 + e^y \sin z)\mathbf{j} + (5z^3 + e^y \cos z)\mathbf{k}$

$D$ :  $x^2 + y^2 + z^2 = 1$  ve  $x^2 + y^2 + z^2 = 2$  küreleri arasındaki bölge

16. **Kalın silindir**  $\mathbf{F} = \ln(x^2 + y^2)\mathbf{i} - \left(\frac{2z}{x} \tan^{-1}\frac{y}{x}\right)\mathbf{j} + z\sqrt{x^2 + y^2}\mathbf{k}$

$D$ : Kalın duvarlı  $1 \leq x^2 + y^2 \leq 2$ ,  $-1 \leq z \leq 2$  silindiri

## Rotasyonel ve Diverjansın Özellikleri

17.  $\operatorname{div}(\operatorname{rot} \mathbf{G})$  sıfırdır

- $G = Mi + Nj + Pk$  alanının bileşenlerinin gerekli kısmı türevleri sürekli ise,  $\nabla \cdot \nabla \times \mathbf{G} = 0$  olduğunu gösterin.
- $\nabla \times \mathbf{G}$  alanının kapalı bir yüzeydeki akısı hakkında nasıl bir sonuca varırsınız? Yanınızı açıklayın.
- $\mathbf{F}_1$  ile  $\mathbf{F}_2$  türetilebilir vektör alanları ve  $a$  ile  $b$  de keyfi reel sabitler olsun. Aşağıdaki bağıntıları doğrulayın.
  - $\nabla \cdot (a\mathbf{F}_1 + b\mathbf{F}_2) = a\nabla \cdot \mathbf{F}_1 + b\nabla \cdot \mathbf{F}_2$
  - $\nabla \times (a\mathbf{F}_1 + b\mathbf{F}_2) = a\nabla \times \mathbf{F}_1 + b\nabla \times \mathbf{F}_2$
  - $\nabla \cdot (\mathbf{F}_1 \times \mathbf{F}_2) = \mathbf{F}_2 \cdot \nabla \times \mathbf{F}_1 - \mathbf{F}_1 \cdot \nabla \times \mathbf{F}_2$

19.  $\mathbf{F}$  türetilebilir bir vektör alanı ve  $g(x, y, z)$  de türetilebilir skaler bir fonksiyon olsun. Aşağıdaki bağıntıları doğrulayın.

- $\nabla \cdot (g\mathbf{F}) = g\nabla \cdot \mathbf{F} + \nabla g \cdot \mathbf{F}$
- $\nabla \times (g\mathbf{F}) = g\nabla \times \mathbf{F} + \nabla g \times \mathbf{F}$

20.  $\mathbf{F} = Mi + Nj + Pk$  türetilebilir bir vektör alanıysa,  $\mathbf{F} \cdot \nabla$  gösterimini

$$M \frac{\partial}{\partial x} + N \frac{\partial}{\partial y} + P \frac{\partial}{\partial z}$$

olarak tanımlarız. Türetilebilir vektör alanları  $\mathbf{F}_1$  ile  $\mathbf{F}_2$  için aşağıdaki bağıntıları doğrulayın.

- $\nabla \times (\mathbf{F}_1 \times \mathbf{F}_2) = (\mathbf{F}_2 \cdot \nabla)\mathbf{F}_1 - (\mathbf{F}_1 \cdot \nabla)\mathbf{F}_2 + (\nabla \cdot \mathbf{F}_2)\mathbf{F}_1 - (\nabla \cdot \mathbf{F}_1)\mathbf{F}_2$
- $\nabla(\mathbf{F}_1 \cdot \mathbf{F}_2) = (\mathbf{F}_1 \cdot \nabla)\mathbf{F}_2 + (\mathbf{F}_2 \cdot \nabla)\mathbf{F}_1 + \mathbf{F}_1 \times (\nabla \times \mathbf{F}_2) + \mathbf{F}_2 \times (\nabla \times \mathbf{F}_1)$

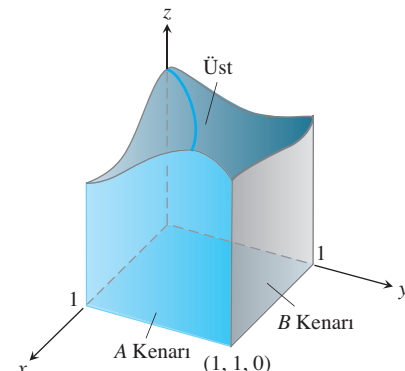
## Teori ve Örnekler

21.  $\mathbf{F}$ , uzayın düzgün kapalı bir  $S$  yüzeyiyle sınırlı bir  $D$  bölgesini içeren bir parçasında, bileşenlerinin sürekli birinci mertebe kısmı türevleri var olan bir alan olsun.  $|\mathbf{F}| \leq 1$  ise,

$$\iiint_D \nabla \cdot \mathbf{F} dV$$

integralinin büyüklüğü üzerine bir sınır konulabilir mi? Yanınızı açıklayın.

22. Şekilde gösterilen kapalı küpe benzer cismin tabanı  $xy$ -düzlemindeki birim karedir. Dört kenar  $x = 0, x = 1, y = 0$  ve  $y = 1$  düzlemlerinde bulunur. Üstü, bağıntısı bilinmeyen keyfi bir düzgün yüzeydir.  $\mathbf{F} = xi - 2yj + (z+3)k$  olsun ve  $\mathbf{F}'$ nin  $A$  kenarından dışarı doğru akısının 1 ve  $B$  kenarından dışarı doğru akısının  $-3$  olduğunu varsayıyın. Üst taraftan dışarı doğru akı hakkında bir sonuç çıkarabilir misiniz? Yanınızı açıklayın.



23. a. Konum vektör alanı  $\mathbf{F} = xi + yj + zk$ 'nın düzgün kapalı bir  $S$  yüzeyinden dışarı doğru akısının, yüzeyin çevrelediği bölgenin hacminin üç katı olduğunu gösterin.

b.  $\mathbf{n}$ ,  $S$  yüzeyinin dışarı doğru birim normal vektör alanı olsun.  $\mathbf{F}$ 'nin,  $S$ 'nin her noktasında  $\mathbf{n}$ 'ye ortogonal olmasının mümkün olmadığını gösterin.

24. **Maksimum akı**  $0 \leq x \leq a, 0 \leq y \leq b, 0 \leq z \leq 1$  eşitsizlikleriyle tanımlı bütün dikdörtgen şekilli cisimler arasından  $\mathbf{F} = (-x^2 - 4xy)i - 6yzj + 12zk$ 'nın altı yüzeyden dışarı doğru akısının en büyük olduğu cismi bulun. En büyük akı nedir?

25. **Bir katı cismin hacmi**  $\mathbf{F} = xi + yj + zk$  olsun ve  $S$  yüzeyinin, Diverjans Teoreminin koşullarını sağladığını varsayıyın.  $D$ 'nin hacminin

$$D \text{ nin hacmi} = \frac{1}{3} \iint_S \mathbf{F} \cdot \mathbf{n} d\sigma$$

formülüyle verildiğini gösterin.

26. **Sabit bir alanın akısı** Sabit bir  $\mathbf{F} = C$  vektör alanının, Diverjans Teoreminin uygulanabileceği herhangi bir kapalı yüzeyden dışarı doğru akısının sıfır olduğunu gösterin.

27. **Harmonik fonksiyonlar** Bir  $f(x, y, z)$  fonksiyonu bir  $D$  bölgesinde

$$\nabla^2 f = \nabla \cdot \nabla f = \frac{\partial^2 f}{\partial x^2} + \frac{\partial^2 f}{\partial y^2} + \frac{\partial^2 f}{\partial z^2} = 0$$

Laplace denklemini sahyorsa,  $f$  fonksiyonuna  $D$ 'de *harmonik* denir.

a.  $f$ 'nin düzgün bir  $S$  yüzeyiyle çevrelenen sınırlı bir  $D$  bölgesinde harmonik olduğunu ve  $\mathbf{n}$ 'nin  $S$  üzerinde seçilen birim normal vektör olduğunu varsayıyın.  $\nabla f \cdot \mathbf{n}$ , yani  $f$ 'nin  $\mathbf{n}$  yönündeki türevinin  $S$  üzerindeki integralinin sıfır olduğunu gösterin.

b.  $f, D$  üzerinde harmonik ise,

$$\iint_S f \nabla f \cdot \mathbf{n} d\sigma = \iiint_D |\nabla f|^2 dV.$$

olduğunu gösterin.

28. **Bir gradiyent alanın akısı**  $S, x^2 + y^2 + z^2 \leq a^2$  küresinin birinci

sekizde bir bölgede bulunan kısmının yüzeyi ve  $f(x, y, z) = \ln\sqrt{x^2 + y^2 + z^2}$ . olsun.

$$\iint_S \nabla f \cdot \mathbf{n} d\sigma.$$

akışını hesaplayın ( $\nabla f \cdot \mathbf{n}$ ,  $f$ 'nin  $\mathbf{n}$  yönündeki türevi).

- 29. Green'in birinci formülü**  $f$  ve  $g$ 'nin, parçalı olarak düzgün bir  $S$  yüzeyiyle sınırlı, kapalı bir  $D$  bölgesinde birinci ve ikinci mertebe kısmi türevleri sürekli olan skaler fonksiyonlar olduğunu varsayıın.

$$\iint_S f \nabla g \cdot \mathbf{n} d\sigma = \iiint_D (f \nabla^2 g + \nabla f \cdot \nabla g) dV. \quad (9)$$

olduğunu gösterin. (9) Denklemi **Green'in birinci formülüdür**. (İpucu:  $\mathbf{F} = f \nabla g$  alanına Diverjans Teoremini uygulayın.)

- 30. Green'in ikinci formülü** (Alışturma 29'un devamı.) (9) Denklemde  $f$  ve  $g$ 'nin yerlerini değiştirerek benzer bir formül elde edin. Sonra bu formülü (9) Denkleminden çıkararak,

$$\iint_S (f \nabla g - g \nabla f) \cdot \mathbf{n} d\sigma = \iiint_D (f \nabla^2 g - g \nabla^2 f) dV. \quad (10)$$

olduğunu gösterin. Bu denklem **Green'in ikinci formülüdür**.

- 31. Kütle korunumu**  $\mathbf{v}(t, x, y, z)$  uzayda bir  $D$  bölgesinde sürekli olarak türetilebilen bir vektör alanı ve  $p(t, x, y, z)$  de sürekli olarak türetilebilen skaler bir fonksiyon olsun.  $t$  değişkeni zaman aralığını gösterir. Kütle Korunumu Yasası,  $D$ 'yi çevreleyen yüzey  $S$  olmak üzere,

$$\frac{d}{dt} \iiint_D p(t, x, y, z) dV = - \iint_S p \mathbf{v} \cdot \mathbf{n} d\sigma,$$

olduğunu söyler.

- a.  $\mathbf{v}$  bir hız akış alanı ise ve  $p$  de akışkanın  $t$  anında  $(x, y, z)$  noktasındaki yoğunluğunu temsil ediyorsa, kütle korunumunun fiziksel bir yorumunu yapın.

- b. Diverjans Teoremini ve Leibniz kuralını,

$$\frac{d}{dt} \iiint_D p(t, x, y, z) dV = \iiint_D \frac{\partial p}{\partial t} dV$$

kullanarak, Kütle Korunumu Yasasının

$$\nabla \cdot p \mathbf{v} + \frac{\partial p}{\partial t} = 0$$

(süreklik denklemine eşdeğer olduğunu gösterin (Birinci terim  $\nabla \cdot p \mathbf{v}$ 'de  $t$  değişkeninin, ikinci terim  $\partial p / \partial t$ 'de ise  $D$ 'deki  $(x, y, z)$  noktasının sabit tutulduğu varsayılmaktadır)).

- 32. Isı difüzyon denklemi** İkinci mertebe kısmi türevleri sürekli olan  $T(t, x, y, z)$ 'nın, uzayda bir  $D$  bölgesini kaplayan bir cismin,  $t$  anında  $(x, y, z)$  noktasındaki sıcaklığını veren bir fonksiyon olduğunu varsayıın. Cisin özgül ısısı ve kütle yoğunluğu sırasıyla  $c$  ve  $\rho$  ile gösteriliyorsa,  $c\rho T$  büyütügüne cisinin **birim hacimdeki ısı enerjisi** denir.

- a.  $-\nabla T$ 'nin neden ısı akışı yönünde olduğunu açıklayın.

- b.  $-k\nabla T$  enerji aksi vektörünü göstersin. ( $k$  sabitine **iletkenlik** denir.) Alıştırma 31'deki Kütle korunum Yasasında  $-k\nabla T = \mathbf{v}$  ve  $c\rho T = p$  olduğunu varsayıarak,  $K = k/(c\rho) > 0$  yayılma sabiti olmak üzere,

$$\frac{\partial T}{\partial t} = K \nabla^2 T$$

difüzyon (ısı) denklemi Türetin ( $T(t, x)$  kenarları mükemmel şekilde yalıtılmış düzgün iletken bir çubukta  $t$  anında  $x$  konumundaki sıcaklığı temsil ediyorsa,  $\nabla^2 T = \partial^2 T / \partial x^2$  olacağına ve difüzyon denklemının Bölüm 14 Ek Alıştırmalarındaki bir-boyutlu ısı denklemine indirgeneceğine dikkat edin).

## Bölüm 16

### Bölüm Tekrar Soruları

- Eğrisel integraller nedir? Nasıl hesaplanırlar? Örnekler verin.
- Yayların kütle merkezini bulmak için eğrisel integralleri nasıl kullanabilirsiniz? Açıklayın.
- Bir vektör alanı ve bir gradiyent alanı nedir? Örnekler verin.
- Bir parçası bir eğri boyunca hareket ettirmek için bir kuvvetin yaptığı işi nasıl hesaplaysınız? Bir örnek verin.
- Akış, dolaşım ve aki nedir?
- Yoldan bağımsız alanların özelliği nedir?
- Bir alanın korunmalı olduğunu nasıl söylersiniz?
- Bir potansiyel fonksiyon nedir? Örnek vererek, korunmalı bir alanın potansiyel fonksiyonunun nasıl bulunacağını gösterin.
- Diferansiyel form nedir? Böyle bir formun tam olması ne anlamına gelir? Tamlığı nasıl test edersiniz? Örnekler verin.
- Bir vektör alanının diverjansı nedir? Bunu nasıl yorumlarsınız?
- Bir vektör alanının rotasyoneli nedir? Bunu nasıl yorumlarsınız?
- Green Teoremi nedir? Bunu nasıl yorumlarsınız?
- Uzaydaki eğri bir yüzeyin alanını nasıl hesaplaysınız? Bir örnek verin.

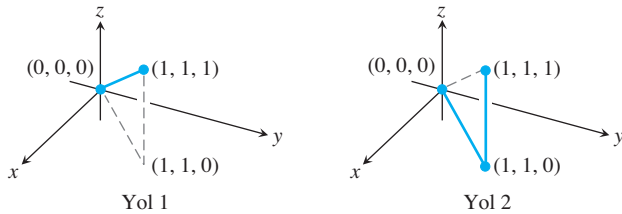
14. Yönlendirilmiş bir yüzey nedir? Üç-boyutlu bir vektör alanının yönlendirilmiş bir yüzeydeki akışını nasıl hesaplaysınız? Bir örnek verin.
15. Yüzey integralleri nedir? Bunlarla ne hesaplayabilirsiniz? Bir örnek verin.
16. Parametrize bir yüzey nedir? Böyle bir yüzeyin alanını nasıl bulabilirsiniz? Örnekler verin.
17. Bir fonksiyonu parametrize bir yüzeyde nasıl integre edersiniz? Bir örnek verin.
18. Stokes teoremi nedir? Bunu nasıl yorumlarsınız?
19. Bölümün korunmalı alanlar üzerine çıkardığı sonuçları özetleyin.
20. Diverjans Teoremi nedir? Bunu nasıl yorumlarsınız?
21. Diverjans Teoremi, Green Teoremini nasıl genelleştirir?
22. Stokes Teoremi, Green Teoremini nasıl genelleştirir?
23. Green Teoremi, Stokes Teoremi ve Diverjans Teoremi tek bir temel teoremin şekilleri olarak nasıl düşünülebilir?

## Bölüm 16

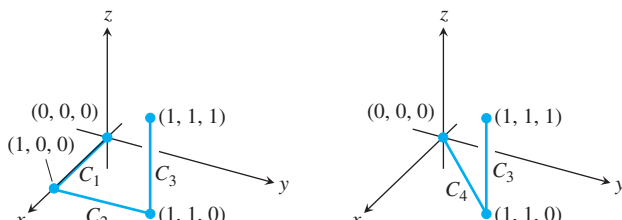
### Problemler

#### Eğrisel İntegralleri Hesaplamak

1. Şekil, uzayda orijini  $(1, 1, 1)$  noktasına bağlayan iki çok kenarlı yol göstermektedir.  $f(x, y, z) = 2x - 3y^2 - 2z + 3$  fonksiyonunu her yol üzerinde integre edin.



2. Şekil, uzayda orijini  $(1, 1, 1)$  noktasına bağlayan üç çok kenarlı yol göstermektedir.  $f(x, y, z) = x^2 + y - z$  fonksiyonunu her yol üzerinde integre edin.



3.  $f(x, y, z) = \sqrt{x^2 + z^2}yi$
- $$\mathbf{r}(t) = (a \cos t)\mathbf{j} + (a \sin t)\mathbf{k}, \quad 0 \leq t \leq 2\pi.$$
- çember üzerinde integre edin.

4.  $f(x, y, z) = \sqrt{x^2 + y^2}yi$

$\mathbf{r}(t) = (\cos t + t \sin t)\mathbf{i} + (\sin t - t \cos t)\mathbf{j}, \quad 0 \leq t \leq \sqrt{3}.$

involut eğrisi üzerinde integre edin.

5 ve 6 problemlerindeki integralleri hesaplayın.

5.  $\int_{(-1,1,1)}^{(4,-3,0)} \frac{dx + dy + dz}{\sqrt{x + y + z}}$

6.  $\int_{(1,1,1)}^{(10,3,3)} dx - \sqrt{\frac{z}{y}} dy - \sqrt{\frac{y}{z}} dz$

7.  $\mathbf{F} = -(y \sin z)\mathbf{i} + (x \sin z)\mathbf{j} + (xy \cos z)\mathbf{k}$ 'yi  $x^2 + y^2 + z^2 = 5$  küresinden  $z = -1$  düzlemiyle kesilen çember üzerinde, yukarıdan bakıldığından saat yönünde integre edin.

8.  $\mathbf{F} = 3x^2\mathbf{i} + (x^3 + 1)\mathbf{j} + 9z^2\mathbf{k}$ 'yi  $x^2 + y^2 + z^2 = 9$  küresinden  $x = 2$  düzlemiyle kesilen çember üzerinde integre edin.

9 ve 10 problemlerindeki eğrisel integrallerini hesaplayın.

9.  $\int_C 8x \sin y \, dx - 8y \cos x \, dy$

$C$ , birinci dörtte bir bölgeden  $x = \pi/2$  ve  $y = \pi/2$  doğruları ile kesilen karedir.

10.  $\int_C y^2 \, dx + x^2 \, dy$

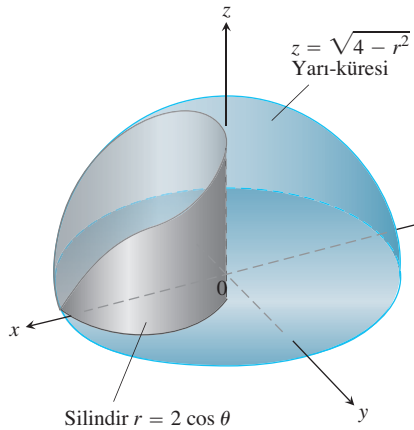
$C$ ,  $x^2 + y^2 = 4$  çemberidir.

#### Yüzey İntegrallerini Hesaplamak

11. **Eliptik bir bölgenin alanı**  $x + y + z = 1$  düzleminden  $x^2 + y^2 = 1$  silindiriyle kesilen eliptik bölgenin alanını bulun.
12. **Parabolik bir kapağın alanı** alanı  $y^2 + z^2 = 3x$  paraboloidinden  $x = 1$  düzlemiyle kesilen kapağın alanını bulun.
13. **Küresel bir kapağın alanı**  $x^2 + y^2 + z^2 = 1$  küresinden  $z = \sqrt{2}/2$  düzlemiyle kesilen kapağın alanını bulun.

- 14. a. Silindirle kesilen yarı-küre**  $x^2 + y^2 + z^2 = 4, z \geq 0$ , yarıküresinden  $x^2 + y^2 = 2x$  silindirile kesilen yüzeyin alanını bulun.

- b. Silindirin yarı-küre içinde kalan kısmının alanını bulun (İpucu:**  $xz$ -düzlemi üzerinde izdüşümü alın. Veya  $h$  silindirin yüksekliği ve  $ds$  de  $xy$ -düzlemindeki  $x^2 + y^2 = 2x$  çemberinin yay uzunluğu elemanı olmak üzere,  $\int h ds$  integralini hesaplayın).



- 15. Bir üçgenin alanı**  $(x/a) + (y/b) + (z/c) = 1$  ( $a, b, c > 0$ ) düzleminin birinci sekizde bir bölgeyle kesimi olan üçgenin alanını bulun. Yanınızı uygun bir vektör hesabıyla doğrulayın.

- 16. Düzlemlerle kesilen parabolik silindir**  $y^2 - z = 1$  parabolik silindirinden  $x = 0, x = 3$  ve  $z = 0$  düzlemleriyle kesilen yüzey üzerinde

$$\text{a. } g(x, y, z) = \frac{yz}{\sqrt{4y^2 + 1}} \quad \text{b. } g(x, y, z) = \frac{z}{\sqrt{4y^2 + 1}}$$

fonksiyonlarını integre edin.

- 17. Düzlemlerle kesilen dairesel silindir**  $g(x, y, z) = x^4 y(y^2 + z^2)$ 'yi  $y^2 + z^2 = 25$  silindirinin birinci sekizde bir bölgede  $x = 0$  ve  $x = 1$  düzlemlerinin arasında ve  $z = 3$  düzleminin üst tarafında kalan kısmı üzerinde integre edin.

- 18. Wyoming'in alanı** Wyoming eyaleti  $111^\circ 3'$  ve  $104^\circ 3'$  batı meridyenleri ile  $41^\circ$  ve  $45^\circ$  kuzey paralelleri arasındadır. Dünyanın,  $R = 3959$  mil yarıçaplı bir küre olduğunu varsayıarak, Wyoming'in alanını bulun.

## Parametrize Yüzeyler

19–24 problemlerindeki yüzeylerin parametrizasyonlarını bulun (Bu-nu yapmanın bir çok yolu vardır, dolayısıyla yanıtlarınız kitabın arkasındaki aynı olmayabilir).

- 19. Silindirik şerit**  $x^2 + y^2 + z^2 = 36$  küresinin  $z = -3$  ve  $z = 3\sqrt{3}$  düzlemleri arasında kalan kısmı.

- 20. Parabolik kapak**  $z = -(x^2 + y^2)/2$  paraboloidinin  $z = -2$  düzleminin üst tarafında kalan kısmı.

- 21. Koni**  $z = 1 + \sqrt{x^2 + y^2}, z \leq 3$  konisi

- 22. Kare üzerinde düzlemler**  $4x + 2y + 4z = 12$  düzleminin birinci dörtte bir bölgedeki  $0 \leq x \leq 2, 0 \leq y \leq 2$  karesinin üzerindeki kısmı

- 23. Paraboloid parçası**  $y = 2(x^2 + z^2), y \leq 2$ , paraboloidinin  $xy$ -düzleminin üstünde kalan kısmı

- 24. Yarı-küre parçası**  $x^2 + y^2 + z^2 = 10, y \geq 0$ , yarı-küresinin birinci sekizde bir bölgede kalan kısmı

- 25. Yüzey alanı** Aşağıdaki yüzeyin alanını bulun.

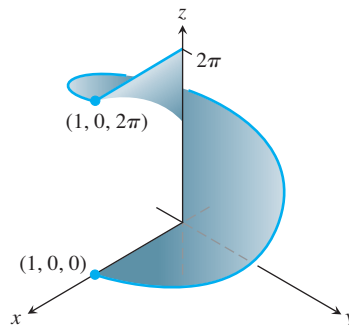
$$\mathbf{r}(u, v) = (u + v)\mathbf{i} + (u - v)\mathbf{j} + v\mathbf{k}, \quad 0 \leq u \leq 1, \quad 0 \leq v \leq 1$$

- 26. Yüzey integrali**  $f(x, y, z) = xy - z^2$  yi Problem 25'teki yüzey üzerinde integre edin.

- 27. Helikoid alanı** Aşağıdaki şekilde görülen

$$\mathbf{r}(r, \theta) = (r \cos \theta)\mathbf{i} + (r \sin \theta)\mathbf{j} + \theta\mathbf{k}, \quad 0 \leq \theta \leq 2\pi, \quad 0 \leq r \leq 1$$

helikoidinin yüzey alanını bulun.



- 28. Yüzey integrali**  $\iint_S \sqrt{x^2 + y^2 + 1} d\sigma$  integralini,  $S$  yüzeyi Problem 27'deki helikoid olmak üzere, hesaplayın.

## Korunaklı Alanlar

29–32 Problemlerindeki alanların hangileri korunaklı, hangileri değildir?

29.  $\mathbf{F} = x\mathbf{i} + y\mathbf{j} + z\mathbf{k}$

30.  $\mathbf{F} = (\mathbf{x}\mathbf{i} + \mathbf{y}\mathbf{j} + \mathbf{z}\mathbf{k})/(x^2 + y^2 + z^2)^{3/2}$

31.  $\mathbf{F} = xe^y\mathbf{i} + ye^z\mathbf{j} + ze^x\mathbf{k}$

32.  $\mathbf{F} = (\mathbf{i} + \mathbf{z}\mathbf{j} + \mathbf{y}\mathbf{k})/(x + yz)$

33 ve 34 Problemlerindeki alanların potansiyel fonksiyonlarını bulun.

33.  $\mathbf{F} = 2\mathbf{i} + (2y + z)\mathbf{j} + (y + 1)\mathbf{k}$

34.  $\mathbf{F} = (z \cos xz)\mathbf{i} + e^y\mathbf{j} + (x \cos xz)\mathbf{k}$

## İş ve Dolaşım

35 ve 36 Problemlerde, Alıştırma 1'deki  $(0, 0, 0)$ dan  $(1, 1, 1)$ 'e gitmek yollar üzerinde, her bir alanın yaptığı işi bulun.

35.  $\mathbf{F} = 2xy\mathbf{i} + \mathbf{j} + x^2\mathbf{k}$

36.  $\mathbf{F} = 2xy\mathbf{i} + x^2\mathbf{j} + \mathbf{k}$

37. **İş'i iki yoldan bulmak**  $\mathbf{r}(t) = (e^t \cos t)\mathbf{i} + (e^t \sin t)\mathbf{j}$  düzlem eğrisi üzerinde  $(1, 0)$  noktasından  $(e^{2\pi}, 0)$  noktasına kadar

$$\mathbf{F} = \frac{x\mathbf{i} + y\mathbf{j}}{(x^2 + y^2)^{3/2}}$$

kuvvetinin yaptığı işi iki farklı yoldan bulun:

- a. İş integralini hesaplamak için eğrinin parametrizasyonunu kullanarak,
- b.  $\mathbf{F}$ 'nin bir potansiyel fonksiyonunu hesaplayarak.

38. **Farklı yollar üzerinde akış**  $\mathbf{F} = \nabla(x^2ze^y)$  alanının akışını aşağıdaki gibi bulun.

- a.  $x + y + z = 1$  düzleminin  $x^2 + z^2 = 25$  silindirini kestiği  $C$  elipsi boyunca, pozitif  $y$ -ekseninden bakıldığındaysa saat yönünde bir tur,
- b. Problem 27'deki helikoidin eğri sınırında  $(1, 0, 0)$ dan  $(1, 0, 2\pi)$ 'ye kadar.

39 ve 40 Problemlerinde, Stokes Teoremindeki yüzey integralini kullanarak  $\mathbf{F}$ 'nin  $C$  eğrisi üzerinde belirtilen yönündeki dolaşımını bulun.

39. **Bir elips üzerinde dolaşım**  $\mathbf{F} = y^2\mathbf{i} - y\mathbf{j} + 3z^2\mathbf{k}$

$C$ :  $2x + 6y - 3z = 6$  düzleminin  $x^2 + y^2 = 1$  silindirini kestiği elips, yukarıdan bakıldığındaysa saat yönünün tersine

40. **Bir çember üzerinde dolaşım**  $\mathbf{F} = (x^2 + y)\mathbf{i} + (x + y)\mathbf{j} + (4y^2 - z)\mathbf{k}$

$C$ :  $z = -y$  düzleminin  $x^2 + y^2 + z^2 = 4$  küresini kestiği çember, yukarıdan bakıldığındaysa saat yönünün tersine

## Kütle ve Momentler

41. **Farklı yoğunluklarda tel**  $t$ 'deki yoğunluğu (a)  $\delta = 3t$  ve (b)  $\delta = 1$  ise,  $\mathbf{r}(t) = \sqrt{2t}\mathbf{i} + \sqrt{2t}\mathbf{j} + (4 - t^2)\mathbf{k}$ , eğrisi üzerinde bulunan ince bir telin kütlesini bulun.

42. **Değişken yoğunluklu tel**  $t$ 'deki yoğunluğu  $\delta = 3\sqrt{5 + t}$  ise,  $\mathbf{r}(t) = t\mathbf{i} + 2t\mathbf{j} + (2/3)t^{3/2}\mathbf{k}$ ,  $0 \leq t \leq 2$ , eğrisi üzerinde bulunan ince bir telin kütlesini bulun.

43. **Değişken yoğunluklu tel**  $t$ 'deki yoğunluğu  $\delta = 1/(t+1)$  ise,

$$\mathbf{r}(t) = t\mathbf{i} + \frac{2\sqrt{2}}{3}t^{3/2}\mathbf{j} + \frac{t^2}{2}\mathbf{k}, \quad 0 \leq t \leq 2,$$

eğrisi üzerinde bulunan ince bir telin kütle merkezini, koordinat eksenleri etrafındaki eylemsizlik momentlerini ve jirasyon yarıçaplarını bulun.

44. **Bir yayın kütle merkezi** İnce bir metal yay  $xy$ -düzlemindeki  $y = \sqrt{a^2 - x^2}$  yarıçemberi üzerinde bulunmaktadır. Yay üzerindeki  $(x, y)$  noktasında yoğunluk  $\delta(x, y) = 2a - y$ dir. Kütle merkezini bulun.

45. **Sabit yoğunluklu tel** Sabit  $\delta = 1$  yoğunluklu bir tel,  $\mathbf{r}(t) = (e^t \cos t)\mathbf{i} + (e^t \sin t)\mathbf{j} + e^t \mathbf{k}$ ,  $0 \leq t \leq \ln 2$ , eğrisi üzerindedir.  $\bar{z}$ ,  $I_z$  ve  $R_z$ 'yi bulun.

46. **Sabit yoğunluklu helisel tel**  $\mathbf{r}(t) = (2 \sin t)\mathbf{i} + (2 \cos t)\mathbf{j} + 3t\mathbf{k}$ ,  $0 \leq t \leq 2\pi$ , helisi üzerinde bulunan sabit  $\delta$  yoğunluklu telin kütlesini ve kütle merkezini bulun.

47. **Bir kabuğun eylemsizliği, jirasyon yarıçapı, kütle merkezi**  $x^2 + y^2 + z^2 = 25$  küresinin üst kısmından  $z = 3$  düzlemeyle kesilen ve yoğunluğu  $\delta(x, y, z) = z$  olan ince kabuğun kütle merkezini,  $I_z$ 'yi ve  $R_z$ 'yi bulun.

48. **Bir küpün eylemsizlik momenti** Yoğunluğu  $\delta = 1$  ise, birinci sekizde bir bölgeden  $x = 1$ ,  $y = 1$  ve  $z = 1$  düzlemleriyle kesilen küp yüzeyinin  $z$ -ekseni etrafındaki eylemsizlik momentini bulun.

## Dülezsel Bir Eğri veya Yüzeydeki Açı

Green Teoremini kullanarak, 49 ve 50 Problemlerindeki alan ve eğriler için saat yönünün tersine dolaşımı ve dışarı doğru akışını bulun.

49. **Kare**  $\mathbf{F} = (2xy + x)\mathbf{i} + (xy - y)\mathbf{j}$

$C$ :  $x = 0$ ,  $x = 1$ ,  $y = 0$ ,  $y = 1$  ile sınırlı kare

50. **Üçgen**  $\mathbf{F} = (y - 6x^2)\mathbf{i} + (x + y^2)\mathbf{j}$

$C$ :  $y = 0$ ,  $y = x$  ve  $x = 1$  doğrularıyla oluşturulan üçgen

51. **Sıfır eğrisel integral** Green Teoreminin uygulanabildiği herhangi kapalı bir  $C$  eğrisi için

$$\oint_C \ln x \sin y \, dy - \frac{\cos y}{x} \, dx = 0$$

olduğunu gösterin.

52. a. **Dışarıya akı ve alan**  $\mathbf{F} = x\mathbf{i} + y\mathbf{j}$  konum vektör alanının, Green Teoreminin uygulanabildiği herhangi bir kapalı eğriden dışarı doğru akısının, eğrinin çevrelediği bölgenin alanının iki katı olduğunu gösterin.

- b. **n**, Green Teoreminin uygulanabildiği kapalı bir eğrinin dışarı doğru birim normal vektörü olsun.  $\mathbf{F} = x\mathbf{i} + y\mathbf{j}$  alanının  $C$ 'nin her noktasında  $\mathbf{n}$ 'ye ortogonal olmasının mümkün olmadığını gösterin.

53–56 Problemlerinde,  $\mathbf{F}$  alanının,  $D$ 'nin sınırlarından dışarı doğru akışını bulun.

53. **Küp**  $\mathbf{F} = 2xy\mathbf{i} + 2yz\mathbf{j} + 2xz\mathbf{k}$

$D$ : Birinci sekizde bir bölgeden  $x = 1$ ,  $y = 1$ ,  $z = 1$  düzlemleriyle kesilen küp

54. **Küresel kapak**  $\mathbf{F} = xz\mathbf{i} + yz\mathbf{j} + \mathbf{k}$

$D$ :  $x^2 + y^2 + z^2 \leq 25$  küresinden  $z = 3$  düzlemeyle kesilen üst kapağıın bütün yüzeyi

55. **Küresel kapak**  $\mathbf{F} = -2x\mathbf{i} - 3y\mathbf{j} + z\mathbf{k}$

$D$ :  $x^2 + y^2 + z^2 \leq 2$  küresinden  $z = x^2 + y^2$  paraboloidiyle kesilen üst bölge

56. **Koni ve silindir**  $\mathbf{F} = (6x + y)\mathbf{i} - (x + z)\mathbf{j} + 4yz\mathbf{k}$

$D$ : Birinci sekizde bir bölgede  $z = \sqrt{x^2 + y^2}$  konisi,  $x^2 + y^2 = 1$  silindiri ve koordinat düzlemleriyle sınırlanan bölge

- 57. Yarı-küre, silindir ve düzlem**  $S$ , soldan  $x^2 + y^2 + z^2 = a^2, y \leq 0$ , yarım küresi, ortadan  $x^2 + z^2 = a^2, 0 \leq y \leq a$  silindiri ve sağdan  $y = a$  düzlemeyle sınırlı yüzey olsun.  $\mathbf{F} = y\mathbf{i} + z\mathbf{j} + x\mathbf{k}$  alanının  $S$ 'den dışarı doğru akışını bulun.
- 58. Silinder ve düzlemler**  $\mathbf{F} = 3xz^2\mathbf{i} + y\mathbf{j} - z^3\mathbf{k}$  alanının, birinci sekizde bir bölgede  $x^2 + 4y^2 = 16$  silindiri ve  $y = 2z, x = 0$  ve  $z = 0$  düzlemleri ile sınırlı cismin yüzeyinden dışarı doğru akışını bulun.

**59. Silindirik kutu** Diverjans Teoremini kullanarak,  $\mathbf{F} = xy^2\mathbf{i} + x^2y\mathbf{j} + y\mathbf{k}$  alanının  $x^2 + y^2 = 1$  silindiri,  $z = 1$  ve  $z = -1$  düzlemleriyle çevrili bölgeden dışarı doğru akışını bulun.

**60. Yarı-küre**  $\mathbf{F} = (3z + 1)\mathbf{k}$ 'nin  $x^2 + y^2 + z^2 = a^2, z \geq 0$ , yarı-küresinden dışarı doğru akışını (a) Diverjans Teoremiyle ve (b) integrali doğrudan hesaplayarak bulun.

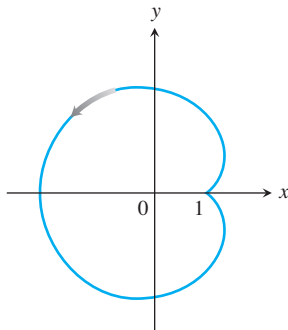
## Bölüm 16

### Ek ve İleri Alıştırmalar

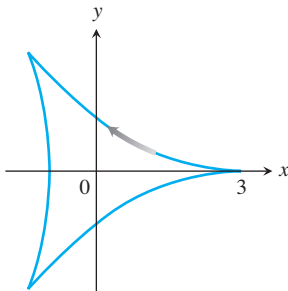
#### Green Teoremiyle Alan Bulmak

Green Teoremi alan formülünü kullanarak, Alıştırmalar 16.4'teki (13) Denklemi, 1–4 alıştırmalarındaki eğrilerle sınırlı bölgelerin alanlarını bulun.

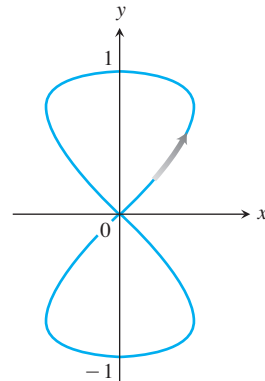
1.  $x = 2 \cos t - \cos 2t, y = 2 \sin t - \sin 2t, 0 \leq t \leq 2\pi$  limaçunu



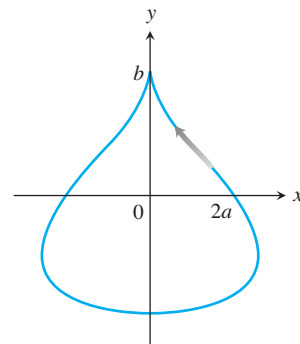
2.  $x = 2 \cos t + \cos 2t, y = 2 \sin t - \sin 2t, 0 \leq t \leq 2\pi$  deltoidi



3.  $x = (1/2) \sin 2t, y = \sin t, 0 \leq t \leq \pi$  (bir çevrim) sekiz eğrisi



4.  $x = 2a \cos t - a \sin 2t, y = b \sin t, 0 \leq t \leq 2\pi$  gözyası daması



## Teori ve Uygulamalar

- Sadece bir noktada  $\mathbf{0}$  değerini alan ve  $\operatorname{rot} \mathbf{F}$  her yerde sıfırdan farklı olan bir  $\mathbf{F}(x, y, z)$  vektör alanına bir örnek verin. Noktayı belirlemeyi ve rotasyoneli hesaplamayı unutmayın.
- Sadece bir doğru üzerinde  $\mathbf{0}$  değerini alan ve  $\operatorname{rot} \mathbf{F}$  her yerde sıfırdan farklı olan bir  $\mathbf{F}(x, y, z)$  vektör alanına bir örnek verin. Doğruyu belirlemeyi ve rotasyoneli hesaplamayı unutmayın.
- Bir yüzeyde  $\mathbf{0}$  değerini alan ve  $\operatorname{rot} \mathbf{F}$  her yerde sıfırdan farklı olan bir  $\mathbf{F}(x, y, z)$  vektör alanına bir örnek verin. Yüzeyi belirlemeyi ve rotasyoneli hesaplamayı unutmayın.
- $x^2 + y^2 + z^2 = R^2$  küresi üzerinde  $\mathbf{F} = yz^2\mathbf{i} + xz^2\mathbf{j} + 2xyz\mathbf{k}$  vektör alanının yüzeye normal olduğu ve  $\mathbf{F}(a, b, c) \neq \mathbf{0}$  olduğu bütün  $(a, b, c)$  noktalarını bulun.
- Yüzeydeki her  $(x, y, z)$  noktasında kütle yoğunluğu  $\delta(x, y, z)$ , yüzey üzerindeki sabit bir  $(a, b, c)$  noktasına uzaklık olmak üzere  $R$  yarıçaplı bir küresel kabuğun kütlesini bulun.
- Yoğunluk fonksiyonu  $\delta(x, y, z) = 2\sqrt{x^2 + y^2}$  ise,

$$\mathbf{r}(r, \theta) = (r \cos \theta)\mathbf{i} + (r \sin \theta)\mathbf{j} + \theta\mathbf{k}$$

$0 \leq r \leq 1$ ,  $0 \leq \theta \leq 2\pi$ , helikoidinin kütlesini bulun. Şekil için Problem 27'ye bakın.

- $0 \leq x \leq a$ ,  $0 \leq y \leq b$  dikdörtgen bölgeleri arasında,  $\mathbf{F} = (x^2 + 4xy)\mathbf{i} - 6y\mathbf{j}$  alanının, dört kenardan dışarı doğru akısı en küçük olanını bulun. En küçük akı nedir?
- $x^2 + y^2 + z^2 = 4$  küresiyle kesişim çemberi üzerinde,  $\mathbf{F} = z\mathbf{i} + x\mathbf{j} + y\mathbf{k}$  akış alanının dolasımı maksimum olacak şekilde, orijinden geçen bir düzlem denklemi bulun.

- Birinci bölgede,  $x^2 + y^2 = 4$  çemberi üzerinde  $(2, 0)$ 'dan  $(0, 2)$ 'ye kadar bir ip bulunmaktadır. İpin yoğunluğu  $\rho(x, y) = xy$ 'dır.
- İpi sonlu sayıda alt yaya bölgerek,  $g$  yerçekimi sabiti olmak üzere, yerçekiminin ipi  $x$ -eksenine indirmek için yapacağı işin,

$$\text{İş} = \lim_{n \rightarrow \infty} \sum_{k=1}^n g x_k y_k^2 \Delta s_k = \int_C g xy^2 ds$$

olduğunu gösterin.

- (a) şıkkındaki eğrisel integrali hesaplayarak yapılan toplam işi bulun.
- Yapılan toplam işin, ipin kütle merkezi  $(\bar{x}, \bar{y})$ 'yi  $x$ -eksenine indirmek için yapılması gereken işe eşit olduğunu gösterin.
- İnce bir tabaka, birinci sekizde bir bölgede  $x + y + z = 1$  düzleminde bulunmaktadır. Tabakanın yoğunluğu  $\delta(x, y, z) = xyz$ 'dir.
- Tabakayı sonlu sayıda alt parçalara bölgerek, yerçekiminin tabakayı  $xy$ -düzlemine indirmek için yapacağı işin,  $g$  yerçekimi sabiti olmak üzere,

$$\text{İş} = \lim_{n \rightarrow \infty} \sum_{k=1}^n g x_k y_k z_k \Delta \sigma_k = \iint_S g xyz d\sigma$$

olduğunu gösterin.

- (a) şıkkındaki yüzey integralini hesaplayarak yapılan toplam işi bulun.

- Yapılan toplam işin, tabakanın kütle merkezi  $((\bar{x}, \bar{y}, \bar{z}))$ 'yi  $xy$ -düzlemine indirmek için yapılması gereken işe eşit olduğunu gösterin.

- Arşimet prensibi** Top gibi bir cisim bir sıvuya yerleştirilirse, ya dibde çökecek, ya yüzecek ya da belirli bir mesafe batacak ve sıvı içinde asılı kalacaktır. Bir sıvinin sabit bir  $w$  ağırlık yoğunluğu olduğunu ve sıvinin yüzeyinin  $z = 4$  düzlemeyle çakıştığını varsayıın. Küresel bir top sıvı içinde asılı kalır ve  $x^2 + y^2 + (z - 2)^2 \leq 1$  bölgelerini kaplar.

- Sivının basıncından dolayı top üzerine etkiyen toplam kuvvetin büyüklüğünü veren yüzey integralinin

$$\text{Kuvvet} = \lim_{n \rightarrow \infty} \sum_{k=1}^n w(4 - z_k) \Delta \sigma_k = \iint_S w(4 - z) d\sigma$$

olduğunu gösterin.

- Top hareket etmediği için, sıvinin kaldırma kuvveti tarafından tutuluyor olmalıdır. Küre üzerindeki kaldırma kuvvetinin büyüklüğünün,  $\mathbf{n}(x, y, z)$ 'de dış birim normal olmak üzere,

$$\text{Kaldırma kuvveti} = \iint_S w(z - 4) \mathbf{k} \cdot \mathbf{n} d\sigma$$

olduğunu gösterin. Bu, su altındaki bir cismin üzerine etkiyen kaldırma kuvvetinin büyüklüğünün yerdeğistiren suyun ağırlığına eşit olduğunu söyleyen Arşimet prensibinin bir göstergedir.

- Diverans Teoremini kullanarak (b) şıkkındaki kaldırma kuvvetinin büyüklüğünü bulun.

- Eğri bir yüzeye akışkan kuvveti**  $z = \sqrt{x^2 + y^2}$ ,  $0 \leq z \leq 2$  yüzeyi şeklindeki bir koni sabit  $w$  ağırlık yoğunluğu bir sıvıyla doldurulmuştur.  $xy$ -düzleminin “taban seviyesi” olduğunu varsayıarak, koninin  $z = 1$ 'den  $z = 2$ 'ye kadar olan kısmı üzerinde, sıvı basıncından dolayı, toplam kuvvetin

$$F = \iint_S w(2 - z) d\sigma$$

yüzey integrali olduğunu gösterin. İntegrali hesaplayın.

- Faraday yasası**  $\mathbf{E}(t, x, y, z)$  ve  $\mathbf{B}(t, x, y, z)$ ,  $t$  anında  $(x, y, z)$  noktasındaki elektrik ve manyetik alanları temsil ediyorlarsa, elektromanyetik teorinin temel bir prensibi  $\nabla \times \mathbf{E} = -\frac{\partial \mathbf{B}}{\partial t}$  olduğunu söyley. Bu ifade,  $\nabla \times \mathbf{E}$ ,  $t$  sabit tutularak ve  $\frac{\partial \mathbf{B}}{\partial t}$  de  $(x, y, z)$  sabit tutularak hesaplanır. Stokes Teoremini kullanarak, Faraday yasasını,

$$\oint_C \mathbf{E} \cdot d\mathbf{r} = -\frac{\partial}{\partial t} \iint_S \mathbf{B} \cdot \mathbf{n} d\sigma$$

türetin. Burada  $C$  eğrisi, akımın, yüzeyin birim normali  $\mathbf{n}$ 'ye göre, saat yönünün tersine aktığı ve  $C$  etrafında

$$\oint_C \mathbf{E} \cdot d\mathbf{r}$$

gerilimine yol açan tel bir döngüyü temsil etmektedir. Denklemin sağ tarafındaki yüzey integraline *manyetik akı* denir ve  $S$  de sınırı  $C$  olan herhangi bir yönlendirilmiş yüzeydir.

16.

$$\mathbf{F} = -\frac{GmM}{|\mathbf{r}|^3} \mathbf{r}$$

$\mathbf{r} \neq \mathbf{0}$  için tanımlı çekim kuvvet alanı olsun. Bölüm 16.8' deki Gauss Yasasını kullanarak,  $\mathbf{F} = \nabla \times \mathbf{H}$  denklemini sağlayan sürekli olarak türetilebilir bir  $\mathbf{H}$  vektör alanı bulunmadığını gösterin.

17.  $f(x, y, z)$  ve  $g(x, y, z)$  sınırı  $C$  eğrisi olan yönlendirilmiş bir  $S$  yüzeyi üzerinde tanımlı sürekli olarak türetilebilen skaler fonksiyonlarsa,

$$\iint_S (\nabla f \times \nabla g) \cdot \mathbf{n} d\sigma = \oint_C f \nabla g \cdot d\mathbf{r}$$

olduğunu ispatlayın.

18. Dışarı doğru birim normal vektörü  $\mathbf{n}$  olan yönlendirilmiş  $S$  yüzeyiyle sınırlı bir  $D$  bölgesinde  $\nabla \cdot \mathbf{F}_1 = \nabla \cdot \mathbf{F}_2$  ve  $\nabla \times \mathbf{F}_1 = \nabla \times \mathbf{F}_2$  olduğunu ve  $S$  üzerinde  $\mathbf{F}_1 \cdot \mathbf{n} = \mathbf{F}_2 \cdot \mathbf{n}$  olduğunu varsayıncı.  $D$  üzerinde  $\mathbf{F}_1 = \mathbf{F}_2$  olduğunu gösterin.

19.  $\nabla \cdot \mathbf{F} = 0$  ve  $\nabla \times \mathbf{F} = 0$  ise,  $\mathbf{F} = \mathbf{0}$  olduğunu ispatlayın veya olmadığını gösterin.

20.  $S$ ,  $\mathbf{r}(u, v)$  ile parametrize edilen yönlendirilmiş bir yüzey olsun.  $d\sigma$  yüzeye normal bir vektör olmak üzere  $d\sigma = \mathbf{r}_u du \times \mathbf{r}_v dv$  gösterimini tanımlayın. Ayrıca,  $d\sigma = |d\sigma|$  büyülüyü yüzey alanı elemanıdır (Bölüm 16.6'daki 5 Denkleminde dolayı).

$$d\sigma = (EG - F^2)^{1/2} du dv$$

olmak üzere,

$$E = |\mathbf{r}_u|^2, \quad F = \mathbf{r}_u \cdot \mathbf{r}_v \quad \text{ve} \quad G = |\mathbf{r}_v|^2$$

bağıntısını türetin.

21. Uzaya dışarı doğru birim normal vektörü  $\mathbf{n}$  olan yönlendirilmiş bir  $S$  yüzeyiyle sınırlı bir  $D$  bölgesinin hacmi  $V$ 'nin,  $D$  üzerindeki  $(x, y, z)$  noktasının konum vektörü  $\mathbf{r}$  olmak üzere,

$$V = \frac{1}{3} \iint_S \mathbf{r} \cdot \mathbf{n} d\sigma$$

bağıntısını sağladığını gösterin.

## Bölüm 16

### Teknoloji Uygulama Projeleri

#### Mathematica /Maple Module

##### Korunaklı ve Korunaklı Olmayan Kuvvet Alanlarında İş

Vektör alanları üzerinde integrali araştırın ve alan içinde farklı yollar boyunca, korunaklı ve korunaklı olmayan kuvvet fonksiyonları ile deneyler yapın.

#### Mathematica /Maple Module

##### Green Teoremini Gözünüzde Nasıl Canlandırırsınız?

Vektör alanları üzerinde integrasyonu araştırın ve eğrisel integralleri hesaplamak için parametrizasyonlar kullanın. Green Teoreminin her iki şekli inceleniyor.

#### Mathematica /Maple Module

##### Diverjans Teoremini Göz Önüne Getirmek ve Yorumlamak

Belli birlerinde diverjansları ve yüzey integrallerini formüle edip hesaplayarak Diverjans Teoremini gerçekleyin.

# EKLER

## E.1

### Matematik İndüksiyon

$$1 + 2 + \cdots + n = \frac{n(n + 1)}{2},$$

gibi bir çok formülün her  $n$  pozitif tamsayısi için doğru olduğu *matematiksel indüksiyon prensibi* denilen bir aksiyom uygulanarak gösterilebilir. Bu aksiyomu kullanan bir ispata *matematiksel indüksiyonla ispat* veya *indüksiyonla ispat* denir.

Bir formülü indüksiyona ispatlamadan adımları aşağıdadır.

1. Formülün  $n = 1$  için doğruluğunu kontrol edin.
2. Formül herhangi bir pozitif  $n = k$  tamsayısi için doğru ise, bundan sonraki tamsayı,  $n = k + 1$ , için de doğru olduğunu gösterin.

İndüksiyon aksiyomu şunu söyler: bu adımlar tamamlandığında, formül bütün pozitif  $n$  tamsayıları için doğrudur. Adım 1'den, formül  $n = 1$  için doğrudur. Adım 2' den  $n = 2$  ve dolayısıyla Adım 2'den  $n = 3$  ve yine Adım 2'den  $n = 4$  için, vb. doğrudur. İlk domino taşı düşerse, ve  $k$ . domino taşı düşerken her zaman  $(k + 1)$ . taşı vuruyorsa, bütün domino taşları düşer.

Başa bir bakış açısıyla, her pozitif tamsayı için bir tane olmak üzere, elimizde  $S_1, S_2, \dots, S_n, \dots$ , ifadelerinin bulunduğu varsayıyalım. İfadelerin herhangi birinin doğru olduğunu varsayımanın sıradaki diğer ifadenin doğru olduğu anlamına geldiğini gösterebildiğimizi varsayıyalım. Ayrıca  $S_1$ 'in de doğru olduğunu gösterdiğimizi düşünelim. Bu durumda  $S_1$ 'den sonraki bütün ifadelerin doğru olduğu sonucunu çıkarabiliriz.

**ÖRNEK 1** Her pozitif  $n$  sayısı için

$$1 + 2 + \cdots + n = \frac{n(n + 1)}{2}$$

eşitliğinin doğruluğunu matematiksel indüksiyonla gösterin.

**Çözüm** İspatı yukarıdaki iki adımı kullanarak yapacağız.

1. Formü  $n = 1$  için doğrudur, çünkü

$$1 = \frac{1(1 + 1)}{2}$$

bulunur.

2. Formül  $n = k$  için doğru ise,  $n = k + 1$  için de doğru mudur? Yanıt evettir ve nedeni şudur: Eğer

$$1 + 2 + \cdots + k = \frac{k(k + 1)}{2}$$

ise, bu durumda,

$$\begin{aligned} 1 + 2 + \cdots + k + (k + 1) &= \frac{k(k + 1)}{2} + (k + 1) = \frac{k^2 + k + 2k + 2}{2} \\ &= \frac{(k + 1)(k + 2)}{2} = \frac{(k + 1)((k + 1) + 1)}{2} \end{aligned}$$

olur. Bu eşitlikler zincirindeki son ifade  $n = (k + 1)$  için  $n(n + 1)/2$  ifadesidir.

Matematiksel induksiyon prensibi artık orijinal formülü her  $n$  pozitif tamsayısı için garantiyor. ■

Bölüm 5.2, Örnek 4'te ilk  $n$  tamsayının toplamını veren formül için başka bir ispat verdik. Ancak, matematiksel induksiyonla ispat daha geneldir. Matematiksel induksiyon, ilk  $n$  tamsayının karelerinin, küplerinin toplamını bulmak için kullanılabilir (Ağlıtirmalar 9 ve 10).

İşte başka bir örnek

**ÖRNEK 2** Her pozitif  $n$  tamsayısı için,

$$\frac{1}{2^1} + \frac{1}{2^2} + \cdots + \frac{1}{2^n} = 1 - \frac{1}{2^n}$$

olduğunu gösterin.

**Çözüm** İspatı matematiksel induksiyonun iki adımını kullanarak gerçekleştiririz.

1. Formül  $n = 1$  için doğrudur, çünkü

$$\frac{1}{2^1} = 1 - \frac{1}{2^1}$$

doğrudur.

2.

$$\frac{1}{2^1} + \frac{1}{2^2} + \cdots + \frac{1}{2^k} = 1 - \frac{1}{2^k}$$

ise, bu durumda,

$$\begin{aligned} \frac{1}{2^1} + \frac{1}{2^2} + \cdots + \frac{1}{2^k} + \frac{1}{2^{k+1}} &= 1 - \frac{1}{2^k} + \frac{1}{2^{k+1}} = 1 - \frac{1 \cdot 2}{2^k \cdot 2} + \frac{1}{2^{k+1}} \\ &= 1 - \frac{2}{2^{k+1}} + \frac{1}{2^{k+1}} = 1 - \frac{1}{2^{k+1}} \end{aligned}$$

elde edilir. Böylece, orijinal formül  $n = k$  için geçerliyse,  $n = (k + 1)$  için de geçerli olur.

Bu adımlar doğrulandığı için, matematiksel induksiyon prensibi formülü her pozitif  $n$  tamsayısı için garantiyor. ■

### Diger Başlangıç Tamsayıları

$n = 1$  ile başlamak yerine, bazı induksiyon tartışmaları başka bir tamsayıyla başlar. Böyle bir tartışmaın adımları aşağıdaki gibidir.

- Formülün  $n = n_1$  (ilk uygun tamsayı) için doğru olduğunu kontrol edin.
- Formül herhangi bir  $n = k \geq n_1$  tamsayısı için doğru ise,  $n = (k + 1)$  için de doğru olduğunu gösterin.

Bu adımlar tamamlandığında, matematiksel indüksiyon prensibi formülü her  $n \geq n_1$  tamsayısı için garantiyor.

**ÖRNEK 3**  $n$  yeterince büyükse,  $n! > 3^n$  olduğunu gösterin.

**Çözüm** Ne kadar büyük, yeterince büyütür? Deneriz:

$n$	1	2	3	4	5	6	7
$n!$	1	2	6	24	120	720	5040
$3^n$	3	9	27	81	243	729	2187

Sanki  $n \geq 7$  için  $n! > 3^n$  gibidir. Emin olmak için matematiksel indüksiyon uygularız. Adım 1'de  $n_1 = 7$  alırız ve Adım 2'yi tamamlarız.

Herhangi bir  $k \geq 7$  için  $k! > 3^k$  olduğunu varsayıyın. Bu durumda

$$(k+1)! = (k+1)(k!) > (k+1)3^k > 7 \cdot 3^k > 3^{k+1}$$

olur. Böylece,  $k \geq 7$  için

$$k! > 3^k \text{ olması } (k+1)! > 3^{k+1} \text{ olmasını}$$

gerekir. Matematiksel indüksiyon artık her  $n \geq 7$  için  $n! > 3^n$  olduğunu garantiyor. ■

## ALIŞTIRMALAR E.1

1.  $|a+b| \leq |a| + |b|$  üçgen eşitsizliğinin her pozitif  $a$  ve  $b$  sayısı için geçerli olduğunu varsayıyarak,  $n$  tane sayı için

$$|x_1 + x_2 + \cdots + x_n| \leq |x_1| + |x_2| + \cdots + |x_n|$$

olduğunu gösterin.

2.  $r \neq 1$  ise, her pozitif  $n$  tamsayısı için

$$1 + r + r^2 + \cdots + r^n = \frac{1 - r^{n+1}}{1 - r}$$

olduğunu gösterin.

3.  $\frac{d}{dx}(uv) = u \frac{dv}{dx} + v \frac{du}{dx}$  Çarpım Kuralı ve  $\frac{d}{dx}(x) = 1$  olduğunu kullanarak, her pozitif  $n$  sayısı için

$$\frac{d}{dx}(x^n) = nx^{n-1}$$

olduğunu gösterin.

4. Bir  $f(x)$  fonksyonunun herhangi iki pozitif  $x_1$  ve  $x_2$  sayısı için,  $f(x_1 x_2) = f(x_1) + f(x_2)$  özelliğine sahip olduğunu varsayıyın. Her pozitif  $n$  tamsayısı için

$$f(x_1 x_2 \cdots x_n) = f(x_1) + f(x_2) + \cdots + f(x_n)$$

olduğunu gösterin.

5. Her pozitif  $n$  tamsayısı için

$$\frac{2}{3^1} + \frac{2}{3^2} + \cdots + \frac{2}{3^n} = 1 - \frac{1}{3^n}$$

olduğunu gösterin.

6. Yeterince büyük  $n$ 'ler için,  $n! > n^3$  olduğunu gösterin.

7. Yeterince büyük  $n$ 'ler için,  $2^n > n^2$  olduğunu gösterin.

8.  $n \geq -3$  ise,  $2^n \geq 1/8$  olduğunu gösterin.

9. **Kareler toplamı** İlk  $n$  pozitif tamsayının kareleri toplamının

$$\frac{n\left(n + \frac{1}{2}\right)(n + 1)}{3}$$

olduğunu gösterin.

10. **Küpeler toplamı** İlk  $n$  pozitif tamsayının küpleri toplamının  $(n(n+1)/2)^2$  olduğunu gösterin.

11. **Sonlu toplam kuralları** Aşağıdaki sonlu toplam kurallarının her pozitif  $n$  tamsayısı için geçerli olduğunu gösterin.

a.  $\sum_{k=1}^n(a_k + b_k) = \sum_{k=1}^n a_k + \sum_{k=1}^n b_k$

b.  $\sum_{k=1}^n (a_k - b_k) = \sum_{k=1}^n a_k - \sum_{k=1}^n b_k$

c.  $\sum_{k=1}^n c a_k = c \cdot \sum_{k=1}^n a_k$  (Herhangi bir  $c$  sayısı)

d.  $\sum_{k=1}^n a_k = n \cdot c$  ( $a_k$ 'nin değeri sabit ve  $c$  ise)

12. Her pozitif  $n$  tamsayısı ve her  $x$  reel sayısı için,  $|x^n| = |x|^n$  olduğunu gösterin.

## E.2

### Limit Teoremlerinin İspatı

Bu ek Bölüm 2.2'deki Teorem 1, Kısım 2–5 ve Teorem 4'ü ispatlamaktadır.

#### TEOREM 1 Limit Kuralları

$L, M, c$  ve  $k$  reel sayılar ve

$$\lim_{x \rightarrow c} f(x) = L \quad \text{ve} \quad \lim_{x \rightarrow c} g(x) = M$$

ise aşağıdaki kurallar geçerlidir.

- |                                 |  |
|---------------------------------|--|
| 1. <i>Toplam Kuralı:</i>        | $\lim_{x \rightarrow c} (f(x) + g(x)) = L + M$   |
| 2. <i>Fark Kuralı:</i>          | $\lim_{x \rightarrow c} (f(x) - g(x)) = L - M$   |
| 3. <i>Çarpım Kuralı:</i>        | $\lim_{x \rightarrow c} (f(x) \cdot g(x)) = L \cdot M$   |
| 4. <i>Sabitle Çarpım Kuralı</i> | $\lim_{x \rightarrow c} (k f(x)) = kL$ (herhangi bit $k$ sayısı)   |
| 5. <i>Bölüm Kuralı:</i>         | $\lim_{x \rightarrow c} \frac{f(x)}{g(x)} = \frac{L}{M}, \quad M \neq 0$ ise   |
| 6. <i>Kuvvet Kuralı:</i>        | $r$ ve $s$ ortak çarpanı bulunmayan tamsayılar ve $s \neq 0$ ise, $L^{r/s}$ bir reel sayı olmak üzere<br>$\lim_{x \rightarrow c} (f(x))^{r/s} = L^{r/s}$<br>dir. ( $s$ çift ise $L > 0$ kabul ediyoruz.) |

Toplam kuralını Bölüm 2.3'te ispatladık ve Kuvvet Kuralı daha ileri metinlerde ispatlanır. Fark Kuralını, Toplam Kuralında  $g(x)$  yerine  $-g(x)$  ve  $M$  yerine  $-M$  yazarak elde ederiz. Sabitle Çarpım Kuralı Çarpım Kuralının  $g(x) = k$  olduğu özel durumudur. Böylece geriye Çarpım Kuralı ile Bölüm Kuralı kalır.

**Limit Çarpım Kuralının İspatı** Herhangi bir  $\epsilon > 0$ 'a karşılık bir  $\delta > 0$  sayısının var olduğunu göstereceğiz, öyle ki;  $x$  sayısı  $f$  ve  $g$ 'nin tanım aralıklarının kesişimi  $D$  de olmak üzere

$$0 < |x - c| < \delta$$

koşulunu sağlayan her  $x$  için

$$|f(x)g(x) - LM| < \epsilon$$

sağlansın. Bu durumda  $\epsilon$ 'nın pozitif bir sayı olduğunu varsayıp  $f(x)$  ile  $g(x)$ 'i

$$f(x) = L + (f(x) - L), \quad g(x) = M + (g(x) - M)$$

şeklinde yazın.

Bu ifadeleri çarın ve  $LM$  çıkarın:

$$\begin{aligned}
 f(x) \cdot g(x) - LM &= (L + (f(x) - L))(M + (g(x) - M)) - LM \\
 &= LM + L(g(x) - M) + M(f(x) - L) \\
 &\quad + (f(x) - L)(g(x) - M) - LM \\
 &= L(g(x) - M) + M(f(x) - L) + (f(x) - L)(g(x) - M). \quad (1)
 \end{aligned}$$

$x \rightarrow c$  iken  $f$  ve  $g$ 'nin limitleri  $L$  ve  $M$  olduğundan,  $x$  sayısı  $D$  de olmak üzere

$$\begin{aligned}
 0 < |x - c| < \delta_1 &\Rightarrow |f(x) - L| < \sqrt{\epsilon/3} \\
 0 < |x - c| < \delta_2 &\Rightarrow |g(x) - M| < \sqrt{\epsilon/3} \\
 0 < |x - c| < \delta_3 &\Rightarrow |f(x) - L| < \epsilon/(3(1 + |M|)) \\
 0 < |x - c| < \delta_4 &\Rightarrow |g(x) - M| < \epsilon/(3(1 + |L|))
 \end{aligned} \quad (2)$$

olacak şekilde  $\delta_1, \delta_2, \delta_3$  ve  $\delta_4$  pozitif sayıları vardır.  $\delta$ 'yı  $\delta_1$ 'den  $\delta_4$ 'e kadar giden sayıların en küçüğü olarak alırsak, (2) koşullarında sağ taraftaki eşitsizliklerin hepsi  $0 < |x - c| < \delta$  için aynı anda geçerli olacaklardır. Dolayısıyla,  $x$  sayısı  $D$  de olmak üzere,  $0 < |x - c| < \delta$  olması

$$\begin{aligned}
 |f(x) \cdot g(x) - LM| &\quad (1) \text{ Denklemine üçgen eşitsizliği uygulanır.} \\
 &\leq |L||g(x) - M| + |M||f(x) - L| + |f(x) - L||g(x) - M| \\
 &\leq (1 + |L|)|g(x) - M| + (1 + |M|)|f(x) - L| + |f(x) - L||g(x) - M| \\
 &< \frac{\epsilon}{3} + \frac{\epsilon}{3} + \sqrt{\frac{\epsilon}{3}}\sqrt{\frac{\epsilon}{3}} = \epsilon \quad (2) \text{'deki değerler}
 \end{aligned}$$

olduğu anlamına gelir. Bu, Limit Çarpım Kuralının ispatını tamamlar. ■

**Limit Bölüm Kuralının İspatı**  $\lim_{x \rightarrow c} (1/g(x)) = 1/M$  olduğunu göstereceğiz. Bu durumda Limit Çarpım kuralından

$$\lim_{x \rightarrow c} \frac{f(x)}{g(x)} = \lim_{x \rightarrow c} \left( f(x) \cdot \frac{1}{g(x)} \right) = \lim_{x \rightarrow c} f(x) \cdot \lim_{x \rightarrow c} \frac{1}{g(x)} = L \cdot \frac{1}{M} = \frac{L}{M}$$

olduğu sonucunu çıkarız.

$\epsilon > 0$  verilmiş olsun.  $\lim_{x \rightarrow c} (1/g(x)) = 1/M$  olduğunu göstermek için,

$$0 < |x - c| < \delta$$

koşulunu sağlayan her  $x$  için

$$\left| \frac{1}{g(x)} - \frac{1}{M} \right| < \epsilon$$

olacak şekilde bir  $\delta > 0$  bulunduğu göstermemiz gereklidir.

$|M| > 0$  olduğundan,

$$0 < |x - c| < \delta_1$$

koşulunu sağlayan her  $x$  için

$$|g(x) - M| < \frac{M}{2} \quad (3)$$

olacak şekilde pozitif bir  $\delta_1$  sayısı vardır. Herhangi  $A$  ve  $B$  sayıları için,  $|A| - |B| \leq |A - B|$  ve  $|B| - |A| \leq |A - B|$  olduğu gösterilebilir ve buradan  $|A| - |B| \leq |A - B|$  olduğu anlaşılır.  $A = g(x)$  ve  $B = M$  alırsak, bu

$$||g(x)| - |M|| \leq |g(x) - M|$$

haline gelir.

Bu (3) denkleminin sağ tarafındaki eşitsizlikle birleştirilerek

$$\begin{aligned} ||g(x)| - |M|| &< \frac{|M|}{2} \\ -\frac{|M|}{2} &< |g(x)| - |M| < \frac{|M|}{2} \\ \frac{|M|}{2} &< |g(x)| < \frac{3|M|}{2} \\ |M| < 2|g(x)| &< 3|M| \\ \frac{1}{|g(x)|} &< \frac{2}{|M|} < \frac{3}{|g(x)|} \end{aligned} \tag{4}$$

elde edilir. Dolayısıyla,  $0 < |x - c| < \delta_1$  olması

$$\begin{aligned} \left| \frac{1}{g(x)} - \frac{1}{M} \right| &= \left| \frac{M - g(x)}{Mg(x)} \right| \leq \frac{1}{|M|} \cdot \frac{1}{|g(x)|} \cdot |M - g(x)| \\ &< \frac{1}{|M|} \cdot \frac{2}{|M|} \cdot |M - g(x)| \quad (4) \text{ eşitsizliği} \end{aligned} \tag{5}$$

olmasını gerektirir.  $(1/2)|M|^2\epsilon > 0$  olduğundan,

$$0 < |x - c| < \delta_2$$

koşulunu sağlayan her  $x$  için

$$|M - g(x)| < \frac{\epsilon}{2}|M|^2 \tag{6}$$

olacak şekilde bir  $\delta_2 > 0$  sayısı vardır.  $\delta'$ yi  $\delta_1$  ve  $\delta_2$ 'nin küçük olanı olarak seçersek, (5) ve (6) denklemlerindeki sonuçların ikisi de  $0 < |x - c| < \delta$  koşulunu sağlayan her  $x$  için gerçekleşir. Bu sonuçları bir araya getirmek

$$0 < |x - c| < \delta$$

koşulunu sağlayan her  $x$  için

$$\left| \frac{1}{g(x)} - \frac{1}{M} \right| < \epsilon$$

eşitsizliğinin saflandığını gösterir. Bu da Limit Bölüm Kuralının ispatını tamamlar. ■

#### TEOREM 4 Sandöviç Teoremi

$c$ 'yi içeren bir açık aralıktaki (muhtemelen  $x = c$  dışındaki) her  $x$  için  $g(x) \leq f(x) \leq h(x)$  olduğunu varsayıñ. Ayrıca,  $\lim_{x \rightarrow c} g(x) = \lim_{x \rightarrow c} h(x) = L$  olduğunu da varsayıñ. Bu durumda,  $\lim_{x \rightarrow c} f(x) = L$  olur.

**Sağdan limitler için ispat**  $\lim_{x \rightarrow c^+} g(x) = \lim_{x \rightarrow c^+} h(x) = L$  olduğunu varsayıñ. Bu durumda her  $\epsilon > 0$  sayısına karşılık,  $c < x < c + \delta$  aralığı  $I$  içinde olacak şekilde ve bu eşitsizliği sağlayan her  $x$  için

$$L - \epsilon < g(x) < L + \epsilon \quad \text{ve} \quad L - \epsilon < h(x) < L + \epsilon$$

olacak şekilde bir  $\delta > 0$  sayısı vardır. Bu eşitsizlikler  $g(x) \leq f(x) \leq h(x)$  ile birleştiğinde,

$$L - \epsilon < g(x) \leq f(x) \leq h(x) < L + \epsilon,$$

$$L - \epsilon < f(x) < L + \epsilon,$$

$$-\epsilon < f(x) - L < \epsilon.$$

elde edilir. Dolayısıyla,  $c < x < c + \delta$  eşitsizliği  $|f(x) - L| < \epsilon$  olmasını gerektirir. ■

**Soldan limitler için ispat**  $\lim_{x \rightarrow c^-} g(x) = \lim_{x \rightarrow c^-} h(x) = L$  olduğunu varsayıyın. Bu durumda her  $\epsilon > 0$  değerine karşılık,  $c - \delta < x < c$  aralığı  $I$  içinde olacak şekilde ve bu eşitsizliği sağlayan her  $x$  için

$$L - \epsilon < g(x) < L + \epsilon \quad \text{ve} \quad L - \epsilon < h(x) < L + \epsilon$$

olacak şekilde bir  $\delta > 0$  sayısı vardır. Daha önce olduğu gibi,  $c - d < x < c$  eşitsizliği  $|f(x) - L| < \epsilon$  olmasını gerektirir. ■

**İki taraflı limitler için ispat**  $\lim_{x \rightarrow c} g(x) = \lim_{x \rightarrow c} h(x) = L$  ise,  $x \rightarrow c^+$  ve  $x \rightarrow c^-$  iken, hem  $g(x)$  hem de  $h(x)$   $L$ 'ye yaklaşır; dolayısıyla  $\lim_{x \rightarrow c^+} f(x) = L$  ve  $\lim_{x \rightarrow c^-} f(x) = L$  olur. Yani,  $\lim_{x \rightarrow c} f(x)$  vardır ve  $L$ 'ye eşittir. ■

## ALIŞTIRMALAR E.2

- $x \rightarrow c$  iken,  $f_1(x), f_2(x)$  ve  $f_3(x)$  fonksiyonlarının limitlerinin sırasıyla  $L_1, L_2$  ve  $L_3$  olduğunu varsayıyın. Toplamlarının limitinin  $L_1 + L_2 + L_3$  olduğunu gösterin. Matematiksel indüksiyon (Ek 1) kullanarak bu sonucu sonlu sayıda fonksiyonun toplamına genelleştirin.
- Matematiksel indüksiyon ve Teorem 1'deki Çarpım Kuralını kullanarak,  $x \rightarrow c$  iken,  $f_1(x), f_2(x), \dots, f_n(x)$  fonksiyonlarının limitlerinin sırasıyla  $L_1, L_2, \dots, L_n$  ise,
$$\lim_{x \rightarrow c} f_1(x)f_2(x) \cdots f_n(x) = L_1 \cdot L_2 \cdot \cdots \cdot L_n$$

olduğunu gösterin.

- $\lim_{x \rightarrow c} x = c$  olduğunu ve Alıştırma 2'nin sonucunu kullanarak, herhangi bir  $n > 1$  tam sayısı için  $\lim_{x \rightarrow c} x^n = c^n$  olduğunu gösterin.
- Polinomların limiti** Herhangi bir  $k$  sayısı için  $\lim_{x \rightarrow c}(k) = k$  olduğunu ve Alıştırma 1 ve 3'ün sonuçlarını kullanarak, herhangi bir

$f(x) = a_n x^n + a_{n-1} x^{n-1} + \cdots + a_1 x + a_0$  polinomu için,  $\lim_{x \rightarrow c} f(x) = f(c)$  olduğunu gösterin.

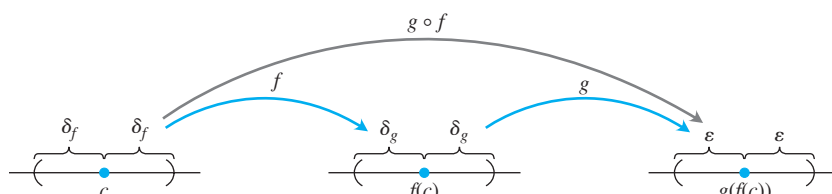
- Rasyonel fonksiyonların limitleri** Teorem 1'i ve Alıştırma 4'ün sonucunu kullanarak,  $f(x)$  ve  $g(x)$  polinomlar ise ve  $g(c) \neq 0$  ise,

$$\lim_{x \rightarrow c} \frac{f(x)}{g(x)} = \frac{f(c)}{g(c)}$$

olduğunu gösterin.

- Sürekli fonksiyonların bileşkeleri** Şekil E.1, iki sürekli fonksiyonun bileşkesinin sürekli olduğunu ispatı için bir diyagram göstermektedir. Diyagramdan ispatı oluşturun. İspatlanacak ifade şudur:  $f, x = c$ 'de sürekli ise ve  $g f(c)$ 'de sürekli ise,  $g \circ f$  de  $c$ 'de süreklidir.

$c$ 'nin  $f$ 'nın tanım aralığının bir iç noktası ve  $f(c)$ 'nin de  $g$ 'nın tanım aralığının bir iç noktası olduğunu varsayıyın. Bu, hesaplanacak limitleri iki taraflı yapar. (Tek taraflı limitleri içeren durumlar için de yapılacaklar aynıdır.)



ŞEKİL E.1 İki sürekli fonksiyonun bileşkesinin sürekli olduğunu ispatı için diyagram

## E.3

## Sık Karşılaşılan Limitler

Bu ek Bölüm 11.1, Teorem 5'teki (4)-(6) limitlerini gerçekleştirmektedir.

**Limit 4: If  $|x| < 1$ ,  $\lim_{n \rightarrow \infty} x^n = 0$**  Her  $\epsilon > 0$ 'a,  $N$ 'den büyük her  $n$  sayısı için  $|x^n| < \epsilon$

olacak kadar büyük bir  $N$  tam sayısı karşılık geldiğini göstermemiz gereklidir.

$$|x| < 1 \text{ iken } \epsilon^{1/n} \rightarrow 1 \text{ olduğundan, } \epsilon^{1/N} \rightarrow |x| \text{ olmasını sağlayacak, başka bir deyişle,}$$

$$|x^N| = |x|^N < \epsilon \quad (1)$$

olmasını sağlayacak bir  $N$  tamsayısi vardır. Aradığımız tamsayı budur, çünkü,  $|x| < 1$  ise,

$$\text{her } n > N \text{ için } |x^n| < |x^N| \quad (2)$$

olur. (1) ve (2) denklemelerini birleştirmek, her  $n > N$  için  $|x^n| < \epsilon$  verir ve bu da ispatı tamamlar. ■

**Limit 5:** Herhangi bir  $x$  için,  $x, \lim_{n \rightarrow \infty} \left(1 + \frac{x}{n}\right)^n = e^x$ dir.

$$a_n = \left(1 + \frac{x}{n}\right)^n$$

olsun. Bu durumda,

$$\ln a_n = \ln \left(1 + \frac{x}{n}\right)^n = n \ln \left(1 + \frac{x}{n}\right) \rightarrow x$$

bulunur. Bunu  $n$ 'ye göre türev aldığımız l'Hôpital kuralının aşağıdaki uygulaması ile elde edebiliriz:

$$\begin{aligned} \lim_{n \rightarrow \infty} n \ln \left(1 + \frac{x}{n}\right) &= \lim_{n \rightarrow \infty} \frac{\ln(1 + x/n)}{1/n} \\ &= \lim_{n \rightarrow \infty} \frac{\left(\frac{1}{1 + x/n}\right) \cdot \left(-\frac{x}{n^2}\right)}{-1/n^2} = \lim_{n \rightarrow \infty} \frac{x}{1 + x/n} = x \end{aligned}$$

$f(x) = e^x$  ile Bölüm 11.1'deki Teorem 4'ü uygulayarak,

$$\left(1 + \frac{x}{n}\right)^n = a_n = e^{\ln a_n} \rightarrow e^x$$

olduğu sonucuna varabilirsiniz. ■

**Limit 6:** Herhangi bir  $x$  için,  $x, \lim_{n \rightarrow \infty} \frac{x^n}{n!} = 0$ dir.

$$-\frac{|x|^n}{n!} \leq \frac{x^n}{n!} \leq \frac{|x|^n}{n!}$$

olduğundan, bütün göstermemiz gereken  $|x|^n/n! \rightarrow 0$  olduğunu. Sonra, Diziler için Sandviç Teoremini (Bölüm 11.1, Teorem 2) uygulayarak  $x^n/n! \rightarrow 0$  olduğunu sonucuna varırız.

$|x|^n/n! \rightarrow 0$  olduğunu göstermedeki ilk adım,  $(|x|/M) < 1$  olacak şekilde bir  $M > |x|$  tamsayısi seçmektir. Yukarıda ispatladığımız Limit 4'ten,  $(|x|/M)^n \rightarrow 0$  olduğunu görürüz. Artık ilgimizi  $n > M$  değerlerine çevirebiliriz. Bu n değerleri için,

$$\begin{aligned} \frac{|x|^n}{n!} &= \frac{|x|^n}{1 \cdot 2 \cdot \dots \cdot M \cdot \underbrace{(M+1)(M+2) \cdot \dots \cdot n}_{(n-M) \text{ çarpan}}} \\ &\leq \frac{|x|^n}{M! M^{n-M}} = \frac{|x|^n M^M}{M! M^n} = \frac{M^M}{M!} \left(\frac{|x|}{M}\right)^n \end{aligned}$$

yazabilirim.

Böylece,

$$0 \leq \frac{|x|^n}{n!} \leq \frac{M^M}{M!} \left(\frac{|x|}{M}\right)^n$$

olur. Artık,  $M^M/M!$  sabiti  $n$  arttıkça değişmez. Yani Sandöviç Teoremi bize,  $(|x|/M)^n \rightarrow 0$  olduğundan,  $|x|^n/n! \rightarrow 0$  olduğunu söyler. ■

## E.4

### Reel Sayıların Teorisi

Analizin özenli gelişmesinin temelinde reel sayıların özellikleri vardır. Fonksiyonlar, türevler ve integraller hakkındaki bir çok sonuç, sadece rasyonel sayılar üzerinde tanımlı fonksiyonlar için söyleseydi, yanlış olurdu. Bu ek'te reel sayılar teorisinin bazı temel kavramlarını kısaca inceliyoruz. Bu kavramlar, analizin daha derin, daha teorik bir incelemesinde neler öğrenilebileceğini işaret etmektedir.

Reel sayıları, oldukları sey yapan üç tip özellik vardır. Bunlar, **cebirsel**, **sıra** ve **tamlık** özellikleridir. Cebirsel özellikler toplama ve çarpma, çıkarma ve bölmeyi içerir. Bunlar, reel sayılarla olduğu kadar rasyonel ve kompleks sayılar da uygulanırlar.

Sayıların yapısı, toplama ve çarpma işlemleri ile bir küme üzerine inşa edilir. Toplama ve çarpmanın aşağıdaki özellikleri gereklidir.

- A1**  $a + (b + c) = (a + b) + c$  her  $a, b, c$  için.
- A2**  $a + b = b + a$  her  $a, b, c$  için.
- A3** Bir “0” sayısı vardır ve her  $a$  için  $a + 0 = a$  dır.
- A4** Her  $a$  sayısı için  $a + b = 0$  olacak şekilde bir  $b$  sayısı vardır.
- M1**  $a(bc) = (ab)c$  her  $a, b, c$  için.
- M2**  $ab = ba$  her  $a, b$  için.
- M3** Bir “1” sayısı vardır ve her  $a$  için  $a \cdot 1 = a$ ’dır.
- M4** Her sıfırdan farklı  $a$  sayısı için  $ab = 1$  olacak şekilde bir  $b$  sayısı vardır.
- D**  $a(b + c) = ab + bc$  her  $a, b, c$  için.

A1 ve M1 *birleşme kuralları*, A2 ve M2 *değişme kuralları*, A3 ve M3 *birim kuralları*, A4 ve M4 *ters eleman kuralları* ve D de *dağılma kuralı*dır. Bu cebirsel özelliklerin bulunduğu kümeler **cisim** örnekleridir ve soyut cebir denen teorik matematik alanında derinlemesine incelenirler.

**Sıra** özellikleri, herhangi iki sayının büyüklüğünü karşılaştırmamızı sağlar. Sıra özelliklerini şunlardır:

- O1** Herhangi  $a$  ve  $b$  için ya  $a \leq b$  veya  $b \leq a$  dır (veya ikisi de)
- O2**  $a \leq b$  ve  $b \leq a$  ise  $a = b$  dir.
- O3**  $a \leq b$  ve  $b \leq c$  ise  $a \leq c$  dir.
- O4**  $a \leq b$  ise  $a + c \leq b + c$  dir.
- O5**  $a \leq b$  ve  $0 \leq c$  ise  $ac \leq bc$  dir.

O3 *Geçişme kuralı* dir, O4 ve O5 sıralamayı toplama ve çarpma ile bağdaştırır.

Reel sayıları, tam sayıları ve rasyonel sayıları sıralayabiliriz, fakat kompleks sayıları sıralayamayız (Ek E.5'e bakın).  $i = \sqrt{-1}$  gibi bir sayının sıfırdan büyük yada küçük olduğunu karar verecek makul bir yol yoktur. Herhangi iki elemanın büyüklüklerinin karşılaştırılabildeği, yukarıdaki gibi, bir cisim'e bir **sıralı cisim** denir. Hem rasyonel sayılar ve hem de reel sayılar sıralı cisimlerdir ve başka pek çok vardır.

Reel sayıları, bir doğru üzerine noktalar olarak dizmekle, geometrik olarak düşünebiliriz. **Tamlık özelliği**, "delikler" veya "boşluklar" olmadan, doğru üzerindeki bütün noktalara reel sayılar karşı geldiğini söyler. Bunun aksine, rasyonel sayılar  $\sqrt{2}$  ve  $\pi$  gibi noktaları atlar. Tam sayılar ise  $1/2$  gibi kesirleri bile içermez. Tamlık özelliği bulunan reel sayılar hiçbir noktayı atlamaz.

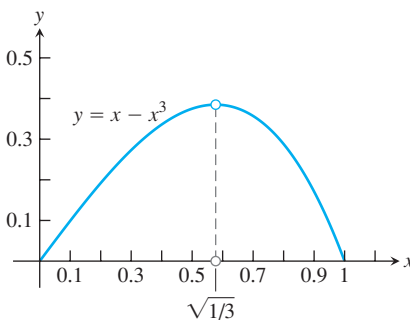
Bu üstü kapalı kayıp delikler fikri ile tam olarak ne demek istiyoruz? Bunu cevaplamak için tamlığın daha kesin bir açıklamasını vermemeliyiz. Bir sayı kümesindeki bütün sayılar bir  $M$  sayısından küçük veya eşit ise  $M$  sayısına bu sayı kümesinin bir **üst sınırı** denir. Üst sınırların en küçüğüne **en küçük üst sınır** denir. Örneğin,  $M = 2$ , negatif sayılar için bir üst sınırıdır.  $M = 1$  de öyledir ve  $2$ 'nin en küçük üst sınır olmadığını gösterir. Negatif sayılar kümesi için en küçük üst sınır  $M = 0$  dır. Boş olmayan ve üstten sınırlı her alt kümesinin bir en küçük üst sınırı var olan bir cismi, bir sıralı **tam** cisim olarak tanımlarız.

Sadece rasyonel sayılarla çalışırsak,  $\sqrt{2}$ 'den küçük sayılar kümesi üstten sınırlıdır. Fakat, herhangi bir rasyonel  $M$  üst sınırı, biraz daha büyük olan fakat hala  $\sqrt{2}$ 'den küçük olan bir rasyonel sayı ile değiştirilebileceğinden, rasyonel bir en küçük üst sınır yoktur. Dolayısıyla rasyonel sayılar tam değildir. Reel sayılar içinde üstten sınırlı her kümenin bir en küçük üst sınırı daima vardır. Reel sayılar bir sıralı tam cisim dir.

Tamlık özelliği, analizdeki bir çok sonucun tam kalbindedir. Bir örnek, Bölüm 4.1'deki gibi, bir  $[a, b]$  kapalı aralığı üzerinde bir fonksiyonun maksimum değerinin aranmasında ortaya çıkar.  $y = x - x^3$  fonksiyonunun  $[0, 1]$ 'de  $1 - 3x^2 = 0$  veya  $x = \sqrt{1/3}$  eşitliğini sağlayan  $x$  noktasında bir maksimum değeri vardır. Düşüncemizi, sadece rasyonel sayılar üzerinde tanımlı fonksiyonlarla sınırlasaydı,  $\sqrt{1/3}$  irrasyonel olduğundan (Şekil E.2) fonksiyonun bir maksimum değerinin bulunmadığı sonucuna varırdık. Bir  $[a, b]$  kapalı aralığında sürekli olan fonksiyonların bir maksimum değerlerinin var olmasını gerektiren Ekstreum Değer Teoremi (Bölüm 4.1), sadece rasyonel sayılar üzerinde tanımlı fonksiyonlar için doğru değildir.

Ara Değer Teoremi, bir  $[a, b]$  aralığı üzerinde  $f(a) < 0$  ve  $f(b) < 0$  ile sürekli olan bir fonksiyonun aralığın bir yerinde sıfır olmasını gerektirir. Fonksiyonun değerleri, aralığın içindeki bir  $x$  noktası için  $f(x) = 0$  olmadan, negatiften pozitife atlayamazlar. Ara Değer Teoremi de reel sayıların tamlığına dayanır ve sadece rasyonel sayılar üzerinde tanımlı sürekli fonksiyonlar için doğru değildir.  $f(x) = 3x^3 - 1$  fonksiyonu için  $f(0) = -1$  ve  $f(1) = 2$  dir.  $f$ 'i sadece rasyonel sayılar üzerinde düşünürsek hiçbir zaman sıfır değerini almaz.  $f(x) = 0$ 'ı sağlayan tek  $x$  değeri, irrasyonel olan  $x = \sqrt[3]{1/3}$  sayısıdır.

Reel sayılar bir sıralı tam cisimdir diyerek reel sayıların istenen özelliklerini yakaladık. Fakat, henüz bitirmedik. Pisagor (Pythagoras) okulundan Yunan matematikçiler, reel sayılar doğrusu üzerine başka bir özellik koymayı denediler: bütün sayılar tamsayıların bir kesridir özelliği.  $\sqrt{2}$  gibi irrasyonel sayıları keşfettiklerinde çabalarının boş olduğunu anladılar. Reel sayıları belirtmek için bizim çabalarımızın da, görülmemiş sebeplerden dolayı, hatalı olmadıklarını nasıl anlayacağımız? Sanatçı Escher, kendileri ile tekrar alttan birleşene kadar yükselen merdivenlerden oluşan optik illüzyonlar çizdi. Böyle bir merdiven inşa etmeye çalışan bir mühendis, mimarın çizmiş olduğu planları gerçekleyecek bir yapının olamayacağını görür. Bu, reel sayıların dizaynının, zor fark edilir bazı çelişkiler içeriği ve böyle sayı sistemlerinin kurulamayacağı anlamında mıdır?



**SEKİL E.2**  $y = x - x^3$ 'ün  $[0, 1]$  üzerindeki maksimum değeri  $x = \sqrt{1/3}$  irrasyonel sayısında gözükür.

Reel sayıların özel bir tanımlamasını vererek ve bu modelin sağladığı cebirsel, sıralama ve tamlık özelliklerini gerçekleyerek bu meseleyi çözüyoruz.

Buna reel sayıların **kuruluşu** denir ve aynı merdivenlerin ağaçtan, taştan veya demirden yapılabilmesi gibi reel sayıların kuruluşu için de farklı yaklaşımlar vardır. Bir kuruluş, reel sayıları

$$a.d_1d_2d_3d_4\dots$$

gibi sonsuz ondalıklar olarak ele alır. Bu yaklaşımda bir reel sayı bir a tamsayısını takip eden  $d_1, d_2, d_3, \dots$  gibi her biri 0 ile 9 arasında olan ondalıklardan oluşan bir dizidir. Bu dizi durabilir, periyodik bir şekilde tekrar edebilir veya hiçbir kalıba uymadan sürüp gidebilir. Bu formda, 2.00, 0.333333... ve 3.1415926535898... ifadeleri bilinen üç reel sayıyı temsil ederler. Bu ondalıkları takip eden “...” noktalarının gerçek anlamı, Bölüm 11'deki gibi dizi ve serilerin geliştirilmesini gerektirir. Her reel sayı, kendisine sonlu ondalık yaklaşımlar ile tanımlanan bir rasyonel sayılar dizisinin limiti olarak kurulur. Bu durumda sonsuz bir ondalık

$$a + \frac{d_1}{10} + \frac{d_2}{100} + \dots$$

serisi gibidir.

Reel sayıların bu ondalık kuruluşu, tam olarak açık değildir. Kuruluş, tamlık ve sıralama özelliklerini sağlayan sayılar verdiği kontrol etmeye yetecek kadar kolaydır fakat cebirsel özellikleri gerçeklemek oldukça karışıktr. İki sayıyı toplamak veya çarpmak bile sonsuz sayıda işlem gerektirir. Bölmeye bir anlam kazandırmak için, sonsuz ondalıklara rasyonel yaklaşımların limitlerini içeren dikkatli bir tartışma gereklidir.

Reel sayıların ilk titiz bir kuruluşunu 1872 de veren Alman matematikçi Richard Dedekind (1831-1916) farklı bir yaklaşım ele almıştır. Herhangi bir  $x$  reel sayısı verildiğinde rasyonel sayıları iki kümeye ayıralım:  $x$ 'ten küçük veya eşit olanlar ve büyük olanlar. Dedekind bu fikir yürütmemi akıllıca tersine çevirdi ve bir reel sayıyı, rasyonel sayıları bu şekilde iki kümeye ayırmak olarak tanımladı. Bu oldukça garip bir yaklaşım olarak gözükmek fakat yeni yapıların, eskilerinden bu dolaylı yöntemlerle kuruluşları teorik matematikte yaygındır.

Bunlar ve diğer yaklaşımlar (Ek 5'e bakın), istenen cebirsel, sıralama ve tamlık özelliklerini sağlayan bir sayılar sistemi kurmak için kullanılabilirler. Ortaya çıkan son bir mesele, bütün bu kuruluşların aynı şeyi verip vermedikleridir. Farklı kuruluşlar, istenen bütün özellikleri sağlayan farklı sayı sistemlerine yol açabilirler mi? Evet ise, bunlardan hangisi reel sayılardır. Neyse ki cevap hayırdır. Reel sayılar, cebirsel, sıralama ve tamlık özelliklerini sağlayan tek sayı sistemidir.

Reel sayıların doğasılarındaki ve limitlerlarındaki karışıklık, analizin ilk gelişiminde önemli anlaşmazlıklara neden olmuştur. Newton, Leibniz ve onları takipçileri gibi analizin öncüler,  $\Delta x$  ve  $\Delta y$ 'nin her ikisi de sıfır yaklaşıırken

$$\frac{\Delta y}{\Delta x} = \frac{f(x + \Delta x) - f(x)}{\Delta x}$$

fark oranına ne olduğuna baktıklarında, bu oranın sonucu olan türev hakkında iki sonsuz küçüğün oranı olarak konuşuyorlardı.  $dx$  ve  $dy$  olarak yazılan bu “sonsuz küçük” ler her sabit sayıdan küçük olan fakat sıfır olmayan, yeni bir çeşit sayı olarak düşünülmüyordu. Benzer şekilde, bir belirli integral de,  $x$  kapalı bir aralık üzerinde değişirken

$$f(x) \cdot dx$$

gibi sonsuz küçüklerin bir sonsuz toplamı olarak düşünülüyordu. Bugünkü gibi iyi anlaşılanca kadar, yakınsayan  $\Delta y/\Delta x$  fark oranları, türevin anlamını özetlediği düşünülen bir limitten çok bir sonsuz küçükler oranı idi. Bu düşünce yolu, sonsuz küçüklerin girişilen tanımlamalarının ve işlemlerinin çelişkilere ve tutarsızlıklara yol açması gibi mantıksal zorluklara neden oluyordu. Daha somut ve hesaplanabilir fark oranları böyle zorluklara neden olmazlar, daha ziyade kullanışlı hesaplama araçları olarak düşünürlürler. Fark oranları, türevin sayısal değerleri ile çalışmada ve hesaplama için genel formüller türetmede kullanılmışlardır fakat bir türevin aslında ne olduğu sorusunun kalbinde oldukları düşünülmemişlerdir. Bu gün, sonsuz küçüklerle ilgili mantıksal problemlerden, yakınsayan fark oranlarının limitini türev olarak tanımlamakla kaçınabileceğimizin farkına varıyoruz. Bu gün artık eski yaklaşımın belirsizlikleri yoktur ve analizin standart teorisi içinde sonsuz küçüklerne gerek vardır ne de kullanılmaktadır.

## E.5

## Kompleks Sayılar

Kompleks sayılar  $a + ib$  şeklinde ifadelerdir. Burada  $a$  ve  $b$  reel sayılar,  $i$  de  $\sqrt{-1}$ 'in bir ifadesidir. Ne yazık ki, "reel" ve "sanal" (kompleks) kelimelerinin  $\sqrt{-1}$ 'i zihnimizde  $\sqrt{2}$ 'den daha az istenilen bir konuma getirmek gibi kötü bir etkisi vardır. Aslında, analizin temelini oluşturan *reel* sayı sistemini oluşturmak için, *yaratıcılık* anlamında, oldukça fazla hayal gücü gerekmıştır (Ek 4'e bakın). Bu ekte, bu yaratıcılığın birkaç evresini gözden geçireceğiz. Böylece bir kompleks sayı sisteminin yaratılması o kadar garip görünmeyecektir.

### Reel Sayıların Gelişimi

Sayı gelişiminin en eski evresi, şimdi **doğal sayılar** veya **pozitif tamsayılar** dediğimiz  $1, 2, 3, \dots$  gibi **sayma sayılarının** tanınmasıdır. Bu sayılarla, sistemin dışına çıkmadan bazı basit aritmetik işlemler yapılabilir. Yani, pozitif tamsayılar sistemi toplama ve çarpma işlemleri altında **kapalıdır**. Bununla,  $m$  ve  $n$  herhangi iki pozitif tamsayısa,

$$m + n = p \quad \text{ve} \quad mn = q \tag{1}$$

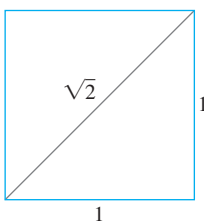
sayılarının da pozitif tamsayılar olduklarını söylüyoruz. (1) denklemindeki eşitliklerden herhangi birinin sol tarafındaki iki pozitif tamsayı verilmişse, sağda buna karşılık gelen pozitif tamsayıyı bulabiliriz. Dahası, bazen  $m$  ve  $p$  pozitif tamsayılarını belirleyerek  $m + n = p$  olmasını sağlayan  $n$  pozitif tamsayısını bulabiliriz. Örneğin, bildiğimiz sayılar sadece pozitif tamsayılar ise,  $3 + n = 7$  çözülebilir. Ama sayı sistemi genişletilmeden,  $7 + n = 3$  denklemi çözülemez.

$7 + n = 3$  gibi denklemleri çözebilmek için sıfır ve negatif sayılar yaratılmıştır. Bütün **tamsayıları**,

$$\dots, -3, -2, -1, 0, 1, 2, 3, \dots, \tag{2}$$

tanıyan bir toplumda, eğitimli birisi, denklemdeki iki tamsayı verilince,  $m + n = p$  denklemi tamamlayacak eksik tamsayıyı her zaman bulabilir.

Eğitimli kişilerimizin (2)'deki tamsayılardan herhangi ikisini çarpmayı da bildiklerini varsayıyalım. Eğer, (1) denklemlerinde,  $m$  ve  $q$  verilmişse,  $n$ 'yi bazen bulabildiklerini, bazen de bulamadıklarını keşfedeceklerdir. Hayal güçleri hala iyi şekilde çalışıyorsa, daha fazla sayı yaratmayı düşünebilir ve  $m$  ve  $n$  sayılarının  $m/n$  sıralı çiftleri olan kesirleri tanımlayabilirler. Sıfır sayısının onları bir süre rahatsız edecek özellikleri vardır, ama sonunda sadece



**SEKİL E.3** Bir cetvel ve pergel ile irrasyonel uzunlukta bir doğru parçası çizilebilir.

paydasında sıfır bulunanları dışında tutacak şekilde bütün tamsayı oranları  $m/n$ 'leri el altında bulundurmanın yararlı olduğunu anlayacaklardır. **Rasyonel sayılar** kümesi denilen bu sistem artık, sistemdeki herhangi iki sayı üzerinde aritmetiğin **rasyonel işlemleri** denen şeyleri:

- |                                |                            |
|--------------------------------|----------------------------|
| 1. (a) toplama<br>(b) çıkartma | 2. (a) çarpma<br>(b) bölme |
|--------------------------------|----------------------------|

gerçekleştirebilecekleri kadar zenginleşmiştir, ama sıfırla bölüm yapamazlar çünkü bu anlamsızdır.

Birim karenin geometrisi (Şekil E.3) ve Pisagor teoremi, bir temel uzunluk birimiyle, uzunluğu  $\sqrt{2}$  olan bir doğru parçası oluşturabileceklerini göstermiştir. Böylece, geometrik bir oluşumla

$$x^2 = 2$$

gibi bir denklemi çözebileceklerdir. Ancak sonra  $\sqrt{2}$ 'yi temsil eden doğru parçası ile 1'i temsil eden doğru parçasının kıyaslanamaz büyüklükler olduklarını keşfederler. Bu,  $\sqrt{2}$ 'nin, bir uzunluk biriminin iki *tamsayı* katının oranı olarak ifade edilemeyeceği anlamına gelir. Yani, eğitimli insanlarımız  $x^2 = 2$  denkleminin bir rasyonel sayı çözümünü bulamayacaklardır.

Karesi 2 olan bir rasyonel sayı *yoktur*. Nedeni için, böyle bir rasyonel sayı olduğunu varsayıñ. Bu durumda, 1'den başka ortak çarpanları olmayan ve

$$p^2 = 2q^2 \quad (3)$$

denklemini sağlayan  $p$  ve  $q$  tamsayıları bulabilirdik.  $p$  ve  $q$  tamsayı oldukları için,  $p$  çift olmalıdır; aksi halde kendisi ile çarpımı tek olurdu. Sembolik olarak,  $p_1$  bir tamsayı olmak üzere,  $p = 2p_1$  yazılır. Bu  $2p_1^2 = q^2$  olmasına yol açar, ki bu  $q$ 'nun çift, mesela  $q = 2q_1$ , olmasına yol açar. Böylece 2 sayısı  $p$  ve  $q$ 'nun ortak çarpanı haline gelir, bu da başlangıçta  $p$  ve  $q$ 'yu 1'den başka ortak çarpanları olmayan tamsayılar olarak seçimimize ters düser. Dolayısıyla, karesi 2 olan bir rasyonel sayı yoktur.

Eğitimli insanlarımız  $x^2 = 2$  denkleminin rasyonel bir çözümünün bulamasalar da bir rasyonel sayı dizisi

$$\frac{1}{1}, \frac{7}{5}, \frac{41}{29}, \frac{239}{169}, \dots \quad (4)$$

bulabilirler ve bunların kareleri

$$\frac{1}{1}, \frac{49}{25}, \frac{1681}{841}, \frac{57121}{28561}, \dots \quad (5)$$

limit olarak 2'ye yakınsar. Bu sefer hayal güçleri bir rasyonel sayı dizisinin limiti kavramına gerek duyduklarını gösterir. Üstten sınırlı artan bir dizinin her zaman bir limite yaklaştığını (Bölüm 11.1, Teorem 6) kabul eder ve (4)'teki dizinin bu özelliğinin bulunduğuunu gözlersek, dizinin bir  $L$  limitinin olmasını bekleriz. Bu ayrıca, (5) dizisinden,  $L^2 = 2$  olduğunu ve dolayısıyla  $L$ 'nin rasyonel sayılarımızdan biri olmadığı anlamına gelir. Rasyonel sayılarla, bütün sınırlı artan rasyonel sayı dizilerinin limitlerini de eklersek, bütün "reel" sayı sistemine varız. Reel kelimesi tırnak içine almıştır, çünkü bu sistemde diğer matematiksel sistemlerden "daha fazla reel" veya "daha az reel" hiçbir şey yoktur.

### Kompleks Sayılar

Reel sayı sisteminin oluşturulmasının bir çok evresinde hayal gücünden söz edildi. Aslında, icat sanatına şimdiye kadar tartıştığımız sistemlerde en azından üç kere gerek duyulmuştur:

1. İlk *icat edilen* sistem: Sayma sayılarından oluşturulan *bütün tamsayılar* kümesi.
2. İkinci *icat edilen* sistem: Tamsayılardan oluşturulan  $m/n$  rasyonel sayılar kümesi.
3. Üçüncü *icat edilen* sistem. Rasyonel sayılardan oluşturulan bütün  $x$  reel sayıları kümesi.

Bu icat edilmiş sistemler, her sistemin kendisinden öncekini kapsadığı bir hiyerarşi oluştururlar. Ayrıca her sistem, sistemin dışına çıkmadan ek işlemlerin yapılabilmesini sağlamak açısından, bir öncekinden daha zengindir:

1. Bütün tamsayılar sisteminde,  $a$  herhangi bir tamsayı olmak üzere

$$x + a = 0 \quad (6)$$

şeklindeki bütün denklemleri çözebiliriz.

2. Rasyonel sayılar sisteminde,  $a$  ve  $b$  rasyonel sayılar ve  $a \neq 0$  olmak koşuluyla,

$$ax + b = 0 \quad (7)$$

şeklindeki bütün denklemleri çözebiliriz.

3. Bütün reel sayılar sisteminde, (6) ve (7)'deki denklemlerin yanında,

$$ax^2 + bx + c = 0, \quad a \neq 0 \quad \text{ve} \quad b^2 - 4ac > 0 \quad (8)$$

şeklindeki bütün kuadratik denklemleri çözebiliriz.

Muhtemelen, (8) denkleminin çözümlerini veren formülü, yani

$$x = \frac{-b \pm \sqrt{b^2 - 4ac}}{2a}, \quad (9)$$

formülünü biliyorsunuz ve  $b^2 - 4ac$  diskriminantı negatif olduğunda, (9)'daki çözümlerin yukarıda tartışılan sistemlerden hiçbirine ait olmadığını yabancı değilsiniz. Aslında,

$$x^2 + 1 = 0$$

gibi çok basit bir kuadratik denklemi çözmek, kullanabileceğimiz tek sayı sistemleri yukarıda bahsettiğimiz üç sistemse imkansızdır.

Böylece *dördüncü icat edilmiş* sisteme, bütün  $a + ib$  kompleks sayıları kümesine geliriz.  $i$  sembolünü tamamen ortadan kaldırarak  $(a, b)$  gibi bir sıralı çift gösterimi kullanabiliyoruz. Cebirsel işlemler altında,  $a$  ve  $b$  sayılarına biraz farklı davranışlığı için, sırayı doğru tutmak önemlidir. Dolayısıyla, **kompleks sayı sisteminin** bütün  $(a, b)$  sıralı reel sayı çiftleri ve bunların eşitlenecekleri, toplanacakları, çarpılacakları, vb. kurallardan oluştuğunu söyleyebiliriz. Aşağıdaki tartışmada hem  $(a, b)$  hem de  $a + ib$  gösterimlerini kullanacağız.  $a$ 'ya  $(a, b)$  kompleks sayısının **real kısmı**,  $b$ 'ye de **sanal (imajiner) kısmı** diyeceğiz.

Aşağıdaki tanımları yapıyoruz.

*Eşitlik*

Ancak ve yalnız  
 $a = c$  ve  $b = d$  ise  
 $a + ib = c + id$  olur.

İki kompleks sayı,  $(a, b)$   
ve  $(c, d)$  ancak ve yalnız  
 $a = c$  ve  $b = d$  ise eşittir.

*Addition*

$$(a + ib) + (c + id) \\ = (a + c) + i(b + d)$$

İki kompleks sayı,  $(a, b)$  ve  
 $(c, d)$ 'nin *toplamı*  $(a + c, b + d)$   
kompleks sayısıdır.

*Carpma*

$$(a + ib)(c + id) \\ = (ac - bd) + i(ad + bc)$$

$$c(a + ib) = ac + i(bc)$$

İki kompleks sayı,  $(a, b)$  ve  
 $(c, d)$ 'nin çarpımı  $(ac - bd, ad + bc)$   
kompleks sayısıdır.

Bir  $c$  reel sayısı ile bir  $(a, b)$   
kompleks sayısının çarpımı  
 $(ac, bc)$  kompleks sayısıdır.

İkinci sayı  $b$ 'nin sıfır olduğu bütün  $(a, b)$  kompleks sayılarının kümesi  $a$  reel sayılarının kümesinin bütün özelliklerine sahiptir. Örneğin,  $(a, 0)$  ve  $(c, 0)$ 'ın toplaması ve çarpılması, sanal kısımları sıfır olan aynı cinsten sayılar,

$$(a, 0) + (c, 0) = (a + c, 0),$$

$$(a, 0) \cdot (c, 0) = (ac, 0)$$

verir. Ayrıca, bir  $(a, 0)$  "reel sayısı" ile bir  $(c, d)$  kompleks sayısını çarparsa,

$$(a, 0) \cdot (c, d) = (ac, ad) = a(c, d)$$

elde ederiz. Özel olarak,  $(0, 0)$  kompleks sayısı kompleks sayı sisteminde sıfır rolü oynarken,  $(1, 0)$  kompleks sayısı da birim veya bir rolünü oynar.

Reel kısmı sıfır ve sanal kısmı 1 olan  $(0, 1)$  sayısı, karesinin

$$(0, 1)(0, 1) = (-1, 0)$$

reel kısmının eksi bire, sanal kısmında sıfıra eşit olması özelliğine sahiptir. Bu nedenle  $(a, b)$  kompleks sayılar sisteminde, karesi birim  $= (1, 0)$  ile toplanınca sıfır  $= (0, 0)$  veren bir  $x = (0, 1)$  vardır; yani

$$(0, 1)^2 + (1, 0) = (0, 0)$$

Dolayısıyla,

$$x^2 + 1 = 0$$

denkleminin bu yeni sayı sisteminde bir çözümü vardır.

Muhtemelen,  $(a, b)$  gösteriminden ziyade,  $a + ib$  gösterimine alışksınızdır.  $(1, 0)$  sayısı birim ve  $(0, 1)$  sayısı da eksi birin karekökü gibi davranışırken, sıralı ikililer cebrinin kuralları

$$(a, b) = (a, 0) + (0, b) = a(1, 0) + b(0, 1)$$

yazmamızı sağladığı için,  $(a, b)$  yerine  $a + ib$  yazmakta tereddüt etmeye gerek yoktur.  $b$ 'nin başındaki  $i$ ,  $a + ib$ 'nin sanal kısmını belirten bir elemandır.

İstediğimiz zaman  $(a, b)$  sıralı ikilileri bölgesinden  $a + ib$  ifadeleri bölgesine geçebiliriz. Ama,  $(a, b)$  sıralı çiftlerinden oluşan kompleks sayılar sistemindeki cebir kurallarını öğrendiğimizde,  $(0, 1) = i$  sembolünde  $(1, 0) = 1$  sembolünden daha az “gerçek” olan bir şey olmadığını görüyoruz.

Kompleks sayıların herhangi bir rasyonel ifadesini tek bir kompleks sayıya indirmek için, her gördüğümüz yerde  $i^2$  yerine  $-1$  yazarak elemanter cebir kurallarını uygularız. Elbette,  $(0, 0) = 0 + i0$  kompleks sayısıyla bölme yapamayız. Ama  $a + ib \neq 0$  ise, bir bölmeyi aşağıdaki gibi gerçekleştiririz:

$$\frac{c + id}{a + ib} = \frac{(c + id)(a - ib)}{(a + ib)(a - ib)} = \frac{(ac + bd) + i(ad - bc)}{a^2 + b^2}.$$

Sonuç,

$$x = \frac{ac + bd}{a^2 + b^2}, \quad y = \frac{ad - bc}{a^2 + b^2},$$

ile bir  $x + iy$  kompleks sayısıdır ve  $a + ib = (a, b) \neq (0, 0)$  olduğu için  $a^2 + b^2 \neq 0$  olur.

Paydadın  $i^2$ yi kaldırmak için çarpan olarak kullanılan  $a - ib$  sayısına  $a + ib$ 'nin **kompleks eşleniği** denir.  $z$ 'nin kompleks eşleniğini göstermek için  $\bar{z}$  ( $z$  çizgi okunur) kullanılır; böylece

$$z = a + ib, \quad \bar{z} = a - ib$$

olur.  $(c + id)/(a + ib)$  kesrinin payını ve paydasını, paydanın kompleks eşleniğiyle çarpmak her zaman paydada bir reel sayı bulunmasını sağlayacaktır.

### ÖRNEK 1 Kompleks Sayılarla Aritmetik İşlemler

- (a)  $(2 + 3i) + (6 - 2i) = (2 + 6) + (3 - 2)i = 8 + i$
- (b)  $(2 + 3i) - (6 - 2i) = (2 - 6) + (3 - (-2))i = -4 + 5i$
- (c)  $(2 + 3i)(6 - 2i) = (2)(6) + (2)(-2i) + (3i)(6) + (3i)(-2i)$   
 $= 12 - 4i + 18i - 6i^2 = 12 + 14i + 6 = 18 + 14i$

$$\begin{aligned} \text{(d)} \quad \frac{2 + 3i}{6 - 2i} &= \frac{2 + 3i}{6 - 2i} \cdot \frac{6 + 2i}{6 + 2i} \\ &= \frac{12 + 4i + 18i + 6i^2}{36 + 12i - 12i - 4i^2} \\ &= \frac{6 + 22i}{40} = \frac{3}{20} + \frac{11}{20}i \end{aligned}$$

■

### Argand Diyagramları

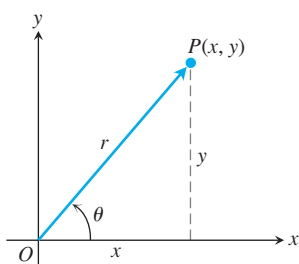
$z = x + iy$  kompleks sayısının iki geometrik temsili vardır:

1.  $xy$ -düzlemindeki  $P(x, y)$  noktası olarak
2. Orijinden  $P$ 'ye giden  $\overrightarrow{OP}$  vektörü olarak.

Her temsilde,  $x$ -eksenine reel eksen,  $y$ -eksenine de **sanal eksen** denir. İki temsil de  $x + iy$ 'nın Argand diyagramlarıdır (Şekil E.4).

$x$  ve  $y$ 'nin kutupsal koordinatları cinsinden

$$x = r \cos \theta, \quad y = r \sin \theta$$



**ŞEKL E.4** Bu Argand diyagramı  $z = x + iy$ 'yi hem bir  $P(x, y)$  noktası, hem de bir  $\overrightarrow{OP}$  vektörü olarak temsil eder.

ve

$$z = x + iy = r(\cos \theta + i \sin \theta) \quad (10)$$

yazabiliz.

Bir  $x + iy$  kompleks sayısının mutlak değerini orijinden  $P(x, y)$  noktasına giden bir  $\overrightarrow{OP}$  vektörünün uzunluğu  $r$  olarak tanımlarız. Mutlak değeri dikey çizgilerle gösteririz:

$$|x + iy| = \sqrt{x^2 + y^2}$$

$r$  ve  $\theta$  kutupsal koordinatlarını  $r$  negatif olmayacak şekilde seçersek,

$$r = |x + iy|$$

elde ederiz. Kutupsal  $\theta$  açısına  $z$ 'nin argümanı denir ve  $\theta = \arg z$  olarak yazılır. Elbette,  $\theta$ 'ya  $2\pi$ 'nin herhangi bir tam sayı katı eklenerek uygun başka bir açı üretilebilir.

Aşağıdaki denklem bir  $z$  kompleks sayısını, kompleks eşleniği  $\bar{z}$ 'yi ve mutlak değeri  $|\bar{z}|$ 'yi birleştiren yararlı bir formül verir:

$$z \cdot \bar{z} = |z|^2$$

### Euler Formülü

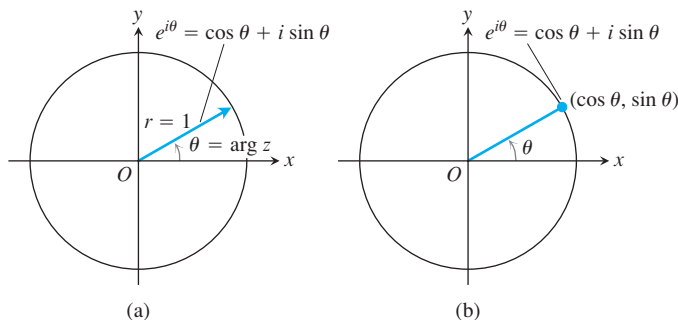
**Euler Formülü** olarak bilinen

$$e^{i\theta} = \cos \theta + i \sin \theta$$

bağıntısı (10) denklemini

$$z = re^{i\theta}$$

şeklinde yazmamızı sağlar. Bu formül, sırasıyla kompleks sayıların çarpımlarını, bölümelerini, kuvvetlerini ve köklerini hesaplamak için aşağıda verilen kurallara yol açar. Ayrıca,  $e^{i\theta}$  için Argand diyagramına da yol açar.  $e^{i\theta} = \cos \theta + i \sin \theta$ 'yı (10) denkleminde  $r = 1$  alarak elde ettiğimiz için,  $e^{i\theta}$ 'nın, Şekil E.5'te gösterildiği gibi, pozitif  $x$ -ekseniyle  $\theta$  açısı yapan bir birim vektörle temsil edildiğini söyleyebiliriz.

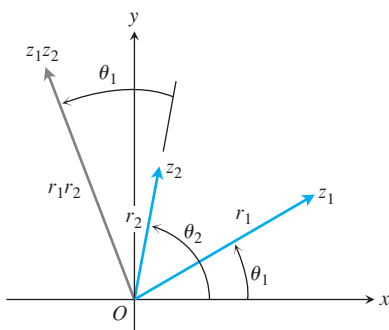


**ŞEKİL E.5**  $e^{i\theta} = \cos \theta + i \sin \theta$ 'nın (a) bir vektör, (b) bir nokta olarak Argand diyagramı.

### Carpımlar

İki kompleks sayıyı çarpmak için, mutlak değerlerini çarpar ve açılarını toplarız.

$$z_1 = r_1 e^{i\theta_1}, \quad z_2 = r_2 e^{i\theta_2}, \quad (11)$$



**SEKİL E.6**  $z_1$  ve  $z_2$  çarpıldıklarında,  $|z_1 z_2| = r_1 \cdot r_2$  ve  $\arg(z_1 z_2) = \theta_1 + \theta_2$  olur.

ve dolayısıyla

$$|z_1| = r_1, \quad \arg z_1 = \theta_1; \quad |z_2| = r_2, \quad \arg z_2 = \theta_2.$$

olsun. Bu durumda,

$$z_1 z_2 = r_1 e^{i\theta_1} \cdot r_2 e^{i\theta_2} = r_1 r_2 e^{i(\theta_1 + \theta_2)}$$

ve buradan da

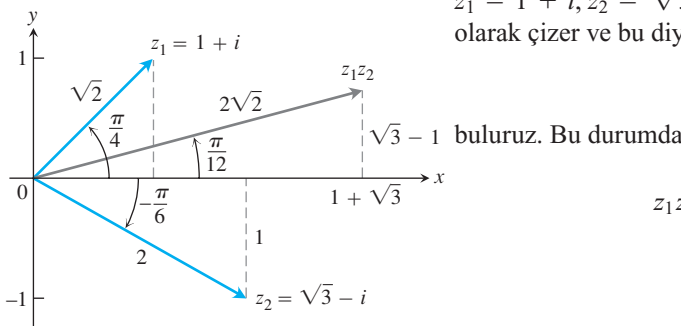
$$\begin{aligned} |z_1 z_2| &= r_1 r_2 = |z_1| \cdot |z_2| \\ \arg(z_1 z_2) &= \theta_1 + \theta_2 = \arg z_1 + \arg z_2 \end{aligned} \tag{12}$$

bulunur. Böylece iki kompleks sayının çarpımı, uzunluğu iki çarpanın uzunlukları çarpımı olan ve argümanı da argümanlarının toplamı olan bir vektör ile temsil edilir (Şekil E.6). Özel olarak, (12) Denkleminden, bir vektör  $e^{i\theta}$  ile çarpılarak saat yönünün tersine bir  $\theta$  açısı kadar çevrilebilir.  $i$  ile çarpmak  $90^\circ$ ,  $-1$  ile çarpmak  $180^\circ$ ,  $-i$  ile çarpmak  $270^\circ$  döndürür.

### ÖRNEK 2 Kompleks Sayıların Bir Çarpımını Bulmak

$z_1 = 1 + i$ ,  $z_2 = \sqrt{3} - i$  olsun. Bu kompleks sayıları bir Argand diyagramı (Şekil E.7) olarak çizer ve bu diyagramdan

$$z_1 = \sqrt{2} e^{i\pi/4}, \quad z_2 = 2 e^{-i\pi/6}$$



$$\begin{aligned} z_1 z_2 &= 2\sqrt{2} \exp\left(\frac{i\pi}{4} - \frac{i\pi}{6}\right) = 2\sqrt{2} \exp\left(\frac{i\pi}{12}\right) \\ &= 2\sqrt{2} \left(\cos \frac{\pi}{12} + i \sin \frac{\pi}{12}\right) \approx 2.73 + 0.73i \end{aligned}$$

elde ederiz.  $\exp(A)$  notasyonu  $e^A$  yerinedir. ■

**SEKİLE.7** İki kompleks sayıyı çarpmak için, mutlak değerlerini çarın ve argümanlarını toplayın.

### Bölümler

(11) Denkleminde  $r_2 \neq 0$  olduğunu varsayıñ. Bu durumda

$$\frac{z_1}{z_2} = \frac{r_1 e^{i\theta_1}}{r_2 e^{i\theta_2}} = \frac{r_1}{r_2} e^{i(\theta_1 - \theta_2)}$$

olur. Dolayısıyla,

$$\left| \frac{z_1}{z_2} \right| = \frac{r_1}{r_2} = \frac{|z_1|}{|z_2|} \quad \text{ve} \quad \arg\left(\frac{z_1}{z_2}\right) = \theta_1 - \theta_2 = \arg z_1 - \arg z_2.$$

olur. Yani, iki kompleks sayının oranı için uzunlukları böler ve açıları çıkarırız.

**ÖRNEK 3** Örnek 2'deki gibi,  $z_1 = 1 + i$ ,  $z_2 = \sqrt{3} - i$  olsun. Bu durumda,

$$\frac{1+i}{\sqrt{3}-i} = \frac{\sqrt{2}e^{i\pi/4}}{2e^{-i\pi/6}} = \frac{\sqrt{2}}{2} e^{5\pi i/12} \approx 0.707 \left(\cos \frac{5\pi}{12} + i \sin \frac{5\pi}{12}\right)$$

$$\approx 0.183 + 0.683i$$

bulunur. ■

## Kuvvetler

$n$  pozitif bir tamsayıysa, (12) Denklemindeki çarpım formüllerini uygulayarak

$$z^n = z \cdot z \cdot \cdots \cdot z. \quad n \text{ çarpan}$$

buluruz.  $z = re^{i\theta}$  ile,

$$z^n = (re^{i\theta})^n = r^n e^{i(\theta+\theta+\cdots+\theta)} \quad n \text{ toplam}$$

$$= r^n e^{in\theta}. \quad (13)$$

elde ederiz.  $r = |z|$  uzunluğunun  $n$ . kuvveti alınır ve  $\theta = \arg z$  açısı  $n$  ile çarpılır.

(13) Denkleminde  $r = 1$  alırsak, De Moivre Teoremini elde ederiz.

### De Moivre Teoremi

$$(\cos \theta + i \sin \theta)^n = \cos n\theta + i \sin n\theta. \quad (14)$$

De Moivre denkleminin sol tarafını binom teoremine göre açar ve  $a + ib$  şekline gelecek şekilde sadeleştirirsek,  $\cos n\theta$  ve  $\sin n\theta$  için  $\cos \theta$  ve  $\sin \theta$ 'nın  $n$ . dereceden polinomları şeklinde formüller elde ederiz.

**ÖRNEK 4** (14) Denkleminde  $n = 3$  ise,

$$(\cos \theta + i \sin \theta)^3 = \cos 3\theta + i \sin 3\theta$$

olur. Bu denklemin sol tarafı

$$\cos^3 \theta + 3i \cos^2 \theta \sin \theta - 3 \cos \theta \sin^2 \theta - i \sin^3 \theta$$

gelir. Bunun real kısmı  $\cos 3\theta$ 'ya, sanal kısmı da  $\sin 3\theta$ 'ya eşit olmalıdır. Dolayısıyla,

$$\cos 3\theta = \cos^3 \theta - 3 \cos \theta \sin^2 \theta,$$

$$\sin 3\theta = 3 \cos^2 \theta \sin \theta - \sin^3 \theta$$

bulnur. ■

## Kökler

$z = re^{i\theta}$  sıfırdan farklı bir kompleks sayı ve  $n$  pozitif bir tamsayı ise,  $z$ 'nin  $n$ . kökü olan tam  $n$  tane farklı  $w_0, w_1, \dots, w_n$  kompleks sayısı vardır. Nedenini anlamak için,  $w = \rho e^{i\alpha}$   $z = re^{i\theta}$ 'nın  $n$ . köklerinden biri olsun, böylece

$$w^n = z$$

veya

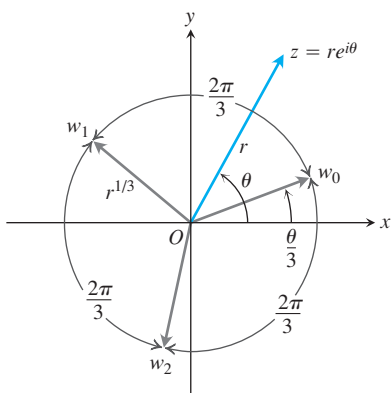
$$\rho^n e^{in\alpha} = re^{i\theta}$$

olur. Bu durumda,

$$\rho = \sqrt[n]{r}$$

$r$ 'nin reel, pozitif  $n$ . köküdür. Açıya gelince,  $n\alpha$  ile  $\theta$ 'nın aynı olduğunu söyleyemesek bile, aralarında sadece  $2\pi$ 'nin tamsayı bir katı kadar fark olduğunu söyleyebiliriz. Yani,

$$n\alpha = \theta + 2k\pi, \quad k = 0, \pm 1, \pm 2, \dots$$

ŞEKİL E.8  $z = re^{i\theta}$  nin üç küp kökü.

Dolayısıyla,

$$\alpha = \frac{\theta}{n} + k \frac{2\pi}{n}$$

olur. Böylece  $z = re^{i\theta}$  nin  $n$ . köklerinin hepsi aşağıdaki formülle verilir.

$$\sqrt[n]{re^{i\theta}} = \sqrt[n]{r} \exp i\left(\frac{\theta}{n} + k \frac{2\pi}{n}\right), \quad k = 0, \pm 1, \pm 2, \dots \quad (15)$$

$k$ 'nin olası sonsuz değrine karşılık gelen sonsuz farklı yanıt var gibi görülebilir. Ama (15) Denkleminde  $k = n + m$ ,  $k = n$  ile aynı yanıtı verir. Dolayısıyla  $z$ 'nin bütün farklı  $n$ . köklerini bulmak için  $k$  için sadece birbirini izleyen  $n$  tane değeri almamız yeterlidir. Kolaylık için,

$$k = 0, 1, 2, \dots, n - 1$$

alabiliriz.

$re^{i\theta}$  nin bütün  $n$ . kökleri, merkezi O orijininde olan ve yarıçapı  $r$ 'nin reel, pozitif  $n$ . köküne eşit olan bir çemberin üzerinde bulunurlar. Bunlardan birinin argümanı  $\alpha = \theta/n$  dir. Diğerleri, komşularıyla aralarında  $2\pi/n$  açısı bulunacak şekilde çember üzerinde düzgün bir şekilde yerleşmişlerdir. Şekil E.8,  $z = re^{i\theta}$  kompleks sayısının üç küp kökü  $w_0$ ,  $w_1$  ve  $w_2$ 'nin yerleşimlerini göstermektedir.

### ÖRNEK 5 Dördüncü Kökleri Bulmak

-16'nın dört tane dördüncü kökünü bulun.

**Cözüm** İlk adım olarak, -16'yı bir Argand diyagramında işaretler (Şekil E.9) ve kutupsal temsili  $re^{i\theta}$ yi belirleriz. Burada,  $z = -16$ ,  $r = +16$  ve  $\theta = \pi$  dir.  $16e^{i\pi}$  nin dördüncü köklerinden biri  $2e^{i\pi/4}$  tür. Diğerlerini, ilk değerin argümanına arka arkaya  $2\pi/4 = \pi/2$  ekleyerek buluruz. Yani,

$$\sqrt[4]{16 \exp i\pi} = 2 \exp i\left(\frac{\pi}{4}, \frac{3\pi}{4}, \frac{5\pi}{4}, \frac{7\pi}{4}\right)$$

ve dört tane dördüncü kök

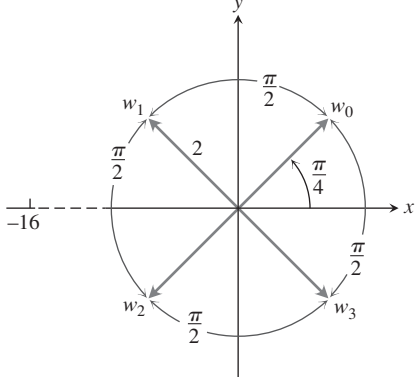
$$w_0 = 2 \left[ \cos \frac{\pi}{4} + i \sin \frac{\pi}{4} \right] = \sqrt{2}(1 + i)$$

$$w_1 = 2 \left[ \cos \frac{3\pi}{4} + i \sin \frac{3\pi}{4} \right] = \sqrt{2}(-1 + i)$$

$$w_2 = 2 \left[ \cos \frac{5\pi}{4} + i \sin \frac{5\pi}{4} \right] = \sqrt{2}(-1 - i)$$

$$w_3 = 2 \left[ \cos \frac{7\pi}{4} + i \sin \frac{7\pi}{4} \right] = \sqrt{2}(1 - i)$$

olarak bulunur.



ŞEKİL E.9 -16'nın dört tane dördüncü kökü

### Cebrin Temel Teoremi

$\sqrt{-1}$ 'in icadının iyi ve güzel olduğu ve reel sayı sisteminden daha zengin bir sayı sisteme yol açtığı söylenebilir, ama bu proses nerede sona erecektir?  $\sqrt[4]{-1}$ ,  $\sqrt[6]{-1}$ , ve

diğerlerini bulmak için de sayı sistemleri icat edecek miyiz? Şimdiye kadar bunun gerekli olmadığı belirlenmiş olmalıdır. Bu sayılar  $a + ib$  kompleks sayı sistemi cinsinden ifade edilebilmektedir. Aslında, Cebrin Temel Teoremi, kompleks sayıların tanıtılmasıyla her polinomu lineer çarpanların bir çarpımı olarak çarpanlarına ayıabileceğimizi ve dolayısıyla her olası polinomu çözmeye yetecek kadar sayımız olduğunu söyler.

### Cebrin Temel Teoremi

$a_0, a_1, \dots, a_n$  katsayıları herhangi kompleks sayılar, derecesi  $n$ , 1'e eşit veya 1'den büyük olan ve ilk katsayısı  $a_0$  sıfır olmayan

$$a_n z^n + a_{n-1} z^{n-1} + \dots + a_1 z + a_0 = 0$$

şeklindeki her polinom denkleminin, kompleks sayı sisteminde tam  $n$  kökü vardır. Burada katılılığı  $m$  olan her kök  $m$  tane kök olarak sayılmaktadır.

Bu teoremin bir ispatı kompleks değişkenli fonksiyonlar teorisi üzerine yazılmış her metinde bulunabilir.

## ALIŞTIRMALAR E.5

### Kompleks Sayılarla İşlemler

#### 1. Bilgisayarlar kompleks sayıları nasıl çarpar?

$(a, b) \cdot (c, d) = (ac - bd, ad + bc)$ 'yi bulun.

- a.  $(2, 3) \cdot (4, -2)$       b.  $(2, -1) \cdot (-2, 3)$

c.  $(-1, -2) \cdot (2, 1)$

(Bilgisayarlar kompleks sayıları bu şekilde çarpar.)

#### 2. Aşağıdaki denklemlerden $x$ ve $y$ reel sayılarını çözün.

a.  $(3 + 4i)^2 - 2(x - iy) = x + iy$

b.  $\left(\frac{1+i}{1-i}\right)^2 + \frac{1}{x+iy} = 1 + i$

c.  $(3 - 2i)(x + iy) = 2(x - 2iy) + 2i - 1$

### Grafik Çizme ve Geometri

#### 3. Aşağıdaki kompleks sayılar $z = x + iy$ 'den geometrik olarak nasıl elde edilebilir? Çizin.

- a.  $\bar{z}$       b.  $\overline{(-z)}$   
c.  $-z$       d.  $1/z$

#### 4. Bir Argand diyagramında, iki $z_1$ ve $z_2$ noktası arasındaki mesafenin $|z_1 - z_2|$ olduğunu gösterin.

5–10 alıştırmalarında, verilen koşulları sağlayan  $z = x + iy$  noktalarının grafiklerini çizin.

5. a.  $|z| = 2$       b.  $|z| < 2$       c.  $|z| > 2$   
6.  $|z - 1| = 2$       7.  $|z + 1| = 1$   
8.  $|z + 1| = |z - 1|$       9.  $|z + i| = |z - 1|$   
10.  $|z + 1| \geq |z|$

11–14 alıştırmalarındaki kompleks sayıları  $r \geq 0$  ve  $-\pi < \theta \leq \pi$  olmak üzere  $re^{i\theta}$  şeklinde ifade edin. Her hesaplama için bir Argand diyagramı çizin.

11.  $(1 + \sqrt{-3})^2$       12.  $\frac{1+i}{1-i}$   
13.  $\frac{1+i\sqrt{3}}{1-i\sqrt{3}}$       14.  $(2+3i)(1-2i)$

### Kuvvetler ve Kökler

15 ve 16 alıştırmalarındaki trigonometrik fonksiyonları,  $\cos \theta$  ve  $\sin \theta$  cinsinden ifade etmek için De Moivre Teoremini kullanın.

15.  $\cos 4\theta$       16.  $\sin 4\theta$   
17. 1'in üç küp kökünü bulun

18.  $i^2$  nin iki tane karekökünü bulun.
19.  $-8i^2$  nin üç tane küp kökünü bulun.
20.  $64^{\frac{1}{3}}$  ün altı tane altıncı kökünü bulun.
21.  $z^4 - 2z^2 + 4 = 0$  denkleminin dört çözümünü bulun.
22.  $z^6 + 2z^3 + 2 = 0$  denkleminin altı çözümünü bulun.
23.  $x^4 + 4x^2 + 16 = 0$  denkleminin bütün çözümlerini bulun.
24.  $x^4 + 1 = 0$  denklemini çözün.

### Teori ve Örnekler

25. **Kompleks sayılar ve düzlemede vektörler** Kompleks sayıları toplama kuralının Argand diyagramının, vektörleri toplamak için paralelkenar kuralıyla aynı olduğunu gösterin.
26. **Eşleniklerle kompleks aritmetik**  $z_1$  ve  $z_2$  kompleks sayılarının toplamının (çarpımının veya bölümünün) eşleniklerinin, bu sayıların eşleniklerinin toplamına (çarpımına veya bölümüne) eşit olduğunu gösterin.
27. **Reel katsayılı polinomların kompleks kökleri kompleks - eşlenik çiftleri şeklindedir.**

- a. Alıştırma 26'nm sonuçlarını genişletecek,

$$f(z) = a_n z^n + a_{n-1} z^{n-1} + \cdots + a_1 z + a_0$$

$a_0, \dots, a_n$  katsayıları reel olan bir polinom ise  $f(\bar{z}) = \overline{f(z)}$  olduğunu gösterin.

- b.  $f(z)$ ,  $a$  şıklındaki gibi katsayıları reel olan bir polinom olmak üzere,  $f(z) = 0$  denkleminin bir kökü  $z$  ise, eşleniği  $\bar{z}$ 'nin de denklemin bir kökü olduğunu gösterin (İpucu:  $f(z) = u + iv = 0$  alın; bu durumda hem  $u$  hem de  $v$  sıfır olur. Şimdi,  $f(\bar{z}) = \overline{f(z)} = u - iv$  olduğunu kullanın).

28. Bir eşleniğin mutlak değeri  $|\bar{z}| = |z|$  olduğunu gösterin.

29.  $z = \bar{z}$  iken  $z$  ve  $\bar{z}$  eşitse,  $z$  noktasının kompleks düzlemedeki konumu hakkında ne söyleyebilirsiniz?

30. **Reel ve sanal kısımlar**  $\operatorname{Re}(z)$   $z$ 'nin reel kısmını,  $\operatorname{Im}(z)$  de  $z$ 'nin sanal kısmını belirtsin. Aşağıdaki bağıntıların her  $z$ ,  $z_1$  ve  $z_2$  sayıları için geçerli olduğunu gösterin.

- a.  $z + \bar{z} = 2\operatorname{Re}(z)$
- b.  $z - \bar{z} = 2i\operatorname{Im}(z)$
- c.  $|\operatorname{Re}(z)| \leq |z|$
- d.  $|z_1 + z_2|^2 = |z_1|^2 + |z_2|^2 + 2\operatorname{Re}(z_1\bar{z}_2)$
- e.  $|z_1 + z_2| \leq |z_1| + |z_2|$

## E.6

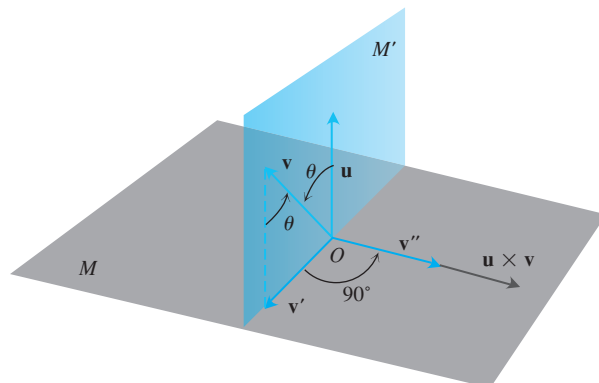
### Vektörel Çarpımlar İçin Dağılma Kuralı

Bu ekte, Bölüm 12.4'teki 2 Özelliği olan

$$\mathbf{u} \times (\mathbf{v} + \mathbf{w}) = \mathbf{u} \times \mathbf{v} + \mathbf{u} \times \mathbf{w}$$

dağılma kuralını ispatlayacağız.

**İspat** Dağılma Kuralını türetmek için,  $\mathbf{u} \times \mathbf{v}$ 'yi yeni bir şekilde kurarız.  $\mathbf{u}$  ve  $\mathbf{v}$ 'yi ortak noktaları olan  $O$  noktasından başlayarak çizer ve  $\mathbf{u}$ 'ya  $O$  noktasında dik olan bir  $M$  düzlemini oluştururuz (Şekil E.10). Sonra, uzunluğu  $|\mathbf{v}| \sin \theta$  olan bir  $\mathbf{v}'$  vektörü oluşturacak şe-



ŞEKİL E.10 Metinde açıklandığı gibi,  $\mathbf{u} \times \mathbf{v} = |\mathbf{u}| |\mathbf{v}'|$  dür.

kilde,  $\mathbf{v}$ 'nin  $M$  üzerine dik izdüşümünü alırız.  $\mathbf{v}''$ 'nün  $\mathbf{u}$  etrafında pozitif yönde  $90^\circ$  döndürerek bir  $\mathbf{v}''$  vektörü oluştururuz. Son olarak  $\mathbf{v}''$ 'nün  $\mathbf{u}$ 'nın uzunluğuyla çarparız.

$$|\mathbf{u}||\mathbf{v}''| = |\mathbf{u}||\mathbf{v}'| = |\mathbf{u}||\mathbf{v}| \sin \theta = |\mathbf{u} \times \mathbf{v}|.$$

olur. Bu üç işlemin her biri, yani

1.  $M$  üzerine izdüşüm,
2.  $\mathbf{u}$  etrafında  $90^\circ$ lik dönme,
3.  $|\mathbf{u}|$  skaleri ile çarpmaya,

düzlemi  $\mathbf{u}$ 'ya dik olmayan bir üçgene uygulandıklarında, başka bir üçgen oluştururlar. Kenarları  $\mathbf{v}$ ,  $\mathbf{w}$  ve  $\mathbf{v} + \mathbf{w}$  olan bir üçgenle işe başlar (Şekil E. 11) ve bu üç adımı uygularsak, sırasıyla şunları elde ederiz:

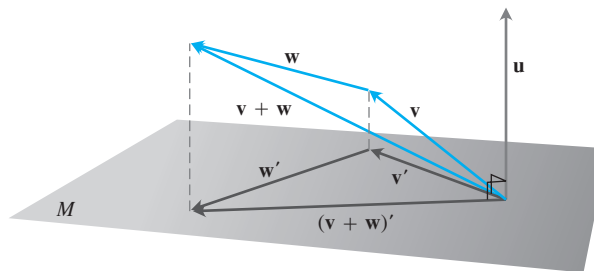
1. Kenarları  $\mathbf{v}'$ ,  $\mathbf{w}'$  ve  $(\mathbf{v} + \mathbf{w})'$  olan ve aşağıdaki vektör denklemini sağlayan bir üçgen

$$\mathbf{v}' + \mathbf{w}' = (\mathbf{v} + \mathbf{w})'$$

2. Kenarları  $\mathbf{v}''$ ,  $\mathbf{w}''$  ve  $(\mathbf{v} + \mathbf{w})''$  olan ve aşağıdaki vektör denklemini sağlayan bir üçgen

$$\mathbf{v}'' + \mathbf{w}'' = (\mathbf{v} + \mathbf{w})''$$

(Vektörlerdeki çift üst işaretin Şekil E.10'dakiyle aynı anlamdadır);



**ŞEKİL E.11**  $\mathbf{v}$ ,  $\mathbf{w}$ ,  $\mathbf{v} + \mathbf{w}$  vektörleri ve bunların  $\mathbf{u}$ 'ya dik bir düzlemedeki izdüşümleri.

3. Kenarları  $|\mathbf{u}| \mathbf{v}''$ ,  $|\mathbf{u}| \mathbf{w}''$  ve  $|\mathbf{u}|(\mathbf{v} + \mathbf{w})''$  olan ve aşağıdaki vektör denklemini sağlayan bir üçgen

$$|\mathbf{u}| \mathbf{v}'' + |\mathbf{u}| \mathbf{w}'' = |\mathbf{u}|(\mathbf{v} + \mathbf{w})''$$

Yukarıda tartışırken bulunan  $|\mathbf{u}| \mathbf{v}'' = \mathbf{u} \times \mathbf{v}$ ,  $|\mathbf{u}| \mathbf{w}'' = \mathbf{u} \times \mathbf{w}$  ve  $|\mathbf{u}|(\mathbf{v} + \mathbf{w})'' = \mathbf{u} \times (\mathbf{v} + \mathbf{w})$ 'nün bu son denklemde yerine koymak

$$\mathbf{u} \times \mathbf{v} + \mathbf{u} \times \mathbf{w} = \mathbf{u} \times (\mathbf{v} + \mathbf{w}),$$

verir, ki bu da gerçeklemek istediğimiz kuraldır. ■

## E.7

### Karışık Türev Teoremi ve Artım Teoremi

Bu ek Karışık Türev Teoremini (Bölüm 14.3, Teorem 2) ve İki Değişkenli Fonksiyonlar için Artım Teoremini (Bölüm 14.3, Teorem 2) türetir. Euler, Karışık Türev Teoremini ilk defa hidrodinamik üzerine yazdığı bir makaleler dizisinde 1734'te yayınlamıştır.

**TEOREM 2 Karışık Türev Teoremi**

$f(x, y)$  ve kısmi türevleri,  $f_x, f_y, f_{xy}$  ve  $f_{yx}$  bir  $(a, b)$  noktasını içeren bir açık bölgede tanımlısa ve hepsi  $(a, b)$  noktasında sürekliyse,  $f_{xy}(a, b) = f_{yx}(a, b)$  olur.

**İspat**  $f_{xy}(a, b)$  ile  $f_{yx}(a, b)$ 'nin eşit olduğunu Ortalama Değer Teoremi (Bölüm 4.2, Teorem 4) dört kere uygulanarak gösterilebilir. Hipoteze göre,  $(a, b)$  noktası  $xy$ -düzleminde,  $f_x, f_y, f_{xy}$  ve  $f_{yx}$ 'in hepsinin tanımlı olduğu bir  $R$  dikdörtgeninin içinde bulunmaktadır.  $h$  ve  $k$  sayılarını,  $(a + h, b + k)$  noktası da  $R$  dikdörtgeni içinde bulunacak şekilde seçer ve

$$\Delta = F(a + h) - F(a) \quad (1)$$

olmak üzere,

$$F(x) = f(x, b + k) - f(x, b) \quad (2)$$

farkını inceleriz.  $F'$ ye (türetilebilir olduğu için sürekli) Ortalama Değer Teoremini uygularız ve (2) denklemi,  $c_1$  sayısı  $a$  ile  $a + h$  arasında bulunmak üzere,

$$\Delta = hF'(c_1) \quad (3)$$

halini alır. (1) denkleminden,

$$F'(x) = f_x(x, b + k) - f_x(x, b),$$

bulunur, böylece (3) denklemi

$$\Delta = h[f_x(c_1, b + k) - f_x(c_1, b)] \quad (4)$$

halini alır. Şimdi Ortalama Değer Teoremini  $g(y) = f_x(c_1, y)$  fonksiyonuna uygular ve,  $b$  ile  $b + k$  arasındaki bir  $d_1$  değeri için,

$$g(b + k) - g(b) = kg'(d_1),$$

veya

$$f_x(c_1, b + k) - f_x(c_1, b) = kf_{xy}(c_1, d_1)$$

elde ederiz. Bunu (4) denklemine yerleştirerek, üç noktaları  $(a, b), (a + h, b), (a + h, b + k)$  ve  $(a, b + k)$  olan  $R'$  dikdörtgeninde bulunan bir  $(c_1, d_1)$  noktası için

$$\Delta = hkf_{xy}(c_1, d_1) \quad (5)$$

elde ederiz (Şekil E.12'ye bakın).

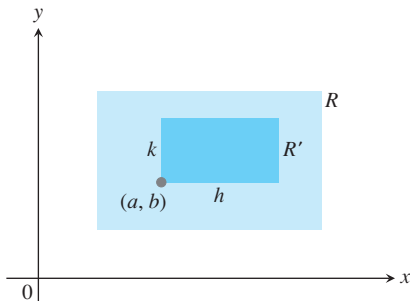
(1) Denklemi (2) Denklemine yerleştirirsek,

$$\begin{aligned} \Delta &= f(a + h, b + k) - f(a + h, b) - f(a, b + k) + f(a, b) \\ &= [f(a + h, b + k) - f(a, b + k)] - [f(a + h, b) - f(a, b)] \\ &= \phi(b + k) - \phi(b) \end{aligned} \quad (6)$$

olmak üzere,

$$\phi(y) = f(a + h, y) - f(a, y) \quad (7)$$

elde ederiz. (7) denklemine Ortalama Değer Teoreminin uygulanması,  $b$  ile  $b + k$  arasındaki bir  $d_2$  için,



**ŞEKİL E.12**  $f_{xy}(a, b)$ 'nin  $f_{yx}(a, b)$ 'ye eşit olduğunu göstermenin anahtarı,  $R'$  ne kadar küçük olursa olsun,  $f_{xy}$  ve  $f_{yx}$ 'nin  $R'$ 'nın içindeki bir yerde aynı değeri almalarıdır (aynı noktada olmasa bile).

$$\Delta = k\phi'(d_2) \quad (8)$$

verir.

(6) Denkleminden

$$\phi'(y) = f_y(a + h, y) - f_y(a, y). \quad (9)$$

bulunur. (9) denklemi (8) denklemine yerleştirmek

$$\Delta = k[f_y(a + h, d_2) - f_y(a, d_2)].$$

verir. Son olarak, köşeli parantezin içindeki ifadeye Ortalama Değer Teoremini uygulayarak,  $a$  ile  $a + h$  arasındaki bir  $c_2$  değeri için,

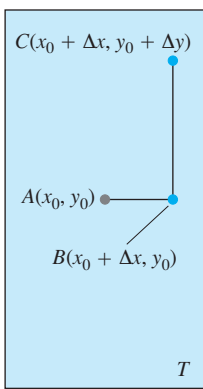
$$\Delta = khf_{yx}(c_2, d_2) \quad (10)$$

elde ederiz.

(5) ve (10) Denklemeleri birlikte, hem  $(c_1, d_1)$  hem de  $(c_2, d_2)$   $R'$  dikdörtgeninin içinde bulunmak üzere (Şekil E.12)

$$f_{xy}(c_1, d_1) = f_{yx}(c_2, d_2), \quad (11)$$

olduğunu gösterir. (11) Denklemi tam olarak istediğimiz sonuç değildir, çünkü sadece  $f_{xy}$ 'nin  $(c_1, d_1)$ 'de,  $f_{yx}$ 'in  $(c_2, d_2)$ 'deki değerine eşit olduğunu söyley. Ama tartışmamızdaki  $h$  ve  $k$  sayıları istediğimiz kadar küçük yapılabilir.  $f_{xy}$  ve  $f_{yx}$ 'in ikisinin de  $(a, b)$ 'de sürekli oldukları hipotezi,  $h$  ve  $k \rightarrow 0$  iken  $\epsilon_1, \epsilon_2 \rightarrow 0$  olmak koşuluyla,  $f_{xy}(c_1, d_1) = f_{xy}(a, b) + \epsilon_1$  ve  $f_{yx}(c_2, d_2) = f_{yx}(a, b) + \epsilon_2$  olduğu anlamına gelir. Dolayısıyla,  $h$  ve  $k$ 'yi sıfıra götürürsek,  $f_{xy}(a, b) = f_{yx}(a, b)$  elde ederiz. ■



**ŞEKİL E.13** Artım Teoreminin ispatındaki dikdörtgen  $T$  bölgesi. Şekil, pozitif  $\Delta x$  ve  $\Delta y$  için çizilmişdir, ama her iki artım sıfır veya negatif de olabilir.

### TEOREM 3 İki Değişkenli Fonksiyonların Artım Teoremi

$z = f(x, y)$ 'nin birinci kısmi türevlerinin  $(x_0, y_0)$  noktasını içeren bir açık  $R$  bölgesinde tanımlı olduklarını ve  $f_x$  ile  $f_y$ 'nin  $(x_0, y_0)$ 'da sürekli olduklarını varsayıñ. Bu durumda,  $(x_0, y_0)$ 'dan  $R$ 'deki başka bir  $(x_0 + \Delta x, y_0 + \Delta y)$  noktasına ilerlemekten kaynaklanan  $f$ 'nin değerindeki  $\Delta z = f(x_0 + \Delta x, y_0 + \Delta y)$  değişimini,  $\Delta x, \Delta y \rightarrow 0$  iken  $\epsilon_1, \epsilon_2 \rightarrow 0$  koşuluyla,

$$\Delta z = f_x(x_0, y_0)\Delta x + f_y(x_0, y_0)\Delta y + \epsilon_1\Delta x + \epsilon_2\Delta y$$

şeklinde bir denklemi sağlar.

**İspat** Merkezi  $A(x_0, y_0)$ 'da olan ve  $R$ 'nin içinde bulunan bir  $T$  dikdörtgeninin içinde çalışacak ve  $\Delta x$  ve  $\Delta y$ 'nın de  $A'$ yi  $B(x_0 + \Delta x, y_0)$ 'ye bağlayan doğru parçası ile  $B'$ yi  $C(x_0 + \Delta x, y_0 + \Delta y)$ 'ye bağlayan doğru parçasının  $T$ 'nin içinde olmasını sağlayacak kadar küçük olduklarını varsayıcağız (Şekil E.13).

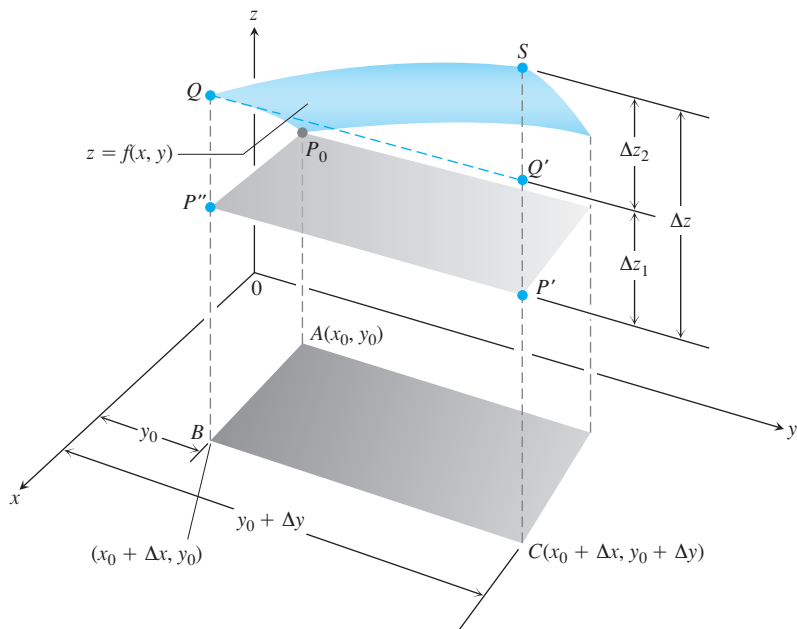
$\Delta z$ 'yi,

$$\Delta z_1 = f(x_0 + \Delta x, y_0) - f(x_0, y_0)$$

$A$ 'dan  $B$ 'ye kadar  $f$ 'nin değerindeki değişim ve

$$\Delta z_2 = f(x_0 + \Delta x, y_0 + \Delta y) - f(x_0 + \Delta x, y_0)$$

$B$ 'den  $C$ 'ye kadar  $f$ 'nin değerindeki değişim (Şekil E.14) olmak üzere, iki artımın toplamı olarak  $\Delta z = \Delta z_1 + \Delta z_2$  şeklinde yazabiliriz.



**ŞEKİL E.14**  $z = f(x, y)$  yüzeyinin  $P_0(x_0, y_0, f(x_0, y_0))$  civarındaki parçası.  $P_0, P'$  ve  $P''$  noktalarının  $xy$ -düzleminin üzerindeki yükseklikleri aynıdır.  $z$ 'deki değişiklik  $\Delta z = P'S$ dir.  $P''Q = P'Q'$  olarak gösterilen

$$\Delta z_1 = f(x_0 + \Delta x, y_0) - f(x_0, y_0),$$

değişimi  $y$ 'yi  $y_0$ 'a eşit tutarken,  $x$ 'i  $x_0$ 'dan  $x_0 + \Delta x$ 'e değiştirmekten kaynaklanmaktadır. Sonra,  $x$ 'i  $x_0 + \Delta x$ 'e eşit tutarak elde edilen  $z$ 'deki

$$\Delta z_2 = f(x_0 + \Delta x, y_0 + \Delta y) - f(x_0 + \Delta x, y_0)$$

değişimi,  $y$ 'yi  $y_0$ 'dan  $y_0 + \Delta y$ 'ye değiştirmekten kaynaklanmaktadır. Bu  $Q'S$  ile temsil edilmektedir.  $z$ 'deki toplam değişim  $\Delta z_1$  ile  $\Delta z_2$ 'nin toplamıdır.

$x_0$ 'ı  $x_0 + \Delta x$ 'e bağlayan kapalı  $x$ -değerleri aralığında,  $F(x) = f(x, y_0)$  fonksiyonu  $x$ 'in türetilebilir (ve dolayısıyla sürekli) bir fonksiyonudur ve türevi

$$F'(x) = f_x(x, y_0)$$

olarak bulunur. Ortalama Değer Teoremine göre (Bölüm 4.2, Teorem 4),  $x$  ile  $x_0 + \Delta x$  arasında,  $x$ 'in

$$F(x_0 + \Delta x) - F(x_0) = F'(c)\Delta x$$

veya

$$f(x_0 + \Delta x, y_0) - f(x_0, y_0) = f_x(c, y_0)\Delta x$$

veya

$$\Delta z_1 = f_x(c, y_0)\Delta x \quad (12)$$

olmasını sağlayan bir  $c$  değeri vardır.

Benzer şekilde,  $G(y) = f(x_0 + \Delta x, y)$  fonksiyonu  $y_0$  ile  $y_0 + \Delta y$ 'yi birlestiren kapalı  $y$  aralığında  $y$ 'nin türetilebilir (ve dolayısıyla sürekli) bir fonksiyonudur ve türevi,

$$G'(y) = f_y(x_0 + \Delta x, y)$$

olarak bulunur.

Böylece,  $y$  ile  $y_0 + \Delta y$  arasında,  $y$ 'nin

$$G(y_0 + \Delta y) - G(y_0) = G'(d)\Delta y$$

veya

$$f(x_0 + \Delta x, y_0 + \Delta y) - f(x_0 + \Delta x, y) = f_y(x_0 + \Delta x, d)\Delta y$$

veya

$$\Delta z_2 = f_y(x_0 + \Delta x, d)\Delta y \quad (13)$$

olmasını sağlayan bir  $d$  değeri vardır.

Artık,  $\Delta x$  ve  $\Delta y \rightarrow 0$  iken,  $c \rightarrow x_0$  ve  $d \rightarrow y_0$  olduğunu biliyoruz. Dolayısıyla,  $f_x$  ve  $f_y$   $(x_0, y_0)$ 'da sürekli olduklarından,  $\Delta x$  ve  $\Delta y \rightarrow 0$  iken,

$$\begin{aligned} \epsilon_1 &= f_x(c, y_0) - f_x(x_0, y_0), \\ \epsilon_2 &= f_y(x_0 + \Delta x, d) - f_y(x_0, y_0) \end{aligned} \quad (14)$$

büyüklüklerinin ikisi de sıfıra yaklaşır.

Son olarak,  $\Delta x$  ve  $\Delta y \rightarrow 0$  iken  $\epsilon_1$  ve  $\epsilon_2 \rightarrow 0$  olmak üzere,

$$\begin{aligned} \Delta z &= \Delta z_1 + \Delta z_2 \\ &= f_x(c, y_0)\Delta x + f_y(x_0 + \Delta x, d)\Delta y \\ &= [f_x(x_0, y_0) + \epsilon_1]\Delta x + [f_y(x_0, y_0) + \epsilon_2]\Delta y \\ &= f_x(x_0, y_0)\Delta x + f_y(x_0, y_0)\Delta y + \epsilon_1\Delta x + \epsilon_2\Delta y, \end{aligned} \quad \begin{array}{l} \text{(12) ve (13)'ten} \\ \text{denklemeler} \\ \text{(14)'ten} \\ \text{denklemeler} \end{array}$$

elde ederiz. Bu da ispatlamak istediğimiz şeydir. ■

Benzer sonuçlar herhangi sonlu sayıda değişkenli fonksiyonlar için de geçerlidir.

$w = f(x, y, z)$  fonksiyonunun birinci mertebe kısmi türevlerinin  $(x_0, y_0, z_0)$  noktasını içeren bir açık bölgede tanımlı olduklarını ve  $f_x, f_y$  ve  $f_z$ 'nın  $(x_0, y_0, z_0)$ 'da sürekli olduklarını varsayıy়. Bu durumda,

$\Delta x, \Delta y$  ve  $\Delta z \rightarrow 0$  iken  $\epsilon_1, \epsilon_2, \epsilon_3 \rightarrow 0$  olmak üzere,

$$\begin{aligned} \Delta w &= f(x_0 + \Delta x, y_0 + \Delta y, z_0 + \Delta z) - f(x_0, y_0, z_0) \\ &= f_x\Delta x + f_y\Delta y + f_z\Delta z + \epsilon_1\Delta x + \epsilon_2\Delta y + \epsilon_3\Delta z, \end{aligned} \quad (15)$$

olur. Bu formüldeki  $f_x, f_y, f_z$  kısmi türevleri  $(x_0, y_0, z_0)$  noktasında hesaplanabilirler.

(15) Denklemi,  $\Delta w$  değişimi

$$\Delta w_1 = f(x_0 + \Delta x, y_0, z_0) - f(x_0, y_0, z_0) \quad (16)$$

$$\Delta w_2 = f(x_0 + \Delta x, y_0 + \Delta y, z_0) - f(x_0 + \Delta x, y_0, z_0) \quad (17)$$

$$\Delta w_3 = f(x_0 + \Delta x, y_0 + \Delta y, z_0 + \Delta z) - f(x_0 + \Delta x, y_0 + \Delta y, z_0), \quad (18)$$

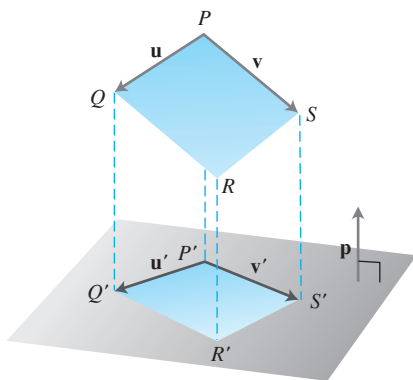
artımlarının toplamı olarak alınıp, Ortalama Değer Teoreminin bunların her birine ayrı ayrı uygulanmasıyla ispatlanabilir. Bu  $\Delta w_1, \Delta w_2, \Delta w_3$  kısmi artımlarının her birinde, iki koordinat sabit tutulmakta ve biri değişmektedir. (17) Denkleminde, örneğin  $x, x_0 + \Delta x$ 'e ve  $z$  de  $z_0$ 'a eşit tutulduğu için,  $y$  değişmektedir.  $f(x_0 + \Delta x, y, z_0)$   $y$ 'nin türevi  $f_y$  olan sürekli bir fonksiyon olduğu için, Ortalama Değer Teoremi uygulanabilir ve  $y_0$  ile  $y_0 + \Delta y$  arasındaki bir  $y_1$  değeri için

$$\Delta w_2 = f_y(x_0 + \Delta x, y_1, z_0)\Delta y$$

elde ederiz.

## E.8

## Bir Paralelkenenin Bir Düzlem Üzerine İzdüşümünün Alanı



**Sekil E.15** Uzayda  $\mathbf{u}$  ve  $\mathbf{v}$  vektörleri tarafından belirlenen paralelkenar ve paralelkenarın bir düzlem üzerine dik izdüşümü. Düzleme ortogonal izdüşüm doğruları, birim normal vektör  $\mathbf{p}$ 'ye paraleldirler.

Bu ek, Bölüm 16.5'te gerek duyulan, kenarları  $\mathbf{u}$  ve  $\mathbf{v}$  ile belirlenen paralelkenenin, normali  $\mathbf{p}$  olan herhangi bir düzlem üzerine dik izdüşümünün alanının  $|(\mathbf{u} \times \mathbf{v}) \cdot \mathbf{p}|$  olduğu sonucunu ispatlamaktadır. (Şekil 15.A'ya bakın.)

## TEOREM

Kenarları, uzayda  $\mathbf{u}$  ve  $\mathbf{v}$  vektörleri ile belirlenen paralelkenenin, birim normal vektörü  $\mathbf{p}$  olan herhangi bir düzlem üzerine dik izdüşümünün alanı

$$\text{Alan} = |(\mathbf{u} \times \mathbf{v}) \cdot \mathbf{p}|$$

dir.

**İspat**  $\mathbf{u}$  ve  $\mathbf{v}$  vektörleri ile belirlenen tipik bir paralelkenarı ve birim normal vektörü  $\mathbf{p}$  olan bir düzlem üzerine dik izdüşümünü gösteren Şekil 15.A'daki gösterimde,

$$\begin{aligned}\mathbf{u} &= \overrightarrow{PP'} + \mathbf{u}' + \overrightarrow{Q'Q} \\ &= \mathbf{u}' + \overrightarrow{PP'} - \overrightarrow{QQ'} \quad (\overrightarrow{Q'Q} = -\overrightarrow{QQ'}) \\ &= \mathbf{u}' + s\mathbf{p}. \quad (\text{Bir } s \text{ skaleri için, çünkü } \overrightarrow{PP'} - \overrightarrow{QQ'} \text{ } \mathbf{p}'\text{ye paraleldir})\end{aligned}$$

dir. Benzer şekilde, bir  $t$  skaleri için

$$\mathbf{v} = \mathbf{v}' + t\mathbf{p}$$

dir. Böylece,

$$\begin{aligned}\mathbf{u} \times \mathbf{v} &= (\mathbf{u}' + s\mathbf{p}) \times (\mathbf{v}' + t\mathbf{p}) \\ &= (\mathbf{u}' \times \mathbf{v}') + s(\mathbf{p} \times \mathbf{v}') + t(\mathbf{u}' \times \mathbf{p}) + st\underbrace{(\mathbf{p} \times \mathbf{p})}_0.\end{aligned}\tag{1}$$

bulunur.

$\mathbf{p} \times \mathbf{v}'$  ve  $\mathbf{u}' \times \mathbf{p}$  vektörlerinin ikisi de  $\mathbf{p}$  vektörüne ortogonaldır. Dolayısıyla, (1) Denkleminin her iki tarafını  $\mathbf{p}$  ile skaler ( $\cdot$ ) çarptığımızda, sağ tarafta sıfırdan farklı tek terim  $(\mathbf{u}' \times \mathbf{v}') \cdot \mathbf{p}$  olur. Yani,

$$(\mathbf{u} \times \mathbf{v}) \cdot \mathbf{p} = (\mathbf{u}' \times \mathbf{v}') \cdot \mathbf{p}.$$

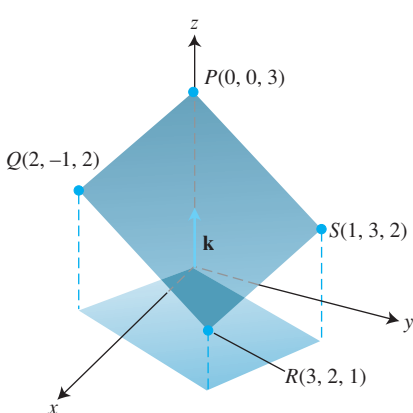
bulunur. Özel olarak,

$$|(\mathbf{u} \times \mathbf{v}) \cdot \mathbf{p}| = |(\mathbf{u}' \times \mathbf{v}') \cdot \mathbf{p}|. \tag{2}$$

olar. Sağdaki mutlak değer,  $\mathbf{u}'$ ,  $\mathbf{v}'$  ve  $\mathbf{p}$  tarafından belirlenen kutunun hacmidir. Bu özel kutunun yüksekliği  $|\mathbf{p}| = 1$  dir ve kutunun hacmi sayısal olarak tabanının alanına,  $P'Q'R'S'$  paralelkenarının alanına, eşittir. Bu gözlemi (2) Denklemi ile bireştirmek

$$\text{Area of } P'Q'R'S' = |(\mathbf{u}' \times \mathbf{v}') \cdot \mathbf{p}| = |(\mathbf{u} \times \mathbf{v}) \cdot \mathbf{p}|,$$

verir. Bu da,  $\mathbf{u}$  ve  $\mathbf{v}$  vektörleri ile belirlenen paralelkenenin, birim normal vektörü  $\mathbf{p}$  olan herhangi bir düzlem üzerine dik izdüşümünün alanının  $|(\mathbf{u} \times \mathbf{v}) \cdot \mathbf{p}|$  olduğunu söylemektedir. ■



**SEKİL E.16** Örnek 1,  $PQRS$  paralelkeneninin  $xy$ -düzleme dik izdüşümünün alanını hesaplamaktadır.

## ÖRNEK 1 Bir İzdüşümün Alanını Bulmak

$P(0, 0, 3)$ ,  $Q(2, -1, 2)$ ,  $R(3, 2, 1)$  ve  $S(1, 3, 2)$  noktaları tarafından belirlenen paralelkenenin  $xy$ -düzleme dik izdüşümünün alanının bulun (**Şekil E.16**).

**Çözüm**

$$\mathbf{u} = \overrightarrow{PQ} = 2\mathbf{i} - \mathbf{j} - \mathbf{k}, \quad \mathbf{v} = \overrightarrow{PS} = \mathbf{i} + 3\mathbf{j} - \mathbf{k}, \quad \text{ve} \quad \mathbf{p} = \mathbf{k}$$

ile

$$(\mathbf{u} \times \mathbf{v}) \cdot \mathbf{p} = \begin{vmatrix} 2 & -1 & -1 \\ 1 & 3 & -1 \\ 0 & 0 & 1 \end{vmatrix} = \begin{vmatrix} 2 & -1 \\ 1 & 3 \end{vmatrix} = 7.$$

buluruz. dolayısıyla alan  $|(\mathbf{u} \times \mathbf{v}) \cdot \mathbf{p}| = |7| = 7$  bulunur. ■

**E.9****Temel Cebir, Geometri ve Trigonometri Formülleri****Cebir****Aritmetik İşlemler**

$$a(b + c) = ab + ac, \quad \frac{a}{b} \cdot \frac{c}{d} = \frac{ac}{bd}$$

$$\frac{a}{b} + \frac{c}{d} = \frac{ad + bc}{bd}, \quad \frac{a/b}{c/d} = \frac{a}{b} \cdot \frac{d}{c}$$

**İşaret Kuralları**

$$-(-a) = a, \quad \frac{-a}{b} = -\frac{a}{b} = \frac{a}{-b}$$

**Sıfır** Sıfırla bölme tanımlı değildir.

$$a \neq 0 \text{ ise: } \frac{0}{a} = 0, \quad a^0 = 1, \quad 0^a = 0$$

Herhangi bir  $a$  için:  $a \cdot 0 = 0 \cdot a = 0$

**Kuvvet Kuralları**

$$a^m a^n = a^{m+n}, \quad (ab)^m = a^m b^m, \quad (a^m)^n = a^{mn}, \quad a^{m/n} = \sqrt[n]{a^m} = (\sqrt[n]{a})^m$$

$a \neq 0$  ise

$$\frac{a^m}{a^n} = a^{m-n}, \quad a^0 = 1, \quad a^{-m} = \frac{1}{a^m}.$$

**Binom Teoremi**

$$(a + b)^n = a^n + na^{n-1}b + \frac{n(n-1)}{1 \cdot 2} a^{n-2}b^2 + \frac{n(n-1)(n-2)}{1 \cdot 2 \cdot 3} a^{n-3}b^3 + \dots + nab^{n-1} + b^n.$$

Örneğin,

$$(a+b)^2 = a^2 + 2ab + b^2, \quad (a-b)^2 = a^2 - 2ab + b^2$$

$$(a+b)^3 = a^3 + 3a^2b + 3ab^2 + b^3, \quad (a-b)^3 = a^3 - 3a^2b + 3ab^2 - b^3.$$

**Tam Sayı Kuvvet Farklarının Çarpanlara Ayrılışı,  $n > 1$**

$$a^n - b^n = (a-b)(a^{n-1} + a^{n-2}b + a^{n-3}b^2 + \cdots + ab^{n-2} + b^{n-1})$$

Örneğin,

$$\begin{aligned} a^2 - b^2 &= (a-b)(a+b), \\ a^3 - b^3 &= (a-b)(a^2 + ab + b^2), \\ a^4 - b^4 &= (a-b)(a^3 + a^2b + ab^2 + b^3). \end{aligned}$$

**Tam Kareye Tamamlama,  $a \neq 0$  ise**

$$\begin{aligned} ax^2 + bx + c &= a\left(x^2 + \frac{b}{a}x\right) + c \\ &= a\left(x^2 + \frac{b}{a}x + \frac{b^2}{4a^2} - \frac{b^2}{4a^2}\right) + c \\ &= a\left(x^2 + \frac{b}{a}x + \frac{b^2}{4a^2}\right) + a\left(-\frac{b^2}{4a^2}\right) + c \\ &= a\left(x^2 + \frac{b}{a}x + \frac{b^2}{4a^2}\right) + c - \frac{b^2}{4a} \\ &\quad \underbrace{\hspace{1cm}}_{\text{Bu } \left(x + \frac{b}{2a}\right)^2 \text{ dir}} \quad \underbrace{\hspace{1cm}}_{\text{Bu kısma C deyin}} \\ &= au^2 + C \quad (u = x + (b/2a)) \end{aligned}$$

**Kuadratik Formül**  $a \neq 0$  ve  $ax^2 + bx + c = 0$  ise,

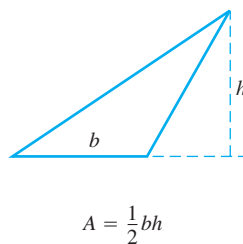
$$x = \frac{-b \pm \sqrt{b^2 - 4ac}}{2a}$$

dir.

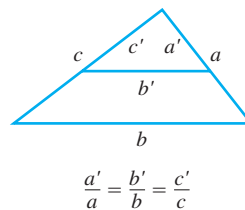
### Geometri

Alan, çevre ve hacim formülleri : ( $A$  = Alan,  $B$  = taban alanı,  $C$  = çevre,  $S$  = yanal alan veya yüzey alanı,  $V$  = hacim )

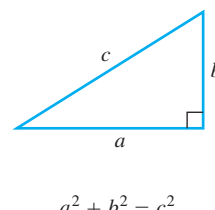
#### Üçgen



#### Benzer Üçgenler



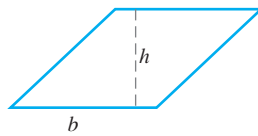
#### Pisagor Teoremi



$$\frac{a'}{a} = \frac{b'}{b} = \frac{c'}{c}$$

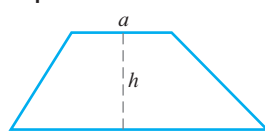
$$a^2 + b^2 = c^2$$

Paralelkenar



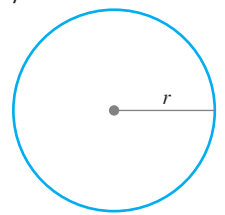
$$A = bh$$

Trapezoid

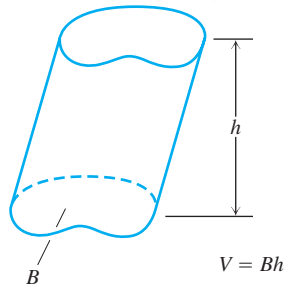


$$A = \frac{1}{2}(a + b)h$$

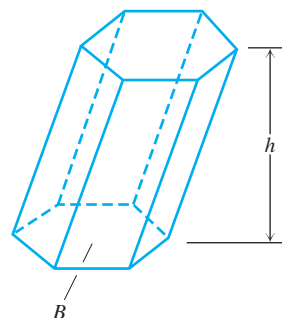
Çember



Paralel Tabanlı Herhangi bir Silindir veya Prizma

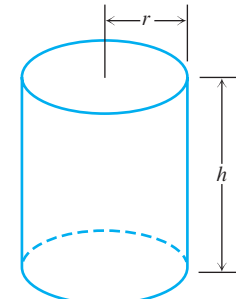


$$V = Bh$$



$$V = Bh$$

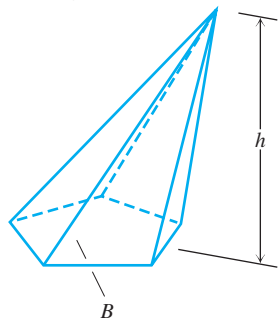
Dik Dairesel Silindir



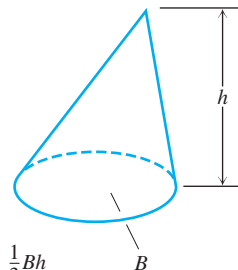
$$V = \pi r^2 h$$

$$S = 2\pi rh = \text{Yan alan}$$

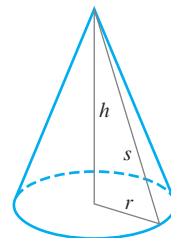
Herhangi bir Koni veya Piramit



$$V = \frac{1}{3}Bh$$



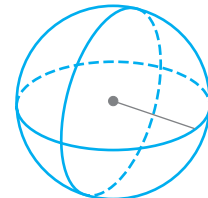
Dik Dairesel Koni



$$V = \frac{1}{3}\pi r^2 h$$

$$S = \pi rs = \text{Yan alan}$$

Küre



$$V = \frac{4}{3}\pi r^3, S = 4\pi r^2$$

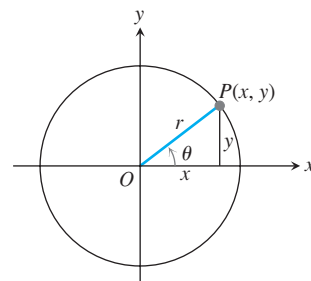
### Trigonometri Formülleri

#### Tanımlar ve Temel Özdeşlikler

$$\text{Sinüs: } \sin \theta = \frac{y}{r} = \frac{1}{\csc \theta}$$

$$\text{Cosinüs: } \cos \theta = \frac{x}{r} = \frac{1}{\sec \theta}$$

$$\text{Tanjant: } \tan \theta = \frac{y}{x} = \frac{1}{\cot \theta}$$



**Özdeşlik**

$$\sin(-\theta) = -\sin \theta, \quad \cos(-\theta) = \cos \theta$$

$$\sin^2 \theta + \cos^2 \theta = 1, \quad \sec^2 \theta = 1 + \tan^2 \theta, \quad \csc^2 \theta = 1 + \cot^2 \theta$$

$$\sin 2\theta = 2 \sin \theta \cos \theta, \quad \cos 2\theta = \cos^2 \theta - \sin^2 \theta$$

$$\cos^2 \theta = \frac{1 + \cos 2\theta}{2}, \quad \sin^2 \theta = \frac{1 - \cos 2\theta}{2}$$

$$\sin(A + B) = \sin A \cos B + \cos A \sin B$$

$$\sin(A - B) = \sin A \cos B - \cos A \sin B$$

$$\cos(A + B) = \cos A \cos B - \sin A \sin B$$

$$\cos(A - B) = \cos A \cos B + \sin A \sin B$$

$$\tan(A + B) = \frac{\tan A + \tan B}{1 - \tan A \tan B}, \quad \tan(A - B) = \frac{\tan A - \tan B}{1 + \tan A \tan B}$$

$$\sin\left(A - \frac{\pi}{2}\right) = -\cos A, \quad \cos\left(A - \frac{\pi}{2}\right) = \sin A$$

$$\sin\left(A + \frac{\pi}{2}\right) = \cos A, \quad \cos\left(A + \frac{\pi}{2}\right) = -\sin A$$

$$\sin A \sin B = \frac{1}{2} \cos(A - B) - \frac{1}{2} \cos(A + B)$$

$$\cos A \cos B = \frac{1}{2} \cos(A - B) + \frac{1}{2} \cos(A + B)$$

$$\sin A \cos B = \frac{1}{2} \sin(A - B) + \frac{1}{2} \sin(A + B)$$

$$\sin A + \sin B = 2 \sin \frac{1}{2}(A + B) \cos \frac{1}{2}(A - B)$$

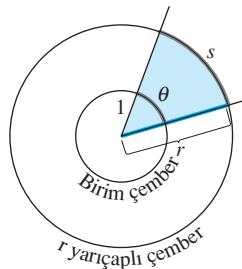
$$\sin A - \sin B = 2 \cos \frac{1}{2}(A + B) \sin \frac{1}{2}(A - B)$$

$$\cos A + \cos B = 2 \cos \frac{1}{2}(A + B) \cos \frac{1}{2}(A - B)$$

$$\cos A - \cos B = -2 \sin \frac{1}{2}(A + B) \sin \frac{1}{2}(A - B)$$

### Trigonometrik Fonksiyonlar

#### Radyan Ölçü

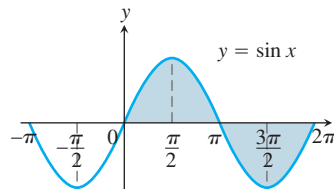


$$\frac{s}{r} = \frac{\theta}{1} = \theta \quad \text{veya} \quad \theta = \frac{s}{r},$$

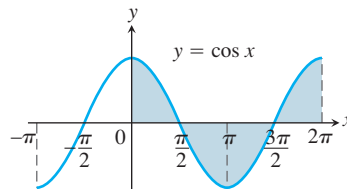
$$180^\circ = \pi \text{ radyan}$$

Derece	Radyan
 45° $\frac{\pi}{4}$ 45° $\frac{\pi}{4}$ 90° $\frac{\pi}{2}$	 $\sqrt{2}$ $\frac{\pi}{4}$ $\frac{\pi}{4}$ $\frac{\pi}{2}$ 1      1
 30° $\frac{\pi}{6}$ 60° $\frac{\pi}{3}$ 90° $\frac{\pi}{2}$	 $2$ $\frac{\pi}{6}$ $\frac{\pi}{3}$ $\frac{\pi}{2}$ 1 $\sqrt{3}$

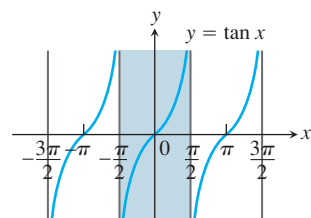
Eş iki üçgenin derece ve radyan cinsinden açıları



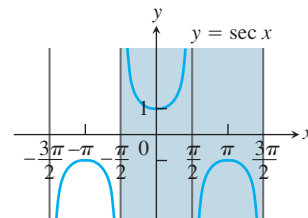
Tanım Kümesi:  $(-\infty, \infty)$   
Değer Kümesi:  $[-1, 1]$



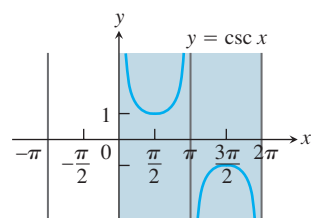
Tanım Kümesi:  $(-\infty, \infty)$   
Değer Kümesi:  $[-1, 1]$



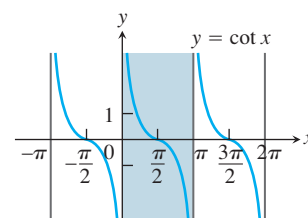
Tanım Kümesi:  $\pi/2$ 'nin tek tamsayı katı dışındaki bütün reel sayılar  
Değer Kümesi:  $(-\infty, \infty)$



Tanım Kümesi:  $x \neq \pm \frac{\pi}{2}, \pm \frac{3\pi}{2}, \dots$   
Değer Kümesi:  $(-\infty, -1] \cup [1, \infty)$



Tanım Kümesi:  $x \neq 0, \pm\pi, \pm 2\pi, \dots$   
Değer Kümesi:  $(-\infty, -1] \cup [1, \infty)$



Tanım Kümesi:  $x \neq 0, \pm\pi, \pm 2\pi, \dots$   
Değer Kümesi:  $(-\infty, \infty)$

# CEVAPLAR

## BÖLÜM 11

### Bölüm 11.1, Sayfa 757-761

1.  $a_1 = 0, a_2 = -1/4, a_3 = -2/9, a_4 = -3/16$   
 3.  $a_1 = 1, a_2 = -1/3, a_3 = 1/5, a_4 = -1/7$   
 5.  $a_1 = 1/2, a_2 = 1/2, a_3 = 1/2, a_4 = 1/2$   
 7.  $1, \frac{3}{2}, \frac{7}{4}, \frac{15}{8}, \frac{31}{16}, \frac{63}{32}, \frac{127}{64}, \frac{255}{128}, \frac{511}{256}, \frac{1023}{512}$   
 9.  $2, 1, -\frac{1}{2}, -\frac{1}{4}, \frac{1}{8}, \frac{1}{16}, -\frac{1}{32}, -\frac{1}{64}, \frac{1}{128}, \frac{1}{256}$   
 11.  $1, 1, 2, 3, 5, 8, 13, 21, 34, 55$     13.  $a_n = (-1)^{n+1}, n \geq 1$   
 15.  $a_n = (-1)^{n+1}(n)^2, n \geq 1$     17.  $a_n = n^2 - 1, n \geq 1$   
 19.  $a_n = 4n - 3, n \geq 1$     21.  $a_n = \frac{1 + (-1)^{n+1}}{2}, n \geq 1$   
 23. Yakınsar, 2    25. Yakınsar, -1    27. Yakınsar, -5  
 29. Iraksar    31. Iraksar    33. Yakınsar, 1/2  
 35. Yakınsar, 0    37. Yakınsar,  $\sqrt{2}$     39. Yakınsar, 1  
 41. Yakınsar, 0    43. Yakınsar, 0    45. Yakınsar, 0  
 47. Yakınsar, 1    49. Yakınsar,  $e^7$     51. Yakınsar, 1  
 53. Yakınsar, 1    55. Iraksar    57. Yakınsar, 4  
 59. Yakınsar, 0    61. Iraksar    63. Yakınsar,  $e^{-1}$   
 65. Yakınsar,  $e^{2/3}$     67. Yakınsar,  $x (x > 0)$   
 69. Yakınsar, 0    71. Yakınsar, 1    73. Yakınsar, 1/2  
 75. Yakınsar,  $\pi/2$     77. Yakınsar, 0    79. Yakınsar, 0  
 81. Yakınsar, 1/2    83. Yakınsar, 0    85.  $x_n = 2^{n-2}$   
 87. (a)  $f(x) = x^2 - 2, 1.414213562 \approx \sqrt{2}$   
       (b)  $f(x) = \tan(x) - 1, 0.7853981635 \approx \pi/4$   
       (c)  $f(x) = e^x$ , Iraksar  
 89. (b) 1    97. Azalmayan, sınırlı  
 99. Azalmayan değil, sınırlı  
 101. Yakınsak, azalmayan dizi teoremi  
 103. Yakınsak, azalmayan dizi teoremi  
 105. Iraksak, iraksaklık teoremi    109. Yakınsar  
 111. Yakınsar    121.  $N = 692, a_n = \sqrt[n]{0.5}, L = 1$   
 123.  $N = 65, a_n = (0.9)^n, L = 0$     125. (b)  $\sqrt[5]{3}$

### Bölüm 11.2, Sayfa 769-771

1.  $s_n = \frac{2(1 - (1/3)^n)}{1 - (1/3)}, 3$     3.  $s_n = \frac{1 - (-1/2)^n}{1 - (-1/2)}, 2/3$   
 5.  $s_n = \frac{1}{2} - \frac{1}{n+2}, \frac{1}{2}$     7.  $1 - \frac{1}{4} + \frac{1}{16} - \frac{1}{64} + \dots, \frac{4}{5}$

9.  $\frac{7}{4} + \frac{7}{16} + \frac{7}{64} + \dots, \frac{7}{3}$   
 11.  $(5 + 1) + \left(\frac{5}{2} + \frac{1}{3}\right) + \left(\frac{5}{4} + \frac{1}{9}\right) + \left(\frac{5}{8} + \frac{1}{27}\right) + \dots, \frac{23}{6}$   
 13.  $(1 + 1) + \left(\frac{1}{2} - \frac{1}{5}\right) + \left(\frac{1}{4} + \frac{1}{25}\right) + \left(\frac{1}{8} - \frac{1}{125}\right) + \dots, \frac{17}{16}$   
 15. 1    17. 5    19. 1    21.  $-\frac{1}{\ln 2}$     23. Yakınsar,  $2 + \sqrt{2}$   
 25. Yakınsar, 1    27. Iraksar    29. Yakınsar,  $\frac{e^2}{e^2 - 1}$   
 31. Yakınsar, 2/9    33. Yakınsar, 3/2    35. Iraksar  
 37. Iraksar    39. Yakınsar,  $\frac{\pi}{\pi - e}$   
 41.  $a = 1, r = -x$ ; her  $|x| < 1$  için  $1/(1+x)$ 'e yakınsar  
 43.  $a = 3, r = (x-1)/2; (-1, 3)$ 'teki her  $x$  için  $6/(3-x)$ 'e yakınsar  
 45.  $|x| < \frac{1}{2}, \frac{1}{1-2x}$     47.  $-2 < x < 0, \frac{1}{2+x}$   
 49.  $x \neq (2k+1)\frac{\pi}{2}, k$  bir tamsayı;  $\frac{1}{1-\sin x}$   
 51. 23/99    53. 7/9    55. 1/15    57. 41333/33300  
 59. (a)  $\sum_{n=2}^{\infty} \frac{1}{(n+4)(n+5)}$     (b)  $\sum_{n=0}^{\infty} \frac{1}{(n+2)(n+3)}$   
       (c)  $\sum_{n=5}^{\infty} \frac{1}{(n-3)(n-2)}$   
 69. (a)  $r = 3/5$     (b)  $r = -3/10$   
 71.  $|r| < 1, \frac{1+2r}{1-r^2}$     73. 28 m    75. 8 m<sup>2</sup>  
 77. (a)  $3\left(\frac{4}{3}\right)^{n-1}$   
       (b)  $A_n = A + \frac{1}{3}A + \frac{1}{3}\left(\frac{4}{9}\right)A + \dots + \frac{1}{3}\left(\frac{4}{9}\right)^{n-2}A,$   
        $A = \frac{\sqrt{3}}{4}, \lim_{n \rightarrow \infty} A_n = 2\sqrt{3}/5$

### Bölüm 11.3, Sayfa 775-777

1. Yakınsar; geometrik seri,  $r = \frac{1}{10} < 1$   
 3. Iraksar;  $\lim_{n \rightarrow \infty} \frac{n}{n+1} = 1 \neq 0$     5. Iraksar;  $p$ -serisi,  $p < 1$

7. Yakınsar; geometrik seri,  $r = \frac{1}{8} < 1$   
 9. Iraksar; İntegral Testi  
 11. Yakınsar; geometrik seri,  $r = 2/3 < 1$   
 13. Iraksar; İntegral Testi    15. Iraksar;  $\lim_{n \rightarrow \infty} \frac{2^n}{n+1} \neq 0$   
 17. Iraksar;  $\lim_{n \rightarrow \infty} (\sqrt{n}/\ln n) \neq 0$   
 19. Iraksar; geometrik seri,  $r = \frac{1}{\ln 2} > 1$   
 21. Yakınsar; İntegral Testi    23. Iraksar;  $n$ . Terim Testi  
 25. Yakınsar; İntegral Testi    27. Yakınsar; İntegral Testi  
 29. Yakınsar; İntegral Testi    31.  $a = 1$     33. (b) 41.55 civarında  
 35. Doğru

**Bölüm 11.4, Sayfa 781**

1. Iraksar;  $\sum(1/\sqrt{n})$  ile limit karşılaştırması  
 3. Yakınsar;  $\sum(1/2^n)$  ile karşılaşır  
 5. Iraksar;  $n$ . Terim Testi  
 7. Yakınsar;  $\left(\frac{n}{3n+1}\right)^n < \left(\frac{n}{3n}\right)^n = \left(\frac{1}{3}\right)^n$   
 9. Iraksar;  $\sum(1/n)$  ile doğrudan karşılaşır  
 11. Yakınsar;  $\sum(1/n^2)$  ile limit karşılaşır  
 13. Iraksar;  $\sum(1/n)$  ile limit karşılaşır  
 15. Iraksar;  $\sum(1/n)$  ile limit karşılaşır  
 17. Iraksar; Integral Test  
 19. Yakınsar;  $\sum(1/n^{3/2})$  ile karşılaşır  
 21. Yakınsar;  $\frac{1}{n2^n} \leq \frac{1}{2^n}$     23. Yakınsar;  $\frac{1}{3^{n-1} + 1} < \frac{1}{3^{n-1}}$   
 25. Iraksar;  $\sum(1/n)$  ile limit karşılaşır  
 27. Yakınsar;  $\sum(1/n^2)$  ile karşılaşır  
 29. Yakınsar;  $\frac{\tan^{-1} n}{n^{1.1}} < \frac{\pi/2}{n^{1.1}}$   
 31. Yakınsar;  $\sum(1/n^2)$  ile karşılaşır  
 33. Iraksar;  $\sum(1/n)$  ile limit karşılaşır  
 35. Yakınsar;  $\sum(1/n^2)$  ile limit karşılaşır

**Bölüm 11.5, Sayfa 786**

1. Yakınsar; Oran Testi    3. Iraksar; Oran Testi  
 5. Yakınsar; Oran Testi  
 7. Yakınsar;  $\sum(3/(1.25)^n)$  ile karşılaşır  
 9. Iraksar;  $\lim_{n \rightarrow \infty} \left(1 - \frac{3}{n}\right)^n = e^{-3} \neq 0$   
 11. Yakınsar;  $\sum(1/n^2)$  ile karşılaşır  
 13. Iraksar;  $\sum(1/(2n))$  ile karşılaşır  
 15. Iraksar;  $\sum(1/n)$     17. Yakınsar; Oran Testi  
 19. Yakınsar; Oran Testi    21. Yakınsar; Oran Testi  
 23. Yakınsar; Oran Testi  
 25. Converges; compare with  $\sum(1/n^2)$   
 27. Yakınsar; Oran Testi    29. Iraksar; Oran Testi  
 31. Yakınsar; Oran Testi    33. Yakınsar; Oran Testi  
 35. Iraksar;  $a_n = \left(\frac{1}{3}\right)^{(1/n!)}$   $\rightarrow 1$     37. Yakınsar; Oran Testi

39. Iraksar; Oran Testi    41. Yakınsar; Oran Testi  
 43. Yakınsar; Oran Testi    47. Evet

**Bölüm 11.6, Sayfa 792-794**

1. Teorem 16'ya göre yakınsar    3. Iraksar;  $a_n \not\rightarrow 0$   
 5. Teorem 16'ya göre yakınsar    7. Iraksar;  $a_n \rightarrow 1/2$   
 9. Teorem 16'ya göre yakınsar  
 11. Mutlak yakınsak. Mutlak değerler serisi yakınsak bir geometrik seridir.  
 13. Koşullu yakınsak.  $1/\sqrt{n} \rightarrow 0$  ama  $\sum_{n=1}^{\infty} \frac{1}{\sqrt{n}}$  iraksar.  
 15. Mutlak yakınsak  $\sum_{n=1}^{\infty} (1/n^2)$ . ile karşılaşır  
 17. Koşullu yakınsak.  $1/(n+3) \rightarrow 0$  fakat  $\sum_{n=1}^{\infty} \frac{1}{n+3} = \sum_{n=1}^{\infty} (1/n)$  ile karşılaşır.  
 19. Iraksar;  $\frac{3+n}{5+n} \rightarrow 1$   
 21. Koşullu yakınsak;  $\left(\frac{1}{n^2} + \frac{1}{n}\right) \rightarrow 0$  fakat  $(1+n)/n^2 > 1/n$   
 23. Mutlak yakınsak; Kök Testi  
 25. İntegral Testine göre mutlak yakınsak. 27. Iraksar;  $a_n \not\rightarrow 0$   
 29. Oran Testine göre, mutlak yakınsak.  
 31. Mutlak yakınsak;  $\frac{1}{n^2 + 2n + 1} < \frac{1}{n^2}$   
 33.  $\left| \frac{\cos n\pi}{n\sqrt{n}} \right| = \left| \frac{(-1)^{n+1}}{n^{3/2}} \right| = \frac{1}{n^{3/2}}$  olduğundan mutlak yakınsak (yakınsak  $p$ -serisi)  
 35. Kök Testine göre mutlak yakınsak    37. Iraksar;  $a_n \rightarrow \infty$   
 39. Koşullu yakınsak;  $\sqrt{n+1} - \sqrt{n} = \frac{1}{\sqrt{n+1} + \sqrt{n}} \rightarrow 0$ , fakat, mutlak değerler serisi iraksar ( $\sum(1/\sqrt{n})$  ile karşılaşır)  
 41. Iraksak,  $a_n \rightarrow 1/2 \neq 0$   
 43. Mutlak yakınsak;  $n = \frac{2}{e^n + e^{-n}} = \frac{2e^n}{e^{2n} + 1} < \frac{2e^n}{e^{2n}} = \frac{2}{e^n}$ , yakınsak bir geometrik seriden bir terim  
 45. | Hata | < 0.2    47. | Hata | <  $2 \times 10^{-11}$     49. 0.54030  
 51. (a)  $a_n \geq a_{n+1}$     (b)  $-1/2$

**Bölüm 11.7, Sayfa 804-805**

1. (a)  $1, -1 < x < 1$     (b)  $-1 < x < 1$     (c) yok  
 3. (a)  $1/4, -1/2 < x < 0$     (b)  $-1/2 < x < 0$     (c) yok  
 5. (a)  $10, -8 < x < 12$     (b)  $-8 < x < 12$     (c) yok  
 7. (a)  $1, -1 < x < 1$     (b)  $-1 < x < 1$     (c) yok  
 9. (a)  $3, -3 \leq x \leq 3$     (b)  $-3 \leq x \leq 3$     (c) yok  
 11. (a)  $\infty$ , her  $x$  için    (b) her  $x$  için    (c) yok  
 13. (a)  $\infty$ , her  $x$  için    (b) her  $x$  için    (c) yok  
 15. (a)  $1, -1 \leq x < 1$     (b)  $-1 < x < 1$     (c)  $x = -1$   
 17. (a)  $5, -8 < x < 2$     (b)  $-8 < x < 2$     (c) yok  
 19. (a)  $3, -3 < x < 3$     (b)  $-3 < x < 3$     (c) yok  
 21. (a)  $1, -1 < x < 1$     (b)  $-1 < x < 1$     (c) yok  
 23. (a)  $0, x = 0$     (b)  $x = 0$     (c) yok  
 25. (a)  $2, -4 < x \leq 0$     (b)  $-4 < x < 0$     (c)  $x = 0$

27. (a)  $1, -1 \leq x \leq 1$    (b)  $-1 \leq x \leq 1$    (c) yok  
 29. (a)  $1/4, 1 \leq x \leq 3/2$    (b)  $1 \leq x \leq 3/2$    (c) yok  
 31. (a)  $1, (-1 - \pi) \leq x < (1 - \pi)$   
     (b)  $(-1 - \pi) < x < (1 - \pi)$    (c)  $x = -1 - \pi$   
 33.  $-1 < x < 3, 4/(3 + 2x - x^2)$   
 35.  $0 < x < 16, 2/(4 - \sqrt{x})$   
 37.  $-\sqrt{2} < x < \sqrt{2}, 3/(2 - x^2)$   
 39.  $1 < x < 5, 2/(x - 1), 1 < x < 5, -2/(x - 1)^2$

41. (a)  $\cos x = 1 - \frac{x^2}{2!} + \frac{x^4}{4!} - \frac{x^6}{6!} + \frac{x^8}{8!} - \frac{x^{10}}{10!} + \dots$ ; her  $x$  için yakınsar

(b) ve

(c)  $2x - \frac{2^3 x^3}{3!} + \frac{2^5 x^5}{5!} - \frac{2^7 x^7}{7!} + \frac{2^9 x^9}{9!} - \frac{2^{11} x^{11}}{11!} + \dots$

43. (a)  $\frac{x^2}{2} + \frac{x^4}{12} + \frac{x^6}{45} + \frac{17x^8}{2520} + \frac{31x^{10}}{14175}, -\frac{\pi}{2} < x < \frac{\pi}{2}$   
 (b)  $1 + x^2 + \frac{2x^4}{3} + \frac{17x^6}{45} + \frac{62x^8}{315} + \dots, -\frac{\pi}{2} < x < \frac{\pi}{2}$

### Bölüm 11.8, Sayfa 810-811

1.  $P_0(x) = 0, P_1(x) = x - 1, P_2(x) = (x - 1) - \frac{1}{2}(x - 1)^2,$   
 $P_3(x) = (x - 1) - \frac{1}{2}(x - 1)^2 + \frac{1}{3}(x - 1)^3$

3.  $P_0(x) = \frac{1}{2}, P_1(x) = \frac{1}{2} - \frac{1}{4}(x - 2),$   
 $P_2(x) = \frac{1}{2} - \frac{1}{4}(x - 2) + \frac{1}{8}(x - 2)^2,$   
 $P_3(x) = \frac{1}{2} - \frac{1}{4}(x - 2) + \frac{1}{8}(x - 2)^2 - \frac{1}{16}(x - 2)^3$   
 5.  $P_0(x) = \frac{\sqrt{2}}{2}, P_1(x) = \frac{\sqrt{2}}{2} + \frac{\sqrt{2}}{2} \left( x - \frac{\pi}{4} \right),$   
 $P_2(x) = \frac{\sqrt{2}}{2} + \frac{\sqrt{2}}{2} \left( x - \frac{\pi}{4} \right) - \frac{\sqrt{2}}{4} \left( x - \frac{\pi}{4} \right)^2,$   
 $P_3(x) = \frac{\sqrt{2}}{2} + \frac{\sqrt{2}}{2} \left( x - \frac{\pi}{4} \right) - \frac{\sqrt{2}}{4} \left( x - \frac{\pi}{4} \right)^2$   
 $\quad - \frac{\sqrt{2}}{12} \left( x - \frac{\pi}{4} \right)^3$

7.  $P_0(x) = 2, P_1(x) = 2 + \frac{1}{4}(x - 4),$   
 $P_2(x) = 2 + \frac{1}{4}(x - 4) - \frac{1}{64}(x - 4)^2,$   
 $P_3(x) = 2 + \frac{1}{4}(x - 4) - \frac{1}{64}(x - 4)^2 + \frac{1}{512}(x - 4)^3$   
 9.  $\sum_{n=0}^{\infty} \frac{(-x)^n}{n!} = 1 - x + \frac{x^2}{2!} - \frac{x^3}{3!} + \frac{x^4}{4!} - \dots$   
 11.  $\sum_{n=0}^{\infty} (-1)^n x^n = 1 - x + x^2 - x^3 + \dots$   
 13.  $\sum_{n=0}^{\infty} \frac{(-1)^n 3^{2n+1} x^{2n+1}}{(2n+1)!}$    15.  $7 \sum_{n=0}^{\infty} \frac{(-1)^n x^{2n}}{(2n)!}$    17.  $\sum_{n=0}^{\infty} \frac{x^{2n}}{(2n)!}$

19.  $x^4 - 2x^3 - 5x + 4$   
 21.  $8 + 10(x - 2) + 6(x - 2)^2 + (x - 2)^3$   
 23.  $21 - 36(x + 2) + 25(x + 2)^2 - 8(x + 2)^3 + (x + 2)^4$   
 25.  $\sum_{n=0}^{\infty} (-1)^n (n+1)(x-1)^n$    27.  $\sum_{n=0}^{\infty} \frac{e^2}{n!} (x-2)^n$   
 33.  $L(x) = 0, Q(x) = -x^2/2$    35.  $L(x) = 1, Q(x) = 1 + x^2/2$   
 37.  $L(x) = x, Q(x) = x$

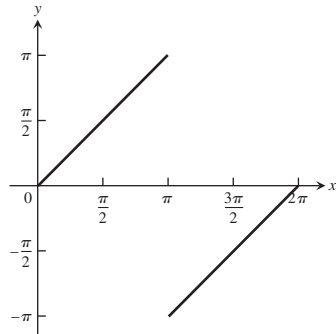
### Bölüm 11.9, Sayfa 819-822

1.  $\sum_{n=0}^{\infty} \frac{(-5x)^n}{n!} = 1 - 5x + \frac{5^2 x^2}{2!} - \frac{5^3 x^3}{3!} + \dots$   
 3.  $\sum_{n=0}^{\infty} \frac{5(-1)^n (-x)^{2n+1}}{(2n+1)!} = \sum_{n=0}^{\infty} \frac{5(-1)^{n+1} x^{2n+1}}{(2n+1)!}$   
 $= -5x + \frac{5x^3}{3!} - \frac{5x^5}{5!} + \frac{5x^7}{7!} + \dots$   
 5.  $\sum_{n=0}^{\infty} \frac{(-1)^n (x+1)^n}{(2n)!}$   
 7.  $\sum_{n=0}^{\infty} \frac{x^{n+1}}{n!} = x + x^2 + \frac{x^3}{2!} + \frac{x^4}{3!} + \frac{x^5}{4!} + \dots$   
 9.  $\sum_{n=2}^{\infty} \frac{(-1)^n x^{2n}}{(2n)!} = \frac{x^4}{4!} - \frac{x^6}{6!} + \frac{x^8}{8!} - \frac{x^{10}}{10!} + \dots$   
 11.  $x - \frac{\pi^2 x^3}{2!} + \frac{\pi^4 x^5}{4!} - \frac{\pi^6 x^7}{6!} + \dots = \sum_{n=0}^{\infty} \frac{(-1)^n \pi^{2n} x^{2n+1}}{(2n)!}$   
 13.  $1 + \sum_{n=1}^{\infty} \frac{(-1)^n (2x)^{2n}}{2 \cdot (2n)!} =$   
 $1 - \frac{(2x)^2}{2 \cdot 2!} + \frac{(2x)^4}{2 \cdot 4!} - \frac{(2x)^6}{2 \cdot 6!} + \frac{(2x)^8}{2 \cdot 8!} - \dots$   
 15.  $x^2 \sum_{n=0}^{\infty} (2x)^n = x^2 + 2x^3 + 4x^4 + \dots$   
 17.  $\sum_{n=1}^{\infty} n x^{n-1} = 1 + 2x + 3x^2 + 4x^3 + \dots$   
 19.  $|x| < (0.06)^{1/5} < 0.56968$   
 21.  $| \text{Hata} | < 10^{-3} / 6 < 1.67 \times 10^{-10}, -10^{-3} < x < 0$   
 23.  $| \text{Hata} | < (3^{0.1})(0.1)^3 / 6 < 1.87 \times 10^{-4}$    25.  $0.000293653$   
 27.  $|x| < 0.02$    31.  $\sin x, x = 0.1; \sin(0.1)$   
 33.  $\tan^{-1} x, x = \pi/3$   
 35.  $e^x \sin x = x + x^2 + \frac{x^3}{3} - \frac{x^5}{30} - \frac{x^6}{90} \dots$   
 43. (a)  $Q(x) = 1 + kx + \frac{k(k-1)}{2} x^2$    (b)  $0 \leq x < 100^{-1/3}$   
     için  
 49. (a)  $-1$    (b)  $(1/\sqrt{2})(1+i)$    (c)  $-i$   
 53.  $x + x^2 + \frac{1}{3}x^3 - \frac{1}{30}x^5 \dots$ ; her  $x$  için yakınsar

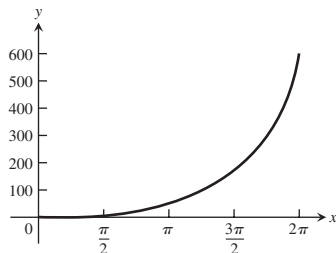
## Bölüm 11.10, Sayfa 831-833

1.  $1 + \frac{x}{2} - \frac{x^2}{8} + \frac{x^3}{16}$     3.  $1 + \frac{1}{2}x + \frac{3}{8}x^2 + \frac{5}{16}x^3 + \dots$   
 5.  $1 - x + \frac{3x^2}{4} - \frac{x^3}{2}$     7.  $1 - \frac{x^3}{2} + \frac{3x^6}{8} - \frac{5x^9}{16}$   
 9.  $1 + \frac{1}{2x} - \frac{1}{8x^2} + \frac{1}{16x^3}$   
 11.  $(1+x)^4 = 1 + 4x + 6x^2 + 4x^3 + x^4$   
 13.  $(1-2x)^3 = 1 - 6x + 12x^2 - 8x^3$   
 15.  $y = \sum_{n=0}^{\infty} \frac{(-1)^n}{n!} x^n = e^{-x}$     17.  $y = \sum_{n=1}^{\infty} (x^n/n!) = e^x - 1$   
 19.  $y = \sum_{n=2}^{\infty} (x^n/n!) = e^x - x - 1$     21.  $y = \sum_{n=0}^{\infty} \frac{x^{2n}}{2^n n!} = e^{x^2/2}$   
 23.  $y = \sum_{n=0}^{\infty} 2x^n = \frac{2}{1-x}$     25.  $y = \sum_{n=0}^{\infty} \frac{x^{2n+1}}{(2n+1)!} = \sinh x$   
 27.  $y = 2 + x - 2 \sum_{n=1}^{\infty} \frac{(-1)^{n+1} x^{2n}}{(2n)!}$   
 29.  $y = x - 2 \sum_{n=0}^{\infty} \frac{x^{2n}}{(2n)!} - 3 \sum_{n=0}^{\infty} \frac{x^{2n+1}}{(2n+1)!}$   
 31.  $y = a + bx + \frac{1}{6}x^3 - \frac{ax^4}{3 \cdot 4} - \frac{bx^5}{4 \cdot 5} - \frac{x^7}{6 \cdot 6 \cdot 7} + \frac{ax^8}{3 \cdot 4 \cdot 7 \cdot 8} + \frac{bx^9}{4 \cdot 5 \cdot 8 \cdot 9} \dots$   
 33. 0.00267    35. 0.1    37. 0.0999444611    39. 0.100001  
 41.  $1/(13 \cdot 6!) \approx 0.00011$     43.  $\frac{x^3}{3} - \frac{x^7}{7 \cdot 3!} + \frac{x^{11}}{11 \cdot 5!}$   
 45. (a)  $\frac{x^2}{2} - \frac{x^4}{12}$   
 (b)  $\frac{x^2}{2} - \frac{x^4}{3 \cdot 4} + \frac{x^6}{5 \cdot 6} - \frac{x^8}{7 \cdot 8} + \dots + (-1)^{15} \frac{x^{32}}{31 \cdot 32}$   
 47.  $1/2$     49.  $-1/24$     51.  $1/3$     53.  $-1$     55. 2  
 59. 500 terim    61. 4 terim  
 63. (a)  $x + \frac{x^3}{6} + \frac{3x^5}{40} + \frac{5x^7}{112}$ , yakınsaklık yarıçapı = 1  
 (b)  $\frac{\pi}{2} - x - \frac{x^3}{6} - \frac{3x^5}{40} - \frac{5x^7}{112}$   
 65.  $1 - 2x + 3x^2 - 4x^3 + \dots$     71. (c)  $3\pi/4$

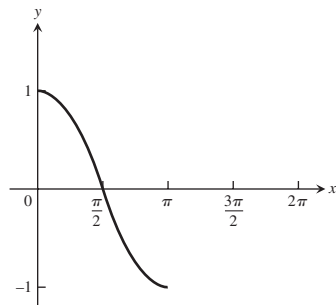
$$3. f(x) = \sum_{n=1}^{\infty} \frac{2(-1)^{n+1} \sin(nx)}{n}$$



$$5. \frac{e^{2\pi} - 1}{\pi} \left( \frac{1}{2} + \sum_{n=1}^{\infty} \frac{\cos(nx)}{n^2 + 1} - \sum_{n=1}^{\infty} \frac{n \sin(nx)}{n^2 + 1} \right)$$

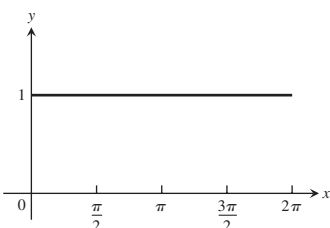


$$7. f(x) = \frac{1}{2} \cos x + \frac{1}{\pi} \sum_{n=2}^{\infty} \frac{n(1+(-1)^n)}{n^2-1} \sin nx$$



## Bölüm 11.11, Sayfa 838-839

1.  $f(x) = 1$



## Problemler, Sayfa 840-842

1. 1'e yakınsar    3. -1'e yakınsar    5. Iraksar  
 7. 0'a yakınsar    9. 1'e yakınsar    11.  $e^{-5}$ , e yakınsar  
 13. 3'e yakınsar    15.  $\ln 2$ 'e yakınsar    17. Iraksar  
 19.  $1/6$     21.  $3/2$     23.  $e/(e-1)$     25. Iraksar  
 27. Koşullu yakınsak    29. Koşullu yakınsak  
 31. Mutlak yakınsak    33. Mutlak yakınsak  
 35. Mutlak yakınsak    37. Mutlak yakınsak  
 39. Mutlak yakınsak  
 41. (a)  $3, -7 \leq x < -1$     (b)  $-7 < x < -1$     (c)  $x = -7$

43. (a)  $1/3, 0 \leq x \leq 2/3$  (b)  $0 \leq x \leq 2/3$  (c) yok

45. (a)  $\infty$ , her  $x$  için (b) her  $x$  için (c) yok

47. (a)  $\sqrt{3}, -\sqrt{3} < x < \sqrt{3}$  (b)  $-\sqrt{3} < x < \sqrt{3}$

(c) yok

49. (a)  $e, -e < x < e$  (b)  $-e < x < e$  (c) boş kümə

51.  $\frac{1}{1+x}, \frac{1}{4}, \frac{4}{5}$

53.  $\sin x, \pi, 0$

55.  $e^x, \ln 2, 2$

57.  $\sum_{n=0}^{\infty} 2^n x^n$

59.  $\sum_{n=0}^{\infty} \frac{(-1)^n \pi^{2n+1} x^{2n+1}}{(2n+1)!}$

61.  $\sum_{n=0}^{\infty} \frac{(-1)^n x^{5n}}{(2n)!}$

63.  $\sum_{n=0}^{\infty} \frac{((\pi x)/2)^n}{n!}$

65.  $2 - \frac{(x+1)}{2 \cdot 1!} + \frac{3(x+1)^2}{2^3 \cdot 2!} + \frac{9(x+1)^3}{2^5 \cdot 3!} + \dots$

67.  $\frac{1}{4} - \frac{1}{4^2}(x-3) + \frac{1}{4^3}(x-3)^2 - \frac{1}{4^4}(x-3)^3$

69.  $y = \sum_{n=0}^{\infty} \frac{(-1)^{n+1}}{n!} x^n = -e^{-x}$

71.  $y = 3 \sum_{n=0}^{\infty} \frac{(-1)^n 2^n}{n!} x^n = 3e^{-2x}$

73.  $y = -1 - x + 2 \sum_{n=2}^{\infty} (x^n/n!) = 2e^x - 3x - 3$

75.  $y = 1 + x + 2 \sum_{n=0}^{\infty} (x^n/n!) = 2e^x - 1 - x$

77. 0.4849171431 79.  $\approx 0.4872223583$  81. 7/2

83. 1/12 85. -2 87.  $r = -3, s = 9/2$

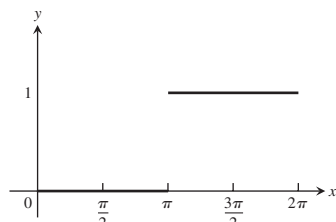
89. (b)  $|$  hata  $| < |\sin(1/42)| < 0.02381$ ; az bir tadmindir, çünkü kalan pozitiftir.

91. 2/3 93.  $\ln\left(\frac{n+1}{2n}\right)$ ; seri  $\ln\left(\frac{1}{2}\right)$  ye yakınsar

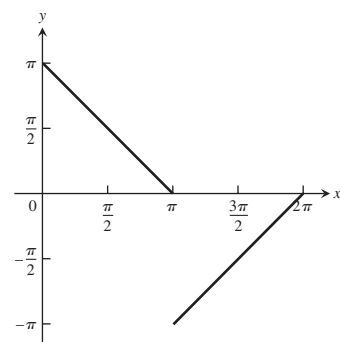
95. (a)  $\infty$  (b)  $a = 1, b = 0$

97. Yakınsak

105.  $\frac{1}{2} - \sum_{n=1}^{\infty} \frac{2 \sin((2n-1)x)}{(2n-1)\pi}$



107.  $\sum_{n=1}^{\infty} \frac{4 \cos((2n-1)x)}{\pi(2n-1)^2} + \sum_{n=1}^{\infty} \frac{2 \sin((2n-1)x)}{2n-1}$



### Ek ve İleri Alıştırmalar, Sayfa 843-847

1. Yakınsak; Karşılaştırma Testi
3. Yakınsak;  $n$ . Terim Testi
5. Yakınsak; Karşılaştırma Testi
7. Yakınsak;  $n$ . Terim Testi
9.  $a = \pi/3$  ile  $\cos x = \frac{1}{2} - \frac{\sqrt{3}}{2}(x - \pi/3) - \frac{1}{4}(x - \pi/3)^2 + \frac{\sqrt{3}}{12}(x - \pi/3)^3 + \dots$
11.  $a = 0$  ile  $e^x = 1 + x + \frac{x^2}{2!} + \frac{x^3}{3!} + \dots$
13.  $a = 22\pi$  ile  $\cos x = 1 - \frac{1}{2}(x - 22\pi)^2 + \frac{1}{4!}(x - 22\pi)^4 - \frac{1}{6!}(x - 22\pi)^6 + \dots$
15. Yakınsak, limit =  $b$
17.  $\pi/2$
23.  $b = \pm \frac{1}{5}$
25.  $a = 2, L = -7/6$
29. (b) Evet
35. (a)  $\sum_{n=1}^{\infty} nx^{n-1}$  (b) 6 (c)  $1/q$
37. (a)  $R_n = C_0 e^{-kt_0} (1 - e^{-nk t_0}) / (1 - e^{-k t_0})$ ,  
 $R = C_0 (e^{-k t_0}) / (1 - e^{-k t_0}) = C_0 / (e^{k t_0} - 1)$   
(b)  $R_1 = 1/e \approx 0.368$ ,  
 $R_{10} = R(1 - e^{-10}) \approx R(0.9999546) \approx 0.58195$ ;  
 $R \approx 0.58198$ ;  $0 < (R - R_{10})/R < 0.0001$   
(c) 7

## BÖLÜM 12

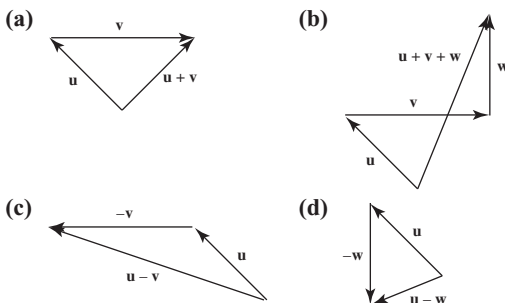
### Bölüm 12.1, Sayfa 852-853

1.  $(2, 3, 0)$  noktasından geçen,  $z$ -eksenine paralel doğru.
3.  $x$ -eksenin  $xy$ -düzlemindeki  $x^2 + y^2 = 4$  çemberi
7.  $xz$ -düzlemindeki  $x^2 + z^2 = 4$  çemberi
9.  $yz$ -düzlemindeki  $y^2 + z^2 = 1$  çemberi
11.  $xy$ -düzlemindeki  $x^2 + y^2 = 16$  çemberi
13. (a)  $xy$ -düzleminin birinci dörte bir bölgesi  
(b)  $xy$ -düzleminin dördüncü dörte bir bölgesi
15. (a) Merkezi orijinde olan 1 yarıçaplı top  
(b) Orijinden 1 birimden uzak olan bütün noktalar
17. (a) Merkezi orijinde olan 1 yarıçaplı üst yarım küre  
(b) Merkezi orijinde olan 1 yarıçaplı üst içi dolu yarım küre
19. (a)  $x = 3$  (b)  $y = -1$  (c)  $z = -2$
21. (a)  $z = 1$  (b)  $x = 3$  (c)  $y = -1$

23. (a)  $x^2 + (y - 2)^2 = 4, z = 0$   
(b)  $(y - 2)^2 + z^2 = 4, x = 0$  (c)  $x^2 + z^2 = 4, y = 2$
25. (a)  $y = 3, z = -1$  (b)  $x = 1, z = -1$  (c)  $x = 1, y = 3$
27.  $x^2 + y^2 + z^2 = 25, z = 3$  29.  $0 \leq z \leq 1$  31.  $z \leq 0$
33. (a)  $(x - 1)^2 + (y - 1)^2 + (z - 1)^2 < 1$   
(b)  $(x - 1)^2 + (y - 1)^2 + (z - 1)^2 > 1$
35. 3 37. 7 39.  $2\sqrt{3}$  41.  $C(-2, 0, 2), a = 2\sqrt{2}$   
43.  $C(\sqrt{2}, \sqrt{2}, -\sqrt{2}), a = \sqrt{2}$
45.  $(x - 1)^2 + (y - 2)^2 + (z - 3)^2 = 14$   
47.  $(x + 2)^2 + y^2 + z^2 = 3$  49.  $C(-2, 0, 2), a = \sqrt{8}$
51.  $C\left(-\frac{1}{4}, -\frac{1}{4}, -\frac{1}{4}\right), a = \frac{5\sqrt{3}}{4}$
53. (a)  $\sqrt{y^2 + z^2}$  (b)  $\sqrt{x^2 + z^2}$  (c)  $\sqrt{x^2 + y^2}$
55.  $\sqrt{17} + \sqrt{33} + 6$

## Bölüm 12.2, Sayfa 860–862

1. (a)  $\langle 9, -6 \rangle$  (b)  $3\sqrt{13}$  3. (a)  $\langle 1, 3 \rangle$  (b)  $\sqrt{10}$   
5. (a)  $\langle 12, -19 \rangle$  (b)  $\sqrt{505}$  7. (a)  $\left\langle \frac{1}{5}, \frac{14}{5} \right\rangle$  (b)  $\frac{\sqrt{197}}{5}$   
9.  $\langle 1, -4 \rangle$  11.  $\langle -2, -3 \rangle$  13.  $\left\langle -\frac{1}{2}, \frac{\sqrt{3}}{2} \right\rangle$   
15.  $\left\langle -\frac{\sqrt{3}}{2}, -\frac{1}{2} \right\rangle$  17.  $\langle -3, 2, -1 \rangle$  19.  $\langle -3, 16, 0 \rangle$   
21.  $\langle 3, 5, -8 \rangle$
23. v vektörü yataydır ve uzunluğu 1 inç tir. u ve w vektörleri  $11/16$  inç uzunluktadır. w yataydır, u vektörü yatayla  $45^\circ$  derecelik bir açı yapar. Bütün vektörler ölçekli çizilmelidir.

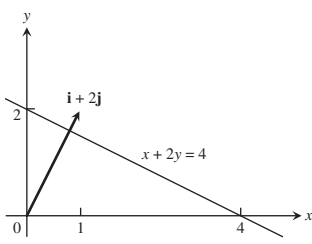


25.  $3\left(\frac{2}{3}\mathbf{i} + \frac{1}{3}\mathbf{j} - \frac{2}{3}\mathbf{k}\right)$  27.  $5(\mathbf{k})$   
29.  $\sqrt{\frac{1}{2}}\left(\frac{1}{\sqrt{3}}\mathbf{i} - \frac{1}{\sqrt{3}}\mathbf{j} - \frac{1}{\sqrt{3}}\mathbf{k}\right)$   
31. (a)  $2\mathbf{i}$  (b)  $-\sqrt{3}\mathbf{k}$  (c)  $\frac{3}{10}\mathbf{j} + \frac{2}{5}\mathbf{k}$  (d)  $6\mathbf{i} - 2\mathbf{j} + 3\mathbf{k}$   
33.  $\frac{7}{13}(12\mathbf{i} - 5\mathbf{k})$   
35. (a)  $\frac{3}{5\sqrt{2}}\mathbf{i} + \frac{4}{5\sqrt{2}}\mathbf{j} - \frac{1}{\sqrt{2}}\mathbf{k}$  (b)  $(1/2, 3, 5/2)$   
37. (a)  $-\frac{1}{\sqrt{3}}\mathbf{i} - \frac{1}{\sqrt{3}}\mathbf{j} - \frac{1}{\sqrt{3}}\mathbf{k}$  (b)  $\left(\frac{5}{2}, \frac{7}{2}, \frac{9}{2}\right)$

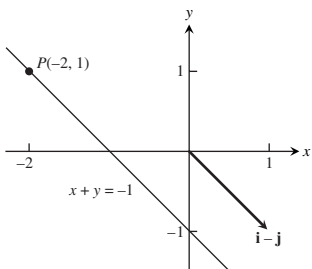
39.  $A(4, -3, 5)$  41.  $a = \frac{3}{2}, b = \frac{1}{2}$  43.  $5\sqrt{3}\mathbf{i}, 5\mathbf{j}$   
45.  $\approx \langle -338.095, 725.046 \rangle$   
47. (a)  $(5 \cos 60^\circ, 5 \sin 60^\circ) = \left(\frac{5}{2}, \frac{5\sqrt{3}}{2}\right)$   
(b)  $(5 \cos 60^\circ + 10 \cos 315^\circ, 5 \sin 60^\circ + 10 \sin 315^\circ) = \left(\frac{5 + 10\sqrt{2}}{2}, \frac{5\sqrt{3} - 10\sqrt{2}}{2}\right)$   
49. (a)  $\frac{3}{2}\mathbf{i} + \frac{3}{2}\mathbf{j} - 3\mathbf{k}$  (b)  $\mathbf{i} + \mathbf{j} - 2\mathbf{k}$  (c)  $(2, 2, 1)$

## Bölüm 12.3, Sayfa 870–873

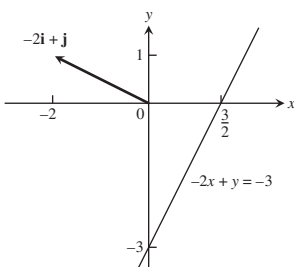
1. (a)  $-25, 5, 5$  (b)  $-1$  (c)  $-5$  (d)  $-2\mathbf{i} + 4\mathbf{j} - \sqrt{5}\mathbf{k}$   
3. (a)  $25, 15, 5$  (b)  $\frac{1}{3}$  (c)  $\frac{5}{3}$  (d)  $\frac{1}{9}(10\mathbf{i} + 11\mathbf{j} - 2\mathbf{k})$   
5. (a)  $2, \sqrt{34}, \sqrt{3}$  (b)  $\frac{2}{\sqrt{3}\sqrt{34}}$  (c)  $\frac{2}{\sqrt{34}}$   
(d)  $\frac{1}{17}(5\mathbf{j} - 3\mathbf{k})$   
7. (a)  $10 + \sqrt{17}, \sqrt{26}, \sqrt{21}$  (b)  $\frac{10 + \sqrt{17}}{\sqrt{546}}$   
(c)  $\frac{10 + \sqrt{17}}{\sqrt{26}}$  (d)  $\frac{10 + \sqrt{17}}{26}(5\mathbf{i} + \mathbf{j})$   
9.  $0.75 \text{ rad}$  11.  $1.77 \text{ rad}$   
13.  $A = \cos^{-1}\left(\frac{1}{\sqrt{5}}\right) \approx 63.435 \text{ derece}$   
 $B = \cos^{-1}\left(\frac{3}{5}\right) \approx 53.130 \text{ derece}$   
 $C = \cos^{-1}\left(\frac{1}{\sqrt{5}}\right) \approx 63.435 \text{ derece}$   
17.  $\left(\frac{3}{2}\mathbf{i} + \frac{3}{2}\mathbf{j}\right) + \left(-\frac{3}{2}\mathbf{i} + \frac{3}{2}\mathbf{j} + 4\mathbf{k}\right)$   
19.  $\left(\frac{14}{3}\mathbf{i} + \frac{28}{3}\mathbf{j} - \frac{14}{3}\mathbf{k}\right) + \left(\frac{10}{3}\mathbf{i} - \frac{16}{3}\mathbf{j} - \frac{22}{3}\mathbf{k}\right)$   
21. Eşit uzunluklu iki vektörün toplamı,  
 $(\mathbf{v}_1 + \mathbf{v}_2) \cdot (\mathbf{v}_1 - \mathbf{v}_2) = \mathbf{v}_1 \cdot \mathbf{v}_1 + \mathbf{v}_2 \cdot \mathbf{v}_1 - \mathbf{v}_1 \cdot \mathbf{v}_2 - \mathbf{v}_2 \cdot \mathbf{v}_2 = |\mathbf{v}_1|^2 - |\mathbf{v}_2|^2 = 0$  denkleminden de görülebileceği gibi, her zaman farklarına dikkat.  
27. Yatay bileşen:  $\approx 1188 \text{ ft/sn}$ , dikey bileşen:  $\approx 167 \text{ ft/sn}$   
29. (a)  $|\cos \theta| \leq 1$  olduğundan  
 $|\mathbf{u} \cdot \mathbf{v}| = |\mathbf{u}||\mathbf{v}||\cos \theta| \leq |\mathbf{u}||\mathbf{v}|(1) = |\mathbf{u}||\mathbf{v}|$  buluruz.  
(b)  $|\cos \theta| = 1$  veya  $\mathbf{u}$  ile  $\mathbf{v}$ 'nin biri ya da ikisi de 0 iken, eşitlik sağlanır. Sıfırdan farklı vektörler söz konusuya,  $\theta = 0$  veya  $\pi$  iken, yani vektörler paralelken eşitliği elde ederiz.  
31.  $a$   
35.  $x + 2y = 4$  37.  $-2x + y = -3$



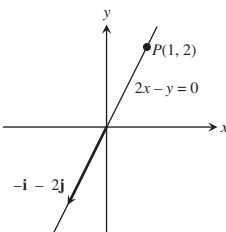
39.  $x + y = -1$



43. 5 J    45. 3464 J    47.  $\frac{\pi}{4}$     49.  $\frac{\pi}{6}$     51. 0.14

53. Her nokta  $\frac{\pi}{3}$  ve  $\frac{2\pi}{3}$     55. (0, 0)'da:  $\frac{\pi}{2}$ ; (1, 1)'de:  $\frac{\pi}{4}$  ve  $\frac{3\pi}{4}$ 

41.  $2x - y = 0$

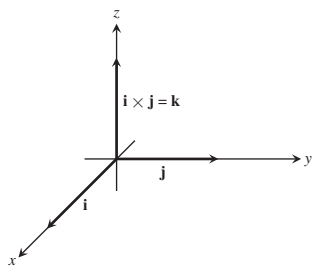


## Bölüm 12.4, Sayfa 878-879

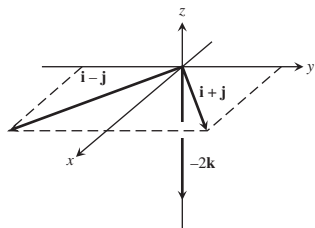
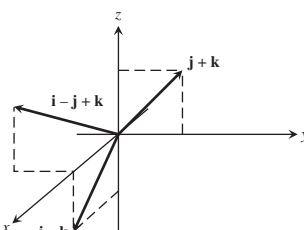
1.  $|\mathbf{u} \times \mathbf{v}| = 3$ , yön  $\frac{2}{3}\mathbf{i} + \frac{1}{3}\mathbf{j} + \frac{2}{3}\mathbf{k}$ 'dir;  $|\mathbf{v} \times \mathbf{u}| = 3$  yön  $-\frac{2}{3}\mathbf{i} - \frac{1}{3}\mathbf{j} - \frac{2}{3}\mathbf{k}$ 'dir.3.  $|\mathbf{u} \times \mathbf{v}| = 0$ , yön yoktur;  $|\mathbf{v} \times \mathbf{u}| = 0$ , yön yoktur5.  $|\mathbf{u} \times \mathbf{v}| = 6$ , yön  $-\mathbf{k}$ 'dir;  $|\mathbf{v} \times \mathbf{u}| = 6$ , yön  $\mathbf{k}$ 'dir.7.  $|\mathbf{u} \times \mathbf{v}| = 6\sqrt{5}$ , yön  $\frac{1}{\sqrt{5}}\mathbf{i} - \frac{2}{\sqrt{5}}\mathbf{k}$ ;  $|\mathbf{v} \times \mathbf{u}| = 6\sqrt{5}$ , yön  $-\frac{1}{\sqrt{5}}\mathbf{i} + \frac{2}{\sqrt{5}}\mathbf{k}$ 'dir.

9.

11.



13.



15. (a)  $2\sqrt{6}$     (b)  $\pm \frac{1}{\sqrt{6}}(2\mathbf{i} + \mathbf{j} + \mathbf{k})$

17. (a)  $\frac{\sqrt{2}}{2}$     (b)  $\pm \frac{1}{\sqrt{2}}(\mathbf{i} - \mathbf{j})$

19. 8    21. 7    23. (a) Hiçbir    (b)  $\mathbf{u}$  ve  $\mathbf{w}$     25.  $10\sqrt{3}$  ft-lb

27. (a) Doğru (b) Her zaman doğru değil (c) Doğru (d) Doğru  
(e) Her zaman doğru değil (f) Doğru (g) Doğru (h) Doğru

29. (a)  $\text{proj}_{\mathbf{v}} \mathbf{u} = \frac{\mathbf{u} \cdot \mathbf{v}}{\mathbf{v} \cdot \mathbf{v}} \mathbf{v}$     (b)  $\pm \mathbf{u} \times \mathbf{v}$     (c)  $\pm (\mathbf{u} \times \mathbf{v}) \times \mathbf{w}$   
(d)  $|(\mathbf{u} \times \mathbf{v}) \cdot \mathbf{w}|$

31. (a) Evet    (b) Hayır    (c) Evet    (d) Hayır

33. Hayır.  $\mathbf{v}'$ nin  $\mathbf{w}'$ ya eşit olması gerekmektedir. Örneğin,  
 $\mathbf{i} + \mathbf{j} \neq -\mathbf{i} + \mathbf{j}$ , ama

$\mathbf{i} \times (\mathbf{i} + \mathbf{j}) = \mathbf{i} \times \mathbf{i} + \mathbf{i} \times \mathbf{j} = \mathbf{0} + \mathbf{k} = \mathbf{k}$  ve

$\mathbf{i} \times (-\mathbf{i} + \mathbf{j}) = -\mathbf{i} \times \mathbf{i} + \mathbf{i} \times \mathbf{j} = \mathbf{0} + \mathbf{k} = \mathbf{k}$ . dir.

35. 2    37. 13    39.  $11/2$     41.  $25/2$

43.  $\mathbf{A} = a_1\mathbf{i} + a_2\mathbf{j}$  ve  $\mathbf{B} = b_1\mathbf{i} + b_2\mathbf{j}$  ise

$$\mathbf{A} \times \mathbf{B} = \begin{vmatrix} \mathbf{i} & \mathbf{j} & \mathbf{k} \\ a_1 & a_2 & 0 \\ b_1 & b_2 & 0 \end{vmatrix} = \begin{vmatrix} a_1 & a_2 \\ b_1 & b_2 \end{vmatrix} \mathbf{k}$$

olur ve üçgenin alanı

$$\frac{1}{2} |\mathbf{A} \times \mathbf{B}| = \pm \frac{1}{2} \begin{vmatrix} a_1 & a_2 \\ b_1 & b_2 \end{vmatrix}.$$

bulunur.  $\mathbf{A}$ 'dan  $\mathbf{B}$ 'ye giden dar açı  $xy$ -düzleminde saat yönünün tersine ise, uygulanacak işaret (+), saat yönünde ise (-)'dir.

## Bölüm 12.5, Sayfa 887-889

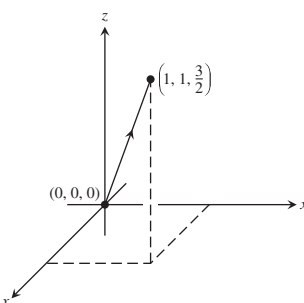
1.  $x = 3 + t, y = -4 + t, z = -1 + t$

3.  $x = -2 + 5t, y = 5t, z = 3 - 5t$     5.  $x = 0, y = 2t, z = t$

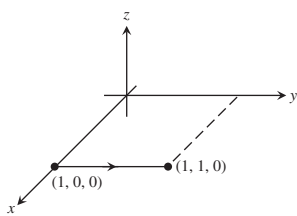
7.  $x = 1, y = 1, z = 1 + t$     9.  $x = t, y = -7 + 2t, z = 2t$

11.  $x = t, y = 0, z = 0$

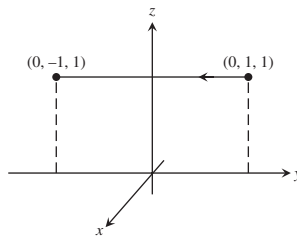
13.  $x = t, y = t, z = \frac{3}{2}t, 0 \leq t \leq 1$



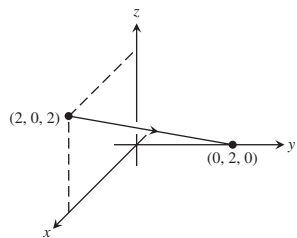
15.  $x = 1, y = 1 + t, z = 0, -1 \leq t \leq 0$



17.  $x = 0, y = 1 - 2t, z = 1, 0 \leq t \leq 1$



19.  $x = 2 - 2t, y = 2t, z = 2 - 2t, 0 \leq t \leq 1$



21.  $3x - 2y - z = -3$     23.  $7x - 5y - 4z = 6$

25.  $x + 3y + 4z = 34$     27.  $(1, 2, 3), -20x + 12y + z = 7$

29.  $y + z = 3$     31.  $x - y + z = 0$     33.  $2\sqrt{30}$     35. 0

37.  $\frac{9\sqrt{42}}{7}$     39. 3    41.  $19/5$     43.  $5/3$     45.  $9/\sqrt{41}$

47.  $\pi/4$     49. 1.76 rad    51. 0.82 rad    53.  $\left(\frac{3}{2}, -\frac{3}{2}, \frac{1}{2}\right)$

55.  $(1, 1, 0)$     57.  $x = 1 - t, y = 1 + t, z = -1$

59.  $x = 4, y = 3 + 6t, z = 1 + 3t$

61.  $L1, L2$ 'yi keser;  $L2, L3$ 'e paraleldir,  $L1$  ve  $L3$  aykırıdır.

63.  $x = 2 + 2t, y = -4 - t, z = 7 + 3t; x = -2 - t,$   
 $y = -2 + (1/2)t, z = 1 - (3/2)t$

65.  $\left(0, -\frac{1}{2}, -\frac{3}{2}\right), (-1, 0, -3), (1, -1, 0)$

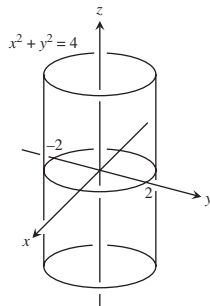
69. Bir çok olası yanıt vardır. Bir olasılık:  $x + y = 3$  ve  
 $2y + z = 7$

71.  $(x/a) + (y/b) + (z/c) = 1$  orijinden geçen veya bir koordinat ekseniye paralel olanlar hariç, bütün düzlemleri tanımlar.

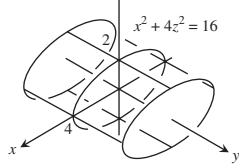
### Bölüm 12.6, Sayfa 897-899

1. (d), elipsoid    3. (a), silindir    5. (l), hiperbolik paraboloid  
 7. (b), silindir    9. (k), hiperbolik paraboloid    11. (h), koni

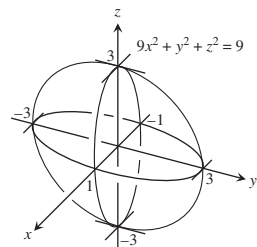
13.



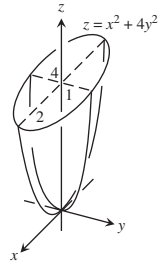
17.



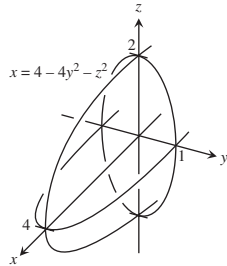
21.



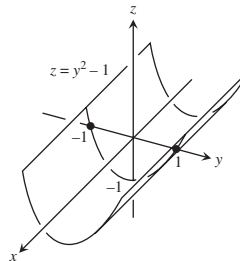
25.



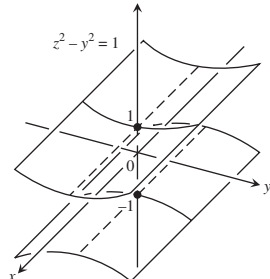
29.



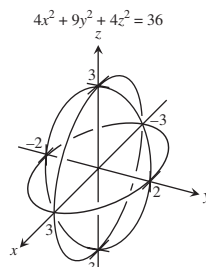
15.



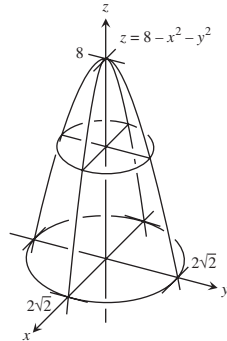
19.



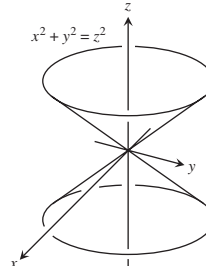
23.



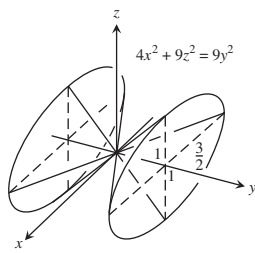
27.



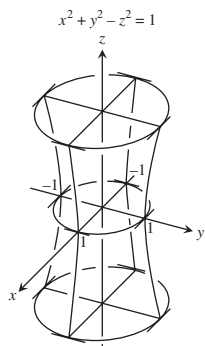
31.



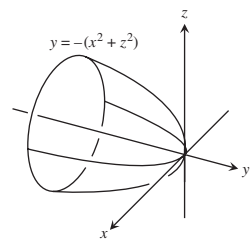
33.



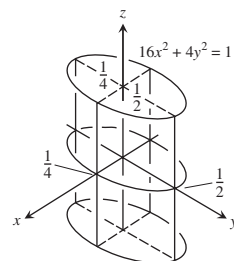
35.



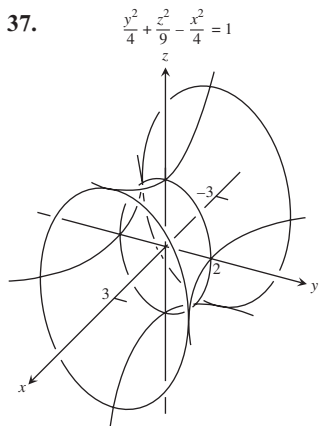
49.



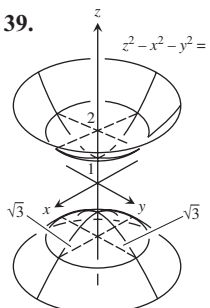
51.



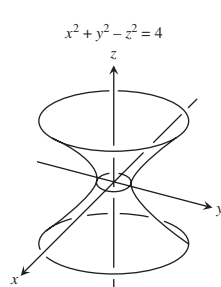
37.



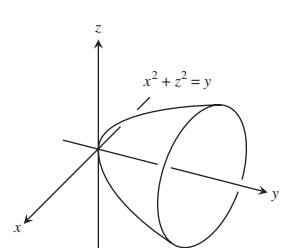
39.



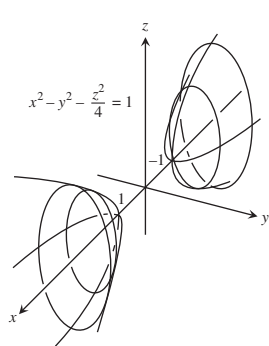
53.



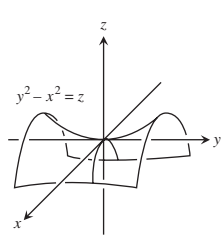
55.



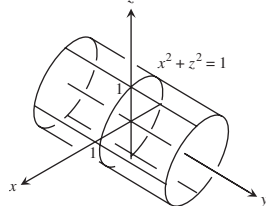
41.



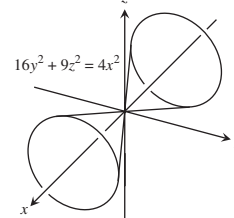
43.



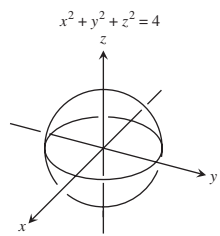
57.



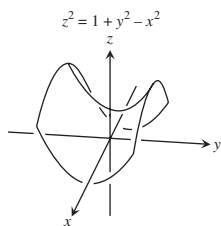
59.



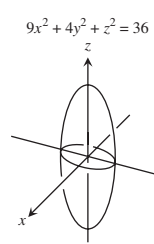
45.



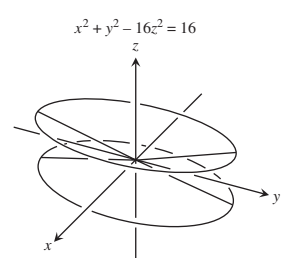
47.



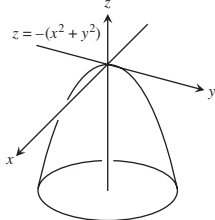
61.



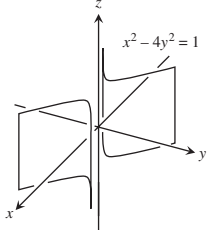
63.



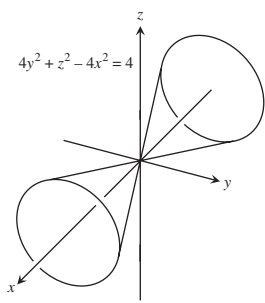
65.



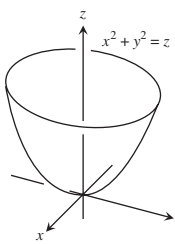
67.



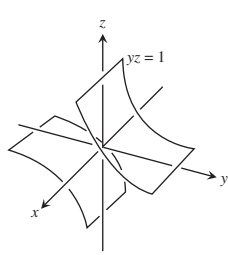
69.



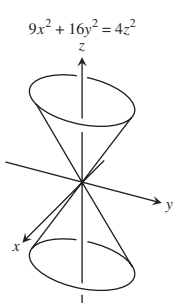
71.



73.



75.



77. (a)  $\frac{2\pi(9 - c^2)}{9}$  (b)  $8\pi$  (c)  $\frac{4\pi abc}{3}$

81. Tepe noktası  $(0, y_1, cy_1^2/b^2)$ , odak  $(0, y_1, c(y_1^2/b^2) - a^2/(4c))$ 

## Problemler, Sayfa 900-902

1. (a)  $\langle -17, 32 \rangle$  (b)  $\sqrt{1313}$  3. (a)  $\langle 6, -8 \rangle$  (b) 10

5.  $\left\langle -\frac{\sqrt{3}}{2}, -\frac{1}{2} \right\rangle$  [saat yönünün tersine kabul ile]

7.  $\left\langle \frac{8}{\sqrt{17}}, -\frac{2}{\sqrt{17}} \right\rangle$

9. Uzunluk = 2, yön  $\frac{1}{\sqrt{2}}\mathbf{i} + \frac{1}{\sqrt{2}}\mathbf{j}$ 'dır.

11.  $\mathbf{v}(\pi/2) = 2(-\mathbf{i})$

13. Uzunluk = 7, yön  $\frac{2}{7}\mathbf{i} - \frac{3}{7}\mathbf{j} + \frac{6}{7}\mathbf{k}$ 'dır.

15.  $\frac{8}{\sqrt{33}}\mathbf{i} - \frac{2}{\sqrt{33}}\mathbf{j} + \frac{8}{\sqrt{33}}\mathbf{k}$

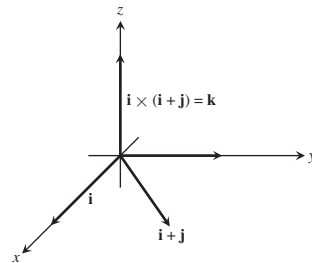
17.  $|\mathbf{v}| = \sqrt{2}, |\mathbf{u}| = 3, \mathbf{v} \cdot \mathbf{u} = \mathbf{u} \cdot \mathbf{v} = 3, \mathbf{v} \times \mathbf{u} = -2\mathbf{i} + 2\mathbf{j} - \mathbf{k},$

$\mathbf{u} \times \mathbf{v} = 2\mathbf{i} - 2\mathbf{j} + \mathbf{k}, |\mathbf{v} \times \mathbf{u}| = 3, \theta = \cos^{-1} \left( \frac{1}{\sqrt{2}} \right) = \frac{\pi}{4},$

$|\mathbf{u}| \cos \theta = \frac{3}{\sqrt{2}}, \text{proj}_{\mathbf{v}} \mathbf{u} = \frac{3}{2}(\mathbf{i} + \mathbf{j})$

19.  $\frac{4}{3}(2\mathbf{i} + \mathbf{j} - \mathbf{k}) - \frac{1}{3}(5\mathbf{i} + \mathbf{j} + 11\mathbf{k})$

21.  $\mathbf{u} \times \mathbf{v} = \mathbf{k}$



23.  $2\sqrt{7}$  25. (a)  $\sqrt{14}$  (b) 1 29.  $\sqrt{78}/3$

31.  $x = 1 - 3t, y = 2, z = 3 + 7t$  33.  $\sqrt{2}$

35.  $2x + y + z = 5$  37.  $-9x + y + 7z = 4$

39.  $\left(0, -\frac{1}{2}, -\frac{3}{2}\right), (-1, 0, -3), (1, -1, 0)$  41.  $\pi/3$

43.  $x = -5 + 5t, y = 3 - t, z = -3t$

45. (b)  $x = -12t, y = 19/12 + 15t, z = 1/6 + 6t$

47. Evet;  $\mathbf{v}$  düzleme paraleldir. 49. 3 51.  $-3\mathbf{j} + 3\mathbf{k}$ 

53.  $\frac{2}{\sqrt{35}}(5\mathbf{i} - \mathbf{j} - 3\mathbf{k})$  55.  $\left(\frac{11}{9}, \frac{26}{9}, \frac{7}{9}\right)$

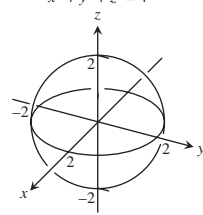
57.  $(1, -2, -1); x = 1 - 5t, y = -2 + 3t, z = -1 + 4t$

59.  $2x + 7y + 2z + 10 = 0$

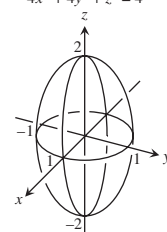
61. (a) hayır (b) hayır (c) hayır (d) hayır (e) evet

63.  $11/\sqrt{107}$

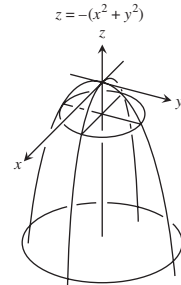
65.  $x^2 + y^2 + z^2 = 4$



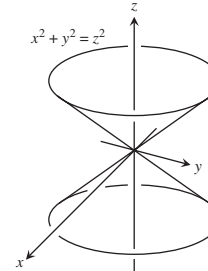
67.  $4x^2 + 4y^2 + z^2 = 4$



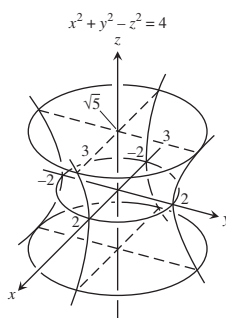
69.



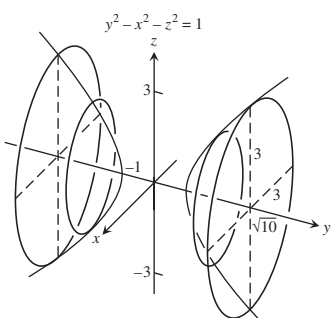
71.



73.



75.

**Ek ve İleri Alıştırmalar, Sayfa 902-904**

1.  $(26, 23, -1/3)$     3.  $|F| = 20 \text{ lb}$

7. (a)  $\vec{BD} = \vec{AD} - \vec{AB}$     (b)  $\vec{AP} = \frac{1}{2}\vec{AB} + \frac{1}{2}\vec{AD}$

13.  $\frac{32}{41}\mathbf{i} + \frac{23}{41}\mathbf{j} - \frac{13}{41}\mathbf{k}$

15. (a)  $0, 0$     (b)  $-10\mathbf{i} - 2\mathbf{j} + 6\mathbf{k}, -9\mathbf{i} - 2\mathbf{j} + 7\mathbf{k}$   
(c)  $-4\mathbf{i} - 6\mathbf{j} + 2\mathbf{k}, \mathbf{i} - 2\mathbf{j} - 4\mathbf{k}$   
(d)  $-10\mathbf{i} - 10\mathbf{k}, -12\mathbf{i} - 4\mathbf{j} - 8\mathbf{k}$

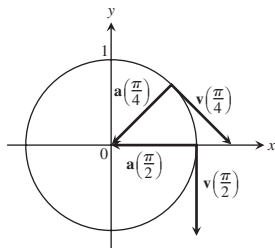
25. (a)  $|F| = \frac{GMm}{d^2} \left(1 + \sum_{i=1}^n \frac{2}{(i^2 + 1)^{3/2}}\right)$     (b) Evet

**BÖLÜM 13****Bölüm 13.1, Sayfa 916-920**

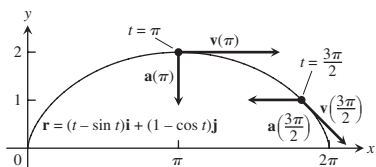
1.  $y = x^2 - 2x, \mathbf{v} = \mathbf{i} + 2\mathbf{j}, \mathbf{a} = 2\mathbf{j}$

3.  $y = \frac{2}{9}x^2, \mathbf{v} = 3\mathbf{i} + 4\mathbf{j}, \mathbf{a} = 3\mathbf{i} + 8\mathbf{j}$

5.  $t = \frac{\pi}{4}: \mathbf{v} = \frac{\sqrt{2}}{2}\mathbf{i} - \frac{\sqrt{2}}{2}\mathbf{j}, \mathbf{a} = \frac{-\sqrt{2}}{2}\mathbf{i} - \frac{\sqrt{2}}{2}\mathbf{j};$   
 $t = \pi/2: \mathbf{v} = -\mathbf{j}, \mathbf{a} = -\mathbf{i}$



7.  $t = \pi: \mathbf{v} = 2\mathbf{i}, \mathbf{a} = -\mathbf{j}; t = \frac{3\pi}{2}: \mathbf{v} = \mathbf{i} - \mathbf{j}, \mathbf{a} = -\mathbf{i}$



9.  $\mathbf{v} = \mathbf{i} + 2t\mathbf{j} + 2\mathbf{k}; \mathbf{a} = 2\mathbf{j}; \text{hız: } 3; \text{ yön: } \frac{1}{3}\mathbf{i} + \frac{2}{3}\mathbf{j} + \frac{2}{3}\mathbf{k}; \mathbf{v}(1) = 3\left(\frac{1}{3}\mathbf{i} + \frac{2}{3}\mathbf{j} + \frac{2}{3}\mathbf{k}\right)$

11.  $\mathbf{v} = (-2 \sin t)\mathbf{i} + (3 \cos t)\mathbf{j} + 4\mathbf{k};$   
 $\mathbf{a} = (-2 \cos t)\mathbf{i} - (3 \sin t)\mathbf{j}; \text{ hız: } 2\sqrt{5};$   
yön:  $(-1/\sqrt{5})\mathbf{i} + (2/\sqrt{5})\mathbf{k};$   
 $\mathbf{v}(\pi/2) = 2\sqrt{5}\left[(-1/\sqrt{5})\mathbf{i} + (2/\sqrt{5})\mathbf{k}\right]$

13.  $\mathbf{v} = \left(\frac{2}{t+1}\right)\mathbf{i} + 2t\mathbf{j} + t\mathbf{k}; \mathbf{a} = \left(\frac{-2}{(t+1)^2}\right)\mathbf{i} + 2\mathbf{j} + \mathbf{k};$   
hız:  $\sqrt{6}; \text{ yön: } \frac{1}{\sqrt{6}}\mathbf{i} + \frac{2}{\sqrt{6}}\mathbf{j} + \frac{1}{\sqrt{6}}\mathbf{k};$   
 $\mathbf{v}(1) = \sqrt{6}\left(\frac{1}{\sqrt{6}}\mathbf{i} + \frac{2}{\sqrt{6}}\mathbf{j} + \frac{1}{\sqrt{6}}\mathbf{k}\right)$

15.  $\pi/2 \quad 17. \pi/2 \quad 19. t = 0, \pi, 2\pi$

21.  $(1/4)\mathbf{i} + 7\mathbf{j} + (3/2)\mathbf{k} \quad 23. \left(\frac{\pi + 2\sqrt{2}}{2}\right)\mathbf{j} + 2\mathbf{k}$

25.  $(\ln 4)\mathbf{i} + (\ln 4)\mathbf{j} + (\ln 2)\mathbf{k}$

27.  $\mathbf{r}(t) = \left(\frac{-t^2}{2} + 1\right)\mathbf{i} + \left(\frac{-t^2}{2} + 2\right)\mathbf{j} + \left(\frac{-t^2}{2} + 3\right)\mathbf{k}$

29.  $\mathbf{r}(t) = ((t+1)^{3/2} - 1)\mathbf{i} + (-e^{-t} + 1)\mathbf{j} + (\ln(t+1) + 1)\mathbf{k}$

31.  $\mathbf{r}(t) = 8t\mathbf{i} + 8t\mathbf{j} + (-16t^2 + 100)\mathbf{k}$

33.  $x = t, y = -1, z = 1 + t \quad 35. x = at, y = a, z = 2\pi b + bt$

37. (a) (i): Hızı sabit ve 1'dir (ii): Evet  
(iii): Saat yönünün tersine (iv): Evet

(b) (i): Hızı sabit ve 2'dir (ii): Evet  
(iii): Saat yönünün tersine (iv): Evet

(c) (i): Hızı sabit ve 1'dir (ii): Evet  
(iii): Saat yönünün tersine  
(iv):  $(1, 0)$  yerine  $(0, -1)$ 'den hareket eder

(d) (i): Hızı sabit ve 1'dir (ii): Evet  
(iii): Saat yönünde (iv): Evet

(e) (i): Hızı değişkendir (ii): Hayır  
(iii): Saat yönünün tersine (iv): Evet

39.  $\mathbf{r}(t) = \left(\frac{3}{2}t^2 + \frac{6}{\sqrt{11}}t + 1\right)\mathbf{i} - \left(\frac{1}{2}t^2 + \frac{2}{\sqrt{11}}t - 2\right)\mathbf{j} + \left(\frac{1}{2}t^2 + \frac{2}{\sqrt{11}}t + 3\right)\mathbf{k} = \left(\frac{1}{2}t^2 + \frac{2t}{\sqrt{11}}\right)(3\mathbf{i} - \mathbf{j} + \mathbf{k}) + (\mathbf{i} + 2\mathbf{j} + 3\mathbf{k})$

41.  $\mathbf{v} = 2\sqrt{5}\mathbf{i} + \sqrt{5}\mathbf{j}$

43.  $\max|\mathbf{v}| = 3, \min|\mathbf{v}| = 2, \max|\mathbf{a}| = 3, \min|\mathbf{a}| = 2$

**Bölüm 13.2, Sayfa 927-930**

1. 50 sn

3. (a) 72.2 sn; 25,510 m    (b) 4020 m    (c) 6378 m

5.  $t \approx 2.135 \text{ sn}, x \approx 66.43 \text{ ft}$

7. (a)  $v_0 \approx 0.9.9 \text{ m/sn}$     (b)  $\alpha \approx 18.4^\circ$  veya  $71.6^\circ$

9. 190 mil(sa)    11. Golf topu üstteki yapraklara vuracaktır.

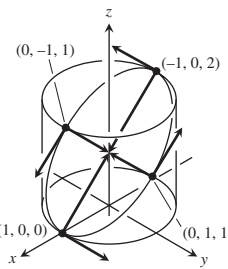
13. (a) 149 ft/sn    (b) 2.25 sn    15.  $39.3^\circ$  veya  $50.7^\circ$

17.  $46.6 \text{ ft/sn}$     21.  $1.92 \text{ sn}, 73.7 \text{ ft}$  (yaklaşık)  
 23.  $4.00 \text{ ft}, 7.80 \text{ ft/sn}$     25. (b)  $\mathbf{v}_0, \angle AOR$  açısını ikiye bölecektir.  
 27. (a) (Çarpışma noktasında “x”in sıfır olduğunu kabul ederek.)  
 $x(t) = (35 \cos 27^\circ)t$  ve  $y(t) = 4 + (35 \sin 27^\circ)t - 16t^2$   
 olmak üzere  $\mathbf{r}(t) = (x(t))\mathbf{i} + (y(t))\mathbf{j}$   
 (b)  $t \approx 0.497$  sn’de yaklaşık 7.945 ft olan maksimum yüksekliğine erişir.  
 (c) Menzil  $\approx 37.45$  ft; uçuş süresi  $\approx 1.201$  sn  
 (d)  $t \approx 0.254$  ve  $t \approx 0.740$  sn’de, düşeceği yere  $\approx 29.532$  ft ve  
 $\approx 14.376$  ft varken.  
 (e) Evet, Değisir, çünkü top fileyi geçmez.
31. (a)  $x(t) = \left(\frac{1}{0.08}\right)(1 - e^{-0.08t}) \cdot (152 \cos 20^\circ - 17.6)$  ve  
 $y(t) = 3 + \left(\frac{152}{0.08}\right)(1 - e^{-0.08t}) \cdot (\sin 20^\circ) +$   
 $\left(\frac{32}{0.08^2}\right)(1 - 0.08t - e^{-0.08t})$  olmak üzere  
 $\mathbf{r}(t) = (x(t))\mathbf{i} + (y(t))\mathbf{j}$ ,
- (b)  $t \approx 1.527$  sn’de yaklaşık 41.893 ft olan maksimum yüksekliğine erişir.  
 (c) Menzil  $\approx 351.734$  ft; uçuş süresi  $\approx 3.181$  sn  
 (d)  $t \approx 0.877$  sn ve  $t \approx 2.190$  sn’de, düşeceği yere 106.028 ft ve 251.530 ft varken.  
 (e) Hayır. Topun çiti aşması için rüzgar vuruş yönünde ve hızı 12.846 ft/sn’den daha fazla olmalıdır.

## Bölüm 13.3, Sayfa 935-936

1.  $\mathbf{T} = \left(-\frac{2}{3} \sin t\right)\mathbf{i} + \left(\frac{2}{3} \cos t\right)\mathbf{j} + \frac{\sqrt{5}}{3}\mathbf{k}, 3\pi$
3.  $\mathbf{T} = \frac{1}{\sqrt{1+t}}\mathbf{i} + \frac{\sqrt{t}}{\sqrt{1+t}}\mathbf{k}, \frac{52}{3}$
5.  $\mathbf{T} = -\cos t\mathbf{j} + \sin t\mathbf{k}, \frac{3}{2}$
7.  $\mathbf{T} = \left(\frac{\cos t - t \sin t}{t+1}\right)\mathbf{i} + \left(\frac{\sin t + t \cos t}{t+1}\right)\mathbf{j} +$   
 $\left(\frac{\sqrt{2t^{1/2}}}{t+1}\right)\mathbf{k}, \frac{\pi^2}{2} + \pi$
9.  $(0, 5, 24\pi)$     11.  $s(t) = 5t, L = \frac{5\pi}{2}$
13.  $s(t) = \sqrt{3}e^t - \sqrt{3}, L = \frac{3\sqrt{3}}{4}$     15.  $\sqrt{2} + \ln(1 + \sqrt{2})$
17. (a) Silindir  $x^2 + y^2 = 1$ ’dir, düzlem  $x + z = 1$ ’dir.

(b) ve (c)



(d)  $L = \int_0^{2\pi} \sqrt{1 + \sin^2 t} dt$     (e)  $L \approx 7.64$

## Bölüm 13.4, Sayfa 942-943

1.  $\mathbf{T} = (\cos t)\mathbf{i} - (\sin t)\mathbf{j}, \mathbf{N} = (-\sin t)\mathbf{i} - (\cos t)\mathbf{j}, \kappa = \cos t$
3.  $\mathbf{T} = \frac{1}{\sqrt{1+t^2}}\mathbf{i} - \frac{t}{\sqrt{1+t^2}}\mathbf{j}, \mathbf{N} = \frac{-t}{\sqrt{1+t^2}}\mathbf{i} - \frac{1}{\sqrt{1+t^2}}\mathbf{j},$   
 $\kappa = \frac{1}{2(\sqrt{1+t^2})^3}$
5. (b)  $\cos x$
7. (b)  $\mathbf{N} = \frac{-2e^{2t}}{\sqrt{1+4e^{4t}}}\mathbf{i} + \frac{1}{\sqrt{1+4e^{4t}}}\mathbf{j}$
- (c)  $\mathbf{N} = -\frac{1}{2}(\sqrt{4-t^2}\mathbf{i} + t\mathbf{j})$
9.  $\mathbf{T} = \frac{3 \cos t}{5}\mathbf{i} - \frac{3 \sin t}{5}\mathbf{j} + \frac{4}{5}\mathbf{k}, \mathbf{N} = (-\sin t)\mathbf{i} - (\cos t)\mathbf{j},$   
 $\kappa = \frac{3}{25}$
11.  $\mathbf{T} = \left(\frac{\cos t - \sin t}{\sqrt{2}}\right)\mathbf{i} + \left(\frac{\cos t + \sin t}{\sqrt{2}}\right)\mathbf{j},$   
 $\mathbf{N} = \left(\frac{-\cos t - \sin t}{\sqrt{2}}\right)\mathbf{i} + \left(\frac{-\sin t + \cos t}{\sqrt{2}}\right)\mathbf{j},$   
 $\kappa = \frac{1}{e^t\sqrt{2}}$
13.  $\mathbf{T} = \frac{t}{\sqrt{t^2+1}}\mathbf{i} + \frac{1}{\sqrt{t^2+1}}\mathbf{j}, \mathbf{N} = \frac{\mathbf{i}}{\sqrt{t^2+1}} - \frac{t\mathbf{j}}{\sqrt{t^2+1}},$   
 $\kappa = \frac{1}{t(t^2+1)^{3/2}}$
15.  $\mathbf{T} = \left(\operatorname{sech} \frac{t}{a}\right)\mathbf{i} + \left(\tanh \frac{t}{a}\right)\mathbf{j},$   
 $\mathbf{N} = \left(-\tanh \frac{t}{a}\right)\mathbf{i} + \left(\operatorname{sech} \frac{t}{a}\right)\mathbf{j},$   
 $\kappa = \frac{1}{a} \operatorname{sech}^2 \frac{t}{a}$
19.  $1/(2b)$     21.  $\left(x - \frac{\pi}{2}\right)^2 + y^2 = 1$
23.  $\kappa(x) = 2/(1+4x^2)^{3/2}$     25.  $\kappa(x) = |\sin x|/(1+\cos^2 x)^{3/2}$

## Bölüm 13.5, Sayfa 949–950

1.  $\mathbf{B} = \left(\frac{4}{5} \cos t\right)\mathbf{i} - \left(\frac{4}{5} \sin t\right)\mathbf{j} - \frac{3}{5}\mathbf{k}, \tau = -\frac{4}{25}$   
 3.  $\mathbf{B} = \mathbf{k}, \tau = 0$     5.  $\mathbf{B} = -\mathbf{k}, \tau = 0$     7.  $\mathbf{B} = \mathbf{k}, \tau = 0$   
 9.  $\mathbf{a} = |a|\mathbf{N}$     11.  $\mathbf{a}(1) = \frac{4}{3}\mathbf{T} + \frac{2\sqrt{5}}{3}\mathbf{N}$     13.  $\mathbf{a}(0) = 2\mathbf{N}$   
 15.  $\mathbf{r}\left(\frac{\pi}{4}\right) = \frac{\sqrt{2}}{2}\mathbf{i} + \frac{\sqrt{2}}{2}\mathbf{j} - \mathbf{k}, \mathbf{T}\left(\frac{\pi}{4}\right) = -\frac{\sqrt{2}}{2}\mathbf{i} + \frac{\sqrt{2}}{2}\mathbf{j},$   
 $\mathbf{N}\left(\frac{\pi}{4}\right) = -\frac{\sqrt{2}}{2}\mathbf{i} - \frac{\sqrt{2}}{2}\mathbf{j}, \mathbf{B}\left(\frac{\pi}{4}\right) = \mathbf{k};$  degen düzlem:  
 $z = -1;$  normal düzlem:  $-x + y = 0;$  doğrultucu düzlem:  
 $x + y = \sqrt{2}$

17. Evet. Araba eğri bir yolda ilerliyorsa ( $\kappa \neq 0$ ),  $a_N = \kappa |\mathbf{v}|^2 \neq 0$  ve  $\mathbf{a} \neq \mathbf{0}$ .

21.  $|\mathbf{F}| = \kappa \left( m \left( \frac{ds}{dt} \right)^2 \right)$     23.  $\kappa = \frac{1}{t}, \rho = t$

29.  $\mathbf{v}$ 'nin bileşenleri:  $-1.8701, 0.7089, 1.0000$

$\mathbf{a}$ 'nın bileşenleri:  $-1.6960, -2.0307, 0$

Hız:  $2.2361;$   $\mathbf{T}$ 'nin bileşenleri  $-0.8364, 0.3170, 0.4472$

$\mathbf{N}$ 'nin bileşenleri:  $-0.4143, -0.8998, -0.1369$

$\mathbf{B}$ 'nin bileşenleri:  $0.3590, -0.2998, 0.8839;$  Eğrilik:  $0.5060$

Burulma:  $0.2813;$  İvmenin teğetsel bileşeni:  $0.7746$

İvmenin normal bileşeni:  $2.5298$

31.  $\mathbf{v}$ 'nin bileşenleri:  $2.0000, 0, 0.1629$

$\mathbf{a}$ 'nın bileşenleri:  $0, -1.0000, 0.0086;$  Hız:  $2.0066$

$\mathbf{T}$ 'nin bileşenleri:  $0.9967, 0, 0.0812$

$\mathbf{N}$ 'nin bileşenleri:  $-0.0007, -1.0000, 0.0086$

$\mathbf{B}$ 'nin bileşenleri:  $0.0812, -0.0086, -0.9967;$  Eğrilik:  $0.2484$

Burulma:  $-0.0411;$  ivmenin teğetsel bileşeni:  $0.0007$

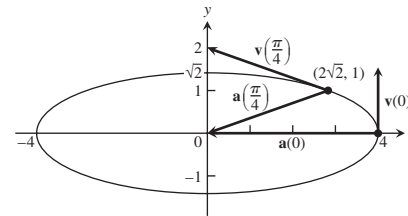
İvmenin normal bileşeni:  $1.0000$

## Bölüm 13.6, Sayfa 958–959

1.  $T = 93.2$  min    3.  $a = 6764$  km    5.  $D = 6501$  km  
 7. (a)  $42,168$  km    (b)  $35,789$  km  
 (c) *Syncom 3, GOES 4, and Intelsat 5*  
 9. Dünyanın merkezinden  $a = 383,200$  km, veya yüzeyden yaklaşık  $376,821$  km  
 11.  $2.97 \times 10^{-19}$  sn $^2$ /m $^3$ ,  $9.902 \times 10^{-14}$  sn $^2$ /m $^3$ ,  
 $8.045 \times 10^{-12}$  sn $^2$ /m $^3$

## Problemler, Sayfa 960–962

1.  $\frac{x^2}{16} + \frac{y^2}{2} = 1$



$t = 0$ 'da  $a_T = 0, a_N = 4, \kappa = 2$

$t = \frac{\pi}{4}$ 'de  $a_T = \frac{7}{3}, a_N = \frac{4\sqrt{2}}{3}, \kappa = \frac{4\sqrt{2}}{27}$

3.  $|\mathbf{v}|_{\max} = 1$     5.  $\kappa = 1/5$     7.  $dy/dt = -x;$  saat yönünde

11. Gülle durulan yerden yaklaşık  $66$  ft,  $3$  inç ileride yere çarpar

15. (a)  $59.19$  ft/sn    (b)  $74.58$  ft/sn    19.  $\kappa = \pi s$

21. Uzunluk =  $\frac{\pi}{4} \sqrt{1 + \frac{\pi^2}{16}} + \ln \left( \frac{\pi}{4} + \sqrt{1 + \frac{\pi^2}{16}} \right)$

23.  $\mathbf{T}(0) = \frac{2}{3}\mathbf{i} - \frac{2}{3}\mathbf{j} + \frac{1}{3}\mathbf{k}; \mathbf{N}(0) = \frac{1}{\sqrt{2}}\mathbf{i} + \frac{1}{\sqrt{2}}\mathbf{j};$

$\mathbf{B}(0) = -\frac{1}{3\sqrt{2}}\mathbf{i} + \frac{1}{3\sqrt{2}}\mathbf{j} + \frac{4}{3\sqrt{2}}\mathbf{k}; \kappa = \frac{\sqrt{2}}{3}; \tau = \frac{1}{6}$

25.  $\mathbf{T}(\ln 2) = \frac{1}{\sqrt{17}}\mathbf{i} + \frac{4}{\sqrt{17}}\mathbf{j}; \mathbf{N}(\ln 2) = -\frac{4}{\sqrt{17}}\mathbf{i} + \frac{1}{\sqrt{17}}\mathbf{j};$

$\mathbf{B}(\ln 2) = \mathbf{k}; \kappa = \frac{8}{17\sqrt{17}}; \tau = 0$

27.  $\mathbf{a}(0) = 10\mathbf{T} + 6\mathbf{N}$

29.  $\mathbf{T} = \left( \frac{1}{\sqrt{2}} \cos t \right)\mathbf{i} - (\sin t)\mathbf{j} + \left( \frac{1}{\sqrt{2}} \cos t \right)\mathbf{k};$

$\mathbf{N} = \left( -\frac{1}{\sqrt{2}} \sin t \right)\mathbf{i} - (\cos t)\mathbf{j} - \left( \frac{1}{\sqrt{2}} \sin t \right)\mathbf{k};$

$\mathbf{B} = \frac{1}{\sqrt{2}}\mathbf{i} - \frac{1}{\sqrt{2}}\mathbf{k}; \kappa = \frac{1}{\sqrt{2}}; \tau = 0$

31.  $\pi/3$     33.  $x = 1 + t, y = t, z = -t$

35.  $5971$  km,  $1.639 \times 10^7$  km $^2$ , %3.21 görülebilir

## Ek ve İleri Alıştırmalar, Sayfa 962–964

1. (a)  $\mathbf{r}(t) = \left( -\frac{8}{15}t^3 + 4t^2 \right)\mathbf{i} + (-20t + 100)\mathbf{j};$  (b)  $\frac{100}{3}$  m

3. (a)  $\frac{d\theta}{dt} \Big|_{\theta=2\pi} = 2\sqrt{\frac{\pi g b}{a^2 + b^2}}$

(b)  $\theta = \frac{gbt^2}{2(a^2 + b^2)}, z = \frac{gb^2t^2}{2(a^2 + b^2)}$

(c)  $\mathbf{v}(t) = \frac{gbt}{\sqrt{a^2 + b^2}}\mathbf{T}; \frac{d^2\mathbf{r}}{dt^2} = \frac{bg}{\sqrt{a^2 + b^2}}\mathbf{T} + a\left(\frac{bgt}{a^2 + b^2}\right)^2\mathbf{N}$

**B** yönünde bileşen yoktur.

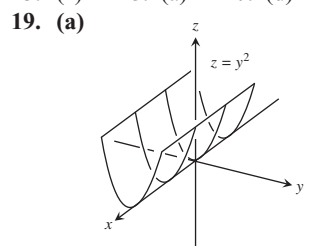
7. (a)  $\frac{dx}{dt} = \dot{r} \cos \theta - r\dot{\theta} \sin \theta, \frac{dy}{dt} = \dot{r} \sin \theta + r\dot{\theta} \cos \theta$   
 (b)  $\frac{dr}{dt} = \dot{x} \cos \theta + \dot{y} \sin \theta, r \frac{d\theta}{dt} = -\dot{x} \sin \theta + \dot{y} \cos \theta$
9. (a)  $\mathbf{a}(1) = -9\mathbf{u}_r - 6\mathbf{u}_\theta, \mathbf{v}(1) = -\mathbf{u}_r + 3\mathbf{u}_\theta$  (b) 6.5 in.  
 11. (c)  $\mathbf{v} = \dot{r}\mathbf{u}_r + r\dot{\theta}\mathbf{u}_\theta + \dot{z}\mathbf{k}, \mathbf{a} = (\ddot{r} - r\dot{\theta}^2)\mathbf{u}_r + (r\ddot{\theta} + 2r\dot{\theta})\mathbf{u}_\theta + \ddot{z}\mathbf{k}$

## BÖLÜM 14

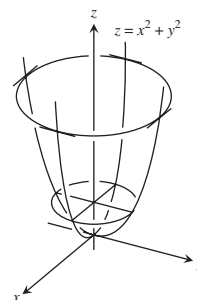
### Bölüm 14.1, Sayfa 973-975

1. (a)  $xy$ -düzlemindeki bütün noktalar (b) bütün reel sayılar  
 (c)  $y - x = c$  doğruları (d) sınır noktaları yok  
 (e) hem açık hem kapalı (f) sınırlı değil
3. (a)  $xy$ -düzlemindeki bütün noktalar (b)  $z \geq 0$   
 (c)  $f(x, y) = 0$  için, orijin;  $f(x, y) \neq 0$  için, merkezleri  $(0, 0)$ 'da olan ve büyük ve küçük eksenleri sırasıyla  $x$ - ve  $y$ -eksenleri olan elipsler  
 (d) sınır noktaları yok (e) hem açık hem kapalı  
 (f) sınırlı değil
5. (a)  $xy$ -düzlemindeki bütün noktalar (b) bütün reel sayılar  
 (c)  $f(x, y) = 0$  için,  $x$ - ve  $y$ -eksenleri;  $f(x, y) \neq 0$  için asimptotları  $x$ - ve  $y$ -eksenleri olan hiperboller  
 (d) sınır noktaları yok (e) hem açık hem kapalı  
 (f) sınırlı değil
7. (a)  $x^2 + y^2 < 16$  denklemini sağlayan her  $(x, y)$  (b)  $z \geq 1/4$   
 (c) merkezleri orijinde ve yarıçapları  $r < 4$  olan çemberler  
 (d) Sınır  $x^2 + y^2 = 16$  çemberidir  
 (e) Açık (f) Sınırlı
9. (a)  $(x, y) \neq (0, 0)$  (b) bütün reel sayılar  
 (c) Merkezi  $(0, 0)$ 'da ve yarıçapları  $r > 0$  olan çemberler  
 (d) Sınır bir tek  $(0, 0)$  noktasıdır  
 (e) Açık (f) Sınırlı
11. (a)  $-1 \leq y - x \leq 1$  denklemini sağlayan her  $(x, y)$   
 (b)  $-\pi/2 \leq z \leq \pi/2$   
 (c)  $-1 \leq c \leq 1$  olmak üzere  $y - x = c$  şeklindeki doğrular  
 (d) Sınır  $y = 1 + x$  ve  $y = -1 + x$  doğrularıdır  
 (e) Açık (f) Sınırlı

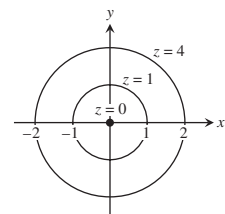
13. (f) 15. (a) 17. (d)



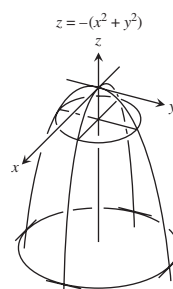
21. (a)



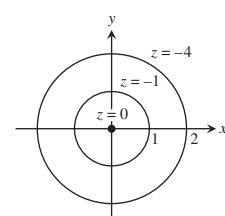
(b)



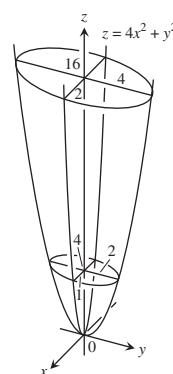
23. (a)



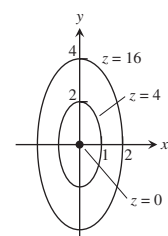
(b)



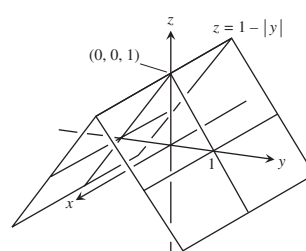
25. (a)



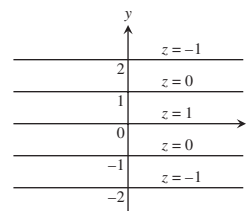
(b)



27. (a)

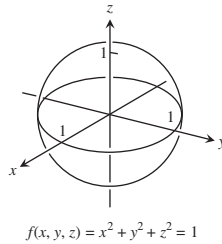


(b)

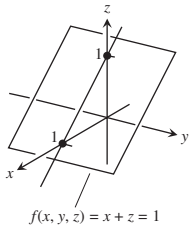


29.  $x^2 + y^2 = 10$     31.  $\tan^{-1}y - \tan^{-1}x = 2 \tan^{-1}\sqrt{2}$

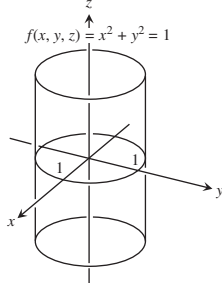
33.



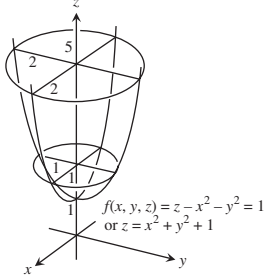
35.



37.



39.



41.  $\sqrt{x-y} - \ln z = 2$     43.  $\frac{x+y}{z} = \ln 2$     45. Evet, 2000  
47. 63 km

### Bölüm 14.2, Sayfa 982-984

1.  $5/2$     3.  $2\sqrt{6}$     5. 1    7.  $1/2$     9. 1    11. 0    13. 0

15.  $-1$     17. 2    19.  $1/4$     21.  $19/12$     23. 2    25. 3

27. (a) Her  $(x, y)$     (b)  $(0, 0)$  hariç her  $(x, y)$

29. (a)  $x=0$  veya  $y=0$  hariç her  $(x, y)$     (b) Her  $(x, y)$

31. (a) Her  $(x, y, z)$     (b)  $x^2 + y^2 = 1$  silindirinin içindekiler hariç her  $(x, y, z)$

33. (a)  $z \neq 0$  ile her  $(x, y, z)$     (b)  $x^2 + z^2 \neq 1$  ile her  $(x, y, z)$

35.  $y=x$ ,  $x > 0$  boyunca ve  $y=x$ ,  $x < 0$  boyunca olan yolları ele alın

37.  $k$  bir sabit olmak üzere  $y=kx^2$  yollarını ele alın

39.  $m$  bir sabit ve  $m \neq -1$  olmak üzere,  $y=mx$  yollarını ele alın

41.  $k$  bir sabit ve  $k \neq 0$  olmak üzere  $y=kx^2$  yollarını ele alın

43. Hayır    45. Limit 1'dir    47. Limit 0'dır

49. (a)  $\tan \theta = m$  olmak üzere  $f(x, y)|_{y=mx} = \sin 2\theta$     51. 0

53. Yoktur    55.  $\pi/2$     57.  $f(0, 0) = \ln 3$

59.  $\delta = 0.1$     61.  $\delta = 0.005$     63.  $\delta = \sqrt{0.015}$

65.  $\delta = 0.005$

### Bölüm 14.3, Sayfa 994-996

1.  $\frac{\partial f}{\partial x} = 4x$ ,  $\frac{\partial f}{\partial y} = -3$     3.  $\frac{\partial f}{\partial x} = 2x(y+2)$ ,  $\frac{\partial f}{\partial y} = x^2 - 1$

5.  $\frac{\partial f}{\partial x} = 2y(xy-1)$ ,  $\frac{\partial f}{\partial y} = 2x(xy-1)$

7.  $\frac{\partial f}{\partial x} = \frac{x}{\sqrt{x^2 + y^2}}$ ,  $\frac{\partial f}{\partial y} = \frac{y}{\sqrt{x^2 + y^2}}$

9.  $\frac{\partial f}{\partial x} = \frac{-1}{(x+y)^2}$ ,  $\frac{\partial f}{\partial y} = \frac{-1}{(x+y)^2}$

11.  $\frac{\partial f}{\partial x} = \frac{-y^2 - 1}{(xy - 1)^2}$ ,  $\frac{\partial f}{\partial y} = \frac{-x^2 - 1}{(xy - 1)^2}$

13.  $\frac{\partial f}{\partial x} = e^{x+y+1}$ ,  $\frac{\partial f}{\partial y} = e^{x+y+1}$     15.  $\frac{\partial f}{\partial x} = \frac{1}{x+y}$ ,  $\frac{\partial f}{\partial y} = \frac{1}{x+y}$

17.  $\frac{\partial f}{\partial x} = 2 \sin(x - 3y) \cos(x - 3y)$ ,

$\frac{\partial f}{\partial y} = -6 \sin(x - 3y) \cos(x - 3y)$

19.  $\frac{\partial f}{\partial x} = yx^{y-1}$ ,  $\frac{\partial f}{\partial y} = x^y \ln x$     21.  $\frac{\partial f}{\partial x} = -g(x)$ ,  $\frac{\partial f}{\partial y} = g(y)$

23.  $f_x = y^2$ ,  $f_y = 2xy$ ,  $f_z = -4z$

25.  $f_x = 1$ ,  $f_y = -y(y^2 + z^2)^{-1/2}$ ,  $f_z = -z(y^2 + z^2)^{-1/2}$

27.  $f_x = \frac{yz}{\sqrt{1-x^2y^2z^2}}$ ,  $f_y = \frac{xz}{\sqrt{1-x^2y^2z^2}}$ ,  $f_z = \frac{xy}{\sqrt{1-x^2y^2z^2}}$

29.  $f_x = \frac{1}{x+2y+3z}$ ,  $f_y = \frac{2}{x+2y+3z}$ ,  $f_z = \frac{3}{x+2y+3z}$

31.  $f_x = -2xe^{-(x^2+y^2+z^2)}$ ,  $f_y = -2ye^{-(x^2+y^2+z^2)}$ ,  $f_z = -2ze^{-(x^2+y^2+z^2)}$

33.  $f_x = \operatorname{sech}^2(x+2y+3z)$ ,  $f_y = 2 \operatorname{sech}^2(x+2y+3z)$ ,  
 $f_z = 3 \operatorname{sech}^2(x+2y+3z)$

35.  $\frac{\partial f}{\partial t} = -2\pi \sin(2\pi t - \alpha)$ ,  $\frac{\partial f}{\partial \alpha} = \sin(2\pi t - \alpha)$

37.  $\frac{\partial h}{\partial \rho} = \sin \phi \cos \theta$ ,  $\frac{\partial h}{\partial \phi} = \rho \cos \phi \cos \theta$ ,  $\frac{\partial h}{\partial \theta} = -\rho \sin \phi \sin \theta$

39.  $W_P(P, V, \delta, v, g) = V$ ,  $W_V(P, V, \delta, v, g) = P + \frac{\delta v^2}{2g}$ ,

$W_\delta(P, V, \delta, v, g) = \frac{Vv^2}{2g}$ ,  $W_v(P, V, \delta, v, g) = \frac{V\delta v}{g}$ ,

$W_g(P, V, \delta, v, g) = -\frac{V\delta v^2}{2g^2}$

41.  $\frac{\partial f}{\partial x} = 1 + y$ ,  $\frac{\partial f}{\partial y} = 1 + x$ ,  $\frac{\partial^2 f}{\partial x^2} = 0$ ,  $\frac{\partial^2 f}{\partial y^2} = 0$ ,

$\frac{\partial^2 f}{\partial y \partial x} = \frac{\partial^2 f}{\partial x \partial y} = 1$

43.  $\frac{\partial g}{\partial x} = 2xy + y \cos x$ ,  $\frac{\partial g}{\partial y} = x^2 - \sin y + \sin x$ ,

$\frac{\partial^2 g}{\partial x^2} = 2y - y \sin x$ ,  $\frac{\partial^2 g}{\partial y^2} = -\cos y$ ,

$\frac{\partial^2 g}{\partial y \partial x} = \frac{\partial^2 g}{\partial x \partial y} = 2x + \cos x$

45.  $\frac{\partial r}{\partial x} = \frac{1}{x+y}$ ,  $\frac{\partial r}{\partial y} = \frac{1}{x+y}$ ,  $\frac{\partial^2 r}{\partial x^2} = \frac{-1}{(x+y)^2}$ ,  $\frac{\partial^2 r}{\partial y^2} = \frac{-1}{(x+y)^2}$

$\frac{\partial^2 r}{\partial y \partial x} = \frac{\partial^2 r}{\partial x \partial y} = \frac{-1}{(x+y)^2}$

47.  $\frac{\partial w}{\partial x} = \frac{2}{2x+3y}$ ,  $\frac{\partial w}{\partial y} = \frac{3}{2x+3y}$ ,  $\frac{\partial^2 w}{\partial y \partial x} = \frac{\partial^2 w}{\partial x \partial y} = \frac{-6}{(2x+3y)^2}$

49.  $\frac{\partial w}{\partial x} = y^2 + 2xy^3 + 3x^2y^4, \frac{\partial w}{\partial y} = 2xy + 3x^2y^2 + 4x^3y^3,$

$$\frac{\partial^2 w}{\partial y \partial x} = \frac{\partial^2 w}{\partial x \partial y} = 2y + 6xy^2 + 12x^2y^3$$

51. (a) önce  $x$  (b) önce  $y$  (c) önce  $x$

(d) önce  $x$  (e) önce  $y$  (f) önce  $y$

53.  $f_x(1, 2) = -13, f_y(1, 2) = -2 \quad 55. 12 \quad 57. -2$

59.  $\frac{\partial A}{\partial a} = \frac{a}{bc \sin A}, \frac{\partial A}{\partial b} = \frac{c \cos A - b}{bc \sin A} \quad 61. v_x = \frac{\ln v}{(\ln u)(\ln v) - 1}$

77. Evet

#### Bölüm 14.4, Sayfa 1003-1005

1. (a)  $\frac{dw}{dt} = 0, \quad$  (b)  $\frac{dw}{dt}(\pi) = 0$

3. (a)  $\frac{dw}{dt} = 1, \quad$  (b)  $\frac{dw}{dt}(3) = 1$

5. (a)  $\frac{dw}{dt} = 4t \tan^{-1} t + 1, \quad$  (b)  $\frac{dw}{dt}(1) = \pi + 1$

7. (a)  $\frac{\partial z}{\partial u} = 4 \cos v \ln(u \sin v) + 4 \cos v,$   
 $\frac{\partial z}{\partial v} = -4u \sin v \ln(u \sin v) + \frac{4u \cos^2 v}{\sin v}$

(b)  $\frac{\partial z}{\partial u} = \sqrt{2}(\ln 2 + 2), \frac{\partial z}{\partial v} = -2\sqrt{2}(\ln 2 - 2)$

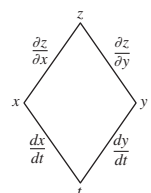
9. (a)  $\frac{\partial w}{\partial u} = 2u + 4uv, \frac{\partial w}{\partial v} = -2v + 2u^2$

(b)  $\frac{\partial w}{\partial u} = 3, \frac{\partial w}{\partial v} = -\frac{3}{2}$

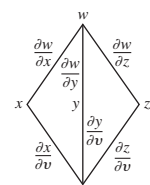
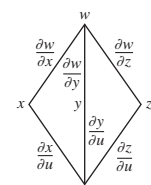
11. (a)  $\frac{\partial u}{\partial x} = 0, \frac{\partial u}{\partial y} = \frac{z}{(z-y)^2}, \frac{\partial u}{\partial z} = \frac{-y}{(z-y)^2}$

(b)  $\frac{\partial u}{\partial x} = 0, \frac{\partial u}{\partial y} = 1, \frac{\partial u}{\partial z} = -2$

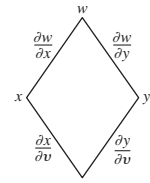
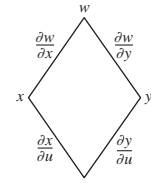
13.  $\frac{dz}{dt} = \frac{\partial z}{\partial x} \frac{dx}{dt} + \frac{\partial z}{\partial y} \frac{dy}{dt}$



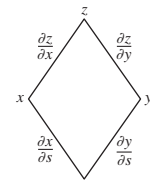
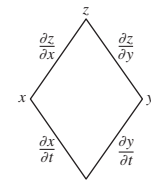
15.  $\frac{\partial w}{\partial u} = \frac{\partial w}{\partial x} \frac{\partial x}{\partial u} + \frac{\partial w}{\partial y} \frac{\partial y}{\partial u} + \frac{\partial w}{\partial z} \frac{\partial z}{\partial u},$   
 $\frac{\partial w}{\partial v} = \frac{\partial w}{\partial x} \frac{\partial x}{\partial v} + \frac{\partial w}{\partial y} \frac{\partial y}{\partial v} + \frac{\partial w}{\partial z} \frac{\partial z}{\partial v}$



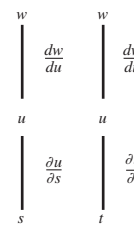
17.  $\frac{\partial w}{\partial u} = \frac{\partial w}{\partial x} \frac{\partial x}{\partial u} + \frac{\partial w}{\partial y} \frac{\partial y}{\partial u}, \frac{\partial w}{\partial v} = \frac{\partial w}{\partial x} \frac{\partial x}{\partial v} + \frac{\partial w}{\partial y} \frac{\partial y}{\partial v}$



19.  $\frac{\partial z}{\partial t} = \frac{\partial z}{\partial x} \frac{\partial x}{\partial t} + \frac{\partial z}{\partial y} \frac{\partial y}{\partial t}, \frac{\partial z}{\partial s} = \frac{\partial z}{\partial x} \frac{\partial x}{\partial s} + \frac{\partial z}{\partial y} \frac{\partial y}{\partial s}$

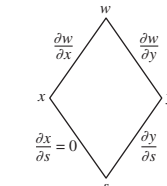
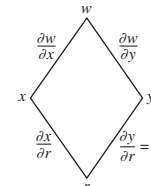


21.  $\frac{\partial w}{\partial s} = \frac{dw}{du} \frac{\partial u}{\partial s}, \frac{\partial w}{\partial t} = \frac{dw}{du} \frac{\partial u}{\partial t}$



23.  $\frac{\partial w}{\partial r} = \frac{\partial w}{\partial x} \frac{dx}{dr} + \frac{\partial w}{\partial y} \frac{dy}{dr} = \frac{\partial w}{\partial x} \frac{dx}{dr}$  olduğundan  $\frac{dy}{ds} = 0$

$\frac{\partial w}{\partial s} = \frac{\partial w}{\partial x} \frac{dx}{ds} + \frac{\partial w}{\partial y} \frac{dy}{ds} = \frac{\partial w}{\partial y} \frac{dy}{ds}$  olduğundan  $\frac{dx}{ds} = 0$



25. 4/3    27. -4/5    29.  $\frac{\partial z}{\partial x} = \frac{1}{4}, \frac{\partial z}{\partial y} = -\frac{3}{4}$

31.  $\frac{\partial z}{\partial x} = -1, \frac{\partial z}{\partial y} = -1 \quad 33. 12 \quad 35. -7$

37.  $\frac{\partial z}{\partial u} = 2, \frac{\partial z}{\partial v} = 1 \quad 39. -0.00005 \text{ amps/sn}$

45.  $(\cos 1, \sin 1, 1)$  ve  $(\cos(-2), \sin(-2), -2)$

47. (a)  $\left(\frac{\sqrt{2}}{2}, \frac{\sqrt{2}}{2}\right)$  ve  $\left(-\frac{\sqrt{2}}{2}, -\frac{\sqrt{2}}{2}\right)$  'de maksimum,

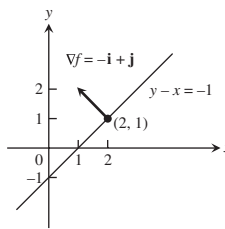
$\left(-\frac{\sqrt{2}}{2}, \frac{\sqrt{2}}{2}\right)$  ve  $\left(\frac{\sqrt{2}}{2}, -\frac{\sqrt{2}}{2}\right)$  'de minimum

(b) Max = 6, min = 2

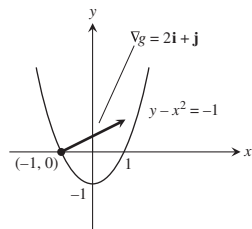
49.  $2x\sqrt{x^8 + x^3} + \int_0^{x^2} \frac{3x^2}{2\sqrt{t^4 + x^3}} dt$

### Bölüm 14.5, Sayfa 1013-1014

1.



3.



5.  $\nabla f = 3i + 2j - 4k \quad 7. \nabla f = -\frac{26}{27}i + \frac{23}{54}j - \frac{23}{54}k$

9. -4    11. 31/13    13. 3    15. 2

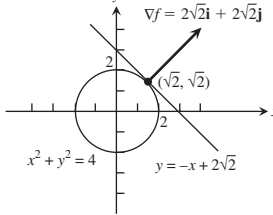
17.  $\mathbf{u} = -\frac{1}{\sqrt{2}}\mathbf{i} + \frac{1}{\sqrt{2}}\mathbf{j}, (D_{\mathbf{u}}f)_{P_0} = \sqrt{2}; -\mathbf{u} = \frac{1}{\sqrt{2}}\mathbf{i} - \frac{1}{\sqrt{2}}\mathbf{j}, (D_{-\mathbf{u}}f)_{P_0} = -\sqrt{2}$

19.  $-\frac{\pi}{4}\mathbf{te}\frac{1}{\sqrt{3}}\mathbf{i} - \frac{5}{3\sqrt{3}}\mathbf{j} - \frac{\pi}{4}\mathbf{te}\frac{1}{\sqrt{3}}\mathbf{k}, (D_{\mathbf{u}}f)_{P_0} = 3\sqrt{3};$   
 $-\mathbf{u} = -\frac{1}{3\sqrt{3}}\mathbf{i} + \frac{5}{3\sqrt{3}}\mathbf{j} + \frac{1}{3\sqrt{3}}\mathbf{k}, (D_{-\mathbf{u}}f)_{P_0} = -3\sqrt{3}$

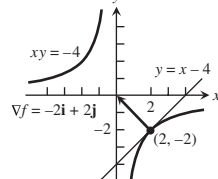
21.  $\mathbf{u} = \frac{1}{\sqrt{3}}(\mathbf{i} + \mathbf{j} + \mathbf{k}), (D_{\mathbf{u}}f)_{P_0} = 2\sqrt{3};$

$-\mathbf{u} = -\frac{1}{\sqrt{3}}(\mathbf{i} + \mathbf{j} + \mathbf{k}), (D_{-\mathbf{u}}f)_{P_0} = -2\sqrt{3}$

23.



25.



27.  $\mathbf{u} = \frac{7}{\sqrt{53}}\mathbf{i} - \frac{2}{\sqrt{53}}\mathbf{j}, -\mathbf{u} = -\frac{7}{\sqrt{53}}\mathbf{i} + \frac{2}{\sqrt{53}}\mathbf{j}$

29. Hayır, Değişimin maksimum hızı  $\sqrt{185} < 14$  tür.

31.  $-\frac{7}{\sqrt{5}}$

### Bölüm 14.6, Sayfa 1024-1027

1. (a)  $x + y + z = 3$

(b)  $x = 1 + 2t, y = 1 + 2t, z = 1 + 2t$

3. (a)  $2x - z - 2 = 0 \quad$  (b)  $x = 2 - 4t, y = 0, z = 2 + 2t$

5. (a)  $2x + 2y + z - 4 = 0$

(b)  $x = 2t, y = 1 + 2t, z = 2 + t$

7. (a)  $x + y + z - 1 = 0 \quad$  (b)  $x = t, y = 1 + t, z = t$

9.  $2x - z - 2 = 0 \quad$  11.  $x - y + 2z - 1 = 0$

13.  $x = 1, y = 1 + 2t, z = 1 - 2t$

15.  $x = 1 - 2t, y = 1, z = \frac{1}{2} + 2t$

17.  $x = 1 + 90t, y = 1 - 90t, z = 3$

19.  $df = \frac{9}{11,830} \approx 0.0008 \quad$  21.  $dg = 0$

23. (a)  $\frac{\sqrt{3}}{2} \sin \sqrt{3} - \frac{1}{2} \cos \sqrt{3} \approx 0.935^\circ\text{C/ft}$   
(b)  $\sqrt{3} \sin \sqrt{3} - \cos \sqrt{3} \approx 1.87^\circ\text{C/sec}$

25. (a)  $L(x, y) = 1 \quad$  (b)  $L(x, y) = 2x + 2y - 1$

27. (a)  $L(x, y) = 3x - 4y + 5 \quad$  (b)  $L(x, y) = 3x - 4y + 5$

29. (a)  $L(x, y) = 1 + x \quad$  (b)  $L(x, y) = -y + \frac{\pi}{2}$

31.  $L(x, y) = 7 + x - 6y; 0.06 \quad$  33.  $L(x, y) = x + y + 1; 0.08$

35.  $L(x, y) = 1 + x; 0.0222$

37. (a)  $L(x, y, z) = 2x + 2y + 2z - 3 \quad$  (b)  $L(x, y, z) = y + z$   
(c)  $L(x, y, z) = 0$

39. (a)  $L(x, y, z) = x \quad$  (b)  $L(x, y, z) = \frac{1}{\sqrt{2}}x + \frac{1}{\sqrt{2}}y$

(c)  $L(x, y, z) = \frac{1}{3}x + \frac{2}{3}y + \frac{2}{3}z$

41. (a)  $L(x, y, z) = 2 + x$

(b)  $L(x, y, z) = x - y - z + \frac{\pi}{2} + 1$

(c)  $L(x, y, z) = x - y - z + \frac{\pi}{2} + 1$

43.  $L(x, y, z) = 2x - 6y - 2z + 6, 0.0024$

45.  $L(x, y, z) = x + y - z - 1, 0.00135$

47. Maksimum hata (öngörü) büyülüklük olarak  $\leq 0.31$ 'dir.

49. Maximum yüzde hata  $= \% \pm 4.83$

51. İki boyuttan küçük olanına daha çok dikkat edin. Daha büyük kısmı türev üretecektir.

53. (a) %0.30    55.  $f$  'deki değişime daha duyarlıdır.

57.  $Q, h$  'deki değişime daha duyarlıdır.

61.  $-\frac{\pi}{4}, -\frac{\pi}{2\sqrt{2}}$ ; 0'da 0;  $\frac{\pi}{4}, \frac{\pi}{2\sqrt{2}}$

## Bölüm 14.7, Sayfa 1034-1038

1.  $f(-3, 3) = -5$ , yerel minimum

3.  $f\left(\frac{2}{3}, \frac{4}{3}\right) = 0$ , yerel maksimum 5.  $f(-2, 1)$ , eyer noktası

7.  $f\left(\frac{6}{5}, \frac{69}{25}\right)$ , eyer noktası 9.  $f(2, 1)$ , eyer noktası

11.  $f(2, -1) = -6$ , yerel minimum 13.  $f(1, 2)$ , eyer noktası

15.  $f(0, 0)$ , eyer noktası

17.  $f(0, 0)$ , saddle point;  $f\left(-\frac{2}{3}, \frac{2}{3}\right) = \frac{170}{27}$ , yerel maksimum

19.  $f(0, 0) = 0$ , yerel minimum;  $f(1, -1)$ , eyer noktası

21.  $f(0, 0)$ , eyer noktası;  $f\left(\frac{4}{9}, \frac{4}{3}\right) = -\frac{64}{81}$ , yerel minimum

23.  $f(0, 0)$ , eyer noktası;  $f(0, 2) = -12$ , yerel minimum;  $f(-2, 0) = -4$ , yerel maksimum;  $f(-2, 2)$ , eyer noktası

25.  $f(0, 0)$ , eyer noktası;  $f(1, 1) = 2$ ,  $f(-1, -1) = 2$ , yerel maksimumlar

27.  $f(0, 0) = -1$  yerel maksimum

29.  $f(n\pi, 0)$ , eyer noktası;  $f(n\pi, 0) = 0$  her  $n$  için

31. Mutlak maksimum: 1 at  $(0, 0)$ ; mutlak minimum:  $(1, 2)$ 'de  $-5$

33. Mutlak maksimum: 4 at  $(0, 2)$ ; mutlak minimum:  $(0, 0)$ 'da 0

35. Mutlak maksimum: 11 at  $(0, -3)$ ; mutlak minimum:  $(4, -2)$ 'de  $-10$

37. Mutlak maksimum:  $(2, 0)$ 'da 4; mutlak minimum:

$$\left(3, -\frac{\pi}{4}\right), \left(3, \frac{\pi}{4}\right), \left(1, -\frac{\pi}{4}\right), \text{ ve } \left(1, \frac{\pi}{4}\right) \text{ te } \frac{3\sqrt{2}}{2}$$

39.  $a = -3, b = 2$

41. En sıcak:  $\left(-\frac{1}{2}, \frac{\sqrt{3}}{2}\right)$  ve  $\left(-\frac{1}{2}, -\frac{\sqrt{3}}{2}\right)$  'de  $2\frac{1}{4}^\circ$ ; en soğuk:  $\left(\frac{1}{2}, 0\right)$ 'da  $-\frac{1}{4}^\circ$

43. (a)  $f(0, 0)$ , eyer noktası (b)  $f(1, 2)$ , yerel minimum

(c)  $f(1, -2)$ , yerel minimum;  $f(-1, -2)$ , seyer noktası

$$\left(\frac{1}{6}, \frac{1}{3}, \frac{355}{36}\right)$$

53. (a) Yarım çember üzerinde,  $t = \pi/4$ 'te maks  $f = 2\sqrt{2}$ ,

$t = \pi$ 'de min  $f = -2$ . Çeyrek çemberde,  $t = \pi/4$ 'te

maks  $f = 2\sqrt{2}$ ,  $t = 0, \pi/2$ 'de min  $f = 2$ .

(b) Yarım çember üzerinde,  $t = \pi/4$ 'te maks  $g = 2$ ,  $t = 3\pi/4$ 'te min  $g = -2$ . Çeyrek çemberde,  $t = \pi/4$ 'te maks  $g = 2$ ,  $t = 0, \pi/2$ 'de min  $g = 0$ .

(c) Yarım çember üzerinde,  $t = 0$ 'da maks  $h = 8$ ;  $t = \pi/2$ 'de min  $h = 4$ . Çeyrek çemberde,  $t = 0$ 'da maks  $h = 8$ ,  $t = \pi/2$ 'de min  $h = 4$ .

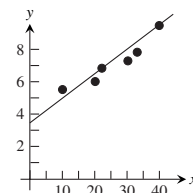
55. i)  $\min f = -1/2$  at  $t = -1/2$ ; no max ii)  $\max f = 0$  at  $t = -1, 0$ ;  $\min f = -1/2$  at  $t = -1/2$  iii)  $\max f = 4$  at

$t = 1$ ;  $\min f = 0$   $t = -1/2$ 'de  $\min f = -1/2$ ; maks yok  
ii)  $t = -1, 0$ 'da maks  $f = 0$ ;  $t = -1/2$ 'de  $\min f = -1/2$   
iii)  $t = 1$ 'de max  $f = 4$ ;  $t = 0$ 'da  $\min f = 0$ .

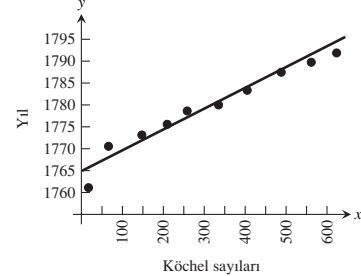
57.  $y = -\frac{20}{13}x + \frac{9}{13}$ ,  $y|_{x=4} = -\frac{71}{13}$

59.  $y = \frac{3}{2}x + \frac{1}{6}$ ,  $y|_{x=4} = \frac{37}{6}$

61.  $y = 0.122x + 3.59$



63. (a)



(b)  $y = 0.0427K + 1764.8$  (c) 1780

## Bölüm 14.8, Sayfa 1047-1049

1.  $\left(\pm\frac{1}{\sqrt{2}}, \frac{1}{2}\right), \left(\pm\frac{1}{\sqrt{2}}, -\frac{1}{2}\right)$  3. 39 5.  $(3, \pm 3\sqrt{2})$

7. (a) 8 (b) 64

9.  $r = 2$  cm,  $h = 4$  cm 11. Uzunluk  $= 4\sqrt{2}$ , genişlik  $= 3\sqrt{2}$

13.  $f(0, 0) = 0$  minimum,  $f(2, 4) = 20$  maksimum.

15. En düşük  $= 0^\circ$ , en büyük  $= 125^\circ$

17.  $\left(\frac{3}{2}, 2, \frac{5}{2}\right)$  19. 1 21.  $(0, 0, 2), (0, 0, -2)$

23.  $f(1, -2, 5) = 30$  maksimum,  $f(-1, 2, -5) = -30$  minimum.

25. 3, 3, 3 27.  $\frac{2}{\sqrt{3}}$  by  $\frac{2}{\sqrt{3}}$  by  $\frac{2}{\sqrt{3}}$  birim

29.  $(\pm 4/3, -4/3, -4/3)$  31.  $U(8, 14) = \$128$

33.  $f(2/3, 4/3, -4/3) = \frac{4}{3}$  35.  $(2, 4, 4)$

37. Maksimum  $(\pm\sqrt{6}, \sqrt{3}, 1)$  'de  $1 + 6\sqrt{3}$ , minimum;  $(\pm\sqrt{6}, -\sqrt{3}, 1)$  'de  $1 - 6\sqrt{3}$

39. Maksimum  $(0, 0 \pm 2)$  da 4, minimum  $(\pm\sqrt{2}, \pm\sqrt{2}, 0)$  'da 2

## Bölüm 14.9, Sayfa 1053-1054

1. (a) 0 (b)  $1 + 2z$  (c)  $1 + 2z$

3. (a)  $\frac{\partial U}{\partial P} + \frac{\partial U}{\partial T} \left( \frac{V}{nR} \right)$  (b)  $\frac{\partial U}{\partial P} \left( \frac{nR}{V} \right) + \frac{\partial U}{\partial T}$

5. (a) 5 (b) 5

7.  $\left( \frac{\partial x}{\partial r} \right)_\theta = \cos \theta$

$$\left( \frac{\partial r}{\partial x} \right)_y = \frac{x}{\sqrt{x^2 + y^2}}$$

#### Bölüm 14.10, Sayfa 1058–1059

1. Kuadratik:  $x + xy$ ; kübik:  $x + xy + \frac{1}{2}xy^2$

3. Kuadratik:  $xy$ ; kübik:  $xy$

5. Kuadratik:  $y + \frac{1}{2}(2xy - y^2)$ ;

kübik:  $y + \frac{1}{2}(2xy - y^2) + \frac{1}{6}(3x^2y - 3xy^2 + 2y^3)$

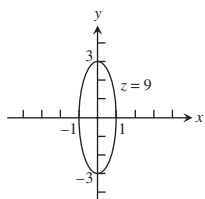
7. Kuadratik:  $\frac{1}{2}(2x^2 + 2y^2) = x^2 + y^2$ ; kübik:  $x^2 + y^2$

9. Kuadratik:  $1 + (x + y) + (x + y)^2$ ;  
kübik:  $1 + (x + y) + (x + y)^2 + (x + y)^3$

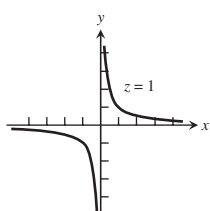
11. Kuadratik:  $1 - \frac{1}{2}x^2 - \frac{1}{2}y^2$ ;  $E(x, y) \leq 0.00134$

#### Problemler, Sayfa 1060–1063

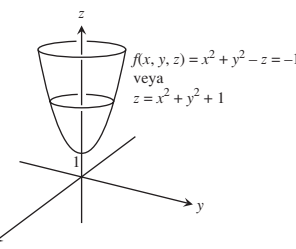
1. Tanım kümesi:  $xy$ -düzlemindeki bütün noktalar; değer kümesi:  $z \geq 0$ . Seviye eğrileri, büyük eksenleri  $y$ -ekseninde ve küçük eksenleri  $x$ -ekseninde olan elipslerdir.



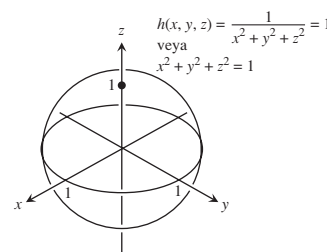
3. Tanım kümesi:  $x \neq 0$  ve  $y \neq 0$  olmak üzere her  $(x, y)$ ; değer kümesi:  $z \neq 0$ . Seviye eğrileri, asimptotları  $x$ - ve  $y$ -eksenleri olan hiperbollerdir.



5. Tanım kümesi:  $xyz$ -uzayının her noktası; değer kümesi: bütün reel sayılar. Seviye yüzeyleri, eksenleri  $z$ -ekseni olan dönel paraboloidlerdir.



7. Tanım kümesi:  $(x, y, z) \neq (0, 0, 0)$  olmak üzere her  $(x, y, z)$ ; değer kümesi: pozitif reel sayılar. Seviye yüzeyleri, merkezleri  $(0, 0, 0)$ 'da olan ve yarıçapı  $r > 0$  olan küreleremdir.



9. -2 11. 1/2 13. 1 15.  $y = kx^2$ ,  $k \neq 1$  olsun.

17. Hayır;  $\lim_{(x,y) \rightarrow (0,0)} f(x, y)$  yoktur.

19.  $\frac{\partial g}{\partial r} = \cos \theta + \sin \theta$ ,  $\frac{\partial g}{\partial \theta} = -r \sin \theta + r \cos \theta$

21.  $\frac{\partial f}{\partial R_1} = -\frac{1}{R_1^2}$ ,  $\frac{\partial f}{\partial R_2} = -\frac{1}{R_2^2}$ ,  $\frac{\partial f}{\partial R_3} = -\frac{1}{R_3^2}$

23.  $\frac{\partial P}{\partial n} = \frac{RT}{V}, \frac{\partial P}{\partial R} = \frac{nT}{V}, \frac{\partial P}{\partial T} = \frac{nR}{V}, \frac{\partial P}{\partial V} = -\frac{nRT}{V^2}$

25.  $\frac{\partial^2 g}{\partial x^2} = 0$ ,  $\frac{\partial^2 g}{\partial y^2} = \frac{2x}{y^3}$ ,  $\frac{\partial^2 g}{\partial y \partial x} = \frac{\partial^2 g}{\partial x \partial y} = -\frac{1}{y^2}$

27.  $\frac{\partial^2 f}{\partial x^2} = -30x + \frac{2 - 2x^2}{(x^2 + 1)^2}$ ,  $\frac{\partial^2 f}{\partial y^2} = 0$ ,  $\frac{\partial^2 f}{\partial y \partial x} = \frac{\partial^2 f}{\partial x \partial y} = 1$

29.  $\frac{dw}{dt} \Big|_{t=0} = -1$

31.  $\frac{dw}{dr} \Big|_{(r,s)=(\pi,0)} = 2$ ,  $\frac{\partial w}{\partial s} \Big|_{(r,s)=(\pi,0)} = 2 - \pi$

33.  $\frac{df}{dt} \Big|_{t=1} = -(\sin 1 + \cos 2)(\sin 1) + (\cos 1 + \cos 2)(\cos 1) - 2(\sin 1 + \cos 1)(\sin 2)$

35.  $\frac{dy}{dx} \Big|_{(x,y)=(0,1)} = -1$

37.  $\mathbf{u} = -\frac{\sqrt{2}}{2}\mathbf{i} - \frac{\sqrt{2}}{2}\mathbf{j}$  yönünde en hızlı artar;

$-\mathbf{u} = \frac{\sqrt{2}}{2}\mathbf{i} + \frac{\sqrt{2}}{2}\mathbf{j}$  yönünde en hızlı azalır;

$$\mathbf{u}_1 = \frac{\mathbf{v}}{|\mathbf{v}|} \text{ olmak üzere } D_{\mathbf{u}} f = \frac{\sqrt{2}}{2}; D_{-\mathbf{u}} f = -\frac{\sqrt{2}}{2}; \\ D_{\mathbf{u}_1} f = -\frac{7}{10}$$

39.  $\mathbf{u} = \frac{2}{7}\mathbf{i} + \frac{3}{7}\mathbf{j} + \frac{6}{7}\mathbf{k}$  yönünde en hızlı artar;

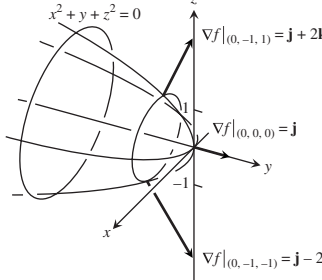
$-\mathbf{u} = -\frac{2}{7}\mathbf{i} - \frac{3}{7}\mathbf{j} - \frac{6}{7}\mathbf{k}$  yönünde en hızlı azalır;

$$\mathbf{u}_1 = \frac{\mathbf{v}}{|\mathbf{v}|} \text{ olmak üzere } D_{\mathbf{u}} f = 7; D_{-\mathbf{u}} f = -7; D_{\mathbf{u}_1} f = 7$$

41.  $\pi/\sqrt{2}$

43. (a)  $f_x(1, 2) = f_y(1, 2) = 2$  (b) 14/5

45.

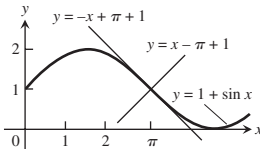


47. Teğet:  $4x - y - 5z = 4$ ; normal doğru:

$$x = 2 + 4t, y = -1 - t, z = 1 - 5t$$

49.  $2y - z - 2 = 0$

51. Teğet:  $x + y = \pi + 1$ ; normal doğru:  $y = x - \pi + 1$



53.  $x = 1 - 2t, y = 1, z = 1/2 + 2t$

55. Cevaplar  $|f_{xx}|, |f_{xy}|, |f_{yy}|$  için kullanılan üst sınıra bağlıdır.

$$M = \sqrt{2}/2, |E| \leq 0.0142 \text{ olur. } M = 1, |E| \leq 0.02 \text{ olur.}$$

57.  $L(x, y, z) = y - 3z, L(x, y, z) = x + y - z - 1$

59. Çapa daha fazla dikkat edin.

61.  $dI = \% 0.038$ ;  $I$ 'daki değişim = % 15.83, voltajdaki değişimini daha duyarlıdır.

63. (a) %5

65.  $(-2, -2)$ 'de -8 olan yerel minimum

67.  $(0, 0)$ 'da eyer noktası,  $f(0, 0) = 0; (-1/2, -1/2)$ 'de  $1/4$  olan yerel maksimum

69.  $(0, 0)$ 'da eyer noktası,  $f(0, 0) = 0; (0, 2)$ 'de -4 olan yerel minimum;  $(-2, 0)$ 'da 4 olan yerel maksimum;  $(-2, 2)$ 'de eyer noktası,  $f(-2, 2) = 0$

71. Mutlak maksimum:  $(0, 4)$ 'te 28; mutlak minimum:  $(3/2, 0)$ 'da  $-9/4$

73. Mutlak maksimum:  $(2, -2)$ 'de 18; mutlak minimum:  $(-2, 1/2)$ 'de  $-17/4$

75. Mutlak maksimum:  $(-2, 0)$ 'da 8; mutlak minimum:  $(1, 0)$ 'da -1

77. Mutlak maksimum:  $(1, 0)$ 'da 4, mutlak minimum:  $(0, -1)$ 'de -4

79. Mutlak maksimum:  $(0, \pm 1)$ 'de ve  $(1, 0)$ 'da 1, mutlak minimum:

$(-1, 0)$ 'da -1

81. Maksimum:  $(0, 1)$ 'de 5, minimum:  $(0 - 1/3)$ 'te  $-1/3$

83. Maksimum:  $\left(\frac{1}{\sqrt{3}}, -\frac{1}{\sqrt{3}}, \frac{1}{\sqrt{3}}\right)$ 'te  $\sqrt{3}$ ; minimum:

$$\left(-\frac{1}{\sqrt{3}}, \frac{1}{\sqrt{3}}, -\frac{1}{\sqrt{3}}\right) \text{ te } -\sqrt{3}$$

85. Genişlik =  $\left(\frac{c^2 V}{ab}\right)^{1/3}$ , Derinlik =  $\left(\frac{b^2 V}{ac}\right)^{1/3}$ , Yükseklik =  $\left(\frac{a^2 V}{bc}\right)^{1/3}$

87. Maksimum:  $\left(\frac{1}{\sqrt{2}}, \frac{1}{\sqrt{2}}, \sqrt{2}\right)$  ve  $\left(-\frac{1}{\sqrt{2}}, -\frac{1}{\sqrt{2}}, -\sqrt{2}\right)$ 'de  $\frac{3}{2}$   
minimum:  $\left(-\frac{1}{\sqrt{2}}, \frac{1}{\sqrt{2}}, -\sqrt{2}\right)$  ve  $\left(\frac{1}{\sqrt{2}}, -\frac{1}{\sqrt{2}}, \sqrt{2}\right)$ 'de  $\frac{1}{2}$

89. (a)  $(2y + x^2 z)e^{yz}$  (b)  $x^2 e^{yz} \left(y - \frac{z}{2y}\right)$   
(c)  $(1 + x^2 y)e^{yz}$

$$91. \frac{\partial w}{\partial x} = \cos \theta \frac{\partial w}{\partial r} - \frac{\sin \theta}{r} \frac{\partial w}{\partial \theta}, \frac{\partial w}{\partial y} = \sin \theta \frac{\partial w}{\partial r} + \frac{\cos \theta}{r} \frac{\partial w}{\partial \theta}$$

97.  $(t, -t \pm 4, t)$ ,  $t$  reel bir sayı

### Ek ve İleri Alıştırmalar, Sayfa 1063-1066

1.  $f_{xy}(0, 0) = -1, f_{yx}(0, 0) = 1$

7. (c)  $\frac{r^2}{2} = \frac{1}{2}(x^2 + y^2 + z^2)$  13.  $V = \frac{\sqrt{3}abc}{2}$

17.  $f(x, y) = \frac{y}{2} + 4, g(x, y) = \frac{x}{2} + \frac{9}{2}$

19.  $y = 2 \ln |\sin x| + \ln 2$

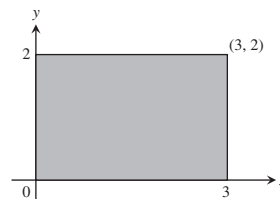
21. (a)  $\frac{1}{\sqrt{53}}(2\mathbf{i} + 7\mathbf{j})$  (b)  $\frac{-1}{\sqrt{29,097}}(98\mathbf{i} - 127\mathbf{j} + 58\mathbf{k})$

23.  $w = e^{-c^2 \pi^2 t} \sin \pi x$

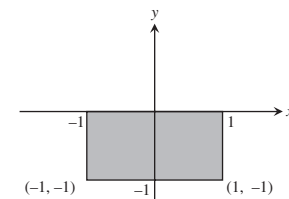
## BÖLÜM 15

### Bölüm 15.1, Sayfa 1079-1081

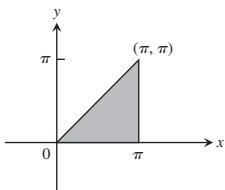
1. 16



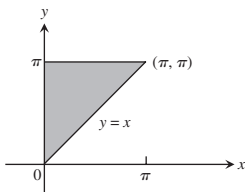
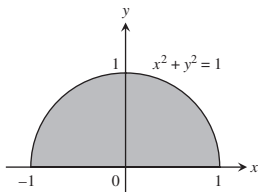
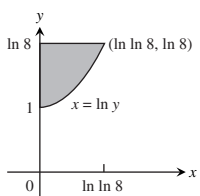
3. 1



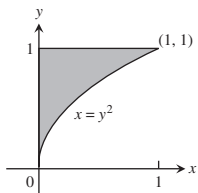
5.  $\frac{\pi^2}{2} + 2$



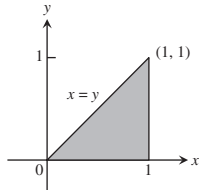
7.  $8 \ln 8 - 16 + e$



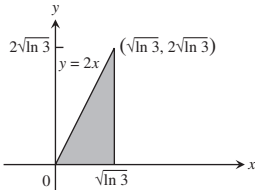
9.  $e - 2$



33.  $\frac{e - 2}{2}$

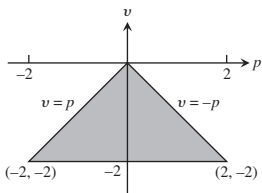


35. 2

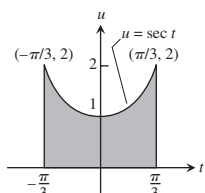


11.  $\frac{3}{2} \ln 2$     13.  $1/6$     15.  $-1/10$

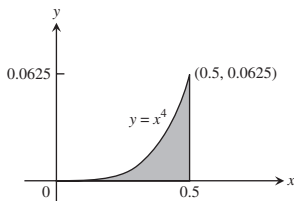
17. 8



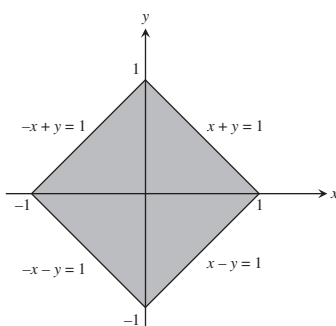
19.  $2\pi$



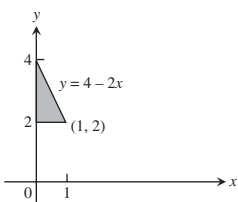
37.  $1/(80\pi)$



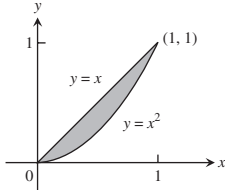
39.  $-2/3$



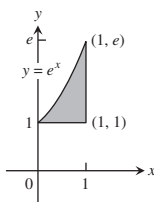
21.  $\int_2^4 \int_0^{(4-y)/2} dx dy$



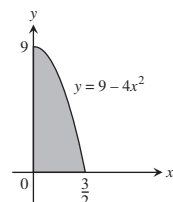
23.  $\int_0^1 \int_{x^2}^x dy dx$



25.  $\int_1^e \int_{\ln y}^1 dx dy$



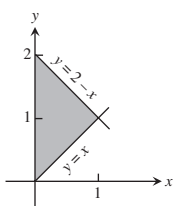
27.  $\int_0^9 \int_0^{(\sqrt{9-y})/2} 16x dx dy$



41.  $4/3$     43.  $625/12$     45. 16    47. 20    49.  $2(1 + \ln 2)$

51. 1    53.  $\pi^2$     55.  $-\frac{3}{32}$     57.  $\frac{20\sqrt{3}}{9}$

59.  $\int_0^1 \int_x^{2-x} (x^2 + y^2) dy dx = \frac{4}{3}$



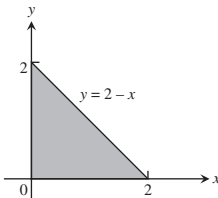
29.  $\int_{-1}^1 \int_0^{\sqrt{1-x^2}} 3y dy dx$

31. 2

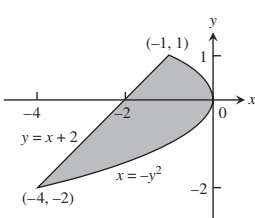
61.  $R, x^2 + 2y^2 < 4$ 'ü sağlayan  $(x, y)$  noktalarının kümesidir.  
 63. Hayır, Fubini Teoremine göre, iki integrasyon sırasının aynı sonucu vermesi gereklidir.  
 67. 0.603    69. 0.233

## Bölüm 15.2, Sayfa 1089–1091

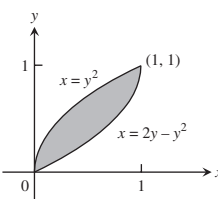
1.  $\int_0^2 \int_0^{2-x} dy dx = 2$  or  $\int_0^2 \int_0^{2-y} dx dy = 2$



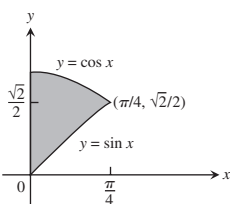
3.  $\int_{-2}^1 \int_{y-2}^{-y^2} dx dy = \frac{9}{2}$



7.  $\int_0^1 \int_{y^2}^{2y-y^2} dx dy = \frac{1}{3}$



11.  $\sqrt{2} - 1$



15. (a) 0    (b)  $4/\pi^2$     17.  $8/3$     19.  $\bar{x} = 5/14, \bar{y} = 38/35$

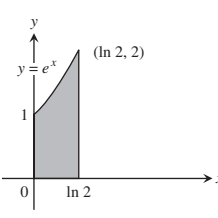
21.  $\bar{x} = 64/35, \bar{y} = 5/7$     23.  $\bar{x} = 0, \bar{y} = 4/(3\pi)$

25.  $\bar{x} = \bar{y} = 4a/(3\pi)$     27.  $I_x = I_y = 4\pi, I_0 = 8\pi$

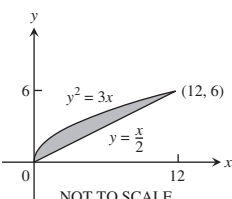
29.  $\bar{x} = -1, \bar{y} = 1/4$     31.  $I_x = 64/105, R_x = 2\sqrt{2}/7$

33.  $\bar{x} = 3/8, \bar{y} = 17/16$

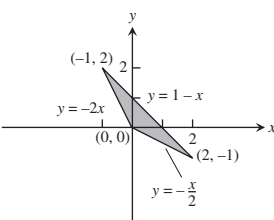
5.  $\int_0^{\ln 2} \int_0^{e^x} dy dx = 1$



9. 12



13.  $\frac{3}{2}$



35.  $\bar{x} = 11/3, \bar{y} = 14/27, I_y = 432, R_y = 4$   
 37.  $\bar{x} = 0, \bar{y} = 13/31, I_y = 7/5, R_y = \sqrt{21/31}$   
 39.  $\bar{x} = 0, \bar{y} = 7/10; I_x = 9/10, I_y = 3/10, I_0 = 6/5;$   
 $R_x = 3\sqrt{6}/10, R_y = 3\sqrt{2}/10, R_0 = 3\sqrt{2}/5$   
 41.  $40,000(1 - e^{-2})\ln(7/2) \approx 43,329$   
 43.  $0 < a \leq 5/2$  ise, düşmesi için aletin  $45^\circ$  den daha fazla döndürülmesi gereklidir.  
 45.  $(\bar{x}, \bar{y}) = (2/\pi, 0)$     47. (a)  $3/2$     (b) Aynındırlar  
 53. (a)  $(7/5, 31/10)$     (b)  $(19/7, 18/7)$     (c)  $(9/2, 19/8)$   
 (d)  $(11/4, 43/16)$   
 55. k.m.'nin ortak sınırda olması için,  $h = a\sqrt{2}$  dir. k.m.'nin  $T$ 'nin içinde olması için,  $h = a\sqrt{2}$  dir.

## Bölüm 15.3, Sayfa 1097–1098

1.  $\pi/2$     3.  $\pi/8$     5.  $\pi a^2$     7.  $36$     9.  $(1 - \ln 2)\pi$   
 11.  $(2 \ln 2 - 1)(\pi/2)$     13.  $(\pi/2) + 1$     15.  $\pi(\ln 4 - 1)$   
 17.  $2(\pi - 1)$     19.  $12\pi$     21.  $(3\pi/8) + 1$     23.  $4$   
 25.  $6\sqrt{3} - 2\pi$     27.  $\bar{x} = 5/6, \bar{y} = 0$     29.  $\frac{2a}{3}$     31.  $\frac{2a}{3}$   
 33.  $2\pi(2 - \sqrt{e})$     35.  $\frac{4}{3} + \frac{5\pi}{8}$     37. (a)  $\frac{\sqrt{\pi}}{2}$     (b)  $1$   
 39.  $\pi \ln 4$ , no    41.  $\frac{1}{2}(a^2 + 2h^2)$

## Bölüm 15.4, Sayfa 1106–1109

1.  $1/6$   
 3.  $\int_0^1 \int_0^{2-2x} \int_0^{3-3x-3y/2} dz dy dx, \int_0^2 \int_0^{1-y/2} \int_0^{3-3x-3y/2} dz dx dy,$   
 $\int_0^1 \int_0^{3-3x} \int_0^{2-2x-2z/3} dy dz dx, \int_0^3 \int_0^{1-z/3} \int_0^{2-2x-2z/3} dy dx dz,$   
 $\int_0^2 \int_0^{3-3y/2} \int_0^{1-y/2-z/3} dx dz dy,$   
 $\int_0^3 \int_0^{2-2z/3} \int_0^{1-y/2-z/3} dx dy dz.$

Altı integralin de değeri 1 dir.

5.  $\int_{-2}^2 \int_{-\sqrt{4-x^2}}^{\sqrt{4-x^2}} \int_{x^2+y^2}^{8-x^2-y^2} 1 dz dx dy, \int_{-2}^2 \int_{-\sqrt{4-y^2}}^{\sqrt{4-y^2}} \int_{x^2+y^2}^{8-x^2-y^2} 1 dz dx dy,$   
 $\int_{-2}^2 \int_{-4}^{8-y^2} \int_{-\sqrt{8-z-y^2}}^{\sqrt{8-z-y^2}} 1 dx dz dy + \int_{-2}^2 \int_{y^2}^4 \int_{-\sqrt{z-y^2}}^{\sqrt{z-y^2}} 1 dx dz dy,$   
 $\int_4^8 \int_{-\sqrt{8-z}}^{\sqrt{8-z}} \int_{-\sqrt{8-z-y^2}}^{\sqrt{8-z-y^2}} 1 dx dy dz + \int_0^4 \int_{-\sqrt{z}}^{\sqrt{z}} \int_{-\sqrt{z-y^2}}^{\sqrt{z-y^2}} 1 dx dy dz,$   
 $\int_{-2}^2 \int_{-4}^{8-x^2} \int_{-\sqrt{8-z-x^2}}^{\sqrt{8-z-x^2}} 1 dy dz dx + \int_{-2}^2 \int_{x^2}^4 \int_{-\sqrt{z-x^2}}^{\sqrt{z-x^2}} 1 dy dz dx,$

$$\int_4^8 \int_{-\sqrt{8-z}}^{\sqrt{8-z}} \int_{-\sqrt{8-z-x^2}}^{\sqrt{8-z-x^2}} 1 \, dy \, dx \, dz + \int_0^4 \int_{-\sqrt{z}}^{\sqrt{z}} \int_{-\sqrt{z-x^2}}^{\sqrt{z-x^2}} 1 \, dy \, dx \, dz.$$

Altı integralin de değeri  $16\pi$  dir.

7. 1    9. 1    11.  $\frac{\pi^3}{2}(1 - \cos 1)$     13. 18    15. 7/6

17. 0    19.  $\frac{1}{2} - \frac{\pi}{8}$

21. (a)  $\int_{-1}^1 \int_0^{1-x^2} \int_{x^2}^{1-z} dy \, dz \, dx$     (b)  $\int_0^1 \int_{-\sqrt{1-z}}^{\sqrt{1-z}} \int_{x^2}^{1-z} dy \, dx \, dz$   
 (c)  $\int_0^1 \int_0^{1-z} \int_{-\sqrt{y}}^{\sqrt{y}} dx \, dy \, dz$     (d)  $\int_0^1 \int_0^{1-y} \int_{-\sqrt{y}}^{\sqrt{y}} dx \, dz \, dy$   
 (e)  $\int_0^1 \int_{-\sqrt{y}}^{\sqrt{y}} \int_0^{1-y} dz \, dx \, dy$

23. 2/3    25. 20/3    27. 1    29. 16/3    31.  $8\pi - \frac{32}{3}$

33. 2    35.  $4\pi$     37. 31/3    39. 1    41.  $2 \sin 4$     43. 4

45.  $a = 3$  or  $a = 13/3$

47. Tanım kümesi,  $4x^2 + 4y^2 + z^2 \leq 4$ 'ü sağlayan bütün  $(x, y, z)$  noktalarıdır.

### Bölüm 15.5, Sayfa 1112-1114

1.  $R_x = \sqrt{\frac{b^2 + c^2}{12}}$ ,  $R_y = \sqrt{\frac{a^2 + c^2}{12}}$ ,  $R_z = \sqrt{\frac{a^2 + b^2}{12}}$

3.  $I_x = \frac{M}{3}(b^2 + c^2)$ ,  $I_y = \frac{M}{3}(a^2 + c^2)$ ,  $I_z = \frac{M}{3}(a^2 + b^2)$

5.  $\bar{x} = \bar{y} = 0$ ,  $\bar{z} = 12/5$ ,  $I_x = 7904/105 \approx 75.28$ ,  
 $I_y = 4832/63 \approx 76.70$ ,  $I_z = 256/45 \approx 5.69$

7. (a)  $\bar{x} = \bar{y} = 0$ ,  $\bar{z} = 8/3$     (b)  $c = 2\sqrt{2}$

9.  $I_L = 1386$ ,  $R_L = \sqrt{\frac{77}{2}}$     11.  $I_L = \frac{40}{3}$ ,  $R_L = \sqrt{\frac{5}{3}}$

13. (a) 4/3    (b)  $\bar{x} = 4/5$ ,  $\bar{y} = \bar{z} = 2/5$

15. (a) 5/2    (b)  $\bar{x} = \bar{y} = \bar{z} = 8/15$     (c)  $I_x = I_y = I_z = 11/6$

(d)  $R_x = R_y = R_z = \sqrt{\frac{11}{15}}$     17. 3    19. (a)  $\frac{4}{3}g$     (b)  $\frac{4}{3}g$

23. (a)  $I_{\text{c.m.}} = \frac{abc(a^2 + b^2)}{12}$ ,  $R_{\text{c.m.}} = \sqrt{\frac{a^2 + b^2}{12}}$

(b)  $I_L = \frac{abc(a^2 + 7b^2)}{3}$ ,  $R_L = \sqrt{\frac{a^2 + 7b^2}{3}}$

27. (a)  $h = a\sqrt{3}$     (b)  $h = a\sqrt{2}$

### Bölüm 15.6, Sayfa 1124-1128

1.  $\frac{4\pi(\sqrt{2} - 1)}{3}$     3.  $\frac{17\pi}{5}$     5.  $\pi(6\sqrt{2} - 8)$     7.  $\frac{3\pi}{10}$

9.  $\pi/3$

11. (a)  $\int_0^{2\pi} \int_0^1 \int_0^{\sqrt{4-r^2}} r \, dz \, dr \, d\theta$

(b)  $\int_0^{2\pi} \int_0^{\sqrt{3}} \int_0^1 r \, dr \, dz \, d\theta + \int_0^{2\pi} \int_{\sqrt{3}}^2 \int_0^{\sqrt{4-z^2}} r \, dr \, dz \, d\theta$

(c)  $\int_0^1 \int_0^{\sqrt{4-r^2}} \int_0^{2\pi} r \, d\theta \, dz \, dr$

13.  $\int_{-\pi/2}^{\pi/2} \int_0^{\cos \theta} \int_0^{3r^2} f(r, \theta, z) \, dz \, r \, dr \, d\theta$

15.  $\int_0^\pi \int_0^{2 \sin \theta} \int_0^{4-r \sin \theta} f(r, \theta, z) \, dz \, r \, dr \, d\theta$

17.  $\int_{-\pi/2}^{\pi/2} \int_1^{1+\cos \theta} \int_0^4 f(r, \theta, z) \, dz \, r \, dr \, d\theta$

19.  $\int_0^{\pi/4} \int_0^{\sec \theta} \int_0^{2-r \sin \theta} f(r, \theta, z) \, dz \, r \, dr \, d\theta$     21.  $\pi^2$     23.  $\pi/3$

25.  $5\pi$     27.  $2\pi$     29.  $\left(\frac{8 - 5\sqrt{2}}{2}\right)\pi$

31. (a)  $\int_0^{2\pi} \int_0^{\pi/6} \int_0^2 \rho^2 \sin \phi \, d\rho \, d\phi \, d\theta +$

$\int_0^{2\pi} \int_{\pi/6}^{\pi/2} \int_0^{\csc \phi} \rho^2 \sin \phi \, d\rho \, d\phi \, d\theta$

(b)  $\int_0^{2\pi} \int_1^2 \int_{\pi/6}^{\sin^{-1}(1/\rho)} \rho^2 \sin \phi \, d\rho \, d\phi \, d\theta + \int_0^{2\pi} \int_0^2 \int_0^{\pi/6} \rho^2 \sin \phi \, d\phi \, d\rho \, d\theta$

33.  $\int_0^{2\pi} \int_0^{\pi/2} \int_{\cos \phi}^2 \rho^2 \sin \phi \, d\rho \, d\phi \, d\theta = \frac{31\pi}{6}$

35.  $\int_0^{2\pi} \int_0^\pi \int_0^{1-\cos \phi} \rho^2 \sin \phi \, d\rho \, d\phi \, d\theta = \frac{8\pi}{3}$

37.  $\int_0^{2\pi} \int_{\pi/4}^{\pi/2} \int_0^{2 \cos \phi} \rho^2 \sin \phi \, d\rho \, d\phi \, d\theta = \frac{\pi}{3}$

39. (a)  $8 \int_0^{\pi/2} \int_0^{\pi/2} \int_0^2 \rho^2 \sin \phi \, d\rho \, d\phi \, d\theta$

(b)  $8 \int_0^{\pi/2} \int_0^2 \int_0^{\sqrt{4-r^2}} r \, dz \, dr \, d\theta$

- (c)  $8 \int_0^2 \int_0^{\sqrt{4-x^2}} \int_0^{\sqrt{4-x^2-y^2}} dz dy dx$
41. (a)  $\int_0^{2\pi} \int_0^{\pi/3} \int_{\sec \phi}^2 \rho^2 \sin \phi d\rho d\phi d\theta$   
(b)  $\int_0^{2\pi} \int_0^{\sqrt{3}} \int_1^{\sqrt{4-r^2}} r dz dr d\theta$   
(c)  $\int_{-\sqrt{3}}^{\sqrt{3}} \int_{-\sqrt{3-x^2}}^{\sqrt{3-x^2}} \int_1^{\sqrt{4-x^2-y^2}} dz dy dx$  (d)  $5\pi/3$

43.  $8\pi/3$  45.  $9/4$  47.  $\frac{3\pi - 4}{18}$  49.  $\frac{2\pi a^3}{3}$  51.  $5\pi/3$   
53.  $\pi/2$  55.  $\frac{4(2\sqrt{2}-1)\pi}{3}$  57.  $16\pi$  59.  $5\pi/2$

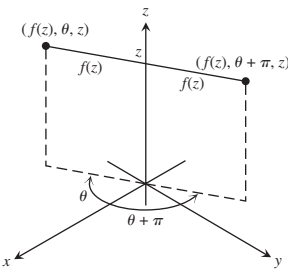
61.  $\frac{4\pi(8-3\sqrt{3})}{3}$  63.  $2/3$  65.  $3/4$

67.  $\bar{x} = \bar{y} = 0, \bar{z} = 3/8$  69.  $(\bar{x}, \bar{y}, \bar{z}) = (0, 0, 3/8)$   
71.  $\bar{x} = \bar{y} = 0, \bar{z} = 5/6$  73.  $I_z = 30\pi, R_z = \sqrt{\frac{5}{2}}$   
75.  $I_x = \pi/4$  77.  $\frac{a^4 h \pi}{10}$

79. (a)  $(\bar{x}, \bar{y}, \bar{z}) = \left(0, 0, \frac{4}{5}\right), I_z = \frac{\pi}{12}, R_z = \sqrt{\frac{1}{3}}$   
(b)  $(\bar{x}, \bar{y}, \bar{z}) = \left(0, 0, \frac{5}{6}\right), I_z = \frac{\pi}{14}, R_z = \sqrt{\frac{5}{14}}$   
83.  $(\bar{x}, \bar{y}, \bar{z}) = \left(0, 0, \frac{2h^2 + 3h}{3h + 6}\right), I_z = \frac{\pi a^4(h^2 + 2h)}{4}, R_z = \frac{a}{\sqrt{2}}$

85.  $\frac{3M}{\pi R^3}$

89. Yüzeyin  $r = f(z)$  denklemi,  $(r, \theta, z)$  noktasının her  $\theta$  için yüzey üzerinde olacağını söylemektedir. Özel olarak,  $(f(z), \theta, z)$  yüzey üzerinde oldukça  $(f(z), \theta + \pi, z)$  da yüzey üzerindedir. Dolayısıyla yüzey  $z$ -eksenine göre simetriktir.



### Bölüm 15.7, Sayfa 1135-1137

1. (a)  $x = \frac{u+v}{3}, y = \frac{v-2u}{3}; \frac{1}{3}$   
(b) Sınırıları  $u=0, v=0$  ve  $u+v=3$  olan üçgen bölge
3. (a)  $x = \frac{1}{5}(2u-v), y = \frac{1}{10}(3v-u); \frac{1}{10}$   
(b) Sınırıları  $3v=u, v=2u$  ve  $3u+v=10$  olan üçgen bölge

7.  $64/5$  9.  $\int_1^2 \int_1^3 (u+v) \frac{2u}{v} du dv = 8 + \frac{52}{3} \ln 2$

11.  $\frac{\pi ab(a^2 + b^2)}{4}$  13.  $\frac{1}{3} \left(1 + \frac{3}{e^2}\right) \approx 0.4687$

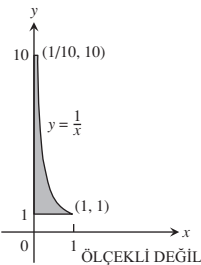
15. (a)  $\begin{vmatrix} \cos v & -u \sin v \\ \sin v & u \cos v \end{vmatrix} = u \cos^2 v + u \sin^2 v = u$

(b)  $\begin{vmatrix} \sin v & u \cos v \\ \cos v & -u \sin v \end{vmatrix} = -u \sin^2 v - u \cos^2 v = -u$

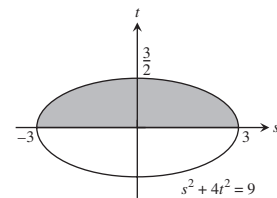
19. 12 21.  $\frac{a^2 b^2 c^2}{6}$

### Problemler, Sayfa 1138-1140

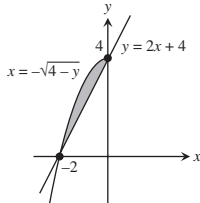
1.  $9e - 9$



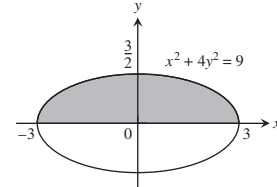
3.  $9/2$



5.  $\int_{-2}^0 \int_{2x+4}^{4-x^2} dy dx = \frac{4}{3}$



7.  $\int_{-3}^3 \int_{J_0}^{(1/2)\sqrt{9-x^2}} y dy dx = \frac{9}{2}$



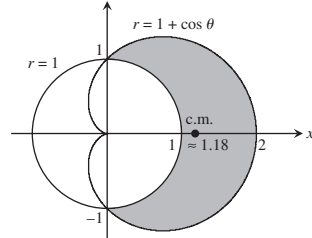
9.  $\sin 4$  11.  $\frac{\ln 17}{4}$  13.  $4/3$  15.  $4/3$  17.  $1/4$

19.  $\bar{x} = \bar{y} = \frac{1}{2 - \ln 4}$  21.  $I_0 = 104$  23.  $I_x = 2\delta, R_x = \sqrt{\frac{2}{3}}$

25.  $M = 4, M_x = 0, M_y = 0$  27.  $\pi$  29.  $\bar{x} = \frac{3\sqrt{3}}{\pi}, \bar{y} = 0$

31. (a)  $\bar{x} = \frac{15\pi + 32}{6\pi + 48}, \bar{y} = 0$

(b)



33.  $\frac{\pi - 2}{4}$     35. 0    37.  $8/35$     39.  $\pi/2$     41.  $\frac{2(31 - 3^{5/2})}{3}$

43. (a)  $\int_{-\sqrt{2}}^{\sqrt{2}} \int_{-\sqrt{2-y^2}}^{\sqrt{2-y^2}} \int_{\sqrt{x^2+y^2}}^{\sqrt{4-x^2-y^2}} 3 \, dz \, dx \, dy$   
 (b)  $\int_0^{2\pi} \int_0^{\pi/4} \int_0^2 3 \rho^2 \sin \phi \, d\rho \, d\phi \, d\theta$     (c)  $2\pi(8 - 4\sqrt{2})$

45.  $\int_0^{2\pi} \int_0^{\pi/4} \int_0^{\sec \phi} \rho^2 \sin \phi \, d\rho \, d\phi \, d\theta = \frac{\pi}{3}$

47.  $\int_0^1 \int_{\sqrt{1-x^2}}^{\sqrt{3-x^2}} \int_1^{\sqrt{4-x^2-y^2}} z^2 xy \, dz \, dy \, dx$   
 $+ \int_1^{\sqrt{3}} \int_0^{\sqrt{3-x^2}} \int_1^{\sqrt{4-x^2-y^2}} z^2 xy \, dz \, dy \, dx$

49. (a)  $\frac{8\pi(4\sqrt{2} - 5)}{3}$     (b)  $\frac{8\pi(4\sqrt{2} - 5)}{3}$

51.  $I_z = \frac{8\pi\delta(b^5 - a^5)}{15}$

### Ek ve İleri Alıştırmalar, Sayfa 1140-1142

1. (a)  $\int_{-3}^2 \int_x^{6-x^2} x^2 \, dy \, dx$     (b)  $\int_{-3}^2 \int_0^{6-x^2} \int_0^{x^2} dz \, dy \, dx$   
 (c)  $125/4$

3.  $2\pi$     5.  $3\pi/2$     7. (a) Delik yarıçapı = 1, küre yarıçapı = 2  
 (b)  $4\sqrt{3}\pi$     9.  $\pi/4$     11.  $\ln\left(\frac{b}{a}\right)$     15.  $1/\sqrt[4]{3}$

17. Kütle =  $a^2 \cos^{-1}\left(\frac{b}{a}\right) - b\sqrt{a^2 - b^2}$ ,  
 $I_0 = \frac{a^4}{2} \cos^{-1}\left(\frac{b}{a}\right) - \frac{b^3}{2}\sqrt{a^2 - b^2} - \frac{b^3}{6}(a^2 - b^2)^{3/2}$

19.  $\frac{1}{ab}(e^{a^2b^2} - 1)$     21. (b) 1    (c) 0

25.  $h = \sqrt{20}$  inç  $h = \sqrt{60}$  inç    27.  $2\pi\left[\frac{1}{3} - \left(\frac{1}{3}\right)\frac{\sqrt{2}}{2}\right]$

## BÖLÜM 16

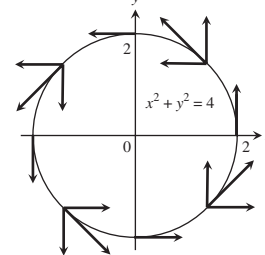
### Bölüm 16.1, Sayfa 1147-1149

1. (c) Grafiği    3. (g) Grafiği    5. (d) Grafiği    7. (f) Grafiği
9.  $\sqrt{2}$     11.  $\frac{13}{2}$     13.  $3\sqrt{14}$     15.  $\frac{1}{6}(5\sqrt{5} + 9)$
17.  $\sqrt{3} \ln\left(\frac{b}{a}\right)$     19.  $\frac{10\sqrt{5} - 2}{3}$     21. 8    23.  $2\sqrt{2} - 1$
25. (a)  $4\sqrt{2} - 2$     (b)  $\sqrt{2} + \ln(1 + \sqrt{2})$
27.  $I_z = 2\pi\delta a^3$ ,  $R_z = a$

29. (a)  $I_z = 2\pi\sqrt{2}\delta$ ,  $R_z = 1$     (b)  $I_z = 4\pi\sqrt{2}\delta$ ,  $R_z = 1$   
 31.  $I_x = 2\pi - 2$ ,  $R_x = 1$

### Bölüm 16.2, Sayfa 1158-1160

1.  $\nabla f = -(x\mathbf{i} + y\mathbf{j} + z\mathbf{k})(x^2 + y^2 + z^2)^{-3/2}$
3.  $\nabla g = -\left(\frac{2x}{x^2 + y^2}\right)\mathbf{i} - \left(\frac{2y}{x^2 + y^2}\right)\mathbf{j} + e^z\mathbf{k}$
5.  $\mathbf{F} = -\frac{kx}{(x^2 + y^2)^{3/2}}\mathbf{i} - \frac{ky}{(x^2 + y^2)^{3/2}}\mathbf{j}$ , herhangi bir  $k > 0$
7. (a)  $9/2$     (b)  $13/3$     (c)  $9/2$
9. (a)  $1/3$     (b)  $-1/5$     (c) 0
11. (a) 2    (b)  $3/2$     (c)  $1/2$
13.  $1/2$     15.  $-\pi$     17.  $69/4$     19.  $-39/2$     21.  $25/6$
23. (a) Dolaşım<sub>1</sub> = 0, dolaşım<sub>2</sub> =  $2\pi$ , akı<sub>1</sub> =  $2\pi$ , akı<sub>2</sub> = 0  
 (b) Dolaşım<sub>1</sub> = 0, dolaşım<sub>2</sub> =  $8\pi$ , akı<sub>1</sub> =  $8\pi$ , akı<sub>2</sub> = 0
25. Dolaşım = 0, akı =  $a^2\pi$ , 27. Dolaşım =  $a^2\pi$ , akı = 0
29. (a)  $-\frac{\pi}{2}$     (b) 0    (c) 1
- 31.



33. (a)  $\mathbf{G} = -y\mathbf{i} + x\mathbf{j}$     (b)  $\mathbf{G} = \sqrt{x^2 + y^2}\mathbf{F}$   
 35.  $\mathbf{F} = -\frac{x\mathbf{i} + y\mathbf{j}}{\sqrt{x^2 + y^2}}$     37. 48    39.  $\pi$     41. 0    43.  $\frac{1}{2}$

### Bölüm 16.3, Sayfa 1168-1169

1. Korunaklı    3. Korunaklı değil    5. Korunaklı değil
7.  $f(x, y, z) = x^2 + \frac{3y^2}{2} + 2z^2 + C$
9.  $f(x, y, z) = xe^{y+2z} + C$
11.  $f(x, y, z) = x \ln x - x + \tan(x + y) + \frac{1}{2} \ln(y^2 + z^2) + C$
13. 49    15. -16    17. 1    19.  $9 \ln 2$     21. 0    23. -3
27.  $\mathbf{F} = \nabla\left(\frac{x^2 - 1}{y}\right)$     29. (a) 1    (b) 1    (c) 1
31. (a) 2    (b) 2    33. (a)  $c = b = 2a$     (b)  $c = b = 2$
35. Hangi yolu kullandığınız fark etmez. İş her yolda aynı olacaktır, çünkü alan korunmalıdır.
37. Alan korunmalıdır çünkü  $M$ ,  $N$  ve  $P$ 'nin bütün kısmi türevleri

sıfırdır.  $f(x, y, z) = ax + by + cz + C; A = (xa, ya, za)$  ve  $B = (xb, yb, zb)$ . Bu nedenle,  $\int \mathbf{F} \cdot d\mathbf{r} = f(B) - f(A) = a(xb - xa) + b(yb - ya) + c(zb - za) = \mathbf{F} \cdot \overrightarrow{AB}$ .

## Bölüm 16.4, Sayfa 1179–1181

1. Akı = 0, dolaşım =  $2\pi a^2$
3. Akı =  $-\pi a^2$ , dolaşım = 0
5. Akı = 2, dolaşım = 0
7. Akı = -9, dolaşım = 9
9. Akı =  $1/2$ , dolaşım =  $1/2$
11. Akı =  $1/5$ , dolaşım =  $-1/12$
13. 0
15.  $2/33$
17. 0
19.  $-16\pi$
21.  $\pi a^2$
23.  $\frac{3}{8}\pi$
25. (a)  $C$  saat yönünün tersine izlenirse  $4\pi$   
(b)  $(h-k)(\text{bölgenin alanı})$
35. (a) 0

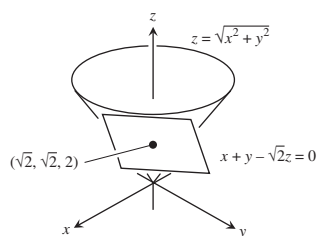
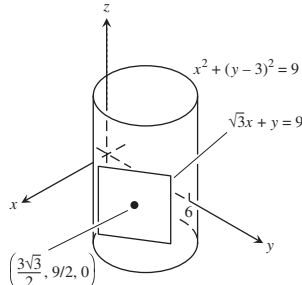
## Bölüm 16.5, Sayfa 1190–1192

1.  $\frac{13}{3}\pi$
3. 4
5.  $6\sqrt{6} - 2\sqrt{2}$
7.  $\pi\sqrt{c^2 + 1}$
9.  $\frac{\pi}{6}(17\sqrt{17} - 5\sqrt{5})$
11.  $3 + 2\ln 2$
13.  $9a^3$
15.  $\frac{abc}{4}(ab + ac + bc)$
17. 2
19. 18
21.  $\frac{\pi a^3}{6}$
23.  $\frac{\pi a^2}{4}$
25.  $\frac{\pi a^3}{2}$
27. -32
29. -4
31.  $3a^4$
33.  $\left(\frac{a}{2}, \frac{a}{2}, \frac{a}{2}\right)$
35.  $(\bar{x}, \bar{y}, \bar{z}) = \left(0, 0, \frac{14}{9}\right)$ ,  $I_z = \frac{15\pi\sqrt{2}}{2}\delta$ ,  $R_z = \frac{\sqrt{10}}{2}$
37. (a)  $\frac{8\pi}{3}a^4\delta$
- (b)  $\frac{20\pi}{3}a^4\delta$
39.  $\frac{\pi}{6}(13\sqrt{13} - 1)$
41.  $5\pi\sqrt{2}$
43.  $\frac{2}{3}(5\sqrt{5} - 1)$

## Bölüm 16.6, Sayfa 1199–1201

1.  $\mathbf{r}(r, \theta) = (r \cos \theta)\mathbf{i} + (r \sin \theta)\mathbf{j} + r^2\mathbf{k}$ ,  $0 \leq r \leq 2$ ,  $0 \leq \theta \leq 2\pi$
3.  $\mathbf{r}(r, \theta) = (r \cos \theta)\mathbf{i} + (r \sin \theta)\mathbf{j} + (r/2)\mathbf{k}$ ,  $0 \leq r \leq 6$ ,  $0 \leq \theta \leq \pi/2$
5.  $\mathbf{r}(r, \theta) = (r \cos \theta)\mathbf{i} + (r \sin \theta)\mathbf{j} + \sqrt{9 - r^2}\mathbf{k}$ ,  $0 \leq r \leq 3\sqrt{2}/2$ ,  $0 \leq \theta \leq 2\pi$ ; Ayrıca:  $\mathbf{r}(\phi, \theta) = (3 \sin \phi \cos \theta)\mathbf{i} + (3 \sin \phi \sin \theta)\mathbf{j} + (3 \cos \phi)\mathbf{k}$ ,  $0 \leq \phi \leq \pi/4$ ,  $0 \leq \theta \leq 2\pi$
7.  $\mathbf{r}(\phi, \theta) = (\sqrt{3} \sin \phi \cos \theta)\mathbf{i} + (\sqrt{3} \sin \phi \sin \theta)\mathbf{j} + (\sqrt{3} \cos \phi)\mathbf{k}$ ,  $\pi/3 \leq \phi \leq 2\pi/3$ ,  $0 \leq \theta \leq 2\pi$
9.  $\mathbf{r}(x, y) = xi + yj + (4 - y^2)\mathbf{k}$ ,  $0 \leq x \leq 2$ ,  $-2 \leq y \leq 2$
11.  $\mathbf{r}(u, v) = u\mathbf{i} + (3 \cos v)\mathbf{j} + (3 \sin v)\mathbf{k}$ ,  $0 \leq u \leq 3$ ,  $0 \leq v \leq 2\pi$
13. (a)  $\mathbf{r}(r, \theta) = (r \cos \theta)\mathbf{i} + (r \sin \theta)\mathbf{j} + (1 - r \cos \theta - r \sin \theta)\mathbf{k}$ ,  $0 \leq r \leq 3$ ,  $0 \leq \theta \leq 2\pi$   
(b)  $\mathbf{r}(u, v) = (1 - u \cos v - u \sin v)\mathbf{i} + (u \cos v)\mathbf{j} + (u \sin v)\mathbf{k}$ ,  $0 \leq u \leq 3$ ,  $0 \leq v \leq 2\pi$
15.  $\mathbf{r}(u, v) = (4 \cos^2 v)\mathbf{i} + u\mathbf{j} + (4 \cos v \sin v)\mathbf{k}$ ,  $0 \leq u \leq 3$ ,

$-(\pi/2) \leq v \leq (\pi/2)$ ; Başka bir yol:  $\mathbf{r}(u, v) = (2 + 2 \cos v)\mathbf{i} + u\mathbf{j} + (2 \sin v)\mathbf{k}$ ,  $0 \leq u \leq 3$ ,  $0 \leq v \leq 2\pi$

17.  $\int_0^{2\pi} \int_0^1 \frac{\sqrt{5}}{2} r dr d\theta = \frac{\pi\sqrt{5}}{2}$
19.  $\int_0^{2\pi} \int_1^3 r\sqrt{5} dr d\theta = 8\pi\sqrt{5}$
21.  $\int_0^{2\pi} \int_1^4 1 du dv = 6\pi$
23.  $\int_0^{2\pi} \int_0^1 u\sqrt{4u^2 + 1} du dv = \frac{(5\sqrt{5} - 1)}{6}\pi$
25.  $\int_0^{2\pi} \int_{\pi/4}^{\pi} 2 \sin \phi d\phi d\theta = (4 + 2\sqrt{2})\pi$
27.  $\iint_S x d\sigma = \int_0^3 \int_0^2 u\sqrt{4u^2 + 1} du dv = \frac{17\sqrt{17} - 1}{4}$
29.  $\iint_S x^2 d\sigma = \int_0^{2\pi} \int_0^{\pi} \sin^3 \phi \cos^2 \theta d\phi d\theta = \frac{4\pi}{3}$
31.  $\iint_S z d\sigma = \int_0^1 \int_0^1 (4 - u - v)\sqrt{3} dv du = 3\sqrt{3}$   
(for  $x = u$ ,  $y = v$ )
33.  $\iint_S x^2 \sqrt{5 - 4z} d\sigma = \int_0^1 \int_0^{2\pi} u^2 \cos^2 v \cdot \sqrt{4u^2 + 1} \cdot u\sqrt{4u^2 + 1} dv du = \int_0^1 \int_0^{2\pi} u^3 (4u^2 + 1) \cos^2 v dv du = \frac{11\pi}{12}$
35. -32
37.  $\pi a^3/6$
39.  $13a^4/6$
41.  $2\pi/3$
43.  $-73\pi/6$
45.  $(a/2, a/2, a/2)$
47.  $88\pi a^4/3$
49. 
51. 
55. (b)  $A = \int_0^{2\pi} \int_0^{\pi} [a^2 b^2 \sin^2 \phi \cos^2 \phi + b^2 c^2 \cos^4 \phi \cos^2 \theta + a^2 c^2 \cos^4 \phi \sin^2 \theta]^{1/2} d\phi d\theta$
57.  $x_0 x + y_0 y = 25$

## Bölüm 16.7, Sayfa 1209–1211

1.  $4\pi$     3.  $-5/6$     5. 0    7.  $-6\pi$     9.  $2\pi a^2$     13.  $12\pi$   
 15.  $-\pi/4$     17.  $-15\pi$     25.  $16I_y + 16I_x$

## Bölüm 16.8, Sayfa 1220–1222

1. 0    3. 0    5.  $-16$     7.  $-8\pi$     9.  $3\pi$     11.  $-40/3$   
 13.  $12\pi$     15.  $12\pi(4\sqrt{2} - 1)$   
 21. İntegralin değeri hiçbir zaman  $S$ 'nin yüzey alanını geçmez.

## Problemler, Sayfa 1223–1226

1. Yol 1:  $2\sqrt{3}$ ; yol 2:  $1 + 3\sqrt{2}$     3.  $4a^2$     5. 0  
 7.  $8\pi \sin(1)$     9. 0    11.  $\pi\sqrt{3}$     13.  $2\pi\left(1 - \frac{1}{\sqrt{2}}\right)$   
 15.  $\frac{abc}{2}\sqrt{\frac{1}{a^2} + \frac{1}{b^2} + \frac{1}{c^2}}$     17. 50  
 19.  $\mathbf{r}(\phi, \theta) = (6 \sin \phi \cos \theta)\mathbf{i} + (6 \sin \phi \sin \theta)\mathbf{j} + (6 \cos \phi)\mathbf{k}$ ,  
 $\frac{\pi}{6} \leq \phi \leq \frac{2\pi}{3}$ ,  $0 \leq \theta \leq 2\pi$   
 21.  $\mathbf{r}(r, \theta) = (r \cos \theta)\mathbf{i} + (r \sin \theta)\mathbf{j} + (1 + r)\mathbf{k}$ ,  $0 \leq r \leq 2$ ,  
 $0 \leq \theta \leq 2\pi$   
 23.  $\mathbf{r}(u, v) = (u \cos v)\mathbf{i} + 2u^2\mathbf{j} + (u \sin v)\mathbf{k}$ ,  $0 \leq u \leq 1$ ,  
 $0 \leq v \leq \pi$   
 25.  $\sqrt{6}$     27.  $\pi[\sqrt{2} + \ln(1 + \sqrt{2})]$     29. Korunmalı  
 31. Korunmamalı değil    33.  $f(x, y, z) = y^2 + yz + 2x + z$   
 35. Yol 1: 2; yol 2:  $8/3$     37. (a)  $1 - e^{-2\pi}$     (b)  $1 - e^{-2\pi}$   
 39. 0    41. (a)  $4\sqrt{2} - 2$     (b)  $\sqrt{2} + \ln(1 + \sqrt{2})$

43.  $(\bar{x}, \bar{y}, \bar{z}) = \left(1, \frac{16}{15}, \frac{2}{3}\right)$ ;  $I_x = \frac{232}{45}$ ,  $I_y = \frac{64}{15}$ ,  $I_z = \frac{56}{9}$ ;  
 $R_x = \frac{2\sqrt{29}}{3\sqrt{5}}$ ,  $R_y = \frac{4\sqrt{2}}{\sqrt{15}}$ ,  $R_z = \frac{2\sqrt{7}}{3}$   
 45.  $\bar{z} = \frac{3}{2}$ ,  $I_z = \frac{7\sqrt{3}}{3}$ ,  $R_z = \sqrt{\frac{7}{3}}$   
 47.  $(\bar{x}, \bar{y}, \bar{z}) = (0, 0, 49/12)$ ,  $I_z = 640\pi$ ,  $R_z = 2\sqrt{2}$   
 49. Akı:  $3/2$ ; dolaşım:  $-1/2$     53. 3    55.  $\frac{2\pi}{3}(7 - 8\sqrt{2})$   
 57. 0    59.  $\pi$

## Ek ve İleri Alıştırmalar, Sayfa 1226–1228

1.  $6\pi$     3.  $2/3$   
 5. (a)  $\mathbf{F}(x, y, z) = z\mathbf{i} + x\mathbf{j} + y\mathbf{k}$     (b)  $\mathbf{F}(x, y, z) = z\mathbf{i} + y\mathbf{k}$   
 (c)  $\mathbf{F}(x, y, z) = z\mathbf{i}$   
 7.  $\frac{16\pi R^3}{3}$     9.  $a = 2$ ,  $b = 1$ . Minimum akı  $-4$ .  
 11. (b)  $\frac{16}{3}g$   
 (c) Work =  $\left(\int_C gxy \, ds\right)\bar{y} = g \int_C xy^2 \, ds = \frac{16}{3}g$

13. (c)  $\frac{4}{3}\pi w$     19.  $\mathbf{F} = y\mathbf{i} + x\mathbf{j}$  ise yanlış

## EKLER

## Ek E.5

1. (a) (14, 8)    (b) (-1, 8)    (c) (0, -5)  
 3. (a)  $z'$ yi reel eksene göre yansitarak  
 (b)  $z'$ yi sanal eksene göre yansitarak  
 (c)  $z'$ yi reel eksene göre yansıtıp, vektörün boyunu  $1/|z'|$  ile çarparak  
 5. (a)  $x^2 + y^2 = 4$  çemberinin üzerindeki noktalar  
 (b)  $x^2 + y^2 = 4$  çemberinin içindeki noktalar  
 (c)  $x^2 + y^2 = 4$  çemberinin dışındaki noktalar  
 7. 1 yarıçaplı, merkezi  $(-1, 0)$ 'daki bir çemberin üzerindeki noktalar  
 9.  $y = -x$  doğrusu üzerindeki noktalar    11.  $4e^{2\pi i/3}$     13.  $1e^{2\pi i/3}$   
 15.  $\cos^4 \theta - 6 \cos^2 \theta \sin^2 \theta + \sin^4 \theta$     17.  $1, -\frac{1}{2} \pm \frac{\sqrt{3}}{2}i$   
 19.  $2i, -\sqrt{3} - i, \sqrt{3} - i$     21.  $\frac{\sqrt{6}}{2} \pm \frac{\sqrt{2}}{2}i, -\frac{\sqrt{6}}{2} \pm \frac{\sqrt{2}}{2}i$   
 23.  $1 \pm \sqrt{3}i, -1 \pm \sqrt{3}i$

# İNDEKS

Not: *italik* sayılar şekilleri “t”ler tabloları; “e”ler alışırmaları göstermektedir.

70 Kuralı, 551e

Abel, Niels, 299

Absis, 9

Açı(lar), eğim açısı, 10, 11

düzlemler arasında, 887, 887, 888e

vektörler arasında, 863, 863–865, 870–871e, 1063e

Açı anlaşması, 50

Açık aralık, 3

Açık bölge, 970

Açışal momentum, 963e

Adım büyüklüğü, 603

Ağaç diyagramı, Zincir kuralı ve, 997–998, 1000, 1002

Ağırlık-yoğunluğu, 456

Aki, çember üzerinden, 1157–1158, 1159e bulunması, 1197, 1197–1198, 1212–1213

dışarıya doğru. *Bkz.* Dışarıya doğru aki dolaşım ve, 1159

düzlem eğri üzerinden, 1156–1158, 1157, 1225–1226e

için yüzey integrali, 1187–1188

tanımı, 1187

vektör alanlarının, 1188, 1188

Aki integral(i)(leri), 1159e

hız alanları için, 1155–1156

Aki, helis boyunca, 1155–1156

Akim doğruları, tünel içinde suyun akım doğruları, 1150, 1150

Akıs yoğunluğu, 1170, 1170–1171, 1171

Akışkan basınçları, 456–461

Akışkan kuvvet(i)(leri), 460–461e, 463–464e, 465e

bulunması, 458

için integral, 457, 457–458

sabit-derinlik formülü, 456, 456

ve merkezler, 458, 458

Alan, yaklaşım, 325, 325–328, 326

-a sonlu yaklaşımalar, 328t, 328

limiti, 339–340

belirli integral hesaplamak için, 353

belirli integral eğrilerinin altındaki, 349

Alan, yaklaşım(*Devamı*)

bulmak, 353e, 565, 727, 727–728, 728

ters türev kullanarak, 363, 363, 364, 364

doğru altında, 350, 350

dönel yüzeyin, 436–447, 463e, 730, 730–731

düzgün eğrinin, 1195

düzlemede, 725, 725–727, 741e, 879e

düzleme izdüşüm paralel kenarının, Ek-28, Ek-29

düzlemede sınırlı bölgelerin, 1081,

1081–1083, 1082

eğri altındaki, 373, 373

eğriler arasında, 379, 379–381, 549e

dönüşümü, 376–387

sadeleşmesi, 363, 363–364

elipsin, 590, 590–591, 1047e, 1136e

kesişen eğriler arasında, 380, 380–381

pozitif fonksiyon grafiği altındaki, 349–351

toplamlı, 363, 365e, 388–389e, 384–386e

üçgenin, 876, 879e

ve uzunluk, kutupsal koordinatlarda, 726–731

yamugun, 351, 351

Alan(lar), korunmamış olmayan, 1166

sıralı, AP-10

Albert of Saxony, 551–552e

Alt aralık(lar), 340–342, 341

Alterne Seri Teoremi, 797

Alterne seri testi, 787

Alterne seriler tahmin teoremi, 788, 816, 817

Anlık hız, 172

Anlık surat, 74–75, 139

Araba hızlandırmak, takip, 216, 216–217

Ara Değer Özelliği, 130–131, 155, 155

Ara Değer Teoremi, 130–131, 131, AP-10

Aralık(lar), mutlak değer ve, 6

açık, 5

kapalı, 249–250, 250, 253e, 342

tanımı, 3

tipleri, 4t

yakınsaklık, kuvvet serilerinin 799, 804e

yarı-açık, üzerinde eksremum değerler, 267

Arama(lar), sıralı ve ikili, 514–515

Arccosinüs, arcsinüs içeren özdeşlikler, 521, 521

Arccotanant eğrisi, (ne) teget doğru, 527

Archimet formülü parabolün hacmi için, 695e

Archimet formülü, parabolller için, 366e

Archimet prensibi, 1227e

Archimet spiralleri, 742e

Archimet, çemberin çevresi ve, 416, 417

Arcsinüs, arccosinüs içeren özdeşlikler, 521, 521

521

ve arccosinüs fonksiyonları, 519–521, 520

Arctanjant(lar), 828–829

ve arctanrant fonksiyonları, 522, 522–524, 523

Argand diyagramları, Ek-16–Ek-17

Artım Teoremi, iki değişkenler fonksiyonlar içini, 993, AP-25–AP-27

Artımlar, 10–12, 17e

koordinat, 10, 10

Asal birim normal vektör N, 940

Asal birim normal vektör, 938, 938

Asal birim normal, 940

Asılı köprü kabloları, 695e

Asılı planör uçuşu, 911, 911

Asimptot(lar), 118, 118–120, 119, 120

dikey, 622–626

eğik, 111, 111

hiperbolün, 691–692, 692, 697e

yatay, 109–110, 109

Astroid, uzunluğu, 419, 419

Astronomic birim, 698

a" integrali, 496–497

a", 495–497, 500e

Ayi nüfusu, modellemek, 677–679, 677

Ayrılabilir denklemler, 645–647, 648–649e

Bağlantılılık, 131

basit, 1161–1162

Balon, yükselen, (dan) düşen paket, 311–312

patlayan, yarıçapı 219

yükselen, değişim hızı ve, 215, 215–216

Baraj, inşası, 456, 456

Basınç-derinlik denklemi, 456

Basit harmonik hareket, 186, 186, 189e

Baskın terimler, 120–121

Başlangıç değer problemleri, 315–316e, 321e, 366e, 375–376e, 389e, 391e, 490–491,

494e, 532e, 580e, 591e, 832e, 841e

birinci-mertebe, 643

birinci-mertebe lineer, 653–654, 658e

- Başlangıç değer problemleri, (*Devamı*)  
diferansiyel denklemler ve, 310  
kuvvet serisi çözümleri, 824–827  
seri çözümleri, 824–825  
tanımı, 310
- Bataklık, kurutmak, 613, 613
- Belirli integral(ler), uygulamaları, 396–465  
-de dönüşüm(ler), 376–387  
eğri altında alan, 349  
hesaplanması, 383–384e, 915  
alan için, 353  
için Ortalama Değer Teoremi, 356, 356–357, 357, 361  
kısımlı integrasyon hesabı, 565  
kuralları, geometrik yorumu, 348  
ispiti, 348–349  
notasyonu ve varlığı, 344–346  
özellikleri, 346–349
- Sifir Uzunlukta Aralık Kuralı, 476
- sınırları bulmak, 349  
tanımı, 344, 368  
tahmin etmek, 827–828  
varlığı, 345  
vektör fonksiyonların, 915
- Belirsiz form(lar), 292, 296–297, 298e, 832e  
hesaplanması, 829–830, 841e
- Belirsiz integral(ler), 312–313, 543e, 553  
bulunması, 314–315e, 321e, 914–915  
tanımı, 368  
ve değişken dönüşümü kuralı, 368–376  
vektör fonksiyonların, 914–915
- Bernoulli, John, 292
- Beyzbol topu, vurmak, 926–927, 928e, 930e
- Bırakılan kargo, 199–200, 200
- Bileşen testi, tamlık için, 1167
- Bileşke(ler), sürekli fonksiyonların, 128, 128–129, 129
- Bilgisayar Cebir Sistemleri (BCS), 593, 598–600, 739e, 1049e
- Binom Teoremi, 160, Ek-29–Ek-30
- Binom serisi, 823, 831–832e  
kuvvetler ve kökler için, 822–824
- Bileşke fonksiyonlar, 40, 40–41, 45–46e, 133e  
türevi, 191, 191–193, 192
- Bilgisayarlar(la), grafik çizmek, 59–65, 277e  
üç boyutlu, 970–971, 972
- Bire-bir fonksiyon(lar), 466–467  
için yatay doğru testi, 467, 467  
tanım kümesi, 467  
tanımı, 466
- Birim binormal vektör B, 943, 943
- Birim çember, 13  
üzerinde hareket, 935, 935
- Birim fonksiyon, 79, 79, 94, 95
- Birim kare, geometrisi, AP-13
- Birim normal vektör N, 940
- Birim teget vektör T, 933–935
- Birim vektör(ler), 858, 858, 862e, 1159e  
düzleme, 876  
ortogonal, 872e  
silindirik koordinatlar ve, 964e
- Birinci türev teoremi, 247
- Birinci-mertebe başlangıç değer problemi, 643
- Birinci-mertebe diferansiyel denklemler. Bkz.  
Diferansiyel denklem(ler), birinci-mertebe
- Birinci-mertebe lineer başlangıç değer problemi, 653–654, 658e
- Birinci-mertebe lineer diferansiyel denklemler, 650–657
- Birleşik faiz, 504–505
- Birleşim, kümelerin, 3
- Bölge(ler) açık ve kapalı, 970, 1099
- Bölüm(ler), 39, 45e, AP-18  
çarpımlar ve, 163–166
- Bölüm kuralı, 187–188  
türev, 165–166, 167
- Bölünüş [a,b]’nin, 340
- Bölünüş R’nin 1068, 1068
- Bölünüş, normu, 1116
- Boş küme, 3
- Brachistochrone(lar), 711–712, 712
- BSTK kuralı, 50, 51
- Burulma, 943–945, 944, 950e  
bulmak, 948, 949e  
hesaplaması için formüller, 947
- Buz pateni, 674
- Büyük-o notasyonu, 514, 515
- Büyüme modeli, lojistik, 676, 676
- Büyüme ve bozulma, üstel, 502–511
- Büyüme, lojistik, 670
- Büyüme oran(ları), karşılaşmaları, 512–513  
fonksiyonların, 511, 511–513, 512, 548–549e  
bağıl, 511–517, 675, 675t
- Cadi Eğrisi, 212e
- Calculus, Temel Teoremi Bkz Calculusun Temel Teoremi
- Calculusun Temel Teoremi, 312, 356–368, 358, 367e, 478, 915, 919e, 1219–1220  
uygulamaları of, 359–360
- Cauchy Ortalama Değer Teoremi, 294, 294
- Cauchy sıklaştırma test, 776
- Cauchy-Schwartz eşitsizliği, 872e
- Cavalieri prensibi, 398, 399, 406e
- Cebir, Temel, AP-29–AP-30  
Temel teoremi, AP-20–AP-21
- Cebir kuralları, 337, 338, 1012, 1014e
- Cebirin Temel Teoremi, AP-20–AP-21
- Cebirsel fonksiyonlar, 31
- Cebirsel özellikler, 1
- Cebirsel Sistemler, bilgisayar (BCS), 593, 598–600, 741e  
uzayda yüzey canlandırmak, 897
- Clairaut teoremi, 991–992
- Cosines kuralı, 54
- Çarpımlar, 39, 45e  
sinüs ve cosinüs’ün, 585, 586e  
ve bölgümler, 163–166
- Carpım kuralı, türev, 163–165  
genelleştirilmiş, 170e, 242e  
integral formda, 561–565
- Çarpım, 1’in bir formu ile, 557–558, 559e
- Çarpım, skaler, 856
- Çarpa kuralı, sabit, 161, 161
- Çember(ler), 13, 13, 17e  
alanı, 335e, Ek-39  
birim, üzerinde haraket, 935, 935  
çapı, alan dönüşümü, 172  
çevre(leri) of, 416, 417, 418–419, 732e  
değen, 241e, 939, 939  
parabol için, 939–940, 940  
düzlemede, 13  
eğimi, 206, 206–207  
eğriliği, 937  
eğrilik, 939, 943e  
düzlemsel eğriler için, 939–940  
etrafında dolaşım, 1156, 1225e  
içi ve dışı, 14, 14  
-in kutupsal denklemler, 732, 732–734, 733, 737e  
merkezi, 14  
parametrik eğriler ve, 196, 196  
üzerinde aki, 1157–1158, 1159e  
üzerinde ekstremum değerler, 1044–1045, 1045  
yarıçapı, 14
- ÇemberSEL yollar, 56
- Çerçeve(ler), grafik çizimi, 59–63
- Çorba soğutmak, 667–671
- Çözüm eğrileri, 666–667, 667
- Dağıılma Kuralı, vektörel çarpımlar için, AP-22–AP-23
- Dallanma kuralı 282, 282–283, 283
- De Moivre Teoremi, Ek-19
- Dedekind, Richard, 381, Ek-11
- Değen çember, 939  
parabol için, 939–940, 940
- Değer(ler), 19  
ekstremum. Bkz. Ekstremum değerler  
ortalama. Bkz. Ortalama değer(ler)  
tablosu, fonksiyonlarm, 23, 23
- Değişim, değişimin yönü, 1013  
hassasiyeti, 179, 229–231, 1022, 1022, 1025–1026e, 1061–1062e  
oran(ları), 139, 140e, 1065e  
anlık, 171  
türev olarak, 171–183  
ve limitler, 73–81, 90e  
tahmini, 1024, 1061–1062e  
üstel, kuralı, 502–503, 674–675  
ve ilişkili oranları, 213–217
- Değişim oranları, ve limitler, 73–81  
ilişkili, 213–217
- Değişken(ler), kısıtlı, ile kısmi türevler, 1049–1054, 1053, 1062–1063e, 1064e  
bağımsız, 19  
bağlı, 19  
çıktı, 965  
fonksiyonlarm, 965–975

- Değişken(ler), kısıtlı, ile kısmi türevler, (*Devamı*) girdi, 965  
için Taylor formülü, 1056–1059  
ikiden fazla, fonksiyonların, 981, 989, 1023  
iki, fonksiyon(lar), 966–968, 974e  
grafik çizmek, 968, 968  
için artım teoremi, 993,  
AP-25–AP-27  
için Zincir Kuralı, 997, 1000, 1003e  
kısıtlı türevleri, 984–986, 985, 986  
lineerleştirilmesi, 1018–1019, 1019  
sınırları, 976–977, 978–979  
sürekli, 979, 979  
sessiz, 345  
uç, fonksiyonlar, 969–970, 998–999,  
1012–1013, 1025e  
için Zincir Kuralı, 999, 1000, 1003e  
Değişken dönüşüm(leri), 529, 530, 1140e  
basitleştirme, 554–555  
belirli integrallerde, 376–377  
iki katlı integrallerde, 1128–1132, 1129, 1130  
ile Taylor serisi bulmak, 815, 819e  
integral hesabı için, 371  
katlı integrallerde, 1128–1137  
kullanımı, 372–373  
trigonometrik, 586–592, 591e  
üç katlı integrallerde, 1132, 1132–1135,  
1133, 1134  
uç temel, 587, 587–591, 588, 589  
ve eğriler arasında alan, 376–387  
ve özdeslikler, 372
- Değişken dönüşüm formülü, 376–378  
Değişken dönüşüm kuralı, 370, 371, 553  
belirsiz integraller ve, 368–376  
Değişken, integrasyon, 312  
Değişken-derinlik formülü, 457, 457–458  
Değişken-yoğunluklu çubuk, 428, 428  
Dekartın folyumu, 206, 208, 208, 212e  
Delta(lar), bulmak, cebirsel, 95, 95–96, 96, 99e  
için tanım uygulamak, 104, 104  
verilen epsilonlar için, 94–97  
Deneysel model(leme), 37, 63–65  
Denge değerleri, 665–666  
Denge, 667–671  
Denklemler, geometrik yorumları, 849, 851,  
852e  
grafikleri, 850, 850  
Deprem, şiddetti, 499  
Derece(ler), polinomların, 30  
derece ve radyanlar, 190e, 195  
Descartes'in folyosu, 206, 208, 208, 212e  
Desibel ölçü, 499  
Determinant(lar), vektörel çarpım ve, 875–876  
Jacobiyan, 1129, 1133, 1136–1137e  
Determinant formülü, 874–876  
Dişa doğru akı, 1179e, 1215–1216  
hesaplanması, 1175  
Dış merkezlik (leri), 697–698  
gezenge yörüngelerinin, 698, 698t  
elipsin, 697, 698  
hiperbolün, 699, 699–700, 702e  
parabolün, 700
- Diferansiyel(ler), 222, 225–227, 226,  
1021–1024  
teget düzlemler ve, 1015–1027  
toplam, 1021, 1023  
Diferansiyel denklem(ler), otonom, tanımı, 665  
grafiği, 665–671  
ayrınlabilir, eğim alanları ve, 642–650  
birinci-mertebe, 642–644  
uygulamaları, 673–680  
çözümleri, 643  
birinci-mertebe lineer, 650–657  
çözmek, 825–827  
sınır değer problemleri ve, 310  
tanımı, 310  
ve sınır değer problemleri, kuvvet serisi  
çözümleri, 824–827  
Diferansiyel form, 441, 441  
yüzey alanları için, 441, 441–442  
Diferansiyel form(lar), tam, 1166–1167, 1169e  
Diferansiyel formül, kısa, 422, 422  
Diferansiyel operatörleri, 150  
Diferansiyel yaklaşım, (daki) hata, 227,  
227–229  
Dik doğrular, 12–13  
Dikdörtgen(ler), üzerinde iki katlı integraller,  
1067–1068  
yerleştirme, 280, 280–281  
Dik Eksen Teoremi, 1086–1087  
Dik-kesit(ler), 890  
cisimlerin, 396, 397  
Dikey doğru hareketi, 200–201  
Dikey doğru testi, 23, 24  
Dikey hareket, 176, 176–177, 288e  
Dikey teget, 140–141e  
Diocles, testere dışılısı, 212e  
Direnç kuvveti, 669–670, 669  
Direnç, hızla orantılı, 673–674  
Dirichlet cetvel fonksiyonu, 145  
Disk yöntemi, dönel cisim, 399–402, 400, 401,  
402, 406–407e  
Diskriminant  $f'$  nin, 1030  
Diskriminant testi, 705–706  
Diverjans(ı), 1211, 1219, 1220  
testleri, 627–629  
üç boyutta, 1211  
vektör alanlarının, 1170, 1170–1171, 1171  
Diverjans Teoremi(ni), 1219, 1220  
bir birleştirme teoresi, 1211–1222  
çeşitli bölgeler için, 1214–1215  
desteklemek, 1212  
özel bölgeler için, 1213–1214, 1214  
ve Green Teoremi, 1219, 1220  
Dizi(ler), 747–756  
sonsuz. Bkz. Sonsuz dizi(ler)  
Doğal logaritma fonksiyonu, 476  
Doğal logaritmalar. Bkz. Logaritma(lar), doğal  
Doğal sayılar, 2, AP-12  
Doğal tanım kümesi, 20  
Doğal üstel fonksiyonu, 486  
Doğru(lar), altında alan, 350, 350  
boyunca hareket, 172, 269–270, 276e, 288e  
boyunca uzaklıklık, 933
- Doğru(lar), altında alan, (*Devamı*) çemberler, ve paraboller, 9–16  
düz, 10–12  
eğriliği, 937, 937  
düz, üzerinde hareket, 918  
düzlemden, kesişimleri, 885–886  
için, kutupsal denklemler, 732, 732, 737e,  
741e  
için, parametrik denklemler, 881  
için vektörel denklem, 880  
iki doğrudan geçen, 11–12, 12  
kesişimleri, 884–886  
normal, düzleme paralel, 1063  
paralel, 12–13  
parametrelenmesi, 197, 881  
teget. Bkz. Teget doğru(lar)  
ve düzlemler, uzayda, 880, 880–887  
Doğru parçası, yönlü, 853, 854  
orta noktası, 18e, 860, 860, 861e  
parametrelenmesi, 881, 881–882  
Doğru parçasının orta noktası, 18e, 860, 860,  
861e  
Doğrultu türev(ler)i, 1005–1014, 1008, 1010  
Dolaşım, çember etrafında, 1156  
bulmak, 1204, 1204–1205  
hız alanları için, 1155–1156  
Dolaşım yoğunluğu, saat yönünün tersine ve  
saat yönünde, 1172, 1172, 1179e  
iki-boyutlu alanların, 1201, 1201  
vektör alanlarının, 1171, 1171  
Dönel cisim(ler), 551e  
hacimleri, 399–404, 400, 401, 402, 403, 407e,  
589–590, 590  
Dönel cisimler için kabuk formülü, 412  
Dönel yüzey(ler), alanları, 436–447, 463e,  
729–730, 729  
Dönme açısı, 704, 704  
Dönme, açısı, 704, 704  
Dönme, eksen etrafında, 1171–1172  
Dönüüm nokta(sı)(ları), 248, 268–269, 269  
Dönüüm(ler), integrasyon ve, 1130–1132,  
1134–1135  
Jacobiyan determinantı, 1133–1134, 1134  
trigonometrik grafiklerin, 55  
Dönüüm formülleri, 48  
Dörte-bir bölgeler, 9  
Durak noktaları. Bkz. Denge değerleri  
Düsen cisim, karşı kuvvet ve, 669–670, 669  
Düzlem(ler), -de alan, 725, 725–727, 741e, 879e  
-e birim vektör, 876  
-e dik vektör, 875, 875–876  
-de Green teoremi, 1169–1181  
-de noktalar, içi uzaklıklık formülü, 13  
doğruların kesişimi ve, 885–886  
teget. Bkz. Teget düzlemler  
uzayda, 880, 880–887, 888e  
üç noktadan geçen, 884
- $e$  sayısı, ondalık açılımı, 494e, 502e  
limit olarak ifadesi, 491–492  
 $\ln x$ 'in tersi 486, 486  
tanımı, 477

Eğik asimtotlar, 111, 111  
**Eğim(ler)**, 16e, 202e, 211–212e, 237e  
 çemberin, 206, 206–207  
 doğrunun, 10, 10–11  
 eğrinin, 137  
 kutupsal eğrilerin, 719–721, 725e  
 parametrik eğrilerin, 197  
 teget, 195  
 ve teget, 138, 138, 140e, 156e, 169–170e  
 ve  $y$ -kesim noktası, 12  
 $y$ -doğrultusunda yüzeyin, 988, 988–989  
**Eğim, açısı**, 10, 11  
**Eğim alan(ları)**, 644, 644–645, 645, 649–650e, 675, 676  
 ve diferansiyel denklemler, 642–650  
**Eğim–kesim denklemi**, 12  
**Eğri(ler)**, arkotanjanta teget doğru, 527  
 altında alan, 373, 373  
 arasında alan, 379–381, 379  
 bulmak, 310–311, 311, 316e, 392e  
 çevresinde dolaşım, 1155  
 düzgün, 417  
 uzunluğu, 931  
 düzlem, eğrilik çemberi, 939–940  
 üzerinden ağı, 1156–1158, 1157, 1225–1226e  
 eğimi, 137  
 grafiği, 721, 721  
 için, eğrilik ve normal vektörler, 940  
 konkavlığı, 267, 267–272  
 kontur, 968, 969  
 kuadratik, 277e, 322e, 702, 705t  
 kutupsal, uzunluğu, 728–729, 731–732e  
 eğimi, 719–721, 725e  
 türevlenenbilir, arasında açı, 872–873e  
 uzunluk(ları) of, 416–424, 462e, 732e  
 için parametrik formüller, 419, 419  
 parametrik olarak tanımlı, 417, 417–419  
 ve çember çevreleri, 418–419  
 üremek, silindir için, 889, 890  
 seviye, 968, 969, 973e, 974e  
 gradiyentleri ve tegetleri, 1010–1011, 1011  
 sonlu ve sonsuz, 619, 619  
 sonsuz sayıda asimptotlu, 119, 119  
 parametrik. *Bkz.* Parametrik eğri(ler)  
 parametrelenmiş, 440, 440  
 parçalı düzgün, 910, 910, 1161–1162  
 teget, 135, 135, 1027e, 1064e  
 teğete, 134–135, 135, 137, 167, 167  
 uzay, boyunca yay uzunluğu, 931, 931–932  
 üzerinde bir kuvvetin yaptığı iş, 1152  
 uzayda, 906  
 için formüller, 949  
 sürekliliği, 909  
 $y = f(x)$ , uzunluğu, 419  
 yaklaşım, 63  
 -ye teget doğru, 1014, 1061e  
**Eğrilik, çemberin**, 939  
 düzlemsel eğriler için, 939–940  
 bulmak, 940, 940–941, 948, 960e  
 doğrunun (sıfır olarak), 937, 937

**Eğrilik, çemberin, (*Devamı*)**  
 düzlem eğrinin, 936, 936–939  
 hesapla formülleri, 947  
 helisin, 940, 940–941, 942e  
 için vektör formülü, 947  
 tanımı, 936  
 ve vektörler, eğriler için, 940  
**Eğrisel integral(ler)**, 1143, 1143–1149  
 eklenmiş iki yol için, 1145  
 hesaplanması, 1144, 1144, 1168e, 1223e  
 için Green Teoremi, 1174–1175  
 korunmali alanlarda, 1162–1164  
 temel teoremi, 1162  
 toplanabilirlik ve, 1145  
**Ekonomide türevler**, 177, 177–178  
**Eksen**, etrafında dönme, 1171–1172  
**Ekstrem fonksiyon değerleri**, çember üzerinde, 1044–1045, 1045  
**Ekstremum(lar)**, mutlak. *Bkz.* Mutlak ekstremumlar  
 bulunması, 247–252, 248  
 yerel. *Bkz.* Yerel ekstremumlar  
 bağıl, 247  
**Ekstremum Değer(ler)(i)**,  
 fonksiyonlarının, 244–252  
 iki değişkenli fonksiyonlar ve, 1027, 1027, 1028  
 yerel, 246–247, 247  
 aramak, 1031, 1031  
 birinci türev teoremi, 247  
 bulunması, 1029, 1029, 1030  
 ikinci türev testi, 1031  
 maksimum, 1028, 1028, 1033, 1034e  
 minimum, 1028, 1033, 1034e  
 türev testleri, 1027–1031, 1028  
**Ekstremum Değer Teoremi**, 347, AP-10, 247, 247  
**Elektrik akımı**, 654–655  
**Elektrik yükü**, yüzeyde dağılmış, 1185, 1185  
**Elektrik**, ev elektriği, 374, 374  
**Elektriksel dirençler**, 989, 989–990  
**Elektromagnetik Teori**, Kanunu, 1216–1217  
**Eleman(ları)**, kümelenin, 3  
**Elemanter olmayan integraller**, 597–598, 617e  
 hesaplanması, 827–828  
**Elips(ler)**, 44, 44–45, 48e, 688–690, 694e, 701e, 935e  
 alan formülü, 708  
 alanı 590, 590–591, 1136e  
 asal ekseni, 44, 689, 689  
 denklemleri, 690  
 dışmerkezliği, 697–698, 698  
 doğrultmanları, 698, 699  
 kutupsal denklemleri, 734–736, 736, 737–738e  
 merkez odak uzaklıği, 689  
 merkezi, 44, 45  
 odak ekseni, 688, 688  
 odakları, 688, 698  
 parametrik eğriler ve, 198–199  
 tanımı, 688

**Elips(ler), (*Devamı*)**  
 teget doğru, 1011, 1011  
 tepe noktaları, 688, 688, 699  
 uzaklık ekstremumları, 1046, 1046–1047  
 yedek ekseni, 44, 689  
 yarı asal eksen, 689  
 yarı yedek eksen, 689  
**Elipsoid(leri)**, 693, 693, 891–892, 892, 1109e  
 dönel yüzey, 892  
**En büyük tam sayı fonksiyon**, 25, 126, 126, 158e  
**En küçük üst sınır**, AP-10  
**Enerji**, kütle korunumu, 230–231  
**Epsilonlar**, için deltalar bulmak, 94–97  
**Eş Alan Kanunu**, 953, 953–954  
**Eşitsizlik(ler)**, mutlak değerler ve, 6–7  
 Cauchy-Schwartz, 872e  
 çözümleri, 3–5, 4  
 geometrik yorumu, 849, 851, 852e  
 için kurallar, 2  
 üçgen, 6  
**Eşlenik(ler)**, mutlak değeri, Ek-22  
 -le kompleks aritmetik, Ek-22  
**Euler formülü**, AP-17  
**Euler methodu**, 659–664, 660, 664e, 677  
 geliştirilmiş, 663, 663t, 664e  
 doğruluğu, 661–662, 661t, 662, 662t  
 kullanımı, 660–661  
**Euler özdeşliği**, 818, 821e  
**Euler sabiti**, 776–777  
**Euler'ın gamma fonksiyonu**, 660e  
**Eyer noktası**, 896–897, 1029, 1029, 1031, 1031, 1033  
**f'nin diskriminanti** 1030  
**Faiz**, sürekli bileşik, 504–505, 510e  
**Faktoriel notasyonu**  $n!$ , 754, 759e  
**Faraday Kanunu**, 1227e  
**Fark kuralı**, 162  
**Fark oranı**, 139  
**Farklar**, 39, 45e, 159–163  
**Faz doğru(ları)**, 666, 670, 670, 671e  
**Fermat Prensibi**, 281, 281–282, 289e  
**Fibonacci sayıları**, 755  
**Fick**, Adolf, 220e  
**Fısıldayan salonlar**, 693  
**Fonksiyon(lar)**, 19, 26e, 69e  
 arcsinüs ve arccosinüs, 519–521, 520  
 arctanjant ve arccotanjant 522–524, 522, 523  
 artan, 262–264  
 artan ve azalan, 33, 474e  
 aynı oranda büyümeye, 513  
 azalan, 262–264  
 belirleme, 28–38  
 bileşen, 906  
**Bileşik. *Bkz.* Bileşke fonksiyonlar**  
 bileşkeleri, 40, 70e  
 birim adım, 125, 125  
 limitleri, 42–44

Fonksiyon(lar), (*Devamı*)  
 birleştirilmeleri, 38–45, 40  
 büyümeye oranı, 511, 511–513, 512,  
 548–549e  
 cebirsel, 31  
 çift, integrali, 379  
 çift ve tek, 33, 37–38e, 48e  
     için Taylor serisi, 821e  
 çözümü, 643–644  
 değer kümesi, 19, 20, 965, 966, 973e  
 değişkenleri, 965–975  
 ekstremum değerleri, 244–252  
 en büyük tam sayı, 24, 25, 126, 126  
 grafikleri, ölçekleme ve yansıtma, 42–44  
     kaydırma, 41–42, 42  
 hesaplanması, 966  
 hiperbolik. *Bkz.* Hiperbolik fonksiyonlar  
 iki değişkenli, 966–968, 974e  
 ikiden fazla değişkenli, 981, 989, 1023  
     lineerleştirilmesi, 1023–1024  
 integrallenebilir, 345, 1068  
     ortalama değeri, 1083  
 integrallenemeyen, 346  
 kapalı olarak tanımlı, 205–207  
 karekökü, 29, 30e  
 kubik, 30, 254e  
 kurulması, 360  
 kuvvet, 29, 29, 30  
 küp kök, 29, 30  
 limitleri, 103, 103  
 lineer (doğrusal), 28, 28  
     ortalama değeri, 331, 331  
 logaritmik, 31–32, 33  
 monoton, 262–264, 263  
 mutlak değer, 128  
 negatif olmayan, ortalama değeri, 331, 331  
 ok diyagramı olarak, 20, 20  
 ortalama değeri, 331, 331, 352, 352, 354e  
 özeslik, 79, 79, 94, 95  
 parçalı-tanımlı, 24, 25, 26–27e, 70e  
 parçalı-sürekli, 346  
 peryodik, 52  
     için Taylor polinomları, 821e  
 polinom, 30, 30, 127–128  
 potansiyel, 1165–1166, 1168e  
 pozitif, grafiği altındaki alan, 349–351  
 quadratik, 30  
 rasyonel. *Bkz.* Rasyonel fonksiyon(lar)  
 reel-değerli, 20, 965  
 sabit, 28, 28, 79, 79, 94, 95  
     türevi, 159, 159  
 sağdan-sürekli, 125  
 salımım, 104–105, 105  
 sayısal temsili, 23  
 sıfır(ları) (kökleri), 131, 132  
 sık salınan, 61, 61–62, 62  
 simeirik, belirli integralleri, 378–379, 378  
 skaler, 907  
 sürekli. *Bkz.* Sürekli fonksiyon(lar)  
 sürekli türetilebilen, 417  
 soldan-sürekli, 125

Fonksiyon(lar), (*Devamı*)  
 tablo değerleriyle tanımlanan, 23  
 tanım küme(si)(leri), 19, 19, 20, 965, 966,  
 968, 973e  
 tanımak, 33, 37e  
 tanımı, 79  
 tamsayı taban, 24, 25  
 ters. *Bkz.* Ters fonksiyon(lar)  
 ters trigonometrik. *Bkz.* Ters trigonometrik  
     fonksiyon(lar), ters  
 transendant, 32–33, 33, 466–552  
 trigonometric. *Bkz.* Trigonometrik  
     fonksiyon(lar)  
 türevlenebilir. *Bkz.* Türevlenebilir  
     fonksiyon(lar)  
 türevi sıfır, 258  
 türevinden bulmak, 157  
 üç değişkenli, 969–970, 1012–1013, 1025e  
     için Zincir Kuralı, 995, 1000, 1003e  
 üstel. *Bkz.* Üstel fonksiyon(lar)  
 vektör (vektör-değerli). *Bkz.* Vektör fonksiyonlar (vektör-değerli)  
 ve grafikleri, 19, 21, 21, 22, 22, 26e, 69–70e,  
 71–72e  
 ve türevler. *Bkz.* Türev(ler), ve fonksiyonlar  
     y'ye göre integrasyon ve, 381–382, 382  
     yakın nokta, davranışı, 77–78, 78, 78t  
     yüzeyler üzerinde tanımlı, 999–1001  
 Fonksiyon değerleri, tahmini, 619  
 Fonksiyonlar, uzaya, ortalama değerleri, 1105,  
 1105  
 Fourier serileri, 586e, 833–838, 836, 842e  
 Fourier yaklaşım fonksiyonları, 837, 837  
 Fourier, Joseph, 833  
 Fractal havuzlar, Newton yöntemi ve, 303–305,  
 304  
 Franklin, Benjamin, vasiyeti, 510e  
 Freeth'in Nefroidi, 725e  
 Frenet çerçevesi, 943–945, 945, 950e  
 Fubini Teoremi, 1069, 1069–1071, 1073  
 Fubini, Guido, 1070  
 Gabriel'in borusu, 632e  
 Galileo Kanunu, 74  
 Galileo'nun serbest düşme formülü, 180e  
 Gateway Arch, batıya, 535  
 Gauss Kanunu, 1216–1217  
 Geçici çözüm, 655  
 Gelir, marjinal, 178, 182e, 241e, 282–283, 283  
 Genel çözüm, 311  
 Genel kuvvet fonksiyonu, 496  
 Genel lineer denklem, 12  
 Genel sinüs eğrisi, 55, 58e  
 Genel sinüs fonksiyonu, 55  
 Genelleştirilmiş integral(er), 553, 619–630  
 Genetik data, değişimde duyarlılık, 179  
 Genişleme, sürekli, 143  
 Geometri, 72e, AP-30–AP-31  
     grafik çizimi ve, AP-21  
 Gezegen hareketi, 950–958, 952, 952–953  
 Gezegen(ler), güneşten uzaklık, 36t

Gezegen yörüngeleri, 737, 737, 739e, 957, 957t,  
 958t  
 dışmerkezlikleri, 698, 698t  
 Global ekstremumlar, 244  
 Görüntü penceresi, 59, 60  
 Görüntü, 1128  
 Görüş çerçeve(leri), 59, 60, 66e  
 Gradiyent(ler), cebir kuralları, 1012, 1014e  
     seviye eğrilerine, 1010–1011, 1011  
 Grafik(ler)(i), 9, 69e  
     büyük ölçekte özdeş, 121, 121  
     çizimi, 21–22, 22  
     -den limitler, 81–82  
 fonksiyonlar ve, 26e, 69–70e, 71–72e  
 fonksiyonlarının, ölçekleme ve yansıtma,  
 42–44  
     kaydırma, 41–42, 42, 46–47e  
 iki değişkenli fonksiyonların, 968  
 kaydırma, 41–42, 46–47e  
 rasyonel fonksiyonların, 61, 61  
 yay uzunluğu formülü, 420  
 Grafik çizimi, hesap makinesi ve bilgisayarla,  
 59–65  
 türevlenebilir fonksiyonların, 272–273, 273,  
 275–276e  
 türevlerin, 150–151, 151, 156–157e  
     ve geometri, AP-21  
 Gradiyent alan(lar), 1152–1155, 1158e, 1169e  
 Gradiyent kuralları, 1012  
 Gradiyent vektör, 1008  
 Grafik çizim penceresi, 59–63  
 Gravitasyon sabiti, 952  
 Green formülü, 1222e  
 Green Teoremi, 1169–1181, 1218–1219, 1220,  
 1225e  
     eğrisel integralleri hesaplama, 1174–1175  
     ve Laplace denklemi, 1181e  
     ve Stokes Teoremi, 1203, 1203  
 Green Teoremi ve, 1181e  
 Hacim(ler), -de değişim, 1021–1022  
     bulmak, 1074, 1101–1102, 1102  
     bulmak için pul ve kabuk yöntemleri,  
 475  
 cisim(lerin), 396, 397, 398, 461–462e, 1106e,  
 1126–1127e  
 dönel cisimlerin, 399–404, 400, 401, 402,  
 403, 407e, 589–590, 590  
 eksenler etrafında ölçekleme ve döndürme ile,  
 396–409  
     için Pappus teoremi, 443, 443  
 kisit ile, 1032–1033  
 kürenin, 400, 400–401  
 olarak iki katlı integral, 1068–1069, 1069  
 silindirin, 218e, 1025  
 silindirik kabukların, 409, 409–416, 410  
 sonsuz cismin, 626, 626  
 prizmanın, 1075, 1075  
 piramidin, 398

Hacim(ler), -de değişim, (*Devami*)  
tanımı, 1099  
takozun, 399, 399  
torusun, 407–408e, 443, 443  
vazonun, 617  
Halley kuyruklu yıldızı, 698–699, 699, 739e  
Hareket, doğru boyunca, 172, 269–270, 276e, 288e  
basit harmonik, 186, 186, 189e  
birim çember üzerinde, 935, 935  
dikey, 176, 176–177, 288e  
dikey doğru, 200–201  
doğru üzerinde, 918  
doğrultusu, 173, 173, 910  
gezegen, 950–958, 952, 952–953  
kutupsal koordinatlarda, 951, 951, 963e  
mermi. *Bkz.* Mermi hareketi  
silindirik koordinatlarda, 951, 951, 964e  
ters türevler ve, 311  
yatay, 174, 174  
Newton Kanun(ları) of, 669, 673  
uzaya, 906–964  
yay üzerinde, 186, 186  
vektör fonksiyonların türevleri ve, 909, 909–911  
Hareket eden parçaçık, 525–526  
Harita, üzerinde conturlar, 1005–1006, 1006  
Harmonik seri, 772–773  
Hassaslık, değişime, 179, 229–231  
ilaca, 170e, 290e  
minimum maliyet, 284–285  
Hastalık, bulaşmak, yayılma, 504, 509e  
Hata(lar), diferansiyel yaklaşımada, 227, 227–229  
kesme, 815–817  
Hata tahmini, 793e, 811–819, 820e, 1022, 1025–1026e  
Hata terimi, 318  
Heaviside metodу, 576–577  
ile integrasyon, 577–578  
Helikopter, uçuşu, 882  
Helis, bilgisayarla üretilen, 908, 908  
boyunca aki, 1155–1156  
eğriliği, 940, 940–941, 942e  
grafığı çizimi, 907, 907  
Hesap makineleri, ile grafik çizmek, 59–65, 267e  
Hız(lar), ivmeden, 259–260, 261e  
-a orantılı karşı direnç, 673–674  
anlık, 172  
iki parçacığın, 242e  
son, 670  
sürat çarpı yön olarak, 859  
ortalama, 172  
ve uzaya ivme, 916–917  
yarış arabasının, 172  
Hız alanları, 1155–1156  
Hız fonksiyonu, merminin, 329  
Hız vektör(leri), 853, 853, 862e, 910, 1150, 1150–1152

Hızlı salinan fonksiyon, grafiği, 61, 61–62, 62  
Hidrodinamik, sürekli denklemi 1217, 1217–1218  
Hidrojen iyon konsantrasyonu, 499  
Hiyerbol(ler), 690–692, 694e, 701–702e, 708e  
asimptotları, 691–692, 692, 697e  
diş merkezliği, 699–700, 699, 702e  
için denklem(ler), 692, 699–701, 701, 703–704e, 703  
odak ekseni, 691, 691  
odakları, 690, 690, 699  
parametrelenmesi, 709–710, 710  
için kutupsal denklemeler, 734–736, 736, 737–738e  
tepe noktaları, 691, 691  
Hiperbolik fonksiyon(lar), 535–536, 535t, 601e  
değerleri ve özdeşlikleri, 542–543e  
için integral formülleri, 537–538, 537t  
tanımları ve özdeşlikleri, 535–537, 535t  
tersleri, 538–539, 539  
-a yol açan integraller, 541–542, 542t  
hesaplanması, 543–544e  
için özdeşlikler, 539t, 539–541  
türevleri, 540–542, 540t  
türevleri, 537–538, 537t, 534e  
Hiperbolik cosinus, ters, türevleri, 540–541  
Hiperboloid(ler), 894–896, 895, 896  
Hooke kanunu, yayar için 449  
Huygens, Christiaan, sarkaç saatı, 710, 710  
İşı iletimi, 507–508  
İç çarpım. *Bkz.* Nokta çarpım(ları)  
İç nokta(lar), 3, 967, 967, 1031  
-da dikey asimtotlar, 624, 624  
uzay bölgeleri için, 970, 970  
İki katlı integral formülleri, 54, 57e  
İkinci türev testi, 283, 322e, 820e, 1033  
türemesi, 1054–1056, 1055  
İlerleme ve yükselme, 10  
İlişkili oranlar denklemi, 214–217  
İndirgeme formül(eri), 567–568, 570e, 595–597, 601e  
İndis, 747, 764  
İndisi, toplamın, 336, 337  
Integral(ler), 325, 481–483, 493–494e, 622  
aki. *Bkz.* Aki integral(eri)  
akışkan kuvvetleri için, 457  
belirli. *Bkz.* Belirli integral(ler)  
belirsiz. *Bkz.* Belirsiz integral(ler)  
bilinmeyen, çözme, 564–565  
birleştirilmesi, geometri ile, 383, 383  
değişim, sınır, uydurmak için değişim, 381, 381  
doğal logaritmanın, 563  
dönüşümleri, 373  
Eğrisel. *Bkz.* Eğrisel integral(ler)  
elemanter olmayan, 597–598, 617e, 841e  
hesaplanması, 827–828  
genelleştirilmiş, 553, 619–630  
hesaplama için değişken dönüşümü, 371

Integral(ler), (*Devami*)  
hesaplanması, 353e, 361–363, 365e, 374–375e, 531–532e, 580e  
iraksak genelleştirilmiş, 623–624  
için Toplanabilirlik Kuralı, 360, 1145  
iki katlı, 1067–1081, 1140e  
-de değişken dönüşümü, 1128–1132, 1129, 1130  
kutupsal formda, 1092–1098  
katlı, 1067–1142  
değişken dönüşümleri, 1128–1137  
tanımları, 1067  
kutupsal koordinatlarda, 1092–1093  
pozitif olmayan fonksiyonların, 354  
tan  $x$  ve sec  $x'$ in kuvvetleri(nin) 583  
tekrarlı, 1070  
temel formüllere uydurmak, 558  
ters hiperbolik fonksiyonlara yol açan, 541–542, 542t  
sınırlı dikdörtgensel olmayan bölgeler üzerinden 1072–1075  
secant ve cosecant, 558  
tabloları, T-1–T-6  
trigonometrik, 581–586  
üç katlı, 1098, 1098–1099, 1106e, 1140e  
değişken dönüşümü, 1132, 1132–1135, 1133, 1134  
kartezyen koordinatlarda, 1098–1109  
silindirik koordinatlarda ve küresel koordinatlarda, 1114–1128  
özellikleri, 1105–1106  
üstel fonksiyonların, 489–491, 495–497  
vektör fonksiyonların, 914–916  
yalnız hesaplanması, 626  
yoldan bağımsızlığı, 1162–1163  
Integral formülleri, 528–529  
Integral tabloları, 593–595, 600–601e  
Integral teoremleri, 1218–1220  
Integral testi, 772–775, 773, 774  
Integrandlar, 370, 622–626  
Integrasyon, 325–395, 642–681  
belirsiz, terim-terime, 313–314  
BCS ile, 598–600  
değişkeni, 312, 345  
katlı, 1071  
kısımlı, 561–568, 568e, 569e  
sabit, 313–314  
sınırı, 1093–1095, 1095, 1100–1105, 1102, 1103  
bulunması, 1076–1077  
sıra(ları), 1104, 1104–1105  
değişim, 1108–1109e, 1141e  
sırnan değişimi, 1077, 1077, 1079e  
silindirik koordinatlar, 1115–1119  
sınırı, 1116, 1116–1117  
sayısal, 603–619, 617e  
sonsuz sınırları, 619, 619–620  
tablolu, 565–567  
teknikleri, 553–633  
terim-terime, 801–802  
vektör uzaylarında, 1143–1228  
 $y'$ ye göre fonksiyonlar ve, 381–382, 382

- İntegrasyon çarpımı, 651  
 İntegrasyon formülleri, 528, 553–558, 554t  
 İntegre et komutu, 598  
 İntegre etmek, üstelleri, 490  
 İrrasyonel sayılar, 3  
 İş, 447–455, 463e, 465e, 868–869, 872e  
     değişken kuvvetin yaptığı, 448, 452–453e  
     uzay eğrileri üzerinde, 1154, 1154–1155  
     korunmali alanlarla, 1163  
     sabit kuvvet, 447–448, 868, 868, 1169e  
     tanımı, 447, 868  
     uzayda eğri üzerinde kuvvetin yaptığı, 1152,  
     1152–1155, 1158  
 İş integralı, 1155, 1169  
 İşaret kuralı, AP-29  
 İşlemler cebiri, vektörler içeren 856, 856–858,  
     857  
 İvme, 175  
     hız ve konum formu, 259–260, 261e  
     normal bileşenin, 966  
     tegetsel ve normal bileşenleri 945–947, 946,  
     947, 949e  
     uzayda, hız ve, 916–917  
 İvme vektörleri, 910  
 İz, 890
- Jacobi, Carl, 1129  
 Jacobiyen determinant(lar), 1129, 1130–1131  
     dönüşümün, 1133–1134, 1134  
 Joule, 447  
 Joule, James Prescott, 447
- Kalan Tahmin Teoremi, 813–814, 815, 816, 817  
 Kalan, n. mertebeden 812, 813  
 Kalınlık değişimi, 412  
 Kan şekerleri, konsantrasyonu, 150–151, 150, 151  
 Kapalı aralık, 3  
 Kapalı bölge, 970  
 Kapalı türetme, 205, 205–211, 206, 207, 208,  
     211e, 236e, 995e, 1001–1002, 1004e,  
     1060e  
 Kar şekli eğrisi, Helga Von Koch'un, 771e  
 Kar, marjinallı, 282–283, 283  
 Kararlı denge, 667–671  
 Kararlı-konum çözümü, 655  
 Kararlı-konum değeri, 655  
 Kararsız denge, 667–671  
 Karbon-14, 506–507, 511e  
 Kardioid(ler), 720, 720, 725e, 744–745e  
     uzunluğu, 729, 729  
 Kare çerçeve, 60, 60  
 Kare matris, AP-24  
 Kare, kareye tamamlama, 555, 559e, AP-38  
 Karekök fonksiyonu, türevi, 149, 149  
 Karekök(ler), kareköktен kurtulmak, 556,  
     559–560e, 583  
 Kareye tamamlama, 529–530, AP-30  
 Karışık türev teoremi, 991–992, AP-23–AP-25  
 Karışım problemleri, 655  
 Karşılaştırma test(leri), 628, 629, 629,  
     777–780
- Kartezyen denklem(ler), ve kutupsal denklem-  
     ler, 716, 716–717, 718–719e  
     doğrunun kutupsal denklemleri, 733, 733,  
     741–742e  
 Kartezyen düzlem, 9  
 Kartezyen integraller, 1095–1096, 1096  
 Kartezyen koordinat sistemi, 848, 848, 874  
 Kartezyen koordinat sistemi, 9  
 Kartezyen koordinatlar, 9, 9, 848, 1126e, 1139e  
     -da) üç katlı integraller, 1098–1109, 1139e  
 Katar (tren)i, 33, 33, 546e  
 Kati cisim(ler), dik-kesitleri, 396, 397, 405e  
     büyükmüş, 406  
 hacim(leri) of, 396, 397, 398, 461–462e,  
     1126–1127e  
     eylemsizlik momenti, 1123  
     sonsuz, hacmi, 626, 626  
     uzayda, kütle merkezi 1110–1111, 1111  
 Katlar, 159–163  
     türevleri, 158  
 Katsayı(lar), 30, 571, 578  
 Kaydırma formülleri, 41  
 Kaydırma, grafik, 41–42, 46–47e  
 Kayma düzeltmesi, 524, 524  
 Kepler denklemi, 963e  
 Kepler Metodu, parabolller için, 697e  
 Kepler'in birinci kanunu, 953–956  
 Kepler'in hipotezi, 63  
 Kepler'in ikinci kanunu, 953, 953–954  
 Kepler'in üçüncü kanunu, 35–37, 956, 959e  
 Kesim noktaları, 12, 16e  
 Kesir(ler), integrasyon, 573–574  
     indirgenmesi, 556–557  
     ayırılması, 557, 559e  
 Kesirli tek kuvvet, grafiği, 62, 62–63  
 Keşşim noktaları, gizli, 722–723, 723  
 Kesme hatası, 815–817  
 Keyfi sabit, 307  
 Kısmı türev(ler), 965–1066, 1000–1001, 1001  
     birinci-mertebe, 994e  
     dördüncü-mertebe, 992  
     fonksiyon olarak, 984–986, 987–988,  
     1063–1064e  
     hesaplanması, 987–989, 1060e  
     kısıtlı değişkenlerle, 1049–1054,  
     1053–1054e, 1062–1063e, 1064e  
     ikinci-mertebe, 991–992, 1060e, 994–995e  
     ve süreklilik, 990, 990  
     yüksek mertebeden, 992  
 Kısmı kesir(ler), 570–579  
 Kinetik enerji, 1085, 1085–1086  
     iç ve, 457–458e  
 Kiriş doğru(lar), 75  
 Kiriş, 50, 75  
 Kök(ler), 131, 133e, 143e  
     dördüncü derece, AP-20  
     kompleks, 306e, AP-22  
     kuvvetler ve, AP-21–AP-22  
         için kuvvet serileri, 822–824  
 Kök bulma, 131, 132, 305e, 306e  
 Kök testi, 784–785  
 Kompleks eşlenik, Ek-16
- Kompleks sayı sistemi, Ek-14  
 Kompleks sayı(lar), Ek-12–Ek-22  
 Koni(ler), 893–894, 1097e  
     eliptik, 893, 893–894  
     hacmi, 408e, Ek-31  
     parametrelemesi, 1193, 1193  
     yüzey alana, 240e, 1195–1196  
 Konik bantlar, yüzey alanı ve, 442, 442  
 Konik kesit kuralı, 953  
 Konik kesit(ler), 685, 686, 740–741e, 743e  
     diş merkezliye göre sınıflamak, 697–701  
     kutupsal koordinatlarında, 732–736, 741e  
     kutupsal denklemleri, 734, 734, 735, 737e  
     ve kutupsal koordinatlar, 685–745  
 Konik tank, doldurmak, 217, 217  
 Konkavlık testi, 268, 268  
 Konkavlık, 267, 267–272  
 Kontur eğrileri, 968, 969  
 Konum vektörü, 1064e  
 Konum, ivmeden, 260–261, 262e  
 Korunmalı alan(lar), kapalı-döngü özelliği,  
     1163, 1163–1164, 1164  
     için bileşen testi, 1164  
     için potansiyeller, 1164–1166  
     yaptığı iş, 1163  
     yoldan bağımsızlık ve, 1161  
     ve Stokes Teoremi, 1208–1209, 1209  
 Koordinat artımları, 10, 10  
 Koordinat çerçevesi, sağ-el kuralına göre, 848,  
     848  
 Koordinat çiftleri, 9  
 Koordinat dönüşüm formülleri, 1123  
 Koordinat düzlem(ler), 848–849, 849  
     etrafında birinci moment, 1110  
     içinde trigonometrik fonksiyonlar, 52  
 Koordinat eksenleri, 9  
     dönüşüm, 703, 707–708e  
     etrafında eylemsizlik momenti, 1111, 1111  
 Koordinat sistemleri, üç-boyutlu, 848–851  
 Koordinatlar, 69e, 952–953. Bkz. ayrıca  
     Kartezyen koordinatlar; Silindirik koordi-  
     natlar; kutupsal Koordinatlar  
 Kosekant, 50  
 Kosinüs(ler), 50, 51t  
     hesaplama için döndürme, 707, 707  
     kuralı, 54  
     ve sinüsler, kuvvetlerinin çarpımı, 581–583,  
     585–586e  
 Kosinüs fonksiyonu, türevleri, 184–185, 185  
 Kotanjant, 50  
 Kova, kaldırırmak, 450, 450  
 Kramer Kuralı, 212e  
 Kritik nokta(ler), 248, 1033, 1035e, 1035e  
     mutlak ekstremum değer olmayan, 250, 250  
     tanımı, 1029  
 Kutu, çarpımı, 877, 877–878, 879e  
 Kutu, üretimi, 278, 278, 286–287e  
 Kutupsal denklem(ler), 715–716, 718e  
     emberler için, 732–734, 732, 733, 737e  
     doğrular için, 732, 732, 737e  
         Kartezyen formda, 732, 732, 741e

Kutupsal denklem(ler), (*Devamı*)  
 elipsler, paraoller ve hiperboller için, 734–736, 736, 737–738e  
 Kartezyen denklemeler, 716, 716–717, 718–719e  
 konikler için, 734, 734, 736  
 Kutupsal eğri(ler), 728–729, 731e  
 Kutupsal grafik, -in kesimleri, 722–723 simetri ve, 719, 725e  
 Kutupsal integraller, 1095–1096, 1096  
 Kutupsal koordinatlar, 714, 714–718, 718e, 1004–1005e, 1138–1139e, 1141e  
 -da alan ve uzunluk, 725–730, 1095, 1097e  
 -da hareket, 951, 951, 963e  
 -da integraller 1092, 1092–1093, 1093 grafik çizimi, 719–724 konic kesitler ve, 685–745, 732–736, 741e kullanarak integral hesabı, 1096, 1096 yaniltıcı, 722  
 Kuvvet(ler), 159–163, AP-19 açılımları, 555–556 sinüs ve cosinüs’ün kuvvetleri, çarpımları, 581–583, 585–586e tan  $x$  ve sec  $x$ ’in 586e integralleri, 583 trigonometrik, 560e ve kökler, AP-21–AP-22 için binom serisi, 822–824  
 Kuvvet(ler), sabit, yaptığı iş, 447–448, 868, 868, 1169e  
 akişkan. *bkz.* Akişkan kuvvet(leri)  
 değişken, yaptığı iş, 448, 452–453e etkili, 855, 855 uzay aracı üzerinde, 870  
 Kuvvet fonksiyonları, 29, 29, 30, 496  
 Kuvvet kuralı, 168, 369 genel formu, 492 integral formda, 368–370 irrasyonel kuvvetlerle, 493 pozitif tam sayılar için, 160 rasyonel kuvvetler için, 209–211 Zincir Kuralı ve, 211  
 Kuvvet sabiti, 449  
 Kuvvet serileri, 794–803, 796, 840–841e çarpımı, 803 kullanarak limitler, 829–830 problem çözümünde, 824–827 uygulamaları, 822–831  
 Kuvvet vektörü, 859, 861–862e  
 Kuvvet Zincir Kuralı, 194  
 Kuyu, derinliği, 227, 229–230  
 Küçük-o notasyonu, 514  
 Kümelerin kesimi, 3  
 Küre(ler), 892 hacmi, 400, 400–401, 1140e, AP-31 merkez ve yarıçapları, 851, 851, 852–853e parametrelenmeleri, 1193, 1194 uzayda, uzaklık ve, 850–851 yüzey alanı, 1196

Küresel koordinatlar, 1126e, 1139–1140e  
 -da hacim bulmak, 1122, 1122–1123  
 -de üç katlı integraller, 1114–1128  
 denklemeleri, 1119–1121, 1120, 1121 tanımı, 1119 ve integrasyon, 1119, 1119–1122, 1120  
 Kütle(ler), doğru boyunca, 424–426, 425 düzlemsel bölgelerde, 428, 428–429 enerji korunumu, 230–231 eylemsizlik momenti ve, 1109, 1109–1110 hesaplanması, 1146, 1146–1147 merkezi, momentler ve, 424–435, 464e ve momentler, hesaplanması, 1145–1147, 1146, 1146t üç boyutta, 1109–1114  
 l’Hopital Kuralı, 292–293, 295, 297, 298e, 320e, 752–753  
 l’Hopital, Guillaume de, 292  
 Lagrange çarpanları, 1038–1049, 1062e  
 Lagrange, Joseph-Louis, 257  
 Laplace denklemi(leri), 995–996e, 1005e  
 Lastik band, germek, 134, 452e  
 Leibniz formülü, 828–829  
 Leibniz kuralı, 243e, 393e, 1064e  
 Leibniz notasyonu, 222, 225, 418  
 Leibniz teoremi, 787  
 Leibniz, Gottfried Wilhelm, 150, 344, 356  
 Lemniscate, 722–723, 722  
 Limaçon(lar), 725e, 727–728, 727  
 Limit(ler), 77, 531e, 532e, 550e  
 değişim oranları ve, 73–81  
 fonksiyon değerlerinin, 77–80  
 fonksiyonların, 103, 103  
 iki değişkenli, 976–979  
 hesaplanması, 79, 84–89, 89–90e, 977–978  
 için hesap makineleri ve bilgisayarlar, 80–81, 81t  
 iki-taraflı, ispatı, AP-7  
 integrasyonun, 1093–1095, 1095, 1100–1105, 1102, 1103  
 karşılaştırma testi, 628, 629, 629  
 kesin tanımları, 91–98, 92, 94, 145e  
 kuvvet serisi kullanan, 829–830  
 olmadığı, iki-yol testi, 980, 980–981  
 tek-taraflı, 102–107  
 polinomların, 86, AP-7  
 rasyonel fonksiyonların, 113–114e, AP-7  
 Riemann toplamlarının, 343–356  
 sağdan, 102, 102, 104, 104  
 ispatı, AP-6  
 sık karşılaşan, AP-7–AP-9  
 ( $\sin 0/0$ ) içeren, 105, 105–107  
 soldan 102, 102, 104, 104  
 ispatı, AP-7  
 sonlu,  $x$  sonsuza yaklaşırken, 107, 107–108, 113e  
 sonlu toplamların, 339–340  
 sigma notasyonu ve, 335–343  
 sonsuz, 115–118, 122e  
 integralin, 619, 619–620  
 Limit(ler), (*Devamı*)  
 sonsuzda, 107–114, 108, 108  
 üst, toplamların, 343  
 varlığı, 82  
 ve süreklilik, 73–141, 142–143e  
 vektör değerli fonksiyonların, 908  
 yüksek boyutta, 976–984  
 Limit bölüm kuralı, ispatı, AP-5–AP-6  
 Limit çarpım kuralı, ispatı, AP-4–AP-5  
 Limit karşılaştırma testi, 778–780  
 Limit kuralları, 84–89, AP-4  
 Limit nüfus, 670  
 Limit Teoremleri, ispatları, AP-4–AP-7  
 Lineer çarpan(lar), farklı, 572–573  
 Heaviside “örtme” yöntemi için, 576 tekrarlı, 573, 579e  
 Lineer denklem(ler), 12  
 çözümü, 651–652  
 Lineer fonksiyon, 91, 91–92  
 ortalama değeri, 331, 331  
 Lineer yaklaşım(lar), 223, 231e, 232e, 234e, 822e  
 3-boyutlu uzayda, 1023–1024 bulunması, 1058  
 için hata formülü, 1056 standart, 1019, 1020, 1025e  
 Lineerleştirme(ler), 221–225, 222, 223, 224, 231e, 240e, 494e, 501e  
 bulunması, 1019–1020, 1025e, 1061e fonksiyonlar ve, 234e, 1018–1019, 1019, 1023–1024  
 ve lineer yaklaşımlar, 223, 231e, 234e  
 Logaritma(lar), 10 tabanında, 499–500  
 $a$  tabanında, 497, 497, 498t  
 içeren türevler ve integraller, 498–499  
 doğal, 476–485  
 grafik ve değerleri, 480–481, 481  
 integralleri, 563  
 türevleri, 478–479, 484e  
 özellikleri, 479–480, 484e  
 Logaritmik fonksiyon(lar), 31–32, 33  
 farklı tabanlarda, 513  
 Logaritmik türetme, 483–484, 485e, 500e, 547e  
 Logistik büyümeye, 670  
 Lorentz kısıtlaması, 144e  
 Maclaurin serileri, tanımı, 806  
 bulunması, 820  
 seri temsilleri, 806  
 Taylor serisi ve, 805–810  
 Maksimum(lar), mutlak, 244  
 kapalı sınırlı bölgelerde, 1031  
 kısıtlanmış, 1038–1041  
 yerel, 247  
 Maks-min testleri, 1033  
 Maliyet(ler), günlük ortalama, 284, 284  
 marjinal. *Bkz.* Marjinal maliyet  
 minimize etmek, 284, 284  
 minimum, hassaslığı, 284–285

- Marjinal gelir, 178, 182e, 241e, 282–283, 283  
 Marjinal kar, 282–283, 283  
 Marjinal maliyet, 177, 178, 182e, 276e, 282–283, 283  
 Marjinal vergi oranı, 178  
 Matematiksel indüksiyon, AP-1–AP-4  
 Matematiksel modeller, fonksiyonlar için, 28–38, 35  
 Maya, 64, 64  
 Mendel, Gregor Johann, 179  
 Mercek(ler), 207, 208  
 Merkez (i), kütle, yay, 1147, 1147  
     bulmak, 1189, 1189–1190, 1198, 1198  
     değişken yoğunluklu plakanın, 432–433, 1084, 1084–1085  
     hesaplanması, 1146, 1146–1147, 1149e  
     ince bir plakanın, 429, 429–433, 430, 1083–1085, 1084  
     momentler ve, 424–435, 464e  
     sabit yoğunluklu plakanın, 431–432, 432  
     sabit yoğunluklu telin, 433, 433  
     tanımı, 426  
     uzayda bir cismin, 1110–1111, 1111  
 Merkez(ler), 433, 462–463e, 602e, 1089e, 1111, 1127e, 1138e, 1141e, 1191e  
     akışkan kuvveti, ve, 458, 458  
     bulmak, 1118, 1118–1119  
     geometrik şekillerin, 1088, 1088–1089  
     yarım daire bölgelerin, 443, 443–444, 444  
 Merkez, çemberin, 14  
 Mermi hareketi, 180e, 871e, 960–961e  
     ideal, 923, 923  
         yükseklik, uçuş zamanı ve erim, 922–923, 927e  
         için vektör ve parametrik denklemler, 920–922, 921  
     ideal yörüngeleri, 923–924, 930e  
     modellemesi, 920–927  
     rüzgar içinde, 926–928  
 Mermi, yüksekliği, 329  
     hız fonksiyonu, 329  
     ideal, atesleme, 921–922, 924–926  
 Mertebe ve o-gösterimi, 514, 516e  
 Meyve sinekleri (*Drosophila*), ortalama büyümeye oranı, 75–76, 76, 157e  
     belirli bir günde büyümeye oranı, 76–77, 76  
 Minimum(lar), mutlak, 244  
     kapalı sınırlı bölgelerde, 1031  
     kısıtlı, 1038–1041, 1041, 1047e  
     yerel, 247  
 Moment(ler), 1127–1128e, 1138e  
     birinci, 1086  
         koordinat eksenleri etrafında, 1110  
     ikinci, 1086  
     kutupsal, 1086–1087, 1138e  
     orijin etrafında sistemlerin, 425  
     ve kütle merkezleri, 424–435, 464e  
     ve momentler, ince kabukların, 1189, 1189–1190, 1189  
         üç boyutta, 1109–1114  
 Moment, açısal, 963e  
 Moment(ler) eylemsizlik, 1085, 1085–1088, 1086, 1089–1090e, 1112e, 1140e, 1180e  
     hesaplanması, 1146–1147, 1149e  
     jirasyon yarıçapı ve, 1087–1088, 1090e, 1112e, 1127e, 1138e  
     koordinat eksenleri etrafında, 1111, 1111  
     kütle ve, 1109, 1109–1110  
 Monoton fonksiyonlar, 262–264, 263  
 Motor silindiri, yapımı, 100  
 Möbius band, 1187, 1187  
 Mutlak değer(ler), 5, 6, 8e, 69e  
 Mutlak ekstremum, 244, 244, 245, 246  
     bulmak, 250, 1031, 1031–1032, 1034e, 1062e  
     kapalı aralık üzerinde, 249–250, 251  
     uç noktalarda, 249, 249  
 Mutlak maksimum, 244, 1031  
 Mutlak minimum, 244, 1031  
 Mutlak yakınsaklılık testi, 789–790  
 Napier eşitsizliği, 551e  
 Napier, John, 479, 510e  
 Negatif tam sayılar, için kuvvet kuralı, 166–168  
 Newton (Newton–Raphson) methodu, 299, 321e, 758e, 760e  
     başarısızlığı, 303, 303, 304  
     fractal havuzları ve, 303–305, 304  
     için prosedür, 299–300, 300  
     uygulamaları, 300–302, 301  
     yakınsaklılığı, 302, 302  
 Newton, Sir Isaac, 150, 356  
     hareket kanunu(ları), 669, 673, 952, 952  
     ikinci, 230  
     soğutma kanunu, 507–508, 668, 668  
 Newton serpentini, 534e  
 Nokta çarpım(ı)(ları), 862–870  
     bulunması, 863, 863–864  
     özellikleri, 866  
     tanımı, 863  
     üçlü, 877, 877–878, 879e  
 Nokta çarpımı kuralı, ispatı, 912  
 Nokta çizimi, 63  
 Nokta-eğim denklemi, 11, 137  
 Nüfus artışı, 670, 671–672e  
     modellemesi, 674–679  
     sinirsız, 503–504  
 Nüfus seviyeleri, tahmini, için eğri, 64, 64–65, 65  
 Nüfus, sınırlamak, 670  
     dünya, 675, 675t, 675, 676  
     maksimum, 676  
 Ohm kanunları, 654  
 Ok diyagram(ı), 20, 20, 1052–1053  
 Okçu, yanar ok atmak, 924, 924–926, 925, 929e  
 Ondalıklar, tekrarlı, 765, 770e  
 O-notasyonu, 514, 516e  
 Optimizasyon, 278–285  
 Oran testi, 781–784, 796, 799, 844e  
 Oranlar, trigonometrik, 50, 50  
 Orantılılık, 35, 38e, 391–392e  
 Ordinat, 9  
 Oresme Teoremi, 844e  
 Orijin, koordinat sisteminin, 9  
 Orta nokta kuralı, 327, 327  
 Ortak çarpan, sadeleştirme, 86–87, 87  
     yatratmak, 87  
 Ortalama değer(ler), integrallenebilir fonksiyonların, 1083  
     lineer fonksiyonların, 331, 331  
     negatif olmayan fonksiyonların, 331, 331  
     sin  $x$  in, 331–332, 332  
 Ortalama Değer Teoremi, 257, 257–258, 258, 260e, 262, 266, 319e, 437, 438, 812, AP-26–AP-27  
     belirli integraller için, 356, 356–357, 357, 361  
     sonuçları, 258–259, 259  
     Taylor teoremi ve, 820e  
 Ortalama değişim hızı, limiti, 90  
     ve kirip doğruları, 75  
 Ortalama günlük maliyet, 284, 284  
 Ortalama hız, 172  
 Ortalama hız(lar), 73–74, 74t  
 Ortalama karenin karekökü, 374  
 Ortogonal eğriler, 502e  
 Ortogonal gradient teoremi, 1042  
 Ortogonal vektörler, 865, 869, 869–870  
 Ortogonal yörüngeler(ler), 679, 679–680, 680  
 Ortogonalilik, 865  
 Otomobil, askiya almak, 448  
 Ölçekleme, yansıtma, 43, 43–44  
     dikey ve yatay, 47e  
 Önörüntü, 1128  
 Özdeşlik(ler), 53–54, 240–241e, 1208, AP-32  
     arcsinüs ve arccosinüs içeren, 521, 521  
     değişken dönüşümü ve, 372  
     Euler, 818, 821e  
     ters fonksiyon, ters kofonksiyon, 527  
     ters hiperbolik fonksiyonlar için, 539t, 539–540  
 Pappus formülü, 1091e, 1114e  
 Pappus teoremi(ler), 442–444, 443, 444, 447e  
 Papyon şekilleri, 204e  
 Parabol(ler), 14, 17e, 277e, 685–688, 693–694e  
     diş merkezliği, 700  
     doğrultmanı, 685, 687, 687, 687t, 736–737, 736  
     ekseni, 15, 15  
     çizimi için Kepler methodu, 697e  
     grafiği, 15–16, 16  
     için Archimed alan formülü, 366e  
     için değer çember, 939  
     için kutupsal denklemler, 734–736, 736, 736–738e  
     kullanarak yaklaşım, 608–613  
     odağı, 685, 697e  
     odak uzaklığı, 686  
     parametrelenmesi, 709, 709  
     parametrik eğriler ve, 197, 197  
     teğet doğru, 136, 136, 158e  
     tepe noktası, 15, 15, 686, 686  
     yansıtma özellikleri, 692–693, 693, 696–697e

- Paraboloid(ler), 892–893, 893, 1140e, 1141e  
  hiperbolik, 896, 896, 898e
- Paralel doğrular, 12–13
- Paralel Eksen Teoremi, 1091e, 1113–1114e
- Paralelkenar(lar), 871e, 903e  
  alanı, 874, 874, AP-31  
    düzleme izdüşüm, AP-28–AP-29  
    toplama kuralı, 856, 856, 863, 863–864
- Paralelkenar kutu, hacmi, 877, 878
- Parametre aralığı, 196
- Parametrik eğri(ler), 196, 196, 205e  
  eğimleri, 197  
  uzunluk(ları), 418, 423e
- Parametrik denklemler, 195–197, 196, 203e  
  -den kartezyen denklemler, 202–203e  
  düzleme, 741e  
  konik kesitlerin, 712–713e  
  ve sikloidler, 743e
- Parametrize eğriler, 440, 440
- Parametrize yüzey(ler), 975e, 1192–1201, 1224e
- Parçalı düzgün eğri(ler), 910, 910, 1162–1163
- Parçalı düzgün, 1186
- Parçalı-tanımlı fonksiyonlar, 24, 24, 25, 25,  
  26–27e, 70e
- Perihelyon, 738–739e, 952, 952–953
- Periyod(lar), trigonometrik fonksiyonların, 53,  
  52
- Periyodik fonksiyon, 52
- Petrol pompalamak, 250–252, 250
- Petrol rafineri depolama tankı, 655–657, 656,  
  664
- pH ölçüği, 499, 501e
- Pi, tahmini, 305e, 306e, 832e, 833e
- Pi/2, hızlı tahmini, 845e
- Piramid, hacmi, 398
- Pisa Kulesi, 241e
- Pisagor teoremi, 53, 251, 850, AP-13,  
  AP-30
- Pisagor üçlüleri, 758–759e
- Plaka(lar), sabit-yoğunluklu kütle merkezi,  
  431–432, 432  
  değişken-yoğunluklu kütle merkezi, 432–433
- dikey-düz akişkan basıncı, için integral 457
- ince-düz kütle merkezi, 429, 429–430, 430  
  için kütle ve birinci moment formülü,  
    1084t
- Planör, aldığı yol, 931–932, 932  
  uçuşu, 915–916
- Pluto, yörungesi, 737, 737
- Poiseuille, Jean, 230
- Polyhedral yüzeyler, için Stokes Teoremi, 1207,  
  1207–1208
- Polonium-210, yarı-ömür, 506, 510e
- Polinom(lar), 30, 30  
  kompleks kökler, AP-22  
  kubic, yatay teğetleri, 256  
  limitleri, 86
- Taylor, 807–810, 808, 809, 810, 810e  
  trigonometrik, 204–205e  
  türevleri, 162–163
- Potansiyel fonksiyon(ları), 1161, 1165–1166,  
  1168e
- Potansiyeller, korunmali alanlar için, 1164–1166
- Prizmalar, AP-31
- p-serileri, 774–775
- Pul yöntemi, dönel cisimler, 403, 403–404, 407e
- Quadratik çarpan(lar), paydada, ile integrasyon,  
  574–575
- Quadratik denklem(ler), grafikleri, 705  
  ve döndürmeler, 702–707
- Quadratik eğriler, 702, 705t
- Quadratik formül, AP-30
- Quadratik yaklaşımlar, 234e, 811e, 822e,  
  1058–1059e
- Quadratik yüzey(ler), 891–897, 902e
- Raabe testi, 844e
- Radon-222, 513e
- Radyan ölçü(ler), 48–50, 48, AP-33  
  sıfır olmayan, 49, 49
- Radyanlar, 190e, 195
- Radyoaktif bozulma, 505
- Radyoaktif element, yarı ömrü, 506
- Radyoaktivite, 505–507
- Rasyonel fonksiyon(lar), 31, 31, 61, 61,  
  113–114e, 116, 120, 127–128  
  integralleri, kısmi kesirlerle, 570–579  
  limitleri, 86
- Rasyonel kuvvetler, 209–211
- Rasyonel sayılar, 2, AP-13
- Reel doğru, 1
- Reel sayılar, 1–7  
  geliştirilmesi, AP-12–AP-13  
  özellikleri, AP-9  
  teorisi, AP-9–AP-12
- Reel sayıların kuruluşu, Ek-10–Ek-11
- Relativistik toplamlar, 904e
- Richter ölçüği, 499
- Riemann, Bernhard, 340
- Riemann toplam(ları), 340–342, 396, 397, 410,  
  438, 1067, 1068, 1069, 1069, 1072, 1078,  
  1116, 1121  
  için dikdörtgenler, 341, 342  
  limitleri, 343–356  
  yakınsaklı, 345
- RL devre(ler), 654, 654–655, 655
- Rolle Teoremi, 255, 255–257, 256, 262e, 819
- Rot F, bulmak, 1202  
  küçük çark yorumu, 1205–1206, 1206
- Rotasyonel. Bkz. ayrıca Dolaşım yoğunluğu  
  -in k-bileşeni, 1171–1172
- Sabit açısal hız, 1206, 1206
- Sabit derinlik formülü, akişkan kuvvetleri için,  
  456, 456
- Sabit fonksiyon(lar), 94, 95
- Sabit koordinat denklemleri, 1115, 1115
- Sabit kuvvet, (in) yaptığı iş, 447–448, 868, 868,  
  1169e
- Sabit oran, 503
- Sabit yoğunluk, 427, 427–428
- Sabit yoğunluklu ince kabuk, 1191e
- Sabitle Çarpım Kuralı, 161, 161, 768
- Sağ-el kuralı, 873
- Sandwich teoremi, 87–89, 88, 90e, 110–111,  
  110e, 983e, AP-6  
  sonsuz seriler için, 751–752
- Sarkaç saat, Huygens'in, 710, 710
- Sarmaşık Eğrisi, Diocles'in, 212e
- Sayıları saymak, Ek-12
- Sayısal çözüm, 659
- Sayısal değerler,  $x$ 'e atanın, 578–579  
  -den türev, 164–165
- Sayısal integrasyon, 603–619, 617e
- Sayısal yöntem, 659
- Sekizde bir bölgeler, 848
- Serbest düşme 74, 175, 175
- Seri çarpım Teoremi, 803
- Seriler, sonsuz. Bkz. Sonsuz seriler
- Ses, 499, 500
- Seviye eğrileri. Bkz. Eğri(ler), seviye
- Seviye yüzey(leri), 969–970
- Sıcaklık, Alaska'da, 55, 55–56, 56, 58e, 203e  
  dünya yüzeyi altında, 971, 971  
  ortalama almak, 605–606
- Sıfır (kök) fonksiyonların, 131, 132
- Sıfır paydalar, cebirsel yoketmeler, 86–87
- Sıfır Uzunlukta Aralık Kuralı, 476
- Sıfır(lar), ile bölme, AP-29
- Sınır değişimi, integral sınırlarını değiştirmek,  
  381, 381
- Sınır noktaları, 3, 967, 1031, 1032  
  uzay bölgesinin, 970, 970
- Sınırlı bölge, 967
- Sınırsız bölgeler, 967
- Sıra özellikleri, 2, AP-9
- Sivilar, pompalanması, 450, 453–454e
- Sigma notasyonu, 335–343
- Sigma şekli, 671, 671
- Sikloid(ler), 424e, 709–712, 710
- Silindir(ler), 889–891  
  eliplik, 890, 891  
  hacmi, Ek-39  
    tahmini, 1025  
  iperbolik, 890–891, 891, 1039, 1039–1040,  
    1040, 1041, 1041
- parabolik, 890, 890
- parametrelemek, 1193–1194, 1194
- tanımları, 889
- üreteç eğrileri, 889, 890
- Silindirik bantlar, konik bantlar, yüzey alanı ve,  
  442, 442
- Silindirik kabuklar, hacimleri, 409, 409–416,  
  410, 1137e
- Silindirik koordinatlar, 1115, 1116, 1126e,  
  1139–1140e  
  -da hareket, 951, 951, 964e  
  -da integrasyon, 1115–1119  
    sınırları, 1116, 1116–1117  
  -da üç katlı integraller, 1114–1128
- Silindirik kutu, tasarlamak, 278–280, 279

- Silindirik tank, boşaltmak, 214–215, 214  
 Silkinme, 175, 186  
 Simetri(ler), 33–34, 34, 1128e  
     kutupsal koordinatlarda, 719, 719  
     ve kutupsal grafikler, 719, 725e  
 Simetri ekseni, 15  
 Simpson kuralı, 608, 608–613  
 Sinüs(ler), 50, 51t, 581–583, 585–586e  
     hesaplama için döndürmeler, 707, 707  
 Sinüs eğrileri, genel, 58e, 55  
 Sinüs fonksiyonu, türev(leri), 183–184  
 Sinüs kuralı, 58e  
 Sinüs-integral fonksiyonu, 616e, 632e  
 Sinüzoid, 55  
 Skaler bileşenler, 866–867, 867, 868  
 Skaler çarpım, 856  
 Skaler çarpım. Bkz. Nokta çarpım(ları)  
 Skaler fonksiyonlar, çarpımları, 919e  
 Skylab 4, 958e, 962e  
 Snell Kanunu, 282, 282–283, 283  
 Son hız, 670  
 Sonlu aralıklar, 3  
 Sonlu toplam(lar), cebir kuralları, 337, 338  
     limitleri, 339–340  
     sigma notasyonu ve, 335–343  
     tahmin etmek, 325–335, 388e  
 Sonsuz aralıklar, 3  
 Sonsuz dizi(ler), sınırlı azalmayan, 755–756, 756  
     azalmayan dizi teoremi, 756  
     grafik temsilleri, 748, 748  
     iraksak, 750  
     için sandwich teoremi, 751–752  
     için sürekli fonksiyon teoremi, 752  
     kuruluşu, tekrarlamalı, 755  
     limit(leri), 749, 749, 757–758e, 759e  
         hesaplanması, 750–752, 760e  
     sınırlılığı, 756  
     tanımı, 747–748  
     tekrarlamalı tanımları, 755, 760e  
     üst sınır, 756, 759e  
     yakınsaklılığı ve iraksaklılığı, 748–749, 840e, 843e  
 Sonsuz limitler, integrasyonun, 619, 619–620  
 Sonsuz seriler, 761–769  
     alterne, 787, 793e  
         harmonik, 787, 788  
             yeniden düzenleme, 791–792  
             kismi toplamları, 788, 788  
         p-serileri, 790  
     çalışılması, 802  
     harmonik, 772–773  
     koşullu yakınsaklılık, 789  
     logaritmik p-serileri, 776  
     mutlak ve koşullu yakınsaklılık, 789–790  
     sonsuz toplamlar ve, 746  
     yakınsaklılığı veya iraksaklılığı, 770e, 775–776e, 781e, 786e  
     yeniden düzenleme teoremi ve, 790, 794e  
         yeniden düzenlenmesi, 790–791  
 Sonsuz yarı-silindir, 1142  
 Sosyal difüzyon, 580e, 672e  
 Standart denklem, 13–14, 650–651  
 Standart konum, 48, 49  
 Stirling formülü, 640e  
 Stokes denklemi, yarıküre için, 1203–1204  
 Stokes Teoremi, 1201–1209, 1207, 1219  
 Sürdürülebilir kapasite, 670, 676  
 Sürat, 174, 910  
     ortalama ve anlık, 73–75, 139  
     yer, vektörler ve, 857–858, 858, 859  
 Sürekli, bir noktada, 125  
 Sürekli faiz oranı, 505  
 Sürekli fonksiyon teoremi, 752  
 Sürekli fonksiyon(lar), 127–128, 128, 143e, 345, 909  
     ara değer teoremi, 130–131, 357  
     aralıkta, 127  
     bileşke fonksiyonlarını, 981  
     bileşkeleri, Ek-7  
     bölgедe, 125, 125  
     -in ortalama değeri, 351, 351–352  
     kapalı ve sınırlı kümeler üzerinde, 981  
     noktada, 125  
 Sürekli genişleme(ler), 129, 129–130, 130, 133e, 983e, 1060e, 1063e  
 Sürekliklilik, 124–134  
     bir noktada, 124, 124  
     kismi türevler ve, 990, 990  
     limitler ve, 73–141, 142–143e  
     sürekli fonksiyonların bileşkelerinin, 128, 128–129, 129, 981  
     tanımı, limit einsinden, 979  
     türevlenebilirlik sürekli gerekirir, 994  
     ve türevlenebilirlik, 154–155, 157–158e  
 Sürekliklilik denklemi, hidrodinamiğin, 1217, 1217–1218  
 Sürekzsizlik(ler),  $dy/dx$ 'te, 421, 421  
 kaldırılabilir, 126, 134e  
 noktası, 125  
 salınan, 126, 126  
 sıçrama, 125, 125, 126, 126  
 sonsuz, 126, 126  
 tek nokta, 979–980  
 T ve N, 938–939  
 Taban noktası, 931  
 Tahliye borusu, 451, 451–452, 452  
 Takoz, hacmi, 399, 399  
 Tamlık özelliği, 2, Ek-9, Ek-10  
 Tamlık, bileşen testi, 1167  
 Tamsayılar, 2, AP-12  
     için kuvvet kuralı, 160, 166–168  
     ilk  $n$ , toplamı, 338  
 Tank, konik, -den petrol pompalamak, 450, 450–451  
     boşaltmak, 183e, 239e, 454e, 647, 647  
     doldurmak, 658e  
     silindirik, pompalamak, 463e  
 Tasarruf hesabı, bileşik faiz ve, 505  
 Taylor formülü, 812, 843e  
     iki değişken için, 1056–1059  
 Taylor polinomları, 807–810, 808, 809, 810, 810e  
 Taylor serileri, 821e, 830, 841e, 843e  
     birleştirmek, 817  
     bulmak, 807, 810–811e, 815, 819e  
     seriler ve temsiller, 805–806  
     sık kullanılan, 831t  
     tanımı, 806  
     ve Maclaurin serileri, 805–810  
     yakınsaklılığı, 811–819  
 Taylor Teoremi, 811–813, 814  
     ispati, 818–819  
     ve Ortalama Değer Teoremi, 820e  
 Teget(ler), 50, 51t, 202e, 204e, 211–212e, 237  
     dikey, 140–141e  
     eğrilere, 134–135, 135, 137, 167, 167  
     ve gradientler, seviye eğrilerine, 1010–1011, 1011  
     ve türevler, 134–139  
     paralel, 212e, 262e  
     parametrik eğrilere, 203e, 237e  
     yatay, kubik polinomların, 256  
         bulunması, 163, 163, 169e  
 Teget doğru(lar), 137, 188–189e, 910  
     arccotanjant eğrisine, 527  
     eğri(lere), 1014, 1061e, 1017, 1017, 1024e  
     ellipse, 1011, 1011  
     parabole, 136, 136, 158e  
 Teget düzleml(ler), tanımı, 1015, 1015  
     ve diferansiyeller, 1015–1027  
     ve normal doğrular, 1015–1017, 1016, 1024e, 1063e  
 Teget eğimler, 195  
 Teget vektörler, 910, 1159  
 Tekrarlamalı formüller, 755  
 Tel(ler), sabit-yoğunluklu, kütle merkezi, 433, 433  
     ince çubuklar, 426–428  
 Teleskop, yansıtma, 693, 693  
 Teneke zehirlenmesi, 289e  
 Tepe noktası, parabolün, 15, 15  
 Tepe voltaj, 374  
 Terim-terime integrasyon 801–802  
 Terim-terime türetme, 799–800, 839e  
 Ters denklemler, 487, 498  
 Ters fonksiyon(lar), 467–472, 538–539, 539  
     bire-bir, 466–467, 467  
     için formüller, 473–474  
     integrasyonları, 570  
     türevlerin, 474e, 524, 524, 525, 526, 526, 527–530  
 Ters fonksiyon–ters kofonksiyon özdeşlikleri, 527  
 Ters türev(ler), 307–314  
     formülleri, 308t, 309  
     kullanarak alan bulma, 363, 363, 364, 364  
     ve hareket, 311  
 Ters türev alma, 307  
 Ters türev lineerlik kuralları, 309–310, 309t  
 Ters(ler), 517–519, 521–524  
 Testere dişi eğrisi, 204e  
 Tikanmış damarları açmak, 230  
 TNB çerçevesi, 943–945, 945, 950e  
 Top, zıplayan, 764, 764–765

Toplam(lar), 39, 45c, 159–163  
 alt, 326–327, 326, 345  
 relativistik, 904e  
 sonlu. *Bkz.* Sonlu toplam(lar)  
 sonsuz, sonsuz seriler ve, 746  
 üst, 326, 327, 345  
 üst sınırları, 343  
 Toplam Kanunu, paralel kenar 856, 856, 863, 863–864  
 Toplam kuralı, 162–163, 168  
 Toplama formülleri, 53, 57e  
 Toplama, indis, 336, 337  
 Planabilirlik Kuralları, integraller için, 360, 1145  
 Planabilirlik Özelliği, 1072, 1072  
 Tork sistemi, 425  
 Tork, 425, 876, 876–877, 902e  
 Torricelli Kanunu, 647–648  
 Torus, hacmi, 407–408e, 443, 443  
 Totokron(lar), 711–712, 712  
 Transendant fonksiyonlar, 32–33, 33, 466–552  
 Transendant sayılar, 487  
 Trigonometri formülleri, AP-31–AP-32  
 Trigonometrik değişken dönüşüm(leri), 586–592, 591e  
 Trigonometrik fonksiyon(lar), 31, 32, 48–51, 56–57e, AP-33  
 periyodiklik ve grafikleri, 52–53  
 tanım kümesi kısıtlamaları ve, 517–519  
 tersleri, 517–534, 528t  
 türevleri, 183–188  
 Trigonometrik grafikler, 55  
 Trigonometrik integraller, 581–586  
 Trigonometrik özdeşlik(ler), 555–556, 559e  
 Trigonometrik polinomlar, 204–205e  
 Trokoid(ler), 712–713e  
 Türetilbilirlik, 993–994  
 süreklilığı gerektirir, 994  
 ve süreklilik, 154–155, 157–158e  
 Türetilbilir fonksiyon(lar), 148, 154–155, 242e, 746, 993  
 grafikleri, 272–273, 273, 275–276e  
 rasyonel kuvvetlerin, 209–211  
 tersleri, türevleri, 470–472  
 Türetilbilir, 148, 152, 152–153, 153  
 Türetme, 147–243, 547e, 578  
 kapalı, 205, 205–211, 206, 207, 208, 211e, 236e, 995e, 1001–1002, 1004e, 1060e  
 logaritmik, 483–484, 485e, 500e, 547e  
 mertebesi, seçimi, 992  
 kısmi, BCS hesaplama, 987  
 kapalı, 988  
 kuralları, 159–168  
 terim-terime, 799–800, 839e  
 Türemeler, ve ispatlar, 71–72e  
 Türetme kuralları, 911–913  
 vektör fonksiyonları için, 912  
 Türev(ler), uygulamaları, 244–324  
 ara değer özelliği, 155, 155  
 cosinus fonksiyonun, 184–185, 185  
 değişim oranı olarak, 171–183

Türev(ler), uygulamaları, (*Devami*)  
 doğal logaritmanın, 478–479, 487e  
 doğrultu. *Bkz.* Doğrultu türev(ler)i  
 ekonomide, 177, 177–178  
 hesaplama(ları), 169e  
 tanımdan, 148, 148–150  
 hiperbolik fonksiyonların, 537–538, 537t, 543e  
 için Newton Nokta Kuralı, 947  
 için semboller, 168  
 ikinci, 168  
 ikinci ve daha yüksek mertebeden, 168  
 kısmı. *Bkz.* Kısıtlı türev(ler)  
 noktada, 139, 153–154  
 sabit fonksiyonun, 159, 159  
 sağdan, 152  
 sayısal değerlerden, 164–165  
 sıfır türev, türevi sıfır fonksiyonlar, 258  
 sinüs fonksiyonunun, 183–184  
 soldan-türev, 152  
 teğetler ve, 134–139  
 tek-taraflı, 152, 152–153, 153, 157e  
 ters, değeri, 472, 472  
 ters fonksiyonların, 474e, 524, 524, 525, 526, 526, 527–530  
 ters hiperbolik kosinüsün, 540–541  
 ters hiperbolik fonksiyonların, 540–542, 540t  
 türevlenebilir fonksiyonların terslerinin, 470–472  
 polinomun, 162–163  
 üçüncü mertebe, 168  
 üstel fonksiyonların, 489–491, 495–497  
 ve fonksiyonlar, 147–155, 155–156e, 235–236e, 261e, 273–274  
 vektör fonksiyonların, ve hareket, 909, 909–911  
 yüksek mertebe, 168  
 yüksek mertebelerin, 209  
 Türev bölüm kuralı, 165–166  
 Türev çarpım kuralı, 163–165  
 Türev formülü, uygulamaları, 525  
 Türev toplam kuralı, 161–163  
 U.S. Posta pulu, fiyatı, 63, 63t, 64  
 Uydu(lar), 950–958  
 yörüngeleri, 742–743e, 957, 957–958  
 Uzaklık Formülü, düzlemdeki noktalar için 13  
 Uzaklık, hesaplanması, 13  
 extremumlar, elit üzerinde, 1046, 1046–1047  
 iki nokta arasında, 850, 850, 852e  
 katedilen, yer değiştirme, 330  
 noktadan doğuya, 883, 888e  
 noktadan düzleme, 886, 886–887  
 ve düzlemede çemberler, 13  
 ve uzayda küreler, 850–851  
 Uzay aracı, üzerinde kuvvet, 870  
 Uzay bölgeleri, için noktalar, 970  
 Uzay, geometri, vektörler ve, 848–905

Uzunluk, yay, 48  
 astroid, 419, 419  
 cardioid, 729, 729  
 kutupsal eğrilerin, 728–729, 731–732e  
 parametrik eğrilerin, 418, 423e  
 sabit, vektör fonksiyonları of, 913, 913–914  
 ve alan, kutupsal koordinatlarda, 726–731  
 vektörlerin, 855  
 Üçgen(ler), AP-30  
 alanı, 876, 879e, 1224e  
 Üçgen eşitsizliği, 72e  
 Üçlü skaler çarpım(lar), 877, 877–878, 879e  
 Üçlü vektör çarpımları, 904e  
 Üretim, marjinal maliyet, 177, 177  
 Üs sınır, AP-10  
 Üsler kuralı, 488–489, 494e, AP-29  
 Üssler, kuralları, 488–489, 494e, AP-29  
 Üstel büyümeye ve bozulma, 502–511  
 Üstel değişim, 502–503  
 Üstel değişim kuralı, 502–503, 674–675  
 Üstel fonksiyon(lar), 31, 32, 486–495  
 çift ve tek kısımları, 535  
 farklı tabanlarda, 513  
 Vektör(ler), ivme, 910  
 arasında açı, 863, 863–865, 870–871e, 1063e  
 asal birim normları, 938, 938  
 bileşenleri, 854–855, 858  
 binormal, 949e  
 birim. *Bkz.* Birim vektör(ler)  
 birim binormal **B**, 943, 943  
 birim normal **N**, 940  
 birim teğet, 934, 935e  
 birim teğet **T**, 933–935  
 büyülük (uzunluk), 855  
 cebirsel işlemler, 856, 856–858, 857  
 düzleme dik, 875, 875–876  
 düzlemede, kompleks sayılar ve, AP-22  
 gradiyent, 1008  
 hız, 853, 853, 862e, 910  
 izdüşümler, 866, 866–868  
 konum, bilgisayarla-üretilmiş uzay eğrileri ve, 906, 907  
 kuvvet, 859, 861–862e  
 ortogonal (dik), 865  
 toplam olarak vektör, 869, 869–870  
 ortogonal vektörlerin toplamı olarak, 869, 869–870  
 paralel, 873  
 skaler bileşenleri, 866–867, 867, 868  
 standart konumda, 854, 854  
 sonuç, 856  
 tanımı, 853  
 teğet, 910  
 toplama, 856, 856  
 ve eğrilik, eğriler için, 940  
 ve uzayın geometrisi, 848–905  
 vektörel çarpım(lar), 873, 873–874, 879e  
 için Dağılma Kuralı, AP-22–AP-23  
 yer hızı ve doğrultu ve, 857–858, 858  
 yönlü doğru parçası olarak, 854, 854, 862e

Vektör alan(ları), 1149–1152, 1150, 1152, 1158e  
 aki yoğunluğu, 1170, 1170–1171, 1171  
 -da integrasyon, 1143–1228  
 diverjansi, 1170, 1170–1171, 1171  
 dolaşım yoğunluğu, 1171, 1171  
 Vektör fonksiyonlar (vektör-değerli), 906–916  
 belirsiz integrallerin, 914–915  
 integralleri, 914–916, 917e  
 ters türevleri, 914, 919e  
 türev için türev kuralları, 912  
 türevleri ve hareket, 909, 909–911  
 sınırları, 908  
 ve uzaya hareket, sınırları, 906–964  
 Vektör işlemleri, 877, 877  
 Vektör toplama, 856, 856  
 Vektörel çarpım kuralı, ispatı, 912–913  
 Vektörel çarpım(lar), 873–878, 874  
 Vergi oranı, marjinal, 178  
 Viking I, yörüngeyi, 958e  
 Volkanik lav püskürme, 183e  
 Voltaj, ev elektriği, 374, 374  
 Weierstrass’ın hiçbir yerde türevlenemeyen fonksiyonu, 158e  
 Wilson lot ölçü formülü, 290e, 994e, 1026e

*x*-ekseni, etrafında dönel silindirik kabuklar, 413, 413, 415e  
 etrafında dönme, 438

*y*-ekseni, etrafında dönel silindirik kabuklar, 412, 412–413, 414–415e  
 etrafında dönme, 419, 419

Yakınsaklık, tanımı, 622  
 Fourier serilerinin, 838  
 kuvvet serileri ve, 795–798  
 kuvvet serilerini yakınsaklık için test etmek, 799  
 oran testini kullanarak test etmek, 796, 847e  
 testleri, 627–629, 631e  
 Yakınsaklık teoremi, kuvvet serileri için, 797–798

Yaklaşım (lar), alanlara, 325, 325–328, 326, 328t  
 alanlara sonlu, 339–340  
 doğrusal. *Bkz.* Lineer yaklaşım(lar)  
 parabol kullanarak, 608–613  
 yamuk yaklaşımı, 603–606  
 Yaklaşım analizi, 63, 65, 66–67e, 66t, 67  
 Yaklaşım doğru(ları), 63–64, 63t, 64  
 Yaklaşım eğrisi, 63

Yaklaşım formülü, 830  
 Yamuk, alanı, 351, 351, AP-31  
 Yamuk kuralı, 603–604, 604, 605, 605  
 doğruluk için adım, 608, 608  
 için hata tahmini, 606–607  
 yaklaşımalar, 611–612, 612t  
 Yamuk yaklaşım(ları), 603–606  
 Yansıtma özellikleri, parabolllerin, 692–693, 693, 696–697e  
 Yansıtma, 696–697e  
 Yansıtma, 696–697e  
 Yarı çember bölge, merkezi, 443, 443–444, 444  
 Yarı çember, için sınırlar, 103, 103  
 Yarıküre, için Stokes denklemi, 1203–1204  
 Yarı-ağıç aralık, 3  
 Yarıçap, jirasyon, hesaplanması, 1146–1147, 1149e  
 eylemsizlik momenti ve, 1087–1088, 1090e, 1112e, 1127e  
 tanımı, 1087  
 Yarıçap, çemberin, 14  
 Yarıçap, yakınsaklık, 798–799  
 Yarım-açı formülleri, 54  
 Yarı-ömür, radyoaktif bir maddenin, 506  
 Yatay asimptot(lar), 109, 109–110  
 Yatay hareket, 174, 174  
 Yatay teğet(ler), bulunması, 163, 163  
 Yay(lar), sıkıştırma, 449, 449  
 germek, 449, 449–450, 452e, 463e  
 için Hooke Kanunu, 449  
 üzerinde hareket, 186, 186  
 Yay, (in) kütle merkezi, 1147, 1147, 1225e  
 Yay sabiti, 449, 452e  
 Yay uzunluğu, 48, 534e, 545e, 602e, 931–933, 935e  
 grafikler için, 420  
 Yer değiştirmeye, 172, 172  
 ve kat edilen mesafe, 330  
 Yerel ekstremumlar, 247  
 Yerel eksremumlar, için birinci türev testi, 264, 264–266, 266, 271  
 için ikinci türev testi, 270  
 Yerel maksimum, 247  
 Yerel minimum, 247  
 Yoğunluk, sabit, çubuğu, 427, 427–428  
 tanımı, 427  
 Yol, uzaya, 906, 909  
 Yoldan bağımsızlık, 1161, 1162–1163  
 Yön, vektör ve, 857–859, 858  
 Yönü alan(lar), 644–645, 644, 645, 649–650e  
 Yönü alan, AP-10  
 Yörünge(ler), 698, 698  
 gezegen, 957, 957t, 958t

Yörünge datası, 957, 957, 957t  
 Yörünge periyod(ları), 36t, 959e  
 Yükseklığı, merminin, 329  
 Yüzde hata, 1022–1023, 1025e  
 Yüzey(ler), parametrik olarak tanımlanmış, 1197  
 delik, için Stokes Teoremi, 1208, 1208  
 düzgün, alanı, 1195  
 iki-taraflı, 1187, 1187  
 parametrize, 975e, 1192–1201, 1224e  
 uzaya, ve canlandırma, 897  
 üzerinde integral, 1186, 1186–1187, 1197  
 üzerinde tanımlı fonksiyonlar, 999–1001  
 yönlendirilebilir, 1187, 1187  
 yönlü, 1187  
 Yüzey alan(ları), 1182, 1182–1185, 1183, 1194–1196, 1195  
 bulmak, 445e, 1183–1185, 1184, 1195–1196  
 için diferansiyel form, 441, 441–442  
 için formül, 446–447e, 1183  
 için Pappus teoremi, 444, 444  
 için özel formüller, 1191–1192, 1192  
 silindirik ve konik, 442, 442  
 tanımı, 436, 436–439, 437, 438  
 uygulaması, 438, 438–439  
 ve yüzey integralleri, 1182, 1182–1192  
 Yüzey alanı ve diferansiyel, 1186  
 Yüzey integral(eri), 1185–1187, 1190e, 1196–1198  
 parametrik, 1197  
 yüzey alanı ve, 1182, 1182–1192

Zaman-mesafe kuralı, 956, 959e  
 Zincir Kuralı, 192–193, 204e, 216, 222, 251, 368, 370, 945, 951, 996–1005, 1003e  
 ağaç diyagramı ve, 997–998, 1000, 1002  
 dört-değişken formu, 1053  
 fonksiyonun kuvvetleri ile, 194–195  
 “iç-dış” kuralı olarak, 193  
 iki-değişkenli fonksiyonlar için, 997, 1000, 1003e  
 ispatı, 228–229, 913  
 kullanımı, 193–194, 1063e  
 N’yi hesaplamak için, 938  
 ters hipbolik cosinüs ve, 541  
 üç-değişkenli fonksiyonlar için, 999, 1000, 1003e  
 üstel fonksiyon ve, 490  
 ve kuvvet kuralı, 211  
 Zipper teoremi, 759e

## KISA BİR İNTEGRAL TABLOSU

1.  $\int u \, dv = uv - \int v \, du$
2.  $\int a^u \, du = \frac{a^u}{\ln a} + C, \quad a \neq 1, \quad a > 0$
3.  $\int \cos u \, du = \sin u + C$
4.  $\int \sin u \, du = -\cos u + C$
5.  $\int (ax + b)^n \, dx = \frac{(ax + b)^{n+1}}{a(n+1)} + C, \quad n \neq -1$
6.  $\int (ax + b)^{-1} \, dx = \frac{1}{a} \ln |ax + b| + C$
7.  $\int x(ax + b)^n \, dx = \frac{(ax + b)^{n+1}}{a^2} \left[ \frac{ax + b}{n+2} - \frac{b}{n+1} \right] + C, \quad n \neq -1, -2$
8.  $\int x(ax + b)^{-1} \, dx = \frac{x}{a} - \frac{b}{a^2} \ln |ax + b| + C$
9.  $\int x(ax + b)^{-2} \, dx = \frac{1}{a^2} \left[ \ln |ax + b| + \frac{b}{ax + b} \right] + C$
10.  $\int \frac{dx}{x(ax + b)} = \frac{1}{b} \ln \left| \frac{x}{ax + b} \right| + C$
11.  $\int (\sqrt{ax + b})^n \, dx = \frac{2}{a} \frac{(\sqrt{ax + b})^{n+2}}{n+2} + C, \quad n \neq -2$
12.  $\int \frac{\sqrt{ax + b}}{x} \, dx = 2\sqrt{ax + b} + b \int \frac{dx}{x\sqrt{ax + b}}$
13. (a)  $\int \frac{dx}{x\sqrt{ax - b}} = \frac{2}{\sqrt{b}} \tan^{-1} \sqrt{\frac{ax - b}{b}} + C$       (b)  $\int \frac{dx}{x\sqrt{ax + b}} = \frac{1}{\sqrt{b}} \ln \left| \frac{\sqrt{ax + b} - \sqrt{b}}{\sqrt{ax + b} + \sqrt{b}} \right| + C$
14.  $\int \frac{\sqrt{ax + b}}{x^2} \, dx = -\frac{\sqrt{ax + b}}{x} + \frac{a}{2} \int \frac{dx}{x\sqrt{ax + b}} + C$
15.  $\int \frac{dx}{x^2\sqrt{ax + b}} = -\frac{\sqrt{ax + b}}{bx} - \frac{a}{2b} \int \frac{dx}{x\sqrt{ax + b}} + C$
16.  $\int \frac{dx}{a^2 + x^2} = \frac{1}{a} \tan^{-1} \frac{x}{a} + C$
17.  $\int \frac{dx}{(a^2 + x^2)^2} = \frac{x}{2a^2(a^2 + x^2)} + \frac{1}{2a^3} \tan^{-1} \frac{x}{a} + C$
18.  $\int \frac{dx}{a^2 - x^2} = \frac{1}{2a} \ln \left| \frac{x + a}{x - a} \right| + C$
19.  $\int \frac{dx}{(a^2 - x^2)^2} = \frac{x}{2a^2(a^2 - x^2)} + \frac{1}{4a^3} \ln \left| \frac{x + a}{x - a} \right| + C$
20.  $\int \frac{dx}{\sqrt{a^2 + x^2}} = \sinh^{-1} \frac{x}{a} + C = \ln(x + \sqrt{a^2 + x^2}) + C$
21.  $\int \sqrt{a^2 + x^2} \, dx = \frac{x}{2} \sqrt{a^2 + x^2} + \frac{a^2}{2} \ln \left( x + \sqrt{a^2 + x^2} \right) + C$
22.  $\int x^2 \sqrt{a^2 + x^2} \, dx = \frac{x}{8} (a^2 + 2x^2) \sqrt{a^2 + x^2} - \frac{a^4}{8} \ln \left( x + \sqrt{a^2 + x^2} \right) + C$

$$23. \int \frac{\sqrt{a^2 + x^2}}{x} dx = \sqrt{a^2 + x^2} - a \ln \left| \frac{a + \sqrt{a^2 + x^2}}{x} \right| + C$$

$$24. \int \frac{\sqrt{a^2 + x^2}}{x^2} dx = \ln \left( x + \sqrt{a^2 + x^2} \right) - \frac{\sqrt{a^2 + x^2}}{x} + C$$

$$25. \int \frac{x^2}{\sqrt{a^2 + x^2}} dx = -\frac{a^2}{2} \ln \left( x + \sqrt{a^2 + x^2} \right) + \frac{x\sqrt{a^2 + x^2}}{2} + C$$

$$26. \int \frac{dx}{x\sqrt{a^2 + x^2}} = -\frac{1}{a} \ln \left| \frac{a + \sqrt{a^2 + x^2}}{x} \right| + C$$

$$27. \int \frac{dx}{x^2\sqrt{a^2 + x^2}} = -\frac{\sqrt{a^2 + x^2}}{a^2 x} + C$$

$$28. \int \frac{dx}{\sqrt{a^2 - x^2}} = \sin^{-1} \frac{x}{a} + C$$

$$29. \int \sqrt{a^2 - x^2} dx = \frac{x}{2} \sqrt{a^2 - x^2} + \frac{a^2}{2} \sin^{-1} \frac{x}{a} + C$$

$$30. \int x^2 \sqrt{a^2 - x^2} dx = \frac{a^4}{8} \sin^{-1} \frac{x}{a} - \frac{1}{8} x \sqrt{a^2 - x^2} (a^2 - 2x^2) + C$$

$$31. \int \frac{\sqrt{a^2 - x^2}}{x} dx = \sqrt{a^2 - x^2} - a \ln \left| \frac{a + \sqrt{a^2 - x^2}}{x} \right| + C$$

$$32. \int \frac{\sqrt{a^2 - x^2}}{x^2} dx = -\sin^{-1} \frac{x}{a} - \frac{\sqrt{a^2 - x^2}}{x} + C$$

$$33. \int \frac{x^2}{\sqrt{a^2 - x^2}} dx = \frac{a^2}{2} \sin^{-1} \frac{x}{a} - \frac{1}{2} x \sqrt{a^2 - x^2} + C$$

$$34. \int \frac{dx}{x\sqrt{a^2 - x^2}} = -\frac{1}{a} \ln \left| \frac{a + \sqrt{a^2 - x^2}}{x} \right| + C$$

$$35. \int \frac{dx}{x^2\sqrt{a^2 - x^2}} = -\frac{\sqrt{a^2 - x^2}}{a^2 x} + C$$

$$36. \int \frac{dx}{\sqrt{x^2 - a^2}} = \cosh^{-1} \frac{x}{a} + C$$

$$37. \int \sqrt{x^2 - a^2} dx = \frac{x}{2} \sqrt{x^2 - a^2} - \frac{a^2}{2} \ln |x + \sqrt{x^2 - a^2}| + C = \ln |x + \sqrt{x^2 - a^2}| + C$$

$$38. \int (\sqrt{x^2 - a^2})^n dx = \frac{x(\sqrt{x^2 - a^2})^n}{n+1} - \frac{na^2}{n+1} \int (\sqrt{x^2 - a^2})^{n-2} dx, \quad n \neq -1$$

$$39. \int \frac{dx}{(\sqrt{x^2 - a^2})^n} = \frac{x(\sqrt{x^2 - a^2})^{2-n}}{(2-n)a^2} - \frac{n-3}{(n-2)a^2} \int \frac{dx}{(\sqrt{x^2 - a^2})^{n-2}}, \quad n \neq 2$$

$$40. \int x(\sqrt{x^2 - a^2})^n dx = \frac{(\sqrt{x^2 - a^2})^{n+2}}{n+2} + C, \quad n \neq -2$$

$$41. \int x^2 \sqrt{x^2 - a^2} dx = \frac{x}{8} (2x^2 - a^2) \sqrt{x^2 - a^2} - \frac{a^4}{8} \ln |x + \sqrt{x^2 - a^2}| + C$$

$$42. \int \frac{\sqrt{x^2 - a^2}}{x} dx = \sqrt{x^2 - a^2} - a \sec^{-1} \left| \frac{x}{a} \right| + C$$

$$43. \int \frac{\sqrt{x^2 - a^2}}{x^2} dx = \ln |x + \sqrt{x^2 - a^2}| - \frac{\sqrt{x^2 - a^2}}{x} + C$$

$$44. \int \frac{x^2}{\sqrt{x^2 - a^2}} dx = \frac{a^2}{2} \ln |x + \sqrt{x^2 - a^2}| + \frac{x}{2} \sqrt{x^2 - a^2} + C$$

$$45. \int \frac{dx}{x\sqrt{x^2 - a^2}} = \frac{1}{a} \sec^{-1} \left| \frac{x}{a} \right| + C = \frac{1}{a} \cos^{-1} \left| \frac{a}{x} \right| + C$$

$$46. \int \frac{dx}{x^2\sqrt{x^2 - a^2}} = \frac{\sqrt{x^2 - a^2}}{a^2 x} + C$$

47.  $\int \frac{dx}{\sqrt{2ax - x^2}} = \sin^{-1} \left( \frac{x-a}{a} \right) + C$

48.  $\int \sqrt{2ax - x^2} dx = \frac{x-a}{2} \sqrt{2ax - x^2} + \frac{a^2}{2} \sin^{-1} \left( \frac{x-a}{a} \right) + C$

49.  $\int (\sqrt{2ax - x^2})^n dx = \frac{(x-a)(\sqrt{2ax - x^2})^n}{n+1} + \frac{na^2}{n+1} \int (\sqrt{2ax - x^2})^{n-2} dx$

50.  $\int \frac{dx}{(\sqrt{2ax - x^2})^n} = \frac{(x-a)(\sqrt{2ax - x^2})^{2-n}}{(n-2)a^2} + \frac{n-3}{(n-2)a^2} \int \frac{dx}{(\sqrt{2ax - x^2})^{n-2}}$

51.  $\int x \sqrt{2ax - x^2} dx = \frac{(x+a)(2x-3a)\sqrt{2ax-x^2}}{6} + \frac{a^3}{2} \sin^{-1} \left( \frac{x-a}{a} \right) + C$

52.  $\int \frac{\sqrt{2ax - x^2}}{x} dx = \sqrt{2ax - x^2} + a \sin^{-1} \left( \frac{x-a}{a} \right) + C$

53.  $\int \frac{\sqrt{2ax - x^2}}{x^2} dx = -2 \sqrt{\frac{2a-x}{x}} - \sin^{-1} \left( \frac{x-a}{a} \right) + C$

54.  $\int \frac{x dx}{\sqrt{2ax - x^2}} = a \sin^{-1} \left( \frac{x-a}{a} \right) - \sqrt{2ax - x^2} + C$

55.  $\int \frac{dx}{x \sqrt{2ax - x^2}} = -\frac{1}{a} \sqrt{\frac{2a-x}{x}} + C$

56.  $\int \sin ax dx = -\frac{1}{a} \cos ax + C$

57.  $\int \cos ax dx = \frac{1}{a} \sin ax + C$

58.  $\int \sin^2 ax dx = \frac{x}{2} - \frac{\sin 2ax}{4a} + C$

59.  $\int \cos^2 ax dx = \frac{x}{2} + \frac{\sin 2ax}{4a} + C$

60.  $\int \sin^n ax dx = -\frac{\sin^{n-1} ax \cos ax}{na} + \frac{n-1}{n} \int \sin^{n-2} ax dx$

61.  $\int \cos^n ax dx = \frac{\cos^{n-1} ax \sin ax}{na} + \frac{n-1}{n} \int \cos^{n-2} ax dx$

62. (a)  $\int \sin ax \cos bx dx = -\frac{\cos(a+b)x}{2(a+b)} - \frac{\cos(a-b)x}{2(a-b)} + C, \quad a^2 \neq b^2$

(b)  $\int \sin ax \sin bx dx = \frac{\sin(a-b)x}{2(a-b)} - \frac{\sin(a+b)x}{2(a+b)} + C, \quad a^2 \neq b^2$

(c)  $\int \cos ax \cos bx dx = \frac{\sin(a-b)x}{2(a-b)} + \frac{\sin(a+b)x}{2(a+b)} + C, \quad a^2 \neq b^2$

63.  $\int \sin ax \cos ax dx = -\frac{\cos 2ax}{4a} + C$

64.  $\int \sin^n ax \cos ax dx = \frac{\sin^{n+1} ax}{(n+1)a} + C, \quad n \neq -1$

65.  $\int \frac{\cos ax}{\sin ax} dx = \frac{1}{a} \ln |\sin ax| + C$

66.  $\int \cos^n ax \sin ax dx = -\frac{\cos^{n+1} ax}{(n+1)a} + C, \quad n \neq -1$

67.  $\int \frac{\sin ax}{\cos ax} dx = -\frac{1}{a} \ln |\cos ax| + C$

68.  $\int \sin^n ax \cos^m ax dx = -\frac{\sin^{n-1} ax \cos^{m+1} ax}{a(m+n)} + \frac{n-1}{m+n} \int \sin^{n-2} ax \cos^m ax dx, \quad n \neq -m \quad (\sin^n ax \text{ indirgenir})$

69.  $\int \sin^n ax \cos^m ax dx = \frac{\sin^{n+1} ax \cos^{m-1} ax}{a(m+n)} + \frac{m-1}{m+n} \int \sin^n ax \cos^{m-2} ax dx, \quad m \neq -n \quad (\cos^m ax \text{ indirgenir})$

70.  $\int \frac{dx}{b+c \sin ax} = \frac{-2}{a\sqrt{b^2-c^2}} \tan^{-1} \left[ \sqrt{\frac{b-c}{b+c}} \tan \left( \frac{\pi}{4} - \frac{ax}{2} \right) \right] + C, \quad b^2 > c^2$

71.  $\int \frac{dx}{b+c \sin ax} = \frac{-1}{a\sqrt{c^2-b^2}} \ln \left| \frac{c+b \sin ax + \sqrt{c^2-b^2} \cos ax}{b+c \sin ax} \right| + C, \quad b^2 < c^2$

72.  $\int \frac{dx}{1+\sin ax} = -\frac{1}{a} \tan \left( \frac{\pi}{4} - \frac{ax}{2} \right) + C$

73.  $\int \frac{dx}{1-\sin ax} = \frac{1}{a} \tan \left( \frac{\pi}{4} + \frac{ax}{2} \right) + C$

74.  $\int \frac{dx}{b+c \cos ax} = \frac{2}{a\sqrt{b^2-c^2}} \tan^{-1} \left[ \sqrt{\frac{b-c}{b+c}} \tan \frac{ax}{2} \right] + C, \quad b^2 > c^2$

75.  $\int \frac{dx}{b+c \cos ax} = \frac{1}{a\sqrt{c^2-b^2}} \ln \left| \frac{c+b \cos ax + \sqrt{c^2-b^2} \sin ax}{b+c \cos ax} \right| + C, \quad b^2 < c^2$

76.  $\int \frac{dx}{1+\cos ax} = \frac{1}{a} \tan \frac{ax}{2} + C$

77.  $\int \frac{dx}{1-\cos ax} = -\frac{1}{a} \cot \frac{ax}{2} + C$

78.  $\int x \sin ax dx = \frac{1}{a^2} \sin ax - \frac{x}{a} \cos ax + C$

79.  $\int x \cos ax dx = \frac{1}{a^2} \cos ax + \frac{x}{a} \sin ax + C$

80.  $\int x^n \sin ax dx = -\frac{x^n}{a} \cos ax + \frac{n}{a} \int x^{n-1} \cos ax dx$

81.  $\int x^n \cos ax dx = \frac{x^n}{a} \sin ax - \frac{n}{a} \int x^{n-1} \sin ax dx$

82.  $\int \tan ax dx = \frac{1}{a} \ln |\sec ax| + C$

83.  $\int \cot ax dx = \frac{1}{a} \ln |\sin ax| + C$

84.  $\int \tan^2 ax dx = \frac{1}{a} \tan ax - x + C$

85.  $\int \cot^2 ax dx = -\frac{1}{a} \cot ax - x + C$

86.  $\int \tan^n ax dx = \frac{\tan^{n-1} ax}{a(n-1)} - \int \tan^{n-2} ax dx, \quad n \neq 1$

87.  $\int \cot^n ax dx = -\frac{\cot^{n-1} ax}{a(n-1)} - \int \cot^{n-2} ax dx, \quad n \neq 1$

88.  $\int \sec ax dx = \frac{1}{a} \ln |\sec ax + \tan ax| + C$

89.  $\int \csc ax dx = -\frac{1}{a} \ln |\csc ax + \cot ax| + C$

90.  $\int \sec^2 ax dx = \frac{1}{a} \tan ax + C$

91.  $\int \csc^2 ax dx = -\frac{1}{a} \cot ax + C$

92.  $\int \sec^n ax dx = \frac{\sec^{n-2} ax \tan ax}{a(n-1)} + \frac{n-2}{n-1} \int \sec^{n-2} ax dx, \quad n \neq 1$

93.  $\int \csc^n ax dx = -\frac{\csc^{n-2} ax \cot ax}{a(n-1)} + \frac{n-2}{n-1} \int \csc^{n-2} ax dx, \quad n \neq 1$

94.  $\int \sec^n ax \tan ax dx = \frac{\sec^n ax}{na} + C, \quad n \neq 0$

95.  $\int \csc^n ax \cot ax dx = -\frac{\csc^n ax}{na} + C, \quad n \neq 0$

96.  $\int \sin^{-1} ax dx = x \sin^{-1} ax + \frac{1}{a} \sqrt{1 - a^2x^2} + C$

97.  $\int \cos^{-1} ax dx = x \cos^{-1} ax - \frac{1}{a} \sqrt{1 - a^2x^2} + C$

98.  $\int \tan^{-1} ax dx = x \tan^{-1} ax - \frac{1}{2a} \ln(1 + a^2x^2) + C$

99.  $\int x^n \sin^{-1} ax dx = \frac{x^{n+1}}{n+1} \sin^{-1} ax - \frac{a}{n+1} \int \frac{x^{n+1} dx}{\sqrt{1 - a^2x^2}}, \quad n \neq -1$

100.  $\int x^n \cos^{-1} ax dx = \frac{x^{n+1}}{n+1} \cos^{-1} ax + \frac{a}{n+1} \int \frac{x^{n+1} dx}{\sqrt{1 - a^2x^2}}, \quad n \neq -1$

101.  $\int x^n \tan^{-1} ax dx = \frac{x^{n+1}}{n+1} \tan^{-1} ax - \frac{a}{n+1} \int \frac{x^{n+1} dx}{1 + a^2x^2}, \quad n \neq -1$

102.  $\int e^{ax} dx = \frac{1}{a} e^{ax} + C$

103.  $\int b^{ax} dx = \frac{1}{a} \frac{b^{ax}}{\ln b} + C, \quad b > 0, b \neq 1$

104.  $\int xe^{ax} dx = \frac{e^{ax}}{a^2} (ax - 1) + C$

105.  $\int x^n e^{ax} dx = \frac{1}{a} x^n e^{ax} - \frac{n}{a} \int x^{n-1} e^{ax} dx$

106.  $\int x^n b^{ax} dx = \frac{x^n b^{ax}}{a \ln b} - \frac{n}{a \ln b} \int x^{n-1} b^{ax} dx, \quad b > 0, b \neq 1$

107.  $\int e^{ax} \sin bx dx = \frac{e^{ax}}{a^2 + b^2} (a \sin bx - b \cos bx) + C$

108.  $\int e^{ax} \cos bx dx = \frac{e^{ax}}{a^2 + b^2} (a \cos bx + b \sin bx) + C$

109.  $\int \ln ax dx = x \ln ax - x + C$

110.  $\int x^n (\ln ax)^m dx = \frac{x^{n+1} (\ln ax)^m}{n+1} - \frac{m}{n+1} \int x^n (\ln ax)^{m-1} dx, \quad n \neq -1$

111.  $\int x^{-1} (\ln ax)^m dx = \frac{(\ln ax)^{m+1}}{m+1} + C, \quad m \neq -1$

112.  $\int \frac{dx}{x \ln ax} = \ln |\ln ax| + C$

113.  $\int \sinh ax dx = \frac{1}{a} \cosh ax + C$

114.  $\int \cosh ax dx = \frac{1}{a} \sinh ax + C$

115.  $\int \sinh^2 ax dx = \frac{\sinh 2ax}{4a} - \frac{x}{2} + C$

116.  $\int \cosh^2 ax dx = \frac{\sinh 2ax}{4a} + \frac{x}{2} + C$

117.  $\int \sinh^n ax dx = \frac{\sinh^{n-1} ax \cosh ax}{na} - \frac{n-1}{n} \int \sinh^{n-2} ax dx, \quad n \neq 0$

118.  $\int \cosh^n ax dx = \frac{\cosh^{n-1} ax \sinh ax}{na} + \frac{n-1}{n} \int \cosh^{n-2} ax dx, \quad n \neq 0$

119.  $\int x \sinh ax dx = \frac{x}{a} \cosh ax - \frac{1}{a^2} \sinh ax + C$

120.  $\int x \cosh ax dx = \frac{x}{a} \sinh ax - \frac{1}{a^2} \cosh ax + C$

121.  $\int x^n \sinh ax dx = \frac{x^n}{a} \cosh ax - \frac{n}{a} \int x^{n-1} \cosh ax dx$

122.  $\int x^n \cosh ax dx = \frac{x^n}{a} \sinh ax - \frac{n}{a} \int x^{n-1} \sinh ax dx$

123.  $\int \tanh ax dx = \frac{1}{a} \ln |\cosh ax| + C$

124.  $\int \coth ax dx = \frac{1}{a} \ln |\sinh ax| + C$

$$125. \int \tanh^2 ax dx = x - \frac{1}{a} \tanh ax + C$$

$$126. \int \coth^2 ax dx = x - \frac{1}{a} \coth ax + C$$

$$127. \int \tanh^n ax dx = -\frac{\tanh^{n-1} ax}{(n-1)a} + \int \tanh^{n-2} ax dx, \quad n \neq 1$$

$$128. \int \coth^n ax dx = -\frac{\coth^{n-1} ax}{(n-1)a} + \int \coth^{n-2} ax dx, \quad n \neq 1$$

$$129. \int \operatorname{sech} ax dx = \frac{1}{a} \sin^{-1}(\tanh ax) + C$$

$$130. \int \operatorname{csch} ax dx = \frac{1}{a} \ln \left| \tanh \frac{ax}{2} \right| + C$$

$$131. \int \operatorname{sech}^2 ax dx = \frac{1}{a} \tanh ax + C$$

$$132. \int \operatorname{csch}^2 ax dx = -\frac{1}{a} \coth ax + C$$

$$133. \int \operatorname{sech}^n ax dx = \frac{\operatorname{sech}^{n-2} ax \tanh ax}{(n-1)a} + \frac{n-2}{n-1} \int \operatorname{sech}^{n-2} ax dx, \quad n \neq 1$$

$$134. \int \operatorname{csch}^n ax dx = -\frac{\operatorname{csch}^{n-2} ax \coth ax}{(n-1)a} - \frac{n-2}{n-1} \int \operatorname{csch}^{n-2} ax dx, \quad n \neq 1$$

$$135. \int \operatorname{sech}^n ax \tanh ax dx = -\frac{\operatorname{sech}^n ax}{na} + C, \quad n \neq 0$$

$$136. \int \operatorname{csch}^n ax \coth ax dx = -\frac{\operatorname{csch}^n ax}{na} + C, \quad n \neq 0$$

$$137. \int e^{ax} \sinh bx dx = \frac{e^{ax}}{2} \left[ \frac{e^{bx}}{a+b} - \frac{e^{-bx}}{a-b} \right] + C, \quad a^2 \neq b^2$$

$$138. \int e^{ax} \cosh bx dx = \frac{e^{ax}}{2} \left[ \frac{e^{bx}}{a+b} + \frac{e^{-bx}}{a-b} \right] + C, \quad a^2 \neq b^2$$

$$139. \int_0^\infty x^{n-1} e^{-x} dx = \Gamma(n) = (n-1)!, \quad n > 0$$

$$140. \int_0^\infty e^{-ax^2} dx = \frac{1}{2} \sqrt{\frac{\pi}{a}}, \quad a > 0$$

$$141. \int_0^{\pi/2} \sin^n x dx = \int_0^{\pi/2} \cos^n x dx = \begin{cases} \frac{1 \cdot 3 \cdot 5 \cdots (n-1)}{2 \cdot 4 \cdot 6 \cdots n} \cdot \frac{\pi}{2}, & (n \geq 2 \text{ bir çift tamsayı ise} \\ \frac{2 \cdot 4 \cdot 6 \cdots (n-1)}{3 \cdot 5 \cdot 7 \cdots n}, & (n \geq 3 \text{ bir tek tamsayı ise} \end{cases}$$

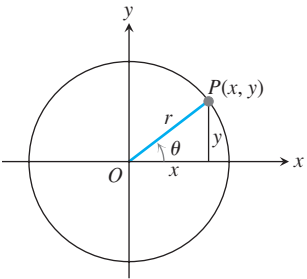
## Trigonometri Formülleri

### 1. Tanımlar ve Temel Özdeşlikler

Sine:  $\sin \theta = \frac{y}{r} = \frac{1}{\csc \theta}$

Cosine:  $\cos \theta = \frac{x}{r} = \frac{1}{\sec \theta}$

Tangent:  $\tan \theta = \frac{y}{x} = \frac{1}{\cot \theta}$



### 2. Özdeşlik

$$\sin(-\theta) = -\sin \theta, \quad \cos(-\theta) = \cos \theta$$

$$\sin^2 \theta + \cos^2 \theta = 1, \quad \sec^2 \theta = 1 + \tan^2 \theta, \quad \csc^2 \theta = 1 + \cot^2 \theta$$

$$\sin 2\theta = 2 \sin \theta \cos \theta, \quad \cos 2\theta = \cos^2 \theta - \sin^2 \theta$$

$$\cos^2 \theta = \frac{1 + \cos 2\theta}{2}, \quad \sin^2 \theta = \frac{1 - \cos 2\theta}{2}$$

$$\sin(A+B) = \sin A \cos B + \cos A \sin B$$

$$\sin(A-B) = \sin A \cos B - \cos A \sin B$$

$$\cos(A+B) = \cos A \cos B - \sin A \sin B$$

$$\cos(A-B) = \cos A \cos B + \sin A \sin B$$

$$\tan(A+B) = \frac{\tan A + \tan B}{1 - \tan A \tan B},$$

$$\tan(A-B) = \frac{\tan A - \tan B}{1 + \tan A \tan B}$$

$$\sin\left(A - \frac{\pi}{2}\right) = -\cos A, \quad \cos\left(A - \frac{\pi}{2}\right) = \sin A$$

$$\sin\left(A + \frac{\pi}{2}\right) = \cos A, \quad \cos\left(A + \frac{\pi}{2}\right) = -\sin A$$

$$\sin A \sin B = \frac{1}{2} \cos(A-B) - \frac{1}{2} \cos(A+B)$$

$$\cos A \cos B = \frac{1}{2} \cos(A-B) + \frac{1}{2} \cos(A+B)$$

$$\sin A \cos B = \frac{1}{2} \sin(A-B) + \frac{1}{2} \sin(A+B)$$

$$\sin A + \sin B = 2 \sin \frac{1}{2}(A+B) \cos \frac{1}{2}(A-B)$$

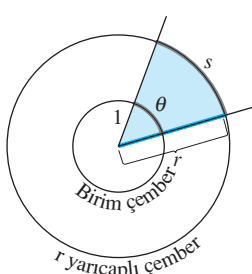
$$\sin A - \sin B = 2 \cos \frac{1}{2}(A+B) \sin \frac{1}{2}(A-B)$$

$$\cos A + \cos B = 2 \cos \frac{1}{2}(A+B) \cos \frac{1}{2}(A-B)$$

$$\cos A - \cos B = -2 \sin \frac{1}{2}(A+B) \sin \frac{1}{2}(A-B)$$

## Trigonometrik Fonksiyonlar

### Radyan Ölçü



$$\frac{s}{r} = \frac{\theta}{1} = \theta \quad \text{veya} \quad \theta = \frac{s}{r},$$

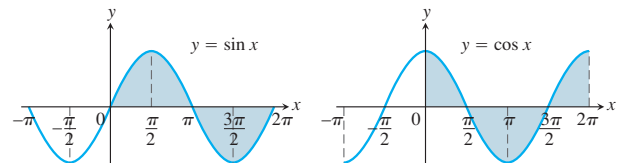
$$180^\circ = \pi \text{ radyan}$$

Derece	Radyan
$45^\circ$	$\frac{\pi}{4}$
$90^\circ$	$\frac{\pi}{2}$

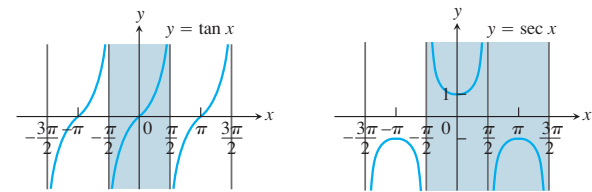
  

$30^\circ$	$\sqrt{3}$
$60^\circ$	$2$

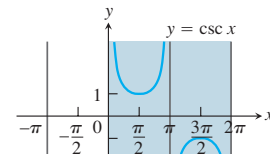
Eş iki üçgenin derece ve radyan cinsinden açıları



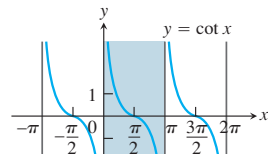
Tanım Kümesi:  $(-\infty, \infty)$   
Değer Kümesi:  $[-1, 1]$



Tanım Kümesi:  $\pi/2$ 'nın tek tam sayı katı dışındaki bütün reel sayılar  
Değer Kümesi:  $(-\infty, \infty)$



Tanım Kümesi:  $x \neq 0, \pm\pi, \pm 2\pi, \dots$   
Değer Kümesi:  $(-\infty, -1] \cup [1, \infty)$



Tanım Kümesi:  $x \neq 0, \pm\pi, \pm 2\pi, \dots$   
Değer Kümesi:  $(-\infty, \infty)$

## SERİLER

### Taylor Serileri

$$\frac{1}{1-x} = 1 + x + x^2 + \dots + x^n + \dots = \sum_{n=0}^{\infty} x^n, \quad |x| < 1$$

$$\frac{1}{1+x} = 1 - x + x^2 - \dots + (-x)^n + \dots = \sum_{n=0}^{\infty} (-1)^n x^n, \quad |x| < 1$$

$$e^x = 1 + x + \frac{x^2}{2!} + \dots + \frac{x^n}{n!} + \dots = \sum_{n=0}^{\infty} \frac{x^n}{n!}, \quad |x| < \infty$$

$$\sin x = x - \frac{x^3}{3!} + \frac{x^5}{5!} - \dots + (-1)^n \frac{x^{2n+1}}{(2n+1)!} + \dots = \sum_{n=0}^{\infty} \frac{(-1)^n x^{2n+1}}{(2n+1)!}, \quad |x| < \infty$$

$$\cos x = 1 - \frac{x^2}{2!} + \frac{x^4}{4!} - \dots + (-1)^n \frac{x^{2n}}{(2n)!} + \dots = \sum_{n=0}^{\infty} \frac{(-1)^n x^{2n}}{(2n)!}, \quad |x| < \infty$$

$$\ln(1+x) = x - \frac{x^2}{2} + \frac{x^3}{3} - \dots + (-1)^{n-1} \frac{x^n}{n} + \dots = \sum_{n=1}^{\infty} \frac{(-1)^{n-1} x^n}{n}, \quad -1 < x \leq 1$$

$$\ln \frac{1+x}{1-x} = 2 \tanh^{-1} x = 2 \left( x + \frac{x^3}{3} + \frac{x^5}{5} + \dots + \frac{x^{2n+1}}{2n+1} + \dots \right) = 2 \sum_{n=0}^{\infty} \frac{x^{2n+1}}{2n+1}, \quad |x| < 1$$

$$\tan^{-1} x = x - \frac{x^3}{3} + \frac{x^5}{5} - \dots + (-1)^n \frac{x^{2n+1}}{2n+1} + \dots = \sum_{n=0}^{\infty} \frac{(-1)^n x^{2n+1}}{2n+1}, \quad |x| \leq 1$$

### Binom Seriler

$$(1+x)^m = 1 + mx + \frac{m(m-1)x^2}{2!} + \frac{m(m-1)(m-2)x^3}{3!} + \dots + \frac{m(m-1)(m-2)\cdots(m-k+1)x^k}{k!} + \dots$$

$$= 1 + \sum_{k=1}^{\infty} \binom{m}{k} x^k, \quad |x| < 1,$$

olduğundan

$$k \geq 3 \text{ için } \binom{m}{1} = m, \quad \binom{m}{2} = \frac{m(m-1)}{2!}, \quad \binom{m}{k} = \frac{m(m-1)\cdots(m-k+1)}{k!}$$

## LİMİTLER

### Genel Kurallar

$L, M, c$  ve  $k$  reel sayılar ve

$$\lim_{x \rightarrow c} f(x) = L \quad \text{ve} \quad \lim_{x \rightarrow c} g(x) = M$$

ise aşağıdakiler geçerlidir.

*Toplam Kuralı:*

$$\lim_{x \rightarrow c} (f(x) + g(x)) = L + M$$

*Fark Kuralı:*

$$\lim_{x \rightarrow c} (f(x) - g(x)) = L - M$$

*Çarpım Kuralı:*

$$\lim_{x \rightarrow c} (f(x) \cdot g(x)) = L \cdot M$$

*Sabitle Çarpım Kuralı:*

$$\lim_{x \rightarrow c} (k \cdot f(x)) = k \cdot L$$

*Bölüm Kuralı:*

$$\lim_{x \rightarrow c} \frac{f(x)}{g(x)} = \frac{L}{M}, \quad M \neq 0$$

### Sandöviç Teoremi

$c$ 'yi içeren bir açık aralıktaki  $g(x) \leq f(x) \leq h(x)$ ,  $x = c$  hariç olabilir, ise ve

$$\lim_{x \rightarrow c} g(x) = \lim_{x \rightarrow c} h(x) = L$$

ise  $\lim_{x \rightarrow c} f(x) = L$ 'dır.

### Eşitsizlikler

$c$ 'yi içeren bir açık aralıktaki  $f(x) \leq g(x)$ ,  $x = c$  hariç olabilir, ise ve her iki limit mevcut ise

$$\lim_{x \rightarrow c} f(x) \leq \lim_{x \rightarrow c} g(x)$$

dir.

### Süreklilik

$g$  fonksiyonu  $L$ 'de sürekli ise ve  $\lim_{x \rightarrow c} f(x) = L$  ise

$$\lim_{x \rightarrow c} g(f(x)) = g(L)$$

dir.

### Özel Formüller

$P(x) = a_n x^n + a_{n-1} x^{n-1} + \dots + a_0$ , ise

$$\lim_{x \rightarrow c} P(x) = P(c) = a_n c^n + a_{n-1} c^{n-1} + \dots + a_0$$

dir.

$P(x)$  ve  $Q(x)$  iki polinom ve  $Q(c) \neq 0$  ise

$$\lim_{x \rightarrow c} \frac{P(x)}{Q(x)} = \frac{P(c)}{Q(c)}.$$

dir.

$f(x)$  fonksiyonu  $x = c$  'de sürekli ise

$$\lim_{x \rightarrow c} f(x) = f(c)$$

dir.

$$\lim_{x \rightarrow 0} \frac{\sin x}{x} = 1 \quad \text{ve} \quad \lim_{x \rightarrow 0} \frac{1 - \cos x}{x} = 0$$

### L'Hôpital Kuralı

$a$  noktasını içeren bir  $I$  açık aralığında  $f(a) = g(a) = 0$  ise ve hem  $f'$  ve hem  $g'$  mevcut ise, ayrıca  $I$  üzerinde iken  $g'(x) \neq 0$  ise sağ taraftaki limitin var olması koşuluyla

$$\lim_{x \rightarrow a} \frac{f(x)}{g(x)} = \lim_{x \rightarrow a} \frac{f'(x)}{g'(x)}$$

dir.

## İNTegral KURALLARI

### Genel Formüller

*Sıfır:*

$$\int_a^a f(x) dx = 0$$

*İntegrasyon Strası:*

$$\int_b^a f(x) dx = - \int_a^b f(x) dx$$

*Sabitle Çarpım Kuralı:*

$$\int_a^b kf(x) dx = k \int_a^b f(x) dx \quad (k \text{ herhangi bir sayı})$$

$$\int_a^b -f(x) dx = - \int_a^b f(x) dx \quad (k = -1)$$

*Toplamlar ve Farklar:*

$$\int_a^b (f(x) \pm g(x)) dx = \int_a^b f(x) dx \pm \int_a^b g(x) dx$$

*Toplanabilirlik:*

$$\int_a^b f(x) dx + \int_b^c f(x) dx = \int_a^c f(x) dx$$

*Max-Min Eşitsizliği:*  $f$  fonksiyonunun  $[a, b]$  aralığı üzerindeki maksimum ve minimum değerler  $\max f$  ve  $\min f$  ise

$$\min f \cdot (b - a) \leq \int_a^b f(x) dx \leq \max f \cdot (b - a) \text{ 'dir.}$$

*Baskınlık:*  $[a, b]$  üzerinde  $f(x) \geq g(x)$  ise  $\int_a^b f(x) dx \geq \int_a^b g(x) dx$ 'dır.

$[a, b]$  üzerinde  $f(x) \geq 0$  ise  $\int_a^b f(x) dx \geq 0$ 'dır.

### Analizin Temel Teoremi

**Kısim 1**  $f$  fonksiyonu  $[a, b]$  üzerinde sürekli ise,  $F(x) = \int_a^x f(t) dt$  fonksiyonu  $[a, b]$  üzerinde sürekli ve  $(a, b)$ ’de türevlenebilirdir ve türevi  $f(x)$ ’dir;

$$F'(x) = \frac{d}{dx} \int_a^x f(t) dt = f(x).$$

**Kısim 2**  $f$  fonksiyonu  $[a, b]$  aralığının her noktasında sürekli ve  $F$ ’de  $f$ ’nin  $[a, b]$  aralığındaki herhangi bir ters türevi ise

$$\int_a^b f(x) dx = F(b) - F(a).$$

olur.

### Belirli İntegralerde Değişken Dönüşümü

$$\int_a^b f(g(x)) \cdot g'(x) dx = \int_{g(a)}^{g(b)} f(u) du$$

### Kısmı İntegrasyon

$$\int_a^b f(x) g'(x) dx = f(x)g(x) \Big|_a^b - \int_a^b f'(x)g(x) dx$$